

Sommario

Verifiche e armature plinti/pali.....	2
Plinti pilastri n. 5 14 15 25 35 44 45 55 64 65 75 84 85 95 104 105 123	3
Plinti pilastri n. 16 18 19 21 36 38 39 41 42 56 58 59 61 62 76 78 79 81 82 96 98 99 101 102 115 117	3
Verifiche aste in acciaio.....	5
Criteri di analisi geotecnica e progetto delle fondazioni.....	278
Fondazioni superficiali	278
Fondazioni profonde	279
Caratterizzazione	280
Geotecnica.....	281
Elenco colonne stratigrafiche	281
Figura numero 1: Colonna stratigrafica numero 1 S1	284
Fondazioni superficiali.....	284
Verifiche capacità portante	284
Cedimenti	424
Sintesi.....	459

Verifiche e armature plinti/pali

Simbologia

Caso	= Caso di verifica
Nodo	= Nodo plinto/palo
CC	= Numero della combinazione delle condizioni di carico elementari
TCC	= Tipo di combinazione di carico
	SLU = Stato limite ultimo
	SLU S = Stato limite ultimo (azione sismica)
	SLE R = Stato limite d'esercizio, combinazione rara
	SLE F = Stato limite d'esercizio, combinazione frequente
	SLE Q = Stato limite d'esercizio, combinazione quasi permanente
	SLD = Stato limite di danno
	SLV = Stato limite di salvaguardia della vita
	SLC = Stato limite di prevenzione del collasso
	SLO = Stato limite di operatività
	SLU I = Stato limite di resistenza al fuoco
	SND = Stato limite di salvaguardia della vita (non dissipativo)
Az	= Azioni ed effetti sul plinto/palo
	RVN = Reazioni vincolari agenti
	TAG = Effetti dovuti ai tagli
	ECC = Effetti dovuti all'eccentricità
	PP = Effetti dovuti al peso proprio
	SVR = Effetti dovuti ai sovraccarichi e al peso del terreno
	TOT = Azioni totali di calcolo
N	= Sforzo normale
Tx	= Taglio in dir. X
Ty	= Taglio in dir. Y
Mx	= Momento intorno all'asse X
My	= Momento intorno all'asse Y
σ_t	= Tensione sul terreno
FtirX	= Forza complessiva di tiro nell'armatura di fondo in dir. X
Af _x	= Area di ferro nel fondo in dir. X
FDtirX	= Forza resistente complessiva di tiro nell'armatura di fondo in dir. X
FtirY	= Forza complessiva di tiro nell'armatura di fondo in dir. Y
Af _y	= Area di ferro nel fondo in dir. Y
FDtirY	= Forza resistente complessiva di tiro nell'armatura di fondo in dir. Y
σ_{fx}	= Tensione nell'armatura nel fondo in dir. X
σ_{fy}	= Tensione nell'armatura nel fondo in dir. Y
Tipo	= Tipo di verifica effettuata
Cf	= Copriferro
Cls	= Tipo di calcestruzzo
Fck	= Resistenza caratteristica cilindrica a compressione del calcestruzzo
Fctk	= Resistenza caratteristica a trazione del calcestruzzo
Fcd	= Resistenza di calcolo a compressione del calcestruzzo
Fctd	= Resistenza di calcolo a trazione del calcestruzzo
TP	= Tipo di acciaio
Fyk	= Tensione caratteristica di snervamento dell'acciaio
Fyd	= Resistenza di calcolo dell'acciaio
PV	= Punto di verifica
	XXn = Posizione di verifica (coord. Y) per flessione intorno all'asse X
	YYn = Posizione di verifica (coord. X) per flessione intorno all'asse Y
Coord.	= Coordinata del punto di verifica
Mom	= Momento flettente
MRd	= Momento resistente allo stato limite ultimo
M'yd	= Momento resistente massimo in campo sostanzialmente elastico
Sic.	= Sicurezza a rottura
AfT	= Area di ferro tesa
AfC	= Area di ferro compressa
σ_c	= Tensione nel calcestruzzo
σ_f	= Tensione nel ferro
c	= Ricoprimento dell'armatura
s	= Distanza massima tra le barre
K ₂	= Coefficiente per distribuzione deformazioni
Φ_{eq}	= Diametro equivalente delle barre
Δ_{sm}	= Distanza media tra le fessure
A _s	= Area complessiva dei ferri nell'area di calcestruzzo efficace
A _{c eff}	= Area di calcestruzzo efficace
σ_s	= Tensione nell'acciaio nella sezione fessurata
ϵ_{sm}	= Deformazione unitaria media dell'armatura (*1000)
W _k	= Ampiezza caratteristica delle fessure
d	= Media delle altezze utili nelle due direzioni ortogonali
M _{Ed}	= Valore di progetto del momento flettente agente
u ₀	= Perimetro del pilastro
V _{Ed, red} (u ₀)	= Valore di progetto del taglio agente ridotto sul perimetro u ₀
β (u ₀)	= Coeff. amplificativo dello sforzo di punzonamento sul perimetro u ₀
v	= Coeff. di riduzione della resistenza per il calcestruzzo fessurato a taglio

Relazione di calcolo

$V_{Ed} (u_0)$	= Tensione max di taglio sul perimetro u_0
$V_{Rd,max}$	= Valore di progetto del max taglio punzonamento resistente lungo la sez. di verifica
u_1	= Perimetro di verifica di base
$V_{Ed,red} (u_1)$	= Valore di progetto del taglio agente ridotto sul perimetro u_1
$\beta (u_1)$	= Coeff. amplificativo dello sforzo di punzonamento sul perimetro u_1
ρ_l	= Rapporto d'armatura longitudinale (*1000)
$V_{Ed} (u_1)$	= Tensione max di taglio sul perimetro u_1
$V_{Rd,c}$	= Resistenza di progetto a punzonamento
A_{sw}	= Area di armatura a taglio a punzonamento
$V_{Rd,cs}$	= Resistenza a taglio punzonamento

Plinti pilastri n. 5 14 15 25 35 44 45 55 64 65 75 84 85 95 104 105 123

Caratteristiche delle sezioni e dei materiali utilizzati

Cf	Cls	Fck	Fctk	Fcd	Fctd	Tp	Fyk	Fyd
<cm>		<daN/cm ² >	<daN/cm ² >	<daN/cm ² >	<daN/cm ² >		<daN/cm ² >	<daN/cm ² >
6.00	C32/40	332.00	21.69	188.13	14.46	B450C	4500.00	3913.04

Le tensioni sul terreno vengono calcolate oltre che per l'effetto delle reazioni vincolari anche considerando i seguenti effetti

Azioni ed effetti comuni

Az	N	Mx	My
	<daN>	<daNm>	<daNm>
PP	3430.00	0.00	0.00
SVR	0.00		

Azioni, effetti e tensioni sul terreno

Caso	Nodo	CC	TCC	Az	N	Tx	Ty	Mx	My	σ_t
					<daN>	<daN>	<daN>	<daNm>	<daNm>	<daN/cm ² >
136	1517	SLU	RVN		15035.50	0.00	0.00	0.00	0.00	
	1517	SLU	TAG					0.00	0.00	
	1517	SLU	ECC					0.00	0.00	
	1517	SLU	TOT		18465.50	0.00	0.00	0.00	0.00	-0.94
141	1522	SLE R	RVN		10565.50	0.00	0.00	0.00	0.00	
	1522	SLE R	TAG					0.00	0.00	
	1522	SLE R	ECC					0.00	0.00	
	1522	SLE R	TOT		13995.50	0.00	0.00	0.00	0.00	-0.71

Stato limite ultimo - Verifiche armatura fondo

Caso	Nodo	CC	TCC	FtirX	Af _x	FDtirX	FtirY	Af _y	FDtirY
				<daN>	<cmq>	<daN>	<daN>	<cmq>	<daN>
136	1517	SLU		4243.90	9.05	35404.40	4243.90	9.05	35404.40

Stato limite d'esercizio - Verifiche armatura fondo

Caso	Nodo	CC	TCC	FtirX	Af _x	σ_{fx}	FtirY	Af _y	σ_{fy}
				<daN>	<cmq>	<daN/cm ² >	<daN>	<cmq>	<daN/cm ² >
141	1522	SLE R		2982.20	9.05	329.61	2982.20	9.05	329.61

Verifiche effettuate

Caso	Tipo
136	$\sigma_{t,min}$ (max compr.), SLU N cost - min. sic.
141	C.Rare - $\sigma_{f,max}$ (max traz.)

Plinti pilastri n. 16 18 19 21 36 38 39 41 42 56 58 59 61 62 76 78 79 81 82 96 98 99 101 102 115 117

Caratteristiche delle sezioni e dei materiali utilizzati

Cf	Cls	Fck	Fctk	Fcd	Fctd	Tp	Fyk	Fyd
<cm>		<daN/cm ² >	<daN/cm ² >	<daN/cm ² >	<daN/cm ² >		<daN/cm ² >	<daN/cm ² >
6.00	C32/40	332.00	21.69	188.13	14.46	B450C	4500.00	3913.04

Le tensioni sul terreno vengono calcolate oltre che per l'effetto delle reazioni vincolari anche considerando i seguenti effetti

Azioni ed effetti comuni

Az	N	Mx	My
	<daN>	<daNm>	<daNm>
PP	5030.00	0.00	0.00
SVR	0.00		

Azioni, effetti e tensioni sul terreno

Caso	Nodo	CC	TCC	Az	N	Tx	Ty	Mx	My	σ_t
					<daN>	<daN>	<daN>	<daNm>	<daNm>	<daN/cm ² >

Relazione di calcolo

65	16	17	SLU	RVN	24034.70	0.00	0.00	0.00	0.00	
	16	17	SLU	TAG				0.00	0.00	
	16	17	SLU	ECC				0.00	0.00	
	16	17	SLU	TOT	29064.70	0.00	0.00	0.00	0.00	-0.90
1850	115	26	SLE Q	RVN	7359.74	0.00	0.00	0.00	0.00	
	115	26	SLE Q	TAG				0.00	0.00	
	115	26	SLE Q	ECC				0.00	0.00	
	115	26	SLE Q	TOT	12389.70	0.00	0.00	0.00	0.00	-0.38
1	16	1	SLV(E)	RVN	14375.70	0.00	0.00	0.00	0.00	
	16	1	SLV(E)	TAG				0.00	0.00	
	16	1	SLV(E)	ECC				0.00	0.00	
	16	1	SLV(E)	TOT	19405.70	0.00	0.00	0.00	0.00	-0.60
74	16	26	SLE Q	RVN	13068.80	0.00	0.00	0.00	0.00	
	16	26	SLE Q	TAG				0.00	0.00	
	16	26	SLE Q	ECC				0.00	0.00	
	16	26	SLE Q	TOT	18098.80	0.00	0.00	0.00	0.00	-0.56
70	16	22	SLE R	RVN	16931.30	0.00	0.00	0.00	0.00	
	16	22	SLE R	TAG				0.00	0.00	
	16	22	SLE R	ECC				0.00	0.00	
	16	22	SLE R	TOT	21961.30	0.00	0.00	0.00	0.00	-0.68
72	16	24	SLE F	RVN	13970.10	0.00	0.00	0.00	0.00	
	16	24	SLE F	TAG				0.00	0.00	
	16	24	SLE F	ECC				0.00	0.00	
	16	24	SLE F	TOT	19000.10	0.00	0.00	0.00	0.00	-0.59

Stato limite ultimo - Armatura a punzonamento - Verifiche armatura

CC	TCC	d	M _{Ed}	u ₀	V _{Ed,red} (u ₀)	β (u ₀)	v	V _{Ed} (u ₀)	V _{Rd,max}	u ₁	V _{Ed,red} (u ₁)	β (u ₁)	ρ ₁	V _{Ed} (u ₁)	V _{Rd,c}	A _{sw}	V _{Rd,cs}
		<m>	<daNm>	<m>	<daN>			<daN/mq>	<daN/mq>	<m>	<daN>			<daN/mq>	<daN/mq>	<cmq>	<daN/mq>
17	SLU																

Stato limite ultimo - Verifiche a flessione/pressoflessione

Caso	Nodo	CC	TCC	PV	Coord.	Mom	MRd	Sic.
					<m>	<daNm>	<daNm>	
65	16	17	SLU	XX1	0.13	4075.50	89523.70	21.97
65	16	17	SLU	XX2	-0.13	4075.49	89523.70	21.97
65	16	17	SLU	XX3	0.35	2101.93	20252.80	9.64
65	16	17	SLU	XX4	-0.35	2101.93	20252.80	9.64
65	16	17	SLU	YY1	0.13	4075.49	89523.70	21.97
65	16	17	SLU	YY2	-0.13	4075.49	89523.70	21.97
65	16	17	SLU	YY3	0.35	2101.93	20252.80	9.64
65	16	17	SLU	YY4	-0.35	2101.93	20252.80	9.64

Stato limite elastico - Verifiche a flessione/pressoflessione

Caso	Nodo	CC	TCC	PV	Coord.	Mom	M'yd	Sic.
					<m>	<daNm>	<daNm>	
1	16	1	SLV(E)	XX1	0.13	2501.82	-72187.80	28.85
1	16	1	SLV(E)	XX2	-0.13	2501.81	-72187.80	28.85
1	16	1	SLV(E)	XX3	0.35	1290.31	-18201.30	14.11
1	16	1	SLV(E)	XX4	-0.35	1290.31	-18201.30	14.11
1	16	1	SLV(E)	YY1	0.13	2501.82	-72187.80	28.85
1	16	1	SLV(E)	YY2	-0.13	2501.82	-72187.80	28.85
1	16	1	SLV(E)	YY3	0.35	1290.31	-18201.30	14.11
1	16	1	SLV(E)	YY4	-0.35	1290.31	-18201.30	14.11

Stato limite d'esercizio - Verifiche a flessione

Caso	Nodo	CC	TCC	PV	Coord.	Mom	AfT	AfC	σ _c	σ _f
					<m>	<daNm>	<cmq>	<cmq>	<daN/cmq>	<daN/cmq>
70	16	22	SLE R	XX1	0.13	2918.19	22.62	5.65	-2.91	159.13
70	16	22	SLE R	XX2	-0.13	2918.18	22.62	5.65	-2.91	159.13
70	16	22	SLE R	XX3	0.35	1505.05	11.31	11.31	-4.84	324.00
70	16	22	SLE R	XX4	-0.35	1505.05	11.31	11.31	-4.84	324.00
70	16	22	SLE R	YY1	0.13	2918.19	22.62	5.65	-2.91	159.13
70	16	22	SLE R	YY2	-0.13	2918.19	22.62	5.65	-2.91	159.13
70	16	22	SLE R	YY3	0.35	1505.05	11.31	11.31	-4.84	324.01
70	16	22	SLE R	YY4	-0.35	1505.05	11.31	11.31	-4.84	324.01
72	16	24	SLE F	XX1	0.13	2435.73	22.62	5.65	-2.43	132.82
72	16	24	SLE F	XX2	-0.13	2435.72	22.62	5.65	-2.43	132.82
72	16	24	SLE F	XX3	0.35	1256.22	11.31	11.31	-4.04	270.44
72	16	24	SLE F	XX4	-0.35	1256.22	11.31	11.31	-4.04	270.44
72	16	24	SLE F	YY1	0.13	2435.73	22.62	5.65	-2.43	132.82
72	16	24	SLE F	YY2	-0.13	2435.73	22.62	5.65	-2.43	132.82
72	16	24	SLE F	YY3	0.35	1256.22	11.31	11.31	-4.04	270.44

Relazione di calcolo

72	16	24	SLE F YY4	-0.35	1256.22	11.31	11.31	-4.04	270.44
74	16	26	SLE Q XX1	0.13	2288.90	22.62	5.65	-2.28	
74	16	26	SLE Q XX2	-0.13	2288.89	22.62	5.65	-2.28	
74	16	26	SLE Q XX3	0.35	1180.49	11.31	11.31	-3.79	
74	16	26	SLE Q XX4	-0.35	1180.49	11.31	11.31	-3.79	
74	16	26	SLE Q YY1	0.13	2288.89	22.62	5.65	-2.28	
74	16	26	SLE Q YY2	-0.13	2288.89	22.62	5.65	-2.28	
74	16	26	SLE Q YY3	0.35	1180.49	11.31	11.31	-3.79	
74	16	26	SLE Q YY4	-0.35	1180.49	11.31	11.31	-3.79	
1850	115	26	SLE Q XX1	0.13	1358.74	22.62	5.65	-1.35	
1850	115	26	SLE Q XX2	-0.13	1358.74	22.62	5.65	-1.35	
1850	115	26	SLE Q XX3	0.35	700.77	11.31	11.31	-2.25	
1850	115	26	SLE Q XX4	-0.35	700.77	11.31	11.31	-2.25	
1850	115	26	SLE Q YY1	0.13	1358.74	22.62	5.65	-1.35	
1850	115	26	SLE Q YY2	-0.13	1358.74	22.62	5.65	-1.35	
1850	115	26	SLE Q YY3	0.35	700.77	11.31	11.31	-2.25	
1850	115	26	SLE Q YY4	-0.35	700.77	11.31	11.31	-2.25	

Stato limite d'esercizio - Verifiche a fessurazione

Caso	Nodo	CC	TCC	PV	Coord. <m>	Mom <daNm>	c <mm>	s <mm>	K ₂	Φ _{eq}	Δ _{sm} <mm>	A _s <cmq>	A _{c eff} <cmq>	σ _s <daN/cmq>	ε _{sm}	W _k <mm>
1850	115	26	SLE Q XX1	0.13	1358.74	54.00	187.10	0.50	12.00	394.48	11.31	2700.00		74.09	0.02	0.01
1850	115	26	SLE Q XX2	-0.13	1358.74	54.00	187.10	0.50	12.00	394.48	11.31	2700.00		74.09	0.02	0.01
1850	115	26	SLE Q XX3	0.35	700.77	54.00	187.10	0.50	12.00	374.44	11.31	2511.10		150.86	0.04	0.03
1850	115	26	SLE Q XX4	-0.35	700.77	54.00	187.10	0.50	12.00	374.44	11.31	2511.10		150.86	0.04	0.03
1850	115	26	SLE Q YY1	0.13	1358.74	54.00	189.77	0.50	12.00	394.48	11.31	2700.00		74.09	0.02	0.01
1850	115	26	SLE Q YY2	-0.13	1358.74	54.00	189.77	0.50	12.00	394.48	11.31	2700.00		74.09	0.02	0.01
1850	115	26	SLE Q YY3	0.35	700.77	54.00	189.77	0.50	12.00	374.44	11.31	2511.15		150.86	0.04	0.03
1850	115	26	SLE Q YY4	-0.35	700.77	54.00	189.77	0.50	12.00	374.44	11.31	2511.15		150.86	0.04	0.03
74	16	26	SLE Q XX1	0.13	2288.90	54.00	187.10	0.50	12.00	394.48	11.31	2700.00		124.81	0.04	0.02
74	16	26	SLE Q XX2	-0.13	2288.89	54.00	187.10	0.50	12.00	394.48	11.31	2700.00		124.81	0.04	0.02
74	16	26	SLE Q XX3	0.35	1180.49	54.00	187.10	0.50	12.00	374.44	11.31	2511.10		254.13	0.07	0.05
74	16	26	SLE Q XX4	-0.35	1180.49	54.00	187.10	0.50	12.00	374.44	11.31	2511.10		254.13	0.07	0.05
74	16	26	SLE Q YY1	0.13	2288.89	54.00	189.77	0.50	12.00	394.48	11.31	2700.00		124.81	0.04	0.02
74	16	26	SLE Q YY2	-0.13	2288.89	54.00	189.77	0.50	12.00	394.48	11.31	2700.00		124.81	0.04	0.02
74	16	26	SLE Q YY3	0.35	1180.49	54.00	189.77	0.50	12.00	374.44	11.31	2511.15		254.14	0.07	0.05
74	16	26	SLE Q YY4	-0.35	1180.49	54.00	189.77	0.50	12.00	374.44	11.31	2511.15		254.14	0.07	0.05
72	16	24	SLE F XX1	0.13	2435.73	54.00	187.10	0.50	12.00	394.48	11.31	2700.00		132.82	0.04	0.03
72	16	24	SLE F XX2	-0.13	2435.72	54.00	187.10	0.50	12.00	394.48	11.31	2700.00		132.82	0.04	0.03
72	16	24	SLE F XX3	0.35	1256.22	54.00	187.10	0.50	12.00	374.44	11.31	2511.10		270.44	0.08	0.05
72	16	24	SLE F XX4	-0.35	1256.22	54.00	187.10	0.50	12.00	374.44	11.31	2511.10		270.44	0.08	0.05
72	16	24	SLE F YY1	0.13	2435.73	54.00	189.77	0.50	12.00	394.48	11.31	2700.00		132.82	0.04	0.03
72	16	24	SLE F YY2	-0.13	2435.73	54.00	189.77	0.50	12.00	394.48	11.31	2700.00		132.82	0.04	0.03
72	16	24	SLE F YY3	0.35	1256.22	54.00	189.77	0.50	12.00	374.44	11.31	2511.15		270.44	0.08	0.05
72	16	24	SLE F YY4	-0.35	1256.22	54.00	189.77	0.50	12.00	374.44	11.31	2511.15		270.44	0.08	0.05

Verifiche effettuate

Caso	Tipo
65	σ _{t min} (max compr.),SLU N cost - min. sic.
1850	σ _{t max} (min. compr.)
1	SND N cost - min. sic. lim. el.
74	C.Q.Per. - σ _{c min} (max compr.),C.Q.Per. - W _{k max}
70	C.Rare - σ _{c min} (max compr.),C.Rare - σ _{f max} (max traz.),C.Rare - σ _{f min} (max compr.)
72	C.Freq - W _{k max}

Verifiche aste in acciaio

Simbologia

Sez.	= Numero della sezione
Cod.	= Codice
Tipo	= Tipologia
	2C = Doppia C lato labbri
	2Cdx = Doppia C lato costola
	2I = Doppia I
	2L = Doppia L lato labbri
	2Ldx = Doppia L lato costole
	C = Sezione a C
	Cdx = C destra
	Cir. = Circolare
	Cir.c = Circolare cava
	I = Sezione a I
	L = Sezione a L
	Ldx = L destra
	Om. = Omega
	Pg = Pi greco
	Pr = Poligono regolare
	Prc = Poligono regolare cavo
	Pc = Per coordinate
	Ia = Inerzie assegnate
	R = Rettangolare
	Rc = Rettangolare cava
	T = Sezione a T
	U = Sezione a U
	Ur = U rovescia
	V = Sezione a V

Relazione di calcolo

		Vr = V rovescia
		Z = Sezione a Z
		Zdx = Z destra
		Ts = T stondata
		Ls = L stondata
		Cs = C stondata
		Is = I stondata
		Dis. = Disegnata
D	<cm>	= Distanza
Area	<cmq>	= Area
Anet	<cmq>	= Area netta per compressione
Aeff	<cmq>	= Area effettiva per trazione
Jy	<cm4>	= Momento d'inerzia rispetto all'asse Y
Jz	<cm4>	= Momento d'inerzia rispetto all'asse Z
Iy	<cm>	= Raggio giratorio d'inerzia rispetto all'asse Y
Iz	<cm>	= Raggio giratorio d'inerzia rispetto all'asse Z
Wymin	<cm>	= Modulo di resistenza minimo rispetto all'asse Y
Wzmin	<cm>	= Modulo di resistenza minimo rispetto all'asse Z
Tp		= Tipo di acciaio
Fyk	<daN/cm²>	= Tensione caratteristica di snervamento dell'acciaio
Fyt	<daN/cm²>	= Tensione caratteristica di rottura
Wy,plas	<cm>	= Modulo di resistenza plastico intorno all'asse Y
Wz,plas	<cm>	= Modulo di resistenza plastico intorno all'asse Z
Atag,y	<cmq>	= Area resistente a taglio in dir. Y
Atag,z	<cmq>	= Area resistente a taglio in dir. Z
J0	<cm6>	= Costante di ingobbamento
CC		= Numero della combinazione delle condizioni di carico elementari
Xl	<m>	= Coordinata progressiva (dal nodo iniziale dell'asta) in cui viene effettuato il progetto/verifica
N	<daN>	= Sforzo normale
N,Ed	<daN>	= Forza assiale di calcolo
Nc,Rd	<daN>	= Resistenza a compressione
Npl,Rd	<daN>	= Resistenza plastica a trazione per sezione lorda
L	<m>	= Lunghezza dell'asta
λ		= Snellezza per inflessione
Ncr	<daN>	= Sforzo normale critico euleriano
λ*		= Snellezza adimensionale
Curva		= Curva di instabilità adottata
Φ		= Coefficiente Φ
χ,min		= Coefficiente χ di riduzione per instabilità
Nb,Rd	<daN>	= Resistenza all'instabilità
Nu,Rd	<daN>	= Resistenza a rottura di trazione per sezione netta
Nt,Rd	<daN>	= Resistenza a trazione ultima
Tz	<daN>	= Taglio in dir. Z
My	<daNm>	= Momento flettente intorno all'asse Y
My,Ed	<daNm>	= Momento flettente di calcolo intorno all'asse Y
My,c,Rd	<daNm>	= Resistenza di calcolo a flessione intorno all'asse Y
V,Ed	<daN>	= Forza di taglio di calcolo
Vc,Rd	<daN>	= Resistenza a taglio
My,V,c,Rd	<daNm>	= Resistenza di calcolo a flessione ridotta per taglio intorno all'asse Y
MNy,c,Rd	<daNm>	= Resistenza di calcolo a pressoflessione intorno all'asse Y
Lcr	<m>	= Lunghezza di libera inflessione laterale fra ritegni torsionali
αimp		= Coefficiente di imperfezione
Kc		= Coeff. di correzione momento flettente per stabilità laterale membrature inflesse
ψ		= Coeff. di correzione momento critico per stabilità laterale membrature inflesse
M,cr	<daNm>	= Momento critico per instabilità flessione torsionale
λLT		= Coefficiente di imperfezione per stabilità laterale membrature inflesse
λLT,0		= Coefficiente di imperfezione di confronto per stabilità laterale membrature inflesse
βLT		= Coefficiente per calcolo ΦLT
ΦLT		= Coefficiente Φ per stabilità laterale membrature inflesse
f		= Fattore di modifica per il coefficiente di riduzione
χLT		= Coefficiente di riduzione per stabilità laterale membrature inflesse
My,b,Rd	<daNm>	= Resistenza di calcolo a flessione ridotta per stabilità laterale membrature inflesse
αmy, αmz, αLT		= Coefficienti correttivi per il momento flettente
λy		= Snellezza per inflessione intorno all'asse y(c)
Ncr,y	<daN>	= Sforzo normale critico euleriano per inflessione intorno all'asse y(c)
λ*y		= Snellezza adimensionale per inflessione intorno all'asse y(c)
Φy		= Coefficiente Φ per inflessione intorno all'asse y(c)
χy		= Coefficiente χ di riduzione per instabilità intorno all'asse y(c)
λz		= Snellezza per inflessione intorno all'asse z(e)
Ncr,z	<daN>	= Sforzo normale critico euleriano per inflessione intorno all'asse z(e)
λ*z		= Snellezza adimensionale per inflessione intorno all'asse z(e)
Φz		= Coefficiente Φ per inflessione intorno all'asse z(e)
χz		= Coefficiente χ di riduzione per instabilità intorno all'asse z(e)
Kyy, Kyz, Kzy, Kzz		= Coefficienti di interazione
σN	<daN/cm²>	= Tensione normale per sforzo normale
σM	<daN/cm²>	= Tensione normale per momento flettente
τ	<daN/cm²>	= Tensione tangenziale per taglio e/o torsione
σID,max	<daN/cm²>	= Tensione ideale massima
fz,L	<cm>	= Freccia in direzione Z locale
fz,G	<cm>	= Freccia in direzione Z globale
δ	<cm>	= Spostamento relativo asta

Caratteristiche profilati utilizzati

Sez.	Cod.	Tipo	D <cm>	Area <cm²>	Anet <cm²>	Aeff <cm²>	Jy <cm4>	Jz <cm4>	Iy <cm>	Iz <cm>	Wymin <cm>	Wzmin <cm>	TP	Fyk <daN/cm²>	Fyt <daN/cm²>
1	Pilastro_CHS168.3x5	Cir.c	--	25.65	25.65	25.65	855.85	855.85	5.78	5.78	101.70	101.70	S355H UNI EN 10210-1	3550.00	5100.00
2	IPE270	Is	--	45.95	45.95	45.95	5789.96	419.87	11.23	3.02	428.89	62.20	S355 UNI EN 10025-2	3550.00	5100.00
5	UPN100	Cs	--	13.70	13.70	13.70	210.31	32.39	3.92	1.54	42.06	9.66	S275 UNI EN 10025-2	2750.00	4300.00
6	IPE300	Is	--	53.81	53.81	53.81	8356.33	603.78	12.46	3.35	557.09	80.50	S355 UNI EN 10025-2	3550.00	5100.00
10	HEA300	Is	--	112.53	112.53	112.53	18264.10	6309.57	12.74	7.49	1259.59	420.64	S355 UNI EN 10025-2	3550.00	5100.00

Caratteristiche profilati utilizzati

Sez.	Cod.	Wy,plas <cm>	Wz,plas <cm>	Atag,y <cm²>	Atag,z <cm²>	J0 <cm6>
1	Pilastro_CHS168.3x5	130.11	130.11	16.33	16.33	
2	IPE270	486.15	97.11	31.45	22.14	70577.90
5	UPN100	50.16	18.54	9.74	6.44	
6	IPE300	630.77	125.38	36.16	25.68	125934.00
10	HEA300	1390.35	641.99	94.85	37.28	1199770.00

Relazione di calcolo

Asta n. 1 (1 1001) Sez. 1 Pilastro__CHS168.3x5 Crit. 1

-
- Verifica a compressione (4.2.4.1.2.2) - CC 9 SND $X_l=0.00$ - Classe 3
Sollecitazioni: $N=-7759.30$
Verifica a compressione [4.2.9]
 $N,Ed=-7759.30$ $N_c,Rd=-86725.20$ $N,Ed/N_c,Rd=0.09$
 - Verifica a compressione (4.2.4.1.2.2) - CC 17 SLU $X_l=0.00$ - Classe 2
Sollecitazioni: $N=-7390.65$
Verifica a compressione [4.2.9]
 $N,Ed=-7390.65$ $N_c,Rd=-86725.20$ $N,Ed/N_c,Rd=0.09$
 - Verifiche di duttilità [7.5.3]:
 $q_0=4.00$ $N,Ed=-7390.65$ $N_{pl},Rd=86725.20$ $N,Ed/N_{pl},Rd=0.09$ (sfrut=0.28)
- Verifica Spostamento relativo massimo per singola asta - CC 22
 $\delta=0.01$ (L/52966)

Asta n. 2 (2 1002) Sez. 1 Pilastro__CHS168.3x5 Crit. 1

-
- Verifica a compressione (4.2.4.1.2.2) - CC 5 SND $X_l=0.00$ - Classe 3
Sollecitazioni: $N=-10076.10$
Verifica a compressione [4.2.9]
 $N,Ed=-10076.10$ $N_c,Rd=-86725.20$ $N,Ed/N_c,Rd=0.12$
 - Verifica a compressione (4.2.4.1.2.2) - CC 17 SLU $X_l=0.00$ - Classe 2
Sollecitazioni: $N=-11862.80$
Verifica a compressione [4.2.9]
 $N,Ed=-11862.80$ $N_c,Rd=-86725.20$ $N,Ed/N_c,Rd=0.14$
 - Verifiche di duttilità [7.5.3]:
 $q_0=4.00$ $N,Ed=-11862.80$ $N_{pl},Rd=86725.20$ $N,Ed/N_{pl},Rd=0.14$ (sfrut=0.46)
- Verifica di stabilità (4.2.4.1.3.1) - CC 17 SLU
Sollecitazioni: $N=-11862.80$
 $L=2.65$
 $\lambda=45.88$ $N_{cr}=252594.00$ $\lambda^*=0.60$
Curva a: $\Phi=0.72$ $\chi_{min}=0.89$ $N,Ed=-11862.80$ $N_b,Rd=77171.20$ $N,Ed/N_b,Rd=0.15$
- Verifica Spostamento relativo massimo per singola asta - CC 22
 $\delta=0.00$ (L/53366)

Asta n. 3 (3 1003) Sez. 1 Pilastro__CHS168.3x5 Crit. 1

-
- Verifica a compressione (4.2.4.1.2.2) - CC 1 SND $X_l=0.00$ - Classe 3
Sollecitazioni: $N=-10459.00$
Verifica a compressione [4.2.9]
 $N,Ed=-10459.00$ $N_c,Rd=-86725.20$ $N,Ed/N_c,Rd=0.12$
 - Verifica a compressione (4.2.4.1.2.2) - CC 17 SLU $X_l=0.00$ - Classe 2
Sollecitazioni: $N=-12264.80$
Verifica a compressione [4.2.9]
 $N,Ed=-12264.80$ $N_c,Rd=-86725.20$ $N,Ed/N_c,Rd=0.14$
 - Verifiche di duttilità [7.5.3]:
 $q_0=4.00$ $N,Ed=-12264.80$ $N_{pl},Rd=86725.20$ $N,Ed/N_{pl},Rd=0.14$ (sfrut=0.47)
- Verifica di stabilità (4.2.4.1.3.1) - CC 17 SLU
Sollecitazioni: $N=-12264.80$
 $L=2.65$
 $\lambda=45.88$ $N_{cr}=252594.00$ $\lambda^*=0.60$
Curva a: $\Phi=0.72$ $\chi_{min}=0.89$ $N,Ed=-12264.80$ $N_b,Rd=77171.20$ $N,Ed/N_b,Rd=0.16$
- Verifica Spostamento relativo massimo per singola asta - CC 22
 $\delta=0.00$ (L/53703)

Asta n. 4 (4 1004) Sez. 1 Pilastro__CHS168.3x5 Crit. 1

-
- Verifica a compressione (4.2.4.1.2.2) - CC 13 SND $X_l=0.00$ - Classe 3
Sollecitazioni: $N=-6414.00$
Verifica a compressione [4.2.9]
 $N,Ed=-6414.00$ $N_c,Rd=-86725.20$ $N,Ed/N_c,Rd=0.07$
 - Verifica a compressione (4.2.4.1.2.2) - CC 17 SLU $X_l=0.00$ - Classe 2
Sollecitazioni: $N=-7575.53$
Verifica a compressione [4.2.9]
 $N,Ed=-7575.53$ $N_c,Rd=-86725.20$ $N,Ed/N_c,Rd=0.09$
 - Verifiche di duttilità [7.5.3]:
 $q_0=4.00$ $N,Ed=-7575.53$ $N_{pl},Rd=86725.20$ $N,Ed/N_{pl},Rd=0.09$ (sfrut=0.29)

Relazione di calcolo

- Verifica Spostamento relativo massimo per singola asta - CC 22
 $\delta=0.00$ (L/54442)

Asta n. 5 (5 1005) Sez. 1 Pilastro__CHS168.3x5 Crit. 1

- Verifica a compressione (4.2.4.1.2.2) - CC 1 SND $X_1=0.00$ - Classe 3
Sollecitazioni: $N=-5007.63$
Verifica a compressione [4.2.9]
 $N,Ed=-5007.63$ $N_c,Rd=-86725.20$ $N,Ed/N_c,Rd=0.06$

- Verifica a compressione (4.2.4.1.2.2) - CC 17 SLU $X_1=0.00$ - Classe 2
Sollecitazioni: $N=-8637.12$
Verifica a compressione [4.2.9]
 $N,Ed=-8637.12$ $N_c,Rd=-86725.20$ $N,Ed/N_c,Rd=0.10$
- Verifiche di duttilità [7.5.3]:
 $q_0=4.00$ $N,Ed=-8637.12$ $N_{pl},Rd=86725.20$ $N,Ed/N_{pl},Rd=0.10$ (sfrut=0.33)

- Verifica Spostamento relativo massimo per singola asta - CC 22
 $\delta=0.00$ (L/55940)

Asta n. 6 (6 1006) Sez. 1 Pilastro__CHS168.3x5 Crit. 1

- Verifica a compressione (4.2.4.1.2.2) - CC 9 SND $X_1=0.00$ - Classe 3
Sollecitazioni: $N=-13462.50$
Verifica a compressione [4.2.9]
 $N,Ed=-13462.50$ $N_c,Rd=-86725.20$ $N,Ed/N_c,Rd=0.16$

- Verifica a compressione (4.2.4.1.2.2) - CC 17 SLU $X_1=0.00$ - Classe 2
Sollecitazioni: $N=-18119.90$
Verifica a compressione [4.2.9]
 $N,Ed=-18119.90$ $N_c,Rd=-86725.20$ $N,Ed/N_c,Rd=0.21$
- Verifiche di duttilità [7.5.3]:
 $q_0=4.00$ $N,Ed=-18119.90$ $N_{pl},Rd=86725.20$ $N,Ed/N_{pl},Rd=0.21$ (sfrut=0.70)

- Verifica di stabilità (4.2.4.1.3.1) - CC 17 SLU
Sollecitazioni: $N=-18119.90$
 $L=2.65$
 $\lambda=45.88$ $N_{cr}=252594.00$ $\lambda'=0.60$
Curva a: $\Phi=0.72$ $\chi_{min}=0.89$ $N,Ed=-18119.90$ $N_b,Rd=77171.20$ $N,Ed/N_b,Rd=0.23$

- Verifica Spostamento relativo massimo per singola asta - CC 22
 $\delta=0.00$ (L/55057)

Asta n. 7 (7 1007) Sez. 1 Pilastro__CHS168.3x5 Crit. 1

- Verifica a compressione (4.2.4.1.2.2) - CC 5 SND $X_1=0.00$ - Classe 3
Sollecitazioni: $N=-10606.70$
Verifica a compressione [4.2.9]
 $N,Ed=-10606.70$ $N_c,Rd=-86725.20$ $N,Ed/N_c,Rd=0.12$

- Verifica a compressione (4.2.4.1.2.2) - CC 17 SLU $X_1=0.00$ - Classe 2
Sollecitazioni: $N=-19185.10$
Verifica a compressione [4.2.9]
 $N,Ed=-19185.10$ $N_c,Rd=-86725.20$ $N,Ed/N_c,Rd=0.22$
- Verifiche di duttilità [7.5.3]:
 $q_0=4.00$ $N,Ed=-19185.10$ $N_{pl},Rd=86725.20$ $N,Ed/N_{pl},Rd=0.22$ (sfrut=0.74)

- Verifica di stabilità (4.2.4.1.3.1) - CC 17 SLU
Sollecitazioni: $N=-19185.10$
 $L=2.65$
 $\lambda=45.88$ $N_{cr}=252594.00$ $\lambda'=0.60$
Curva a: $\Phi=0.72$ $\chi_{min}=0.89$ $N,Ed=-19185.10$ $N_b,Rd=77171.20$ $N,Ed/N_b,Rd=0.25$

- Verifica Spostamento relativo massimo per singola asta - CC 22
 $\delta=0.00$ (L/56187)

Asta n. 8 (8 1008) Sez. 1 Pilastro__CHS168.3x5 Crit. 1

- Verifica a compressione (4.2.4.1.2.2) - CC 1 SND $X_1=0.00$ - Classe 3
Sollecitazioni: $N=-14984.60$
Verifica a compressione [4.2.9]
 $N,Ed=-14984.60$ $N_c,Rd=-86725.20$ $N,Ed/N_c,Rd=0.17$

- Verifica a compressione (4.2.4.1.2.2) - CC 17 SLU $X_1=0.00$ - Classe 2
Sollecitazioni: $N=-21327.80$
Verifica a compressione [4.2.9]
 $N,Ed=-21327.80$ $N_c,Rd=-86725.20$ $N,Ed/N_c,Rd=0.25$

Relazione di calcolo

- Verifiche di duttilità [7.5.3]:
 $q_0=4.00$ N,Ed=-21327.80 Npl,Rd=86725.20 N,Ed/Npl,Rd=0.25 (sfrut=0.82)

- Verifica di stabilità (4.2.4.1.3.1) - CC 17 SLU
Sollecitazioni: N=-21327.80
L=2.65
 $\lambda=45.88$ Ncr=252594.00 $\lambda^*=0.60$
Curva a: $\Phi=0.72$ $\chi_{\min}=0.89$ N,Ed=-21327.80 Nb,Rd=77171.20 N,Ed/Nb,Rd=0.28

- Verifica Spostamento relativo massimo per singola asta - CC 22
 $\delta=0.00$ (L/55861)

Asta n. 9 (9 1009) Sez. 1 Pilastro__CHS168.3x5 Crit. 1

- Verifica a compressione (4.2.4.1.2.2) - CC 9 SND Xl=0.00 - Classe 3
Sollecitazioni: N=-14059.70
Verifica a compressione [4.2.9]
N,Ed=-14059.70 Nc,Rd=-86725.20 N,Ed/Nc,Rd=0.16

- Verifica a compressione (4.2.4.1.2.2) - CC 17 SLU Xl=0.00 - Classe 2
Sollecitazioni: N=-17268.40
Verifica a compressione [4.2.9]
N,Ed=-17268.40 Nc,Rd=-86725.20 N,Ed/Nc,Rd=0.20

- Verifiche di duttilità [7.5.3]:
 $q_0=4.00$ N,Ed=-17268.40 Npl,Rd=86725.20 N,Ed/Npl,Rd=0.20 (sfrut=0.66)

- Verifica di stabilità (4.2.4.1.3.1) - CC 17 SLU
Sollecitazioni: N=-17268.40
L=2.65
 $\lambda=45.88$ Ncr=252594.00 $\lambda^*=0.60$
Curva a: $\Phi=0.72$ $\chi_{\min}=0.89$ N,Ed=-17268.40 Nb,Rd=77171.20 N,Ed/Nb,Rd=0.22

- Verifica Spostamento relativo massimo per singola asta - CC 22
 $\delta=0.00$ (L/57841)

Asta n. 10 (10 1010) Sez. 1 Pilastro__CHS168.3x5 Crit. 1

- Verifica a compressione (4.2.4.1.2.2) - CC 13 SND Xl=0.00 - Classe 3
Sollecitazioni: N=-8977.97
Verifica a compressione [4.2.9]
N,Ed=-8977.97 Nc,Rd=-86725.20 N,Ed/Nc,Rd=0.10

- Verifica a compressione (4.2.4.1.2.2) - CC 17 SLU Xl=0.00 - Classe 2
Sollecitazioni: N=-11611.90
Verifica a compressione [4.2.9]
N,Ed=-11611.90 Nc,Rd=-86725.20 N,Ed/Nc,Rd=0.13

- Verifiche di duttilità [7.5.3]:
 $q_0=4.00$ N,Ed=-11611.90 Npl,Rd=86725.20 N,Ed/Npl,Rd=0.13 (sfrut=0.45)

- Verifica di stabilità (4.2.4.1.3.1) - CC 17 SLU
Sollecitazioni: N=-11611.90
L=2.65
 $\lambda=45.88$ Ncr=252594.00 $\lambda^*=0.60$
Curva a: $\Phi=0.72$ $\chi_{\min}=0.89$ N,Ed=-11611.90 Nb,Rd=77171.20 N,Ed/Nb,Rd=0.15

- Verifica Spostamento relativo massimo per singola asta - CC 22
 $\delta=0.00$ (L/57887)

Asta n. 11 (11 1011) Sez. 1 Pilastro__CHS168.3x5 Crit. 1

- Verifica a compressione (4.2.4.1.2.2) - CC 1 SND Xl=0.00 - Classe 3
Sollecitazioni: N=-8506.46
Verifica a compressione [4.2.9]
N,Ed=-8506.46 Nc,Rd=-86725.20 N,Ed/Nc,Rd=0.10

- Verifica a compressione (4.2.4.1.2.2) - CC 17 SLU Xl=0.00 - Classe 2
Sollecitazioni: N=-13078.60
Verifica a compressione [4.2.9]
N,Ed=-13078.60 Nc,Rd=-86725.20 N,Ed/Nc,Rd=0.15

- Verifiche di duttilità [7.5.3]:
 $q_0=4.00$ N,Ed=-13078.60 Npl,Rd=86725.20 N,Ed/Npl,Rd=0.15 (sfrut=0.50)

- Verifica di stabilità (4.2.4.1.3.1) - CC 17 SLU
Sollecitazioni: N=-13078.60
L=2.65
 $\lambda=45.88$ Ncr=252594.00 $\lambda^*=0.60$

Relazione di calcolo

Curva a: $\Phi=0.72$ $\chi_{\min}=0.89$ $N,Ed=-13078.60$ $Nb,Rd=77171.20$ $N,Ed/Nb,Rd=0.17$

- Verifica Spostamento relativo massimo per singola asta - CC 22
 $\delta=0.00$ (L/55477)

Asta n. 12 (12 1012) Sez. 1 Pilastro__CHS168.3x5 Crit. 1

- Verifica a compressione (4.2.4.1.2.2) - CC 9 SND $Xl=0.00$ - Classe 3
Sollecitazioni: $N=-7984.60$
Verifica a compressione [4.2.9]
 $N,Ed=-7984.60$ $Nc,Rd=-86725.20$ $N,Ed/Nc,Rd=0.09$

- Verifica a compressione (4.2.4.1.2.2) - CC 17 SLU $Xl=0.00$ - Classe 2
Sollecitazioni: $N=-13373.50$
Verifica a compressione [4.2.9]
 $N,Ed=-13373.50$ $Nc,Rd=-86725.20$ $N,Ed/Nc,Rd=0.15$

- Verifiche di duttilità [7.5.3]:
 $q_0=4.00$ $N,Ed=-13373.50$ $Npl,Rd=86725.20$ $N,Ed/Npl,Rd=0.15$ (sfrut=0.51)

- Verifica di stabilità (4.2.4.1.3.1) - CC 17 SLU
Sollecitazioni: $N=-13373.50$
 $L=2.65$
 $\lambda=45.88$ $Ncr=252594.00$ $\lambda'=0.60$
Curva a: $\Phi=0.72$ $\chi_{\min}=0.89$ $N,Ed=-13373.50$ $Nb,Rd=77171.20$ $N,Ed/Nb,Rd=0.17$

- Verifica Spostamento relativo massimo per singola asta - CC 22
 $\delta=0.00$ (L/55191)

Asta n. 13 (13 1013) Sez. 1 Pilastro__CHS168.3x5 Crit. 1

- Verifica a compressione (4.2.4.1.2.2) - CC 1 SND $Xl=0.00$ - Classe 3
Sollecitazioni: $N=-10820.20$
Verifica a compressione [4.2.9]
 $N,Ed=-10820.20$ $Nc,Rd=-86725.20$ $N,Ed/Nc,Rd=0.12$

- Verifica a compressione (4.2.4.1.2.2) - CC 17 SLU $Xl=0.00$ - Classe 2
Sollecitazioni: $N=-11137.20$
Verifica a compressione [4.2.9]
 $N,Ed=-11137.20$ $Nc,Rd=-86725.20$ $N,Ed/Nc,Rd=0.13$

- Verifiche di duttilità [7.5.3]:
 $q_0=4.00$ $N,Ed=-11137.20$ $Npl,Rd=86725.20$ $N,Ed/Npl,Rd=0.13$ (sfrut=0.43)

- Verifica di stabilità (4.2.4.1.3.1) - CC 17 SLU
Sollecitazioni: $N=-11137.20$
 $L=2.65$
 $\lambda=45.88$ $Ncr=252594.00$ $\lambda'=0.60$
Curva a: $\Phi=0.72$ $\chi_{\min}=0.89$ $N,Ed=-11137.20$ $Nb,Rd=77171.20$ $N,Ed/Nb,Rd=0.14$

- Verifica Spostamento relativo massimo per singola asta - CC 22
 $\delta=0.00$ (L/54812)

Asta n. 14 (14 1014) Sez. 1 Pilastro__CHS168.3x5 Crit. 1

- Verifica a compressione (4.2.4.1.2.2) - CC 1 SND $Xl=0.00$ - Classe 3
Sollecitazioni: $N=-4334.51$
Verifica a compressione [4.2.9]
 $N,Ed=-4334.51$ $Nc,Rd=-86725.20$ $N,Ed/Nc,Rd=0.05$

- Verifica a compressione (4.2.4.1.2.2) - CC 17 SLU $Xl=0.00$ - Classe 2
Sollecitazioni: $N=-7436.26$
Verifica a compressione [4.2.9]
 $N,Ed=-7436.26$ $Nc,Rd=-86725.20$ $N,Ed/Nc,Rd=0.09$

- Verifiche di duttilità [7.5.3]:
 $q_0=4.00$ $N,Ed=-7436.26$ $Npl,Rd=86725.20$ $N,Ed/Npl,Rd=0.09$ (sfrut=0.29)

- Verifica Spostamento relativo massimo per singola asta - CC 22
 $\delta=0.00$ (L/56469)

Asta n. 15 (15 1015) Sez. 1 Pilastro__CHS168.3x5 Crit. 1

- Verifica a compressione (4.2.4.1.2.2) - CC 1 SND $Xl=0.00$ - Classe 3
Sollecitazioni: $N=-8465.50$
Verifica a compressione [4.2.9]
 $N,Ed=-8465.50$ $Nc,Rd=-86725.20$ $N,Ed/Nc,Rd=0.10$

- Verifica a compressione (4.2.4.1.2.2) - CC 17 SLU $Xl=0.00$ - Classe 2
Sollecitazioni: $N=-15035.50$

Relazione di calcolo

Verifica a compressione [4.2.9]
N,Ed=-15035.50 Nc,Rd=-86725.20 N,Ed/Nc,Rd=0.17

- Verifiche di duttilità [7.5.3]:
q₀=4.00 N,Ed=-15035.50 N_{pl},Rd=86725.20 N,Ed/N_{pl},Rd=0.17 (sfrut=0.58)

- Verifica di stabilità (4.2.4.1.3.1) - CC 17 SLU
Sollecitazioni: N=-15035.50
L=2.65
λ=45.88 Ncr=252594.00 λ*=0.60
Curva a: Φ=0.72 χ_{min}=0.89 N,Ed=-15035.50 Nb,Rd=77171.20 N,Ed/Nb,Rd=0.19

- Verifica Spostamento relativo massimo per singola asta - CC 22
δ=0.00 (L/59496)

Asta n. 16 (16 1016) Sez. 1 Pilastro__CHS168.3x5 Crit. 1

- Verifica a compressione (4.2.4.1.2.2) - CC 1 SND Xl=0.00 - Classe 3
Sollecitazioni: N=-13068.80
Verifica a compressione [4.2.9]
N,Ed=-13068.80 Nc,Rd=-86725.20 N,Ed/Nc,Rd=0.15

- Verifica a compressione (4.2.4.1.2.2) - CC 17 SLU Xl=0.00 - Classe 2
Sollecitazioni: N=-24034.70
Verifica a compressione [4.2.9]
N,Ed=-24034.70 Nc,Rd=-86725.20 N,Ed/Nc,Rd=0.28

- Verifiche di duttilità [7.5.3]:
q₀=4.00 N,Ed=-24034.70 N_{pl},Rd=86725.20 N,Ed/N_{pl},Rd=0.28 (sfrut=0.92)

- Verifica di stabilità (4.2.4.1.3.1) - CC 17 SLU
Sollecitazioni: N=-24034.70
L=2.65
λ=45.88 Ncr=252594.00 λ*=0.60
Curva a: Φ=0.72 χ_{min}=0.89 N,Ed=-24034.70 Nb,Rd=77171.20 N,Ed/Nb,Rd=0.31

- Verifica Spostamento relativo massimo per singola asta - CC 22
δ=0.00 (L/59028)

Asta n. 17 (17 1017) Sez. 1 Pilastro__CHS168.3x5 Crit. 1

- Verifica a compressione (4.2.4.1.2.2) - CC 5 SND Xl=0.00 - Classe 3
Sollecitazioni: N=-10834.70
Verifica a compressione [4.2.9]
N,Ed=-10834.70 Nc,Rd=-86725.20 N,Ed/Nc,Rd=0.12

- Verifica a compressione (4.2.4.1.2.2) - CC 17 SLU Xl=0.00 - Classe 2
Sollecitazioni: N=-19733.80
Verifica a compressione [4.2.9]
N,Ed=-19733.80 Nc,Rd=-86725.20 N,Ed/Nc,Rd=0.23

- Verifiche di duttilità [7.5.3]:
q₀=4.00 N,Ed=-19733.80 N_{pl},Rd=86725.20 N,Ed/N_{pl},Rd=0.23 (sfrut=0.76)

- Verifica di stabilità (4.2.4.1.3.1) - CC 17 SLU
Sollecitazioni: N=-19733.80
L=2.65
λ=45.88 Ncr=252594.00 λ*=0.60
Curva a: Φ=0.72 χ_{min}=0.89 N,Ed=-19733.80 Nb,Rd=77171.20 N,Ed/Nb,Rd=0.26

- Verifica Spostamento relativo massimo per singola asta - CC 22
δ=0.00 (L/59271)

Asta n. 18 (18 1018) Sez. 1 Pilastro__CHS168.3x5 Crit. 1

- Verifica a compressione (4.2.4.1.2.2) - CC 1 SND Xl=0.00 - Classe 3
Sollecitazioni: N=-13068.80
Verifica a compressione [4.2.9]
N,Ed=-13068.80 Nc,Rd=-86725.20 N,Ed/Nc,Rd=0.15

- Verifica a compressione (4.2.4.1.2.2) - CC 17 SLU Xl=0.00 - Classe 2
Sollecitazioni: N=-24034.70
Verifica a compressione [4.2.9]
N,Ed=-24034.70 Nc,Rd=-86725.20 N,Ed/Nc,Rd=0.28

- Verifiche di duttilità [7.5.3]:
q₀=4.00 N,Ed=-24034.70 N_{pl},Rd=86725.20 N,Ed/N_{pl},Rd=0.28 (sfrut=0.92)

- Verifica di stabilità (4.2.4.1.3.1) - CC 17 SLU
Sollecitazioni: N=-24034.70

Relazione di calcolo

L=2.65
 $\lambda=45.88$ Ncr=252594.00 $\lambda^*=0.60$
Curva a: $\Phi=0.72$ $\chi_{\min}=0.89$ N,Ed=-24034.70 Nb,Rd=77171.20 N,Ed/Nb,Rd=0.31

- Verifica Spostamento relativo massimo per singola asta - CC 22
 $\delta=0.00$ (L/60053)

Asta n. 19 (19 1019) Sez. 1 Pilastro__CHS168.3x5 Crit. 1

- Verifica a compressione (4.2.4.1.2.2) - CC 1 SND Xl=0.00 - Classe 3
Sollecitazioni: N=-10231.20
Verifica a compressione [4.2.9]
N,Ed=-10231.20 Nc,Rd=-86725.20 N,Ed/Nc,Rd=0.12

- Verifica a compressione (4.2.4.1.2.2) - CC 17 SLU Xl=0.00 - Classe 2
Sollecitazioni: N=-18738.40
Verifica a compressione [4.2.9]
N,Ed=-18738.40 Nc,Rd=-86725.20 N,Ed/Nc,Rd=0.22

- Verifiche di duttilità [7.5.3]:
 $q_0=4.00$ N,Ed=-18738.40 Npl,Rd=86725.20 N,Ed/Npl,Rd=0.22 (sfrut=0.72)

- Verifica di stabilità (4.2.4.1.3.1) - CC 17 SLU
Sollecitazioni: N=-18738.40
L=2.65
 $\lambda=45.88$ Ncr=252594.00 $\lambda^*=0.60$
Curva a: $\Phi=0.72$ $\chi_{\min}=0.89$ N,Ed=-18738.40 Nb,Rd=77171.20 N,Ed/Nb,Rd=0.24

- Verifica Spostamento relativo massimo per singola asta - CC 22
 $\delta=0.00$ (L/61688)

Asta n. 20 (20 1020) Sez. 1 Pilastro__CHS168.3x5 Crit. 1

- Verifica a compressione (4.2.4.1.2.2) - CC 13 SND Xl=0.00 - Classe 3
Sollecitazioni: N=-8389.61
Verifica a compressione [4.2.9]
N,Ed=-8389.61 Nc,Rd=-86725.20 N,Ed/Nc,Rd=0.10

- Verifica a compressione (4.2.4.1.2.2) - CC 17 SLU Xl=0.00 - Classe 2
Sollecitazioni: N=-15125.80
Verifica a compressione [4.2.9]
N,Ed=-15125.80 Nc,Rd=-86725.20 N,Ed/Nc,Rd=0.17

- Verifiche di duttilità [7.5.3]:
 $q_0=4.00$ N,Ed=-15125.80 Npl,Rd=86725.20 N,Ed/Npl,Rd=0.17 (sfrut=0.58)

- Verifica di stabilità (4.2.4.1.3.1) - CC 17 SLU
Sollecitazioni: N=-15125.80
L=2.65
 $\lambda=45.88$ Ncr=252594.00 $\lambda^*=0.60$
Curva a: $\Phi=0.72$ $\chi_{\min}=0.89$ N,Ed=-15125.80 Nb,Rd=77171.20 N,Ed/Nb,Rd=0.20

- Verifica Spostamento relativo massimo per singola asta - CC 22
 $\delta=0.00$ (L/61749)

Asta n. 21 (21 1021) Sez. 1 Pilastro__CHS168.3x5 Crit. 1

- Verifica a compressione (4.2.4.1.2.2) - CC 1 SND Xl=0.00 - Classe 3
Sollecitazioni: N=-13068.80
Verifica a compressione [4.2.9]
N,Ed=-13068.80 Nc,Rd=-86725.20 N,Ed/Nc,Rd=0.15

- Verifica a compressione (4.2.4.1.2.2) - CC 17 SLU Xl=0.00 - Classe 2
Sollecitazioni: N=-24034.70
Verifica a compressione [4.2.9]
N,Ed=-24034.70 Nc,Rd=-86725.20 N,Ed/Nc,Rd=0.28

- Verifiche di duttilità [7.5.3]:
 $q_0=4.00$ N,Ed=-24034.70 Npl,Rd=86725.20 N,Ed/Npl,Rd=0.28 (sfrut=0.92)

- Verifica di stabilità (4.2.4.1.3.1) - CC 17 SLU
Sollecitazioni: N=-24034.70
L=2.65
 $\lambda=45.88$ Ncr=252594.00 $\lambda^*=0.60$
Curva a: $\Phi=0.72$ $\chi_{\min}=0.89$ N,Ed=-24034.70 Nb,Rd=77171.20 N,Ed/Nb,Rd=0.31

- Verifica Spostamento relativo massimo per singola asta - CC 22
 $\delta=0.00$ (L/57811)

Asta n. 22 (22 1022) Sez. 1 Pilastro__CHS168.3x5 Crit. 1

Relazione di calcolo

- Verifica a compressione (4.2.4.1.2.2) - CC 9 SND $X_l=0.00$ - Classe 3
Sollecitazioni: $N=-14746.60$
Verifica a compressione [4.2.9]
 $N,Ed=-14746.60$ $N_c,Rd=-86725.20$ $N,Ed/N_c,Rd=0.17$

- Verifica a compressione (4.2.4.1.2.2) - CC 17 SLU $X_l=0.00$ - Classe 2
Sollecitazioni: $N=-21141.30$
Verifica a compressione [4.2.9]
 $N,Ed=-21141.30$ $N_c,Rd=-86725.20$ $N,Ed/N_c,Rd=0.24$

- Verifiche di duttilità [7.5.3]:
 $q_0=4.00$ $N,Ed=-21141.30$ $N_{pl},Rd=86725.20$ $N,Ed/N_{pl},Rd=0.24$ (sfrut=0.81)

- Verifica di stabilità (4.2.4.1.3.1) - CC 17 SLU
Sollecitazioni: $N=-21141.30$
 $L=2.65$
 $\lambda=45.88$ $N_{cr}=252594.00$ $\lambda^*=0.60$
Curva a: $\Phi=0.72$ $\chi_{min}=0.89$ $N,Ed=-21141.30$ $N_b,Rd=77171.20$ $N,Ed/N_b,Rd=0.27$

- Verifica Spostamento relativo massimo per singola asta - CC 22
 $\delta=0.00$ (L/57366)

Asta n. 23 (23 1023) Sez. 1 Pilastro__CHS168.3x5 Crit. 1

- Verifica a compressione (4.2.4.1.2.2) - CC 13 SND $X_l=0.00$ - Classe 3
Sollecitazioni: $N=-13218.50$
Verifica a compressione [4.2.9]
 $N,Ed=-13218.50$ $N_c,Rd=-86725.20$ $N,Ed/N_c,Rd=0.15$

- Verifica a compressione (4.2.4.1.2.2) - CC 17 SLU $X_l=0.00$ - Classe 2
Sollecitazioni: $N=-19506.60$
Verifica a compressione [4.2.9]
 $N,Ed=-19506.60$ $N_c,Rd=-86725.20$ $N,Ed/N_c,Rd=0.22$

- Verifiche di duttilità [7.5.3]:
 $q_0=4.00$ $N,Ed=-19506.60$ $N_{pl},Rd=86725.20$ $N,Ed/N_{pl},Rd=0.22$ (sfrut=0.75)

- Verifica di stabilità (4.2.4.1.3.1) - CC 17 SLU
Sollecitazioni: $N=-19506.60$
 $L=2.65$
 $\lambda=45.88$ $N_{cr}=252594.00$ $\lambda^*=0.60$
Curva a: $\Phi=0.72$ $\chi_{min}=0.89$ $N,Ed=-19506.60$ $N_b,Rd=77171.20$ $N,Ed/N_b,Rd=0.25$

- Verifica Spostamento relativo massimo per singola asta - CC 22
 $\delta=0.00$ (L/57102)

Asta n. 24 (24 1024) Sez. 1 Pilastro__CHS168.3x5 Crit. 1

- Verifica a compressione (4.2.4.1.2.2) - CC 1 SND $X_l=0.00$ - Classe 3
Sollecitazioni: $N=-10327.90$
Verifica a compressione [4.2.9]
 $N,Ed=-10327.90$ $N_c,Rd=-86725.20$ $N,Ed/N_c,Rd=0.12$

- Verifica a compressione (4.2.4.1.2.2) - CC 17 SLU $X_l=0.00$ - Classe 2
Sollecitazioni: $N=-12581.70$
Verifica a compressione [4.2.9]
 $N,Ed=-12581.70$ $N_c,Rd=-86725.20$ $N,Ed/N_c,Rd=0.15$

- Verifiche di duttilità [7.5.3]:
 $q_0=4.00$ $N,Ed=-12581.70$ $N_{pl},Rd=86725.20$ $N,Ed/N_{pl},Rd=0.15$ (sfrut=0.48)

- Verifica di stabilità (4.2.4.1.3.1) - CC 17 SLU
Sollecitazioni: $N=-12581.70$
 $L=2.65$
 $\lambda=45.88$ $N_{cr}=252594.00$ $\lambda^*=0.60$
Curva a: $\Phi=0.72$ $\chi_{min}=0.89$ $N,Ed=-12581.70$ $N_b,Rd=77171.20$ $N,Ed/N_b,Rd=0.16$

- Verifica Spostamento relativo massimo per singola asta - CC 22
 $\delta=0.00$ (L/56427)

Asta n. 25 (25 1025) Sez. 1 Pilastro__CHS168.3x5 Crit. 1

- Verifica a compressione (4.2.4.1.2.2) - CC 1 SND $X_l=0.00$ - Classe 3
Sollecitazioni: $N=-8465.50$
Verifica a compressione [4.2.9]
 $N,Ed=-8465.50$ $N_c,Rd=-86725.20$ $N,Ed/N_c,Rd=0.10$

- Verifica a compressione (4.2.4.1.2.2) - CC 17 SLU $X_l=0.00$ - Classe 2
Sollecitazioni: $N=-15035.50$

Relazione di calcolo

Verifica a compressione [4.2.9]
N,Ed=-15035.50 Nc,Rd=-86725.20 N,Ed/Nc,Rd=0.17

- Verifiche di duttilità [7.5.3]:
q₀=4.00 N,Ed=-15035.50 N_{pl},Rd=86725.20 N,Ed/N_{pl},Rd=0.17 (sfrut=0.58)

- Verifica di stabilità (4.2.4.1.3.1) - CC 17 SLU
Sollecitazioni: N=-15035.50
L=2.65
λ=45.88 Ncr=252594.00 λ*=0.60
Curva a: Φ=0.72 χ_{min}=0.89 N,Ed=-15035.50 Nb,Rd=77171.20 N,Ed/Nb,Rd=0.19

- Verifica Spostamento relativo massimo per singola asta - CC 22
δ=0.00 (L/61856)

Asta n. 26 (26 1026) Sez. 1 Pilastro__CHS168.3x5 Crit. 1

- Verifica a compressione (4.2.4.1.2.2) - CC 9 SND Xl=0.00 - Classe 3
Sollecitazioni: N=-14965.90
Verifica a compressione [4.2.9]
N,Ed=-14965.90 Nc,Rd=-86725.20 N,Ed/Nc,Rd=0.17

- Verifica a compressione (4.2.4.1.2.2) - CC 17 SLU Xl=0.00 - Classe 2
Sollecitazioni: N=-21844.00
Verifica a compressione [4.2.9]
N,Ed=-21844.00 Nc,Rd=-86725.20 N,Ed/Nc,Rd=0.25

- Verifiche di duttilità [7.5.3]:
q₀=4.00 N,Ed=-21844.00 N_{pl},Rd=86725.20 N,Ed/N_{pl},Rd=0.25 (sfrut=0.84)

- Verifica di stabilità (4.2.4.1.3.1) - CC 17 SLU
Sollecitazioni: N=-21844.00
L=2.65
λ=45.88 Ncr=252594.00 λ*=0.60
Curva a: Φ=0.72 χ_{min}=0.89 N,Ed=-21844.00 Nb,Rd=77171.20 N,Ed/Nb,Rd=0.28

- Verifica Spostamento relativo massimo per singola asta - CC 22
δ=0.00 (L/62254)

Asta n. 27 (27 1027) Sez. 1 Pilastro__CHS168.3x5 Crit. 1

- Verifica a compressione (4.2.4.1.2.2) - CC 5 SND Xl=0.00 - Classe 3
Sollecitazioni: N=-10590.30
Verifica a compressione [4.2.9]
N,Ed=-10590.30 Nc,Rd=-86725.20 N,Ed/Nc,Rd=0.12

- Verifica a compressione (4.2.4.1.2.2) - CC 17 SLU Xl=0.00 - Classe 2
Sollecitazioni: N=-19389.00
Verifica a compressione [4.2.9]
N,Ed=-19389.00 Nc,Rd=-86725.20 N,Ed/Nc,Rd=0.22

- Verifiche di duttilità [7.5.3]:
q₀=4.00 N,Ed=-19389.00 N_{pl},Rd=86725.20 N,Ed/N_{pl},Rd=0.22 (sfrut=0.75)

- Verifica di stabilità (4.2.4.1.3.1) - CC 17 SLU
Sollecitazioni: N=-19389.00
L=2.65
λ=45.88 Ncr=252594.00 λ*=0.60
Curva a: Φ=0.72 χ_{min}=0.89 N,Ed=-19389.00 Nb,Rd=77171.20 N,Ed/Nb,Rd=0.25

- Verifica Spostamento relativo massimo per singola asta - CC 22
δ=0.00 (L/62611)

Asta n. 28 (28 1028) Sez. 1 Pilastro__CHS168.3x5 Crit. 1

- Verifica a compressione (4.2.4.1.2.2) - CC 1 SND Xl=0.00 - Classe 3
Sollecitazioni: N=-14878.80
Verifica a compressione [4.2.9]
N,Ed=-14878.80 Nc,Rd=-86725.20 N,Ed/Nc,Rd=0.17

- Verifica a compressione (4.2.4.1.2.2) - CC 17 SLU Xl=0.00 - Classe 2
Sollecitazioni: N=-21661.70
Verifica a compressione [4.2.9]
N,Ed=-21661.70 Nc,Rd=-86725.20 N,Ed/Nc,Rd=0.25

- Verifiche di duttilità [7.5.3]:
q₀=4.00 N,Ed=-21661.70 N_{pl},Rd=86725.20 N,Ed/N_{pl},Rd=0.25 (sfrut=0.83)

- Verifica di stabilità (4.2.4.1.3.1) - CC 17 SLU
Sollecitazioni: N=-21661.70

Relazione di calcolo

L=2.65
 $\lambda=45.88$ Ncr=252594.00 $\lambda^*=0.60$
Curva a: $\Phi=0.72$ $\chi_{\min}=0.89$ N,Ed=-21661.70 Nb,Rd=77171.20 N,Ed/Nb,Rd=0.28

- Verifica Spostamento relativo massimo per singola asta - CC 22
 $\delta=0.00$ (L/63460)

Asta n. 29 (29 1029) Sez. 1 Pilastro__CHS168.3x5 Crit. 1

- Verifica a compressione (4.2.4.1.2.2) - CC 9 SND Xl=0.00 - Classe 3
Sollecitazioni: N=-12631.40
Verifica a compressione [4.2.9]
N,Ed=-12631.40 Nc,Rd=-86725.20 N,Ed/Nc,Rd=0.15

- Verifica a compressione (4.2.4.1.2.2) - CC 17 SLU Xl=0.00 - Classe 2
Sollecitazioni: N=-17368.40
Verifica a compressione [4.2.9]
N,Ed=-17368.40 Nc,Rd=-86725.20 N,Ed/Nc,Rd=0.20

- Verifiche di duttilità [7.5.3]:
 $q_0=4.00$ N,Ed=-17368.40 Npl,Rd=86725.20 N,Ed/Npl,Rd=0.20 (sfrut=0.67)

- Verifica di stabilità (4.2.4.1.3.1) - CC 17 SLU
Sollecitazioni: N=-17368.40
L=2.65
 $\lambda=45.88$ Ncr=252594.00 $\lambda^*=0.60$
Curva a: $\Phi=0.72$ $\chi_{\min}=0.89$ N,Ed=-17368.40 Nb,Rd=77171.20 N,Ed/Nb,Rd=0.23

- Verifica Spostamento relativo massimo per singola asta - CC 22
 $\delta=0.00$ (L/64551)

Asta n. 30 (30 1030) Sez. 1 Pilastro__CHS168.3x5 Crit. 1

- Verifica a compressione (4.2.4.1.2.2) - CC 9 SND Xl=0.00 - Classe 3
Sollecitazioni: N=-8246.57
Verifica a compressione [4.2.9]
N,Ed=-8246.57 Nc,Rd=-86725.20 N,Ed/Nc,Rd=0.10

- Verifica a compressione (4.2.4.1.2.2) - CC 17 SLU Xl=0.00 - Classe 2
Sollecitazioni: N=-14939.70
Verifica a compressione [4.2.9]
N,Ed=-14939.70 Nc,Rd=-86725.20 N,Ed/Nc,Rd=0.17

- Verifiche di duttilità [7.5.3]:
 $q_0=4.00$ N,Ed=-14939.70 Npl,Rd=86725.20 N,Ed/Npl,Rd=0.17 (sfrut=0.57)

- Verifica di stabilità (4.2.4.1.3.1) - CC 17 SLU
Sollecitazioni: N=-14939.70
L=2.65
 $\lambda=45.88$ Ncr=252594.00 $\lambda^*=0.60$
Curva a: $\Phi=0.72$ $\chi_{\min}=0.89$ N,Ed=-14939.70 Nb,Rd=77171.20 N,Ed/Nb,Rd=0.19

- Verifica Spostamento relativo massimo per singola asta - CC 22
 $\delta=0.00$ (L/64621)

Asta n. 31 (31 1031) Sez. 1 Pilastro__CHS168.3x5 Crit. 1

- Verifica a compressione (4.2.4.1.2.2) - CC 1 SND Xl=0.00 - Classe 3
Sollecitazioni: N=-14758.40
Verifica a compressione [4.2.9]
N,Ed=-14758.40 Nc,Rd=-86725.20 N,Ed/Nc,Rd=0.17

- Verifica a compressione (4.2.4.1.2.2) - CC 17 SLU Xl=0.00 - Classe 2
Sollecitazioni: N=-21327.50
Verifica a compressione [4.2.9]
N,Ed=-21327.50 Nc,Rd=-86725.20 N,Ed/Nc,Rd=0.25

- Verifiche di duttilità [7.5.3]:
 $q_0=4.00$ N,Ed=-21327.50 Npl,Rd=86725.20 N,Ed/Npl,Rd=0.25 (sfrut=0.82)

- Verifica di stabilità (4.2.4.1.3.1) - CC 17 SLU
Sollecitazioni: N=-21327.50
L=2.65
 $\lambda=45.88$ Ncr=252594.00 $\lambda^*=0.60$
Curva a: $\Phi=0.72$ $\chi_{\min}=0.89$ N,Ed=-21327.50 Nb,Rd=77171.20 N,Ed/Nb,Rd=0.28

- Verifica Spostamento relativo massimo per singola asta - CC 22
 $\delta=0.00$ (L/60350)

Asta n. 32 (32 1032) Sez. 1 Pilastro__CHS168.3x5 Crit. 1

Relazione di calcolo

- Verifica a compressione (4.2.4.1.2.2) - CC 9 SND $X_l=0.00$ - Classe 3
Sollecitazioni: $N=-14566.90$
Verifica a compressione [4.2.9]
 $N,Ed=-14566.90$ $N_c,Rd=-86725.20$ $N,Ed/N_c,Rd=0.17$

- Verifica a compressione (4.2.4.1.2.2) - CC 17 SLU $X_l=0.00$ - Classe 2
Sollecitazioni: $N=-21069.20$
Verifica a compressione [4.2.9]
 $N,Ed=-21069.20$ $N_c,Rd=-86725.20$ $N,Ed/N_c,Rd=0.24$

- Verifiche di duttilità [7.5.3]:
 $q_0=4.00$ $N,Ed=-21069.20$ $N_{pl},Rd=86725.20$ $N,Ed/N_{pl},Rd=0.24$ (sfrut=0.81)

- Verifica di stabilità (4.2.4.1.3.1) - CC 17 SLU
Sollecitazioni: $N=-21069.20$
 $L=2.65$
 $\lambda=45.88$ $N_{cr}=252594.00$ $\lambda^*=0.60$
Curva a: $\Phi=0.72$ $\chi_{min}=0.89$ $N,Ed=-21069.20$ $N_b,Rd=77171.20$ $N,Ed/N_b,Rd=0.27$

- Verifica Spostamento relativo massimo per singola asta - CC 22
 $\delta=0.00$ (L/60053)

Asta n. 33 (33 1033) Sez. 1 Pilastro__CHS168.3x5 Crit. 1

- Verifica a compressione (4.2.4.1.2.2) - CC 13 SND $X_l=0.00$ - Classe 3
Sollecitazioni: $N=-10619.80$
Verifica a compressione [4.2.9]
 $N,Ed=-10619.80$ $N_c,Rd=-86725.20$ $N,Ed/N_c,Rd=0.12$

- Verifica a compressione (4.2.4.1.2.2) - CC 17 SLU $X_l=0.00$ - Classe 2
Sollecitazioni: $N=-19271.00$
Verifica a compressione [4.2.9]
 $N,Ed=-19271.00$ $N_c,Rd=-86725.20$ $N,Ed/N_c,Rd=0.22$

- Verifiche di duttilità [7.5.3]:
 $q_0=4.00$ $N,Ed=-19271.00$ $N_{pl},Rd=86725.20$ $N,Ed/N_{pl},Rd=0.22$ (sfrut=0.74)

- Verifica di stabilità (4.2.4.1.3.1) - CC 17 SLU
Sollecitazioni: $N=-19271.00$
 $L=2.65$
 $\lambda=45.88$ $N_{cr}=252594.00$ $\lambda^*=0.60$
Curva a: $\Phi=0.72$ $\chi_{min}=0.89$ $N,Ed=-19271.00$ $N_b,Rd=77171.20$ $N,Ed/N_b,Rd=0.25$

- Verifica Spostamento relativo massimo per singola asta - CC 22
 $\delta=0.00$ (L/59513)

Asta n. 34 (34 1034) Sez. 1 Pilastro__CHS168.3x5 Crit. 1

- Verifica a compressione (4.2.4.1.2.2) - CC 1 SND $X_l=0.00$ - Classe 3
Sollecitazioni: $N=-10155.90$
Verifica a compressione [4.2.9]
 $N,Ed=-10155.90$ $N_c,Rd=-86725.20$ $N,Ed/N_c,Rd=0.12$

- Verifica a compressione (4.2.4.1.2.2) - CC 17 SLU $X_l=0.00$ - Classe 2
Sollecitazioni: $N=-12517.80$
Verifica a compressione [4.2.9]
 $N,Ed=-12517.80$ $N_c,Rd=-86725.20$ $N,Ed/N_c,Rd=0.14$

- Verifiche di duttilità [7.5.3]:
 $q_0=4.00$ $N,Ed=-12517.80$ $N_{pl},Rd=86725.20$ $N,Ed/N_{pl},Rd=0.14$ (sfrut=0.48)

- Verifica di stabilità (4.2.4.1.3.1) - CC 17 SLU
Sollecitazioni: $N=-12517.80$
 $L=2.65$
 $\lambda=45.88$ $N_{cr}=252594.00$ $\lambda^*=0.60$
Curva a: $\Phi=0.72$ $\chi_{min}=0.89$ $N,Ed=-12517.80$ $N_b,Rd=77171.20$ $N,Ed/N_b,Rd=0.16$

- Verifica Spostamento relativo massimo per singola asta - CC 22
 $\delta=0.00$ (L/61582)

Asta n. 35 (35 1035) Sez. 1 Pilastro__CHS168.3x5 Crit. 1

- Verifica a compressione (4.2.4.1.2.2) - CC 1 SND $X_l=0.00$ - Classe 3
Sollecitazioni: $N=-8465.50$
Verifica a compressione [4.2.9]
 $N,Ed=-8465.50$ $N_c,Rd=-86725.20$ $N,Ed/N_c,Rd=0.10$

- Verifica a compressione (4.2.4.1.2.2) - CC 17 SLU $X_l=0.00$ - Classe 2
Sollecitazioni: $N=-15035.50$

Relazione di calcolo

Verifica a compressione [4.2.9]
N,Ed=-15035.50 Nc,Rd=-86725.20 N,Ed/Nc,Rd=0.17

- Verifiche di duttilità [7.5.3]:
q₀=4.00 N,Ed=-15035.50 N_{pl},Rd=86725.20 N,Ed/N_{pl},Rd=0.17 (sfrut=0.58)

- Verifica di stabilità (4.2.4.1.3.1) - CC 17 SLU
Sollecitazioni: N=-15035.50
L=2.65
λ=45.88 Ncr=252594.00 λ*=0.60
Curva a: Φ=0.72 χ_{min}=0.89 N,Ed=-15035.50 Nb,Rd=77171.20 N,Ed/Nb,Rd=0.19

- Verifica Spostamento relativo massimo per singola asta - CC 22
δ=0.00 (L/64604)

Asta n. 36 (36 1036) Sez. 1 Pilastro__CHS168.3x5 Crit. 1

- Verifica a compressione (4.2.4.1.2.2) - CC 1 SND Xl=0.00 - Classe 3
Sollecitazioni: N=-13068.80
Verifica a compressione [4.2.9]
N,Ed=-13068.80 Nc,Rd=-86725.20 N,Ed/Nc,Rd=0.15

- Verifica a compressione (4.2.4.1.2.2) - CC 17 SLU Xl=0.00 - Classe 2
Sollecitazioni: N=-24034.70
Verifica a compressione [4.2.9]
N,Ed=-24034.70 Nc,Rd=-86725.20 N,Ed/Nc,Rd=0.28

- Verifiche di duttilità [7.5.3]:
q₀=4.00 N,Ed=-24034.70 N_{pl},Rd=86725.20 N,Ed/N_{pl},Rd=0.28 (sfrut=0.92)

- Verifica di stabilità (4.2.4.1.3.1) - CC 17 SLU
Sollecitazioni: N=-24034.70
L=2.65
λ=45.88 Ncr=252594.00 λ*=0.60
Curva a: Φ=0.72 χ_{min}=0.89 N,Ed=-24034.70 Nb,Rd=77171.20 N,Ed/Nb,Rd=0.31

- Verifica Spostamento relativo massimo per singola asta - CC 22
δ=0.00 (L/65843)

Asta n. 37 (37 1037) Sez. 1 Pilastro__CHS168.3x5 Crit. 1

- Verifica a compressione (4.2.4.1.2.2) - CC 13 SND Xl=0.00 - Classe 3
Sollecitazioni: N=-10806.80
Verifica a compressione [4.2.9]
N,Ed=-10806.80 Nc,Rd=-86725.20 N,Ed/Nc,Rd=0.12

- Verifica a compressione (4.2.4.1.2.2) - CC 17 SLU Xl=0.00 - Classe 2
Sollecitazioni: N=-19814.20
Verifica a compressione [4.2.9]
N,Ed=-19814.20 Nc,Rd=-86725.20 N,Ed/Nc,Rd=0.23

- Verifiche di duttilità [7.5.3]:
q₀=4.00 N,Ed=-19814.20 N_{pl},Rd=86725.20 N,Ed/N_{pl},Rd=0.23 (sfrut=0.76)

- Verifica di stabilità (4.2.4.1.3.1) - CC 17 SLU
Sollecitazioni: N=-19814.20
L=2.65
λ=45.88 Ncr=252594.00 λ*=0.60
Curva a: Φ=0.72 χ_{min}=0.89 N,Ed=-19814.20 Nb,Rd=77171.20 N,Ed/Nb,Rd=0.26

- Verifica Spostamento relativo massimo per singola asta - CC 22
δ=0.00 (L/66473)

Asta n. 38 (38 1038) Sez. 1 Pilastro__CHS168.3x5 Crit. 1

- Verifica a compressione (4.2.4.1.2.2) - CC 1 SND Xl=0.00 - Classe 3
Sollecitazioni: N=-13068.80
Verifica a compressione [4.2.9]
N,Ed=-13068.80 Nc,Rd=-86725.20 N,Ed/Nc,Rd=0.15

- Verifica a compressione (4.2.4.1.2.2) - CC 17 SLU Xl=0.00 - Classe 2
Sollecitazioni: N=-24034.70
Verifica a compressione [4.2.9]
N,Ed=-24034.70 Nc,Rd=-86725.20 N,Ed/Nc,Rd=0.28

- Verifiche di duttilità [7.5.3]:
q₀=4.00 N,Ed=-24034.70 N_{pl},Rd=86725.20 N,Ed/N_{pl},Rd=0.28 (sfrut=0.92)

- Verifica di stabilità (4.2.4.1.3.1) - CC 17 SLU
Sollecitazioni: N=-24034.70

Relazione di calcolo

L=2.65
 $\lambda=45.88$ Ncr=252594.00 $\lambda^*=0.60$
Curva a: $\Phi=0.72$ $\chi_{\min}=0.89$ N,Ed=-24034.70 Nb,Rd=77171.20 N,Ed/Nb,Rd=0.31

- Verifica Spostamento relativo massimo per singola asta - CC 22
 $\delta=0.00$ (L/67275)

Asta n. 39 (39 1039) Sez. 1 Pilastro__CHS168.3x5 Crit. 1

- Verifica a compressione (4.2.4.1.2.2) - CC 1 SND Xl=0.00 - Classe 3
Sollecitazioni: N=-13068.80
Verifica a compressione [4.2.9]
N,Ed=-13068.80 Nc,Rd=-86725.20 N,Ed/Nc,Rd=0.15

- Verifica a compressione (4.2.4.1.2.2) - CC 17 SLU Xl=0.00 - Classe 2
Sollecitazioni: N=-24034.70
Verifica a compressione [4.2.9]
N,Ed=-24034.70 Nc,Rd=-86725.20 N,Ed/Nc,Rd=0.28

- Verifiche di duttilità [7.5.3]:
 $q_0=4.00$ N,Ed=-24034.70 Npl,Rd=86725.20 N,Ed/Npl,Rd=0.28 (sfrut=0.92)

- Verifica di stabilità (4.2.4.1.3.1) - CC 17 SLU
Sollecitazioni: N=-24034.70
L=2.65
 $\lambda=45.88$ Ncr=252594.00 $\lambda^*=0.60$
Curva a: $\Phi=0.72$ $\chi_{\min}=0.89$ N,Ed=-24034.70 Nb,Rd=77171.20 N,Ed/Nb,Rd=0.31

- Verifica Spostamento relativo massimo per singola asta - CC 22
 $\delta=0.00$ (L/67693)

Asta n. 40 (40 1040) Sez. 1 Pilastro__CHS168.3x5 Crit. 1

- Verifica a compressione (4.2.4.1.2.2) - CC 9 SND Xl=0.00 - Classe 3
Sollecitazioni: N=-10766.10
Verifica a compressione [4.2.9]
N,Ed=-10766.10 Nc,Rd=-86725.20 N,Ed/Nc,Rd=0.12

- Verifica a compressione (4.2.4.1.2.2) - CC 17 SLU Xl=0.00 - Classe 2
Sollecitazioni: N=-19711.30
Verifica a compressione [4.2.9]
N,Ed=-19711.30 Nc,Rd=-86725.20 N,Ed/Nc,Rd=0.23

- Verifiche di duttilità [7.5.3]:
 $q_0=4.00$ N,Ed=-19711.30 Npl,Rd=86725.20 N,Ed/Npl,Rd=0.23 (sfrut=0.76)

- Verifica di stabilità (4.2.4.1.3.1) - CC 17 SLU
Sollecitazioni: N=-19711.30
L=2.65
 $\lambda=45.88$ Ncr=252594.00 $\lambda^*=0.60$
Curva a: $\Phi=0.72$ $\chi_{\min}=0.89$ N,Ed=-19711.30 Nb,Rd=77171.20 N,Ed/Nb,Rd=0.26

- Verifica Spostamento relativo massimo per singola asta - CC 22
 $\delta=0.00$ (L/67773)

Asta n. 41 (41 1041) Sez. 1 Pilastro__CHS168.3x5 Crit. 1

- Verifica a compressione (4.2.4.1.2.2) - CC 1 SND Xl=0.00 - Classe 3
Sollecitazioni: N=-13068.80
Verifica a compressione [4.2.9]
N,Ed=-13068.80 Nc,Rd=-86725.20 N,Ed/Nc,Rd=0.15

- Verifica a compressione (4.2.4.1.2.2) - CC 17 SLU Xl=0.00 - Classe 2
Sollecitazioni: N=-24034.70
Verifica a compressione [4.2.9]
N,Ed=-24034.70 Nc,Rd=-86725.20 N,Ed/Nc,Rd=0.28

- Verifiche di duttilità [7.5.3]:
 $q_0=4.00$ N,Ed=-24034.70 Npl,Rd=86725.20 N,Ed/Npl,Rd=0.28 (sfrut=0.92)

- Verifica di stabilità (4.2.4.1.3.1) - CC 17 SLU
Sollecitazioni: N=-24034.70
L=2.65
 $\lambda=45.88$ Ncr=252594.00 $\lambda^*=0.60$
Curva a: $\Phi=0.72$ $\chi_{\min}=0.89$ N,Ed=-24034.70 Nb,Rd=77171.20 N,Ed/Nb,Rd=0.31

- Verifica Spostamento relativo massimo per singola asta - CC 22
 $\delta=0.00$ (L/69381)

Asta n. 42 (42 1042) Sez. 1 Pilastro__CHS168.3x5 Crit. 1

Relazione di calcolo

- Verifica a compressione (4.2.4.1.2.2) - CC 1 SND $X_l=0.00$ - Classe 3
Sollecitazioni: $N=-13068.80$
Verifica a compressione [4.2.9]
 $N,Ed=-13068.80$ $Nc,Rd=-86725.20$ $N,Ed/Nc,Rd=0.15$

- Verifica a compressione (4.2.4.1.2.2) - CC 17 SLU $X_l=0.00$ - Classe 2
Sollecitazioni: $N=-24034.70$
Verifica a compressione [4.2.9]
 $N,Ed=-24034.70$ $Nc,Rd=-86725.20$ $N,Ed/Nc,Rd=0.28$

- Verifiche di duttilità [7.5.3]:
 $q_0=4.00$ $N,Ed=-24034.70$ $N_{pl},Rd=86725.20$ $N,Ed/N_{pl},Rd=0.28$ (sfrut=0.92)

- Verifica di stabilità (4.2.4.1.3.1) - CC 17 SLU
Sollecitazioni: $N=-24034.70$
 $L=2.65$
 $\lambda=45.88$ $N_{cr}=252594.00$ $\lambda^*=0.60$
Curva a: $\Phi=0.72$ $\chi_{min}=0.89$ $N,Ed=-24034.70$ $Nb,Rd=77171.20$ $N,Ed/Nb,Rd=0.31$

- Verifica Spostamento relativo massimo per singola asta - CC 22
 $\delta=0.00$ (L/68931)

Asta n. 43 (43 1043) Sez. 1 Pilastro__CHS168.3x5 Crit. 1

- Verifica a compressione (4.2.4.1.2.2) - CC 13 SND $X_l=0.00$ - Classe 3
Sollecitazioni: $N=-10869.50$
Verifica a compressione [4.2.9]
 $N,Ed=-10869.50$ $Nc,Rd=-86725.20$ $N,Ed/Nc,Rd=0.13$

- Verifica a compressione (4.2.4.1.2.2) - CC 17 SLU $X_l=0.00$ - Classe 2
Sollecitazioni: $N=-19834.80$
Verifica a compressione [4.2.9]
 $N,Ed=-19834.80$ $Nc,Rd=-86725.20$ $N,Ed/Nc,Rd=0.23$

- Verifiche di duttilità [7.5.3]:
 $q_0=4.00$ $N,Ed=-19834.80$ $N_{pl},Rd=86725.20$ $N,Ed/N_{pl},Rd=0.23$ (sfrut=0.76)

- Verifica di stabilità (4.2.4.1.3.1) - CC 17 SLU
Sollecitazioni: $N=-19834.80$
 $L=2.65$
 $\lambda=45.88$ $N_{cr}=252594.00$ $\lambda^*=0.60$
Curva a: $\Phi=0.72$ $\chi_{min}=0.89$ $N,Ed=-19834.80$ $Nb,Rd=77171.20$ $N,Ed/Nb,Rd=0.26$

- Verifica Spostamento relativo massimo per singola asta - CC 22
 $\delta=0.00$ (L/68119)

Asta n. 44 (44 1044) Sez. 1 Pilastro__CHS168.3x5 Crit. 1

- Verifica a compressione (4.2.4.1.2.2) - CC 1 SND $X_l=0.00$ - Classe 3
Sollecitazioni: $N=-7359.74$
Verifica a compressione [4.2.9]
 $N,Ed=-7359.74$ $Nc,Rd=-86725.20$ $N,Ed/Nc,Rd=0.08$

- Verifica a compressione (4.2.4.1.2.2) - CC 17 SLU $X_l=0.00$ - Classe 2
Sollecitazioni: $N=-12982.50$
Verifica a compressione [4.2.9]
 $N,Ed=-12982.50$ $Nc,Rd=-86725.20$ $N,Ed/Nc,Rd=0.15$

- Verifiche di duttilità [7.5.3]:
 $q_0=4.00$ $N,Ed=-12982.50$ $N_{pl},Rd=86725.20$ $N,Ed/N_{pl},Rd=0.15$ (sfrut=0.50)

- Verifica di stabilità (4.2.4.1.3.1) - CC 17 SLU
Sollecitazioni: $N=-12982.50$
 $L=2.65$
 $\lambda=45.88$ $N_{cr}=252594.00$ $\lambda^*=0.60$
Curva a: $\Phi=0.72$ $\chi_{min}=0.89$ $N,Ed=-12982.50$ $Nb,Rd=77171.20$ $N,Ed/Nb,Rd=0.17$

- Verifica Spostamento relativo massimo per singola asta - CC 22
 $\delta=0.00$ (L/67394)

Asta n. 45 (45 1045) Sez. 1 Pilastro__CHS168.3x5 Crit. 1

- Verifica a compressione (4.2.4.1.2.2) - CC 1 SND $X_l=0.00$ - Classe 3
Sollecitazioni: $N=-8465.50$
Verifica a compressione [4.2.9]
 $N,Ed=-8465.50$ $Nc,Rd=-86725.20$ $N,Ed/Nc,Rd=0.10$

- Verifica a compressione (4.2.4.1.2.2) - CC 17 SLU $X_l=0.00$ - Classe 2
Sollecitazioni: $N=-15035.50$

Relazione di calcolo

Verifica a compressione [4.2.9]
N,Ed=-15035.50 Nc,Rd=-86725.20 N,Ed/Nc,Rd=0.17

- Verifiche di duttilità [7.5.3]:
q₀=4.00 N,Ed=-15035.50 N_{pl},Rd=86725.20 N,Ed/N_{pl},Rd=0.17 (sfrut=0.58)

- Verifica di stabilità (4.2.4.1.3.1) - CC 17 SLU
Sollecitazioni: N=-15035.50
L=2.65
λ=45.88 Ncr=252594.00 λ*=0.60
Curva a: Φ=0.72 χ_{min}=0.89 N,Ed=-15035.50 Nb,Rd=77171.20 N,Ed/Nb,Rd=0.19

- Verifica Spostamento relativo massimo per singola asta - CC 22
δ=0.00 (L/67394)

Asta n. 46 (46 1046) Sez. 1 Pilastro__CHS168.3x5 Crit. 1

- Verifica a compressione (4.2.4.1.2.2) - CC 9 SND Xl=0.00 - Classe 3
Sollecitazioni: N=-14686.30
Verifica a compressione [4.2.9]
N,Ed=-14686.30 Nc,Rd=-86725.20 N,Ed/Nc,Rd=0.17

- Verifica a compressione (4.2.4.1.2.2) - CC 17 SLU Xl=0.00 - Classe 2
Sollecitazioni: N=-21813.90
Verifica a compressione [4.2.9]
N,Ed=-21813.90 Nc,Rd=-86725.20 N,Ed/Nc,Rd=0.25

- Verifiche di duttilità [7.5.3]:
q₀=4.00 N,Ed=-21813.90 N_{pl},Rd=86725.20 N,Ed/N_{pl},Rd=0.25 (sfrut=0.84)

- Verifica di stabilità (4.2.4.1.3.1) - CC 17 SLU
Sollecitazioni: N=-21813.90
L=2.65
λ=45.88 Ncr=252594.00 λ*=0.60
Curva a: Φ=0.72 χ_{min}=0.89 N,Ed=-21813.90 Nb,Rd=77171.20 N,Ed/Nb,Rd=0.28

- Verifica Spostamento relativo massimo per singola asta - CC 22
δ=0.00 (L/69856)

Asta n. 47 (47 1047) Sez. 1 Pilastro__CHS168.3x5 Crit. 1

- Verifica a compressione (4.2.4.1.2.2) - CC 13 SND Xl=0.00 - Classe 3
Sollecitazioni: N=-10593.90
Verifica a compressione [4.2.9]
N,Ed=-10593.90 Nc,Rd=-86725.20 N,Ed/Nc,Rd=0.12

- Verifica a compressione (4.2.4.1.2.2) - CC 17 SLU Xl=0.00 - Classe 2
Sollecitazioni: N=-19407.60
Verifica a compressione [4.2.9]
N,Ed=-19407.60 Nc,Rd=-86725.20 N,Ed/Nc,Rd=0.22

- Verifiche di duttilità [7.5.3]:
q₀=4.00 N,Ed=-19407.60 N_{pl},Rd=86725.20 N,Ed/N_{pl},Rd=0.22 (sfrut=0.75)

- Verifica di stabilità (4.2.4.1.3.1) - CC 17 SLU
Sollecitazioni: N=-19407.60
L=2.65
λ=45.88 Ncr=252594.00 λ*=0.60
Curva a: Φ=0.72 χ_{min}=0.89 N,Ed=-19407.60 Nb,Rd=77171.20 N,Ed/Nb,Rd=0.25

- Verifica Spostamento relativo massimo per singola asta - CC 22
δ=0.00 (L/71964)

Asta n. 48 (48 1048) Sez. 1 Pilastro__CHS168.3x5 Crit. 1

- Verifica a compressione (4.2.4.1.2.2) - CC 1 SND Xl=0.00 - Classe 3
Sollecitazioni: N=-14607.70
Verifica a compressione [4.2.9]
N,Ed=-14607.70 Nc,Rd=-86725.20 N,Ed/Nc,Rd=0.17

- Verifica a compressione (4.2.4.1.2.2) - CC 17 SLU Xl=0.00 - Classe 2
Sollecitazioni: N=-21647.80
Verifica a compressione [4.2.9]
N,Ed=-21647.80 Nc,Rd=-86725.20 N,Ed/Nc,Rd=0.25

- Verifiche di duttilità [7.5.3]:
q₀=4.00 N,Ed=-21647.80 N_{pl},Rd=86725.20 N,Ed/N_{pl},Rd=0.25 (sfrut=0.83)

- Verifica di stabilità (4.2.4.1.3.1) - CC 17 SLU
Sollecitazioni: N=-21647.80

Relazione di calcolo

L=2.65
 $\lambda=45.88$ Ncr=252594.00 $\lambda^*=0.60$
Curva a: $\Phi=0.72$ $\chi_{\min}=0.89$ N,Ed=-21647.80 Nb,Rd=77171.20 N,Ed/Nb,Rd=0.28

- Verifica Spostamento relativo massimo per singola asta - CC 22
 $\delta=0.00$ (L/71788)

Asta n. 49 (49 1049) Sez. 1 Pilastro__CHS168.3x5 Crit. 1

- Verifica a compressione (4.2.4.1.2.2) - CC 9 SND Xl=0.00 - Classe 3
Sollecitazioni: N=-14696.20
Verifica a compressione [4.2.9]
N,Ed=-14696.20 Nc,Rd=-86725.20 N,Ed/Nc,Rd=0.17

- Verifica a compressione (4.2.4.1.2.2) - CC 17 SLU Xl=0.00 - Classe 2
Sollecitazioni: N=-21827.60
Verifica a compressione [4.2.9]
N,Ed=-21827.60 Nc,Rd=-86725.20 N,Ed/Nc,Rd=0.25

- Verifiche di duttilità [7.5.3]:
 $q_0=4.00$ N,Ed=-21827.60 Npl,Rd=86725.20 N,Ed/Npl,Rd=0.25 (sfrut=0.84)

- Verifica di stabilità (4.2.4.1.3.1) - CC 17 SLU
Sollecitazioni: N=-21827.60
L=2.65
 $\lambda=45.88$ Ncr=252594.00 $\lambda^*=0.60$
Curva a: $\Phi=0.72$ $\chi_{\min}=0.89$ N,Ed=-21827.60 Nb,Rd=77171.20 N,Ed/Nb,Rd=0.28

- Verifica Spostamento relativo massimo per singola asta - CC 22
 $\delta=0.00$ (L/73124)

Asta n. 50 (50 1050) Sez. 1 Pilastro__CHS168.3x5 Crit. 1

- Verifica a compressione (4.2.4.1.2.2) - CC 13 SND Xl=0.00 - Classe 3
Sollecitazioni: N=-10560.50
Verifica a compressione [4.2.9]
N,Ed=-10560.50 Nc,Rd=-86725.20 N,Ed/Nc,Rd=0.12

- Verifica a compressione (4.2.4.1.2.2) - CC 17 SLU Xl=0.00 - Classe 2
Sollecitazioni: N=-19344.70
Verifica a compressione [4.2.9]
N,Ed=-19344.70 Nc,Rd=-86725.20 N,Ed/Nc,Rd=0.22

- Verifiche di duttilità [7.5.3]:
 $q_0=4.00$ N,Ed=-19344.70 Npl,Rd=86725.20 N,Ed/Npl,Rd=0.22 (sfrut=0.74)

- Verifica di stabilità (4.2.4.1.3.1) - CC 17 SLU
Sollecitazioni: N=-19344.70
L=2.65
 $\lambda=45.88$ Ncr=252594.00 $\lambda^*=0.60$
Curva a: $\Phi=0.72$ $\chi_{\min}=0.89$ N,Ed=-19344.70 Nb,Rd=77171.20 N,Ed/Nb,Rd=0.25

- Verifica Spostamento relativo massimo per singola asta - CC 22
 $\delta=0.00$ (L/73124)

Asta n. 51 (51 1051) Sez. 1 Pilastro__CHS168.3x5 Crit. 1

- Verifica a compressione (4.2.4.1.2.2) - CC 1 SND Xl=0.00 - Classe 3
Sollecitazioni: N=-14603.00
Verifica a compressione [4.2.9]
N,Ed=-14603.00 Nc,Rd=-86725.20 N,Ed/Nc,Rd=0.17

- Verifica a compressione (4.2.4.1.2.2) - CC 17 SLU Xl=0.00 - Classe 2
Sollecitazioni: N=-21631.90
Verifica a compressione [4.2.9]
N,Ed=-21631.90 Nc,Rd=-86725.20 N,Ed/Nc,Rd=0.25

- Verifiche di duttilità [7.5.3]:
 $q_0=4.00$ N,Ed=-21631.90 Npl,Rd=86725.20 N,Ed/Npl,Rd=0.25 (sfrut=0.83)

- Verifica di stabilità (4.2.4.1.3.1) - CC 17 SLU
Sollecitazioni: N=-21631.90
L=2.65
 $\lambda=45.88$ Ncr=252594.00 $\lambda^*=0.60$
Curva a: $\Phi=0.72$ $\chi_{\min}=0.89$ N,Ed=-21631.90 Nb,Rd=77171.20 N,Ed/Nb,Rd=0.28

- Verifica Spostamento relativo massimo per singola asta - CC 22
 $\delta=0.00$ (L/72722)

Asta n. 52 (52 1052) Sez. 1 Pilastro__CHS168.3x5 Crit. 1

Relazione di calcolo

- Verifica a compressione (4.2.4.1.2.2) - CC 9 SND $X_l=0.00$ - Classe 3
Sollecitazioni: $N=-14293.90$
Verifica a compressione [4.2.9]
 $N,Ed=-14293.90$ $N_c,Rd=-86725.20$ $N,Ed/N_c,Rd=0.16$

- Verifica a compressione (4.2.4.1.2.2) - CC 17 SLU $X_l=0.00$ - Classe 2
Sollecitazioni: $N=-21054.30$
Verifica a compressione [4.2.9]
 $N,Ed=-21054.30$ $N_c,Rd=-86725.20$ $N,Ed/N_c,Rd=0.24$

- Verifiche di duttilità [7.5.3]:
 $q_0=4.00$ $N,Ed=-21054.30$ $N_{pl},Rd=86725.20$ $N,Ed/N_{pl},Rd=0.24$ (sfrut=0.81)

- Verifica di stabilità (4.2.4.1.3.1) - CC 17 SLU
Sollecitazioni: $N=-21054.30$
 $L=2.65$
 $\lambda=45.88$ $N_{cr}=252594.00$ $\lambda^*=0.60$
Curva a: $\Phi=0.72$ $\chi_{min}=0.89$ $N,Ed=-21054.30$ $N_b,Rd=77171.20$ $N,Ed/N_b,Rd=0.27$

- Verifica Spostamento relativo massimo per singola asta - CC 22
 $\delta=0.00$ ($L/72722$)

Asta n. 53 (53 1053) Sez. 1 Pilastro__CHS168.3x5 Crit. 1

- Verifica a compressione (4.2.4.1.2.2) - CC 13 SND $X_l=0.00$ - Classe 3
Sollecitazioni: $N=-10395.70$
Verifica a compressione [4.2.9]
 $N,Ed=-10395.70$ $N_c,Rd=-86725.20$ $N,Ed/N_c,Rd=0.12$

- Verifica a compressione (4.2.4.1.2.2) - CC 17 SLU $X_l=0.00$ - Classe 2
Sollecitazioni: $N=-19017.00$
Verifica a compressione [4.2.9]
 $N,Ed=-19017.00$ $N_c,Rd=-86725.20$ $N,Ed/N_c,Rd=0.22$

- Verifiche di duttilità [7.5.3]:
 $q_0=4.00$ $N,Ed=-19017.00$ $N_{pl},Rd=86725.20$ $N,Ed/N_{pl},Rd=0.22$ (sfrut=0.73)

- Verifica di stabilità (4.2.4.1.3.1) - CC 17 SLU
Sollecitazioni: $N=-19017.00$
 $L=2.65$
 $\lambda=45.88$ $N_{cr}=252594.00$ $\lambda^*=0.60$
Curva a: $\Phi=0.72$ $\chi_{min}=0.89$ $N,Ed=-19017.00$ $N_b,Rd=77171.20$ $N,Ed/N_b,Rd=0.25$

- Verifica Spostamento relativo massimo per singola asta - CC 22
 $\delta=0.00$ ($L/70716$)

Asta n. 54 (54 1054) Sez. 1 Pilastro__CHS168.3x5 Crit. 1

- Verifica a compressione (4.2.4.1.2.2) - CC 1 SND $X_l=0.00$ - Classe 3
Sollecitazioni: $N=-9877.60$
Verifica a compressione [4.2.9]
 $N,Ed=-9877.60$ $N_c,Rd=-86725.20$ $N,Ed/N_c,Rd=0.11$

- Verifica a compressione (4.2.4.1.2.2) - CC 17 SLU $X_l=0.00$ - Classe 2
Sollecitazioni: $N=-12490.90$
Verifica a compressione [4.2.9]
 $N,Ed=-12490.90$ $N_c,Rd=-86725.20$ $N,Ed/N_c,Rd=0.14$

- Verifiche di duttilità [7.5.3]:
 $q_0=4.00$ $N,Ed=-12490.90$ $N_{pl},Rd=86725.20$ $N,Ed/N_{pl},Rd=0.14$ (sfrut=0.48)

- Verifica di stabilità (4.2.4.1.3.1) - CC 17 SLU
Sollecitazioni: $N=-12490.90$
 $L=2.65$
 $\lambda=45.88$ $N_{cr}=252594.00$ $\lambda^*=0.60$
Curva a: $\Phi=0.72$ $\chi_{min}=0.89$ $N,Ed=-12490.90$ $N_b,Rd=77171.20$ $N,Ed/N_b,Rd=0.16$

- Verifica Spostamento relativo massimo per singola asta - CC 22
 $\delta=0.00$ ($L/67394$)

Asta n. 55 (55 1055) Sez. 1 Pilastro__CHS168.3x5 Crit. 1

- Verifica a compressione (4.2.4.1.2.2) - CC 1 SND $X_l=0.00$ - Classe 3
Sollecitazioni: $N=-8465.50$
Verifica a compressione [4.2.9]
 $N,Ed=-8465.50$ $N_c,Rd=-86725.20$ $N,Ed/N_c,Rd=0.10$

- Verifica a compressione (4.2.4.1.2.2) - CC 17 SLU $X_l=0.00$ - Classe 2
Sollecitazioni: $N=-15035.50$

Relazione di calcolo

Verifica a compressione [4.2.9]
N,Ed=-15035.50 Nc,Rd=-86725.20 N,Ed/Nc,Rd=0.17

- Verifiche di duttilità [7.5.3]:
q₀=4.00 N,Ed=-15035.50 N_{pl},Rd=86725.20 N,Ed/N_{pl},Rd=0.17 (sfrut=0.58)

- Verifica di stabilità (4.2.4.1.3.1) - CC 17 SLU
Sollecitazioni: N=-15035.50
L=2.65
λ=45.88 Ncr=252594.00 λ*=0.60
Curva a: Φ=0.72 χ_{min}=0.89 N,Ed=-15035.50 Nb,Rd=77171.20 N,Ed/Nb,Rd=0.19

- Verifica Spostamento relativo massimo per singola asta - CC 22
δ=0.00 (L/72205)

Asta n. 56 (56 1056) Sez. 1 Pilastro__CHS168.3x5 Crit. 1

- Verifica a compressione (4.2.4.1.2.2) - CC 1 SND Xl=0.00 - Classe 3
Sollecitazioni: N=-10231.20
Verifica a compressione [4.2.9]
N,Ed=-10231.20 Nc,Rd=-86725.20 N,Ed/Nc,Rd=0.12

- Verifica a compressione (4.2.4.1.2.2) - CC 17 SLU Xl=0.00 - Classe 2
Sollecitazioni: N=-18738.40
Verifica a compressione [4.2.9]
N,Ed=-18738.40 Nc,Rd=-86725.20 N,Ed/Nc,Rd=0.22

- Verifiche di duttilità [7.5.3]:
q₀=4.00 N,Ed=-18738.40 N_{pl},Rd=86725.20 N,Ed/N_{pl},Rd=0.22 (sfrut=0.72)

- Verifica di stabilità (4.2.4.1.3.1) - CC 17 SLU
Sollecitazioni: N=-18738.40
L=2.65
λ=45.88 Ncr=252594.00 λ*=0.60
Curva a: Φ=0.72 χ_{min}=0.89 N,Ed=-18738.40 Nb,Rd=77171.20 N,Ed/Nb,Rd=0.24

- Verifica Spostamento relativo massimo per singola asta - CC 22
δ=0.00 (L/74370)

Asta n. 57 (57 1057) Sez. 1 Pilastro__CHS168.3x5 Crit. 1

- Verifica a compressione (4.2.4.1.2.2) - CC 11 SND Xl=0.00 - Classe 3
Sollecitazioni: N=-8362.29
Verifica a compressione [4.2.9]
N,Ed=-8362.29 Nc,Rd=-86725.20 N,Ed/Nc,Rd=0.10

- Verifica a compressione (4.2.4.1.2.2) - CC 17 SLU Xl=0.00 - Classe 2
Sollecitazioni: N=-15262.80
Verifica a compressione [4.2.9]
N,Ed=-15262.80 Nc,Rd=-86725.20 N,Ed/Nc,Rd=0.18

- Verifiche di duttilità [7.5.3]:
q₀=4.00 N,Ed=-15262.80 N_{pl},Rd=86725.20 N,Ed/N_{pl},Rd=0.18 (sfrut=0.59)

- Verifica di stabilità (4.2.4.1.3.1) - CC 17 SLU
Sollecitazioni: N=-15262.80
L=2.65
λ=45.88 Ncr=252594.00 λ*=0.60
Curva a: Φ=0.72 χ_{min}=0.89 N,Ed=-15262.80 Nb,Rd=77171.20 N,Ed/Nb,Rd=0.20

- Verifica Spostamento relativo massimo per singola asta - CC 22
δ=0.00 (L/77178)

Asta n. 58 (58 1058) Sez. 1 Pilastro__CHS168.3x5 Crit. 1

- Verifica a compressione (4.2.4.1.2.2) - CC 1 SND Xl=0.00 - Classe 3
Sollecitazioni: N=-13068.80
Verifica a compressione [4.2.9]
N,Ed=-13068.80 Nc,Rd=-86725.20 N,Ed/Nc,Rd=0.15

- Verifica a compressione (4.2.4.1.2.2) - CC 17 SLU Xl=0.00 - Classe 2
Sollecitazioni: N=-24034.70
Verifica a compressione [4.2.9]
N,Ed=-24034.70 Nc,Rd=-86725.20 N,Ed/Nc,Rd=0.28

- Verifiche di duttilità [7.5.3]:
q₀=4.00 N,Ed=-24034.70 N_{pl},Rd=86725.20 N,Ed/N_{pl},Rd=0.28 (sfrut=0.92)

- Verifica di stabilità (4.2.4.1.3.1) - CC 17 SLU
Sollecitazioni: N=-24034.70

Relazione di calcolo

L=2.65
 $\lambda=45.88$ Ncr=252594.00 $\lambda^*=0.60$
Curva a: $\Phi=0.72$ $\chi_{\min}=0.89$ N,Ed=-24034.70 Nb,Rd=77171.20 N,Ed/Nb,Rd=0.31

- Verifica Spostamento relativo massimo per singola asta - CC 22
 $\delta=0.00$ (L/76714)

Asta n. 59 (59 1059) Sez. 1 Pilastro__CHS168.3x5 Crit. 1

- Verifica a compressione (4.2.4.1.2.2) - CC 1 SND Xl=0.00 - Classe 3
Sollecitazioni: N=-10231.20
Verifica a compressione [4.2.9]
N,Ed=-10231.20 Nc,Rd=-86725.20 N,Ed/Nc,Rd=0.12

- Verifica a compressione (4.2.4.1.2.2) - CC 17 SLU Xl=0.00 - Classe 2
Sollecitazioni: N=-18738.40
Verifica a compressione [4.2.9]
N,Ed=-18738.40 Nc,Rd=-86725.20 N,Ed/Nc,Rd=0.22

- Verifiche di duttilità [7.5.3]:
 $q_0=4.00$ N,Ed=-18738.40 Npl,Rd=86725.20 N,Ed/Npl,Rd=0.22 (sfrut=0.72)

- Verifica di stabilità (4.2.4.1.3.1) - CC 17 SLU
Sollecitazioni: N=-18738.40
L=2.65
 $\lambda=45.88$ Ncr=252594.00 $\lambda^*=0.60$
Curva a: $\Phi=0.72$ $\chi_{\min}=0.89$ N,Ed=-18738.40 Nb,Rd=77171.20 N,Ed/Nb,Rd=0.24

- Verifica Spostamento relativo massimo per singola asta - CC 22
 $\delta=0.00$ (L/79392)

Asta n. 60 (60 1060) Sez. 1 Pilastro__CHS168.3x5 Crit. 1

- Verifica a compressione (4.2.4.1.2.2) - CC 1 SND Xl=0.00 - Classe 3
Sollecitazioni: N=-8354.39
Verifica a compressione [4.2.9]
N,Ed=-8354.39 Nc,Rd=-86725.20 N,Ed/Nc,Rd=0.10

- Verifica a compressione (4.2.4.1.2.2) - CC 17 SLU Xl=0.00 - Classe 2
Sollecitazioni: N=-15243.50
Verifica a compressione [4.2.9]
N,Ed=-15243.50 Nc,Rd=-86725.20 N,Ed/Nc,Rd=0.18

- Verifiche di duttilità [7.5.3]:
 $q_0=4.00$ N,Ed=-15243.50 Npl,Rd=86725.20 N,Ed/Npl,Rd=0.18 (sfrut=0.59)

- Verifica di stabilità (4.2.4.1.3.1) - CC 17 SLU
Sollecitazioni: N=-15243.50
L=2.65
 $\lambda=45.88$ Ncr=252594.00 $\lambda^*=0.60$
Curva a: $\Phi=0.72$ $\chi_{\min}=0.89$ N,Ed=-15243.50 Nb,Rd=77171.20 N,Ed/Nb,Rd=0.20

- Verifica Spostamento relativo massimo per singola asta - CC 22
 $\delta=0.00$ (L/79392)

Asta n. 61 (61 1061) Sez. 1 Pilastro__CHS168.3x5 Crit. 1

- Verifica a compressione (4.2.4.1.2.2) - CC 1 SND Xl=0.00 - Classe 3
Sollecitazioni: N=-13068.80
Verifica a compressione [4.2.9]
N,Ed=-13068.80 Nc,Rd=-86725.20 N,Ed/Nc,Rd=0.15

- Verifica a compressione (4.2.4.1.2.2) - CC 17 SLU Xl=0.00 - Classe 2
Sollecitazioni: N=-24034.70
Verifica a compressione [4.2.9]
N,Ed=-24034.70 Nc,Rd=-86725.20 N,Ed/Nc,Rd=0.28

- Verifiche di duttilità [7.5.3]:
 $q_0=4.00$ N,Ed=-24034.70 Npl,Rd=86725.20 N,Ed/Npl,Rd=0.28 (sfrut=0.92)

- Verifica di stabilità (4.2.4.1.3.1) - CC 17 SLU
Sollecitazioni: N=-24034.70
L=2.65
 $\lambda=45.88$ Ncr=252594.00 $\lambda^*=0.60$
Curva a: $\Phi=0.72$ $\chi_{\min}=0.89$ N,Ed=-24034.70 Nb,Rd=77171.20 N,Ed/Nb,Rd=0.31

- Verifica Spostamento relativo massimo per singola asta - CC 22
 $\delta=0.00$ (L/76714)

Asta n. 62 (62 1062) Sez. 1 Pilastro__CHS168.3x5 Crit. 1

Relazione di calcolo

- Verifica a compressione (4.2.4.1.2.2) - CC 1 SND $X_l=0.00$ - Classe 3
Sollecitazioni: $N=-10231.20$
Verifica a compressione [4.2.9]
 $N,Ed=-10231.20$ $N_c,Rd=-86725.20$ $N,Ed/N_c,Rd=0.12$

- Verifica a compressione (4.2.4.1.2.2) - CC 17 SLU $X_l=0.00$ - Classe 2
Sollecitazioni: $N=-18738.40$
Verifica a compressione [4.2.9]
 $N,Ed=-18738.40$ $N_c,Rd=-86725.20$ $N,Ed/N_c,Rd=0.22$

- Verifiche di duttilità [7.5.3]:
 $q_0=4.00$ $N,Ed=-18738.40$ $N_{pl},Rd=86725.20$ $N,Ed/N_{pl},Rd=0.22$ (sfrut=0.72)

- Verifica di stabilità (4.2.4.1.3.1) - CC 17 SLU
Sollecitazioni: $N=-18738.40$
 $L=2.65$
 $\lambda=45.88$ $N_{cr}=252594.00$ $\lambda^*=0.60$
Curva a: $\Phi=0.72$ $\chi_{min}=0.89$ $N,Ed=-18738.40$ $N_b,Rd=77171.20$ $N,Ed/N_b,Rd=0.24$

- Verifica Spostamento relativo massimo per singola asta - CC 22
 $\delta=0.00$ ($L/76714$)

Asta n. 63 (63 1063) Sez. 1 Pilastro__CHS168.3x5 Crit. 1

- Verifica a compressione (4.2.4.1.2.2) - CC 5 SND $X_l=0.00$ - Classe 3
Sollecitazioni: $N=-8334.68$
Verifica a compressione [4.2.9]
 $N,Ed=-8334.68$ $N_c,Rd=-86725.20$ $N,Ed/N_c,Rd=0.10$

- Verifica a compressione (4.2.4.1.2.2) - CC 17 SLU $X_l=0.00$ - Classe 2
Sollecitazioni: $N=-15206.50$
Verifica a compressione [4.2.9]
 $N,Ed=-15206.50$ $N_c,Rd=-86725.20$ $N,Ed/N_c,Rd=0.18$

- Verifiche di duttilità [7.5.3]:
 $q_0=4.00$ $N,Ed=-15206.50$ $N_{pl},Rd=86725.20$ $N,Ed/N_{pl},Rd=0.18$ (sfrut=0.58)

- Verifica di stabilità (4.2.4.1.3.1) - CC 17 SLU
Sollecitazioni: $N=-15206.50$
 $L=2.65$
 $\lambda=45.88$ $N_{cr}=252594.00$ $\lambda^*=0.60$
Curva a: $\Phi=0.72$ $\chi_{min}=0.89$ $N,Ed=-15206.50$ $N_b,Rd=77171.20$ $N,Ed/N_b,Rd=0.20$

- Verifica Spostamento relativo massimo per singola asta - CC 22
 $\delta=0.00$ ($L/74370$)

Asta n. 64 (64 1064) Sez. 1 Pilastro__CHS168.3x5 Crit. 1

- Verifica a compressione (4.2.4.1.2.2) - CC 1 SND $X_l=0.00$ - Classe 3
Sollecitazioni: $N=-7359.74$
Verifica a compressione [4.2.9]
 $N,Ed=-7359.74$ $N_c,Rd=-86725.20$ $N,Ed/N_c,Rd=0.08$

- Verifica a compressione (4.2.4.1.2.2) - CC 17 SLU $X_l=0.00$ - Classe 2
Sollecitazioni: $N=-12982.50$
Verifica a compressione [4.2.9]
 $N,Ed=-12982.50$ $N_c,Rd=-86725.20$ $N,Ed/N_c,Rd=0.15$

- Verifiche di duttilità [7.5.3]:
 $q_0=4.00$ $N,Ed=-12982.50$ $N_{pl},Rd=86725.20$ $N,Ed/N_{pl},Rd=0.15$ (sfrut=0.50)

- Verifica di stabilità (4.2.4.1.3.1) - CC 17 SLU
Sollecitazioni: $N=-12982.50$
 $L=2.65$
 $\lambda=45.88$ $N_{cr}=252594.00$ $\lambda^*=0.60$
Curva a: $\Phi=0.72$ $\chi_{min}=0.89$ $N,Ed=-12982.50$ $N_b,Rd=77171.20$ $N,Ed/N_b,Rd=0.17$

- Verifica Spostamento relativo massimo per singola asta - CC 22
 $\delta=0.00$ ($L/67394$)

Asta n. 65 (65 1065) Sez. 1 Pilastro__CHS168.3x5 Crit. 1

- Verifica a compressione (4.2.4.1.2.2) - CC 1 SND $X_l=0.00$ - Classe 3
Sollecitazioni: $N=-8465.50$
Verifica a compressione [4.2.9]
 $N,Ed=-8465.50$ $N_c,Rd=-86725.20$ $N,Ed/N_c,Rd=0.10$

- Verifica a compressione (4.2.4.1.2.2) - CC 17 SLU $X_l=0.00$ - Classe 2
Sollecitazioni: $N=-15035.50$

Relazione di calcolo

Verifica a compressione [4.2.9]
N,Ed=-15035.50 Nc,Rd=-86725.20 N,Ed/Nc,Rd=0.17

- Verifiche di duttilità [7.5.3]:
q₀=4.00 N,Ed=-15035.50 N_{pl},Rd=86725.20 N,Ed/N_{pl},Rd=0.17 (sfrut=0.58)

- Verifica di stabilità (4.2.4.1.3.1) - CC 17 SLU
Sollecitazioni: N=-15035.50
L=2.65
λ=45.88 Ncr=252594.00 λ*=0.60
Curva a: Φ=0.72 χ_{min}=0.89 N,Ed=-15035.50 Nb,Rd=77171.20 N,Ed/Nb,Rd=0.19

- Verifica Spostamento relativo massimo per singola asta - CC 22
δ=0.00 (L/75767)

Asta n. 66 (66 1066) Sez. 1 Pilastro__CHS168.3x5 Crit. 1

- Verifica a compressione (4.2.4.1.2.2) - CC 1 SND Xl=0.00 - Classe 3
Sollecitazioni: N=-12191.50
Verifica a compressione [4.2.9]
N,Ed=-12191.50 Nc,Rd=-86725.20 N,Ed/Nc,Rd=0.14

- Verifica a compressione (4.2.4.1.2.2) - CC 17 SLU Xl=0.00 - Classe 2
Sollecitazioni: N=-17365.60
Verifica a compressione [4.2.9]
N,Ed=-17365.60 Nc,Rd=-86725.20 N,Ed/Nc,Rd=0.20

- Verifiche di duttilità [7.5.3]:
q₀=4.00 N,Ed=-17365.60 N_{pl},Rd=86725.20 N,Ed/N_{pl},Rd=0.20 (sfrut=0.67)

- Verifica di stabilità (4.2.4.1.3.1) - CC 17 SLU
Sollecitazioni: N=-17365.60
L=2.65
λ=45.88 Ncr=252594.00 λ*=0.60
Curva a: Φ=0.72 χ_{min}=0.89 N,Ed=-17365.60 Nb,Rd=77171.20 N,Ed/Nb,Rd=0.23

- Verifica Spostamento relativo massimo per singola asta - CC 22
δ=0.00 (L/80585)

Asta n. 67 (67 1067) Sez. 1 Pilastro__CHS168.3x5 Crit. 1

- Verifica a compressione (4.2.4.1.2.2) - CC 5 SND Xl=0.00 - Classe 3
Sollecitazioni: N=-8296.87
Verifica a compressione [4.2.9]
N,Ed=-8296.87 Nc,Rd=-86725.20 N,Ed/Nc,Rd=0.10

- Verifica a compressione (4.2.4.1.2.2) - CC 17 SLU Xl=0.00 - Classe 2
Sollecitazioni: N=-15122.60
Verifica a compressione [4.2.9]
N,Ed=-15122.60 Nc,Rd=-86725.20 N,Ed/Nc,Rd=0.17

- Verifiche di duttilità [7.5.3]:
q₀=4.00 N,Ed=-15122.60 N_{pl},Rd=86725.20 N,Ed/N_{pl},Rd=0.17 (sfrut=0.58)

- Verifica di stabilità (4.2.4.1.3.1) - CC 17 SLU
Sollecitazioni: N=-15122.60
L=2.65
λ=45.88 Ncr=252594.00 λ*=0.60
Curva a: Φ=0.72 χ_{min}=0.89 N,Ed=-15122.60 Nb,Rd=77171.20 N,Ed/Nb,Rd=0.20

- Verifica Spostamento relativo massimo per singola asta - CC 22
δ=0.00 (L/83202)

Asta n. 68 (68 1068) Sez. 1 Pilastro__CHS168.3x5 Crit. 1

- Verifica a compressione (4.2.4.1.2.2) - CC 9 SND Xl=0.00 - Classe 3
Sollecitazioni: N=-14332.70
Verifica a compressione [4.2.9]
N,Ed=-14332.70 Nc,Rd=-86725.20 N,Ed/Nc,Rd=0.17

- Verifica a compressione (4.2.4.1.2.2) - CC 17 SLU Xl=0.00 - Classe 2
Sollecitazioni: N=-21342.70
Verifica a compressione [4.2.9]
N,Ed=-21342.70 Nc,Rd=-86725.20 N,Ed/Nc,Rd=0.25

- Verifiche di duttilità [7.5.3]:
q₀=4.00 N,Ed=-21342.70 N_{pl},Rd=86725.20 N,Ed/N_{pl},Rd=0.25 (sfrut=0.82)

- Verifica di stabilità (4.2.4.1.3.1) - CC 17 SLU
Sollecitazioni: N=-21342.70

Relazione di calcolo

L=2.65
 $\lambda=45.88$ Ncr=252594.00 $\lambda^*=0.60$
Curva a: $\Phi=0.72$ $\chi_{\min}=0.89$ N,Ed=-21342.70 Nb,Rd=77171.20 N,Ed/Nb,Rd=0.28

- Verifica Spostamento relativo massimo per singola asta - CC 22
 $\delta=0.00$ (L/83591)

Asta n. 69 (69 1069) Sez. 1 Pilastro__CHS168.3x5 Crit. 1

- Verifica a compressione (4.2.4.1.2.2) - CC 1 SND Xl=0.00 - Classe 3
Sollecitazioni: N=-12193.70
Verifica a compressione [4.2.9]
N,Ed=-12193.70 Nc,Rd=-86725.20 N,Ed/Nc,Rd=0.14

- Verifica a compressione (4.2.4.1.2.2) - CC 17 SLU Xl=0.00 - Classe 2
Sollecitazioni: N=-17368.70
Verifica a compressione [4.2.9]
N,Ed=-17368.70 Nc,Rd=-86725.20 N,Ed/Nc,Rd=0.20

- Verifiche di duttilità [7.5.3]:
 $q_0=4.00$ N,Ed=-17368.70 Npl,Rd=86725.20 N,Ed/Npl,Rd=0.20 (sfrut=0.67)

- Verifica di stabilità (4.2.4.1.3.1) - CC 17 SLU
Sollecitazioni: N=-17368.70
L=2.65
 $\lambda=45.88$ Ncr=252594.00 $\lambda^*=0.60$
Curva a: $\Phi=0.72$ $\chi_{\min}=0.89$ N,Ed=-17368.70 Nb,Rd=77171.20 N,Ed/Nb,Rd=0.23

- Verifica Spostamento relativo massimo per singola asta - CC 22
 $\delta=0.00$ (L/84203)

Asta n. 70 (70 1070) Sez. 1 Pilastro__CHS168.3x5 Crit. 1

- Verifica a compressione (4.2.4.1.2.2) - CC 9 SND Xl=0.00 - Classe 3
Sollecitazioni: N=-8292.96
Verifica a compressione [4.2.9]
N,Ed=-8292.96 Nc,Rd=-86725.20 N,Ed/Nc,Rd=0.10

- Verifica a compressione (4.2.4.1.2.2) - CC 17 SLU Xl=0.00 - Classe 2
Sollecitazioni: N=-15113.50
Verifica a compressione [4.2.9]
N,Ed=-15113.50 Nc,Rd=-86725.20 N,Ed/Nc,Rd=0.17

- Verifiche di duttilità [7.5.3]:
 $q_0=4.00$ N,Ed=-15113.50 Npl,Rd=86725.20 N,Ed/Npl,Rd=0.17 (sfrut=0.58)

- Verifica di stabilità (4.2.4.1.3.1) - CC 17 SLU
Sollecitazioni: N=-15113.50
L=2.65
 $\lambda=45.88$ Ncr=252594.00 $\lambda^*=0.60$
Curva a: $\Phi=0.72$ $\chi_{\min}=0.89$ N,Ed=-15113.50 Nb,Rd=77171.20 N,Ed/Nb,Rd=0.20

- Verifica Spostamento relativo massimo per singola asta - CC 22
 $\delta=0.00$ (L/84203)

Asta n. 71 (71 1071) Sez. 1 Pilastro__CHS168.3x5 Crit. 1

- Verifica a compressione (4.2.4.1.2.2) - CC 9 SND Xl=0.00 - Classe 3
Sollecitazioni: N=-14333.90
Verifica a compressione [4.2.9]
N,Ed=-14333.90 Nc,Rd=-86725.20 N,Ed/Nc,Rd=0.17

- Verifica a compressione (4.2.4.1.2.2) - CC 17 SLU Xl=0.00 - Classe 2
Sollecitazioni: N=-21344.30
Verifica a compressione [4.2.9]
N,Ed=-21344.30 Nc,Rd=-86725.20 N,Ed/Nc,Rd=0.25

- Verifiche di duttilità [7.5.3]:
 $q_0=4.00$ N,Ed=-21344.30 Npl,Rd=86725.20 N,Ed/Npl,Rd=0.25 (sfrut=0.82)

- Verifica di stabilità (4.2.4.1.3.1) - CC 17 SLU
Sollecitazioni: N=-21344.30
L=2.65
 $\lambda=45.88$ Ncr=252594.00 $\lambda^*=0.60$
Curva a: $\Phi=0.72$ $\chi_{\min}=0.89$ N,Ed=-21344.30 Nb,Rd=77171.20 N,Ed/Nb,Rd=0.28

- Verifica Spostamento relativo massimo per singola asta - CC 22
 $\delta=0.00$ (L/86164)

Asta n. 72 (72 1072) Sez. 1 Pilastro__CHS168.3x5 Crit. 1

Relazione di calcolo

- Verifica a compressione (4.2.4.1.2.2) - CC 1 SND $X_l=0.00$ - Classe 3
Sollecitazioni: $N=-11800.30$
Verifica a compressione [4.2.9]
 $N,Ed=-11800.30$ $N_c,Rd=-86725.20$ $N,Ed/N_c,Rd=0.14$

- Verifica a compressione (4.2.4.1.2.2) - CC 17 SLU $X_l=0.00$ - Classe 2
Sollecitazioni: $N=-16608.30$
Verifica a compressione [4.2.9]
 $N,Ed=-16608.30$ $N_c,Rd=-86725.20$ $N,Ed/N_c,Rd=0.19$

- Verifiche di duttilità [7.5.3]:
 $q_0=4.00$ $N,Ed=-16608.30$ $N_{pl},Rd=86725.20$ $N,Ed/N_{pl},Rd=0.19$ (sfrut=0.64)

- Verifica di stabilità (4.2.4.1.3.1) - CC 17 SLU
Sollecitazioni: $N=-16608.30$
 $L=2.65$
 $\lambda=45.88$ $N_{cr}=252594.00$ $\lambda^*=0.60$
Curva a: $\Phi=0.72$ $\chi_{min}=0.89$ $N,Ed=-16608.30$ $N_b,Rd=77171.20$ $N,Ed/N_b,Rd=0.22$

- Verifica Spostamento relativo massimo per singola asta - CC 22
 $\delta=0.00$ (L/86164)

Asta n. 73 (73 1073) Sez. 1 Pilastro__CHS168.3x5 Crit. 1

- Verifica a compressione (4.2.4.1.2.2) - CC 3 SND $X_l=0.00$ - Classe 3
Sollecitazioni: $N=-8095.91$
Verifica a compressione [4.2.9]
 $N,Ed=-8095.91$ $N_c,Rd=-86725.20$ $N,Ed/N_c,Rd=0.09$

- Verifica a compressione (4.2.4.1.2.2) - CC 17 SLU $X_l=0.00$ - Classe 2
Sollecitazioni: $N=-14735.10$
Verifica a compressione [4.2.9]
 $N,Ed=-14735.10$ $N_c,Rd=-86725.20$ $N,Ed/N_c,Rd=0.17$

- Verifiche di duttilità [7.5.3]:
 $q_0=4.00$ $N,Ed=-14735.10$ $N_{pl},Rd=86725.20$ $N,Ed/N_{pl},Rd=0.17$ (sfrut=0.57)

- Verifica di stabilità (4.2.4.1.3.1) - CC 17 SLU
Sollecitazioni: $N=-14735.10$
 $L=2.65$
 $\lambda=45.88$ $N_{cr}=252594.00$ $\lambda^*=0.60$
Curva a: $\Phi=0.72$ $\chi_{min}=0.89$ $N,Ed=-14735.10$ $N_b,Rd=77171.20$ $N,Ed/N_b,Rd=0.19$

- Verifica Spostamento relativo massimo per singola asta - CC 22
 $\delta=0.00$ (L/82882)

Asta n. 74 (74 1074) Sez. 1 Pilastro__CHS168.3x5 Crit. 1

- Verifica a compressione (4.2.4.1.2.2) - CC 9 SND $X_l=0.00$ - Classe 3
Sollecitazioni: $N=-9603.91$
Verifica a compressione [4.2.9]
 $N,Ed=-9603.91$ $N_c,Rd=-86725.20$ $N,Ed/N_c,Rd=0.11$

- Verifica a compressione (4.2.4.1.2.2) - CC 17 SLU $X_l=0.00$ - Classe 2
Sollecitazioni: $N=-12188.10$
Verifica a compressione [4.2.9]
 $N,Ed=-12188.10$ $N_c,Rd=-86725.20$ $N,Ed/N_c,Rd=0.14$

- Verifiche di duttilità [7.5.3]:
 $q_0=4.00$ $N,Ed=-12188.10$ $N_{pl},Rd=86725.20$ $N,Ed/N_{pl},Rd=0.14$ (sfrut=0.47)

- Verifica di stabilità (4.2.4.1.3.1) - CC 17 SLU
Sollecitazioni: $N=-12188.10$
 $L=2.65$
 $\lambda=45.88$ $N_{cr}=252594.00$ $\lambda^*=0.60$
Curva a: $\Phi=0.72$ $\chi_{min}=0.89$ $N,Ed=-12188.10$ $N_b,Rd=77171.20$ $N,Ed/N_b,Rd=0.16$

- Verifica Spostamento relativo massimo per singola asta - CC 22
 $\delta=0.00$ (L/82882)

Asta n. 75 (75 1075) Sez. 1 Pilastro__CHS168.3x5 Crit. 1

- Verifica a compressione (4.2.4.1.2.2) - CC 1 SND $X_l=0.00$ - Classe 3
Sollecitazioni: $N=-8465.50$
Verifica a compressione [4.2.9]
 $N,Ed=-8465.50$ $N_c,Rd=-86725.20$ $N,Ed/N_c,Rd=0.10$

- Verifica a compressione (4.2.4.1.2.2) - CC 17 SLU $X_l=0.00$ - Classe 2
Sollecitazioni: $N=-15035.50$

Relazione di calcolo

Verifica a compressione [4.2.9]
N,Ed=-15035.50 Nc,Rd=-86725.20 N,Ed/Nc,Rd=0.17

- Verifiche di duttilità [7.5.3]:
q₀=4.00 N,Ed=-15035.50 N_{pl},Rd=86725.20 N,Ed/N_{pl},Rd=0.17 (sfrut=0.58)

- Verifica di stabilità (4.2.4.1.3.1) - CC 17 SLU
Sollecitazioni: N=-15035.50
L=2.65
 $\lambda=45.88$ Ncr=252594.00 $\lambda^*=0.60$
Curva a: $\Phi=0.72$ $\chi_{\min}=0.89$ N,Ed=-15035.50 Nb,Rd=77171.20 N,Ed/Nb,Rd=0.19

- Verifica Spostamento relativo massimo per singola asta - CC 22
 $\delta=0.00$ (L/89496)

Asta n. 76 (76 1076) Sez. 1 Pilastro__CHS168.3x5 Crit. 1

- Verifica a compressione (4.2.4.1.2.2) - CC 1 SND Xl=0.00 - Classe 3
Sollecitazioni: N=-13068.80
Verifica a compressione [4.2.9]
N,Ed=-13068.80 Nc,Rd=-86725.20 N,Ed/Nc,Rd=0.15

- Verifica a compressione (4.2.4.1.2.2) - CC 17 SLU Xl=0.00 - Classe 2
Sollecitazioni: N=-24034.70
Verifica a compressione [4.2.9]
N,Ed=-24034.70 Nc,Rd=-86725.20 N,Ed/Nc,Rd=0.28

- Verifiche di duttilità [7.5.3]:
q₀=4.00 N,Ed=-24034.70 N_{pl},Rd=86725.20 N,Ed/N_{pl},Rd=0.28 (sfrut=0.92)

- Verifica di stabilità (4.2.4.1.3.1) - CC 17 SLU
Sollecitazioni: N=-24034.70
L=2.65
 $\lambda=45.88$ Ncr=252594.00 $\lambda^*=0.60$
Curva a: $\Phi=0.72$ $\chi_{\min}=0.89$ N,Ed=-24034.70 Nb,Rd=77171.20 N,Ed/Nb,Rd=0.31

- Verifica Spostamento relativo massimo per singola asta - CC 22
 $\delta=0.00$ (L/86792)

Asta n. 77 (77 1077) Sez. 1 Pilastro__CHS168.3x5 Crit. 1

- Verifica a compressione (4.2.4.1.2.2) - CC 5 SND Xl=0.00 - Classe 3
Sollecitazioni: N=-10823.00
Verifica a compressione [4.2.9]
N,Ed=-10823.00 Nc,Rd=-86725.20 N,Ed/Nc,Rd=0.12

- Verifica a compressione (4.2.4.1.2.2) - CC 17 SLU Xl=0.00 - Classe 2
Sollecitazioni: N=-19848.90
Verifica a compressione [4.2.9]
N,Ed=-19848.90 Nc,Rd=-86725.20 N,Ed/Nc,Rd=0.23

- Verifiche di duttilità [7.5.3]:
q₀=4.00 N,Ed=-19848.90 N_{pl},Rd=86725.20 N,Ed/N_{pl},Rd=0.23 (sfrut=0.76)

- Verifica di stabilità (4.2.4.1.3.1) - CC 17 SLU
Sollecitazioni: N=-19848.90
L=2.65
 $\lambda=45.88$ Ncr=252594.00 $\lambda^*=0.60$
Curva a: $\Phi=0.72$ $\chi_{\min}=0.89$ N,Ed=-19848.90 Nb,Rd=77171.20 N,Ed/Nb,Rd=0.26

- Verifica Spostamento relativo massimo per singola asta - CC 22
 $\delta=0.00$ (L/88036)

Asta n. 78 (78 1078) Sez. 1 Pilastro__CHS168.3x5 Crit. 1

- Verifica a compressione (4.2.4.1.2.2) - CC 1 SND Xl=0.00 - Classe 3
Sollecitazioni: N=-13068.80
Verifica a compressione [4.2.9]
N,Ed=-13068.80 Nc,Rd=-86725.20 N,Ed/Nc,Rd=0.15

- Verifica a compressione (4.2.4.1.2.2) - CC 17 SLU Xl=0.00 - Classe 2
Sollecitazioni: N=-24034.70
Verifica a compressione [4.2.9]
N,Ed=-24034.70 Nc,Rd=-86725.20 N,Ed/Nc,Rd=0.28

- Verifiche di duttilità [7.5.3]:
q₀=4.00 N,Ed=-24034.70 N_{pl},Rd=86725.20 N,Ed/N_{pl},Rd=0.28 (sfrut=0.92)

- Verifica di stabilità (4.2.4.1.3.1) - CC 17 SLU
Sollecitazioni: N=-24034.70

Relazione di calcolo

L=2.65
 $\lambda=45.88$ Ncr=252594.00 $\lambda^*=0.60$
Curva a: $\Phi=0.72$ $\chi_{\min}=0.89$ N,Ed=-24034.70 Nb,Rd=77171.20 N,Ed/Nb,Rd=0.31

- Verifica Spostamento relativo massimo per singola asta - CC 22
 $\delta=0.00$ (L/89636)

Asta n. 79 (79 1079) Sez. 1 Pilastro__CHS168.3x5 Crit. 1

- Verifica a compressione (4.2.4.1.2.2) - CC 1 SND Xl=0.00 - Classe 3
Sollecitazioni: N=-13068.80
Verifica a compressione [4.2.9]
N,Ed=-13068.80 Nc,Rd=-86725.20 N,Ed/Nc,Rd=0.15

- Verifica a compressione (4.2.4.1.2.2) - CC 17 SLU Xl=0.00 - Classe 2
Sollecitazioni: N=-24034.70
Verifica a compressione [4.2.9]
N,Ed=-24034.70 Nc,Rd=-86725.20 N,Ed/Nc,Rd=0.28

- Verifiche di duttilità [7.5.3]:
 $q_0=4.00$ N,Ed=-24034.70 Npl,Rd=86725.20 N,Ed/Npl,Rd=0.28 (sfrut=0.92)

- Verifica di stabilità (4.2.4.1.3.1) - CC 17 SLU
Sollecitazioni: N=-24034.70
L=2.65
 $\lambda=45.88$ Ncr=252594.00 $\lambda^*=0.60$
Curva a: $\Phi=0.72$ $\chi_{\min}=0.89$ N,Ed=-24034.70 Nb,Rd=77171.20 N,Ed/Nb,Rd=0.31

- Verifica Spostamento relativo massimo per singola asta - CC 22
 $\delta=0.00$ (L/92624)

Asta n. 80 (80 1080) Sez. 1 Pilastro__CHS168.3x5 Crit. 1

- Verifica a compressione (4.2.4.1.2.2) - CC 13 SND Xl=0.00 - Classe 3
Sollecitazioni: N=-10794.60
Verifica a compressione [4.2.9]
N,Ed=-10794.60 Nc,Rd=-86725.20 N,Ed/Nc,Rd=0.12

- Verifica a compressione (4.2.4.1.2.2) - CC 17 SLU Xl=0.00 - Classe 2
Sollecitazioni: N=-19794.80
Verifica a compressione [4.2.9]
N,Ed=-19794.80 Nc,Rd=-86725.20 N,Ed/Nc,Rd=0.23

- Verifiche di duttilità [7.5.3]:
 $q_0=4.00$ N,Ed=-19794.80 Npl,Rd=86725.20 N,Ed/Npl,Rd=0.23 (sfrut=0.76)

- Verifica di stabilità (4.2.4.1.3.1) - CC 17 SLU
Sollecitazioni: N=-19794.80
L=2.65
 $\lambda=45.88$ Ncr=252594.00 $\lambda^*=0.60$
Curva a: $\Phi=0.72$ $\chi_{\min}=0.89$ N,Ed=-19794.80 Nb,Rd=77171.20 N,Ed/Nb,Rd=0.26

- Verifica Spostamento relativo massimo per singola asta - CC 22
 $\delta=0.00$ (L/92624)

Asta n. 81 (81 1081) Sez. 1 Pilastro__CHS168.3x5 Crit. 1

- Verifica a compressione (4.2.4.1.2.2) - CC 1 SND Xl=0.00 - Classe 3
Sollecitazioni: N=-13068.80
Verifica a compressione [4.2.9]
N,Ed=-13068.80 Nc,Rd=-86725.20 N,Ed/Nc,Rd=0.15

- Verifica a compressione (4.2.4.1.2.2) - CC 17 SLU Xl=0.00 - Classe 2
Sollecitazioni: N=-24034.70
Verifica a compressione [4.2.9]
N,Ed=-24034.70 Nc,Rd=-86725.20 N,Ed/Nc,Rd=0.28

- Verifiche di duttilità [7.5.3]:
 $q_0=4.00$ N,Ed=-24034.70 Npl,Rd=86725.20 N,Ed/Npl,Rd=0.28 (sfrut=0.92)

- Verifica di stabilità (4.2.4.1.3.1) - CC 17 SLU
Sollecitazioni: N=-24034.70
L=2.65
 $\lambda=45.88$ Ncr=252594.00 $\lambda^*=0.60$
Curva a: $\Phi=0.72$ $\chi_{\min}=0.89$ N,Ed=-24034.70 Nb,Rd=77171.20 N,Ed/Nb,Rd=0.31

- Verifica Spostamento relativo massimo per singola asta - CC 22
 $\delta=0.00$ (L/86835)

Asta n. 82 (82 1082) Sez. 1 Pilastro__CHS168.3x5 Crit. 1

Relazione di calcolo

- Verifica a compressione (4.2.4.1.2.2) - CC 1 SND $X_l=0.00$ - Classe 3
Sollecitazioni: $N=-13068.80$
Verifica a compressione [4.2.9]
 $N,Ed=-13068.80$ $N_c,Rd=-86725.20$ $N,Ed/N_c,Rd=0.15$

- Verifica a compressione (4.2.4.1.2.2) - CC 17 SLU $X_l=0.00$ - Classe 2
Sollecitazioni: $N=-24034.70$
Verifica a compressione [4.2.9]
 $N,Ed=-24034.70$ $N_c,Rd=-86725.20$ $N,Ed/N_c,Rd=0.28$

- Verifiche di duttilità [7.5.3]:
 $q_0=4.00$ $N,Ed=-24034.70$ $N_{pl},Rd=86725.20$ $N,Ed/N_{pl},Rd=0.28$ (sfrut=0.92)

- Verifica di stabilità (4.2.4.1.3.1) - CC 17 SLU
Sollecitazioni: $N=-24034.70$
 $L=2.65$
 $\lambda=45.88$ $N_{cr}=252594.00$ $\lambda^*=0.60$
Curva a: $\Phi=0.72$ $\chi_{min}=0.89$ $N,Ed=-24034.70$ $N_b,Rd=77171.20$ $N,Ed/N_b,Rd=0.31$

- Verifica Spostamento relativo massimo per singola asta - CC 22
 $\delta=0.00$ (L/84242)

Asta n. 83 (83 1083) Sez. 1 Pilastro__CHS168.3x5 Crit. 1

- Verifica a compressione (4.2.4.1.2.2) - CC 5 SND $X_l=0.00$ - Classe 3
Sollecitazioni: $N=-10820.70$
Verifica a compressione [4.2.9]
 $N,Ed=-10820.70$ $N_c,Rd=-86725.20$ $N,Ed/N_c,Rd=0.12$

- Verifica a compressione (4.2.4.1.2.2) - CC 17 SLU $X_l=0.00$ - Classe 2
Sollecitazioni: $N=-19821.80$
Verifica a compressione [4.2.9]
 $N,Ed=-19821.80$ $N_c,Rd=-86725.20$ $N,Ed/N_c,Rd=0.23$

- Verifiche di duttilità [7.5.3]:
 $q_0=4.00$ $N,Ed=-19821.80$ $N_{pl},Rd=86725.20$ $N,Ed/N_{pl},Rd=0.23$ (sfrut=0.76)

- Verifica di stabilità (4.2.4.1.3.1) - CC 17 SLU
Sollecitazioni: $N=-19821.80$
 $L=2.65$
 $\lambda=45.88$ $N_{cr}=252594.00$ $\lambda^*=0.60$
Curva a: $\Phi=0.72$ $\chi_{min}=0.89$ $N,Ed=-19821.80$ $N_b,Rd=77171.20$ $N,Ed/N_b,Rd=0.26$

- Verifica Spostamento relativo massimo per singola asta - CC 22
 $\delta=0.00$ (L/84242)

Asta n. 84 (84 1084) Sez. 1 Pilastro__CHS168.3x5 Crit. 1

- Verifica a compressione (4.2.4.1.2.2) - CC 1 SND $X_l=0.00$ - Classe 3
Sollecitazioni: $N=-7359.74$
Verifica a compressione [4.2.9]
 $N,Ed=-7359.74$ $N_c,Rd=-86725.20$ $N,Ed/N_c,Rd=0.08$

- Verifica a compressione (4.2.4.1.2.2) - CC 17 SLU $X_l=0.00$ - Classe 2
Sollecitazioni: $N=-12982.50$
Verifica a compressione [4.2.9]
 $N,Ed=-12982.50$ $N_c,Rd=-86725.20$ $N,Ed/N_c,Rd=0.15$

- Verifiche di duttilità [7.5.3]:
 $q_0=4.00$ $N,Ed=-12982.50$ $N_{pl},Rd=86725.20$ $N,Ed/N_{pl},Rd=0.15$ (sfrut=0.50)

- Verifica di stabilità (4.2.4.1.3.1) - CC 17 SLU
Sollecitazioni: $N=-12982.50$
 $L=2.65$
 $\lambda=45.88$ $N_{cr}=252594.00$ $\lambda^*=0.60$
Curva a: $\Phi=0.72$ $\chi_{min}=0.89$ $N,Ed=-12982.50$ $N_b,Rd=77171.20$ $N,Ed/N_b,Rd=0.17$

- Verifica Spostamento relativo massimo per singola asta - CC 22
 $\delta=0.00$ (L/95421)

Asta n. 85 (85 1085) Sez. 1 Pilastro__CHS168.3x5 Crit. 1

- Verifica a compressione (4.2.4.1.2.2) - CC 1 SND $X_l=0.00$ - Classe 3
Sollecitazioni: $N=-8465.50$
Verifica a compressione [4.2.9]
 $N,Ed=-8465.50$ $N_c,Rd=-86725.20$ $N,Ed/N_c,Rd=0.10$

- Verifica a compressione (4.2.4.1.2.2) - CC 17 SLU $X_l=0.00$ - Classe 2
Sollecitazioni: $N=-15035.50$

Relazione di calcolo

Verifica a compressione [4.2.9]
N,Ed=-15035.50 Nc,Rd=-86725.20 N,Ed/Nc,Rd=0.17

- Verifiche di duttilità [7.5.3]:
q₀=4.00 N,Ed=-15035.50 N_{pl},Rd=86725.20 N,Ed/N_{pl},Rd=0.17 (sfrut=0.58)

- Verifica di stabilità (4.2.4.1.3.1) - CC 17 SLU
Sollecitazioni: N=-15035.50
L=2.65
λ=45.88 Ncr=252594.00 λ*=0.60
Curva a: Φ=0.72 χ_{min}=0.89 N,Ed=-15035.50 Nb,Rd=77171.20 N,Ed/Nb,Rd=0.19

- Verifica Spostamento relativo massimo per singola asta - CC 22
δ=0.00 (L/95421)

Asta n. 86 (86 1086) Sez. 1 Pilastro__CHS168.3x5 Crit. 1

- Verifica a compressione (4.2.4.1.2.2) - CC 1 SND Xl=0.00 - Classe 3
Sollecitazioni: N=-14919.10
Verifica a compressione [4.2.9]
N,Ed=-14919.10 Nc,Rd=-86725.20 N,Ed/Nc,Rd=0.17

- Verifica a compressione (4.2.4.1.2.2) - CC 17 SLU Xl=0.00 - Classe 2
Sollecitazioni: N=-21824.20
Verifica a compressione [4.2.9]
N,Ed=-21824.20 Nc,Rd=-86725.20 N,Ed/Nc,Rd=0.25

- Verifiche di duttilità [7.5.3]:
q₀=4.00 N,Ed=-21824.20 N_{pl},Rd=86725.20 N,Ed/N_{pl},Rd=0.25 (sfrut=0.84)

- Verifica di stabilità (4.2.4.1.3.1) - CC 17 SLU
Sollecitazioni: N=-21824.20
L=2.65
λ=45.88 Ncr=252594.00 λ*=0.60
Curva a: Φ=0.72 χ_{min}=0.89 N,Ed=-21824.20 Nb,Rd=77171.20 N,Ed/Nb,Rd=0.28

- Verifica Spostamento relativo massimo per singola asta - CC 22
δ=0.00 (L/95421)

Asta n. 87 (87 1087) Sez. 1 Pilastro__CHS168.3x5 Crit. 1

- Verifica a compressione (4.2.4.1.2.2) - CC 5 SND Xl=0.00 - Classe 3
Sollecitazioni: N=-10571.70
Verifica a compressione [4.2.9]
N,Ed=-10571.70 Nc,Rd=-86725.20 N,Ed/Nc,Rd=0.12

- Verifica a compressione (4.2.4.1.2.2) - CC 17 SLU Xl=0.00 - Classe 2
Sollecitazioni: N=-19365.40
Verifica a compressione [4.2.9]
N,Ed=-19365.40 Nc,Rd=-86725.20 N,Ed/Nc,Rd=0.22

- Verifiche di duttilità [7.5.3]:
q₀=4.00 N,Ed=-19365.40 N_{pl},Rd=86725.20 N,Ed/N_{pl},Rd=0.22 (sfrut=0.74)

- Verifica di stabilità (4.2.4.1.3.1) - CC 17 SLU
Sollecitazioni: N=-19365.40
L=2.65
λ=45.88 Ncr=252594.00 λ*=0.60
Curva a: Φ=0.72 χ_{min}=0.89 N,Ed=-19365.40 Nb,Rd=77171.20 N,Ed/Nb,Rd=0.25

- Verifica Spostamento relativo massimo per singola asta - CC 22
δ=0.00 (L/95711)

Asta n. 88 (88 1088) Sez. 1 Pilastro__CHS168.3x5 Crit. 1

- Verifica a compressione (4.2.4.1.2.2) - CC 9 SND Xl=0.00 - Classe 3
Sollecitazioni: N=-14846.50
Verifica a compressione [4.2.9]
N,Ed=-14846.50 Nc,Rd=-86725.20 N,Ed/Nc,Rd=0.17

- Verifica a compressione (4.2.4.1.2.2) - CC 17 SLU Xl=0.00 - Classe 2
Sollecitazioni: N=-21667.50
Verifica a compressione [4.2.9]
N,Ed=-21667.50 Nc,Rd=-86725.20 N,Ed/Nc,Rd=0.25

- Verifiche di duttilità [7.5.3]:
q₀=4.00 N,Ed=-21667.50 N_{pl},Rd=86725.20 N,Ed/N_{pl},Rd=0.25 (sfrut=0.83)

- Verifica di stabilità (4.2.4.1.3.1) - CC 17 SLU
Sollecitazioni: N=-21667.50

Relazione di calcolo

L=2.65
 $\lambda=45.88$ Ncr=252594.00 $\lambda^*=0.60$
Curva a: $\Phi=0.72$ $\chi_{\min}=0.89$ N,Ed=-21667.50 Nb,Rd=77171.20 N,Ed/Nb,Rd=0.28

- Verifica Spostamento relativo massimo per singola asta - CC 22
 $\delta=0.00$ (L/99240)

Asta n. 89 (89 1089) Sez. 1 Pilastro__CHS168.3x5 Crit. 1

- Verifica a compressione (4.2.4.1.2.2) - CC 1 SND Xl=0.00 - Classe 3
Sollecitazioni: N=-14916.90
Verifica a compressione [4.2.9]
N,Ed=-14916.90 Nc,Rd=-86725.20 N,Ed/Nc,Rd=0.17

- Verifica a compressione (4.2.4.1.2.2) - CC 17 SLU Xl=0.00 - Classe 2
Sollecitazioni: N=-21810.00
Verifica a compressione [4.2.9]
N,Ed=-21810.00 Nc,Rd=-86725.20 N,Ed/Nc,Rd=0.25

- Verifiche di duttilità [7.5.3]:
 $q_0=4.00$ N,Ed=-21810.00 Npl,Rd=86725.20 N,Ed/Npl,Rd=0.25 (sfrut=0.84)

- Verifica di stabilità (4.2.4.1.3.1) - CC 17 SLU
Sollecitazioni: N=-21810.00
L=2.65
 $\lambda=45.88$ Ncr=252594.00 $\lambda^*=0.60$
Curva a: $\Phi=0.72$ $\chi_{\min}=0.89$ N,Ed=-21810.00 Nb,Rd=77171.20 N,Ed/Nb,Rd=0.28

- Verifica Spostamento relativo massimo per singola asta - CC 22
 $\delta=0.00$ (L/99240)

Asta n. 90 (90 1090) Sez. 1 Pilastro__CHS168.3x5 Crit. 1

- Verifica a compressione (4.2.4.1.2.2) - CC 1 SND Xl=0.00 - Classe 3
Sollecitazioni: N=-10553.70
Verifica a compressione [4.2.9]
N,Ed=-10553.70 Nc,Rd=-86725.20 N,Ed/Nc,Rd=0.12

- Verifica a compressione (4.2.4.1.2.2) - CC 17 SLU Xl=0.00 - Classe 2
Sollecitazioni: N=-19318.60
Verifica a compressione [4.2.9]
N,Ed=-19318.60 Nc,Rd=-86725.20 N,Ed/Nc,Rd=0.22

- Verifiche di duttilità [7.5.3]:
 $q_0=4.00$ N,Ed=-19318.60 Npl,Rd=86725.20 N,Ed/Npl,Rd=0.22 (sfrut=0.74)

- Verifica di stabilità (4.2.4.1.3.1) - CC 17 SLU
Sollecitazioni: N=-19318.60
L=2.65
 $\lambda=45.88$ Ncr=252594.00 $\lambda^*=0.60$
Curva a: $\Phi=0.72$ $\chi_{\min}=0.89$ N,Ed=-19318.60 Nb,Rd=77171.20 N,Ed/Nb,Rd=0.25

- Verifica Spostamento relativo massimo per singola asta - CC 22
 $\delta=0.00$ (L/99240)

Asta n. 91 (91 1091) Sez. 1 Pilastro__CHS168.3x5 Crit. 1

- Verifica a compressione (4.2.4.1.2.2) - CC 9 SND Xl=0.00 - Classe 3
Sollecitazioni: N=-14846.10
Verifica a compressione [4.2.9]
N,Ed=-14846.10 Nc,Rd=-86725.20 N,Ed/Nc,Rd=0.17

- Verifica a compressione (4.2.4.1.2.2) - CC 17 SLU Xl=0.00 - Classe 2
Sollecitazioni: N=-21653.70
Verifica a compressione [4.2.9]
N,Ed=-21653.70 Nc,Rd=-86725.20 N,Ed/Nc,Rd=0.25

- Verifiche di duttilità [7.5.3]:
 $q_0=4.00$ N,Ed=-21653.70 Npl,Rd=86725.20 N,Ed/Npl,Rd=0.25 (sfrut=0.83)

- Verifica di stabilità (4.2.4.1.3.1) - CC 17 SLU
Sollecitazioni: N=-21653.70
L=2.65
 $\lambda=45.88$ Ncr=252594.00 $\lambda^*=0.60$
Curva a: $\Phi=0.72$ $\chi_{\min}=0.89$ N,Ed=-21653.70 Nb,Rd=77171.20 N,Ed/Nb,Rd=0.28

- Verifica Spostamento relativo massimo per singola asta - CC 22
 $\delta=0.00$ (L/99240)

Asta n. 92 (92 1092) Sez. 1 Pilastro__CHS168.3x5 Crit. 1

Relazione di calcolo

- Verifica a compressione (4.2.4.1.2.2) - CC 1 SND $X_l=0.00$ - Classe 3
Sollecitazioni: $N=-14519.80$
Verifica a compressione [4.2.9]
 $N,Ed=-14519.80$ $N_c,Rd=-86725.20$ $N,Ed/N_c,Rd=0.17$

- Verifica a compressione (4.2.4.1.2.2) - CC 17 SLU $X_l=0.00$ - Classe 2
Sollecitazioni: $N=-21050.00$
Verifica a compressione [4.2.9]
 $N,Ed=-21050.00$ $N_c,Rd=-86725.20$ $N,Ed/N_c,Rd=0.24$

- Verifiche di duttilità [7.5.3]:
 $q_0=4.00$ $N,Ed=-21050.00$ $N_{pl},Rd=86725.20$ $N,Ed/N_{pl},Rd=0.24$ (sfrut=0.81)

- Verifica di stabilità (4.2.4.1.3.1) - CC 17 SLU
Sollecitazioni: $N=-21050.00$
 $L=2.65$
 $\lambda=45.88$ $N_{cr}=252594.00$ $\lambda^*=0.60$
Curva a: $\Phi=0.72$ $\chi_{min}=0.89$ $N,Ed=-21050.00$ $N_b,Rd=77171.20$ $N,Ed/N_b,Rd=0.27$

- Verifica Spostamento relativo massimo per singola asta - CC 22
 $\delta=0.00$ (L/95421)

Asta n. 93 (93 1093) Sez. 1 Pilastro__CHS168.3x5 Crit. 1

- Verifica a compressione (4.2.4.1.2.2) - CC 5 SND $X_l=0.00$ - Classe 3
Sollecitazioni: $N=-10469.60$
Verifica a compressione [4.2.9]
 $N,Ed=-10469.60$ $N_c,Rd=-86725.20$ $N,Ed/N_c,Rd=0.12$

- Verifica a compressione (4.2.4.1.2.2) - CC 17 SLU $X_l=0.00$ - Classe 2
Sollecitazioni: $N=-19072.60$
Verifica a compressione [4.2.9]
 $N,Ed=-19072.60$ $N_c,Rd=-86725.20$ $N,Ed/N_c,Rd=0.22$

- Verifiche di duttilità [7.5.3]:
 $q_0=4.00$ $N,Ed=-19072.60$ $N_{pl},Rd=86725.20$ $N,Ed/N_{pl},Rd=0.22$ (sfrut=0.73)

- Verifica di stabilità (4.2.4.1.3.1) - CC 17 SLU
Sollecitazioni: $N=-19072.60$
 $L=2.65$
 $\lambda=45.88$ $N_{cr}=252594.00$ $\lambda^*=0.60$
Curva a: $\Phi=0.72$ $\chi_{min}=0.89$ $N,Ed=-19072.60$ $N_b,Rd=77171.20$ $N,Ed/N_b,Rd=0.25$

- Verifica Spostamento relativo massimo per singola asta - CC 22
 $\delta=0.00$ (L/95421)

Asta n. 94 (94 1094) Sez. 1 Pilastro__CHS168.3x5 Crit. 1

- Verifica a compressione (4.2.4.1.2.2) - CC 9 SND $X_l=0.00$ - Classe 3
Sollecitazioni: $N=-10123.10$
Verifica a compressione [4.2.9]
 $N,Ed=-10123.10$ $N_c,Rd=-86725.20$ $N,Ed/N_c,Rd=0.12$

- Verifica a compressione (4.2.4.1.2.2) - CC 17 SLU $X_l=0.00$ - Classe 2
Sollecitazioni: $N=-12523.50$
Verifica a compressione [4.2.9]
 $N,Ed=-12523.50$ $N_c,Rd=-86725.20$ $N,Ed/N_c,Rd=0.14$

- Verifiche di duttilità [7.5.3]:
 $q_0=4.00$ $N,Ed=-12523.50$ $N_{pl},Rd=86725.20$ $N,Ed/N_{pl},Rd=0.14$ (sfrut=0.48)

- Verifica di stabilità (4.2.4.1.3.1) - CC 17 SLU
Sollecitazioni: $N=-12523.50$
 $L=2.65$
 $\lambda=45.88$ $N_{cr}=252594.00$ $\lambda^*=0.60$
Curva a: $\Phi=0.72$ $\chi_{min}=0.89$ $N,Ed=-12523.50$ $N_b,Rd=77171.20$ $N,Ed/N_b,Rd=0.16$

- Verifica Spostamento relativo massimo per singola asta - CC 22
 $\delta=0.00$ (L/95421)

Asta n. 95 (95 1095) Sez. 1 Pilastro__CHS168.3x5 Crit. 1

- Verifica a compressione (4.2.4.1.2.2) - CC 1 SND $X_l=0.00$ - Classe 3
Sollecitazioni: $N=-8465.50$
Verifica a compressione [4.2.9]
 $N,Ed=-8465.50$ $N_c,Rd=-86725.20$ $N,Ed/N_c,Rd=0.10$

- Verifica a compressione (4.2.4.1.2.2) - CC 17 SLU $X_l=0.00$ - Classe 2
Sollecitazioni: $N=-15035.50$

Relazione di calcolo

Verifica a compressione [4.2.9]
N,Ed=-15035.50 Nc,Rd=-86725.20 N,Ed/Nc,Rd=0.17

- Verifiche di duttilità [7.5.3]:
q₀=4.00 N,Ed=-15035.50 N_{pl},Rd=86725.20 N,Ed/N_{pl},Rd=0.17 (sfrut=0.58)

- Verifica di stabilità (4.2.4.1.3.1) - CC 17 SLU
Sollecitazioni: N=-15035.50
L=2.65
λ=45.88 Ncr=252594.00 λ*=0.60
Curva a: Φ=0.72 χ_{min}=0.89 N,Ed=-15035.50 Nb,Rd=77171.20 N,Ed/Nb,Rd=0.19

- Verifica Spostamento relativo massimo per singola asta - CC 22
δ=0.00 (L/102148)

Asta n. 96 (96 1096) Sez. 1 Pilastro__CHS168.3x5 Crit. 1

- Verifica a compressione (4.2.4.1.2.2) - CC 1 SND Xl=0.00 - Classe 3
Sollecitazioni: N=-13068.80
Verifica a compressione [4.2.9]
N,Ed=-13068.80 Nc,Rd=-86725.20 N,Ed/Nc,Rd=0.15

- Verifica a compressione (4.2.4.1.2.2) - CC 17 SLU Xl=0.00 - Classe 2
Sollecitazioni: N=-24034.70
Verifica a compressione [4.2.9]
N,Ed=-24034.70 Nc,Rd=-86725.20 N,Ed/Nc,Rd=0.28

- Verifiche di duttilità [7.5.3]:
q₀=4.00 N,Ed=-24034.70 N_{pl},Rd=86725.20 N,Ed/N_{pl},Rd=0.28 (sfrut=0.92)

- Verifica di stabilità (4.2.4.1.3.1) - CC 17 SLU
Sollecitazioni: N=-24034.70
L=2.65
λ=45.88 Ncr=252594.00 λ*=0.60
Curva a: Φ=0.72 χ_{min}=0.89 N,Ed=-24034.70 Nb,Rd=77171.20 N,Ed/Nb,Rd=0.31

- Verifica Spostamento relativo massimo per singola asta - CC 22
δ=0.00 (L/105861)

Asta n. 97 (97 1097) Sez. 1 Pilastro__CHS168.3x5 Crit. 1

- Verifica a compressione (4.2.4.1.2.2) - CC 13 SND Xl=0.00 - Classe 3
Sollecitazioni: N=-10812.80
Verifica a compressione [4.2.9]
N,Ed=-10812.80 Nc,Rd=-86725.20 N,Ed/Nc,Rd=0.12

- Verifica a compressione (4.2.4.1.2.2) - CC 17 SLU Xl=0.00 - Classe 2
Sollecitazioni: N=-19798.10
Verifica a compressione [4.2.9]
N,Ed=-19798.10 Nc,Rd=-86725.20 N,Ed/Nc,Rd=0.23

- Verifiche di duttilità [7.5.3]:
q₀=4.00 N,Ed=-19798.10 N_{pl},Rd=86725.20 N,Ed/N_{pl},Rd=0.23 (sfrut=0.76)

- Verifica di stabilità (4.2.4.1.3.1) - CC 17 SLU
Sollecitazioni: N=-19798.10
L=2.65
λ=45.88 Ncr=252594.00 λ*=0.60
Curva a: Φ=0.72 χ_{min}=0.89 N,Ed=-19798.10 Nb,Rd=77171.20 N,Ed/Nb,Rd=0.26

- Verifica Spostamento relativo massimo per singola asta - CC 22
δ=0.00 (L/104779)

Asta n. 98 (98 1098) Sez. 1 Pilastro__CHS168.3x5 Crit. 1

- Verifica a compressione (4.2.4.1.2.2) - CC 1 SND Xl=0.00 - Classe 3
Sollecitazioni: N=-13068.80
Verifica a compressione [4.2.9]
N,Ed=-13068.80 Nc,Rd=-86725.20 N,Ed/Nc,Rd=0.15

- Verifica a compressione (4.2.4.1.2.2) - CC 17 SLU Xl=0.00 - Classe 2
Sollecitazioni: N=-24034.70
Verifica a compressione [4.2.9]
N,Ed=-24034.70 Nc,Rd=-86725.20 N,Ed/Nc,Rd=0.28

- Verifiche di duttilità [7.5.3]:
q₀=4.00 N,Ed=-24034.70 N_{pl},Rd=86725.20 N,Ed/N_{pl},Rd=0.28 (sfrut=0.92)

- Verifica di stabilità (4.2.4.1.3.1) - CC 17 SLU
Sollecitazioni: N=-24034.70

Relazione di calcolo

L=2.65
 $\lambda=45.88$ Ncr=252594.00 $\lambda^*=0.60$
Curva a: $\Phi=0.72$ $\chi_{\min}=0.89$ N,Ed=-24034.70 Nb,Rd=77171.20 N,Ed/Nb,Rd=0.31

- Verifica Spostamento relativo massimo per singola asta - CC 22
 $\delta=0.00$ (L/111149)

Asta n. 99 (99 1099) Sez. 1 Pilastro__CHS168.3x5 Crit. 1

- Verifica a compressione (4.2.4.1.2.2) - CC 1 SND Xl=0.00 - Classe 3
Sollecitazioni: N=-10231.20
Verifica a compressione [4.2.9]
N,Ed=-10231.20 Nc,Rd=-86725.20 N,Ed/Nc,Rd=0.12

- Verifica a compressione (4.2.4.1.2.2) - CC 17 SLU Xl=0.00 - Classe 2
Sollecitazioni: N=-18738.40
Verifica a compressione [4.2.9]
N,Ed=-18738.40 Nc,Rd=-86725.20 N,Ed/Nc,Rd=0.22

- Verifiche di duttilità [7.5.3]:
 $q_0=4.00$ N,Ed=-18738.40 Npl,Rd=86725.20 N,Ed/Npl,Rd=0.22 (sfrut=0.72)

- Verifica di stabilità (4.2.4.1.3.1) - CC 17 SLU
Sollecitazioni: N=-18738.40
L=2.65
 $\lambda=45.88$ Ncr=252594.00 $\lambda^*=0.60$
Curva a: $\Phi=0.72$ $\chi_{\min}=0.89$ N,Ed=-18738.40 Nb,Rd=77171.20 N,Ed/Nb,Rd=0.24

- Verifica Spostamento relativo massimo per singola asta - CC 22
 $\delta=0.00$ (L/106874)

Asta n. 100 (100 1100) Sez. 1 Pilastro__CHS168.3x5 Crit. 1

- Verifica a compressione (4.2.4.1.2.2) - CC 1 SND Xl=0.00 - Classe 3
Sollecitazioni: N=-8309.84
Verifica a compressione [4.2.9]
N,Ed=-8309.84 Nc,Rd=-86725.20 N,Ed/Nc,Rd=0.10

- Verifica a compressione (4.2.4.1.2.2) - CC 17 SLU Xl=0.00 - Classe 2
Sollecitazioni: N=-15055.70
Verifica a compressione [4.2.9]
N,Ed=-15055.70 Nc,Rd=-86725.20 N,Ed/Nc,Rd=0.17

- Verifiche di duttilità [7.5.3]:
 $q_0=4.00$ N,Ed=-15055.70 Npl,Rd=86725.20 N,Ed/Npl,Rd=0.17 (sfrut=0.58)

- Verifica di stabilità (4.2.4.1.3.1) - CC 17 SLU
Sollecitazioni: N=-15055.70
L=2.65
 $\lambda=45.88$ Ncr=252594.00 $\lambda^*=0.60$
Curva a: $\Phi=0.72$ $\chi_{\min}=0.89$ N,Ed=-15055.70 Nb,Rd=77171.20 N,Ed/Nb,Rd=0.20

- Verifica Spostamento relativo massimo per singola asta - CC 22
 $\delta=0.00$ (L/106874)

Asta n. 101 (101 1101) Sez. 1 Pilastro__CHS168.3x5 Crit. 1

- Verifica a compressione (4.2.4.1.2.2) - CC 1 SND Xl=0.00 - Classe 3
Sollecitazioni: N=-13068.80
Verifica a compressione [4.2.9]
N,Ed=-13068.80 Nc,Rd=-86725.20 N,Ed/Nc,Rd=0.15

- Verifica a compressione (4.2.4.1.2.2) - CC 17 SLU Xl=0.00 - Classe 2
Sollecitazioni: N=-24034.70
Verifica a compressione [4.2.9]
N,Ed=-24034.70 Nc,Rd=-86725.20 N,Ed/Nc,Rd=0.28

- Verifiche di duttilità [7.5.3]:
 $q_0=4.00$ N,Ed=-24034.70 Npl,Rd=86725.20 N,Ed/Npl,Rd=0.28 (sfrut=0.92)

- Verifica di stabilità (4.2.4.1.3.1) - CC 17 SLU
Sollecitazioni: N=-24034.70
L=2.65
 $\lambda=45.88$ Ncr=252594.00 $\lambda^*=0.60$
Curva a: $\Phi=0.72$ $\chi_{\min}=0.89$ N,Ed=-24034.70 Nb,Rd=77171.20 N,Ed/Nb,Rd=0.31

- Verifica Spostamento relativo massimo per singola asta - CC 22
 $\delta=0.00$ (L/106874)

Asta n. 102 (102 1102) Sez. 1 Pilastro__CHS168.3x5 Crit. 1

Relazione di calcolo

- Verifica a compressione (4.2.4.1.2.2) - CC 1 SND $X_l=0.00$ - Classe 3
Sollecitazioni: $N=-13068.80$
Verifica a compressione [4.2.9]
 $N,Ed=-13068.80$ $N_c,Rd=-86725.20$ $N,Ed/N_c,Rd=0.15$

- Verifica a compressione (4.2.4.1.2.2) - CC 17 SLU $X_l=0.00$ - Classe 2
Sollecitazioni: $N=-24034.70$
Verifica a compressione [4.2.9]
 $N,Ed=-24034.70$ $N_c,Rd=-86725.20$ $N,Ed/N_c,Rd=0.28$

- Verifiche di duttilità [7.5.3]:
 $q_0=4.00$ $N,Ed=-24034.70$ $N_{pl},Rd=86725.20$ $N,Ed/N_{pl},Rd=0.28$ (sfrut=0.92)

- Verifica di stabilità (4.2.4.1.3.1) - CC 17 SLU
Sollecitazioni: $N=-24034.70$
 $L=2.65$
 $\lambda=45.88$ $N_{cr}=252594.00$ $\lambda^*=0.60$
Curva a: $\Phi=0.72$ $\chi_{min}=0.89$ $N,Ed=-24034.70$ $N_b,Rd=77171.20$ $N,Ed/N_b,Rd=0.31$

- Verifica Spostamento relativo massimo per singola asta - CC 22
 $\delta=0.00$ ($L/102148$)

Asta n. 103 (103 1103) Sez. 1 Pilastro__CHS168.3x5 Crit. 1

- Verifica a compressione (4.2.4.1.2.2) - CC 5 SND $X_l=0.00$ - Classe 3
Sollecitazioni: $N=-11004.80$
Verifica a compressione [4.2.9]
 $N,Ed=-11004.80$ $N_c,Rd=-86725.20$ $N,Ed/N_c,Rd=0.13$

- Verifica a compressione (4.2.4.1.2.2) - CC 17 SLU $X_l=0.00$ - Classe 2
Sollecitazioni: $N=-20021.90$
Verifica a compressione [4.2.9]
 $N,Ed=-20021.90$ $N_c,Rd=-86725.20$ $N,Ed/N_c,Rd=0.23$

- Verifiche di duttilità [7.5.3]:
 $q_0=4.00$ $N,Ed=-20021.90$ $N_{pl},Rd=86725.20$ $N,Ed/N_{pl},Rd=0.23$ (sfrut=0.77)

- Verifica di stabilità (4.2.4.1.3.1) - CC 17 SLU
Sollecitazioni: $N=-20021.90$
 $L=2.65$
 $\lambda=45.88$ $N_{cr}=252594.00$ $\lambda^*=0.60$
Curva a: $\Phi=0.72$ $\chi_{min}=0.89$ $N,Ed=-20021.90$ $N_b,Rd=77171.20$ $N,Ed/N_b,Rd=0.26$

- Verifica Spostamento relativo massimo per singola asta - CC 22
 $\delta=0.00$ ($L/102148$)

Asta n. 104 (104 1104) Sez. 1 Pilastro__CHS168.3x5 Crit. 1

- Verifica a compressione (4.2.4.1.2.2) - CC 1 SND $X_l=0.00$ - Classe 3
Sollecitazioni: $N=-7359.74$
Verifica a compressione [4.2.9]
 $N,Ed=-7359.74$ $N_c,Rd=-86725.20$ $N,Ed/N_c,Rd=0.08$

- Verifica a compressione (4.2.4.1.2.2) - CC 17 SLU $X_l=0.00$ - Classe 2
Sollecitazioni: $N=-12982.50$
Verifica a compressione [4.2.9]
 $N,Ed=-12982.50$ $N_c,Rd=-86725.20$ $N,Ed/N_c,Rd=0.15$

- Verifiche di duttilità [7.5.3]:
 $q_0=4.00$ $N,Ed=-12982.50$ $N_{pl},Rd=86725.20$ $N,Ed/N_{pl},Rd=0.15$ (sfrut=0.50)

- Verifica di stabilità (4.2.4.1.3.1) - CC 17 SLU
Sollecitazioni: $N=-12982.50$
 $L=2.65$
 $\lambda=45.88$ $N_{cr}=252594.00$ $\lambda^*=0.60$
Curva a: $\Phi=0.72$ $\chi_{min}=0.89$ $N,Ed=-12982.50$ $N_b,Rd=77171.20$ $N,Ed/N_b,Rd=0.17$

- Verifica Spostamento relativo massimo per singola asta - CC 22
 $\delta=0.00$ ($L/109838$)

Asta n. 105 (105 1105) Sez. 1 Pilastro__CHS168.3x5 Crit. 1

- Verifica a compressione (4.2.4.1.2.2) - CC 1 SND $X_l=0.00$ - Classe 3
Sollecitazioni: $N=-5007.63$
Verifica a compressione [4.2.9]
 $N,Ed=-5007.63$ $N_c,Rd=-86725.20$ $N,Ed/N_c,Rd=0.06$

- Verifica a compressione (4.2.4.1.2.2) - CC 17 SLU $X_l=0.00$ - Classe 2
Sollecitazioni: $N=-8637.12$

Relazione di calcolo

Verifica a compressione [4.2.9]
N,Ed=-8637.12 Nc,Rd=-86725.20 N,Ed/Nc,Rd=0.10

- Verifiche di duttilità [7.5.3]:
q₀=4.00 N,Ed=-8637.12 N_{pl},Rd=86725.20 N,Ed/N_{pl},Rd=0.10 (sfrut=0.33)

- Verifica Spostamento relativo massimo per singola asta - CC 22
δ=0.00 (L/118701)

Asta n. 106 (106 1106) Sez. 1 Pilastro__CHS168.3x5 Crit. 1

- Verifica a compressione (4.2.4.1.2.2) - CC 1 SND Xl=0.00 - Classe 3
Sollecitazioni: N=-13495.90
Verifica a compressione [4.2.9]
N,Ed=-13495.90 Nc,Rd=-86725.20 N,Ed/Nc,Rd=0.16

- Verifica a compressione (4.2.4.1.2.2) - CC 17 SLU Xl=0.00 - Classe 2
Sollecitazioni: N=-18098.30
Verifica a compressione [4.2.9]
N,Ed=-18098.30 Nc,Rd=-86725.20 N,Ed/Nc,Rd=0.21

- Verifiche di duttilità [7.5.3]:
q₀=4.00 N,Ed=-18098.30 N_{pl},Rd=86725.20 N,Ed/N_{pl},Rd=0.21 (sfrut=0.70)

- Verifica di stabilità (4.2.4.1.3.1) - CC 17 SLU
Sollecitazioni: N=-18098.30
L=2.65
λ=45.88 Ncr=252594.00 λ*=0.60
Curva a: Φ=0.72 χ_{min}=0.89 N,Ed=-18098.30 Nb,Rd=77171.20 N,Ed/Nb,Rd=0.23

- Verifica Spostamento relativo massimo per singola asta - CC 22
δ=0.00 (L/114108)

Asta n. 107 (107 1107) Sez. 1 Pilastro__CHS168.3x5 Crit. 1

- Verifica a compressione (4.2.4.1.2.2) - CC 13 SND Xl=0.00 - Classe 3
Sollecitazioni: N=-10549.30
Verifica a compressione [4.2.9]
N,Ed=-10549.30 Nc,Rd=-86725.20 N,Ed/Nc,Rd=0.12

- Verifica a compressione (4.2.4.1.2.2) - CC 17 SLU Xl=0.00 - Classe 2
Sollecitazioni: N=-19187.50
Verifica a compressione [4.2.9]
N,Ed=-19187.50 Nc,Rd=-86725.20 N,Ed/Nc,Rd=0.22

- Verifiche di duttilità [7.5.3]:
q₀=4.00 N,Ed=-19187.50 N_{pl},Rd=86725.20 N,Ed/N_{pl},Rd=0.22 (sfrut=0.74)

- Verifica di stabilità (4.2.4.1.3.1) - CC 17 SLU
Sollecitazioni: N=-19187.50
L=2.65
λ=45.88 Ncr=252594.00 λ*=0.60
Curva a: Φ=0.72 χ_{min}=0.89 N,Ed=-19187.50 Nb,Rd=77171.20 N,Ed/Nb,Rd=0.25

- Verifica Spostamento relativo massimo per singola asta - CC 22
δ=0.00 (L/115631)

Asta n. 108 (108 1108) Sez. 1 Pilastro__CHS168.3x5 Crit. 1

- Verifica a compressione (4.2.4.1.2.2) - CC 9 SND Xl=0.00 - Classe 3
Sollecitazioni: N=-15068.90
Verifica a compressione [4.2.9]
N,Ed=-15068.90 Nc,Rd=-86725.20 N,Ed/Nc,Rd=0.17

- Verifica a compressione (4.2.4.1.2.2) - CC 17 SLU Xl=0.00 - Classe 2
Sollecitazioni: N=-21409.40
Verifica a compressione [4.2.9]
N,Ed=-21409.40 Nc,Rd=-86725.20 N,Ed/Nc,Rd=0.25

- Verifiche di duttilità [7.5.3]:
q₀=4.00 N,Ed=-21409.40 N_{pl},Rd=86725.20 N,Ed/N_{pl},Rd=0.25 (sfrut=0.82)

- Verifica di stabilità (4.2.4.1.3.1) - CC 17 SLU
Sollecitazioni: N=-21409.40
L=2.65
λ=45.88 Ncr=252594.00 λ*=0.60
Curva a: Φ=0.72 χ_{min}=0.89 N,Ed=-21409.40 Nb,Rd=77171.20 N,Ed/Nb,Rd=0.28

- Verifica Spostamento relativo massimo per singola asta - CC 22
δ=0.00 (L/120814)

Relazione di calcolo

Asta n. 109 (109 1109) Sez. 1 Pilastro__CHS168.3x5 Crit. 1

-
- Verifica a compressione (4.2.4.1.2.2) - CC 1 SND $X_l=0.00$ - Classe 3
Sollecitazioni: $N=-12959.80$
Verifica a compressione [4.2.9]
 $N,Ed=-12959.80$ $N_c,Rd=-86725.20$ $N,Ed/N_c,Rd=0.15$
 - Verifica a compressione (4.2.4.1.2.2) - CC 17 SLU $X_l=0.00$ - Classe 2
Sollecitazioni: $N=-17274.90$
Verifica a compressione [4.2.9]
 $N,Ed=-17274.90$ $N_c,Rd=-86725.20$ $N,Ed/N_c,Rd=0.20$
 - Verifiche di duttilità [7.5.3]:
 $q_0=4.00$ $N,Ed=-17274.90$ $N_{pl},Rd=86725.20$ $N,Ed/N_{pl},Rd=0.20$ (sfrut=0.66)
 - Verifica di stabilità (4.2.4.1.3.1) - CC 17 SLU
Sollecitazioni: $N=-17274.90$
 $L=2.65$
 $\lambda=45.88$ $N_{cr}=252594.00$ $\lambda^*=0.60$
Curva a: $\Phi=0.72$ $\chi_{min}=0.89$ $N,Ed=-17274.90$ $N_b,Rd=77171.20$ $N,Ed/N_b,Rd=0.22$
 - Verifica Spostamento relativo massimo per singola asta - CC 22
 $\delta=0.00$ ($L/126305$)

Asta n. 110 (110 1110) Sez. 1 Pilastro__CHS168.3x5 Crit. 1

-
- Verifica a compressione (4.2.4.1.2.2) - CC 5 SND $X_l=0.00$ - Classe 3
Sollecitazioni: $N=-8299.37$
Verifica a compressione [4.2.9]
 $N,Ed=-8299.37$ $N_c,Rd=-86725.20$ $N,Ed/N_c,Rd=0.10$
 - Verifica a compressione (4.2.4.1.2.2) - CC 17 SLU $X_l=0.00$ - Classe 2
Sollecitazioni: $N=-14948.70$
Verifica a compressione [4.2.9]
 $N,Ed=-14948.70$ $N_c,Rd=-86725.20$ $N,Ed/N_c,Rd=0.17$
 - Verifiche di duttilità [7.5.3]:
 $q_0=4.00$ $N,Ed=-14948.70$ $N_{pl},Rd=86725.20$ $N,Ed/N_{pl},Rd=0.17$ (sfrut=0.57)
 - Verifica di stabilità (4.2.4.1.3.1) - CC 17 SLU
Sollecitazioni: $N=-14948.70$
 $L=2.65$
 $\lambda=45.88$ $N_{cr}=252594.00$ $\lambda^*=0.60$
Curva a: $\Phi=0.72$ $\chi_{min}=0.89$ $N,Ed=-14948.70$ $N_b,Rd=77171.20$ $N,Ed/N_b,Rd=0.19$
 - Verifica Spostamento relativo massimo per singola asta - CC 22
 $\delta=0.00$ ($L/126305$)

Asta n. 111 (111 1111) Sez. 1 Pilastro__CHS168.3x5 Crit. 1

-
- Verifica a compressione (4.2.4.1.2.2) - CC 9 SND $X_l=0.00$ - Classe 3
Sollecitazioni: $N=-15130.40$
Verifica a compressione [4.2.9]
 $N,Ed=-15130.40$ $N_c,Rd=-86725.20$ $N,Ed/N_c,Rd=0.17$
 - Verifica a compressione (4.2.4.1.2.2) - CC 17 SLU $X_l=0.00$ - Classe 2
Sollecitazioni: $N=-21355.20$
Verifica a compressione [4.2.9]
 $N,Ed=-21355.20$ $N_c,Rd=-86725.20$ $N,Ed/N_c,Rd=0.25$
 - Verifiche di duttilità [7.5.3]:
 $q_0=4.00$ $N,Ed=-21355.20$ $N_{pl},Rd=86725.20$ $N,Ed/N_{pl},Rd=0.25$ (sfrut=0.82)
 - Verifica di stabilità (4.2.4.1.3.1) - CC 17 SLU
Sollecitazioni: $N=-21355.20$
 $L=2.65$
 $\lambda=45.88$ $N_{cr}=252594.00$ $\lambda^*=0.60$
Curva a: $\Phi=0.72$ $\chi_{min}=0.89$ $N,Ed=-21355.20$ $N_b,Rd=77171.20$ $N,Ed/N_b,Rd=0.28$
 - Verifica Spostamento relativo massimo per singola asta - CC 22
 $\delta=0.00$ ($L/126305$)

Asta n. 112 (112 1112) Sez. 1 Pilastro__CHS168.3x5 Crit. 1

-
- Verifica a compressione (4.2.4.1.2.2) - CC 1 SND $X_l=0.00$ - Classe 3
Sollecitazioni: $N=-14910.60$
Verifica a compressione [4.2.9]
 $N,Ed=-14910.60$ $N_c,Rd=-86725.20$ $N,Ed/N_c,Rd=0.17$

Relazione di calcolo

- Verifica a compressione (4.2.4.1.2.2) - CC 17 SLU $X_l=0.00$ - Classe 2
Sollecitazioni: $N=-21109.80$
Verifica a compressione [4.2.9]
 $N,Ed=-21109.80$ $N_c,Rd=-86725.20$ $N,Ed/N_c,Rd=0.24$

- Verifiche di duttilità [7.5.3]:
 $q_0=4.00$ $N,Ed=-21109.80$ $N_{pl},Rd=86725.20$ $N,Ed/N_{pl},Rd=0.24$ (sfrut=0.81)

- Verifica di stabilità (4.2.4.1.3.1) - CC 17 SLU
Sollecitazioni: $N=-21109.80$
 $L=2.65$
 $\lambda=45.88$ $N_{cr}=252594.00$ $\lambda^*=0.60$
Curva a: $\Phi=0.72$ $\chi_{min}=0.89$ $N,Ed=-21109.80$ $N_b,Rd=77171.20$ $N,Ed/N_b,Rd=0.27$

- Verifica Spostamento relativo massimo per singola asta - CC 22
 $\delta=0.00$ (L/118701)

Asta n. 113 (113 1113) Sez. 1 Pilastro__CHS168.3x5 Crit. 1

- Verifica a compressione (4.2.4.1.2.2) - CC 5 SND $X_l=0.00$ - Classe 3
Sollecitazioni: $N=-13220.10$
Verifica a compressione [4.2.9]
 $N,Ed=-13220.10$ $N_c,Rd=-86725.20$ $N,Ed/N_c,Rd=0.15$

- Verifica a compressione (4.2.4.1.2.2) - CC 17 SLU $X_l=0.00$ - Classe 2
Sollecitazioni: $N=-19485.50$
Verifica a compressione [4.2.9]
 $N,Ed=-19485.50$ $N_c,Rd=-86725.20$ $N,Ed/N_c,Rd=0.22$

- Verifiche di duttilità [7.5.3]:
 $q_0=4.00$ $N,Ed=-19485.50$ $N_{pl},Rd=86725.20$ $N,Ed/N_{pl},Rd=0.22$ (sfrut=0.75)

- Verifica di stabilità (4.2.4.1.3.1) - CC 17 SLU
Sollecitazioni: $N=-19485.50$
 $L=2.65$
 $\lambda=45.88$ $N_{cr}=252594.00$ $\lambda^*=0.60$
Curva a: $\Phi=0.72$ $\chi_{min}=0.89$ $N,Ed=-19485.50$ $N_b,Rd=77171.20$ $N,Ed/N_b,Rd=0.25$

- Verifica Spostamento relativo massimo per singola asta - CC 22
 $\delta=0.00$ (L/118701)

Asta n. 114 (114 1114) Sez. 1 Pilastro__CHS168.3x5 Crit. 1

- Verifica a compressione (4.2.4.1.2.2) - CC 9 SND $X_l=0.00$ - Classe 3
Sollecitazioni: $N=-10530.80$
Verifica a compressione [4.2.9]
 $N,Ed=-10530.80$ $N_c,Rd=-86725.20$ $N,Ed/N_c,Rd=0.12$

- Verifica a compressione (4.2.4.1.2.2) - CC 17 SLU $X_l=0.00$ - Classe 2
Sollecitazioni: $N=-12632.50$
Verifica a compressione [4.2.9]
 $N,Ed=-12632.50$ $N_c,Rd=-86725.20$ $N,Ed/N_c,Rd=0.15$

- Verifiche di duttilità [7.5.3]:
 $q_0=4.00$ $N,Ed=-12632.50$ $N_{pl},Rd=86725.20$ $N,Ed/N_{pl},Rd=0.15$ (sfrut=0.49)

- Verifica di stabilità (4.2.4.1.3.1) - CC 17 SLU
Sollecitazioni: $N=-12632.50$
 $L=2.65$
 $\lambda=45.88$ $N_{cr}=252594.00$ $\lambda^*=0.60$
Curva a: $\Phi=0.72$ $\chi_{min}=0.89$ $N,Ed=-12632.50$ $N_b,Rd=77171.20$ $N,Ed/N_b,Rd=0.16$

- Verifica Spostamento relativo massimo per singola asta - CC 22
 $\delta=0.00$ (L/109838)

Asta n. 115 (115 1115) Sez. 1 Pilastro__CHS168.3x5 Crit. 1

- Verifica a compressione (4.2.4.1.2.2) - CC 1 SND $X_l=0.00$ - Classe 3
Sollecitazioni: $N=-7359.74$
Verifica a compressione [4.2.9]
 $N,Ed=-7359.74$ $N_c,Rd=-86725.20$ $N,Ed/N_c,Rd=0.08$

- Verifica a compressione (4.2.4.1.2.2) - CC 17 SLU $X_l=0.00$ - Classe 2
Sollecitazioni: $N=-12982.50$
Verifica a compressione [4.2.9]
 $N,Ed=-12982.50$ $N_c,Rd=-86725.20$ $N,Ed/N_c,Rd=0.15$

- Verifiche di duttilità [7.5.3]:
 $q_0=4.00$ $N,Ed=-12982.50$ $N_{pl},Rd=86725.20$ $N,Ed/N_{pl},Rd=0.15$ (sfrut=0.50)

Relazione di calcolo

-
- Verifica di stabilità (4.2.4.1.3.1) - CC 17 SLU
Sollecitazioni: $N=-12982.50$
 $L=2.65$
 $\lambda=45.88$ $N_{cr}=252594.00$ $\lambda^*=0.60$
Curva a: $\Phi=0.72$ $\chi_{min}=0.89$ $N_{Ed}=-12982.50$ $N_{b,Rd}=77171.20$ $N_{Ed}/N_{b,Rd}=0.17$
 - Verifica Spostamento relativo massimo per singola asta - CC 22
 $\delta=0.00$ ($L/128999$)

Asta n. 116 (116 1116) Sez. 1 Pilastro__CHS168.3x5 Crit. 1

-
- Verifica a compressione (4.2.4.1.2.2) - CC 13 SND $X_1=0.00$ - Classe 3
Sollecitazioni: $N=-10901.20$
Verifica a compressione [4.2.9]
 $N_{Ed}=-10901.20$ $N_{c,Rd}=-86725.20$ $N_{Ed}/N_{c,Rd}=0.13$
 - Verifica a compressione (4.2.4.1.2.2) - CC 17 SLU $X_1=0.00$ - Classe 2
Sollecitazioni: $N=-19771.00$
Verifica a compressione [4.2.9]
 $N_{Ed}=-19771.00$ $N_{c,Rd}=-86725.20$ $N_{Ed}/N_{c,Rd}=0.23$
 - Verifiche di duttilità [7.5.3]:
 $q_0=4.00$ $N_{Ed}=-19771.00$ $N_{pl,Rd}=86725.20$ $N_{Ed}/N_{pl,Rd}=0.23$ (sfrut=0.76)
 - Verifica di stabilità (4.2.4.1.3.1) - CC 17 SLU
Sollecitazioni: $N=-19771.00$
 $L=2.65$
 $\lambda=45.88$ $N_{cr}=252594.00$ $\lambda^*=0.60$
Curva a: $\Phi=0.72$ $\chi_{min}=0.89$ $N_{Ed}=-19771.00$ $N_{b,Rd}=77171.20$ $N_{Ed}/N_{b,Rd}=0.26$
 - Verifica Spostamento relativo massimo per singola asta - CC 22
 $\delta=0.00$ ($L/128798$)

Asta n. 117 (117 1117) Sez. 1 Pilastro__CHS168.3x5 Crit. 1

-
- Verifica a compressione (4.2.4.1.2.2) - CC 1 SND $X_1=0.00$ - Classe 3
Sollecitazioni: $N=-13068.80$
Verifica a compressione [4.2.9]
 $N_{Ed}=-13068.80$ $N_{c,Rd}=-86725.20$ $N_{Ed}/N_{c,Rd}=0.15$
 - Verifica a compressione (4.2.4.1.2.2) - CC 17 SLU $X_1=0.00$ - Classe 2
Sollecitazioni: $N=-24034.70$
Verifica a compressione [4.2.9]
 $N_{Ed}=-24034.70$ $N_{c,Rd}=-86725.20$ $N_{Ed}/N_{c,Rd}=0.28$
 - Verifiche di duttilità [7.5.3]:
 $q_0=4.00$ $N_{Ed}=-24034.70$ $N_{pl,Rd}=86725.20$ $N_{Ed}/N_{pl,Rd}=0.28$ (sfrut=0.92)
 - Verifica di stabilità (4.2.4.1.3.1) - CC 17 SLU
Sollecitazioni: $N=-24034.70$
 $L=2.65$
 $\lambda=45.88$ $N_{cr}=252594.00$ $\lambda^*=0.60$
Curva a: $\Phi=0.72$ $\chi_{min}=0.89$ $N_{Ed}=-24034.70$ $N_{b,Rd}=77171.20$ $N_{Ed}/N_{b,Rd}=0.31$
 - Verifica Spostamento relativo massimo per singola asta - CC 22
 $\delta=0.00$ ($L/138936$)

Asta n. 118 (118 1118) Sez. 1 Pilastro__CHS168.3x5 Crit. 1

-
- Verifica a compressione (4.2.4.1.2.2) - CC 1 SND $X_1=0.00$ - Classe 3
Sollecitazioni: $N=-14288.60$
Verifica a compressione [4.2.9]
 $N_{Ed}=-14288.60$ $N_{c,Rd}=-86725.20$ $N_{Ed}/N_{c,Rd}=0.16$
 - Verifica a compressione (4.2.4.1.2.2) - CC 17 SLU $X_1=0.00$ - Classe 2
Sollecitazioni: $N=-17190.20$
Verifica a compressione [4.2.9]
 $N_{Ed}=-17190.20$ $N_{c,Rd}=-86725.20$ $N_{Ed}/N_{c,Rd}=0.20$
 - Verifiche di duttilità [7.5.3]:
 $q_0=4.00$ $N_{Ed}=-17190.20$ $N_{pl,Rd}=86725.20$ $N_{Ed}/N_{pl,Rd}=0.20$ (sfrut=0.66)
 - Verifica di stabilità (4.2.4.1.3.1) - CC 17 SLU
Sollecitazioni: $N=-17190.20$
 $L=2.65$
 $\lambda=45.88$ $N_{cr}=252594.00$ $\lambda^*=0.60$
Curva a: $\Phi=0.72$ $\chi_{min}=0.89$ $N_{Ed}=-17190.20$ $N_{b,Rd}=77171.20$ $N_{Ed}/N_{b,Rd}=0.22$
 - Verifica Spostamento relativo massimo per singola asta - CC 22
 $\delta=0.00$ ($L/138936$)

Relazione di calcolo

Asta n. 119 (119 1119) Sez. 1 Pilastro__CHS168.3x5 Crit. 1

-
- Verifica a compressione (4.2.4.1.2.2) - CC 5 SND $X_l=0.00$ - Classe 3
Sollecitazioni: $N=-8999.50$
Verifica a compressione [4.2.9]
 $N, Ed=-8999.50$ $N_c, Rd=-86725.20$ $N, Ed/N_c, Rd=0.10$
 - Verifica a compressione (4.2.4.1.2.2) - CC 17 SLU $X_l=0.00$ - Classe 2
Sollecitazioni: $N=-11650.40$
Verifica a compressione [4.2.9]
 $N, Ed=-11650.40$ $N_c, Rd=-86725.20$ $N, Ed/N_c, Rd=0.13$
 - Verifiche di duttilità [7.5.3]:
 $q_0=4.00$ $N, Ed=-11650.40$ $N_{pl}, Rd=86725.20$ $N, Ed/N_{pl}, Rd=0.13$ (sfrut=0.45)
 - Verifica di stabilità (4.2.4.1.3.1) - CC 17 SLU
Sollecitazioni: $N=-11650.40$
 $L=2.65$
 $\lambda=45.88$ $N_{cr}=252594.00$ $\lambda^*=0.60$
Curva a: $\Phi=0.72$ $\chi_{min}=0.89$ $N, Ed=-11650.40$ $N_b, Rd=77171.20$ $N, Ed/N_b, Rd=0.15$
 - Verifica Spostamento relativo massimo per singola asta - CC 22
 $\delta=0.00$ (L/138936)

Asta n. 120 (120 1120) Sez. 1 Pilastro__CHS168.3x5 Crit. 1

-
- Verifica a compressione (4.2.4.1.2.2) - CC 9 SND $X_l=0.00$ - Classe 3
Sollecitazioni: $N=-8563.85$
Verifica a compressione [4.2.9]
 $N, Ed=-8563.85$ $N_c, Rd=-86725.20$ $N, Ed/N_c, Rd=0.10$
 - Verifica a compressione (4.2.4.1.2.2) - CC 17 SLU $X_l=0.00$ - Classe 2
Sollecitazioni: $N=-13090.70$
Verifica a compressione [4.2.9]
 $N, Ed=-13090.70$ $N_c, Rd=-86725.20$ $N, Ed/N_c, Rd=0.15$
 - Verifiche di duttilità [7.5.3]:
 $q_0=4.00$ $N, Ed=-13090.70$ $N_{pl}, Rd=86725.20$ $N, Ed/N_{pl}, Rd=0.15$ (sfrut=0.50)
 - Verifica di stabilità (4.2.4.1.3.1) - CC 17 SLU
Sollecitazioni: $N=-13090.70$
 $L=2.65$
 $\lambda=45.88$ $N_{cr}=252594.00$ $\lambda^*=0.60$
Curva a: $\Phi=0.72$ $\chi_{min}=0.89$ $N, Ed=-13090.70$ $N_b, Rd=77171.20$ $N, Ed/N_b, Rd=0.17$
 - Verifica Spostamento relativo massimo per singola asta - CC 22
 $\delta=0.00$ (L/126305)

Asta n. 121 (121 1121) Sez. 1 Pilastro__CHS168.3x5 Crit. 1

-
- Verifica a compressione (4.2.4.1.2.2) - CC 1 SND $X_l=0.00$ - Classe 3
Sollecitazioni: $N=-8010.71$
Verifica a compressione [4.2.9]
 $N, Ed=-8010.71$ $N_c, Rd=-86725.20$ $N, Ed/N_c, Rd=0.09$
 - Verifica a compressione (4.2.4.1.2.2) - CC 17 SLU $X_l=0.00$ - Classe 2
Sollecitazioni: $N=-13370.80$
Verifica a compressione [4.2.9]
 $N, Ed=-13370.80$ $N_c, Rd=-86725.20$ $N, Ed/N_c, Rd=0.15$
 - Verifiche di duttilità [7.5.3]:
 $q_0=4.00$ $N, Ed=-13370.80$ $N_{pl}, Rd=86725.20$ $N, Ed/N_{pl}, Rd=0.15$ (sfrut=0.51)
 - Verifica di stabilità (4.2.4.1.3.1) - CC 17 SLU
Sollecitazioni: $N=-13370.80$
 $L=2.65$
 $\lambda=45.88$ $N_{cr}=252594.00$ $\lambda^*=0.60$
Curva a: $\Phi=0.72$ $\chi_{min}=0.89$ $N, Ed=-13370.80$ $N_b, Rd=77171.20$ $N, Ed/N_b, Rd=0.17$
 - Verifica Spostamento relativo massimo per singola asta - CC 22
 $\delta=0.00$ (L/118701)

Asta n. 122 (122 1122) Sez. 1 Pilastro__CHS168.3x5 Crit. 1

-
- Verifica a compressione (4.2.4.1.2.2) - CC 9 SND $X_l=0.00$ - Classe 3
Sollecitazioni: $N=-11165.00$
Verifica a compressione [4.2.9]
 $N, Ed=-11165.00$ $N_c, Rd=-86725.20$ $N, Ed/N_c, Rd=0.13$

Relazione di calcolo

- Verifica a compressione (4.2.4.1.2.2) - CC 17 SLU $X_l=0.00$ - Classe 2
Sollecitazioni: $N=-11219.50$
Verifica a compressione [4.2.9]
 $N, Ed=-11219.50$ $N_c, Rd=-86725.20$ $N, Ed/N_c, Rd=0.13$

- Verifiche di duttilità [7.5.3]:
 $q_0=4.00$ $N, Ed=-11219.50$ $N_{pl}, Rd=86725.20$ $N, Ed/N_{pl}, Rd=0.13$ (sfrut=0.43)

- Verifica di stabilità (4.2.4.1.3.1) - CC 17 SLU
Sollecitazioni: $N=-11219.50$
 $L=2.65$
 $\lambda=45.88$ $N_{cr}=252594.00$ $\lambda^*=0.60$
Curva a: $\Phi=0.72$ $\chi_{min}=0.89$ $N, Ed=-11219.50$ $N_b, Rd=77171.20$ $N, Ed/N_b, Rd=0.15$

- Verifica Spostamento relativo massimo per singola asta - CC 22
 $\delta=0.00$ (L/118701)

Asta n. 123 (123 1123) Sez. 1 Pilastro__CHS168.3x5 Crit. 1

- Verifica a compressione (4.2.4.1.2.2) - CC 1 SND $X_l=0.00$ - Classe 3
Sollecitazioni: $N=-4334.51$
Verifica a compressione [4.2.9]
 $N, Ed=-4334.51$ $N_c, Rd=-86725.20$ $N, Ed/N_c, Rd=0.05$

- Verifica a compressione (4.2.4.1.2.2) - CC 17 SLU $X_l=0.00$ - Classe 2
Sollecitazioni: $N=-7436.26$
Verifica a compressione [4.2.9]
 $N, Ed=-7436.26$ $N_c, Rd=-86725.20$ $N, Ed/N_c, Rd=0.09$

- Verifiche di duttilità [7.5.3]:
 $q_0=4.00$ $N, Ed=-7436.26$ $N_{pl}, Rd=86725.20$ $N, Ed/N_{pl}, Rd=0.09$ (sfrut=0.29)

- Verifica Spostamento relativo massimo per singola asta - CC 22
 $\delta=0.00$ (L/128999)

Asta n. 124 (124 1124) Sez. 1 Pilastro__CHS168.3x5 Crit. 1

- Verifica a compressione (4.2.4.1.2.2) - CC 1 SND $X_l=0.00$ - Classe 3
Sollecitazioni: $N=-7984.82$
Verifica a compressione [4.2.9]
 $N, Ed=-7984.82$ $N_c, Rd=-86725.20$ $N, Ed/N_c, Rd=0.09$

- Verifica a compressione (4.2.4.1.2.2) - CC 17 SLU $X_l=0.00$ - Classe 2
Sollecitazioni: $N=-7334.32$
Verifica a compressione [4.2.9]
 $N, Ed=-7334.32$ $N_c, Rd=-86725.20$ $N, Ed/N_c, Rd=0.08$

- Verifiche di duttilità [7.5.3]:
 $q_0=4.00$ $N, Ed=-7334.32$ $N_{pl}, Rd=86725.20$ $N, Ed/N_{pl}, Rd=0.08$ (sfrut=0.28)

- Verifica Spostamento relativo massimo per singola asta - CC 22
 $\delta=0.00$ (L/147896)

Asta n. 125 (125 1125) Sez. 1 Pilastro__CHS168.3x5 Crit. 1

- Verifica a compressione (4.2.4.1.2.2) - CC 13 SND $X_l=0.00$ - Classe 3
Sollecitazioni: $N=-10086.50$
Verifica a compressione [4.2.9]
 $N, Ed=-10086.50$ $N_c, Rd=-86725.20$ $N, Ed/N_c, Rd=0.12$

- Verifica a compressione (4.2.4.1.2.2) - CC 17 SLU $X_l=0.00$ - Classe 2
Sollecitazioni: $N=-11848.40$
Verifica a compressione [4.2.9]
 $N, Ed=-11848.40$ $N_c, Rd=-86725.20$ $N, Ed/N_c, Rd=0.14$

- Verifiche di duttilità [7.5.3]:
 $q_0=4.00$ $N, Ed=-11848.40$ $N_{pl}, Rd=86725.20$ $N, Ed/N_{pl}, Rd=0.14$ (sfrut=0.46)

- Verifica di stabilità (4.2.4.1.3.1) - CC 17 SLU
Sollecitazioni: $N=-11848.40$
 $L=2.65$
 $\lambda=45.88$ $N_{cr}=252594.00$ $\lambda^*=0.60$
Curva a: $\Phi=0.72$ $\chi_{min}=0.89$ $N, Ed=-11848.40$ $N_b, Rd=77171.20$ $N, Ed/N_b, Rd=0.15$

- Verifica Spostamento relativo massimo per singola asta - CC 22
 $\delta=0.00$ (L/145013)

Asta n. 126 (126 1126) Sez. 1 Pilastro__CHS168.3x5 Crit. 1

- Verifica a compressione (4.2.4.1.2.2) - CC 9 SND $X_l=0.00$ - Classe 3

Relazione di calcolo

Sollecitazioni: $N=-10747.10$
Verifica a compressione [4.2.9]
 $N,Ed=-10747.10$ $N_c,Rd=-86725.20$ $N,Ed/N_c,Rd=0.12$

- Verifica a compressione (4.2.4.1.2.2) - CC 17 SLU $X_l=0.00$ - Classe 2
Sollecitazioni: $N=-12316.10$
Verifica a compressione [4.2.9]
 $N,Ed=-12316.10$ $N_c,Rd=-86725.20$ $N,Ed/N_c,Rd=0.14$

- Verifiche di duttilità [7.5.3]:
 $q_0=4.00$ $N,Ed=-12316.10$ $N_{pl},Rd=86725.20$ $N,Ed/N_{pl},Rd=0.14$ (sfrut=0.47)

- Verifica di stabilità (4.2.4.1.3.1) - CC 17 SLU
Sollecitazioni: $N=-12316.10$
 $L=2.65$
 $\lambda=45.88$ $N_{cr}=252594.00$ $\lambda^*=0.60$
Curva a: $\Phi=0.72$ $\chi_{min}=0.89$ $N,Ed=-12316.10$ $N_b,Rd=77171.20$ $N,Ed/N_b,Rd=0.16$

- Verifica Spostamento relativo massimo per singola asta - CC 22
 $\delta=0.00$ (L/163454)

Asta n. 127 (127 1127) Sez. 1 Pilastro__CHS168.3x5 Crit. 1

- Verifica a compressione (4.2.4.1.2.2) - CC 5 SND $X_l=0.00$ - Classe 3
Sollecitazioni: $N=-6444.25$
Verifica a compressione [4.2.9]
 $N,Ed=-6444.25$ $N_c,Rd=-86725.20$ $N,Ed/N_c,Rd=0.07$

- Verifica a compressione (4.2.4.1.2.2) - CC 17 SLU $X_l=0.00$ - Classe 2
Sollecitazioni: $N=-7607.39$
Verifica a compressione [4.2.9]
 $N,Ed=-7607.39$ $N_c,Rd=-86725.20$ $N,Ed/N_c,Rd=0.09$

- Verifiche di duttilità [7.5.3]:
 $q_0=4.00$ $N,Ed=-7607.39$ $N_{pl},Rd=86725.20$ $N,Ed/N_{pl},Rd=0.09$ (sfrut=0.29)

- Verifica Spostamento relativo massimo per singola asta - CC 22
 $\delta=0.00$ (L/154373)

Asta n. 1001 (1001 2) Sez. 5 UPN100 Crit. 3

- Verifica a trazione (4.2.4.1.2.1) - CC 9 SLV $X_l=0.00$ - Classe 1
Sollecitazioni: $N=5157.98$
Verifica a trazione [4.2.5]
 $N,Ed=5157.98$ $N_{pl},Rd=35889.70$ $N_u,Rd=42425.50$ $N,Ed/N_t,Rd=0.14$

- Verifica freccia massima carichi totali - CC 23
 $f_{z,g}=0.00$ (L/471474)

Asta n. 1002 (1007 6) Sez. 5 UPN100 Crit. 3

- Verifica a trazione (4.2.4.1.2.1) - CC 1 SLV $X_l=0.00$ - Classe 1
Sollecitazioni: $N=3879.48$
Verifica a trazione [4.2.5]
 $N,Ed=3879.48$ $N_{pl},Rd=35889.70$ $N_u,Rd=42425.50$ $N,Ed/N_t,Rd=0.11$

- Verifica freccia massima carichi totali - CC 22
 $f_{z,g}=0.01$ (L/47643)

- Verifica freccia massima per soli carichi accidentali - CC 22
 $f_{z,g}=0.01$ (L/81113)

Asta n. 1003 (1015 -13) Sez. 6 IPE300 Crit. 2

- Verifica a flessione YY [4.2.13] - CC 1 SND $X_l=2.80$ - Classe 3
Sollecitazioni: $T_z=3200.69$ $M_y=-9884.87$
 $M_y,Ed=-9884.87$ $M_y,c,Rd=18834.90$ $M_y,Ed/M_y,c,Rd=0.52$

- Verifica a taglio dir. Z [4.2.16] - CC 17 SLU $X_l=0.00$ - Classe 1
Sollecitazioni: $T_z=7086.33$
 $V,Ed=7086.33$ $V_c,Rd=50134.20$ $V,Ed/V_c,Rd=0.14$

- Verifica a presso o tenso-flessione retta YY (4.2.4.1.2.7) - CC 17 SLU $X_l=2.80$ - Classe 1
Sollecitazioni: $N=6780.46$ $T_z=5922.88$ $M_y=-18212.90$
 $M_y,Ed=-18212.90$ $M_y,V,c,Rd=21326.00$
 $N,Ed=6780.46$ $N_c,Rd=181940.00$ YY $n=N,Ed/N_c,Rd=0.04$ $MN_y,c,Rd=21326.00$ $M_y,Ed/MN_y,c,Rd=0.85$

- Verifica di stabilità aste inflesse (4.2.4.1.3.2) CC 17 SLU - Classe 1
 $L_{cr}=2.80$ Curva b: $\alpha_{imp}=0.34$ $k_c=0.94$ $\psi=1.75$ $M_{cr}=48365.20$ $\lambda_{LT}=0.68$
 $\lambda_{LT,0}=0.40$ $\beta_{LT}=0.75$ $\Phi_{LT}=0.72$ $\beta_{LT}=0.75$ $f=0.97$ $\chi_{LT}=0.91$
 $M_y,Ed=-18212.90$ $M_y,b,Rd=19315.10$ $M_y,Ed/M_y,b,Rd=0.94$

Relazione di calcolo

- Verifica di stabilità aste presso-inflesse (C4.2.4.1.3.3.2) - CC 19 SLU - Classe 1
Sollecitazioni: $N, Ed = -6780.46$ $My, Ed = -17477.90$ $L = 2.80$
 $\alpha_{my}, \alpha_{mz}, \alpha_{LT} = 0.95, 0.95, 0.95$
 $L_{cr} = 2.80$ Curva b: $\alpha_{imp} = 0.34$ $k_c = 0.94$ $\psi = 1.75$ $M, cr = 48365.20$ $\lambda_{LT} = 0.68$
 $\lambda_{LT,0} = 0.40$ $\Phi_{LT} = 0.72$ $\beta_{LT} = 0.75$ $f = 0.97$ $\chi_{LT} = 0.91$
 $\lambda_y = 22.47$ $N_{cr,y} = 2209120.00$ $\lambda^*_y = 0.29$ Curva a: $\Phi_y = 0.55$ $\chi_y = 0.98$
 $\lambda_z = 83.59$ $N_{cr,z} = 159618.00$ $\lambda^*_z = 1.09$ Curva b: $\Phi_z = 1.25$ $\chi_z = 0.54$
 $K_{yy}, K_{yz}, K_{zy}, K_{zz} = 0.95, 0.63, 0.00, 1.04$
Verifica YY: $0.04 + 0.86 = 0.90$
Verifica ZZ: $0.07 = 0.07$
- Verifica freccia massima carichi totali - CC 22
 $f_{z,G} = 0.40$ (L/695)
- Verifica freccia massima per soli carichi accidentali - CC 22
 $f_{z,L} = 0.18$ (L/1522)

Asta n. 1003 (-13 1016) Sez. 6 IPE300 Crit. 2

- Verifica a flessione YY [4.2.13] - CC 1 SMD $X_1 = 0.00$ - Classe 3
Sollecitazioni: $T_z = -3200.69$ $M_y = -9884.87$
 $My, Ed = -9884.87$ $My, c, Rd = 18834.90$ $My, Ed/My, c, Rd = 0.52$
- Verifica a taglio dir. Z [4.2.16] - CC 17 SLU $X_1 = 2.80$ - Classe 1
Sollecitazioni: $T_z = -7086.33$
 $V, Ed = -7086.33$ $V_c, Rd = 50134.20$ $V, Ed/V_c, Rd = 0.14$
- Verifica a presso o tenso-flessione retta YY (4.2.4.1.2.7) - CC 17 SLU $X_1 = 0.00$ - Classe 1
Sollecitazioni: $N = 6780.46$ $T_z = -5922.88$ $M_y = -18212.90$
 $My, Ed = -18212.90$ $My, V, c, Rd = 21326.00$
 $N, Ed = 6780.46$ $N_c, Rd = 181940.00$ YY $n = N, Ed/N_c, Rd = 0.04$ $MN_y, c, Rd = 21326.00$ $My, Ed/MN_y, c, Rd = 0.85$
- Verifica di stabilità aste inflesse (4.2.4.1.3.2) CC 17 SLU - Classe 1
 $L_{cr} = 2.80$ Curva b: $\alpha_{imp} = 0.34$ $k_c = 0.94$ $\psi = 1.75$ $M, cr = 48365.20$ $\lambda_{LT} = 0.68$
 $\lambda_{LT,0} = 0.40$ $\beta_{LT} = 0.75$ $\Phi_{LT} = 0.72$ $\beta_{LT} = 0.75$ $f = 0.97$ $\chi_{LT} = 0.91$
 $My, Ed = -18212.90$ $My, b, Rd = 19315.10$ $My, Ed/My, b, Rd = 0.94$
- Verifica di stabilità aste presso-inflesse (C4.2.4.1.3.3.2) - CC 19 SLU - Classe 1
Sollecitazioni: $N, Ed = -6780.46$ $My, Ed = -17477.90$ $L = 2.80$
 $\alpha_{my}, \alpha_{mz}, \alpha_{LT} = 0.95, 0.95, 0.95$
 $L_{cr} = 2.80$ Curva b: $\alpha_{imp} = 0.34$ $k_c = 0.94$ $\psi = 1.75$ $M, cr = 48365.20$ $\lambda_{LT} = 0.68$
 $\lambda_{LT,0} = 0.40$ $\Phi_{LT} = 0.72$ $\beta_{LT} = 0.75$ $f = 0.97$ $\chi_{LT} = 0.91$
 $\lambda_y = 22.47$ $N_{cr,y} = 2209120.00$ $\lambda^*_y = 0.29$ Curva a: $\Phi_y = 0.55$ $\chi_y = 0.98$
 $\lambda_z = 83.59$ $N_{cr,z} = 159618.00$ $\lambda^*_z = 1.09$ Curva b: $\Phi_z = 1.25$ $\chi_z = 0.54$
 $K_{yy}, K_{yz}, K_{zy}, K_{zz} = 0.95, 0.63, 0.00, 1.04$
Verifica YY: $0.04 + 0.86 = 0.90$
Verifica ZZ: $0.07 = 0.07$
- Verifica freccia massima carichi totali - CC 22
 $f_{z,L} = 0.40$ (L/695)
- Verifica freccia massima per soli carichi accidentali - CC 22
 $f_{z,L} = 0.18$ (L/1521)

Asta n. 1003 (1016 -14) Sez. 6 IPE300 Crit. 2

- Verifica a flessione YY [4.2.13] - CC 1 SMD $X_1 = 2.35$ - Classe 3
Sollecitazioni: $T_z = 2700.78$ $M_y = -6996.96$
 $My, Ed = -6996.96$ $My, c, Rd = 18834.90$ $My, Ed/My, c, Rd = 0.37$
- Verifica a taglio dir. Z [4.2.16] - CC 17 SLU $X_1 = 0.00$ - Classe 1
Sollecitazioni: $T_z = 5966.29$
 $V, Ed = 5966.29$ $V_c, Rd = 50134.20$ $V, Ed/V_c, Rd = 0.12$
- Verifica a presso o tenso-flessione retta YY (4.2.4.1.2.7) - CC 17 SLU $X_1 = 2.35$ - Classe 1
Sollecitazioni: $N = 6780.46$ $T_z = 4989.83$ $M_y = -12873.40$
 $My, Ed = -12873.40$ $My, V, c, Rd = 21326.00$
 $N, Ed = 6780.46$ $N_c, Rd = 181940.00$ YY $n = N, Ed/N_c, Rd = 0.04$ $MN_y, c, Rd = 21326.00$ $My, Ed/MN_y, c, Rd = 0.60$
- Verifica di stabilità aste inflesse (4.2.4.1.3.2) CC 17 SLU - Classe 1
 $L_{cr} = 2.35$ Curva b: $\alpha_{imp} = 0.34$ $k_c = 0.94$ $\psi = 1.75$ $M, cr = 65500.90$ $\lambda_{LT} = 0.58$
 $\lambda_{LT,0} = 0.40$ $\beta_{LT} = 0.75$ $\Phi_{LT} = 0.66$ $\beta_{LT} = 0.75$ $f = 0.97$ $\chi_{LT} = 0.95$
 $My, Ed = -12873.40$ $My, b, Rd = 20255.80$ $My, Ed/My, b, Rd = 0.64$
- Verifica di stabilità aste presso-inflesse (C4.2.4.1.3.3.2) - CC 19 SLU - Classe 1
Sollecitazioni: $N, Ed = -6780.46$ $My, Ed = -12355.70$ $L = 2.35$
 $\alpha_{my}, \alpha_{mz}, \alpha_{LT} = 0.95, 0.95, 0.95$
 $L_{cr} = 2.35$ Curva b: $\alpha_{imp} = 0.34$ $k_c = 0.94$ $\psi = 1.75$ $M, cr = 65500.90$ $\lambda_{LT} = 0.58$

Relazione di calcolo

- $\lambda_{LT,0}=0.40$ $\Phi_{LT}=0.66$ $\beta_{LT}=0.75$ $f=0.97$ $\chi_{LT}=0.95$
 $\lambda_y=18.86$ $N_{cr,y}=3136160.00$ $\lambda^*_y=0.25$ Curva a: $\Phi_y=0.54$ $\chi_y=0.99$
 $\lambda_z=70.16$ $N_{cr,z}=226601.00$ $\lambda^*_z=0.92$ Curva b: $\Phi_z=1.04$ $\chi_z=0.65$
Kyy, Kyz, Kzy, Kzz=0.95, 0.61, 0.00, 1.02
Verifica YY: 0.04+0.58=0.62
Verifica ZZ: 0.04=0.04
- Verifica freccia massima carichi totali - CC 22
 $f_{z,L}=0.21$ (L/1144)
- Verifica freccia massima per soli carichi accidentali - CC 22
 $f_{z,L}=0.09$ (L/2514)
- Asta n. 1003 (-14 1017) Sez. 6 IPE300 Crit. 2

- Verifica a flessione YY [4.2.13] - CC 1 SND $X_l=0.00$ - Classe 3
Sollecitazioni: $T_z=-2700.79$ $M_y=-6996.96$
 $M_y,Ed=-6996.96$ $M_y,c,Rd=18834.90$ $M_y,Ed/M_y,c,Rd=0.37$
- Verifica a taglio dir. Z [4.2.16] - CC 17 SLU $X_l=2.35$ - Classe 1
Sollecitazioni: $T_z=-5966.29$
 $V,Ed=-5966.29$ $V_c,Rd=50134.20$ $V,Ed/V_c,Rd=0.12$
- Verifica a presso o tenso-flessione retta YY (4.2.4.1.2.7) - CC 17 SLU $X_l=0.00$ - Classe 1
Sollecitazioni: $N=6780.46$ $T_z=-4989.83$ $M_y=-12873.40$
 $M_y,Ed=-12873.40$ $M_y,V,c,Rd=21326.00$
 $N,Ed=6780.46$ $N_c,Rd=181940.00$ $YY\ n=N,Ed/N_c,Rd=0.04$ $MN_y,c,Rd=21326.00$ $M_y,Ed/MN_y,c,Rd=0.60$
- Verifica di stabilità aste inflesse (4.2.4.1.3.2) CC 17 SLU - Classe 1
 $L_{cr}=2.35$ Curva b: $\alpha_{imp}=0.34$ $k_c=0.94$ $\psi=1.75$ $M_{cr}=65500.90$ $\lambda_{LT}=0.58$
 $\lambda_{LT,0}=0.40$ $\beta_{LT}=0.75$ $\Phi_{LT}=0.66$ $\beta_{LT}=0.75$ $f=0.97$ $\chi_{LT}=0.95$
 $M_y,Ed=-12873.40$ $M_y,b,Rd=20255.80$ $M_y,Ed/M_y,b,Rd=0.64$
- Verifica di stabilità aste presso-inflesse (C4.2.4.1.3.3.2) - CC 19 SLU - Classe 1
Sollecitazioni: $N,Ed=-6780.46$ $M_y,Ed=-12355.70$ $L=2.35$
 $\alpha_{my}, \alpha_{mz}, \alpha_{LT}=0.95, 0.95, 0.95$
 $L_{cr}=2.35$ Curva b: $\alpha_{imp}=0.34$ $k_c=0.94$ $\psi=1.75$ $M_{cr}=65500.90$ $\lambda_{LT}=0.58$
 $\lambda_{LT,0}=0.40$ $\Phi_{LT}=0.66$ $\beta_{LT}=0.75$ $f=0.97$ $\chi_{LT}=0.95$
 $\lambda_y=18.86$ $N_{cr,y}=3136160.00$ $\lambda^*_y=0.25$ Curva a: $\Phi_y=0.54$ $\chi_y=0.99$
 $\lambda_z=70.16$ $N_{cr,z}=226601.00$ $\lambda^*_z=0.92$ Curva b: $\Phi_z=1.04$ $\chi_z=0.65$
Kyy, Kyz, Kzy, Kzz=0.95, 0.61, 0.00, 1.02
Verifica YY: 0.04+0.58=0.62
Verifica ZZ: 0.04=0.04
- Verifica freccia massima carichi totali - CC 22
 $f_{z,L}=0.21$ (L/1144)
- Verifica freccia massima per soli carichi accidentali - CC 22
 $f_{z,L}=0.09$ (L/2514)
- Asta n. 1003 (1017 -15) Sez. 6 IPE300 Crit. 2

- Verifica a flessione YY [4.2.13] - CC 1 SND $X_l=2.35$ - Classe 3
Sollecitazioni: $T_z=2700.78$ $M_y=-6996.96$
 $M_y,Ed=-6996.96$ $M_y,c,Rd=18834.90$ $M_y,Ed/M_y,c,Rd=0.37$
- Verifica a taglio dir. Z [4.2.16] - CC 17 SLU $X_l=0.00$ - Classe 1
Sollecitazioni: $T_z=5966.29$
 $V,Ed=5966.29$ $V_c,Rd=50134.20$ $V,Ed/V_c,Rd=0.12$
- Verifica a presso o tenso-flessione retta YY (4.2.4.1.2.7) - CC 17 SLU $X_l=2.35$ - Classe 1
Sollecitazioni: $N=6780.46$ $T_z=4989.83$ $M_y=-12873.40$
 $M_y,Ed=-12873.40$ $M_y,V,c,Rd=21326.00$
 $N,Ed=6780.46$ $N_c,Rd=181940.00$ $YY\ n=N,Ed/N_c,Rd=0.04$ $MN_y,c,Rd=21326.00$ $M_y,Ed/MN_y,c,Rd=0.60$
- Verifica di stabilità aste inflesse (4.2.4.1.3.2) CC 17 SLU - Classe 1
 $L_{cr}=2.35$ Curva b: $\alpha_{imp}=0.34$ $k_c=0.94$ $\psi=1.75$ $M_{cr}=65500.90$ $\lambda_{LT}=0.58$
 $\lambda_{LT,0}=0.40$ $\beta_{LT}=0.75$ $\Phi_{LT}=0.66$ $\beta_{LT}=0.75$ $f=0.97$ $\chi_{LT}=0.95$
 $M_y,Ed=-12873.40$ $M_y,b,Rd=20255.80$ $M_y,Ed/M_y,b,Rd=0.64$
- Verifica di stabilità aste presso-inflesse (C4.2.4.1.3.3.2) - CC 19 SLU - Classe 1
Sollecitazioni: $N,Ed=-6780.46$ $M_y,Ed=-12355.70$ $L=2.35$
 $\alpha_{my}, \alpha_{mz}, \alpha_{LT}=0.95, 0.95, 0.95$
 $L_{cr}=2.35$ Curva b: $\alpha_{imp}=0.34$ $k_c=0.94$ $\psi=1.75$ $M_{cr}=65500.90$ $\lambda_{LT}=0.58$
 $\lambda_{LT,0}=0.40$ $\Phi_{LT}=0.66$ $\beta_{LT}=0.75$ $f=0.97$ $\chi_{LT}=0.95$
 $\lambda_y=18.86$ $N_{cr,y}=3136160.00$ $\lambda^*_y=0.25$ Curva a: $\Phi_y=0.54$ $\chi_y=0.99$
 $\lambda_z=70.16$ $N_{cr,z}=226601.00$ $\lambda^*_z=0.92$ Curva b: $\Phi_z=1.04$ $\chi_z=0.65$
Kyy, Kyz, Kzy, Kzz=0.95, 0.61, 0.00, 1.02
Verifica YY: 0.04+0.58=0.62

Relazione di calcolo

Verifica ZZ: 0.04=0.04

- Verifica freccia massima carichi totali - CC 22
 $f_{z,g}=0.21$ (L/1144)

- Verifica freccia massima per soli carichi accidentali - CC 22
 $f_{z,g}=0.09$ (L/2514)

Asta n. 1003 (-15 1018) Sez. 6 IPE300 Crit. 2

- Verifica a flessione YY [4.2.13] - CC 1 SND $X_1=0.00$ - Classe 3
Sollecitazioni: $T_z=-2700.79$ $M_y=-6996.96$
 $M_y,Ed=-6996.96$ $M_y,c,Rd=18834.90$ $M_y,Ed/M_y,c,Rd=0.37$

- Verifica a taglio dir. Z [4.2.16] - CC 17 SLU $X_1=2.35$ - Classe 1
Sollecitazioni: $T_z=-5966.29$
 $V,Ed=-5966.29$ $V_c,Rd=50134.20$ $V,Ed/V_c,Rd=0.12$

- Verifica a presso o tenso-flessione retta YY (4.2.4.1.2.7) - CC 17 SLU $X_1=0.00$ - Classe 1
Sollecitazioni: $N=6780.46$ $T_z=-4989.83$ $M_y=-12873.40$
 $M_y,Ed=-12873.40$ $M_y,V,c,Rd=21326.00$
 $N,Ed=6780.46$ $N_c,Rd=181940.00$ $YY\ n=N,Ed/N_c,Rd=0.04$ $MN_y,c,Rd=21326.00$ $M_y,Ed/MN_y,c,Rd=0.60$

- Verifica di stabilità aste inflesse (4.2.4.1.3.2) CC 17 SLU - Classe 1
 $L_{cr}=2.35$ Curva b: $\alpha_{imp}=0.34$ $k_c=0.94$ $\psi=1.75$ $M_{cr}=65500.90$ $\lambda_{LT}=0.58$
 $\lambda_{LT,0}=0.40$ $\beta_{LT}=0.75$ $\Phi_{LT}=0.66$ $\beta_{LT}=0.75$ $f=0.97$ $\chi_{LT}=0.95$
 $M_y,Ed=-12873.40$ $M_y,b,Rd=20255.80$ $M_y,Ed/M_y,b,Rd=0.64$

- Verifica di stabilità aste presso-inflesse (C4.2.4.1.3.3.2) - CC 19 SLU - Classe 1
Sollecitazioni: $N,Ed=-6780.46$ $M_y,Ed=-12355.70$ $L=2.35$
 $\alpha_{my}, \alpha_{mz}, \alpha_{LT}=0.95, 0.95, 0.95$
 $L_{cr}=2.35$ Curva b: $\alpha_{imp}=0.34$ $k_c=0.94$ $\psi=1.75$ $M_{cr}=65500.90$ $\lambda_{LT}=0.58$
 $\lambda_{LT,0}=0.40$ $\Phi_{LT}=0.66$ $\beta_{LT}=0.75$ $f=0.97$ $\chi_{LT}=0.95$
 $\lambda_y=18.86$ $N_{cr,y}=3136160.00$ $\lambda^*_y=0.25$ Curva a: $\Phi_y=0.54$ $\chi_y=0.99$
 $\lambda_z=70.16$ $N_{cr,z}=226601.00$ $\lambda^*_z=0.92$ Curva b: $\Phi_z=1.04$ $\chi_z=0.65$
 $K_{yy}, K_{yz}, K_{zy}, K_{zz}=0.95, 0.61, 0.00, 1.02$
Verifica YY: 0.04+0.58=0.62
Verifica ZZ: 0.04=0.04

- Verifica freccia massima carichi totali - CC 22
 $f_{z,L}=0.21$ (L/1144)

- Verifica freccia massima per soli carichi accidentali - CC 22
 $f_{z,g}=0.09$ (L/2514)

Asta n. 1003 (1018 -16) Sez. 6 IPE300 Crit. 2

- Verifica a flessione YY [4.2.13] - CC 1 SND $X_1=2.80$ - Classe 3
Sollecitazioni: $T_z=3200.69$ $M_y=-9884.87$
 $M_y,Ed=-9884.87$ $M_y,c,Rd=18834.90$ $M_y,Ed/M_y,c,Rd=0.52$

- Verifica a taglio dir. Z [4.2.16] - CC 17 SLU $X_1=0.00$ - Classe 1
Sollecitazioni: $T_z=7086.33$
 $V,Ed=7086.33$ $V_c,Rd=50134.20$ $V,Ed/V_c,Rd=0.14$

- Verifica a presso o tenso-flessione retta YY (4.2.4.1.2.7) - CC 17 SLU $X_1=2.80$ - Classe 1
Sollecitazioni: $N=6780.46$ $T_z=5922.88$ $M_y=-18212.90$
 $M_y,Ed=-18212.90$ $M_y,V,c,Rd=21326.00$
 $N,Ed=6780.46$ $N_c,Rd=181940.00$ $YY\ n=N,Ed/N_c,Rd=0.04$ $MN_y,c,Rd=21326.00$ $M_y,Ed/MN_y,c,Rd=0.85$

- Verifica di stabilità aste inflesse (4.2.4.1.3.2) CC 17 SLU - Classe 1
 $L_{cr}=2.80$ Curva b: $\alpha_{imp}=0.34$ $k_c=0.94$ $\psi=1.75$ $M_{cr}=48365.20$ $\lambda_{LT}=0.68$
 $\lambda_{LT,0}=0.40$ $\beta_{LT}=0.75$ $\Phi_{LT}=0.72$ $\beta_{LT}=0.75$ $f=0.97$ $\chi_{LT}=0.91$
 $M_y,Ed=-18212.90$ $M_y,b,Rd=19315.10$ $M_y,Ed/M_y,b,Rd=0.94$

- Verifica di stabilità aste presso-inflesse (C4.2.4.1.3.3.2) - CC 19 SLU - Classe 1
Sollecitazioni: $N,Ed=-6780.46$ $M_y,Ed=-17477.90$ $L=2.80$
 $\alpha_{my}, \alpha_{mz}, \alpha_{LT}=0.95, 0.95, 0.95$
 $L_{cr}=2.80$ Curva b: $\alpha_{imp}=0.34$ $k_c=0.94$ $\psi=1.75$ $M_{cr}=48365.20$ $\lambda_{LT}=0.68$
 $\lambda_{LT,0}=0.40$ $\Phi_{LT}=0.72$ $\beta_{LT}=0.75$ $f=0.97$ $\chi_{LT}=0.91$
 $\lambda_y=22.47$ $N_{cr,y}=2209120.00$ $\lambda^*_y=0.29$ Curva a: $\Phi_y=0.55$ $\chi_y=0.98$
 $\lambda_z=83.59$ $N_{cr,z}=159618.00$ $\lambda^*_z=1.09$ Curva b: $\Phi_z=1.25$ $\chi_z=0.54$
 $K_{yy}, K_{yz}, K_{zy}, K_{zz}=0.95, 0.63, 0.00, 1.04$
Verifica YY: 0.04+0.86=0.90
Verifica ZZ: 0.07=0.07

- Verifica freccia massima carichi totali - CC 22
 $f_{z,g}=0.40$ (L/695)

Relazione di calcolo

- Verifica freccia massima per soli carichi accidentali - CC 22
 $f_{z,g}=0.18$ (L/1521)

Asta n. 1003 (-16 1019) Sez. 6 IPE300 Crit. 2

- Verifica a flessione YY [4.2.13] - CC 1 SND $X_l=0.00$ - Classe 3
Sollecitazioni: $T_z=-3200.69$ $M_y=-9884.87$
 $M_y,Ed=-9884.87$ $M_y,c,Rd=18834.90$ $M_y,Ed/M_y,c,Rd=0.52$

- Verifica a taglio dir. Z [4.2.16] - CC 17 SLU $X_l=2.80$ - Classe 1
Sollecitazioni: $T_z=-7086.33$
 $V,Ed=-7086.33$ $V_c,Rd=50134.20$ $V,Ed/V_c,Rd=0.14$

- Verifica a presso o tenso-flessione retta YY (4.2.4.1.2.7) - CC 17 SLU $X_l=0.00$ - Classe 1
Sollecitazioni: $N=6780.46$ $T_z=-5922.88$ $M_y=-18212.90$
 $M_y,Ed=-18212.90$ $M_y,V,c,Rd=21326.00$
 $N,Ed=6780.46$ $N_c,Rd=181940.00$ YY $n=N,Ed/N_c,Rd=0.04$ $MN_y,c,Rd=21326.00$ $M_y,Ed/MN_y,c,Rd=0.85$

- Verifica di stabilità aste inflesse (4.2.4.1.3.2) CC 17 SLU - Classe 1
 $L_{cr}=2.80$ Curva b: $\alpha_{imp}=0.34$ $k_c=0.94$ $\psi=1.75$ $M_{cr}=48365.20$ $\lambda_{LT}=0.68$
 $\lambda_{LT,0}=0.40$ $\beta_{LT}=0.75$ $\Phi_{LT}=0.72$ $\beta_{LT}=0.75$ $f=0.97$ $\chi_{LT}=0.91$
 $M_y,Ed=-18212.90$ $M_y,b,Rd=19315.10$ $M_y,Ed/M_y,b,Rd=0.94$

- Verifica di stabilità aste presso-inflesse (C4.2.4.1.3.3.2) - CC 19 SLU - Classe 1
Sollecitazioni: $N,Ed=-6780.46$ $M_y,Ed=-17477.90$ $L=2.80$
 $\alpha_{my}, \alpha_{mz}, \alpha_{LT}=0.95, 0.95, 0.95$
 $L_{cr}=2.80$ Curva b: $\alpha_{imp}=0.34$ $k_c=0.94$ $\psi=1.75$ $M_{cr}=48365.20$ $\lambda_{LT}=0.68$
 $\lambda_{LT,0}=0.40$ $\Phi_{LT}=0.72$ $\beta_{LT}=0.75$ $f=0.97$ $\chi_{LT}=0.91$
 $\lambda_y=22.47$ $N_{cr,y}=2209120.00$ $\lambda^*_y=0.29$ Curva a: $\Phi_y=0.55$ $\chi_y=0.98$
 $\lambda_z=83.59$ $N_{cr,z}=159618.00$ $\lambda^*_z=1.09$ Curva b: $\Phi_z=1.25$ $\chi_z=0.54$
 $K_{yy}, K_{yz}, K_{zy}, K_{zz}=0.95, 0.63, 0.00, 1.04$
Verifica YY: $0.04+0.86=0.90$
Verifica ZZ: $0.07=0.07$

- Verifica freccia massima carichi totali - CC 22
 $f_{z,L}=0.40$ (L/695)

- Verifica freccia massima per soli carichi accidentali - CC 22
 $f_{z,L}=0.18$ (L/1521)

Asta n. 1003 (1019 -17) Sez. 6 IPE300 Crit. 2

- Verifica a flessione YY [4.2.13] - CC 1 SND $X_l=2.35$ - Classe 3
Sollecitazioni: $T_z=1395.48$ $M_y=-3662.75$
 $M_y,Ed=-3662.75$ $M_y,c,Rd=18834.90$ $M_y,Ed/M_y,c,Rd=0.19$

- Verifica a taglio dir. Z [4.2.16] - CC 17 SLU $X_l=0.00$ - Classe 1
Sollecitazioni: $T_z=3106.28$
 $V,Ed=3106.28$ $V_c,Rd=50134.20$ $V,Ed/V_c,Rd=0.06$

- Verifica a presso o tenso-flessione retta YY (4.2.4.1.2.7) - CC 17 SLU $X_l=2.35$ - Classe 1
Sollecitazioni: $N=6780.46$ $T_z=2553.52$ $M_y=-6650.27$
 $M_y,Ed=-6650.27$ $M_y,V,c,Rd=21326.00$
 $N,Ed=6780.46$ $N_c,Rd=181940.00$ YY $n=N,Ed/N_c,Rd=0.04$ $MN_y,c,Rd=21326.00$ $M_y,Ed/MN_y,c,Rd=0.31$

- Verifica di stabilità aste inflesse (4.2.4.1.3.2) CC 17 SLU - Classe 1
 $L_{cr}=2.35$ Curva b: $\alpha_{imp}=0.34$ $k_c=0.94$ $\psi=1.75$ $M_{cr}=65500.90$ $\lambda_{LT}=0.58$
 $\lambda_{LT,0}=0.40$ $\beta_{LT}=0.75$ $\Phi_{LT}=0.66$ $\beta_{LT}=0.75$ $f=0.97$ $\chi_{LT}=0.95$
 $M_y,Ed=-6650.27$ $M_y,b,Rd=20255.80$ $M_y,Ed/M_y,b,Rd=0.33$

- Verifica di stabilità aste presso-inflesse (C4.2.4.1.3.3.2) - CC 19 SLU - Classe 1
Sollecitazioni: $N,Ed=-6780.46$ $M_y,Ed=-6391.41$ $L=2.35$
 $\alpha_{my}, \alpha_{mz}, \alpha_{LT}=0.95, 0.95, 0.95$
 $L_{cr}=2.35$ Curva b: $\alpha_{imp}=0.34$ $k_c=0.94$ $\psi=1.75$ $M_{cr}=65500.90$ $\lambda_{LT}=0.58$
 $\lambda_{LT,0}=0.40$ $\Phi_{LT}=0.66$ $\beta_{LT}=0.75$ $f=0.97$ $\chi_{LT}=0.95$
 $\lambda_y=18.86$ $N_{cr,y}=3136160.00$ $\lambda^*_y=0.25$ Curva a: $\Phi_y=0.54$ $\chi_y=0.99$
 $\lambda_z=70.16$ $N_{cr,z}=226601.00$ $\lambda^*_z=0.92$ Curva b: $\Phi_z=1.04$ $\chi_z=0.65$
 $K_{yy}, K_{yz}, K_{zy}, K_{zz}=0.95, 0.61, 0.00, 1.02$
Verifica YY: $0.04+0.30=0.34$
Verifica ZZ: $0.04=0.04$

- Verifica freccia massima carichi totali - CC 22
 $f_{z,g}=0.11$ (L/2201)

- Verifica freccia massima per soli carichi accidentali - CC 22
 $f_{z,L}=0.05$ (L/5034)

Asta n. 1003 (-17 1020) Sez. 6 IPE300 Crit. 2

Relazione di calcolo

- Verifica a flessione YY [4.2.13] - CC 1 SND $X_l=0.00$ - Classe 3
Sollecitazioni: $T_z=-1395.48$ $M_y=-3662.75$
 $M_y,Ed=-3662.75$ $M_y,c,Rd=18834.90$ $M_y,Ed/M_y,c,Rd=0.19$
- Verifica a taglio dir. Z [4.2.16] - CC 17 SLU $X_l=2.35$ - Classe 1
Sollecitazioni: $T_z=-3106.28$
 $V,Ed=-3106.28$ $V_c,Rd=50134.20$ $V,Ed/V_c,Rd=0.06$
- Verifica a presso o tenso-flessione retta YY (4.2.4.1.2.7) - CC 17 SLU $X_l=0.00$ - Classe 1
Sollecitazioni: $N=6780.46$ $T_z=-2553.52$ $M_y=-6650.27$
 $M_y,Ed=-6650.27$ $M_y,V,c,Rd=21326.00$
 $N,Ed=6780.46$ $N_c,Rd=181940.00$ $YY\ n=N,Ed/N_c,Rd=0.04$ $MN_y,c,Rd=21326.00$ $M_y,Ed/MN_y,c,Rd=0.31$
- Verifica di stabilità aste inflesse (4.2.4.1.3.2) CC 17 SLU - Classe 1
 $L_{cr}=2.35$ Curva b: $\alpha_{imp}=0.34$ $k_c=0.94$ $\psi=1.75$ $M_{cr}=65500.90$ $\lambda_{LT}=0.58$
 $\lambda_{LT,0}=0.40$ $\beta_{LT}=0.75$ $\Phi_{LT}=0.66$ $\beta_{LT}=0.75$ $f=0.97$ $\chi_{LT}=0.95$
 $M_y,Ed=-6650.27$ $M_y,b,Rd=20255.80$ $M_y,Ed/M_y,b,Rd=0.33$
- Verifica di stabilità aste presso-inflesse (C4.2.4.1.3.3.2) - CC 19 SLU - Classe 1
Sollecitazioni: $N,Ed=-6780.46$ $M_y,Ed=-6391.41$ $L=2.35$
 $\alpha_{my}, \alpha_{mz}, \alpha_{LT}=0.95, 0.95, 0.95$
 $L_{cr}=2.35$ Curva b: $\alpha_{imp}=0.34$ $k_c=0.94$ $\psi=1.75$ $M_{cr}=65500.90$ $\lambda_{LT}=0.58$
 $\lambda_{LT,0}=0.40$ $\Phi_{LT}=0.66$ $\beta_{LT}=0.75$ $f=0.97$ $\chi_{LT}=0.95$
 $\lambda_y=18.86$ $N_{cr,y}=3136160.00$ $\lambda^*_y=0.25$ Curva a: $\Phi_y=0.54$ $\chi_y=0.99$
 $\lambda_z=70.16$ $N_{cr,z}=226601.00$ $\lambda^*_z=0.92$ Curva b: $\Phi_z=1.04$ $\chi_z=0.65$
 $K_{yy}, K_{yz}, K_{zy}, K_{zz}=0.95, 0.61, 0.00, 1.02$
Verifica YY: $0.04+0.30=0.34$
Verifica ZZ: $0.04=0.04$
- Verifica freccia massima carichi totali - CC 22
 $f_{z,L}=0.11$ (L/2202)
- Verifica freccia massima per soli carichi accidentali - CC 22
 $f_{z,L}=0.05$ (L/5026)
- Asta n. 1003 (1020 -18) Sez. 6 IPE300 Crit. 2

- Verifica a flessione YY [4.2.13] - CC 1 SND $X_l=2.35$ - Classe 3
Sollecitazioni: $T_z=2700.78$ $M_y=-6996.96$
 $M_y,Ed=-6996.96$ $M_y,c,Rd=18834.90$ $M_y,Ed/M_y,c,Rd=0.37$
- Verifica a taglio dir. Z [4.2.16] - CC 17 SLU $X_l=0.00$ - Classe 1
Sollecitazioni: $T_z=5966.29$
 $V,Ed=5966.29$ $V_c,Rd=50134.20$ $V,Ed/V_c,Rd=0.12$
- Verifica a presso o tenso-flessione retta YY (4.2.4.1.2.7) - CC 17 SLU $X_l=2.35$ - Classe 1
Sollecitazioni: $N=6780.46$ $T_z=4989.83$ $M_y=-12873.40$
 $M_y,Ed=-12873.40$ $M_y,V,c,Rd=21326.00$
 $N,Ed=6780.46$ $N_c,Rd=181940.00$ $YY\ n=N,Ed/N_c,Rd=0.04$ $MN_y,c,Rd=21326.00$ $M_y,Ed/MN_y,c,Rd=0.60$
- Verifica di stabilità aste inflesse (4.2.4.1.3.2) CC 17 SLU - Classe 1
 $L_{cr}=2.35$ Curva b: $\alpha_{imp}=0.34$ $k_c=0.94$ $\psi=1.75$ $M_{cr}=65500.90$ $\lambda_{LT}=0.58$
 $\lambda_{LT,0}=0.40$ $\beta_{LT}=0.75$ $\Phi_{LT}=0.66$ $\beta_{LT}=0.75$ $f=0.97$ $\chi_{LT}=0.95$
 $M_y,Ed=-12873.40$ $M_y,b,Rd=20255.80$ $M_y,Ed/M_y,b,Rd=0.64$
- Verifica di stabilità aste presso-inflesse (C4.2.4.1.3.3.2) - CC 19 SLU - Classe 1
Sollecitazioni: $N,Ed=-6780.46$ $M_y,Ed=-12355.70$ $L=2.35$
 $\alpha_{my}, \alpha_{mz}, \alpha_{LT}=0.95, 0.95, 0.95$
 $L_{cr}=2.35$ Curva b: $\alpha_{imp}=0.34$ $k_c=0.94$ $\psi=1.75$ $M_{cr}=65500.90$ $\lambda_{LT}=0.58$
 $\lambda_{LT,0}=0.40$ $\Phi_{LT}=0.66$ $\beta_{LT}=0.75$ $f=0.97$ $\chi_{LT}=0.95$
 $\lambda_y=18.86$ $N_{cr,y}=3136160.00$ $\lambda^*_y=0.25$ Curva a: $\Phi_y=0.54$ $\chi_y=0.99$
 $\lambda_z=70.16$ $N_{cr,z}=226601.00$ $\lambda^*_z=0.92$ Curva b: $\Phi_z=1.04$ $\chi_z=0.65$
 $K_{yy}, K_{yz}, K_{zy}, K_{zz}=0.95, 0.61, 0.00, 1.02$
Verifica YY: $0.04+0.58=0.62$
Verifica ZZ: $0.04=0.04$
- Verifica freccia massima carichi totali - CC 22
 $f_{z,L}=0.21$ (L/1144)
- Verifica freccia massima per soli carichi accidentali - CC 22
 $f_{z,L}=0.09$ (L/2514)
- Asta n. 1003 (-18 1021) Sez. 6 IPE300 Crit. 2

- Verifica a flessione YY [4.2.13] - CC 1 SND $X_l=0.00$ - Classe 3
Sollecitazioni: $T_z=-2700.79$ $M_y=-6996.96$
 $M_y,Ed=-6996.96$ $M_y,c,Rd=18834.90$ $M_y,Ed/M_y,c,Rd=0.37$
- Verifica a taglio dir. Z [4.2.16] - CC 17 SLU $X_l=2.35$ - Classe 1

Relazione di calcolo

Sollecitazioni: $T_z = -5966.29$
 $V, Ed = -5966.29$ $V_c, Rd = 50134.20$ $V, Ed/V_c, Rd = 0.12$

- Verifica a presso o tenso-flessione retta YY (4.2.4.1.2.7) - CC 17 SLU $X_l = 0.00$ - Classe 1
Sollecitazioni: $N = 6780.46$ $T_z = -4989.83$ $M_y = -12873.40$
 $M_y, Ed = -12873.40$ $M_y, V, c, Rd = 21326.00$
 $N, Ed = 6780.46$ $N_c, Rd = 181940.00$ YY $n = N, Ed/N_c, Rd = 0.04$ $MN_y, c, Rd = 21326.00$ $M_y, Ed/MN_y, c, Rd = 0.60$

- Verifica di stabilità aste inflesse (4.2.4.1.3.2) CC 17 SLU - Classe 1
 $L_{cr} = 2.35$ Curva b: $\alpha_{imp} = 0.34$ $k_c = 0.94$ $\psi = 1.75$ $M, cr = 65500.90$ $\lambda_{LT} = 0.58$
 $\lambda_{LT,0} = 0.40$ $\beta_{LT} = 0.75$ $\Phi_{LT} = 0.66$ $\beta_{LT} = 0.75$ $f = 0.97$ $\chi_{LT} = 0.95$
 $M_y, Ed = -12873.40$ $M_y, b, Rd = 20255.80$ $M_y, Ed/M_y, b, Rd = 0.64$

- Verifica di stabilità aste presso-inflesse (C4.2.4.1.3.3.2) - CC 19 SLU - Classe 1
Sollecitazioni: $N, Ed = -6780.46$ $M_y, Ed = -12355.70$ $L = 2.35$
 $\alpha_{my}, \alpha_{mz}, \alpha_{LT} = 0.95, 0.95, 0.95$
 $L_{cr} = 2.35$ Curva b: $\alpha_{imp} = 0.34$ $k_c = 0.94$ $\psi = 1.75$ $M, cr = 65500.90$ $\lambda_{LT} = 0.58$
 $\lambda_{LT,0} = 0.40$ $\Phi_{LT} = 0.66$ $\beta_{LT} = 0.75$ $f = 0.97$ $\chi_{LT} = 0.95$
 $\lambda_y = 18.86$ $N_{cr,y} = 3136160.00$ $\lambda'_y = 0.25$ Curva a: $\Phi_y = 0.54$ $\chi_y = 0.99$
 $\lambda_z = 70.16$ $N_{cr,z} = 226601.00$ $\lambda'_z = 0.92$ Curva b: $\Phi_z = 1.04$ $\chi_z = 0.65$
 $K_{yy}, K_{yz}, K_{zy}, K_{zz} = 0.95, 0.61, 0.00, 1.02$
Verifica YY: $0.04 + 0.58 = 0.62$
Verifica ZZ: $0.04 = 0.04$

- Verifica freccia massima carichi totali - CC 22
 $f_{z,L} = 0.21$ (L/1144)

- Verifica freccia massima per soli carichi accidentali - CC 22
 $f_{z,L} = 0.09$ (L/2516)

Asta n. 1003 (1021 -19) Sez. 6 IPE300 Crit. 2

- Verifica a flessione YY [4.2.13] - CC 1 SND $X_l = 2.80$ - Classe 3
Sollecitazioni: $T_z = 3200.69$ $M_y = -9884.87$
 $M_y, Ed = -9884.87$ $M_y, c, Rd = 18834.90$ $M_y, Ed/M_y, c, Rd = 0.52$

- Verifica a taglio dir. Z [4.2.16] - CC 17 SLU $X_l = 0.00$ - Classe 1
Sollecitazioni: $T_z = 7086.33$
 $V, Ed = 7086.33$ $V_c, Rd = 50134.20$ $V, Ed/V_c, Rd = 0.14$

- Verifica a presso o tenso-flessione retta YY (4.2.4.1.2.7) - CC 17 SLU $X_l = 2.80$ - Classe 1
Sollecitazioni: $N = 6780.46$ $T_z = 5922.88$ $M_y = -18212.90$
 $M_y, Ed = -18212.90$ $M_y, V, c, Rd = 21326.00$
 $N, Ed = 6780.46$ $N_c, Rd = 181940.00$ YY $n = N, Ed/N_c, Rd = 0.04$ $MN_y, c, Rd = 21326.00$ $M_y, Ed/MN_y, c, Rd = 0.85$

- Verifica di stabilità aste inflesse (4.2.4.1.3.2) CC 17 SLU - Classe 1
 $L_{cr} = 2.80$ Curva b: $\alpha_{imp} = 0.34$ $k_c = 0.94$ $\psi = 1.75$ $M, cr = 48365.20$ $\lambda_{LT} = 0.68$
 $\lambda_{LT,0} = 0.40$ $\beta_{LT} = 0.75$ $\Phi_{LT} = 0.72$ $\beta_{LT} = 0.75$ $f = 0.97$ $\chi_{LT} = 0.91$
 $M_y, Ed = -18212.90$ $M_y, b, Rd = 19315.10$ $M_y, Ed/M_y, b, Rd = 0.94$

- Verifica di stabilità aste presso-inflesse (C4.2.4.1.3.3.2) - CC 19 SLU - Classe 1
Sollecitazioni: $N, Ed = -6780.46$ $M_y, Ed = -17477.90$ $L = 2.80$
 $\alpha_{my}, \alpha_{mz}, \alpha_{LT} = 0.95, 0.95, 0.95$
 $L_{cr} = 2.80$ Curva b: $\alpha_{imp} = 0.34$ $k_c = 0.94$ $\psi = 1.75$ $M, cr = 48365.20$ $\lambda_{LT} = 0.68$
 $\lambda_{LT,0} = 0.40$ $\Phi_{LT} = 0.72$ $\beta_{LT} = 0.75$ $f = 0.97$ $\chi_{LT} = 0.91$
 $\lambda_y = 22.47$ $N_{cr,y} = 2209120.00$ $\lambda'_y = 0.29$ Curva a: $\Phi_y = 0.55$ $\chi_y = 0.98$
 $\lambda_z = 83.59$ $N_{cr,z} = 159618.00$ $\lambda'_z = 1.09$ Curva b: $\Phi_z = 1.25$ $\chi_z = 0.54$
 $K_{yy}, K_{yz}, K_{zy}, K_{zz} = 0.95, 0.63, 0.00, 1.04$
Verifica YY: $0.04 + 0.86 = 0.90$
Verifica ZZ: $0.07 = 0.07$

- Verifica freccia massima carichi totali - CC 22
 $f_{z,G} = 0.40$ (L/695)

- Verifica freccia massima per soli carichi accidentali - CC 22
 $f_{z,L} = 0.18$ (L/1521)

Asta n. 1003 (-19 1022) Sez. 6 IPE300 Crit. 2

- Verifica a flessione YY [4.2.13] - CC 1 SND $X_l = 0.00$ - Classe 3
Sollecitazioni: $T_z = -3200.69$ $M_y = -9884.87$
 $M_y, Ed = -9884.87$ $M_y, c, Rd = 18834.90$ $M_y, Ed/M_y, c, Rd = 0.52$

- Verifica a taglio dir. Z [4.2.16] - CC 17 SLU $X_l = 2.80$ - Classe 1
Sollecitazioni: $T_z = -7086.33$
 $V, Ed = -7086.33$ $V_c, Rd = 50134.20$ $V, Ed/V_c, Rd = 0.14$

- Verifica a presso o tenso-flessione retta YY (4.2.4.1.2.7) - CC 17 SLU $X_l = 0.00$ - Classe 1
Sollecitazioni: $N = 6780.46$ $T_z = -5922.88$ $M_y = -18212.90$

Relazione di calcolo

My,Ed=-18212.90 My,V,c,Rd=21326.00
N,Ed=6780.46 Nc,Rd=181940.00 YY n=N,Ed/Nc,Rd=0.04 MMy,c,Rd=21326.00 My,Ed/MMy,c,Rd=0.85

- Verifica di stabilità aste inflesse (4.2.4.1.3.2) CC 17 SLU - Classe 1
L_{cr}=2.80 Curva b: $\alpha_{imp}=0.34$ $k_c=0.94$ $\psi=1.75$ M_{cr}=48365.20 $\lambda_{LT}=0.68$
 $\lambda_{LT,0}=0.40$ $\beta_{LT}=0.75$ $\Phi_{LT}=0.72$ $\beta_{LT}=0.75$ $f=0.97$ $\chi_{LT}=0.91$
My,Ed=-18212.90 My,b,Rd=19315.10 My,Ed/My,b,Rd=0.94

- Verifica di stabilità aste presso-inflesse (C4.2.4.1.3.3.2) - CC 19 SLU - Classe 1
Sollecitazioni: N,Ed=-6780.46 My,Ed=-17477.90 L=2.80
 α_{my} , α_{mz} , $\alpha_{LT}=0.95$, 0.95, 0.95
L_{cr}=2.80 Curva b: $\alpha_{imp}=0.34$ $k_c=0.94$ $\psi=1.75$ M_{cr}=48365.20 $\lambda_{LT}=0.68$
 $\lambda_{LT,0}=0.40$ $\Phi_{LT}=0.72$ $\beta_{LT}=0.75$ $f=0.97$ $\chi_{LT}=0.91$
 $\lambda_y=22.47$ N_{cr,y}=2209120.00 $\lambda^*_y=0.29$ Curva a: $\Phi_y=0.55$ $\chi_y=0.98$
 $\lambda_z=83.59$ N_{cr,z}=159618.00 $\lambda^*_z=1.09$ Curva b: $\Phi_z=1.25$ $\chi_z=0.54$
K_{yy}, K_{yz}, K_{zy}, K_{zz}=0.95, 0.63, 0.00, 1.04
Verifica YY: 0.04+0.86=0.90
Verifica ZZ: 0.07=0.07

- Verifica freccia massima carichi totali - CC 22
f_{z,L}=0.40 (L/695)

- Verifica freccia massima per soli carichi accidentali - CC 22
f_{z,L}=0.18 (L/1521)

Asta n. 1003 (1022 -20) Sez. 6 IPE300 Crit. 2

- Verifica a flessione YY [4.2.13] - CC 1 SND Xl=2.35 - Classe 3
Sollecitazioni: T_z=2700.78 M_y=-6996.96
My,Ed=-6996.96 My,c,Rd=18834.90 My,Ed/My,c,Rd=0.37

- Verifica a taglio dir. Z [4.2.16] - CC 17 SLU Xl=0.00 - Classe 1
Sollecitazioni: T_z=5966.29
V,Ed=5966.29 Vc,Rd=50134.20 V,Ed/Vc,Rd=0.12

- Verifica a presso o tenso-flessione retta YY (4.2.4.1.2.7) - CC 17 SLU Xl=2.35 - Classe 1
Sollecitazioni: N=6780.46 T_z=4989.83 M_y=-12873.40
My,Ed=-12873.40 My,V,c,Rd=21326.00
N,Ed=6780.46 Nc,Rd=181940.00 YY n=N,Ed/Nc,Rd=0.04 MMy,c,Rd=21326.00 My,Ed/MMy,c,Rd=0.60

- Verifica di stabilità aste inflesse (4.2.4.1.3.2) CC 17 SLU - Classe 1
L_{cr}=2.35 Curva b: $\alpha_{imp}=0.34$ $k_c=0.94$ $\psi=1.75$ M_{cr}=65500.90 $\lambda_{LT}=0.58$
 $\lambda_{LT,0}=0.40$ $\beta_{LT}=0.75$ $\Phi_{LT}=0.66$ $\beta_{LT}=0.75$ $f=0.97$ $\chi_{LT}=0.95$
My,Ed=-12873.40 My,b,Rd=20255.80 My,Ed/My,b,Rd=0.64

- Verifica di stabilità aste presso-inflesse (C4.2.4.1.3.3.2) - CC 19 SLU - Classe 1
Sollecitazioni: N,Ed=-6780.46 My,Ed=-12355.70 L=2.35
 α_{my} , α_{mz} , $\alpha_{LT}=0.95$, 0.95, 0.95
L_{cr}=2.35 Curva b: $\alpha_{imp}=0.34$ $k_c=0.94$ $\psi=1.75$ M_{cr}=65500.90 $\lambda_{LT}=0.58$
 $\lambda_{LT,0}=0.40$ $\Phi_{LT}=0.66$ $\beta_{LT}=0.75$ $f=0.97$ $\chi_{LT}=0.95$
 $\lambda_y=18.86$ N_{cr,y}=3136160.00 $\lambda^*_y=0.25$ Curva a: $\Phi_y=0.54$ $\chi_y=0.99$
 $\lambda_z=70.16$ N_{cr,z}=226601.00 $\lambda^*_z=0.92$ Curva b: $\Phi_z=1.04$ $\chi_z=0.65$
K_{yy}, K_{yz}, K_{zy}, K_{zz}=0.95, 0.61, 0.00, 1.02
Verifica YY: 0.04+0.58=0.62
Verifica ZZ: 0.04=0.04

- Verifica freccia massima carichi totali - CC 22
f_{z,g}=0.21 (L/1144)

- Verifica freccia massima per soli carichi accidentali - CC 22
f_{z,L}=0.09 (L/2513)

Asta n. 1003 (-20 1023) Sez. 6 IPE300 Crit. 2

- Verifica a flessione YY [4.2.13] - CC 1 SND Xl=0.00 - Classe 3
Sollecitazioni: T_z=-2700.79 M_y=-6996.96
My,Ed=-6996.96 My,c,Rd=18834.90 My,Ed/My,c,Rd=0.37

- Verifica a taglio dir. Z [4.2.16] - CC 17 SLU Xl=2.35 - Classe 1
Sollecitazioni: T_z=-5966.29
V,Ed=-5966.29 Vc,Rd=50134.20 V,Ed/Vc,Rd=0.12

- Verifica a presso o tenso-flessione retta YY (4.2.4.1.2.7) - CC 17 SLU Xl=0.00 - Classe 1
Sollecitazioni: N=6780.46 T_z=-4989.83 M_y=-12873.40
My,Ed=-12873.40 My,V,c,Rd=21326.00
N,Ed=6780.46 Nc,Rd=181940.00 YY n=N,Ed/Nc,Rd=0.04 MMy,c,Rd=21326.00 My,Ed/MMy,c,Rd=0.60

- Verifica di stabilità aste inflesse (4.2.4.1.3.2) CC 17 SLU - Classe 1
L_{cr}=2.35 Curva b: $\alpha_{imp}=0.34$ $k_c=0.94$ $\psi=1.75$ M_{cr}=65500.90 $\lambda_{LT}=0.58$

Relazione di calcolo

$\lambda_{LT,0}=0.40$ $\beta_{LT}=0.75$ $\Phi_{LT}=0.66$ $\beta_{LT}=0.75$ $f=0.97$ $\chi_{LT}=0.95$
 $My,Ed=-12873.40$ $My,b,Rd=20255.80$ $My,Ed/My,b,Rd=0.64$

- Verifica di stabilità aste presso-inflesse (C4.2.4.1.3.3.2) - CC 19 SLU - Classe 1
Sollecitazioni: $N,Ed=-6780.46$ $My,Ed=-12355.70$ $L=2.35$
 $\alpha_{my}, \alpha_{mz}, \alpha_{LT}=0.95, 0.95, 0.95$
 $L_{cr}=2.35$ Curva b: $\alpha_{imp}=0.34$ $k_c=0.94$ $\psi=1.75$ $M,cr=65500.90$ $\lambda_{LT}=0.58$
 $\lambda_{LT,0}=0.40$ $\Phi_{LT}=0.66$ $\beta_{LT}=0.75$ $f=0.97$ $\chi_{LT}=0.95$
 $\lambda_y=18.86$ $N_{cr,y}=3136160.00$ $\lambda^*_y=0.25$ Curva a: $\Phi_y=0.54$ $\chi_y=0.99$
 $\lambda_z=70.16$ $N_{cr,z}=226601.00$ $\lambda^*_z=0.92$ Curva b: $\Phi_z=1.04$ $\chi_z=0.65$
 $K_{yy}, K_{yz}, K_{zy}, K_{zz}=0.95, 0.61, 0.00, 1.02$
Verifica YY: $0.04+0.58=0.62$
Verifica ZZ: $0.04=0.04$

- Verifica freccia massima carichi totali - CC 22
 $f_{z,L}=0.21$ (L/1144)

- Verifica freccia massima per soli carichi accidentali - CC 22
 $f_{z,g}=0.09$ (L/2514)

Asta n. 1003 (1023 -21) Sez. 6 IPE300 Crit. 2

- Verifica a flessione YY [4.2.13] - CC 1 SND $Xl=2.35$ - Classe 3
Sollecitazioni: $T_z=2700.78$ $M_y=-6996.96$
 $My,Ed=-6996.96$ $My,c,Rd=18834.90$ $My,Ed/My,c,Rd=0.37$

- Verifica a taglio dir. Z [4.2.16] - CC 17 SLU $Xl=0.00$ - Classe 1
Sollecitazioni: $T_z=5966.29$
 $V,Ed=5966.29$ $V_c,Rd=50134.20$ $V,Ed/V_c,Rd=0.12$

- Verifica a presso o tenso-flessione retta YY (4.2.4.1.2.7) - CC 17 SLU $Xl=2.35$ - Classe 1
Sollecitazioni: $N=6780.46$ $T_z=4989.83$ $M_y=-12873.40$
 $My,Ed=-12873.40$ $My,V,c,Rd=21326.00$
 $N,Ed=6780.46$ $N_c,Rd=181940.00$ $YY\ n=N,Ed/N_c,Rd=0.04$ $MN_y,c,Rd=21326.00$ $My,Ed/MN_y,c,Rd=0.60$

- Verifica di stabilità aste inflesse (4.2.4.1.3.2) CC 17 SLU - Classe 1
 $L_{cr}=2.35$ Curva b: $\alpha_{imp}=0.34$ $k_c=0.94$ $\psi=1.75$ $M,cr=65501.00$ $\lambda_{LT}=0.58$
 $\lambda_{LT,0}=0.40$ $\beta_{LT}=0.75$ $\Phi_{LT}=0.66$ $\beta_{LT}=0.75$ $f=0.97$ $\chi_{LT}=0.95$
 $My,Ed=-12873.40$ $My,b,Rd=20255.80$ $My,Ed/My,b,Rd=0.64$

- Verifica di stabilità aste presso-inflesse (C4.2.4.1.3.3.2) - CC 19 SLU - Classe 1
Sollecitazioni: $N,Ed=-6780.46$ $My,Ed=-12355.70$ $L=2.35$
 $\alpha_{my}, \alpha_{mz}, \alpha_{LT}=0.95, 0.95, 0.95$
 $L_{cr}=2.35$ Curva b: $\alpha_{imp}=0.34$ $k_c=0.94$ $\psi=1.75$ $M,cr=65501.00$ $\lambda_{LT}=0.58$
 $\lambda_{LT,0}=0.40$ $\Phi_{LT}=0.66$ $\beta_{LT}=0.75$ $f=0.97$ $\chi_{LT}=0.95$
 $\lambda_y=18.86$ $N_{cr,y}=3136170.00$ $\lambda^*_y=0.25$ Curva a: $\Phi_y=0.54$ $\chi_y=0.99$
 $\lambda_z=70.16$ $N_{cr,z}=226601.00$ $\lambda^*_z=0.92$ Curva b: $\Phi_z=1.04$ $\chi_z=0.65$
 $K_{yy}, K_{yz}, K_{zy}, K_{zz}=0.95, 0.61, 0.00, 1.02$
Verifica YY: $0.04+0.58=0.62$
Verifica ZZ: $0.04=0.04$

- Verifica freccia massima carichi totali - CC 22
 $f_{z,L}=0.21$ (L/1144)

- Verifica freccia massima per soli carichi accidentali - CC 22
 $f_{z,L}=0.09$ (L/2515)

Asta n. 1003 (-21 1024) Sez. 6 IPE300 Crit. 2

- Verifica a flessione YY [4.2.13] - CC 1 SND $Xl=0.00$ - Classe 3
Sollecitazioni: $T_z=-2700.79$ $M_y=-6996.96$
 $My,Ed=-6996.96$ $My,c,Rd=18834.90$ $My,Ed/My,c,Rd=0.37$

- Verifica a taglio dir. Z [4.2.16] - CC 17 SLU $Xl=2.35$ - Classe 1
Sollecitazioni: $T_z=-5966.29$
 $V,Ed=-5966.29$ $V_c,Rd=50134.20$ $V,Ed/V_c,Rd=0.12$

- Verifica a presso o tenso-flessione retta YY (4.2.4.1.2.7) - CC 17 SLU $Xl=0.00$ - Classe 1
Sollecitazioni: $N=6780.46$ $T_z=-4989.83$ $M_y=-12873.40$
 $My,Ed=-12873.40$ $My,V,c,Rd=21326.00$
 $N,Ed=6780.46$ $N_c,Rd=181940.00$ $YY\ n=N,Ed/N_c,Rd=0.04$ $MN_y,c,Rd=21326.00$ $My,Ed/MN_y,c,Rd=0.60$

- Verifica di stabilità aste inflesse (4.2.4.1.3.2) CC 17 SLU - Classe 1
 $L_{cr}=2.35$ Curva b: $\alpha_{imp}=0.34$ $k_c=0.94$ $\psi=1.75$ $M,cr=65500.90$ $\lambda_{LT}=0.58$
 $\lambda_{LT,0}=0.40$ $\beta_{LT}=0.75$ $\Phi_{LT}=0.66$ $\beta_{LT}=0.75$ $f=0.97$ $\chi_{LT}=0.95$
 $My,Ed=-12873.40$ $My,b,Rd=20255.80$ $My,Ed/My,b,Rd=0.64$

- Verifica di stabilità aste presso-inflesse (C4.2.4.1.3.3.2) - CC 19 SLU - Classe 1
Sollecitazioni: $N,Ed=-6780.46$ $My,Ed=-12355.70$ $L=2.35$

Relazione di calcolo

$\alpha_{my}, \alpha_{mz}, \alpha_{LT}=0.95, 0.95, 0.95$
 $L_{cr}=2.35$ Curva b: $\alpha_{imp}=0.34$ $k_c=0.94$ $\psi=1.75$ $M_{cr}=65500.90$ $\lambda_{LT}=0.58$
 $\lambda_{LT,0}=0.40$ $\Phi_{LT}=0.66$ $\beta_{LT}=0.75$ $f=0.97$ $\chi_{LT}=0.95$
 $\lambda_y=18.86$ $N_{cr,y}=3136160.00$ $\lambda^*_y=0.25$ Curva a: $\Phi_y=0.54$ $\chi_y=0.99$
 $\lambda_z=70.16$ $N_{cr,z}=226600.00$ $\lambda^*_z=0.92$ Curva b: $\Phi_z=1.04$ $\chi_z=0.65$
 $K_{yy}, K_{yz}, K_{zy}, K_{zz}=0.95, 0.61, 0.00, 1.02$
Verifica YY: $0.04+0.58=0.62$
Verifica ZZ: $0.04=0.04$

- Verifica freccia massima carichi totali - CC 22
 $f_{z,L}=0.21$ (L/1144)

- Verifica freccia massima per soli carichi accidentali - CC 22
 $f_{z,L}=0.09$ (L/2513)

Asta n. 1004 (1027 26) Sez. 5 UPN100 Crit. 3

- Verifica a trazione (4.2.4.1.2.1) - CC 1 SLV $X_l=0.00$ - Classe 1
Sollecitazioni: $N=4337.35$
Verifica a trazione [4.2.5]
 $N, Ed=4337.35$ $N_{pl}, Rd=35889.70$ $N_u, Rd=42425.50$ $N, Ed/N_t, Rd=0.12$

- Verifica freccia massima carichi totali - CC 22
 $f_{z,G}=0.01$ (L/106749)

- Verifica freccia massima per soli carichi accidentali - CC 22
 $f_{z,G}=0.00$ (L/211502)

Asta n. 1005 (1035 -31) Sez. 6 IPE300 Crit. 2

- Verifica a flessione YY [4.2.13] - CC 1 SND $X_l=2.80$ - Classe 3
Sollecitazioni: $T_z=3200.69$ $M_y=-9884.87$
 $M_y, Ed=-9884.87$ $M_y, c, Rd=18834.90$ $M_y, Ed/M_y, c, Rd=0.52$

- Verifica a taglio dir. Z [4.2.16] - CC 17 SLU $X_l=0.00$ - Classe 1
Sollecitazioni: $T_z=7086.33$
 $V, Ed=7086.33$ $V_c, Rd=50134.20$ $V, Ed/V_c, Rd=0.14$

- Verifica a presso o tenso-flessione retta YY (4.2.4.1.2.7) - CC 17 SLU $X_l=2.80$ - Classe 1
Sollecitazioni: $N=6780.46$ $T_z=5922.88$ $M_y=-18212.90$
 $M_y, Ed=-18212.90$ $M_y, V, c, Rd=21326.00$
 $N, Ed=6780.46$ $N_c, Rd=181940.00$ YY $n=N, Ed/N_c, Rd=0.04$ $MN_y, c, Rd=21326.00$ $M_y, Ed/MN_y, c, Rd=0.85$

- Verifica di stabilità aste inflesse (4.2.4.1.3.2) CC 17 SLU - Classe 1
 $L_{cr}=2.80$ Curva b: $\alpha_{imp}=0.34$ $k_c=0.94$ $\psi=1.75$ $M_{cr}=48365.20$ $\lambda_{LT}=0.68$
 $\lambda_{LT,0}=0.40$ $\beta_{LT}=0.75$ $\Phi_{LT}=0.72$ $\beta_{LT}=0.75$ $f=0.97$ $\chi_{LT}=0.91$
 $M_y, Ed=-18212.90$ $M_y, b, Rd=19315.10$ $M_y, Ed/M_y, b, Rd=0.94$

- Verifica di stabilità aste presso-inflesse (C4.2.4.1.3.3.2) - CC 19 SLU - Classe 1
Sollecitazioni: $N, Ed=-6780.46$ $M_y, Ed=-17477.90$ $L=2.80$
 $\alpha_{my}, \alpha_{mz}, \alpha_{LT}=0.95, 0.95, 0.95$
 $L_{cr}=2.80$ Curva b: $\alpha_{imp}=0.34$ $k_c=0.94$ $\psi=1.75$ $M_{cr}=48365.20$ $\lambda_{LT}=0.68$
 $\lambda_{LT,0}=0.40$ $\Phi_{LT}=0.72$ $\beta_{LT}=0.75$ $f=0.97$ $\chi_{LT}=0.91$
 $\lambda_y=22.47$ $N_{cr,y}=2209120.00$ $\lambda^*_y=0.29$ Curva a: $\Phi_y=0.55$ $\chi_y=0.98$
 $\lambda_z=83.59$ $N_{cr,z}=159618.00$ $\lambda^*_z=1.09$ Curva b: $\Phi_z=1.25$ $\chi_z=0.54$
 $K_{yy}, K_{yz}, K_{zy}, K_{zz}=0.95, 0.63, 0.00, 1.04$
Verifica YY: $0.04+0.86=0.90$
Verifica ZZ: $0.07=0.07$

- Verifica freccia massima carichi totali - CC 22
 $f_{z,G}=0.40$ (L/695)

- Verifica freccia massima per soli carichi accidentali - CC 22
 $f_{z,L}=0.18$ (L/1521)

Asta n. 1005 (-31 1036) Sez. 6 IPE300 Crit. 2

- Verifica a flessione YY [4.2.13] - CC 1 SND $X_l=0.00$ - Classe 3
Sollecitazioni: $T_z=-3200.69$ $M_y=-9884.87$
 $M_y, Ed=-9884.87$ $M_y, c, Rd=18834.90$ $M_y, Ed/M_y, c, Rd=0.52$

- Verifica a taglio dir. Z [4.2.16] - CC 17 SLU $X_l=2.80$ - Classe 1
Sollecitazioni: $T_z=-7086.33$
 $V, Ed=-7086.33$ $V_c, Rd=50134.20$ $V, Ed/V_c, Rd=0.14$

- Verifica a presso o tenso-flessione retta YY (4.2.4.1.2.7) - CC 17 SLU $X_l=0.00$ - Classe 1
Sollecitazioni: $N=6780.46$ $T_z=-5922.88$ $M_y=-18212.90$
 $M_y, Ed=-18212.90$ $M_y, V, c, Rd=21326.00$
 $N, Ed=6780.46$ $N_c, Rd=181940.00$ YY $n=N, Ed/N_c, Rd=0.04$ $MN_y, c, Rd=21326.00$ $M_y, Ed/MN_y, c, Rd=0.85$

Relazione di calcolo

- Verifica di stabilità aste inflesse (4.2.4.1.3.2) CC 17 SLU - Classe 1
L_{cr}=2.80 Curva b: $\alpha_{imp}=0.34$ $k_c=0.94$ $\psi=1.75$ M_{cr}=48365.20 $\lambda_{LT}=0.68$
 $\lambda_{LT,0}=0.40$ $\beta_{LT}=0.75$ $\Phi_{LT}=0.72$ $\beta_{LT}=0.75$ $f=0.97$ $\chi_{LT}=0.91$
M_{y,Ed}=-18212.90 M_{y,b,Rd}=19315.10 M_{y,Ed}/M_{y,b,Rd}=0.94
- Verifica di stabilità aste presso-inflesse (C4.2.4.1.3.3.2) - CC 19 SLU - Classe 1
Sollecitazioni: N_{Ed}=-6780.46 M_{y,Ed}=-17477.90 L=2.80
 α_{my} , α_{mz} , $\alpha_{LT}=0.95$, 0.95, 0.95
L_{cr}=2.80 Curva b: $\alpha_{imp}=0.34$ $k_c=0.94$ $\psi=1.75$ M_{cr}=48365.20 $\lambda_{LT}=0.68$
 $\lambda_{LT,0}=0.40$ $\Phi_{LT}=0.72$ $\beta_{LT}=0.75$ $f=0.97$ $\chi_{LT}=0.91$
 $\lambda_y=22.47$ N_{cr,y}=2209120.00 $\lambda^*_y=0.29$ Curva a: $\Phi_y=0.55$ $\chi_y=0.98$
 $\lambda_z=83.59$ N_{cr,z}=159618.00 $\lambda^*_z=1.09$ Curva b: $\Phi_z=1.25$ $\chi_z=0.54$
K_{yy}, K_{yz}, K_{zy}, K_{zz}=0.95, 0.63, 0.00, 1.04
Verifica YY: 0.04+0.86=0.90
Verifica ZZ: 0.07=0.07
- Verifica freccia massima carichi totali - CC 22
f_{z,L}=0.40 (L/695)
- Verifica freccia massima per soli carichi accidentali - CC 22
f_{z,L}=0.18 (L/1521)
- Asta n. 1005 (1036 -32) Sez. 6 IPE300 Crit. 2

- Verifica a flessione YY [4.2.13] - CC 1 SND Xl=2.35 - Classe 3
Sollecitazioni: T_z=2700.78 M_y=-6996.96
M_{y,Ed}=-6996.96 M_{y,c,Rd}=18834.90 M_{y,Ed}/M_{y,c,Rd}=0.37
- Verifica a taglio dir. Z [4.2.16] - CC 17 SLU Xl=0.00 - Classe 1
Sollecitazioni: T_z=5966.29
V_{Ed}=5966.29 V_{c,Rd}=50134.20 V_{Ed}/V_{c,Rd}=0.12
- Verifica a presso o tenso-flessione retta YY (4.2.4.1.2.7) - CC 17 SLU Xl=2.35 - Classe 1
Sollecitazioni: N=6780.46 T_z=4989.83 M_y=-12873.40
M_{y,Ed}=-12873.40 M_{y,V,c,Rd}=21326.00
N_{Ed}=6780.46 N_{c,Rd}=181940.00 YY n=N_{Ed}/N_{c,Rd}=0.04 M_{Ny,c,Rd}=21326.00 M_{y,Ed}/M_{Ny,c,Rd}=0.60
- Verifica di stabilità aste inflesse (4.2.4.1.3.2) CC 17 SLU - Classe 1
L_{cr}=2.35 Curva b: $\alpha_{imp}=0.34$ $k_c=0.94$ $\psi=1.75$ M_{cr}=65500.90 $\lambda_{LT}=0.58$
 $\lambda_{LT,0}=0.40$ $\beta_{LT}=0.75$ $\Phi_{LT}=0.66$ $\beta_{LT}=0.75$ $f=0.97$ $\chi_{LT}=0.95$
M_{y,Ed}=-12873.40 M_{y,b,Rd}=20255.80 M_{y,Ed}/M_{y,b,Rd}=0.64
- Verifica di stabilità aste presso-inflesse (C4.2.4.1.3.3.2) - CC 19 SLU - Classe 1
Sollecitazioni: N_{Ed}=-6780.46 M_{y,Ed}=-12355.70 L=2.35
 α_{my} , α_{mz} , $\alpha_{LT}=0.95$, 0.95, 0.95
L_{cr}=2.35 Curva b: $\alpha_{imp}=0.34$ $k_c=0.94$ $\psi=1.75$ M_{cr}=65500.90 $\lambda_{LT}=0.58$
 $\lambda_{LT,0}=0.40$ $\Phi_{LT}=0.66$ $\beta_{LT}=0.75$ $f=0.97$ $\chi_{LT}=0.95$
 $\lambda_y=18.86$ N_{cr,y}=3136160.00 $\lambda^*_y=0.25$ Curva a: $\Phi_y=0.54$ $\chi_y=0.99$
 $\lambda_z=70.16$ N_{cr,z}=226601.00 $\lambda^*_z=0.92$ Curva b: $\Phi_z=1.04$ $\chi_z=0.65$
K_{yy}, K_{yz}, K_{zy}, K_{zz}=0.95, 0.61, 0.00, 1.02
Verifica YY: 0.04+0.58=0.62
Verifica ZZ: 0.04=0.04
- Verifica freccia massima carichi totali - CC 22
f_{z,g}=0.21 (L/1144)
- Verifica freccia massima per soli carichi accidentali - CC 22
f_{z,L}=0.09 (L/2514)
- Asta n. 1005 (-32 1037) Sez. 6 IPE300 Crit. 2

- Verifica a flessione YY [4.2.13] - CC 1 SND Xl=0.00 - Classe 3
Sollecitazioni: T_z=-2700.79 M_y=-6996.96
M_{y,Ed}=-6996.96 M_{y,c,Rd}=18834.90 M_{y,Ed}/M_{y,c,Rd}=0.37
- Verifica a taglio dir. Z [4.2.16] - CC 17 SLU Xl=2.35 - Classe 1
Sollecitazioni: T_z=-5966.29
V_{Ed}=-5966.29 V_{c,Rd}=50134.20 V_{Ed}/V_{c,Rd}=0.12
- Verifica a presso o tenso-flessione retta YY (4.2.4.1.2.7) - CC 17 SLU Xl=0.00 - Classe 1
Sollecitazioni: N=6780.46 T_z=-4989.83 M_y=-12873.40
M_{y,Ed}=-12873.40 M_{y,V,c,Rd}=21326.00
N_{Ed}=6780.46 N_{c,Rd}=181940.00 YY n=N_{Ed}/N_{c,Rd}=0.04 M_{Ny,c,Rd}=21326.00 M_{y,Ed}/M_{Ny,c,Rd}=0.60
- Verifica di stabilità aste inflesse (4.2.4.1.3.2) CC 17 SLU - Classe 1
L_{cr}=2.35 Curva b: $\alpha_{imp}=0.34$ $k_c=0.94$ $\psi=1.75$ M_{cr}=65500.90 $\lambda_{LT}=0.58$
 $\lambda_{LT,0}=0.40$ $\beta_{LT}=0.75$ $\Phi_{LT}=0.66$ $\beta_{LT}=0.75$ $f=0.97$ $\chi_{LT}=0.95$
M_{y,Ed}=-12873.40 M_{y,b,Rd}=20255.80 M_{y,Ed}/M_{y,b,Rd}=0.64

Relazione di calcolo

- Verifica di stabilità aste presso-inflesse (C4.2.4.1.3.3.2) - CC 19 SLU - Classe 1
Sollecitazioni: $N_{Ed} = -6780.46$ My, $E_{d} = -12355.70$ L=2.35
 $\alpha_{my}, \alpha_{mz}, \alpha_{LT} = 0.95, 0.95, 0.95$
 $L_{cr} = 2.35$ Curva b: $\alpha_{imp} = 0.34$ $k_c = 0.94$ $\psi = 1.75$ M, $cr = 65500.90$ $\lambda_{LT} = 0.58$
 $\lambda_{LT,0} = 0.40$ $\Phi_{LT} = 0.66$ $\beta_{LT} = 0.75$ $f = 0.97$ $\chi_{LT} = 0.95$
 $\lambda_y = 18.86$ Ncr, $y = 3136160.00$ $\lambda'_y = 0.25$ Curva a: $\Phi_y = 0.54$ $\chi_y = 0.99$
 $\lambda_z = 70.16$ Ncr, $z = 226601.00$ $\lambda'_z = 0.92$ Curva b: $\Phi_z = 1.04$ $\chi_z = 0.65$
Kyy, Kyz, Kzy, Kzz = 0.95, 0.61, 0.00, 1.02
Verifica YY: $0.04 + 0.58 = 0.62$
Verifica ZZ: $0.04 = 0.04$
- Verifica freccia massima carichi totali - CC 22
 $f_{z,L} = 0.21$ (L/1144)
- Verifica freccia massima per soli carichi accidentali - CC 22
 $f_{z,L} = 0.09$ (L/2513)
- Asta n. 1005 (1037 -33) Sez. 6 IPE300 Crit. 2

- Verifica a flessione YY [4.2.13] - CC 1 SND $X_l = 2.35$ - Classe 3
Sollecitazioni: $T_z = 2700.78$ $M_y = -6996.96$
My, $E_d = -6996.96$ My, c, $R_d = 18834.90$ My, $E_d/My, c, R_d = 0.37$
- Verifica a taglio dir. Z [4.2.16] - CC 17 SLU $X_l = 0.00$ - Classe 1
Sollecitazioni: $T_z = 5966.29$
V, $E_d = 5966.29$ Vc, $R_d = 50134.20$ V, $E_d/Vc, R_d = 0.12$
- Verifica a presso o tenso-flessione retta YY (4.2.4.1.2.7) - CC 17 SLU $X_l = 2.35$ - Classe 1
Sollecitazioni: $N = 6780.46$ $T_z = 4989.83$ $M_y = -12873.40$
My, $E_d = -12873.40$ My, V, c, $R_d = 21326.00$
N, $E_d = 6780.46$ Nc, $R_d = 181940.00$ YY n=N, $E_d/Nc, R_d = 0.04$ MNy, c, $R_d = 21326.00$ My, $E_d/MNy, c, R_d = 0.60$
- Verifica di stabilità aste inflesse (4.2.4.1.3.2) CC 17 SLU - Classe 1
 $L_{cr} = 2.35$ Curva b: $\alpha_{imp} = 0.34$ $k_c = 0.94$ $\psi = 1.75$ M, $cr = 65500.90$ $\lambda_{LT} = 0.58$
 $\lambda_{LT,0} = 0.40$ $\beta_{LT} = 0.75$ $\Phi_{LT} = 0.66$ $\beta_{LT} = 0.75$ $f = 0.97$ $\chi_{LT} = 0.95$
My, $E_d = -12873.40$ My, b, $R_d = 20255.80$ My, $E_d/My, b, R_d = 0.64$
- Verifica di stabilità aste presso-inflesse (C4.2.4.1.3.3.2) - CC 19 SLU - Classe 1
Sollecitazioni: $N_{Ed} = -6780.46$ My, $E_d = -12355.70$ L=2.35
 $\alpha_{my}, \alpha_{mz}, \alpha_{LT} = 0.95, 0.95, 0.95$
 $L_{cr} = 2.35$ Curva b: $\alpha_{imp} = 0.34$ $k_c = 0.94$ $\psi = 1.75$ M, $cr = 65500.90$ $\lambda_{LT} = 0.58$
 $\lambda_{LT,0} = 0.40$ $\Phi_{LT} = 0.66$ $\beta_{LT} = 0.75$ $f = 0.97$ $\chi_{LT} = 0.95$
 $\lambda_y = 18.86$ Ncr, $y = 3136160.00$ $\lambda'_y = 0.25$ Curva a: $\Phi_y = 0.54$ $\chi_y = 0.99$
 $\lambda_z = 70.16$ Ncr, $z = 226601.00$ $\lambda'_z = 0.92$ Curva b: $\Phi_z = 1.04$ $\chi_z = 0.65$
Kyy, Kyz, Kzy, Kzz = 0.95, 0.61, 0.00, 1.02
Verifica YY: $0.04 + 0.58 = 0.62$
Verifica ZZ: $0.04 = 0.04$
- Verifica freccia massima carichi totali - CC 22
 $f_{z,L} = 0.21$ (L/1144)
- Verifica freccia massima per soli carichi accidentali - CC 22
 $f_{z,g} = 0.09$ (L/2513)
- Asta n. 1005 (-33 1038) Sez. 6 IPE300 Crit. 2

- Verifica a flessione YY [4.2.13] - CC 1 SND $X_l = 0.00$ - Classe 3
Sollecitazioni: $T_z = -2700.79$ $M_y = -6996.96$
My, $E_d = -6996.96$ My, c, $R_d = 18834.90$ My, $E_d/My, c, R_d = 0.37$
- Verifica a taglio dir. Z [4.2.16] - CC 17 SLU $X_l = 2.35$ - Classe 1
Sollecitazioni: $T_z = -5966.29$
V, $E_d = -5966.29$ Vc, $R_d = 50134.20$ V, $E_d/Vc, R_d = 0.12$
- Verifica a presso o tenso-flessione retta YY (4.2.4.1.2.7) - CC 17 SLU $X_l = 0.00$ - Classe 1
Sollecitazioni: $N = 6780.46$ $T_z = -4989.83$ $M_y = -12873.40$
My, $E_d = -12873.40$ My, V, c, $R_d = 21326.00$
N, $E_d = 6780.46$ Nc, $R_d = 181940.00$ YY n=N, $E_d/Nc, R_d = 0.04$ MNy, c, $R_d = 21326.00$ My, $E_d/MNy, c, R_d = 0.60$
- Verifica di stabilità aste inflesse (4.2.4.1.3.2) CC 17 SLU - Classe 1
 $L_{cr} = 2.35$ Curva b: $\alpha_{imp} = 0.34$ $k_c = 0.94$ $\psi = 1.75$ M, $cr = 65500.90$ $\lambda_{LT} = 0.58$
 $\lambda_{LT,0} = 0.40$ $\beta_{LT} = 0.75$ $\Phi_{LT} = 0.66$ $\beta_{LT} = 0.75$ $f = 0.97$ $\chi_{LT} = 0.95$
My, $E_d = -12873.40$ My, b, $R_d = 20255.80$ My, $E_d/My, b, R_d = 0.64$
- Verifica di stabilità aste presso-inflesse (C4.2.4.1.3.3.2) - CC 19 SLU - Classe 1
Sollecitazioni: $N_{Ed} = -6780.46$ My, $E_d = -12355.70$ L=2.35
 $\alpha_{my}, \alpha_{mz}, \alpha_{LT} = 0.95, 0.95, 0.95$
 $L_{cr} = 2.35$ Curva b: $\alpha_{imp} = 0.34$ $k_c = 0.94$ $\psi = 1.75$ M, $cr = 65500.90$ $\lambda_{LT} = 0.58$
 $\lambda_{LT,0} = 0.40$ $\Phi_{LT} = 0.66$ $\beta_{LT} = 0.75$ $f = 0.97$ $\chi_{LT} = 0.95$

Relazione di calcolo

$\lambda_y=18.86$ Ncr,y=3136160.00 $\lambda^*_y=0.25$ Curva a: $\Phi_y=0.54$ $\chi_y=0.99$
 $\lambda_z=70.16$ Ncr,z=226601.00 $\lambda^*_z=0.92$ Curva b: $\Phi_z=1.04$ $\chi_z=0.65$
Kyy, Kyz, Kzy, Kzz=0.95, 0.61, 0.00, 1.02
Verifica YY: 0.04+0.58=0.62
Verifica ZZ: 0.04=0.04

- Verifica freccia massima carichi totali - CC 22
 $f_{z,L}=0.21$ (L/1144)

- Verifica freccia massima per soli carichi accidentali - CC 22
 $f_{z,G}=0.09$ (L/2514)

Asta n. 1005 (1038 -34) Sez. 6 IPE300 Crit. 2

- Verifica a flessione YY [4.2.13] - CC 1 SND $X_l=2.80$ - Classe 3
Sollecitazioni: $T_z=3200.69$ $M_y=-9884.87$
 $M_y,Ed=-9884.87$ $M_y,c,Rd=18834.90$ $M_y,Ed/M_y,c,Rd=0.52$

- Verifica a taglio dir. Z [4.2.16] - CC 17 SLU $X_l=0.00$ - Classe 1
Sollecitazioni: $T_z=7086.33$
 $V,Ed=7086.33$ $V_c,Rd=50134.20$ $V,Ed/V_c,Rd=0.14$

- Verifica a presso o tenso-flessione retta YY (4.2.4.1.2.7) - CC 17 SLU $X_l=2.80$ - Classe 1
Sollecitazioni: $N=6780.46$ $T_z=5922.88$ $M_y=-18212.90$
 $M_y,Ed=-18212.90$ $M_y,V,c,Rd=21326.00$
 $N,Ed=6780.46$ $N_c,Rd=181940.00$ YY n=N,Ed/Nc,Rd=0.04 MNy,c,Rd=21326.00 $M_y,Ed/MNy,c,Rd=0.85$

- Verifica di stabilità aste inflesse (4.2.4.1.3.2) CC 17 SLU - Classe 1
 $L_{cr}=2.80$ Curva b: $\alpha_{imp}=0.34$ $k_c=0.94$ $\psi=1.75$ $M_{cr}=48365.20$ $\lambda_{LT}=0.68$
 $\lambda_{LT,0}=0.40$ $\beta_{LT}=0.75$ $\Phi_{LT}=0.72$ $\beta_{LT}=0.75$ $f=0.97$ $\chi_{LT}=0.91$
 $M_y,Ed=-18212.90$ $M_y,b,Rd=19315.10$ $M_y,Ed/M_y,b,Rd=0.94$

- Verifica di stabilità aste presso-inflesse (C4.2.4.1.3.3.2) - CC 19 SLU - Classe 1
Sollecitazioni: $N,Ed=-6780.46$ $M_y,Ed=-17477.90$ $L=2.80$
 $\alpha_{my}, \alpha_{mz}, \alpha_{LT}=0.95, 0.95, 0.95$
 $L_{cr}=2.80$ Curva b: $\alpha_{imp}=0.34$ $k_c=0.94$ $\psi=1.75$ $M_{cr}=48365.20$ $\lambda_{LT}=0.68$
 $\lambda_{LT,0}=0.40$ $\Phi_{LT}=0.72$ $\beta_{LT}=0.75$ $f=0.97$ $\chi_{LT}=0.91$
 $\lambda_y=22.47$ Ncr,y=2209120.00 $\lambda^*_y=0.29$ Curva a: $\Phi_y=0.55$ $\chi_y=0.98$
 $\lambda_z=83.59$ Ncr,z=159618.00 $\lambda^*_z=1.09$ Curva b: $\Phi_z=1.25$ $\chi_z=0.54$
Kyy, Kyz, Kzy, Kzz=0.95, 0.63, 0.00, 1.04
Verifica YY: 0.04+0.86=0.90
Verifica ZZ: 0.07=0.07

- Verifica freccia massima carichi totali - CC 22
 $f_{z,G}=0.40$ (L/695)

- Verifica freccia massima per soli carichi accidentali - CC 22
 $f_{z,L}=0.18$ (L/1521)

Asta n. 1005 (-34 1039) Sez. 6 IPE300 Crit. 2

- Verifica a flessione YY [4.2.13] - CC 1 SND $X_l=0.00$ - Classe 3
Sollecitazioni: $T_z=-3200.69$ $M_y=-9884.87$
 $M_y,Ed=-9884.87$ $M_y,c,Rd=18834.90$ $M_y,Ed/M_y,c,Rd=0.52$

- Verifica a taglio dir. Z [4.2.16] - CC 17 SLU $X_l=2.80$ - Classe 1
Sollecitazioni: $T_z=-7086.33$
 $V,Ed=-7086.33$ $V_c,Rd=50134.20$ $V,Ed/V_c,Rd=0.14$

- Verifica a presso o tenso-flessione retta YY (4.2.4.1.2.7) - CC 17 SLU $X_l=0.00$ - Classe 1
Sollecitazioni: $N=6780.46$ $T_z=-5922.88$ $M_y=-18212.90$
 $M_y,Ed=-18212.90$ $M_y,V,c,Rd=21326.00$
 $N,Ed=6780.46$ $N_c,Rd=181940.00$ YY n=N,Ed/Nc,Rd=0.04 MNy,c,Rd=21326.00 $M_y,Ed/MNy,c,Rd=0.85$

- Verifica di stabilità aste inflesse (4.2.4.1.3.2) CC 17 SLU - Classe 1
 $L_{cr}=2.80$ Curva b: $\alpha_{imp}=0.34$ $k_c=0.94$ $\psi=1.75$ $M_{cr}=48365.20$ $\lambda_{LT}=0.68$
 $\lambda_{LT,0}=0.40$ $\beta_{LT}=0.75$ $\Phi_{LT}=0.72$ $\beta_{LT}=0.75$ $f=0.97$ $\chi_{LT}=0.91$
 $M_y,Ed=-18212.90$ $M_y,b,Rd=19315.10$ $M_y,Ed/M_y,b,Rd=0.94$

- Verifica di stabilità aste presso-inflesse (C4.2.4.1.3.3.2) - CC 19 SLU - Classe 1
Sollecitazioni: $N,Ed=-6780.46$ $M_y,Ed=-17477.90$ $L=2.80$
 $\alpha_{my}, \alpha_{mz}, \alpha_{LT}=0.95, 0.95, 0.95$
 $L_{cr}=2.80$ Curva b: $\alpha_{imp}=0.34$ $k_c=0.94$ $\psi=1.75$ $M_{cr}=48365.20$ $\lambda_{LT}=0.68$
 $\lambda_{LT,0}=0.40$ $\Phi_{LT}=0.72$ $\beta_{LT}=0.75$ $f=0.97$ $\chi_{LT}=0.91$
 $\lambda_y=22.47$ Ncr,y=2209120.00 $\lambda^*_y=0.29$ Curva a: $\Phi_y=0.55$ $\chi_y=0.98$
 $\lambda_z=83.59$ Ncr,z=159618.00 $\lambda^*_z=1.09$ Curva b: $\Phi_z=1.25$ $\chi_z=0.54$
Kyy, Kyz, Kzy, Kzz=0.95, 0.63, 0.00, 1.04
Verifica YY: 0.04+0.86=0.90
Verifica ZZ: 0.07=0.07

Relazione di calcolo

- Verifica freccia massima carichi totali - CC 22
 $f_{z,L}=0.40$ (L/695)

- Verifica freccia massima per soli carichi accidentali - CC 22
 $f_{z,L}=0.18$ (L/1521)

Asta n. 1005 (1039 -35) Sez. 6 IPE300 Crit. 2

- Verifica a flessione YY [4.2.13] - CC 1 SND $X_1=2.35$ - Classe 3
Sollecitazioni: $T_z=2700.78$ $M_y=-6996.96$
 $M_y,Ed=-6996.96$ $M_y,c,Rd=18834.90$ $M_y,Ed/M_y,c,Rd=0.37$

- Verifica a taglio dir. Z [4.2.16] - CC 17 SLU $X_1=0.00$ - Classe 1
Sollecitazioni: $T_z=5966.29$
 $V,Ed=5966.29$ $V_c,Rd=50134.20$ $V,Ed/V_c,Rd=0.12$

- Verifica a presso o tenso-flessione retta YY (4.2.4.1.2.7) - CC 17 SLU $X_1=2.35$ - Classe 1
Sollecitazioni: $N=6780.46$ $T_z=4989.83$ $M_y=-12873.40$
 $M_y,Ed=-12873.40$ $M_y,V,c,Rd=21326.00$
 $N,Ed=6780.46$ $N_c,Rd=181940.00$ YY $n=N,Ed/N_c,Rd=0.04$ $MNy,c,Rd=21326.00$ $M_y,Ed/MNy,c,Rd=0.60$

- Verifica di stabilità aste inflesse (4.2.4.1.3.2) CC 17 SLU - Classe 1
 $L_{cr}=2.35$ Curva b: $\alpha_{imp}=0.34$ $k_c=0.94$ $\psi=1.75$ $M_{cr}=65500.90$ $\lambda_{LT}=0.58$
 $\lambda_{LT,0}=0.40$ $\beta_{LT}=0.75$ $\Phi_{LT}=0.66$ $\beta_{LT}=0.75$ $f=0.97$ $\chi_{LT}=0.95$
 $M_y,Ed=-12873.40$ $M_y,b,Rd=20255.80$ $M_y,Ed/M_y,b,Rd=0.64$

- Verifica di stabilità aste presso-inflesse (C4.2.4.1.3.3.2) - CC 19 SLU - Classe 1
Sollecitazioni: $N,Ed=-6780.46$ $M_y,Ed=-12355.70$ $L=2.35$
 α_{my} , α_{mz} , $\alpha_{LT}=0.95$, 0.95 , 0.95
 $L_{cr}=2.35$ Curva b: $\alpha_{imp}=0.34$ $k_c=0.94$ $\psi=1.75$ $M_{cr}=65500.90$ $\lambda_{LT}=0.58$
 $\lambda_{LT,0}=0.40$ $\Phi_{LT}=0.66$ $\beta_{LT}=0.75$ $f=0.97$ $\chi_{LT}=0.95$
 $\lambda_y=18.86$ $N_{cr,y}=3136160.00$ $\lambda^*_y=0.25$ Curva a: $\Phi_y=0.54$ $\chi_y=0.99$
 $\lambda_z=70.16$ $N_{cr,z}=226601.00$ $\lambda^*_z=0.92$ Curva b: $\Phi_z=1.04$ $\chi_z=0.65$
 K_{yy} , K_{yz} , K_{zy} , $K_{zz}=0.95$, 0.61 , 0.00 , 1.02
Verifica YY: $0.04+0.58=0.62$
Verifica ZZ: $0.04=0.04$

- Verifica freccia massima carichi totali - CC 22
 $f_{z,L}=0.21$ (L/1144)

- Verifica freccia massima per soli carichi accidentali - CC 22
 $f_{z,L}=0.09$ (L/2515)

Asta n. 1005 (-35 1040) Sez. 6 IPE300 Crit. 2

- Verifica a flessione YY [4.2.13] - CC 1 SND $X_1=0.00$ - Classe 3
Sollecitazioni: $T_z=-2700.79$ $M_y=-6996.96$
 $M_y,Ed=-6996.96$ $M_y,c,Rd=18834.90$ $M_y,Ed/M_y,c,Rd=0.37$

- Verifica a taglio dir. Z [4.2.16] - CC 17 SLU $X_1=2.35$ - Classe 1
Sollecitazioni: $T_z=-5966.29$
 $V,Ed=-5966.29$ $V_c,Rd=50134.20$ $V,Ed/V_c,Rd=0.12$

- Verifica a presso o tenso-flessione retta YY (4.2.4.1.2.7) - CC 17 SLU $X_1=0.00$ - Classe 1
Sollecitazioni: $N=6780.46$ $T_z=-4989.83$ $M_y=-12873.40$
 $M_y,Ed=-12873.40$ $M_y,V,c,Rd=21326.00$
 $N,Ed=6780.46$ $N_c,Rd=181940.00$ YY $n=N,Ed/N_c,Rd=0.04$ $MNy,c,Rd=21326.00$ $M_y,Ed/MNy,c,Rd=0.60$

- Verifica di stabilità aste inflesse (4.2.4.1.3.2) CC 17 SLU - Classe 1
 $L_{cr}=2.35$ Curva b: $\alpha_{imp}=0.34$ $k_c=0.94$ $\psi=1.75$ $M_{cr}=65500.90$ $\lambda_{LT}=0.58$
 $\lambda_{LT,0}=0.40$ $\beta_{LT}=0.75$ $\Phi_{LT}=0.66$ $\beta_{LT}=0.75$ $f=0.97$ $\chi_{LT}=0.95$
 $M_y,Ed=-12873.40$ $M_y,b,Rd=20255.80$ $M_y,Ed/M_y,b,Rd=0.64$

- Verifica di stabilità aste presso-inflesse (C4.2.4.1.3.3.2) - CC 19 SLU - Classe 1
Sollecitazioni: $N,Ed=-6780.46$ $M_y,Ed=-12355.70$ $L=2.35$
 α_{my} , α_{mz} , $\alpha_{LT}=0.95$, 0.95 , 0.95
 $L_{cr}=2.35$ Curva b: $\alpha_{imp}=0.34$ $k_c=0.94$ $\psi=1.75$ $M_{cr}=65500.90$ $\lambda_{LT}=0.58$
 $\lambda_{LT,0}=0.40$ $\Phi_{LT}=0.66$ $\beta_{LT}=0.75$ $f=0.97$ $\chi_{LT}=0.95$
 $\lambda_y=18.86$ $N_{cr,y}=3136160.00$ $\lambda^*_y=0.25$ Curva a: $\Phi_y=0.54$ $\chi_y=0.99$
 $\lambda_z=70.16$ $N_{cr,z}=226601.00$ $\lambda^*_z=0.92$ Curva b: $\Phi_z=1.04$ $\chi_z=0.65$
 K_{yy} , K_{yz} , K_{zy} , $K_{zz}=0.95$, 0.61 , 0.00 , 1.02
Verifica YY: $0.04+0.58=0.62$
Verifica ZZ: $0.04=0.04$

- Verifica freccia massima carichi totali - CC 22
 $f_{z,L}=0.21$ (L/1144)

- Verifica freccia massima per soli carichi accidentali - CC 22

Relazione di calcolo

$f_{z,L}=0.09$ (L/2513)

Asta n. 1005 (1040 -36) Sez. 6 IPE300 Crit. 2

- Verifica a flessione YY [4.2.13] - CC 1 SND $X_l=2.35$ - Classe 3
Sollecitazioni: $T_z=2700.78$ $M_y=-6996.96$
 $M_y,Ed=-6996.96$ $M_y,c,Rd=18834.90$ $M_y,Ed/M_y,c,Rd=0.37$

- Verifica a taglio dir. Z [4.2.16] - CC 17 SLU $X_l=0.00$ - Classe 1
Sollecitazioni: $T_z=5966.29$
 $V,Ed=5966.29$ $V_c,Rd=50134.20$ $V,Ed/V_c,Rd=0.12$

- Verifica a presso o tenso-flessione retta YY (4.2.4.1.2.7) - CC 17 SLU $X_l=2.35$ - Classe 1
Sollecitazioni: $N=6780.46$ $T_z=4989.83$ $M_y=-12873.40$
 $M_y,Ed=-12873.40$ $M_y,V,c,Rd=21326.00$
 $N,Ed=6780.46$ $N_c,Rd=181940.00$ $YY\ n=N,Ed/N_c,Rd=0.04$ $MN_y,c,Rd=21326.00$ $M_y,Ed/MN_y,c,Rd=0.60$

- Verifica di stabilità aste inflesse (4.2.4.1.3.2) CC 17 SLU - Classe 1
 $L_{cr}=2.35$ Curva b: $\alpha_{imp}=0.34$ $k_c=0.94$ $\psi=1.75$ $M_{cr}=65500.90$ $\lambda_{LT}=0.58$
 $\lambda_{LT,0}=0.40$ $\beta_{LT}=0.75$ $\Phi_{LT}=0.66$ $\beta_{LT}=0.75$ $f=0.97$ $\chi_{LT}=0.95$
 $M_y,Ed=-12873.40$ $M_y,b,Rd=20255.80$ $M_y,Ed/M_y,b,Rd=0.64$

- Verifica di stabilità aste presso-inflesse (C4.2.4.1.3.3.2) - CC 19 SLU - Classe 1
Sollecitazioni: $N,Ed=-6780.46$ $M_y,Ed=-12355.70$ $L=2.35$
 $\alpha_{my}, \alpha_{mz}, \alpha_{LT}=0.95, 0.95, 0.95$
 $L_{cr}=2.35$ Curva b: $\alpha_{imp}=0.34$ $k_c=0.94$ $\psi=1.75$ $M_{cr}=65500.90$ $\lambda_{LT}=0.58$
 $\lambda_{LT,0}=0.40$ $\Phi_{LT}=0.66$ $\beta_{LT}=0.75$ $f=0.97$ $\chi_{LT}=0.95$
 $\lambda_y=18.86$ $N_{cr,y}=3136160.00$ $\lambda^*_y=0.25$ Curva a: $\Phi_y=0.54$ $\chi_y=0.99$
 $\lambda_z=70.16$ $N_{cr,z}=226601.00$ $\lambda^*_z=0.92$ Curva b: $\Phi_z=1.04$ $\chi_z=0.65$
 $K_{yy}, K_{yz}, K_{zy}, K_{zz}=0.95, 0.61, 0.00, 1.02$
Verifica YY: $0.04+0.58=0.62$
Verifica ZZ: $0.04=0.04$

- Verifica freccia massima carichi totali - CC 22
 $f_{z,g}=0.21$ (L/1144)

- Verifica freccia massima per soli carichi accidentali - CC 22
 $f_{z,L}=0.09$ (L/2513)

Asta n. 1005 (-36 1041) Sez. 6 IPE300 Crit. 2

- Verifica a flessione YY [4.2.13] - CC 1 SND $X_l=0.00$ - Classe 3
Sollecitazioni: $T_z=-2700.79$ $M_y=-6996.96$
 $M_y,Ed=-6996.96$ $M_y,c,Rd=18834.90$ $M_y,Ed/M_y,c,Rd=0.37$

- Verifica a taglio dir. Z [4.2.16] - CC 17 SLU $X_l=2.35$ - Classe 1
Sollecitazioni: $T_z=-5966.29$
 $V,Ed=-5966.29$ $V_c,Rd=50134.20$ $V,Ed/V_c,Rd=0.12$

- Verifica a presso o tenso-flessione retta YY (4.2.4.1.2.7) - CC 17 SLU $X_l=0.00$ - Classe 1
Sollecitazioni: $N=6780.46$ $T_z=-4989.83$ $M_y=-12873.40$
 $M_y,Ed=-12873.40$ $M_y,V,c,Rd=21326.00$
 $N,Ed=6780.46$ $N_c,Rd=181940.00$ $YY\ n=N,Ed/N_c,Rd=0.04$ $MN_y,c,Rd=21326.00$ $M_y,Ed/MN_y,c,Rd=0.60$

- Verifica di stabilità aste inflesse (4.2.4.1.3.2) CC 17 SLU - Classe 1
 $L_{cr}=2.35$ Curva b: $\alpha_{imp}=0.34$ $k_c=0.94$ $\psi=1.75$ $M_{cr}=65500.90$ $\lambda_{LT}=0.58$
 $\lambda_{LT,0}=0.40$ $\beta_{LT}=0.75$ $\Phi_{LT}=0.66$ $\beta_{LT}=0.75$ $f=0.97$ $\chi_{LT}=0.95$
 $M_y,Ed=-12873.40$ $M_y,b,Rd=20255.80$ $M_y,Ed/M_y,b,Rd=0.64$

- Verifica di stabilità aste presso-inflesse (C4.2.4.1.3.3.2) - CC 19 SLU - Classe 1
Sollecitazioni: $N,Ed=-6780.46$ $M_y,Ed=-12355.70$ $L=2.35$
 $\alpha_{my}, \alpha_{mz}, \alpha_{LT}=0.95, 0.95, 0.95$
 $L_{cr}=2.35$ Curva b: $\alpha_{imp}=0.34$ $k_c=0.94$ $\psi=1.75$ $M_{cr}=65500.90$ $\lambda_{LT}=0.58$
 $\lambda_{LT,0}=0.40$ $\Phi_{LT}=0.66$ $\beta_{LT}=0.75$ $f=0.97$ $\chi_{LT}=0.95$
 $\lambda_y=18.86$ $N_{cr,y}=3136160.00$ $\lambda^*_y=0.25$ Curva a: $\Phi_y=0.54$ $\chi_y=0.99$
 $\lambda_z=70.16$ $N_{cr,z}=226601.00$ $\lambda^*_z=0.92$ Curva b: $\Phi_z=1.04$ $\chi_z=0.65$
 $K_{yy}, K_{yz}, K_{zy}, K_{zz}=0.95, 0.61, 0.00, 1.02$
Verifica YY: $0.04+0.58=0.62$
Verifica ZZ: $0.04=0.04$

- Verifica freccia massima carichi totali - CC 22
 $f_{z,L}=0.21$ (L/1144)

- Verifica freccia massima per soli carichi accidentali - CC 22
 $f_{z,L}=0.09$ (L/2515)

Asta n. 1005 (1041 -37) Sez. 6 IPE300 Crit. 2

- Verifica a flessione YY [4.2.13] - CC 1 SND $X_l=2.80$ - Classe 3

Relazione di calcolo

Sollecitazioni: $T_z=3200.69$ $M_y=-9884.87$
 $M_y, Ed=-9884.87$ $M_y, c, Rd=18834.90$ $M_y, Ed/M_y, c, Rd=0.52$

- Verifica a taglio dir. Z [4.2.16] - CC 17 SLU $X_l=0.00$ - Classe 1
Sollecitazioni: $T_z=7086.33$
 $V, Ed=7086.33$ $V_c, Rd=50134.20$ $V, Ed/V_c, Rd=0.14$

- Verifica a presso o tenso-flessione retta YY (4.2.4.1.2.7) - CC 17 SLU $X_l=2.80$ - Classe 1
Sollecitazioni: $N=6780.46$ $T_z=5922.88$ $M_y=-18212.90$
 $M_y, Ed=-18212.90$ $M_y, V, c, Rd=21326.00$
 $N, Ed=6780.46$ $N_c, Rd=181940.00$ $YY\ n=N, Ed/N_c, Rd=0.04$ $MNy, c, Rd=21326.00$ $M_y, Ed/MNy, c, Rd=0.85$

- Verifica di stabilità aste inflesse (4.2.4.1.3.2) CC 17 SLU - Classe 1
 $L_{cr}=2.80$ Curva b: $\alpha_{imp}=0.34$ $k_c=0.94$ $\psi=1.75$ $M_{cr}=48365.20$ $\lambda_{LT}=0.68$
 $\lambda_{LT,0}=0.40$ $\beta_{LT}=0.75$ $\Phi_{LT}=0.72$ $\beta_{LT}=0.75$ $f=0.97$ $\chi_{LT}=0.91$
 $M_y, Ed=-18212.90$ $M_y, b, Rd=19315.10$ $M_y, Ed/M_y, b, Rd=0.94$

- Verifica di stabilità aste presso-inflesse (C4.2.4.1.3.3.2) - CC 19 SLU - Classe 1
Sollecitazioni: $N, Ed=-6780.46$ $M_y, Ed=-17477.90$ $L=2.80$
 $\alpha_m, \alpha_mz, \alpha_{LT}=0.95, 0.95, 0.95$
 $L_{cr}=2.80$ Curva b: $\alpha_{imp}=0.34$ $k_c=0.94$ $\psi=1.75$ $M_{cr}=48365.20$ $\lambda_{LT}=0.68$
 $\lambda_{LT,0}=0.40$ $\Phi_{LT}=0.72$ $\beta_{LT}=0.75$ $f=0.97$ $\chi_{LT}=0.91$
 $\lambda_y=22.47$ $N_{cr,y}=2209120.00$ $\lambda^*_y=0.29$ Curva a: $\Phi_y=0.55$ $\chi_y=0.98$
 $\lambda_z=83.59$ $N_{cr,z}=159618.00$ $\lambda^*_z=1.09$ Curva b: $\Phi_z=1.25$ $\chi_z=0.54$
 $K_{yy}, K_{yz}, K_{zy}, K_{zz}=0.95, 0.63, 0.00, 1.04$
Verifica YY: $0.04+0.86=0.90$
Verifica ZZ: $0.07=0.07$

- Verifica freccia massima carichi totali - CC 22
 $f_{z,g}=0.40$ (L/695)

- Verifica freccia massima per soli carichi accidentali - CC 22
 $f_{z,L}=0.18$ (L/1521)

Asta n. 1005 (-37 1042) Sez. 6 IPE300 Crit. 2

- Verifica a flessione YY [4.2.13] - CC 1 SND $X_l=0.00$ - Classe 3
Sollecitazioni: $T_z=-3200.69$ $M_y=-9884.87$
 $M_y, Ed=-9884.87$ $M_y, c, Rd=18834.90$ $M_y, Ed/M_y, c, Rd=0.52$

- Verifica a taglio dir. Z [4.2.16] - CC 17 SLU $X_l=2.80$ - Classe 1
Sollecitazioni: $T_z=-7086.33$
 $V, Ed=-7086.33$ $V_c, Rd=50134.20$ $V, Ed/V_c, Rd=0.14$

- Verifica a presso o tenso-flessione retta YY (4.2.4.1.2.7) - CC 17 SLU $X_l=0.00$ - Classe 1
Sollecitazioni: $N=6780.46$ $T_z=-5922.88$ $M_y=-18212.90$
 $M_y, Ed=-18212.90$ $M_y, V, c, Rd=21326.00$
 $N, Ed=6780.46$ $N_c, Rd=181940.00$ $YY\ n=N, Ed/N_c, Rd=0.04$ $MNy, c, Rd=21326.00$ $M_y, Ed/MNy, c, Rd=0.85$

- Verifica di stabilità aste inflesse (4.2.4.1.3.2) CC 17 SLU - Classe 1
 $L_{cr}=2.80$ Curva b: $\alpha_{imp}=0.34$ $k_c=0.94$ $\psi=1.75$ $M_{cr}=48365.20$ $\lambda_{LT}=0.68$
 $\lambda_{LT,0}=0.40$ $\beta_{LT}=0.75$ $\Phi_{LT}=0.72$ $\beta_{LT}=0.75$ $f=0.97$ $\chi_{LT}=0.91$
 $M_y, Ed=-18212.90$ $M_y, b, Rd=19315.10$ $M_y, Ed/M_y, b, Rd=0.94$

- Verifica di stabilità aste presso-inflesse (C4.2.4.1.3.3.2) - CC 19 SLU - Classe 1
Sollecitazioni: $N, Ed=-6780.46$ $M_y, Ed=-17477.90$ $L=2.80$
 $\alpha_m, \alpha_mz, \alpha_{LT}=0.95, 0.95, 0.95$
 $L_{cr}=2.80$ Curva b: $\alpha_{imp}=0.34$ $k_c=0.94$ $\psi=1.75$ $M_{cr}=48365.20$ $\lambda_{LT}=0.68$
 $\lambda_{LT,0}=0.40$ $\Phi_{LT}=0.72$ $\beta_{LT}=0.75$ $f=0.97$ $\chi_{LT}=0.91$
 $\lambda_y=22.47$ $N_{cr,y}=2209120.00$ $\lambda^*_y=0.29$ Curva a: $\Phi_y=0.55$ $\chi_y=0.98$
 $\lambda_z=83.59$ $N_{cr,z}=159618.00$ $\lambda^*_z=1.09$ Curva b: $\Phi_z=1.25$ $\chi_z=0.54$
 $K_{yy}, K_{yz}, K_{zy}, K_{zz}=0.95, 0.63, 0.00, 1.04$
Verifica YY: $0.04+0.86=0.90$
Verifica ZZ: $0.07=0.07$

- Verifica freccia massima carichi totali - CC 22
 $f_{z,L}=0.40$ (L/695)

- Verifica freccia massima per soli carichi accidentali - CC 22
 $f_{z,L}=0.18$ (L/1521)

Asta n. 1005 (1042 -38) Sez. 6 IPE300 Crit. 2

- Verifica a flessione YY [4.2.13] - CC 1 SND $X_l=2.35$ - Classe 3
Sollecitazioni: $T_z=2700.78$ $M_y=-6996.96$
 $M_y, Ed=-6996.96$ $M_y, c, Rd=18834.90$ $M_y, Ed/M_y, c, Rd=0.37$

- Verifica a taglio dir. Z [4.2.16] - CC 17 SLU $X_l=0.00$ - Classe 1
Sollecitazioni: $T_z=5966.29$

Relazione di calcolo

V,Ed=5966.29 Vc,Rd=50134.20 V,Ed/Vc,Rd=0.12

- Verifica a presso o tenso-flessione retta YY (4.2.4.1.2.7) - CC 17 SLU Xl=2.35 - Classe 1
Sollecitazioni: N=6780.46 Tz=4989.83 My=-12873.40
My,Ed=-12873.40 My,V,c,Rd=21326.00
N,Ed=6780.46 Nc,Rd=181940.00 YY n=N,Ed/Nc,Rd=0.04 MNy,c,Rd=21326.00 My,Ed/MNy,c,Rd=0.60

- Verifica di stabilità aste inflesse (4.2.4.1.3.2) CC 17 SLU - Classe 1
Lcr=2.35 Curva b: $\alpha_{imp}=0.34$ $k_c=0.94$ $\psi=1.75$ M,cr=65500.90 $\lambda_{LT}=0.58$
 $\lambda_{LT,0}=0.40$ $\beta_{LT}=0.75$ $\Phi_{LT}=0.66$ $\beta_{LT}=0.75$ f=0.97 $\chi_{LT}=0.95$
My,Ed=-12873.40 My,b,Rd=20255.80 My,Ed/My,b,Rd=0.64

- Verifica di stabilità aste presso-inflesse (C4.2.4.1.3.3.2) - CC 19 SLU - Classe 1
Sollecitazioni: N,Ed=-6780.46 My,Ed=-12355.70 L=2.35
 α_{my} , α_{mz} , $\alpha_{LT}=0.95$, 0.95, 0.95
Lcr=2.35 Curva b: $\alpha_{imp}=0.34$ $k_c=0.94$ $\psi=1.75$ M,cr=65500.90 $\lambda_{LT}=0.58$
 $\lambda_{LT,0}=0.40$ $\Phi_{LT}=0.66$ $\beta_{LT}=0.75$ f=0.97 $\chi_{LT}=0.95$
 $\lambda_y=18.86$ Ncr,y=3136160.00 $\lambda^*_y=0.25$ Curva a: $\Phi_y=0.54$ $\chi_y=0.99$
 $\lambda_z=70.16$ Ncr,z=226601.00 $\lambda^*_z=0.92$ Curva b: $\Phi_z=1.04$ $\chi_z=0.65$
Kyy, Kyz, Kzy, Kzz=0.95, 0.61, 0.00, 1.02
Verifica YY: 0.04+0.58=0.62
Verifica ZZ: 0.04=0.04

- Verifica freccia massima carichi totali - CC 22
fz,L=0.21 (L/1144)

- Verifica freccia massima per soli carichi accidentali - CC 22
fz,L=0.09 (L/2513)

Asta n. 1005 (-38 1043) Sez. 6 IPE300 Crit. 2

- Verifica a flessione YY [4.2.13] - CC 1 SND Xl=0.00 - Classe 3
Sollecitazioni: Tz=-2700.79 My=-6996.96
My,Ed=-6996.96 My,c,Rd=18834.90 My,Ed/My,c,Rd=0.37

- Verifica a taglio dir. Z [4.2.16] - CC 17 SLU Xl=2.35 - Classe 1
Sollecitazioni: Tz=-5966.29
V,Ed=-5966.29 Vc,Rd=50134.20 V,Ed/Vc,Rd=0.12

- Verifica a presso o tenso-flessione retta YY (4.2.4.1.2.7) - CC 17 SLU Xl=0.00 - Classe 1
Sollecitazioni: N=6780.46 Tz=-4989.83 My=-12873.40
My,Ed=-12873.40 My,V,c,Rd=21326.00
N,Ed=6780.46 Nc,Rd=181940.00 YY n=N,Ed/Nc,Rd=0.04 MNy,c,Rd=21326.00 My,Ed/MNy,c,Rd=0.60

- Verifica di stabilità aste inflesse (4.2.4.1.3.2) CC 17 SLU - Classe 1
Lcr=2.35 Curva b: $\alpha_{imp}=0.34$ $k_c=0.94$ $\psi=1.75$ M,cr=65500.90 $\lambda_{LT}=0.58$
 $\lambda_{LT,0}=0.40$ $\beta_{LT}=0.75$ $\Phi_{LT}=0.66$ $\beta_{LT}=0.75$ f=0.97 $\chi_{LT}=0.95$
My,Ed=-12873.40 My,b,Rd=20255.80 My,Ed/My,b,Rd=0.64

- Verifica di stabilità aste presso-inflesse (C4.2.4.1.3.3.2) - CC 19 SLU - Classe 1
Sollecitazioni: N,Ed=-6780.46 My,Ed=-12355.70 L=2.35
 α_{my} , α_{mz} , $\alpha_{LT}=0.95$, 0.95, 0.95
Lcr=2.35 Curva b: $\alpha_{imp}=0.34$ $k_c=0.94$ $\psi=1.75$ M,cr=65500.90 $\lambda_{LT}=0.58$
 $\lambda_{LT,0}=0.40$ $\Phi_{LT}=0.66$ $\beta_{LT}=0.75$ f=0.97 $\chi_{LT}=0.95$
 $\lambda_y=18.86$ Ncr,y=3136160.00 $\lambda^*_y=0.25$ Curva a: $\Phi_y=0.54$ $\chi_y=0.99$
 $\lambda_z=70.16$ Ncr,z=226601.00 $\lambda^*_z=0.92$ Curva b: $\Phi_z=1.04$ $\chi_z=0.65$
Kyy, Kyz, Kzy, Kzz=0.95, 0.61, 0.00, 1.02
Verifica YY: 0.04+0.58=0.62
Verifica ZZ: 0.04=0.04

- Verifica freccia massima carichi totali - CC 22
fz,L=0.21 (L/1144)

- Verifica freccia massima per soli carichi accidentali - CC 22
fz,G=0.09 (L/2515)

Asta n. 1005 (1043 -39) Sez. 6 IPE300 Crit. 2

- Verifica a flessione YY [4.2.13] - CC 1 SND Xl=2.35 - Classe 3
Sollecitazioni: Tz=2700.78 My=-6996.96
My,Ed=-6996.96 My,c,Rd=18834.90 My,Ed/My,c,Rd=0.37

- Verifica a taglio dir. Z [4.2.16] - CC 17 SLU Xl=0.00 - Classe 1
Sollecitazioni: Tz=5966.29
V,Ed=5966.29 Vc,Rd=50134.20 V,Ed/Vc,Rd=0.12

- Verifica a presso o tenso-flessione retta YY (4.2.4.1.2.7) - CC 17 SLU Xl=2.35 - Classe 1
Sollecitazioni: N=6780.46 Tz=4989.83 My=-12873.40
My,Ed=-12873.40 My,V,c,Rd=21326.00

Relazione di calcolo

N,Ed=6780.46 Nc,Rd=181940.00 YY n=N,Ed/Nc,Rd=0.04 MNy,c,Rd=21326.00 My,Ed/MNy,c,Rd=0.60

- Verifica di stabilità aste inflesse (4.2.4.1.3.2) CC 17 SLU - Classe 1
L_{cr}=2.35 Curva b: $\alpha_{imp}=0.34$ $k_c=0.94$ $\psi=1.75$ M_{cr}=65501.00 $\lambda_{LT}=0.58$
 $\lambda_{LT,0}=0.40$ $\beta_{LT}=0.75$ $\Phi_{LT}=0.66$ $\beta_{LT}=0.75$ $f=0.97$ $\chi_{LT}=0.95$
My,Ed=-12873.40 My,b,Rd=20255.80 My,Ed/My,b,Rd=0.64

- Verifica di stabilità aste presso-inflesse (C4.2.4.1.3.3.2) - CC 19 SLU - Classe 1
Sollecitazioni: N,Ed=-6780.46 My,Ed=-12355.70 L=2.35
 α_{my} , α_{mz} , $\alpha_{LT}=0.95$, 0.95, 0.95
L_{cr}=2.35 Curva b: $\alpha_{imp}=0.34$ $k_c=0.94$ $\psi=1.75$ M_{cr}=65501.00 $\lambda_{LT}=0.58$
 $\lambda_{LT,0}=0.40$ $\Phi_{LT}=0.66$ $\beta_{LT}=0.75$ $f=0.97$ $\chi_{LT}=0.95$
 $\lambda_y=18.86$ N_{cr,y}=3136170.00 $\lambda^*_y=0.25$ Curva a: $\Phi_y=0.54$ $\chi_y=0.99$
 $\lambda_z=70.16$ N_{cr,z}=226601.00 $\lambda^*_z=0.92$ Curva b: $\Phi_z=1.04$ $\chi_z=0.65$
K_{yy}, K_{yz}, K_{zy}, K_{zz}=0.95, 0.61, 0.00, 1.02
Verifica YY: 0.04+0.58=0.62
Verifica ZZ: 0.04=0.04

- Verifica freccia massima carichi totali - CC 22
f_{z,L}=0.21 (L/1144)

- Verifica freccia massima per soli carichi accidentali - CC 22
f_{z,L}=0.09 (L/2515)

Asta n. 1005 (-39 1044) Sez. 6 IPE300 Crit. 2

- Verifica a flessione YY [4.2.13] - CC 1 SND Xl=0.00 - Classe 3
Sollecitazioni: T_z=-2700.79 M_y=-6996.96
My,Ed=-6996.96 My,c,Rd=18834.90 My,Ed/My,c,Rd=0.37

- Verifica a taglio dir. Z [4.2.16] - CC 17 SLU Xl=2.35 - Classe 1
Sollecitazioni: T_z=-5966.29
V,Ed=-5966.29 V_c,Rd=50134.20 V,Ed/V_c,Rd=0.12

- Verifica a presso o tenso-flessione retta YY (4.2.4.1.2.7) - CC 17 SLU Xl=0.00 - Classe 1
Sollecitazioni: N=6780.46 T_z=-4989.83 M_y=-12873.40
My,Ed=-12873.40 My,V,c,Rd=21326.00
N,Ed=6780.46 Nc,Rd=181940.00 YY n=N,Ed/Nc,Rd=0.04 MNy,c,Rd=21326.00 My,Ed/MNy,c,Rd=0.60

- Verifica di stabilità aste inflesse (4.2.4.1.3.2) CC 17 SLU - Classe 1
L_{cr}=2.35 Curva b: $\alpha_{imp}=0.34$ $k_c=0.94$ $\psi=1.75$ M_{cr}=65500.90 $\lambda_{LT}=0.58$
 $\lambda_{LT,0}=0.40$ $\beta_{LT}=0.75$ $\Phi_{LT}=0.66$ $\beta_{LT}=0.75$ $f=0.97$ $\chi_{LT}=0.95$
My,Ed=-12873.40 My,b,Rd=20255.80 My,Ed/My,b,Rd=0.64

- Verifica di stabilità aste presso-inflesse (C4.2.4.1.3.3.2) - CC 19 SLU - Classe 1
Sollecitazioni: N,Ed=-6780.46 My,Ed=-12355.70 L=2.35
 α_{my} , α_{mz} , $\alpha_{LT}=0.95$, 0.95, 0.95
L_{cr}=2.35 Curva b: $\alpha_{imp}=0.34$ $k_c=0.94$ $\psi=1.75$ M_{cr}=65500.90 $\lambda_{LT}=0.58$
 $\lambda_{LT,0}=0.40$ $\Phi_{LT}=0.66$ $\beta_{LT}=0.75$ $f=0.97$ $\chi_{LT}=0.95$
 $\lambda_y=18.86$ N_{cr,y}=3136160.00 $\lambda^*_y=0.25$ Curva a: $\Phi_y=0.54$ $\chi_y=0.99$
 $\lambda_z=70.16$ N_{cr,z}=226600.00 $\lambda^*_z=0.92$ Curva b: $\Phi_z=1.04$ $\chi_z=0.65$
K_{yy}, K_{yz}, K_{zy}, K_{zz}=0.95, 0.61, 0.00, 1.02
Verifica YY: 0.04+0.58=0.62
Verifica ZZ: 0.04=0.04

- Verifica freccia massima carichi totali - CC 22
f_{z,L}=0.21 (L/1143)

- Verifica freccia massima per soli carichi accidentali - CC 22
f_{z,g}=0.09 (L/2513)

Asta n. 1006 (1047 46) Sez. 5 UPN100 Crit. 3

- Verifica a trazione (4.2.4.1.2.1) - CC 1 SLV Xl=0.00 - Classe 1
Sollecitazioni: N=3940.50
Verifica a trazione [4.2.5]
N,Ed=3940.50 N_{pl},Rd=35889.70 Nu,Rd=42425.50 N,Ed/N_t,Rd=0.11

- Verifica freccia massima carichi totali - CC 22
f_{z,g}=0.00 (L/115463)

- Verifica freccia massima per soli carichi accidentali - CC 22
f_{z,g}=0.00 (L/233307)

Asta n. 1007 (1055 -49) Sez. 6 IPE300 Crit. 2

- Verifica a flessione YY [4.2.13] - CC 1 SND Xl=2.80 - Classe 3
Sollecitazioni: T_z=3200.69 M_y=-9884.87
My,Ed=-9884.87 My,c,Rd=18834.90 My,Ed/My,c,Rd=0.52

Relazione di calcolo

- Verifica a taglio dir. Z [4.2.16] - CC 17 SLU $X_l=0.00$ - Classe 1
Sollecitazioni: $T_z=7086.33$
 $V, Ed=7086.33$ $V_c, Rd=50134.20$ $V, Ed/V_c, Rd=0.14$
- Verifica a presso o tenso-flessione retta YY (4.2.4.1.2.7) - CC 17 SLU $X_l=2.80$ - Classe 1
Sollecitazioni: $N=6780.46$ $T_z=5922.88$ $M_y=-18212.90$
 $M_y, Ed=-18212.90$ $M_y, V, c, Rd=21326.00$
 $N, Ed=6780.46$ $N_c, Rd=181940.00$ YY $n=N, Ed/N_c, Rd=0.04$ $MN_y, c, Rd=21326.00$ $M_y, Ed/MN_y, c, Rd=0.85$
- Verifica di stabilità aste inflesse (4.2.4.1.3.2) CC 17 SLU - Classe 1
 $L_{cr}=2.80$ Curva b: $\alpha_{imp}=0.34$ $k_c=0.94$ $\psi=1.75$ $M, cr=48365.20$ $\lambda_{LT}=0.68$
 $\lambda_{LT,0}=0.40$ $\beta_{LT}=0.75$ $\Phi_{LT}=0.72$ $\beta_{LT}=0.75$ $f=0.97$ $\chi_{LT}=0.91$
 $M_y, Ed=-18212.90$ $M_y, b, Rd=19315.10$ $M_y, Ed/M_y, b, Rd=0.94$
- Verifica di stabilità aste presso-inflesse (C4.2.4.1.3.3.2) - CC 19 SLU - Classe 1
Sollecitazioni: $N, Ed=-6780.46$ $M_y, Ed=-17477.90$ $L=2.80$
 $\alpha_m, \alpha_mz, \alpha_{LT}=0.95, 0.95, 0.95$
 $L_{cr}=2.80$ Curva b: $\alpha_{imp}=0.34$ $k_c=0.94$ $\psi=1.75$ $M, cr=48365.20$ $\lambda_{LT}=0.68$
 $\lambda_{LT,0}=0.40$ $\Phi_{LT}=0.72$ $\beta_{LT}=0.75$ $f=0.97$ $\chi_{LT}=0.91$
 $\lambda_y=22.47$ $N_{cr,y}=2209120.00$ $\lambda'_y=0.29$ Curva a: $\Phi_y=0.55$ $\chi_y=0.98$
 $\lambda_z=83.59$ $N_{cr,z}=159618.00$ $\lambda'_z=1.09$ Curva b: $\Phi_z=1.25$ $\chi_z=0.54$
 $K_{yy}, K_{yz}, K_{zy}, K_{zz}=0.95, 0.63, 0.00, 1.04$
Verifica YY: $0.04+0.86=0.90$
Verifica ZZ: $0.07=0.07$
- Verifica freccia massima carichi totali - CC 22
 $f_{z,g}=0.40$ (L/695)
- Verifica freccia massima per soli carichi accidentali - CC 22
 $f_{z,g}=0.18$ (L/1521)

Asta n. 1007 (-49 1056) Sez. 6 IPE300 Crit. 2

- Verifica a flessione YY [4.2.13] - CC 1 SND $X_l=0.00$ - Classe 3
Sollecitazioni: $T_z=-3200.69$ $M_y=-9884.87$
 $M_y, Ed=-9884.87$ $M_y, c, Rd=18834.90$ $M_y, Ed/M_y, c, Rd=0.52$
- Verifica a taglio dir. Z [4.2.16] - CC 17 SLU $X_l=2.80$ - Classe 1
Sollecitazioni: $T_z=-7086.33$
 $V, Ed=-7086.33$ $V_c, Rd=50134.20$ $V, Ed/V_c, Rd=0.14$
- Verifica a presso o tenso-flessione retta YY (4.2.4.1.2.7) - CC 17 SLU $X_l=0.00$ - Classe 1
Sollecitazioni: $N=6780.46$ $T_z=-5922.88$ $M_y=-18212.90$
 $M_y, Ed=-18212.90$ $M_y, V, c, Rd=21326.00$
 $N, Ed=6780.46$ $N_c, Rd=181940.00$ YY $n=N, Ed/N_c, Rd=0.04$ $MN_y, c, Rd=21326.00$ $M_y, Ed/MN_y, c, Rd=0.85$
- Verifica di stabilità aste inflesse (4.2.4.1.3.2) CC 17 SLU - Classe 1
 $L_{cr}=2.80$ Curva b: $\alpha_{imp}=0.34$ $k_c=0.94$ $\psi=1.75$ $M, cr=48365.20$ $\lambda_{LT}=0.68$
 $\lambda_{LT,0}=0.40$ $\beta_{LT}=0.75$ $\Phi_{LT}=0.72$ $\beta_{LT}=0.75$ $f=0.97$ $\chi_{LT}=0.91$
 $M_y, Ed=-18212.90$ $M_y, b, Rd=19315.10$ $M_y, Ed/M_y, b, Rd=0.94$
- Verifica di stabilità aste presso-inflesse (C4.2.4.1.3.3.2) - CC 19 SLU - Classe 1
Sollecitazioni: $N, Ed=-6780.46$ $M_y, Ed=-17477.90$ $L=2.80$
 $\alpha_m, \alpha_mz, \alpha_{LT}=0.95, 0.95, 0.95$
 $L_{cr}=2.80$ Curva b: $\alpha_{imp}=0.34$ $k_c=0.94$ $\psi=1.75$ $M, cr=48365.20$ $\lambda_{LT}=0.68$
 $\lambda_{LT,0}=0.40$ $\Phi_{LT}=0.72$ $\beta_{LT}=0.75$ $f=0.97$ $\chi_{LT}=0.91$
 $\lambda_y=22.47$ $N_{cr,y}=2209120.00$ $\lambda'_y=0.29$ Curva a: $\Phi_y=0.55$ $\chi_y=0.98$
 $\lambda_z=83.59$ $N_{cr,z}=159618.00$ $\lambda'_z=1.09$ Curva b: $\Phi_z=1.25$ $\chi_z=0.54$
 $K_{yy}, K_{yz}, K_{zy}, K_{zz}=0.95, 0.63, 0.00, 1.04$
Verifica YY: $0.04+0.86=0.90$
Verifica ZZ: $0.07=0.07$
- Verifica freccia massima carichi totali - CC 22
 $f_{z,L}=0.40$ (L/695)
- Verifica freccia massima per soli carichi accidentali - CC 22
 $f_{z,g}=0.18$ (L/1522)

Asta n. 1007 (1056 -50) Sez. 6 IPE300 Crit. 2

- Verifica a flessione YY [4.2.13] - CC 1 SND $X_l=2.35$ - Classe 3
Sollecitazioni: $T_z=1395.48$ $M_y=-3662.75$
 $M_y, Ed=-3662.75$ $M_y, c, Rd=18834.90$ $M_y, Ed/M_y, c, Rd=0.19$
- Verifica a taglio dir. Z [4.2.16] - CC 17 SLU $X_l=0.00$ - Classe 1
Sollecitazioni: $T_z=3106.28$
 $V, Ed=3106.28$ $V_c, Rd=50134.20$ $V, Ed/V_c, Rd=0.06$

Relazione di calcolo

- Verifica a presso o tenso-flessione retta YY (4.2.4.1.2.7) - CC 17 SLU $X_l=2.35$ - Classe 1
Sollecitazioni: $N=6780.46$ $T_z=2553.52$ $M_y=-6650.27$
 $M_y, Ed=-6650.27$ $M_y, V, c, Rd=21326.00$
 $N, Ed=6780.46$ $N_c, Rd=181940.00$ $YY\ n=N, Ed/N_c, Rd=0.04$ $MNy, c, Rd=21326.00$ $M_y, Ed/MNy, c, Rd=0.31$
- Verifica di stabilità aste inflesse (4.2.4.1.3.2) CC 17 SLU - Classe 1
 $L_{cr}=2.35$ Curva b: $\alpha_{imp}=0.34$ $k_c=0.94$ $\psi=1.75$ $M, cr=65500.90$ $\lambda_{LT}=0.58$
 $\lambda_{LT,0}=0.40$ $\beta_{LT}=0.75$ $\Phi_{LT}=0.66$ $\beta_{LT}=0.75$ $f=0.97$ $\chi_{LT}=0.95$
 $M_y, Ed=-6650.27$ $M_y, b, Rd=20255.80$ $M_y, Ed/M_y, b, Rd=0.33$
- Verifica di stabilità aste presso-inflesse (C4.2.4.1.3.3.2) - CC 19 SLU - Classe 1
Sollecitazioni: $N, Ed=-6780.46$ $M_y, Ed=-6391.41$ $L=2.35$
 $\alpha_{my}, \alpha_{mz}, \alpha_{LT}=0.95, 0.95, 0.95$
 $L_{cr}=2.35$ Curva b: $\alpha_{imp}=0.34$ $k_c=0.94$ $\psi=1.75$ $M, cr=65500.90$ $\lambda_{LT}=0.58$
 $\lambda_{LT,0}=0.40$ $\Phi_{LT}=0.66$ $\beta_{LT}=0.75$ $f=0.97$ $\chi_{LT}=0.95$
 $\lambda_y=18.86$ $N_{cr,y}=3136160.00$ $\lambda^*_y=0.25$ Curva a: $\Phi_y=0.54$ $\chi_y=0.99$
 $\lambda_z=70.16$ $N_{cr,z}=226601.00$ $\lambda^*_z=0.92$ Curva b: $\Phi_z=1.04$ $\chi_z=0.65$
 $K_{yy}, K_{yz}, K_{zy}, K_{zz}=0.95, 0.61, 0.00, 1.02$
Verifica YY: $0.04+0.30=0.34$
Verifica ZZ: $0.04=0.04$
- Verifica freccia massima carichi totali - CC 22
 $f_{z,L}=0.11$ (L/2202)
- Verifica freccia massima per soli carichi accidentali - CC 22
 $f_{z,L}=0.05$ (L/5028)

Asta n. 1007 (-50 1057) Sez. 6 IPE300 Crit. 2

- Verifica a flessione YY [4.2.13] - CC 1 SND $X_l=0.00$ - Classe 3
Sollecitazioni: $T_z=-1395.48$ $M_y=-3662.75$
 $M_y, Ed=-3662.75$ $M_y, c, Rd=18834.90$ $M_y, Ed/M_y, c, Rd=0.19$
- Verifica a taglio dir. Z [4.2.16] - CC 17 SLU $X_l=2.35$ - Classe 1
Sollecitazioni: $T_z=-3106.28$
 $V, Ed=-3106.28$ $V_c, Rd=50134.20$ $V, Ed/V_c, Rd=0.06$
- Verifica a presso o tenso-flessione retta YY (4.2.4.1.2.7) - CC 17 SLU $X_l=0.00$ - Classe 1
Sollecitazioni: $N=6780.46$ $T_z=-2553.52$ $M_y=-6650.27$
 $M_y, Ed=-6650.27$ $M_y, V, c, Rd=21326.00$
 $N, Ed=6780.46$ $N_c, Rd=181940.00$ $YY\ n=N, Ed/N_c, Rd=0.04$ $MNy, c, Rd=21326.00$ $M_y, Ed/MNy, c, Rd=0.31$
- Verifica di stabilità aste inflesse (4.2.4.1.3.2) CC 17 SLU - Classe 1
 $L_{cr}=2.35$ Curva b: $\alpha_{imp}=0.34$ $k_c=0.94$ $\psi=1.75$ $M, cr=65500.90$ $\lambda_{LT}=0.58$
 $\lambda_{LT,0}=0.40$ $\beta_{LT}=0.75$ $\Phi_{LT}=0.66$ $\beta_{LT}=0.75$ $f=0.97$ $\chi_{LT}=0.95$
 $M_y, Ed=-6650.27$ $M_y, b, Rd=20255.80$ $M_y, Ed/M_y, b, Rd=0.33$
- Verifica di stabilità aste presso-inflesse (C4.2.4.1.3.3.2) - CC 19 SLU - Classe 1
Sollecitazioni: $N, Ed=-6780.46$ $M_y, Ed=-6391.41$ $L=2.35$
 $\alpha_{my}, \alpha_{mz}, \alpha_{LT}=0.95, 0.95, 0.95$
 $L_{cr}=2.35$ Curva b: $\alpha_{imp}=0.34$ $k_c=0.94$ $\psi=1.75$ $M, cr=65500.90$ $\lambda_{LT}=0.58$
 $\lambda_{LT,0}=0.40$ $\Phi_{LT}=0.66$ $\beta_{LT}=0.75$ $f=0.97$ $\chi_{LT}=0.95$
 $\lambda_y=18.86$ $N_{cr,y}=3136160.00$ $\lambda^*_y=0.25$ Curva a: $\Phi_y=0.54$ $\chi_y=0.99$
 $\lambda_z=70.16$ $N_{cr,z}=226601.00$ $\lambda^*_z=0.92$ Curva b: $\Phi_z=1.04$ $\chi_z=0.65$
 $K_{yy}, K_{yz}, K_{zy}, K_{zz}=0.95, 0.61, 0.00, 1.02$
Verifica YY: $0.04+0.30=0.34$
Verifica ZZ: $0.04=0.04$
- Verifica freccia massima carichi totali - CC 22
 $f_{z,L}=0.11$ (L/2201)
- Verifica freccia massima per soli carichi accidentali - CC 22
 $f_{z,L}=0.05$ (L/5028)

Asta n. 1007 (1057 -51) Sez. 6 IPE300 Crit. 2

- Verifica a flessione YY [4.2.13] - CC 1 SND $X_l=2.35$ - Classe 3
Sollecitazioni: $T_z=2700.78$ $M_y=-6996.96$
 $M_y, Ed=-6996.96$ $M_y, c, Rd=18834.90$ $M_y, Ed/M_y, c, Rd=0.37$
- Verifica a taglio dir. Z [4.2.16] - CC 17 SLU $X_l=0.00$ - Classe 1
Sollecitazioni: $T_z=5966.29$
 $V, Ed=5966.29$ $V_c, Rd=50134.20$ $V, Ed/V_c, Rd=0.12$
- Verifica a presso o tenso-flessione retta YY (4.2.4.1.2.7) - CC 17 SLU $X_l=2.35$ - Classe 1
Sollecitazioni: $N=6780.46$ $T_z=4989.83$ $M_y=-12873.40$
 $M_y, Ed=-12873.40$ $M_y, V, c, Rd=21326.00$
 $N, Ed=6780.46$ $N_c, Rd=181940.00$ $YY\ n=N, Ed/N_c, Rd=0.04$ $MNy, c, Rd=21326.00$ $M_y, Ed/MNy, c, Rd=0.60$

Relazione di calcolo

- Verifica di stabilità aste inflesse (4.2.4.1.3.2) CC 17 SLU - Classe 1
L_{cr}=2.35 Curva b: $\alpha_{imp}=0.34$ $k_c=0.94$ $\psi=1.75$ M_{cr}=65500.90 $\lambda_{LT}=0.58$
 $\lambda_{LT,0}=0.40$ $\beta_{LT}=0.75$ $\Phi_{LT}=0.66$ $\beta_{LT}=0.75$ $f=0.97$ $\chi_{LT}=0.95$
M_{y,Ed}=-12873.40 M_{y,b,Rd}=20255.80 M_{y,Ed}/M_{y,b,Rd}=0.64
- Verifica di stabilità aste presso-inflesse (C4.2.4.1.3.3.2) - CC 19 SLU - Classe 1
Sollecitazioni: N_{Ed}=-6780.46 M_{y,Ed}=-12355.70 L=2.35
 α_{my} , α_{mz} , $\alpha_{LT}=0.95$, 0.95, 0.95
L_{cr}=2.35 Curva b: $\alpha_{imp}=0.34$ $k_c=0.94$ $\psi=1.75$ M_{cr}=65500.90 $\lambda_{LT}=0.58$
 $\lambda_{LT,0}=0.40$ $\Phi_{LT}=0.66$ $\beta_{LT}=0.75$ $f=0.97$ $\chi_{LT}=0.95$
 $\lambda_y=18.86$ N_{cr,y}=3136160.00 $\lambda^*_y=0.25$ Curva a: $\Phi_y=0.54$ $\chi_y=0.99$
 $\lambda_z=70.16$ N_{cr,z}=226601.00 $\lambda^*_z=0.92$ Curva b: $\Phi_z=1.04$ $\chi_z=0.65$
K_{yy}, K_{yz}, K_{zy}, K_{zz}=0.95, 0.61, 0.00, 1.02
Verifica YY: 0.04+0.58=0.62
Verifica ZZ: 0.04=0.04
- Verifica freccia massima carichi totali - CC 22
f_{z,g}=0.21 (L/1143)
- Verifica freccia massima per soli carichi accidentali - CC 22
f_{z,g}=0.09 (L/2512)
- Asta n. 1007 (-51 1058) Sez. 6 IPE300 Crit. 2

- Verifica a flessione YY [4.2.13] - CC 1 SND X1=0.00 - Classe 3
Sollecitazioni: T_z=-2700.79 M_y=-6996.96
M_{y,Ed}=-6996.96 M_{y,c,Rd}=18834.90 M_{y,Ed}/M_{y,c,Rd}=0.37
- Verifica a taglio dir. Z [4.2.16] - CC 17 SLU X1=2.35 - Classe 1
Sollecitazioni: T_z=-5966.29
V_{Ed}=-5966.29 V_{c,Rd}=50134.20 V_{Ed}/V_{c,Rd}=0.12
- Verifica a presso o tenso-flessione retta YY (4.2.4.1.2.7) - CC 17 SLU X1=0.00 - Classe 1
Sollecitazioni: N=6780.46 T_z=-4989.83 M_y=-12873.40
M_{y,Ed}=-12873.40 M_{y,V,c,Rd}=21326.00
N_{Ed}=6780.46 N_{c,Rd}=181940.00 YY n=N_{Ed}/N_{c,Rd}=0.04 M_{Ny,c,Rd}=21326.00 M_{y,Ed}/M_{Ny,c,Rd}=0.60
- Verifica di stabilità aste inflesse (4.2.4.1.3.2) CC 17 SLU - Classe 1
L_{cr}=2.35 Curva b: $\alpha_{imp}=0.34$ $k_c=0.94$ $\psi=1.75$ M_{cr}=65500.90 $\lambda_{LT}=0.58$
 $\lambda_{LT,0}=0.40$ $\beta_{LT}=0.75$ $\Phi_{LT}=0.66$ $\beta_{LT}=0.75$ $f=0.97$ $\chi_{LT}=0.95$
M_{y,Ed}=-12873.40 M_{y,b,Rd}=20255.80 M_{y,Ed}/M_{y,b,Rd}=0.64
- Verifica di stabilità aste presso-inflesse (C4.2.4.1.3.3.2) - CC 19 SLU - Classe 1
Sollecitazioni: N_{Ed}=-6780.46 M_{y,Ed}=-12355.70 L=2.35
 α_{my} , α_{mz} , $\alpha_{LT}=0.95$, 0.95, 0.95
L_{cr}=2.35 Curva b: $\alpha_{imp}=0.34$ $k_c=0.94$ $\psi=1.75$ M_{cr}=65500.90 $\lambda_{LT}=0.58$
 $\lambda_{LT,0}=0.40$ $\Phi_{LT}=0.66$ $\beta_{LT}=0.75$ $f=0.97$ $\chi_{LT}=0.95$
 $\lambda_y=18.86$ N_{cr,y}=3136160.00 $\lambda^*_y=0.25$ Curva a: $\Phi_y=0.54$ $\chi_y=0.99$
 $\lambda_z=70.16$ N_{cr,z}=226601.00 $\lambda^*_z=0.92$ Curva b: $\Phi_z=1.04$ $\chi_z=0.65$
K_{yy}, K_{yz}, K_{zy}, K_{zz}=0.95, 0.61, 0.00, 1.02
Verifica YY: 0.04+0.58=0.62
Verifica ZZ: 0.04=0.04
- Verifica freccia massima carichi totali - CC 22
f_{z,L}=0.21 (L/1145)
- Verifica freccia massima per soli carichi accidentali - CC 22
f_{z,L}=0.09 (L/2515)
- Asta n. 1007 (1058 -52) Sez. 6 IPE300 Crit. 2

- Verifica a flessione YY [4.2.13] - CC 1 SND X1=2.80 - Classe 3
Sollecitazioni: T_z=3200.69 M_y=-9884.87
M_{y,Ed}=-9884.87 M_{y,c,Rd}=18834.90 M_{y,Ed}/M_{y,c,Rd}=0.52
- Verifica a taglio dir. Z [4.2.16] - CC 17 SLU X1=0.00 - Classe 1
Sollecitazioni: T_z=7086.33
V_{Ed}=7086.33 V_{c,Rd}=50134.20 V_{Ed}/V_{c,Rd}=0.14
- Verifica a presso o tenso-flessione retta YY (4.2.4.1.2.7) - CC 17 SLU X1=2.80 - Classe 1
Sollecitazioni: N=6780.46 T_z=5922.88 M_y=-18212.90
M_{y,Ed}=-18212.90 M_{y,V,c,Rd}=21326.00
N_{Ed}=6780.46 N_{c,Rd}=181940.00 YY n=N_{Ed}/N_{c,Rd}=0.04 M_{Ny,c,Rd}=21326.00 M_{y,Ed}/M_{Ny,c,Rd}=0.85
- Verifica di stabilità aste inflesse (4.2.4.1.3.2) CC 17 SLU - Classe 1
L_{cr}=2.80 Curva b: $\alpha_{imp}=0.34$ $k_c=0.94$ $\psi=1.75$ M_{cr}=48365.20 $\lambda_{LT}=0.68$
 $\lambda_{LT,0}=0.40$ $\beta_{LT}=0.75$ $\Phi_{LT}=0.72$ $\beta_{LT}=0.75$ $f=0.97$ $\chi_{LT}=0.91$
M_{y,Ed}=-18212.90 M_{y,b,Rd}=19315.10 M_{y,Ed}/M_{y,b,Rd}=0.94

Relazione di calcolo

- Verifica di stabilità aste presso-inflesse (C4.2.4.1.3.3.2) - CC 19 SLU - Classe 1
Sollecitazioni: $N_{Ed}=-6780.46$ $M_{y,Ed}=-17477.90$ $L=2.80$
 α_{my} , α_{mz} , $\alpha_{LT}=0.95$, 0.95 , 0.95
 $L_{cr}=2.80$ Curva b: $\alpha_{imp}=0.34$ $k_c=0.94$ $\psi=1.75$ $M_{cr}=48365.20$ $\lambda_{LT}=0.68$
 $\lambda_{LT,0}=0.40$ $\Phi_{LT}=0.72$ $\beta_{LT}=0.75$ $f=0.97$ $\chi_{LT}=0.91$
 $\lambda_y=22.47$ $N_{cr,y}=2209120.00$ $\lambda^*_y=0.29$ Curva a: $\Phi_y=0.55$ $\chi_y=0.98$
 $\lambda_z=83.59$ $N_{cr,z}=159618.00$ $\lambda^*_z=1.09$ Curva b: $\Phi_z=1.25$ $\chi_z=0.54$
 K_{yy} , K_{yz} , K_{zy} , $K_{zz}=0.95$, 0.63 , 0.00 , 1.04
Verifica YY: $0.04+0.86=0.90$
Verifica ZZ: $0.07=0.07$
- Verifica freccia massima carichi totali - CC 22
 $f_{z,g}=0.40$ (L/695)
- Verifica freccia massima per soli carichi accidentali - CC 22
 $f_{z,g}=0.18$ (L/1521)
- Asta n. 1007 (-52 1059) Sez. 6 IPE300 Crit. 2

- Verifica a flessione YY [4.2.13] - CC 1 SMD $X_l=0.00$ - Classe 3
Sollecitazioni: $T_z=-3200.69$ $M_y=-9884.87$
 $M_{y,Ed}=-9884.87$ $M_{y,c,Rd}=18834.90$ $M_{y,Ed/M_{y,c,Rd}}=0.52$
- Verifica a taglio dir. Z [4.2.16] - CC 17 SLU $X_l=2.80$ - Classe 1
Sollecitazioni: $T_z=-7086.33$
 $V_{Ed}=-7086.33$ $V_{c,Rd}=50134.20$ $V_{Ed/V_{c,Rd}}=0.14$
- Verifica a presso o tenso-flessione retta YY (4.2.4.1.2.7) - CC 17 SLU $X_l=0.00$ - Classe 1
Sollecitazioni: $N=6780.46$ $T_z=-5922.88$ $M_y=-18212.90$
 $M_{y,Ed}=-18212.90$ $M_{y,V,c,Rd}=21326.00$
 $N_{Ed}=6780.46$ $N_{c,Rd}=181940.00$ $YY\ n=N_{Ed}/N_{c,Rd}=0.04$ $MN_{y,c,Rd}=21326.00$ $M_{y,Ed}/MN_{y,c,Rd}=0.85$
- Verifica di stabilità aste inflesse (4.2.4.1.3.2) CC 17 SLU - Classe 1
 $L_{cr}=2.80$ Curva b: $\alpha_{imp}=0.34$ $k_c=0.94$ $\psi=1.75$ $M_{cr}=48365.20$ $\lambda_{LT}=0.68$
 $\lambda_{LT,0}=0.40$ $\beta_{LT}=0.75$ $\Phi_{LT}=0.72$ $\beta_{LT}=0.75$ $f=0.97$ $\chi_{LT}=0.91$
 $M_{y,Ed}=-18212.90$ $M_{y,b,Rd}=19315.10$ $M_{y,Ed/M_{y,b,Rd}}=0.94$
- Verifica di stabilità aste presso-inflesse (C4.2.4.1.3.3.2) - CC 19 SLU - Classe 1
Sollecitazioni: $N_{Ed}=-6780.46$ $M_{y,Ed}=-17477.90$ $L=2.80$
 α_{my} , α_{mz} , $\alpha_{LT}=0.95$, 0.95 , 0.95
 $L_{cr}=2.80$ Curva b: $\alpha_{imp}=0.34$ $k_c=0.94$ $\psi=1.75$ $M_{cr}=48365.20$ $\lambda_{LT}=0.68$
 $\lambda_{LT,0}=0.40$ $\Phi_{LT}=0.72$ $\beta_{LT}=0.75$ $f=0.97$ $\chi_{LT}=0.91$
 $\lambda_y=22.47$ $N_{cr,y}=2209120.00$ $\lambda^*_y=0.29$ Curva a: $\Phi_y=0.55$ $\chi_y=0.98$
 $\lambda_z=83.59$ $N_{cr,z}=159618.00$ $\lambda^*_z=1.09$ Curva b: $\Phi_z=1.25$ $\chi_z=0.54$
 K_{yy} , K_{yz} , K_{zy} , $K_{zz}=0.95$, 0.63 , 0.00 , 1.04
Verifica YY: $0.04+0.86=0.90$
Verifica ZZ: $0.07=0.07$
- Verifica freccia massima carichi totali - CC 22
 $f_{z,L}=0.40$ (L/695)
- Verifica freccia massima per soli carichi accidentali - CC 22
 $f_{z,L}=0.18$ (L/1521)
- Asta n. 1007 (1059 -53) Sez. 6 IPE300 Crit. 2

- Verifica a flessione YY [4.2.13] - CC 1 SMD $X_l=2.35$ - Classe 3
Sollecitazioni: $T_z=1395.48$ $M_y=-3662.75$
 $M_{y,Ed}=-3662.75$ $M_{y,c,Rd}=18834.90$ $M_{y,Ed/M_{y,c,Rd}}=0.19$
- Verifica a taglio dir. Z [4.2.16] - CC 17 SLU $X_l=0.00$ - Classe 1
Sollecitazioni: $T_z=3106.28$
 $V_{Ed}=3106.28$ $V_{c,Rd}=50134.20$ $V_{Ed/V_{c,Rd}}=0.06$
- Verifica a presso o tenso-flessione retta YY (4.2.4.1.2.7) - CC 17 SLU $X_l=2.35$ - Classe 1
Sollecitazioni: $N=6780.46$ $T_z=2553.52$ $M_y=-6650.27$
 $M_{y,Ed}=-6650.27$ $M_{y,V,c,Rd}=21326.00$
 $N_{Ed}=6780.46$ $N_{c,Rd}=181940.00$ $YY\ n=N_{Ed}/N_{c,Rd}=0.04$ $MN_{y,c,Rd}=21326.00$ $M_{y,Ed}/MN_{y,c,Rd}=0.31$
- Verifica di stabilità aste inflesse (4.2.4.1.3.2) CC 17 SLU - Classe 1
 $L_{cr}=2.35$ Curva b: $\alpha_{imp}=0.34$ $k_c=0.94$ $\psi=1.75$ $M_{cr}=65500.90$ $\lambda_{LT}=0.58$
 $\lambda_{LT,0}=0.40$ $\beta_{LT}=0.75$ $\Phi_{LT}=0.66$ $\beta_{LT}=0.75$ $f=0.97$ $\chi_{LT}=0.95$
 $M_{y,Ed}=-6650.27$ $M_{y,b,Rd}=20255.80$ $M_{y,Ed/M_{y,b,Rd}}=0.33$
- Verifica di stabilità aste presso-inflesse (C4.2.4.1.3.3.2) - CC 19 SLU - Classe 1
Sollecitazioni: $N_{Ed}=-6780.46$ $M_{y,Ed}=-6391.41$ $L=2.35$
 α_{my} , α_{mz} , $\alpha_{LT}=0.95$, 0.95 , 0.95
 $L_{cr}=2.35$ Curva b: $\alpha_{imp}=0.34$ $k_c=0.94$ $\psi=1.75$ $M_{cr}=65500.90$ $\lambda_{LT}=0.58$
 $\lambda_{LT,0}=0.40$ $\Phi_{LT}=0.66$ $\beta_{LT}=0.75$ $f=0.97$ $\chi_{LT}=0.95$

Relazione di calcolo

$\lambda_y=18.86$ Ncr,y=3136160.00 $\lambda^*_y=0.25$ Curva a: $\Phi_y=0.54$ $\chi_y=0.99$
 $\lambda_z=70.16$ Ncr,z=226601.00 $\lambda^*_z=0.92$ Curva b: $\Phi_z=1.04$ $\chi_z=0.65$
Kyy, Kyz, Kzy, Kzz=0.95, 0.61, 0.00, 1.02
Verifica YY: 0.04+0.30=0.34
Verifica ZZ: 0.04=0.04

- Verifica freccia massima carichi totali - CC 22
 $f_{z,L}=0.11$ (L/2199)

- Verifica freccia massima per soli carichi accidentali - CC 22
 $f_{z,L}=0.05$ (L/5021)

Asta n. 1007 (-53 1060) Sez. 6 IPE300 Crit. 2

- Verifica a flessione YY [4.2.13] - CC 1 SND $X_l=0.00$ - Classe 3
Sollecitazioni: $T_z=-1395.48$ $M_y=-3662.75$
 $M_y,Ed=-3662.75$ $M_y,c,Rd=18834.90$ $M_y,Ed/M_y,c,Rd=0.19$

- Verifica a taglio dir. Z [4.2.16] - CC 17 SLU $X_l=2.35$ - Classe 1
Sollecitazioni: $T_z=-3106.28$
 $V,Ed=-3106.28$ $V_c,Rd=50134.20$ $V,Ed/V_c,Rd=0.06$

- Verifica a presso o tenso-flessione retta YY (4.2.4.1.2.7) - CC 17 SLU $X_l=0.00$ - Classe 1
Sollecitazioni: $N=6780.46$ $T_z=-2553.52$ $M_y=-6650.27$
 $M_y,Ed=-6650.27$ $M_y,V,c,Rd=21326.00$
 $N,Ed=6780.46$ $N_c,Rd=181940.00$ YY $n=N,Ed/N_c,Rd=0.04$ $MN_y,c,Rd=21326.00$ $M_y,Ed/MN_y,c,Rd=0.31$

- Verifica di stabilità aste inflesse (4.2.4.1.3.2) CC 17 SLU - Classe 1
 $L_{cr}=2.35$ Curva b: $\alpha_{imp}=0.34$ $k_c=0.94$ $\psi=1.75$ $M_{cr}=65500.90$ $\lambda_{LT}=0.58$
 $\lambda_{LT,0}=0.40$ $\beta_{LT}=0.75$ $\Phi_{LT}=0.66$ $\beta_{LT}=0.75$ $f=0.97$ $\chi_{LT}=0.95$
 $M_y,Ed=-6650.27$ $M_y,b,Rd=20255.80$ $M_y,Ed/M_y,b,Rd=0.33$

- Verifica di stabilità aste presso-inflesse (C4.2.4.1.3.3.2) - CC 19 SLU - Classe 1
Sollecitazioni: $N,Ed=-6780.46$ $M_y,Ed=-6391.41$ $L=2.35$
 $\alpha_m, \alpha_mz, \alpha_{LT}=0.95, 0.95, 0.95$
 $L_{cr}=2.35$ Curva b: $\alpha_{imp}=0.34$ $k_c=0.94$ $\psi=1.75$ $M_{cr}=65500.90$ $\lambda_{LT}=0.58$
 $\lambda_{LT,0}=0.40$ $\Phi_{LT}=0.66$ $\beta_{LT}=0.75$ $f=0.97$ $\chi_{LT}=0.95$
 $\lambda_y=18.86$ Ncr,y=3136160.00 $\lambda^*_y=0.25$ Curva a: $\Phi_y=0.54$ $\chi_y=0.99$
 $\lambda_z=70.16$ Ncr,z=226601.00 $\lambda^*_z=0.92$ Curva b: $\Phi_z=1.04$ $\chi_z=0.65$
Kyy, Kyz, Kzy, Kzz=0.95, 0.61, 0.00, 1.02
Verifica YY: 0.04+0.30=0.34
Verifica ZZ: 0.04=0.04

- Verifica freccia massima carichi totali - CC 22
 $f_{z,L}=0.11$ (L/2203)

- Verifica freccia massima per soli carichi accidentali - CC 22
 $f_{z,L}=0.05$ (L/5031)

Asta n. 1007 (1060 -54) Sez. 6 IPE300 Crit. 2

- Verifica a flessione YY [4.2.13] - CC 1 SND $X_l=2.35$ - Classe 3
Sollecitazioni: $T_z=2700.78$ $M_y=-6996.96$
 $M_y,Ed=-6996.96$ $M_y,c,Rd=18834.90$ $M_y,Ed/M_y,c,Rd=0.37$

- Verifica a taglio dir. Z [4.2.16] - CC 17 SLU $X_l=0.00$ - Classe 1
Sollecitazioni: $T_z=5966.29$
 $V,Ed=5966.29$ $V_c,Rd=50134.20$ $V,Ed/V_c,Rd=0.12$

- Verifica a presso o tenso-flessione retta YY (4.2.4.1.2.7) - CC 17 SLU $X_l=2.35$ - Classe 1
Sollecitazioni: $N=6780.46$ $T_z=4989.83$ $M_y=-12873.40$
 $M_y,Ed=-12873.40$ $M_y,V,c,Rd=21326.00$
 $N,Ed=6780.46$ $N_c,Rd=181940.00$ YY $n=N,Ed/N_c,Rd=0.04$ $MN_y,c,Rd=21326.00$ $M_y,Ed/MN_y,c,Rd=0.60$

- Verifica di stabilità aste inflesse (4.2.4.1.3.2) CC 17 SLU - Classe 1
 $L_{cr}=2.35$ Curva b: $\alpha_{imp}=0.34$ $k_c=0.94$ $\psi=1.75$ $M_{cr}=65500.90$ $\lambda_{LT}=0.58$
 $\lambda_{LT,0}=0.40$ $\beta_{LT}=0.75$ $\Phi_{LT}=0.66$ $\beta_{LT}=0.75$ $f=0.97$ $\chi_{LT}=0.95$
 $M_y,Ed=-12873.40$ $M_y,b,Rd=20255.80$ $M_y,Ed/M_y,b,Rd=0.64$

- Verifica di stabilità aste presso-inflesse (C4.2.4.1.3.3.2) - CC 19 SLU - Classe 1
Sollecitazioni: $N,Ed=-6780.46$ $M_y,Ed=-12355.70$ $L=2.35$
 $\alpha_m, \alpha_mz, \alpha_{LT}=0.95, 0.95, 0.95$
 $L_{cr}=2.35$ Curva b: $\alpha_{imp}=0.34$ $k_c=0.94$ $\psi=1.75$ $M_{cr}=65500.90$ $\lambda_{LT}=0.58$
 $\lambda_{LT,0}=0.40$ $\Phi_{LT}=0.66$ $\beta_{LT}=0.75$ $f=0.97$ $\chi_{LT}=0.95$
 $\lambda_y=18.86$ Ncr,y=3136160.00 $\lambda^*_y=0.25$ Curva a: $\Phi_y=0.54$ $\chi_y=0.99$
 $\lambda_z=70.16$ Ncr,z=226601.00 $\lambda^*_z=0.92$ Curva b: $\Phi_z=1.04$ $\chi_z=0.65$
Kyy, Kyz, Kzy, Kzz=0.95, 0.61, 0.00, 1.02
Verifica YY: 0.04+0.58=0.62
Verifica ZZ: 0.04=0.04

Relazione di calcolo

- Verifica freccia massima carichi totali - CC 22
 $f_{z,g}=0.21$ (L/1144)

- Verifica freccia massima per soli carichi accidentali - CC 22
 $f_{z,L}=0.09$ (L/2514)

Asta n. 1007 (-54 1061) Sez. 6 IPE300 Crit. 2

- Verifica a flessione YY [4.2.13] - CC 1 SND $X_l=0.00$ - Classe 3
Sollecitazioni: $T_z=-2700.79$ $M_y=-6996.96$
 $M_y,Ed=-6996.96$ $M_y,c,Rd=18834.90$ $M_y,Ed/M_y,c,Rd=0.37$

- Verifica a taglio dir. Z [4.2.16] - CC 17 SLU $X_l=2.35$ - Classe 1
Sollecitazioni: $T_z=-5966.29$
 $V,Ed=-5966.29$ $V_c,Rd=50134.20$ $V,Ed/V_c,Rd=0.12$

- Verifica a presso o tenso-flessione retta YY (4.2.4.1.2.7) - CC 17 SLU $X_l=0.00$ - Classe 1
Sollecitazioni: $N=6780.46$ $T_z=-4989.83$ $M_y=-12873.40$
 $M_y,Ed=-12873.40$ $M_y,V,c,Rd=21326.00$
 $N,Ed=6780.46$ $N_c,Rd=181940.00$ YY $n=N,Ed/N_c,Rd=0.04$ $MNy,c,Rd=21326.00$ $M_y,Ed/MNy,c,Rd=0.60$

- Verifica di stabilità aste inflesse (4.2.4.1.3.2) CC 17 SLU - Classe 1
 $L_{cr}=2.35$ Curva b: $\alpha_{imp}=0.34$ $k_c=0.94$ $\psi=1.75$ $M_{cr}=65500.90$ $\lambda_{LT}=0.58$
 $\lambda_{LT,0}=0.40$ $\beta_{LT}=0.75$ $\Phi_{LT}=0.66$ $\beta_{LT}=0.75$ $f=0.97$ $\chi_{LT}=0.95$
 $M_y,Ed=-12873.40$ $M_y,b,Rd=20255.80$ $M_y,Ed/M_y,b,Rd=0.64$

- Verifica di stabilità aste presso-inflesse (C4.2.4.1.3.3.2) - CC 19 SLU - Classe 1
Sollecitazioni: $N,Ed=-6780.46$ $M_y,Ed=-12355.70$ $L=2.35$
 $\alpha_{my}, \alpha_{mz}, \alpha_{LT}=0.95, 0.95, 0.95$
 $L_{cr}=2.35$ Curva b: $\alpha_{imp}=0.34$ $k_c=0.94$ $\psi=1.75$ $M_{cr}=65500.90$ $\lambda_{LT}=0.58$
 $\lambda_{LT,0}=0.40$ $\Phi_{LT}=0.66$ $\beta_{LT}=0.75$ $f=0.97$ $\chi_{LT}=0.95$
 $\lambda_y=18.86$ $N_{cr,y}=3136160.00$ $\lambda^*_y=0.25$ Curva a: $\Phi_y=0.54$ $\chi_y=0.99$
 $\lambda_z=70.16$ $N_{cr,z}=226601.00$ $\lambda^*_z=0.92$ Curva b: $\Phi_z=1.04$ $\chi_z=0.65$
 $K_{yy}, K_{yz}, K_{zy}, K_{zz}=0.95, 0.61, 0.00, 1.02$
Verifica YY: $0.04+0.58=0.62$
Verifica ZZ: $0.04=0.04$

- Verifica freccia massima carichi totali - CC 22
 $f_{z,L}=0.21$ (L/1144)

- Verifica freccia massima per soli carichi accidentali - CC 22
 $f_{z,L}=0.09$ (L/2514)

Asta n. 1007 (1061 -55) Sez. 6 IPE300 Crit. 2

- Verifica a flessione YY [4.2.13] - CC 1 SND $X_l=2.80$ - Classe 3
Sollecitazioni: $T_z=3200.69$ $M_y=-9884.87$
 $M_y,Ed=-9884.87$ $M_y,c,Rd=18834.90$ $M_y,Ed/M_y,c,Rd=0.52$

- Verifica a taglio dir. Z [4.2.16] - CC 17 SLU $X_l=0.00$ - Classe 1
Sollecitazioni: $T_z=7086.33$
 $V,Ed=7086.33$ $V_c,Rd=50134.20$ $V,Ed/V_c,Rd=0.14$

- Verifica a presso o tenso-flessione retta YY (4.2.4.1.2.7) - CC 17 SLU $X_l=2.80$ - Classe 1
Sollecitazioni: $N=6780.46$ $T_z=5922.88$ $M_y=-18212.90$
 $M_y,Ed=-18212.90$ $M_y,V,c,Rd=21326.00$
 $N,Ed=6780.46$ $N_c,Rd=181940.00$ YY $n=N,Ed/N_c,Rd=0.04$ $MNy,c,Rd=21326.00$ $M_y,Ed/MNy,c,Rd=0.85$

- Verifica di stabilità aste inflesse (4.2.4.1.3.2) CC 17 SLU - Classe 1
 $L_{cr}=2.80$ Curva b: $\alpha_{imp}=0.34$ $k_c=0.94$ $\psi=1.75$ $M_{cr}=48365.20$ $\lambda_{LT}=0.68$
 $\lambda_{LT,0}=0.40$ $\beta_{LT}=0.75$ $\Phi_{LT}=0.72$ $\beta_{LT}=0.75$ $f=0.97$ $\chi_{LT}=0.91$
 $M_y,Ed=-18212.90$ $M_y,b,Rd=19315.10$ $M_y,Ed/M_y,b,Rd=0.94$

- Verifica di stabilità aste presso-inflesse (C4.2.4.1.3.3.2) - CC 19 SLU - Classe 1
Sollecitazioni: $N,Ed=-6780.46$ $M_y,Ed=-17477.90$ $L=2.80$
 $\alpha_{my}, \alpha_{mz}, \alpha_{LT}=0.95, 0.95, 0.95$
 $L_{cr}=2.80$ Curva b: $\alpha_{imp}=0.34$ $k_c=0.94$ $\psi=1.75$ $M_{cr}=48365.20$ $\lambda_{LT}=0.68$
 $\lambda_{LT,0}=0.40$ $\Phi_{LT}=0.72$ $\beta_{LT}=0.75$ $f=0.97$ $\chi_{LT}=0.91$
 $\lambda_y=22.47$ $N_{cr,y}=2209120.00$ $\lambda^*_y=0.29$ Curva a: $\Phi_y=0.55$ $\chi_y=0.98$
 $\lambda_z=83.59$ $N_{cr,z}=159618.00$ $\lambda^*_z=1.09$ Curva b: $\Phi_z=1.25$ $\chi_z=0.54$
 $K_{yy}, K_{yz}, K_{zy}, K_{zz}=0.95, 0.63, 0.00, 1.04$
Verifica YY: $0.04+0.86=0.90$
Verifica ZZ: $0.07=0.07$

- Verifica freccia massima carichi totali - CC 22
 $f_{z,g}=0.40$ (L/695)

- Verifica freccia massima per soli carichi accidentali - CC 22

Relazione di calcolo

$f_{z,g}=0.18$ (L/1521)

Asta n. 1007 (-55 1062) Sez. 6 IPE300 Crit. 2

- Verifica a flessione YY [4.2.13] - CC 1 SND $X_l=0.00$ - Classe 3
Sollecitazioni: $T_z=-3200.69$ $M_y=-9884.87$
 $M_y,Ed=-9884.87$ $M_y,c,Rd=18834.90$ $M_y,Ed/M_y,c,Rd=0.52$

- Verifica a taglio dir. Z [4.2.16] - CC 17 SLU $X_l=2.80$ - Classe 1
Sollecitazioni: $T_z=-7086.33$
 $V,Ed=-7086.33$ $V_c,Rd=50134.20$ $V,Ed/V_c,Rd=0.14$

- Verifica a presso o tenso-flessione retta YY (4.2.4.1.2.7) - CC 17 SLU $X_l=0.00$ - Classe 1
Sollecitazioni: $N=6780.46$ $T_z=-5922.88$ $M_y=-18212.90$
 $M_y,Ed=-18212.90$ $M_y,V,c,Rd=21326.00$
 $N,Ed=6780.46$ $N_c,Rd=181940.00$ $YY\ n=N,Ed/N_c,Rd=0.04$ $MN_y,c,Rd=21326.00$ $M_y,Ed/MN_y,c,Rd=0.85$

- Verifica di stabilità aste inflesse (4.2.4.1.3.2) CC 17 SLU - Classe 1
 $L_{cr}=2.80$ Curva b: $\alpha_{imp}=0.34$ $k_c=0.94$ $\psi=1.75$ $M_{cr}=48365.20$ $\lambda_{LT}=0.68$
 $\lambda_{LT,0}=0.40$ $\beta_{LT}=0.75$ $\Phi_{LT}=0.72$ $\beta_{LT}=0.75$ $f=0.97$ $\chi_{LT}=0.91$
 $M_y,Ed=-18212.90$ $M_y,b,Rd=19315.10$ $M_y,Ed/M_y,b,Rd=0.94$

- Verifica di stabilità aste presso-inflesse (C4.2.4.1.3.3.2) - CC 19 SLU - Classe 1
Sollecitazioni: $N,Ed=-6780.46$ $M_y,Ed=-17477.90$ $L=2.80$
 $\alpha_{my}, \alpha_{mz}, \alpha_{LT}=0.95, 0.95, 0.95$
 $L_{cr}=2.80$ Curva b: $\alpha_{imp}=0.34$ $k_c=0.94$ $\psi=1.75$ $M_{cr}=48365.20$ $\lambda_{LT}=0.68$
 $\lambda_{LT,0}=0.40$ $\Phi_{LT}=0.72$ $\beta_{LT}=0.75$ $f=0.97$ $\chi_{LT}=0.91$
 $\lambda_y=22.47$ $N_{cr,y}=2209120.00$ $\lambda^*_y=0.29$ Curva a: $\Phi_y=0.55$ $\chi_y=0.98$
 $\lambda_z=83.59$ $N_{cr,z}=159618.00$ $\lambda^*_z=1.09$ Curva b: $\Phi_z=1.25$ $\chi_z=0.54$
 $K_{yy}, K_{yz}, K_{zy}, K_{zz}=0.95, 0.63, 0.00, 1.04$
Verifica YY: $0.04+0.86=0.90$
Verifica ZZ: $0.07=0.07$

- Verifica freccia massima carichi totali - CC 22
 $f_{z,L}=0.40$ (L/695)

- Verifica freccia massima per soli carichi accidentali - CC 22
 $f_{z,L}=0.18$ (L/1521)

Asta n. 1007 (1062 -56) Sez. 6 IPE300 Crit. 2

- Verifica a flessione YY [4.2.13] - CC 1 SND $X_l=2.35$ - Classe 3
Sollecitazioni: $T_z=1395.48$ $M_y=-3662.75$
 $M_y,Ed=-3662.75$ $M_y,c,Rd=18834.90$ $M_y,Ed/M_y,c,Rd=0.19$

- Verifica a taglio dir. Z [4.2.16] - CC 17 SLU $X_l=0.00$ - Classe 1
Sollecitazioni: $T_z=3106.28$
 $V,Ed=3106.28$ $V_c,Rd=50134.20$ $V,Ed/V_c,Rd=0.06$

- Verifica a presso o tenso-flessione retta YY (4.2.4.1.2.7) - CC 17 SLU $X_l=2.35$ - Classe 1
Sollecitazioni: $N=6780.46$ $T_z=2553.52$ $M_y=-6650.27$
 $M_y,Ed=-6650.27$ $M_y,V,c,Rd=21326.00$
 $N,Ed=6780.46$ $N_c,Rd=181940.00$ $YY\ n=N,Ed/N_c,Rd=0.04$ $MN_y,c,Rd=21326.00$ $M_y,Ed/MN_y,c,Rd=0.31$

- Verifica di stabilità aste inflesse (4.2.4.1.3.2) CC 17 SLU - Classe 1
 $L_{cr}=2.35$ Curva b: $\alpha_{imp}=0.34$ $k_c=0.94$ $\psi=1.75$ $M_{cr}=65500.90$ $\lambda_{LT}=0.58$
 $\lambda_{LT,0}=0.40$ $\beta_{LT}=0.75$ $\Phi_{LT}=0.66$ $\beta_{LT}=0.75$ $f=0.97$ $\chi_{LT}=0.95$
 $M_y,Ed=-6650.27$ $M_y,b,Rd=20255.80$ $M_y,Ed/M_y,b,Rd=0.33$

- Verifica di stabilità aste presso-inflesse (C4.2.4.1.3.3.2) - CC 19 SLU - Classe 1
Sollecitazioni: $N,Ed=-6780.46$ $M_y,Ed=-6391.41$ $L=2.35$
 $\alpha_{my}, \alpha_{mz}, \alpha_{LT}=0.95, 0.95, 0.95$
 $L_{cr}=2.35$ Curva b: $\alpha_{imp}=0.34$ $k_c=0.94$ $\psi=1.75$ $M_{cr}=65500.90$ $\lambda_{LT}=0.58$
 $\lambda_{LT,0}=0.40$ $\Phi_{LT}=0.66$ $\beta_{LT}=0.75$ $f=0.97$ $\chi_{LT}=0.95$
 $\lambda_y=18.86$ $N_{cr,y}=3136160.00$ $\lambda^*_y=0.25$ Curva a: $\Phi_y=0.54$ $\chi_y=0.99$
 $\lambda_z=70.16$ $N_{cr,z}=226601.00$ $\lambda^*_z=0.92$ Curva b: $\Phi_z=1.04$ $\chi_z=0.65$
 $K_{yy}, K_{yz}, K_{zy}, K_{zz}=0.95, 0.61, 0.00, 1.02$
Verifica YY: $0.04+0.30=0.34$
Verifica ZZ: $0.04=0.04$

- Verifica freccia massima carichi totali - CC 22
 $f_{z,L}=0.11$ (L/2200)

- Verifica freccia massima per soli carichi accidentali - CC 22
 $f_{z,L}=0.05$ (L/5026)

Asta n. 1007 (-56 1063) Sez. 6 IPE300 Crit. 2

- Verifica a flessione YY [4.2.13] - CC 1 SND $X_l=0.00$ - Classe 3

Relazione di calcolo

Sollecitazioni: $T_z = -1395.48$ $M_y = -3662.75$
 $M_y, Ed = -3662.75$ $M_y, c, Rd = 18834.90$ $M_y, Ed/M_y, c, Rd = 0.19$

- Verifica a taglio dir. Z [4.2.16] - CC 17 SLU $X_l = 2.35$ - Classe 1
Sollecitazioni: $T_z = -3106.28$
 $V, Ed = -3106.28$ $V_c, Rd = 50134.20$ $V, Ed/V_c, Rd = 0.06$

- Verifica a presso o tenso-flessione retta YY (4.2.4.1.2.7) - CC 17 SLU $X_l = 0.00$ - Classe 1
Sollecitazioni: $N = 6780.46$ $T_z = -2553.52$ $M_y = -6650.27$
 $M_y, Ed = -6650.27$ $M_y, V, c, Rd = 21326.00$
 $N, Ed = 6780.46$ $N_c, Rd = 181940.00$ $YY\ n = N, Ed/N_c, Rd = 0.04$ $MNy, c, Rd = 21326.00$ $M_y, Ed/MNy, c, Rd = 0.31$

- Verifica di stabilità aste inflesse (4.2.4.1.3.2) CC 17 SLU - Classe 1
 $L_{cr} = 2.35$ Curva b: $\alpha_{imp} = 0.34$ $k_c = 0.94$ $\psi = 1.75$ $M, cr = 65500.90$ $\lambda_{LT} = 0.58$
 $\lambda_{LT,0} = 0.40$ $\beta_{LT} = 0.75$ $\Phi_{LT} = 0.66$ $\beta_{LT} = 0.75$ $f = 0.97$ $\chi_{LT} = 0.95$
 $M_y, Ed = -6650.27$ $M_y, b, Rd = 20255.80$ $M_y, Ed/M_y, b, Rd = 0.33$

- Verifica di stabilità aste presso-inflesse (C4.2.4.1.3.3.2) - CC 19 SLU - Classe 1
Sollecitazioni: $N, Ed = -6780.46$ $M_y, Ed = -6391.41$ $L = 2.35$
 $\alpha_{my}, \alpha_{mz}, \alpha_{LT} = 0.95, 0.95, 0.95$
 $L_{cr} = 2.35$ Curva b: $\alpha_{imp} = 0.34$ $k_c = 0.94$ $\psi = 1.75$ $M, cr = 65500.90$ $\lambda_{LT} = 0.58$
 $\lambda_{LT,0} = 0.40$ $\Phi_{LT} = 0.66$ $\beta_{LT} = 0.75$ $f = 0.97$ $\chi_{LT} = 0.95$
 $\lambda_y = 18.86$ $N_{cr,y} = 3136160.00$ $\lambda^*_y = 0.25$ Curva a: $\Phi_y = 0.54$ $\chi_y = 0.99$
 $\lambda_z = 70.16$ $N_{cr,z} = 226601.00$ $\lambda^*_z = 0.92$ Curva b: $\Phi_z = 1.04$ $\chi_z = 0.65$
 $K_{yy}, K_{yz}, K_{zy}, K_{zz} = 0.95, 0.61, 0.00, 1.02$
Verifica YY: $0.04 + 0.30 = 0.34$
Verifica ZZ: $0.04 = 0.04$

- Verifica freccia massima carichi totali - CC 22
 $f_{z,L} = 0.11$ (L/2202)

- Verifica freccia massima per soli carichi accidentali - CC 22
 $f_{z,G} = 0.05$ (L/5031)

Asta n. 1007 (1063 -57) Sez. 6 IPE300 Crit. 2

- Verifica a flessione YY [4.2.13] - CC 1 SND $X_l = 2.35$ - Classe 3
Sollecitazioni: $T_z = 2700.78$ $M_y = -6996.96$
 $M_y, Ed = -6996.96$ $M_y, c, Rd = 18834.90$ $M_y, Ed/M_y, c, Rd = 0.37$

- Verifica a taglio dir. Z [4.2.16] - CC 17 SLU $X_l = 0.00$ - Classe 1
Sollecitazioni: $T_z = 5966.29$
 $V, Ed = 5966.29$ $V_c, Rd = 50134.20$ $V, Ed/V_c, Rd = 0.12$

- Verifica a presso o tenso-flessione retta YY (4.2.4.1.2.7) - CC 17 SLU $X_l = 2.35$ - Classe 1
Sollecitazioni: $N = 6780.46$ $T_z = 4989.83$ $M_y = -12873.40$
 $M_y, Ed = -12873.40$ $M_y, V, c, Rd = 21326.00$
 $N, Ed = 6780.46$ $N_c, Rd = 181940.00$ $YY\ n = N, Ed/N_c, Rd = 0.04$ $MNy, c, Rd = 21326.00$ $M_y, Ed/MNy, c, Rd = 0.60$

- Verifica di stabilità aste inflesse (4.2.4.1.3.2) CC 17 SLU - Classe 1
 $L_{cr} = 2.35$ Curva b: $\alpha_{imp} = 0.34$ $k_c = 0.94$ $\psi = 1.75$ $M, cr = 65501.00$ $\lambda_{LT} = 0.58$
 $\lambda_{LT,0} = 0.40$ $\beta_{LT} = 0.75$ $\Phi_{LT} = 0.66$ $\beta_{LT} = 0.75$ $f = 0.97$ $\chi_{LT} = 0.95$
 $M_y, Ed = -12873.40$ $M_y, b, Rd = 20255.80$ $M_y, Ed/M_y, b, Rd = 0.64$

- Verifica di stabilità aste presso-inflesse (C4.2.4.1.3.3.2) - CC 19 SLU - Classe 1
Sollecitazioni: $N, Ed = -6780.46$ $M_y, Ed = -12355.70$ $L = 2.35$
 $\alpha_{my}, \alpha_{mz}, \alpha_{LT} = 0.95, 0.95, 0.95$
 $L_{cr} = 2.35$ Curva b: $\alpha_{imp} = 0.34$ $k_c = 0.94$ $\psi = 1.75$ $M, cr = 65501.00$ $\lambda_{LT} = 0.58$
 $\lambda_{LT,0} = 0.40$ $\Phi_{LT} = 0.66$ $\beta_{LT} = 0.75$ $f = 0.97$ $\chi_{LT} = 0.95$
 $\lambda_y = 18.86$ $N_{cr,y} = 3136170.00$ $\lambda^*_y = 0.25$ Curva a: $\Phi_y = 0.54$ $\chi_y = 0.99$
 $\lambda_z = 70.16$ $N_{cr,z} = 226601.00$ $\lambda^*_z = 0.92$ Curva b: $\Phi_z = 1.04$ $\chi_z = 0.65$
 $K_{yy}, K_{yz}, K_{zy}, K_{zz} = 0.95, 0.61, 0.00, 1.02$
Verifica YY: $0.04 + 0.58 = 0.62$
Verifica ZZ: $0.04 = 0.04$

- Verifica freccia massima carichi totali - CC 22
 $f_{z,L} = 0.21$ (L/1144)

- Verifica freccia massima per soli carichi accidentali - CC 22
 $f_{z,L} = 0.09$ (L/2516)

Asta n. 1007 (-57 1064) Sez. 6 IPE300 Crit. 2

- Verifica a flessione YY [4.2.13] - CC 1 SND $X_l = 0.00$ - Classe 3
Sollecitazioni: $T_z = -2700.79$ $M_y = -6996.96$
 $M_y, Ed = -6996.96$ $M_y, c, Rd = 18834.90$ $M_y, Ed/M_y, c, Rd = 0.37$

- Verifica a taglio dir. Z [4.2.16] - CC 17 SLU $X_l = 2.35$ - Classe 1
Sollecitazioni: $T_z = -5966.29$

Relazione di calcolo

- V,Ed=-5966.29 Vc,Rd=50134.20 V,Ed/Vc,Rd=0.12
- Verifica a presso o tenso-flessione retta YY (4.2.4.1.2.7) - CC 17 SLU Xl=0.00 - Classe 1
Sollecitazioni: N=6780.46 Tz=-4989.83 My=-12873.40
My,Ed=-12873.40 My,V,c,Rd=21326.00
N,Ed=6780.46 Nc,Rd=181940.00 YY n=N,Ed/Nc,Rd=0.04 MNy,c,Rd=21326.00 My,Ed/MNy,c,Rd=0.60
- Verifica di stabilità aste inflesse (4.2.4.1.3.2) CC 17 SLU - Classe 1
Lcr=2.35 Curva b: $\alpha_{imp}=0.34$ $k_c=0.94$ $\psi=1.75$ M,cr=65500.90 $\lambda_{LT}=0.58$
 $\lambda_{LT,0}=0.40$ $\beta_{LT}=0.75$ $\Phi_{LT}=0.66$ $\beta_{LT}=0.75$ f=0.97 $\chi_{LT}=0.95$
My,Ed=-12873.40 My,b,Rd=20255.80 My,Ed/My,b,Rd=0.64
- Verifica di stabilità aste presso-inflesse (C4.2.4.1.3.3.2) - CC 19 SLU - Classe 1
Sollecitazioni: N,Ed=-6780.46 My,Ed=-12355.70 L=2.35
 α_{my} , α_{mz} , $\alpha_{LT}=0.95$, 0.95, 0.95
Lcr=2.35 Curva b: $\alpha_{imp}=0.34$ $k_c=0.94$ $\psi=1.75$ M,cr=65500.90 $\lambda_{LT}=0.58$
 $\lambda_{LT,0}=0.40$ $\Phi_{LT}=0.66$ $\beta_{LT}=0.75$ f=0.97 $\chi_{LT}=0.95$
 $\lambda_y=18.86$ Ncr,y=3136160.00 $\lambda'_y=0.25$ Curva a: $\Phi_y=0.54$ $\chi_y=0.99$
 $\lambda_z=70.16$ Ncr,z=226600.00 $\lambda'_z=0.92$ Curva b: $\Phi_z=1.04$ $\chi_z=0.65$
Kyy, Kyz, Kzy, Kzz=0.95, 0.61, 0.00, 1.02
Verifica YY: 0.04+0.58=0.62
Verifica ZZ: 0.04=0.04
- Verifica freccia massima carichi totali - CC 22
fz,L=0.21 (L/1144)
- Verifica freccia massima per soli carichi accidentali - CC 22
fz,L=0.09 (L/2513)
- Asta n. 1008 (1067 66) Sez. 5 UPN100 Crit. 3

- Verifica a trazione (4.2.4.1.2.1) - CC 9 SLV Xl=0.00 - Classe 1
Sollecitazioni: N=3097.13
Verifica a trazione [4.2.5]
N,Ed=3097.13 Npl,Rd=35889.70 Nu,Rd=42425.50 N,Ed/Nt,Rd=0.09
- Verifica freccia massima carichi totali - CC 22
fz,g=0.01 (L/63214)
- Verifica freccia massima per soli carichi accidentali - CC 22
fz,g=0.00 (L/129318)
- Asta n. 1009 (1075 -67) Sez. 6 IPE300 Crit. 2

- Verifica a flessione YY [4.2.13] - CC 1 SND Xl=2.80 - Classe 3
Sollecitazioni: Tz=3200.69 My=-9884.87
My,Ed=-9884.87 My,c,Rd=18834.90 My,Ed/My,c,Rd=0.52
- Verifica a taglio dir. Z [4.2.16] - CC 17 SLU Xl=0.00 - Classe 1
Sollecitazioni: Tz=7086.33
V,Ed=7086.33 Vc,Rd=50134.20 V,Ed/Vc,Rd=0.14
- Verifica a presso o tenso-flessione retta YY (4.2.4.1.2.7) - CC 17 SLU Xl=2.80 - Classe 1
Sollecitazioni: N=6780.46 Tz=5922.88 My=-18212.90
My,Ed=-18212.90 My,V,c,Rd=21326.00
N,Ed=6780.46 Nc,Rd=181940.00 YY n=N,Ed/Nc,Rd=0.04 MNy,c,Rd=21326.00 My,Ed/MNy,c,Rd=0.85
- Verifica di stabilità aste inflesse (4.2.4.1.3.2) CC 17 SLU - Classe 1
Lcr=2.80 Curva b: $\alpha_{imp}=0.34$ $k_c=0.94$ $\psi=1.75$ M,cr=48365.20 $\lambda_{LT}=0.68$
 $\lambda_{LT,0}=0.40$ $\beta_{LT}=0.75$ $\Phi_{LT}=0.72$ $\beta_{LT}=0.75$ f=0.97 $\chi_{LT}=0.91$
My,Ed=-18212.90 My,b,Rd=19315.10 My,Ed/My,b,Rd=0.94
- Verifica di stabilità aste presso-inflesse (C4.2.4.1.3.3.2) - CC 19 SLU - Classe 1
Sollecitazioni: N,Ed=-6780.46 My,Ed=-17477.90 L=2.80
 α_{my} , α_{mz} , $\alpha_{LT}=0.95$, 0.95, 0.95
Lcr=2.80 Curva b: $\alpha_{imp}=0.34$ $k_c=0.94$ $\psi=1.75$ M,cr=48365.20 $\lambda_{LT}=0.68$
 $\lambda_{LT,0}=0.40$ $\Phi_{LT}=0.72$ $\beta_{LT}=0.75$ f=0.97 $\chi_{LT}=0.91$
 $\lambda_y=22.47$ Ncr,y=2209120.00 $\lambda'_y=0.29$ Curva a: $\Phi_y=0.55$ $\chi_y=0.98$
 $\lambda_z=83.59$ Ncr,z=159618.00 $\lambda'_z=1.09$ Curva b: $\Phi_z=1.25$ $\chi_z=0.54$
Kyy, Kyz, Kzy, Kzz=0.95, 0.63, 0.00, 1.04
Verifica YY: 0.04+0.86=0.90
Verifica ZZ: 0.07=0.07
- Verifica freccia massima carichi totali - CC 22
fz,g=0.40 (L/695)
- Verifica freccia massima per soli carichi accidentali - CC 22
fz,L=0.18 (L/1521)

Relazione di calcolo

Asta n. 1009 (-67 1076) Sez. 6 IPE300 Crit. 2

-
- Verifica a flessione YY [4.2.13] - CC 1 SND $X_l=0.00$ - Classe 3
Sollecitazioni: $T_z=-3200.69$ $M_y=-9884.87$
 $M_y,Ed=-9884.87$ $M_y,c,Rd=18834.90$ $M_y,Ed/M_y,c,Rd=0.52$
 - Verifica a taglio dir. Z [4.2.16] - CC 17 SLU $X_l=2.80$ - Classe 1
Sollecitazioni: $T_z=-7086.33$
 $V,Ed=-7086.33$ $V_c,Rd=50134.20$ $V,Ed/V_c,Rd=0.14$
 - Verifica a presso o tenso-flessione retta YY (4.2.4.1.2.7) - CC 17 SLU $X_l=0.00$ - Classe 1
Sollecitazioni: $N=6780.46$ $T_z=-5922.88$ $M_y=-18212.90$
 $M_y,Ed=-18212.90$ $M_y,V,c,Rd=21326.00$
 $N,Ed=6780.46$ $N_c,Rd=181940.00$ $YY\ n=N,Ed/N_c,Rd=0.04$ $MN_y,c,Rd=21326.00$ $M_y,Ed/MN_y,c,Rd=0.85$
 - Verifica di stabilità aste inflesse (4.2.4.1.3.2) CC 17 SLU - Classe 1
 $L_{cr}=2.80$ Curva b: $\alpha_{imp}=0.34$ $k_c=0.94$ $\psi=1.75$ $M_{cr}=48365.20$ $\lambda_{LT}=0.68$
 $\lambda_{LT,0}=0.40$ $\beta_{LT}=0.75$ $\Phi_{LT}=0.72$ $\beta_{LT}=0.75$ $f=0.97$ $\chi_{LT}=0.91$
 $M_y,Ed=-18212.90$ $M_y,b,Rd=19315.10$ $M_y,Ed/M_y,b,Rd=0.94$
 - Verifica di stabilità aste presso-inflesse (4.2.4.1.3.3.2) - CC 19 SLU - Classe 1
Sollecitazioni: $N,Ed=-6780.46$ $M_y,Ed=-17477.90$ $L=2.80$
 $\alpha_{my}, \alpha_{mz}, \alpha_{LT}=0.95, 0.95, 0.95$
 $L_{cr}=2.80$ Curva b: $\alpha_{imp}=0.34$ $k_c=0.94$ $\psi=1.75$ $M_{cr}=48365.20$ $\lambda_{LT}=0.68$
 $\lambda_{LT,0}=0.40$ $\Phi_{LT}=0.72$ $\beta_{LT}=0.75$ $f=0.97$ $\chi_{LT}=0.91$
 $\lambda_y=22.47$ $N_{cr,y}=2209120.00$ $\lambda^*_y=0.29$ Curva a: $\Phi_y=0.55$ $\chi_y=0.98$
 $\lambda_z=83.59$ $N_{cr,z}=159618.00$ $\lambda^*_z=1.09$ Curva b: $\Phi_z=1.25$ $\chi_z=0.54$
 $K_{yy}, K_{yz}, K_{zy}, K_{zz}=0.95, 0.63, 0.00, 1.04$
Verifica YY: $0.04+0.86=0.90$
Verifica ZZ: $0.07=0.07$
 - Verifica freccia massima carichi totali - CC 22
 $f_{z,L}=0.40$ (L/694)
 - Verifica freccia massima per soli carichi accidentali - CC 22
 $f_{z,L}=0.18$ (L/1522)

Asta n. 1009 (1076 -68) Sez. 6 IPE300 Crit. 2

-
- Verifica a flessione YY [4.2.13] - CC 1 SND $X_l=2.35$ - Classe 3
Sollecitazioni: $T_z=2700.78$ $M_y=-6996.96$
 $M_y,Ed=-6996.96$ $M_y,c,Rd=18834.90$ $M_y,Ed/M_y,c,Rd=0.37$
 - Verifica a taglio dir. Z [4.2.16] - CC 17 SLU $X_l=0.00$ - Classe 1
Sollecitazioni: $T_z=5966.29$
 $V,Ed=5966.29$ $V_c,Rd=50134.20$ $V,Ed/V_c,Rd=0.12$
 - Verifica a presso o tenso-flessione retta YY (4.2.4.1.2.7) - CC 17 SLU $X_l=2.35$ - Classe 1
Sollecitazioni: $N=6780.46$ $T_z=4989.83$ $M_y=-12873.40$
 $M_y,Ed=-12873.40$ $M_y,V,c,Rd=21326.00$
 $N,Ed=6780.46$ $N_c,Rd=181940.00$ $YY\ n=N,Ed/N_c,Rd=0.04$ $MN_y,c,Rd=21326.00$ $M_y,Ed/MN_y,c,Rd=0.60$
 - Verifica di stabilità aste inflesse (4.2.4.1.3.2) CC 17 SLU - Classe 1
 $L_{cr}=2.35$ Curva b: $\alpha_{imp}=0.34$ $k_c=0.94$ $\psi=1.75$ $M_{cr}=65500.90$ $\lambda_{LT}=0.58$
 $\lambda_{LT,0}=0.40$ $\beta_{LT}=0.75$ $\Phi_{LT}=0.66$ $\beta_{LT}=0.75$ $f=0.97$ $\chi_{LT}=0.95$
 $M_y,Ed=-12873.40$ $M_y,b,Rd=20255.80$ $M_y,Ed/M_y,b,Rd=0.64$
 - Verifica di stabilità aste presso-inflesse (4.2.4.1.3.3.2) - CC 19 SLU - Classe 1
Sollecitazioni: $N,Ed=-6780.46$ $M_y,Ed=-12355.70$ $L=2.35$
 $\alpha_{my}, \alpha_{mz}, \alpha_{LT}=0.95, 0.95, 0.95$
 $L_{cr}=2.35$ Curva b: $\alpha_{imp}=0.34$ $k_c=0.94$ $\psi=1.75$ $M_{cr}=65500.90$ $\lambda_{LT}=0.58$
 $\lambda_{LT,0}=0.40$ $\Phi_{LT}=0.66$ $\beta_{LT}=0.75$ $f=0.97$ $\chi_{LT}=0.95$
 $\lambda_y=18.86$ $N_{cr,y}=3136160.00$ $\lambda^*_y=0.25$ Curva a: $\Phi_y=0.54$ $\chi_y=0.99$
 $\lambda_z=70.16$ $N_{cr,z}=226601.00$ $\lambda^*_z=0.92$ Curva b: $\Phi_z=1.04$ $\chi_z=0.65$
 $K_{yy}, K_{yz}, K_{zy}, K_{zz}=0.95, 0.61, 0.00, 1.02$
Verifica YY: $0.04+0.58=0.62$
Verifica ZZ: $0.04=0.04$
 - Verifica freccia massima carichi totali - CC 22
 $f_{z,g}=0.21$ (L/1143)
 - Verifica freccia massima per soli carichi accidentali - CC 22
 $f_{z,L}=0.09$ (L/2512)

Asta n. 1009 (-68 1077) Sez. 6 IPE300 Crit. 2

-
- Verifica a flessione YY [4.2.13] - CC 1 SND $X_l=0.00$ - Classe 3
Sollecitazioni: $T_z=-2700.79$ $M_y=-6996.96$
 $M_y,Ed=-6996.96$ $M_y,c,Rd=18834.90$ $M_y,Ed/M_y,c,Rd=0.37$

Relazione di calcolo

- Verifica a taglio dir. Z [4.2.16] - CC 17 SLU $X_l=2.35$ - Classe 1
Sollecitazioni: $T_z=-5966.29$
 $V, Ed=-5966.29$ $V_c, Rd=50134.20$ $V, Ed/V_c, Rd=0.12$
- Verifica a presso o tenso-flessione retta YY (4.2.4.1.2.7) - CC 17 SLU $X_l=0.00$ - Classe 1
Sollecitazioni: $N=6780.46$ $T_z=-4989.83$ $M_y=-12873.40$
 $M_y, Ed=-12873.40$ $M_y, V, c, Rd=21326.00$
 $N, Ed=6780.46$ $N_c, Rd=181940.00$ YY $n=N, Ed/N_c, Rd=0.04$ $MN_y, c, Rd=21326.00$ $M_y, Ed/MN_y, c, Rd=0.60$
- Verifica di stabilità aste inflesse (4.2.4.1.3.2) CC 17 SLU - Classe 1
 $L_{cr}=2.35$ Curva b: $\alpha_{imp}=0.34$ $k_c=0.94$ $\psi=1.75$ $M, cr=65500.90$ $\lambda_{LT}=0.58$
 $\lambda_{LT,0}=0.40$ $\beta_{LT}=0.75$ $\Phi_{LT}=0.66$ $\beta_{LT}=0.75$ $f=0.97$ $\chi_{LT}=0.95$
 $M_y, Ed=-12873.40$ $M_y, b, Rd=20255.80$ $M_y, Ed/M_y, b, Rd=0.64$
- Verifica di stabilità aste presso-inflesse (C4.2.4.1.3.3.2) - CC 19 SLU - Classe 1
Sollecitazioni: $N, Ed=-6780.46$ $M_y, Ed=-12355.70$ $L=2.35$
 $\alpha_m, \alpha_m, \alpha_{LT}=0.95, 0.95, 0.95$
 $L_{cr}=2.35$ Curva b: $\alpha_{imp}=0.34$ $k_c=0.94$ $\psi=1.75$ $M, cr=65500.90$ $\lambda_{LT}=0.58$
 $\lambda_{LT,0}=0.40$ $\Phi_{LT}=0.66$ $\beta_{LT}=0.75$ $f=0.97$ $\chi_{LT}=0.95$
 $\lambda_y=18.86$ $N_{cr,y}=3136160.00$ $\lambda^*_y=0.25$ Curva a: $\Phi_y=0.54$ $\chi_y=0.99$
 $\lambda_z=70.16$ $N_{cr,z}=226601.00$ $\lambda^*_z=0.92$ Curva b: $\Phi_z=1.04$ $\chi_z=0.65$
 $K_{yy}, K_{yz}, K_{zy}, K_{zz}=0.95, 0.61, 0.00, 1.02$
Verifica YY: $0.04+0.58=0.62$
Verifica ZZ: $0.04=0.04$
- Verifica freccia massima carichi totali - CC 22
 $f_{z,L}=0.21$ (L/1145)
- Verifica freccia massima per soli carichi accidentali - CC 22
 $f_{z,L}=0.09$ (L/2517)

Asta n. 1009 (1077 -69) Sez. 6 IPE300 Crit. 2

- Verifica a flessione YY [4.2.13] - CC 1 SND $X_l=2.35$ - Classe 3
Sollecitazioni: $T_z=2700.78$ $M_y=-6996.96$
 $M_y, Ed=-6996.96$ $M_y, c, Rd=18834.90$ $M_y, Ed/M_y, c, Rd=0.37$
- Verifica a taglio dir. Z [4.2.16] - CC 17 SLU $X_l=0.00$ - Classe 1
Sollecitazioni: $T_z=5966.29$
 $V, Ed=5966.29$ $V_c, Rd=50134.20$ $V, Ed/V_c, Rd=0.12$
- Verifica a presso o tenso-flessione retta YY (4.2.4.1.2.7) - CC 17 SLU $X_l=2.35$ - Classe 1
Sollecitazioni: $N=6780.46$ $T_z=4989.83$ $M_y=-12873.40$
 $M_y, Ed=-12873.40$ $M_y, V, c, Rd=21326.00$
 $N, Ed=6780.46$ $N_c, Rd=181940.00$ YY $n=N, Ed/N_c, Rd=0.04$ $MN_y, c, Rd=21326.00$ $M_y, Ed/MN_y, c, Rd=0.60$
- Verifica di stabilità aste inflesse (4.2.4.1.3.2) CC 17 SLU - Classe 1
 $L_{cr}=2.35$ Curva b: $\alpha_{imp}=0.34$ $k_c=0.94$ $\psi=1.75$ $M, cr=65500.90$ $\lambda_{LT}=0.58$
 $\lambda_{LT,0}=0.40$ $\beta_{LT}=0.75$ $\Phi_{LT}=0.66$ $\beta_{LT}=0.75$ $f=0.97$ $\chi_{LT}=0.95$
 $M_y, Ed=-12873.40$ $M_y, b, Rd=20255.80$ $M_y, Ed/M_y, b, Rd=0.64$
- Verifica di stabilità aste presso-inflesse (C4.2.4.1.3.3.2) - CC 19 SLU - Classe 1
Sollecitazioni: $N, Ed=-6780.46$ $M_y, Ed=-12355.70$ $L=2.35$
 $\alpha_m, \alpha_m, \alpha_{LT}=0.95, 0.95, 0.95$
 $L_{cr}=2.35$ Curva b: $\alpha_{imp}=0.34$ $k_c=0.94$ $\psi=1.75$ $M, cr=65500.90$ $\lambda_{LT}=0.58$
 $\lambda_{LT,0}=0.40$ $\Phi_{LT}=0.66$ $\beta_{LT}=0.75$ $f=0.97$ $\chi_{LT}=0.95$
 $\lambda_y=18.86$ $N_{cr,y}=3136160.00$ $\lambda^*_y=0.25$ Curva a: $\Phi_y=0.54$ $\chi_y=0.99$
 $\lambda_z=70.16$ $N_{cr,z}=226601.00$ $\lambda^*_z=0.92$ Curva b: $\Phi_z=1.04$ $\chi_z=0.65$
 $K_{yy}, K_{yz}, K_{zy}, K_{zz}=0.95, 0.61, 0.00, 1.02$
Verifica YY: $0.04+0.58=0.62$
Verifica ZZ: $0.04=0.04$
- Verifica freccia massima carichi totali - CC 22
 $f_{z,G}=0.21$ (L/1145)
- Verifica freccia massima per soli carichi accidentali - CC 22
 $f_{z,L}=0.09$ (L/2517)

Asta n. 1009 (-69 1078) Sez. 6 IPE300 Crit. 2

- Verifica a flessione YY [4.2.13] - CC 1 SND $X_l=0.00$ - Classe 3
Sollecitazioni: $T_z=-2700.79$ $M_y=-6996.96$
 $M_y, Ed=-6996.96$ $M_y, c, Rd=18834.90$ $M_y, Ed/M_y, c, Rd=0.37$
- Verifica a taglio dir. Z [4.2.16] - CC 17 SLU $X_l=2.35$ - Classe 1
Sollecitazioni: $T_z=-5966.29$
 $V, Ed=-5966.29$ $V_c, Rd=50134.20$ $V, Ed/V_c, Rd=0.12$

Relazione di calcolo

- Verifica a presso o tenso-flessione retta YY (4.2.4.1.2.7) - CC 17 SLU $X_l=0.00$ - Classe 1
Sollecitazioni: $N=6780.46$ $T_z=-4989.83$ $M_y=-12873.40$
 $M_y,Ed=-12873.40$ $M_y,V,c,Rd=21326.00$
 $N,Ed=6780.46$ $N_c,Rd=181940.00$ $YY\ n=N,Ed/N_c,Rd=0.04$ $MNy,c,Rd=21326.00$ $My,Ed/MNy,c,Rd=0.60$
- Verifica di stabilità aste inflesse (4.2.4.1.3.2) CC 17 SLU - Classe 1
 $L_{cr}=2.35$ Curva b: $\alpha_{imp}=0.34$ $k_c=0.94$ $\psi=1.75$ $M_{cr}=65500.90$ $\lambda_{LT}=0.58$
 $\lambda_{LT,0}=0.40$ $\beta_{LT}=0.75$ $\Phi_{LT}=0.66$ $\beta_{LT}=0.75$ $f=0.97$ $\chi_{LT}=0.95$
 $M_y,Ed=-12873.40$ $M_y,b,Rd=20255.80$ $My,Ed/M_y,b,Rd=0.64$
- Verifica di stabilità aste presso-inflesse (C4.2.4.1.3.3.2) - CC 19 SLU - Classe 1
Sollecitazioni: $N,Ed=-6780.46$ $M_y,Ed=-12355.70$ $L=2.35$
 $\alpha_{my}, \alpha_{mz}, \alpha_{LT}=0.95, 0.95, 0.95$
 $L_{cr}=2.35$ Curva b: $\alpha_{imp}=0.34$ $k_c=0.94$ $\psi=1.75$ $M_{cr}=65500.90$ $\lambda_{LT}=0.58$
 $\lambda_{LT,0}=0.40$ $\Phi_{LT}=0.66$ $\beta_{LT}=0.75$ $f=0.97$ $\chi_{LT}=0.95$
 $\lambda_y=18.86$ $N_{cr,y}=3136160.00$ $\lambda^*_y=0.25$ Curva a: $\Phi_y=0.54$ $\chi_y=0.99$
 $\lambda_z=70.16$ $N_{cr,z}=226601.00$ $\lambda^*_z=0.92$ Curva b: $\Phi_z=1.04$ $\chi_z=0.65$
 $K_{yy}, K_{yz}, K_{zy}, K_{zz}=0.95, 0.61, 0.00, 1.02$
Verifica YY: $0.04+0.58=0.62$
Verifica ZZ: $0.04=0.04$
- Verifica freccia massima carichi totali - CC 22
 $f_{z,L}=0.21$ (L/1143)
- Verifica freccia massima per soli carichi accidentali - CC 22
 $f_{z,g}=0.09$ (L/2512)
- Asta n. 1009 (1078 -70) Sez. 6 IPE300 Crit. 2

- Verifica a flessione YY [4.2.13] - CC 1 SND $X_l=2.80$ - Classe 3
Sollecitazioni: $T_z=3200.69$ $M_y=-9884.87$
 $M_y,Ed=-9884.87$ $M_y,c,Rd=18834.90$ $My,Ed/M_y,c,Rd=0.52$
- Verifica a taglio dir. Z [4.2.16] - CC 17 SLU $X_l=0.00$ - Classe 1
Sollecitazioni: $T_z=7086.33$
 $V,Ed=7086.33$ $V_c,Rd=50134.20$ $V,Ed/V_c,Rd=0.14$
- Verifica a presso o tenso-flessione retta YY (4.2.4.1.2.7) - CC 17 SLU $X_l=2.80$ - Classe 1
Sollecitazioni: $N=6780.46$ $T_z=5922.88$ $M_y=-18212.90$
 $M_y,Ed=-18212.90$ $M_y,V,c,Rd=21326.00$
 $N,Ed=6780.46$ $N_c,Rd=181940.00$ $YY\ n=N,Ed/N_c,Rd=0.04$ $MNy,c,Rd=21326.00$ $My,Ed/MNy,c,Rd=0.85$
- Verifica di stabilità aste inflesse (4.2.4.1.3.2) CC 17 SLU - Classe 1
 $L_{cr}=2.80$ Curva b: $\alpha_{imp}=0.34$ $k_c=0.94$ $\psi=1.75$ $M_{cr}=48365.20$ $\lambda_{LT}=0.68$
 $\lambda_{LT,0}=0.40$ $\beta_{LT}=0.75$ $\Phi_{LT}=0.72$ $\beta_{LT}=0.75$ $f=0.97$ $\chi_{LT}=0.91$
 $M_y,Ed=-18212.90$ $M_y,b,Rd=19315.10$ $My,Ed/M_y,b,Rd=0.94$
- Verifica di stabilità aste presso-inflesse (C4.2.4.1.3.3.2) - CC 19 SLU - Classe 1
Sollecitazioni: $N,Ed=-6780.46$ $M_y,Ed=-17477.90$ $L=2.80$
 $\alpha_{my}, \alpha_{mz}, \alpha_{LT}=0.95, 0.95, 0.95$
 $L_{cr}=2.80$ Curva b: $\alpha_{imp}=0.34$ $k_c=0.94$ $\psi=1.75$ $M_{cr}=48365.20$ $\lambda_{LT}=0.68$
 $\lambda_{LT,0}=0.40$ $\Phi_{LT}=0.72$ $\beta_{LT}=0.75$ $f=0.97$ $\chi_{LT}=0.91$
 $\lambda_y=22.47$ $N_{cr,y}=2209120.00$ $\lambda^*_y=0.29$ Curva a: $\Phi_y=0.55$ $\chi_y=0.98$
 $\lambda_z=83.59$ $N_{cr,z}=159618.00$ $\lambda^*_z=1.09$ Curva b: $\Phi_z=1.25$ $\chi_z=0.54$
 $K_{yy}, K_{yz}, K_{zy}, K_{zz}=0.95, 0.63, 0.00, 1.04$
Verifica YY: $0.04+0.86=0.90$
Verifica ZZ: $0.07=0.07$
- Verifica freccia massima carichi totali - CC 22
 $f_{z,g}=0.40$ (L/695)
- Verifica freccia massima per soli carichi accidentali - CC 22
 $f_{z,L}=0.18$ (L/1521)
- Asta n. 1009 (-70 1079) Sez. 6 IPE300 Crit. 2

- Verifica a flessione YY [4.2.13] - CC 1 SND $X_l=0.00$ - Classe 3
Sollecitazioni: $T_z=-3200.69$ $M_y=-9884.87$
 $M_y,Ed=-9884.87$ $M_y,c,Rd=18834.90$ $My,Ed/M_y,c,Rd=0.52$
- Verifica a taglio dir. Z [4.2.16] - CC 17 SLU $X_l=2.80$ - Classe 1
Sollecitazioni: $T_z=-7086.33$
 $V,Ed=-7086.33$ $V_c,Rd=50134.20$ $V,Ed/V_c,Rd=0.14$
- Verifica a presso o tenso-flessione retta YY (4.2.4.1.2.7) - CC 17 SLU $X_l=0.00$ - Classe 1
Sollecitazioni: $N=6780.46$ $T_z=-5922.88$ $M_y=-18212.90$
 $M_y,Ed=-18212.90$ $M_y,V,c,Rd=21326.00$
 $N,Ed=6780.46$ $N_c,Rd=181940.00$ $YY\ n=N,Ed/N_c,Rd=0.04$ $MNy,c,Rd=21326.00$ $My,Ed/MNy,c,Rd=0.85$

Relazione di calcolo

- Verifica di stabilità aste inflesse (4.2.4.1.3.2) CC 17 SLU - Classe 1
L_{cr}=2.80 Curva b: $\alpha_{imp}=0.34$ $k_c=0.94$ $\psi=1.75$ M_{cr}=48365.20 $\lambda_{LT}=0.68$
 $\lambda_{LT,0}=0.40$ $\beta_{LT}=0.75$ $\Phi_{LT}=0.72$ $\beta_{LT}=0.75$ $f=0.97$ $\chi_{LT}=0.91$
M_{y,Ed}=-18212.90 M_{y,b,Rd}=19315.10 M_{y,Ed}/M_{y,b,Rd}=0.94
- Verifica di stabilità aste presso-inflesse (C4.2.4.1.3.3.2) - CC 19 SLU - Classe 1
Sollecitazioni: N_{Ed}=-6780.46 M_{y,Ed}=-17477.90 L=2.80
 α_{my} , α_{mz} , $\alpha_{LT}=0.95$, 0.95, 0.95
L_{cr}=2.80 Curva b: $\alpha_{imp}=0.34$ $k_c=0.94$ $\psi=1.75$ M_{cr}=48365.20 $\lambda_{LT}=0.68$
 $\lambda_{LT,0}=0.40$ $\Phi_{LT}=0.72$ $\beta_{LT}=0.75$ $f=0.97$ $\chi_{LT}=0.91$
 $\lambda_y=22.47$ N_{cr,y}=2209120.00 $\lambda^*_y=0.29$ Curva a: $\Phi_y=0.55$ $\chi_y=0.98$
 $\lambda_z=83.59$ N_{cr,z}=159618.00 $\lambda^*_z=1.09$ Curva b: $\Phi_z=1.25$ $\chi_z=0.54$
K_{yy}, K_{yz}, K_{zy}, K_{zz}=0.95, 0.63, 0.00, 1.04
Verifica YY: 0.04+0.86=0.90
Verifica ZZ: 0.07=0.07
- Verifica freccia massima carichi totali - CC 22
f_{z,L}=0.40 (L/695)
- Verifica freccia massima per soli carichi accidentali - CC 22
f_{z,L}=0.18 (L/1521)
- Asta n. 1009 (1079 -71) Sez. 6 IPE300 Crit. 2

- Verifica a flessione YY [4.2.13] - CC 1 SND Xl=2.35 - Classe 3
Sollecitazioni: T_z=2700.78 M_y=-6996.96
M_{y,Ed}=-6996.96 M_{y,c,Rd}=18834.90 M_{y,Ed}/M_{y,c,Rd}=0.37
- Verifica a taglio dir. Z [4.2.16] - CC 17 SLU Xl=0.00 - Classe 1
Sollecitazioni: T_z=5966.29
V_{Ed}=5966.29 V_{c,Rd}=50134.20 V_{Ed}/V_{c,Rd}=0.12
- Verifica a presso o tenso-flessione retta YY (4.2.4.1.2.7) - CC 17 SLU Xl=2.35 - Classe 1
Sollecitazioni: N=6780.46 T_z=4989.83 M_y=-12873.40
M_{y,Ed}=-12873.40 M_{y,V,c,Rd}=21326.00
N_{Ed}=6780.46 N_{c,Rd}=181940.00 YY n=N_{Ed}/N_{c,Rd}=0.04 M_{Ny,c,Rd}=21326.00 M_{y,Ed}/M_{Ny,c,Rd}=0.60
- Verifica di stabilità aste inflesse (4.2.4.1.3.2) CC 17 SLU - Classe 1
L_{cr}=2.35 Curva b: $\alpha_{imp}=0.34$ $k_c=0.94$ $\psi=1.75$ M_{cr}=65500.90 $\lambda_{LT}=0.58$
 $\lambda_{LT,0}=0.40$ $\beta_{LT}=0.75$ $\Phi_{LT}=0.66$ $\beta_{LT}=0.75$ $f=0.97$ $\chi_{LT}=0.95$
M_{y,Ed}=-12873.40 M_{y,b,Rd}=20255.80 M_{y,Ed}/M_{y,b,Rd}=0.64
- Verifica di stabilità aste presso-inflesse (C4.2.4.1.3.3.2) - CC 19 SLU - Classe 1
Sollecitazioni: N_{Ed}=-6780.46 M_{y,Ed}=-12355.70 L=2.35
 α_{my} , α_{mz} , $\alpha_{LT}=0.95$, 0.95, 0.95
L_{cr}=2.35 Curva b: $\alpha_{imp}=0.34$ $k_c=0.94$ $\psi=1.75$ M_{cr}=65500.90 $\lambda_{LT}=0.58$
 $\lambda_{LT,0}=0.40$ $\Phi_{LT}=0.66$ $\beta_{LT}=0.75$ $f=0.97$ $\chi_{LT}=0.95$
 $\lambda_y=18.86$ N_{cr,y}=3136160.00 $\lambda^*_y=0.25$ Curva a: $\Phi_y=0.54$ $\chi_y=0.99$
 $\lambda_z=70.16$ N_{cr,z}=226601.00 $\lambda^*_z=0.92$ Curva b: $\Phi_z=1.04$ $\chi_z=0.65$
K_{yy}, K_{yz}, K_{zy}, K_{zz}=0.95, 0.61, 0.00, 1.02
Verifica YY: 0.04+0.58=0.62
Verifica ZZ: 0.04=0.04
- Verifica freccia massima carichi totali - CC 22
f_{z,L}=0.21 (L/1143)
- Verifica freccia massima per soli carichi accidentali - CC 22
f_{z,L}=0.09 (L/2512)
- Asta n. 1009 (-71 1080) Sez. 6 IPE300 Crit. 2

- Verifica a flessione YY [4.2.13] - CC 1 SND Xl=0.00 - Classe 3
Sollecitazioni: T_z=-2700.79 M_y=-6996.96
M_{y,Ed}=-6996.96 M_{y,c,Rd}=18834.90 M_{y,Ed}/M_{y,c,Rd}=0.37
- Verifica a taglio dir. Z [4.2.16] - CC 17 SLU Xl=2.35 - Classe 1
Sollecitazioni: T_z=-5966.29
V_{Ed}=-5966.29 V_{c,Rd}=50134.20 V_{Ed}/V_{c,Rd}=0.12
- Verifica a presso o tenso-flessione retta YY (4.2.4.1.2.7) - CC 17 SLU Xl=0.00 - Classe 1
Sollecitazioni: N=6780.46 T_z=-4989.83 M_y=-12873.40
M_{y,Ed}=-12873.40 M_{y,V,c,Rd}=21326.00
N_{Ed}=6780.46 N_{c,Rd}=181940.00 YY n=N_{Ed}/N_{c,Rd}=0.04 M_{Ny,c,Rd}=21326.00 M_{y,Ed}/M_{Ny,c,Rd}=0.60
- Verifica di stabilità aste inflesse (4.2.4.1.3.2) CC 17 SLU - Classe 1
L_{cr}=2.35 Curva b: $\alpha_{imp}=0.34$ $k_c=0.94$ $\psi=1.75$ M_{cr}=65500.90 $\lambda_{LT}=0.58$
 $\lambda_{LT,0}=0.40$ $\beta_{LT}=0.75$ $\Phi_{LT}=0.66$ $\beta_{LT}=0.75$ $f=0.97$ $\chi_{LT}=0.95$
M_{y,Ed}=-12873.40 M_{y,b,Rd}=20255.80 M_{y,Ed}/M_{y,b,Rd}=0.64

Relazione di calcolo

- Verifica di stabilità aste presso-inflesse (C4.2.4.1.3.3.2) - CC 19 SLU - Classe 1
Sollecitazioni: $N, Ed = -6780.46$ My, $Ed = -12355.70$ L=2.35
 $\alpha_{my}, \alpha_{mz}, \alpha_{LT} = 0.95, 0.95, 0.95$
 $L_{cr} = 2.35$ Curva b: $\alpha_{imp} = 0.34$ $k_c = 0.94$ $\psi = 1.75$ M, $cr = 65500.90$ $\lambda_{LT} = 0.58$
 $\lambda_{LT,0} = 0.40$ $\Phi_{LT} = 0.66$ $\beta_{LT} = 0.75$ $f = 0.97$ $\chi_{LT} = 0.95$
 $\lambda_y = 18.86$ Ncr, $y = 3136160.00$ $\lambda'_y = 0.25$ Curva a: $\Phi_y = 0.54$ $\chi_y = 0.99$
 $\lambda_z = 70.16$ Ncr, $z = 226601.00$ $\lambda'_z = 0.92$ Curva b: $\Phi_z = 1.04$ $\chi_z = 0.65$
Kyy, Kyz, Kzy, Kzz = 0.95, 0.61, 0.00, 1.02
Verifica YY: $0.04 + 0.58 = 0.62$
Verifica ZZ: $0.04 = 0.04$
- Verifica freccia massima carichi totali - CC 22
 $f_{z,g} = 0.21$ (L/1145)
- Verifica freccia massima per soli carichi accidentali - CC 22
 $f_{z,L} = 0.09$ (L/2517)
- Asta n. 1009 (1080 -72) Sez. 6 IPE300 Crit. 2

- Verifica a flessione YY [4.2.13] - CC 1 SND $X_l = 2.35$ - Classe 3
Sollecitazioni: $T_z = 2700.78$ $M_y = -6996.96$
My, $Ed = -6996.96$ My, c, $Rd = 18834.90$ My, $Ed/My, c, Rd = 0.37$
- Verifica a taglio dir. Z [4.2.16] - CC 17 SLU $X_l = 0.00$ - Classe 1
Sollecitazioni: $T_z = 5966.29$
V, $Ed = 5966.29$ Vc, $Rd = 50134.20$ V, $Ed/Vc, Rd = 0.12$
- Verifica a presso o tenso-flessione retta YY (4.2.4.1.2.7) - CC 17 SLU $X_l = 2.35$ - Classe 1
Sollecitazioni: $N = 6780.46$ $T_z = 4989.83$ $M_y = -12873.40$
My, $Ed = -12873.40$ My, V, c, $Rd = 21326.00$
N, $Ed = 6780.46$ Nc, $Rd = 181940.00$ YY n=N, $Ed/Nc, Rd = 0.04$ MNy, c, $Rd = 21326.00$ My, $Ed/MNy, c, Rd = 0.60$
- Verifica di stabilità aste inflesse (4.2.4.1.3.2) CC 17 SLU - Classe 1
 $L_{cr} = 2.35$ Curva b: $\alpha_{imp} = 0.34$ $k_c = 0.94$ $\psi = 1.75$ M, $cr = 65500.90$ $\lambda_{LT} = 0.58$
 $\lambda_{LT,0} = 0.40$ $\beta_{LT} = 0.75$ $\Phi_{LT} = 0.66$ $\beta_{LT} = 0.75$ $f = 0.97$ $\chi_{LT} = 0.95$
My, $Ed = -12873.40$ My, b, $Rd = 20255.80$ My, $Ed/My, b, Rd = 0.64$
- Verifica di stabilità aste presso-inflesse (C4.2.4.1.3.3.2) - CC 19 SLU - Classe 1
Sollecitazioni: $N, Ed = -6780.46$ My, $Ed = -12355.70$ L=2.35
 $\alpha_{my}, \alpha_{mz}, \alpha_{LT} = 0.95, 0.95, 0.95$
 $L_{cr} = 2.35$ Curva b: $\alpha_{imp} = 0.34$ $k_c = 0.94$ $\psi = 1.75$ M, $cr = 65500.90$ $\lambda_{LT} = 0.58$
 $\lambda_{LT,0} = 0.40$ $\Phi_{LT} = 0.66$ $\beta_{LT} = 0.75$ $f = 0.97$ $\chi_{LT} = 0.95$
 $\lambda_y = 18.86$ Ncr, $y = 3136160.00$ $\lambda'_y = 0.25$ Curva a: $\Phi_y = 0.54$ $\chi_y = 0.99$
 $\lambda_z = 70.16$ Ncr, $z = 226601.00$ $\lambda'_z = 0.92$ Curva b: $\Phi_z = 1.04$ $\chi_z = 0.65$
Kyy, Kyz, Kzy, Kzz = 0.95, 0.61, 0.00, 1.02
Verifica YY: $0.04 + 0.58 = 0.62$
Verifica ZZ: $0.04 = 0.04$
- Verifica freccia massima carichi totali - CC 22
 $f_{z,L} = 0.21$ (L/1145)
- Verifica freccia massima per soli carichi accidentali - CC 22
 $f_{z,L} = 0.09$ (L/2516)
- Asta n. 1009 (-72 1081) Sez. 6 IPE300 Crit. 2

- Verifica a flessione YY [4.2.13] - CC 1 SND $X_l = 0.00$ - Classe 3
Sollecitazioni: $T_z = -2700.79$ $M_y = -6996.96$
My, $Ed = -6996.96$ My, c, $Rd = 18834.90$ My, $Ed/My, c, Rd = 0.37$
- Verifica a taglio dir. Z [4.2.16] - CC 17 SLU $X_l = 2.35$ - Classe 1
Sollecitazioni: $T_z = -5966.29$
V, $Ed = -5966.29$ Vc, $Rd = 50134.20$ V, $Ed/Vc, Rd = 0.12$
- Verifica a presso o tenso-flessione retta YY (4.2.4.1.2.7) - CC 17 SLU $X_l = 0.00$ - Classe 1
Sollecitazioni: $N = 6780.46$ $T_z = -4989.83$ $M_y = -12873.40$
My, $Ed = -12873.40$ My, V, c, $Rd = 21326.00$
N, $Ed = 6780.46$ Nc, $Rd = 181940.00$ YY n=N, $Ed/Nc, Rd = 0.04$ MNy, c, $Rd = 21326.00$ My, $Ed/MNy, c, Rd = 0.60$
- Verifica di stabilità aste inflesse (4.2.4.1.3.2) CC 17 SLU - Classe 1
 $L_{cr} = 2.35$ Curva b: $\alpha_{imp} = 0.34$ $k_c = 0.94$ $\psi = 1.75$ M, $cr = 65500.90$ $\lambda_{LT} = 0.58$
 $\lambda_{LT,0} = 0.40$ $\beta_{LT} = 0.75$ $\Phi_{LT} = 0.66$ $\beta_{LT} = 0.75$ $f = 0.97$ $\chi_{LT} = 0.95$
My, $Ed = -12873.40$ My, b, $Rd = 20255.80$ My, $Ed/My, b, Rd = 0.64$
- Verifica di stabilità aste presso-inflesse (C4.2.4.1.3.3.2) - CC 19 SLU - Classe 1
Sollecitazioni: $N, Ed = -6780.46$ My, $Ed = -12355.70$ L=2.35
 $\alpha_{my}, \alpha_{mz}, \alpha_{LT} = 0.95, 0.95, 0.95$
 $L_{cr} = 2.35$ Curva b: $\alpha_{imp} = 0.34$ $k_c = 0.94$ $\psi = 1.75$ M, $cr = 65500.90$ $\lambda_{LT} = 0.58$
 $\lambda_{LT,0} = 0.40$ $\Phi_{LT} = 0.66$ $\beta_{LT} = 0.75$ $f = 0.97$ $\chi_{LT} = 0.95$

Relazione di calcolo

$\lambda_y=18.86$ Ncr,y=3136160.00 $\lambda^*_y=0.25$ Curva a: $\Phi_y=0.54$ $\chi_y=0.99$
 $\lambda_z=70.16$ Ncr,z=226601.00 $\lambda^*_z=0.92$ Curva b: $\Phi_z=1.04$ $\chi_z=0.65$
Kyy, Kyz, Kzy, Kzz=0.95, 0.61, 0.00, 1.02
Verifica YY: 0.04+0.58=0.62
Verifica ZZ: 0.04=0.04

- Verifica freccia massima carichi totali - CC 22
 $f_{z,L}=0.21$ (L/1143)

- Verifica freccia massima per soli carichi accidentali - CC 22
 $f_{z,L}=0.09$ (L/2511)

Asta n. 1009 (1081 -73) Sez. 6 IPE300 Crit. 2

- Verifica a flessione YY [4.2.13] - CC 1 SND $X_l=2.80$ - Classe 3
Sollecitazioni: $T_z=3200.69$ $M_y=-9884.87$
 $M_y,Ed=-9884.87$ $M_y,c,Rd=18834.90$ $M_y,Ed/M_y,c,Rd=0.52$

- Verifica a taglio dir. Z [4.2.16] - CC 17 SLU $X_l=0.00$ - Classe 1
Sollecitazioni: $T_z=7086.33$
 $V,Ed=7086.33$ $V_c,Rd=50134.20$ $V,Ed/V_c,Rd=0.14$

- Verifica a presso o tenso-flessione retta YY (4.2.4.1.2.7) - CC 17 SLU $X_l=2.80$ - Classe 1
Sollecitazioni: $N=6780.46$ $T_z=5922.88$ $M_y=-18212.90$
 $M_y,Ed=-18212.90$ $M_y,V,c,Rd=21326.00$
 $N,Ed=6780.46$ $N_c,Rd=181940.00$ YY n=N,Ed/Nc,Rd=0.04 MNy,c,Rd=21326.00 $M_y,Ed/MNy,c,Rd=0.85$

- Verifica di stabilità aste inflesse (4.2.4.1.3.2) CC 17 SLU - Classe 1
 $L_{cr}=2.80$ Curva b: $\alpha_{imp}=0.34$ $k_c=0.94$ $\psi=1.75$ $M_{cr}=48365.20$ $\lambda_{LT}=0.68$
 $\lambda_{LT,0}=0.40$ $\beta_{LT}=0.75$ $\Phi_{LT}=0.72$ $\beta_{LT}=0.75$ $f=0.97$ $\chi_{LT}=0.91$
 $M_y,Ed=-18212.90$ $M_y,b,Rd=19315.10$ $M_y,Ed/M_y,b,Rd=0.94$

- Verifica di stabilità aste presso-inflesse (C4.2.4.1.3.3.2) - CC 19 SLU - Classe 1
Sollecitazioni: $N,Ed=-6780.46$ $M_y,Ed=-17477.90$ $L=2.80$
 $\alpha_m, \alpha_mz, \alpha_{LT}=0.95, 0.95, 0.95$
 $L_{cr}=2.80$ Curva b: $\alpha_{imp}=0.34$ $k_c=0.94$ $\psi=1.75$ $M_{cr}=48365.20$ $\lambda_{LT}=0.68$
 $\lambda_{LT,0}=0.40$ $\Phi_{LT}=0.72$ $\beta_{LT}=0.75$ $f=0.97$ $\chi_{LT}=0.91$
 $\lambda_y=22.47$ Ncr,y=2209120.00 $\lambda^*_y=0.29$ Curva a: $\Phi_y=0.55$ $\chi_y=0.98$
 $\lambda_z=83.59$ Ncr,z=159618.00 $\lambda^*_z=1.09$ Curva b: $\Phi_z=1.25$ $\chi_z=0.54$
Kyy, Kyz, Kzy, Kzz=0.95, 0.63, 0.00, 1.04
Verifica YY: 0.04+0.86=0.90
Verifica ZZ: 0.07=0.07

- Verifica freccia massima carichi totali - CC 22
 $f_{z,G}=0.40$ (L/695)

- Verifica freccia massima per soli carichi accidentali - CC 22
 $f_{z,G}=0.18$ (L/1521)

Asta n. 1009 (-73 1082) Sez. 6 IPE300 Crit. 2

- Verifica a flessione YY [4.2.13] - CC 1 SND $X_l=0.00$ - Classe 3
Sollecitazioni: $T_z=-3200.69$ $M_y=-9884.87$
 $M_y,Ed=-9884.87$ $M_y,c,Rd=18834.90$ $M_y,Ed/M_y,c,Rd=0.52$

- Verifica a taglio dir. Z [4.2.16] - CC 17 SLU $X_l=2.80$ - Classe 1
Sollecitazioni: $T_z=-7086.33$
 $V,Ed=-7086.33$ $V_c,Rd=50134.20$ $V,Ed/V_c,Rd=0.14$

- Verifica a presso o tenso-flessione retta YY (4.2.4.1.2.7) - CC 17 SLU $X_l=0.00$ - Classe 1
Sollecitazioni: $N=6780.46$ $T_z=-5922.88$ $M_y=-18212.90$
 $M_y,Ed=-18212.90$ $M_y,V,c,Rd=21326.00$
 $N,Ed=6780.46$ $N_c,Rd=181940.00$ YY n=N,Ed/Nc,Rd=0.04 MNy,c,Rd=21326.00 $M_y,Ed/MNy,c,Rd=0.85$

- Verifica di stabilità aste inflesse (4.2.4.1.3.2) CC 17 SLU - Classe 1
 $L_{cr}=2.80$ Curva b: $\alpha_{imp}=0.34$ $k_c=0.94$ $\psi=1.75$ $M_{cr}=48365.20$ $\lambda_{LT}=0.68$
 $\lambda_{LT,0}=0.40$ $\beta_{LT}=0.75$ $\Phi_{LT}=0.72$ $\beta_{LT}=0.75$ $f=0.97$ $\chi_{LT}=0.91$
 $M_y,Ed=-18212.90$ $M_y,b,Rd=19315.10$ $M_y,Ed/M_y,b,Rd=0.94$

- Verifica di stabilità aste presso-inflesse (C4.2.4.1.3.3.2) - CC 19 SLU - Classe 1
Sollecitazioni: $N,Ed=-6780.46$ $M_y,Ed=-17477.90$ $L=2.80$
 $\alpha_m, \alpha_mz, \alpha_{LT}=0.95, 0.95, 0.95$
 $L_{cr}=2.80$ Curva b: $\alpha_{imp}=0.34$ $k_c=0.94$ $\psi=1.75$ $M_{cr}=48365.20$ $\lambda_{LT}=0.68$
 $\lambda_{LT,0}=0.40$ $\Phi_{LT}=0.72$ $\beta_{LT}=0.75$ $f=0.97$ $\chi_{LT}=0.91$
 $\lambda_y=22.47$ Ncr,y=2209120.00 $\lambda^*_y=0.29$ Curva a: $\Phi_y=0.55$ $\chi_y=0.98$
 $\lambda_z=83.59$ Ncr,z=159618.00 $\lambda^*_z=1.09$ Curva b: $\Phi_z=1.25$ $\chi_z=0.54$
Kyy, Kyz, Kzy, Kzz=0.95, 0.63, 0.00, 1.04
Verifica YY: 0.04+0.86=0.90
Verifica ZZ: 0.07=0.07

Relazione di calcolo

- Verifica freccia massima carichi totali - CC 22
 $f_{z,L}=0.40$ (L/695)

- Verifica freccia massima per soli carichi accidentali - CC 22
 $f_{z,L}=0.18$ (L/1521)

Asta n. 1009 (1082 -74) Sez. 6 IPE300 Crit. 2

- Verifica a flessione YY [4.2.13] - CC 1 SND $X_1=2.35$ - Classe 3
Sollecitazioni: $T_z=2700.78$ $M_y=-6996.96$
 $M_y,Ed=-6996.96$ $M_y,c,Rd=18834.90$ $M_y,Ed/M_y,c,Rd=0.37$

- Verifica a taglio dir. Z [4.2.16] - CC 17 SLU $X_1=0.00$ - Classe 1
Sollecitazioni: $T_z=5966.29$
 $V,Ed=5966.29$ $V_c,Rd=50134.20$ $V,Ed/V_c,Rd=0.12$

- Verifica a presso o tenso-flessione retta YY (4.2.4.1.2.7) - CC 17 SLU $X_1=2.35$ - Classe 1
Sollecitazioni: $N=6780.46$ $T_z=4989.83$ $M_y=-12873.40$
 $M_y,Ed=-12873.40$ $M_y,V,c,Rd=21326.00$
 $N,Ed=6780.46$ $N_c,Rd=181940.00$ YY $n=N,Ed/N_c,Rd=0.04$ $MNy,c,Rd=21326.00$ $M_y,Ed/MNy,c,Rd=0.60$

- Verifica di stabilità aste inflesse (4.2.4.1.3.2) CC 17 SLU - Classe 1
 $L_{cr}=2.35$ Curva b: $\alpha_{imp}=0.34$ $k_c=0.94$ $\psi=1.75$ $M_{cr}=65500.90$ $\lambda_{LT}=0.58$
 $\lambda_{LT,0}=0.40$ $\beta_{LT}=0.75$ $\Phi_{LT}=0.66$ $\beta_{LT}=0.75$ $f=0.97$ $\chi_{LT}=0.95$
 $M_y,Ed=-12873.40$ $M_y,b,Rd=20255.80$ $M_y,Ed/M_y,b,Rd=0.64$

- Verifica di stabilità aste presso-inflesse (C4.2.4.1.3.3.2) - CC 19 SLU - Classe 1
Sollecitazioni: $N,Ed=-6780.46$ $M_y,Ed=-12355.70$ $L=2.35$
 $\alpha_{my}, \alpha_{mz}, \alpha_{LT}=0.95, 0.95, 0.95$
 $L_{cr}=2.35$ Curva b: $\alpha_{imp}=0.34$ $k_c=0.94$ $\psi=1.75$ $M_{cr}=65500.90$ $\lambda_{LT}=0.58$
 $\lambda_{LT,0}=0.40$ $\Phi_{LT}=0.66$ $\beta_{LT}=0.75$ $f=0.97$ $\chi_{LT}=0.95$
 $\lambda_y=18.86$ $N_{cr,y}=3136160.00$ $\lambda^*_y=0.25$ Curva a: $\Phi_y=0.54$ $\chi_y=0.99$
 $\lambda_z=70.16$ $N_{cr,z}=226601.00$ $\lambda^*_z=0.92$ Curva b: $\Phi_z=1.04$ $\chi_z=0.65$
 $K_{yy}, K_{yz}, K_{zy}, K_{zz}=0.95, 0.61, 0.00, 1.02$
Verifica YY: $0.04+0.58=0.62$
Verifica ZZ: $0.04=0.04$

- Verifica freccia massima carichi totali - CC 22
 $f_{z,L}=0.21$ (L/1144)

- Verifica freccia massima per soli carichi accidentali - CC 22
 $f_{z,G}=0.09$ (L/2513)

Asta n. 1009 (-74 1083) Sez. 6 IPE300 Crit. 2

- Verifica a flessione YY [4.2.13] - CC 1 SND $X_1=0.00$ - Classe 3
Sollecitazioni: $T_z=-2700.79$ $M_y=-6996.96$
 $M_y,Ed=-6996.96$ $M_y,c,Rd=18834.90$ $M_y,Ed/M_y,c,Rd=0.37$

- Verifica a taglio dir. Z [4.2.16] - CC 17 SLU $X_1=2.35$ - Classe 1
Sollecitazioni: $T_z=-5966.29$
 $V,Ed=-5966.29$ $V_c,Rd=50134.20$ $V,Ed/V_c,Rd=0.12$

- Verifica a presso o tenso-flessione retta YY (4.2.4.1.2.7) - CC 17 SLU $X_1=0.00$ - Classe 1
Sollecitazioni: $N=6780.46$ $T_z=-4989.83$ $M_y=-12873.40$
 $M_y,Ed=-12873.40$ $M_y,V,c,Rd=21326.00$
 $N,Ed=6780.46$ $N_c,Rd=181940.00$ YY $n=N,Ed/N_c,Rd=0.04$ $MNy,c,Rd=21326.00$ $M_y,Ed/MNy,c,Rd=0.60$

- Verifica di stabilità aste inflesse (4.2.4.1.3.2) CC 17 SLU - Classe 1
 $L_{cr}=2.35$ Curva b: $\alpha_{imp}=0.34$ $k_c=0.94$ $\psi=1.75$ $M_{cr}=65500.90$ $\lambda_{LT}=0.58$
 $\lambda_{LT,0}=0.40$ $\beta_{LT}=0.75$ $\Phi_{LT}=0.66$ $\beta_{LT}=0.75$ $f=0.97$ $\chi_{LT}=0.95$
 $M_y,Ed=-12873.40$ $M_y,b,Rd=20255.80$ $M_y,Ed/M_y,b,Rd=0.64$

- Verifica di stabilità aste presso-inflesse (C4.2.4.1.3.3.2) - CC 19 SLU - Classe 1
Sollecitazioni: $N,Ed=-6780.46$ $M_y,Ed=-12355.70$ $L=2.35$
 $\alpha_{my}, \alpha_{mz}, \alpha_{LT}=0.95, 0.95, 0.95$
 $L_{cr}=2.35$ Curva b: $\alpha_{imp}=0.34$ $k_c=0.94$ $\psi=1.75$ $M_{cr}=65500.90$ $\lambda_{LT}=0.58$
 $\lambda_{LT,0}=0.40$ $\Phi_{LT}=0.66$ $\beta_{LT}=0.75$ $f=0.97$ $\chi_{LT}=0.95$
 $\lambda_y=18.86$ $N_{cr,y}=3136160.00$ $\lambda^*_y=0.25$ Curva a: $\Phi_y=0.54$ $\chi_y=0.99$
 $\lambda_z=70.16$ $N_{cr,z}=226601.00$ $\lambda^*_z=0.92$ Curva b: $\Phi_z=1.04$ $\chi_z=0.65$
 $K_{yy}, K_{yz}, K_{zy}, K_{zz}=0.95, 0.61, 0.00, 1.02$
Verifica YY: $0.04+0.58=0.62$
Verifica ZZ: $0.04=0.04$

- Verifica freccia massima carichi totali - CC 22
 $f_{z,L}=0.21$ (L/1144)

- Verifica freccia massima per soli carichi accidentali - CC 22

Relazione di calcolo

$f_{z,L}=0.09$ (L/2516)

Asta n. 1009 (1083 -75) Sez. 6 IPE300 Crit. 2

- Verifica a flessione YY [4.2.13] - CC 1 SND $X_l=2.35$ - Classe 3
Sollecitazioni: $T_z=2700.78$ $M_y=-6996.96$
 $M_y,Ed=-6996.96$ $M_y,c,Rd=18834.90$ $M_y,Ed/M_y,c,Rd=0.37$

- Verifica a taglio dir. Z [4.2.16] - CC 17 SLU $X_l=0.00$ - Classe 1
Sollecitazioni: $T_z=5966.29$
 $V,Ed=5966.29$ $V_c,Rd=50134.20$ $V,Ed/V_c,Rd=0.12$

- Verifica a presso o tenso-flessione retta YY (4.2.4.1.2.7) - CC 17 SLU $X_l=2.35$ - Classe 1
Sollecitazioni: $N=6780.46$ $T_z=4989.83$ $M_y=-12873.40$
 $M_y,Ed=-12873.40$ $M_y,V,c,Rd=21326.00$
 $N,Ed=6780.46$ $N_c,Rd=181940.00$ $YY\ n=N,Ed/N_c,Rd=0.04$ $MN_y,c,Rd=21326.00$ $M_y,Ed/MN_y,c,Rd=0.60$

- Verifica di stabilità aste inflesse (4.2.4.1.3.2) CC 17 SLU - Classe 1
 $L_{cr}=2.35$ Curva b: $\alpha_{imp}=0.34$ $k_c=0.94$ $\psi=1.75$ $M_{cr}=65501.00$ $\lambda_{LT}=0.58$
 $\lambda_{LT,0}=0.40$ $\beta_{LT}=0.75$ $\Phi_{LT}=0.66$ $\beta_{LT}=0.75$ $f=0.97$ $\chi_{LT}=0.95$
 $M_y,Ed=-12873.40$ $M_y,b,Rd=20255.80$ $M_y,Ed/M_y,b,Rd=0.64$

- Verifica di stabilità aste presso-inflesse (C4.2.4.1.3.3.2) - CC 19 SLU - Classe 1
Sollecitazioni: $N,Ed=-6780.46$ $M_y,Ed=-12355.70$ $L=2.35$
 $\alpha_{my}, \alpha_{mz}, \alpha_{LT}=0.95, 0.95, 0.95$
 $L_{cr}=2.35$ Curva b: $\alpha_{imp}=0.34$ $k_c=0.94$ $\psi=1.75$ $M_{cr}=65501.00$ $\lambda_{LT}=0.58$
 $\lambda_{LT,0}=0.40$ $\Phi_{LT}=0.66$ $\beta_{LT}=0.75$ $f=0.97$ $\chi_{LT}=0.95$
 $\lambda_y=18.86$ $N_{cr,y}=3136170.00$ $\lambda^*_y=0.25$ Curva a: $\Phi_y=0.54$ $\chi_y=0.99$
 $\lambda_z=70.16$ $N_{cr,z}=226601.00$ $\lambda^*_z=0.92$ Curva b: $\Phi_z=1.04$ $\chi_z=0.65$
 $K_{yy}, K_{yz}, K_{zy}, K_{zz}=0.95, 0.61, 0.00, 1.02$
Verifica YY: $0.04+0.58=0.62$
Verifica ZZ: $0.04=0.04$

- Verifica freccia massima carichi totali - CC 22
 $f_{z,L}=0.21$ (L/1144)

- Verifica freccia massima per soli carichi accidentali - CC 22
 $f_{z,L}=0.09$ (L/2509)

Asta n. 1009 (-75 1084) Sez. 6 IPE300 Crit. 2

- Verifica a flessione YY [4.2.13] - CC 1 SND $X_l=0.00$ - Classe 3
Sollecitazioni: $T_z=-2700.79$ $M_y=-6996.96$
 $M_y,Ed=-6996.96$ $M_y,c,Rd=18834.90$ $M_y,Ed/M_y,c,Rd=0.37$

- Verifica a taglio dir. Z [4.2.16] - CC 17 SLU $X_l=2.35$ - Classe 1
Sollecitazioni: $T_z=-5966.29$
 $V,Ed=-5966.29$ $V_c,Rd=50134.20$ $V,Ed/V_c,Rd=0.12$

- Verifica a presso o tenso-flessione retta YY (4.2.4.1.2.7) - CC 17 SLU $X_l=0.00$ - Classe 1
Sollecitazioni: $N=6780.46$ $T_z=-4989.83$ $M_y=-12873.40$
 $M_y,Ed=-12873.40$ $M_y,V,c,Rd=21326.00$
 $N,Ed=6780.46$ $N_c,Rd=181940.00$ $YY\ n=N,Ed/N_c,Rd=0.04$ $MN_y,c,Rd=21326.00$ $M_y,Ed/MN_y,c,Rd=0.60$

- Verifica di stabilità aste inflesse (4.2.4.1.3.2) CC 17 SLU - Classe 1
 $L_{cr}=2.35$ Curva b: $\alpha_{imp}=0.34$ $k_c=0.94$ $\psi=1.75$ $M_{cr}=65500.90$ $\lambda_{LT}=0.58$
 $\lambda_{LT,0}=0.40$ $\beta_{LT}=0.75$ $\Phi_{LT}=0.66$ $\beta_{LT}=0.75$ $f=0.97$ $\chi_{LT}=0.95$
 $M_y,Ed=-12873.40$ $M_y,b,Rd=20255.80$ $M_y,Ed/M_y,b,Rd=0.64$

- Verifica di stabilità aste presso-inflesse (C4.2.4.1.3.3.2) - CC 19 SLU - Classe 1
Sollecitazioni: $N,Ed=-6780.46$ $M_y,Ed=-12355.70$ $L=2.35$
 $\alpha_{my}, \alpha_{mz}, \alpha_{LT}=0.95, 0.95, 0.95$
 $L_{cr}=2.35$ Curva b: $\alpha_{imp}=0.34$ $k_c=0.94$ $\psi=1.75$ $M_{cr}=65500.90$ $\lambda_{LT}=0.58$
 $\lambda_{LT,0}=0.40$ $\Phi_{LT}=0.66$ $\beta_{LT}=0.75$ $f=0.97$ $\chi_{LT}=0.95$
 $\lambda_y=18.86$ $N_{cr,y}=3136160.00$ $\lambda^*_y=0.25$ Curva a: $\Phi_y=0.54$ $\chi_y=0.99$
 $\lambda_z=70.16$ $N_{cr,z}=226600.00$ $\lambda^*_z=0.92$ Curva b: $\Phi_z=1.04$ $\chi_z=0.65$
 $K_{yy}, K_{yz}, K_{zy}, K_{zz}=0.95, 0.61, 0.00, 1.02$
Verifica YY: $0.04+0.58=0.62$
Verifica ZZ: $0.04=0.04$

- Verifica freccia massima carichi totali - CC 22
 $f_{z,L}=0.21$ (L/1144)

- Verifica freccia massima per soli carichi accidentali - CC 22
 $f_{z,L}=0.09$ (L/2518)

Asta n. 1010 (1086 87) Sez. 5 UPN100 Crit. 3

- Verifica freccia massima carichi totali - CC 22

Relazione di calcolo

$f_{z,g}=0.03$ (L/18177)

- Verifica freccia massima per soli carichi accidentali - CC 22
 $f_{z,g}=0.01$ (L/40629)

Asta n. 1011 (1095 -85) Sez. 6 IPE300 Crit. 2

- Verifica a flessione YY [4.2.13] - CC 1 SND $X_l=2.80$ - Classe 3
Sollecitazioni: $T_z=3200.69$ $M_y=-9884.87$
 $M_y,Ed=-9884.87$ $M_y,c,Rd=18834.90$ $M_y,Ed/M_y,c,Rd=0.52$

- Verifica a taglio dir. Z [4.2.16] - CC 17 SLU $X_l=0.00$ - Classe 1
Sollecitazioni: $T_z=7086.33$
 $V,Ed=7086.33$ $V_c,Rd=50134.20$ $V,Ed/V_c,Rd=0.14$

- Verifica a presso o tenso-flessione retta YY (4.2.4.1.2.7) - CC 17 SLU $X_l=2.80$ - Classe 1
Sollecitazioni: $N=6780.46$ $T_z=5922.88$ $M_y=-18212.90$
 $M_y,Ed=-18212.90$ $M_y,V,c,Rd=21326.00$
 $N,Ed=6780.46$ $N_c,Rd=181940.00$ $YY\ n=N,Ed/N_c,Rd=0.04$ $MNy,c,Rd=21326.00$ $M_y,Ed/MNy,c,Rd=0.85$

- Verifica di stabilità aste inflesse (4.2.4.1.3.2) CC 17 SLU - Classe 1
 $L_{cr}=2.80$ Curva b: $\alpha_{imp}=0.34$ $k_c=0.94$ $\psi=1.75$ $M_{cr}=48365.20$ $\lambda_{LT}=0.68$
 $\lambda_{LT,0}=0.40$ $\beta_{LT}=0.75$ $\Phi_{LT}=0.72$ $\beta_{LT}=0.75$ $f=0.97$ $\chi_{LT}=0.91$
 $M_y,Ed=-18212.90$ $M_y,b,Rd=19315.10$ $M_y,Ed/M_y,b,Rd=0.94$

- Verifica di stabilità aste presso-inflesse (C4.2.4.1.3.3.2) - CC 19 SLU - Classe 1
Sollecitazioni: $N,Ed=-6780.46$ $M_y,Ed=-17477.90$ $L=2.80$
 $\alpha_{my}, \alpha_{mz}, \alpha_{LT}=0.95, 0.95, 0.95$
 $L_{cr}=2.80$ Curva b: $\alpha_{imp}=0.34$ $k_c=0.94$ $\psi=1.75$ $M_{cr}=48365.20$ $\lambda_{LT}=0.68$
 $\lambda_{LT,0}=0.40$ $\Phi_{LT}=0.72$ $\beta_{LT}=0.75$ $f=0.97$ $\chi_{LT}=0.91$
 $\lambda_y=22.47$ $N_{cr,y}=2209120.00$ $\lambda^*_y=0.29$ Curva a: $\Phi_y=0.55$ $\chi_y=0.98$
 $\lambda_z=83.59$ $N_{cr,z}=159618.00$ $\lambda^*_z=1.09$ Curva b: $\Phi_z=1.25$ $\chi_z=0.54$
 $K_{yy}, K_{yz}, K_{zy}, K_{zz}=0.95, 0.63, 0.00, 1.04$
Verifica YY: $0.04+0.86=0.90$
Verifica ZZ: $0.07=0.07$

- Verifica freccia massima carichi totali - CC 22
 $f_{z,g}=0.40$ (L/695)

- Verifica freccia massima per soli carichi accidentali - CC 22
 $f_{z,L}=0.18$ (L/1520)

Asta n. 1011 (-85 1096) Sez. 6 IPE300 Crit. 2

- Verifica a flessione YY [4.2.13] - CC 1 SND $X_l=0.00$ - Classe 3
Sollecitazioni: $T_z=-3200.69$ $M_y=-9884.87$
 $M_y,Ed=-9884.87$ $M_y,c,Rd=18834.90$ $M_y,Ed/M_y,c,Rd=0.52$

- Verifica a taglio dir. Z [4.2.16] - CC 17 SLU $X_l=2.80$ - Classe 1
Sollecitazioni: $T_z=-7086.33$
 $V,Ed=-7086.33$ $V_c,Rd=50134.20$ $V,Ed/V_c,Rd=0.14$

- Verifica a presso o tenso-flessione retta YY (4.2.4.1.2.7) - CC 17 SLU $X_l=0.00$ - Classe 1
Sollecitazioni: $N=6780.46$ $T_z=-5922.88$ $M_y=-18212.90$
 $M_y,Ed=-18212.90$ $M_y,V,c,Rd=21326.00$
 $N,Ed=6780.46$ $N_c,Rd=181940.00$ $YY\ n=N,Ed/N_c,Rd=0.04$ $MNy,c,Rd=21326.00$ $M_y,Ed/MNy,c,Rd=0.85$

- Verifica di stabilità aste inflesse (4.2.4.1.3.2) CC 17 SLU - Classe 1
 $L_{cr}=2.80$ Curva b: $\alpha_{imp}=0.34$ $k_c=0.94$ $\psi=1.75$ $M_{cr}=48365.20$ $\lambda_{LT}=0.68$
 $\lambda_{LT,0}=0.40$ $\beta_{LT}=0.75$ $\Phi_{LT}=0.72$ $\beta_{LT}=0.75$ $f=0.97$ $\chi_{LT}=0.91$
 $M_y,Ed=-18212.90$ $M_y,b,Rd=19315.10$ $M_y,Ed/M_y,b,Rd=0.94$

- Verifica di stabilità aste presso-inflesse (C4.2.4.1.3.3.2) - CC 19 SLU - Classe 1
Sollecitazioni: $N,Ed=-6780.46$ $M_y,Ed=-17477.90$ $L=2.80$
 $\alpha_{my}, \alpha_{mz}, \alpha_{LT}=0.95, 0.95, 0.95$
 $L_{cr}=2.80$ Curva b: $\alpha_{imp}=0.34$ $k_c=0.94$ $\psi=1.75$ $M_{cr}=48365.20$ $\lambda_{LT}=0.68$
 $\lambda_{LT,0}=0.40$ $\Phi_{LT}=0.72$ $\beta_{LT}=0.75$ $f=0.97$ $\chi_{LT}=0.91$
 $\lambda_y=22.47$ $N_{cr,y}=2209120.00$ $\lambda^*_y=0.29$ Curva a: $\Phi_y=0.55$ $\chi_y=0.98$
 $\lambda_z=83.59$ $N_{cr,z}=159618.00$ $\lambda^*_z=1.09$ Curva b: $\Phi_z=1.25$ $\chi_z=0.54$
 $K_{yy}, K_{yz}, K_{zy}, K_{zz}=0.95, 0.63, 0.00, 1.04$
Verifica YY: $0.04+0.86=0.90$
Verifica ZZ: $0.07=0.07$

- Verifica freccia massima carichi totali - CC 22
 $f_{z,L}=0.40$ (L/694)

- Verifica freccia massima per soli carichi accidentali - CC 22
 $f_{z,L}=0.18$ (L/1522)

Relazione di calcolo

Asta n. 1011 (1096 -86) Sez. 6 IPE300 Crit. 2

-
- Verifica a flessione YY [4.2.13] - CC 1 SND $X_l=2.35$ - Classe 3
Sollecitazioni: $T_z=2700.78$ $M_y=-6996.96$
 $M_y,Ed=-6996.96$ $M_y,c,Rd=18834.90$ $M_y,Ed/M_y,c,Rd=0.37$
 - Verifica a taglio dir. Z [4.2.16] - CC 17 SLU $X_l=0.00$ - Classe 1
Sollecitazioni: $T_z=5966.29$
 $V,Ed=5966.29$ $V_c,Rd=50134.20$ $V,Ed/V_c,Rd=0.12$
 - Verifica a presso o tenso-flessione retta YY (4.2.4.1.2.7) - CC 17 SLU $X_l=2.35$ - Classe 1
Sollecitazioni: $N=6780.46$ $T_z=4989.83$ $M_y=-12873.40$
 $M_y,Ed=-12873.40$ $M_y,V,c,Rd=21326.00$
 $N,Ed=6780.46$ $N_c,Rd=181940.00$ $YY\ n=N,Ed/N_c,Rd=0.04$ $MN_y,c,Rd=21326.00$ $M_y,Ed/MN_y,c,Rd=0.60$
 - Verifica di stabilità aste inflesse (4.2.4.1.3.2) CC 17 SLU - Classe 1
 $L_{cr}=2.35$ Curva b: $\alpha_{imp}=0.34$ $k_c=0.94$ $\psi=1.75$ $M_{cr}=65500.90$ $\lambda_{LT}=0.58$
 $\lambda_{LT,0}=0.40$ $\beta_{LT}=0.75$ $\Phi_{LT}=0.66$ $\beta_{LT}=0.75$ $f=0.97$ $\chi_{LT}=0.95$
 $M_y,Ed=-12873.40$ $M_y,b,Rd=20255.80$ $M_y,Ed/M_y,b,Rd=0.64$
 - Verifica di stabilità aste presso-inflesse (C4.2.4.1.3.3.2) - CC 19 SLU - Classe 1
Sollecitazioni: $N,Ed=-6780.46$ $M_y,Ed=-12355.70$ $L=2.35$
 $\alpha_{my}, \alpha_{mz}, \alpha_{LT}=0.95, 0.95, 0.95$
 $L_{cr}=2.35$ Curva b: $\alpha_{imp}=0.34$ $k_c=0.94$ $\psi=1.75$ $M_{cr}=65500.90$ $\lambda_{LT}=0.58$
 $\lambda_{LT,0}=0.40$ $\Phi_{LT}=0.66$ $\beta_{LT}=0.75$ $f=0.97$ $\chi_{LT}=0.95$
 $\lambda_y=18.86$ $N_{cr,y}=3136160.00$ $\lambda^*_y=0.25$ Curva a: $\Phi_y=0.54$ $\chi_y=0.99$
 $\lambda_z=70.16$ $N_{cr,z}=226601.00$ $\lambda^*_z=0.92$ Curva b: $\Phi_z=1.04$ $\chi_z=0.65$
 $K_{yy}, K_{yz}, K_{zy}, K_{zz}=0.95, 0.61, 0.00, 1.02$
Verifica YY: $0.04+0.58=0.62$
Verifica ZZ: $0.04=0.04$
 - Verifica freccia massima carichi totali - CC 22
 $f_{z,L}=0.21$ (L/1145)
 - Verifica freccia massima per soli carichi accidentali - CC 22
 $f_{z,L}=0.09$ (L/2515)

Asta n. 1011 (-86 1097) Sez. 6 IPE300 Crit. 2

-
- Verifica a flessione YY [4.2.13] - CC 1 SND $X_l=0.00$ - Classe 3
Sollecitazioni: $T_z=-2700.79$ $M_y=-6996.96$
 $M_y,Ed=-6996.96$ $M_y,c,Rd=18834.90$ $M_y,Ed/M_y,c,Rd=0.37$
 - Verifica a taglio dir. Z [4.2.16] - CC 17 SLU $X_l=2.35$ - Classe 1
Sollecitazioni: $T_z=-5966.29$
 $V,Ed=-5966.29$ $V_c,Rd=50134.20$ $V,Ed/V_c,Rd=0.12$
 - Verifica a presso o tenso-flessione retta YY (4.2.4.1.2.7) - CC 17 SLU $X_l=0.00$ - Classe 1
Sollecitazioni: $N=6780.46$ $T_z=-4989.83$ $M_y=-12873.40$
 $M_y,Ed=-12873.40$ $M_y,V,c,Rd=21326.00$
 $N,Ed=6780.46$ $N_c,Rd=181940.00$ $YY\ n=N,Ed/N_c,Rd=0.04$ $MN_y,c,Rd=21326.00$ $M_y,Ed/MN_y,c,Rd=0.60$
 - Verifica di stabilità aste inflesse (4.2.4.1.3.2) CC 17 SLU - Classe 1
 $L_{cr}=2.35$ Curva b: $\alpha_{imp}=0.34$ $k_c=0.94$ $\psi=1.75$ $M_{cr}=65500.90$ $\lambda_{LT}=0.58$
 $\lambda_{LT,0}=0.40$ $\beta_{LT}=0.75$ $\Phi_{LT}=0.66$ $\beta_{LT}=0.75$ $f=0.97$ $\chi_{LT}=0.95$
 $M_y,Ed=-12873.40$ $M_y,b,Rd=20255.80$ $M_y,Ed/M_y,b,Rd=0.64$
 - Verifica di stabilità aste presso-inflesse (C4.2.4.1.3.3.2) - CC 19 SLU - Classe 1
Sollecitazioni: $N,Ed=-6780.46$ $M_y,Ed=-12355.70$ $L=2.35$
 $\alpha_{my}, \alpha_{mz}, \alpha_{LT}=0.95, 0.95, 0.95$
 $L_{cr}=2.35$ Curva b: $\alpha_{imp}=0.34$ $k_c=0.94$ $\psi=1.75$ $M_{cr}=65500.90$ $\lambda_{LT}=0.58$
 $\lambda_{LT,0}=0.40$ $\Phi_{LT}=0.66$ $\beta_{LT}=0.75$ $f=0.97$ $\chi_{LT}=0.95$
 $\lambda_y=18.86$ $N_{cr,y}=3136160.00$ $\lambda^*_y=0.25$ Curva a: $\Phi_y=0.54$ $\chi_y=0.99$
 $\lambda_z=70.16$ $N_{cr,z}=226601.00$ $\lambda^*_z=0.92$ Curva b: $\Phi_z=1.04$ $\chi_z=0.65$
 $K_{yy}, K_{yz}, K_{zy}, K_{zz}=0.95, 0.61, 0.00, 1.02$
Verifica YY: $0.04+0.58=0.62$
Verifica ZZ: $0.04=0.04$
 - Verifica freccia massima carichi totali - CC 22
 $f_{z,L}=0.21$ (L/1143)
 - Verifica freccia massima per soli carichi accidentali - CC 22
 $f_{z,L}=0.09$ (L/2513)

Asta n. 1011 (1097 -87) Sez. 6 IPE300 Crit. 2

-
- Verifica a flessione YY [4.2.13] - CC 1 SND $X_l=2.35$ - Classe 3
Sollecitazioni: $T_z=2700.78$ $M_y=-6996.96$
 $M_y,Ed=-6996.96$ $M_y,c,Rd=18834.90$ $M_y,Ed/M_y,c,Rd=0.37$

Relazione di calcolo

- Verifica a taglio dir. Z [4.2.16] - CC 17 SLU $X_l=0.00$ - Classe 1
Sollecitazioni: $T_z=5966.29$
 $V, Ed=5966.29$ $V_c, Rd=50134.20$ $V, Ed/V_c, Rd=0.12$
- Verifica a presso o tenso-flessione retta YY (4.2.4.1.2.7) - CC 17 SLU $X_l=2.35$ - Classe 1
Sollecitazioni: $N=6780.46$ $T_z=4989.83$ $M_y=-12873.40$
 $M_y, Ed=-12873.40$ $M_y, V, c, Rd=21326.00$
 $N, Ed=6780.46$ $N_c, Rd=181940.00$ YY $n=N, Ed/N_c, Rd=0.04$ $MN_y, c, Rd=21326.00$ $M_y, Ed/MN_y, c, Rd=0.60$
- Verifica di stabilità aste inflesse (4.2.4.1.3.2) CC 17 SLU - Classe 1
 $L_{cr}=2.35$ Curva b: $\alpha_{imp}=0.34$ $k_c=0.94$ $\psi=1.75$ $M, cr=65500.90$ $\lambda_{LT}=0.58$
 $\lambda_{LT,0}=0.40$ $\beta_{LT}=0.75$ $\Phi_{LT}=0.66$ $\beta_{LT}=0.75$ $f=0.97$ $\chi_{LT}=0.95$
 $M_y, Ed=-12873.40$ $M_y, b, Rd=20255.80$ $M_y, Ed/M_y, b, Rd=0.64$
- Verifica di stabilità aste presso-inflesse (C4.2.4.1.3.3.2) - CC 19 SLU - Classe 1
Sollecitazioni: $N, Ed=-6780.46$ $M_y, Ed=-12355.70$ $L=2.35$
 $\alpha_m, \alpha_mz, \alpha_{LT}=0.95, 0.95, 0.95$
 $L_{cr}=2.35$ Curva b: $\alpha_{imp}=0.34$ $k_c=0.94$ $\psi=1.75$ $M, cr=65500.90$ $\lambda_{LT}=0.58$
 $\lambda_{LT,0}=0.40$ $\Phi_{LT}=0.66$ $\beta_{LT}=0.75$ $f=0.97$ $\chi_{LT}=0.95$
 $\lambda_y=18.86$ $N_{cr,y}=3136160.00$ $\lambda^*_y=0.25$ Curva a: $\Phi_y=0.54$ $\chi_y=0.99$
 $\lambda_z=70.16$ $N_{cr,z}=226601.00$ $\lambda^*_z=0.92$ Curva b: $\Phi_z=1.04$ $\chi_z=0.65$
 $K_{yy}, K_{yz}, K_{zy}, K_{zz}=0.95, 0.61, 0.00, 1.02$
Verifica YY: $0.04+0.58=0.62$
Verifica ZZ: $0.04=0.04$
- Verifica freccia massima carichi totali - CC 22
 $f_{z,L}=0.21$ (L/1143)
- Verifica freccia massima per soli carichi accidentali - CC 22
 $f_{z,L}=0.09$ (L/2513)

Asta n. 1011 (-87 1098) Sez. 6 IPE300 Crit. 2

- Verifica a flessione YY [4.2.13] - CC 1 SND $X_l=0.00$ - Classe 3
Sollecitazioni: $T_z=-2700.79$ $M_y=-6996.96$
 $M_y, Ed=-6996.96$ $M_y, c, Rd=18834.90$ $M_y, Ed/M_y, c, Rd=0.37$
- Verifica a taglio dir. Z [4.2.16] - CC 17 SLU $X_l=2.35$ - Classe 1
Sollecitazioni: $T_z=-5966.29$
 $V, Ed=-5966.29$ $V_c, Rd=50134.20$ $V, Ed/V_c, Rd=0.12$
- Verifica a presso o tenso-flessione retta YY (4.2.4.1.2.7) - CC 17 SLU $X_l=0.00$ - Classe 1
Sollecitazioni: $N=6780.46$ $T_z=-4989.83$ $M_y=-12873.40$
 $M_y, Ed=-12873.40$ $M_y, V, c, Rd=21326.00$
 $N, Ed=6780.46$ $N_c, Rd=181940.00$ YY $n=N, Ed/N_c, Rd=0.04$ $MN_y, c, Rd=21326.00$ $M_y, Ed/MN_y, c, Rd=0.60$
- Verifica di stabilità aste inflesse (4.2.4.1.3.2) CC 17 SLU - Classe 1
 $L_{cr}=2.35$ Curva b: $\alpha_{imp}=0.34$ $k_c=0.94$ $\psi=1.75$ $M, cr=65500.90$ $\lambda_{LT}=0.58$
 $\lambda_{LT,0}=0.40$ $\beta_{LT}=0.75$ $\Phi_{LT}=0.66$ $\beta_{LT}=0.75$ $f=0.97$ $\chi_{LT}=0.95$
 $M_y, Ed=-12873.40$ $M_y, b, Rd=20255.80$ $M_y, Ed/M_y, b, Rd=0.64$
- Verifica di stabilità aste presso-inflesse (C4.2.4.1.3.3.2) - CC 19 SLU - Classe 1
Sollecitazioni: $N, Ed=-6780.46$ $M_y, Ed=-12355.70$ $L=2.35$
 $\alpha_m, \alpha_mz, \alpha_{LT}=0.95, 0.95, 0.95$
 $L_{cr}=2.35$ Curva b: $\alpha_{imp}=0.34$ $k_c=0.94$ $\psi=1.75$ $M, cr=65500.90$ $\lambda_{LT}=0.58$
 $\lambda_{LT,0}=0.40$ $\Phi_{LT}=0.66$ $\beta_{LT}=0.75$ $f=0.97$ $\chi_{LT}=0.95$
 $\lambda_y=18.86$ $N_{cr,y}=3136160.00$ $\lambda^*_y=0.25$ Curva a: $\Phi_y=0.54$ $\chi_y=0.99$
 $\lambda_z=70.16$ $N_{cr,z}=226601.00$ $\lambda^*_z=0.92$ Curva b: $\Phi_z=1.04$ $\chi_z=0.65$
 $K_{yy}, K_{yz}, K_{zy}, K_{zz}=0.95, 0.61, 0.00, 1.02$
Verifica YY: $0.04+0.58=0.62$
Verifica ZZ: $0.04=0.04$
- Verifica freccia massima carichi totali - CC 22
 $f_{z,L}=0.21$ (L/1145)
- Verifica freccia massima per soli carichi accidentali - CC 22
 $f_{z,L}=0.09$ (L/2515)

Asta n. 1011 (1098 -88) Sez. 6 IPE300 Crit. 2

- Verifica a flessione YY [4.2.13] - CC 1 SND $X_l=2.80$ - Classe 3
Sollecitazioni: $T_z=3200.69$ $M_y=-9884.87$
 $M_y, Ed=-9884.87$ $M_y, c, Rd=18834.90$ $M_y, Ed/M_y, c, Rd=0.52$
- Verifica a taglio dir. Z [4.2.16] - CC 17 SLU $X_l=0.00$ - Classe 1
Sollecitazioni: $T_z=7086.33$
 $V, Ed=7086.33$ $V_c, Rd=50134.20$ $V, Ed/V_c, Rd=0.14$

Relazione di calcolo

- Verifica a presso o tenso-flessione retta YY (4.2.4.1.2.7) - CC 17 SLU $X_l=2.80$ - Classe 1
Sollecitazioni: $N=6780.46$ $T_z=5922.88$ $M_y=-18212.90$
 $M_y,Ed=-18212.90$ $M_y,V,c,Rd=21326.00$
 $N,Ed=6780.46$ $N_c,Rd=181940.00$ $YY\ n=N,Ed/N_c,Rd=0.04$ $MNy,c,Rd=21326.00$ $My,Ed/MNy,c,Rd=0.85$
- Verifica di stabilità aste inflesse (4.2.4.1.3.2) CC 17 SLU - Classe 1
 $L_{cr}=2.80$ Curva b: $\alpha_{imp}=0.34$ $k_c=0.94$ $\psi=1.75$ $M_{cr}=48365.20$ $\lambda_{LT}=0.68$
 $\lambda_{LT,0}=0.40$ $\beta_{LT}=0.75$ $\Phi_{LT}=0.72$ $\beta_{LT}=0.75$ $f=0.97$ $\chi_{LT}=0.91$
 $M_y,Ed=-18212.90$ $M_y,b,Rd=19315.10$ $My,Ed/M_y,b,Rd=0.94$
- Verifica di stabilità aste presso-inflesse (C4.2.4.1.3.3.2) - CC 19 SLU - Classe 1
Sollecitazioni: $N,Ed=-6780.46$ $M_y,Ed=-17477.90$ $L=2.80$
 $\alpha_{my}, \alpha_{mz}, \alpha_{LT}=0.95, 0.95, 0.95$
 $L_{cr}=2.80$ Curva b: $\alpha_{imp}=0.34$ $k_c=0.94$ $\psi=1.75$ $M_{cr}=48365.20$ $\lambda_{LT}=0.68$
 $\lambda_{LT,0}=0.40$ $\Phi_{LT}=0.72$ $\beta_{LT}=0.75$ $f=0.97$ $\chi_{LT}=0.91$
 $\lambda_y=22.47$ $N_{cr,y}=2209120.00$ $\lambda^*_y=0.29$ Curva a: $\Phi_y=0.55$ $\chi_y=0.98$
 $\lambda_z=83.59$ $N_{cr,z}=159618.00$ $\lambda^*_z=1.09$ Curva b: $\Phi_z=1.25$ $\chi_z=0.54$
 $K_{yy}, K_{yz}, K_{zy}, K_{zz}=0.95, 0.63, 0.00, 1.04$
Verifica YY: $0.04+0.86=0.90$
Verifica ZZ: $0.07=0.07$
- Verifica freccia massima carichi totali - CC 22
 $f_{z,g}=0.40$ (L/695)
- Verifica freccia massima per soli carichi accidentali - CC 22
 $f_{z,L}=0.18$ (L/1521)

Asta n. 1011 (-88 1099) Sez. 6 IPE300 Crit. 2

- Verifica a flessione YY [4.2.13] - CC 1 SND $X_l=0.00$ - Classe 3
Sollecitazioni: $T_z=-3200.69$ $M_y=-9884.87$
 $M_y,Ed=-9884.87$ $M_y,c,Rd=18834.90$ $My,Ed/M_y,c,Rd=0.52$
- Verifica a taglio dir. Z [4.2.16] - CC 17 SLU $X_l=2.80$ - Classe 1
Sollecitazioni: $T_z=-7086.33$
 $V,Ed=-7086.33$ $V_c,Rd=50134.20$ $V,Ed/V_c,Rd=0.14$
- Verifica a presso o tenso-flessione retta YY (4.2.4.1.2.7) - CC 17 SLU $X_l=0.00$ - Classe 1
Sollecitazioni: $N=6780.46$ $T_z=-5922.88$ $M_y=-18212.90$
 $M_y,Ed=-18212.90$ $M_y,V,c,Rd=21326.00$
 $N,Ed=6780.46$ $N_c,Rd=181940.00$ $YY\ n=N,Ed/N_c,Rd=0.04$ $MNy,c,Rd=21326.00$ $My,Ed/MNy,c,Rd=0.85$
- Verifica di stabilità aste inflesse (4.2.4.1.3.2) CC 17 SLU - Classe 1
 $L_{cr}=2.80$ Curva b: $\alpha_{imp}=0.34$ $k_c=0.94$ $\psi=1.75$ $M_{cr}=48365.20$ $\lambda_{LT}=0.68$
 $\lambda_{LT,0}=0.40$ $\beta_{LT}=0.75$ $\Phi_{LT}=0.72$ $\beta_{LT}=0.75$ $f=0.97$ $\chi_{LT}=0.91$
 $M_y,Ed=-18212.90$ $M_y,b,Rd=19315.10$ $My,Ed/M_y,b,Rd=0.94$
- Verifica di stabilità aste presso-inflesse (C4.2.4.1.3.3.2) - CC 19 SLU - Classe 1
Sollecitazioni: $N,Ed=-6780.46$ $M_y,Ed=-17477.90$ $L=2.80$
 $\alpha_{my}, \alpha_{mz}, \alpha_{LT}=0.95, 0.95, 0.95$
 $L_{cr}=2.80$ Curva b: $\alpha_{imp}=0.34$ $k_c=0.94$ $\psi=1.75$ $M_{cr}=48365.20$ $\lambda_{LT}=0.68$
 $\lambda_{LT,0}=0.40$ $\Phi_{LT}=0.72$ $\beta_{LT}=0.75$ $f=0.97$ $\chi_{LT}=0.91$
 $\lambda_y=22.47$ $N_{cr,y}=2209120.00$ $\lambda^*_y=0.29$ Curva a: $\Phi_y=0.55$ $\chi_y=0.98$
 $\lambda_z=83.59$ $N_{cr,z}=159618.00$ $\lambda^*_z=1.09$ Curva b: $\Phi_z=1.25$ $\chi_z=0.54$
 $K_{yy}, K_{yz}, K_{zy}, K_{zz}=0.95, 0.63, 0.00, 1.04$
Verifica YY: $0.04+0.86=0.90$
Verifica ZZ: $0.07=0.07$
- Verifica freccia massima carichi totali - CC 22
 $f_{z,L}=0.40$ (L/695)
- Verifica freccia massima per soli carichi accidentali - CC 22
 $f_{z,L}=0.18$ (L/1521)

Asta n. 1011 (1099 -89) Sez. 6 IPE300 Crit. 2

- Verifica a flessione YY [4.2.13] - CC 1 SND $X_l=2.35$ - Classe 3
Sollecitazioni: $T_z=1395.48$ $M_y=-3662.75$
 $M_y,Ed=-3662.75$ $M_y,c,Rd=18834.90$ $My,Ed/M_y,c,Rd=0.19$
- Verifica a taglio dir. Z [4.2.16] - CC 17 SLU $X_l=0.00$ - Classe 1
Sollecitazioni: $T_z=3106.28$
 $V,Ed=3106.28$ $V_c,Rd=50134.20$ $V,Ed/V_c,Rd=0.06$
- Verifica a presso o tenso-flessione retta YY (4.2.4.1.2.7) - CC 17 SLU $X_l=2.35$ - Classe 1
Sollecitazioni: $N=6780.46$ $T_z=2553.52$ $M_y=-6650.27$
 $M_y,Ed=-6650.27$ $M_y,V,c,Rd=21326.00$
 $N,Ed=6780.46$ $N_c,Rd=181940.00$ $YY\ n=N,Ed/N_c,Rd=0.04$ $MNy,c,Rd=21326.00$ $My,Ed/MNy,c,Rd=0.31$

Relazione di calcolo

- Verifica di stabilità aste inflesse (4.2.4.1.3.2) CC 17 SLU - Classe 1
L_{cr}=2.35 Curva b: $\alpha_{imp}=0.34$ $k_c=0.94$ $\psi=1.75$ M_{cr}=65500.90 $\lambda_{LT}=0.58$
 $\lambda_{LT,0}=0.40$ $\beta_{LT}=0.75$ $\Phi_{LT}=0.66$ $\beta_{LT}=0.75$ $f=0.97$ $\chi_{LT}=0.95$
M_{y,Ed}=-6650.27 M_{y,b,Rd}=20255.80 M_{y,Ed/M,y,b,Rd}=0.33
- Verifica di stabilità aste presso-inflesse (C4.2.4.1.3.3.2) - CC 19 SLU - Classe 1
Sollecitazioni: N_{Ed}=-6780.46 M_{y,Ed}=-6391.41 L=2.35
 α_{my} , α_{mz} , $\alpha_{LT}=0.95$, 0.95, 0.95
L_{cr}=2.35 Curva b: $\alpha_{imp}=0.34$ $k_c=0.94$ $\psi=1.75$ M_{cr}=65500.90 $\lambda_{LT}=0.58$
 $\lambda_{LT,0}=0.40$ $\Phi_{LT}=0.66$ $\beta_{LT}=0.75$ $f=0.97$ $\chi_{LT}=0.95$
 $\lambda_y=18.86$ N_{cr,y}=3136160.00 $\lambda^*_y=0.25$ Curva a: $\Phi_y=0.54$ $\chi_y=0.99$
 $\lambda_z=70.16$ N_{cr,z}=226601.00 $\lambda^*_z=0.92$ Curva b: $\Phi_z=1.04$ $\chi_z=0.65$
K_{yy}, K_{yz}, K_{zy}, K_{zz}=0.95, 0.61, 0.00, 1.02
Verifica YY: 0.04+0.30=0.34
Verifica ZZ: 0.04=0.04
- Verifica freccia massima carichi totali - CC 22
f_{z,L}=0.11 (L/2205)
- Verifica freccia massima per soli carichi accidentali - CC 22
f_{z,L}=0.05 (L/5036)
- Asta n. 1011 (-89 1100) Sez. 6 IPE300 Crit. 2

- Verifica a flessione YY [4.2.13] - CC 1 SMD X1=0.00 - Classe 3
Sollecitazioni: T_z=-1395.48 M_y=-3662.75
M_{y,Ed}=-3662.75 M_{y,c,Rd}=18834.90 M_{y,Ed/M,y,c,Rd}=0.19
- Verifica a taglio dir. Z [4.2.16] - CC 17 SLU X1=2.35 - Classe 1
Sollecitazioni: T_z=-3106.28
V_{Ed}=-3106.28 V_{c,Rd}=50134.20 V_{Ed/Vc,Rd}=0.06
- Verifica a presso o tenso-flessione retta YY (4.2.4.1.2.7) - CC 17 SLU X1=0.00 - Classe 1
Sollecitazioni: N=6780.46 T_z=-2553.52 M_y=-6650.27
M_{y,Ed}=-6650.27 M_{y,V,c,Rd}=21326.00
N_{Ed}=6780.46 N_{c,Rd}=181940.00 YY n=N_{Ed/Nc,Rd}=0.04 M_{Ny,c,Rd}=21326.00 M_{y,Ed/MNy,c,Rd}=0.31
- Verifica di stabilità aste inflesse (4.2.4.1.3.2) CC 17 SLU - Classe 1
L_{cr}=2.35 Curva b: $\alpha_{imp}=0.34$ $k_c=0.94$ $\psi=1.75$ M_{cr}=65500.90 $\lambda_{LT}=0.58$
 $\lambda_{LT,0}=0.40$ $\beta_{LT}=0.75$ $\Phi_{LT}=0.66$ $\beta_{LT}=0.75$ $f=0.97$ $\chi_{LT}=0.95$
M_{y,Ed}=-6650.27 M_{y,b,Rd}=20255.80 M_{y,Ed/M,y,b,Rd}=0.33
- Verifica di stabilità aste presso-inflesse (C4.2.4.1.3.3.2) - CC 19 SLU - Classe 1
Sollecitazioni: N_{Ed}=-6780.46 M_{y,Ed}=-6391.41 L=2.35
 α_{my} , α_{mz} , $\alpha_{LT}=0.95$, 0.95, 0.95
L_{cr}=2.35 Curva b: $\alpha_{imp}=0.34$ $k_c=0.94$ $\psi=1.75$ M_{cr}=65500.90 $\lambda_{LT}=0.58$
 $\lambda_{LT,0}=0.40$ $\Phi_{LT}=0.66$ $\beta_{LT}=0.75$ $f=0.97$ $\chi_{LT}=0.95$
 $\lambda_y=18.86$ N_{cr,y}=3136160.00 $\lambda^*_y=0.25$ Curva a: $\Phi_y=0.54$ $\chi_y=0.99$
 $\lambda_z=70.16$ N_{cr,z}=226601.00 $\lambda^*_z=0.92$ Curva b: $\Phi_z=1.04$ $\chi_z=0.65$
K_{yy}, K_{yz}, K_{zy}, K_{zz}=0.95, 0.61, 0.00, 1.02
Verifica YY: 0.04+0.30=0.34
Verifica ZZ: 0.04=0.04
- Verifica freccia massima carichi totali - CC 22
f_{z,g}=0.11 (L/2197)
- Verifica freccia massima per soli carichi accidentali - CC 22
f_{z,L}=0.05 (L/5021)
- Asta n. 1011 (1100 -90) Sez. 6 IPE300 Crit. 2

- Verifica a flessione YY [4.2.13] - CC 1 SMD X1=2.35 - Classe 3
Sollecitazioni: T_z=2700.78 M_y=-6996.96
M_{y,Ed}=-6996.96 M_{y,c,Rd}=18834.90 M_{y,Ed/M,y,c,Rd}=0.37
- Verifica a taglio dir. Z [4.2.16] - CC 17 SLU X1=0.00 - Classe 1
Sollecitazioni: T_z=5966.29
V_{Ed}=5966.29 V_{c,Rd}=50134.20 V_{Ed/Vc,Rd}=0.12
- Verifica a presso o tenso-flessione retta YY (4.2.4.1.2.7) - CC 17 SLU X1=2.35 - Classe 1
Sollecitazioni: N=6780.46 T_z=4989.83 M_y=-12873.40
M_{y,Ed}=-12873.40 M_{y,V,c,Rd}=21326.00
N_{Ed}=6780.46 N_{c,Rd}=181940.00 YY n=N_{Ed/Nc,Rd}=0.04 M_{Ny,c,Rd}=21326.00 M_{y,Ed/MNy,c,Rd}=0.60
- Verifica di stabilità aste inflesse (4.2.4.1.3.2) CC 17 SLU - Classe 1
L_{cr}=2.35 Curva b: $\alpha_{imp}=0.34$ $k_c=0.94$ $\psi=1.75$ M_{cr}=65500.90 $\lambda_{LT}=0.58$
 $\lambda_{LT,0}=0.40$ $\beta_{LT}=0.75$ $\Phi_{LT}=0.66$ $\beta_{LT}=0.75$ $f=0.97$ $\chi_{LT}=0.95$
M_{y,Ed}=-12873.40 M_{y,b,Rd}=20255.80 M_{y,Ed/M,y,b,Rd}=0.64

Relazione di calcolo

- Verifica di stabilità aste presso-inflesse (C4.2.4.1.3.3.2) - CC 19 SLU - Classe 1
Sollecitazioni: $N_{Ed}=-6780.46$ $M_{y,Ed}=-12355.70$ $L=2.35$
 $\alpha_{my}, \alpha_{mz}, \alpha_{LT}=0.95, 0.95, 0.95$
 $L_{cr}=2.35$ Curva b: $\alpha_{imp}=0.34$ $k_c=0.94$ $\psi=1.75$ $M_{cr}=65500.90$ $\lambda_{LT}=0.58$
 $\lambda_{LT,0}=0.40$ $\Phi_{LT}=0.66$ $\beta_{LT}=0.75$ $f=0.97$ $\chi_{LT}=0.95$
 $\lambda_y=18.86$ $N_{cr,y}=3136160.00$ $\lambda^*_y=0.25$ Curva a: $\Phi_y=0.54$ $\chi_y=0.99$
 $\lambda_z=70.16$ $N_{cr,z}=226601.00$ $\lambda^*_z=0.92$ Curva b: $\Phi_z=1.04$ $\chi_z=0.65$
 $K_{yy}, K_{yz}, K_{zy}, K_{zz}=0.95, 0.61, 0.00, 1.02$
Verifica YY: $0.04+0.58=0.62$
Verifica ZZ: $0.04=0.04$
- Verifica freccia massima carichi totali - CC 22
 $f_{z,L}=0.21$ (L/1145)
- Verifica freccia massima per soli carichi accidentali - CC 22
 $f_{z,G}=0.09$ (L/2515)
- Asta n. 1011 (-90 1101) Sez. 6 IPE300 Crit. 2

- Verifica a flessione YY [4.2.13] - CC 1 SND $X_l=0.00$ - Classe 3
Sollecitazioni: $T_z=-2700.79$ $M_{y,Ed}=-6996.96$
 $M_{y,Ed}=-6996.96$ $M_{y,c,Rd}=18834.90$ $M_{y,Ed/M_{y,c,Rd}}=0.37$
- Verifica a taglio dir. Z [4.2.16] - CC 17 SLU $X_l=2.35$ - Classe 1
Sollecitazioni: $T_z=-5966.29$
 $V_{Ed}=-5966.29$ $V_{c,Rd}=50134.20$ $V_{Ed/V_{c,Rd}}=0.12$
- Verifica a presso o tenso-flessione retta YY (4.2.4.1.2.7) - CC 17 SLU $X_l=0.00$ - Classe 1
Sollecitazioni: $N=6780.46$ $T_z=-4989.83$ $M_{y,Ed}=-12873.40$
 $M_{y,Ed}=-12873.40$ $M_{y,V,c,Rd}=21326.00$
 $N_{Ed}=6780.46$ $N_{c,Rd}=181940.00$ $YY\ n=N_{Ed}/N_{c,Rd}=0.04$ $MN_{y,c,Rd}=21326.00$ $M_{y,Ed}/MN_{y,c,Rd}=0.60$
- Verifica di stabilità aste inflesse (4.2.4.1.3.2) CC 17 SLU - Classe 1
 $L_{cr}=2.35$ Curva b: $\alpha_{imp}=0.34$ $k_c=0.94$ $\psi=1.75$ $M_{cr}=65500.90$ $\lambda_{LT}=0.58$
 $\lambda_{LT,0}=0.40$ $\beta_{LT}=0.75$ $\Phi_{LT}=0.66$ $\beta_{LT}=0.75$ $f=0.97$ $\chi_{LT}=0.95$
 $M_{y,Ed}=-12873.40$ $M_{y,b,Rd}=20255.80$ $M_{y,Ed/M_{y,b,Rd}}=0.64$
- Verifica di stabilità aste presso-inflesse (C4.2.4.1.3.3.2) - CC 19 SLU - Classe 1
Sollecitazioni: $N_{Ed}=-6780.46$ $M_{y,Ed}=-12355.70$ $L=2.35$
 $\alpha_{my}, \alpha_{mz}, \alpha_{LT}=0.95, 0.95, 0.95$
 $L_{cr}=2.35$ Curva b: $\alpha_{imp}=0.34$ $k_c=0.94$ $\psi=1.75$ $M_{cr}=65500.90$ $\lambda_{LT}=0.58$
 $\lambda_{LT,0}=0.40$ $\Phi_{LT}=0.66$ $\beta_{LT}=0.75$ $f=0.97$ $\chi_{LT}=0.95$
 $\lambda_y=18.86$ $N_{cr,y}=3136160.00$ $\lambda^*_y=0.25$ Curva a: $\Phi_y=0.54$ $\chi_y=0.99$
 $\lambda_z=70.16$ $N_{cr,z}=226601.00$ $\lambda^*_z=0.92$ Curva b: $\Phi_z=1.04$ $\chi_z=0.65$
 $K_{yy}, K_{yz}, K_{zy}, K_{zz}=0.95, 0.61, 0.00, 1.02$
Verifica YY: $0.04+0.58=0.62$
Verifica ZZ: $0.04=0.04$
- Verifica freccia massima carichi totali - CC 22
 $f_{z,L}=0.21$ (L/1143)
- Verifica freccia massima per soli carichi accidentali - CC 22
 $f_{z,L}=0.09$ (L/2513)
- Asta n. 1011 (1101 -91) Sez. 6 IPE300 Crit. 2

- Verifica a flessione YY [4.2.13] - CC 1 SND $X_l=2.80$ - Classe 3
Sollecitazioni: $T_z=3200.69$ $M_{y,Ed}=-9884.87$
 $M_{y,Ed}=-9884.87$ $M_{y,c,Rd}=18834.90$ $M_{y,Ed/M_{y,c,Rd}}=0.52$
- Verifica a taglio dir. Z [4.2.16] - CC 17 SLU $X_l=0.00$ - Classe 1
Sollecitazioni: $T_z=7086.33$
 $V_{Ed}=7086.33$ $V_{c,Rd}=50134.20$ $V_{Ed/V_{c,Rd}}=0.14$
- Verifica a presso o tenso-flessione retta YY (4.2.4.1.2.7) - CC 17 SLU $X_l=2.80$ - Classe 1
Sollecitazioni: $N=6780.46$ $T_z=5922.88$ $M_{y,Ed}=-18212.90$
 $M_{y,Ed}=-18212.90$ $M_{y,V,c,Rd}=21326.00$
 $N_{Ed}=6780.46$ $N_{c,Rd}=181940.00$ $YY\ n=N_{Ed}/N_{c,Rd}=0.04$ $MN_{y,c,Rd}=21326.00$ $M_{y,Ed}/MN_{y,c,Rd}=0.85$
- Verifica di stabilità aste inflesse (4.2.4.1.3.2) CC 17 SLU - Classe 1
 $L_{cr}=2.80$ Curva b: $\alpha_{imp}=0.34$ $k_c=0.94$ $\psi=1.75$ $M_{cr}=48365.20$ $\lambda_{LT}=0.68$
 $\lambda_{LT,0}=0.40$ $\beta_{LT}=0.75$ $\Phi_{LT}=0.72$ $\beta_{LT}=0.75$ $f=0.97$ $\chi_{LT}=0.91$
 $M_{y,Ed}=-18212.90$ $M_{y,b,Rd}=19315.10$ $M_{y,Ed/M_{y,b,Rd}}=0.94$
- Verifica di stabilità aste presso-inflesse (C4.2.4.1.3.3.2) - CC 19 SLU - Classe 1
Sollecitazioni: $N_{Ed}=-6780.46$ $M_{y,Ed}=-17477.90$ $L=2.80$
 $\alpha_{my}, \alpha_{mz}, \alpha_{LT}=0.95, 0.95, 0.95$
 $L_{cr}=2.80$ Curva b: $\alpha_{imp}=0.34$ $k_c=0.94$ $\psi=1.75$ $M_{cr}=48365.20$ $\lambda_{LT}=0.68$
 $\lambda_{LT,0}=0.40$ $\Phi_{LT}=0.72$ $\beta_{LT}=0.75$ $f=0.97$ $\chi_{LT}=0.91$

Relazione di calcolo

$\lambda_y=22.47$ Ncr,y=2209120.00 $\lambda^*_y=0.29$ Curva a: $\Phi_y=0.55$ $\chi_y=0.98$
 $\lambda_z=83.59$ Ncr,z=159618.00 $\lambda^*_z=1.09$ Curva b: $\Phi_z=1.25$ $\chi_z=0.54$
Kyy, Kyz, Kzy, Kzz=0.95, 0.63, 0.00, 1.04
Verifica YY: 0.04+0.86=0.90
Verifica ZZ: 0.07=0.07

- Verifica freccia massima carichi totali - CC 22
 $f_{z,g}=0.40$ (L/695)

- Verifica freccia massima per soli carichi accidentali - CC 22
 $f_{z,L}=0.18$ (L/1521)

Asta n. 1011 (-91 1102) Sez. 6 IPE300 Crit. 2

- Verifica a flessione YY [4.2.13] - CC 1 SND Xl=0.00 - Classe 3
Sollecitazioni: $T_z=-3200.69$ $M_y=-9884.87$
 $M_y,Ed=-9884.87$ $M_y,c,Rd=18834.90$ $M_y,Ed/M_y,c,Rd=0.52$

- Verifica a taglio dir. Z [4.2.16] - CC 17 SLU Xl=2.80 - Classe 1
Sollecitazioni: $T_z=-7086.33$
 $V,Ed=-7086.33$ $V_c,Rd=50134.20$ $V,Ed/V_c,Rd=0.14$

- Verifica a presso o tenso-flessione retta YY (4.2.4.1.2.7) - CC 17 SLU Xl=0.00 - Classe 1
Sollecitazioni: $N=6780.46$ $T_z=-5922.88$ $M_y=-18212.90$
 $M_y,Ed=-18212.90$ $M_y,V,c,Rd=21326.00$
 $N,Ed=6780.46$ $N_c,Rd=181940.00$ YY n=N,Ed/Nc,Rd=0.04 MNy,c,Rd=21326.00 $M_y,Ed/MNy,c,Rd=0.85$

- Verifica di stabilità aste inflesse (4.2.4.1.3.2) CC 17 SLU - Classe 1
 $L_{cr}=2.80$ Curva b: $\alpha_{imp}=0.34$ $k_c=0.94$ $\psi=1.75$ $M_{cr}=48365.20$ $\lambda_{LT}=0.68$
 $\lambda_{LT,0}=0.40$ $\beta_{LT}=0.75$ $\Phi_{LT}=0.72$ $\beta_{LT}=0.75$ $f=0.97$ $\chi_{LT}=0.91$
 $M_y,Ed=-18212.90$ $M_y,b,Rd=19315.10$ $M_y,Ed/M_y,b,Rd=0.94$

- Verifica di stabilità aste presso-inflesse (C4.2.4.1.3.3.2) - CC 19 SLU - Classe 1
Sollecitazioni: $N,Ed=-6780.46$ $M_y,Ed=-17477.90$ $L=2.80$
 $\alpha_{my}, \alpha_{mz}, \alpha_{LT}=0.95, 0.95, 0.95$
 $L_{cr}=2.80$ Curva b: $\alpha_{imp}=0.34$ $k_c=0.94$ $\psi=1.75$ $M_{cr}=48365.20$ $\lambda_{LT}=0.68$
 $\lambda_{LT,0}=0.40$ $\Phi_{LT}=0.72$ $\beta_{LT}=0.75$ $f=0.97$ $\chi_{LT}=0.91$
 $\lambda_y=22.47$ Ncr,y=2209120.00 $\lambda^*_y=0.29$ Curva a: $\Phi_y=0.55$ $\chi_y=0.98$
 $\lambda_z=83.59$ Ncr,z=159618.00 $\lambda^*_z=1.09$ Curva b: $\Phi_z=1.25$ $\chi_z=0.54$
Kyy, Kyz, Kzy, Kzz=0.95, 0.63, 0.00, 1.04
Verifica YY: 0.04+0.86=0.90
Verifica ZZ: 0.07=0.07

- Verifica freccia massima carichi totali - CC 22
 $f_{z,L}=0.40$ (L/695)

- Verifica freccia massima per soli carichi accidentali - CC 22
 $f_{z,L}=0.18$ (L/1521)

Asta n. 1011 (1102 -92) Sez. 6 IPE300 Crit. 2

- Verifica a flessione YY [4.2.13] - CC 1 SND Xl=2.35 - Classe 3
Sollecitazioni: $T_z=2700.78$ $M_y=-6996.96$
 $M_y,Ed=-6996.96$ $M_y,c,Rd=18834.90$ $M_y,Ed/M_y,c,Rd=0.37$

- Verifica a taglio dir. Z [4.2.16] - CC 17 SLU Xl=0.00 - Classe 1
Sollecitazioni: $T_z=5966.29$
 $V,Ed=5966.29$ $V_c,Rd=50134.20$ $V,Ed/V_c,Rd=0.12$

- Verifica a presso o tenso-flessione retta YY (4.2.4.1.2.7) - CC 17 SLU Xl=2.35 - Classe 1
Sollecitazioni: $N=6780.46$ $T_z=4989.83$ $M_y=-12873.40$
 $M_y,Ed=-12873.40$ $M_y,V,c,Rd=21326.00$
 $N,Ed=6780.46$ $N_c,Rd=181940.00$ YY n=N,Ed/Nc,Rd=0.04 MNy,c,Rd=21326.00 $M_y,Ed/MNy,c,Rd=0.60$

- Verifica di stabilità aste inflesse (4.2.4.1.3.2) CC 17 SLU - Classe 1
 $L_{cr}=2.35$ Curva b: $\alpha_{imp}=0.34$ $k_c=0.94$ $\psi=1.75$ $M_{cr}=65500.90$ $\lambda_{LT}=0.58$
 $\lambda_{LT,0}=0.40$ $\beta_{LT}=0.75$ $\Phi_{LT}=0.66$ $\beta_{LT}=0.75$ $f=0.97$ $\chi_{LT}=0.95$
 $M_y,Ed=-12873.40$ $M_y,b,Rd=20255.80$ $M_y,Ed/M_y,b,Rd=0.64$

- Verifica di stabilità aste presso-inflesse (C4.2.4.1.3.3.2) - CC 19 SLU - Classe 1
Sollecitazioni: $N,Ed=-6780.46$ $M_y,Ed=-12355.70$ $L=2.35$
 $\alpha_{my}, \alpha_{mz}, \alpha_{LT}=0.95, 0.95, 0.95$
 $L_{cr}=2.35$ Curva b: $\alpha_{imp}=0.34$ $k_c=0.94$ $\psi=1.75$ $M_{cr}=65500.90$ $\lambda_{LT}=0.58$
 $\lambda_{LT,0}=0.40$ $\Phi_{LT}=0.66$ $\beta_{LT}=0.75$ $f=0.97$ $\chi_{LT}=0.95$
 $\lambda_y=18.86$ Ncr,y=3136160.00 $\lambda^*_y=0.25$ Curva a: $\Phi_y=0.54$ $\chi_y=0.99$
 $\lambda_z=70.16$ Ncr,z=226601.00 $\lambda^*_z=0.92$ Curva b: $\Phi_z=1.04$ $\chi_z=0.65$
Kyy, Kyz, Kzy, Kzz=0.95, 0.61, 0.00, 1.02
Verifica YY: 0.04+0.58=0.62
Verifica ZZ: 0.04=0.04

Relazione di calcolo

- Verifica freccia massima carichi totali - CC 22
 $f_{z,L}=0.21$ (L/1143)

- Verifica freccia massima per soli carichi accidentali - CC 22
 $f_{z,G}=0.09$ (L/2508)

Asta n. 1011 (-92 1103) Sez. 6 IPE300 Crit. 2

- Verifica a flessione YY [4.2.13] - CC 1 SND $X_l=0.00$ - Classe 3
Sollecitazioni: $T_z=-2700.79$ $M_y=-6996.96$
 $M_y,Ed=-6996.96$ $M_y,c,Rd=18834.90$ $M_y,Ed/M_y,c,Rd=0.37$

- Verifica a taglio dir. Z [4.2.16] - CC 17 SLU $X_l=2.35$ - Classe 1
Sollecitazioni: $T_z=-5966.29$
 $V,Ed=-5966.29$ $V_c,Rd=50134.20$ $V,Ed/V_c,Rd=0.12$

- Verifica a presso o tenso-flessione retta YY (4.2.4.1.2.7) - CC 17 SLU $X_l=0.00$ - Classe 1
Sollecitazioni: $N=6780.46$ $T_z=-4989.83$ $M_y=-12873.40$
 $M_y,Ed=-12873.40$ $M_y,V,c,Rd=21326.00$
 $N,Ed=6780.46$ $N_c,Rd=181940.00$ YY $n=N,Ed/N_c,Rd=0.04$ $MNy,c,Rd=21326.00$ $M_y,Ed/MNy,c,Rd=0.60$

- Verifica di stabilità aste inflesse (4.2.4.1.3.2) CC 17 SLU - Classe 1
 $L_{cr}=2.35$ Curva b: $\alpha_{imp}=0.34$ $k_c=0.94$ $\psi=1.75$ $M_{cr}=65500.90$ $\lambda_{LT}=0.58$
 $\lambda_{LT,0}=0.40$ $\beta_{LT}=0.75$ $\Phi_{LT}=0.66$ $\beta_{LT}=0.75$ $f=0.97$ $\chi_{LT}=0.95$
 $M_y,Ed=-12873.40$ $M_y,b,Rd=20255.80$ $M_y,Ed/M_y,b,Rd=0.64$

- Verifica di stabilità aste presso-inflesse (C4.2.4.1.3.3.2) - CC 19 SLU - Classe 1
Sollecitazioni: $N,Ed=-6780.46$ $M_y,Ed=-12355.70$ $L=2.35$
 $\alpha_{my}, \alpha_{mz}, \alpha_{LT}=0.95, 0.95, 0.95$
 $L_{cr}=2.35$ Curva b: $\alpha_{imp}=0.34$ $k_c=0.94$ $\psi=1.75$ $M_{cr}=65500.90$ $\lambda_{LT}=0.58$
 $\lambda_{LT,0}=0.40$ $\Phi_{LT}=0.66$ $\beta_{LT}=0.75$ $f=0.97$ $\chi_{LT}=0.95$
 $\lambda_y=18.86$ $N_{cr,y}=3136160.00$ $\lambda^*_y=0.25$ Curva a: $\Phi_y=0.54$ $\chi_y=0.99$
 $\lambda_z=70.16$ $N_{cr,z}=226601.00$ $\lambda^*_z=0.92$ Curva b: $\Phi_z=1.04$ $\chi_z=0.65$
 $K_{yy}, K_{yz}, K_{zy}, K_{zz}=0.95, 0.61, 0.00, 1.02$
Verifica YY: $0.04+0.58=0.62$
Verifica ZZ: $0.04=0.04$

- Verifica freccia massima carichi totali - CC 22
 $f_{z,L}=0.21$ (L/1145)

- Verifica freccia massima per soli carichi accidentali - CC 22
 $f_{z,L}=0.09$ (L/2519)

Asta n. 1011 (1103 -93) Sez. 6 IPE300 Crit. 2

- Verifica a flessione YY [4.2.13] - CC 1 SND $X_l=2.35$ - Classe 3
Sollecitazioni: $T_z=2700.78$ $M_y=-6996.96$
 $M_y,Ed=-6996.96$ $M_y,c,Rd=18834.90$ $M_y,Ed/M_y,c,Rd=0.37$

- Verifica a taglio dir. Z [4.2.16] - CC 17 SLU $X_l=0.00$ - Classe 1
Sollecitazioni: $T_z=5966.29$
 $V,Ed=5966.29$ $V_c,Rd=50134.20$ $V,Ed/V_c,Rd=0.12$

- Verifica a presso o tenso-flessione retta YY (4.2.4.1.2.7) - CC 17 SLU $X_l=2.35$ - Classe 1
Sollecitazioni: $N=6780.46$ $T_z=4989.83$ $M_y=-12873.40$
 $M_y,Ed=-12873.40$ $M_y,V,c,Rd=21326.00$
 $N,Ed=6780.46$ $N_c,Rd=181940.00$ YY $n=N,Ed/N_c,Rd=0.04$ $MNy,c,Rd=21326.00$ $M_y,Ed/MNy,c,Rd=0.60$

- Verifica di stabilità aste inflesse (4.2.4.1.3.2) CC 17 SLU - Classe 1
 $L_{cr}=2.35$ Curva b: $\alpha_{imp}=0.34$ $k_c=0.94$ $\psi=1.75$ $M_{cr}=65501.00$ $\lambda_{LT}=0.58$
 $\lambda_{LT,0}=0.40$ $\beta_{LT}=0.75$ $\Phi_{LT}=0.66$ $\beta_{LT}=0.75$ $f=0.97$ $\chi_{LT}=0.95$
 $M_y,Ed=-12873.40$ $M_y,b,Rd=20255.80$ $M_y,Ed/M_y,b,Rd=0.64$

- Verifica di stabilità aste presso-inflesse (C4.2.4.1.3.3.2) - CC 19 SLU - Classe 1
Sollecitazioni: $N,Ed=-6780.46$ $M_y,Ed=-12355.70$ $L=2.35$
 $\alpha_{my}, \alpha_{mz}, \alpha_{LT}=0.95, 0.95, 0.95$
 $L_{cr}=2.35$ Curva b: $\alpha_{imp}=0.34$ $k_c=0.94$ $\psi=1.75$ $M_{cr}=65501.00$ $\lambda_{LT}=0.58$
 $\lambda_{LT,0}=0.40$ $\Phi_{LT}=0.66$ $\beta_{LT}=0.75$ $f=0.97$ $\chi_{LT}=0.95$
 $\lambda_y=18.86$ $N_{cr,y}=3136170.00$ $\lambda^*_y=0.25$ Curva a: $\Phi_y=0.54$ $\chi_y=0.99$
 $\lambda_z=70.16$ $N_{cr,z}=226601.00$ $\lambda^*_z=0.92$ Curva b: $\Phi_z=1.04$ $\chi_z=0.65$
 $K_{yy}, K_{yz}, K_{zy}, K_{zz}=0.95, 0.61, 0.00, 1.02$
Verifica YY: $0.04+0.58=0.62$
Verifica ZZ: $0.04=0.04$

- Verifica freccia massima carichi totali - CC 22
 $f_{z,L}=0.21$ (L/1143)

- Verifica freccia massima per soli carichi accidentali - CC 22

Relazione di calcolo

$f_{z,L}=0.09$ (L/2514)

Asta n. 1011 (-93 1104) Sez. 6 IPE300 Crit. 2

- Verifica a flessione YY [4.2.13] - CC 1 SND $X_1=0.00$ - Classe 3
Sollecitazioni: $T_z=-2700.79$ $M_y=-6996.96$
 $M_y,Ed=-6996.96$ $M_y,c,Rd=18834.90$ $M_y,Ed/M_y,c,Rd=0.37$

- Verifica a taglio dir. Z [4.2.16] - CC 17 SLU $X_1=2.35$ - Classe 1
Sollecitazioni: $T_z=-5966.29$
 $V,Ed=-5966.29$ $V_c,Rd=50134.20$ $V,Ed/V_c,Rd=0.12$

- Verifica a presso o tenso-flessione retta YY (4.2.4.1.2.7) - CC 17 SLU $X_1=0.00$ - Classe 1
Sollecitazioni: $N=6780.46$ $T_z=-4989.83$ $M_y=-12873.40$
 $M_y,Ed=-12873.40$ $M_y,V,c,Rd=21326.00$
 $N,Ed=6780.46$ $N_c,Rd=181940.00$ $YY\ n=N,Ed/N_c,Rd=0.04$ $MN_y,c,Rd=21326.00$ $M_y,Ed/MN_y,c,Rd=0.60$

- Verifica di stabilità aste inflesse (4.2.4.1.3.2) CC 17 SLU - Classe 1
 $L_{cr}=2.35$ Curva b: $\alpha_{imp}=0.34$ $k_c=0.94$ $\psi=1.75$ $M_{cr}=65500.90$ $\lambda_{LT}=0.58$
 $\lambda_{LT,0}=0.40$ $\beta_{LT}=0.75$ $\Phi_{LT}=0.66$ $\beta_{LT}=0.75$ $f=0.97$ $\chi_{LT}=0.95$
 $M_y,Ed=-12873.40$ $M_y,b,Rd=20255.80$ $M_y,Ed/M_y,b,Rd=0.64$

- Verifica di stabilità aste presso-inflesse (4.2.4.1.3.3.2) - CC 19 SLU - Classe 1
Sollecitazioni: $N,Ed=-6780.46$ $M_y,Ed=-12355.70$ $L=2.35$
 $\alpha_{my}, \alpha_{mz}, \alpha_{LT}=0.95, 0.95, 0.95$
 $L_{cr}=2.35$ Curva b: $\alpha_{imp}=0.34$ $k_c=0.94$ $\psi=1.75$ $M_{cr}=65500.90$ $\lambda_{LT}=0.58$
 $\lambda_{LT,0}=0.40$ $\Phi_{LT}=0.66$ $\beta_{LT}=0.75$ $f=0.97$ $\chi_{LT}=0.95$
 $\lambda_y=18.86$ $N_{cr,y}=3136160.00$ $\lambda^*_{y,y}=0.25$ Curva a: $\Phi_y=0.54$ $\chi_y=0.99$
 $\lambda_z=70.16$ $N_{cr,z}=226600.00$ $\lambda^*_{z,z}=0.92$ Curva b: $\Phi_z=1.04$ $\chi_z=0.65$
 $K_{yy}, K_{yz}, K_{zy}, K_{zz}=0.95, 0.61, 0.00, 1.02$
Verifica YY: $0.04+0.58=0.62$
Verifica ZZ: $0.04=0.04$

- Verifica freccia massima carichi totali - CC 22
 $f_{z,L}=0.21$ (L/1145)

- Verifica freccia massima per soli carichi accidentali - CC 22
 $f_{z,L}=0.09$ (L/2514)

Asta n. 1012 (1106 107) Sez. 5 UPN100 Crit. 3

- Verifica a trazione (4.2.4.1.2.1) - CC 1 SLV $X_1=0.00$ - Classe 1
Sollecitazioni: $N=1702.21$
Verifica a trazione [4.2.5]
 $N,Ed=1702.21$ $N_{pl,Rd}=35889.70$ $N_u,Rd=42425.50$ $N,Ed/N_t,Rd=0.05$

- Verifica freccia massima carichi totali - CC 22
 $f_{z,g}=0.02$ (L/26782)

- Verifica freccia massima per soli carichi accidentali - CC 22
 $f_{z,g}=0.01$ (L/78037)

Asta n. 1013 (1119 118) Sez. 5 UPN100 Crit. 3

- Verifica a trazione (4.2.4.1.2.1) - CC 9 SLV $X_1=0.00$ - Classe 1
Sollecitazioni: $N=7908.92$
Verifica a trazione [4.2.5]
 $N,Ed=7908.92$ $N_{pl,Rd}=35889.70$ $N_u,Rd=42425.50$ $N,Ed/N_t,Rd=0.22$

- Verifica freccia massima carichi totali - CC 22
 $f_{z,g}=0.00$ (L/145069)

- Verifica freccia massima per soli carichi accidentali - CC 22
 $f_{z,g}=0.00$ (L/370996)

Asta n. 1014 (1125 124) Sez. 5 UPN100 Crit. 3

- Verifica a trazione (4.2.4.1.2.1) - CC 9 SLV $X_1=0.00$ - Classe 1
Sollecitazioni: $N=3780.86$
Verifica a trazione [4.2.5]
 $N,Ed=3780.86$ $N_{pl,Rd}=35889.70$ $N_u,Rd=42425.50$ $N,Ed/N_t,Rd=0.11$

- Verifica freccia massima carichi totali - CC 22
 $f_{z,g}=0.01$ (L/37971)

- Verifica freccia massima per soli carichi accidentali - CC 22
 $f_{z,g}=0.01$ (L/82293)

Asta n. 1015 (1015 1005) Sez. 10 HEA300 Crit. 2

- Verifica a flessione YY [4.2.13] - CC 1 SND $X_1=2.50$ - Classe 3

Relazione di calcolo

Sollecitazioni: $M_y = -2845.13$
 $M_y, Ed = -2845.13$ $M_y, c, Rd = 42586.20$ $M_y, Ed / M_y, c, Rd = 0.07$

- Verifica a taglio dir. Z [4.2.16] - CC 17 SLU $X_l = 0.00$ - Classe 1
Sollecitazioni: $T_z = 3939.93$
 $V, Ed = 3939.93$ $V_c, Rd = 72775.50$ $V, Ed / V_c, Rd = 0.05$

- Verifica in termini tensionali [4.2.4] - CC 20 SLU $X_l = 2.50$ - Classe 3
Sollecitazioni: $N = 21268.50$ $M_y = -4773.97$
Tensioni: $\sigma_N = 189.00$ $\sigma_{m,d} = 379.01$ $\tau = 0.00$ $\sigma_{max} = 568.01$ (sfrut=0.17)
Tensioni: $\sigma_N = 0.00$ $\sigma_{m,d} = 0.00$ $\tau = 0.00$ $\tau_{max} = 0.00$ (sfrut=0.00)
Tensioni: $\sigma_N = 189.00$ $\sigma_{m,d} = 379.01$ $\tau = 0.00$ $\sigma_{ID,max} = 568.01$ (sfrut=0.17)

- Verifica di stabilità aste inflesse (4.2.4.1.3.2) CC 17 SLU - Classe 3
 $L_{cr} = 5.00$ Curva b: $\alpha_{imp} = 0.34$ $k_c = 0.94$ $\psi = 1.75$ $M_{cr} = 160612.00$ $\lambda_{LT} = 0.53$
 $\lambda_{LT,0} = 0.40$ $\beta_{LT} = 0.75$ $\Phi_{LT} = 0.63$ $\beta_{LT} = 0.75$ $f = 0.97$ $\chi_{LT} = 0.97$
 $M_y, Ed = -4924.91$ $M_y, b, Rd = 41459.00$ $M_y, Ed / M_y, b, Rd = 0.12$

- Verifica di stabilità aste presso-inflesse (C4.2.4.1.3.3.2) - CC 19 SLU - Classe 3
Sollecitazioni: $N, Ed = -14179.00$ $M_y, Ed = -4773.97$ $L = 5.00$
 $\alpha_{my}, \alpha_{mz}, \alpha_{LT} = 0.95, 0.95, 0.95$
 $L_{cr} = 5.00$ Curva b: $\alpha_{imp} = 0.34$ $k_c = 0.94$ $\psi = 1.75$ $M_{cr} = 160612.00$ $\lambda_{LT} = 0.53$
 $\lambda_{LT,0} = 0.40$ $\Phi_{LT} = 0.63$ $\beta_{LT} = 0.75$ $f = 0.97$ $\chi_{LT} = 0.97$
 $\lambda_y = 39.25$ $N_{cr,y} = 1514180.00$ $\lambda^*_y = 0.51$ Curva b: $\Phi_y = 0.69$ $\chi_y = 0.88$
 $\lambda_z = 66.77$ $N_{cr,z} = 523093.00$ $\lambda^*_z = 0.87$ Curva c: $\Phi_z = 1.05$ $\chi_z = 0.62$
 $K_{yy}, K_{yz}, K_{zy}, K_{zz} = 0.96, 0.98, 0.00, 0.98$
Verifica YY: $0.04 + 0.11 = 0.15$
Verifica ZZ: $0.04 = 0.04$

- Verifica freccia massima carichi totali - CC 22
 $f_{z,L} = 0.23$ (L/2135)

- Verifica freccia massima per soli carichi accidentali - CC 22
 $f_{z,g} = 0.08$ (L/6098)

Asta n. 1015 (1025 1015) Sez. 10 HEA300 Crit. 2

- Verifica a flessione YY [4.2.13] - CC 1 SND $X_l = 2.50$ - Classe 3
Sollecitazioni: $M_y = -2845.13$
 $M_y, Ed = -2845.13$ $M_y, c, Rd = 42586.20$ $M_y, Ed / M_y, c, Rd = 0.07$

- Verifica a taglio dir. Z [4.2.16] - CC 17 SLU $X_l = 0.00$ - Classe 1
Sollecitazioni: $T_z = 3939.93$
 $V, Ed = 3939.93$ $V_c, Rd = 72775.50$ $V, Ed / V_c, Rd = 0.05$

- Verifica in termini tensionali [4.2.4] - CC 20 SLU $X_l = 2.50$ - Classe 3
Sollecitazioni: $N = 21268.50$ $M_y = -4773.97$
Tensioni: $\sigma_N = 189.00$ $\sigma_{m,d} = 379.01$ $\tau = 0.00$ $\sigma_{max} = 568.01$ (sfrut=0.17)
Tensioni: $\sigma_N = 0.00$ $\sigma_{m,d} = 0.00$ $\tau = 0.00$ $\tau_{max} = 0.00$ (sfrut=0.00)
Tensioni: $\sigma_N = 189.00$ $\sigma_{m,d} = 379.01$ $\tau = 0.00$ $\sigma_{ID,max} = 568.01$ (sfrut=0.17)

- Verifica di stabilità aste inflesse (4.2.4.1.3.2) CC 17 SLU - Classe 3
 $L_{cr} = 5.00$ Curva b: $\alpha_{imp} = 0.34$ $k_c = 0.94$ $\psi = 1.75$ $M_{cr} = 160612.00$ $\lambda_{LT} = 0.53$
 $\lambda_{LT,0} = 0.40$ $\beta_{LT} = 0.75$ $\Phi_{LT} = 0.63$ $\beta_{LT} = 0.75$ $f = 0.97$ $\chi_{LT} = 0.97$
 $M_y, Ed = -4924.91$ $M_y, b, Rd = 41459.00$ $M_y, Ed / M_y, b, Rd = 0.12$

- Verifica di stabilità aste presso-inflesse (C4.2.4.1.3.3.2) - CC 19 SLU - Classe 3
Sollecitazioni: $N, Ed = -14179.00$ $M_y, Ed = -4773.97$ $L = 5.00$
 $\alpha_{my}, \alpha_{mz}, \alpha_{LT} = 0.95, 0.95, 0.95$
 $L_{cr} = 5.00$ Curva b: $\alpha_{imp} = 0.34$ $k_c = 0.94$ $\psi = 1.75$ $M_{cr} = 160612.00$ $\lambda_{LT} = 0.53$
 $\lambda_{LT,0} = 0.40$ $\Phi_{LT} = 0.63$ $\beta_{LT} = 0.75$ $f = 0.97$ $\chi_{LT} = 0.97$
 $\lambda_y = 39.25$ $N_{cr,y} = 1514180.00$ $\lambda^*_y = 0.51$ Curva b: $\Phi_y = 0.69$ $\chi_y = 0.88$
 $\lambda_z = 66.77$ $N_{cr,z} = 523093.00$ $\lambda^*_z = 0.87$ Curva c: $\Phi_z = 1.05$ $\chi_z = 0.62$
 $K_{yy}, K_{yz}, K_{zy}, K_{zz} = 0.96, 0.98, 0.00, 0.98$
Verifica YY: $0.04 + 0.11 = 0.15$
Verifica ZZ: $0.04 = 0.04$

- Verifica freccia massima carichi totali - CC 22
 $f_{z,L} = 0.23$ (L/2135)

- Verifica freccia massima per soli carichi accidentali - CC 22
 $f_{z,L} = 0.08$ (L/6098)

Asta n. 1015 (1035 1025) Sez. 10 HEA300 Crit. 2

- Verifica a flessione YY [4.2.13] - CC 1 SND $X_l = 2.50$ - Classe 3
Sollecitazioni: $M_y = -2845.13$
 $M_y, Ed = -2845.13$ $M_y, c, Rd = 42586.20$ $M_y, Ed / M_y, c, Rd = 0.07$

Relazione di calcolo

- Verifica a taglio dir. Z [4.2.16] - CC 17 SLU $X_l=0.00$ - Classe 1
Sollecitazioni: $T_z=3939.93$
 $V, Ed=3939.93$ $V_c, Rd=72775.50$ $V, Ed/V_c, Rd=0.05$
- Verifica in termini tensionali [4.2.4] - CC 20 SLU $X_l=2.50$ - Classe 3
Sollecitazioni: $N=21268.50$ $M_y=-4773.97$
Tensioni: $\sigma_N=189.00$ $\sigma_{m,d}=379.01$ $\tau=0.00$ $\sigma_{max}=568.01$ (sfrut=0.17)
Tensioni: $\sigma_N=0.00$ $\sigma_{m,d}=0.00$ $\tau=0.00$ $\tau_{max}=0.00$ (sfrut=0.00)
Tensioni: $\sigma_N=189.00$ $\sigma_{m,d}=379.01$ $\tau=0.00$ $\sigma_{ID,max}=568.01$ (sfrut=0.17)
- Verifica di stabilità aste inflesse (4.2.4.1.3.2) CC 17 SLU - Classe 3
 $L_{cr}=5.00$ Curva b: $\alpha_{imp}=0.34$ $k_c=0.94$ $\psi=1.75$ $M_{cr}=160612.00$ $\lambda_{LT}=0.53$
 $\lambda_{LT,0}=0.40$ $\beta_{LT}=0.75$ $\Phi_{LT}=0.63$ $\beta_{LT}=0.75$ $f=0.97$ $\chi_{LT}=0.97$
 $M_y, Ed=-4924.91$ $M_y, b, Rd=41459.00$ $M_y, Ed/M_y, b, Rd=0.12$
- Verifica di stabilità aste presso-inflesse (C4.2.4.1.3.3.2) - CC 19 SLU - Classe 3
Sollecitazioni: $N, Ed=-14179.00$ $M_y, Ed=-4773.97$ $L=5.00$
 α_{my} , α_{mz} , $\alpha_{LT}=0.95$, 0.95 , 0.95
 $L_{cr}=5.00$ Curva b: $\alpha_{imp}=0.34$ $k_c=0.94$ $\psi=1.75$ $M_{cr}=160612.00$ $\lambda_{LT}=0.53$
 $\lambda_{LT,0}=0.40$ $\Phi_{LT}=0.63$ $\beta_{LT}=0.75$ $f=0.97$ $\chi_{LT}=0.97$
 $\lambda_y=39.25$ $N_{cr,y}=1514180.00$ $\lambda^*_y=0.51$ Curva b: $\Phi_y=0.69$ $\chi_y=0.88$
 $\lambda_z=66.77$ $N_{cr,z}=523093.00$ $\lambda^*_z=0.87$ Curva c: $\Phi_z=1.05$ $\chi_z=0.62$
 K_{yy} , K_{yz} , K_{zy} , $K_{zz}=0.96$, 0.98 , 0.00 , 0.98
Verifica YY: $0.04+0.11=0.15$
Verifica ZZ: $0.04=0.04$
- Verifica freccia massima carichi totali - CC 22
 $f_{z,L}=0.23$ (L/2135)
- Verifica freccia massima per soli carichi accidentali - CC 22
 $f_{z,L}=0.08$ (L/6098)

Asta n. 1015 (1045 1035) Sez. 10 HEA300 Crit. 2

- Verifica a flessione YY [4.2.13] - CC 1 SND $X_l=2.50$ - Classe 3
Sollecitazioni: $M_y=-2845.13$
 $M_y, Ed=-2845.13$ $M_y, c, Rd=42586.20$ $M_y, Ed/M_y, c, Rd=0.07$
- Verifica a taglio dir. Z [4.2.16] - CC 17 SLU $X_l=0.00$ - Classe 1
Sollecitazioni: $T_z=3939.93$
 $V, Ed=3939.93$ $V_c, Rd=72775.50$ $V, Ed/V_c, Rd=0.05$
- Verifica in termini tensionali [4.2.4] - CC 20 SLU $X_l=2.50$ - Classe 3
Sollecitazioni: $N=21268.50$ $M_y=-4773.97$
Tensioni: $\sigma_N=189.00$ $\sigma_{m,d}=379.01$ $\tau=0.00$ $\sigma_{max}=568.01$ (sfrut=0.17)
Tensioni: $\sigma_N=0.00$ $\sigma_{m,d}=0.00$ $\tau=0.00$ $\tau_{max}=0.00$ (sfrut=0.00)
Tensioni: $\sigma_N=189.00$ $\sigma_{m,d}=379.01$ $\tau=0.00$ $\sigma_{ID,max}=568.01$ (sfrut=0.17)
- Verifica di stabilità aste inflesse (4.2.4.1.3.2) CC 17 SLU - Classe 3
 $L_{cr}=5.00$ Curva b: $\alpha_{imp}=0.34$ $k_c=0.94$ $\psi=1.75$ $M_{cr}=160612.00$ $\lambda_{LT}=0.53$
 $\lambda_{LT,0}=0.40$ $\beta_{LT}=0.75$ $\Phi_{LT}=0.63$ $\beta_{LT}=0.75$ $f=0.97$ $\chi_{LT}=0.97$
 $M_y, Ed=-4924.91$ $M_y, b, Rd=41459.00$ $M_y, Ed/M_y, b, Rd=0.12$
- Verifica di stabilità aste presso-inflesse (C4.2.4.1.3.3.2) - CC 19 SLU - Classe 3
Sollecitazioni: $N, Ed=-14179.00$ $M_y, Ed=-4773.97$ $L=5.00$
 α_{my} , α_{mz} , $\alpha_{LT}=0.95$, 0.95 , 0.95
 $L_{cr}=5.00$ Curva b: $\alpha_{imp}=0.34$ $k_c=0.94$ $\psi=1.75$ $M_{cr}=160612.00$ $\lambda_{LT}=0.53$
 $\lambda_{LT,0}=0.40$ $\Phi_{LT}=0.63$ $\beta_{LT}=0.75$ $f=0.97$ $\chi_{LT}=0.97$
 $\lambda_y=39.25$ $N_{cr,y}=1514180.00$ $\lambda^*_y=0.51$ Curva b: $\Phi_y=0.69$ $\chi_y=0.88$
 $\lambda_z=66.77$ $N_{cr,z}=523093.00$ $\lambda^*_z=0.87$ Curva c: $\Phi_z=1.05$ $\chi_z=0.62$
 K_{yy} , K_{yz} , K_{zy} , $K_{zz}=0.96$, 0.98 , 0.00 , 0.98
Verifica YY: $0.04+0.11=0.15$
Verifica ZZ: $0.04=0.04$
- Verifica freccia massima carichi totali - CC 22
 $f_{z,L}=0.23$ (L/2135)
- Verifica freccia massima per soli carichi accidentali - CC 22
 $f_{z,L}=0.08$ (L/6098)

Asta n. 1015 (1055 1045) Sez. 10 HEA300 Crit. 2

- Verifica a flessione YY [4.2.13] - CC 1 SND $X_l=2.50$ - Classe 3
Sollecitazioni: $M_y=-2845.13$
 $M_y, Ed=-2845.13$ $M_y, c, Rd=42586.20$ $M_y, Ed/M_y, c, Rd=0.07$
- Verifica a taglio dir. Z [4.2.16] - CC 17 SLU $X_l=0.00$ - Classe 1
Sollecitazioni: $T_z=3939.93$
 $V, Ed=3939.93$ $V_c, Rd=72775.50$ $V, Ed/V_c, Rd=0.05$

Relazione di calcolo

- Verifica in termini tensionali [4.2.4] - CC 20 SLU $X_l=2.50$ - Classe 3
Sollecitazioni: $N=21268.50$ $M_y=-4773.97$
Tensioni: $\sigma_N=189.00$ $\sigma_{m,d}=379.01$ $\tau=0.00$ $\sigma_{max}=568.01$ (sfrut=0.17)
Tensioni: $\sigma_N=0.00$ $\sigma_{m,d}=0.00$ $\tau=0.00$ $\tau_{max}=0.00$ (sfrut=0.00)
Tensioni: $\sigma_N=189.00$ $\sigma_{m,d}=379.01$ $\tau=0.00$ $\sigma_{ID,max}=568.01$ (sfrut=0.17)
- Verifica di stabilità aste inflesse (4.2.4.1.3.2) CC 17 SLU - Classe 3
 $L_{cr}=5.00$ Curva b: $\alpha_{imp}=0.34$ $k_c=0.94$ $\psi=1.75$ $M_{cr}=160612.00$ $\lambda_{LT}=0.53$
 $\lambda_{LT,0}=0.40$ $\beta_{LT}=0.75$ $\Phi_{LT}=0.63$ $\beta_{LT}=0.75$ $f=0.97$ $\chi_{LT}=0.97$
 $M_{y,Ed}=-4924.91$ $M_{y,b,Rd}=41459.00$ $M_{y,Ed}/M_{y,b,Rd}=0.12$
- Verifica di stabilità aste presso-inflesse (C4.2.4.1.3.3.2) - CC 19 SLU - Classe 3
Sollecitazioni: $N_{Ed}=-14179.00$ $M_{y,Ed}=-4773.97$ $L=5.00$
 α_{my} , α_{mz} , $\alpha_{LT}=0.95$, 0.95 , 0.95
 $L_{cr}=5.00$ Curva b: $\alpha_{imp}=0.34$ $k_c=0.94$ $\psi=1.75$ $M_{cr}=160612.00$ $\lambda_{LT}=0.53$
 $\lambda_{LT,0}=0.40$ $\Phi_{LT}=0.63$ $\beta_{LT}=0.75$ $f=0.97$ $\chi_{LT}=0.97$
 $\lambda_y=39.25$ $N_{cr,y}=1514180.00$ $\lambda^*_y=0.51$ Curva b: $\Phi_y=0.69$ $\chi_y=0.88$
 $\lambda_z=66.77$ $N_{cr,z}=523093.00$ $\lambda^*_z=0.87$ Curva c: $\Phi_z=1.05$ $\chi_z=0.62$
 K_{yy} , K_{yz} , K_{zy} , $K_{zz}=0.96$, 0.98 , 0.00 , 0.98
Verifica YY: $0.04+0.11=0.15$
Verifica ZZ: $0.04=0.04$
- Verifica freccia massima carichi totali - CC 22
 $f_{z,L}=0.23$ (L/2135)
- Verifica freccia massima per soli carichi accidentali - CC 22
 $f_{z,L}=0.08$ (L/6098)
- Asta n. 1015 (1065 1055) Sez. 10 HEA300 Crit. 2

- Verifica a flessione YY [4.2.13] - CC 1 SND $X_l=2.50$ - Classe 3
Sollecitazioni: $M_y=-2845.13$
 $M_{y,Ed}=-2845.13$ $M_{y,c,Rd}=42586.20$ $M_{y,Ed}/M_{y,c,Rd}=0.07$
- Verifica a taglio dir. Z [4.2.16] - CC 17 SLU $X_l=0.00$ - Classe 1
Sollecitazioni: $T_z=3939.93$
 $V_{Ed}=3939.93$ $V_{c,Rd}=72775.50$ $V_{Ed}/V_{c,Rd}=0.05$
- Verifica in termini tensionali [4.2.4] - CC 20 SLU $X_l=2.50$ - Classe 3
Sollecitazioni: $N=21268.50$ $M_y=-4773.97$
Tensioni: $\sigma_N=189.00$ $\sigma_{m,d}=379.01$ $\tau=0.00$ $\sigma_{max}=568.01$ (sfrut=0.17)
Tensioni: $\sigma_N=0.00$ $\sigma_{m,d}=0.00$ $\tau=0.00$ $\tau_{max}=0.00$ (sfrut=0.00)
Tensioni: $\sigma_N=189.00$ $\sigma_{m,d}=379.01$ $\tau=0.00$ $\sigma_{ID,max}=568.01$ (sfrut=0.17)
- Verifica di stabilità aste inflesse (4.2.4.1.3.2) CC 17 SLU - Classe 3
 $L_{cr}=5.00$ Curva b: $\alpha_{imp}=0.34$ $k_c=0.94$ $\psi=1.75$ $M_{cr}=160612.00$ $\lambda_{LT}=0.53$
 $\lambda_{LT,0}=0.40$ $\beta_{LT}=0.75$ $\Phi_{LT}=0.63$ $\beta_{LT}=0.75$ $f=0.97$ $\chi_{LT}=0.97$
 $M_{y,Ed}=-4924.91$ $M_{y,b,Rd}=41459.00$ $M_{y,Ed}/M_{y,b,Rd}=0.12$
- Verifica di stabilità aste presso-inflesse (C4.2.4.1.3.3.2) - CC 19 SLU - Classe 3
Sollecitazioni: $N_{Ed}=-14179.00$ $M_{y,Ed}=-4773.97$ $L=5.00$
 α_{my} , α_{mz} , $\alpha_{LT}=0.95$, 0.95 , 0.95
 $L_{cr}=5.00$ Curva b: $\alpha_{imp}=0.34$ $k_c=0.94$ $\psi=1.75$ $M_{cr}=160612.00$ $\lambda_{LT}=0.53$
 $\lambda_{LT,0}=0.40$ $\Phi_{LT}=0.63$ $\beta_{LT}=0.75$ $f=0.97$ $\chi_{LT}=0.97$
 $\lambda_y=39.25$ $N_{cr,y}=1514180.00$ $\lambda^*_y=0.51$ Curva b: $\Phi_y=0.69$ $\chi_y=0.88$
 $\lambda_z=66.77$ $N_{cr,z}=523093.00$ $\lambda^*_z=0.87$ Curva c: $\Phi_z=1.05$ $\chi_z=0.62$
 K_{yy} , K_{yz} , K_{zy} , $K_{zz}=0.96$, 0.98 , 0.00 , 0.98
Verifica YY: $0.04+0.11=0.15$
Verifica ZZ: $0.04=0.04$
- Verifica freccia massima carichi totali - CC 22
 $f_{z,L}=0.23$ (L/2135)
- Verifica freccia massima per soli carichi accidentali - CC 22
 $f_{z,L}=0.08$ (L/6098)
- Asta n. 1015 (1075 1065) Sez. 10 HEA300 Crit. 2

- Verifica a flessione YY [4.2.13] - CC 1 SND $X_l=2.50$ - Classe 3
Sollecitazioni: $M_y=-2845.13$
 $M_{y,Ed}=-2845.13$ $M_{y,c,Rd}=42586.20$ $M_{y,Ed}/M_{y,c,Rd}=0.07$
- Verifica a taglio dir. Z [4.2.16] - CC 17 SLU $X_l=0.00$ - Classe 1
Sollecitazioni: $T_z=3939.93$
 $V_{Ed}=3939.93$ $V_{c,Rd}=72775.50$ $V_{Ed}/V_{c,Rd}=0.05$
- Verifica in termini tensionali [4.2.4] - CC 20 SLU $X_l=2.50$ - Classe 3
Sollecitazioni: $N=21268.50$ $M_y=-4773.97$

Relazione di calcolo

Tensioni: $\sigma_N=189.00$ $\sigma_{m,d}=379.01$ $\tau=0.00$ $\sigma_{max}=568.01$ (sfrut=0.17)
Tensioni: $\sigma_N=0.00$ $\sigma_{m,d}=0.00$ $\tau=0.00$ $\tau_{max}=0.00$ (sfrut=0.00)
Tensioni: $\sigma_N=189.00$ $\sigma_{m,d}=379.01$ $\tau=0.00$ $\sigma_{ID,max}=568.01$ (sfrut=0.17)

- Verifica di stabilità aste inflesse (4.2.4.1.3.2) CC 17 SLU - Classe 3
 $L_{cr}=5.00$ Curva b: $\alpha_{imp}=0.34$ $k_c=0.94$ $\psi=1.75$ $M_{cr}=160612.00$ $\lambda_{LT}=0.53$
 $\lambda_{LT,0}=0.40$ $\beta_{LT}=0.75$ $\Phi_{LT}=0.63$ $\beta_{LT}=0.75$ $f=0.97$ $\chi_{LT}=0.97$
 $M_{y,Ed}=-4924.91$ $M_{y,b,Rd}=41459.00$ $M_{y,Ed}/M_{y,b,Rd}=0.12$

- Verifica di stabilità aste presso-inflesse (C4.2.4.1.3.3.2) - CC 19 SLU - Classe 3
Sollecitazioni: $N_{Ed}=-14179.00$ $M_{y,Ed}=-4773.97$ $L=5.00$
 α_{my} , α_{mz} , $\alpha_{LT}=0.95$, 0.95 , 0.95
 $L_{cr}=5.00$ Curva b: $\alpha_{imp}=0.34$ $k_c=0.94$ $\psi=1.75$ $M_{cr}=160612.00$ $\lambda_{LT}=0.53$
 $\lambda_{LT,0}=0.40$ $\Phi_{LT}=0.63$ $\beta_{LT}=0.75$ $f=0.97$ $\chi_{LT}=0.97$
 $\lambda_y=39.25$ $N_{cr,y}=1514180.00$ $\lambda^*_y=0.51$ Curva b: $\Phi_y=0.69$ $\chi_y=0.88$
 $\lambda_z=66.77$ $N_{cr,z}=523093.00$ $\lambda^*_z=0.87$ Curva c: $\Phi_z=1.05$ $\chi_z=0.62$
 K_{yy} , K_{yz} , K_{zy} , $K_{zz}=0.96$, 0.98 , 0.00 , 0.98
Verifica YY: $0.04+0.11=0.15$
Verifica ZZ: $0.04=0.04$

- Verifica freccia massima carichi totali - CC 22
 $f_{z,L}=0.23$ (L/2135)

- Verifica freccia massima per soli carichi accidentali - CC 22
 $f_{z,L}=0.08$ (L/6098)

Asta n. 1015 (1085 1075) Sez. 10 HEA300 Crit. 2

- Verifica a flessione YY [4.2.13] - CC 1 SND $X_l=2.50$ - Classe 3
Sollecitazioni: $M_{y,Ed}=-2845.13$
 $M_{y,Ed}=-2845.13$ $M_{y,c,Rd}=42586.20$ $M_{y,Ed}/M_{y,c,Rd}=0.07$

- Verifica a taglio dir. Z [4.2.16] - CC 17 SLU $X_l=0.00$ - Classe 1
Sollecitazioni: $T_z=3939.93$
 $V_{Ed}=3939.93$ $V_{c,Rd}=72775.50$ $V_{Ed}/V_{c,Rd}=0.05$

- Verifica in termini tensionali [4.2.4] - CC 20 SLU $X_l=2.50$ - Classe 3
Sollecitazioni: $N=21268.50$ $M_{y,Ed}=-4773.97$
Tensioni: $\sigma_N=189.00$ $\sigma_{m,d}=379.01$ $\tau=0.00$ $\sigma_{max}=568.01$ (sfrut=0.17)
Tensioni: $\sigma_N=0.00$ $\sigma_{m,d}=0.00$ $\tau=0.00$ $\tau_{max}=0.00$ (sfrut=0.00)
Tensioni: $\sigma_N=189.00$ $\sigma_{m,d}=379.01$ $\tau=0.00$ $\sigma_{ID,max}=568.01$ (sfrut=0.17)

- Verifica di stabilità aste inflesse (4.2.4.1.3.2) CC 17 SLU - Classe 3
 $L_{cr}=5.00$ Curva b: $\alpha_{imp}=0.34$ $k_c=0.94$ $\psi=1.75$ $M_{cr}=160612.00$ $\lambda_{LT}=0.53$
 $\lambda_{LT,0}=0.40$ $\beta_{LT}=0.75$ $\Phi_{LT}=0.63$ $\beta_{LT}=0.75$ $f=0.97$ $\chi_{LT}=0.97$
 $M_{y,Ed}=-4924.91$ $M_{y,b,Rd}=41459.00$ $M_{y,Ed}/M_{y,b,Rd}=0.12$

- Verifica di stabilità aste presso-inflesse (C4.2.4.1.3.3.2) - CC 19 SLU - Classe 3
Sollecitazioni: $N_{Ed}=-14179.00$ $M_{y,Ed}=-4773.97$ $L=5.00$
 α_{my} , α_{mz} , $\alpha_{LT}=0.95$, 0.95 , 0.95
 $L_{cr}=5.00$ Curva b: $\alpha_{imp}=0.34$ $k_c=0.94$ $\psi=1.75$ $M_{cr}=160612.00$ $\lambda_{LT}=0.53$
 $\lambda_{LT,0}=0.40$ $\Phi_{LT}=0.63$ $\beta_{LT}=0.75$ $f=0.97$ $\chi_{LT}=0.97$
 $\lambda_y=39.25$ $N_{cr,y}=1514180.00$ $\lambda^*_y=0.51$ Curva b: $\Phi_y=0.69$ $\chi_y=0.88$
 $\lambda_z=66.77$ $N_{cr,z}=523093.00$ $\lambda^*_z=0.87$ Curva c: $\Phi_z=1.05$ $\chi_z=0.62$
 K_{yy} , K_{yz} , K_{zy} , $K_{zz}=0.96$, 0.98 , 0.00 , 0.98
Verifica YY: $0.04+0.11=0.15$
Verifica ZZ: $0.04=0.04$

- Verifica freccia massima carichi totali - CC 22
 $f_{z,L}=0.23$ (L/2135)

- Verifica freccia massima per soli carichi accidentali - CC 22
 $f_{z,L}=0.08$ (L/6098)

Asta n. 1015 (1095 1085) Sez. 10 HEA300 Crit. 2

- Verifica a flessione YY [4.2.13] - CC 1 SND $X_l=2.50$ - Classe 3
Sollecitazioni: $M_{y,Ed}=-2845.13$
 $M_{y,Ed}=-2845.13$ $M_{y,c,Rd}=42586.20$ $M_{y,Ed}/M_{y,c,Rd}=0.07$

- Verifica a taglio dir. Z [4.2.16] - CC 17 SLU $X_l=0.00$ - Classe 1
Sollecitazioni: $T_z=3939.93$
 $V_{Ed}=3939.93$ $V_{c,Rd}=72775.50$ $V_{Ed}/V_{c,Rd}=0.05$

- Verifica in termini tensionali [4.2.4] - CC 20 SLU $X_l=2.50$ - Classe 3
Sollecitazioni: $N=21268.50$ $M_{y,Ed}=-4773.97$
Tensioni: $\sigma_N=189.00$ $\sigma_{m,d}=379.01$ $\tau=0.00$ $\sigma_{max}=568.01$ (sfrut=0.17)
Tensioni: $\sigma_N=0.00$ $\sigma_{m,d}=0.00$ $\tau=0.00$ $\tau_{max}=0.00$ (sfrut=0.00)

Relazione di calcolo

Tensioni: $\sigma_N=189.00$ $\sigma_{m,d}=379.01$ $\tau=0.00$ $\sigma_{ID,max}=568.01$ (sfrut=0.17)

- Verifica di stabilità aste inflesse (4.2.4.1.3.2) CC 17 SLU - Classe 3
L_{cr}=5.00 Curva b: $\alpha_{imp}=0.34$ $k_c=0.94$ $\psi=1.75$ M_{cr}=160612.00 $\lambda_{LT}=0.53$
 $\lambda_{LT,0}=0.40$ $\beta_{LT}=0.75$ $\Phi_{LT}=0.63$ $\beta_{LT}=0.75$ $f=0.97$ $\chi_{LT}=0.97$
My,Ed=-4924.91 My,b,Rd=41459.00 My,Ed/My,b,Rd=0.12

- Verifica di stabilità aste presso-inflesse (C4.2.4.1.3.3.2) - CC 19 SLU - Classe 3
Sollecitazioni: N,Ed=-14179.00 My,Ed=-4773.97 L=5.00
 α_{my} , α_{mz} , $\alpha_{LT}=0.95$, 0.95, 0.95
L_{cr}=5.00 Curva b: $\alpha_{imp}=0.34$ $k_c=0.94$ $\psi=1.75$ M_{cr}=160612.00 $\lambda_{LT}=0.53$
 $\lambda_{LT,0}=0.40$ $\Phi_{LT}=0.63$ $\beta_{LT}=0.75$ $f=0.97$ $\chi_{LT}=0.97$
 $\lambda_y=39.25$ Ncr,y=1514180.00 $\lambda^*_y=0.51$ Curva b: $\Phi_y=0.69$ $\chi_y=0.88$
 $\lambda_z=66.77$ Ncr,z=523093.00 $\lambda^*_z=0.87$ Curva c: $\Phi_z=1.05$ $\chi_z=0.62$
Kyy, Kyz, Kzy, Kzz=0.96, 0.98, 0.00, 0.98
Verifica YY: 0.04+0.11=0.15
Verifica ZZ: 0.04=0.04

- Verifica freccia massima carichi totali - CC 22
f_{z,L}=0.23 (L/2135)

- Verifica freccia massima per soli carichi accidentali - CC 22
f_{z,L}=0.08 (L/6098)

Asta n. 1015 (1105 1095) Sez. 10 HEA300 Crit. 2

- Verifica a flessione YY [4.2.13] - CC 1 SND Xl=2.50 - Classe 3
Sollecitazioni: My=-2845.13
My,Ed=-2845.13 My,c,Rd=42586.20 My,Ed/My,c,Rd=0.07

- Verifica a taglio dir. Z [4.2.16] - CC 17 SLU Xl=0.00 - Classe 1
Sollecitazioni: T_z=3939.93
V,Ed=3939.93 Vc,Rd=72775.50 V,Ed/Vc,Rd=0.05

- Verifica in termini tensionali [4.2.4] - CC 20 SLU Xl=2.50 - Classe 3
Sollecitazioni: N=21268.50 My=-4773.97
Tensioni: $\sigma_N=189.00$ $\sigma_{m,d}=379.01$ $\tau=0.00$ $\sigma_{max}=568.01$ (sfrut=0.17)
Tensioni: $\sigma_N=0.00$ $\sigma_{m,d}=0.00$ $\tau=0.00$ $\tau_{max}=0.00$ (sfrut=0.00)
Tensioni: $\sigma_N=189.00$ $\sigma_{m,d}=379.01$ $\tau=0.00$ $\sigma_{ID,max}=568.01$ (sfrut=0.17)

- Verifica di stabilità aste inflesse (4.2.4.1.3.2) CC 17 SLU - Classe 3
L_{cr}=5.00 Curva b: $\alpha_{imp}=0.34$ $k_c=0.94$ $\psi=1.75$ M_{cr}=160612.00 $\lambda_{LT}=0.53$
 $\lambda_{LT,0}=0.40$ $\beta_{LT}=0.75$ $\Phi_{LT}=0.63$ $\beta_{LT}=0.75$ $f=0.97$ $\chi_{LT}=0.97$
My,Ed=-4924.91 My,b,Rd=41459.00 My,Ed/My,b,Rd=0.12

- Verifica di stabilità aste presso-inflesse (C4.2.4.1.3.3.2) - CC 19 SLU - Classe 3
Sollecitazioni: N,Ed=-14179.00 My,Ed=-4773.97 L=5.00
 α_{my} , α_{mz} , $\alpha_{LT}=0.95$, 0.95, 0.95
L_{cr}=5.00 Curva b: $\alpha_{imp}=0.34$ $k_c=0.94$ $\psi=1.75$ M_{cr}=160612.00 $\lambda_{LT}=0.53$
 $\lambda_{LT,0}=0.40$ $\Phi_{LT}=0.63$ $\beta_{LT}=0.75$ $f=0.97$ $\chi_{LT}=0.97$
 $\lambda_y=39.25$ Ncr,y=1514180.00 $\lambda^*_y=0.51$ Curva b: $\Phi_y=0.69$ $\chi_y=0.88$
 $\lambda_z=66.77$ Ncr,z=523093.00 $\lambda^*_z=0.87$ Curva c: $\Phi_z=1.05$ $\chi_z=0.62$
Kyy, Kyz, Kzy, Kzz=0.96, 0.98, 0.00, 0.98
Verifica YY: 0.04+0.11=0.15
Verifica ZZ: 0.04=0.04

- Verifica freccia massima carichi totali - CC 22
f_{z,L}=0.23 (L/2135)

- Verifica freccia massima per soli carichi accidentali - CC 22
f_{z,L}=0.08 (L/6098)

Asta n. 1016 (-13 -4) Sez. 2 IPE270 Crit. 2

- Verifica a flessione YY [4.2.13] - CC 1 SND Xl=2.50 - Classe 3
Sollecitazioni: My=-4000.86
My,Ed=-4000.86 My,c,Rd=14500.40 My,Ed/My,c,Rd=0.28

- Verifica a taglio dir. Z [4.2.16] - CC 17 SLU Xl=0.00 - Classe 1
Sollecitazioni: T_z=5922.88
V,Ed=5922.88 Vc,Rd=43217.20 V,Ed/Vc,Rd=0.14

- Verifica a presso o tenso-flessione retta YY (4.2.4.1.2.7) - CC 17 SLU Xl=2.50 - Classe 1
Sollecitazioni: N=5789.22 My=-7403.60
My,Ed=-7403.60 My,c,Rd=16436.40
N,Ed=5789.22 Nc,Rd=155342.00 YY n=N,Ed/Nc,Rd=0.04 MMy,c,Rd=16436.40 My,Ed/MMy,c,Rd=0.45

- Verifica di stabilità aste inflesse (4.2.4.1.3.2) CC 17 SLU - Classe 1
L_{cr}=5.00 Curva b: $\alpha_{imp}=0.34$ $k_c=0.94$ $\psi=1.75$ M_{cr}=13579.60 $\lambda_{LT}=1.13$

Relazione di calcolo

- $\lambda_{LT,0}=0.40$ $\beta_{LT}=0.75$ $\Phi_{LT}=1.10$ $\beta_{LT}=0.75$ $f=0.98$ $\chi_{LT}=0.64$
 $My,Ed=-7403.60$ $My,b,Rd=10471.50$ $My,Ed/My,b,Rd=0.71$
- Verifica di stabilità aste presso-inflesse (C4.2.4.1.3.3.2) - CC 19 SLU - Classe 1
Sollecitazioni: $N,Ed=-5789.22$ $My,Ed=-7101.73$ $L=5.00$
 $\alpha_{my}, \alpha_{mz}, \alpha_{LT}=0.95, 0.95, 0.95$
 $L_{cr}=5.00$ Curva b: $\alpha_{imp}=0.34$ $k_c=0.94$ $\psi=1.75$ $M_{cr}=13579.60$ $\lambda_{LT}=1.13$
 $\lambda_{LT,0}=0.40$ $\Phi_{LT}=1.10$ $\beta_{LT}=0.75$ $f=0.98$ $\chi_{LT}=0.64$
 $\lambda_y=44.54$ $N_{cr,y}=480014.00$ $\lambda^*_y=0.58$ Curva a: $\Phi_y=0.71$ $\chi_y=0.90$
 $\lambda_z=165.40$ $N_{cr,z}=34809.20$ $\lambda^*_z=2.16$ Curva b: $\Phi_z=3.18$ $\chi_z=0.18$
 $K_{yy}, K_{yz}, K_{zy}, K_{zz}=0.97, 0.73, 0.00, 1.22$
Verifica YY: $0.04+0.65=0.70$
Verifica ZZ: $0.21=0.21$
- Verifica freccia massima carichi totali - CC 22
 $f_{z,L}=1.12$ (L/448)
- Verifica freccia massima per soli carichi accidentali - CC 22
 $f_{z,L}=0.52$ (L/966)
- Asta n. 1016 (-22 -13) Sez. 2 IPE270 Crit. 2

- Verifica a flessione YY [4.2.13] - CC 1 SND $Xl=2.50$ - Classe 3
Sollecitazioni: $M_y=-4000.86$
 $My,Ed=-4000.86$ $My,c,Rd=14500.40$ $My,Ed/My,c,Rd=0.28$
- Verifica a taglio dir. Z [4.2.16] - CC 17 SLU $Xl=0.00$ - Classe 1
Sollecitazioni: $T_z=5922.88$
 $V,Ed=5922.88$ $V_c,Rd=43217.20$ $V,Ed/V_c,Rd=0.14$
- Verifica a presso o tenso-flessione retta YY (4.2.4.1.2.7) - CC 17 SLU $Xl=2.50$ - Classe 1
Sollecitazioni: $N=5789.22$ $M_y=-7403.60$
 $My,Ed=-7403.60$ $My,c,Rd=16436.40$
 $N,Ed=5789.22$ $N_c,Rd=155342.00$ YY $n=N,Ed/N_c,Rd=0.04$ $MN_y,c,Rd=16436.40$ $My,Ed/MN_y,c,Rd=0.45$
- Verifica di stabilità aste inflesse (4.2.4.1.3.2) CC 17 SLU - Classe 1
 $L_{cr}=5.00$ Curva b: $\alpha_{imp}=0.34$ $k_c=0.94$ $\psi=1.75$ $M_{cr}=13579.60$ $\lambda_{LT}=1.13$
 $\lambda_{LT,0}=0.40$ $\beta_{LT}=0.75$ $\Phi_{LT}=1.10$ $\beta_{LT}=0.75$ $f=0.98$ $\chi_{LT}=0.64$
 $My,Ed=-7403.60$ $My,b,Rd=10471.50$ $My,Ed/My,b,Rd=0.71$
- Verifica di stabilità aste presso-inflesse (C4.2.4.1.3.3.2) - CC 19 SLU - Classe 1
Sollecitazioni: $N,Ed=-5789.22$ $My,Ed=-7101.73$ $L=5.00$
 $\alpha_{my}, \alpha_{mz}, \alpha_{LT}=0.95, 0.95, 0.95$
 $L_{cr}=5.00$ Curva b: $\alpha_{imp}=0.34$ $k_c=0.94$ $\psi=1.75$ $M_{cr}=13579.60$ $\lambda_{LT}=1.13$
 $\lambda_{LT,0}=0.40$ $\Phi_{LT}=1.10$ $\beta_{LT}=0.75$ $f=0.98$ $\chi_{LT}=0.64$
 $\lambda_y=44.54$ $N_{cr,y}=480014.00$ $\lambda^*_y=0.58$ Curva a: $\Phi_y=0.71$ $\chi_y=0.90$
 $\lambda_z=165.40$ $N_{cr,z}=34809.20$ $\lambda^*_z=2.16$ Curva b: $\Phi_z=3.18$ $\chi_z=0.18$
 $K_{yy}, K_{yz}, K_{zy}, K_{zz}=0.97, 0.73, 0.00, 1.22$
Verifica YY: $0.04+0.65=0.70$
Verifica ZZ: $0.21=0.21$
- Verifica freccia massima carichi totali - CC 22
 $f_{z,L}=1.12$ (L/448)
- Verifica freccia massima per soli carichi accidentali - CC 22
 $f_{z,L}=0.52$ (L/966)
- Asta n. 1016 (-31 -22) Sez. 2 IPE270 Crit. 2

- Verifica a flessione YY [4.2.13] - CC 1 SND $Xl=2.50$ - Classe 3
Sollecitazioni: $M_y=-4000.86$
 $My,Ed=-4000.86$ $My,c,Rd=14500.40$ $My,Ed/My,c,Rd=0.28$
- Verifica a taglio dir. Z [4.2.16] - CC 17 SLU $Xl=0.00$ - Classe 1
Sollecitazioni: $T_z=5922.88$
 $V,Ed=5922.88$ $V_c,Rd=43217.20$ $V,Ed/V_c,Rd=0.14$
- Verifica a presso o tenso-flessione retta YY (4.2.4.1.2.7) - CC 17 SLU $Xl=2.50$ - Classe 1
Sollecitazioni: $N=5789.22$ $M_y=-7403.60$
 $My,Ed=-7403.60$ $My,c,Rd=16436.40$
 $N,Ed=5789.22$ $N_c,Rd=155342.00$ YY $n=N,Ed/N_c,Rd=0.04$ $MN_y,c,Rd=16436.40$ $My,Ed/MN_y,c,Rd=0.45$
- Verifica di stabilità aste inflesse (4.2.4.1.3.2) CC 17 SLU - Classe 1
 $L_{cr}=5.00$ Curva b: $\alpha_{imp}=0.34$ $k_c=0.94$ $\psi=1.75$ $M_{cr}=13579.60$ $\lambda_{LT}=1.13$
 $\lambda_{LT,0}=0.40$ $\beta_{LT}=0.75$ $\Phi_{LT}=1.10$ $\beta_{LT}=0.75$ $f=0.98$ $\chi_{LT}=0.64$
 $My,Ed=-7403.60$ $My,b,Rd=10471.50$ $My,Ed/My,b,Rd=0.71$
- Verifica di stabilità aste presso-inflesse (C4.2.4.1.3.3.2) - CC 19 SLU - Classe 1
Sollecitazioni: $N,Ed=-5789.22$ $My,Ed=-7101.73$ $L=5.00$

Relazione di calcolo

$\alpha_{my}, \alpha_{mz}, \alpha_{LT}=0.95, 0.95, 0.95$
 $L_{cr}=5.00$ Curva b: $\alpha_{imp}=0.34$ $k_c=0.94$ $\psi=1.75$ $M_{cr}=13579.60$ $\lambda_{LT}=1.13$
 $\lambda_{LT,0}=0.40$ $\Phi_{LT}=1.10$ $\beta_{LT}=0.75$ $f=0.98$ $\chi_{LT}=0.64$
 $\lambda_y=44.54$ $N_{cr,y}=480014.00$ $\lambda_y^*=0.58$ Curva a: $\Phi_y=0.71$ $\chi_y=0.90$
 $\lambda_z=165.40$ $N_{cr,z}=34809.20$ $\lambda_z^*=2.16$ Curva b: $\Phi_z=3.18$ $\chi_z=0.18$
 $K_{yy}, K_{yz}, K_{zy}, K_{zz}=0.97, 0.73, 0.00, 1.22$
Verifica YY: $0.04+0.65=0.70$
Verifica ZZ: $0.21=0.21$

- Verifica freccia massima carichi totali - CC 22
 $f_{z,L}=1.12$ (L/448)

- Verifica freccia massima per soli carichi accidentali - CC 22
 $f_{z,L}=0.52$ (L/966)

Asta n. 1016 (-40 -31) Sez. 2 IPE270 Crit. 2

- Verifica a flessione YY [4.2.13] - CC 1 SND $X_l=2.50$ - Classe 3
Sollecitazioni: $M_y=-4000.86$
 $M_y, Ed=-4000.86$ $M_y, c, Rd=14500.40$ $M_y, Ed/M_y, c, Rd=0.28$

- Verifica a taglio dir. Z [4.2.16] - CC 17 SLU $X_l=0.00$ - Classe 1
Sollecitazioni: $T_z=5922.88$
 $V, Ed=5922.88$ $V_c, Rd=43217.20$ $V, Ed/V_c, Rd=0.14$

- Verifica a presso o tenso-flessione retta YY (4.2.4.1.2.7) - CC 17 SLU $X_l=2.50$ - Classe 1
Sollecitazioni: $N=5789.22$ $M_y=-7403.60$
 $M_y, Ed=-7403.60$ $M_y, c, Rd=16436.40$
 $N, Ed=5789.22$ $N_c, Rd=155342.00$ YY $n=N, Ed/N_c, Rd=0.04$ $MN_y, c, Rd=16436.40$ $M_y, Ed/MN_y, c, Rd=0.45$

- Verifica di stabilità aste inflesse (4.2.4.1.3.2) CC 17 SLU - Classe 1
 $L_{cr}=5.00$ Curva b: $\alpha_{imp}=0.34$ $k_c=0.94$ $\psi=1.75$ $M_{cr}=13579.60$ $\lambda_{LT}=1.13$
 $\lambda_{LT,0}=0.40$ $\beta_{LT}=0.75$ $\Phi_{LT}=1.10$ $\beta_{LT}=0.75$ $f=0.98$ $\chi_{LT}=0.64$
 $M_y, Ed=-7403.60$ $M_y, b, Rd=10471.50$ $M_y, Ed/M_y, b, Rd=0.71$

- Verifica di stabilità aste presso-inflesse (C4.2.4.1.3.3.2) - CC 19 SLU - Classe 1
Sollecitazioni: $N, Ed=-5789.22$ $M_y, Ed=-7101.73$ $L=5.00$
 $\alpha_{my}, \alpha_{mz}, \alpha_{LT}=0.95, 0.95, 0.95$
 $L_{cr}=5.00$ Curva b: $\alpha_{imp}=0.34$ $k_c=0.94$ $\psi=1.75$ $M_{cr}=13579.60$ $\lambda_{LT}=1.13$
 $\lambda_{LT,0}=0.40$ $\Phi_{LT}=1.10$ $\beta_{LT}=0.75$ $f=0.98$ $\chi_{LT}=0.64$
 $\lambda_y=44.54$ $N_{cr,y}=480014.00$ $\lambda_y^*=0.58$ Curva a: $\Phi_y=0.71$ $\chi_y=0.90$
 $\lambda_z=165.40$ $N_{cr,z}=34809.20$ $\lambda_z^*=2.16$ Curva b: $\Phi_z=3.18$ $\chi_z=0.18$
 $K_{yy}, K_{yz}, K_{zy}, K_{zz}=0.97, 0.73, 0.00, 1.22$
Verifica YY: $0.04+0.65=0.70$
Verifica ZZ: $0.21=0.21$

- Verifica freccia massima carichi totali - CC 22
 $f_{z,L}=1.12$ (L/448)

- Verifica freccia massima per soli carichi accidentali - CC 22
 $f_{z,g}=0.52$ (L/966)

Asta n. 1016 (-49 -40) Sez. 2 IPE270 Crit. 2

- Verifica a flessione YY [4.2.13] - CC 1 SND $X_l=2.50$ - Classe 3
Sollecitazioni: $M_y=-4000.86$
 $M_y, Ed=-4000.86$ $M_y, c, Rd=14500.40$ $M_y, Ed/M_y, c, Rd=0.28$

- Verifica a taglio dir. Z [4.2.16] - CC 17 SLU $X_l=0.00$ - Classe 1
Sollecitazioni: $T_z=5922.88$
 $V, Ed=5922.88$ $V_c, Rd=43217.20$ $V, Ed/V_c, Rd=0.14$

- Verifica a presso o tenso-flessione retta YY (4.2.4.1.2.7) - CC 17 SLU $X_l=2.50$ - Classe 1
Sollecitazioni: $N=5789.22$ $M_y=-7403.60$
 $M_y, Ed=-7403.60$ $M_y, c, Rd=16436.40$
 $N, Ed=5789.22$ $N_c, Rd=155342.00$ YY $n=N, Ed/N_c, Rd=0.04$ $MN_y, c, Rd=16436.40$ $M_y, Ed/MN_y, c, Rd=0.45$

- Verifica di stabilità aste inflesse (4.2.4.1.3.2) CC 17 SLU - Classe 1
 $L_{cr}=5.00$ Curva b: $\alpha_{imp}=0.34$ $k_c=0.94$ $\psi=1.75$ $M_{cr}=13579.60$ $\lambda_{LT}=1.13$
 $\lambda_{LT,0}=0.40$ $\beta_{LT}=0.75$ $\Phi_{LT}=1.10$ $\beta_{LT}=0.75$ $f=0.98$ $\chi_{LT}=0.64$
 $M_y, Ed=-7403.60$ $M_y, b, Rd=10471.50$ $M_y, Ed/M_y, b, Rd=0.71$

- Verifica di stabilità aste presso-inflesse (C4.2.4.1.3.3.2) - CC 19 SLU - Classe 1
Sollecitazioni: $N, Ed=-5789.22$ $M_y, Ed=-7101.73$ $L=5.00$
 $\alpha_{my}, \alpha_{mz}, \alpha_{LT}=0.95, 0.95, 0.95$
 $L_{cr}=5.00$ Curva b: $\alpha_{imp}=0.34$ $k_c=0.94$ $\psi=1.75$ $M_{cr}=13579.60$ $\lambda_{LT}=1.13$
 $\lambda_{LT,0}=0.40$ $\Phi_{LT}=1.10$ $\beta_{LT}=0.75$ $f=0.98$ $\chi_{LT}=0.64$
 $\lambda_y=44.54$ $N_{cr,y}=480014.00$ $\lambda_y^*=0.58$ Curva a: $\Phi_y=0.71$ $\chi_y=0.90$
 $\lambda_z=165.40$ $N_{cr,z}=34809.20$ $\lambda_z^*=2.16$ Curva b: $\Phi_z=3.18$ $\chi_z=0.18$

Relazione di calcolo

-
- Kyy, Kyz, Kzy, Kzz=0.97, 0.73, 0.00, 1.22
Verifica YY: 0.04+0.65=0.70
Verifica ZZ: 0.21=0.21
- Verifica freccia massima carichi totali - CC 22
 $f_{z,L}=1.12$ (L/448)
- Verifica freccia massima per soli carichi accidentali - CC 22
 $f_{z,L}=0.52$ (L/966)
- Asta n. 1016 (-58 -49) Sez. 2 IPE270 Crit. 2

- Verifica a flessione YY [4.2.13] - CC 1 SND $X_l=2.50$ - Classe 3
Sollecitazioni: $M_y=-4000.86$
 $M_y,Ed=-4000.86$ $M_y,c,Rd=14500.40$ $M_y,Ed/M_y,c,Rd=0.28$
- Verifica a taglio dir. Z [4.2.16] - CC 17 SLU $X_l=0.00$ - Classe 1
Sollecitazioni: $T_z=5922.88$
 $V,Ed=5922.88$ $V_c,Rd=43217.20$ $V,Ed/V_c,Rd=0.14$
- Verifica a presso o tenso-flessione retta YY (4.2.4.1.2.7) - CC 17 SLU $X_l=2.50$ - Classe 1
Sollecitazioni: $N=5789.22$ $M_y=-7403.60$
 $M_y,Ed=-7403.60$ $M_y,c,Rd=16436.40$
 $N,Ed=5789.22$ $N_c,Rd=155342.00$ $YY\ n=N,Ed/N_c,Rd=0.04$ $MN_y,c,Rd=16436.40$ $M_y,Ed/MN_y,c,Rd=0.45$
- Verifica di stabilità aste inflesse (4.2.4.1.3.2) CC 17 SLU - Classe 1
 $L_{cr}=5.00$ Curva b: $\alpha_{imp}=0.34$ $k_c=0.94$ $\psi=1.75$ $M_{cr}=13579.60$ $\lambda_{LT}=1.13$
 $\lambda_{LT,0}=0.40$ $\beta_{LT}=0.75$ $\Phi_{LT}=1.10$ $\beta_{LT}=0.75$ $f=0.98$ $\chi_{LT}=0.64$
 $M_y,Ed=-7403.60$ $M_y,b,Rd=10471.50$ $M_y,Ed/M_y,b,Rd=0.71$
- Verifica di stabilità aste presso-inflesse (C4.2.4.1.3.3.2) - CC 19 SLU - Classe 1
Sollecitazioni: $N,Ed=-5789.22$ $M_y,Ed=-7101.73$ $L=5.00$
 $\alpha_{my}, \alpha_{mz}, \alpha_{LT}=0.95, 0.95, 0.95$
 $L_{cr}=5.00$ Curva b: $\alpha_{imp}=0.34$ $k_c=0.94$ $\psi=1.75$ $M_{cr}=13579.60$ $\lambda_{LT}=1.13$
 $\lambda_{LT,0}=0.40$ $\Phi_{LT}=1.10$ $\beta_{LT}=0.75$ $f=0.98$ $\chi_{LT}=0.64$
 $\lambda_y=44.54$ $N_{cr,y}=480014.00$ $\lambda_y^*=0.58$ Curva a: $\Phi_y=0.71$ $\chi_y=0.90$
 $\lambda_z=165.40$ $N_{cr,z}=34809.20$ $\lambda_z^*=2.16$ Curva b: $\Phi_z=3.18$ $\chi_z=0.18$
Kyy, Kyz, Kzy, Kzz=0.97, 0.73, 0.00, 1.22
Verifica YY: 0.04+0.65=0.70
Verifica ZZ: 0.21=0.21
- Verifica freccia massima carichi totali - CC 22
 $f_{z,L}=1.12$ (L/448)
- Verifica freccia massima per soli carichi accidentali - CC 22
 $f_{z,L}=0.52$ (L/966)
- Asta n. 1016 (-67 -58) Sez. 2 IPE270 Crit. 2

- Verifica a flessione YY [4.2.13] - CC 1 SND $X_l=2.50$ - Classe 3
Sollecitazioni: $M_y=-4000.86$
 $M_y,Ed=-4000.86$ $M_y,c,Rd=14500.40$ $M_y,Ed/M_y,c,Rd=0.28$
- Verifica a taglio dir. Z [4.2.16] - CC 17 SLU $X_l=0.00$ - Classe 1
Sollecitazioni: $T_z=5922.88$
 $V,Ed=5922.88$ $V_c,Rd=43217.20$ $V,Ed/V_c,Rd=0.14$
- Verifica a presso o tenso-flessione retta YY (4.2.4.1.2.7) - CC 17 SLU $X_l=2.50$ - Classe 1
Sollecitazioni: $N=5789.22$ $M_y=-7403.60$
 $M_y,Ed=-7403.60$ $M_y,c,Rd=16436.40$
 $N,Ed=5789.22$ $N_c,Rd=155342.00$ $YY\ n=N,Ed/N_c,Rd=0.04$ $MN_y,c,Rd=16436.40$ $M_y,Ed/MN_y,c,Rd=0.45$
- Verifica di stabilità aste inflesse (4.2.4.1.3.2) CC 17 SLU - Classe 1
 $L_{cr}=5.00$ Curva b: $\alpha_{imp}=0.34$ $k_c=0.94$ $\psi=1.75$ $M_{cr}=13579.60$ $\lambda_{LT}=1.13$
 $\lambda_{LT,0}=0.40$ $\beta_{LT}=0.75$ $\Phi_{LT}=1.10$ $\beta_{LT}=0.75$ $f=0.98$ $\chi_{LT}=0.64$
 $M_y,Ed=-7403.60$ $M_y,b,Rd=10471.50$ $M_y,Ed/M_y,b,Rd=0.71$
- Verifica di stabilità aste presso-inflesse (C4.2.4.1.3.3.2) - CC 19 SLU - Classe 1
Sollecitazioni: $N,Ed=-5789.22$ $M_y,Ed=-7101.73$ $L=5.00$
 $\alpha_{my}, \alpha_{mz}, \alpha_{LT}=0.95, 0.95, 0.95$
 $L_{cr}=5.00$ Curva b: $\alpha_{imp}=0.34$ $k_c=0.94$ $\psi=1.75$ $M_{cr}=13579.60$ $\lambda_{LT}=1.13$
 $\lambda_{LT,0}=0.40$ $\Phi_{LT}=1.10$ $\beta_{LT}=0.75$ $f=0.98$ $\chi_{LT}=0.64$
 $\lambda_y=44.54$ $N_{cr,y}=480014.00$ $\lambda_y^*=0.58$ Curva a: $\Phi_y=0.71$ $\chi_y=0.90$
 $\lambda_z=165.40$ $N_{cr,z}=34809.20$ $\lambda_z^*=2.16$ Curva b: $\Phi_z=3.18$ $\chi_z=0.18$
Kyy, Kyz, Kzy, Kzz=0.97, 0.73, 0.00, 1.22
Verifica YY: 0.04+0.65=0.70
Verifica ZZ: 0.21=0.21
- Verifica freccia massima carichi totali - CC 22

Relazione di calcolo

$f_{z,L}=1.12$ (L/448)

- Verifica freccia massima per soli carichi accidentali - CC 22
 $f_{z,G}=0.52$ (L/966)

Asta n. 1016 (-76 -67) Sez. 2 IPE270 Crit. 2

- Verifica a flessione YY [4.2.13] - CC 1 SND $X_l=2.50$ - Classe 3
Sollecitazioni: $M_y=-4000.86$
 $M_y,Ed=-4000.86$ $M_y,c,Rd=14500.40$ $M_y,Ed/M_y,c,Rd=0.28$

- Verifica a taglio dir. Z [4.2.16] - CC 17 SLU $X_l=0.00$ - Classe 1
Sollecitazioni: $T_z=5922.88$
 $V,Ed=5922.88$ $V_c,Rd=43217.20$ $V,Ed/V_c,Rd=0.14$

- Verifica a presso o tenso-flessione retta YY (4.2.4.1.2.7) - CC 17 SLU $X_l=2.50$ - Classe 1
Sollecitazioni: $N=5789.22$ $M_y=-7403.60$
 $M_y,Ed=-7403.60$ $M_y,c,Rd=16436.40$
 $N,Ed=5789.22$ $N_c,Rd=155342.00$ $YY\ n=N,Ed/N_c,Rd=0.04$ $MNy,c,Rd=16436.40$ $M_y,Ed/MNy,c,Rd=0.45$

- Verifica di stabilità aste inflesse (4.2.4.1.3.2) CC 17 SLU - Classe 1
 $L_{cr}=5.00$ Curva b: $\alpha_{imp}=0.34$ $k_c=0.94$ $\psi=1.75$ $M_{cr}=13579.60$ $\lambda_{LT}=1.13$
 $\lambda_{LT,0}=0.40$ $\beta_{LT}=0.75$ $\Phi_{LT}=1.10$ $\beta_{LT}=0.75$ $f=0.98$ $\chi_{LT}=0.64$
 $M_y,Ed=-7403.60$ $M_y,b,Rd=10471.50$ $M_y,Ed/M_y,b,Rd=0.71$

- Verifica di stabilità aste presso-inflesse (C4.2.4.1.3.3.2) - CC 19 SLU - Classe 1
Sollecitazioni: $N,Ed=-5789.22$ $M_y,Ed=-7101.73$ $L=5.00$
 $\alpha_{my}, \alpha_{mz}, \alpha_{LT}=0.95, 0.95, 0.95$
 $L_{cr}=5.00$ Curva b: $\alpha_{imp}=0.34$ $k_c=0.94$ $\psi=1.75$ $M_{cr}=13579.60$ $\lambda_{LT}=1.13$
 $\lambda_{LT,0}=0.40$ $\Phi_{LT}=1.10$ $\beta_{LT}=0.75$ $f=0.98$ $\chi_{LT}=0.64$
 $\lambda_y=44.54$ $N_{cr,y}=480014.00$ $\lambda_y^*=0.58$ Curva a: $\Phi_y=0.71$ $\chi_y=0.90$
 $\lambda_z=165.40$ $N_{cr,z}=34809.20$ $\lambda_z^*=2.16$ Curva b: $\Phi_z=3.18$ $\chi_z=0.18$
 $K_{yy}, K_{yz}, K_{zy}, K_{zz}=0.97, 0.73, 0.00, 1.22$
Verifica YY: $0.04+0.65=0.70$
Verifica ZZ: $0.21=0.21$

- Verifica freccia massima carichi totali - CC 22
 $f_{z,L}=1.12$ (L/448)

- Verifica freccia massima per soli carichi accidentali - CC 22
 $f_{z,L}=0.52$ (L/966)

Asta n. 1016 (-85 -76) Sez. 2 IPE270 Crit. 2

- Verifica a flessione YY [4.2.13] - CC 1 SND $X_l=2.50$ - Classe 3
Sollecitazioni: $M_y=-4000.86$
 $M_y,Ed=-4000.86$ $M_y,c,Rd=14500.40$ $M_y,Ed/M_y,c,Rd=0.28$

- Verifica a taglio dir. Z [4.2.16] - CC 17 SLU $X_l=0.00$ - Classe 1
Sollecitazioni: $T_z=5922.88$
 $V,Ed=5922.88$ $V_c,Rd=43217.20$ $V,Ed/V_c,Rd=0.14$

- Verifica a presso o tenso-flessione retta YY (4.2.4.1.2.7) - CC 17 SLU $X_l=2.50$ - Classe 1
Sollecitazioni: $N=5789.22$ $M_y=-7403.60$
 $M_y,Ed=-7403.60$ $M_y,c,Rd=16436.40$
 $N,Ed=5789.22$ $N_c,Rd=155342.00$ $YY\ n=N,Ed/N_c,Rd=0.04$ $MNy,c,Rd=16436.40$ $M_y,Ed/MNy,c,Rd=0.45$

- Verifica di stabilità aste inflesse (4.2.4.1.3.2) CC 17 SLU - Classe 1
 $L_{cr}=5.00$ Curva b: $\alpha_{imp}=0.34$ $k_c=0.94$ $\psi=1.75$ $M_{cr}=13579.60$ $\lambda_{LT}=1.13$
 $\lambda_{LT,0}=0.40$ $\beta_{LT}=0.75$ $\Phi_{LT}=1.10$ $\beta_{LT}=0.75$ $f=0.98$ $\chi_{LT}=0.64$
 $M_y,Ed=-7403.60$ $M_y,b,Rd=10471.50$ $M_y,Ed/M_y,b,Rd=0.71$

- Verifica di stabilità aste presso-inflesse (C4.2.4.1.3.3.2) - CC 19 SLU - Classe 1
Sollecitazioni: $N,Ed=-5789.22$ $M_y,Ed=-7101.73$ $L=5.00$
 $\alpha_{my}, \alpha_{mz}, \alpha_{LT}=0.95, 0.95, 0.95$
 $L_{cr}=5.00$ Curva b: $\alpha_{imp}=0.34$ $k_c=0.94$ $\psi=1.75$ $M_{cr}=13579.60$ $\lambda_{LT}=1.13$
 $\lambda_{LT,0}=0.40$ $\Phi_{LT}=1.10$ $\beta_{LT}=0.75$ $f=0.98$ $\chi_{LT}=0.64$
 $\lambda_y=44.54$ $N_{cr,y}=480014.00$ $\lambda_y^*=0.58$ Curva a: $\Phi_y=0.71$ $\chi_y=0.90$
 $\lambda_z=165.40$ $N_{cr,z}=34809.20$ $\lambda_z^*=2.16$ Curva b: $\Phi_z=3.18$ $\chi_z=0.18$
 $K_{yy}, K_{yz}, K_{zy}, K_{zz}=0.97, 0.73, 0.00, 1.22$
Verifica YY: $0.04+0.65=0.70$
Verifica ZZ: $0.21=0.21$

- Verifica freccia massima carichi totali - CC 22
 $f_{z,L}=1.12$ (L/448)

- Verifica freccia massima per soli carichi accidentali - CC 22
 $f_{z,L}=0.52$ (L/966)

Relazione di calcolo

Asta n. 1016 (-94 -85) Sez. 2 IPE270 Crit. 2

-
- Verifica a flessione YY [4.2.13] - CC 1 SND $X_l=2.50$ - Classe 3
Sollecitazioni: $M_y=-4000.86$
 $M_y, Ed=-4000.86$ $M_y, c, Rd=14500.40$ $M_y, Ed/M_y, c, Rd=0.28$
 - Verifica a taglio dir. Z [4.2.16] - CC 17 SLU $X_l=0.00$ - Classe 1
Sollecitazioni: $T_z=5922.88$
 $V, Ed=5922.88$ $V_c, Rd=43217.20$ $V, Ed/V_c, Rd=0.14$
 - Verifica a presso o tenso-flessione retta YY (4.2.4.1.2.7) - CC 17 SLU $X_l=2.50$ - Classe 1
Sollecitazioni: $N=5789.22$ $M_y=-7403.60$
 $M_y, Ed=-7403.60$ $M_y, c, Rd=16436.40$
 $N, Ed=5789.22$ $N_c, Rd=155342.00$ YY $n=N, Ed/N_c, Rd=0.04$ $MN_y, c, Rd=16436.40$ $M_y, Ed/MN_y, c, Rd=0.45$
 - Verifica di stabilità aste inflesse (4.2.4.1.3.2) CC 17 SLU - Classe 1
 $L_{cr}=5.00$ Curva b: $\alpha_{imp}=0.34$ $k_c=0.94$ $\psi=1.75$ $M_{cr}=13579.60$ $\lambda_{LT}=1.13$
 $\lambda_{LT,0}=0.40$ $\beta_{LT}=0.75$ $\Phi_{LT}=1.10$ $\beta_{LT}=0.75$ $f=0.98$ $\chi_{LT}=0.64$
 $M_y, Ed=-7403.60$ $M_y, b, Rd=10471.50$ $M_y, Ed/M_y, b, Rd=0.71$
 - Verifica di stabilità aste presso-inflesse (C4.2.4.1.3.3.2) - CC 19 SLU - Classe 1
Sollecitazioni: $N, Ed=-5789.22$ $M_y, Ed=-7101.73$ $L=5.00$
 $\alpha_{my}, \alpha_{mz}, \alpha_{LT}=0.95, 0.95, 0.95$
 $L_{cr}=5.00$ Curva b: $\alpha_{imp}=0.34$ $k_c=0.94$ $\psi=1.75$ $M_{cr}=13579.60$ $\lambda_{LT}=1.13$
 $\lambda_{LT,0}=0.40$ $\Phi_{LT}=1.10$ $\beta_{LT}=0.75$ $f=0.98$ $\chi_{LT}=0.64$
 $\lambda_y=44.54$ $N_{cr,y}=480014.00$ $\lambda^*_y=0.58$ Curva a: $\Phi_y=0.71$ $\chi_y=0.90$
 $\lambda_z=165.40$ $N_{cr,z}=34809.20$ $\lambda^*_z=2.16$ Curva b: $\Phi_z=3.18$ $\chi_z=0.18$
 $K_{yy}, K_{yz}, K_{zy}, K_{zz}=0.97, 0.73, 0.00, 1.22$
Verifica YY: $0.04+0.65=0.70$
Verifica ZZ: $0.21=0.21$
 - Verifica freccia massima carichi totali - CC 22
 $f_{z,g}=1.12$ (L/448)
 - Verifica freccia massima per soli carichi accidentali - CC 22
 $f_{z,L}=0.52$ (L/966)

Asta n. 1017 (1006 1001) Sez. 10 HEA300 Crit. 2

-
- Verifica a flessione YY [4.2.13] - CC 1 SND $X_l=2.50$ - Classe 3
Sollecitazioni: $M_y=-2532.69$
 $M_y, Ed=-2532.69$ $M_y, c, Rd=42586.20$ $M_y, Ed/M_y, c, Rd=0.06$
 - Verifica a taglio dir. Z [4.2.16] - CC 17 SLU $X_l=5.00$ - Classe 1
Sollecitazioni: $T_z=-3473.40$
 $V, Ed=-3473.40$ $V_c, Rd=72775.50$ $V, Ed/V_c, Rd=0.05$
 - Verifica in termini tensionali [4.2.4] - CC 17 SLU $X_l=2.50$ - Classe 3
Sollecitazioni: $N=14179.00$ $M_y=-4341.75$
Tensioni: $\sigma_N=126.00$ $\sigma_{m,d}=344.69$ $\tau=0.00$ $\sigma_{max}=470.70$ (sfrut=0.14)
Tensioni: $\sigma_N=0.00$ $\sigma_{m,d}=0.00$ $\tau=0.00$ $\tau_{max}=0.00$ (sfrut=0.00)
Tensioni: $\sigma_N=126.00$ $\sigma_{m,d}=344.69$ $\tau=0.00$ $\sigma_{ID,max}=470.70$ (sfrut=0.14)
 - Verifica di stabilità aste inflesse (4.2.4.1.3.2) CC 17 SLU - Classe 3
 $L_{cr}=5.00$ Curva b: $\alpha_{imp}=0.34$ $k_c=0.94$ $\psi=1.75$ $M_{cr}=160612.00$ $\lambda_{LT}=0.53$
 $\lambda_{LT,0}=0.40$ $\beta_{LT}=0.75$ $\Phi_{LT}=0.63$ $\beta_{LT}=0.75$ $f=0.97$ $\chi_{LT}=0.97$
 $M_y, Ed=-4341.75$ $M_y, b, Rd=41459.00$ $M_y, Ed/M_y, b, Rd=0.10$
 - Verifica di stabilità aste presso-inflesse (C4.2.4.1.3.3.2) - CC 19 SLU - Classe 3
Sollecitazioni: $N, Ed=-14179.00$ $M_y, Ed=-4215.07$ $L=5.00$
 $\alpha_{my}, \alpha_{mz}, \alpha_{LT}=0.95, 0.95, 0.95$
 $L_{cr}=5.00$ Curva b: $\alpha_{imp}=0.34$ $k_c=0.94$ $\psi=1.75$ $M_{cr}=160612.00$ $\lambda_{LT}=0.53$
 $\lambda_{LT,0}=0.40$ $\Phi_{LT}=0.63$ $\beta_{LT}=0.75$ $f=0.97$ $\chi_{LT}=0.97$
 $\lambda_y=39.25$ $N_{cr,y}=1514180.00$ $\lambda^*_y=0.51$ Curva b: $\Phi_y=0.69$ $\chi_y=0.88$
 $\lambda_z=66.77$ $N_{cr,z}=523093.00$ $\lambda^*_z=0.87$ Curva c: $\Phi_z=1.05$ $\chi_z=0.62$
 $K_{yy}, K_{yz}, K_{zy}, K_{zz}=0.96, 0.98, 0.00, 0.98$
Verifica YY: $0.04+0.10=0.14$
Verifica ZZ: $0.04=0.04$
 - Verifica freccia massima carichi totali - CC 22
 $f_{z,L}=0.21$ (L/2422)
 - Verifica freccia massima per soli carichi accidentali - CC 22
 $f_{z,g}=0.07$ (L/7264)

Asta n. 1017 (1016 1006) Sez. 2 IPE270 Crit. 2

-
- Verifica a flessione YY [4.2.13] - CC 1 SND $X_l=2.50$ - Classe 3
Sollecitazioni: $M_y=-3688.42$

Relazione di calcolo

My,Ed=-3688.42 My,c,Rd=14500.40 My,Ed/My,c,Rd=0.25

- Verifica a taglio dir. Z [4.2.16] - CC 17 SLU Xl=0.00 - Classe 1
Sollecitazioni: T_z=5456.35
V,Ed=5456.35 Vc,Rd=43217.20 V,Ed/Vc,Rd=0.13

- Verifica a presso o tenso-flessione retta YY (4.2.4.1.2.7) - CC 17 SLU Xl=2.50 - Classe 1
Sollecitazioni: N=5789.22 M_y=-6820.44
My,Ed=-6820.44 My,c,Rd=16436.40
N,Ed=5789.22 Nc,Rd=155342.00 YY n=N,Ed/Nc,Rd=0.04 MNy,c,Rd=16436.40 My,Ed/MNy,c,Rd=0.41

- Verifica di stabilità aste inflesse (4.2.4.1.3.2) CC 17 SLU - Classe 1
L_{cr}=5.00 Curva b: $\alpha_{imp}=0.34$ k_c=0.94 $\psi=1.75$ M_{cr}=13579.60 $\lambda_{LT}=1.13$
 $\lambda_{LT,0}=0.40$ $\beta_{LT}=0.75$ $\Phi_{LT}=1.10$ $\beta_{LT}=0.75$ f=0.98 $\chi_{LT}=0.64$
My,Ed=-6820.44 My,b,Rd=10471.50 My,Ed/My,b,Rd=0.65

- Verifica di stabilità aste presso-inflesse (C4.2.4.1.3.3.2) - CC 19 SLU - Classe 1
Sollecitazioni: N,Ed=-5789.22 My,Ed=-6542.82 L=5.00
 α_{my} , α_{mz} , $\alpha_{LT}=0.95$, 0.95, 0.95
L_{cr}=5.00 Curva b: $\alpha_{imp}=0.34$ k_c=0.94 $\psi=1.75$ M_{cr}=13579.60 $\lambda_{LT}=1.13$
 $\lambda_{LT,0}=0.40$ $\Phi_{LT}=1.10$ $\beta_{LT}=0.75$ f=0.98 $\chi_{LT}=0.64$
 $\lambda_y=44.54$ N_{cr,y}=480014.00 $\lambda^*_y=0.58$ Curva a: $\Phi_y=0.71$ $\chi_y=0.90$
 $\lambda_z=165.40$ N_{cr,z}=34809.20 $\lambda^*_z=2.16$ Curva b: $\Phi_z=3.18$ $\chi_z=0.18$
K_{yy}, K_{yz}, K_{zy}, K_{zz}=0.97, 0.73, 0.00, 1.22
Verifica YY: 0.04+0.60=0.64
Verifica ZZ: 0.21=0.21

- Verifica freccia massima carichi totali - CC 22
f_{z,L}=1.03 (L/486)

- Verifica freccia massima per soli carichi accidentali - CC 22
f_{z,L}=0.48 (L/1051)

Asta n. 1017 (1026 1016) Sez. 2 IPE270 Crit. 2

- Verifica a flessione YY [4.2.13] - CC 1 SND Xl=2.50 - Classe 3
Sollecitazioni: M_y=-3688.42
My,Ed=-3688.42 My,c,Rd=14500.40 My,Ed/My,c,Rd=0.25

- Verifica a taglio dir. Z [4.2.16] - CC 17 SLU Xl=0.00 - Classe 1
Sollecitazioni: T_z=5456.35
V,Ed=5456.35 Vc,Rd=43217.20 V,Ed/Vc,Rd=0.13

- Verifica a presso o tenso-flessione retta YY (4.2.4.1.2.7) - CC 17 SLU Xl=2.50 - Classe 1
Sollecitazioni: N=5789.22 M_y=-6820.44
My,Ed=-6820.44 My,c,Rd=16436.40
N,Ed=5789.22 Nc,Rd=155342.00 YY n=N,Ed/Nc,Rd=0.04 MNy,c,Rd=16436.40 My,Ed/MNy,c,Rd=0.41

- Verifica di stabilità aste inflesse (4.2.4.1.3.2) CC 17 SLU - Classe 1
L_{cr}=5.00 Curva b: $\alpha_{imp}=0.34$ k_c=0.94 $\psi=1.75$ M_{cr}=13579.60 $\lambda_{LT}=1.13$
 $\lambda_{LT,0}=0.40$ $\beta_{LT}=0.75$ $\Phi_{LT}=1.10$ $\beta_{LT}=0.75$ f=0.98 $\chi_{LT}=0.64$
My,Ed=-6820.44 My,b,Rd=10471.50 My,Ed/My,b,Rd=0.65

- Verifica di stabilità aste presso-inflesse (C4.2.4.1.3.3.2) - CC 19 SLU - Classe 1
Sollecitazioni: N,Ed=-5789.22 My,Ed=-6542.82 L=5.00
 α_{my} , α_{mz} , $\alpha_{LT}=0.95$, 0.95, 0.95
L_{cr}=5.00 Curva b: $\alpha_{imp}=0.34$ k_c=0.94 $\psi=1.75$ M_{cr}=13579.60 $\lambda_{LT}=1.13$
 $\lambda_{LT,0}=0.40$ $\Phi_{LT}=1.10$ $\beta_{LT}=0.75$ f=0.98 $\chi_{LT}=0.64$
 $\lambda_y=44.54$ N_{cr,y}=480014.00 $\lambda^*_y=0.58$ Curva a: $\Phi_y=0.71$ $\chi_y=0.90$
 $\lambda_z=165.40$ N_{cr,z}=34809.20 $\lambda^*_z=2.16$ Curva b: $\Phi_z=3.18$ $\chi_z=0.18$
K_{yy}, K_{yz}, K_{zy}, K_{zz}=0.97, 0.73, 0.00, 1.22
Verifica YY: 0.04+0.60=0.64
Verifica ZZ: 0.21=0.21

- Verifica freccia massima carichi totali - CC 22
f_{z,L}=1.03 (L/486)

- Verifica freccia massima per soli carichi accidentali - CC 22
f_{z,L}=0.48 (L/1051)

Asta n. 1017 (1036 1026) Sez. 2 IPE270 Crit. 2

- Verifica a flessione YY [4.2.13] - CC 1 SND Xl=2.50 - Classe 3
Sollecitazioni: M_y=-3688.42
My,Ed=-3688.42 My,c,Rd=14500.40 My,Ed/My,c,Rd=0.25

- Verifica a taglio dir. Z [4.2.16] - CC 17 SLU Xl=0.00 - Classe 1
Sollecitazioni: T_z=5456.35
V,Ed=5456.35 Vc,Rd=43217.20 V,Ed/Vc,Rd=0.13

Relazione di calcolo

- Verifica a presso o tenso-flessione retta YY (4.2.4.1.2.7) - CC 17 SLU $X_l=2.50$ - Classe 1
Sollecitazioni: $N=5789.22$ $M_y=-6820.44$
 $M_y, Ed=-6820.44$ $M_y, c, Rd=16436.40$
 $N, Ed=5789.22$ $N_c, Rd=155342.00$ YY $n=N, Ed/N_c, Rd=0.04$ $MN_y, c, Rd=16436.40$ $M_y, Ed/MN_y, c, Rd=0.41$
 - Verifica di stabilità aste inflesse (4.2.4.1.3.2) CC 17 SLU - Classe 1
 $L_{cr}=5.00$ Curva b: $\alpha_{imp}=0.34$ $k_c=0.94$ $\psi=1.75$ $M_{cr}=13579.60$ $\lambda_{LT}=1.13$
 $\lambda_{LT,0}=0.40$ $\beta_{LT}=0.75$ $\Phi_{LT}=1.10$ $\beta_{LT}=0.75$ $f=0.98$ $\chi_{LT}=0.64$
 $M_y, Ed=-6820.44$ $M_y, b, Rd=10471.50$ $M_y, Ed/M_y, b, Rd=0.65$
 - Verifica di stabilità aste presso-inflesse (C4.2.4.1.3.3.2) - CC 19 SLU - Classe 1
Sollecitazioni: $N, Ed=-5789.22$ $M_y, Ed=-6542.82$ $L=5.00$
 $\alpha_m, \alpha_mz, \alpha_{LT}=0.95, 0.95, 0.95$
 $L_{cr}=5.00$ Curva b: $\alpha_{imp}=0.34$ $k_c=0.94$ $\psi=1.75$ $M_{cr}=13579.60$ $\lambda_{LT}=1.13$
 $\lambda_{LT,0}=0.40$ $\Phi_{LT}=1.10$ $\beta_{LT}=0.75$ $f=0.98$ $\chi_{LT}=0.64$
 $\lambda_y=44.54$ $N_{cr,y}=480014.00$ $\lambda_y^*=0.58$ Curva a: $\Phi_y=0.71$ $\chi_y=0.90$
 $\lambda_z=165.40$ $N_{cr,z}=34809.20$ $\lambda_z^*=2.16$ Curva b: $\Phi_z=3.18$ $\chi_z=0.18$
 $K_{yy}, K_{yz}, K_{zy}, K_{zz}=0.97, 0.73, 0.00, 1.22$
Verifica YY: $0.04+0.60=0.64$
Verifica ZZ: $0.21=0.21$
 - Verifica freccia massima carichi totali - CC 22
 $f_{z,g}=1.03$ (L/486)
 - Verifica freccia massima per soli carichi accidentali - CC 22
 $f_{z,L}=0.48$ (L/1051)
- Asta n. 1017 (1046 1036) Sez. 2 IPE270 Crit. 2

- Verifica a flessione YY [4.2.13] - CC 1 SND $X_l=2.50$ - Classe 3
Sollecitazioni: $M_y=-3688.42$
 $M_y, Ed=-3688.42$ $M_y, c, Rd=14500.40$ $M_y, Ed/M_y, c, Rd=0.25$
 - Verifica a taglio dir. Z [4.2.16] - CC 17 SLU $X_l=0.00$ - Classe 1
Sollecitazioni: $T_z=5456.35$
 $V, Ed=5456.35$ $V_c, Rd=43217.20$ $V, Ed/V_c, Rd=0.13$
 - Verifica a presso o tenso-flessione retta YY (4.2.4.1.2.7) - CC 17 SLU $X_l=2.50$ - Classe 1
Sollecitazioni: $N=5789.22$ $M_y=-6820.44$
 $M_y, Ed=-6820.44$ $M_y, c, Rd=16436.40$
 $N, Ed=5789.22$ $N_c, Rd=155342.00$ YY $n=N, Ed/N_c, Rd=0.04$ $MN_y, c, Rd=16436.40$ $M_y, Ed/MN_y, c, Rd=0.41$
 - Verifica di stabilità aste inflesse (4.2.4.1.3.2) CC 17 SLU - Classe 1
 $L_{cr}=5.00$ Curva b: $\alpha_{imp}=0.34$ $k_c=0.94$ $\psi=1.75$ $M_{cr}=13579.60$ $\lambda_{LT}=1.13$
 $\lambda_{LT,0}=0.40$ $\beta_{LT}=0.75$ $\Phi_{LT}=1.10$ $\beta_{LT}=0.75$ $f=0.98$ $\chi_{LT}=0.64$
 $M_y, Ed=-6820.44$ $M_y, b, Rd=10471.50$ $M_y, Ed/M_y, b, Rd=0.65$
 - Verifica di stabilità aste presso-inflesse (C4.2.4.1.3.3.2) - CC 19 SLU - Classe 1
Sollecitazioni: $N, Ed=-5789.22$ $M_y, Ed=-6542.82$ $L=5.00$
 $\alpha_m, \alpha_mz, \alpha_{LT}=0.95, 0.95, 0.95$
 $L_{cr}=5.00$ Curva b: $\alpha_{imp}=0.34$ $k_c=0.94$ $\psi=1.75$ $M_{cr}=13579.60$ $\lambda_{LT}=1.13$
 $\lambda_{LT,0}=0.40$ $\Phi_{LT}=1.10$ $\beta_{LT}=0.75$ $f=0.98$ $\chi_{LT}=0.64$
 $\lambda_y=44.54$ $N_{cr,y}=480014.00$ $\lambda_y^*=0.58$ Curva a: $\Phi_y=0.71$ $\chi_y=0.90$
 $\lambda_z=165.40$ $N_{cr,z}=34809.20$ $\lambda_z^*=2.16$ Curva b: $\Phi_z=3.18$ $\chi_z=0.18$
 $K_{yy}, K_{yz}, K_{zy}, K_{zz}=0.97, 0.73, 0.00, 1.22$
Verifica YY: $0.04+0.60=0.64$
Verifica ZZ: $0.21=0.21$
 - Verifica freccia massima carichi totali - CC 22
 $f_{z,L}=1.03$ (L/486)
 - Verifica freccia massima per soli carichi accidentali - CC 22
 $f_{z,L}=0.48$ (L/1051)
- Asta n. 1017 (1056 1046) Sez. 2 IPE270 Crit. 2

- Verifica a flessione YY [4.2.13] - CC 1 SND $X_l=2.50$ - Classe 3
Sollecitazioni: $M_y=-3688.42$
 $M_y, Ed=-3688.42$ $M_y, c, Rd=14500.40$ $M_y, Ed/M_y, c, Rd=0.25$
 - Verifica a taglio dir. Z [4.2.16] - CC 17 SLU $X_l=0.00$ - Classe 1
Sollecitazioni: $T_z=5456.35$
 $V, Ed=5456.35$ $V_c, Rd=43217.20$ $V, Ed/V_c, Rd=0.13$
 - Verifica a presso o tenso-flessione retta YY (4.2.4.1.2.7) - CC 17 SLU $X_l=2.50$ - Classe 1
Sollecitazioni: $N=5789.22$ $M_y=-6820.44$
 $M_y, Ed=-6820.44$ $M_y, c, Rd=16436.40$
 $N, Ed=5789.22$ $N_c, Rd=155342.00$ YY $n=N, Ed/N_c, Rd=0.04$ $MN_y, c, Rd=16436.40$ $M_y, Ed/MN_y, c, Rd=0.41$

- Verifica di stabilità aste inflesse (4.2.4.1.3.2) CC 17 SLU - Classe 1
 $L_{cr}=5.00$ Curva b: $\alpha_{imp}=0.34$ $k_c=0.94$ $\psi=1.75$ $M_{cr}=13579.60$ $\lambda_{LT}=1.13$
 $\lambda_{LT,0}=0.40$ $\beta_{LT}=0.75$ $\Phi_{LT}=1.10$ $\beta_{LT}=0.75$ $f=0.98$ $\chi_{LT}=0.64$
 $M_{y,Ed}=-6820.44$ $M_{y,b,Rd}=10471.50$ $M_{y,Ed}/M_{y,b,Rd}=0.65$
- Verifica di stabilità aste presso-inflesse (C4.2.4.1.3.3.2) - CC 19 SLU - Classe 1
 Sollecitazioni: $N_{Ed}=-5789.22$ $M_{y,Ed}=-6542.82$ $L=5.00$
 α_{my} , α_{mz} , $\alpha_{LT}=0.95$, 0.95 , 0.95
 $L_{cr}=5.00$ Curva b: $\alpha_{imp}=0.34$ $k_c=0.94$ $\psi=1.75$ $M_{cr}=13579.60$ $\lambda_{LT}=1.13$
 $\lambda_{LT,0}=0.40$ $\Phi_{LT}=1.10$ $\beta_{LT}=0.75$ $f=0.98$ $\chi_{LT}=0.64$
 $\lambda_y=44.54$ $N_{cr,y}=480014.00$ $\lambda^*_y=0.58$ Curva a: $\Phi_y=0.71$ $\chi_y=0.90$
 $\lambda_z=165.40$ $N_{cr,z}=34809.20$ $\lambda^*_z=2.16$ Curva b: $\Phi_z=3.18$ $\chi_z=0.18$
 K_{yy} , K_{yz} , K_{zy} , $K_{zz}=0.97$, 0.73 , 0.00 , 1.22
 Verifica YY: $0.04+0.60=0.64$
 Verifica ZZ: $0.21=0.21$

- Verifica freccia massima carichi totali - CC 22
 $f_{z,L}=1.03$ (L/486)

- Verifica freccia massima per soli carichi accidentali - CC 22
 $f_{z,L}=0.48$ (L/1051)

Asta n. 1017 (1066 1056) Sez. 2 IPE270 Crit. 2

- Verifica a flessione YY [4.2.13] - CC 1 SND $X_l=2.50$ - Classe 3
 Sollecitazioni: $M_y=-2056.79$
 $M_{y,Ed}=-2056.79$ $M_{y,c,Rd}=14500.40$ $M_{y,Ed}/M_{y,c,Rd}=0.14$
- Verifica a taglio dir. Z [4.2.16] - CC 17 SLU $X_l=0.00$ - Classe 1
 Sollecitazioni: $T_z=3020.05$
 $V_{Ed}=3020.05$ $V_{c,Rd}=43217.20$ $V_{Ed}/V_{c,Rd}=0.07$
- Verifica in termini tensionali [4.2.4] - CC 19 SLU $X_l=3.64$ - Classe 3
 Sollecitazioni: $N=-5789.22$ $T_z=-1317.86$ $M_y=-2875.34$
 Tensioni: $\sigma_N=-126.00$ $\sigma_{m,d}=-670.42$ $\tau=0.00$ $\sigma_{max}=-796.42$ (sfrut=0.24)
 Tensioni: $\sigma_N=-126.00$ $\sigma_{m,d}=0.00$ $\tau=88.71$ $\tau_{max}=88.71$ (sfrut=0.05)
 Tensioni: $\sigma_N=-126.00$ $\sigma_{m,d}=-670.42$ $\tau=0.00$ $\sigma_{ID,max}=796.42$ (sfrut=0.24)
- Verifica di stabilità aste inflesse (4.2.4.1.3.2) CC 17 SLU - Classe 1
 $L_{cr}=5.00$ Curva b: $\alpha_{imp}=0.34$ $k_c=0.94$ $\psi=1.75$ $M_{cr}=13579.60$ $\lambda_{LT}=1.13$
 $\lambda_{LT,0}=0.40$ $\beta_{LT}=0.75$ $\Phi_{LT}=1.10$ $\beta_{LT}=0.75$ $f=0.98$ $\chi_{LT}=0.64$
 $M_{y,Ed}=-3775.06$ $M_{y,b,Rd}=10471.50$ $M_{y,Ed}/M_{y,b,Rd}=0.36$
- Verifica di stabilità aste presso-inflesse (C4.2.4.1.3.3.2) - CC 19 SLU - Classe 1
 Sollecitazioni: $N_{Ed}=-5789.22$ $M_{y,Ed}=-3624.13$ $L=5.00$
 α_{my} , α_{mz} , $\alpha_{LT}=0.95$, 0.95 , 0.95
 $L_{cr}=5.00$ Curva b: $\alpha_{imp}=0.34$ $k_c=0.94$ $\psi=1.75$ $M_{cr}=13579.60$ $\lambda_{LT}=1.13$
 $\lambda_{LT,0}=0.40$ $\Phi_{LT}=1.10$ $\beta_{LT}=0.75$ $f=0.98$ $\chi_{LT}=0.64$
 $\lambda_y=44.54$ $N_{cr,y}=480014.00$ $\lambda^*_y=0.58$ Curva a: $\Phi_y=0.71$ $\chi_y=0.90$
 $\lambda_z=165.40$ $N_{cr,z}=34809.20$ $\lambda^*_z=2.16$ Curva b: $\Phi_z=3.18$ $\chi_z=0.18$
 K_{yy} , K_{yz} , K_{zy} , $K_{zz}=0.97$, 0.73 , 0.00 , 1.22
 Verifica YY: $0.04+0.33=0.38$
 Verifica ZZ: $0.21=0.21$
- Verifica freccia massima carichi totali - CC 22
 $f_{z,L}=0.57$ (L/877)
- Verifica freccia massima per soli carichi accidentali - CC 22
 $f_{z,L}=0.26$ (L/1933)

Asta n. 1017 (1076 1066) Sez. 2 IPE270 Crit. 2

- Verifica a flessione YY [4.2.13] - CC 1 SND $X_l=2.50$ - Classe 3
 Sollecitazioni: $M_y=-3688.42$
 $M_{y,Ed}=-3688.42$ $M_{y,c,Rd}=14500.40$ $M_{y,Ed}/M_{y,c,Rd}=0.25$
- Verifica a taglio dir. Z [4.2.16] - CC 17 SLU $X_l=0.00$ - Classe 1
 Sollecitazioni: $T_z=5456.35$
 $V_{Ed}=5456.35$ $V_{c,Rd}=43217.20$ $V_{Ed}/V_{c,Rd}=0.13$
- Verifica a presso o tenso-flessione retta YY (4.2.4.1.2.7) - CC 17 SLU $X_l=2.50$ - Classe 1
 Sollecitazioni: $N=5789.22$ $M_y=-6820.44$
 $M_{y,Ed}=-6820.44$ $M_{y,c,Rd}=16436.40$
 $N_{Ed}=5789.22$ $N_{c,Rd}=155342.00$ $YY\ n=N_{Ed}/N_{c,Rd}=0.04$ $MN_{y,c,Rd}=16436.40$ $M_{y,Ed}/MN_{y,c,Rd}=0.41$
- Verifica di stabilità aste inflesse (4.2.4.1.3.2) CC 17 SLU - Classe 1
 $L_{cr}=5.00$ Curva b: $\alpha_{imp}=0.34$ $k_c=0.94$ $\psi=1.75$ $M_{cr}=13579.60$ $\lambda_{LT}=1.13$
 $\lambda_{LT,0}=0.40$ $\beta_{LT}=0.75$ $\Phi_{LT}=1.10$ $\beta_{LT}=0.75$ $f=0.98$ $\chi_{LT}=0.64$

Relazione di calcolo

- My,Ed=-6820.44 My,b,Rd=10471.50 My,Ed/My,b,Rd=0.65
- Verifica di stabilità aste presso-inflesse (C4.2.4.1.3.3.2) - CC 19 SLU - Classe 1
Sollecitazioni: N,Ed=-5789.22 My,Ed=-6542.82 L=5.00
 α_{my} , α_{mz} , $\alpha_{LT}=0.95$, 0.95, 0.95
 $L_{cr}=5.00$ Curva b: $\alpha_{imp}=0.34$ $k_c=0.94$ $\psi=1.75$ $M_{cr}=13579.60$ $\lambda_{LT}=1.13$
 $\lambda_{LT,0}=0.40$ $\Phi_{LT}=1.10$ $\beta_{LT}=0.75$ $f=0.98$ $\chi_{LT}=0.64$
 $\lambda_y=44.54$ $N_{cr,y}=480014.00$ $\lambda^*_y=0.58$ Curva a: $\Phi_y=0.71$ $\chi_y=0.90$
 $\lambda_z=165.40$ $N_{cr,z}=34809.20$ $\lambda^*_z=2.16$ Curva b: $\Phi_z=3.18$ $\chi_z=0.18$
Kyy, Kyz, Kzy, Kzz=0.97, 0.73, 0.00, 1.22
Verifica YY: 0.04+0.60=0.64
Verifica ZZ: 0.21=0.21
 - Verifica freccia massima carichi totali - CC 22
 $f_{z,L}=1.03$ (L/486)
 - Verifica freccia massima per soli carichi accidentali - CC 22
 $f_{z,L}=0.48$ (L/1051)
- Asta n. 1017 (1086 1076) Sez. 2 IPE270 Crit. 2

- Verifica a flessione YY [4.2.13] - CC 1 SND Xl=2.50 - Classe 3
Sollecitazioni: $M_y=-3688.42$
My,Ed=-3688.42 My,c,Rd=14500.40 My,Ed/My,c,Rd=0.25
 - Verifica a taglio dir. Z [4.2.16] - CC 17 SLU Xl=0.00 - Classe 1
Sollecitazioni: $T_z=5456.35$
V,Ed=5456.35 Vc,Rd=43217.20 V,Ed/Vc,Rd=0.13
 - Verifica a presso o tenso-flessione retta YY (4.2.4.1.2.7) - CC 17 SLU Xl=2.50 - Classe 1
Sollecitazioni: N=5789.22 $M_y=-6820.44$
My,Ed=-6820.44 My,c,Rd=16436.40
N,Ed=5789.22 Nc,Rd=155342.00 YY n=N,Ed/Nc,Rd=0.04 MNy,c,Rd=16436.40 My,Ed/MNy,c,Rd=0.41
 - Verifica di stabilità aste inflesse (4.2.4.1.3.2) CC 17 SLU - Classe 1
 $L_{cr}=5.00$ Curva b: $\alpha_{imp}=0.34$ $k_c=0.94$ $\psi=1.75$ $M_{cr}=13579.60$ $\lambda_{LT}=1.13$
 $\lambda_{LT,0}=0.40$ $\beta_{LT}=0.75$ $\Phi_{LT}=1.10$ $\beta_{LT}=0.75$ $f=0.98$ $\chi_{LT}=0.64$
My,Ed=-6820.44 My,b,Rd=10471.50 My,Ed/My,b,Rd=0.65
 - Verifica di stabilità aste presso-inflesse (C4.2.4.1.3.3.2) - CC 19 SLU - Classe 1
Sollecitazioni: N,Ed=-5789.22 My,Ed=-6542.82 L=5.00
 α_{my} , α_{mz} , $\alpha_{LT}=0.95$, 0.95, 0.95
 $L_{cr}=5.00$ Curva b: $\alpha_{imp}=0.34$ $k_c=0.94$ $\psi=1.75$ $M_{cr}=13579.60$ $\lambda_{LT}=1.13$
 $\lambda_{LT,0}=0.40$ $\Phi_{LT}=1.10$ $\beta_{LT}=0.75$ $f=0.98$ $\chi_{LT}=0.64$
 $\lambda_y=44.54$ $N_{cr,y}=480014.00$ $\lambda^*_y=0.58$ Curva a: $\Phi_y=0.71$ $\chi_y=0.90$
 $\lambda_z=165.40$ $N_{cr,z}=34809.20$ $\lambda^*_z=2.16$ Curva b: $\Phi_z=3.18$ $\chi_z=0.18$
Kyy, Kyz, Kzy, Kzz=0.97, 0.73, 0.00, 1.22
Verifica YY: 0.04+0.60=0.64
Verifica ZZ: 0.21=0.21
 - Verifica freccia massima carichi totali - CC 22
 $f_{z,L}=1.03$ (L/486)
 - Verifica freccia massima per soli carichi accidentali - CC 22
 $f_{z,L}=0.48$ (L/1051)
- Asta n. 1017 (1096 1086) Sez. 2 IPE270 Crit. 2

- Verifica a flessione YY [4.2.13] - CC 1 SND Xl=2.50 - Classe 3
Sollecitazioni: $M_y=-3688.42$
My,Ed=-3688.42 My,c,Rd=14500.40 My,Ed/My,c,Rd=0.25
 - Verifica a taglio dir. Z [4.2.16] - CC 17 SLU Xl=0.00 - Classe 1
Sollecitazioni: $T_z=5456.35$
V,Ed=5456.35 Vc,Rd=43217.20 V,Ed/Vc,Rd=0.13
 - Verifica a presso o tenso-flessione retta YY (4.2.4.1.2.7) - CC 17 SLU Xl=2.50 - Classe 1
Sollecitazioni: N=5789.22 $M_y=-6820.44$
My,Ed=-6820.44 My,c,Rd=16436.40
N,Ed=5789.22 Nc,Rd=155342.00 YY n=N,Ed/Nc,Rd=0.04 MNy,c,Rd=16436.40 My,Ed/MNy,c,Rd=0.41
 - Verifica di stabilità aste inflesse (4.2.4.1.3.2) CC 17 SLU - Classe 1
 $L_{cr}=5.00$ Curva b: $\alpha_{imp}=0.34$ $k_c=0.94$ $\psi=1.75$ $M_{cr}=13579.60$ $\lambda_{LT}=1.13$
 $\lambda_{LT,0}=0.40$ $\beta_{LT}=0.75$ $\Phi_{LT}=1.10$ $\beta_{LT}=0.75$ $f=0.98$ $\chi_{LT}=0.64$
My,Ed=-6820.44 My,b,Rd=10471.50 My,Ed/My,b,Rd=0.65
 - Verifica di stabilità aste presso-inflesse (C4.2.4.1.3.3.2) - CC 19 SLU - Classe 1
Sollecitazioni: N,Ed=-5789.22 My,Ed=-6542.82 L=5.00
 α_{my} , α_{mz} , $\alpha_{LT}=0.95$, 0.95, 0.95

Relazione di calcolo

- $L_{cr}=5.00$ Curva b: $\alpha_{imp}=0.34$ $k_c=0.94$ $\psi=1.75$ $M_{cr}=13579.60$ $\lambda_{LT}=1.13$
 $\lambda_{LT,0}=0.40$ $\Phi_{LT}=1.10$ $\beta_{LT}=0.75$ $f=0.98$ $\chi_{LT}=0.64$
 $\lambda_y=44.54$ $N_{cr,y}=480014.00$ $\lambda_y^*=0.58$ Curva a: $\Phi_y=0.71$ $\chi_y=0.90$
 $\lambda_z=165.40$ $N_{cr,z}=34809.20$ $\lambda_z^*=2.16$ Curva b: $\Phi_z=3.18$ $\chi_z=0.18$
 $K_{yy}, K_{yz}, K_{zy}, K_{zz}=0.97, 0.73, 0.00, 1.22$
Verifica YY: $0.04+0.60=0.64$
Verifica ZZ: $0.21=0.21$
- Verifica freccia massima carichi totali - CC 22
 $f_{z,L}=1.03$ (L/486)
- Verifica freccia massima per soli carichi accidentali - CC 22
 $f_{z,L}=0.48$ (L/1051)
- Asta n. 1017 (1106 1096) Sez. 2 IPE270 Crit. 2

- Verifica a flessione YY [4.2.13] - CC 1 SND $X_1=2.50$ - Classe 3
Sollecitazioni: $M_y=-3688.42$
 $M_y,Ed=-3688.42$ $M_y,c,Rd=14500.40$ $M_y,Ed/M_y,c,Rd=0.25$
- Verifica a taglio dir. Z [4.2.16] - CC 17 SLU $X_1=0.00$ - Classe 1
Sollecitazioni: $T_z=5456.35$
 $V,Ed=5456.35$ $V_c,Rd=43217.20$ $V,Ed/V_c,Rd=0.13$
- Verifica a presso o tenso-flessione retta YY (4.2.4.1.2.7) - CC 17 SLU $X_1=2.50$ - Classe 1
Sollecitazioni: $N=5789.22$ $M_y=-6820.44$
 $M_y,Ed=-6820.44$ $M_y,c,Rd=16436.40$
 $N,Ed=5789.22$ $N_c,Rd=155342.00$ $YY\ n=N,Ed/N_c,Rd=0.04$ $MN_y,c,Rd=16436.40$ $M_y,Ed/MN_y,c,Rd=0.41$
- Verifica di stabilità aste inflesse (4.2.4.1.3.2) CC 17 SLU - Classe 1
 $L_{cr}=5.00$ Curva b: $\alpha_{imp}=0.34$ $k_c=0.94$ $\psi=1.75$ $M_{cr}=13579.60$ $\lambda_{LT}=1.13$
 $\lambda_{LT,0}=0.40$ $\beta_{LT}=0.75$ $\Phi_{LT}=1.10$ $\beta_{LT}=0.75$ $f=0.98$ $\chi_{LT}=0.64$
 $\lambda_y=44.54$ $N_{cr,y}=480014.00$ $\lambda_y^*=0.58$ Curva a: $\Phi_y=0.71$ $\chi_y=0.90$
 $\lambda_z=165.40$ $N_{cr,z}=34809.20$ $\lambda_z^*=2.16$ Curva b: $\Phi_z=3.18$ $\chi_z=0.18$
 $K_{yy}, K_{yz}, K_{zy}, K_{zz}=0.97, 0.73, 0.00, 1.22$
Verifica YY: $0.04+0.60=0.64$
Verifica ZZ: $0.21=0.21$
- Verifica freccia massima carichi totali - CC 22
 $f_{z,L}=1.03$ (L/486)
- Verifica freccia massima per soli carichi accidentali - CC 22
 $f_{z,L}=0.48$ (L/1051)
- Asta n. 1017 (1115 1106) Sez. 10 HEA300 Crit. 2

- Verifica a flessione YY [4.2.13] - CC 1 SND $X_1=2.50$ - Classe 3
Sollecitazioni: $M_y=-2532.69$
 $M_y,Ed=-2532.69$ $M_y,c,Rd=42586.20$ $M_y,Ed/M_y,c,Rd=0.06$
- Verifica a taglio dir. Z [4.2.16] - CC 17 SLU $X_1=5.00$ - Classe 1
Sollecitazioni: $T_z=-3473.40$
 $V,Ed=-3473.40$ $V_c,Rd=72775.50$ $V,Ed/V_c,Rd=0.05$
- Verifica in termini tensionali [4.2.4] - CC 17 SLU $X_1=2.50$ - Classe 3
Sollecitazioni: $N=14179.00$ $M_y=-4341.75$
Tensioni: $\sigma_N=126.00$ $\sigma_{m,d}=344.69$ $\tau=0.00$ $\sigma_{max}=470.70$ (sfrut=0.14)
Tensioni: $\sigma_N=0.00$ $\sigma_{m,d}=0.00$ $\tau=0.00$ $\tau_{max}=0.00$ (sfrut=0.00)
Tensioni: $\sigma_N=126.00$ $\sigma_{m,d}=344.69$ $\tau=0.00$ $\sigma_{ID,max}=470.70$ (sfrut=0.14)
- Verifica di stabilità aste inflesse (4.2.4.1.3.2) CC 17 SLU - Classe 3
 $L_{cr}=5.00$ Curva b: $\alpha_{imp}=0.34$ $k_c=0.94$ $\psi=1.75$ $M_{cr}=160612.00$ $\lambda_{LT}=0.53$
 $\lambda_{LT,0}=0.40$ $\beta_{LT}=0.75$ $\Phi_{LT}=0.63$ $\beta_{LT}=0.75$ $f=0.97$ $\chi_{LT}=0.97$
 $M_y,Ed=-4341.75$ $M_y,b,Rd=41459.00$ $M_y,Ed/M_y,b,Rd=0.10$
- Verifica di stabilità aste presso-inflesse (4.2.4.1.3.3.2) - CC 19 SLU - Classe 3
Sollecitazioni: $N,Ed=-14179.00$ $M_y,Ed=-4215.07$ $L=5.00$
 $\alpha_{my}, \alpha_{mz}, \alpha_{LT}=0.95, 0.95, 0.95$
 $L_{cr}=5.00$ Curva b: $\alpha_{imp}=0.34$ $k_c=0.94$ $\psi=1.75$ $M_{cr}=160612.00$ $\lambda_{LT}=0.53$
 $\lambda_{LT,0}=0.40$ $\Phi_{LT}=0.63$ $\beta_{LT}=0.75$ $f=0.97$ $\chi_{LT}=0.97$
 $\lambda_y=39.25$ $N_{cr,y}=1514180.00$ $\lambda_y^*=0.51$ Curva b: $\Phi_y=0.69$ $\chi_y=0.88$

Relazione di calcolo

$\lambda_z=66.77$ Ncr,z=523093.00 $\lambda^*_z=0.87$ Curva c: $\Phi_z=1.05$ $\chi_z=0.62$
Kyy, Kyz, Kzy, Kzz=0.96, 0.98, 0.00, 0.98
Verifica YY: 0.04+0.10=0.14
Verifica ZZ: 0.04=0.04

- Verifica freccia massima carichi totali - CC 22
 $f_{z,g}=0.21$ (L/2423)

- Verifica freccia massima per soli carichi accidentali - CC 22
 $f_{z,L}=0.07$ (L/7266)

Asta n. 1017 (1124 1115) Sez. 10 HEA300 Crit. 2

- Verifica a flessione YY [4.2.13] - CC 1 SND Xl=2.50 - Classe 3
Sollecitazioni: $M_y=-2532.69$
 $M_y,Ed=-2532.69$ $M_y,c,Rd=42586.20$ $M_y,Ed/M_y,c,Rd=0.06$

- Verifica a taglio dir. Z [4.2.16] - CC 17 SLU Xl=5.00 - Classe 1
Sollecitazioni: $T_z=-3473.40$
 $V,Ed=-3473.40$ $V_c,Rd=72775.50$ $V,Ed/V_c,Rd=0.05$

- Verifica in termini tensionali [4.2.4] - CC 17 SLU Xl=2.50 - Classe 3
Sollecitazioni: $N=14179.00$ $M_y=-4341.75$
Tensioni: $\sigma_N=126.00$ $\sigma_{m,d}=344.69$ $\tau=0.00$ $\sigma_{max}=470.70$ (sfrut=0.14)
Tensioni: $\sigma_N=0.00$ $\sigma_{m,d}=0.00$ $\tau=0.00$ $\tau_{max}=0.00$ (sfrut=0.00)
Tensioni: $\sigma_N=126.00$ $\sigma_{m,d}=344.69$ $\tau=0.00$ $\sigma_{ID,max}=470.70$ (sfrut=0.14)

- Verifica di stabilità aste inflesse (4.2.4.1.3.2) CC 17 SLU - Classe 3
 $L_{cr}=5.00$ Curva b: $\alpha_{imp}=0.34$ $k_c=0.94$ $\psi=1.75$ $M_{cr}=160612.00$ $\lambda_{LT}=0.53$
 $\lambda_{LT,0}=0.40$ $\beta_{LT}=0.75$ $\Phi_{LT}=0.63$ $\beta_{LT}=0.75$ $f=0.97$ $\chi_{LT}=0.97$
 $M_y,Ed=-4341.75$ $M_y,b,Rd=41459.00$ $M_y,Ed/M_y,b,Rd=0.10$

- Verifica di stabilità aste presso-inflesse (C4.2.4.1.3.3.2) - CC 19 SLU - Classe 3
Sollecitazioni: $N,Ed=-14179.00$ $M_y,Ed=-4215.07$ $L=5.00$
 $\alpha_{my}, \alpha_{mz}, \alpha_{LT}=0.95, 0.95, 0.95$
 $L_{cr}=5.00$ Curva b: $\alpha_{imp}=0.34$ $k_c=0.94$ $\psi=1.75$ $M_{cr}=160612.00$ $\lambda_{LT}=0.53$
 $\lambda_{LT,0}=0.40$ $\Phi_{LT}=0.63$ $\beta_{LT}=0.75$ $f=0.97$ $\chi_{LT}=0.97$
 $\lambda_y=39.25$ Ncr,y=1514180.00 $\lambda^*_y=0.51$ Curva b: $\Phi_y=0.69$ $\chi_y=0.88$
 $\lambda_z=66.77$ Ncr,z=523093.00 $\lambda^*_z=0.87$ Curva c: $\Phi_z=1.05$ $\chi_z=0.62$
Kyy, Kyz, Kzy, Kzz=0.96, 0.98, 0.00, 0.98
Verifica YY: 0.04+0.10=0.14
Verifica ZZ: 0.04=0.04

- Verifica freccia massima carichi totali - CC 22
 $f_{z,L}=0.21$ (L/2422)

- Verifica freccia massima per soli carichi accidentali - CC 22
 $f_{z,L}=0.07$ (L/7264)

Asta n. 1018 (-5 -1) Sez. 2 IPE270 Crit. 2

- Verifica a flessione YY [4.2.13] - CC 1 SND Xl=2.50 - Classe 3
Sollecitazioni: $M_y=-3375.98$
 $M_y,Ed=-3375.98$ $M_y,c,Rd=14500.40$ $M_y,Ed/M_y,c,Rd=0.23$

- Verifica a taglio dir. Z [4.2.16] - CC 17 SLU Xl=0.00 - Classe 1
Sollecitazioni: $T_z=4989.83$
 $V,Ed=4989.83$ $V_c,Rd=43217.20$ $V,Ed/V_c,Rd=0.12$

- Verifica a presso o tenso-flessione retta YY (4.2.4.1.2.7) - CC 17 SLU Xl=2.50 - Classe 1
Sollecitazioni: $N=5789.22$ $M_y=-6237.29$
 $M_y,Ed=-6237.29$ $M_y,c,Rd=16436.40$
 $N,Ed=5789.22$ $N_c,Rd=155342.00$ $YY\ n=N,Ed/N_c,Rd=0.04$ $MN_y,c,Rd=16436.40$ $M_y,Ed/MN_y,c,Rd=0.38$

- Verifica di stabilità aste inflesse (4.2.4.1.3.2) CC 17 SLU - Classe 1
 $L_{cr}=5.00$ Curva b: $\alpha_{imp}=0.34$ $k_c=0.94$ $\psi=1.75$ $M_{cr}=13579.60$ $\lambda_{LT}=1.13$
 $\lambda_{LT,0}=0.40$ $\beta_{LT}=0.75$ $\Phi_{LT}=1.10$ $\beta_{LT}=0.75$ $f=0.98$ $\chi_{LT}=0.64$
 $M_y,Ed=-6237.29$ $M_y,b,Rd=10471.50$ $M_y,Ed/M_y,b,Rd=0.60$

- Verifica di stabilità aste presso-inflesse (C4.2.4.1.3.3.2) - CC 19 SLU - Classe 1
Sollecitazioni: $N,Ed=-5789.22$ $M_y,Ed=-5983.93$ $L=5.00$
 $\alpha_{my}, \alpha_{mz}, \alpha_{LT}=0.95, 0.95, 0.95$
 $L_{cr}=5.00$ Curva b: $\alpha_{imp}=0.34$ $k_c=0.94$ $\psi=1.75$ $M_{cr}=13579.60$ $\lambda_{LT}=1.13$
 $\lambda_{LT,0}=0.40$ $\Phi_{LT}=1.10$ $\beta_{LT}=0.75$ $f=0.98$ $\chi_{LT}=0.64$
 $\lambda_y=44.54$ Ncr,y=480014.00 $\lambda^*_y=0.58$ Curva a: $\Phi_y=0.71$ $\chi_y=0.90$
 $\lambda_z=165.40$ Ncr,z=34809.20 $\lambda^*_z=2.16$ Curva b: $\Phi_z=3.18$ $\chi_z=0.18$
Kyy, Kyz, Kzy, Kzz=0.97, 0.73, 0.00, 1.22
Verifica YY: 0.04+0.55=0.59
Verifica ZZ: 0.21=0.21

Relazione di calcolo

- Verifica freccia massima carichi totali - CC 22
 $f_{z,L}=0.94$ (L/531)

- Verifica freccia massima per soli carichi accidentali - CC 22
 $f_{z,L}=0.43$ (L/1151)

Asta n. 1018 (-14 -5) Sez. 2 IPE270 Crit. 2

- Verifica a flessione YY [4.2.13] - CC 1 SND $X_l=2.50$ - Classe 3
Sollecitazioni: $M_y=-3375.98$
 $M_y,Ed=-3375.98$ $M_y,c,Rd=14500.40$ $M_y,Ed/M_y,c,Rd=0.23$

- Verifica a taglio dir. Z [4.2.16] - CC 17 SLU $X_l=0.00$ - Classe 1
Sollecitazioni: $T_z=4989.83$
 $V,Ed=4989.83$ $V_c,Rd=43217.20$ $V,Ed/V_c,Rd=0.12$

- Verifica a presso o tenso-flessione retta YY (4.2.4.1.2.7) - CC 17 SLU $X_l=2.50$ - Classe 1
Sollecitazioni: $N=5789.22$ $M_y=-6237.29$
 $M_y,Ed=-6237.29$ $M_y,c,Rd=16436.40$
 $N,Ed=5789.22$ $N_c,Rd=155342.00$ YY $n=N,Ed/N_c,Rd=0.04$ $MN_y,c,Rd=16436.40$ $M_y,Ed/MN_y,c,Rd=0.38$

- Verifica di stabilità aste inflesse (4.2.4.1.3.2) CC 17 SLU - Classe 1
 $L_{cr}=5.00$ Curva b: $\alpha_{imp}=0.34$ $k_c=0.94$ $\psi=1.75$ $M_{cr}=13579.60$ $\lambda_{LT}=1.13$
 $\lambda_{LT,0}=0.40$ $\beta_{LT}=0.75$ $\Phi_{LT}=1.10$ $\beta_{LT}=0.75$ $f=0.98$ $\chi_{LT}=0.64$
 $M_y,Ed=-6237.29$ $M_y,b,Rd=10471.50$ $M_y,Ed/M_y,b,Rd=0.60$

- Verifica di stabilità aste presso-inflesse (C4.2.4.1.3.3.2) - CC 19 SLU - Classe 1
Sollecitazioni: $N,Ed=-5789.22$ $M_y,Ed=-5983.93$ $L=5.00$
 $\alpha_{my}, \alpha_{mz}, \alpha_{LT}=0.95, 0.95, 0.95$
 $L_{cr}=5.00$ Curva b: $\alpha_{imp}=0.34$ $k_c=0.94$ $\psi=1.75$ $M_{cr}=13579.60$ $\lambda_{LT}=1.13$
 $\lambda_{LT,0}=0.40$ $\Phi_{LT}=1.10$ $\beta_{LT}=0.75$ $f=0.98$ $\chi_{LT}=0.64$
 $\lambda_y=44.54$ $N_{cr,y}=480014.00$ $\lambda_y^*=0.58$ Curva a: $\Phi_y=0.71$ $\chi_y=0.90$
 $\lambda_z=165.40$ $N_{cr,z}=34809.20$ $\lambda_z^*=2.16$ Curva b: $\Phi_z=3.18$ $\chi_z=0.18$
 $K_{yy}, K_{yz}, K_{zy}, K_{zz}=0.97, 0.73, 0.00, 1.22$
Verifica YY: $0.04+0.55=0.59$
Verifica ZZ: $0.21=0.21$

- Verifica freccia massima carichi totali - CC 22
 $f_{z,L}=0.94$ (L/531)

- Verifica freccia massima per soli carichi accidentali - CC 22
 $f_{z,G}=0.43$ (L/1151)

Asta n. 1018 (-23 -14) Sez. 2 IPE270 Crit. 2

- Verifica a flessione YY [4.2.13] - CC 1 SND $X_l=2.50$ - Classe 3
Sollecitazioni: $M_y=-3375.98$
 $M_y,Ed=-3375.98$ $M_y,c,Rd=14500.40$ $M_y,Ed/M_y,c,Rd=0.23$

- Verifica a taglio dir. Z [4.2.16] - CC 17 SLU $X_l=0.00$ - Classe 1
Sollecitazioni: $T_z=4989.83$
 $V,Ed=4989.83$ $V_c,Rd=43217.20$ $V,Ed/V_c,Rd=0.12$

- Verifica a presso o tenso-flessione retta YY (4.2.4.1.2.7) - CC 17 SLU $X_l=2.50$ - Classe 1
Sollecitazioni: $N=5789.22$ $M_y=-6237.29$
 $M_y,Ed=-6237.29$ $M_y,c,Rd=16436.40$
 $N,Ed=5789.22$ $N_c,Rd=155342.00$ YY $n=N,Ed/N_c,Rd=0.04$ $MN_y,c,Rd=16436.40$ $M_y,Ed/MN_y,c,Rd=0.38$

- Verifica di stabilità aste inflesse (4.2.4.1.3.2) CC 17 SLU - Classe 1
 $L_{cr}=5.00$ Curva b: $\alpha_{imp}=0.34$ $k_c=0.94$ $\psi=1.75$ $M_{cr}=13579.60$ $\lambda_{LT}=1.13$
 $\lambda_{LT,0}=0.40$ $\beta_{LT}=0.75$ $\Phi_{LT}=1.10$ $\beta_{LT}=0.75$ $f=0.98$ $\chi_{LT}=0.64$
 $M_y,Ed=-6237.29$ $M_y,b,Rd=10471.50$ $M_y,Ed/M_y,b,Rd=0.60$

- Verifica di stabilità aste presso-inflesse (C4.2.4.1.3.3.2) - CC 19 SLU - Classe 1
Sollecitazioni: $N,Ed=-5789.22$ $M_y,Ed=-5983.93$ $L=5.00$
 $\alpha_{my}, \alpha_{mz}, \alpha_{LT}=0.95, 0.95, 0.95$
 $L_{cr}=5.00$ Curva b: $\alpha_{imp}=0.34$ $k_c=0.94$ $\psi=1.75$ $M_{cr}=13579.60$ $\lambda_{LT}=1.13$
 $\lambda_{LT,0}=0.40$ $\Phi_{LT}=1.10$ $\beta_{LT}=0.75$ $f=0.98$ $\chi_{LT}=0.64$
 $\lambda_y=44.54$ $N_{cr,y}=480014.00$ $\lambda_y^*=0.58$ Curva a: $\Phi_y=0.71$ $\chi_y=0.90$
 $\lambda_z=165.40$ $N_{cr,z}=34809.20$ $\lambda_z^*=2.16$ Curva b: $\Phi_z=3.18$ $\chi_z=0.18$
 $K_{yy}, K_{yz}, K_{zy}, K_{zz}=0.97, 0.73, 0.00, 1.22$
Verifica YY: $0.04+0.55=0.59$
Verifica ZZ: $0.21=0.21$

- Verifica freccia massima carichi totali - CC 22
 $f_{z,L}=0.94$ (L/531)

- Verifica freccia massima per soli carichi accidentali - CC 22

Relazione di calcolo

$f_{z,L}=0.43$ (L/1151)

Asta n. 1018 (-32 -23) Sez. 2 IPE270 Crit. 2

- Verifica a flessione YY [4.2.13] - CC 1 SND $X_1=2.50$ - Classe 3
Sollecitazioni: $M_y=-3375.98$
 $M_y,Ed=-3375.98$ $M_y,c,Rd=14500.40$ $M_y,Ed/M_y,c,Rd=0.23$

- Verifica a taglio dir. Z [4.2.16] - CC 17 SLU $X_1=0.00$ - Classe 1
Sollecitazioni: $T_z=4989.83$
 $V,Ed=4989.83$ $V_c,Rd=43217.20$ $V,Ed/V_c,Rd=0.12$

- Verifica a presso o tenso-flessione retta YY (4.2.4.1.2.7) - CC 17 SLU $X_1=2.50$ - Classe 1
Sollecitazioni: $N=5789.22$ $M_y=-6237.29$
 $M_y,Ed=-6237.29$ $M_y,c,Rd=16436.40$
 $N,Ed=5789.22$ $N_c,Rd=155342.00$ YY $n=N,Ed/N_c,Rd=0.04$ $MN_y,c,Rd=16436.40$ $M_y,Ed/MN_y,c,Rd=0.38$

- Verifica di stabilità aste inflesse (4.2.4.1.3.2) CC 17 SLU - Classe 1
 $L_{cr}=5.00$ Curva b: $\alpha_{imp}=0.34$ $k_c=0.94$ $\psi=1.75$ $M_{cr}=13579.60$ $\lambda_{LT}=1.13$
 $\lambda_{LT,0}=0.40$ $\beta_{LT}=0.75$ $\Phi_{LT}=1.10$ $\beta_{LT}=0.75$ $f=0.98$ $\chi_{LT}=0.64$
 $M_y,Ed=-6237.29$ $M_y,b,Rd=10471.50$ $M_y,Ed/M_y,b,Rd=0.60$

- Verifica di stabilità aste presso-inflesse (4.2.4.1.3.3.2) - CC 19 SLU - Classe 1
Sollecitazioni: $N,Ed=-5789.22$ $M_y,Ed=-5983.93$ $L=5.00$
 $\alpha_{my}, \alpha_{mz}, \alpha_{LT}=0.95, 0.95, 0.95$
 $L_{cr}=5.00$ Curva b: $\alpha_{imp}=0.34$ $k_c=0.94$ $\psi=1.75$ $M_{cr}=13579.60$ $\lambda_{LT}=1.13$
 $\lambda_{LT,0}=0.40$ $\Phi_{LT}=1.10$ $\beta_{LT}=0.75$ $f=0.98$ $\chi_{LT}=0.64$
 $\lambda_y=44.54$ $N_{cr,y}=480014.00$ $\lambda_y^*=0.58$ Curva a: $\Phi_y=0.71$ $\chi_y=0.90$
 $\lambda_z=165.40$ $N_{cr,z}=34809.20$ $\lambda_z^*=2.16$ Curva b: $\Phi_z=3.18$ $\chi_z=0.18$
 $K_{yy}, K_{yz}, K_{zy}, K_{zz}=0.97, 0.73, 0.00, 1.22$
Verifica YY: $0.04+0.55=0.59$
Verifica ZZ: $0.21=0.21$

- Verifica freccia massima carichi totali - CC 22
 $f_{z,g}=0.94$ (L/531)

- Verifica freccia massima per soli carichi accidentali - CC 22
 $f_{z,L}=0.43$ (L/1151)

Asta n. 1018 (-41 -32) Sez. 2 IPE270 Crit. 2

- Verifica a flessione YY [4.2.13] - CC 1 SND $X_1=2.50$ - Classe 3
Sollecitazioni: $M_y=-3375.98$
 $M_y,Ed=-3375.98$ $M_y,c,Rd=14500.40$ $M_y,Ed/M_y,c,Rd=0.23$

- Verifica a taglio dir. Z [4.2.16] - CC 17 SLU $X_1=0.00$ - Classe 1
Sollecitazioni: $T_z=4989.83$
 $V,Ed=4989.83$ $V_c,Rd=43217.20$ $V,Ed/V_c,Rd=0.12$

- Verifica a presso o tenso-flessione retta YY (4.2.4.1.2.7) - CC 17 SLU $X_1=2.50$ - Classe 1
Sollecitazioni: $N=5789.22$ $M_y=-6237.29$
 $M_y,Ed=-6237.29$ $M_y,c,Rd=16436.40$
 $N,Ed=5789.22$ $N_c,Rd=155342.00$ YY $n=N,Ed/N_c,Rd=0.04$ $MN_y,c,Rd=16436.40$ $M_y,Ed/MN_y,c,Rd=0.38$

- Verifica di stabilità aste inflesse (4.2.4.1.3.2) CC 17 SLU - Classe 1
 $L_{cr}=5.00$ Curva b: $\alpha_{imp}=0.34$ $k_c=0.94$ $\psi=1.75$ $M_{cr}=13579.60$ $\lambda_{LT}=1.13$
 $\lambda_{LT,0}=0.40$ $\beta_{LT}=0.75$ $\Phi_{LT}=1.10$ $\beta_{LT}=0.75$ $f=0.98$ $\chi_{LT}=0.64$
 $M_y,Ed=-6237.29$ $M_y,b,Rd=10471.50$ $M_y,Ed/M_y,b,Rd=0.60$

- Verifica di stabilità aste presso-inflesse (4.2.4.1.3.3.2) - CC 19 SLU - Classe 1
Sollecitazioni: $N,Ed=-5789.22$ $M_y,Ed=-5983.93$ $L=5.00$
 $\alpha_{my}, \alpha_{mz}, \alpha_{LT}=0.95, 0.95, 0.95$
 $L_{cr}=5.00$ Curva b: $\alpha_{imp}=0.34$ $k_c=0.94$ $\psi=1.75$ $M_{cr}=13579.60$ $\lambda_{LT}=1.13$
 $\lambda_{LT,0}=0.40$ $\Phi_{LT}=1.10$ $\beta_{LT}=0.75$ $f=0.98$ $\chi_{LT}=0.64$
 $\lambda_y=44.54$ $N_{cr,y}=480014.00$ $\lambda_y^*=0.58$ Curva a: $\Phi_y=0.71$ $\chi_y=0.90$
 $\lambda_z=165.40$ $N_{cr,z}=34809.20$ $\lambda_z^*=2.16$ Curva b: $\Phi_z=3.18$ $\chi_z=0.18$
 $K_{yy}, K_{yz}, K_{zy}, K_{zz}=0.97, 0.73, 0.00, 1.22$
Verifica YY: $0.04+0.55=0.59$
Verifica ZZ: $0.21=0.21$

- Verifica freccia massima carichi totali - CC 22
 $f_{z,L}=0.94$ (L/531)

- Verifica freccia massima per soli carichi accidentali - CC 22
 $f_{z,L}=0.43$ (L/1151)

Asta n. 1018 (-50 -41) Sez. 2 IPE270 Crit. 2

- Verifica a flessione YY [4.2.13] - CC 1 SND $X_1=2.50$ - Classe 3

Relazione di calcolo

Sollecitazioni: $M_y = -3375.98$
 $M_y, Ed = -3375.98$ $M_y, c, Rd = 14500.40$ $M_y, Ed/M_y, c, Rd = 0.23$

- Verifica a taglio dir. Z [4.2.16] - CC 17 SLU $X_l = 0.00$ - Classe 1
Sollecitazioni: $T_z = 4989.83$
 $V, Ed = 4989.83$ $V_c, Rd = 43217.20$ $V, Ed/V_c, Rd = 0.12$

- Verifica a presso o tenso-flessione retta YY (4.2.4.1.2.7) - CC 17 SLU $X_l = 2.50$ - Classe 1
Sollecitazioni: $N = 5789.22$ $M_y = -6237.29$
 $M_y, Ed = -6237.29$ $M_y, c, Rd = 16436.40$
 $N, Ed = 5789.22$ $N_c, Rd = 155342.00$ $YY \ n = N, Ed/N_c, Rd = 0.04$ $MN_y, c, Rd = 16436.40$ $M_y, Ed/MN_y, c, Rd = 0.38$

- Verifica di stabilità aste inflesse (4.2.4.1.3.2) CC 17 SLU - Classe 1
 $L_{cr} = 5.00$ Curva b: $\alpha_{imp} = 0.34$ $k_c = 0.94$ $\psi = 1.75$ $M_{cr} = 13579.60$ $\lambda_{LT} = 1.13$
 $\lambda_{LT,0} = 0.40$ $\beta_{LT} = 0.75$ $\Phi_{LT} = 1.10$ $\beta_{LT} = 0.75$ $f = 0.98$ $\chi_{LT} = 0.64$
 $M_y, Ed = -6237.29$ $M_y, b, Rd = 10471.50$ $M_y, Ed/M_y, b, Rd = 0.60$

- Verifica di stabilità aste presso-inflesse (C4.2.4.1.3.3.2) - CC 19 SLU - Classe 1
Sollecitazioni: $N, Ed = -5789.22$ $M_y, Ed = -5983.93$ $L = 5.00$
 $\alpha_{my}, \alpha_{mz}, \alpha_{LT} = 0.95, 0.95, 0.95$
 $L_{cr} = 5.00$ Curva b: $\alpha_{imp} = 0.34$ $k_c = 0.94$ $\psi = 1.75$ $M_{cr} = 13579.60$ $\lambda_{LT} = 1.13$
 $\lambda_{LT,0} = 0.40$ $\Phi_{LT} = 1.10$ $\beta_{LT} = 0.75$ $f = 0.98$ $\chi_{LT} = 0.64$
 $\lambda_y = 44.54$ $N_{cr,y} = 480014.00$ $\lambda_y^* = 0.58$ Curva a: $\Phi_y = 0.71$ $\chi_y = 0.90$
 $\lambda_z = 165.40$ $N_{cr,z} = 34809.20$ $\lambda_z^* = 2.16$ Curva b: $\Phi_z = 3.18$ $\chi_z = 0.18$
 $K_{yy}, K_{yz}, K_{zy}, K_{zz} = 0.97, 0.73, 0.00, 1.22$
Verifica YY: $0.04 + 0.55 = 0.59$
Verifica ZZ: $0.21 = 0.21$

- Verifica freccia massima carichi totali - CC 22
 $f_{z,L} = 0.94$ (L/531)

- Verifica freccia massima per soli carichi accidentali - CC 22
 $f_{z,L} = 0.43$ (L/1151)

Asta n. 1018 (-59 -50) Sez. 2 IPE270 Crit. 2

- Verifica a flessione YY [4.2.13] - CC 1 SND $X_l = 2.50$ - Classe 3
Sollecitazioni: $M_y = -112.71$
 $M_y, Ed = -112.71$ $M_y, c, Rd = 14500.40$ $M_y, Ed/M_y, c, Rd = 0.01$

- Verifica a taglio dir. Z [4.2.16] - CC 17 SLU $X_l = 0.00$ - Classe 1
Sollecitazioni: $T_z = 117.22$
 $V, Ed = 117.22$ $V_c, Rd = 43217.20$ $V, Ed/V_c, Rd = 0.00$

- Verifica a trazione (4.2.4.1.2.1) - CC 18 SLU $X_l = 0.00$ - Classe 1
Sollecitazioni: $N = 14473.10$ $T_z = 117.22$
Verifica a trazione [4.2.5]
 $N, Ed = 14473.10$ $N_{pl}, Rd = 155342.00$ $N_u, Rd = 168714.00$ $N, Ed/N_t, Rd = 0.09$

- Verifica di stabilità aste inflesse (4.2.4.1.3.2) CC 17 SLU - Classe 1
 $L_{cr} = 5.00$ Curva b: $\alpha_{imp} = 0.34$ $k_c = 0.94$ $\psi = 1.75$ $M_{cr} = 13579.60$ $\lambda_{LT} = 1.13$
 $\lambda_{LT,0} = 0.40$ $\beta_{LT} = 0.75$ $\Phi_{LT} = 1.10$ $\beta_{LT} = 0.75$ $f = 0.98$ $\chi_{LT} = 0.64$
 $M_y, Ed = -146.53$ $M_y, b, Rd = 10471.50$ $M_y, Ed/M_y, b, Rd = 0.01$

- Verifica di stabilità aste presso-inflesse (C4.2.4.1.3.3.2) - CC 19 SLU - Classe 3
Sollecitazioni: $N, Ed = -5789.22$ $M_y, Ed = -146.53$ $L = 5.00$
 $\alpha_{my}, \alpha_{mz}, \alpha_{LT} = 0.95, 0.95, 0.95$
 $L_{cr} = 5.00$ Curva b: $\alpha_{imp} = 0.34$ $k_c = 0.94$ $\psi = 1.75$ $M_{cr} = 13579.60$ $\lambda_{LT} = 1.13$
 $\lambda_{LT,0} = 0.40$ $\Phi_{LT} = 1.10$ $\beta_{LT} = 0.75$ $f = 0.98$ $\chi_{LT} = 0.64$
 $\lambda_y = 44.54$ $N_{cr,y} = 480014.00$ $\lambda_y^* = 0.58$ Curva a: $\Phi_y = 0.71$ $\chi_y = 0.90$
 $\lambda_z = 165.40$ $N_{cr,z} = 34809.20$ $\lambda_z^* = 2.16$ Curva b: $\Phi_z = 3.18$ $\chi_z = 0.18$
 $K_{yy}, K_{yz}, K_{zy}, K_{zz} = 0.96, 1.07, 0.00, 1.07$
Verifica YY: $0.04 + 0.01 = 0.06$
Verifica ZZ: $0.21 = 0.21$

- Verifica freccia massima carichi totali - CC 23
 $f_{z,L} = 0.02$ (L/20681)

Asta n. 1018 (-68 -59) Sez. 2 IPE270 Crit. 2

- Verifica a flessione YY [4.2.13] - CC 1 SND $X_l = 2.50$ - Classe 3
Sollecitazioni: $M_y = -3375.98$
 $M_y, Ed = -3375.98$ $M_y, c, Rd = 14500.40$ $M_y, Ed/M_y, c, Rd = 0.23$

- Verifica a taglio dir. Z [4.2.16] - CC 17 SLU $X_l = 0.00$ - Classe 1
Sollecitazioni: $T_z = 4989.83$
 $V, Ed = 4989.83$ $V_c, Rd = 43217.20$ $V, Ed/V_c, Rd = 0.12$

- Verifica a presso o tenso-flessione retta YY (4.2.4.1.2.7) - CC 17 SLU $X_l = 2.50$ - Classe 1

Relazione di calcolo

- Sollecitazioni: $N=5789.22$ $M_y=-6237.29$
 $M_y, Ed=-6237.29$ $M_y, c, Rd=16436.40$
 $N, Ed=5789.22$ $Nc, Rd=155342.00$ $YY\ n=N, Ed/Nc, Rd=0.04$ $MNy, c, Rd=16436.40$ $M_y, Ed/MNy, c, Rd=0.38$
- Verifica di stabilità aste inflesse (4.2.4.1.3.2) CC 17 SLU - Classe 1
 $L_{cr}=5.00$ Curva b: $\alpha_{imp}=0.34$ $k_c=0.94$ $\psi=1.75$ $M, cr=13579.60$ $\lambda_{LT}=1.13$
 $\lambda_{LT,0}=0.40$ $\beta_{LT}=0.75$ $\Phi_{LT}=1.10$ $\beta_{LT}=0.75$ $f=0.98$ $\chi_{LT}=0.64$
 $M_y, Ed=-6237.29$ $M_y, b, Rd=10471.50$ $M_y, Ed/M_y, b, Rd=0.60$
- Verifica di stabilità aste presso-inflesse (C4.2.4.1.3.3.2) - CC 19 SLU - Classe 1
Sollecitazioni: $N, Ed=-5789.22$ $M_y, Ed=-5983.93$ $L=5.00$
 $\alpha_m, \alpha_mz, \alpha_{LT}=0.95, 0.95, 0.95$
 $L_{cr}=5.00$ Curva b: $\alpha_{imp}=0.34$ $k_c=0.94$ $\psi=1.75$ $M, cr=13579.60$ $\lambda_{LT}=1.13$
 $\lambda_{LT,0}=0.40$ $\Phi_{LT}=1.10$ $\beta_{LT}=0.75$ $f=0.98$ $\chi_{LT}=0.64$
 $\lambda_y=44.54$ $N_{cr,y}=480014.00$ $\lambda_y^*=0.58$ Curva a: $\Phi_y=0.71$ $\chi_y=0.90$
 $\lambda_z=165.40$ $N_{cr,z}=34809.20$ $\lambda_z^*=2.16$ Curva b: $\Phi_z=3.18$ $\chi_z=0.18$
 $K_{yy}, K_{yz}, K_{zy}, K_{zz}=0.97, 0.73, 0.00, 1.22$
Verifica YY: $0.04+0.55=0.59$
Verifica ZZ: $0.21=0.21$
- Verifica freccia massima carichi totali - CC 22
 $f_{z,L}=0.94$ (L/531)
- Verifica freccia massima per soli carichi accidentali - CC 22
 $f_{z,L}=0.43$ (L/1151)
- Asta n. 1018 (-77 -68) Sez. 2 IPE270 Crit. 2

- Verifica a flessione YY [4.2.13] - CC 1 SND $X_l=2.50$ - Classe 3
Sollecitazioni: $M_y=-3375.98$
 $M_y, Ed=-3375.98$ $M_y, c, Rd=14500.40$ $M_y, Ed/M_y, c, Rd=0.23$
- Verifica a taglio dir. Z [4.2.16] - CC 17 SLU $X_l=0.00$ - Classe 1
Sollecitazioni: $T_z=4989.83$
 $V, Ed=4989.83$ $Vc, Rd=43217.20$ $V, Ed/Vc, Rd=0.12$
- Verifica a presso o tenso-flessione retta YY (4.2.4.1.2.7) - CC 17 SLU $X_l=2.50$ - Classe 1
Sollecitazioni: $N=5789.22$ $M_y=-6237.29$
 $M_y, Ed=-6237.29$ $M_y, c, Rd=16436.40$
 $N, Ed=5789.22$ $Nc, Rd=155342.00$ $YY\ n=N, Ed/Nc, Rd=0.04$ $MNy, c, Rd=16436.40$ $M_y, Ed/MNy, c, Rd=0.38$
- Verifica di stabilità aste inflesse (4.2.4.1.3.2) CC 17 SLU - Classe 1
 $L_{cr}=5.00$ Curva b: $\alpha_{imp}=0.34$ $k_c=0.94$ $\psi=1.75$ $M, cr=13579.60$ $\lambda_{LT}=1.13$
 $\lambda_{LT,0}=0.40$ $\beta_{LT}=0.75$ $\Phi_{LT}=1.10$ $\beta_{LT}=0.75$ $f=0.98$ $\chi_{LT}=0.64$
 $M_y, Ed=-6237.29$ $M_y, b, Rd=10471.50$ $M_y, Ed/M_y, b, Rd=0.60$
- Verifica di stabilità aste presso-inflesse (C4.2.4.1.3.3.2) - CC 19 SLU - Classe 1
Sollecitazioni: $N, Ed=-5789.22$ $M_y, Ed=-5983.93$ $L=5.00$
 $\alpha_m, \alpha_mz, \alpha_{LT}=0.95, 0.95, 0.95$
 $L_{cr}=5.00$ Curva b: $\alpha_{imp}=0.34$ $k_c=0.94$ $\psi=1.75$ $M, cr=13579.60$ $\lambda_{LT}=1.13$
 $\lambda_{LT,0}=0.40$ $\Phi_{LT}=1.10$ $\beta_{LT}=0.75$ $f=0.98$ $\chi_{LT}=0.64$
 $\lambda_y=44.54$ $N_{cr,y}=480014.00$ $\lambda_y^*=0.58$ Curva a: $\Phi_y=0.71$ $\chi_y=0.90$
 $\lambda_z=165.40$ $N_{cr,z}=34809.20$ $\lambda_z^*=2.16$ Curva b: $\Phi_z=3.18$ $\chi_z=0.18$
 $K_{yy}, K_{yz}, K_{zy}, K_{zz}=0.97, 0.73, 0.00, 1.22$
Verifica YY: $0.04+0.55=0.59$
Verifica ZZ: $0.21=0.21$
- Verifica freccia massima carichi totali - CC 22
 $f_{z,L}=0.94$ (L/531)
- Verifica freccia massima per soli carichi accidentali - CC 22
 $f_{z,L}=0.43$ (L/1151)
- Asta n. 1018 (-86 -77) Sez. 2 IPE270 Crit. 2

- Verifica a flessione YY [4.2.13] - CC 1 SND $X_l=2.50$ - Classe 3
Sollecitazioni: $M_y=-3375.98$
 $M_y, Ed=-3375.98$ $M_y, c, Rd=14500.40$ $M_y, Ed/M_y, c, Rd=0.23$
- Verifica a taglio dir. Z [4.2.16] - CC 17 SLU $X_l=0.00$ - Classe 1
Sollecitazioni: $T_z=4989.83$
 $V, Ed=4989.83$ $Vc, Rd=43217.20$ $V, Ed/Vc, Rd=0.12$
- Verifica a presso o tenso-flessione retta YY (4.2.4.1.2.7) - CC 17 SLU $X_l=2.50$ - Classe 1
Sollecitazioni: $N=5789.22$ $M_y=-6237.29$
 $M_y, Ed=-6237.29$ $M_y, c, Rd=16436.40$
 $N, Ed=5789.22$ $Nc, Rd=155342.00$ $YY\ n=N, Ed/Nc, Rd=0.04$ $MNy, c, Rd=16436.40$ $M_y, Ed/MNy, c, Rd=0.38$
- Verifica di stabilità aste inflesse (4.2.4.1.3.2) CC 17 SLU - Classe 1

Relazione di calcolo

- $L_{cr}=5.00$ Curva b: $\alpha_{imp}=0.34$ $k_c=0.94$ $\psi=1.75$ $M_{cr}=13579.60$ $\lambda_{LT}=1.13$
 $\lambda_{LT,0}=0.40$ $\beta_{LT}=0.75$ $\Phi_{LT}=1.10$ $\beta_{LT}=0.75$ $f=0.98$ $\chi_{LT}=0.64$
 $M_{y,Ed}=-6237.29$ $M_{y,b,Rd}=10471.50$ $M_{y,Ed}/M_{y,b,Rd}=0.60$
- Verifica di stabilità aste presso-inflesse (C4.2.4.1.3.3.2) - CC 19 SLU - Classe 1
Sollecitazioni: $N_{Ed}=-5789.22$ $M_{y,Ed}=-5983.93$ $L=5.00$
 α_{my} , α_{mz} , $\alpha_{LT}=0.95$, 0.95 , 0.95
 $L_{cr}=5.00$ Curva b: $\alpha_{imp}=0.34$ $k_c=0.94$ $\psi=1.75$ $M_{cr}=13579.60$ $\lambda_{LT}=1.13$
 $\lambda_{LT,0}=0.40$ $\Phi_{LT}=1.10$ $\beta_{LT}=0.75$ $f=0.98$ $\chi_{LT}=0.64$
 $\lambda_y=44.54$ $N_{cr,y}=480014.00$ $\lambda_y^*=0.58$ Curva a: $\Phi_y=0.71$ $\chi_y=0.90$
 $\lambda_z=165.40$ $N_{cr,z}=34809.20$ $\lambda_z^*=2.16$ Curva b: $\Phi_z=3.18$ $\chi_z=0.18$
 K_{yy} , K_{yz} , K_{zy} , $K_{zz}=0.97$, 0.73 , 0.00 , 1.22
Verifica YY: $0.04+0.55=0.59$
Verifica ZZ: $0.21=0.21$
- Verifica freccia massima carichi totali - CC 22
 $f_{z,L}=0.94$ (L/531)
- Verifica freccia massima per soli carichi accidentali - CC 22
 $f_{z,L}=0.43$ (L/1151)
- Asta n. 1018 (-95 -86) Sez. 2 IPE270 Crit. 2

- Verifica a flessione YY [4.2.13] - CC 1 SND $X_l=2.50$ - Classe 3
Sollecitazioni: $M_y=-3375.98$
 $M_{y,Ed}=-3375.98$ $M_{y,c,Rd}=14500.40$ $M_{y,Ed}/M_{y,c,Rd}=0.23$
- Verifica a taglio dir. Z [4.2.16] - CC 17 SLU $X_l=0.00$ - Classe 1
Sollecitazioni: $T_z=4989.83$
 $V_{Ed}=4989.83$ $V_{c,Rd}=43217.20$ $V_{Ed}/V_{c,Rd}=0.12$
- Verifica a presso o tenso-flessione retta YY (4.2.4.1.2.7) - CC 17 SLU $X_l=2.50$ - Classe 1
Sollecitazioni: $N=5789.22$ $M_y=-6237.29$
 $M_{y,Ed}=-6237.29$ $M_{y,c,Rd}=16436.40$
 $N_{Ed}=5789.22$ $N_{c,Rd}=155342.00$ YY $n=N_{Ed}/N_{c,Rd}=0.04$ $MN_{y,c,Rd}=16436.40$ $M_{y,Ed}/MN_{y,c,Rd}=0.38$
- Verifica di stabilità aste inflesse (4.2.4.1.3.2) CC 17 SLU - Classe 1
 $L_{cr}=5.00$ Curva b: $\alpha_{imp}=0.34$ $k_c=0.94$ $\psi=1.75$ $M_{cr}=13579.60$ $\lambda_{LT}=1.13$
 $\lambda_{LT,0}=0.40$ $\beta_{LT}=0.75$ $\Phi_{LT}=1.10$ $\beta_{LT}=0.75$ $f=0.98$ $\chi_{LT}=0.64$
 $M_{y,Ed}=-6237.29$ $M_{y,b,Rd}=10471.50$ $M_{y,Ed}/M_{y,b,Rd}=0.60$
- Verifica di stabilità aste presso-inflesse (C4.2.4.1.3.3.2) - CC 19 SLU - Classe 1
Sollecitazioni: $N_{Ed}=-5789.22$ $M_{y,Ed}=-5983.93$ $L=5.00$
 α_{my} , α_{mz} , $\alpha_{LT}=0.95$, 0.95 , 0.95
 $L_{cr}=5.00$ Curva b: $\alpha_{imp}=0.34$ $k_c=0.94$ $\psi=1.75$ $M_{cr}=13579.60$ $\lambda_{LT}=1.13$
 $\lambda_{LT,0}=0.40$ $\Phi_{LT}=1.10$ $\beta_{LT}=0.75$ $f=0.98$ $\chi_{LT}=0.64$
 $\lambda_y=44.54$ $N_{cr,y}=480014.00$ $\lambda_y^*=0.58$ Curva a: $\Phi_y=0.71$ $\chi_y=0.90$
 $\lambda_z=165.40$ $N_{cr,z}=34809.20$ $\lambda_z^*=2.16$ Curva b: $\Phi_z=3.18$ $\chi_z=0.18$
 K_{yy} , K_{yz} , K_{zy} , $K_{zz}=0.97$, 0.73 , 0.00 , 1.22
Verifica YY: $0.04+0.55=0.59$
Verifica ZZ: $0.21=0.21$
- Verifica freccia massima carichi totali - CC 22
 $f_{z,L}=0.94$ (L/531)
- Verifica freccia massima per soli carichi accidentali - CC 22
 $f_{z,L}=0.43$ (L/1151)
- Asta n. 1018 (-103 -95) Sez. 2 IPE270 Crit. 2

- Verifica a flessione YY [4.2.13] - CC 1 SND $X_l=2.50$ - Classe 3
Sollecitazioni: $M_y=-3375.98$
 $M_{y,Ed}=-3375.98$ $M_{y,c,Rd}=14500.40$ $M_{y,Ed}/M_{y,c,Rd}=0.23$
- Verifica a taglio dir. Z [4.2.16] - CC 17 SLU $X_l=0.00$ - Classe 1
Sollecitazioni: $T_z=4989.83$
 $V_{Ed}=4989.83$ $V_{c,Rd}=43217.20$ $V_{Ed}/V_{c,Rd}=0.12$
- Verifica a presso o tenso-flessione retta YY (4.2.4.1.2.7) - CC 17 SLU $X_l=2.50$ - Classe 1
Sollecitazioni: $N=5789.22$ $M_y=-6237.29$
 $M_{y,Ed}=-6237.29$ $M_{y,c,Rd}=16436.40$
 $N_{Ed}=5789.22$ $N_{c,Rd}=155342.00$ YY $n=N_{Ed}/N_{c,Rd}=0.04$ $MN_{y,c,Rd}=16436.40$ $M_{y,Ed}/MN_{y,c,Rd}=0.38$
- Verifica di stabilità aste inflesse (4.2.4.1.3.2) CC 17 SLU - Classe 1
 $L_{cr}=5.00$ Curva b: $\alpha_{imp}=0.34$ $k_c=0.94$ $\psi=1.75$ $M_{cr}=13579.60$ $\lambda_{LT}=1.13$
 $\lambda_{LT,0}=0.40$ $\beta_{LT}=0.75$ $\Phi_{LT}=1.10$ $\beta_{LT}=0.75$ $f=0.98$ $\chi_{LT}=0.64$
 $M_{y,Ed}=-6237.29$ $M_{y,b,Rd}=10471.50$ $M_{y,Ed}/M_{y,b,Rd}=0.60$
- Verifica di stabilità aste presso-inflesse (C4.2.4.1.3.3.2) - CC 19 SLU - Classe 1

Relazione di calcolo

Sollecitazioni: $N, E_d = -5789.22 \text{ My}, E_d = -5983.93 \text{ L} = 5.00$
 $\alpha_{my}, \alpha_{mz}, \alpha_{LT} = 0.95, 0.95, 0.95$
 $L_{cr} = 5.00$ Curva b: $\alpha_{imp} = 0.34 \text{ } k_c = 0.94 \text{ } \psi = 1.75 \text{ } M, cr = 13579.60 \text{ } \lambda_{LT} = 1.13$
 $\lambda_{LT,0} = 0.40 \text{ } \Phi_{LT} = 1.10 \text{ } \beta_{LT} = 0.75 \text{ } f = 0.98 \text{ } \chi_{LT} = 0.64$
 $\lambda_y = 44.54 \text{ } N_{cr,y} = 480014.00 \text{ } \lambda_y^* = 0.58$ Curva a: $\Phi_y = 0.71 \text{ } \chi_y = 0.90$
 $\lambda_z = 165.40 \text{ } N_{cr,z} = 34809.20 \text{ } \lambda_z^* = 2.16$ Curva b: $\Phi_z = 3.18 \text{ } \chi_z = 0.18$
 $K_{yy}, K_{yz}, K_{zy}, K_{zz} = 0.97, 0.73, 0.00, 1.22$
Verifica YY: $0.04 + 0.55 = 0.59$
Verifica ZZ: $0.21 = 0.21$

- Verifica freccia massima carichi totali - CC 22
 $f_{z,L} = 0.94 \text{ (L/531)}$

- Verifica freccia massima per soli carichi accidentali - CC 22
 $f_{z,L} = 0.43 \text{ (L/1151)}$

Asta n. 1018 (-111 -103) Sez. 2 IPE270 Crit. 2

- Verifica a flessione YY [4.2.13] - CC 1 SND $X_l = 2.50$ - Classe 3
Sollecitazioni: $M_y = -3375.98$
 $M_y, E_d = -3375.98 \text{ } M_y, c, Rd = 14500.40 \text{ } M_y, E_d / M_y, c, Rd = 0.23$

- Verifica a taglio dir. Z [4.2.16] - CC 17 SLU $X_l = 0.00$ - Classe 1
Sollecitazioni: $T_z = 4989.83$
 $V, E_d = 4989.83 \text{ } V, c, Rd = 43217.20 \text{ } V, E_d / V, c, Rd = 0.12$

- Verifica a presso o tenso-flessione retta YY (4.2.4.1.2.7) - CC 17 SLU $X_l = 2.50$ - Classe 1
Sollecitazioni: $N = 5789.22 \text{ } M_y = -6237.29$
 $M_y, E_d = -6237.29 \text{ } M_y, c, Rd = 16436.40$
 $N, E_d = 5789.22 \text{ } N, c, Rd = 155342.00 \text{ } YY \text{ } n = N, E_d / N, c, Rd = 0.04 \text{ } MN_y, c, Rd = 16436.40 \text{ } M_y, E_d / MN_y, c, Rd = 0.38$

- Verifica di stabilità aste inflesse (4.2.4.1.3.2) CC 17 SLU - Classe 1
 $L_{cr} = 5.00$ Curva b: $\alpha_{imp} = 0.34 \text{ } k_c = 0.94 \text{ } \psi = 1.75 \text{ } M, cr = 13579.60 \text{ } \lambda_{LT} = 1.13$
 $\lambda_{LT,0} = 0.40 \text{ } \beta_{LT} = 0.75 \text{ } \Phi_{LT} = 1.10 \text{ } \beta_{LT} = 0.75 \text{ } f = 0.98 \text{ } \chi_{LT} = 0.64$
 $M_y, E_d = -6237.29 \text{ } M_y, b, Rd = 10471.50 \text{ } M_y, E_d / M_y, b, Rd = 0.60$

- Verifica di stabilità aste presso-inflesse (4.2.4.1.3.3.2) - CC 19 SLU - Classe 1
Sollecitazioni: $N, E_d = -5789.22 \text{ } M_y, E_d = -5983.93 \text{ } L = 5.00$
 $\alpha_{my}, \alpha_{mz}, \alpha_{LT} = 0.95, 0.95, 0.95$
 $L_{cr} = 5.00$ Curva b: $\alpha_{imp} = 0.34 \text{ } k_c = 0.94 \text{ } \psi = 1.75 \text{ } M, cr = 13579.60 \text{ } \lambda_{LT} = 1.13$
 $\lambda_{LT,0} = 0.40 \text{ } \Phi_{LT} = 1.10 \text{ } \beta_{LT} = 0.75 \text{ } f = 0.98 \text{ } \chi_{LT} = 0.64$
 $\lambda_y = 44.54 \text{ } N_{cr,y} = 480014.00 \text{ } \lambda_y^* = 0.58$ Curva a: $\Phi_y = 0.71 \text{ } \chi_y = 0.90$
 $\lambda_z = 165.40 \text{ } N_{cr,z} = 34809.20 \text{ } \lambda_z^* = 2.16$ Curva b: $\Phi_z = 3.18 \text{ } \chi_z = 0.18$
 $K_{yy}, K_{yz}, K_{zy}, K_{zz} = 0.97, 0.73, 0.00, 1.22$
Verifica YY: $0.04 + 0.55 = 0.59$
Verifica ZZ: $0.21 = 0.21$

- Verifica freccia massima carichi totali - CC 22
 $f_{z,L} = 0.94 \text{ (L/531)}$

- Verifica freccia massima per soli carichi accidentali - CC 22
 $f_{z,L} = 0.43 \text{ (L/1151)}$

Asta n. 1019 (2 1007) Sez. 5 UPN100 Crit. 3

- Verifica a trazione (4.2.4.1.2.1) - CC 13 SLV $X_l = 0.00$ - Classe 1
Sollecitazioni: $N = 3696.39$
Verifica a trazione [4.2.5]
 $N, E_d = 3696.39 \text{ } N_{pl}, Rd = 35889.70 \text{ } Nu, Rd = 42425.50 \text{ } N, E_d / N_{t}, Rd = 0.10$

- Verifica freccia massima carichi totali - CC 22
 $f_{z,G} = 0.02 \text{ (L/28596)}$

- Verifica freccia massima per soli carichi accidentali - CC 22
 $f_{z,G} = 0.01 \text{ (L/58460)}$

Asta n. 1020 (-6 -2) Sez. 2 IPE270 Crit. 2

- Verifica a flessione YY [4.2.13] - CC 1 SND $X_l = 2.50$ - Classe 3
Sollecitazioni: $M_y = -3375.98$
 $M_y, E_d = -3375.98 \text{ } M_y, c, Rd = 14500.40 \text{ } M_y, E_d / M_y, c, Rd = 0.23$

- Verifica a taglio dir. Z [4.2.16] - CC 17 SLU $X_l = 0.00$ - Classe 1
Sollecitazioni: $T_z = 4989.83$
 $V, E_d = 4989.83 \text{ } V, c, Rd = 43217.20 \text{ } V, E_d / V, c, Rd = 0.12$

- Verifica a presso o tenso-flessione retta YY (4.2.4.1.2.7) - CC 17 SLU $X_l = 2.50$ - Classe 1
Sollecitazioni: $N = 5789.22 \text{ } M_y = -6237.29$
 $M_y, E_d = -6237.29 \text{ } M_y, c, Rd = 16436.40$
 $N, E_d = 5789.22 \text{ } N, c, Rd = 155342.00 \text{ } YY \text{ } n = N, E_d / N, c, Rd = 0.04 \text{ } MN_y, c, Rd = 16436.40 \text{ } M_y, E_d / MN_y, c, Rd = 0.38$

Relazione di calcolo

- Verifica di stabilità aste inflesse (4.2.4.1.3.2) CC 17 SLU - Classe 1
L_{cr}=5.00 Curva b: $\alpha_{imp}=0.34$ $k_c=0.94$ $\psi=1.75$ M_{cr}=13579.60 $\lambda_{LT}=1.13$
 $\lambda_{LT,0}=0.40$ $\beta_{LT}=0.75$ $\Phi_{LT}=1.10$ $\beta_{LT}=0.75$ $f=0.98$ $\chi_{LT}=0.64$
My,Ed=-6237.29 My,b,Rd=10471.50 My,Ed/My,b,Rd=0.60
- Verifica di stabilità aste presso-inflesse (C4.2.4.1.3.3.2) - CC 19 SLU - Classe 1
Sollecitazioni: N,Ed=-5789.22 My,Ed=-5983.93 L=5.00
 α_{my} , α_{mz} , $\alpha_{LT}=0.95$, 0.95, 0.95
L_{cr}=5.00 Curva b: $\alpha_{imp}=0.34$ $k_c=0.94$ $\psi=1.75$ M_{cr}=13579.60 $\lambda_{LT}=1.13$
 $\lambda_{LT,0}=0.40$ $\Phi_{LT}=1.10$ $\beta_{LT}=0.75$ $f=0.98$ $\chi_{LT}=0.64$
 $\lambda_y=44.54$ N_{cr,y}=480014.00 $\lambda^*_y=0.58$ Curva a: $\Phi_y=0.71$ $\chi_y=0.90$
 $\lambda_z=165.40$ N_{cr,z}=34809.20 $\lambda^*_z=2.16$ Curva b: $\Phi_z=3.18$ $\chi_z=0.18$
K_{yy}, K_{yz}, K_{zy}, K_{zz}=0.97, 0.73, 0.00, 1.22
Verifica YY: 0.04+0.55=0.59
Verifica ZZ: 0.21=0.21
- Verifica freccia massima carichi totali - CC 22
f_{z,L}=0.94 (L/531)
- Verifica freccia massima per soli carichi accidentali - CC 22
f_{z,L}=0.43 (L/1151)
- Asta n. 1020 (-15 -6) Sez. 2 IPE270 Crit. 2

- Verifica a flessione YY [4.2.13] - CC 1 SND Xl=2.50 - Classe 3
Sollecitazioni: M_y=-3375.98
My,Ed=-3375.98 My,c,Rd=14500.40 My,Ed/My,c,Rd=0.23
- Verifica a taglio dir. Z [4.2.16] - CC 17 SLU Xl=0.00 - Classe 1
Sollecitazioni: T_z=4989.83
V,Ed=4989.83 V_c,Rd=43217.20 V,Ed/V_c,Rd=0.12
- Verifica a presso o tenso-flessione retta YY (4.2.4.1.2.7) - CC 17 SLU Xl=2.50 - Classe 1
Sollecitazioni: N=5789.22 M_y=-6237.29
My,Ed=-6237.29 My,c,Rd=16436.40
N,Ed=5789.22 N_c,Rd=155342.00 YY n=N,Ed/N_c,Rd=0.04 MN_y,c,Rd=16436.40 My,Ed/MN_y,c,Rd=0.38
- Verifica di stabilità aste inflesse (4.2.4.1.3.2) CC 17 SLU - Classe 1
L_{cr}=5.00 Curva b: $\alpha_{imp}=0.34$ $k_c=0.94$ $\psi=1.75$ M_{cr}=13579.60 $\lambda_{LT}=1.13$
 $\lambda_{LT,0}=0.40$ $\beta_{LT}=0.75$ $\Phi_{LT}=1.10$ $\beta_{LT}=0.75$ $f=0.98$ $\chi_{LT}=0.64$
My,Ed=-6237.29 My,b,Rd=10471.50 My,Ed/My,b,Rd=0.60
- Verifica di stabilità aste presso-inflesse (C4.2.4.1.3.3.2) - CC 19 SLU - Classe 1
Sollecitazioni: N,Ed=-5789.22 My,Ed=-5983.93 L=5.00
 α_{my} , α_{mz} , $\alpha_{LT}=0.95$, 0.95, 0.95
L_{cr}=5.00 Curva b: $\alpha_{imp}=0.34$ $k_c=0.94$ $\psi=1.75$ M_{cr}=13579.60 $\lambda_{LT}=1.13$
 $\lambda_{LT,0}=0.40$ $\Phi_{LT}=1.10$ $\beta_{LT}=0.75$ $f=0.98$ $\chi_{LT}=0.64$
 $\lambda_y=44.54$ N_{cr,y}=480014.00 $\lambda^*_y=0.58$ Curva a: $\Phi_y=0.71$ $\chi_y=0.90$
 $\lambda_z=165.40$ N_{cr,z}=34809.20 $\lambda^*_z=2.16$ Curva b: $\Phi_z=3.18$ $\chi_z=0.18$
K_{yy}, K_{yz}, K_{zy}, K_{zz}=0.97, 0.73, 0.00, 1.22
Verifica YY: 0.04+0.55=0.59
Verifica ZZ: 0.21=0.21
- Verifica freccia massima carichi totali - CC 22
f_{z,L}=0.94 (L/531)
- Verifica freccia massima per soli carichi accidentali - CC 22
f_{z,L}=0.43 (L/1151)
- Asta n. 1020 (-24 -15) Sez. 2 IPE270 Crit. 2

- Verifica a flessione YY [4.2.13] - CC 1 SND Xl=2.50 - Classe 3
Sollecitazioni: M_y=-3375.98
My,Ed=-3375.98 My,c,Rd=14500.40 My,Ed/My,c,Rd=0.23
- Verifica a taglio dir. Z [4.2.16] - CC 17 SLU Xl=0.00 - Classe 1
Sollecitazioni: T_z=4989.83
V,Ed=4989.83 V_c,Rd=43217.20 V,Ed/V_c,Rd=0.12
- Verifica a presso o tenso-flessione retta YY (4.2.4.1.2.7) - CC 17 SLU Xl=2.50 - Classe 1
Sollecitazioni: N=5789.22 M_y=-6237.29
My,Ed=-6237.29 My,c,Rd=16436.40
N,Ed=5789.22 N_c,Rd=155342.00 YY n=N,Ed/N_c,Rd=0.04 MN_y,c,Rd=16436.40 My,Ed/MN_y,c,Rd=0.38
- Verifica di stabilità aste inflesse (4.2.4.1.3.2) CC 17 SLU - Classe 1
L_{cr}=5.00 Curva b: $\alpha_{imp}=0.34$ $k_c=0.94$ $\psi=1.75$ M_{cr}=13579.60 $\lambda_{LT}=1.13$
 $\lambda_{LT,0}=0.40$ $\beta_{LT}=0.75$ $\Phi_{LT}=1.10$ $\beta_{LT}=0.75$ $f=0.98$ $\chi_{LT}=0.64$
My,Ed=-6237.29 My,b,Rd=10471.50 My,Ed/My,b,Rd=0.60

- Verifica di stabilità aste presso-inflesse (C4.2.4.1.3.3.2) - CC 19 SLU - Classe 1
Sollecitazioni: $N, Ed = -5789.22 \text{ My}, Ed = -5983.93 \text{ L} = 5.00$
 $\alpha_{my}, \alpha_{mz}, \alpha_{LT} = 0.95, 0.95, 0.95$
 $L_{cr} = 5.00$ Curva b: $\alpha_{imp} = 0.34 \text{ } k_c = 0.94 \text{ } \psi = 1.75 \text{ M}, cr = 13579.60 \text{ } \lambda_{LT} = 1.13$
 $\lambda_{LT,0} = 0.40 \text{ } \Phi_{LT} = 1.10 \text{ } \beta_{LT} = 0.75 \text{ } f = 0.98 \text{ } \chi_{LT} = 0.64$
 $\lambda_y = 44.54 \text{ Ncr}, y = 480014.00 \text{ } \lambda_y^* = 0.58$ Curva a: $\Phi_y = 0.71 \text{ } \chi_y = 0.90$
 $\lambda_z = 165.40 \text{ Ncr}, z = 34809.20 \text{ } \lambda_z^* = 2.16$ Curva b: $\Phi_z = 3.18 \text{ } \chi_z = 0.18$
 $K_{yy}, K_{yz}, K_{zy}, K_{zz} = 0.97, 0.73, 0.00, 1.22$
Verifica YY: $0.04 + 0.55 = 0.59$
Verifica ZZ: $0.21 = 0.21$
 - Verifica freccia massima carichi totali - CC 22
 $f_{z,L} = 0.94 \text{ (L/531)}$
 - Verifica freccia massima per soli carichi accidentali - CC 22
 $f_{z,L} = 0.43 \text{ (L/1151)}$
- Asta n. 1020 (-33 -24) Sez. 2 IPE270 Crit. 2
-
- Verifica a flessione YY [4.2.13] - CC 1 SND $X_l = 2.50$ - Classe 3
Sollecitazioni: $M_y = -3375.98$
 $M_y, Ed = -3375.98 \text{ } M_y, c, Rd = 14500.40 \text{ } M_y, Ed/M_y, c, Rd = 0.23$
 - Verifica a taglio dir. Z [4.2.16] - CC 17 SLU $X_l = 0.00$ - Classe 1
Sollecitazioni: $T_z = 4989.83$
 $V, Ed = 4989.83 \text{ } V_c, Rd = 43217.20 \text{ } V, Ed/V_c, Rd = 0.12$
 - Verifica a presso o tenso-flessione retta YY (4.2.4.1.2.7) - CC 17 SLU $X_l = 2.50$ - Classe 1
Sollecitazioni: $N = 5789.22 \text{ } M_y = -6237.29$
 $M_y, Ed = -6237.29 \text{ } M_y, c, Rd = 16436.40$
 $N, Ed = 5789.22 \text{ } N_c, Rd = 155342.00 \text{ } YY \text{ } n = N, Ed/N_c, Rd = 0.04 \text{ } MN_y, c, Rd = 16436.40 \text{ } M_y, Ed/MN_y, c, Rd = 0.38$
 - Verifica di stabilità aste inflesse (4.2.4.1.3.2) CC 17 SLU - Classe 1
 $L_{cr} = 5.00$ Curva b: $\alpha_{imp} = 0.34 \text{ } k_c = 0.94 \text{ } \psi = 1.75 \text{ M}, cr = 13579.60 \text{ } \lambda_{LT} = 1.13$
 $\lambda_{LT,0} = 0.40 \text{ } \beta_{LT} = 0.75 \text{ } \Phi_{LT} = 1.10 \text{ } \beta_{LT} = 0.75 \text{ } f = 0.98 \text{ } \chi_{LT} = 0.64$
 $M_y, Ed = -6237.29 \text{ } M_y, b, Rd = 10471.50 \text{ } M_y, Ed/M_y, b, Rd = 0.60$
 - Verifica di stabilità aste presso-inflesse (C4.2.4.1.3.3.2) - CC 19 SLU - Classe 1
Sollecitazioni: $N, Ed = -5789.22 \text{ My}, Ed = -5983.93 \text{ L} = 5.00$
 $\alpha_{my}, \alpha_{mz}, \alpha_{LT} = 0.95, 0.95, 0.95$
 $L_{cr} = 5.00$ Curva b: $\alpha_{imp} = 0.34 \text{ } k_c = 0.94 \text{ } \psi = 1.75 \text{ M}, cr = 13579.60 \text{ } \lambda_{LT} = 1.13$
 $\lambda_{LT,0} = 0.40 \text{ } \Phi_{LT} = 1.10 \text{ } \beta_{LT} = 0.75 \text{ } f = 0.98 \text{ } \chi_{LT} = 0.64$
 $\lambda_y = 44.54 \text{ Ncr}, y = 480014.00 \text{ } \lambda_y^* = 0.58$ Curva a: $\Phi_y = 0.71 \text{ } \chi_y = 0.90$
 $\lambda_z = 165.40 \text{ Ncr}, z = 34809.20 \text{ } \lambda_z^* = 2.16$ Curva b: $\Phi_z = 3.18 \text{ } \chi_z = 0.18$
 $K_{yy}, K_{yz}, K_{zy}, K_{zz} = 0.97, 0.73, 0.00, 1.22$
Verifica YY: $0.04 + 0.55 = 0.59$
Verifica ZZ: $0.21 = 0.21$
 - Verifica freccia massima carichi totali - CC 22
 $f_{z,L} = 0.94 \text{ (L/531)}$
 - Verifica freccia massima per soli carichi accidentali - CC 22
 $f_{z,L} = 0.43 \text{ (L/1151)}$
- Asta n. 1020 (-42 -33) Sez. 2 IPE270 Crit. 2
-
- Verifica a flessione YY [4.2.13] - CC 1 SND $X_l = 2.50$ - Classe 3
Sollecitazioni: $M_y = -3375.98$
 $M_y, Ed = -3375.98 \text{ } M_y, c, Rd = 14500.40 \text{ } M_y, Ed/M_y, c, Rd = 0.23$
 - Verifica a taglio dir. Z [4.2.16] - CC 17 SLU $X_l = 0.00$ - Classe 1
Sollecitazioni: $T_z = 4989.83$
 $V, Ed = 4989.83 \text{ } V_c, Rd = 43217.20 \text{ } V, Ed/V_c, Rd = 0.12$
 - Verifica a presso o tenso-flessione retta YY (4.2.4.1.2.7) - CC 17 SLU $X_l = 2.50$ - Classe 1
Sollecitazioni: $N = 5789.22 \text{ } M_y = -6237.29$
 $M_y, Ed = -6237.29 \text{ } M_y, c, Rd = 16436.40$
 $N, Ed = 5789.22 \text{ } N_c, Rd = 155342.00 \text{ } YY \text{ } n = N, Ed/N_c, Rd = 0.04 \text{ } MN_y, c, Rd = 16436.40 \text{ } M_y, Ed/MN_y, c, Rd = 0.38$
 - Verifica di stabilità aste inflesse (4.2.4.1.3.2) CC 17 SLU - Classe 1
 $L_{cr} = 5.00$ Curva b: $\alpha_{imp} = 0.34 \text{ } k_c = 0.94 \text{ } \psi = 1.75 \text{ M}, cr = 13579.60 \text{ } \lambda_{LT} = 1.13$
 $\lambda_{LT,0} = 0.40 \text{ } \beta_{LT} = 0.75 \text{ } \Phi_{LT} = 1.10 \text{ } \beta_{LT} = 0.75 \text{ } f = 0.98 \text{ } \chi_{LT} = 0.64$
 $M_y, Ed = -6237.29 \text{ } M_y, b, Rd = 10471.50 \text{ } M_y, Ed/M_y, b, Rd = 0.60$
 - Verifica di stabilità aste presso-inflesse (C4.2.4.1.3.3.2) - CC 19 SLU - Classe 1
Sollecitazioni: $N, Ed = -5789.22 \text{ My}, Ed = -5983.93 \text{ L} = 5.00$
 $\alpha_{my}, \alpha_{mz}, \alpha_{LT} = 0.95, 0.95, 0.95$
 $L_{cr} = 5.00$ Curva b: $\alpha_{imp} = 0.34 \text{ } k_c = 0.94 \text{ } \psi = 1.75 \text{ M}, cr = 13579.60 \text{ } \lambda_{LT} = 1.13$

Relazione di calcolo

$\lambda_{LT,0}=0.40$ $\Phi_{LT}=1.10$ $\beta_{LT}=0.75$ $f=0.98$ $\chi_{LT}=0.64$
 $\lambda_y=44.54$ $N_{cr,y}=480014.00$ $\lambda_y^*=0.58$ Curva a: $\Phi_y=0.71$ $\chi_y=0.90$
 $\lambda_z=165.40$ $N_{cr,z}=34809.20$ $\lambda_z^*=2.16$ Curva b: $\Phi_z=3.18$ $\chi_z=0.18$
Kyy, Kyz, Kzy, Kzz=0.97, 0.73, 0.00, 1.22
Verifica YY: 0.04+0.55=0.59
Verifica ZZ: 0.21=0.21

- Verifica freccia massima carichi totali - CC 22
 $f_{z,L}=0.94$ (L/531)

- Verifica freccia massima per soli carichi accidentali - CC 22
 $f_{z,L}=0.43$ (L/1151)

Asta n. 1020 (-51 -42) Sez. 2 IPE270 Crit. 2

- Verifica a flessione YY [4.2.13] - CC 1 SND $X_l=2.50$ - Classe 3
Sollecitazioni: $M_y=-3375.98$
 $M_{y,Ed}=-3375.98$ $M_{y,c,Rd}=14500.40$ $M_{y,Ed}/M_{y,c,Rd}=0.23$

- Verifica a taglio dir. Z [4.2.16] - CC 17 SLU $X_l=0.00$ - Classe 1
Sollecitazioni: $T_z=4989.83$
 $V_{Ed}=4989.83$ $V_{c,Rd}=43217.20$ $V_{Ed}/V_{c,Rd}=0.12$

- Verifica a presso o tenso-flessione retta YY (4.2.4.1.2.7) - CC 17 SLU $X_l=2.50$ - Classe 1
Sollecitazioni: $N=5789.22$ $M_y=-6237.29$
 $M_{y,Ed}=-6237.29$ $M_{y,c,Rd}=16436.40$
 $N_{Ed}=5789.22$ $N_{c,Rd}=155342.00$ YY $n=N_{Ed}/N_{c,Rd}=0.04$ $MN_{y,c,Rd}=16436.40$ $M_{y,Ed}/MN_{y,c,Rd}=0.38$

- Verifica di stabilità aste inflesse (4.2.4.1.3.2) CC 17 SLU - Classe 1
 $L_{cr}=5.00$ Curva b: $\alpha_{imp}=0.34$ $k_c=0.94$ $\psi=1.75$ $M_{cr}=13579.60$ $\lambda_{LT}=1.13$
 $\lambda_{LT,0}=0.40$ $\beta_{LT}=0.75$ $\Phi_{LT}=1.10$ $\beta_{LT}=0.75$ $f=0.98$ $\chi_{LT}=0.64$
 $M_{y,Ed}=-6237.29$ $M_{y,b,Rd}=10471.50$ $M_{y,Ed}/M_{y,b,Rd}=0.60$

- Verifica di stabilità aste presso-inflesse (C4.2.4.1.3.3.2) - CC 19 SLU - Classe 1
Sollecitazioni: $N_{Ed}=-5789.22$ $M_{y,Ed}=-5983.93$ $L=5.00$
 $\alpha_{my}, \alpha_{mz}, \alpha_{LT}=0.95, 0.95, 0.95$
 $L_{cr}=5.00$ Curva b: $\alpha_{imp}=0.34$ $k_c=0.94$ $\psi=1.75$ $M_{cr}=13579.60$ $\lambda_{LT}=1.13$
 $\lambda_{LT,0}=0.40$ $\Phi_{LT}=1.10$ $\beta_{LT}=0.75$ $f=0.98$ $\chi_{LT}=0.64$
 $\lambda_y=44.54$ $N_{cr,y}=480014.00$ $\lambda_y^*=0.58$ Curva a: $\Phi_y=0.71$ $\chi_y=0.90$
 $\lambda_z=165.40$ $N_{cr,z}=34809.20$ $\lambda_z^*=2.16$ Curva b: $\Phi_z=3.18$ $\chi_z=0.18$
Kyy, Kyz, Kzy, Kzz=0.97, 0.73, 0.00, 1.22
Verifica YY: 0.04+0.55=0.59
Verifica ZZ: 0.21=0.21

- Verifica freccia massima carichi totali - CC 22
 $f_{z,L}=0.94$ (L/531)

- Verifica freccia massima per soli carichi accidentali - CC 22
 $f_{z,L}=0.43$ (L/1151)

Asta n. 1020 (-60 -51) Sez. 2 IPE270 Crit. 2

- Verifica a flessione YY [4.2.13] - CC 1 SND $X_l=2.50$ - Classe 3
Sollecitazioni: $M_y=-3375.98$
 $M_{y,Ed}=-3375.98$ $M_{y,c,Rd}=14500.40$ $M_{y,Ed}/M_{y,c,Rd}=0.23$

- Verifica a taglio dir. Z [4.2.16] - CC 17 SLU $X_l=0.00$ - Classe 1
Sollecitazioni: $T_z=4989.83$
 $V_{Ed}=4989.83$ $V_{c,Rd}=43217.20$ $V_{Ed}/V_{c,Rd}=0.12$

- Verifica a presso o tenso-flessione retta YY (4.2.4.1.2.7) - CC 17 SLU $X_l=2.50$ - Classe 1
Sollecitazioni: $N=5789.22$ $M_y=-6237.29$
 $M_{y,Ed}=-6237.29$ $M_{y,c,Rd}=16436.40$
 $N_{Ed}=5789.22$ $N_{c,Rd}=155342.00$ YY $n=N_{Ed}/N_{c,Rd}=0.04$ $MN_{y,c,Rd}=16436.40$ $M_{y,Ed}/MN_{y,c,Rd}=0.38$

- Verifica di stabilità aste inflesse (4.2.4.1.3.2) CC 17 SLU - Classe 1
 $L_{cr}=5.00$ Curva b: $\alpha_{imp}=0.34$ $k_c=0.94$ $\psi=1.75$ $M_{cr}=13579.60$ $\lambda_{LT}=1.13$
 $\lambda_{LT,0}=0.40$ $\beta_{LT}=0.75$ $\Phi_{LT}=1.10$ $\beta_{LT}=0.75$ $f=0.98$ $\chi_{LT}=0.64$
 $M_{y,Ed}=-6237.29$ $M_{y,b,Rd}=10471.50$ $M_{y,Ed}/M_{y,b,Rd}=0.60$

- Verifica di stabilità aste presso-inflesse (C4.2.4.1.3.3.2) - CC 19 SLU - Classe 1
Sollecitazioni: $N_{Ed}=-5789.22$ $M_{y,Ed}=-5983.93$ $L=5.00$
 $\alpha_{my}, \alpha_{mz}, \alpha_{LT}=0.95, 0.95, 0.95$
 $L_{cr}=5.00$ Curva b: $\alpha_{imp}=0.34$ $k_c=0.94$ $\psi=1.75$ $M_{cr}=13579.60$ $\lambda_{LT}=1.13$
 $\lambda_{LT,0}=0.40$ $\Phi_{LT}=1.10$ $\beta_{LT}=0.75$ $f=0.98$ $\chi_{LT}=0.64$
 $\lambda_y=44.54$ $N_{cr,y}=480014.00$ $\lambda_y^*=0.58$ Curva a: $\Phi_y=0.71$ $\chi_y=0.90$
 $\lambda_z=165.40$ $N_{cr,z}=34809.20$ $\lambda_z^*=2.16$ Curva b: $\Phi_z=3.18$ $\chi_z=0.18$
Kyy, Kyz, Kzy, Kzz=0.97, 0.73, 0.00, 1.22
Verifica YY: 0.04+0.55=0.59

Relazione di calcolo

Verifica ZZ: 0.21=0.21

- Verifica freccia massima carichi totali - CC 22
 $f_{z,L}=0.94$ (L/531)

- Verifica freccia massima per soli carichi accidentali - CC 22
 $f_{z,L}=0.43$ (L/1151)

Asta n. 1020 (-69 -60) Sez. 2 IPE270 Crit. 2

- Verifica a flessione YY [4.2.13] - CC 1 SND $X_1=2.50$ - Classe 3
Sollecitazioni: $M_y=-3375.98$
 $M_y,Ed=-3375.98$ $M_y,c,Rd=14500.40$ $M_y,Ed/M_y,c,Rd=0.23$

- Verifica a taglio dir. Z [4.2.16] - CC 17 SLU $X_1=0.00$ - Classe 1
Sollecitazioni: $T_z=4989.83$
 $V,Ed=4989.83$ $V_c,Rd=43217.20$ $V,Ed/V_c,Rd=0.12$

- Verifica a presso o tenso-flessione retta YY (4.2.4.1.2.7) - CC 17 SLU $X_1=2.50$ - Classe 1
Sollecitazioni: $N=5789.22$ $M_y=-6237.29$
 $M_y,Ed=-6237.29$ $M_y,c,Rd=16436.40$
 $N,Ed=5789.22$ $N_c,Rd=155342.00$ $YY\ n=N,Ed/N_c,Rd=0.04$ $MN_y,c,Rd=16436.40$ $M_y,Ed/MN_y,c,Rd=0.38$

- Verifica di stabilità aste inflesse (4.2.4.1.3.2) CC 17 SLU - Classe 1
 $L_{cr}=5.00$ Curva b: $\alpha_{imp}=0.34$ $k_c=0.94$ $\psi=1.75$ $M_{cr}=13579.60$ $\lambda_{LT}=1.13$
 $\lambda_{LT,0}=0.40$ $\beta_{LT}=0.75$ $\Phi_{LT}=1.10$ $\beta_{LT}=0.75$ $f=0.98$ $\chi_{LT}=0.64$
 $M_y,Ed=-6237.29$ $M_y,b,Rd=10471.50$ $M_y,Ed/M_y,b,Rd=0.60$

- Verifica di stabilità aste presso-inflesse (C4.2.4.1.3.3.2) - CC 19 SLU - Classe 1
Sollecitazioni: $N,Ed=-5789.22$ $M_y,Ed=-5983.93$ $L=5.00$
 $\alpha_{my}, \alpha_{mz}, \alpha_{LT}=0.95, 0.95, 0.95$
 $L_{cr}=5.00$ Curva b: $\alpha_{imp}=0.34$ $k_c=0.94$ $\psi=1.75$ $M_{cr}=13579.60$ $\lambda_{LT}=1.13$
 $\lambda_{LT,0}=0.40$ $\Phi_{LT}=1.10$ $\beta_{LT}=0.75$ $f=0.98$ $\chi_{LT}=0.64$
 $\lambda_y=44.54$ $N_{cr,y}=480014.00$ $\lambda_y^*=0.58$ Curva a: $\Phi_y=0.71$ $\chi_y=0.90$
 $\lambda_z=165.40$ $N_{cr,z}=34809.20$ $\lambda_z^*=2.16$ Curva b: $\Phi_z=3.18$ $\chi_z=0.18$
 $K_{yy}, K_{yz}, K_{zy}, K_{zz}=0.97, 0.73, 0.00, 1.22$
Verifica YY: $0.04+0.55=0.59$
Verifica ZZ: $0.21=0.21$

- Verifica freccia massima carichi totali - CC 22
 $f_{z,L}=0.94$ (L/531)

- Verifica freccia massima per soli carichi accidentali - CC 22
 $f_{z,L}=0.43$ (L/1151)

Asta n. 1020 (-78 -69) Sez. 2 IPE270 Crit. 2

- Verifica a flessione YY [4.2.13] - CC 1 SND $X_1=2.50$ - Classe 3
Sollecitazioni: $M_y=-3375.98$
 $M_y,Ed=-3375.98$ $M_y,c,Rd=14500.40$ $M_y,Ed/M_y,c,Rd=0.23$

- Verifica a taglio dir. Z [4.2.16] - CC 17 SLU $X_1=0.00$ - Classe 1
Sollecitazioni: $T_z=4989.83$
 $V,Ed=4989.83$ $V_c,Rd=43217.20$ $V,Ed/V_c,Rd=0.12$

- Verifica a presso o tenso-flessione retta YY (4.2.4.1.2.7) - CC 17 SLU $X_1=2.50$ - Classe 1
Sollecitazioni: $N=5789.22$ $M_y=-6237.29$
 $M_y,Ed=-6237.29$ $M_y,c,Rd=16436.40$
 $N,Ed=5789.22$ $N_c,Rd=155342.00$ $YY\ n=N,Ed/N_c,Rd=0.04$ $MN_y,c,Rd=16436.40$ $M_y,Ed/MN_y,c,Rd=0.38$

- Verifica di stabilità aste inflesse (4.2.4.1.3.2) CC 17 SLU - Classe 1
 $L_{cr}=5.00$ Curva b: $\alpha_{imp}=0.34$ $k_c=0.94$ $\psi=1.75$ $M_{cr}=13579.60$ $\lambda_{LT}=1.13$
 $\lambda_{LT,0}=0.40$ $\beta_{LT}=0.75$ $\Phi_{LT}=1.10$ $\beta_{LT}=0.75$ $f=0.98$ $\chi_{LT}=0.64$
 $M_y,Ed=-6237.29$ $M_y,b,Rd=10471.50$ $M_y,Ed/M_y,b,Rd=0.60$

- Verifica di stabilità aste presso-inflesse (C4.2.4.1.3.3.2) - CC 19 SLU - Classe 1
Sollecitazioni: $N,Ed=-5789.22$ $M_y,Ed=-5983.93$ $L=5.00$
 $\alpha_{my}, \alpha_{mz}, \alpha_{LT}=0.95, 0.95, 0.95$
 $L_{cr}=5.00$ Curva b: $\alpha_{imp}=0.34$ $k_c=0.94$ $\psi=1.75$ $M_{cr}=13579.60$ $\lambda_{LT}=1.13$
 $\lambda_{LT,0}=0.40$ $\Phi_{LT}=1.10$ $\beta_{LT}=0.75$ $f=0.98$ $\chi_{LT}=0.64$
 $\lambda_y=44.54$ $N_{cr,y}=480014.00$ $\lambda_y^*=0.58$ Curva a: $\Phi_y=0.71$ $\chi_y=0.90$
 $\lambda_z=165.40$ $N_{cr,z}=34809.20$ $\lambda_z^*=2.16$ Curva b: $\Phi_z=3.18$ $\chi_z=0.18$
 $K_{yy}, K_{yz}, K_{zy}, K_{zz}=0.97, 0.73, 0.00, 1.22$
Verifica YY: $0.04+0.55=0.59$
Verifica ZZ: $0.21=0.21$

- Verifica freccia massima carichi totali - CC 22
 $f_{z,L}=0.94$ (L/531)

Relazione di calcolo

- Verifica freccia massima per soli carichi accidentali - CC 22
 $f_{z,L}=0.43$ (L/1151)

Asta n. 1020 (-87 -78) Sez. 2 IPE270 Crit. 2

- Verifica a flessione YY [4.2.13] - CC 1 SND $X_l=2.50$ - Classe 3
Sollecitazioni: $M_y=-3375.98$
 $M_y,Ed=-3375.98$ $M_y,c,Rd=14500.40$ $M_y,Ed/M_y,c,Rd=0.23$

- Verifica a taglio dir. Z [4.2.16] - CC 17 SLU $X_l=0.00$ - Classe 1
Sollecitazioni: $T_z=4989.83$
 $V,Ed=4989.83$ $V_c,Rd=43217.20$ $V,Ed/V_c,Rd=0.12$

- Verifica a presso o tenso-flessione retta YY (4.2.4.1.2.7) - CC 17 SLU $X_l=2.50$ - Classe 1
Sollecitazioni: $N=5789.22$ $M_y=-6237.29$
 $M_y,Ed=-6237.29$ $M_y,c,Rd=16436.40$
 $N,Ed=5789.22$ $N_c,Rd=155342.00$ YY $n=N,Ed/N_c,Rd=0.04$ $MN_y,c,Rd=16436.40$ $M_y,Ed/MN_y,c,Rd=0.38$

- Verifica di stabilità aste inflesse (4.2.4.1.3.2) CC 17 SLU - Classe 1
 $L_{cr}=5.00$ Curva b: $\alpha_{imp}=0.34$ $k_c=0.94$ $\psi=1.75$ $M_{cr}=13579.60$ $\lambda_{LT}=1.13$
 $\lambda_{LT,0}=0.40$ $\beta_{LT}=0.75$ $\Phi_{LT}=1.10$ $\beta_{LT}=0.75$ $f=0.98$ $\chi_{LT}=0.64$
 $M_y,Ed=-6237.29$ $M_y,b,Rd=10471.50$ $M_y,Ed/M_y,b,Rd=0.60$

- Verifica di stabilità aste presso-inflesse (C4.2.4.1.3.3.2) - CC 19 SLU - Classe 1
Sollecitazioni: $N,Ed=-5789.22$ $M_y,Ed=-5983.93$ $L=5.00$
 $\alpha_{my}, \alpha_{mz}, \alpha_{LT}=0.95, 0.95, 0.95$
 $L_{cr}=5.00$ Curva b: $\alpha_{imp}=0.34$ $k_c=0.94$ $\psi=1.75$ $M_{cr}=13579.60$ $\lambda_{LT}=1.13$
 $\lambda_{LT,0}=0.40$ $\Phi_{LT}=1.10$ $\beta_{LT}=0.75$ $f=0.98$ $\chi_{LT}=0.64$
 $\lambda_y=44.54$ $N_{cr,y}=480014.00$ $\lambda_y^*=0.58$ Curva a: $\Phi_y=0.71$ $\chi_y=0.90$
 $\lambda_z=165.40$ $N_{cr,z}=34809.20$ $\lambda_z^*=2.16$ Curva b: $\Phi_z=3.18$ $\chi_z=0.18$
 $K_{yy}, K_{yz}, K_{zy}, K_{zz}=0.97, 0.73, 0.00, 1.22$
Verifica YY: $0.04+0.55=0.59$
Verifica ZZ: $0.21=0.21$

- Verifica freccia massima carichi totali - CC 22
 $f_{z,L}=0.94$ (L/531)

- Verifica freccia massima per soli carichi accidentali - CC 22
 $f_{z,L}=0.43$ (L/1151)

Asta n. 1020 (-96 -87) Sez. 2 IPE270 Crit. 2

- Verifica a flessione YY [4.2.13] - CC 1 SND $X_l=2.50$ - Classe 3
Sollecitazioni: $M_y=-3375.98$
 $M_y,Ed=-3375.98$ $M_y,c,Rd=14500.40$ $M_y,Ed/M_y,c,Rd=0.23$

- Verifica a taglio dir. Z [4.2.16] - CC 17 SLU $X_l=0.00$ - Classe 1
Sollecitazioni: $T_z=4989.83$
 $V,Ed=4989.83$ $V_c,Rd=43217.20$ $V,Ed/V_c,Rd=0.12$

- Verifica a presso o tenso-flessione retta YY (4.2.4.1.2.7) - CC 17 SLU $X_l=2.50$ - Classe 1
Sollecitazioni: $N=5789.22$ $M_y=-6237.29$
 $M_y,Ed=-6237.29$ $M_y,c,Rd=16436.40$
 $N,Ed=5789.22$ $N_c,Rd=155342.00$ YY $n=N,Ed/N_c,Rd=0.04$ $MN_y,c,Rd=16436.40$ $M_y,Ed/MN_y,c,Rd=0.38$

- Verifica di stabilità aste inflesse (4.2.4.1.3.2) CC 17 SLU - Classe 1
 $L_{cr}=5.00$ Curva b: $\alpha_{imp}=0.34$ $k_c=0.94$ $\psi=1.75$ $M_{cr}=13579.60$ $\lambda_{LT}=1.13$
 $\lambda_{LT,0}=0.40$ $\beta_{LT}=0.75$ $\Phi_{LT}=1.10$ $\beta_{LT}=0.75$ $f=0.98$ $\chi_{LT}=0.64$
 $M_y,Ed=-6237.29$ $M_y,b,Rd=10471.50$ $M_y,Ed/M_y,b,Rd=0.60$

- Verifica di stabilità aste presso-inflesse (C4.2.4.1.3.3.2) - CC 19 SLU - Classe 1
Sollecitazioni: $N,Ed=-5789.22$ $M_y,Ed=-5983.93$ $L=5.00$
 $\alpha_{my}, \alpha_{mz}, \alpha_{LT}=0.95, 0.95, 0.95$
 $L_{cr}=5.00$ Curva b: $\alpha_{imp}=0.34$ $k_c=0.94$ $\psi=1.75$ $M_{cr}=13579.60$ $\lambda_{LT}=1.13$
 $\lambda_{LT,0}=0.40$ $\Phi_{LT}=1.10$ $\beta_{LT}=0.75$ $f=0.98$ $\chi_{LT}=0.64$
 $\lambda_y=44.54$ $N_{cr,y}=480014.00$ $\lambda_y^*=0.58$ Curva a: $\Phi_y=0.71$ $\chi_y=0.90$
 $\lambda_z=165.40$ $N_{cr,z}=34809.20$ $\lambda_z^*=2.16$ Curva b: $\Phi_z=3.18$ $\chi_z=0.18$
 $K_{yy}, K_{yz}, K_{zy}, K_{zz}=0.97, 0.73, 0.00, 1.22$
Verifica YY: $0.04+0.55=0.59$
Verifica ZZ: $0.21=0.21$

- Verifica freccia massima carichi totali - CC 22
 $f_{z,L}=0.94$ (L/531)

- Verifica freccia massima per soli carichi accidentali - CC 22
 $f_{z,L}=0.43$ (L/1151)

Asta n. 1020 (-104 -96) Sez. 2 IPE270 Crit. 2

Relazione di calcolo

- Verifica a flessione YY [4.2.13] - CC 1 SND $X_l=2.50$ - Classe 3
Sollecitazioni: $M_y=-3375.98$
 $M_y,Ed=-3375.98$ $M_y,c,Rd=14500.40$ $M_y,Ed/M_y,c,Rd=0.23$
- Verifica a taglio dir. Z [4.2.16] - CC 17 SLU $X_l=0.00$ - Classe 1
Sollecitazioni: $T_z=4989.83$
 $V,Ed=4989.83$ $V_c,Rd=43217.20$ $V,Ed/V_c,Rd=0.12$
- Verifica a presso o tenso-flessione retta YY (4.2.4.1.2.7) - CC 17 SLU $X_l=2.50$ - Classe 1
Sollecitazioni: $N=5789.22$ $M_y=-6237.29$
 $M_y,Ed=-6237.29$ $M_y,c,Rd=16436.40$
 $N,Ed=5789.22$ $N_c,Rd=155342.00$ YY $n=N,Ed/N_c,Rd=0.04$ $MN_y,c,Rd=16436.40$ $M_y,Ed/MN_y,c,Rd=0.38$
- Verifica di stabilità aste inflesse (4.2.4.1.3.2) CC 17 SLU - Classe 1
 $L_{cr}=5.00$ Curva b: $\alpha_{imp}=0.34$ $k_c=0.94$ $\psi=1.75$ $M_{cr}=13579.60$ $\lambda_{LT}=1.13$
 $\lambda_{LT,0}=0.40$ $\beta_{LT}=0.75$ $\Phi_{LT}=1.10$ $\beta_{LT}=0.75$ $f=0.98$ $\chi_{LT}=0.64$
 $M_y,Ed=-6237.29$ $M_y,b,Rd=10471.50$ $M_y,Ed/M_y,b,Rd=0.60$
- Verifica di stabilità aste presso-inflesse (C4.2.4.1.3.3.2) - CC 19 SLU - Classe 1
Sollecitazioni: $N,Ed=-5789.22$ $M_y,Ed=-5983.93$ $L=5.00$
 $\alpha_{my}, \alpha_{mz}, \alpha_{LT}=0.95, 0.95, 0.95$
 $L_{cr}=5.00$ Curva b: $\alpha_{imp}=0.34$ $k_c=0.94$ $\psi=1.75$ $M_{cr}=13579.60$ $\lambda_{LT}=1.13$
 $\lambda_{LT,0}=0.40$ $\Phi_{LT}=1.10$ $\beta_{LT}=0.75$ $f=0.98$ $\chi_{LT}=0.64$
 $\lambda_y=44.54$ $N_{cr,y}=480014.00$ $\lambda_y^*=0.58$ Curva a: $\Phi_y=0.71$ $\chi_y=0.90$
 $\lambda_z=165.40$ $N_{cr,z}=34809.20$ $\lambda_z^*=2.16$ Curva b: $\Phi_z=3.18$ $\chi_z=0.18$
 $K_{yy}, K_{yz}, K_{zy}, K_{zz}=0.97, 0.73, 0.00, 1.22$
Verifica YY: $0.04+0.55=0.59$
Verifica ZZ: $0.21=0.21$
- Verifica freccia massima carichi totali - CC 22
 $f_{z,L}=0.94$ (L/531)
- Verifica freccia massima per soli carichi accidentali - CC 22
 $f_{z,L}=0.43$ (L/1151)
- Asta n. 1020 (-112 -104) Sez. 2 IPE270 Crit. 2

- Verifica a flessione YY [4.2.13] - CC 1 SND $X_l=2.50$ - Classe 3
Sollecitazioni: $M_y=-3375.98$
 $M_y,Ed=-3375.98$ $M_y,c,Rd=14500.40$ $M_y,Ed/M_y,c,Rd=0.23$
- Verifica a taglio dir. Z [4.2.16] - CC 17 SLU $X_l=0.00$ - Classe 1
Sollecitazioni: $T_z=4989.83$
 $V,Ed=4989.83$ $V_c,Rd=43217.20$ $V,Ed/V_c,Rd=0.12$
- Verifica a presso o tenso-flessione retta YY (4.2.4.1.2.7) - CC 17 SLU $X_l=2.50$ - Classe 1
Sollecitazioni: $N=5789.22$ $M_y=-6237.29$
 $M_y,Ed=-6237.29$ $M_y,c,Rd=16436.40$
 $N,Ed=5789.22$ $N_c,Rd=155342.00$ YY $n=N,Ed/N_c,Rd=0.04$ $MN_y,c,Rd=16436.40$ $M_y,Ed/MN_y,c,Rd=0.38$
- Verifica di stabilità aste inflesse (4.2.4.1.3.2) CC 17 SLU - Classe 1
 $L_{cr}=5.00$ Curva b: $\alpha_{imp}=0.34$ $k_c=0.94$ $\psi=1.75$ $M_{cr}=13579.60$ $\lambda_{LT}=1.13$
 $\lambda_{LT,0}=0.40$ $\beta_{LT}=0.75$ $\Phi_{LT}=1.10$ $\beta_{LT}=0.75$ $f=0.98$ $\chi_{LT}=0.64$
 $M_y,Ed=-6237.29$ $M_y,b,Rd=10471.50$ $M_y,Ed/M_y,b,Rd=0.60$
- Verifica di stabilità aste presso-inflesse (C4.2.4.1.3.3.2) - CC 19 SLU - Classe 1
Sollecitazioni: $N,Ed=-5789.22$ $M_y,Ed=-5983.93$ $L=5.00$
 $\alpha_{my}, \alpha_{mz}, \alpha_{LT}=0.95, 0.95, 0.95$
 $L_{cr}=5.00$ Curva b: $\alpha_{imp}=0.34$ $k_c=0.94$ $\psi=1.75$ $M_{cr}=13579.60$ $\lambda_{LT}=1.13$
 $\lambda_{LT,0}=0.40$ $\Phi_{LT}=1.10$ $\beta_{LT}=0.75$ $f=0.98$ $\chi_{LT}=0.64$
 $\lambda_y=44.54$ $N_{cr,y}=480014.00$ $\lambda_y^*=0.58$ Curva a: $\Phi_y=0.71$ $\chi_y=0.90$
 $\lambda_z=165.40$ $N_{cr,z}=34809.20$ $\lambda_z^*=2.16$ Curva b: $\Phi_z=3.18$ $\chi_z=0.18$
 $K_{yy}, K_{yz}, K_{zy}, K_{zz}=0.97, 0.73, 0.00, 1.22$
Verifica YY: $0.04+0.55=0.59$
Verifica ZZ: $0.21=0.21$
- Verifica freccia massima carichi totali - CC 22
 $f_{z,L}=0.94$ (L/531)
- Verifica freccia massima per soli carichi accidentali - CC 22
 $f_{z,L}=0.43$ (L/1151)
- Asta n. 1021 (1008 1003) Sez. 2 IPE270 Crit. 2

- Verifica a flessione YY [4.2.13] - CC 1 SND $X_l=2.50$ - Classe 3
Sollecitazioni: $M_y=-3688.42$
 $M_y,Ed=-3688.42$ $M_y,c,Rd=14500.40$ $M_y,Ed/M_y,c,Rd=0.25$
- Verifica a taglio dir. Z [4.2.16] - CC 17 SLU $X_l=0.00$ - Classe 1

Relazione di calcolo

- Sollecitazioni: $T_z=5456.35$
 $V, Ed=5456.35$ $V_c, Rd=43217.20$ $V, Ed/V_c, Rd=0.13$
- Verifica a presso o tenso-flessione retta YY (4.2.4.1.2.7) - CC 17 SLU $X_l=2.50$ - Classe 1
Sollecitazioni: $N=5789.22$ $M_y=-6820.44$
 $M_y, Ed=-6820.44$ $M_y, c, Rd=16436.40$
 $N, Ed=5789.22$ $N_c, Rd=155342.00$ YY $n=N, Ed/N_c, Rd=0.04$ $MNy, c, Rd=16436.40$ $M_y, Ed/MNy, c, Rd=0.41$
- Verifica di stabilità aste inflesse (4.2.4.1.3.2) CC 17 SLU - Classe 1
 $L_{cr}=5.00$ Curva b: $\alpha_{imp}=0.34$ $k_c=0.94$ $\psi=1.75$ $M, cr=13579.60$ $\lambda_{LT}=1.13$
 $\lambda_{LT,0}=0.40$ $\beta_{LT}=0.75$ $\Phi_{LT}=1.10$ $\beta_{LT}=0.75$ $f=0.98$ $\chi_{LT}=0.64$
 $M_y, Ed=-6820.44$ $M_y, b, Rd=10471.50$ $M_y, Ed/M_y, b, Rd=0.65$
- Verifica di stabilità aste presso-inflesse (C4.2.4.1.3.3.2) - CC 19 SLU - Classe 1
Sollecitazioni: $N, Ed=-5789.22$ $M_y, Ed=-6542.82$ $L=5.00$
 $\alpha_m, \alpha_mz, \alpha_{LT}=0.95, 0.95, 0.95$
 $L_{cr}=5.00$ Curva b: $\alpha_{imp}=0.34$ $k_c=0.94$ $\psi=1.75$ $M, cr=13579.60$ $\lambda_{LT}=1.13$
 $\lambda_{LT,0}=0.40$ $\Phi_{LT}=1.10$ $\beta_{LT}=0.75$ $f=0.98$ $\chi_{LT}=0.64$
 $\lambda_y=44.54$ $N_{cr,y}=480014.00$ $\lambda_y^*=0.58$ Curva a: $\Phi_y=0.71$ $\chi_y=0.90$
 $\lambda_z=165.40$ $N_{cr,z}=34809.20$ $\lambda_z^*=2.16$ Curva b: $\Phi_z=3.18$ $\chi_z=0.18$
 $K_{yy}, K_{yz}, K_{zy}, K_{zz}=0.97, 0.73, 0.00, 1.22$
Verifica YY: $0.04+0.60=0.64$
Verifica ZZ: $0.21=0.21$
- Verifica freccia massima carichi totali - CC 22
 $f_{z,L}=1.03$ (L/486)
- Verifica freccia massima per soli carichi accidentali - CC 22
 $f_{z,G}=0.48$ (L/1051)
- Asta n. 1021 (1018 1008) Sez. 2 IPE270 Crit. 2

- Verifica a flessione YY [4.2.13] - CC 1 SND $X_l=2.50$ - Classe 3
Sollecitazioni: $M_y=-3688.42$
 $M_y, Ed=-3688.42$ $M_y, c, Rd=14500.40$ $M_y, Ed/M_y, c, Rd=0.25$
- Verifica a taglio dir. Z [4.2.16] - CC 17 SLU $X_l=0.00$ - Classe 1
Sollecitazioni: $T_z=5456.35$
 $V, Ed=5456.35$ $V_c, Rd=43217.20$ $V, Ed/V_c, Rd=0.13$
- Verifica a presso o tenso-flessione retta YY (4.2.4.1.2.7) - CC 17 SLU $X_l=2.50$ - Classe 1
Sollecitazioni: $N=5789.22$ $M_y=-6820.44$
 $M_y, Ed=-6820.44$ $M_y, c, Rd=16436.40$
 $N, Ed=5789.22$ $N_c, Rd=155342.00$ YY $n=N, Ed/N_c, Rd=0.04$ $MNy, c, Rd=16436.40$ $M_y, Ed/MNy, c, Rd=0.41$
- Verifica di stabilità aste inflesse (4.2.4.1.3.2) CC 17 SLU - Classe 1
 $L_{cr}=5.00$ Curva b: $\alpha_{imp}=0.34$ $k_c=0.94$ $\psi=1.75$ $M, cr=13579.60$ $\lambda_{LT}=1.13$
 $\lambda_{LT,0}=0.40$ $\beta_{LT}=0.75$ $\Phi_{LT}=1.10$ $\beta_{LT}=0.75$ $f=0.98$ $\chi_{LT}=0.64$
 $M_y, Ed=-6820.44$ $M_y, b, Rd=10471.50$ $M_y, Ed/M_y, b, Rd=0.65$
- Verifica di stabilità aste presso-inflesse (C4.2.4.1.3.3.2) - CC 19 SLU - Classe 1
Sollecitazioni: $N, Ed=-5789.22$ $M_y, Ed=-6542.82$ $L=5.00$
 $\alpha_m, \alpha_mz, \alpha_{LT}=0.95, 0.95, 0.95$
 $L_{cr}=5.00$ Curva b: $\alpha_{imp}=0.34$ $k_c=0.94$ $\psi=1.75$ $M, cr=13579.60$ $\lambda_{LT}=1.13$
 $\lambda_{LT,0}=0.40$ $\Phi_{LT}=1.10$ $\beta_{LT}=0.75$ $f=0.98$ $\chi_{LT}=0.64$
 $\lambda_y=44.54$ $N_{cr,y}=480014.00$ $\lambda_y^*=0.58$ Curva a: $\Phi_y=0.71$ $\chi_y=0.90$
 $\lambda_z=165.40$ $N_{cr,z}=34809.20$ $\lambda_z^*=2.16$ Curva b: $\Phi_z=3.18$ $\chi_z=0.18$
 $K_{yy}, K_{yz}, K_{zy}, K_{zz}=0.97, 0.73, 0.00, 1.22$
Verifica YY: $0.04+0.60=0.64$
Verifica ZZ: $0.21=0.21$
- Verifica freccia massima carichi totali - CC 22
 $f_{z,L}=1.03$ (L/486)
- Verifica freccia massima per soli carichi accidentali - CC 22
 $f_{z,G}=0.48$ (L/1051)
- Asta n. 1021 (1028 1018) Sez. 2 IPE270 Crit. 2

- Verifica a flessione YY [4.2.13] - CC 1 SND $X_l=2.50$ - Classe 3
Sollecitazioni: $M_y=-3688.42$
 $M_y, Ed=-3688.42$ $M_y, c, Rd=14500.40$ $M_y, Ed/M_y, c, Rd=0.25$
- Verifica a taglio dir. Z [4.2.16] - CC 17 SLU $X_l=0.00$ - Classe 1
Sollecitazioni: $T_z=5456.35$
 $V, Ed=5456.35$ $V_c, Rd=43217.20$ $V, Ed/V_c, Rd=0.13$
- Verifica a presso o tenso-flessione retta YY (4.2.4.1.2.7) - CC 17 SLU $X_l=2.50$ - Classe 1
Sollecitazioni: $N=5789.22$ $M_y=-6820.44$

Relazione di calcolo

My,Ed=-6820.44 My,c,Rd=16436.40
N,Ed=5789.22 Nc,Rd=155342.00 YY n=N,Ed/Nc,Rd=0.04 MMy,c,Rd=16436.40 My,Ed/MMy,c,Rd=0.41

- Verifica di stabilità aste inflesse (4.2.4.1.3.2) CC 17 SLU - Classe 1
L_{cr}=5.00 Curva b: $\alpha_{imp}=0.34$ $k_c=0.94$ $\psi=1.75$ M_{cr}=13579.60 $\lambda_{LT}=1.13$
 $\lambda_{LT,0}=0.40$ $\beta_{LT}=0.75$ $\Phi_{LT}=1.10$ $\beta_{LT}=0.75$ $f=0.98$ $\chi_{LT}=0.64$
My,Ed=-6820.44 My,b,Rd=10471.50 My,Ed/My,b,Rd=0.65

- Verifica di stabilità aste presso-inflesse (C4.2.4.1.3.3.2) - CC 19 SLU - Classe 1
Sollecitazioni: N,Ed=-5789.22 My,Ed=-6542.82 L=5.00
 α_{my} , α_{mz} , $\alpha_{LT}=0.95$, 0.95, 0.95
L_{cr}=5.00 Curva b: $\alpha_{imp}=0.34$ $k_c=0.94$ $\psi=1.75$ M_{cr}=13579.60 $\lambda_{LT}=1.13$
 $\lambda_{LT,0}=0.40$ $\Phi_{LT}=1.10$ $\beta_{LT}=0.75$ $f=0.98$ $\chi_{LT}=0.64$
 $\lambda_y=44.54$ N_{cr,y}=480014.00 $\lambda^*_y=0.58$ Curva a: $\Phi_y=0.71$ $\chi_y=0.90$
 $\lambda_z=165.40$ N_{cr,z}=34809.20 $\lambda^*_z=2.16$ Curva b: $\Phi_z=3.18$ $\chi_z=0.18$
K_{yy}, K_{yz}, K_{zy}, K_{zz}=0.97, 0.73, 0.00, 1.22
Verifica YY: 0.04+0.60=0.64
Verifica ZZ: 0.21=0.21

- Verifica freccia massima carichi totali - CC 22
f_{z,L}=1.03 (L/486)

- Verifica freccia massima per soli carichi accidentali - CC 22
f_{z,L}=0.48 (L/1051)

Asta n. 1021 (1038 1028) Sez. 2 IPE270 Crit. 2

- Verifica a flessione YY [4.2.13] - CC 1 SND Xl=2.50 - Classe 3
Sollecitazioni: M_y=-3688.42
My,Ed=-3688.42 My,c,Rd=14500.40 My,Ed/My,c,Rd=0.25

- Verifica a taglio dir. Z [4.2.16] - CC 17 SLU Xl=0.00 - Classe 1
Sollecitazioni: T_z=5456.35
V,Ed=5456.35 Vc,Rd=43217.20 V,Ed/Vc,Rd=0.13

- Verifica a presso o tenso-flessione retta YY (4.2.4.1.2.7) - CC 17 SLU Xl=2.50 - Classe 1
Sollecitazioni: N=5789.22 M_y=-6820.44
My,Ed=-6820.44 My,c,Rd=16436.40
N,Ed=5789.22 Nc,Rd=155342.00 YY n=N,Ed/Nc,Rd=0.04 MMy,c,Rd=16436.40 My,Ed/MMy,c,Rd=0.41

- Verifica di stabilità aste inflesse (4.2.4.1.3.2) CC 17 SLU - Classe 1
L_{cr}=5.00 Curva b: $\alpha_{imp}=0.34$ $k_c=0.94$ $\psi=1.75$ M_{cr}=13579.60 $\lambda_{LT}=1.13$
 $\lambda_{LT,0}=0.40$ $\beta_{LT}=0.75$ $\Phi_{LT}=1.10$ $\beta_{LT}=0.75$ $f=0.98$ $\chi_{LT}=0.64$
My,Ed=-6820.44 My,b,Rd=10471.50 My,Ed/My,b,Rd=0.65

- Verifica di stabilità aste presso-inflesse (C4.2.4.1.3.3.2) - CC 19 SLU - Classe 1
Sollecitazioni: N,Ed=-5789.22 My,Ed=-6542.82 L=5.00
 α_{my} , α_{mz} , $\alpha_{LT}=0.95$, 0.95, 0.95
L_{cr}=5.00 Curva b: $\alpha_{imp}=0.34$ $k_c=0.94$ $\psi=1.75$ M_{cr}=13579.60 $\lambda_{LT}=1.13$
 $\lambda_{LT,0}=0.40$ $\Phi_{LT}=1.10$ $\beta_{LT}=0.75$ $f=0.98$ $\chi_{LT}=0.64$
 $\lambda_y=44.54$ N_{cr,y}=480014.00 $\lambda^*_y=0.58$ Curva a: $\Phi_y=0.71$ $\chi_y=0.90$
 $\lambda_z=165.40$ N_{cr,z}=34809.20 $\lambda^*_z=2.16$ Curva b: $\Phi_z=3.18$ $\chi_z=0.18$
K_{yy}, K_{yz}, K_{zy}, K_{zz}=0.97, 0.73, 0.00, 1.22
Verifica YY: 0.04+0.60=0.64
Verifica ZZ: 0.21=0.21

- Verifica freccia massima carichi totali - CC 22
f_{z,L}=1.03 (L/486)

- Verifica freccia massima per soli carichi accidentali - CC 22
f_{z,G}=0.48 (L/1051)

Asta n. 1021 (1048 1038) Sez. 2 IPE270 Crit. 2

- Verifica a flessione YY [4.2.13] - CC 1 SND Xl=2.50 - Classe 3
Sollecitazioni: M_y=-3688.42
My,Ed=-3688.42 My,c,Rd=14500.40 My,Ed/My,c,Rd=0.25

- Verifica a taglio dir. Z [4.2.16] - CC 17 SLU Xl=0.00 - Classe 1
Sollecitazioni: T_z=5456.35
V,Ed=5456.35 Vc,Rd=43217.20 V,Ed/Vc,Rd=0.13

- Verifica a presso o tenso-flessione retta YY (4.2.4.1.2.7) - CC 17 SLU Xl=2.50 - Classe 1
Sollecitazioni: N=5789.22 M_y=-6820.44
My,Ed=-6820.44 My,c,Rd=16436.40
N,Ed=5789.22 Nc,Rd=155342.00 YY n=N,Ed/Nc,Rd=0.04 MMy,c,Rd=16436.40 My,Ed/MMy,c,Rd=0.41

- Verifica di stabilità aste inflesse (4.2.4.1.3.2) CC 17 SLU - Classe 1
L_{cr}=5.00 Curva b: $\alpha_{imp}=0.34$ $k_c=0.94$ $\psi=1.75$ M_{cr}=13579.60 $\lambda_{LT}=1.13$

Relazione di calcolo

- $\lambda_{LT,0}=0.40$ $\beta_{LT}=0.75$ $\Phi_{LT}=1.10$ $\beta_{LT}=0.75$ $f=0.98$ $\chi_{LT}=0.64$
 $M_y,Ed=-6820.44$ $M_y,b,Rd=10471.50$ $M_y,Ed/M_y,b,Rd=0.65$
- Verifica di stabilità aste presso-inflesse (C4.2.4.1.3.3.2) - CC 19 SLU - Classe 1
Sollecitazioni: $N,Ed=-5789.22$ $M_y,Ed=-6542.82$ $L=5.00$
 $\alpha_{my}, \alpha_{mz}, \alpha_{LT}=0.95, 0.95, 0.95$
 $L_{cr}=5.00$ Curva b: $\alpha_{imp}=0.34$ $k_c=0.94$ $\psi=1.75$ $M_{cr}=13579.60$ $\lambda_{LT}=1.13$
 $\lambda_{LT,0}=0.40$ $\Phi_{LT}=1.10$ $\beta_{LT}=0.75$ $f=0.98$ $\chi_{LT}=0.64$
 $\lambda_y=44.54$ $N_{cr,y}=480014.00$ $\lambda^*_y=0.58$ Curva a: $\Phi_y=0.71$ $\chi_y=0.90$
 $\lambda_z=165.40$ $N_{cr,z}=34809.20$ $\lambda^*_z=2.16$ Curva b: $\Phi_z=3.18$ $\chi_z=0.18$
 $K_{yy}, K_{yz}, K_{zy}, K_{zz}=0.97, 0.73, 0.00, 1.22$
Verifica YY: $0.04+0.60=0.64$
Verifica ZZ: $0.21=0.21$
- Verifica freccia massima carichi totali - CC 22
 $f_{z,L}=1.03$ (L/486)
- Verifica freccia massima per soli carichi accidentali - CC 22
 $f_{z,L}=0.48$ (L/1051)
- Asta n. 1021 (1058 1048) Sez. 2 IPE270 Crit. 2

- Verifica a flessione YY [4.2.13] - CC 1 SND $X_l=2.50$ - Classe 3
Sollecitazioni: $M_y=-3688.42$
 $M_y,Ed=-3688.42$ $M_y,c,Rd=14500.40$ $M_y,Ed/M_y,c,Rd=0.25$
- Verifica a taglio dir. Z [4.2.16] - CC 17 SLU $X_l=0.00$ - Classe 1
Sollecitazioni: $T_z=5456.35$
 $V,Ed=5456.35$ $V_c,Rd=43217.20$ $V,Ed/V_c,Rd=0.13$
- Verifica a presso o tenso-flessione retta YY (4.2.4.1.2.7) - CC 17 SLU $X_l=2.50$ - Classe 1
Sollecitazioni: $N=5789.22$ $M_y=-6820.44$
 $M_y,Ed=-6820.44$ $M_y,c,Rd=16436.40$
 $N,Ed=5789.22$ $N_c,Rd=155342.00$ YY $n=N,Ed/N_c,Rd=0.04$ $MN_y,c,Rd=16436.40$ $M_y,Ed/MN_y,c,Rd=0.41$
- Verifica di stabilità aste inflesse (4.2.4.1.3.2) CC 17 SLU - Classe 1
 $L_{cr}=5.00$ Curva b: $\alpha_{imp}=0.34$ $k_c=0.94$ $\psi=1.75$ $M_{cr}=13579.60$ $\lambda_{LT}=1.13$
 $\lambda_{LT,0}=0.40$ $\beta_{LT}=0.75$ $\Phi_{LT}=1.10$ $\beta_{LT}=0.75$ $f=0.98$ $\chi_{LT}=0.64$
 $M_y,Ed=-6820.44$ $M_y,b,Rd=10471.50$ $M_y,Ed/M_y,b,Rd=0.65$
- Verifica di stabilità aste presso-inflesse (C4.2.4.1.3.3.2) - CC 19 SLU - Classe 1
Sollecitazioni: $N,Ed=-5789.22$ $M_y,Ed=-6542.82$ $L=5.00$
 $\alpha_{my}, \alpha_{mz}, \alpha_{LT}=0.95, 0.95, 0.95$
 $L_{cr}=5.00$ Curva b: $\alpha_{imp}=0.34$ $k_c=0.94$ $\psi=1.75$ $M_{cr}=13579.60$ $\lambda_{LT}=1.13$
 $\lambda_{LT,0}=0.40$ $\Phi_{LT}=1.10$ $\beta_{LT}=0.75$ $f=0.98$ $\chi_{LT}=0.64$
 $\lambda_y=44.54$ $N_{cr,y}=480014.00$ $\lambda^*_y=0.58$ Curva a: $\Phi_y=0.71$ $\chi_y=0.90$
 $\lambda_z=165.40$ $N_{cr,z}=34809.20$ $\lambda^*_z=2.16$ Curva b: $\Phi_z=3.18$ $\chi_z=0.18$
 $K_{yy}, K_{yz}, K_{zy}, K_{zz}=0.97, 0.73, 0.00, 1.22$
Verifica YY: $0.04+0.60=0.64$
Verifica ZZ: $0.21=0.21$
- Verifica freccia massima carichi totali - CC 22
 $f_{z,L}=1.03$ (L/486)
- Verifica freccia massima per soli carichi accidentali - CC 22
 $f_{z,L}=0.48$ (L/1051)
- Asta n. 1021 (1068 1058) Sez. 2 IPE270 Crit. 2

- Verifica a flessione YY [4.2.13] - CC 1 SND $X_l=2.50$ - Classe 3
Sollecitazioni: $M_y=-3688.42$
 $M_y,Ed=-3688.42$ $M_y,c,Rd=14500.40$ $M_y,Ed/M_y,c,Rd=0.25$
- Verifica a taglio dir. Z [4.2.16] - CC 17 SLU $X_l=0.00$ - Classe 1
Sollecitazioni: $T_z=5456.35$
 $V,Ed=5456.35$ $V_c,Rd=43217.20$ $V,Ed/V_c,Rd=0.13$
- Verifica a presso o tenso-flessione retta YY (4.2.4.1.2.7) - CC 17 SLU $X_l=2.50$ - Classe 1
Sollecitazioni: $N=5789.22$ $M_y=-6820.44$
 $M_y,Ed=-6820.44$ $M_y,c,Rd=16436.40$
 $N,Ed=5789.22$ $N_c,Rd=155342.00$ YY $n=N,Ed/N_c,Rd=0.04$ $MN_y,c,Rd=16436.40$ $M_y,Ed/MN_y,c,Rd=0.41$
- Verifica di stabilità aste inflesse (4.2.4.1.3.2) CC 17 SLU - Classe 1
 $L_{cr}=5.00$ Curva b: $\alpha_{imp}=0.34$ $k_c=0.94$ $\psi=1.75$ $M_{cr}=13579.60$ $\lambda_{LT}=1.13$
 $\lambda_{LT,0}=0.40$ $\beta_{LT}=0.75$ $\Phi_{LT}=1.10$ $\beta_{LT}=0.75$ $f=0.98$ $\chi_{LT}=0.64$
 $M_y,Ed=-6820.44$ $M_y,b,Rd=10471.50$ $M_y,Ed/M_y,b,Rd=0.65$
- Verifica di stabilità aste presso-inflesse (C4.2.4.1.3.3.2) - CC 19 SLU - Classe 1
Sollecitazioni: $N,Ed=-5789.22$ $M_y,Ed=-6542.82$ $L=5.00$

Relazione di calcolo

$\alpha_{my}, \alpha_{mz}, \alpha_{LT}=0.95, 0.95, 0.95$
 $L_{cr}=5.00$ Curva b: $\alpha_{imp}=0.34$ $k_c=0.94$ $\psi=1.75$ $M_{cr}=13579.60$ $\lambda_{LT}=1.13$
 $\lambda_{LT,0}=0.40$ $\Phi_{LT}=1.10$ $\beta_{LT}=0.75$ $f=0.98$ $\chi_{LT}=0.64$
 $\lambda_y=44.54$ $N_{cr,y}=480014.00$ $\lambda_y^*=0.58$ Curva a: $\Phi_y=0.71$ $\chi_y=0.90$
 $\lambda_z=165.40$ $N_{cr,z}=34809.20$ $\lambda_z^*=2.16$ Curva b: $\Phi_z=3.18$ $\chi_z=0.18$
 $K_{yy}, K_{yz}, K_{zy}, K_{zz}=0.97, 0.73, 0.00, 1.22$
Verifica YY: $0.04+0.60=0.64$
Verifica ZZ: $0.21=0.21$

- Verifica freccia massima carichi totali - CC 22
 $f_{z,L}=1.03$ (L/486)

- Verifica freccia massima per soli carichi accidentali - CC 22
 $f_{z,L}=0.48$ (L/1051)

Asta n. 1021 (1078 1068) Sez. 2 IPE270 Crit. 2

- Verifica a flessione YY [4.2.13] - CC 1 SND $X_l=2.50$ - Classe 3
Sollecitazioni: $M_y=-3688.42$
 $M_y, Ed=-3688.42$ $M_y, c, Rd=14500.40$ $M_y, Ed/M_y, c, Rd=0.25$

- Verifica a taglio dir. Z [4.2.16] - CC 17 SLU $X_l=0.00$ - Classe 1
Sollecitazioni: $T_z=5456.35$
 $V, Ed=5456.35$ $V_c, Rd=43217.20$ $V, Ed/V_c, Rd=0.13$

- Verifica a presso o tenso-flessione retta YY (4.2.4.1.2.7) - CC 17 SLU $X_l=2.50$ - Classe 1
Sollecitazioni: $N=5789.22$ $M_y=-6820.44$
 $M_y, Ed=-6820.44$ $M_y, c, Rd=16436.40$
 $N, Ed=5789.22$ $N_c, Rd=155342.00$ YY $n=N, Ed/N_c, Rd=0.04$ $MN_y, c, Rd=16436.40$ $M_y, Ed/MN_y, c, Rd=0.41$

- Verifica di stabilità aste inflesse (4.2.4.1.3.2) CC 17 SLU - Classe 1
 $L_{cr}=5.00$ Curva b: $\alpha_{imp}=0.34$ $k_c=0.94$ $\psi=1.75$ $M_{cr}=13579.60$ $\lambda_{LT}=1.13$
 $\lambda_{LT,0}=0.40$ $\beta_{LT}=0.75$ $\Phi_{LT}=1.10$ $\beta_{LT}=0.75$ $f=0.98$ $\chi_{LT}=0.64$
 $M_y, Ed=-6820.44$ $M_y, b, Rd=10471.50$ $M_y, Ed/M_y, b, Rd=0.65$

- Verifica di stabilità aste presso-inflesse (C4.2.4.1.3.3.2) - CC 19 SLU - Classe 1
Sollecitazioni: $N, Ed=-5789.22$ $M_y, Ed=-6542.82$ $L=5.00$
 $\alpha_{my}, \alpha_{mz}, \alpha_{LT}=0.95, 0.95, 0.95$
 $L_{cr}=5.00$ Curva b: $\alpha_{imp}=0.34$ $k_c=0.94$ $\psi=1.75$ $M_{cr}=13579.60$ $\lambda_{LT}=1.13$
 $\lambda_{LT,0}=0.40$ $\Phi_{LT}=1.10$ $\beta_{LT}=0.75$ $f=0.98$ $\chi_{LT}=0.64$
 $\lambda_y=44.54$ $N_{cr,y}=480014.00$ $\lambda_y^*=0.58$ Curva a: $\Phi_y=0.71$ $\chi_y=0.90$
 $\lambda_z=165.40$ $N_{cr,z}=34809.20$ $\lambda_z^*=2.16$ Curva b: $\Phi_z=3.18$ $\chi_z=0.18$
 $K_{yy}, K_{yz}, K_{zy}, K_{zz}=0.97, 0.73, 0.00, 1.22$
Verifica YY: $0.04+0.60=0.64$
Verifica ZZ: $0.21=0.21$

- Verifica freccia massima carichi totali - CC 22
 $f_{z,g}=1.03$ (L/486)

- Verifica freccia massima per soli carichi accidentali - CC 22
 $f_{z,L}=0.48$ (L/1051)

Asta n. 1021 (1088 1078) Sez. 2 IPE270 Crit. 2

- Verifica a flessione YY [4.2.13] - CC 1 SND $X_l=2.50$ - Classe 3
Sollecitazioni: $M_y=-3688.42$
 $M_y, Ed=-3688.42$ $M_y, c, Rd=14500.40$ $M_y, Ed/M_y, c, Rd=0.25$

- Verifica a taglio dir. Z [4.2.16] - CC 17 SLU $X_l=0.00$ - Classe 1
Sollecitazioni: $T_z=5456.35$
 $V, Ed=5456.35$ $V_c, Rd=43217.20$ $V, Ed/V_c, Rd=0.13$

- Verifica a presso o tenso-flessione retta YY (4.2.4.1.2.7) - CC 17 SLU $X_l=2.50$ - Classe 1
Sollecitazioni: $N=5789.22$ $M_y=-6820.44$
 $M_y, Ed=-6820.44$ $M_y, c, Rd=16436.40$
 $N, Ed=5789.22$ $N_c, Rd=155342.00$ YY $n=N, Ed/N_c, Rd=0.04$ $MN_y, c, Rd=16436.40$ $M_y, Ed/MN_y, c, Rd=0.41$

- Verifica di stabilità aste inflesse (4.2.4.1.3.2) CC 17 SLU - Classe 1
 $L_{cr}=5.00$ Curva b: $\alpha_{imp}=0.34$ $k_c=0.94$ $\psi=1.75$ $M_{cr}=13579.60$ $\lambda_{LT}=1.13$
 $\lambda_{LT,0}=0.40$ $\beta_{LT}=0.75$ $\Phi_{LT}=1.10$ $\beta_{LT}=0.75$ $f=0.98$ $\chi_{LT}=0.64$
 $M_y, Ed=-6820.44$ $M_y, b, Rd=10471.50$ $M_y, Ed/M_y, b, Rd=0.65$

- Verifica di stabilità aste presso-inflesse (C4.2.4.1.3.3.2) - CC 19 SLU - Classe 1
Sollecitazioni: $N, Ed=-5789.22$ $M_y, Ed=-6542.82$ $L=5.00$
 $\alpha_{my}, \alpha_{mz}, \alpha_{LT}=0.95, 0.95, 0.95$
 $L_{cr}=5.00$ Curva b: $\alpha_{imp}=0.34$ $k_c=0.94$ $\psi=1.75$ $M_{cr}=13579.60$ $\lambda_{LT}=1.13$
 $\lambda_{LT,0}=0.40$ $\Phi_{LT}=1.10$ $\beta_{LT}=0.75$ $f=0.98$ $\chi_{LT}=0.64$
 $\lambda_y=44.54$ $N_{cr,y}=480014.00$ $\lambda_y^*=0.58$ Curva a: $\Phi_y=0.71$ $\chi_y=0.90$
 $\lambda_z=165.40$ $N_{cr,z}=34809.20$ $\lambda_z^*=2.16$ Curva b: $\Phi_z=3.18$ $\chi_z=0.18$

Relazione di calcolo

Kyy, Kyz, Kzy, Kzz=0.97, 0.73, 0.00, 1.22
Verifica YY: 0.04+0.60=0.64
Verifica ZZ: 0.21=0.21

- Verifica freccia massima carichi totali - CC 22
f_{z,L}=1.03 (L/486)

- Verifica freccia massima per soli carichi accidentali - CC 22
f_{z,L}=0.48 (L/1051)

Asta n. 1021 (1098 1088) Sez. 2 IPE270 Crit. 2

- Verifica a flessione YY [4.2.13] - CC 1 SND Xl=2.50 - Classe 3
Sollecitazioni: M_y=-3688.42
M_{y,Ed}=-3688.42 M_{y,c,Rd}=14500.40 M_{y,Ed}/M_{y,c,Rd}=0.25

- Verifica a taglio dir. Z [4.2.16] - CC 17 SLU Xl=0.00 - Classe 1
Sollecitazioni: T_z=5456.35
V_{Ed}=5456.35 V_{c,Rd}=43217.20 V_{Ed}/V_{c,Rd}=0.13

- Verifica a presso o tenso-flessione retta YY (4.2.4.1.2.7) - CC 17 SLU Xl=2.50 - Classe 1
Sollecitazioni: N=5789.22 M_y=-6820.44
M_{y,Ed}=-6820.44 M_{y,c,Rd}=16436.40
N_{Ed}=5789.22 N_{c,Rd}=155342.00 YY n=N_{Ed}/N_{c,Rd}=0.04 MN_{y,c,Rd}=16436.40 M_{y,Ed}/MN_{y,c,Rd}=0.41

- Verifica di stabilità aste inflesse (4.2.4.1.3.2) CC 17 SLU - Classe 1
L_{cr}=5.00 Curva b: α_{imp}=0.34 k_c=0.94 ψ=1.75 M_{cr}=13579.60 λ_{LT}=1.13
λ_{LT,0}=0.40 β_{LT}=0.75 Φ_{LT}=1.10 β_{LT}=0.75 f=0.98 χ_{LT}=0.64
M_{y,Ed}=-6820.44 M_{y,b,Rd}=10471.50 M_{y,Ed}/M_{y,b,Rd}=0.65

- Verifica di stabilità aste presso-inflesse (C4.2.4.1.3.3.2) - CC 19 SLU - Classe 1
Sollecitazioni: N_{Ed}=-5789.22 M_{y,Ed}=-6542.82 L=5.00
α_{my}, α_{mz}, α_{LT}=0.95, 0.95, 0.95
L_{cr}=5.00 Curva b: α_{imp}=0.34 k_c=0.94 ψ=1.75 M_{cr}=13579.60 λ_{LT}=1.13
λ_{LT,0}=0.40 Φ_{LT}=1.10 β_{LT}=0.75 f=0.98 χ_{LT}=0.64
λ_y=44.54 N_{cr,y}=480014.00 λ_y^{*}=0.58 Curva a: Φ_y=0.71 χ_y=0.90
λ_z=165.40 N_{cr,z}=34809.20 λ_z^{*}=2.16 Curva b: Φ_z=3.18 χ_z=0.18
Kyy, Kyz, Kzy, Kzz=0.97, 0.73, 0.00, 1.22
Verifica YY: 0.04+0.60=0.64
Verifica ZZ: 0.21=0.21

- Verifica freccia massima carichi totali - CC 22
f_{z,L}=1.03 (L/486)

- Verifica freccia massima per soli carichi accidentali - CC 22
f_{z,L}=0.48 (L/1051)

Asta n. 1021 (1108 1098) Sez. 2 IPE270 Crit. 2

- Verifica a flessione YY [4.2.13] - CC 1 SND Xl=2.50 - Classe 3
Sollecitazioni: M_y=-3688.42
M_{y,Ed}=-3688.42 M_{y,c,Rd}=14500.40 M_{y,Ed}/M_{y,c,Rd}=0.25

- Verifica a taglio dir. Z [4.2.16] - CC 17 SLU Xl=0.00 - Classe 1
Sollecitazioni: T_z=5456.35
V_{Ed}=5456.35 V_{c,Rd}=43217.20 V_{Ed}/V_{c,Rd}=0.13

- Verifica a presso o tenso-flessione retta YY (4.2.4.1.2.7) - CC 17 SLU Xl=2.50 - Classe 1
Sollecitazioni: N=5789.22 M_y=-6820.44
M_{y,Ed}=-6820.44 M_{y,c,Rd}=16436.40
N_{Ed}=5789.22 N_{c,Rd}=155342.00 YY n=N_{Ed}/N_{c,Rd}=0.04 MN_{y,c,Rd}=16436.40 M_{y,Ed}/MN_{y,c,Rd}=0.41

- Verifica di stabilità aste inflesse (4.2.4.1.3.2) CC 17 SLU - Classe 1
L_{cr}=5.00 Curva b: α_{imp}=0.34 k_c=0.94 ψ=1.75 M_{cr}=13579.60 λ_{LT}=1.13
λ_{LT,0}=0.40 β_{LT}=0.75 Φ_{LT}=1.10 β_{LT}=0.75 f=0.98 χ_{LT}=0.64
M_{y,Ed}=-6820.44 M_{y,b,Rd}=10471.50 M_{y,Ed}/M_{y,b,Rd}=0.65

- Verifica di stabilità aste presso-inflesse (C4.2.4.1.3.3.2) - CC 19 SLU - Classe 1
Sollecitazioni: N_{Ed}=-5789.22 M_{y,Ed}=-6542.82 L=5.00
α_{my}, α_{mz}, α_{LT}=0.95, 0.95, 0.95
L_{cr}=5.00 Curva b: α_{imp}=0.34 k_c=0.94 ψ=1.75 M_{cr}=13579.60 λ_{LT}=1.13
λ_{LT,0}=0.40 Φ_{LT}=1.10 β_{LT}=0.75 f=0.98 χ_{LT}=0.64
λ_y=44.54 N_{cr,y}=480014.00 λ_y^{*}=0.58 Curva a: Φ_y=0.71 χ_y=0.90
λ_z=165.40 N_{cr,z}=34809.20 λ_z^{*}=2.16 Curva b: Φ_z=3.18 χ_z=0.18
Kyy, Kyz, Kzy, Kzz=0.97, 0.73, 0.00, 1.22
Verifica YY: 0.04+0.60=0.64
Verifica ZZ: 0.21=0.21

- Verifica freccia massima carichi totali - CC 22

Relazione di calcolo

$f_{z,L}=1.03$ (L/486)

- Verifica freccia massima per soli carichi accidentali - CC 22
 $f_{z,L}=0.48$ (L/1051)

Asta n. 1021 (1117 1108) Sez. 2 IPE270 Crit. 2

- Verifica a flessione YY [4.2.13] - CC 1 SND $X_1=2.50$ - Classe 3
Sollecitazioni: $M_y=-3688.42$
 $M_y,Ed=-3688.42$ $M_y,c,Rd=14500.40$ $M_y,Ed/M_y,c,Rd=0.25$

- Verifica a taglio dir. Z [4.2.16] - CC 17 SLU $X_1=0.00$ - Classe 1
Sollecitazioni: $T_z=5456.35$
 $V,Ed=5456.35$ $V_c,Rd=43217.20$ $V,Ed/V_c,Rd=0.13$

- Verifica a presso o tenso-flessione retta YY (4.2.4.1.2.7) - CC 17 SLU $X_1=2.50$ - Classe 1
Sollecitazioni: $N=5789.22$ $M_y=-6820.44$
 $M_y,Ed=-6820.44$ $M_y,c,Rd=16436.40$
 $N,Ed=5789.22$ $N_c,Rd=155342.00$ $YY\ n=N,Ed/N_c,Rd=0.04$ $MNy,c,Rd=16436.40$ $M_y,Ed/MNy,c,Rd=0.41$

- Verifica di stabilità aste inflesse (4.2.4.1.3.2) CC 17 SLU - Classe 1
 $L_{cr}=5.00$ Curva b: $\alpha_{imp}=0.34$ $k_c=0.94$ $\psi=1.75$ $M_{cr}=13579.60$ $\lambda_{LT}=1.13$
 $\lambda_{LT,0}=0.40$ $\beta_{LT}=0.75$ $\Phi_{LT}=1.10$ $\beta_{LT}=0.75$ $f=0.98$ $\chi_{LT}=0.64$
 $M_y,Ed=-6820.44$ $M_y,b,Rd=10471.50$ $M_y,Ed/M_y,b,Rd=0.65$

- Verifica di stabilità aste presso-inflesse (C4.2.4.1.3.3.2) - CC 19 SLU - Classe 1
Sollecitazioni: $N,Ed=-5789.22$ $M_y,Ed=-6542.82$ $L=5.00$
 $\alpha_m, \alpha_{mz}, \alpha_{LT}=0.95, 0.95, 0.95$
 $L_{cr}=5.00$ Curva b: $\alpha_{imp}=0.34$ $k_c=0.94$ $\psi=1.75$ $M_{cr}=13579.60$ $\lambda_{LT}=1.13$
 $\lambda_{LT,0}=0.40$ $\Phi_{LT}=1.10$ $\beta_{LT}=0.75$ $f=0.98$ $\chi_{LT}=0.64$
 $\lambda_y=44.54$ $N_{cr,y}=480014.00$ $\lambda_y^*=0.58$ Curva a: $\Phi_y=0.71$ $\chi_y=0.90$
 $\lambda_z=165.40$ $N_{cr,z}=34809.20$ $\lambda_z^*=2.16$ Curva b: $\Phi_z=3.18$ $\chi_z=0.18$
 $K_{yy}, K_{yz}, K_{zy}, K_{zz}=0.97, 0.73, 0.00, 1.22$
Verifica YY: $0.04+0.60=0.64$
Verifica ZZ: $0.21=0.21$

- Verifica freccia massima carichi totali - CC 22
 $f_{z,L}=1.03$ (L/486)

- Verifica freccia massima per soli carichi accidentali - CC 22
 $f_{z,L}=0.48$ (L/1051)

Asta n. 1021 (1126 1117) Sez. 2 IPE270 Crit. 2

- Verifica a flessione YY [4.2.13] - CC 1 SND $X_1=2.50$ - Classe 3
Sollecitazioni: $M_y=-3688.42$
 $M_y,Ed=-3688.42$ $M_y,c,Rd=14500.40$ $M_y,Ed/M_y,c,Rd=0.25$

- Verifica a taglio dir. Z [4.2.16] - CC 17 SLU $X_1=0.00$ - Classe 1
Sollecitazioni: $T_z=5456.35$
 $V,Ed=5456.35$ $V_c,Rd=43217.20$ $V,Ed/V_c,Rd=0.13$

- Verifica a presso o tenso-flessione retta YY (4.2.4.1.2.7) - CC 17 SLU $X_1=2.50$ - Classe 1
Sollecitazioni: $N=5789.22$ $M_y=-6820.44$
 $M_y,Ed=-6820.44$ $M_y,c,Rd=16436.40$
 $N,Ed=5789.22$ $N_c,Rd=155342.00$ $YY\ n=N,Ed/N_c,Rd=0.04$ $MNy,c,Rd=16436.40$ $M_y,Ed/MNy,c,Rd=0.41$

- Verifica di stabilità aste inflesse (4.2.4.1.3.2) CC 17 SLU - Classe 1
 $L_{cr}=5.00$ Curva b: $\alpha_{imp}=0.34$ $k_c=0.94$ $\psi=1.75$ $M_{cr}=13579.60$ $\lambda_{LT}=1.13$
 $\lambda_{LT,0}=0.40$ $\beta_{LT}=0.75$ $\Phi_{LT}=1.10$ $\beta_{LT}=0.75$ $f=0.98$ $\chi_{LT}=0.64$
 $M_y,Ed=-6820.44$ $M_y,b,Rd=10471.50$ $M_y,Ed/M_y,b,Rd=0.65$

- Verifica di stabilità aste presso-inflesse (C4.2.4.1.3.3.2) - CC 19 SLU - Classe 1
Sollecitazioni: $N,Ed=-5789.22$ $M_y,Ed=-6542.82$ $L=5.00$
 $\alpha_m, \alpha_{mz}, \alpha_{LT}=0.95, 0.95, 0.95$
 $L_{cr}=5.00$ Curva b: $\alpha_{imp}=0.34$ $k_c=0.94$ $\psi=1.75$ $M_{cr}=13579.60$ $\lambda_{LT}=1.13$
 $\lambda_{LT,0}=0.40$ $\Phi_{LT}=1.10$ $\beta_{LT}=0.75$ $f=0.98$ $\chi_{LT}=0.64$
 $\lambda_y=44.54$ $N_{cr,y}=480014.00$ $\lambda_y^*=0.58$ Curva a: $\Phi_y=0.71$ $\chi_y=0.90$
 $\lambda_z=165.40$ $N_{cr,z}=34809.20$ $\lambda_z^*=2.16$ Curva b: $\Phi_z=3.18$ $\chi_z=0.18$
 $K_{yy}, K_{yz}, K_{zy}, K_{zz}=0.97, 0.73, 0.00, 1.22$
Verifica YY: $0.04+0.60=0.64$
Verifica ZZ: $0.21=0.21$

- Verifica freccia massima carichi totali - CC 22
 $f_{z,L}=1.03$ (L/486)

- Verifica freccia massima per soli carichi accidentali - CC 22
 $f_{z,L}=0.48$ (L/1051)

Relazione di calcolo

Asta n. 1022 (-7 -3) Sez. 2 IPE270 Crit. 2

-
- Verifica a flessione YY [4.2.13] - CC 1 SND $X_l=2.50$ - Classe 3
Sollecitazioni: $M_y=-4000.86$
 $M_y,Ed=-4000.86$ $M_y,c,Rd=14500.40$ $M_y,Ed/M_y,c,Rd=0.28$
- Verifica a taglio dir. Z [4.2.16] - CC 17 SLU $X_l=0.00$ - Classe 1
Sollecitazioni: $T_z=5922.88$
 $V,Ed=5922.88$ $V_c,Rd=43217.20$ $V,Ed/V_c,Rd=0.14$
- Verifica a presso o tenso-flessione retta YY (4.2.4.1.2.7) - CC 17 SLU $X_l=2.50$ - Classe 1
Sollecitazioni: $N=5789.22$ $M_y=-7403.60$
 $M_y,Ed=-7403.60$ $M_y,c,Rd=16436.40$
 $N,Ed=5789.22$ $N_c,Rd=155342.00$ YY $n=N,Ed/N_c,Rd=0.04$ $MN_y,c,Rd=16436.40$ $M_y,Ed/MN_y,c,Rd=0.45$
- Verifica di stabilità aste inflesse (4.2.4.1.3.2) CC 17 SLU - Classe 1
 $L_{cr}=5.00$ Curva b: $\alpha_{imp}=0.34$ $k_c=0.94$ $\psi=1.75$ $M_{cr}=13579.60$ $\lambda_{LT}=1.13$
 $\lambda_{LT,0}=0.40$ $\beta_{LT}=0.75$ $\Phi_{LT}=1.10$ $\beta_{LT}=0.75$ $f=0.98$ $\chi_{LT}=0.64$
 $M_y,Ed=-7403.60$ $M_y,b,Rd=10471.50$ $M_y,Ed/M_y,b,Rd=0.71$
- Verifica di stabilità aste presso-inflesse (C4.2.4.1.3.3.2) - CC 19 SLU - Classe 1
Sollecitazioni: $N,Ed=-5789.22$ $M_y,Ed=-7101.73$ $L=5.00$
 $\alpha_{my}, \alpha_{mz}, \alpha_{LT}=0.95, 0.95, 0.95$
 $L_{cr}=5.00$ Curva b: $\alpha_{imp}=0.34$ $k_c=0.94$ $\psi=1.75$ $M_{cr}=13579.60$ $\lambda_{LT}=1.13$
 $\lambda_{LT,0}=0.40$ $\Phi_{LT}=1.10$ $\beta_{LT}=0.75$ $f=0.98$ $\chi_{LT}=0.64$
 $\lambda_y=44.54$ $N_{cr,y}=480014.00$ $\lambda^*_y=0.58$ Curva a: $\Phi_y=0.71$ $\chi_y=0.90$
 $\lambda_z=165.40$ $N_{cr,z}=34809.20$ $\lambda^*_z=2.16$ Curva b: $\Phi_z=3.18$ $\chi_z=0.18$
 $K_{yy}, K_{yz}, K_{zy}, K_{zz}=0.97, 0.73, 0.00, 1.22$
Verifica YY: $0.04+0.65=0.70$
Verifica ZZ: $0.21=0.21$
- Verifica freccia massima carichi totali - CC 22
 $f_{z,L}=1.12$ (L/448)
- Verifica freccia massima per soli carichi accidentali - CC 22
 $f_{z,L}=0.52$ (L/966)

Asta n. 1022 (-16 -7) Sez. 2 IPE270 Crit. 2

-
- Verifica a flessione YY [4.2.13] - CC 1 SND $X_l=2.50$ - Classe 3
Sollecitazioni: $M_y=-4000.86$
 $M_y,Ed=-4000.86$ $M_y,c,Rd=14500.40$ $M_y,Ed/M_y,c,Rd=0.28$
- Verifica a taglio dir. Z [4.2.16] - CC 17 SLU $X_l=0.00$ - Classe 1
Sollecitazioni: $T_z=5922.88$
 $V,Ed=5922.88$ $V_c,Rd=43217.20$ $V,Ed/V_c,Rd=0.14$
- Verifica a presso o tenso-flessione retta YY (4.2.4.1.2.7) - CC 17 SLU $X_l=2.50$ - Classe 1
Sollecitazioni: $N=5789.22$ $M_y=-7403.60$
 $M_y,Ed=-7403.60$ $M_y,c,Rd=16436.40$
 $N,Ed=5789.22$ $N_c,Rd=155342.00$ YY $n=N,Ed/N_c,Rd=0.04$ $MN_y,c,Rd=16436.40$ $M_y,Ed/MN_y,c,Rd=0.45$
- Verifica di stabilità aste inflesse (4.2.4.1.3.2) CC 17 SLU - Classe 1
 $L_{cr}=5.00$ Curva b: $\alpha_{imp}=0.34$ $k_c=0.94$ $\psi=1.75$ $M_{cr}=13579.60$ $\lambda_{LT}=1.13$
 $\lambda_{LT,0}=0.40$ $\beta_{LT}=0.75$ $\Phi_{LT}=1.10$ $\beta_{LT}=0.75$ $f=0.98$ $\chi_{LT}=0.64$
 $M_y,Ed=-7403.60$ $M_y,b,Rd=10471.50$ $M_y,Ed/M_y,b,Rd=0.71$
- Verifica di stabilità aste presso-inflesse (C4.2.4.1.3.3.2) - CC 19 SLU - Classe 1
Sollecitazioni: $N,Ed=-5789.22$ $M_y,Ed=-7101.73$ $L=5.00$
 $\alpha_{my}, \alpha_{mz}, \alpha_{LT}=0.95, 0.95, 0.95$
 $L_{cr}=5.00$ Curva b: $\alpha_{imp}=0.34$ $k_c=0.94$ $\psi=1.75$ $M_{cr}=13579.60$ $\lambda_{LT}=1.13$
 $\lambda_{LT,0}=0.40$ $\Phi_{LT}=1.10$ $\beta_{LT}=0.75$ $f=0.98$ $\chi_{LT}=0.64$
 $\lambda_y=44.54$ $N_{cr,y}=480014.00$ $\lambda^*_y=0.58$ Curva a: $\Phi_y=0.71$ $\chi_y=0.90$
 $\lambda_z=165.40$ $N_{cr,z}=34809.20$ $\lambda^*_z=2.16$ Curva b: $\Phi_z=3.18$ $\chi_z=0.18$
 $K_{yy}, K_{yz}, K_{zy}, K_{zz}=0.97, 0.73, 0.00, 1.22$
Verifica YY: $0.04+0.65=0.70$
Verifica ZZ: $0.21=0.21$
- Verifica freccia massima carichi totali - CC 22
 $f_{z,L}=1.12$ (L/448)
- Verifica freccia massima per soli carichi accidentali - CC 22
 $f_{z,L}=0.52$ (L/966)

Asta n. 1022 (-25 -16) Sez. 2 IPE270 Crit. 2

-
- Verifica a flessione YY [4.2.13] - CC 1 SND $X_l=2.50$ - Classe 3
Sollecitazioni: $M_y=-4000.86$
 $M_y,Ed=-4000.86$ $M_y,c,Rd=14500.40$ $M_y,Ed/M_y,c,Rd=0.28$

Relazione di calcolo

- Verifica a taglio dir. Z [4.2.16] - CC 17 SLU $X_l=0.00$ - Classe 1
Sollecitazioni: $T_z=5922.88$
 $V, Ed=5922.88$ $V_c, Rd=43217.20$ $V, Ed/V_c, Rd=0.14$
- Verifica a presso o tenso-flessione retta YY (4.2.4.1.2.7) - CC 17 SLU $X_l=2.50$ - Classe 1
Sollecitazioni: $N=5789.22$ $M_y=-7403.60$
 $M_y, Ed=-7403.60$ $M_y, c, Rd=16436.40$
 $N, Ed=5789.22$ $N_c, Rd=155342.00$ YY $n=N, Ed/N_c, Rd=0.04$ $MN_y, c, Rd=16436.40$ $M_y, Ed/MN_y, c, Rd=0.45$
- Verifica di stabilità aste inflesse (4.2.4.1.3.2) CC 17 SLU - Classe 1
 $L_{cr}=5.00$ Curva b: $\alpha_{imp}=0.34$ $k_c=0.94$ $\psi=1.75$ $M, cr=13579.60$ $\lambda_{LT}=1.13$
 $\lambda_{LT,0}=0.40$ $\beta_{LT}=0.75$ $\Phi_{LT}=1.10$ $\beta_{LT}=0.75$ $f=0.98$ $\chi_{LT}=0.64$
 $M_y, Ed=-7403.60$ $M_y, b, Rd=10471.50$ $M_y, Ed/M_y, b, Rd=0.71$
- Verifica di stabilità aste presso-inflesse (C4.2.4.1.3.3.2) - CC 19 SLU - Classe 1
Sollecitazioni: $N, Ed=-5789.22$ $M_y, Ed=-7101.73$ $L=5.00$
 $\alpha_{my}, \alpha_{mz}, \alpha_{LT}=0.95, 0.95, 0.95$
 $L_{cr}=5.00$ Curva b: $\alpha_{imp}=0.34$ $k_c=0.94$ $\psi=1.75$ $M, cr=13579.60$ $\lambda_{LT}=1.13$
 $\lambda_{LT,0}=0.40$ $\Phi_{LT}=1.10$ $\beta_{LT}=0.75$ $f=0.98$ $\chi_{LT}=0.64$
 $\lambda_y=44.54$ $N_{cr,y}=480014.00$ $\lambda_y^*=0.58$ Curva a: $\Phi_y=0.71$ $\chi_y=0.90$
 $\lambda_z=165.40$ $N_{cr,z}=34809.20$ $\lambda_z^*=2.16$ Curva b: $\Phi_z=3.18$ $\chi_z=0.18$
 $K_{yy}, K_{yz}, K_{zy}, K_{zz}=0.97, 0.73, 0.00, 1.22$
Verifica YY: $0.04+0.65=0.70$
Verifica ZZ: $0.21=0.21$
- Verifica freccia massima carichi totali - CC 22
 $f_{z,L}=1.12$ (L/448)
- Verifica freccia massima per soli carichi accidentali - CC 22
 $f_{z,L}=0.52$ (L/966)

Asta n. 1022 (-34 -25) Sez. 2 IPE270 Crit. 2

- Verifica a flessione YY [4.2.13] - CC 1 SND $X_l=2.50$ - Classe 3
Sollecitazioni: $M_y=-4000.86$
 $M_y, Ed=-4000.86$ $M_y, c, Rd=14500.40$ $M_y, Ed/M_y, c, Rd=0.28$
- Verifica a taglio dir. Z [4.2.16] - CC 17 SLU $X_l=0.00$ - Classe 1
Sollecitazioni: $T_z=5922.88$
 $V, Ed=5922.88$ $V_c, Rd=43217.20$ $V, Ed/V_c, Rd=0.14$
- Verifica a presso o tenso-flessione retta YY (4.2.4.1.2.7) - CC 17 SLU $X_l=2.50$ - Classe 1
Sollecitazioni: $N=5789.22$ $M_y=-7403.60$
 $M_y, Ed=-7403.60$ $M_y, c, Rd=16436.40$
 $N, Ed=5789.22$ $N_c, Rd=155342.00$ YY $n=N, Ed/N_c, Rd=0.04$ $MN_y, c, Rd=16436.40$ $M_y, Ed/MN_y, c, Rd=0.45$
- Verifica di stabilità aste inflesse (4.2.4.1.3.2) CC 17 SLU - Classe 1
 $L_{cr}=5.00$ Curva b: $\alpha_{imp}=0.34$ $k_c=0.94$ $\psi=1.75$ $M, cr=13579.60$ $\lambda_{LT}=1.13$
 $\lambda_{LT,0}=0.40$ $\beta_{LT}=0.75$ $\Phi_{LT}=1.10$ $\beta_{LT}=0.75$ $f=0.98$ $\chi_{LT}=0.64$
 $M_y, Ed=-7403.60$ $M_y, b, Rd=10471.50$ $M_y, Ed/M_y, b, Rd=0.71$
- Verifica di stabilità aste presso-inflesse (C4.2.4.1.3.3.2) - CC 19 SLU - Classe 1
Sollecitazioni: $N, Ed=-5789.22$ $M_y, Ed=-7101.73$ $L=5.00$
 $\alpha_{my}, \alpha_{mz}, \alpha_{LT}=0.95, 0.95, 0.95$
 $L_{cr}=5.00$ Curva b: $\alpha_{imp}=0.34$ $k_c=0.94$ $\psi=1.75$ $M, cr=13579.60$ $\lambda_{LT}=1.13$
 $\lambda_{LT,0}=0.40$ $\Phi_{LT}=1.10$ $\beta_{LT}=0.75$ $f=0.98$ $\chi_{LT}=0.64$
 $\lambda_y=44.54$ $N_{cr,y}=480014.00$ $\lambda_y^*=0.58$ Curva a: $\Phi_y=0.71$ $\chi_y=0.90$
 $\lambda_z=165.40$ $N_{cr,z}=34809.20$ $\lambda_z^*=2.16$ Curva b: $\Phi_z=3.18$ $\chi_z=0.18$
 $K_{yy}, K_{yz}, K_{zy}, K_{zz}=0.97, 0.73, 0.00, 1.22$
Verifica YY: $0.04+0.65=0.70$
Verifica ZZ: $0.21=0.21$
- Verifica freccia massima carichi totali - CC 22
 $f_{z,L}=1.12$ (L/448)
- Verifica freccia massima per soli carichi accidentali - CC 22
 $f_{z,L}=0.52$ (L/966)

Asta n. 1022 (-43 -34) Sez. 2 IPE270 Crit. 2

- Verifica a flessione YY [4.2.13] - CC 1 SND $X_l=2.50$ - Classe 3
Sollecitazioni: $M_y=-4000.86$
 $M_y, Ed=-4000.86$ $M_y, c, Rd=14500.40$ $M_y, Ed/M_y, c, Rd=0.28$
- Verifica a taglio dir. Z [4.2.16] - CC 17 SLU $X_l=0.00$ - Classe 1
Sollecitazioni: $T_z=5922.88$
 $V, Ed=5922.88$ $V_c, Rd=43217.20$ $V, Ed/V_c, Rd=0.14$

Relazione di calcolo

- Verifica a presso o tenso-flessione retta YY (4.2.4.1.2.7) - CC 17 SLU $X_l=2.50$ - Classe 1
Sollecitazioni: $N=5789.22$ $M_y=-7403.60$
 $M_y, Ed=-7403.60$ $M_y, c, Rd=16436.40$
 $N, Ed=5789.22$ $N_c, Rd=155342.00$ YY $n=N, Ed/N_c, Rd=0.04$ $MN_y, c, Rd=16436.40$ $M_y, Ed/MN_y, c, Rd=0.45$
- Verifica di stabilità aste inflesse (4.2.4.1.3.2) CC 17 SLU - Classe 1
 $L_{cr}=5.00$ Curva b: $\alpha_{imp}=0.34$ $k_c=0.94$ $\psi=1.75$ $M, cr=13579.60$ $\lambda_{LT}=1.13$
 $\lambda_{LT,0}=0.40$ $\beta_{LT}=0.75$ $\Phi_{LT}=1.10$ $\beta_{LT}=0.75$ $f=0.98$ $\chi_{LT}=0.64$
 $M_y, Ed=-7403.60$ $M_y, b, Rd=10471.50$ $M_y, Ed/M_y, b, Rd=0.71$
- Verifica di stabilità aste presso-inflesse (C4.2.4.1.3.3.2) - CC 19 SLU - Classe 1
Sollecitazioni: $N, Ed=-5789.22$ $M_y, Ed=-7101.73$ $L=5.00$
 $\alpha_{my}, \alpha_{mz}, \alpha_{LT}=0.95, 0.95, 0.95$
 $L_{cr}=5.00$ Curva b: $\alpha_{imp}=0.34$ $k_c=0.94$ $\psi=1.75$ $M, cr=13579.60$ $\lambda_{LT}=1.13$
 $\lambda_{LT,0}=0.40$ $\Phi_{LT}=1.10$ $\beta_{LT}=0.75$ $f=0.98$ $\chi_{LT}=0.64$
 $\lambda_y=44.54$ $N_{cr,y}=480014.00$ $\lambda_y^*=0.58$ Curva a: $\Phi_y=0.71$ $\chi_y=0.90$
 $\lambda_z=165.40$ $N_{cr,z}=34809.20$ $\lambda_z^*=2.16$ Curva b: $\Phi_z=3.18$ $\chi_z=0.18$
 $K_{yy}, K_{yz}, K_{zy}, K_{zz}=0.97, 0.73, 0.00, 1.22$
Verifica YY: $0.04+0.65=0.70$
Verifica ZZ: $0.21=0.21$
- Verifica freccia massima carichi totali - CC 22
 $f_{z,L}=1.12$ (L/448)
- Verifica freccia massima per soli carichi accidentali - CC 22
 $f_{z,L}=0.52$ (L/966)

Asta n. 1022 (-52 -43) Sez. 2 IPE270 Crit. 2

- Verifica a flessione YY [4.2.13] - CC 1 SND $X_l=2.50$ - Classe 3
Sollecitazioni: $M_y=-4000.86$
 $M_y, Ed=-4000.86$ $M_y, c, Rd=14500.40$ $M_y, Ed/M_y, c, Rd=0.28$
- Verifica a taglio dir. Z [4.2.16] - CC 17 SLU $X_l=0.00$ - Classe 1
Sollecitazioni: $T_z=5922.88$
 $V, Ed=5922.88$ $V_c, Rd=43217.20$ $V, Ed/V_c, Rd=0.14$
- Verifica a presso o tenso-flessione retta YY (4.2.4.1.2.7) - CC 17 SLU $X_l=2.50$ - Classe 1
Sollecitazioni: $N=5789.22$ $M_y=-7403.60$
 $M_y, Ed=-7403.60$ $M_y, c, Rd=16436.40$
 $N, Ed=5789.22$ $N_c, Rd=155342.00$ YY $n=N, Ed/N_c, Rd=0.04$ $MN_y, c, Rd=16436.40$ $M_y, Ed/MN_y, c, Rd=0.45$
- Verifica di stabilità aste inflesse (4.2.4.1.3.2) CC 17 SLU - Classe 1
 $L_{cr}=5.00$ Curva b: $\alpha_{imp}=0.34$ $k_c=0.94$ $\psi=1.75$ $M, cr=13579.60$ $\lambda_{LT}=1.13$
 $\lambda_{LT,0}=0.40$ $\beta_{LT}=0.75$ $\Phi_{LT}=1.10$ $\beta_{LT}=0.75$ $f=0.98$ $\chi_{LT}=0.64$
 $M_y, Ed=-7403.60$ $M_y, b, Rd=10471.50$ $M_y, Ed/M_y, b, Rd=0.71$
- Verifica di stabilità aste presso-inflesse (C4.2.4.1.3.3.2) - CC 19 SLU - Classe 1
Sollecitazioni: $N, Ed=-5789.22$ $M_y, Ed=-7101.73$ $L=5.00$
 $\alpha_{my}, \alpha_{mz}, \alpha_{LT}=0.95, 0.95, 0.95$
 $L_{cr}=5.00$ Curva b: $\alpha_{imp}=0.34$ $k_c=0.94$ $\psi=1.75$ $M, cr=13579.60$ $\lambda_{LT}=1.13$
 $\lambda_{LT,0}=0.40$ $\Phi_{LT}=1.10$ $\beta_{LT}=0.75$ $f=0.98$ $\chi_{LT}=0.64$
 $\lambda_y=44.54$ $N_{cr,y}=480014.00$ $\lambda_y^*=0.58$ Curva a: $\Phi_y=0.71$ $\chi_y=0.90$
 $\lambda_z=165.40$ $N_{cr,z}=34809.20$ $\lambda_z^*=2.16$ Curva b: $\Phi_z=3.18$ $\chi_z=0.18$
 $K_{yy}, K_{yz}, K_{zy}, K_{zz}=0.97, 0.73, 0.00, 1.22$
Verifica YY: $0.04+0.65=0.70$
Verifica ZZ: $0.21=0.21$
- Verifica freccia massima carichi totali - CC 22
 $f_{z,L}=1.12$ (L/448)
- Verifica freccia massima per soli carichi accidentali - CC 22
 $f_{z,G}=0.52$ (L/966)

Asta n. 1022 (-61 -52) Sez. 2 IPE270 Crit. 2

- Verifica a flessione YY [4.2.13] - CC 1 SND $X_l=2.50$ - Classe 3
Sollecitazioni: $M_y=-4000.86$
 $M_y, Ed=-4000.86$ $M_y, c, Rd=14500.40$ $M_y, Ed/M_y, c, Rd=0.28$
- Verifica a taglio dir. Z [4.2.16] - CC 17 SLU $X_l=0.00$ - Classe 1
Sollecitazioni: $T_z=5922.88$
 $V, Ed=5922.88$ $V_c, Rd=43217.20$ $V, Ed/V_c, Rd=0.14$
- Verifica a presso o tenso-flessione retta YY (4.2.4.1.2.7) - CC 17 SLU $X_l=2.50$ - Classe 1
Sollecitazioni: $N=5789.22$ $M_y=-7403.60$
 $M_y, Ed=-7403.60$ $M_y, c, Rd=16436.40$
 $N, Ed=5789.22$ $N_c, Rd=155342.00$ YY $n=N, Ed/N_c, Rd=0.04$ $MN_y, c, Rd=16436.40$ $M_y, Ed/MN_y, c, Rd=0.45$

Relazione di calcolo

- Verifica di stabilità aste inflesse (4.2.4.1.3.2) CC 17 SLU - Classe 1
L_{cr}=5.00 Curva b: $\alpha_{imp}=0.34$ $k_c=0.94$ $\psi=1.75$ M_{cr}=13579.60 $\lambda_{LT}=1.13$
 $\lambda_{LT,0}=0.40$ $\beta_{LT}=0.75$ $\Phi_{LT}=1.10$ $\beta_{LT}=0.75$ $f=0.98$ $\chi_{LT}=0.64$
M_{y,Ed}=-7403.60 M_{y,b,Rd}=10471.50 M_{y,Ed/M,y,b,Rd}=0.71
- Verifica di stabilità aste presso-inflesse (C4.2.4.1.3.3.2) - CC 19 SLU - Classe 1
Sollecitazioni: N_{Ed}=-5789.22 M_{y,Ed}=-7101.73 L=5.00
 α_{my} , α_{mz} , $\alpha_{LT}=0.95$, 0.95, 0.95
L_{cr}=5.00 Curva b: $\alpha_{imp}=0.34$ $k_c=0.94$ $\psi=1.75$ M_{cr}=13579.60 $\lambda_{LT}=1.13$
 $\lambda_{LT,0}=0.40$ $\Phi_{LT}=1.10$ $\beta_{LT}=0.75$ $f=0.98$ $\chi_{LT}=0.64$
 $\lambda_y=44.54$ N_{cr,y}=480014.00 $\lambda_y^*=0.58$ Curva a: $\Phi_y=0.71$ $\chi_y=0.90$
 $\lambda_z=165.40$ N_{cr,z}=34809.20 $\lambda_z^*=2.16$ Curva b: $\Phi_z=3.18$ $\chi_z=0.18$
K_{yy}, K_{yz}, K_{zy}, K_{zz}=0.97, 0.73, 0.00, 1.22
Verifica YY: 0.04+0.65=0.70
Verifica ZZ: 0.21=0.21
- Verifica freccia massima carichi totali - CC 22
f_{z,L}=1.12 (L/448)
- Verifica freccia massima per soli carichi accidentali - CC 22
f_{z,L}=0.52 (L/966)
- Asta n. 1022 (-70 -61) Sez. 2 IPE270 Crit. 2

- Verifica a flessione YY [4.2.13] - CC 1 SND X1=2.50 - Classe 3
Sollecitazioni: M_y=-4000.86
M_{y,Ed}=-4000.86 M_{y,c,Rd}=14500.40 M_{y,Ed/M,y,c,Rd}=0.28
- Verifica a taglio dir. Z [4.2.16] - CC 17 SLU X1=0.00 - Classe 1
Sollecitazioni: T_z=5922.88
V_{Ed}=5922.88 V_{c,Rd}=43217.20 V_{Ed/Vc,Rd}=0.14
- Verifica a presso o tenso-flessione retta YY (4.2.4.1.2.7) - CC 17 SLU X1=2.50 - Classe 1
Sollecitazioni: N=5789.22 M_y=-7403.60
M_{y,Ed}=-7403.60 M_{y,c,Rd}=16436.40
N_{Ed}=5789.22 N_{c,Rd}=155342.00 YY n=N_{Ed/Nc,Rd}=0.04 MN_{y,c,Rd}=16436.40 M_{y,Ed/MN,y,c,Rd}=0.45
- Verifica di stabilità aste inflesse (4.2.4.1.3.2) CC 17 SLU - Classe 1
L_{cr}=5.00 Curva b: $\alpha_{imp}=0.34$ $k_c=0.94$ $\psi=1.75$ M_{cr}=13579.60 $\lambda_{LT}=1.13$
 $\lambda_{LT,0}=0.40$ $\beta_{LT}=0.75$ $\Phi_{LT}=1.10$ $\beta_{LT}=0.75$ $f=0.98$ $\chi_{LT}=0.64$
M_{y,Ed}=-7403.60 M_{y,b,Rd}=10471.50 M_{y,Ed/M,y,b,Rd}=0.71
- Verifica di stabilità aste presso-inflesse (C4.2.4.1.3.3.2) - CC 19 SLU - Classe 1
Sollecitazioni: N_{Ed}=-5789.22 M_{y,Ed}=-7101.73 L=5.00
 α_{my} , α_{mz} , $\alpha_{LT}=0.95$, 0.95, 0.95
L_{cr}=5.00 Curva b: $\alpha_{imp}=0.34$ $k_c=0.94$ $\psi=1.75$ M_{cr}=13579.60 $\lambda_{LT}=1.13$
 $\lambda_{LT,0}=0.40$ $\Phi_{LT}=1.10$ $\beta_{LT}=0.75$ $f=0.98$ $\chi_{LT}=0.64$
 $\lambda_y=44.54$ N_{cr,y}=480014.00 $\lambda_y^*=0.58$ Curva a: $\Phi_y=0.71$ $\chi_y=0.90$
 $\lambda_z=165.40$ N_{cr,z}=34809.20 $\lambda_z^*=2.16$ Curva b: $\Phi_z=3.18$ $\chi_z=0.18$
K_{yy}, K_{yz}, K_{zy}, K_{zz}=0.97, 0.73, 0.00, 1.22
Verifica YY: 0.04+0.65=0.70
Verifica ZZ: 0.21=0.21
- Verifica freccia massima carichi totali - CC 22
f_{z,L}=1.12 (L/448)
- Verifica freccia massima per soli carichi accidentali - CC 22
f_{z,L}=0.52 (L/966)
- Asta n. 1022 (-79 -70) Sez. 2 IPE270 Crit. 2

- Verifica a flessione YY [4.2.13] - CC 1 SND X1=2.50 - Classe 3
Sollecitazioni: M_y=-4000.86
M_{y,Ed}=-4000.86 M_{y,c,Rd}=14500.40 M_{y,Ed/M,y,c,Rd}=0.28
- Verifica a taglio dir. Z [4.2.16] - CC 17 SLU X1=0.00 - Classe 1
Sollecitazioni: T_z=5922.88
V_{Ed}=5922.88 V_{c,Rd}=43217.20 V_{Ed/Vc,Rd}=0.14
- Verifica a presso o tenso-flessione retta YY (4.2.4.1.2.7) - CC 17 SLU X1=2.50 - Classe 1
Sollecitazioni: N=5789.22 M_y=-7403.60
M_{y,Ed}=-7403.60 M_{y,c,Rd}=16436.40
N_{Ed}=5789.22 N_{c,Rd}=155342.00 YY n=N_{Ed/Nc,Rd}=0.04 MN_{y,c,Rd}=16436.40 M_{y,Ed/MN,y,c,Rd}=0.45
- Verifica di stabilità aste inflesse (4.2.4.1.3.2) CC 17 SLU - Classe 1
L_{cr}=5.00 Curva b: $\alpha_{imp}=0.34$ $k_c=0.94$ $\psi=1.75$ M_{cr}=13579.60 $\lambda_{LT}=1.13$
 $\lambda_{LT,0}=0.40$ $\beta_{LT}=0.75$ $\Phi_{LT}=1.10$ $\beta_{LT}=0.75$ $f=0.98$ $\chi_{LT}=0.64$
M_{y,Ed}=-7403.60 M_{y,b,Rd}=10471.50 M_{y,Ed/M,y,b,Rd}=0.71

Relazione di calcolo

- Verifica di stabilità aste presso-inflesse (C4.2.4.1.3.3.2) - CC 19 SLU - Classe 1
Sollecitazioni: $N_{Ed}=-5789.22$ $M_{y,Ed}=-7101.73$ $L=5.00$
 α_{my} , α_{mz} , $\alpha_{LT}=0.95$, 0.95 , 0.95
 $L_{cr}=5.00$ Curva b: $\alpha_{imp}=0.34$ $k_c=0.94$ $\psi=1.75$ $M_{cr}=13579.60$ $\lambda_{LT}=1.13$
 $\lambda_{LT,0}=0.40$ $\Phi_{LT}=1.10$ $\beta_{LT}=0.75$ $f=0.98$ $\chi_{LT}=0.64$
 $\lambda_y=44.54$ $N_{cr,y}=480014.00$ $\lambda_y^*=0.58$ Curva a: $\Phi_y=0.71$ $\chi_y=0.90$
 $\lambda_z=165.40$ $N_{cr,z}=34809.20$ $\lambda_z^*=2.16$ Curva b: $\Phi_z=3.18$ $\chi_z=0.18$
 K_{yy} , K_{yz} , K_{zy} , $K_{zz}=0.97$, 0.73 , 0.00 , 1.22
Verifica YY: $0.04+0.65=0.70$
Verifica ZZ: $0.21=0.21$
- Verifica freccia massima carichi totali - CC 22
 $f_{z,L}=1.12$ (L/448)
- Verifica freccia massima per soli carichi accidentali - CC 22
 $f_{z,L}=0.52$ (L/966)
- Asta n. 1022 (-88 -79) Sez. 2 IPE270 Crit. 2

- Verifica a flessione YY [4.2.13] - CC 1 SND $X_l=2.50$ - Classe 3
Sollecitazioni: $M_y=-4000.86$
 $M_{y,Ed}=-4000.86$ $M_{y,c,Rd}=14500.40$ $M_{y,Ed/M_{y,c,Rd}}=0.28$
- Verifica a taglio dir. Z [4.2.16] - CC 17 SLU $X_l=0.00$ - Classe 1
Sollecitazioni: $T_z=5922.88$
 $V_{Ed}=5922.88$ $V_{c,Rd}=43217.20$ $V_{Ed/V_{c,Rd}}=0.14$
- Verifica a presso o tenso-flessione retta YY (4.2.4.1.2.7) - CC 17 SLU $X_l=2.50$ - Classe 1
Sollecitazioni: $N=5789.22$ $M_y=-7403.60$
 $M_{y,Ed}=-7403.60$ $M_{y,c,Rd}=16436.40$
 $N_{Ed}=5789.22$ $N_{c,Rd}=155342.00$ YY $n=N_{Ed}/N_{c,Rd}=0.04$ $MN_{y,c,Rd}=16436.40$ $M_{y,Ed}/MN_{y,c,Rd}=0.45$
- Verifica di stabilità aste inflesse (4.2.4.1.3.2) CC 17 SLU - Classe 1
 $L_{cr}=5.00$ Curva b: $\alpha_{imp}=0.34$ $k_c=0.94$ $\psi=1.75$ $M_{cr}=13579.60$ $\lambda_{LT}=1.13$
 $\lambda_{LT,0}=0.40$ $\beta_{LT}=0.75$ $\Phi_{LT}=1.10$ $\beta_{LT}=0.75$ $f=0.98$ $\chi_{LT}=0.64$
 $M_{y,Ed}=-7403.60$ $M_{y,b,Rd}=10471.50$ $M_{y,Ed/M_{y,b,Rd}}=0.71$
- Verifica di stabilità aste presso-inflesse (C4.2.4.1.3.3.2) - CC 19 SLU - Classe 1
Sollecitazioni: $N_{Ed}=-5789.22$ $M_{y,Ed}=-7101.73$ $L=5.00$
 α_{my} , α_{mz} , $\alpha_{LT}=0.95$, 0.95 , 0.95
 $L_{cr}=5.00$ Curva b: $\alpha_{imp}=0.34$ $k_c=0.94$ $\psi=1.75$ $M_{cr}=13579.60$ $\lambda_{LT}=1.13$
 $\lambda_{LT,0}=0.40$ $\Phi_{LT}=1.10$ $\beta_{LT}=0.75$ $f=0.98$ $\chi_{LT}=0.64$
 $\lambda_y=44.54$ $N_{cr,y}=480014.00$ $\lambda_y^*=0.58$ Curva a: $\Phi_y=0.71$ $\chi_y=0.90$
 $\lambda_z=165.40$ $N_{cr,z}=34809.20$ $\lambda_z^*=2.16$ Curva b: $\Phi_z=3.18$ $\chi_z=0.18$
 K_{yy} , K_{yz} , K_{zy} , $K_{zz}=0.97$, 0.73 , 0.00 , 1.22
Verifica YY: $0.04+0.65=0.70$
Verifica ZZ: $0.21=0.21$
- Verifica freccia massima carichi totali - CC 22
 $f_{z,L}=1.12$ (L/448)
- Verifica freccia massima per soli carichi accidentali - CC 22
 $f_{z,L}=0.52$ (L/966)
- Asta n. 1022 (-97 -88) Sez. 2 IPE270 Crit. 2

- Verifica a flessione YY [4.2.13] - CC 1 SND $X_l=2.50$ - Classe 3
Sollecitazioni: $M_y=-4000.86$
 $M_{y,Ed}=-4000.86$ $M_{y,c,Rd}=14500.40$ $M_{y,Ed/M_{y,c,Rd}}=0.28$
- Verifica a taglio dir. Z [4.2.16] - CC 17 SLU $X_l=0.00$ - Classe 1
Sollecitazioni: $T_z=5922.88$
 $V_{Ed}=5922.88$ $V_{c,Rd}=43217.20$ $V_{Ed/V_{c,Rd}}=0.14$
- Verifica a presso o tenso-flessione retta YY (4.2.4.1.2.7) - CC 17 SLU $X_l=2.50$ - Classe 1
Sollecitazioni: $N=5789.22$ $M_y=-7403.60$
 $M_{y,Ed}=-7403.60$ $M_{y,c,Rd}=16436.40$
 $N_{Ed}=5789.22$ $N_{c,Rd}=155342.00$ YY $n=N_{Ed}/N_{c,Rd}=0.04$ $MN_{y,c,Rd}=16436.40$ $M_{y,Ed}/MN_{y,c,Rd}=0.45$
- Verifica di stabilità aste inflesse (4.2.4.1.3.2) CC 17 SLU - Classe 1
 $L_{cr}=5.00$ Curva b: $\alpha_{imp}=0.34$ $k_c=0.94$ $\psi=1.75$ $M_{cr}=13579.60$ $\lambda_{LT}=1.13$
 $\lambda_{LT,0}=0.40$ $\beta_{LT}=0.75$ $\Phi_{LT}=1.10$ $\beta_{LT}=0.75$ $f=0.98$ $\chi_{LT}=0.64$
 $M_{y,Ed}=-7403.60$ $M_{y,b,Rd}=10471.50$ $M_{y,Ed/M_{y,b,Rd}}=0.71$
- Verifica di stabilità aste presso-inflesse (C4.2.4.1.3.3.2) - CC 19 SLU - Classe 1
Sollecitazioni: $N_{Ed}=-5789.22$ $M_{y,Ed}=-7101.73$ $L=5.00$
 α_{my} , α_{mz} , $\alpha_{LT}=0.95$, 0.95 , 0.95
 $L_{cr}=5.00$ Curva b: $\alpha_{imp}=0.34$ $k_c=0.94$ $\psi=1.75$ $M_{cr}=13579.60$ $\lambda_{LT}=1.13$
 $\lambda_{LT,0}=0.40$ $\Phi_{LT}=1.10$ $\beta_{LT}=0.75$ $f=0.98$ $\chi_{LT}=0.64$

Relazione di calcolo

$\lambda_y=44.54$ Ncr,y=480014.00 $\lambda^*_y=0.58$ Curva a: $\Phi_y=0.71$ $\chi_y=0.90$
 $\lambda_z=165.40$ Ncr,z=34809.20 $\lambda^*_z=2.16$ Curva b: $\Phi_z=3.18$ $\chi_z=0.18$
Kyy, Kyz, Kzy, Kzz=0.97, 0.73, 0.00, 1.22
Verifica YY: 0.04+0.65=0.70
Verifica ZZ: 0.21=0.21

- Verifica freccia massima carichi totali - CC 22
 $f_{z,L}=1.12$ (L/448)

- Verifica freccia massima per soli carichi accidentali - CC 22
 $f_{z,L}=0.52$ (L/966)

Asta n. 1022 (-105 -97) Sez. 2 IPE270 Crit. 2

- Verifica a flessione YY [4.2.13] - CC 1 SND $X_l=2.50$ - Classe 3
Sollecitazioni: $M_y=-4000.86$
 $M_y,Ed=-4000.86$ $M_y,c,Rd=14500.40$ $M_y,Ed/M_y,c,Rd=0.28$

- Verifica a taglio dir. Z [4.2.16] - CC 17 SLU $X_l=0.00$ - Classe 1
Sollecitazioni: $T_z=5922.88$
 $V,Ed=5922.88$ $V_c,Rd=43217.20$ $V,Ed/V_c,Rd=0.14$

- Verifica a presso o tenso-flessione retta YY (4.2.4.1.2.7) - CC 17 SLU $X_l=2.50$ - Classe 1
Sollecitazioni: $N=5789.22$ $M_y=-7403.60$
 $M_y,Ed=-7403.60$ $M_y,c,Rd=16436.40$
 $N,Ed=5789.22$ $N_c,Rd=155342.00$ YY n= $N,Ed/N_c,Rd=0.04$ $MN_y,c,Rd=16436.40$ $M_y,Ed/MN_y,c,Rd=0.45$

- Verifica di stabilità aste inflesse (4.2.4.1.3.2) CC 17 SLU - Classe 1
 $L_{cr}=5.00$ Curva b: $\alpha_{imp}=0.34$ $k_c=0.94$ $\psi=1.75$ $M_{cr}=13579.60$ $\lambda_{LT}=1.13$
 $\lambda_{LT,0}=0.40$ $\beta_{LT}=0.75$ $\Phi_{LT}=1.10$ $\beta_{LT}=0.75$ $f=0.98$ $\chi_{LT}=0.64$
 $M_y,Ed=-7403.60$ $M_y,b,Rd=10471.50$ $M_y,Ed/M_y,b,Rd=0.71$

- Verifica di stabilità aste presso-inflesse (C4.2.4.1.3.3.2) - CC 19 SLU - Classe 1
Sollecitazioni: $N,Ed=-5789.22$ $M_y,Ed=-7101.73$ $L=5.00$
 $\alpha_{my}, \alpha_{mz}, \alpha_{LT}=0.95, 0.95, 0.95$
 $L_{cr}=5.00$ Curva b: $\alpha_{imp}=0.34$ $k_c=0.94$ $\psi=1.75$ $M_{cr}=13579.60$ $\lambda_{LT}=1.13$
 $\lambda_{LT,0}=0.40$ $\Phi_{LT}=1.10$ $\beta_{LT}=0.75$ $f=0.98$ $\chi_{LT}=0.64$
 $\lambda_y=44.54$ Ncr,y=480014.00 $\lambda^*_y=0.58$ Curva a: $\Phi_y=0.71$ $\chi_y=0.90$
 $\lambda_z=165.40$ Ncr,z=34809.20 $\lambda^*_z=2.16$ Curva b: $\Phi_z=3.18$ $\chi_z=0.18$
Kyy, Kyz, Kzy, Kzz=0.97, 0.73, 0.00, 1.22
Verifica YY: 0.04+0.65=0.70
Verifica ZZ: 0.21=0.21

- Verifica freccia massima carichi totali - CC 22
 $f_{z,L}=1.12$ (L/448)

- Verifica freccia massima per soli carichi accidentali - CC 22
 $f_{z,L}=0.52$ (L/966)

Asta n. 1022 (-113 -105) Sez. 2 IPE270 Crit. 2

- Verifica a flessione YY [4.2.13] - CC 1 SND $X_l=2.50$ - Classe 3
Sollecitazioni: $M_y=-4000.86$
 $M_y,Ed=-4000.86$ $M_y,c,Rd=14500.40$ $M_y,Ed/M_y,c,Rd=0.28$

- Verifica a taglio dir. Z [4.2.16] - CC 17 SLU $X_l=0.00$ - Classe 1
Sollecitazioni: $T_z=5922.88$
 $V,Ed=5922.88$ $V_c,Rd=43217.20$ $V,Ed/V_c,Rd=0.14$

- Verifica a presso o tenso-flessione retta YY (4.2.4.1.2.7) - CC 17 SLU $X_l=2.50$ - Classe 1
Sollecitazioni: $N=5789.22$ $M_y=-7403.60$
 $M_y,Ed=-7403.60$ $M_y,c,Rd=16436.40$
 $N,Ed=5789.22$ $N_c,Rd=155342.00$ YY n= $N,Ed/N_c,Rd=0.04$ $MN_y,c,Rd=16436.40$ $M_y,Ed/MN_y,c,Rd=0.45$

- Verifica di stabilità aste inflesse (4.2.4.1.3.2) CC 17 SLU - Classe 1
 $L_{cr}=5.00$ Curva b: $\alpha_{imp}=0.34$ $k_c=0.94$ $\psi=1.75$ $M_{cr}=13579.60$ $\lambda_{LT}=1.13$
 $\lambda_{LT,0}=0.40$ $\beta_{LT}=0.75$ $\Phi_{LT}=1.10$ $\beta_{LT}=0.75$ $f=0.98$ $\chi_{LT}=0.64$
 $M_y,Ed=-7403.60$ $M_y,b,Rd=10471.50$ $M_y,Ed/M_y,b,Rd=0.71$

- Verifica di stabilità aste presso-inflesse (C4.2.4.1.3.3.2) - CC 19 SLU - Classe 1
Sollecitazioni: $N,Ed=-5789.22$ $M_y,Ed=-7101.73$ $L=5.00$
 $\alpha_{my}, \alpha_{mz}, \alpha_{LT}=0.95, 0.95, 0.95$
 $L_{cr}=5.00$ Curva b: $\alpha_{imp}=0.34$ $k_c=0.94$ $\psi=1.75$ $M_{cr}=13579.60$ $\lambda_{LT}=1.13$
 $\lambda_{LT,0}=0.40$ $\Phi_{LT}=1.10$ $\beta_{LT}=0.75$ $f=0.98$ $\chi_{LT}=0.64$
 $\lambda_y=44.54$ Ncr,y=480014.00 $\lambda^*_y=0.58$ Curva a: $\Phi_y=0.71$ $\chi_y=0.90$
 $\lambda_z=165.40$ Ncr,z=34809.20 $\lambda^*_z=2.16$ Curva b: $\Phi_z=3.18$ $\chi_z=0.18$
Kyy, Kyz, Kzy, Kzz=0.97, 0.73, 0.00, 1.22
Verifica YY: 0.04+0.65=0.70
Verifica ZZ: 0.21=0.21

Relazione di calcolo

- Verifica freccia massima carichi totali - CC 22
 $f_{z,L}=1.12$ (L/448)

- Verifica freccia massima per soli carichi accidentali - CC 22
 $f_{z,G}=0.52$ (L/966)

Asta n. 1023 (4 1009) Sez. 5 UPN100 Crit. 3

- Verifica a trazione (4.2.4.1.2.1) - CC 5 SLV $X_1=0.00$ - Classe 1
Sollecitazioni: $N=1417.21$
Verifica a trazione [4.2.5]
 $N,Ed=1417.21$ $N_{pl},Rd=35889.70$ $Nu,Rd=42425.50$ $N,Ed/Nt,Rd=0.04$

- Verifica freccia massima carichi totali - CC 22
 $f_{z,G}=0.01$ (L/40851)

- Verifica freccia massima per soli carichi accidentali - CC 22
 $f_{z,G}=0.01$ (L/83573)

Asta n. 1024 (-17 -8) Sez. 2 IPE270 Crit. 2

- Verifica a flessione YY [4.2.13] - CC 1 SND $X_1=2.50$ - Classe 3
Sollecitazioni: $M_y=-3375.98$
 $M_y,Ed=-3375.98$ $M_y,c,Rd=14500.40$ $M_y,Ed/M_y,c,Rd=0.23$

- Verifica a taglio dir. Z [4.2.16] - CC 17 SLU $X_1=0.00$ - Classe 1
Sollecitazioni: $T_z=4989.83$
 $V,Ed=4989.83$ $V_c,Rd=43217.20$ $V,Ed/V_c,Rd=0.12$

- Verifica a presso o tenso-flessione retta YY (4.2.4.1.2.7) - CC 17 SLU $X_1=2.50$ - Classe 1
Sollecitazioni: $N=5789.22$ $M_y=-6237.29$
 $M_y,Ed=-6237.29$ $M_y,c,Rd=16436.40$
 $N,Ed=5789.22$ $N_c,Rd=155342.00$ YY $n=N,Ed/N_c,Rd=0.04$ $MN_y,c,Rd=16436.40$ $M_y,Ed/MN_y,c,Rd=0.38$

- Verifica di stabilità aste inflesse (4.2.4.1.3.2) CC 17 SLU - Classe 1
 $L_{cr}=5.00$ Curva b: $\alpha_{imp}=0.34$ $k_c=0.94$ $\psi=1.75$ $M_{cr}=13579.60$ $\lambda_{LT}=1.13$
 $\lambda_{LT,0}=0.40$ $\beta_{LT}=0.75$ $\Phi_{LT}=1.10$ $\beta_{LT}=0.75$ $f=0.98$ $\chi_{LT}=0.64$
 $M_y,Ed=-6237.29$ $M_y,b,Rd=10471.50$ $M_y,Ed/M_y,b,Rd=0.60$

- Verifica di stabilità aste presso-inflesse (4.2.4.1.3.3.2) - CC 19 SLU - Classe 1
Sollecitazioni: $N,Ed=-5789.22$ $M_y,Ed=-5983.93$ $L=5.00$
 $\alpha_{my}, \alpha_{mz}, \alpha_{LT}=0.95, 0.95, 0.95$
 $L_{cr}=5.00$ Curva b: $\alpha_{imp}=0.34$ $k_c=0.94$ $\psi=1.75$ $M_{cr}=13579.60$ $\lambda_{LT}=1.13$
 $\lambda_{LT,0}=0.40$ $\Phi_{LT}=1.10$ $\beta_{LT}=0.75$ $f=0.98$ $\chi_{LT}=0.64$
 $\lambda_y=44.54$ $N_{cr,y}=480014.00$ $\lambda^*_y=0.58$ Curva a: $\Phi_y=0.71$ $\chi_y=0.90$
 $\lambda_z=165.40$ $N_{cr,z}=34809.20$ $\lambda^*_z=2.16$ Curva b: $\Phi_z=3.18$ $\chi_z=0.18$
 $K_{yy}, K_{yz}, K_{zy}, K_{zz}=0.97, 0.73, 0.00, 1.22$
Verifica YY: $0.04+0.55=0.59$
Verifica ZZ: $0.21=0.21$

- Verifica freccia massima carichi totali - CC 22
 $f_{z,L}=0.94$ (L/531)

- Verifica freccia massima per soli carichi accidentali - CC 22
 $f_{z,L}=0.43$ (L/1151)

Asta n. 1024 (-26 -17) Sez. 2 IPE270 Crit. 2

- Verifica a flessione YY [4.2.13] - CC 1 SND $X_1=2.50$ - Classe 3
Sollecitazioni: $M_y=-112.71$
 $M_y,Ed=-112.71$ $M_y,c,Rd=14500.40$ $M_y,Ed/M_y,c,Rd=0.01$

- Verifica a taglio dir. Z [4.2.16] - CC 17 SLU $X_1=0.00$ - Classe 1
Sollecitazioni: $T_z=117.22$
 $V,Ed=117.22$ $V_c,Rd=43217.20$ $V,Ed/V_c,Rd=0.00$

- Verifica a trazione (4.2.4.1.2.1) - CC 18 SLU $X_1=0.00$ - Classe 1
Sollecitazioni: $N=14473.10$ $T_z=117.22$
Verifica a trazione [4.2.5]
 $N,Ed=14473.10$ $N_{pl},Rd=155342.00$ $Nu,Rd=168714.00$ $N,Ed/Nt,Rd=0.09$

- Verifica di stabilità aste inflesse (4.2.4.1.3.2) CC 17 SLU - Classe 1
 $L_{cr}=5.00$ Curva b: $\alpha_{imp}=0.34$ $k_c=0.94$ $\psi=1.75$ $M_{cr}=13579.60$ $\lambda_{LT}=1.13$
 $\lambda_{LT,0}=0.40$ $\beta_{LT}=0.75$ $\Phi_{LT}=1.10$ $\beta_{LT}=0.75$ $f=0.98$ $\chi_{LT}=0.64$
 $M_y,Ed=-146.53$ $M_y,b,Rd=10471.50$ $M_y,Ed/M_y,b,Rd=0.01$

- Verifica di stabilità aste presso-inflesse (4.2.4.1.3.3.2) - CC 19 SLU - Classe 3
Sollecitazioni: $N,Ed=-5789.22$ $M_y,Ed=-146.53$ $L=5.00$
 $\alpha_{my}, \alpha_{mz}, \alpha_{LT}=0.95, 0.95, 0.95$

Relazione di calcolo

$L_{cr}=5.00$ Curva b: $\alpha_{imp}=0.34$ $k_c=0.94$ $\psi=1.75$ $M_{cr}=13579.60$ $\lambda_{LT}=1.13$
 $\lambda_{LT,0}=0.40$ $\Phi_{LT}=1.10$ $\beta_{LT}=0.75$ $f=0.98$ $\chi_{LT}=0.64$
 $\lambda_y=44.54$ $N_{cr,y}=480014.00$ $\lambda_y^*=0.58$ Curva a: $\Phi_y=0.71$ $\chi_y=0.90$
 $\lambda_z=165.40$ $N_{cr,z}=34809.20$ $\lambda_z^*=2.16$ Curva b: $\Phi_z=3.18$ $\chi_z=0.18$
 K_{yy} , K_{yz} , K_{zy} , $K_{zz}=0.96$, 1.07 , 0.00 , 1.07
Verifica YY: $0.04+0.01=0.06$
Verifica ZZ: $0.21=0.21$

- Verifica freccia massima carichi totali - CC 22
 $f_{z,L}=0.02$ (L/20702)

Asta n. 1024 (-35 -26) Sez. 2 IPE270 Crit. 2

- Verifica a flessione YY [4.2.13] - CC 1 SND $X_l=2.50$ - Classe 3
Sollecitazioni: $M_y=-3375.98$
 $M_y,Ed=-3375.98$ $M_y,c,Rd=14500.40$ $M_y,Ed/M_y,c,Rd=0.23$

- Verifica a taglio dir. Z [4.2.16] - CC 17 SLU $X_l=0.00$ - Classe 1
Sollecitazioni: $T_z=4989.83$
 $V,Ed=4989.83$ $V_c,Rd=43217.20$ $V,Ed/V_c,Rd=0.12$

- Verifica a presso o tenso-flessione retta YY (4.2.4.1.2.7) - CC 17 SLU $X_l=2.50$ - Classe 1
Sollecitazioni: $N=5789.22$ $M_y=-6237.29$
 $M_y,Ed=-6237.29$ $M_y,c,Rd=16436.40$
 $N,Ed=5789.22$ $N_c,Rd=155342.00$ YY $n=N,Ed/N_c,Rd=0.04$ $MNy,c,Rd=16436.40$ $M_y,Ed/MNy,c,Rd=0.38$

- Verifica di stabilità aste inflesse (4.2.4.1.3.2) CC 17 SLU - Classe 1
 $L_{cr}=5.00$ Curva b: $\alpha_{imp}=0.34$ $k_c=0.94$ $\psi=1.75$ $M_{cr}=13579.60$ $\lambda_{LT}=1.13$
 $\lambda_{LT,0}=0.40$ $\beta_{LT}=0.75$ $\Phi_{LT}=1.10$ $\beta_{LT}=0.75$ $f=0.98$ $\chi_{LT}=0.64$
 $M_y,Ed=-6237.29$ $M_y,b,Rd=10471.50$ $M_y,Ed/M_y,b,Rd=0.60$

- Verifica di stabilità aste presso-inflesse (C4.2.4.1.3.3.2) - CC 19 SLU - Classe 1
Sollecitazioni: $N,Ed=-5789.22$ $M_y,Ed=-5983.93$ $L=5.00$
 α_{my} , α_{mz} , $\alpha_{LT}=0.95$, 0.95 , 0.95
 $L_{cr}=5.00$ Curva b: $\alpha_{imp}=0.34$ $k_c=0.94$ $\psi=1.75$ $M_{cr}=13579.60$ $\lambda_{LT}=1.13$
 $\lambda_{LT,0}=0.40$ $\Phi_{LT}=1.10$ $\beta_{LT}=0.75$ $f=0.98$ $\chi_{LT}=0.64$
 $\lambda_y=44.54$ $N_{cr,y}=480014.00$ $\lambda_y^*=0.58$ Curva a: $\Phi_y=0.71$ $\chi_y=0.90$
 $\lambda_z=165.40$ $N_{cr,z}=34809.20$ $\lambda_z^*=2.16$ Curva b: $\Phi_z=3.18$ $\chi_z=0.18$
 K_{yy} , K_{yz} , K_{zy} , $K_{zz}=0.97$, 0.73 , 0.00 , 1.22
Verifica YY: $0.04+0.55=0.59$
Verifica ZZ: $0.21=0.21$

- Verifica freccia massima carichi totali - CC 22
 $f_{z,L}=0.94$ (L/531)

- Verifica freccia massima per soli carichi accidentali - CC 22
 $f_{z,L}=0.43$ (L/1151)

Asta n. 1024 (-44 -35) Sez. 2 IPE270 Crit. 2

- Verifica a flessione YY [4.2.13] - CC 1 SND $X_l=2.50$ - Classe 3
Sollecitazioni: $M_y=-3375.98$
 $M_y,Ed=-3375.98$ $M_y,c,Rd=14500.40$ $M_y,Ed/M_y,c,Rd=0.23$

- Verifica a taglio dir. Z [4.2.16] - CC 17 SLU $X_l=0.00$ - Classe 1
Sollecitazioni: $T_z=4989.83$
 $V,Ed=4989.83$ $V_c,Rd=43217.20$ $V,Ed/V_c,Rd=0.12$

- Verifica a presso o tenso-flessione retta YY (4.2.4.1.2.7) - CC 17 SLU $X_l=2.50$ - Classe 1
Sollecitazioni: $N=5789.22$ $M_y=-6237.29$
 $M_y,Ed=-6237.29$ $M_y,c,Rd=16436.40$
 $N,Ed=5789.22$ $N_c,Rd=155342.00$ YY $n=N,Ed/N_c,Rd=0.04$ $MNy,c,Rd=16436.40$ $M_y,Ed/MNy,c,Rd=0.38$

- Verifica di stabilità aste inflesse (4.2.4.1.3.2) CC 17 SLU - Classe 1
 $L_{cr}=5.00$ Curva b: $\alpha_{imp}=0.34$ $k_c=0.94$ $\psi=1.75$ $M_{cr}=13579.60$ $\lambda_{LT}=1.13$
 $\lambda_{LT,0}=0.40$ $\beta_{LT}=0.75$ $\Phi_{LT}=1.10$ $\beta_{LT}=0.75$ $f=0.98$ $\chi_{LT}=0.64$
 $M_y,Ed=-6237.29$ $M_y,b,Rd=10471.50$ $M_y,Ed/M_y,b,Rd=0.60$

- Verifica di stabilità aste presso-inflesse (C4.2.4.1.3.3.2) - CC 19 SLU - Classe 1
Sollecitazioni: $N,Ed=-5789.22$ $M_y,Ed=-5983.93$ $L=5.00$
 α_{my} , α_{mz} , $\alpha_{LT}=0.95$, 0.95 , 0.95
 $L_{cr}=5.00$ Curva b: $\alpha_{imp}=0.34$ $k_c=0.94$ $\psi=1.75$ $M_{cr}=13579.60$ $\lambda_{LT}=1.13$
 $\lambda_{LT,0}=0.40$ $\Phi_{LT}=1.10$ $\beta_{LT}=0.75$ $f=0.98$ $\chi_{LT}=0.64$
 $\lambda_y=44.54$ $N_{cr,y}=480014.00$ $\lambda_y^*=0.58$ Curva a: $\Phi_y=0.71$ $\chi_y=0.90$
 $\lambda_z=165.40$ $N_{cr,z}=34809.20$ $\lambda_z^*=2.16$ Curva b: $\Phi_z=3.18$ $\chi_z=0.18$
 K_{yy} , K_{yz} , K_{zy} , $K_{zz}=0.97$, 0.73 , 0.00 , 1.22
Verifica YY: $0.04+0.55=0.59$
Verifica ZZ: $0.21=0.21$

Relazione di calcolo

- Verifica freccia massima carichi totali - CC 22
 $f_{z,L}=0.94$ (L/531)

- Verifica freccia massima per soli carichi accidentali - CC 22
 $f_{z,L}=0.43$ (L/1151)

Asta n. 1024 (-53 -44) Sez. 2 IPE270 Crit. 2

- Verifica a flessione YY [4.2.13] - CC 1 SND $X_l=2.50$ - Classe 3
Sollecitazioni: $M_y=-3375.98$
 $M_y,Ed=-3375.98$ $M_y,c,Rd=14500.40$ $M_y,Ed/M_y,c,Rd=0.23$

- Verifica a taglio dir. Z [4.2.16] - CC 17 SLU $X_l=0.00$ - Classe 1
Sollecitazioni: $T_z=4989.83$
 $V,Ed=4989.83$ $V_c,Rd=43217.20$ $V,Ed/V_c,Rd=0.12$

- Verifica a presso o tenso-flessione retta YY (4.2.4.1.2.7) - CC 17 SLU $X_l=2.50$ - Classe 1
Sollecitazioni: $N=5789.22$ $M_y=-6237.29$
 $M_y,Ed=-6237.29$ $M_y,c,Rd=16436.40$
 $N,Ed=5789.22$ $N_c,Rd=155342.00$ $YY\ n=N,Ed/N_c,Rd=0.04$ $MN_y,c,Rd=16436.40$ $M_y,Ed/MN_y,c,Rd=0.38$

- Verifica di stabilità aste inflesse (4.2.4.1.3.2) CC 17 SLU - Classe 1
 $L_{cr}=5.00$ Curva b: $\alpha_{imp}=0.34$ $k_c=0.94$ $\psi=1.75$ $M_{cr}=13579.60$ $\lambda_{LT}=1.13$
 $\lambda_{LT,0}=0.40$ $\beta_{LT}=0.75$ $\Phi_{LT}=1.10$ $\beta_{LT}=0.75$ $f=0.98$ $\chi_{LT}=0.64$
 $M_y,Ed=-6237.29$ $M_y,b,Rd=10471.50$ $M_y,Ed/M_y,b,Rd=0.60$

- Verifica di stabilità aste presso-inflesse (4.2.4.1.3.3.2) - CC 19 SLU - Classe 1
Sollecitazioni: $N,Ed=-5789.22$ $M_y,Ed=-5983.93$ $L=5.00$
 $\alpha_{my}, \alpha_{mz}, \alpha_{LT}=0.95, 0.95, 0.95$
 $L_{cr}=5.00$ Curva b: $\alpha_{imp}=0.34$ $k_c=0.94$ $\psi=1.75$ $M_{cr}=13579.60$ $\lambda_{LT}=1.13$
 $\lambda_{LT,0}=0.40$ $\Phi_{LT}=1.10$ $\beta_{LT}=0.75$ $f=0.98$ $\chi_{LT}=0.64$
 $\lambda_y=44.54$ $N_{cr,y}=480014.00$ $\lambda_y^*=0.58$ Curva a: $\Phi_y=0.71$ $\chi_y=0.90$
 $\lambda_z=165.40$ $N_{cr,z}=34809.20$ $\lambda_z^*=2.16$ Curva b: $\Phi_z=3.18$ $\chi_z=0.18$
 $K_{yy}, K_{yz}, K_{zy}, K_{zz}=0.97, 0.73, 0.00, 1.22$
Verifica YY: $0.04+0.55=0.59$
Verifica ZZ: $0.21=0.21$

- Verifica freccia massima carichi totali - CC 22
 $f_{z,L}=0.94$ (L/531)

- Verifica freccia massima per soli carichi accidentali - CC 22
 $f_{z,G}=0.43$ (L/1151)

Asta n. 1024 (-62 -53) Sez. 2 IPE270 Crit. 2

- Verifica a flessione YY [4.2.13] - CC 1 SND $X_l=2.50$ - Classe 3
Sollecitazioni: $M_y=-112.71$
 $M_y,Ed=-112.71$ $M_y,c,Rd=14500.40$ $M_y,Ed/M_y,c,Rd=0.01$

- Verifica a taglio dir. Z [4.2.16] - CC 17 SLU $X_l=0.00$ - Classe 1
Sollecitazioni: $T_z=117.22$
 $V,Ed=117.22$ $V_c,Rd=43217.20$ $V,Ed/V_c,Rd=0.00$

- Verifica a trazione (4.2.4.1.2.1) - CC 18 SLU $X_l=0.00$ - Classe 1
Sollecitazioni: $N=14473.10$ $T_z=117.22$
Verifica a trazione [4.2.5]
 $N,Ed=14473.10$ $N_{pl,Rd}=155342.00$ $N_u,Rd=168714.00$ $N,Ed/N_t,Rd=0.09$

- Verifica di stabilità aste inflesse (4.2.4.1.3.2) CC 17 SLU - Classe 1
 $L_{cr}=5.00$ Curva b: $\alpha_{imp}=0.34$ $k_c=0.94$ $\psi=1.75$ $M_{cr}=13579.60$ $\lambda_{LT}=1.13$
 $\lambda_{LT,0}=0.40$ $\beta_{LT}=0.75$ $\Phi_{LT}=1.10$ $\beta_{LT}=0.75$ $f=0.98$ $\chi_{LT}=0.64$
 $M_y,Ed=-146.53$ $M_y,b,Rd=10471.50$ $M_y,Ed/M_y,b,Rd=0.01$

- Verifica di stabilità aste presso-inflesse (4.2.4.1.3.3.2) - CC 19 SLU - Classe 3
Sollecitazioni: $N,Ed=-5789.22$ $M_y,Ed=-146.53$ $L=5.00$
 $\alpha_{my}, \alpha_{mz}, \alpha_{LT}=0.95, 0.95, 0.95$
 $L_{cr}=5.00$ Curva b: $\alpha_{imp}=0.34$ $k_c=0.94$ $\psi=1.75$ $M_{cr}=13579.60$ $\lambda_{LT}=1.13$
 $\lambda_{LT,0}=0.40$ $\Phi_{LT}=1.10$ $\beta_{LT}=0.75$ $f=0.98$ $\chi_{LT}=0.64$
 $\lambda_y=44.54$ $N_{cr,y}=480014.00$ $\lambda_y^*=0.58$ Curva a: $\Phi_y=0.71$ $\chi_y=0.90$
 $\lambda_z=165.40$ $N_{cr,z}=34809.20$ $\lambda_z^*=2.16$ Curva b: $\Phi_z=3.18$ $\chi_z=0.18$
 $K_{yy}, K_{yz}, K_{zy}, K_{zz}=0.96, 1.07, 0.00, 1.07$
Verifica YY: $0.04+0.01=0.06$
Verifica ZZ: $0.21=0.21$

- Verifica freccia massima carichi totali - CC 22
 $f_{z,L}=0.02$ (L/20681)

Asta n. 1024 (-71 -62) Sez. 2 IPE270 Crit. 2

Relazione di calcolo

- Verifica a flessione YY [4.2.13] - CC 1 SND $X_l=2.50$ - Classe 3
Sollecitazioni: $M_y=-3375.98$
 $M_y,Ed=-3375.98$ $M_y,c,Rd=14500.40$ $M_y,Ed/M_y,c,Rd=0.23$
- Verifica a taglio dir. Z [4.2.16] - CC 17 SLU $X_l=0.00$ - Classe 1
Sollecitazioni: $T_z=4989.83$
 $V,Ed=4989.83$ $V_c,Rd=43217.20$ $V,Ed/V_c,Rd=0.12$
- Verifica a presso o tenso-flessione retta YY (4.2.4.1.2.7) - CC 17 SLU $X_l=2.50$ - Classe 1
Sollecitazioni: $N=5789.22$ $M_y=-6237.29$
 $M_y,Ed=-6237.29$ $M_y,c,Rd=16436.40$
 $N,Ed=5789.22$ $N_c,Rd=155342.00$ YY $n=N,Ed/N_c,Rd=0.04$ $MN_y,c,Rd=16436.40$ $M_y,Ed/MN_y,c,Rd=0.38$
- Verifica di stabilità aste inflesse (4.2.4.1.3.2) CC 17 SLU - Classe 1
 $L_{cr}=5.00$ Curva b: $\alpha_{imp}=0.34$ $k_c=0.94$ $\psi=1.75$ $M_{cr}=13579.60$ $\lambda_{LT}=1.13$
 $\lambda_{LT,0}=0.40$ $\beta_{LT}=0.75$ $\Phi_{LT}=1.10$ $\beta_{LT}=0.75$ $f=0.98$ $\chi_{LT}=0.64$
 $M_y,Ed=-6237.29$ $M_y,b,Rd=10471.50$ $M_y,Ed/M_y,b,Rd=0.60$
- Verifica di stabilità aste presso-inflesse (C4.2.4.1.3.3.2) - CC 19 SLU - Classe 1
Sollecitazioni: $N,Ed=-5789.22$ $M_y,Ed=-5983.93$ $L=5.00$
 $\alpha_{my}, \alpha_{mz}, \alpha_{LT}=0.95, 0.95, 0.95$
 $L_{cr}=5.00$ Curva b: $\alpha_{imp}=0.34$ $k_c=0.94$ $\psi=1.75$ $M_{cr}=13579.60$ $\lambda_{LT}=1.13$
 $\lambda_{LT,0}=0.40$ $\Phi_{LT}=1.10$ $\beta_{LT}=0.75$ $f=0.98$ $\chi_{LT}=0.64$
 $\lambda_y=44.54$ $N_{cr,y}=480014.00$ $\lambda_y^*=0.58$ Curva a: $\Phi_y=0.71$ $\chi_y=0.90$
 $\lambda_z=165.40$ $N_{cr,z}=34809.20$ $\lambda_z^*=2.16$ Curva b: $\Phi_z=3.18$ $\chi_z=0.18$
 $K_{yy}, K_{yz}, K_{zy}, K_{zz}=0.97, 0.73, 0.00, 1.22$
Verifica YY: $0.04+0.55=0.59$
Verifica ZZ: $0.21=0.21$
- Verifica freccia massima carichi totali - CC 22
 $f_{z,L}=0.94$ (L/531)
- Verifica freccia massima per soli carichi accidentali - CC 22
 $f_{z,L}=0.43$ (L/1151)

Asta n. 1024 (-80 -71) Sez. 2 IPE270 Crit. 2

- Verifica a flessione YY [4.2.13] - CC 1 SND $X_l=2.50$ - Classe 3
Sollecitazioni: $M_y=-3375.98$
 $M_y,Ed=-3375.98$ $M_y,c,Rd=14500.40$ $M_y,Ed/M_y,c,Rd=0.23$
- Verifica a taglio dir. Z [4.2.16] - CC 17 SLU $X_l=0.00$ - Classe 1
Sollecitazioni: $T_z=4989.83$
 $V,Ed=4989.83$ $V_c,Rd=43217.20$ $V,Ed/V_c,Rd=0.12$
- Verifica a presso o tenso-flessione retta YY (4.2.4.1.2.7) - CC 17 SLU $X_l=2.50$ - Classe 1
Sollecitazioni: $N=5789.22$ $M_y=-6237.29$
 $M_y,Ed=-6237.29$ $M_y,c,Rd=16436.40$
 $N,Ed=5789.22$ $N_c,Rd=155342.00$ YY $n=N,Ed/N_c,Rd=0.04$ $MN_y,c,Rd=16436.40$ $M_y,Ed/MN_y,c,Rd=0.38$
- Verifica di stabilità aste inflesse (4.2.4.1.3.2) CC 17 SLU - Classe 1
 $L_{cr}=5.00$ Curva b: $\alpha_{imp}=0.34$ $k_c=0.94$ $\psi=1.75$ $M_{cr}=13579.60$ $\lambda_{LT}=1.13$
 $\lambda_{LT,0}=0.40$ $\beta_{LT}=0.75$ $\Phi_{LT}=1.10$ $\beta_{LT}=0.75$ $f=0.98$ $\chi_{LT}=0.64$
 $M_y,Ed=-6237.29$ $M_y,b,Rd=10471.50$ $M_y,Ed/M_y,b,Rd=0.60$
- Verifica di stabilità aste presso-inflesse (C4.2.4.1.3.3.2) - CC 19 SLU - Classe 1
Sollecitazioni: $N,Ed=-5789.22$ $M_y,Ed=-5983.93$ $L=5.00$
 $\alpha_{my}, \alpha_{mz}, \alpha_{LT}=0.95, 0.95, 0.95$
 $L_{cr}=5.00$ Curva b: $\alpha_{imp}=0.34$ $k_c=0.94$ $\psi=1.75$ $M_{cr}=13579.60$ $\lambda_{LT}=1.13$
 $\lambda_{LT,0}=0.40$ $\Phi_{LT}=1.10$ $\beta_{LT}=0.75$ $f=0.98$ $\chi_{LT}=0.64$
 $\lambda_y=44.54$ $N_{cr,y}=480014.00$ $\lambda_y^*=0.58$ Curva a: $\Phi_y=0.71$ $\chi_y=0.90$
 $\lambda_z=165.40$ $N_{cr,z}=34809.20$ $\lambda_z^*=2.16$ Curva b: $\Phi_z=3.18$ $\chi_z=0.18$
 $K_{yy}, K_{yz}, K_{zy}, K_{zz}=0.97, 0.73, 0.00, 1.22$
Verifica YY: $0.04+0.55=0.59$
Verifica ZZ: $0.21=0.21$
- Verifica freccia massima carichi totali - CC 22
 $f_{z,L}=0.94$ (L/531)
- Verifica freccia massima per soli carichi accidentali - CC 22
 $f_{z,L}=0.43$ (L/1151)

Asta n. 1024 (-89 -80) Sez. 2 IPE270 Crit. 2

- Verifica a flessione YY [4.2.13] - CC 1 SND $X_l=2.50$ - Classe 3
Sollecitazioni: $M_y=-3375.98$
 $M_y,Ed=-3375.98$ $M_y,c,Rd=14500.40$ $M_y,Ed/M_y,c,Rd=0.23$
- Verifica a taglio dir. Z [4.2.16] - CC 17 SLU $X_l=0.00$ - Classe 1

Relazione di calcolo

- Sollecitazioni: $T_z=4989.83$
 $V, Ed=4989.83$ $V_c, Rd=43217.20$ $V, Ed/V_c, Rd=0.12$
- Verifica a presso o tenso-flessione retta YY (4.2.4.1.2.7) - CC 17 SLU $X_l=2.50$ - Classe 1
Sollecitazioni: $N=5789.22$ $M_y=-6237.29$
 $M_y, Ed=-6237.29$ $M_y, c, Rd=16436.40$
 $N, Ed=5789.22$ $N_c, Rd=155342.00$ YY $n=N, Ed/N_c, Rd=0.04$ $MNy, c, Rd=16436.40$ $M_y, Ed/MNy, c, Rd=0.38$
- Verifica di stabilità aste inflesse (4.2.4.1.3.2) CC 17 SLU - Classe 1
 $L_{cr}=5.00$ Curva b: $\alpha_{imp}=0.34$ $k_c=0.94$ $\psi=1.75$ $M_{cr}=13579.60$ $\lambda_{LT}=1.13$
 $\lambda_{LT,0}=0.40$ $\beta_{LT}=0.75$ $\Phi_{LT}=1.10$ $\beta_{LT}=0.75$ $f=0.98$ $\chi_{LT}=0.64$
 $M_y, Ed=-6237.29$ $M_y, b, Rd=10471.50$ $M_y, Ed/M_y, b, Rd=0.60$
- Verifica di stabilità aste presso-inflesse (4.2.4.1.3.3.2) - CC 19 SLU - Classe 1
Sollecitazioni: $N, Ed=-5789.22$ $M_y, Ed=-5983.93$ $L=5.00$
 $\alpha_m, \alpha_mz, \alpha_{LT}=0.95, 0.95, 0.95$
 $L_{cr}=5.00$ Curva b: $\alpha_{imp}=0.34$ $k_c=0.94$ $\psi=1.75$ $M_{cr}=13579.60$ $\lambda_{LT}=1.13$
 $\lambda_{LT,0}=0.40$ $\Phi_{LT}=1.10$ $\beta_{LT}=0.75$ $f=0.98$ $\chi_{LT}=0.64$
 $\lambda_y=44.54$ $N_{cr,y}=480014.00$ $\lambda_y^*=0.58$ Curva a: $\Phi_y=0.71$ $\chi_y=0.90$
 $\lambda_z=165.40$ $N_{cr,z}=34809.20$ $\lambda_z^*=2.16$ Curva b: $\Phi_z=3.18$ $\chi_z=0.18$
 $K_{yy}, K_{yz}, K_{zy}, K_{zz}=0.97, 0.73, 0.00, 1.22$
Verifica YY: $0.04+0.55=0.59$
Verifica ZZ: $0.21=0.21$
- Verifica freccia massima carichi totali - CC 22
 $f_{z,g}=0.94$ (L/531)
- Verifica freccia massima per soli carichi accidentali - CC 22
 $f_{z,g}=0.43$ (L/1151)
- Asta n. 1024 (-98 -89) Sez. 2 IPE270 Crit. 2

- Verifica a flessione YY [4.2.13] - CC 1 SND $X_l=2.50$ - Classe 3
Sollecitazioni: $M_y=-112.71$
 $M_y, Ed=-112.71$ $M_y, c, Rd=14500.40$ $M_y, Ed/M_y, c, Rd=0.01$
- Verifica a taglio dir. Z [4.2.16] - CC 17 SLU $X_l=0.00$ - Classe 1
Sollecitazioni: $T_z=117.22$
 $V, Ed=117.22$ $V_c, Rd=43217.20$ $V, Ed/V_c, Rd=0.00$
- Verifica a trazione (4.2.4.1.2.1) - CC 18 SLU $X_l=0.00$ - Classe 1
Sollecitazioni: $N=14473.10$ $T_z=117.22$
Verifica a trazione [4.2.5]
 $N, Ed=14473.10$ $N_{pl}, Rd=155342.00$ $N_u, Rd=168714.00$ $N, Ed/N_t, Rd=0.09$
- Verifica di stabilità aste inflesse (4.2.4.1.3.2) CC 17 SLU - Classe 1
 $L_{cr}=5.00$ Curva b: $\alpha_{imp}=0.34$ $k_c=0.94$ $\psi=1.75$ $M_{cr}=13579.60$ $\lambda_{LT}=1.13$
 $\lambda_{LT,0}=0.40$ $\beta_{LT}=0.75$ $\Phi_{LT}=1.10$ $\beta_{LT}=0.75$ $f=0.98$ $\chi_{LT}=0.64$
 $M_y, Ed=-146.53$ $M_y, b, Rd=10471.50$ $M_y, Ed/M_y, b, Rd=0.01$
- Verifica di stabilità aste presso-inflesse (4.2.4.1.3.3.2) - CC 19 SLU - Classe 3
Sollecitazioni: $N, Ed=-5789.22$ $M_y, Ed=-146.53$ $L=5.00$
 $\alpha_m, \alpha_mz, \alpha_{LT}=0.95, 0.95, 0.95$
 $L_{cr}=5.00$ Curva b: $\alpha_{imp}=0.34$ $k_c=0.94$ $\psi=1.75$ $M_{cr}=13579.60$ $\lambda_{LT}=1.13$
 $\lambda_{LT,0}=0.40$ $\Phi_{LT}=1.10$ $\beta_{LT}=0.75$ $f=0.98$ $\chi_{LT}=0.64$
 $\lambda_y=44.54$ $N_{cr,y}=480014.00$ $\lambda_y^*=0.58$ Curva a: $\Phi_y=0.71$ $\chi_y=0.90$
 $\lambda_z=165.40$ $N_{cr,z}=34809.20$ $\lambda_z^*=2.16$ Curva b: $\Phi_z=3.18$ $\chi_z=0.18$
 $K_{yy}, K_{yz}, K_{zy}, K_{zz}=0.96, 1.07, 0.00, 1.07$
Verifica YY: $0.04+0.01=0.06$
Verifica ZZ: $0.21=0.21$
- Verifica freccia massima carichi totali - CC 22
 $f_{z,L}=0.02$ (L/20681)
- Asta n. 1024 (-106 -98) Sez. 2 IPE270 Crit. 2

- Verifica a flessione YY [4.2.13] - CC 1 SND $X_l=2.50$ - Classe 3
Sollecitazioni: $M_y=-3375.98$
 $M_y, Ed=-3375.98$ $M_y, c, Rd=14500.40$ $M_y, Ed/M_y, c, Rd=0.23$
- Verifica a taglio dir. Z [4.2.16] - CC 17 SLU $X_l=0.00$ - Classe 1
Sollecitazioni: $T_z=4989.83$
 $V, Ed=4989.83$ $V_c, Rd=43217.20$ $V, Ed/V_c, Rd=0.12$
- Verifica a presso o tenso-flessione retta YY (4.2.4.1.2.7) - CC 17 SLU $X_l=2.50$ - Classe 1
Sollecitazioni: $N=5789.22$ $M_y=-6237.29$
 $M_y, Ed=-6237.29$ $M_y, c, Rd=16436.40$
 $N, Ed=5789.22$ $N_c, Rd=155342.00$ YY $n=N, Ed/N_c, Rd=0.04$ $MNy, c, Rd=16436.40$ $M_y, Ed/MNy, c, Rd=0.38$

Relazione di calcolo

- Verifica di stabilità aste inflesse (4.2.4.1.3.2) CC 17 SLU - Classe 1
L_{cr}=5.00 Curva b: $\alpha_{imp}=0.34$ $k_c=0.94$ $\psi=1.75$ M_{cr}=13579.60 $\lambda_{LT}=1.13$
 $\lambda_{LT,0}=0.40$ $\beta_{LT}=0.75$ $\Phi_{LT}=1.10$ $\beta_{LT}=0.75$ $f=0.98$ $\chi_{LT}=0.64$
M_{y,Ed}=-6237.29 M_{y,b,Rd}=10471.50 M_{y,Ed/M,y,b,Rd}=0.60
- Verifica di stabilità aste presso-inflesse (C4.2.4.1.3.3.2) - CC 19 SLU - Classe 1
Sollecitazioni: N_{Ed}=-5789.22 M_{y,Ed}=-5983.93 L=5.00
 $\alpha_{my}, \alpha_{mz}, \alpha_{LT}=0.95, 0.95, 0.95$
L_{cr}=5.00 Curva b: $\alpha_{imp}=0.34$ $k_c=0.94$ $\psi=1.75$ M_{cr}=13579.60 $\lambda_{LT}=1.13$
 $\lambda_{LT,0}=0.40$ $\Phi_{LT}=1.10$ $\beta_{LT}=0.75$ $f=0.98$ $\chi_{LT}=0.64$
 $\lambda_y=44.54$ N_{cr,y}=480014.00 $\lambda_y^*=0.58$ Curva a: $\Phi_y=0.71$ $\chi_y=0.90$
 $\lambda_z=165.40$ N_{cr,z}=34809.20 $\lambda_z^*=2.16$ Curva b: $\Phi_z=3.18$ $\chi_z=0.18$
K_{yy}, K_{yz}, K_{zy}, K_{zz}=0.97, 0.73, 0.00, 1.22
Verifica YY: 0.04+0.55=0.59
Verifica ZZ: 0.21=0.21
- Verifica freccia massima carichi totali - CC 22
f_{z,L}=0.94 (L/531)
- Verifica freccia massima per soli carichi accidentali - CC 22
f_{z,L}=0.43 (L/1151)
- Asta n. 1025 (10 1020) Sez. 5 UPN100 Crit. 3

- Verifica a trazione (4.2.4.1.2.1) - CC 5 SLV Xl=0.00 - Classe 1
Sollecitazioni: N=3003.38
Verifica a trazione [4.2.5]
N_{Ed}=3003.38 N_{pl,Rd}=35889.70 N_{u,Rd}=42425.50 N_{Ed/Nt,Rd}=0.08
- Verifica freccia massima carichi totali - CC 22
f_{z,g}=0.02 (L/37260)
- Verifica freccia massima per soli carichi accidentali - CC 22
f_{z,g}=0.01 (L/78075)
- Asta n. 1026 (-18 -9) Sez. 2 IPE270 Crit. 2

- Verifica a flessione YY [4.2.13] - CC 1 SND Xl=2.50 - Classe 3
Sollecitazioni: M_y=-3375.98
M_{y,Ed}=-3375.98 M_{y,c,Rd}=14500.40 M_{y,Ed/M,y,c,Rd}=0.23
- Verifica a taglio dir. Z [4.2.16] - CC 17 SLU Xl=0.00 - Classe 1
Sollecitazioni: T_z=4989.83
V_{Ed}=4989.83 V_{c,Rd}=43217.20 V_{Ed/Vc,Rd}=0.12
- Verifica a presso o tenso-flessione retta YY (4.2.4.1.2.7) - CC 17 SLU Xl=2.50 - Classe 1
Sollecitazioni: N=5789.22 M_y=-6237.29
M_{y,Ed}=-6237.29 M_{y,c,Rd}=16436.40
N_{Ed}=5789.22 N_{c,Rd}=155342.00 YY n=N_{Ed/Nc,Rd}=0.04 MN_{y,c,Rd}=16436.40 M_{y,Ed/MNy,c,Rd}=0.38
- Verifica di stabilità aste inflesse (4.2.4.1.3.2) CC 17 SLU - Classe 1
L_{cr}=5.00 Curva b: $\alpha_{imp}=0.34$ $k_c=0.94$ $\psi=1.75$ M_{cr}=13579.60 $\lambda_{LT}=1.13$
 $\lambda_{LT,0}=0.40$ $\beta_{LT}=0.75$ $\Phi_{LT}=1.10$ $\beta_{LT}=0.75$ $f=0.98$ $\chi_{LT}=0.64$
M_{y,Ed}=-6237.29 M_{y,b,Rd}=10471.50 M_{y,Ed/M,y,b,Rd}=0.60
- Verifica di stabilità aste presso-inflesse (C4.2.4.1.3.3.2) - CC 19 SLU - Classe 1
Sollecitazioni: N_{Ed}=-5789.22 M_{y,Ed}=-5983.93 L=5.00
 $\alpha_{my}, \alpha_{mz}, \alpha_{LT}=0.95, 0.95, 0.95$
L_{cr}=5.00 Curva b: $\alpha_{imp}=0.34$ $k_c=0.94$ $\psi=1.75$ M_{cr}=13579.60 $\lambda_{LT}=1.13$
 $\lambda_{LT,0}=0.40$ $\Phi_{LT}=1.10$ $\beta_{LT}=0.75$ $f=0.98$ $\chi_{LT}=0.64$
 $\lambda_y=44.54$ N_{cr,y}=480014.00 $\lambda_y^*=0.58$ Curva a: $\Phi_y=0.71$ $\chi_y=0.90$
 $\lambda_z=165.40$ N_{cr,z}=34809.20 $\lambda_z^*=2.16$ Curva b: $\Phi_z=3.18$ $\chi_z=0.18$
K_{yy}, K_{yz}, K_{zy}, K_{zz}=0.97, 0.73, 0.00, 1.22
Verifica YY: 0.04+0.55=0.59
Verifica ZZ: 0.21=0.21
- Verifica freccia massima carichi totali - CC 22
f_{z,L}=0.94 (L/531)
- Verifica freccia massima per soli carichi accidentali - CC 22
f_{z,L}=0.43 (L/1151)
- Asta n. 1026 (-27 -18) Sez. 2 IPE270 Crit. 2

- Verifica a flessione YY [4.2.13] - CC 1 SND Xl=2.50 - Classe 3
Sollecitazioni: M_y=-3375.98
M_{y,Ed}=-3375.98 M_{y,c,Rd}=14500.40 M_{y,Ed/M,y,c,Rd}=0.23
- Verifica a taglio dir. Z [4.2.16] - CC 17 SLU Xl=0.00 - Classe 1

Relazione di calcolo

- Sollecitazioni: $T_z=4989.83$
 $V, Ed=4989.83$ $V_c, Rd=43217.20$ $V, Ed/V_c, Rd=0.12$
- Verifica a presso o tenso-flessione retta YY (4.2.4.1.2.7) - CC 17 SLU $X_l=2.50$ - Classe 1
Sollecitazioni: $N=5789.22$ $M_y=-6237.29$
 $M_y, Ed=-6237.29$ $M_y, c, Rd=16436.40$
 $N, Ed=5789.22$ $N_c, Rd=155342.00$ YY $n=N, Ed/N_c, Rd=0.04$ $MN_y, c, Rd=16436.40$ $M_y, Ed/MN_y, c, Rd=0.38$
- Verifica di stabilità aste inflesse (4.2.4.1.3.2) CC 17 SLU - Classe 1
 $L_{cr}=5.00$ Curva b: $\alpha_{imp}=0.34$ $k_c=0.94$ $\psi=1.75$ $M, cr=13579.60$ $\lambda_{LT}=1.13$
 $\lambda_{LT,0}=0.40$ $\beta_{LT}=0.75$ $\Phi_{LT}=1.10$ $\beta_{LT}=0.75$ $f=0.98$ $\chi_{LT}=0.64$
 $M_y, Ed=-6237.29$ $M_y, b, Rd=10471.50$ $M_y, Ed/M_y, b, Rd=0.60$
- Verifica di stabilità aste presso-inflesse (C4.2.4.1.3.3.2) - CC 19 SLU - Classe 1
Sollecitazioni: $N, Ed=-5789.22$ $M_y, Ed=-5983.93$ $L=5.00$
 $\alpha_m, \alpha_mz, \alpha_{LT}=0.95, 0.95, 0.95$
 $L_{cr}=5.00$ Curva b: $\alpha_{imp}=0.34$ $k_c=0.94$ $\psi=1.75$ $M, cr=13579.60$ $\lambda_{LT}=1.13$
 $\lambda_{LT,0}=0.40$ $\Phi_{LT}=1.10$ $\beta_{LT}=0.75$ $f=0.98$ $\chi_{LT}=0.64$
 $\lambda_y=44.54$ $N_{cr,y}=480014.00$ $\lambda_y^*=0.58$ Curva a: $\Phi_y=0.71$ $\chi_y=0.90$
 $\lambda_z=165.40$ $N_{cr,z}=34809.20$ $\lambda_z^*=2.16$ Curva b: $\Phi_z=3.18$ $\chi_z=0.18$
 $K_{yy}, K_{yz}, K_{zy}, K_{zz}=0.97, 0.73, 0.00, 1.22$
Verifica YY: $0.04+0.55=0.59$
Verifica ZZ: $0.21=0.21$
- Verifica freccia massima carichi totali - CC 22
 $f_{z,L}=0.94$ (L/531)
- Verifica freccia massima per soli carichi accidentali - CC 22
 $f_{z,L}=0.43$ (L/1151)
- Asta n. 1026 (-36 -27) Sez. 2 IPE270 Crit. 2

- Verifica a flessione YY [4.2.13] - CC 1 SND $X_l=2.50$ - Classe 3
Sollecitazioni: $M_y=-3375.98$
 $M_y, Ed=-3375.98$ $M_y, c, Rd=14500.40$ $M_y, Ed/M_y, c, Rd=0.23$
- Verifica a taglio dir. Z [4.2.16] - CC 17 SLU $X_l=0.00$ - Classe 1
Sollecitazioni: $T_z=4989.83$
 $V, Ed=4989.83$ $V_c, Rd=43217.20$ $V, Ed/V_c, Rd=0.12$
- Verifica a presso o tenso-flessione retta YY (4.2.4.1.2.7) - CC 17 SLU $X_l=2.50$ - Classe 1
Sollecitazioni: $N=5789.22$ $M_y=-6237.29$
 $M_y, Ed=-6237.29$ $M_y, c, Rd=16436.40$
 $N, Ed=5789.22$ $N_c, Rd=155342.00$ YY $n=N, Ed/N_c, Rd=0.04$ $MN_y, c, Rd=16436.40$ $M_y, Ed/MN_y, c, Rd=0.38$
- Verifica di stabilità aste inflesse (4.2.4.1.3.2) CC 17 SLU - Classe 1
 $L_{cr}=5.00$ Curva b: $\alpha_{imp}=0.34$ $k_c=0.94$ $\psi=1.75$ $M, cr=13579.60$ $\lambda_{LT}=1.13$
 $\lambda_{LT,0}=0.40$ $\beta_{LT}=0.75$ $\Phi_{LT}=1.10$ $\beta_{LT}=0.75$ $f=0.98$ $\chi_{LT}=0.64$
 $M_y, Ed=-6237.29$ $M_y, b, Rd=10471.50$ $M_y, Ed/M_y, b, Rd=0.60$
- Verifica di stabilità aste presso-inflesse (C4.2.4.1.3.3.2) - CC 19 SLU - Classe 1
Sollecitazioni: $N, Ed=-5789.22$ $M_y, Ed=-5983.93$ $L=5.00$
 $\alpha_m, \alpha_mz, \alpha_{LT}=0.95, 0.95, 0.95$
 $L_{cr}=5.00$ Curva b: $\alpha_{imp}=0.34$ $k_c=0.94$ $\psi=1.75$ $M, cr=13579.60$ $\lambda_{LT}=1.13$
 $\lambda_{LT,0}=0.40$ $\Phi_{LT}=1.10$ $\beta_{LT}=0.75$ $f=0.98$ $\chi_{LT}=0.64$
 $\lambda_y=44.54$ $N_{cr,y}=480014.00$ $\lambda_y^*=0.58$ Curva a: $\Phi_y=0.71$ $\chi_y=0.90$
 $\lambda_z=165.40$ $N_{cr,z}=34809.20$ $\lambda_z^*=2.16$ Curva b: $\Phi_z=3.18$ $\chi_z=0.18$
 $K_{yy}, K_{yz}, K_{zy}, K_{zz}=0.97, 0.73, 0.00, 1.22$
Verifica YY: $0.04+0.55=0.59$
Verifica ZZ: $0.21=0.21$
- Verifica freccia massima carichi totali - CC 22
 $f_{z,L}=0.94$ (L/531)
- Verifica freccia massima per soli carichi accidentali - CC 22
 $f_{z,L}=0.43$ (L/1151)
- Asta n. 1026 (-45 -36) Sez. 2 IPE270 Crit. 2

- Verifica a flessione YY [4.2.13] - CC 1 SND $X_l=2.50$ - Classe 3
Sollecitazioni: $M_y=-3375.98$
 $M_y, Ed=-3375.98$ $M_y, c, Rd=14500.40$ $M_y, Ed/M_y, c, Rd=0.23$
- Verifica a taglio dir. Z [4.2.16] - CC 17 SLU $X_l=0.00$ - Classe 1
Sollecitazioni: $T_z=4989.83$
 $V, Ed=4989.83$ $V_c, Rd=43217.20$ $V, Ed/V_c, Rd=0.12$
- Verifica a presso o tenso-flessione retta YY (4.2.4.1.2.7) - CC 17 SLU $X_l=2.50$ - Classe 1
Sollecitazioni: $N=5789.22$ $M_y=-6237.29$

Relazione di calcolo

My,Ed=-6237.29 My,c,Rd=16436.40
N,Ed=5789.22 Nc,Rd=155342.00 YY n=N,Ed/Nc,Rd=0.04 MMy,c,Rd=16436.40 My,Ed/MMy,c,Rd=0.38

- Verifica di stabilità aste inflesse (4.2.4.1.3.2) CC 17 SLU - Classe 1
L_{cr}=5.00 Curva b: $\alpha_{imp}=0.34$ $k_c=0.94$ $\psi=1.75$ M_{cr}=13579.60 $\lambda_{LT}=1.13$
 $\lambda_{LT,0}=0.40$ $\beta_{LT}=0.75$ $\Phi_{LT}=1.10$ $\beta_{LT}=0.75$ $f=0.98$ $\chi_{LT}=0.64$
My,Ed=-6237.29 My,b,Rd=10471.50 My,Ed/My,b,Rd=0.60

- Verifica di stabilità aste presso-inflesse (C4.2.4.1.3.3.2) - CC 19 SLU - Classe 1
Sollecitazioni: N,Ed=-5789.22 My,Ed=-5983.93 L=5.00
 α_{my} , α_{mz} , $\alpha_{LT}=0.95$, 0.95, 0.95
L_{cr}=5.00 Curva b: $\alpha_{imp}=0.34$ $k_c=0.94$ $\psi=1.75$ M_{cr}=13579.60 $\lambda_{LT}=1.13$
 $\lambda_{LT,0}=0.40$ $\Phi_{LT}=1.10$ $\beta_{LT}=0.75$ $f=0.98$ $\chi_{LT}=0.64$
 $\lambda_y=44.54$ N_{cr,y}=480014.00 $\lambda^*_y=0.58$ Curva a: $\Phi_y=0.71$ $\chi_y=0.90$
 $\lambda_z=165.40$ N_{cr,z}=34809.20 $\lambda^*_z=2.16$ Curva b: $\Phi_z=3.18$ $\chi_z=0.18$
K_{yy}, K_{yz}, K_{zy}, K_{zz}=0.97, 0.73, 0.00, 1.22
Verifica YY: 0.04+0.55=0.59
Verifica ZZ: 0.21=0.21

- Verifica freccia massima carichi totali - CC 22
 $f_{z,L}=0.94$ (L/531)

- Verifica freccia massima per soli carichi accidentali - CC 22
 $f_{z,g}=0.43$ (L/1151)

Asta n. 1026 (-54 -45) Sez. 2 IPE270 Crit. 2

- Verifica a flessione YY [4.2.13] - CC 1 SND Xl=2.50 - Classe 3
Sollecitazioni: M_y=-3375.98
My,Ed=-3375.98 My,c,Rd=14500.40 My,Ed/My,c,Rd=0.23

- Verifica a taglio dir. Z [4.2.16] - CC 17 SLU Xl=0.00 - Classe 1
Sollecitazioni: T_z=4989.83
V,Ed=4989.83 Vc,Rd=43217.20 V,Ed/Vc,Rd=0.12

- Verifica a presso o tenso-flessione retta YY (4.2.4.1.2.7) - CC 17 SLU Xl=2.50 - Classe 1
Sollecitazioni: N=5789.22 M_y=-6237.29
My,Ed=-6237.29 My,c,Rd=16436.40
N,Ed=5789.22 Nc,Rd=155342.00 YY n=N,Ed/Nc,Rd=0.04 MMy,c,Rd=16436.40 My,Ed/MMy,c,Rd=0.38

- Verifica di stabilità aste inflesse (4.2.4.1.3.2) CC 17 SLU - Classe 1
L_{cr}=5.00 Curva b: $\alpha_{imp}=0.34$ $k_c=0.94$ $\psi=1.75$ M_{cr}=13579.60 $\lambda_{LT}=1.13$
 $\lambda_{LT,0}=0.40$ $\beta_{LT}=0.75$ $\Phi_{LT}=1.10$ $\beta_{LT}=0.75$ $f=0.98$ $\chi_{LT}=0.64$
My,Ed=-6237.29 My,b,Rd=10471.50 My,Ed/My,b,Rd=0.60

- Verifica di stabilità aste presso-inflesse (C4.2.4.1.3.3.2) - CC 19 SLU - Classe 1
Sollecitazioni: N,Ed=-5789.22 My,Ed=-5983.93 L=5.00
 α_{my} , α_{mz} , $\alpha_{LT}=0.95$, 0.95, 0.95
L_{cr}=5.00 Curva b: $\alpha_{imp}=0.34$ $k_c=0.94$ $\psi=1.75$ M_{cr}=13579.60 $\lambda_{LT}=1.13$
 $\lambda_{LT,0}=0.40$ $\Phi_{LT}=1.10$ $\beta_{LT}=0.75$ $f=0.98$ $\chi_{LT}=0.64$
 $\lambda_y=44.54$ N_{cr,y}=480014.00 $\lambda^*_y=0.58$ Curva a: $\Phi_y=0.71$ $\chi_y=0.90$
 $\lambda_z=165.40$ N_{cr,z}=34809.20 $\lambda^*_z=2.16$ Curva b: $\Phi_z=3.18$ $\chi_z=0.18$
K_{yy}, K_{yz}, K_{zy}, K_{zz}=0.97, 0.73, 0.00, 1.22
Verifica YY: 0.04+0.55=0.59
Verifica ZZ: 0.21=0.21

- Verifica freccia massima carichi totali - CC 22
 $f_{z,g}=0.94$ (L/531)

- Verifica freccia massima per soli carichi accidentali - CC 22
 $f_{z,L}=0.43$ (L/1151)

Asta n. 1026 (-63 -54) Sez. 2 IPE270 Crit. 2

- Verifica a flessione YY [4.2.13] - CC 1 SND Xl=2.50 - Classe 3
Sollecitazioni: M_y=-3375.98
My,Ed=-3375.98 My,c,Rd=14500.40 My,Ed/My,c,Rd=0.23

- Verifica a taglio dir. Z [4.2.16] - CC 17 SLU Xl=0.00 - Classe 1
Sollecitazioni: T_z=4989.83
V,Ed=4989.83 Vc,Rd=43217.20 V,Ed/Vc,Rd=0.12

- Verifica a presso o tenso-flessione retta YY (4.2.4.1.2.7) - CC 17 SLU Xl=2.50 - Classe 1
Sollecitazioni: N=5789.22 M_y=-6237.29
My,Ed=-6237.29 My,c,Rd=16436.40
N,Ed=5789.22 Nc,Rd=155342.00 YY n=N,Ed/Nc,Rd=0.04 MMy,c,Rd=16436.40 My,Ed/MMy,c,Rd=0.38

- Verifica di stabilità aste inflesse (4.2.4.1.3.2) CC 17 SLU - Classe 1
L_{cr}=5.00 Curva b: $\alpha_{imp}=0.34$ $k_c=0.94$ $\psi=1.75$ M_{cr}=13579.60 $\lambda_{LT}=1.13$

Relazione di calcolo

$\lambda_{LT,0}=0.40$ $\beta_{LT}=0.75$ $\Phi_{LT}=1.10$ $\beta_{LT}=0.75$ $f=0.98$ $\chi_{LT}=0.64$
 $M_y,Ed=-6237.29$ $M_y,b,Rd=10471.50$ $M_y,Ed/M_y,b,Rd=0.60$

- Verifica di stabilità aste presso-inflesse (C4.2.4.1.3.3.2) - CC 19 SLU - Classe 1
Sollecitazioni: $N,Ed=-5789.22$ $M_y,Ed=-5983.93$ $L=5.00$
 $\alpha_{my}, \alpha_{mz}, \alpha_{LT}=0.95, 0.95, 0.95$
 $L_{cr}=5.00$ Curva b: $\alpha_{imp}=0.34$ $k_c=0.94$ $\psi=1.75$ $M_{cr}=13579.60$ $\lambda_{LT}=1.13$
 $\lambda_{LT,0}=0.40$ $\Phi_{LT}=1.10$ $\beta_{LT}=0.75$ $f=0.98$ $\chi_{LT}=0.64$
 $\lambda_y=44.54$ $N_{cr,y}=480014.00$ $\lambda^*_y=0.58$ Curva a: $\Phi_y=0.71$ $\chi_y=0.90$
 $\lambda_z=165.40$ $N_{cr,z}=34809.20$ $\lambda^*_z=2.16$ Curva b: $\Phi_z=3.18$ $\chi_z=0.18$
 $K_{yy}, K_{yz}, K_{zy}, K_{zz}=0.97, 0.73, 0.00, 1.22$
Verifica YY: $0.04+0.55=0.59$
Verifica ZZ: $0.21=0.21$

- Verifica freccia massima carichi totali - CC 22
 $f_{z,L}=0.94$ (L/531)

- Verifica freccia massima per soli carichi accidentali - CC 22
 $f_{z,L}=0.43$ (L/1151)

Asta n. 1026 (-72 -63) Sez. 2 IPE270 Crit. 2

- Verifica a flessione YY [4.2.13] - CC 1 SND $X_l=2.50$ - Classe 3
Sollecitazioni: $M_y=-3375.98$
 $M_y,Ed=-3375.98$ $M_y,c,Rd=14500.40$ $M_y,Ed/M_y,c,Rd=0.23$

- Verifica a taglio dir. Z [4.2.16] - CC 17 SLU $X_l=0.00$ - Classe 1
Sollecitazioni: $T_z=4989.83$
 $V,Ed=4989.83$ $V_c,Rd=43217.20$ $V,Ed/V_c,Rd=0.12$

- Verifica a presso o tenso-flessione retta YY (4.2.4.1.2.7) - CC 17 SLU $X_l=2.50$ - Classe 1
Sollecitazioni: $N=5789.22$ $M_y=-6237.29$
 $M_y,Ed=-6237.29$ $M_y,c,Rd=16436.40$
 $N,Ed=5789.22$ $N_c,Rd=155342.00$ YY $n=N,Ed/N_c,Rd=0.04$ $MN_y,c,Rd=16436.40$ $M_y,Ed/MN_y,c,Rd=0.38$

- Verifica di stabilità aste inflesse (4.2.4.1.3.2) CC 17 SLU - Classe 1
 $L_{cr}=5.00$ Curva b: $\alpha_{imp}=0.34$ $k_c=0.94$ $\psi=1.75$ $M_{cr}=13579.60$ $\lambda_{LT}=1.13$
 $\lambda_{LT,0}=0.40$ $\beta_{LT}=0.75$ $\Phi_{LT}=1.10$ $\beta_{LT}=0.75$ $f=0.98$ $\chi_{LT}=0.64$
 $M_y,Ed=-6237.29$ $M_y,b,Rd=10471.50$ $M_y,Ed/M_y,b,Rd=0.60$

- Verifica di stabilità aste presso-inflesse (C4.2.4.1.3.3.2) - CC 19 SLU - Classe 1
Sollecitazioni: $N,Ed=-5789.22$ $M_y,Ed=-5983.93$ $L=5.00$
 $\alpha_{my}, \alpha_{mz}, \alpha_{LT}=0.95, 0.95, 0.95$
 $L_{cr}=5.00$ Curva b: $\alpha_{imp}=0.34$ $k_c=0.94$ $\psi=1.75$ $M_{cr}=13579.60$ $\lambda_{LT}=1.13$
 $\lambda_{LT,0}=0.40$ $\Phi_{LT}=1.10$ $\beta_{LT}=0.75$ $f=0.98$ $\chi_{LT}=0.64$
 $\lambda_y=44.54$ $N_{cr,y}=480014.00$ $\lambda^*_y=0.58$ Curva a: $\Phi_y=0.71$ $\chi_y=0.90$
 $\lambda_z=165.40$ $N_{cr,z}=34809.20$ $\lambda^*_z=2.16$ Curva b: $\Phi_z=3.18$ $\chi_z=0.18$
 $K_{yy}, K_{yz}, K_{zy}, K_{zz}=0.97, 0.73, 0.00, 1.22$
Verifica YY: $0.04+0.55=0.59$
Verifica ZZ: $0.21=0.21$

- Verifica freccia massima carichi totali - CC 22
 $f_{z,L}=0.94$ (L/531)

- Verifica freccia massima per soli carichi accidentali - CC 22
 $f_{z,L}=0.43$ (L/1151)

Asta n. 1026 (-81 -72) Sez. 2 IPE270 Crit. 2

- Verifica a flessione YY [4.2.13] - CC 1 SND $X_l=2.50$ - Classe 3
Sollecitazioni: $M_y=-3375.98$
 $M_y,Ed=-3375.98$ $M_y,c,Rd=14500.40$ $M_y,Ed/M_y,c,Rd=0.23$

- Verifica a taglio dir. Z [4.2.16] - CC 17 SLU $X_l=0.00$ - Classe 1
Sollecitazioni: $T_z=4989.83$
 $V,Ed=4989.83$ $V_c,Rd=43217.20$ $V,Ed/V_c,Rd=0.12$

- Verifica a presso o tenso-flessione retta YY (4.2.4.1.2.7) - CC 17 SLU $X_l=2.50$ - Classe 1
Sollecitazioni: $N=5789.22$ $M_y=-6237.29$
 $M_y,Ed=-6237.29$ $M_y,c,Rd=16436.40$
 $N,Ed=5789.22$ $N_c,Rd=155342.00$ YY $n=N,Ed/N_c,Rd=0.04$ $MN_y,c,Rd=16436.40$ $M_y,Ed/MN_y,c,Rd=0.38$

- Verifica di stabilità aste inflesse (4.2.4.1.3.2) CC 17 SLU - Classe 1
 $L_{cr}=5.00$ Curva b: $\alpha_{imp}=0.34$ $k_c=0.94$ $\psi=1.75$ $M_{cr}=13579.60$ $\lambda_{LT}=1.13$
 $\lambda_{LT,0}=0.40$ $\beta_{LT}=0.75$ $\Phi_{LT}=1.10$ $\beta_{LT}=0.75$ $f=0.98$ $\chi_{LT}=0.64$
 $M_y,Ed=-6237.29$ $M_y,b,Rd=10471.50$ $M_y,Ed/M_y,b,Rd=0.60$

- Verifica di stabilità aste presso-inflesse (C4.2.4.1.3.3.2) - CC 19 SLU - Classe 1
Sollecitazioni: $N,Ed=-5789.22$ $M_y,Ed=-5983.93$ $L=5.00$

Relazione di calcolo

$\alpha_{my}, \alpha_{mz}, \alpha_{LT}=0.95, 0.95, 0.95$
 $L_{cr}=5.00$ Curva b: $\alpha_{imp}=0.34$ $k_c=0.94$ $\psi=1.75$ $M_{cr}=13579.60$ $\lambda_{LT}=1.13$
 $\lambda_{LT,0}=0.40$ $\Phi_{LT}=1.10$ $\beta_{LT}=0.75$ $f=0.98$ $\chi_{LT}=0.64$
 $\lambda_y=44.54$ $N_{cr,y}=480014.00$ $\lambda_y^*=0.58$ Curva a: $\Phi_y=0.71$ $\chi_y=0.90$
 $\lambda_z=165.40$ $N_{cr,z}=34809.20$ $\lambda_z^*=2.16$ Curva b: $\Phi_z=3.18$ $\chi_z=0.18$
 $K_{yy}, K_{yz}, K_{zy}, K_{zz}=0.97, 0.73, 0.00, 1.22$
Verifica YY: $0.04+0.55=0.59$
Verifica ZZ: $0.21=0.21$

- Verifica freccia massima carichi totali - CC 22
 $f_{z,L}=0.94$ (L/531)

- Verifica freccia massima per soli carichi accidentali - CC 22
 $f_{z,L}=0.43$ (L/1151)

Asta n. 1026 (-90 -81) Sez. 2 IPE270 Crit. 2

- Verifica a flessione YY [4.2.13] - CC 1 SND $X_l=2.50$ - Classe 3
Sollecitazioni: $M_y=-3375.98$
 $M_y, Ed=-3375.98$ $M_y, c, Rd=14500.40$ $M_y, Ed/M_y, c, Rd=0.23$

- Verifica a taglio dir. Z [4.2.16] - CC 17 SLU $X_l=0.00$ - Classe 1
Sollecitazioni: $T_z=4989.83$
 $V, Ed=4989.83$ $V_c, Rd=43217.20$ $V, Ed/V_c, Rd=0.12$

- Verifica a presso o tenso-flessione retta YY (4.2.4.1.2.7) - CC 17 SLU $X_l=2.50$ - Classe 1
Sollecitazioni: $N=5789.22$ $M_y=-6237.29$
 $M_y, Ed=-6237.29$ $M_y, c, Rd=16436.40$
 $N, Ed=5789.22$ $N_c, Rd=155342.00$ YY $n=N, Ed/N_c, Rd=0.04$ $MN_y, c, Rd=16436.40$ $M_y, Ed/MN_y, c, Rd=0.38$

- Verifica di stabilità aste inflesse (4.2.4.1.3.2) CC 17 SLU - Classe 1
 $L_{cr}=5.00$ Curva b: $\alpha_{imp}=0.34$ $k_c=0.94$ $\psi=1.75$ $M_{cr}=13579.60$ $\lambda_{LT}=1.13$
 $\lambda_{LT,0}=0.40$ $\beta_{LT}=0.75$ $\Phi_{LT}=1.10$ $\beta_{LT}=0.75$ $f=0.98$ $\chi_{LT}=0.64$
 $M_y, Ed=-6237.29$ $M_y, b, Rd=10471.50$ $M_y, Ed/M_y, b, Rd=0.60$

- Verifica di stabilità aste presso-inflesse (C4.2.4.1.3.3.2) - CC 19 SLU - Classe 1
Sollecitazioni: $N, Ed=-5789.22$ $M_y, Ed=-5983.93$ $L=5.00$
 $\alpha_{my}, \alpha_{mz}, \alpha_{LT}=0.95, 0.95, 0.95$
 $L_{cr}=5.00$ Curva b: $\alpha_{imp}=0.34$ $k_c=0.94$ $\psi=1.75$ $M_{cr}=13579.60$ $\lambda_{LT}=1.13$
 $\lambda_{LT,0}=0.40$ $\Phi_{LT}=1.10$ $\beta_{LT}=0.75$ $f=0.98$ $\chi_{LT}=0.64$
 $\lambda_y=44.54$ $N_{cr,y}=480014.00$ $\lambda_y^*=0.58$ Curva a: $\Phi_y=0.71$ $\chi_y=0.90$
 $\lambda_z=165.40$ $N_{cr,z}=34809.20$ $\lambda_z^*=2.16$ Curva b: $\Phi_z=3.18$ $\chi_z=0.18$
 $K_{yy}, K_{yz}, K_{zy}, K_{zz}=0.97, 0.73, 0.00, 1.22$
Verifica YY: $0.04+0.55=0.59$
Verifica ZZ: $0.21=0.21$

- Verifica freccia massima carichi totali - CC 22
 $f_{z,g}=0.94$ (L/531)

- Verifica freccia massima per soli carichi accidentali - CC 22
 $f_{z,L}=0.43$ (L/1151)

Asta n. 1026 (-99 -90) Sez. 2 IPE270 Crit. 2

- Verifica a flessione YY [4.2.13] - CC 1 SND $X_l=2.50$ - Classe 3
Sollecitazioni: $M_y=-3375.98$
 $M_y, Ed=-3375.98$ $M_y, c, Rd=14500.40$ $M_y, Ed/M_y, c, Rd=0.23$

- Verifica a taglio dir. Z [4.2.16] - CC 17 SLU $X_l=0.00$ - Classe 1
Sollecitazioni: $T_z=4989.83$
 $V, Ed=4989.83$ $V_c, Rd=43217.20$ $V, Ed/V_c, Rd=0.12$

- Verifica a presso o tenso-flessione retta YY (4.2.4.1.2.7) - CC 17 SLU $X_l=2.50$ - Classe 1
Sollecitazioni: $N=5789.22$ $M_y=-6237.29$
 $M_y, Ed=-6237.29$ $M_y, c, Rd=16436.40$
 $N, Ed=5789.22$ $N_c, Rd=155342.00$ YY $n=N, Ed/N_c, Rd=0.04$ $MN_y, c, Rd=16436.40$ $M_y, Ed/MN_y, c, Rd=0.38$

- Verifica di stabilità aste inflesse (4.2.4.1.3.2) CC 17 SLU - Classe 1
 $L_{cr}=5.00$ Curva b: $\alpha_{imp}=0.34$ $k_c=0.94$ $\psi=1.75$ $M_{cr}=13579.60$ $\lambda_{LT}=1.13$
 $\lambda_{LT,0}=0.40$ $\beta_{LT}=0.75$ $\Phi_{LT}=1.10$ $\beta_{LT}=0.75$ $f=0.98$ $\chi_{LT}=0.64$
 $M_y, Ed=-6237.29$ $M_y, b, Rd=10471.50$ $M_y, Ed/M_y, b, Rd=0.60$

- Verifica di stabilità aste presso-inflesse (C4.2.4.1.3.3.2) - CC 19 SLU - Classe 1
Sollecitazioni: $N, Ed=-5789.22$ $M_y, Ed=-5983.93$ $L=5.00$
 $\alpha_{my}, \alpha_{mz}, \alpha_{LT}=0.95, 0.95, 0.95$
 $L_{cr}=5.00$ Curva b: $\alpha_{imp}=0.34$ $k_c=0.94$ $\psi=1.75$ $M_{cr}=13579.60$ $\lambda_{LT}=1.13$
 $\lambda_{LT,0}=0.40$ $\Phi_{LT}=1.10$ $\beta_{LT}=0.75$ $f=0.98$ $\chi_{LT}=0.64$
 $\lambda_y=44.54$ $N_{cr,y}=480014.00$ $\lambda_y^*=0.58$ Curva a: $\Phi_y=0.71$ $\chi_y=0.90$
 $\lambda_z=165.40$ $N_{cr,z}=34809.20$ $\lambda_z^*=2.16$ Curva b: $\Phi_z=3.18$ $\chi_z=0.18$

Relazione di calcolo

- Kyy, Kyz, Kzy, Kzz=0.97, 0.73, 0.00, 1.22
Verifica YY: 0.04+0.55=0.59
Verifica ZZ: 0.21=0.21
- Verifica freccia massima carichi totali - CC 22
 $f_{z,L}=0.94$ (L/531)
- Verifica freccia massima per soli carichi accidentali - CC 22
 $f_{z,L}=0.43$ (L/1151)
- Asta n. 1026 (-107 -99) Sez. 2 IPE270 Crit. 2

- Verifica a flessione YY [4.2.13] - CC 1 SND $X_l=2.50$ - Classe 3
Sollecitazioni: $M_y=-3375.98$
 $M_y,Ed=-3375.98$ $M_y,c,Rd=14500.40$ $M_y,Ed/M_y,c,Rd=0.23$
- Verifica a taglio dir. Z [4.2.16] - CC 17 SLU $X_l=0.00$ - Classe 1
Sollecitazioni: $T_z=4989.83$
 $V,Ed=4989.83$ $V_c,Rd=43217.20$ $V,Ed/V_c,Rd=0.12$
- Verifica a presso o tenso-flessione retta YY (4.2.4.1.2.7) - CC 17 SLU $X_l=2.50$ - Classe 1
Sollecitazioni: $N=5789.22$ $M_y=-6237.29$
 $M_y,Ed=-6237.29$ $M_y,c,Rd=16436.40$
 $N,Ed=5789.22$ $N_c,Rd=155342.00$ $YY\ n=N,Ed/N_c,Rd=0.04$ $MN_y,c,Rd=16436.40$ $M_y,Ed/MN_y,c,Rd=0.38$
- Verifica di stabilità aste inflesse (4.2.4.1.3.2) CC 17 SLU - Classe 1
 $L_{cr}=5.00$ Curva b: $\alpha_{imp}=0.34$ $k_c=0.94$ $\psi=1.75$ $M_{cr}=13579.60$ $\lambda_{LT}=1.13$
 $\lambda_{LT,0}=0.40$ $\beta_{LT}=0.75$ $\Phi_{LT}=1.10$ $\beta_{LT}=0.75$ $f=0.98$ $\chi_{LT}=0.64$
 $M_y,Ed=-6237.29$ $M_y,b,Rd=10471.50$ $M_y,Ed/M_y,b,Rd=0.60$
- Verifica di stabilità aste presso-inflesse (C4.2.4.1.3.3.2) - CC 19 SLU - Classe 1
Sollecitazioni: $N,Ed=-5789.22$ $M_y,Ed=-5983.93$ $L=5.00$
 $\alpha_{my}, \alpha_{mz}, \alpha_{LT}=0.95, 0.95, 0.95$
 $L_{cr}=5.00$ Curva b: $\alpha_{imp}=0.34$ $k_c=0.94$ $\psi=1.75$ $M_{cr}=13579.60$ $\lambda_{LT}=1.13$
 $\lambda_{LT,0}=0.40$ $\Phi_{LT}=1.10$ $\beta_{LT}=0.75$ $f=0.98$ $\chi_{LT}=0.64$
 $\lambda_y=44.54$ $N_{cr,y}=480014.00$ $\lambda_y^*=0.58$ Curva a: $\Phi_y=0.71$ $\chi_y=0.90$
 $\lambda_z=165.40$ $N_{cr,z}=34809.20$ $\lambda_z^*=2.16$ Curva b: $\Phi_z=3.18$ $\chi_z=0.18$
Kyy, Kyz, Kzy, Kzz=0.97, 0.73, 0.00, 1.22
Verifica YY: 0.04+0.55=0.59
Verifica ZZ: 0.21=0.21
- Verifica freccia massima carichi totali - CC 22
 $f_{z,L}=0.94$ (L/531)
- Verifica freccia massima per soli carichi accidentali - CC 22
 $f_{z,L}=0.43$ (L/1151)
- Asta n. 1027 (1021 1011) Sez. 2 IPE270 Crit. 2

- Verifica a flessione YY [4.2.13] - CC 1 SND $X_l=2.50$ - Classe 3
Sollecitazioni: $M_y=-3688.42$
 $M_y,Ed=-3688.42$ $M_y,c,Rd=14500.40$ $M_y,Ed/M_y,c,Rd=0.25$
- Verifica a taglio dir. Z [4.2.16] - CC 17 SLU $X_l=0.00$ - Classe 1
Sollecitazioni: $T_z=5456.35$
 $V,Ed=5456.35$ $V_c,Rd=43217.20$ $V,Ed/V_c,Rd=0.13$
- Verifica a presso o tenso-flessione retta YY (4.2.4.1.2.7) - CC 17 SLU $X_l=2.50$ - Classe 1
Sollecitazioni: $N=5789.22$ $M_y=-6820.44$
 $M_y,Ed=-6820.44$ $M_y,c,Rd=16436.40$
 $N,Ed=5789.22$ $N_c,Rd=155342.00$ $YY\ n=N,Ed/N_c,Rd=0.04$ $MN_y,c,Rd=16436.40$ $M_y,Ed/MN_y,c,Rd=0.41$
- Verifica di stabilità aste inflesse (4.2.4.1.3.2) CC 17 SLU - Classe 1
 $L_{cr}=5.00$ Curva b: $\alpha_{imp}=0.34$ $k_c=0.94$ $\psi=1.75$ $M_{cr}=13579.60$ $\lambda_{LT}=1.13$
 $\lambda_{LT,0}=0.40$ $\beta_{LT}=0.75$ $\Phi_{LT}=1.10$ $\beta_{LT}=0.75$ $f=0.98$ $\chi_{LT}=0.64$
 $M_y,Ed=-6820.44$ $M_y,b,Rd=10471.50$ $M_y,Ed/M_y,b,Rd=0.65$
- Verifica di stabilità aste presso-inflesse (C4.2.4.1.3.3.2) - CC 19 SLU - Classe 1
Sollecitazioni: $N,Ed=-5789.22$ $M_y,Ed=-6542.82$ $L=5.00$
 $\alpha_{my}, \alpha_{mz}, \alpha_{LT}=0.95, 0.95, 0.95$
 $L_{cr}=5.00$ Curva b: $\alpha_{imp}=0.34$ $k_c=0.94$ $\psi=1.75$ $M_{cr}=13579.60$ $\lambda_{LT}=1.13$
 $\lambda_{LT,0}=0.40$ $\Phi_{LT}=1.10$ $\beta_{LT}=0.75$ $f=0.98$ $\chi_{LT}=0.64$
 $\lambda_y=44.54$ $N_{cr,y}=480014.00$ $\lambda_y^*=0.58$ Curva a: $\Phi_y=0.71$ $\chi_y=0.90$
 $\lambda_z=165.40$ $N_{cr,z}=34809.20$ $\lambda_z^*=2.16$ Curva b: $\Phi_z=3.18$ $\chi_z=0.18$
Kyy, Kyz, Kzy, Kzz=0.97, 0.73, 0.00, 1.22
Verifica YY: 0.04+0.60=0.64
Verifica ZZ: 0.21=0.21
- Verifica freccia massima carichi totali - CC 22

Relazione di calcolo

$f_{z,L}=1.03$ (L/486)

- Verifica freccia massima per soli carichi accidentali - CC 22
 $f_{z,L}=0.48$ (L/1051)

Asta n. 1027 (1031 1021) Sez. 2 IPE270 Crit. 2

- Verifica a flessione YY [4.2.13] - CC 1 SND $X_1=2.50$ - Classe 3
Sollecitazioni: $M_y=-3688.42$
 $M_y,Ed=-3688.42$ $M_y,c,Rd=14500.40$ $M_y,Ed/M_y,c,Rd=0.25$

- Verifica a taglio dir. Z [4.2.16] - CC 17 SLU $X_1=0.00$ - Classe 1
Sollecitazioni: $T_z=5456.35$
 $V,Ed=5456.35$ $V_c,Rd=43217.20$ $V,Ed/V_c,Rd=0.13$

- Verifica a presso o tenso-flessione retta YY (4.2.4.1.2.7) - CC 17 SLU $X_1=2.50$ - Classe 1
Sollecitazioni: $N=5789.22$ $M_y=-6820.44$
 $M_y,Ed=-6820.44$ $M_y,c,Rd=16436.40$
 $N,Ed=5789.22$ $N_c,Rd=155342.00$ $YY\ n=N,Ed/N_c,Rd=0.04$ $MNy,c,Rd=16436.40$ $M_y,Ed/MNy,c,Rd=0.41$

- Verifica di stabilità aste inflesse (4.2.4.1.3.2) CC 17 SLU - Classe 1
 $L_{cr}=5.00$ Curva b: $\alpha_{imp}=0.34$ $k_c=0.94$ $\psi=1.75$ $M_{cr}=13579.60$ $\lambda_{LT}=1.13$
 $\lambda_{LT,0}=0.40$ $\beta_{LT}=0.75$ $\Phi_{LT}=1.10$ $\beta_{LT}=0.75$ $f=0.98$ $\chi_{LT}=0.64$
 $M_y,Ed=-6820.44$ $M_y,b,Rd=10471.50$ $M_y,Ed/M_y,b,Rd=0.65$

- Verifica di stabilità aste presso-inflesse (C4.2.4.1.3.3.2) - CC 19 SLU - Classe 1
Sollecitazioni: $N,Ed=-5789.22$ $M_y,Ed=-6542.82$ $L=5.00$
 $\alpha_{my}, \alpha_{mz}, \alpha_{LT}=0.95, 0.95, 0.95$
 $L_{cr}=5.00$ Curva b: $\alpha_{imp}=0.34$ $k_c=0.94$ $\psi=1.75$ $M_{cr}=13579.60$ $\lambda_{LT}=1.13$
 $\lambda_{LT,0}=0.40$ $\Phi_{LT}=1.10$ $\beta_{LT}=0.75$ $f=0.98$ $\chi_{LT}=0.64$
 $\lambda_y=44.54$ $N_{cr,y}=480014.00$ $\lambda_y^*=0.58$ Curva a: $\Phi_y=0.71$ $\chi_y=0.90$
 $\lambda_z=165.40$ $N_{cr,z}=34809.20$ $\lambda_z^*=2.16$ Curva b: $\Phi_z=3.18$ $\chi_z=0.18$
 $K_{yy}, K_{yz}, K_{zy}, K_{zz}=0.97, 0.73, 0.00, 1.22$
Verifica YY: $0.04+0.60=0.64$
Verifica ZZ: $0.21=0.21$

- Verifica freccia massima carichi totali - CC 22
 $f_{z,L}=1.03$ (L/486)

- Verifica freccia massima per soli carichi accidentali - CC 22
 $f_{z,L}=0.48$ (L/1051)

Asta n. 1027 (1041 1031) Sez. 2 IPE270 Crit. 2

- Verifica a flessione YY [4.2.13] - CC 1 SND $X_1=2.50$ - Classe 3
Sollecitazioni: $M_y=-3688.42$
 $M_y,Ed=-3688.42$ $M_y,c,Rd=14500.40$ $M_y,Ed/M_y,c,Rd=0.25$

- Verifica a taglio dir. Z [4.2.16] - CC 17 SLU $X_1=0.00$ - Classe 1
Sollecitazioni: $T_z=5456.35$
 $V,Ed=5456.35$ $V_c,Rd=43217.20$ $V,Ed/V_c,Rd=0.13$

- Verifica a presso o tenso-flessione retta YY (4.2.4.1.2.7) - CC 17 SLU $X_1=2.50$ - Classe 1
Sollecitazioni: $N=5789.22$ $M_y=-6820.44$
 $M_y,Ed=-6820.44$ $M_y,c,Rd=16436.40$
 $N,Ed=5789.22$ $N_c,Rd=155342.00$ $YY\ n=N,Ed/N_c,Rd=0.04$ $MNy,c,Rd=16436.40$ $M_y,Ed/MNy,c,Rd=0.41$

- Verifica di stabilità aste inflesse (4.2.4.1.3.2) CC 17 SLU - Classe 1
 $L_{cr}=5.00$ Curva b: $\alpha_{imp}=0.34$ $k_c=0.94$ $\psi=1.75$ $M_{cr}=13579.60$ $\lambda_{LT}=1.13$
 $\lambda_{LT,0}=0.40$ $\beta_{LT}=0.75$ $\Phi_{LT}=1.10$ $\beta_{LT}=0.75$ $f=0.98$ $\chi_{LT}=0.64$
 $M_y,Ed=-6820.44$ $M_y,b,Rd=10471.50$ $M_y,Ed/M_y,b,Rd=0.65$

- Verifica di stabilità aste presso-inflesse (C4.2.4.1.3.3.2) - CC 19 SLU - Classe 1
Sollecitazioni: $N,Ed=-5789.22$ $M_y,Ed=-6542.82$ $L=5.00$
 $\alpha_{my}, \alpha_{mz}, \alpha_{LT}=0.95, 0.95, 0.95$
 $L_{cr}=5.00$ Curva b: $\alpha_{imp}=0.34$ $k_c=0.94$ $\psi=1.75$ $M_{cr}=13579.60$ $\lambda_{LT}=1.13$
 $\lambda_{LT,0}=0.40$ $\Phi_{LT}=1.10$ $\beta_{LT}=0.75$ $f=0.98$ $\chi_{LT}=0.64$
 $\lambda_y=44.54$ $N_{cr,y}=480014.00$ $\lambda_y^*=0.58$ Curva a: $\Phi_y=0.71$ $\chi_y=0.90$
 $\lambda_z=165.40$ $N_{cr,z}=34809.20$ $\lambda_z^*=2.16$ Curva b: $\Phi_z=3.18$ $\chi_z=0.18$
 $K_{yy}, K_{yz}, K_{zy}, K_{zz}=0.97, 0.73, 0.00, 1.22$
Verifica YY: $0.04+0.60=0.64$
Verifica ZZ: $0.21=0.21$

- Verifica freccia massima carichi totali - CC 22
 $f_{z,g}=1.03$ (L/486)

- Verifica freccia massima per soli carichi accidentali - CC 22
 $f_{z,g}=0.48$ (L/1051)

Relazione di calcolo

Asta n. 1027 (1051 1041) Sez. 2 IPE270 Crit. 2

-
- Verifica a flessione YY [4.2.13] - CC 1 SND $X_l=2.50$ - Classe 3
Sollecitazioni: $M_y=-3688.42$
 $M_y, Ed=-3688.42$ $M_y, c, Rd=14500.40$ $M_y, Ed/M_y, c, Rd=0.25$
 - Verifica a taglio dir. Z [4.2.16] - CC 17 SLU $X_l=0.00$ - Classe 1
Sollecitazioni: $T_z=5456.35$
 $V, Ed=5456.35$ $V_c, Rd=43217.20$ $V, Ed/V_c, Rd=0.13$
 - Verifica a presso o tenso-flessione retta YY (4.2.4.1.2.7) - CC 17 SLU $X_l=2.50$ - Classe 1
Sollecitazioni: $N=5789.22$ $M_y=-6820.44$
 $M_y, Ed=-6820.44$ $M_y, c, Rd=16436.40$
 $N, Ed=5789.22$ $N_c, Rd=155342.00$ YY $n=N, Ed/N_c, Rd=0.04$ $MN_y, c, Rd=16436.40$ $M_y, Ed/MN_y, c, Rd=0.41$
 - Verifica di stabilità aste inflesse (4.2.4.1.3.2) CC 17 SLU - Classe 1
 $L_{cr}=5.00$ Curva b: $\alpha_{imp}=0.34$ $k_c=0.94$ $\psi=1.75$ $M, cr=13579.60$ $\lambda_{LT}=1.13$
 $\lambda_{LT,0}=0.40$ $\beta_{LT}=0.75$ $\Phi_{LT}=1.10$ $\beta_{LT}=0.75$ $f=0.98$ $\chi_{LT}=0.64$
 $M_y, Ed=-6820.44$ $M_y, b, Rd=10471.50$ $M_y, Ed/M_y, b, Rd=0.65$
 - Verifica di stabilità aste presso-inflesse (C4.2.4.1.3.3.2) - CC 19 SLU - Classe 1
Sollecitazioni: $N, Ed=-5789.22$ $M_y, Ed=-6542.82$ $L=5.00$
 $\alpha_{my}, \alpha_{mz}, \alpha_{LT}=0.95, 0.95, 0.95$
 $L_{cr}=5.00$ Curva b: $\alpha_{imp}=0.34$ $k_c=0.94$ $\psi=1.75$ $M, cr=13579.60$ $\lambda_{LT}=1.13$
 $\lambda_{LT,0}=0.40$ $\Phi_{LT}=1.10$ $\beta_{LT}=0.75$ $f=0.98$ $\chi_{LT}=0.64$
 $\lambda_y=44.54$ $N_{cr,y}=480014.00$ $\lambda^*_y=0.58$ Curva a: $\Phi_y=0.71$ $\chi_y=0.90$
 $\lambda_z=165.40$ $N_{cr,z}=34809.20$ $\lambda^*_z=2.16$ Curva b: $\Phi_z=3.18$ $\chi_z=0.18$
 $K_{yy}, K_{yz}, K_{zy}, K_{zz}=0.97, 0.73, 0.00, 1.22$
Verifica YY: $0.04+0.60=0.64$
Verifica ZZ: $0.21=0.21$
 - Verifica freccia massima carichi totali - CC 22
 $f_{z,L}=1.03$ (L/486)
 - Verifica freccia massima per soli carichi accidentali - CC 22
 $f_{z,L}=0.48$ (L/1051)

Asta n. 1027 (1061 1051) Sez. 2 IPE270 Crit. 2

-
- Verifica a flessione YY [4.2.13] - CC 1 SND $X_l=2.50$ - Classe 3
Sollecitazioni: $M_y=-3688.42$
 $M_y, Ed=-3688.42$ $M_y, c, Rd=14500.40$ $M_y, Ed/M_y, c, Rd=0.25$
 - Verifica a taglio dir. Z [4.2.16] - CC 17 SLU $X_l=0.00$ - Classe 1
Sollecitazioni: $T_z=5456.35$
 $V, Ed=5456.35$ $V_c, Rd=43217.20$ $V, Ed/V_c, Rd=0.13$
 - Verifica a presso o tenso-flessione retta YY (4.2.4.1.2.7) - CC 17 SLU $X_l=2.50$ - Classe 1
Sollecitazioni: $N=5789.22$ $M_y=-6820.44$
 $M_y, Ed=-6820.44$ $M_y, c, Rd=16436.40$
 $N, Ed=5789.22$ $N_c, Rd=155342.00$ YY $n=N, Ed/N_c, Rd=0.04$ $MN_y, c, Rd=16436.40$ $M_y, Ed/MN_y, c, Rd=0.41$
 - Verifica di stabilità aste inflesse (4.2.4.1.3.2) CC 17 SLU - Classe 1
 $L_{cr}=5.00$ Curva b: $\alpha_{imp}=0.34$ $k_c=0.94$ $\psi=1.75$ $M, cr=13579.60$ $\lambda_{LT}=1.13$
 $\lambda_{LT,0}=0.40$ $\beta_{LT}=0.75$ $\Phi_{LT}=1.10$ $\beta_{LT}=0.75$ $f=0.98$ $\chi_{LT}=0.64$
 $M_y, Ed=-6820.44$ $M_y, b, Rd=10471.50$ $M_y, Ed/M_y, b, Rd=0.65$
 - Verifica di stabilità aste presso-inflesse (C4.2.4.1.3.3.2) - CC 19 SLU - Classe 1
Sollecitazioni: $N, Ed=-5789.22$ $M_y, Ed=-6542.82$ $L=5.00$
 $\alpha_{my}, \alpha_{mz}, \alpha_{LT}=0.95, 0.95, 0.95$
 $L_{cr}=5.00$ Curva b: $\alpha_{imp}=0.34$ $k_c=0.94$ $\psi=1.75$ $M, cr=13579.60$ $\lambda_{LT}=1.13$
 $\lambda_{LT,0}=0.40$ $\Phi_{LT}=1.10$ $\beta_{LT}=0.75$ $f=0.98$ $\chi_{LT}=0.64$
 $\lambda_y=44.54$ $N_{cr,y}=480014.00$ $\lambda^*_y=0.58$ Curva a: $\Phi_y=0.71$ $\chi_y=0.90$
 $\lambda_z=165.40$ $N_{cr,z}=34809.20$ $\lambda^*_z=2.16$ Curva b: $\Phi_z=3.18$ $\chi_z=0.18$
 $K_{yy}, K_{yz}, K_{zy}, K_{zz}=0.97, 0.73, 0.00, 1.22$
Verifica YY: $0.04+0.60=0.64$
Verifica ZZ: $0.21=0.21$
 - Verifica freccia massima carichi totali - CC 22
 $f_{z,L}=1.03$ (L/486)
 - Verifica freccia massima per soli carichi accidentali - CC 22
 $f_{z,L}=0.48$ (L/1051)

Asta n. 1027 (1071 1061) Sez. 2 IPE270 Crit. 2

-
- Verifica a flessione YY [4.2.13] - CC 1 SND $X_l=2.50$ - Classe 3
Sollecitazioni: $M_y=-3688.42$
 $M_y, Ed=-3688.42$ $M_y, c, Rd=14500.40$ $M_y, Ed/M_y, c, Rd=0.25$

Relazione di calcolo

- Verifica a taglio dir. Z [4.2.16] - CC 17 SLU $X_l=0.00$ - Classe 1
Sollecitazioni: $T_z=5456.35$
 $V, Ed=5456.35$ $V_c, Rd=43217.20$ $V, Ed/V_c, Rd=0.13$
- Verifica a presso o tenso-flessione retta YY (4.2.4.1.2.7) - CC 17 SLU $X_l=2.50$ - Classe 1
Sollecitazioni: $N=5789.22$ $M_y=-6820.44$
 $M_y, Ed=-6820.44$ $M_y, c, Rd=16436.40$
 $N, Ed=5789.22$ $N_c, Rd=155342.00$ YY $n=N, Ed/N_c, Rd=0.04$ $MN_y, c, Rd=16436.40$ $M_y, Ed/MN_y, c, Rd=0.41$
- Verifica di stabilità aste inflesse (4.2.4.1.3.2) CC 17 SLU - Classe 1
 $L_{cr}=5.00$ Curva b: $\alpha_{imp}=0.34$ $k_c=0.94$ $\psi=1.75$ $M, cr=13579.60$ $\lambda_{LT}=1.13$
 $\lambda_{LT,0}=0.40$ $\beta_{LT}=0.75$ $\Phi_{LT}=1.10$ $\beta_{LT}=0.75$ $f=0.98$ $\chi_{LT}=0.64$
 $M_y, Ed=-6820.44$ $M_y, b, Rd=10471.50$ $M_y, Ed/M_y, b, Rd=0.65$
- Verifica di stabilità aste presso-inflesse (C4.2.4.1.3.3.2) - CC 19 SLU - Classe 1
Sollecitazioni: $N, Ed=-5789.22$ $M_y, Ed=-6542.82$ $L=5.00$
 $\alpha_m, \alpha_m, z, \alpha_{LT}=0.95, 0.95, 0.95$
 $L_{cr}=5.00$ Curva b: $\alpha_{imp}=0.34$ $k_c=0.94$ $\psi=1.75$ $M, cr=13579.60$ $\lambda_{LT}=1.13$
 $\lambda_{LT,0}=0.40$ $\Phi_{LT}=1.10$ $\beta_{LT}=0.75$ $f=0.98$ $\chi_{LT}=0.64$
 $\lambda_y=44.54$ $N_{cr,y}=480014.00$ $\lambda_y^*=0.58$ Curva a: $\Phi_y=0.71$ $\chi_y=0.90$
 $\lambda_z=165.40$ $N_{cr,z}=34809.20$ $\lambda_z^*=2.16$ Curva b: $\Phi_z=3.18$ $\chi_z=0.18$
 $K_{yy}, K_{yz}, K_{zy}, K_{zz}=0.97, 0.73, 0.00, 1.22$
Verifica YY: $0.04+0.60=0.64$
Verifica ZZ: $0.21=0.21$
- Verifica freccia massima carichi totali - CC 22
 $f_{z,L}=1.03$ (L/486)
- Verifica freccia massima per soli carichi accidentali - CC 22
 $f_{z,L}=0.48$ (L/1051)

Asta n. 1027 (1081 1071) Sez. 2 IPE270 Crit. 2

- Verifica a flessione YY [4.2.13] - CC 1 SND $X_l=2.50$ - Classe 3
Sollecitazioni: $M_y=-3688.42$
 $M_y, Ed=-3688.42$ $M_y, c, Rd=14500.40$ $M_y, Ed/M_y, c, Rd=0.25$
- Verifica a taglio dir. Z [4.2.16] - CC 17 SLU $X_l=0.00$ - Classe 1
Sollecitazioni: $T_z=5456.35$
 $V, Ed=5456.35$ $V_c, Rd=43217.20$ $V, Ed/V_c, Rd=0.13$
- Verifica a presso o tenso-flessione retta YY (4.2.4.1.2.7) - CC 17 SLU $X_l=2.50$ - Classe 1
Sollecitazioni: $N=5789.22$ $M_y=-6820.44$
 $M_y, Ed=-6820.44$ $M_y, c, Rd=16436.40$
 $N, Ed=5789.22$ $N_c, Rd=155342.00$ YY $n=N, Ed/N_c, Rd=0.04$ $MN_y, c, Rd=16436.40$ $M_y, Ed/MN_y, c, Rd=0.41$
- Verifica di stabilità aste inflesse (4.2.4.1.3.2) CC 17 SLU - Classe 1
 $L_{cr}=5.00$ Curva b: $\alpha_{imp}=0.34$ $k_c=0.94$ $\psi=1.75$ $M, cr=13579.60$ $\lambda_{LT}=1.13$
 $\lambda_{LT,0}=0.40$ $\beta_{LT}=0.75$ $\Phi_{LT}=1.10$ $\beta_{LT}=0.75$ $f=0.98$ $\chi_{LT}=0.64$
 $M_y, Ed=-6820.44$ $M_y, b, Rd=10471.50$ $M_y, Ed/M_y, b, Rd=0.65$
- Verifica di stabilità aste presso-inflesse (C4.2.4.1.3.3.2) - CC 19 SLU - Classe 1
Sollecitazioni: $N, Ed=-5789.22$ $M_y, Ed=-6542.82$ $L=5.00$
 $\alpha_m, \alpha_m, z, \alpha_{LT}=0.95, 0.95, 0.95$
 $L_{cr}=5.00$ Curva b: $\alpha_{imp}=0.34$ $k_c=0.94$ $\psi=1.75$ $M, cr=13579.60$ $\lambda_{LT}=1.13$
 $\lambda_{LT,0}=0.40$ $\Phi_{LT}=1.10$ $\beta_{LT}=0.75$ $f=0.98$ $\chi_{LT}=0.64$
 $\lambda_y=44.54$ $N_{cr,y}=480014.00$ $\lambda_y^*=0.58$ Curva a: $\Phi_y=0.71$ $\chi_y=0.90$
 $\lambda_z=165.40$ $N_{cr,z}=34809.20$ $\lambda_z^*=2.16$ Curva b: $\Phi_z=3.18$ $\chi_z=0.18$
 $K_{yy}, K_{yz}, K_{zy}, K_{zz}=0.97, 0.73, 0.00, 1.22$
Verifica YY: $0.04+0.60=0.64$
Verifica ZZ: $0.21=0.21$
- Verifica freccia massima carichi totali - CC 22
 $f_{z,L}=1.03$ (L/486)
- Verifica freccia massima per soli carichi accidentali - CC 22
 $f_{z,L}=0.48$ (L/1051)

Asta n. 1027 (1091 1081) Sez. 2 IPE270 Crit. 2

- Verifica a flessione YY [4.2.13] - CC 1 SND $X_l=2.50$ - Classe 3
Sollecitazioni: $M_y=-3688.42$
 $M_y, Ed=-3688.42$ $M_y, c, Rd=14500.40$ $M_y, Ed/M_y, c, Rd=0.25$
- Verifica a taglio dir. Z [4.2.16] - CC 17 SLU $X_l=0.00$ - Classe 1
Sollecitazioni: $T_z=5456.35$
 $V, Ed=5456.35$ $V_c, Rd=43217.20$ $V, Ed/V_c, Rd=0.13$

Relazione di calcolo

- Verifica a presso o tenso-flessione retta YY (4.2.4.1.2.7) - CC 17 SLU $X_l=2.50$ - Classe 1
Sollecitazioni: $N=5789.22$ $M_y=-6820.44$
 $M_y, Ed=-6820.44$ $M_y, c, Rd=16436.40$
 $N, Ed=5789.22$ $N_c, Rd=155342.00$ YY $n=N, Ed/N_c, Rd=0.04$ $MN_y, c, Rd=16436.40$ $M_y, Ed/MN_y, c, Rd=0.41$
 - Verifica di stabilità aste inflesse (4.2.4.1.3.2) CC 17 SLU - Classe 1
 $L_{cr}=5.00$ Curva b: $\alpha_{imp}=0.34$ $k_c=0.94$ $\psi=1.75$ $M, cr=13579.60$ $\lambda_{LT}=1.13$
 $\lambda_{LT,0}=0.40$ $\beta_{LT}=0.75$ $\Phi_{LT}=1.10$ $\beta_{LT}=0.75$ $f=0.98$ $\chi_{LT}=0.64$
 $M_y, Ed=-6820.44$ $M_y, b, Rd=10471.50$ $M_y, Ed/M_y, b, Rd=0.65$
 - Verifica di stabilità aste presso-inflesse (C4.2.4.1.3.3.2) - CC 19 SLU - Classe 1
Sollecitazioni: $N, Ed=-5789.22$ $M_y, Ed=-6542.82$ $L=5.00$
 $\alpha_{my}, \alpha_{mz}, \alpha_{LT}=0.95, 0.95, 0.95$
 $L_{cr}=5.00$ Curva b: $\alpha_{imp}=0.34$ $k_c=0.94$ $\psi=1.75$ $M, cr=13579.60$ $\lambda_{LT}=1.13$
 $\lambda_{LT,0}=0.40$ $\Phi_{LT}=1.10$ $\beta_{LT}=0.75$ $f=0.98$ $\chi_{LT}=0.64$
 $\lambda_y=44.54$ $N_{cr,y}=480014.00$ $\lambda_y^*=0.58$ Curva a: $\Phi_y=0.71$ $\chi_y=0.90$
 $\lambda_z=165.40$ $N_{cr,z}=34809.20$ $\lambda_z^*=2.16$ Curva b: $\Phi_z=3.18$ $\chi_z=0.18$
 $K_{yy}, K_{yz}, K_{zy}, K_{zz}=0.97, 0.73, 0.00, 1.22$
Verifica YY: $0.04+0.60=0.64$
Verifica ZZ: $0.21=0.21$
 - Verifica freccia massima carichi totali - CC 22
 $f_{z,L}=1.03$ (L/486)
 - Verifica freccia massima per soli carichi accidentali - CC 22
 $f_{z,L}=0.48$ (L/1051)
- Asta n. 1027 (1101 1091) Sez. 2 IPE270 Crit. 2

- Verifica a flessione YY [4.2.13] - CC 1 SND $X_l=2.50$ - Classe 3
Sollecitazioni: $M_y=-3688.42$
 $M_y, Ed=-3688.42$ $M_y, c, Rd=14500.40$ $M_y, Ed/M_y, c, Rd=0.25$
 - Verifica a taglio dir. Z [4.2.16] - CC 17 SLU $X_l=0.00$ - Classe 1
Sollecitazioni: $T_z=5456.35$
 $V, Ed=5456.35$ $V_c, Rd=43217.20$ $V, Ed/V_c, Rd=0.13$
 - Verifica a presso o tenso-flessione retta YY (4.2.4.1.2.7) - CC 17 SLU $X_l=2.50$ - Classe 1
Sollecitazioni: $N=5789.22$ $M_y=-6820.44$
 $M_y, Ed=-6820.44$ $M_y, c, Rd=16436.40$
 $N, Ed=5789.22$ $N_c, Rd=155342.00$ YY $n=N, Ed/N_c, Rd=0.04$ $MN_y, c, Rd=16436.40$ $M_y, Ed/MN_y, c, Rd=0.41$
 - Verifica di stabilità aste inflesse (4.2.4.1.3.2) CC 17 SLU - Classe 1
 $L_{cr}=5.00$ Curva b: $\alpha_{imp}=0.34$ $k_c=0.94$ $\psi=1.75$ $M, cr=13579.60$ $\lambda_{LT}=1.13$
 $\lambda_{LT,0}=0.40$ $\beta_{LT}=0.75$ $\Phi_{LT}=1.10$ $\beta_{LT}=0.75$ $f=0.98$ $\chi_{LT}=0.64$
 $M_y, Ed=-6820.44$ $M_y, b, Rd=10471.50$ $M_y, Ed/M_y, b, Rd=0.65$
 - Verifica di stabilità aste presso-inflesse (C4.2.4.1.3.3.2) - CC 19 SLU - Classe 1
Sollecitazioni: $N, Ed=-5789.22$ $M_y, Ed=-6542.82$ $L=5.00$
 $\alpha_{my}, \alpha_{mz}, \alpha_{LT}=0.95, 0.95, 0.95$
 $L_{cr}=5.00$ Curva b: $\alpha_{imp}=0.34$ $k_c=0.94$ $\psi=1.75$ $M, cr=13579.60$ $\lambda_{LT}=1.13$
 $\lambda_{LT,0}=0.40$ $\Phi_{LT}=1.10$ $\beta_{LT}=0.75$ $f=0.98$ $\chi_{LT}=0.64$
 $\lambda_y=44.54$ $N_{cr,y}=480014.00$ $\lambda_y^*=0.58$ Curva a: $\Phi_y=0.71$ $\chi_y=0.90$
 $\lambda_z=165.40$ $N_{cr,z}=34809.20$ $\lambda_z^*=2.16$ Curva b: $\Phi_z=3.18$ $\chi_z=0.18$
 $K_{yy}, K_{yz}, K_{zy}, K_{zz}=0.97, 0.73, 0.00, 1.22$
Verifica YY: $0.04+0.60=0.64$
Verifica ZZ: $0.21=0.21$
 - Verifica freccia massima carichi totali - CC 22
 $f_{z,L}=1.03$ (L/486)
 - Verifica freccia massima per soli carichi accidentali - CC 22
 $f_{z,G}=0.48$ (L/1051)
- Asta n. 1027 (1111 1101) Sez. 2 IPE270 Crit. 2

- Verifica a flessione YY [4.2.13] - CC 1 SND $X_l=2.50$ - Classe 3
Sollecitazioni: $M_y=-3688.42$
 $M_y, Ed=-3688.42$ $M_y, c, Rd=14500.40$ $M_y, Ed/M_y, c, Rd=0.25$
 - Verifica a taglio dir. Z [4.2.16] - CC 17 SLU $X_l=0.00$ - Classe 1
Sollecitazioni: $T_z=5456.35$
 $V, Ed=5456.35$ $V_c, Rd=43217.20$ $V, Ed/V_c, Rd=0.13$
 - Verifica a presso o tenso-flessione retta YY (4.2.4.1.2.7) - CC 17 SLU $X_l=2.50$ - Classe 1
Sollecitazioni: $N=5789.22$ $M_y=-6820.44$
 $M_y, Ed=-6820.44$ $M_y, c, Rd=16436.40$
 $N, Ed=5789.22$ $N_c, Rd=155342.00$ YY $n=N, Ed/N_c, Rd=0.04$ $MN_y, c, Rd=16436.40$ $M_y, Ed/MN_y, c, Rd=0.41$

Relazione di calcolo

- Verifica di stabilità aste inflesse (4.2.4.1.3.2) CC 17 SLU - Classe 1
L_{cr}=5.00 Curva b: $\alpha_{imp}=0.34$ $k_c=0.94$ $\psi=1.75$ M_{cr}=13579.60 $\lambda_{LT}=1.13$
 $\lambda_{LT,0}=0.40$ $\beta_{LT}=0.75$ $\Phi_{LT}=1.10$ $\beta_{LT}=0.75$ $f=0.98$ $\chi_{LT}=0.64$
M_{y,Ed}=-6820.44 M_{y,b,Rd}=10471.50 M_{y,Ed/M,y,b,Rd}=0.65
- Verifica di stabilità aste presso-inflesse (C4.2.4.1.3.3.2) - CC 19 SLU - Classe 1
Sollecitazioni: N_{Ed}=-5789.22 M_{y,Ed}=-6542.82 L=5.00
 α_{my} , α_{mz} , $\alpha_{LT}=0.95$, 0.95, 0.95
L_{cr}=5.00 Curva b: $\alpha_{imp}=0.34$ $k_c=0.94$ $\psi=1.75$ M_{cr}=13579.60 $\lambda_{LT}=1.13$
 $\lambda_{LT,0}=0.40$ $\Phi_{LT}=1.10$ $\beta_{LT}=0.75$ $f=0.98$ $\chi_{LT}=0.64$
 $\lambda_y=44.54$ N_{cr,y}=480014.00 $\lambda_y^*=0.58$ Curva a: $\Phi_y=0.71$ $\chi_y=0.90$
 $\lambda_z=165.40$ N_{cr,z}=34809.20 $\lambda_z^*=2.16$ Curva b: $\Phi_z=3.18$ $\chi_z=0.18$
K_{yy}, K_{yz}, K_{zy}, K_{zz}=0.97, 0.73, 0.00, 1.22
Verifica YY: 0.04+0.60=0.64
Verifica ZZ: 0.21=0.21
- Verifica freccia massima carichi totali - CC 22
f_{z,L}=1.03 (L/486)
- Verifica freccia massima per soli carichi accidentali - CC 22
f_{z,L}=0.48 (L/1051)
- Asta n. 1027 (1120 1111) Sez. 2 IPE270 Crit. 2

- Verifica a flessione YY [4.2.13] - CC 1 SMD X1=2.50 - Classe 3
Sollecitazioni: M_y=-3688.42
M_{y,Ed}=-3688.42 M_{y,c,Rd}=14500.40 M_{y,Ed/M,y,c,Rd}=0.25
- Verifica a taglio dir. Z [4.2.16] - CC 17 SLU X1=0.00 - Classe 1
Sollecitazioni: T_z=5456.35
V_{Ed}=5456.35 V_{c,Rd}=43217.20 V_{Ed/Vc,Rd}=0.13
- Verifica a presso o tenso-flessione retta YY (4.2.4.1.2.7) - CC 17 SLU X1=2.50 - Classe 1
Sollecitazioni: N=5789.22 M_y=-6820.44
M_{y,Ed}=-6820.44 M_{y,c,Rd}=16436.40
N_{Ed}=5789.22 N_{c,Rd}=155342.00 YY n=N_{Ed/Nc,Rd}=0.04 M_{Ny,c,Rd}=16436.40 M_{y,Ed/MNy,c,Rd}=0.41
- Verifica di stabilità aste inflesse (4.2.4.1.3.2) CC 17 SLU - Classe 1
L_{cr}=5.00 Curva b: $\alpha_{imp}=0.34$ $k_c=0.94$ $\psi=1.75$ M_{cr}=13579.60 $\lambda_{LT}=1.13$
 $\lambda_{LT,0}=0.40$ $\beta_{LT}=0.75$ $\Phi_{LT}=1.10$ $\beta_{LT}=0.75$ $f=0.98$ $\chi_{LT}=0.64$
M_{y,Ed}=-6820.44 M_{y,b,Rd}=10471.50 M_{y,Ed/M,y,b,Rd}=0.65
- Verifica di stabilità aste presso-inflesse (C4.2.4.1.3.3.2) - CC 19 SLU - Classe 1
Sollecitazioni: N_{Ed}=-5789.22 M_{y,Ed}=-6542.82 L=5.00
 α_{my} , α_{mz} , $\alpha_{LT}=0.95$, 0.95, 0.95
L_{cr}=5.00 Curva b: $\alpha_{imp}=0.34$ $k_c=0.94$ $\psi=1.75$ M_{cr}=13579.60 $\lambda_{LT}=1.13$
 $\lambda_{LT,0}=0.40$ $\Phi_{LT}=1.10$ $\beta_{LT}=0.75$ $f=0.98$ $\chi_{LT}=0.64$
 $\lambda_y=44.54$ N_{cr,y}=480014.00 $\lambda_y^*=0.58$ Curva a: $\Phi_y=0.71$ $\chi_y=0.90$
 $\lambda_z=165.40$ N_{cr,z}=34809.20 $\lambda_z^*=2.16$ Curva b: $\Phi_z=3.18$ $\chi_z=0.18$
K_{yy}, K_{yz}, K_{zy}, K_{zz}=0.97, 0.73, 0.00, 1.22
Verifica YY: 0.04+0.60=0.64
Verifica ZZ: 0.21=0.21
- Verifica freccia massima carichi totali - CC 22
f_{z,L}=1.03 (L/486)
- Verifica freccia massima per soli carichi accidentali - CC 22
f_{z,L}=0.48 (L/1051)
- Asta n. 1028 (-19 -10) Sez. 2 IPE270 Crit. 2

- Verifica a flessione YY [4.2.13] - CC 1 SMD X1=2.50 - Classe 3
Sollecitazioni: M_y=-4000.86
M_{y,Ed}=-4000.86 M_{y,c,Rd}=14500.40 M_{y,Ed/M,y,c,Rd}=0.28
- Verifica a taglio dir. Z [4.2.16] - CC 17 SLU X1=0.00 - Classe 1
Sollecitazioni: T_z=5922.88
V_{Ed}=5922.88 V_{c,Rd}=43217.20 V_{Ed/Vc,Rd}=0.14
- Verifica a presso o tenso-flessione retta YY (4.2.4.1.2.7) - CC 17 SLU X1=2.50 - Classe 1
Sollecitazioni: N=5789.22 M_y=-7403.60
M_{y,Ed}=-7403.60 M_{y,c,Rd}=16436.40
N_{Ed}=5789.22 N_{c,Rd}=155342.00 YY n=N_{Ed/Nc,Rd}=0.04 M_{Ny,c,Rd}=16436.40 M_{y,Ed/MNy,c,Rd}=0.45
- Verifica di stabilità aste inflesse (4.2.4.1.3.2) CC 17 SLU - Classe 1
L_{cr}=5.00 Curva b: $\alpha_{imp}=0.34$ $k_c=0.94$ $\psi=1.75$ M_{cr}=13579.60 $\lambda_{LT}=1.13$
 $\lambda_{LT,0}=0.40$ $\beta_{LT}=0.75$ $\Phi_{LT}=1.10$ $\beta_{LT}=0.75$ $f=0.98$ $\chi_{LT}=0.64$
M_{y,Ed}=-7403.60 M_{y,b,Rd}=10471.50 M_{y,Ed/M,y,b,Rd}=0.71

Relazione di calcolo

- Verifica di stabilità aste presso-inflesse (C4.2.4.1.3.3.2) - CC 19 SLU - Classe 1
Sollecitazioni: $N_{Ed}=-5789.22$ $M_{y,Ed}=-7101.73$ $L=5.00$
 α_{my} , α_{mz} , $\alpha_{LT}=0.95$, 0.95 , 0.95
 $L_{cr}=5.00$ Curva b: $\alpha_{imp}=0.34$ $k_c=0.94$ $\psi=1.75$ $M_{cr}=13579.60$ $\lambda_{LT}=1.13$
 $\lambda_{LT,0}=0.40$ $\Phi_{LT}=1.10$ $\beta_{LT}=0.75$ $f=0.98$ $\chi_{LT}=0.64$
 $\lambda_y=44.54$ $N_{cr,y}=480014.00$ $\lambda_y^*=0.58$ Curva a: $\Phi_y=0.71$ $\chi_y=0.90$
 $\lambda_z=165.40$ $N_{cr,z}=34809.20$ $\lambda_z^*=2.16$ Curva b: $\Phi_z=3.18$ $\chi_z=0.18$
 K_{yy} , K_{yz} , K_{zy} , $K_{zz}=0.97$, 0.73 , 0.00 , 1.22
Verifica YY: $0.04+0.65=0.70$
Verifica ZZ: $0.21=0.21$
- Verifica freccia massima carichi totali - CC 22
 $f_{z,L}=1.12$ (L/448)
- Verifica freccia massima per soli carichi accidentali - CC 22
 $f_{z,L}=0.52$ (L/966)
- Asta n. 1028 (-28 -19) Sez. 2 IPE270 Crit. 2

- Verifica a flessione YY [4.2.13] - CC 1 SND $X_l=2.50$ - Classe 3
Sollecitazioni: $M_y=-4000.86$
 $M_{y,Ed}=-4000.86$ $M_{y,c,Rd}=14500.40$ $M_{y,Ed/M_{y,c,Rd}}=0.28$
- Verifica a taglio dir. Z [4.2.16] - CC 17 SLU $X_l=0.00$ - Classe 1
Sollecitazioni: $T_z=5922.88$
 $V_{Ed}=5922.88$ $V_{c,Rd}=43217.20$ $V_{Ed/V_{c,Rd}}=0.14$
- Verifica a presso o tenso-flessione retta YY (4.2.4.1.2.7) - CC 17 SLU $X_l=2.50$ - Classe 1
Sollecitazioni: $N=5789.22$ $M_y=-7403.60$
 $M_{y,Ed}=-7403.60$ $M_{y,c,Rd}=16436.40$
 $N_{Ed}=5789.22$ $N_{c,Rd}=155342.00$ YY $n=N_{Ed}/N_{c,Rd}=0.04$ $MN_{y,c,Rd}=16436.40$ $M_{y,Ed}/MN_{y,c,Rd}=0.45$
- Verifica di stabilità aste inflesse (4.2.4.1.3.2) CC 17 SLU - Classe 1
 $L_{cr}=5.00$ Curva b: $\alpha_{imp}=0.34$ $k_c=0.94$ $\psi=1.75$ $M_{cr}=13579.60$ $\lambda_{LT}=1.13$
 $\lambda_{LT,0}=0.40$ $\beta_{LT}=0.75$ $\Phi_{LT}=1.10$ $\beta_{LT}=0.75$ $f=0.98$ $\chi_{LT}=0.64$
 $M_{y,Ed}=-7403.60$ $M_{y,b,Rd}=10471.50$ $M_{y,Ed/M_{y,b,Rd}}=0.71$
- Verifica di stabilità aste presso-inflesse (C4.2.4.1.3.3.2) - CC 19 SLU - Classe 1
Sollecitazioni: $N_{Ed}=-5789.22$ $M_{y,Ed}=-7101.73$ $L=5.00$
 α_{my} , α_{mz} , $\alpha_{LT}=0.95$, 0.95 , 0.95
 $L_{cr}=5.00$ Curva b: $\alpha_{imp}=0.34$ $k_c=0.94$ $\psi=1.75$ $M_{cr}=13579.60$ $\lambda_{LT}=1.13$
 $\lambda_{LT,0}=0.40$ $\Phi_{LT}=1.10$ $\beta_{LT}=0.75$ $f=0.98$ $\chi_{LT}=0.64$
 $\lambda_y=44.54$ $N_{cr,y}=480014.00$ $\lambda_y^*=0.58$ Curva a: $\Phi_y=0.71$ $\chi_y=0.90$
 $\lambda_z=165.40$ $N_{cr,z}=34809.20$ $\lambda_z^*=2.16$ Curva b: $\Phi_z=3.18$ $\chi_z=0.18$
 K_{yy} , K_{yz} , K_{zy} , $K_{zz}=0.97$, 0.73 , 0.00 , 1.22
Verifica YY: $0.04+0.65=0.70$
Verifica ZZ: $0.21=0.21$
- Verifica freccia massima carichi totali - CC 22
 $f_{z,L}=1.12$ (L/448)
- Verifica freccia massima per soli carichi accidentali - CC 22
 $f_{z,L}=0.52$ (L/966)
- Asta n. 1028 (-37 -28) Sez. 2 IPE270 Crit. 2

- Verifica a flessione YY [4.2.13] - CC 1 SND $X_l=2.50$ - Classe 3
Sollecitazioni: $M_y=-4000.86$
 $M_{y,Ed}=-4000.86$ $M_{y,c,Rd}=14500.40$ $M_{y,Ed/M_{y,c,Rd}}=0.28$
- Verifica a taglio dir. Z [4.2.16] - CC 17 SLU $X_l=0.00$ - Classe 1
Sollecitazioni: $T_z=5922.88$
 $V_{Ed}=5922.88$ $V_{c,Rd}=43217.20$ $V_{Ed/V_{c,Rd}}=0.14$
- Verifica a presso o tenso-flessione retta YY (4.2.4.1.2.7) - CC 17 SLU $X_l=2.50$ - Classe 1
Sollecitazioni: $N=5789.22$ $M_y=-7403.60$
 $M_{y,Ed}=-7403.60$ $M_{y,c,Rd}=16436.40$
 $N_{Ed}=5789.22$ $N_{c,Rd}=155342.00$ YY $n=N_{Ed}/N_{c,Rd}=0.04$ $MN_{y,c,Rd}=16436.40$ $M_{y,Ed}/MN_{y,c,Rd}=0.45$
- Verifica di stabilità aste inflesse (4.2.4.1.3.2) CC 17 SLU - Classe 1
 $L_{cr}=5.00$ Curva b: $\alpha_{imp}=0.34$ $k_c=0.94$ $\psi=1.75$ $M_{cr}=13579.60$ $\lambda_{LT}=1.13$
 $\lambda_{LT,0}=0.40$ $\beta_{LT}=0.75$ $\Phi_{LT}=1.10$ $\beta_{LT}=0.75$ $f=0.98$ $\chi_{LT}=0.64$
 $M_{y,Ed}=-7403.60$ $M_{y,b,Rd}=10471.50$ $M_{y,Ed/M_{y,b,Rd}}=0.71$
- Verifica di stabilità aste presso-inflesse (C4.2.4.1.3.3.2) - CC 19 SLU - Classe 1
Sollecitazioni: $N_{Ed}=-5789.22$ $M_{y,Ed}=-7101.73$ $L=5.00$
 α_{my} , α_{mz} , $\alpha_{LT}=0.95$, 0.95 , 0.95
 $L_{cr}=5.00$ Curva b: $\alpha_{imp}=0.34$ $k_c=0.94$ $\psi=1.75$ $M_{cr}=13579.60$ $\lambda_{LT}=1.13$
 $\lambda_{LT,0}=0.40$ $\Phi_{LT}=1.10$ $\beta_{LT}=0.75$ $f=0.98$ $\chi_{LT}=0.64$

Relazione di calcolo

$\lambda_y=44.54$ Ncr,y=480014.00 $\lambda^*_y=0.58$ Curva a: $\Phi_y=0.71$ $\chi_y=0.90$
 $\lambda_z=165.40$ Ncr,z=34809.20 $\lambda^*_z=2.16$ Curva b: $\Phi_z=3.18$ $\chi_z=0.18$
Kyy, Kyz, Kzy, Kzz=0.97, 0.73, 0.00, 1.22
Verifica YY: 0.04+0.65=0.70
Verifica ZZ: 0.21=0.21

- Verifica freccia massima carichi totali - CC 22
 $f_{z,g}=1.12$ (L/448)

- Verifica freccia massima per soli carichi accidentali - CC 22
 $f_{z,L}=0.52$ (L/966)

Asta n. 1028 (-46 -37) Sez. 2 IPE270 Crit. 2

- Verifica a flessione YY [4.2.13] - CC 1 SND Xl=2.50 - Classe 3
Sollecitazioni: $M_y=-4000.86$
 $M_y,Ed=-4000.86$ $M_y,c,Rd=14500.40$ $M_y,Ed/M_y,c,Rd=0.28$

- Verifica a taglio dir. Z [4.2.16] - CC 17 SLU Xl=0.00 - Classe 1
Sollecitazioni: $T_z=5922.88$
 $V,Ed=5922.88$ $V_c,Rd=43217.20$ $V,Ed/V_c,Rd=0.14$

- Verifica a presso o tenso-flessione retta YY (4.2.4.1.2.7) - CC 17 SLU Xl=2.50 - Classe 1
Sollecitazioni: $N=5789.22$ $M_y=-7403.60$
 $M_y,Ed=-7403.60$ $M_y,c,Rd=16436.40$
 $N,Ed=5789.22$ $N_c,Rd=155342.00$ YY n=N,Ed/Nc,Rd=0.04 MNy,c,Rd=16436.40 $M_y,Ed/MNy,c,Rd=0.45$

- Verifica di stabilità aste inflesse (4.2.4.1.3.2) CC 17 SLU - Classe 1
 $L_{cr}=5.00$ Curva b: $\alpha_{imp}=0.34$ $k_c=0.94$ $\psi=1.75$ $M_{cr}=13579.60$ $\lambda_{LT}=1.13$
 $\lambda_{LT,0}=0.40$ $\beta_{LT}=0.75$ $\Phi_{LT}=1.10$ $\beta_{LT}=0.75$ $f=0.98$ $\chi_{LT}=0.64$
 $M_y,Ed=-7403.60$ $M_y,b,Rd=10471.50$ $M_y,Ed/M_y,b,Rd=0.71$

- Verifica di stabilità aste presso-inflesse (C4.2.4.1.3.3.2) - CC 19 SLU - Classe 1
Sollecitazioni: $N,Ed=-5789.22$ $M_y,Ed=-7101.73$ $L=5.00$
 $\alpha_{my}, \alpha_{mz}, \alpha_{LT}=0.95, 0.95, 0.95$
 $L_{cr}=5.00$ Curva b: $\alpha_{imp}=0.34$ $k_c=0.94$ $\psi=1.75$ $M_{cr}=13579.60$ $\lambda_{LT}=1.13$
 $\lambda_{LT,0}=0.40$ $\Phi_{LT}=1.10$ $\beta_{LT}=0.75$ $f=0.98$ $\chi_{LT}=0.64$
 $\lambda_y=44.54$ Ncr,y=480014.00 $\lambda^*_y=0.58$ Curva a: $\Phi_y=0.71$ $\chi_y=0.90$
 $\lambda_z=165.40$ Ncr,z=34809.20 $\lambda^*_z=2.16$ Curva b: $\Phi_z=3.18$ $\chi_z=0.18$
Kyy, Kyz, Kzy, Kzz=0.97, 0.73, 0.00, 1.22
Verifica YY: 0.04+0.65=0.70
Verifica ZZ: 0.21=0.21

- Verifica freccia massima carichi totali - CC 22
 $f_{z,L}=1.12$ (L/448)

- Verifica freccia massima per soli carichi accidentali - CC 22
 $f_{z,L}=0.52$ (L/966)

Asta n. 1028 (-55 -46) Sez. 2 IPE270 Crit. 2

- Verifica a flessione YY [4.2.13] - CC 1 SND Xl=2.50 - Classe 3
Sollecitazioni: $M_y=-4000.86$
 $M_y,Ed=-4000.86$ $M_y,c,Rd=14500.40$ $M_y,Ed/M_y,c,Rd=0.28$

- Verifica a taglio dir. Z [4.2.16] - CC 17 SLU Xl=0.00 - Classe 1
Sollecitazioni: $T_z=5922.88$
 $V,Ed=5922.88$ $V_c,Rd=43217.20$ $V,Ed/V_c,Rd=0.14$

- Verifica a presso o tenso-flessione retta YY (4.2.4.1.2.7) - CC 17 SLU Xl=2.50 - Classe 1
Sollecitazioni: $N=5789.22$ $M_y=-7403.60$
 $M_y,Ed=-7403.60$ $M_y,c,Rd=16436.40$
 $N,Ed=5789.22$ $N_c,Rd=155342.00$ YY n=N,Ed/Nc,Rd=0.04 MNy,c,Rd=16436.40 $M_y,Ed/MNy,c,Rd=0.45$

- Verifica di stabilità aste inflesse (4.2.4.1.3.2) CC 17 SLU - Classe 1
 $L_{cr}=5.00$ Curva b: $\alpha_{imp}=0.34$ $k_c=0.94$ $\psi=1.75$ $M_{cr}=13579.60$ $\lambda_{LT}=1.13$
 $\lambda_{LT,0}=0.40$ $\beta_{LT}=0.75$ $\Phi_{LT}=1.10$ $\beta_{LT}=0.75$ $f=0.98$ $\chi_{LT}=0.64$
 $M_y,Ed=-7403.60$ $M_y,b,Rd=10471.50$ $M_y,Ed/M_y,b,Rd=0.71$

- Verifica di stabilità aste presso-inflesse (C4.2.4.1.3.3.2) - CC 19 SLU - Classe 1
Sollecitazioni: $N,Ed=-5789.22$ $M_y,Ed=-7101.73$ $L=5.00$
 $\alpha_{my}, \alpha_{mz}, \alpha_{LT}=0.95, 0.95, 0.95$
 $L_{cr}=5.00$ Curva b: $\alpha_{imp}=0.34$ $k_c=0.94$ $\psi=1.75$ $M_{cr}=13579.60$ $\lambda_{LT}=1.13$
 $\lambda_{LT,0}=0.40$ $\Phi_{LT}=1.10$ $\beta_{LT}=0.75$ $f=0.98$ $\chi_{LT}=0.64$
 $\lambda_y=44.54$ Ncr,y=480014.00 $\lambda^*_y=0.58$ Curva a: $\Phi_y=0.71$ $\chi_y=0.90$
 $\lambda_z=165.40$ Ncr,z=34809.20 $\lambda^*_z=2.16$ Curva b: $\Phi_z=3.18$ $\chi_z=0.18$
Kyy, Kyz, Kzy, Kzz=0.97, 0.73, 0.00, 1.22
Verifica YY: 0.04+0.65=0.70
Verifica ZZ: 0.21=0.21

Relazione di calcolo

- Verifica freccia massima carichi totali - CC 22
 $f_{z,L}=1.12$ (L/448)

- Verifica freccia massima per soli carichi accidentali - CC 22
 $f_{z,L}=0.52$ (L/966)

Asta n. 1028 (-64 -55) Sez. 2 IPE270 Crit. 2

- Verifica a flessione YY [4.2.13] - CC 1 SND $X_l=2.50$ - Classe 3
Sollecitazioni: $M_y=-4000.86$
 $M_y,Ed=-4000.86$ $M_y,c,Rd=14500.40$ $M_y,Ed/M_y,c,Rd=0.28$

- Verifica a taglio dir. Z [4.2.16] - CC 17 SLU $X_l=0.00$ - Classe 1
Sollecitazioni: $T_z=5922.88$
 $V,Ed=5922.88$ $V_c,Rd=43217.20$ $V,Ed/V_c,Rd=0.14$

- Verifica a presso o tenso-flessione retta YY (4.2.4.1.2.7) - CC 17 SLU $X_l=2.50$ - Classe 1
Sollecitazioni: $N=5789.22$ $M_y=-7403.60$
 $M_y,Ed=-7403.60$ $M_y,c,Rd=16436.40$
 $N,Ed=5789.22$ $N_c,Rd=155342.00$ YY $n=N,Ed/N_c,Rd=0.04$ $MN_y,c,Rd=16436.40$ $M_y,Ed/MN_y,c,Rd=0.45$

- Verifica di stabilità aste inflesse (4.2.4.1.3.2) CC 17 SLU - Classe 1
 $L_{cr}=5.00$ Curva b: $\alpha_{imp}=0.34$ $k_c=0.94$ $\psi=1.75$ $M_{cr}=13579.60$ $\lambda_{LT}=1.13$
 $\lambda_{LT,0}=0.40$ $\beta_{LT}=0.75$ $\Phi_{LT}=1.10$ $\beta_{LT}=0.75$ $f=0.98$ $\chi_{LT}=0.64$
 $M_y,Ed=-7403.60$ $M_y,b,Rd=10471.50$ $M_y,Ed/M_y,b,Rd=0.71$

- Verifica di stabilità aste presso-inflesse (C4.2.4.1.3.3.2) - CC 19 SLU - Classe 1
Sollecitazioni: $N,Ed=-5789.22$ $M_y,Ed=-7101.73$ $L=5.00$
 $\alpha_{my}, \alpha_{mz}, \alpha_{LT}=0.95, 0.95, 0.95$
 $L_{cr}=5.00$ Curva b: $\alpha_{imp}=0.34$ $k_c=0.94$ $\psi=1.75$ $M_{cr}=13579.60$ $\lambda_{LT}=1.13$
 $\lambda_{LT,0}=0.40$ $\Phi_{LT}=1.10$ $\beta_{LT}=0.75$ $f=0.98$ $\chi_{LT}=0.64$
 $\lambda_y=44.54$ $N_{cr,y}=480014.00$ $\lambda_y^*=0.58$ Curva a: $\Phi_y=0.71$ $\chi_y=0.90$
 $\lambda_z=165.40$ $N_{cr,z}=34809.20$ $\lambda_z^*=2.16$ Curva b: $\Phi_z=3.18$ $\chi_z=0.18$
 $K_{yy}, K_{yz}, K_{zy}, K_{zz}=0.97, 0.73, 0.00, 1.22$
Verifica YY: $0.04+0.65=0.70$
Verifica ZZ: $0.21=0.21$

- Verifica freccia massima carichi totali - CC 22
 $f_{z,L}=1.12$ (L/448)

- Verifica freccia massima per soli carichi accidentali - CC 22
 $f_{z,L}=0.52$ (L/966)

Asta n. 1028 (-73 -64) Sez. 2 IPE270 Crit. 2

- Verifica a flessione YY [4.2.13] - CC 1 SND $X_l=2.50$ - Classe 3
Sollecitazioni: $M_y=-4000.86$
 $M_y,Ed=-4000.86$ $M_y,c,Rd=14500.40$ $M_y,Ed/M_y,c,Rd=0.28$

- Verifica a taglio dir. Z [4.2.16] - CC 17 SLU $X_l=0.00$ - Classe 1
Sollecitazioni: $T_z=5922.88$
 $V,Ed=5922.88$ $V_c,Rd=43217.20$ $V,Ed/V_c,Rd=0.14$

- Verifica a presso o tenso-flessione retta YY (4.2.4.1.2.7) - CC 17 SLU $X_l=2.50$ - Classe 1
Sollecitazioni: $N=5789.22$ $M_y=-7403.60$
 $M_y,Ed=-7403.60$ $M_y,c,Rd=16436.40$
 $N,Ed=5789.22$ $N_c,Rd=155342.00$ YY $n=N,Ed/N_c,Rd=0.04$ $MN_y,c,Rd=16436.40$ $M_y,Ed/MN_y,c,Rd=0.45$

- Verifica di stabilità aste inflesse (4.2.4.1.3.2) CC 17 SLU - Classe 1
 $L_{cr}=5.00$ Curva b: $\alpha_{imp}=0.34$ $k_c=0.94$ $\psi=1.75$ $M_{cr}=13579.60$ $\lambda_{LT}=1.13$
 $\lambda_{LT,0}=0.40$ $\beta_{LT}=0.75$ $\Phi_{LT}=1.10$ $\beta_{LT}=0.75$ $f=0.98$ $\chi_{LT}=0.64$
 $M_y,Ed=-7403.60$ $M_y,b,Rd=10471.50$ $M_y,Ed/M_y,b,Rd=0.71$

- Verifica di stabilità aste presso-inflesse (C4.2.4.1.3.3.2) - CC 19 SLU - Classe 1
Sollecitazioni: $N,Ed=-5789.22$ $M_y,Ed=-7101.73$ $L=5.00$
 $\alpha_{my}, \alpha_{mz}, \alpha_{LT}=0.95, 0.95, 0.95$
 $L_{cr}=5.00$ Curva b: $\alpha_{imp}=0.34$ $k_c=0.94$ $\psi=1.75$ $M_{cr}=13579.60$ $\lambda_{LT}=1.13$
 $\lambda_{LT,0}=0.40$ $\Phi_{LT}=1.10$ $\beta_{LT}=0.75$ $f=0.98$ $\chi_{LT}=0.64$
 $\lambda_y=44.54$ $N_{cr,y}=480014.00$ $\lambda_y^*=0.58$ Curva a: $\Phi_y=0.71$ $\chi_y=0.90$
 $\lambda_z=165.40$ $N_{cr,z}=34809.20$ $\lambda_z^*=2.16$ Curva b: $\Phi_z=3.18$ $\chi_z=0.18$
 $K_{yy}, K_{yz}, K_{zy}, K_{zz}=0.97, 0.73, 0.00, 1.22$
Verifica YY: $0.04+0.65=0.70$
Verifica ZZ: $0.21=0.21$

- Verifica freccia massima carichi totali - CC 22
 $f_{z,L}=1.12$ (L/448)

- Verifica freccia massima per soli carichi accidentali - CC 22

Relazione di calcolo

$f_{z,L}=0.52$ (L/966)

Asta n. 1028 (-82 -73) Sez. 2 IPE270 Crit. 2

- Verifica a flessione YY [4.2.13] - CC 1 SND $X_l=2.50$ - Classe 3
Sollecitazioni: $M_y=-4000.86$
 $M_y,Ed=-4000.86$ $M_y,c,Rd=14500.40$ $M_y,Ed/M_y,c,Rd=0.28$

- Verifica a taglio dir. Z [4.2.16] - CC 17 SLU $X_l=0.00$ - Classe 1
Sollecitazioni: $T_z=5922.88$
 $V,Ed=5922.88$ $V_c,Rd=43217.20$ $V,Ed/V_c,Rd=0.14$

- Verifica a presso o tenso-flessione retta YY (4.2.4.1.2.7) - CC 17 SLU $X_l=2.50$ - Classe 1
Sollecitazioni: $N=5789.22$ $M_y=-7403.60$
 $M_y,Ed=-7403.60$ $M_y,c,Rd=16436.40$
 $N,Ed=5789.22$ $N_c,Rd=155342.00$ YY $n=N,Ed/N_c,Rd=0.04$ $MN_y,c,Rd=16436.40$ $M_y,Ed/MN_y,c,Rd=0.45$

- Verifica di stabilità aste inflesse (4.2.4.1.3.2) CC 17 SLU - Classe 1
 $L_{cr}=5.00$ Curva b: $\alpha_{imp}=0.34$ $k_c=0.94$ $\psi=1.75$ $M_{cr}=13579.60$ $\lambda_{LT}=1.13$
 $\lambda_{LT,0}=0.40$ $\beta_{LT}=0.75$ $\Phi_{LT}=1.10$ $\beta_{LT}=0.75$ $f=0.98$ $\chi_{LT}=0.64$
 $M_y,Ed=-7403.60$ $M_y,b,Rd=10471.50$ $M_y,Ed/M_y,b,Rd=0.71$

- Verifica di stabilità aste presso-inflesse (C4.2.4.1.3.3.2) - CC 19 SLU - Classe 1
Sollecitazioni: $N,Ed=-5789.22$ $M_y,Ed=-7101.73$ $L=5.00$
 $\alpha_{my}, \alpha_{mz}, \alpha_{LT}=0.95, 0.95, 0.95$
 $L_{cr}=5.00$ Curva b: $\alpha_{imp}=0.34$ $k_c=0.94$ $\psi=1.75$ $M_{cr}=13579.60$ $\lambda_{LT}=1.13$
 $\lambda_{LT,0}=0.40$ $\Phi_{LT}=1.10$ $\beta_{LT}=0.75$ $f=0.98$ $\chi_{LT}=0.64$
 $\lambda_y=44.54$ $N_{cr,y}=480014.00$ $\lambda_y^*=0.58$ Curva a: $\Phi_y=0.71$ $\chi_y=0.90$
 $\lambda_z=165.40$ $N_{cr,z}=34809.20$ $\lambda_z^*=2.16$ Curva b: $\Phi_z=3.18$ $\chi_z=0.18$
 $K_{yy}, K_{yz}, K_{zy}, K_{zz}=0.97, 0.73, 0.00, 1.22$
Verifica YY: $0.04+0.65=0.70$
Verifica ZZ: $0.21=0.21$

- Verifica freccia massima carichi totali - CC 22
 $f_{z,L}=1.12$ (L/448)

- Verifica freccia massima per soli carichi accidentali - CC 22
 $f_{z,L}=0.52$ (L/966)

Asta n. 1028 (-91 -82) Sez. 2 IPE270 Crit. 2

- Verifica a flessione YY [4.2.13] - CC 1 SND $X_l=2.50$ - Classe 3
Sollecitazioni: $M_y=-4000.86$
 $M_y,Ed=-4000.86$ $M_y,c,Rd=14500.40$ $M_y,Ed/M_y,c,Rd=0.28$

- Verifica a taglio dir. Z [4.2.16] - CC 17 SLU $X_l=0.00$ - Classe 1
Sollecitazioni: $T_z=5922.88$
 $V,Ed=5922.88$ $V_c,Rd=43217.20$ $V,Ed/V_c,Rd=0.14$

- Verifica a presso o tenso-flessione retta YY (4.2.4.1.2.7) - CC 17 SLU $X_l=2.50$ - Classe 1
Sollecitazioni: $N=5789.22$ $M_y=-7403.60$
 $M_y,Ed=-7403.60$ $M_y,c,Rd=16436.40$
 $N,Ed=5789.22$ $N_c,Rd=155342.00$ YY $n=N,Ed/N_c,Rd=0.04$ $MN_y,c,Rd=16436.40$ $M_y,Ed/MN_y,c,Rd=0.45$

- Verifica di stabilità aste inflesse (4.2.4.1.3.2) CC 17 SLU - Classe 1
 $L_{cr}=5.00$ Curva b: $\alpha_{imp}=0.34$ $k_c=0.94$ $\psi=1.75$ $M_{cr}=13579.60$ $\lambda_{LT}=1.13$
 $\lambda_{LT,0}=0.40$ $\beta_{LT}=0.75$ $\Phi_{LT}=1.10$ $\beta_{LT}=0.75$ $f=0.98$ $\chi_{LT}=0.64$
 $M_y,Ed=-7403.60$ $M_y,b,Rd=10471.50$ $M_y,Ed/M_y,b,Rd=0.71$

- Verifica di stabilità aste presso-inflesse (C4.2.4.1.3.3.2) - CC 19 SLU - Classe 1
Sollecitazioni: $N,Ed=-5789.22$ $M_y,Ed=-7101.73$ $L=5.00$
 $\alpha_{my}, \alpha_{mz}, \alpha_{LT}=0.95, 0.95, 0.95$
 $L_{cr}=5.00$ Curva b: $\alpha_{imp}=0.34$ $k_c=0.94$ $\psi=1.75$ $M_{cr}=13579.60$ $\lambda_{LT}=1.13$
 $\lambda_{LT,0}=0.40$ $\Phi_{LT}=1.10$ $\beta_{LT}=0.75$ $f=0.98$ $\chi_{LT}=0.64$
 $\lambda_y=44.54$ $N_{cr,y}=480014.00$ $\lambda_y^*=0.58$ Curva a: $\Phi_y=0.71$ $\chi_y=0.90$
 $\lambda_z=165.40$ $N_{cr,z}=34809.20$ $\lambda_z^*=2.16$ Curva b: $\Phi_z=3.18$ $\chi_z=0.18$
 $K_{yy}, K_{yz}, K_{zy}, K_{zz}=0.97, 0.73, 0.00, 1.22$
Verifica YY: $0.04+0.65=0.70$
Verifica ZZ: $0.21=0.21$

- Verifica freccia massima carichi totali - CC 22
 $f_{z,L}=1.12$ (L/448)

- Verifica freccia massima per soli carichi accidentali - CC 22
 $f_{z,L}=0.52$ (L/966)

Asta n. 1028 (-100 -91) Sez. 2 IPE270 Crit. 2

- Verifica a flessione YY [4.2.13] - CC 1 SND $X_l=2.50$ - Classe 3

Relazione di calcolo

Sollecitazioni: $M_y = -4000.86$
 $M_y, Ed = -4000.86$ $M_y, c, Rd = 14500.40$ $M_y, Ed/M_y, c, Rd = 0.28$

- Verifica a taglio dir. Z [4.2.16] - CC 17 SLU $X_l = 0.00$ - Classe 1
Sollecitazioni: $T_z = 5922.88$
 $V, Ed = 5922.88$ $V_c, Rd = 43217.20$ $V, Ed/V_c, Rd = 0.14$

- Verifica a presso o tenso-flessione retta YY (4.2.4.1.2.7) - CC 17 SLU $X_l = 2.50$ - Classe 1
Sollecitazioni: $N = 5789.22$ $M_y = -7403.60$
 $M_y, Ed = -7403.60$ $M_y, c, Rd = 16436.40$
 $N, Ed = 5789.22$ $N_c, Rd = 155342.00$ $YY \ n = N, Ed/N_c, Rd = 0.04$ $MN_y, c, Rd = 16436.40$ $M_y, Ed/MN_y, c, Rd = 0.45$

- Verifica di stabilità aste inflesse (4.2.4.1.3.2) CC 17 SLU - Classe 1
 $L_{cr} = 5.00$ Curva b: $\alpha_{imp} = 0.34$ $k_c = 0.94$ $\psi = 1.75$ $M_{cr} = 13579.60$ $\lambda_{LT} = 1.13$
 $\lambda_{LT,0} = 0.40$ $\beta_{LT} = 0.75$ $\Phi_{LT} = 1.10$ $\beta_{LT} = 0.75$ $f = 0.98$ $\chi_{LT} = 0.64$
 $M_y, Ed = -7403.60$ $M_y, b, Rd = 10471.50$ $M_y, Ed/M_y, b, Rd = 0.71$

- Verifica di stabilità aste presso-inflesse (C4.2.4.1.3.3.2) - CC 19 SLU - Classe 1
Sollecitazioni: $N, Ed = -5789.22$ $M_y, Ed = -7101.73$ $L = 5.00$
 $\alpha_{my}, \alpha_{mz}, \alpha_{LT} = 0.95, 0.95, 0.95$
 $L_{cr} = 5.00$ Curva b: $\alpha_{imp} = 0.34$ $k_c = 0.94$ $\psi = 1.75$ $M_{cr} = 13579.60$ $\lambda_{LT} = 1.13$
 $\lambda_{LT,0} = 0.40$ $\Phi_{LT} = 1.10$ $\beta_{LT} = 0.75$ $f = 0.98$ $\chi_{LT} = 0.64$
 $\lambda_y = 44.54$ $N_{cr,y} = 480014.00$ $\lambda_y^* = 0.58$ Curva a: $\Phi_y = 0.71$ $\chi_y = 0.90$
 $\lambda_z = 165.40$ $N_{cr,z} = 34809.20$ $\lambda_z^* = 2.16$ Curva b: $\Phi_z = 3.18$ $\chi_z = 0.18$
 $K_{yy}, K_{yz}, K_{zy}, K_{zz} = 0.97, 0.73, 0.00, 1.22$
Verifica YY: $0.04 + 0.65 = 0.70$
Verifica ZZ: $0.21 = 0.21$

- Verifica freccia massima carichi totali - CC 22
 $f_{z,L} = 1.12$ (L/448)

- Verifica freccia massima per soli carichi accidentali - CC 22
 $f_{z,L} = 0.52$ (L/966)

Asta n. 1028 (-108 -100) Sez. 2 IPE270 Crit. 2

- Verifica a flessione YY [4.2.13] - CC 1 SND $X_l = 2.50$ - Classe 3
Sollecitazioni: $M_y = -4000.86$
 $M_y, Ed = -4000.86$ $M_y, c, Rd = 14500.40$ $M_y, Ed/M_y, c, Rd = 0.28$

- Verifica a taglio dir. Z [4.2.16] - CC 17 SLU $X_l = 0.00$ - Classe 1
Sollecitazioni: $T_z = 5922.88$
 $V, Ed = 5922.88$ $V_c, Rd = 43217.20$ $V, Ed/V_c, Rd = 0.14$

- Verifica a presso o tenso-flessione retta YY (4.2.4.1.2.7) - CC 17 SLU $X_l = 2.50$ - Classe 1
Sollecitazioni: $N = 5789.22$ $M_y = -7403.60$
 $M_y, Ed = -7403.60$ $M_y, c, Rd = 16436.40$
 $N, Ed = 5789.22$ $N_c, Rd = 155342.00$ $YY \ n = N, Ed/N_c, Rd = 0.04$ $MN_y, c, Rd = 16436.40$ $M_y, Ed/MN_y, c, Rd = 0.45$

- Verifica di stabilità aste inflesse (4.2.4.1.3.2) CC 17 SLU - Classe 1
 $L_{cr} = 5.00$ Curva b: $\alpha_{imp} = 0.34$ $k_c = 0.94$ $\psi = 1.75$ $M_{cr} = 13579.60$ $\lambda_{LT} = 1.13$
 $\lambda_{LT,0} = 0.40$ $\beta_{LT} = 0.75$ $\Phi_{LT} = 1.10$ $\beta_{LT} = 0.75$ $f = 0.98$ $\chi_{LT} = 0.64$
 $M_y, Ed = -7403.60$ $M_y, b, Rd = 10471.50$ $M_y, Ed/M_y, b, Rd = 0.71$

- Verifica di stabilità aste presso-inflesse (C4.2.4.1.3.3.2) - CC 19 SLU - Classe 1
Sollecitazioni: $N, Ed = -5789.22$ $M_y, Ed = -7101.73$ $L = 5.00$
 $\alpha_{my}, \alpha_{mz}, \alpha_{LT} = 0.95, 0.95, 0.95$
 $L_{cr} = 5.00$ Curva b: $\alpha_{imp} = 0.34$ $k_c = 0.94$ $\psi = 1.75$ $M_{cr} = 13579.60$ $\lambda_{LT} = 1.13$
 $\lambda_{LT,0} = 0.40$ $\Phi_{LT} = 1.10$ $\beta_{LT} = 0.75$ $f = 0.98$ $\chi_{LT} = 0.64$
 $\lambda_y = 44.54$ $N_{cr,y} = 480014.00$ $\lambda_y^* = 0.58$ Curva a: $\Phi_y = 0.71$ $\chi_y = 0.90$
 $\lambda_z = 165.40$ $N_{cr,z} = 34809.20$ $\lambda_z^* = 2.16$ Curva b: $\Phi_z = 3.18$ $\chi_z = 0.18$
 $K_{yy}, K_{yz}, K_{zy}, K_{zz} = 0.97, 0.73, 0.00, 1.22$
Verifica YY: $0.04 + 0.65 = 0.70$
Verifica ZZ: $0.21 = 0.21$

- Verifica freccia massima carichi totali - CC 22
 $f_{z,L} = 1.12$ (L/448)

- Verifica freccia massima per soli carichi accidentali - CC 22
 $f_{z,L} = 0.52$ (L/966)

Asta n. 1029 (1022 1012) Sez. 2 IPE270 Crit. 2

- Verifica a flessione YY [4.2.13] - CC 1 SND $X_l = 2.50$ - Classe 3
Sollecitazioni: $M_y = -3688.42$
 $M_y, Ed = -3688.42$ $M_y, c, Rd = 14500.40$ $M_y, Ed/M_y, c, Rd = 0.25$

- Verifica a taglio dir. Z [4.2.16] - CC 17 SLU $X_l = 0.00$ - Classe 1
Sollecitazioni: $T_z = 5456.35$

Relazione di calcolo

V,Ed=5456.35 Vc,Rd=43217.20 V,Ed/Vc,Rd=0.13

- Verifica a presso o tenso-flessione retta YY (4.2.4.1.2.7) - CC 17 SLU Xl=2.50 - Classe 1
 Sollecitazioni: N=5789.22 M_y=-6820.44
 My,Ed=-6820.44 My,c,Rd=16436.40
 N,Ed=5789.22 Nc,Rd=155342.00 YY n=N,Ed/Nc,Rd=0.04 MNy,c,Rd=16436.40 My,Ed/MNy,c,Rd=0.41

- Verifica di stabilità aste inflesse (4.2.4.1.3.2) CC 17 SLU - Classe 1
 L_{cr}=5.00 Curva b: $\alpha_{imp}=0.34$ k_c=0.94 $\psi=1.75$ M,cr=13579.60 $\lambda_{LT}=1.13$
 $\lambda_{LT,0}=0.40$ $\beta_{LT}=0.75$ $\Phi_{LT}=1.10$ $\beta_{LT}=0.75$ f=0.98 $\chi_{LT}=0.64$
 My,Ed=-6820.44 My,b,Rd=10471.50 My,Ed/My,b,Rd=0.65

- Verifica di stabilità aste presso-inflesse (C4.2.4.1.3.3.2) - CC 19 SLU - Classe 1
 Sollecitazioni: N,Ed=-5789.22 My,Ed=-6542.82 L=5.00
 α_{my} , α_{mz} , $\alpha_{LT}=0.95$, 0.95, 0.95
 L_{cr}=5.00 Curva b: $\alpha_{imp}=0.34$ k_c=0.94 $\psi=1.75$ M,cr=13579.60 $\lambda_{LT}=1.13$
 $\lambda_{LT,0}=0.40$ $\Phi_{LT}=1.10$ $\beta_{LT}=0.75$ f=0.98 $\chi_{LT}=0.64$
 $\lambda_y=44.54$ Ncr,y=480014.00 $\lambda^*_y=0.58$ Curva a: $\Phi_y=0.71$ $\chi_y=0.90$
 $\lambda_z=165.40$ Ncr,z=34809.20 $\lambda^*_z=2.16$ Curva b: $\Phi_z=3.18$ $\chi_z=0.18$
 Kyy, Kyz, Kzy, Kzz=0.97, 0.73, 0.00, 1.22
 Verifica YY: 0.04+0.60=0.64
 Verifica ZZ: 0.21=0.21

- Verifica freccia massima carichi totali - CC 22
 f_{z,L}=1.03 (L/486)

- Verifica freccia massima per soli carichi accidentali - CC 22
 f_{z,L}=0.48 (L/1051)

Asta n. 1029 (1032 1022) Sez. 2 IPE270 Crit. 2

- Verifica a flessione YY [4.2.13] - CC 1 SND Xl=2.50 - Classe 3
 Sollecitazioni: M_y=-3688.42
 My,Ed=-3688.42 My,c,Rd=14500.40 My,Ed/My,c,Rd=0.25

- Verifica a taglio dir. Z [4.2.16] - CC 17 SLU Xl=0.00 - Classe 1
 Sollecitazioni: T_z=5456.35
 V,Ed=5456.35 Vc,Rd=43217.20 V,Ed/Vc,Rd=0.13

- Verifica a presso o tenso-flessione retta YY (4.2.4.1.2.7) - CC 17 SLU Xl=2.50 - Classe 1
 Sollecitazioni: N=5789.22 M_y=-6820.44
 My,Ed=-6820.44 My,c,Rd=16436.40
 N,Ed=5789.22 Nc,Rd=155342.00 YY n=N,Ed/Nc,Rd=0.04 MNy,c,Rd=16436.40 My,Ed/MNy,c,Rd=0.41

- Verifica di stabilità aste inflesse (4.2.4.1.3.2) CC 17 SLU - Classe 1
 L_{cr}=5.00 Curva b: $\alpha_{imp}=0.34$ k_c=0.94 $\psi=1.75$ M,cr=13579.60 $\lambda_{LT}=1.13$
 $\lambda_{LT,0}=0.40$ $\beta_{LT}=0.75$ $\Phi_{LT}=1.10$ $\beta_{LT}=0.75$ f=0.98 $\chi_{LT}=0.64$
 My,Ed=-6820.44 My,b,Rd=10471.50 My,Ed/My,b,Rd=0.65

- Verifica di stabilità aste presso-inflesse (C4.2.4.1.3.3.2) - CC 19 SLU - Classe 1
 Sollecitazioni: N,Ed=-5789.22 My,Ed=-6542.82 L=5.00
 α_{my} , α_{mz} , $\alpha_{LT}=0.95$, 0.95, 0.95
 L_{cr}=5.00 Curva b: $\alpha_{imp}=0.34$ k_c=0.94 $\psi=1.75$ M,cr=13579.60 $\lambda_{LT}=1.13$
 $\lambda_{LT,0}=0.40$ $\Phi_{LT}=1.10$ $\beta_{LT}=0.75$ f=0.98 $\chi_{LT}=0.64$
 $\lambda_y=44.54$ Ncr,y=480014.00 $\lambda^*_y=0.58$ Curva a: $\Phi_y=0.71$ $\chi_y=0.90$
 $\lambda_z=165.40$ Ncr,z=34809.20 $\lambda^*_z=2.16$ Curva b: $\Phi_z=3.18$ $\chi_z=0.18$
 Kyy, Kyz, Kzy, Kzz=0.97, 0.73, 0.00, 1.22
 Verifica YY: 0.04+0.60=0.64
 Verifica ZZ: 0.21=0.21

- Verifica freccia massima carichi totali - CC 22
 f_{z,L}=1.03 (L/486)

- Verifica freccia massima per soli carichi accidentali - CC 22
 f_{z,L}=0.48 (L/1051)

Asta n. 1029 (1042 1032) Sez. 2 IPE270 Crit. 2

- Verifica a flessione YY [4.2.13] - CC 1 SND Xl=2.50 - Classe 3
 Sollecitazioni: M_y=-3688.42
 My,Ed=-3688.42 My,c,Rd=14500.40 My,Ed/My,c,Rd=0.25

- Verifica a taglio dir. Z [4.2.16] - CC 17 SLU Xl=0.00 - Classe 1
 Sollecitazioni: T_z=5456.35
 V,Ed=5456.35 Vc,Rd=43217.20 V,Ed/Vc,Rd=0.13

- Verifica a presso o tenso-flessione retta YY (4.2.4.1.2.7) - CC 17 SLU Xl=2.50 - Classe 1
 Sollecitazioni: N=5789.22 M_y=-6820.44
 My,Ed=-6820.44 My,c,Rd=16436.40

Relazione di calcolo

N,Ed=5789.22 Nc,Rd=155342.00 YY n=N,Ed/Nc,Rd=0.04 MNy,c,Rd=16436.40 My,Ed/MNy,c,Rd=0.41

- Verifica di stabilità aste inflesse (4.2.4.1.3.2) CC 17 SLU - Classe 1
L_{cr}=5.00 Curva b: $\alpha_{imp}=0.34$ $k_c=0.94$ $\psi=1.75$ M_{cr}=13579.60 $\lambda_{LT}=1.13$
 $\lambda_{LT,0}=0.40$ $\beta_{LT}=0.75$ $\Phi_{LT}=1.10$ $\beta_{LT}=0.75$ $f=0.98$ $\chi_{LT}=0.64$
My,Ed=-6820.44 My,b,Rd=10471.50 My,Ed/My,b,Rd=0.65

- Verifica di stabilità aste presso-inflesse (C4.2.4.1.3.3.2) - CC 19 SLU - Classe 1
Sollecitazioni: N,Ed=-5789.22 My,Ed=-6542.82 L=5.00
 α_{my} , α_{mz} , $\alpha_{LT}=0.95$, 0.95 , 0.95
L_{cr}=5.00 Curva b: $\alpha_{imp}=0.34$ $k_c=0.94$ $\psi=1.75$ M_{cr}=13579.60 $\lambda_{LT}=1.13$
 $\lambda_{LT,0}=0.40$ $\Phi_{LT}=1.10$ $\beta_{LT}=0.75$ $f=0.98$ $\chi_{LT}=0.64$
 $\lambda_y=44.54$ N_{cr,y}=480014.00 $\lambda^*_y=0.58$ Curva a: $\Phi_y=0.71$ $\chi_y=0.90$
 $\lambda_z=165.40$ N_{cr,z}=34809.20 $\lambda^*_z=2.16$ Curva b: $\Phi_z=3.18$ $\chi_z=0.18$
K_{yy}, K_{yz}, K_{zy}, K_{zz}=0.97, 0.73, 0.00, 1.22
Verifica YY: 0.04+0.60=0.64
Verifica ZZ: 0.21=0.21

- Verifica freccia massima carichi totali - CC 22
f_{z,L}=1.03 (L/486)

- Verifica freccia massima per soli carichi accidentali - CC 22
f_{z,L}=0.48 (L/1051)

Asta n. 1029 (1052 1042) Sez. 2 IPE270 Crit. 2

- Verifica a flessione YY [4.2.13] - CC 1 SND Xl=2.50 - Classe 3
Sollecitazioni: M_y=-3688.42
My,Ed=-3688.42 My,c,Rd=14500.40 My,Ed/My,c,Rd=0.25

- Verifica a taglio dir. Z [4.2.16] - CC 17 SLU Xl=0.00 - Classe 1
Sollecitazioni: T_z=5456.35
V,Ed=5456.35 Vc,Rd=43217.20 V,Ed/Vc,Rd=0.13

- Verifica a presso o tenso-flessione retta YY (4.2.4.1.2.7) - CC 17 SLU Xl=2.50 - Classe 1
Sollecitazioni: N=5789.22 M_y=-6820.44
My,Ed=-6820.44 My,c,Rd=16436.40
N,Ed=5789.22 Nc,Rd=155342.00 YY n=N,Ed/Nc,Rd=0.04 MNy,c,Rd=16436.40 My,Ed/MNy,c,Rd=0.41

- Verifica di stabilità aste inflesse (4.2.4.1.3.2) CC 17 SLU - Classe 1
L_{cr}=5.00 Curva b: $\alpha_{imp}=0.34$ $k_c=0.94$ $\psi=1.75$ M_{cr}=13579.60 $\lambda_{LT}=1.13$
 $\lambda_{LT,0}=0.40$ $\beta_{LT}=0.75$ $\Phi_{LT}=1.10$ $\beta_{LT}=0.75$ $f=0.98$ $\chi_{LT}=0.64$
My,Ed=-6820.44 My,b,Rd=10471.50 My,Ed/My,b,Rd=0.65

- Verifica di stabilità aste presso-inflesse (C4.2.4.1.3.3.2) - CC 19 SLU - Classe 1
Sollecitazioni: N,Ed=-5789.22 My,Ed=-6542.82 L=5.00
 α_{my} , α_{mz} , $\alpha_{LT}=0.95$, 0.95 , 0.95
L_{cr}=5.00 Curva b: $\alpha_{imp}=0.34$ $k_c=0.94$ $\psi=1.75$ M_{cr}=13579.60 $\lambda_{LT}=1.13$
 $\lambda_{LT,0}=0.40$ $\Phi_{LT}=1.10$ $\beta_{LT}=0.75$ $f=0.98$ $\chi_{LT}=0.64$
 $\lambda_y=44.54$ N_{cr,y}=480014.00 $\lambda^*_y=0.58$ Curva a: $\Phi_y=0.71$ $\chi_y=0.90$
 $\lambda_z=165.40$ N_{cr,z}=34809.20 $\lambda^*_z=2.16$ Curva b: $\Phi_z=3.18$ $\chi_z=0.18$
K_{yy}, K_{yz}, K_{zy}, K_{zz}=0.97, 0.73, 0.00, 1.22
Verifica YY: 0.04+0.60=0.64
Verifica ZZ: 0.21=0.21

- Verifica freccia massima carichi totali - CC 22
f_{z,L}=1.03 (L/486)

- Verifica freccia massima per soli carichi accidentali - CC 22
f_{z,g}=0.48 (L/1051)

Asta n. 1029 (1062 1052) Sez. 2 IPE270 Crit. 2

- Verifica a flessione YY [4.2.13] - CC 1 SND Xl=2.50 - Classe 3
Sollecitazioni: M_y=-3688.42
My,Ed=-3688.42 My,c,Rd=14500.40 My,Ed/My,c,Rd=0.25

- Verifica a taglio dir. Z [4.2.16] - CC 17 SLU Xl=0.00 - Classe 1
Sollecitazioni: T_z=5456.35
V,Ed=5456.35 Vc,Rd=43217.20 V,Ed/Vc,Rd=0.13

- Verifica a presso o tenso-flessione retta YY (4.2.4.1.2.7) - CC 17 SLU Xl=2.50 - Classe 1
Sollecitazioni: N=5789.22 M_y=-6820.44
My,Ed=-6820.44 My,c,Rd=16436.40
N,Ed=5789.22 Nc,Rd=155342.00 YY n=N,Ed/Nc,Rd=0.04 MNy,c,Rd=16436.40 My,Ed/MNy,c,Rd=0.41

- Verifica di stabilità aste inflesse (4.2.4.1.3.2) CC 17 SLU - Classe 1
L_{cr}=5.00 Curva b: $\alpha_{imp}=0.34$ $k_c=0.94$ $\psi=1.75$ M_{cr}=13579.60 $\lambda_{LT}=1.13$
 $\lambda_{LT,0}=0.40$ $\beta_{LT}=0.75$ $\Phi_{LT}=1.10$ $\beta_{LT}=0.75$ $f=0.98$ $\chi_{LT}=0.64$

Relazione di calcolo

My,Ed=-6820.44 My,b,Rd=10471.50 My,Ed/My,b,Rd=0.65

- Verifica di stabilità aste presso-inflesse (C4.2.4.1.3.3.2) - CC 19 SLU - Classe 1
Sollecitazioni: N,Ed=-5789.22 My,Ed=-6542.82 L=5.00
 α_{my} , α_{mz} , α_{LT} =0.95, 0.95, 0.95
L_{cr}=5.00 Curva b: α_{imp} =0.34 k_c =0.94 ψ =1.75 M_{cr}=13579.60 λ_{LT} =1.13
 $\lambda_{LT,0}$ =0.40 Φ_{LT} =1.10 β_{LT} =0.75 f=0.98 χ_{LT} =0.64
 λ_y =44.54 N_{cr,y}=480014.00 λ^*_y =0.58 Curva a: Φ_y =0.71 χ_y =0.90
 λ_z =165.40 N_{cr,z}=34809.20 λ^*_z =2.16 Curva b: Φ_z =3.18 χ_z =0.18
K_{yy}, K_{yz}, K_{zy}, K_{zz}=0.97, 0.73, 0.00, 1.22
Verifica YY: 0.04+0.60=0.64
Verifica ZZ: 0.21=0.21

- Verifica freccia massima carichi totali - CC 22
f_{z,L}=1.03 (L/486)

- Verifica freccia massima per soli carichi accidentali - CC 22
f_{z,L}=0.48 (L/1051)

Asta n. 1029 (1072 1062) Sez. 2 IPE270 Crit. 2

- Verifica a flessione YY [4.2.13] - CC 1 SND Xl=2.50 - Classe 3
Sollecitazioni: M_y=-2056.79
My,Ed=-2056.79 My,c,Rd=14500.40 My,Ed/My,c,Rd=0.14

- Verifica a taglio dir. Z [4.2.16] - CC 17 SLU Xl=0.00 - Classe 1
Sollecitazioni: T_z=3020.05
V,Ed=3020.05 V_c,Rd=43217.20 V,Ed/V_c,Rd=0.07

- Verifica in termini tensionali [4.2.4] - CC 19 SLU Xl=3.64 - Classe 3
Sollecitazioni: N=-5789.22 T_z=-1317.86 M_y=-2875.34
Tensioni: σ_N =-126.00 $\sigma_{m,d}$ =-670.42 τ =0.00 σ_{max} =-796.42 (sfrut=0.24)
Tensioni: σ_N =-126.00 $\sigma_{m,d}$ =0.00 τ =88.71 τ_{max} =88.71 (sfrut=0.05)
Tensioni: σ_N =-126.00 $\sigma_{m,d}$ =-670.42 τ =0.00 $\sigma_{ID,max}$ =796.42 (sfrut=0.24)

- Verifica di stabilità aste inflesse (4.2.4.1.3.2) CC 17 SLU - Classe 1
L_{cr}=5.00 Curva b: α_{imp} =0.34 k_c =0.94 ψ =1.75 M_{cr}=13579.60 λ_{LT} =1.13
 $\lambda_{LT,0}$ =0.40 β_{LT} =0.75 Φ_{LT} =1.10 β_{LT} =0.75 f=0.98 χ_{LT} =0.64
My,Ed=-3775.06 My,b,Rd=10471.50 My,Ed/My,b,Rd=0.36

- Verifica di stabilità aste presso-inflesse (C4.2.4.1.3.3.2) - CC 19 SLU - Classe 1
Sollecitazioni: N,Ed=-5789.22 My,Ed=-3624.13 L=5.00
 α_{my} , α_{mz} , α_{LT} =0.95, 0.95, 0.95
L_{cr}=5.00 Curva b: α_{imp} =0.34 k_c =0.94 ψ =1.75 M_{cr}=13579.60 λ_{LT} =1.13
 $\lambda_{LT,0}$ =0.40 Φ_{LT} =1.10 β_{LT} =0.75 f=0.98 χ_{LT} =0.64
 λ_y =44.54 N_{cr,y}=480014.00 λ^*_y =0.58 Curva a: Φ_y =0.71 χ_y =0.90
 λ_z =165.40 N_{cr,z}=34809.20 λ^*_z =2.16 Curva b: Φ_z =3.18 χ_z =0.18
K_{yy}, K_{yz}, K_{zy}, K_{zz}=0.97, 0.73, 0.00, 1.22
Verifica YY: 0.04+0.33=0.38
Verifica ZZ: 0.21=0.21

- Verifica freccia massima carichi totali - CC 22
f_{z,L}=0.57 (L/877)

- Verifica freccia massima per soli carichi accidentali - CC 22
f_{z,L}=0.26 (L/1933)

Asta n. 1029 (1082 1072) Sez. 2 IPE270 Crit. 2

- Verifica a flessione YY [4.2.13] - CC 1 SND Xl=2.50 - Classe 3
Sollecitazioni: M_y=-3688.42
My,Ed=-3688.42 My,c,Rd=14500.40 My,Ed/My,c,Rd=0.25

- Verifica a taglio dir. Z [4.2.16] - CC 17 SLU Xl=0.00 - Classe 1
Sollecitazioni: T_z=5456.35
V,Ed=5456.35 V_c,Rd=43217.20 V,Ed/V_c,Rd=0.13

- Verifica a presso o tenso-flessione retta YY (4.2.4.1.2.7) - CC 17 SLU Xl=2.50 - Classe 1
Sollecitazioni: N=5789.22 M_y=-6820.44
My,Ed=-6820.44 My,c,Rd=16436.40
N,Ed=5789.22 N_c,Rd=155342.00 YY n=N,Ed/N_c,Rd=0.04 MN_y,c,Rd=16436.40 My,Ed/MN_y,c,Rd=0.41

- Verifica di stabilità aste inflesse (4.2.4.1.3.2) CC 17 SLU - Classe 1
L_{cr}=5.00 Curva b: α_{imp} =0.34 k_c =0.94 ψ =1.75 M_{cr}=13579.60 λ_{LT} =1.13
 $\lambda_{LT,0}$ =0.40 β_{LT} =0.75 Φ_{LT} =1.10 β_{LT} =0.75 f=0.98 χ_{LT} =0.64
My,Ed=-6820.44 My,b,Rd=10471.50 My,Ed/My,b,Rd=0.65

- Verifica di stabilità aste presso-inflesse (C4.2.4.1.3.3.2) - CC 19 SLU - Classe 1
Sollecitazioni: N,Ed=-5789.22 My,Ed=-6542.82 L=5.00

Relazione di calcolo

$\alpha_{my}, \alpha_{mz}, \alpha_{LT}=0.95, 0.95, 0.95$
 $L_{cr}=5.00$ Curva b: $\alpha_{imp}=0.34$ $k_c=0.94$ $\psi=1.75$ $M_{cr}=13579.60$ $\lambda_{LT}=1.13$
 $\lambda_{LT,0}=0.40$ $\Phi_{LT}=1.10$ $\beta_{LT}=0.75$ $f=0.98$ $\chi_{LT}=0.64$
 $\lambda_y=44.54$ $N_{cr,y}=480014.00$ $\lambda_y^*=0.58$ Curva a: $\Phi_y=0.71$ $\chi_y=0.90$
 $\lambda_z=165.40$ $N_{cr,z}=34809.20$ $\lambda_z^*=2.16$ Curva b: $\Phi_z=3.18$ $\chi_z=0.18$
 $K_{yy}, K_{yz}, K_{zy}, K_{zz}=0.97, 0.73, 0.00, 1.22$
Verifica YY: $0.04+0.60=0.64$
Verifica ZZ: $0.21=0.21$

- Verifica freccia massima carichi totali - CC 22
 $f_{z,L}=1.03$ (L/486)

- Verifica freccia massima per soli carichi accidentali - CC 22
 $f_{z,L}=0.48$ (L/1051)

Asta n. 1029 (1092 1082) Sez. 2 IPE270 Crit. 2

- Verifica a flessione YY [4.2.13] - CC 1 SND $X_1=2.50$ - Classe 3
Sollecitazioni: $M_y=-3688.42$
 $M_y, Ed=-3688.42$ $M_y, c, Rd=14500.40$ $M_y, Ed/M_y, c, Rd=0.25$

- Verifica a taglio dir. Z [4.2.16] - CC 17 SLU $X_1=0.00$ - Classe 1
Sollecitazioni: $T_z=5456.35$
 $V, Ed=5456.35$ $V_c, Rd=43217.20$ $V, Ed/V_c, Rd=0.13$

- Verifica a presso o tenso-flessione retta YY (4.2.4.1.2.7) - CC 17 SLU $X_1=2.50$ - Classe 1
Sollecitazioni: $N=5789.22$ $M_y=-6820.44$
 $M_y, Ed=-6820.44$ $M_y, c, Rd=16436.40$
 $N, Ed=5789.22$ $N_c, Rd=155342.00$ YY $n=N, Ed/N_c, Rd=0.04$ $MN_y, c, Rd=16436.40$ $M_y, Ed/MN_y, c, Rd=0.41$

- Verifica di stabilità aste inflesse (4.2.4.1.3.2) CC 17 SLU - Classe 1
 $L_{cr}=5.00$ Curva b: $\alpha_{imp}=0.34$ $k_c=0.94$ $\psi=1.75$ $M_{cr}=13579.60$ $\lambda_{LT}=1.13$
 $\lambda_{LT,0}=0.40$ $\beta_{LT}=0.75$ $\Phi_{LT}=1.10$ $\beta_{LT}=0.75$ $f=0.98$ $\chi_{LT}=0.64$
 $M_y, Ed=-6820.44$ $M_y, b, Rd=10471.50$ $M_y, Ed/M_y, b, Rd=0.65$

- Verifica di stabilità aste presso-inflesse (C4.2.4.1.3.3.2) - CC 19 SLU - Classe 1
Sollecitazioni: $N, Ed=-5789.22$ $M_y, Ed=-6542.82$ $L=5.00$
 $\alpha_{my}, \alpha_{mz}, \alpha_{LT}=0.95, 0.95, 0.95$
 $L_{cr}=5.00$ Curva b: $\alpha_{imp}=0.34$ $k_c=0.94$ $\psi=1.75$ $M_{cr}=13579.60$ $\lambda_{LT}=1.13$
 $\lambda_{LT,0}=0.40$ $\Phi_{LT}=1.10$ $\beta_{LT}=0.75$ $f=0.98$ $\chi_{LT}=0.64$
 $\lambda_y=44.54$ $N_{cr,y}=480014.00$ $\lambda_y^*=0.58$ Curva a: $\Phi_y=0.71$ $\chi_y=0.90$
 $\lambda_z=165.40$ $N_{cr,z}=34809.20$ $\lambda_z^*=2.16$ Curva b: $\Phi_z=3.18$ $\chi_z=0.18$
 $K_{yy}, K_{yz}, K_{zy}, K_{zz}=0.97, 0.73, 0.00, 1.22$
Verifica YY: $0.04+0.60=0.64$
Verifica ZZ: $0.21=0.21$

- Verifica freccia massima carichi totali - CC 22
 $f_{z,L}=1.03$ (L/486)

- Verifica freccia massima per soli carichi accidentali - CC 22
 $f_{z,L}=0.48$ (L/1051)

Asta n. 1029 (1102 1092) Sez. 2 IPE270 Crit. 2

- Verifica a flessione YY [4.2.13] - CC 1 SND $X_1=2.50$ - Classe 3
Sollecitazioni: $M_y=-3688.42$
 $M_y, Ed=-3688.42$ $M_y, c, Rd=14500.40$ $M_y, Ed/M_y, c, Rd=0.25$

- Verifica a taglio dir. Z [4.2.16] - CC 17 SLU $X_1=0.00$ - Classe 1
Sollecitazioni: $T_z=5456.35$
 $V, Ed=5456.35$ $V_c, Rd=43217.20$ $V, Ed/V_c, Rd=0.13$

- Verifica a presso o tenso-flessione retta YY (4.2.4.1.2.7) - CC 17 SLU $X_1=2.50$ - Classe 1
Sollecitazioni: $N=5789.22$ $M_y=-6820.44$
 $M_y, Ed=-6820.44$ $M_y, c, Rd=16436.40$
 $N, Ed=5789.22$ $N_c, Rd=155342.00$ YY $n=N, Ed/N_c, Rd=0.04$ $MN_y, c, Rd=16436.40$ $M_y, Ed/MN_y, c, Rd=0.41$

- Verifica di stabilità aste inflesse (4.2.4.1.3.2) CC 17 SLU - Classe 1
 $L_{cr}=5.00$ Curva b: $\alpha_{imp}=0.34$ $k_c=0.94$ $\psi=1.75$ $M_{cr}=13579.60$ $\lambda_{LT}=1.13$
 $\lambda_{LT,0}=0.40$ $\beta_{LT}=0.75$ $\Phi_{LT}=1.10$ $\beta_{LT}=0.75$ $f=0.98$ $\chi_{LT}=0.64$
 $M_y, Ed=-6820.44$ $M_y, b, Rd=10471.50$ $M_y, Ed/M_y, b, Rd=0.65$

- Verifica di stabilità aste presso-inflesse (C4.2.4.1.3.3.2) - CC 19 SLU - Classe 1
Sollecitazioni: $N, Ed=-5789.22$ $M_y, Ed=-6542.82$ $L=5.00$
 $\alpha_{my}, \alpha_{mz}, \alpha_{LT}=0.95, 0.95, 0.95$
 $L_{cr}=5.00$ Curva b: $\alpha_{imp}=0.34$ $k_c=0.94$ $\psi=1.75$ $M_{cr}=13579.60$ $\lambda_{LT}=1.13$
 $\lambda_{LT,0}=0.40$ $\Phi_{LT}=1.10$ $\beta_{LT}=0.75$ $f=0.98$ $\chi_{LT}=0.64$
 $\lambda_y=44.54$ $N_{cr,y}=480014.00$ $\lambda_y^*=0.58$ Curva a: $\Phi_y=0.71$ $\chi_y=0.90$
 $\lambda_z=165.40$ $N_{cr,z}=34809.20$ $\lambda_z^*=2.16$ Curva b: $\Phi_z=3.18$ $\chi_z=0.18$

Relazione di calcolo

Kyy, Kyz, Kzy, Kzz=0.97, 0.73, 0.00, 1.22
Verifica YY: 0.04+0.60=0.64
Verifica ZZ: 0.21=0.21

- Verifica freccia massima carichi totali - CC 22
f_{z,L}=1.03 (L/486)

- Verifica freccia massima per soli carichi accidentali - CC 22
f_{z,L}=0.48 (L/1051)

Asta n. 1029 (1112 1102) Sez. 2 IPE270 Crit. 2

- Verifica a flessione YY [4.2.13] - CC 1 SND Xl=2.50 - Classe 3
Sollecitazioni: M_y=-3688.42
M_{y,Ed}=-3688.42 M_{y,c,Rd}=14500.40 M_{y,Ed/My,c,Rd}=0.25

- Verifica a taglio dir. Z [4.2.16] - CC 17 SLU Xl=0.00 - Classe 1
Sollecitazioni: T_z=5456.35
V_{Ed}=5456.35 V_{c,Rd}=43217.20 V_{Ed/Vc,Rd}=0.13

- Verifica a presso o tenso-flessione retta YY (4.2.4.1.2.7) - CC 17 SLU Xl=2.50 - Classe 1
Sollecitazioni: N=5789.22 M_y=-6820.44
M_{y,Ed}=-6820.44 M_{y,c,Rd}=16436.40
N_{Ed}=5789.22 N_{c,Rd}=155342.00 YY n=N_{Ed/Nc,Rd}=0.04 MN_{y,c,Rd}=16436.40 M_{y,Ed/MNy,c,Rd}=0.41

- Verifica di stabilità aste inflesse (4.2.4.1.3.2) CC 17 SLU - Classe 1
L_{cr}=5.00 Curva b: α_{imp}=0.34 k_c=0.94 ψ=1.75 M_{cr}=13579.60 λ_{LT}=1.13
λ_{LT,0}=0.40 β_{LT}=0.75 Φ_{LT}=1.10 β_{LT}=0.75 f=0.98 χ_{LT}=0.64
M_{y,Ed}=-6820.44 M_{y,b,Rd}=10471.50 M_{y,Ed/My,b,Rd}=0.65

- Verifica di stabilità aste presso-inflesse (C4.2.4.1.3.3.2) - CC 19 SLU - Classe 1
Sollecitazioni: N_{Ed}=-5789.22 M_{y,Ed}=-6542.82 L=5.00
α_{my}, α_{mz}, α_{LT}=0.95, 0.95, 0.95
L_{cr}=5.00 Curva b: α_{imp}=0.34 k_c=0.94 ψ=1.75 M_{cr}=13579.60 λ_{LT}=1.13
λ_{LT,0}=0.40 Φ_{LT}=1.10 β_{LT}=0.75 f=0.98 χ_{LT}=0.64
λ_y=44.54 N_{cr,y}=480014.00 λ_y^{*}=0.58 Curva a: Φ_y=0.71 χ_y=0.90
λ_z=165.40 N_{cr,z}=34809.20 λ_z^{*}=2.16 Curva b: Φ_z=3.18 χ_z=0.18
Kyy, Kyz, Kzy, Kzz=0.97, 0.73, 0.00, 1.22
Verifica YY: 0.04+0.60=0.64
Verifica ZZ: 0.21=0.21

- Verifica freccia massima carichi totali - CC 22
f_{z,L}=1.03 (L/486)

- Verifica freccia massima per soli carichi accidentali - CC 22
f_{z,L}=0.48 (L/1051)

Asta n. 1029 (1121 1112) Sez. 2 IPE270 Crit. 2

- Verifica a flessione YY [4.2.13] - CC 1 SND Xl=2.50 - Classe 3
Sollecitazioni: M_y=-3688.42
M_{y,Ed}=-3688.42 M_{y,c,Rd}=14500.40 M_{y,Ed/My,c,Rd}=0.25

- Verifica a taglio dir. Z [4.2.16] - CC 17 SLU Xl=0.00 - Classe 1
Sollecitazioni: T_z=5456.35
V_{Ed}=5456.35 V_{c,Rd}=43217.20 V_{Ed/Vc,Rd}=0.13

- Verifica a presso o tenso-flessione retta YY (4.2.4.1.2.7) - CC 17 SLU Xl=2.50 - Classe 1
Sollecitazioni: N=5789.22 M_y=-6820.44
M_{y,Ed}=-6820.44 M_{y,c,Rd}=16436.40
N_{Ed}=5789.22 N_{c,Rd}=155342.00 YY n=N_{Ed/Nc,Rd}=0.04 MN_{y,c,Rd}=16436.40 M_{y,Ed/MNy,c,Rd}=0.41

- Verifica di stabilità aste inflesse (4.2.4.1.3.2) CC 17 SLU - Classe 1
L_{cr}=5.00 Curva b: α_{imp}=0.34 k_c=0.94 ψ=1.75 M_{cr}=13579.60 λ_{LT}=1.13
λ_{LT,0}=0.40 β_{LT}=0.75 Φ_{LT}=1.10 β_{LT}=0.75 f=0.98 χ_{LT}=0.64
M_{y,Ed}=-6820.44 M_{y,b,Rd}=10471.50 M_{y,Ed/My,b,Rd}=0.65

- Verifica di stabilità aste presso-inflesse (C4.2.4.1.3.3.2) - CC 19 SLU - Classe 1
Sollecitazioni: N_{Ed}=-5789.22 M_{y,Ed}=-6542.82 L=5.00
α_{my}, α_{mz}, α_{LT}=0.95, 0.95, 0.95
L_{cr}=5.00 Curva b: α_{imp}=0.34 k_c=0.94 ψ=1.75 M_{cr}=13579.60 λ_{LT}=1.13
λ_{LT,0}=0.40 Φ_{LT}=1.10 β_{LT}=0.75 f=0.98 χ_{LT}=0.64
λ_y=44.54 N_{cr,y}=480014.00 λ_y^{*}=0.58 Curva a: Φ_y=0.71 χ_y=0.90
λ_z=165.40 N_{cr,z}=34809.20 λ_z^{*}=2.16 Curva b: Φ_z=3.18 χ_z=0.18
Kyy, Kyz, Kzy, Kzz=0.97, 0.73, 0.00, 1.22
Verifica YY: 0.04+0.60=0.64
Verifica ZZ: 0.21=0.21

- Verifica freccia massima carichi totali - CC 22

Relazione di calcolo

$f_{z,g}=1.03$ (L/486)

- Verifica freccia massima per soli carichi accidentali - CC 22
 $f_{z,L}=0.48$ (L/1051)

Asta n. 1030 (-20 -11) Sez. 2 IPE270 Crit. 2

- Verifica a flessione YY [4.2.13] - CC 1 SND $X_1=2.50$ - Classe 3
Sollecitazioni: $M_y=-3375.98$
 $M_y,Ed=-3375.98$ $M_y,c,Rd=14500.40$ $M_y,Ed/M_y,c,Rd=0.23$

- Verifica a taglio dir. Z [4.2.16] - CC 17 SLU $X_1=0.00$ - Classe 1
Sollecitazioni: $T_z=4989.83$
 $V,Ed=4989.83$ $V_c,Rd=43217.20$ $V,Ed/V_c,Rd=0.12$

- Verifica a presso o tenso-flessione retta YY (4.2.4.1.2.7) - CC 17 SLU $X_1=2.50$ - Classe 1
Sollecitazioni: $N=5789.22$ $M_y=-6237.29$
 $M_y,Ed=-6237.29$ $M_y,c,Rd=16436.40$
 $N,Ed=5789.22$ $N_c,Rd=155342.00$ YY $n=N,Ed/N_c,Rd=0.04$ $MN_y,c,Rd=16436.40$ $M_y,Ed/MN_y,c,Rd=0.38$

- Verifica di stabilità aste inflesse (4.2.4.1.3.2) CC 17 SLU - Classe 1
 $L_{cr}=5.00$ Curva b: $\alpha_{imp}=0.34$ $k_c=0.94$ $\psi=1.75$ $M_{cr}=13579.60$ $\lambda_{LT}=1.13$
 $\lambda_{LT,0}=0.40$ $\beta_{LT}=0.75$ $\Phi_{LT}=1.10$ $\beta_{LT}=0.75$ $f=0.98$ $\chi_{LT}=0.64$
 $M_y,Ed=-6237.29$ $M_y,b,Rd=10471.50$ $M_y,Ed/M_y,b,Rd=0.60$

- Verifica di stabilità aste presso-inflesse (C4.2.4.1.3.3.2) - CC 19 SLU - Classe 1
Sollecitazioni: $N,Ed=-5789.22$ $M_y,Ed=-5983.93$ $L=5.00$
 $\alpha_m, \alpha_mz, \alpha_{LT}=0.95, 0.95, 0.95$
 $L_{cr}=5.00$ Curva b: $\alpha_{imp}=0.34$ $k_c=0.94$ $\psi=1.75$ $M_{cr}=13579.60$ $\lambda_{LT}=1.13$
 $\lambda_{LT,0}=0.40$ $\Phi_{LT}=1.10$ $\beta_{LT}=0.75$ $f=0.98$ $\chi_{LT}=0.64$
 $\lambda_y=44.54$ $N_{cr,y}=480014.00$ $\lambda_y^*=0.58$ Curva a: $\Phi_y=0.71$ $\chi_y=0.90$
 $\lambda_z=165.40$ $N_{cr,z}=34809.20$ $\lambda_z^*=2.16$ Curva b: $\Phi_z=3.18$ $\chi_z=0.18$
 $K_{yy}, K_{yz}, K_{zy}, K_{zz}=0.97, 0.73, 0.00, 1.22$
Verifica YY: $0.04+0.55=0.59$
Verifica ZZ: $0.21=0.21$

- Verifica freccia massima carichi totali - CC 22
 $f_{z,L}=0.94$ (L/531)

- Verifica freccia massima per soli carichi accidentali - CC 22
 $f_{z,L}=0.43$ (L/1151)

Asta n. 1030 (-29 -20) Sez. 2 IPE270 Crit. 2

- Verifica a flessione YY [4.2.13] - CC 1 SND $X_1=2.50$ - Classe 3
Sollecitazioni: $M_y=-3375.98$
 $M_y,Ed=-3375.98$ $M_y,c,Rd=14500.40$ $M_y,Ed/M_y,c,Rd=0.23$

- Verifica a taglio dir. Z [4.2.16] - CC 17 SLU $X_1=0.00$ - Classe 1
Sollecitazioni: $T_z=4989.83$
 $V,Ed=4989.83$ $V_c,Rd=43217.20$ $V,Ed/V_c,Rd=0.12$

- Verifica a presso o tenso-flessione retta YY (4.2.4.1.2.7) - CC 17 SLU $X_1=2.50$ - Classe 1
Sollecitazioni: $N=5789.22$ $M_y=-6237.29$
 $M_y,Ed=-6237.29$ $M_y,c,Rd=16436.40$
 $N,Ed=5789.22$ $N_c,Rd=155342.00$ YY $n=N,Ed/N_c,Rd=0.04$ $MN_y,c,Rd=16436.40$ $M_y,Ed/MN_y,c,Rd=0.38$

- Verifica di stabilità aste inflesse (4.2.4.1.3.2) CC 17 SLU - Classe 1
 $L_{cr}=5.00$ Curva b: $\alpha_{imp}=0.34$ $k_c=0.94$ $\psi=1.75$ $M_{cr}=13579.60$ $\lambda_{LT}=1.13$
 $\lambda_{LT,0}=0.40$ $\beta_{LT}=0.75$ $\Phi_{LT}=1.10$ $\beta_{LT}=0.75$ $f=0.98$ $\chi_{LT}=0.64$
 $M_y,Ed=-6237.29$ $M_y,b,Rd=10471.50$ $M_y,Ed/M_y,b,Rd=0.60$

- Verifica di stabilità aste presso-inflesse (C4.2.4.1.3.3.2) - CC 19 SLU - Classe 1
Sollecitazioni: $N,Ed=-5789.22$ $M_y,Ed=-5983.93$ $L=5.00$
 $\alpha_m, \alpha_mz, \alpha_{LT}=0.95, 0.95, 0.95$
 $L_{cr}=5.00$ Curva b: $\alpha_{imp}=0.34$ $k_c=0.94$ $\psi=1.75$ $M_{cr}=13579.60$ $\lambda_{LT}=1.13$
 $\lambda_{LT,0}=0.40$ $\Phi_{LT}=1.10$ $\beta_{LT}=0.75$ $f=0.98$ $\chi_{LT}=0.64$
 $\lambda_y=44.54$ $N_{cr,y}=480014.00$ $\lambda_y^*=0.58$ Curva a: $\Phi_y=0.71$ $\chi_y=0.90$
 $\lambda_z=165.40$ $N_{cr,z}=34809.20$ $\lambda_z^*=2.16$ Curva b: $\Phi_z=3.18$ $\chi_z=0.18$
 $K_{yy}, K_{yz}, K_{zy}, K_{zz}=0.97, 0.73, 0.00, 1.22$
Verifica YY: $0.04+0.55=0.59$
Verifica ZZ: $0.21=0.21$

- Verifica freccia massima carichi totali - CC 22
 $f_{z,L}=0.94$ (L/531)

- Verifica freccia massima per soli carichi accidentali - CC 22
 $f_{z,L}=0.43$ (L/1151)

Relazione di calcolo

Asta n. 1030 (-38 -29) Sez. 2 IPE270 Crit. 2

-
- Verifica a flessione YY [4.2.13] - CC 1 SND $X_l=2.50$ - Classe 3
Sollecitazioni: $M_y=-3375.98$
 $M_y,Ed=-3375.98$ $M_y,c,Rd=14500.40$ $M_y,Ed/M_y,c,Rd=0.23$
 - Verifica a taglio dir. Z [4.2.16] - CC 17 SLU $X_l=0.00$ - Classe 1
Sollecitazioni: $T_z=4989.83$
 $V,Ed=4989.83$ $V_c,Rd=43217.20$ $V,Ed/V_c,Rd=0.12$
 - Verifica a presso o tenso-flessione retta YY (4.2.4.1.2.7) - CC 17 SLU $X_l=2.50$ - Classe 1
Sollecitazioni: $N=5789.22$ $M_y=-6237.29$
 $M_y,Ed=-6237.29$ $M_y,c,Rd=16436.40$
 $N,Ed=5789.22$ $N_c,Rd=155342.00$ YY $n=N,Ed/N_c,Rd=0.04$ $MN_y,c,Rd=16436.40$ $M_y,Ed/MN_y,c,Rd=0.38$
 - Verifica di stabilità aste inflesse (4.2.4.1.3.2) CC 17 SLU - Classe 1
 $L_{cr}=5.00$ Curva b: $\alpha_{imp}=0.34$ $k_c=0.94$ $\psi=1.75$ $M_{cr}=13579.60$ $\lambda_{LT}=1.13$
 $\lambda_{LT,0}=0.40$ $\beta_{LT}=0.75$ $\Phi_{LT}=1.10$ $\beta_{LT}=0.75$ $f=0.98$ $\chi_{LT}=0.64$
 $M_y,Ed=-6237.29$ $M_y,b,Rd=10471.50$ $M_y,Ed/M_y,b,Rd=0.60$
 - Verifica di stabilità aste presso-inflesse (C4.2.4.1.3.3.2) - CC 19 SLU - Classe 1
Sollecitazioni: $N,Ed=-5789.22$ $M_y,Ed=-5983.93$ $L=5.00$
 $\alpha_{my}, \alpha_{mz}, \alpha_{LT}=0.95, 0.95, 0.95$
 $L_{cr}=5.00$ Curva b: $\alpha_{imp}=0.34$ $k_c=0.94$ $\psi=1.75$ $M_{cr}=13579.60$ $\lambda_{LT}=1.13$
 $\lambda_{LT,0}=0.40$ $\Phi_{LT}=1.10$ $\beta_{LT}=0.75$ $f=0.98$ $\chi_{LT}=0.64$
 $\lambda_y=44.54$ $N_{cr,y}=480014.00$ $\lambda^*_y=0.58$ Curva a: $\Phi_y=0.71$ $\chi_y=0.90$
 $\lambda_z=165.40$ $N_{cr,z}=34809.20$ $\lambda^*_z=2.16$ Curva b: $\Phi_z=3.18$ $\chi_z=0.18$
 $K_{yy}, K_{yz}, K_{zy}, K_{zz}=0.97, 0.73, 0.00, 1.22$
Verifica YY: $0.04+0.55=0.59$
Verifica ZZ: $0.21=0.21$
 - Verifica freccia massima carichi totali - CC 22
 $f_{z,L}=0.94$ (L/531)
 - Verifica freccia massima per soli carichi accidentali - CC 22
 $f_{z,G}=0.43$ (L/1151)

Asta n. 1030 (-47 -38) Sez. 2 IPE270 Crit. 2

-
- Verifica a flessione YY [4.2.13] - CC 1 SND $X_l=2.50$ - Classe 3
Sollecitazioni: $M_y=-3375.98$
 $M_y,Ed=-3375.98$ $M_y,c,Rd=14500.40$ $M_y,Ed/M_y,c,Rd=0.23$
 - Verifica a taglio dir. Z [4.2.16] - CC 17 SLU $X_l=0.00$ - Classe 1
Sollecitazioni: $T_z=4989.83$
 $V,Ed=4989.83$ $V_c,Rd=43217.20$ $V,Ed/V_c,Rd=0.12$
 - Verifica a presso o tenso-flessione retta YY (4.2.4.1.2.7) - CC 17 SLU $X_l=2.50$ - Classe 1
Sollecitazioni: $N=5789.22$ $M_y=-6237.29$
 $M_y,Ed=-6237.29$ $M_y,c,Rd=16436.40$
 $N,Ed=5789.22$ $N_c,Rd=155342.00$ YY $n=N,Ed/N_c,Rd=0.04$ $MN_y,c,Rd=16436.40$ $M_y,Ed/MN_y,c,Rd=0.38$
 - Verifica di stabilità aste inflesse (4.2.4.1.3.2) CC 17 SLU - Classe 1
 $L_{cr}=5.00$ Curva b: $\alpha_{imp}=0.34$ $k_c=0.94$ $\psi=1.75$ $M_{cr}=13579.60$ $\lambda_{LT}=1.13$
 $\lambda_{LT,0}=0.40$ $\beta_{LT}=0.75$ $\Phi_{LT}=1.10$ $\beta_{LT}=0.75$ $f=0.98$ $\chi_{LT}=0.64$
 $M_y,Ed=-6237.29$ $M_y,b,Rd=10471.50$ $M_y,Ed/M_y,b,Rd=0.60$
 - Verifica di stabilità aste presso-inflesse (C4.2.4.1.3.3.2) - CC 19 SLU - Classe 1
Sollecitazioni: $N,Ed=-5789.22$ $M_y,Ed=-5983.93$ $L=5.00$
 $\alpha_{my}, \alpha_{mz}, \alpha_{LT}=0.95, 0.95, 0.95$
 $L_{cr}=5.00$ Curva b: $\alpha_{imp}=0.34$ $k_c=0.94$ $\psi=1.75$ $M_{cr}=13579.60$ $\lambda_{LT}=1.13$
 $\lambda_{LT,0}=0.40$ $\Phi_{LT}=1.10$ $\beta_{LT}=0.75$ $f=0.98$ $\chi_{LT}=0.64$
 $\lambda_y=44.54$ $N_{cr,y}=480014.00$ $\lambda^*_y=0.58$ Curva a: $\Phi_y=0.71$ $\chi_y=0.90$
 $\lambda_z=165.40$ $N_{cr,z}=34809.20$ $\lambda^*_z=2.16$ Curva b: $\Phi_z=3.18$ $\chi_z=0.18$
 $K_{yy}, K_{yz}, K_{zy}, K_{zz}=0.97, 0.73, 0.00, 1.22$
Verifica YY: $0.04+0.55=0.59$
Verifica ZZ: $0.21=0.21$
 - Verifica freccia massima carichi totali - CC 22
 $f_{z,L}=0.94$ (L/531)
 - Verifica freccia massima per soli carichi accidentali - CC 22
 $f_{z,L}=0.43$ (L/1151)

Asta n. 1030 (-56 -47) Sez. 2 IPE270 Crit. 2

-
- Verifica a flessione YY [4.2.13] - CC 1 SND $X_l=2.50$ - Classe 3
Sollecitazioni: $M_y=-3375.98$
 $M_y,Ed=-3375.98$ $M_y,c,Rd=14500.40$ $M_y,Ed/M_y,c,Rd=0.23$

Relazione di calcolo

- Verifica a taglio dir. Z [4.2.16] - CC 17 SLU $X_l=0.00$ - Classe 1
Sollecitazioni: $T_z=4989.83$
 $V, Ed=4989.83$ $V_c, Rd=43217.20$ $V, Ed/V_c, Rd=0.12$
- Verifica a presso o tenso-flessione retta YY (4.2.4.1.2.7) - CC 17 SLU $X_l=2.50$ - Classe 1
Sollecitazioni: $N=5789.22$ $M_y=-6237.29$
 $M_y, Ed=-6237.29$ $M_y, c, Rd=16436.40$
 $N, Ed=5789.22$ $N_c, Rd=155342.00$ YY $n=N, Ed/N_c, Rd=0.04$ $MN_y, c, Rd=16436.40$ $M_y, Ed/MN_y, c, Rd=0.38$
- Verifica di stabilità aste inflesse (4.2.4.1.3.2) CC 17 SLU - Classe 1
 $L_{cr}=5.00$ Curva b: $\alpha_{imp}=0.34$ $k_c=0.94$ $\psi=1.75$ $M, cr=13579.60$ $\lambda_{LT}=1.13$
 $\lambda_{LT,0}=0.40$ $\beta_{LT}=0.75$ $\Phi_{LT}=1.10$ $\beta_{LT}=0.75$ $f=0.98$ $\chi_{LT}=0.64$
 $M_y, Ed=-6237.29$ $M_y, b, Rd=10471.50$ $M_y, Ed/M_y, b, Rd=0.60$
- Verifica di stabilità aste presso-inflesse (C4.2.4.1.3.3.2) - CC 19 SLU - Classe 1
Sollecitazioni: $N, Ed=-5789.22$ $M_y, Ed=-5983.93$ $L=5.00$
 $\alpha_m, \alpha_m, \alpha_{LT}=0.95, 0.95, 0.95$
 $L_{cr}=5.00$ Curva b: $\alpha_{imp}=0.34$ $k_c=0.94$ $\psi=1.75$ $M, cr=13579.60$ $\lambda_{LT}=1.13$
 $\lambda_{LT,0}=0.40$ $\Phi_{LT}=1.10$ $\beta_{LT}=0.75$ $f=0.98$ $\chi_{LT}=0.64$
 $\lambda_y=44.54$ $N_{cr,y}=480014.00$ $\lambda_y^*=0.58$ Curva a: $\Phi_y=0.71$ $\chi_y=0.90$
 $\lambda_z=165.40$ $N_{cr,z}=34809.20$ $\lambda_z^*=2.16$ Curva b: $\Phi_z=3.18$ $\chi_z=0.18$
 $K_{yy}, K_{yz}, K_{zy}, K_{zz}=0.97, 0.73, 0.00, 1.22$
Verifica YY: $0.04+0.55=0.59$
Verifica ZZ: $0.21=0.21$
- Verifica freccia massima carichi totali - CC 22
 $f_{z,L}=0.94$ (L/531)
- Verifica freccia massima per soli carichi accidentali - CC 22
 $f_{z,L}=0.43$ (L/1151)

Asta n. 1030 (-65 -56) Sez. 2 IPE270 Crit. 2

- Verifica a flessione YY [4.2.13] - CC 1 SND $X_l=2.50$ - Classe 3
Sollecitazioni: $M_y=-112.71$
 $M_y, Ed=-112.71$ $M_y, c, Rd=14500.40$ $M_y, Ed/M_y, c, Rd=0.01$
- Verifica a taglio dir. Z [4.2.16] - CC 17 SLU $X_l=0.00$ - Classe 1
Sollecitazioni: $T_z=117.22$
 $V, Ed=117.22$ $V_c, Rd=43217.20$ $V, Ed/V_c, Rd=0.00$
- Verifica a trazione (4.2.4.1.2.1) - CC 18 SLU $X_l=0.00$ - Classe 1
Sollecitazioni: $N=14473.10$ $T_z=117.22$
Verifica a trazione [4.2.5]
 $N, Ed=14473.10$ $N_{pl}, Rd=155342.00$ $N_u, Rd=168714.00$ $N, Ed/N_t, Rd=0.09$
- Verifica di stabilità aste inflesse (4.2.4.1.3.2) CC 17 SLU - Classe 1
 $L_{cr}=5.00$ Curva b: $\alpha_{imp}=0.34$ $k_c=0.94$ $\psi=1.75$ $M, cr=13579.60$ $\lambda_{LT}=1.13$
 $\lambda_{LT,0}=0.40$ $\beta_{LT}=0.75$ $\Phi_{LT}=1.10$ $\beta_{LT}=0.75$ $f=0.98$ $\chi_{LT}=0.64$
 $M_y, Ed=-146.53$ $M_y, b, Rd=10471.50$ $M_y, Ed/M_y, b, Rd=0.01$
- Verifica di stabilità aste presso-inflesse (C4.2.4.1.3.3.2) - CC 19 SLU - Classe 3
Sollecitazioni: $N, Ed=-5789.22$ $M_y, Ed=-146.53$ $L=5.00$
 $\alpha_m, \alpha_m, \alpha_{LT}=0.95, 0.95, 0.95$
 $L_{cr}=5.00$ Curva b: $\alpha_{imp}=0.34$ $k_c=0.94$ $\psi=1.75$ $M, cr=13579.60$ $\lambda_{LT}=1.13$
 $\lambda_{LT,0}=0.40$ $\Phi_{LT}=1.10$ $\beta_{LT}=0.75$ $f=0.98$ $\chi_{LT}=0.64$
 $\lambda_y=44.54$ $N_{cr,y}=480014.00$ $\lambda_y^*=0.58$ Curva a: $\Phi_y=0.71$ $\chi_y=0.90$
 $\lambda_z=165.40$ $N_{cr,z}=34809.20$ $\lambda_z^*=2.16$ Curva b: $\Phi_z=3.18$ $\chi_z=0.18$
 $K_{yy}, K_{yz}, K_{zy}, K_{zz}=0.96, 1.07, 0.00, 1.07$
Verifica YY: $0.04+0.01=0.06$
Verifica ZZ: $0.21=0.21$
- Verifica freccia massima carichi totali - CC 23
 $f_{z,L}=0.02$ (L/20681)

Asta n. 1030 (-74 -65) Sez. 2 IPE270 Crit. 2

- Verifica a flessione YY [4.2.13] - CC 1 SND $X_l=2.50$ - Classe 3
Sollecitazioni: $M_y=-3375.98$
 $M_y, Ed=-3375.98$ $M_y, c, Rd=14500.40$ $M_y, Ed/M_y, c, Rd=0.23$
- Verifica a taglio dir. Z [4.2.16] - CC 17 SLU $X_l=0.00$ - Classe 1
Sollecitazioni: $T_z=4989.83$
 $V, Ed=4989.83$ $V_c, Rd=43217.20$ $V, Ed/V_c, Rd=0.12$
- Verifica a presso o tenso-flessione retta YY (4.2.4.1.2.7) - CC 17 SLU $X_l=2.50$ - Classe 1
Sollecitazioni: $N=5789.22$ $M_y=-6237.29$
 $M_y, Ed=-6237.29$ $M_y, c, Rd=16436.40$

Relazione di calcolo

N,Ed=5789.22 Nc,Rd=155342.00 YY n=N,Ed/Nc,Rd=0.04 MNy,c,Rd=16436.40 My,Ed/MNy,c,Rd=0.38

- Verifica di stabilità aste inflesse (4.2.4.1.3.2) CC 17 SLU - Classe 1
L_{cr}=5.00 Curva b: $\alpha_{imp}=0.34$ $k_c=0.94$ $\psi=1.75$ M,cr=13579.60 $\lambda_{LT}=1.13$
 $\lambda_{LT,0}=0.40$ $\beta_{LT}=0.75$ $\Phi_{LT}=1.10$ $\beta_{LT}=0.75$ $f=0.98$ $\chi_{LT}=0.64$
My,Ed=-6237.29 My,b,Rd=10471.50 My,Ed/My,b,Rd=0.60

- Verifica di stabilità aste presso-inflesse (C4.2.4.1.3.3.2) - CC 19 SLU - Classe 1
Sollecitazioni: N,Ed=-5789.22 My,Ed=-5983.93 L=5.00
 α_{my} , α_{mz} , $\alpha_{LT}=0.95$, 0.95 , 0.95
L_{cr}=5.00 Curva b: $\alpha_{imp}=0.34$ $k_c=0.94$ $\psi=1.75$ M,cr=13579.60 $\lambda_{LT}=1.13$
 $\lambda_{LT,0}=0.40$ $\Phi_{LT}=1.10$ $\beta_{LT}=0.75$ $f=0.98$ $\chi_{LT}=0.64$
 $\lambda_y=44.54$ Ncr,y=480014.00 $\lambda_y^*=0.58$ Curva a: $\Phi_y=0.71$ $\chi_y=0.90$
 $\lambda_z=165.40$ Ncr,z=34809.20 $\lambda_z^*=2.16$ Curva b: $\Phi_z=3.18$ $\chi_z=0.18$
Kyy, Kyz, Kzy, Kzz=0.97, 0.73, 0.00, 1.22
Verifica YY: $0.04+0.55=0.59$
Verifica ZZ: $0.21=0.21$

- Verifica freccia massima carichi totali - CC 22
 $f_{z,L}=0.94$ (L/531)

- Verifica freccia massima per soli carichi accidentali - CC 22
 $f_{z,L}=0.43$ (L/1151)

Asta n. 1030 (-83 -74) Sez. 2 IPE270 Crit. 2

- Verifica a flessione YY [4.2.13] - CC 1 SND Xl=2.50 - Classe 3
Sollecitazioni: My=-3375.98
My,Ed=-3375.98 My,c,Rd=14500.40 My,Ed/My,c,Rd=0.23

- Verifica a taglio dir. Z [4.2.16] - CC 17 SLU Xl=0.00 - Classe 1
Sollecitazioni: T_z=4989.83
V,Ed=4989.83 Vc,Rd=43217.20 V,Ed/Vc,Rd=0.12

- Verifica a presso o tenso-flessione retta YY (4.2.4.1.2.7) - CC 17 SLU Xl=2.50 - Classe 1
Sollecitazioni: N=5789.22 My=-6237.29
My,Ed=-6237.29 My,c,Rd=16436.40
N,Ed=5789.22 Nc,Rd=155342.00 YY n=N,Ed/Nc,Rd=0.04 MNy,c,Rd=16436.40 My,Ed/MNy,c,Rd=0.38

- Verifica di stabilità aste inflesse (4.2.4.1.3.2) CC 17 SLU - Classe 1
L_{cr}=5.00 Curva b: $\alpha_{imp}=0.34$ $k_c=0.94$ $\psi=1.75$ M,cr=13579.60 $\lambda_{LT}=1.13$
 $\lambda_{LT,0}=0.40$ $\beta_{LT}=0.75$ $\Phi_{LT}=1.10$ $\beta_{LT}=0.75$ $f=0.98$ $\chi_{LT}=0.64$
My,Ed=-6237.29 My,b,Rd=10471.50 My,Ed/My,b,Rd=0.60

- Verifica di stabilità aste presso-inflesse (C4.2.4.1.3.3.2) - CC 19 SLU - Classe 1
Sollecitazioni: N,Ed=-5789.22 My,Ed=-5983.93 L=5.00
 α_{my} , α_{mz} , $\alpha_{LT}=0.95$, 0.95 , 0.95
L_{cr}=5.00 Curva b: $\alpha_{imp}=0.34$ $k_c=0.94$ $\psi=1.75$ M,cr=13579.60 $\lambda_{LT}=1.13$
 $\lambda_{LT,0}=0.40$ $\Phi_{LT}=1.10$ $\beta_{LT}=0.75$ $f=0.98$ $\chi_{LT}=0.64$
 $\lambda_y=44.54$ Ncr,y=480014.00 $\lambda_y^*=0.58$ Curva a: $\Phi_y=0.71$ $\chi_y=0.90$
 $\lambda_z=165.40$ Ncr,z=34809.20 $\lambda_z^*=2.16$ Curva b: $\Phi_z=3.18$ $\chi_z=0.18$
Kyy, Kyz, Kzy, Kzz=0.97, 0.73, 0.00, 1.22
Verifica YY: $0.04+0.55=0.59$
Verifica ZZ: $0.21=0.21$

- Verifica freccia massima carichi totali - CC 22
 $f_{z,L}=0.94$ (L/531)

- Verifica freccia massima per soli carichi accidentali - CC 22
 $f_{z,L}=0.43$ (L/1151)

Asta n. 1030 (-92 -83) Sez. 2 IPE270 Crit. 2

- Verifica a flessione YY [4.2.13] - CC 1 SND Xl=2.50 - Classe 3
Sollecitazioni: My=-3375.98
My,Ed=-3375.98 My,c,Rd=14500.40 My,Ed/My,c,Rd=0.23

- Verifica a taglio dir. Z [4.2.16] - CC 17 SLU Xl=0.00 - Classe 1
Sollecitazioni: T_z=4989.83
V,Ed=4989.83 Vc,Rd=43217.20 V,Ed/Vc,Rd=0.12

- Verifica a presso o tenso-flessione retta YY (4.2.4.1.2.7) - CC 17 SLU Xl=2.50 - Classe 1
Sollecitazioni: N=5789.22 My=-6237.29
My,Ed=-6237.29 My,c,Rd=16436.40
N,Ed=5789.22 Nc,Rd=155342.00 YY n=N,Ed/Nc,Rd=0.04 MNy,c,Rd=16436.40 My,Ed/MNy,c,Rd=0.38

- Verifica di stabilità aste inflesse (4.2.4.1.3.2) CC 17 SLU - Classe 1
L_{cr}=5.00 Curva b: $\alpha_{imp}=0.34$ $k_c=0.94$ $\psi=1.75$ M,cr=13579.60 $\lambda_{LT}=1.13$
 $\lambda_{LT,0}=0.40$ $\beta_{LT}=0.75$ $\Phi_{LT}=1.10$ $\beta_{LT}=0.75$ $f=0.98$ $\chi_{LT}=0.64$

Relazione di calcolo

My,Ed=-6237.29 My,b,Rd=10471.50 My,Ed/My,b,Rd=0.60

- Verifica di stabilità aste presso-inflesse (C4.2.4.1.3.3.2) - CC 19 SLU - Classe 1
Sollecitazioni: N,Ed=-5789.22 My,Ed=-5983.93 L=5.00
 α_{my} , α_{mz} , α_{LT} =0.95, 0.95, 0.95
L_{cr}=5.00 Curva b: α_{imp} =0.34 k_c =0.94 ψ =1.75 M_{cr}=13579.60 λ_{LT} =1.13
 $\lambda_{LT,0}$ =0.40 Φ_{LT} =1.10 β_{LT} =0.75 f=0.98 χ_{LT} =0.64
 λ_y =44.54 N_{cr,y}=480014.00 λ^*_y =0.58 Curva a: Φ_y =0.71 χ_y =0.90
 λ_z =165.40 N_{cr,z}=34809.20 λ^*_z =2.16 Curva b: Φ_z =3.18 χ_z =0.18
K_{yy}, K_{yz}, K_{zy}, K_{zz}=0.97, 0.73, 0.00, 1.22
Verifica YY: 0.04+0.55=0.59
Verifica ZZ: 0.21=0.21

- Verifica freccia massima carichi totali - CC 22
f_{z,L}=0.94 (L/531)

- Verifica freccia massima per soli carichi accidentali - CC 22
f_{z,L}=0.43 (L/1151)

Asta n. 1030 (-101 -92) Sez. 2 IPE270 Crit. 2

- Verifica a flessione YY [4.2.13] - CC 1 SND X1=2.50 - Classe 3
Sollecitazioni: M_y=-3375.98
My,Ed=-3375.98 My,c,Rd=14500.40 My,Ed/My,c,Rd=0.23

- Verifica a taglio dir. Z [4.2.16] - CC 17 SLU X1=0.00 - Classe 1
Sollecitazioni: T_z=4989.83
V,Ed=4989.83 V_c,Rd=43217.20 V,Ed/V_c,Rd=0.12

- Verifica a presso o tenso-flessione retta YY (4.2.4.1.2.7) - CC 17 SLU X1=2.50 - Classe 1
Sollecitazioni: N=5789.22 M_y=-6237.29
My,Ed=-6237.29 My,c,Rd=16436.40
N,Ed=5789.22 N_c,Rd=155342.00 YY n=N,Ed/N_c,Rd=0.04 MN_y,c,Rd=16436.40 My,Ed/MN_y,c,Rd=0.38

- Verifica di stabilità aste inflesse (4.2.4.1.3.2) CC 17 SLU - Classe 1
L_{cr}=5.00 Curva b: α_{imp} =0.34 k_c =0.94 ψ =1.75 M_{cr}=13579.60 λ_{LT} =1.13
 $\lambda_{LT,0}$ =0.40 β_{LT} =0.75 Φ_{LT} =1.10 β_{LT} =0.75 f=0.98 χ_{LT} =0.64
My,Ed=-6237.29 My,b,Rd=10471.50 My,Ed/My,b,Rd=0.60

- Verifica di stabilità aste presso-inflesse (C4.2.4.1.3.3.2) - CC 19 SLU - Classe 1
Sollecitazioni: N,Ed=-5789.22 My,Ed=-5983.93 L=5.00
 α_{my} , α_{mz} , α_{LT} =0.95, 0.95, 0.95
L_{cr}=5.00 Curva b: α_{imp} =0.34 k_c =0.94 ψ =1.75 M_{cr}=13579.60 λ_{LT} =1.13
 $\lambda_{LT,0}$ =0.40 Φ_{LT} =1.10 β_{LT} =0.75 f=0.98 χ_{LT} =0.64
 λ_y =44.54 N_{cr,y}=480014.00 λ^*_y =0.58 Curva a: Φ_y =0.71 χ_y =0.90
 λ_z =165.40 N_{cr,z}=34809.20 λ^*_z =2.16 Curva b: Φ_z =3.18 χ_z =0.18
K_{yy}, K_{yz}, K_{zy}, K_{zz}=0.97, 0.73, 0.00, 1.22
Verifica YY: 0.04+0.55=0.59
Verifica ZZ: 0.21=0.21

- Verifica freccia massima carichi totali - CC 22
f_{z,L}=0.94 (L/531)

- Verifica freccia massima per soli carichi accidentali - CC 22
f_{z,L}=0.43 (L/1151)

Asta n. 1030 (-109 -101) Sez. 2 IPE270 Crit. 2

- Verifica a flessione YY [4.2.13] - CC 1 SND X1=2.50 - Classe 3
Sollecitazioni: M_y=-3375.98
My,Ed=-3375.98 My,c,Rd=14500.40 My,Ed/My,c,Rd=0.23

- Verifica a taglio dir. Z [4.2.16] - CC 17 SLU X1=0.00 - Classe 1
Sollecitazioni: T_z=4989.83
V,Ed=4989.83 V_c,Rd=43217.20 V,Ed/V_c,Rd=0.12

- Verifica a presso o tenso-flessione retta YY (4.2.4.1.2.7) - CC 17 SLU X1=2.50 - Classe 1
Sollecitazioni: N=5789.22 M_y=-6237.29
My,Ed=-6237.29 My,c,Rd=16436.40
N,Ed=5789.22 N_c,Rd=155342.00 YY n=N,Ed/N_c,Rd=0.04 MN_y,c,Rd=16436.40 My,Ed/MN_y,c,Rd=0.38

- Verifica di stabilità aste inflesse (4.2.4.1.3.2) CC 17 SLU - Classe 1
L_{cr}=5.00 Curva b: α_{imp} =0.34 k_c =0.94 ψ =1.75 M_{cr}=13579.60 λ_{LT} =1.13
 $\lambda_{LT,0}$ =0.40 β_{LT} =0.75 Φ_{LT} =1.10 β_{LT} =0.75 f=0.98 χ_{LT} =0.64
My,Ed=-6237.29 My,b,Rd=10471.50 My,Ed/My,b,Rd=0.60

- Verifica di stabilità aste presso-inflesse (C4.2.4.1.3.3.2) - CC 19 SLU - Classe 1
Sollecitazioni: N,Ed=-5789.22 My,Ed=-5983.93 L=5.00
 α_{my} , α_{mz} , α_{LT} =0.95, 0.95, 0.95

Relazione di calcolo

$L_{cr}=5.00$ Curva b: $\alpha_{imp}=0.34$ $k_c=0.94$ $\psi=1.75$ $M_{cr}=13579.60$ $\lambda_{LT}=1.13$
 $\lambda_{LT,0}=0.40$ $\Phi_{LT}=1.10$ $\beta_{LT}=0.75$ $f=0.98$ $\chi_{LT}=0.64$
 $\lambda_y=44.54$ $N_{cr,y}=480014.00$ $\lambda_y^*=0.58$ Curva a: $\Phi_y=0.71$ $\chi_y=0.90$
 $\lambda_z=165.40$ $N_{cr,z}=34809.20$ $\lambda_z^*=2.16$ Curva b: $\Phi_z=3.18$ $\chi_z=0.18$
 K_{yy} , K_{yz} , K_{zy} , $K_{zz}=0.97$, 0.73 , 0.00 , 1.22
Verifica YY: $0.04+0.55=0.59$
Verifica ZZ: $0.21=0.21$

- Verifica freccia massima carichi totali - CC 22
 $f_{z,g}=0.94$ (L/531)

- Verifica freccia massima per soli carichi accidentali - CC 22
 $f_{z,L}=0.43$ (L/1151)

Asta n. 1031 (23 1033) Sez. 5 UPN100 Crit. 3

- Verifica a trazione (4.2.4.1.2.1) - CC 5 SLV $X_l=0.00$ - Classe 1
Sollecitazioni: $N=3690.03$
Verifica a trazione [4.2.5]
 $N_{Ed}=3690.03$ $N_{pl,Rd}=35889.70$ $N_{u,Rd}=42425.50$ $N_{Ed/Nt,Rd}=0.10$

- Verifica freccia massima carichi totali - CC 22
 $f_{z,g}=0.01$ (L/53942)

- Verifica freccia massima per soli carichi accidentali - CC 22
 $f_{z,g}=0.00$ (L/116920)

Asta n. 1032 (-21 -12) Sez. 2 IPE270 Crit. 2

- Verifica a flessione YY [4.2.13] - CC 1 SND $X_l=2.50$ - Classe 3
Sollecitazioni: $M_y=-3375.98$
 $M_{y,Ed}=-3375.98$ $M_{y,c,Rd}=14500.40$ $M_{y,Ed/M_{y,c,Rd}}=0.23$

- Verifica a taglio dir. Z [4.2.16] - CC 17 SLU $X_l=5.00$ - Classe 1
Sollecitazioni: $T_z=-4989.83$
 $V_{Ed}=-4989.83$ $V_{c,Rd}=43217.20$ $V_{Ed/V_{c,Rd}}=0.12$

- Verifica a presso o tenso-flessione retta YY (4.2.4.1.2.7) - CC 17 SLU $X_l=2.50$ - Classe 1
Sollecitazioni: $N=5789.22$ $M_y=-6237.29$
 $M_{y,Ed}=-6237.29$ $M_{y,c,Rd}=16436.40$
 $N_{Ed}=5789.22$ $N_{c,Rd}=155342.00$ $YY\ n=N_{Ed/N_{c,Rd}}=0.04$ $M_{Ny,c,Rd}=16436.40$ $M_{y,Ed/M_{Ny,c,Rd}}=0.38$

- Verifica di stabilità aste inflesse (4.2.4.1.3.2) CC 17 SLU - Classe 1
 $L_{cr}=5.00$ Curva b: $\alpha_{imp}=0.34$ $k_c=0.94$ $\psi=1.75$ $M_{cr}=13579.60$ $\lambda_{LT}=1.13$
 $\lambda_{LT,0}=0.40$ $\beta_{LT}=0.75$ $\Phi_{LT}=1.10$ $\beta_{LT}=0.75$ $f=0.98$ $\chi_{LT}=0.64$
 $M_{y,Ed}=-6237.29$ $M_{y,b,Rd}=10471.50$ $M_{y,Ed/M_{y,b,Rd}}=0.60$

- Verifica di stabilità aste presso-inflesse (C4.2.4.1.3.3.2) - CC 19 SLU - Classe 1
Sollecitazioni: $N_{Ed}=-5789.22$ $M_{y,Ed}=-5983.93$ $L=5.00$
 α_{my} , α_{mz} , $\alpha_{LT}=0.95$, 0.95 , 0.95
 $L_{cr}=5.00$ Curva b: $\alpha_{imp}=0.34$ $k_c=0.94$ $\psi=1.75$ $M_{cr}=13579.60$ $\lambda_{LT}=1.13$
 $\lambda_{LT,0}=0.40$ $\Phi_{LT}=1.10$ $\beta_{LT}=0.75$ $f=0.98$ $\chi_{LT}=0.64$
 $\lambda_y=44.54$ $N_{cr,y}=480014.00$ $\lambda_y^*=0.58$ Curva a: $\Phi_y=0.71$ $\chi_y=0.90$
 $\lambda_z=165.40$ $N_{cr,z}=34809.20$ $\lambda_z^*=2.16$ Curva b: $\Phi_z=3.18$ $\chi_z=0.18$
 K_{yy} , K_{yz} , K_{zy} , $K_{zz}=0.97$, 0.73 , 0.00 , 1.22
Verifica YY: $0.04+0.55=0.59$
Verifica ZZ: $0.21=0.21$

- Verifica freccia massima carichi totali - CC 22
 $f_{z,L}=0.94$ (L/531)

- Verifica freccia massima per soli carichi accidentali - CC 22
 $f_{z,L}=0.43$ (L/1151)

Asta n. 1032 (-30 -21) Sez. 2 IPE270 Crit. 2

- Verifica a flessione YY [4.2.13] - CC 1 SND $X_l=2.50$ - Classe 3
Sollecitazioni: $M_y=-3375.98$
 $M_{y,Ed}=-3375.98$ $M_{y,c,Rd}=14500.40$ $M_{y,Ed/M_{y,c,Rd}}=0.23$

- Verifica a taglio dir. Z [4.2.16] - CC 17 SLU $X_l=5.00$ - Classe 1
Sollecitazioni: $T_z=-4989.83$
 $V_{Ed}=-4989.83$ $V_{c,Rd}=43217.20$ $V_{Ed/V_{c,Rd}}=0.12$

- Verifica a presso o tenso-flessione retta YY (4.2.4.1.2.7) - CC 17 SLU $X_l=2.50$ - Classe 1
Sollecitazioni: $N=5789.22$ $M_y=-6237.29$
 $M_{y,Ed}=-6237.29$ $M_{y,c,Rd}=16436.40$
 $N_{Ed}=5789.22$ $N_{c,Rd}=155342.00$ $YY\ n=N_{Ed/N_{c,Rd}}=0.04$ $M_{Ny,c,Rd}=16436.40$ $M_{y,Ed/M_{Ny,c,Rd}}=0.38$

- Verifica di stabilità aste inflesse (4.2.4.1.3.2) CC 17 SLU - Classe 1

Relazione di calcolo

- $L_{cr}=5.00$ Curva b: $\alpha_{imp}=0.34$ $k_c=0.94$ $\psi=1.75$ $M_{cr}=13579.60$ $\lambda_{LT}=1.13$
 $\lambda_{LT,0}=0.40$ $\beta_{LT}=0.75$ $\Phi_{LT}=1.10$ $\beta_{LT}=0.75$ $f=0.98$ $\chi_{LT}=0.64$
 $M_{y,Ed}=-6237.29$ $M_{y,b,Rd}=10471.50$ $M_{y,Ed}/M_{y,b,Rd}=0.60$
- Verifica di stabilità aste presso-inflesse (C4.2.4.1.3.3.2) - CC 19 SLU - Classe 1
Sollecitazioni: $N_{Ed}=-5789.22$ $M_{y,Ed}=-5983.93$ $L=5.00$
 α_{my} , α_{mz} , $\alpha_{LT}=0.95$, 0.95 , 0.95
 $L_{cr}=5.00$ Curva b: $\alpha_{imp}=0.34$ $k_c=0.94$ $\psi=1.75$ $M_{cr}=13579.60$ $\lambda_{LT}=1.13$
 $\lambda_{LT,0}=0.40$ $\Phi_{LT}=1.10$ $\beta_{LT}=0.75$ $f=0.98$ $\chi_{LT}=0.64$
 $\lambda_y=44.54$ $N_{cr,y}=480014.00$ $\lambda_y^*=0.58$ Curva a: $\Phi_y=0.71$ $\chi_y=0.90$
 $\lambda_z=165.40$ $N_{cr,z}=34809.20$ $\lambda_z^*=2.16$ Curva b: $\Phi_z=3.18$ $\chi_z=0.18$
 K_{yy} , K_{yz} , K_{zy} , $K_{zz}=0.97$, 0.73 , 0.00 , 1.22
Verifica YY: $0.04+0.55=0.59$
Verifica ZZ: $0.21=0.21$
- Verifica freccia massima carichi totali - CC 22
 $f_{z,L}=0.94$ (L/531)
- Verifica freccia massima per soli carichi accidentali - CC 22
 $f_{z,L}=0.43$ (L/1151)
- Asta n. 1032 (-39 -30) Sez. 2 IPE270 Crit. 2

- Verifica a flessione YY [4.2.13] - CC 1 SND $X_l=2.50$ - Classe 3
Sollecitazioni: $M_y=-3375.98$
 $M_{y,Ed}=-3375.98$ $M_{y,c,Rd}=14500.40$ $M_{y,Ed}/M_{y,c,Rd}=0.23$
- Verifica a taglio dir. Z [4.2.16] - CC 17 SLU $X_l=5.00$ - Classe 1
Sollecitazioni: $T_z=-4989.83$
 $V_{Ed}=-4989.83$ $V_{c,Rd}=43217.20$ $V_{Ed}/V_{c,Rd}=0.12$
- Verifica a presso o tenso-flessione retta YY (4.2.4.1.2.7) - CC 17 SLU $X_l=2.50$ - Classe 1
Sollecitazioni: $N=5789.22$ $M_y=-6237.29$
 $M_{y,Ed}=-6237.29$ $M_{y,c,Rd}=16436.40$
 $N_{Ed}=5789.22$ $N_{c,Rd}=155342.00$ YY $n=N_{Ed}/N_{c,Rd}=0.04$ $MN_{y,c,Rd}=16436.40$ $M_{y,Ed}/MN_{y,c,Rd}=0.38$
- Verifica di stabilità aste inflesse (4.2.4.1.3.2) CC 17 SLU - Classe 1
 $L_{cr}=5.00$ Curva b: $\alpha_{imp}=0.34$ $k_c=0.94$ $\psi=1.75$ $M_{cr}=13579.60$ $\lambda_{LT}=1.13$
 $\lambda_{LT,0}=0.40$ $\beta_{LT}=0.75$ $\Phi_{LT}=1.10$ $\beta_{LT}=0.75$ $f=0.98$ $\chi_{LT}=0.64$
 $M_{y,Ed}=-6237.29$ $M_{y,b,Rd}=10471.50$ $M_{y,Ed}/M_{y,b,Rd}=0.60$
- Verifica di stabilità aste presso-inflesse (C4.2.4.1.3.3.2) - CC 19 SLU - Classe 1
Sollecitazioni: $N_{Ed}=-5789.22$ $M_{y,Ed}=-5983.93$ $L=5.00$
 α_{my} , α_{mz} , $\alpha_{LT}=0.95$, 0.95 , 0.95
 $L_{cr}=5.00$ Curva b: $\alpha_{imp}=0.34$ $k_c=0.94$ $\psi=1.75$ $M_{cr}=13579.60$ $\lambda_{LT}=1.13$
 $\lambda_{LT,0}=0.40$ $\Phi_{LT}=1.10$ $\beta_{LT}=0.75$ $f=0.98$ $\chi_{LT}=0.64$
 $\lambda_y=44.54$ $N_{cr,y}=480014.00$ $\lambda_y^*=0.58$ Curva a: $\Phi_y=0.71$ $\chi_y=0.90$
 $\lambda_z=165.40$ $N_{cr,z}=34809.20$ $\lambda_z^*=2.16$ Curva b: $\Phi_z=3.18$ $\chi_z=0.18$
 K_{yy} , K_{yz} , K_{zy} , $K_{zz}=0.97$, 0.73 , 0.00 , 1.22
Verifica YY: $0.04+0.55=0.59$
Verifica ZZ: $0.21=0.21$
- Verifica freccia massima carichi totali - CC 22
 $f_{z,L}=0.94$ (L/531)
- Verifica freccia massima per soli carichi accidentali - CC 22
 $f_{z,L}=0.43$ (L/1151)
- Asta n. 1032 (-48 -39) Sez. 2 IPE270 Crit. 2

- Verifica a flessione YY [4.2.13] - CC 1 SND $X_l=2.50$ - Classe 3
Sollecitazioni: $M_y=-3375.98$
 $M_{y,Ed}=-3375.98$ $M_{y,c,Rd}=14500.40$ $M_{y,Ed}/M_{y,c,Rd}=0.23$
- Verifica a taglio dir. Z [4.2.16] - CC 17 SLU $X_l=5.00$ - Classe 1
Sollecitazioni: $T_z=-4989.83$
 $V_{Ed}=-4989.83$ $V_{c,Rd}=43217.20$ $V_{Ed}/V_{c,Rd}=0.12$
- Verifica a presso o tenso-flessione retta YY (4.2.4.1.2.7) - CC 17 SLU $X_l=2.50$ - Classe 1
Sollecitazioni: $N=5789.22$ $M_y=-6237.29$
 $M_{y,Ed}=-6237.29$ $M_{y,c,Rd}=16436.40$
 $N_{Ed}=5789.22$ $N_{c,Rd}=155342.00$ YY $n=N_{Ed}/N_{c,Rd}=0.04$ $MN_{y,c,Rd}=16436.40$ $M_{y,Ed}/MN_{y,c,Rd}=0.38$
- Verifica di stabilità aste inflesse (4.2.4.1.3.2) CC 17 SLU - Classe 1
 $L_{cr}=5.00$ Curva b: $\alpha_{imp}=0.34$ $k_c=0.94$ $\psi=1.75$ $M_{cr}=13579.60$ $\lambda_{LT}=1.13$
 $\lambda_{LT,0}=0.40$ $\beta_{LT}=0.75$ $\Phi_{LT}=1.10$ $\beta_{LT}=0.75$ $f=0.98$ $\chi_{LT}=0.64$
 $M_{y,Ed}=-6237.29$ $M_{y,b,Rd}=10471.50$ $M_{y,Ed}/M_{y,b,Rd}=0.60$
- Verifica di stabilità aste presso-inflesse (C4.2.4.1.3.3.2) - CC 19 SLU - Classe 1

Relazione di calcolo

Sollecitazioni: $N, Ed = -5789.22 \text{ My}, Ed = -5983.93 \text{ L} = 5.00$
 $\alpha_{my}, \alpha_{mz}, \alpha_{LT} = 0.95, 0.95, 0.95$
 $L_{cr} = 5.00$ Curva b: $\alpha_{imp} = 0.34 \text{ } k_c = 0.94 \text{ } \psi = 1.75 \text{ } M, cr = 13579.60 \text{ } \lambda_{LT} = 1.13$
 $\lambda_{LT,0} = 0.40 \text{ } \Phi_{LT} = 1.10 \text{ } \beta_{LT} = 0.75 \text{ } f = 0.98 \text{ } \chi_{LT} = 0.64$
 $\lambda_y = 44.54 \text{ } N_{cr,y} = 480014.00 \text{ } \lambda_y^* = 0.58$ Curva a: $\Phi_y = 0.71 \text{ } \chi_y = 0.90$
 $\lambda_z = 165.40 \text{ } N_{cr,z} = 34809.20 \text{ } \lambda_z^* = 2.16$ Curva b: $\Phi_z = 3.18 \text{ } \chi_z = 0.18$
 $K_{yy}, K_{yz}, K_{zy}, K_{zz} = 0.97, 0.73, 0.00, 1.22$
Verifica YY: $0.04 + 0.55 = 0.59$
Verifica ZZ: $0.21 = 0.21$

- Verifica freccia massima carichi totali - CC 22
 $f_{z,L} = 0.94 \text{ (L/531)}$

- Verifica freccia massima per soli carichi accidentali - CC 22
 $f_{z,G} = 0.43 \text{ (L/1151)}$

Asta n. 1032 (-57 -48) Sez. 2 IPE270 Crit. 2

- Verifica a flessione YY [4.2.13] - CC 1 SND $X_l = 2.50$ - Classe 3
Sollecitazioni: $M_y = -3375.98$
 $My, Ed = -3375.98 \text{ } My, c, Rd = 14500.40 \text{ } My, Ed/My, c, Rd = 0.23$

- Verifica a taglio dir. Z [4.2.16] - CC 17 SLU $X_l = 5.00$ - Classe 1
Sollecitazioni: $T_z = -4989.83$
 $V, Ed = -4989.83 \text{ } Vc, Rd = 43217.20 \text{ } V, Ed/Vc, Rd = 0.12$

- Verifica a presso o tenso-flessione retta YY (4.2.4.1.2.7) - CC 17 SLU $X_l = 2.50$ - Classe 1
Sollecitazioni: $N = 5789.22 \text{ } M_y = -6237.29$
 $My, Ed = -6237.29 \text{ } My, c, Rd = 16436.40$
 $N, Ed = 5789.22 \text{ } Nc, Rd = 155342.00 \text{ } YY \text{ } n = N, Ed/Nc, Rd = 0.04 \text{ } M_{Ny}, c, Rd = 16436.40 \text{ } My, Ed/M_{Ny}, c, Rd = 0.38$

- Verifica di stabilità aste inflesse (4.2.4.1.3.2) CC 17 SLU - Classe 1
 $L_{cr} = 5.00$ Curva b: $\alpha_{imp} = 0.34 \text{ } k_c = 0.94 \text{ } \psi = 1.75 \text{ } M, cr = 13579.60 \text{ } \lambda_{LT} = 1.13$
 $\lambda_{LT,0} = 0.40 \text{ } \beta_{LT} = 0.75 \text{ } \Phi_{LT} = 1.10 \text{ } \beta_{LT} = 0.75 \text{ } f = 0.98 \text{ } \chi_{LT} = 0.64$
 $My, Ed = -6237.29 \text{ } My, b, Rd = 10471.50 \text{ } My, Ed/My, b, Rd = 0.60$

- Verifica di stabilità aste presso-inflesse (C4.2.4.1.3.3.2) - CC 19 SLU - Classe 1
Sollecitazioni: $N, Ed = -5789.22 \text{ } My, Ed = -5983.93 \text{ } L = 5.00$
 $\alpha_{my}, \alpha_{mz}, \alpha_{LT} = 0.95, 0.95, 0.95$
 $L_{cr} = 5.00$ Curva b: $\alpha_{imp} = 0.34 \text{ } k_c = 0.94 \text{ } \psi = 1.75 \text{ } M, cr = 13579.60 \text{ } \lambda_{LT} = 1.13$
 $\lambda_{LT,0} = 0.40 \text{ } \Phi_{LT} = 1.10 \text{ } \beta_{LT} = 0.75 \text{ } f = 0.98 \text{ } \chi_{LT} = 0.64$
 $\lambda_y = 44.54 \text{ } N_{cr,y} = 480014.00 \text{ } \lambda_y^* = 0.58$ Curva a: $\Phi_y = 0.71 \text{ } \chi_y = 0.90$
 $\lambda_z = 165.40 \text{ } N_{cr,z} = 34809.20 \text{ } \lambda_z^* = 2.16$ Curva b: $\Phi_z = 3.18 \text{ } \chi_z = 0.18$
 $K_{yy}, K_{yz}, K_{zy}, K_{zz} = 0.97, 0.73, 0.00, 1.22$
Verifica YY: $0.04 + 0.55 = 0.59$
Verifica ZZ: $0.21 = 0.21$

- Verifica freccia massima carichi totali - CC 22
 $f_{z,L} = 0.94 \text{ (L/531)}$

- Verifica freccia massima per soli carichi accidentali - CC 22
 $f_{z,L} = 0.43 \text{ (L/1151)}$

Asta n. 1032 (-66 -57) Sez. 2 IPE270 Crit. 2

- Verifica a flessione YY [4.2.13] - CC 1 SND $X_l = 2.50$ - Classe 3
Sollecitazioni: $M_y = -3375.98$
 $My, Ed = -3375.98 \text{ } My, c, Rd = 14500.40 \text{ } My, Ed/My, c, Rd = 0.23$

- Verifica a taglio dir. Z [4.2.16] - CC 17 SLU $X_l = 5.00$ - Classe 1
Sollecitazioni: $T_z = -4989.83$
 $V, Ed = -4989.83 \text{ } Vc, Rd = 43217.20 \text{ } V, Ed/Vc, Rd = 0.12$

- Verifica a presso o tenso-flessione retta YY (4.2.4.1.2.7) - CC 17 SLU $X_l = 2.50$ - Classe 1
Sollecitazioni: $N = 5789.22 \text{ } M_y = -6237.29$
 $My, Ed = -6237.29 \text{ } My, c, Rd = 16436.40$
 $N, Ed = 5789.22 \text{ } Nc, Rd = 155342.00 \text{ } YY \text{ } n = N, Ed/Nc, Rd = 0.04 \text{ } M_{Ny}, c, Rd = 16436.40 \text{ } My, Ed/M_{Ny}, c, Rd = 0.38$

- Verifica di stabilità aste inflesse (4.2.4.1.3.2) CC 17 SLU - Classe 1
 $L_{cr} = 5.00$ Curva b: $\alpha_{imp} = 0.34 \text{ } k_c = 0.94 \text{ } \psi = 1.75 \text{ } M, cr = 13579.60 \text{ } \lambda_{LT} = 1.13$
 $\lambda_{LT,0} = 0.40 \text{ } \beta_{LT} = 0.75 \text{ } \Phi_{LT} = 1.10 \text{ } \beta_{LT} = 0.75 \text{ } f = 0.98 \text{ } \chi_{LT} = 0.64$
 $My, Ed = -6237.29 \text{ } My, b, Rd = 10471.50 \text{ } My, Ed/My, b, Rd = 0.60$

- Verifica di stabilità aste presso-inflesse (C4.2.4.1.3.3.2) - CC 19 SLU - Classe 1
Sollecitazioni: $N, Ed = -5789.22 \text{ } My, Ed = -5983.93 \text{ } L = 5.00$
 $\alpha_{my}, \alpha_{mz}, \alpha_{LT} = 0.95, 0.95, 0.95$
 $L_{cr} = 5.00$ Curva b: $\alpha_{imp} = 0.34 \text{ } k_c = 0.94 \text{ } \psi = 1.75 \text{ } M, cr = 13579.60 \text{ } \lambda_{LT} = 1.13$
 $\lambda_{LT,0} = 0.40 \text{ } \Phi_{LT} = 1.10 \text{ } \beta_{LT} = 0.75 \text{ } f = 0.98 \text{ } \chi_{LT} = 0.64$
 $\lambda_y = 44.54 \text{ } N_{cr,y} = 480014.00 \text{ } \lambda_y^* = 0.58$ Curva a: $\Phi_y = 0.71 \text{ } \chi_y = 0.90$

Relazione di calcolo

$\lambda_z=165.40$ Ncr,z=34809.20 $\lambda^*_z=2.16$ Curva b: $\Phi_z=3.18$ $\chi_z=0.18$
Kyy, Kyz, Kzy, Kzz=0.97, 0.73, 0.00, 1.22
Verifica YY: 0.04+0.55=0.59
Verifica ZZ: 0.21=0.21

- Verifica freccia massima carichi totali - CC 22
 $f_{z,L}=0.94$ (L/531)

- Verifica freccia massima per soli carichi accidentali - CC 22
 $f_{z,L}=0.43$ (L/1151)

Asta n. 1032 (-75 -66) Sez. 2 IPE270 Crit. 2

- Verifica a flessione YY [4.2.13] - CC 1 SND Xl=2.50 - Classe 3
Sollecitazioni: $M_y=-3375.98$
 $M_y,Ed=-3375.98$ $M_y,c,Rd=14500.40$ $M_y,Ed/M_y,c,Rd=0.23$

- Verifica a taglio dir. Z [4.2.16] - CC 17 SLU Xl=5.00 - Classe 1
Sollecitazioni: $T_z=-4989.83$
 $V,Ed=-4989.83$ $V_c,Rd=43217.20$ $V,Ed/V_c,Rd=0.12$

- Verifica a presso o tenso-flessione retta YY (4.2.4.1.2.7) - CC 17 SLU Xl=2.50 - Classe 1
Sollecitazioni: $N=5789.22$ $M_y=-6237.29$
 $M_y,Ed=-6237.29$ $M_y,c,Rd=16436.40$
 $N,Ed=5789.22$ $N_c,Rd=155342.00$ YY n=N,Ed/Nc,Rd=0.04 MNy,c,Rd=16436.40 $M_y,Ed/MNy,c,Rd=0.38$

- Verifica di stabilità aste inflesse (4.2.4.1.3.2) CC 17 SLU - Classe 1
 $L_{cr}=5.00$ Curva b: $\alpha_{imp}=0.34$ $k_c=0.94$ $\psi=1.75$ $M_{cr}=13579.60$ $\lambda_{LT}=1.13$
 $\lambda_{LT,0}=0.40$ $\beta_{LT}=0.75$ $\Phi_{LT}=1.10$ $\beta_{LT}=0.75$ $f=0.98$ $\chi_{LT}=0.64$
 $M_y,Ed=-6237.29$ $M_y,b,Rd=10471.50$ $M_y,Ed/M_y,b,Rd=0.60$

- Verifica di stabilità aste presso-inflesse (C4.2.4.1.3.3.2) - CC 19 SLU - Classe 1
Sollecitazioni: $N,Ed=-5789.22$ $M_y,Ed=-5983.93$ $L=5.00$
 $\alpha_{my}, \alpha_{mz}, \alpha_{LT}=0.95, 0.95, 0.95$
 $L_{cr}=5.00$ Curva b: $\alpha_{imp}=0.34$ $k_c=0.94$ $\psi=1.75$ $M_{cr}=13579.60$ $\lambda_{LT}=1.13$
 $\lambda_{LT,0}=0.40$ $\Phi_{LT}=1.10$ $\beta_{LT}=0.75$ $f=0.98$ $\chi_{LT}=0.64$
 $\lambda_y=44.54$ Ncr,y=480014.00 $\lambda^*_y=0.58$ Curva a: $\Phi_y=0.71$ $\chi_y=0.90$
 $\lambda_z=165.40$ Ncr,z=34809.20 $\lambda^*_z=2.16$ Curva b: $\Phi_z=3.18$ $\chi_z=0.18$
Kyy, Kyz, Kzy, Kzz=0.97, 0.73, 0.00, 1.22
Verifica YY: 0.04+0.55=0.59
Verifica ZZ: 0.21=0.21

- Verifica freccia massima carichi totali - CC 22
 $f_{z,L}=0.94$ (L/531)

- Verifica freccia massima per soli carichi accidentali - CC 22
 $f_{z,L}=0.43$ (L/1151)

Asta n. 1032 (-84 -75) Sez. 2 IPE270 Crit. 2

- Verifica a flessione YY [4.2.13] - CC 1 SND Xl=2.50 - Classe 3
Sollecitazioni: $M_y=-3375.98$
 $M_y,Ed=-3375.98$ $M_y,c,Rd=14500.40$ $M_y,Ed/M_y,c,Rd=0.23$

- Verifica a taglio dir. Z [4.2.16] - CC 17 SLU Xl=5.00 - Classe 1
Sollecitazioni: $T_z=-4989.83$
 $V,Ed=-4989.83$ $V_c,Rd=43217.20$ $V,Ed/V_c,Rd=0.12$

- Verifica a presso o tenso-flessione retta YY (4.2.4.1.2.7) - CC 17 SLU Xl=2.50 - Classe 1
Sollecitazioni: $N=5789.22$ $M_y=-6237.29$
 $M_y,Ed=-6237.29$ $M_y,c,Rd=16436.40$
 $N,Ed=5789.22$ $N_c,Rd=155342.00$ YY n=N,Ed/Nc,Rd=0.04 MNy,c,Rd=16436.40 $M_y,Ed/MNy,c,Rd=0.38$

- Verifica di stabilità aste inflesse (4.2.4.1.3.2) CC 17 SLU - Classe 1
 $L_{cr}=5.00$ Curva b: $\alpha_{imp}=0.34$ $k_c=0.94$ $\psi=1.75$ $M_{cr}=13579.60$ $\lambda_{LT}=1.13$
 $\lambda_{LT,0}=0.40$ $\beta_{LT}=0.75$ $\Phi_{LT}=1.10$ $\beta_{LT}=0.75$ $f=0.98$ $\chi_{LT}=0.64$
 $M_y,Ed=-6237.29$ $M_y,b,Rd=10471.50$ $M_y,Ed/M_y,b,Rd=0.60$

- Verifica di stabilità aste presso-inflesse (C4.2.4.1.3.3.2) - CC 19 SLU - Classe 1
Sollecitazioni: $N,Ed=-5789.22$ $M_y,Ed=-5983.93$ $L=5.00$
 $\alpha_{my}, \alpha_{mz}, \alpha_{LT}=0.95, 0.95, 0.95$
 $L_{cr}=5.00$ Curva b: $\alpha_{imp}=0.34$ $k_c=0.94$ $\psi=1.75$ $M_{cr}=13579.60$ $\lambda_{LT}=1.13$
 $\lambda_{LT,0}=0.40$ $\Phi_{LT}=1.10$ $\beta_{LT}=0.75$ $f=0.98$ $\chi_{LT}=0.64$
 $\lambda_y=44.54$ Ncr,y=480014.00 $\lambda^*_y=0.58$ Curva a: $\Phi_y=0.71$ $\chi_y=0.90$
 $\lambda_z=165.40$ Ncr,z=34809.20 $\lambda^*_z=2.16$ Curva b: $\Phi_z=3.18$ $\chi_z=0.18$
Kyy, Kyz, Kzy, Kzz=0.97, 0.73, 0.00, 1.22
Verifica YY: 0.04+0.55=0.59
Verifica ZZ: 0.21=0.21

Relazione di calcolo

- Verifica freccia massima carichi totali - CC 22
 $f_{z,L}=0.94$ (L/531)

- Verifica freccia massima per soli carichi accidentali - CC 22
 $f_{z,L}=0.43$ (L/1151)

Asta n. 1032 (-93 -84) Sez. 2 IPE270 Crit. 2

- Verifica a flessione YY [4.2.13] - CC 1 SND $X_l=2.50$ - Classe 3
Sollecitazioni: $M_y=-3375.98$
 $M_y,Ed=-3375.98$ $M_y,c,Rd=14500.40$ $M_y,Ed/M_y,c,Rd=0.23$

- Verifica a taglio dir. Z [4.2.16] - CC 17 SLU $X_l=5.00$ - Classe 1
Sollecitazioni: $T_z=-4989.83$
 $V,Ed=-4989.83$ $V_c,Rd=43217.20$ $V,Ed/V_c,Rd=0.12$

- Verifica a presso o tenso-flessione retta YY (4.2.4.1.2.7) - CC 17 SLU $X_l=2.50$ - Classe 1
Sollecitazioni: $N=5789.22$ $M_y=-6237.29$
 $M_y,Ed=-6237.29$ $M_y,c,Rd=16436.40$
 $N,Ed=5789.22$ $N_c,Rd=155342.00$ YY $n=N,Ed/N_c,Rd=0.04$ $MN_y,c,Rd=16436.40$ $M_y,Ed/MN_y,c,Rd=0.38$

- Verifica di stabilità aste inflesse (4.2.4.1.3.2) CC 17 SLU - Classe 1
 $L_{cr}=5.00$ Curva b: $\alpha_{imp}=0.34$ $k_c=0.94$ $\psi=1.75$ $M_{cr}=13579.60$ $\lambda_{LT}=1.13$
 $\lambda_{LT,0}=0.40$ $\beta_{LT}=0.75$ $\Phi_{LT}=1.10$ $\beta_{LT}=0.75$ $f=0.98$ $\chi_{LT}=0.64$
 $M_y,Ed=-6237.29$ $M_y,b,Rd=10471.50$ $M_y,Ed/M_y,b,Rd=0.60$

- Verifica di stabilità aste presso-inflesse (4.2.4.1.3.3.2) - CC 19 SLU - Classe 1
Sollecitazioni: $N,Ed=-5789.22$ $M_y,Ed=-5983.93$ $L=5.00$
 $\alpha_{my}, \alpha_{mz}, \alpha_{LT}=0.95, 0.95, 0.95$
 $L_{cr}=5.00$ Curva b: $\alpha_{imp}=0.34$ $k_c=0.94$ $\psi=1.75$ $M_{cr}=13579.60$ $\lambda_{LT}=1.13$
 $\lambda_{LT,0}=0.40$ $\Phi_{LT}=1.10$ $\beta_{LT}=0.75$ $f=0.98$ $\chi_{LT}=0.64$
 $\lambda_y=44.54$ $N_{cr,y}=480014.00$ $\lambda^*_y=0.58$ Curva a: $\Phi_y=0.71$ $\chi_y=0.90$
 $\lambda_z=165.40$ $N_{cr,z}=34809.20$ $\lambda^*_z=2.16$ Curva b: $\Phi_z=3.18$ $\chi_z=0.18$
 $K_{yy}, K_{yz}, K_{zy}, K_{zz}=0.97, 0.73, 0.00, 1.22$
Verifica YY: $0.04+0.55=0.59$
Verifica ZZ: $0.21=0.21$

- Verifica freccia massima carichi totali - CC 22
 $f_{z,L}=0.94$ (L/531)

- Verifica freccia massima per soli carichi accidentali - CC 22
 $f_{z,G}=0.43$ (L/1151)

Asta n. 1032 (-102 -93) Sez. 2 IPE270 Crit. 2

- Verifica a flessione YY [4.2.13] - CC 1 SND $X_l=2.50$ - Classe 3
Sollecitazioni: $M_y=-3375.98$
 $M_y,Ed=-3375.98$ $M_y,c,Rd=14500.40$ $M_y,Ed/M_y,c,Rd=0.23$

- Verifica a taglio dir. Z [4.2.16] - CC 17 SLU $X_l=5.00$ - Classe 1
Sollecitazioni: $T_z=-4989.83$
 $V,Ed=-4989.83$ $V_c,Rd=43217.20$ $V,Ed/V_c,Rd=0.12$

- Verifica a presso o tenso-flessione retta YY (4.2.4.1.2.7) - CC 17 SLU $X_l=2.50$ - Classe 1
Sollecitazioni: $N=5789.22$ $M_y=-6237.29$
 $M_y,Ed=-6237.29$ $M_y,c,Rd=16436.40$
 $N,Ed=5789.22$ $N_c,Rd=155342.00$ YY $n=N,Ed/N_c,Rd=0.04$ $MN_y,c,Rd=16436.40$ $M_y,Ed/MN_y,c,Rd=0.38$

- Verifica di stabilità aste inflesse (4.2.4.1.3.2) CC 17 SLU - Classe 1
 $L_{cr}=5.00$ Curva b: $\alpha_{imp}=0.34$ $k_c=0.94$ $\psi=1.75$ $M_{cr}=13579.60$ $\lambda_{LT}=1.13$
 $\lambda_{LT,0}=0.40$ $\beta_{LT}=0.75$ $\Phi_{LT}=1.10$ $\beta_{LT}=0.75$ $f=0.98$ $\chi_{LT}=0.64$
 $M_y,Ed=-6237.29$ $M_y,b,Rd=10471.50$ $M_y,Ed/M_y,b,Rd=0.60$

- Verifica di stabilità aste presso-inflesse (4.2.4.1.3.3.2) - CC 19 SLU - Classe 1
Sollecitazioni: $N,Ed=-5789.22$ $M_y,Ed=-5983.93$ $L=5.00$
 $\alpha_{my}, \alpha_{mz}, \alpha_{LT}=0.95, 0.95, 0.95$
 $L_{cr}=5.00$ Curva b: $\alpha_{imp}=0.34$ $k_c=0.94$ $\psi=1.75$ $M_{cr}=13579.60$ $\lambda_{LT}=1.13$
 $\lambda_{LT,0}=0.40$ $\Phi_{LT}=1.10$ $\beta_{LT}=0.75$ $f=0.98$ $\chi_{LT}=0.64$
 $\lambda_y=44.54$ $N_{cr,y}=480014.00$ $\lambda^*_y=0.58$ Curva a: $\Phi_y=0.71$ $\chi_y=0.90$
 $\lambda_z=165.40$ $N_{cr,z}=34809.20$ $\lambda^*_z=2.16$ Curva b: $\Phi_z=3.18$ $\chi_z=0.18$
 $K_{yy}, K_{yz}, K_{zy}, K_{zz}=0.97, 0.73, 0.00, 1.22$
Verifica YY: $0.04+0.55=0.59$
Verifica ZZ: $0.21=0.21$

- Verifica freccia massima carichi totali - CC 22
 $f_{z,G}=0.94$ (L/531)

- Verifica freccia massima per soli carichi accidentali - CC 22
 $f_{z,L}=0.43$ (L/1151)

Relazione di calcolo

Asta n. 1032 (-110 -102) Sez. 2 IPE270 Crit. 2

-
- Verifica a flessione YY [4.2.13] - CC 1 SND $X_l=2.50$ - Classe 3
Sollecitazioni: $M_y=-3375.98$
 $M_y,Ed=-3375.98$ $M_y,c,Rd=14500.40$ $M_y,Ed/M_y,c,Rd=0.23$
 - Verifica a taglio dir. Z [4.2.16] - CC 17 SLU $X_l=5.00$ - Classe 1
Sollecitazioni: $T_z=-4989.83$
 $V,Ed=-4989.83$ $V_c,Rd=43217.20$ $V,Ed/V_c,Rd=0.12$
 - Verifica a presso o tenso-flessione retta YY (4.2.4.1.2.7) - CC 17 SLU $X_l=2.50$ - Classe 1
Sollecitazioni: $N=5789.22$ $M_y=-6237.29$
 $M_y,Ed=-6237.29$ $M_y,c,Rd=16436.40$
 $N,Ed=5789.22$ $N_c,Rd=155342.00$ $YY\ n=N,Ed/N_c,Rd=0.04$ $MN_y,c,Rd=16436.40$ $M_y,Ed/MN_y,c,Rd=0.38$
 - Verifica di stabilità aste inflesse (4.2.4.1.3.2) CC 17 SLU - Classe 1
 $L_{cr}=5.00$ Curva b: $\alpha_{imp}=0.34$ $k_c=0.94$ $\psi=1.75$ $M_{cr}=13579.60$ $\lambda_{LT}=1.13$
 $\lambda_{LT,0}=0.40$ $\beta_{LT}=0.75$ $\Phi_{LT}=1.10$ $\beta_{LT}=0.75$ $f=0.98$ $\chi_{LT}=0.64$
 $M_y,Ed=-6237.29$ $M_y,b,Rd=10471.50$ $M_y,Ed/M_y,b,Rd=0.60$
 - Verifica di stabilità aste presso-inflesse (C4.2.4.1.3.3.2) - CC 19 SLU - Classe 1
Sollecitazioni: $N,Ed=-5789.22$ $M_y,Ed=-5983.93$ $L=5.00$
 $\alpha_{my}, \alpha_{mz}, \alpha_{LT}=0.95, 0.95, 0.95$
 $L_{cr}=5.00$ Curva b: $\alpha_{imp}=0.34$ $k_c=0.94$ $\psi=1.75$ $M_{cr}=13579.60$ $\lambda_{LT}=1.13$
 $\lambda_{LT,0}=0.40$ $\Phi_{LT}=1.10$ $\beta_{LT}=0.75$ $f=0.98$ $\chi_{LT}=0.64$
 $\lambda_y=44.54$ $N_{cr,y}=480014.00$ $\lambda_y^*=0.58$ Curva a: $\Phi_y=0.71$ $\chi_y=0.90$
 $\lambda_z=165.40$ $N_{cr,z}=34809.20$ $\lambda_z^*=2.16$ Curva b: $\Phi_z=3.18$ $\chi_z=0.18$
 $K_{yy}, K_{yz}, K_{zy}, K_{zz}=0.97, 0.73, 0.00, 1.22$
Verifica YY: $0.04+0.55=0.59$
Verifica ZZ: $0.21=0.21$
 - Verifica freccia massima carichi totali - CC 22
 $f_{z,g}=0.94$ (L/531)
 - Verifica freccia massima per soli carichi accidentali - CC 22
 $f_{z,g}=0.43$ (L/1151)

Asta n. 1033 (1024 1014) Sez. 10 HEA300 Crit. 2

-
- Verifica a flessione YY [4.2.13] - CC 1 SND $X_l=2.50$ - Classe 3
Sollecitazioni: $M_y=-2532.69$
 $M_y,Ed=-2532.69$ $M_y,c,Rd=42586.20$ $M_y,Ed/M_y,c,Rd=0.06$
 - Verifica a taglio dir. Z [4.2.16] - CC 17 SLU $X_l=5.00$ - Classe 1
Sollecitazioni: $T_z=-3473.40$
 $V,Ed=-3473.40$ $V_c,Rd=72775.50$ $V,Ed/V_c,Rd=0.05$
 - Verifica in termini tensionali [4.2.4] - CC 17 SLU $X_l=2.50$ - Classe 3
Sollecitazioni: $N=14179.00$ $M_y=-4341.75$
Tensioni: $\sigma_N=126.00$ $\sigma_{m,d}=344.69$ $\tau=0.00$ $\sigma_{max}=470.70$ (sfrut=0.14)
Tensioni: $\sigma_N=0.00$ $\sigma_{m,d}=0.00$ $\tau=0.00$ $\tau_{max}=0.00$ (sfrut=0.00)
Tensioni: $\sigma_N=126.00$ $\sigma_{m,d}=344.69$ $\tau=0.00$ $\sigma_{ID,max}=470.70$ (sfrut=0.14)
 - Verifica di stabilità aste inflesse (4.2.4.1.3.2) CC 17 SLU - Classe 3
 $L_{cr}=5.00$ Curva b: $\alpha_{imp}=0.34$ $k_c=0.94$ $\psi=1.75$ $M_{cr}=160612.00$ $\lambda_{LT}=0.53$
 $\lambda_{LT,0}=0.40$ $\beta_{LT}=0.75$ $\Phi_{LT}=0.63$ $\beta_{LT}=0.75$ $f=0.97$ $\chi_{LT}=0.97$
 $M_y,Ed=-4341.75$ $M_y,b,Rd=41459.00$ $M_y,Ed/M_y,b,Rd=0.10$
 - Verifica di stabilità aste presso-inflesse (C4.2.4.1.3.3.2) - CC 19 SLU - Classe 3
Sollecitazioni: $N,Ed=-14179.00$ $M_y,Ed=-4215.07$ $L=5.00$
 $\alpha_{my}, \alpha_{mz}, \alpha_{LT}=0.95, 0.95, 0.95$
 $L_{cr}=5.00$ Curva b: $\alpha_{imp}=0.34$ $k_c=0.94$ $\psi=1.75$ $M_{cr}=160612.00$ $\lambda_{LT}=0.53$
 $\lambda_{LT,0}=0.40$ $\Phi_{LT}=0.63$ $\beta_{LT}=0.75$ $f=0.97$ $\chi_{LT}=0.97$
 $\lambda_y=39.25$ $N_{cr,y}=1514180.00$ $\lambda_y^*=0.51$ Curva b: $\Phi_y=0.69$ $\chi_y=0.88$
 $\lambda_z=66.77$ $N_{cr,z}=523093.00$ $\lambda_z^*=0.87$ Curva c: $\Phi_z=1.05$ $\chi_z=0.62$
 $K_{yy}, K_{yz}, K_{zy}, K_{zz}=0.96, 0.98, 0.00, 0.98$
Verifica YY: $0.04+0.10=0.14$
Verifica ZZ: $0.04=0.04$
 - Verifica freccia massima carichi totali - CC 22
 $f_{z,L}=0.21$ (L/2423)
 - Verifica freccia massima per soli carichi accidentali - CC 22
 $f_{z,L}=0.07$ (L/7266)

Asta n. 1033 (1034 1024) Sez. 10 HEA300 Crit. 2

-
- Verifica a flessione YY [4.2.13] - CC 1 SND $X_l=2.50$ - Classe 3

Relazione di calcolo

Sollecitazioni: $M_y = -2532.69$
 $M_y, Ed = -2532.69$ $M_y, c, Rd = 42586.20$ $M_y, Ed / M_y, c, Rd = 0.06$

- Verifica a taglio dir. Z [4.2.16] - CC 17 SLU $X_l = 5.00$ - Classe 1
Sollecitazioni: $T_z = -3473.40$
 $V, Ed = -3473.40$ $V_c, Rd = 72775.50$ $V, Ed / V_c, Rd = 0.05$

- Verifica in termini tensionali [4.2.4] - CC 17 SLU $X_l = 2.50$ - Classe 3
Sollecitazioni: $N = 14179.00$ $M_y = -4341.75$
Tensioni: $\sigma_N = 126.00$ $\sigma_{m,d} = 344.69$ $\tau = 0.00$ $\sigma_{max} = 470.70$ (sfrut=0.14)
Tensioni: $\sigma_N = 0.00$ $\sigma_{m,d} = 0.00$ $\tau = 0.00$ $\tau_{max} = 0.00$ (sfrut=0.00)
Tensioni: $\sigma_N = 126.00$ $\sigma_{m,d} = 344.69$ $\tau = 0.00$ $\sigma_{ID,max} = 470.70$ (sfrut=0.14)

- Verifica di stabilità aste inflesse (4.2.4.1.3.2) CC 17 SLU - Classe 3
 $L_{cr} = 5.00$ Curva b: $\alpha_{imp} = 0.34$ $k_c = 0.94$ $\psi = 1.75$ $M_{cr} = 160612.00$ $\lambda_{LT} = 0.53$
 $\lambda_{LT,0} = 0.40$ $\beta_{LT} = 0.75$ $\Phi_{LT} = 0.63$ $\beta_{LT} = 0.75$ $f = 0.97$ $\chi_{LT} = 0.97$
 $M_y, Ed = -4341.75$ $M_y, b, Rd = 41459.00$ $M_y, Ed / M_y, b, Rd = 0.10$

- Verifica di stabilità aste presso-inflesse (C4.2.4.1.3.3.2) - CC 19 SLU - Classe 3
Sollecitazioni: $N, Ed = -14179.00$ $M_y, Ed = -4215.07$ $L = 5.00$
 $\alpha_{my}, \alpha_{mz}, \alpha_{LT} = 0.95, 0.95, 0.95$
 $L_{cr} = 5.00$ Curva b: $\alpha_{imp} = 0.34$ $k_c = 0.94$ $\psi = 1.75$ $M_{cr} = 160612.00$ $\lambda_{LT} = 0.53$
 $\lambda_{LT,0} = 0.40$ $\Phi_{LT} = 0.63$ $\beta_{LT} = 0.75$ $f = 0.97$ $\chi_{LT} = 0.97$
 $\lambda_y = 39.25$ $N_{cr,y} = 1514180.00$ $\lambda^*_y = 0.51$ Curva b: $\Phi_y = 0.69$ $\chi_y = 0.88$
 $\lambda_z = 66.77$ $N_{cr,z} = 523093.00$ $\lambda^*_z = 0.87$ Curva c: $\Phi_z = 1.05$ $\chi_z = 0.62$
 $K_{yy}, K_{yz}, K_{zy}, K_{zz} = 0.96, 0.98, 0.00, 0.98$
Verifica YY: $0.04 + 0.10 = 0.14$
Verifica ZZ: $0.04 = 0.04$

- Verifica freccia massima carichi totali - CC 22
 $f_{z,L} = 0.21$ (L/2423)

- Verifica freccia massima per soli carichi accidentali - CC 22
 $f_{z,L} = 0.07$ (L/7266)

Asta n. 1033 (1044 1034) Sez. 10 HEA300 Crit. 2

- Verifica a flessione YY [4.2.13] - CC 1 SND $X_l = 2.50$ - Classe 3
Sollecitazioni: $M_y = -2532.69$
 $M_y, Ed = -2532.69$ $M_y, c, Rd = 42586.20$ $M_y, Ed / M_y, c, Rd = 0.06$

- Verifica a taglio dir. Z [4.2.16] - CC 17 SLU $X_l = 5.00$ - Classe 1
Sollecitazioni: $T_z = -3473.40$
 $V, Ed = -3473.40$ $V_c, Rd = 72775.50$ $V, Ed / V_c, Rd = 0.05$

- Verifica in termini tensionali [4.2.4] - CC 17 SLU $X_l = 2.50$ - Classe 3
Sollecitazioni: $N = 14179.00$ $M_y = -4341.75$
Tensioni: $\sigma_N = 126.00$ $\sigma_{m,d} = 344.69$ $\tau = 0.00$ $\sigma_{max} = 470.70$ (sfrut=0.14)
Tensioni: $\sigma_N = 0.00$ $\sigma_{m,d} = 0.00$ $\tau = 0.00$ $\tau_{max} = 0.00$ (sfrut=0.00)
Tensioni: $\sigma_N = 126.00$ $\sigma_{m,d} = 344.69$ $\tau = 0.00$ $\sigma_{ID,max} = 470.70$ (sfrut=0.14)

- Verifica di stabilità aste inflesse (4.2.4.1.3.2) CC 17 SLU - Classe 3
 $L_{cr} = 5.00$ Curva b: $\alpha_{imp} = 0.34$ $k_c = 0.94$ $\psi = 1.75$ $M_{cr} = 160612.00$ $\lambda_{LT} = 0.53$
 $\lambda_{LT,0} = 0.40$ $\beta_{LT} = 0.75$ $\Phi_{LT} = 0.63$ $\beta_{LT} = 0.75$ $f = 0.97$ $\chi_{LT} = 0.97$
 $M_y, Ed = -4341.75$ $M_y, b, Rd = 41459.00$ $M_y, Ed / M_y, b, Rd = 0.10$

- Verifica di stabilità aste presso-inflesse (C4.2.4.1.3.3.2) - CC 19 SLU - Classe 3
Sollecitazioni: $N, Ed = -14179.00$ $M_y, Ed = -4215.07$ $L = 5.00$
 $\alpha_{my}, \alpha_{mz}, \alpha_{LT} = 0.95, 0.95, 0.95$
 $L_{cr} = 5.00$ Curva b: $\alpha_{imp} = 0.34$ $k_c = 0.94$ $\psi = 1.75$ $M_{cr} = 160612.00$ $\lambda_{LT} = 0.53$
 $\lambda_{LT,0} = 0.40$ $\Phi_{LT} = 0.63$ $\beta_{LT} = 0.75$ $f = 0.97$ $\chi_{LT} = 0.97$
 $\lambda_y = 39.25$ $N_{cr,y} = 1514180.00$ $\lambda^*_y = 0.51$ Curva b: $\Phi_y = 0.69$ $\chi_y = 0.88$
 $\lambda_z = 66.77$ $N_{cr,z} = 523093.00$ $\lambda^*_z = 0.87$ Curva c: $\Phi_z = 1.05$ $\chi_z = 0.62$
 $K_{yy}, K_{yz}, K_{zy}, K_{zz} = 0.96, 0.98, 0.00, 0.98$
Verifica YY: $0.04 + 0.10 = 0.14$
Verifica ZZ: $0.04 = 0.04$

- Verifica freccia massima carichi totali - CC 22
 $f_{z,L} = 0.21$ (L/2423)

- Verifica freccia massima per soli carichi accidentali - CC 22
 $f_{z,G} = 0.07$ (L/7264)

Asta n. 1033 (1054 1044) Sez. 10 HEA300 Crit. 2

- Verifica a flessione YY [4.2.13] - CC 1 SND $X_l = 2.50$ - Classe 3
Sollecitazioni: $M_y = -2532.69$
 $M_y, Ed = -2532.69$ $M_y, c, Rd = 42586.20$ $M_y, Ed / M_y, c, Rd = 0.06$

Relazione di calcolo

- Verifica a taglio dir. Z [4.2.16] - CC 17 SLU $X_l=5.00$ - Classe 1
Sollecitazioni: $T_z=-3473.40$
 $V, Ed=-3473.40$ $V_c, Rd=72775.50$ $V, Ed/V_c, Rd=0.05$
- Verifica in termini tensionali [4.2.4] - CC 17 SLU $X_l=2.50$ - Classe 3
Sollecitazioni: $N=14179.00$ $M_y=-4341.75$
Tensioni: $\sigma_N=126.00$ $\sigma_{m,d}=344.69$ $\tau=0.00$ $\sigma_{max}=470.70$ (sfrut=0.14)
Tensioni: $\sigma_N=0.00$ $\sigma_{m,d}=0.00$ $\tau=0.00$ $\tau_{max}=0.00$ (sfrut=0.00)
Tensioni: $\sigma_N=126.00$ $\sigma_{m,d}=344.69$ $\tau=0.00$ $\sigma_{ID,max}=470.70$ (sfrut=0.14)
- Verifica di stabilità aste inflesse (4.2.4.1.3.2) CC 17 SLU - Classe 3
 $L_{cr}=5.00$ Curva b: $\alpha_{imp}=0.34$ $k_c=0.94$ $\psi=1.75$ $M_{cr}=160612.00$ $\lambda_{LT}=0.53$
 $\lambda_{LT,0}=0.40$ $\beta_{LT}=0.75$ $\Phi_{LT}=0.63$ $\beta_{LT}=0.75$ $f=0.97$ $\chi_{LT}=0.97$
 $M_y, Ed=-4341.75$ $M_y, b, Rd=41459.00$ $M_y, Ed/M_y, b, Rd=0.10$
- Verifica di stabilità aste presso-inflesse (C4.2.4.1.3.3.2) - CC 19 SLU - Classe 3
Sollecitazioni: $N, Ed=-14179.00$ $M_y, Ed=-4215.07$ $L=5.00$
 α_{my} , α_{mz} , $\alpha_{LT}=0.95$, 0.95 , 0.95
 $L_{cr}=5.00$ Curva b: $\alpha_{imp}=0.34$ $k_c=0.94$ $\psi=1.75$ $M_{cr}=160612.00$ $\lambda_{LT}=0.53$
 $\lambda_{LT,0}=0.40$ $\Phi_{LT}=0.63$ $\beta_{LT}=0.75$ $f=0.97$ $\chi_{LT}=0.97$
 $\lambda_y=39.25$ $N_{cr,y}=1514180.00$ $\lambda^*_y=0.51$ Curva b: $\Phi_y=0.69$ $\chi_y=0.88$
 $\lambda_z=66.77$ $N_{cr,z}=523093.00$ $\lambda^*_z=0.87$ Curva c: $\Phi_z=1.05$ $\chi_z=0.62$
 K_{yy} , K_{yz} , K_{zy} , $K_{zz}=0.96$, 0.98 , 0.00 , 0.98
Verifica YY: $0.04+0.10=0.14$
Verifica ZZ: $0.04=0.04$
- Verifica freccia massima carichi totali - CC 22
 $f_{z,g}=0.21$ (L/2422)
- Verifica freccia massima per soli carichi accidentali - CC 22
 $f_{z,L}=0.07$ (L/7266)

Asta n. 1033 (1064 1054) Sez. 10 HEA300 Crit. 2

- Verifica a flessione YY [4.2.13] - CC 1 SND $X_l=2.50$ - Classe 3
Sollecitazioni: $M_y=-2532.69$
 $M_y, Ed=-2532.69$ $M_y, c, Rd=42586.20$ $M_y, Ed/M_y, c, Rd=0.06$
- Verifica a taglio dir. Z [4.2.16] - CC 17 SLU $X_l=5.00$ - Classe 1
Sollecitazioni: $T_z=-3473.40$
 $V, Ed=-3473.40$ $V_c, Rd=72775.50$ $V, Ed/V_c, Rd=0.05$
- Verifica in termini tensionali [4.2.4] - CC 17 SLU $X_l=2.50$ - Classe 3
Sollecitazioni: $N=14179.00$ $M_y=-4341.75$
Tensioni: $\sigma_N=126.00$ $\sigma_{m,d}=344.69$ $\tau=0.00$ $\sigma_{max}=470.70$ (sfrut=0.14)
Tensioni: $\sigma_N=0.00$ $\sigma_{m,d}=0.00$ $\tau=0.00$ $\tau_{max}=0.00$ (sfrut=0.00)
Tensioni: $\sigma_N=126.00$ $\sigma_{m,d}=344.69$ $\tau=0.00$ $\sigma_{ID,max}=470.70$ (sfrut=0.14)
- Verifica di stabilità aste inflesse (4.2.4.1.3.2) CC 17 SLU - Classe 3
 $L_{cr}=5.00$ Curva b: $\alpha_{imp}=0.34$ $k_c=0.94$ $\psi=1.75$ $M_{cr}=160612.00$ $\lambda_{LT}=0.53$
 $\lambda_{LT,0}=0.40$ $\beta_{LT}=0.75$ $\Phi_{LT}=0.63$ $\beta_{LT}=0.75$ $f=0.97$ $\chi_{LT}=0.97$
 $M_y, Ed=-4341.75$ $M_y, b, Rd=41459.00$ $M_y, Ed/M_y, b, Rd=0.10$
- Verifica di stabilità aste presso-inflesse (C4.2.4.1.3.3.2) - CC 19 SLU - Classe 3
Sollecitazioni: $N, Ed=-14179.00$ $M_y, Ed=-4215.07$ $L=5.00$
 α_{my} , α_{mz} , $\alpha_{LT}=0.95$, 0.95 , 0.95
 $L_{cr}=5.00$ Curva b: $\alpha_{imp}=0.34$ $k_c=0.94$ $\psi=1.75$ $M_{cr}=160612.00$ $\lambda_{LT}=0.53$
 $\lambda_{LT,0}=0.40$ $\Phi_{LT}=0.63$ $\beta_{LT}=0.75$ $f=0.97$ $\chi_{LT}=0.97$
 $\lambda_y=39.25$ $N_{cr,y}=1514180.00$ $\lambda^*_y=0.51$ Curva b: $\Phi_y=0.69$ $\chi_y=0.88$
 $\lambda_z=66.77$ $N_{cr,z}=523093.00$ $\lambda^*_z=0.87$ Curva c: $\Phi_z=1.05$ $\chi_z=0.62$
 K_{yy} , K_{yz} , K_{zy} , $K_{zz}=0.96$, 0.98 , 0.00 , 0.98
Verifica YY: $0.04+0.10=0.14$
Verifica ZZ: $0.04=0.04$
- Verifica freccia massima carichi totali - CC 22
 $f_{z,L}=0.21$ (L/2422)
- Verifica freccia massima per soli carichi accidentali - CC 22
 $f_{z,L}=0.07$ (L/7264)

Asta n. 1033 (1074 1064) Sez. 10 HEA300 Crit. 2

- Verifica a flessione YY [4.2.13] - CC 1 SND $X_l=2.50$ - Classe 3
Sollecitazioni: $M_y=-2532.69$
 $M_y, Ed=-2532.69$ $M_y, c, Rd=42586.20$ $M_y, Ed/M_y, c, Rd=0.06$
- Verifica a taglio dir. Z [4.2.16] - CC 17 SLU $X_l=5.00$ - Classe 1
Sollecitazioni: $T_z=-3473.40$
 $V, Ed=-3473.40$ $V_c, Rd=72775.50$ $V, Ed/V_c, Rd=0.05$

Relazione di calcolo

- Verifica in termini tensionali [4.2.4] - CC 17 SLU $X_l=2.50$ - Classe 3
Sollecitazioni: $N=14179.00$ $M_y=-4341.75$
Tensioni: $\sigma_N=126.00$ $\sigma_{m,d}=344.69$ $\tau=0.00$ $\sigma_{max}=470.70$ (sfrut=0.14)
Tensioni: $\sigma_N=0.00$ $\sigma_{m,d}=0.00$ $\tau=0.00$ $\tau_{max}=0.00$ (sfrut=0.00)
Tensioni: $\sigma_N=126.00$ $\sigma_{m,d}=344.69$ $\tau=0.00$ $\sigma_{ID,max}=470.70$ (sfrut=0.14)
- Verifica di stabilità aste inflesse (4.2.4.1.3.2) CC 17 SLU - Classe 3
 $L_{cr}=5.00$ Curva b: $\alpha_{imp}=0.34$ $k_c=0.94$ $\psi=1.75$ $M_{cr}=160612.00$ $\lambda_{LT}=0.53$
 $\lambda_{LT,0}=0.40$ $\beta_{LT}=0.75$ $\Phi_{LT}=0.63$ $\beta_{LT}=0.75$ $f=0.97$ $\chi_{LT}=0.97$
 $M_{y,Ed}=-4341.75$ $M_{y,b,Rd}=41459.00$ $M_{y,Ed}/M_{y,b,Rd}=0.10$
- Verifica di stabilità aste presso-inflesse (C4.2.4.1.3.3.2) - CC 19 SLU - Classe 3
Sollecitazioni: $N_{Ed}=-14179.00$ $M_{y,Ed}=-4215.07$ $L=5.00$
 α_{my} , α_{mz} , $\alpha_{LT}=0.95$, 0.95 , 0.95
 $L_{cr}=5.00$ Curva b: $\alpha_{imp}=0.34$ $k_c=0.94$ $\psi=1.75$ $M_{cr}=160612.00$ $\lambda_{LT}=0.53$
 $\lambda_{LT,0}=0.40$ $\Phi_{LT}=0.63$ $\beta_{LT}=0.75$ $f=0.97$ $\chi_{LT}=0.97$
 $\lambda_y=39.25$ $N_{cr,y}=1514180.00$ $\lambda^*_y=0.51$ Curva b: $\Phi_y=0.69$ $\chi_y=0.88$
 $\lambda_z=66.77$ $N_{cr,z}=523093.00$ $\lambda^*_z=0.87$ Curva c: $\Phi_z=1.05$ $\chi_z=0.62$
 K_{yy} , K_{yz} , K_{zy} , $K_{zz}=0.96$, 0.98 , 0.00 , 0.98
Verifica YY: $0.04+0.10=0.14$
Verifica ZZ: $0.04=0.04$
- Verifica freccia massima carichi totali - CC 22
 $f_{z,L}=0.21$ (L/2422)
- Verifica freccia massima per soli carichi accidentali - CC 22
 $f_{z,L}=0.07$ (L/7264)

Asta n. 1033 (1084 1074) Sez. 10 HEA300 Crit. 2

- Verifica a flessione YY [4.2.13] - CC 1 SND $X_l=2.50$ - Classe 3
Sollecitazioni: $M_y=-2532.69$
 $M_{y,Ed}=-2532.69$ $M_{y,c,Rd}=42586.20$ $M_{y,Ed}/M_{y,c,Rd}=0.06$
- Verifica a taglio dir. Z [4.2.16] - CC 17 SLU $X_l=5.00$ - Classe 1
Sollecitazioni: $T_z=-3473.40$
 $V_{Ed}=-3473.40$ $V_{c,Rd}=72775.50$ $V_{Ed}/V_{c,Rd}=0.05$
- Verifica in termini tensionali [4.2.4] - CC 17 SLU $X_l=2.50$ - Classe 3
Sollecitazioni: $N=14179.00$ $M_y=-4341.75$
Tensioni: $\sigma_N=126.00$ $\sigma_{m,d}=344.69$ $\tau=0.00$ $\sigma_{max}=470.70$ (sfrut=0.14)
Tensioni: $\sigma_N=0.00$ $\sigma_{m,d}=0.00$ $\tau=0.00$ $\tau_{max}=0.00$ (sfrut=0.00)
Tensioni: $\sigma_N=126.00$ $\sigma_{m,d}=344.69$ $\tau=0.00$ $\sigma_{ID,max}=470.70$ (sfrut=0.14)
- Verifica di stabilità aste inflesse (4.2.4.1.3.2) CC 17 SLU - Classe 3
 $L_{cr}=5.00$ Curva b: $\alpha_{imp}=0.34$ $k_c=0.94$ $\psi=1.75$ $M_{cr}=160612.00$ $\lambda_{LT}=0.53$
 $\lambda_{LT,0}=0.40$ $\beta_{LT}=0.75$ $\Phi_{LT}=0.63$ $\beta_{LT}=0.75$ $f=0.97$ $\chi_{LT}=0.97$
 $M_{y,Ed}=-4341.75$ $M_{y,b,Rd}=41459.00$ $M_{y,Ed}/M_{y,b,Rd}=0.10$
- Verifica di stabilità aste presso-inflesse (C4.2.4.1.3.3.2) - CC 19 SLU - Classe 3
Sollecitazioni: $N_{Ed}=-14179.00$ $M_{y,Ed}=-4215.07$ $L=5.00$
 α_{my} , α_{mz} , $\alpha_{LT}=0.95$, 0.95 , 0.95
 $L_{cr}=5.00$ Curva b: $\alpha_{imp}=0.34$ $k_c=0.94$ $\psi=1.75$ $M_{cr}=160612.00$ $\lambda_{LT}=0.53$
 $\lambda_{LT,0}=0.40$ $\Phi_{LT}=0.63$ $\beta_{LT}=0.75$ $f=0.97$ $\chi_{LT}=0.97$
 $\lambda_y=39.25$ $N_{cr,y}=1514180.00$ $\lambda^*_y=0.51$ Curva b: $\Phi_y=0.69$ $\chi_y=0.88$
 $\lambda_z=66.77$ $N_{cr,z}=523093.00$ $\lambda^*_z=0.87$ Curva c: $\Phi_z=1.05$ $\chi_z=0.62$
 K_{yy} , K_{yz} , K_{zy} , $K_{zz}=0.96$, 0.98 , 0.00 , 0.98
Verifica YY: $0.04+0.10=0.14$
Verifica ZZ: $0.04=0.04$
- Verifica freccia massima carichi totali - CC 22
 $f_{z,L}=0.21$ (L/2422)
- Verifica freccia massima per soli carichi accidentali - CC 22
 $f_{z,L}=0.07$ (L/7264)

Asta n. 1033 (1094 1084) Sez. 10 HEA300 Crit. 2

- Verifica a flessione YY [4.2.13] - CC 1 SND $X_l=2.50$ - Classe 3
Sollecitazioni: $M_y=-2532.69$
 $M_{y,Ed}=-2532.69$ $M_{y,c,Rd}=42586.20$ $M_{y,Ed}/M_{y,c,Rd}=0.06$
- Verifica a taglio dir. Z [4.2.16] - CC 17 SLU $X_l=5.00$ - Classe 1
Sollecitazioni: $T_z=-3473.40$
 $V_{Ed}=-3473.40$ $V_{c,Rd}=72775.50$ $V_{Ed}/V_{c,Rd}=0.05$
- Verifica in termini tensionali [4.2.4] - CC 17 SLU $X_l=2.50$ - Classe 3
Sollecitazioni: $N=14179.00$ $M_y=-4341.75$

Relazione di calcolo

Tensioni: $\sigma_N=126.00$ $\sigma_{m,d}=344.69$ $\tau=0.00$ $\sigma_{max}=470.70$ (sfrut=0.14)
Tensioni: $\sigma_N=0.00$ $\sigma_{m,d}=0.00$ $\tau=0.00$ $\tau_{max}=0.00$ (sfrut=0.00)
Tensioni: $\sigma_N=126.00$ $\sigma_{m,d}=344.69$ $\tau=0.00$ $\sigma_{ID,max}=470.70$ (sfrut=0.14)

- Verifica di stabilità aste inflesse (4.2.4.1.3.2) CC 17 SLU - Classe 3
 $L_{cr}=5.00$ Curva b: $\alpha_{imp}=0.34$ $k_c=0.94$ $\psi=1.75$ $M_{cr}=160612.00$ $\lambda_{LT}=0.53$
 $\lambda_{LT,0}=0.40$ $\beta_{LT}=0.75$ $\Phi_{LT}=0.63$ $\beta_{LT}=0.75$ $f=0.97$ $\chi_{LT}=0.97$
 $M_y,Ed=-4341.75$ $M_y,b,Rd=41459.00$ $M_y,Ed/M_y,b,Rd=0.10$

- Verifica di stabilità aste presso-inflesse (C4.2.4.1.3.3.2) - CC 19 SLU - Classe 3
Sollecitazioni: $N,Ed=-14179.00$ $M_y,Ed=-4215.07$ $L=5.00$
 $\alpha_{my}, \alpha_{mz}, \alpha_{LT}=0.95, 0.95, 0.95$
 $L_{cr}=5.00$ Curva b: $\alpha_{imp}=0.34$ $k_c=0.94$ $\psi=1.75$ $M_{cr}=160612.00$ $\lambda_{LT}=0.53$
 $\lambda_{LT,0}=0.40$ $\Phi_{LT}=0.63$ $\beta_{LT}=0.75$ $f=0.97$ $\chi_{LT}=0.97$
 $\lambda_y=39.25$ $N_{cr,y}=1514180.00$ $\lambda^*_y=0.51$ Curva b: $\Phi_y=0.69$ $\chi_y=0.88$
 $\lambda_z=66.77$ $N_{cr,z}=523093.00$ $\lambda^*_z=0.87$ Curva c: $\Phi_z=1.05$ $\chi_z=0.62$
 $K_{yy}, K_{yz}, K_{zy}, K_{zz}=0.96, 0.98, 0.00, 0.98$
Verifica YY: $0.04+0.10=0.14$
Verifica ZZ: $0.04=0.04$

- Verifica freccia massima carichi totali - CC 22
 $f_{z,L}=0.21$ (L/2422)

- Verifica freccia massima per soli carichi accidentali - CC 22
 $f_{z,g}=0.07$ (L/7264)

Asta n. 1033 (1104 1094) Sez. 10 HEA300 Crit. 2

- Verifica a flessione YY [4.2.13] - CC 1 SND $X_l=2.50$ - Classe 3
Sollecitazioni: $M_y=-2532.69$
 $M_y,Ed=-2532.69$ $M_y,c,Rd=42586.20$ $M_y,Ed/M_y,c,Rd=0.06$

- Verifica a taglio dir. Z [4.2.16] - CC 17 SLU $X_l=5.00$ - Classe 1
Sollecitazioni: $T_z=-3473.40$
 $V,Ed=-3473.40$ $V_c,Rd=72775.50$ $V,Ed/V_c,Rd=0.05$

- Verifica in termini tensionali [4.2.4] - CC 17 SLU $X_l=2.50$ - Classe 3
Sollecitazioni: $N=14179.00$ $M_y=-4341.75$
Tensioni: $\sigma_N=126.00$ $\sigma_{m,d}=344.69$ $\tau=0.00$ $\sigma_{max}=470.70$ (sfrut=0.14)
Tensioni: $\sigma_N=0.00$ $\sigma_{m,d}=0.00$ $\tau=0.00$ $\tau_{max}=0.00$ (sfrut=0.00)
Tensioni: $\sigma_N=126.00$ $\sigma_{m,d}=344.69$ $\tau=0.00$ $\sigma_{ID,max}=470.70$ (sfrut=0.14)

- Verifica di stabilità aste inflesse (4.2.4.1.3.2) CC 17 SLU - Classe 3
 $L_{cr}=5.00$ Curva b: $\alpha_{imp}=0.34$ $k_c=0.94$ $\psi=1.75$ $M_{cr}=160612.00$ $\lambda_{LT}=0.53$
 $\lambda_{LT,0}=0.40$ $\beta_{LT}=0.75$ $\Phi_{LT}=0.63$ $\beta_{LT}=0.75$ $f=0.97$ $\chi_{LT}=0.97$
 $M_y,Ed=-4341.75$ $M_y,b,Rd=41459.00$ $M_y,Ed/M_y,b,Rd=0.10$

- Verifica di stabilità aste presso-inflesse (C4.2.4.1.3.3.2) - CC 19 SLU - Classe 3
Sollecitazioni: $N,Ed=-14179.00$ $M_y,Ed=-4215.07$ $L=5.00$
 $\alpha_{my}, \alpha_{mz}, \alpha_{LT}=0.95, 0.95, 0.95$
 $L_{cr}=5.00$ Curva b: $\alpha_{imp}=0.34$ $k_c=0.94$ $\psi=1.75$ $M_{cr}=160612.00$ $\lambda_{LT}=0.53$
 $\lambda_{LT,0}=0.40$ $\Phi_{LT}=0.63$ $\beta_{LT}=0.75$ $f=0.97$ $\chi_{LT}=0.97$
 $\lambda_y=39.25$ $N_{cr,y}=1514180.00$ $\lambda^*_y=0.51$ Curva b: $\Phi_y=0.69$ $\chi_y=0.88$
 $\lambda_z=66.77$ $N_{cr,z}=523093.00$ $\lambda^*_z=0.87$ Curva c: $\Phi_z=1.05$ $\chi_z=0.62$
 $K_{yy}, K_{yz}, K_{zy}, K_{zz}=0.96, 0.98, 0.00, 0.98$
Verifica YY: $0.04+0.10=0.14$
Verifica ZZ: $0.04=0.04$

- Verifica freccia massima carichi totali - CC 22
 $f_{z,L}=0.21$ (L/2422)

- Verifica freccia massima per soli carichi accidentali - CC 22
 $f_{z,g}=0.07$ (L/7264)

Asta n. 1033 (1114 1104) Sez. 10 HEA300 Crit. 2

- Verifica a flessione YY [4.2.13] - CC 1 SND $X_l=2.50$ - Classe 3
Sollecitazioni: $M_y=-2532.69$
 $M_y,Ed=-2532.69$ $M_y,c,Rd=42586.20$ $M_y,Ed/M_y,c,Rd=0.06$

- Verifica a taglio dir. Z [4.2.16] - CC 17 SLU $X_l=5.00$ - Classe 1
Sollecitazioni: $T_z=-3473.40$
 $V,Ed=-3473.40$ $V_c,Rd=72775.50$ $V,Ed/V_c,Rd=0.05$

- Verifica in termini tensionali [4.2.4] - CC 17 SLU $X_l=2.50$ - Classe 3
Sollecitazioni: $N=14179.00$ $M_y=-4341.75$
Tensioni: $\sigma_N=126.00$ $\sigma_{m,d}=344.69$ $\tau=0.00$ $\sigma_{max}=470.70$ (sfrut=0.14)
Tensioni: $\sigma_N=0.00$ $\sigma_{m,d}=0.00$ $\tau=0.00$ $\tau_{max}=0.00$ (sfrut=0.00)

Relazione di calcolo

Tensioni: $\sigma_N=126.00$ $\sigma_{m,d}=344.69$ $\tau=0.00$ $\sigma_{ID,max}=470.70$ (sfrut=0.14)

- Verifica di stabilità aste inflesse (4.2.4.1.3.2) CC 17 SLU - Classe 3
L_{cr}=5.00 Curva b: $\alpha_{imp}=0.34$ $k_c=0.94$ $\psi=1.75$ M_{cr}=160612.00 $\lambda_{LT}=0.53$
 $\lambda_{LT,0}=0.40$ $\beta_{LT}=0.75$ $\Phi_{LT}=0.63$ $\beta_{LT}=0.75$ $f=0.97$ $\chi_{LT}=0.97$
My,Ed=-4341.75 My,b,Rd=41459.00 My,Ed/My,b,Rd=0.10

- Verifica di stabilità aste presso-inflesse (C4.2.4.1.3.3.2) - CC 19 SLU - Classe 3
Sollecitazioni: N,Ed=-14179.00 My,Ed=-4215.07 L=5.00
 α_{my} , α_{mz} , $\alpha_{LT}=0.95$, 0.95, 0.95
L_{cr}=5.00 Curva b: $\alpha_{imp}=0.34$ $k_c=0.94$ $\psi=1.75$ M_{cr}=160612.00 $\lambda_{LT}=0.53$
 $\lambda_{LT,0}=0.40$ $\Phi_{LT}=0.63$ $\beta_{LT}=0.75$ $f=0.97$ $\chi_{LT}=0.97$
 $\lambda_y=39.25$ N_{cr,y}=1514180.00 $\lambda^*_y=0.51$ Curva b: $\Phi_y=0.69$ $\chi_y=0.88$
 $\lambda_z=66.77$ N_{cr,z}=523093.00 $\lambda^*_z=0.87$ Curva c: $\Phi_z=1.05$ $\chi_z=0.62$
K_{yy}, K_{yz}, K_{zy}, K_{zz}=0.96, 0.98, 0.00, 0.98
Verifica YY: 0.04+0.10=0.14
Verifica ZZ: 0.04=0.04

- Verifica freccia massima carichi totali - CC 22
f_{z,L}=0.21 (L/2422)

- Verifica freccia massima per soli carichi accidentali - CC 22
f_{z,L}=0.07 (L/7266)

Asta n. 1033 (1123 1114) Sez. 10 HEA300 Crit. 2

- Verifica a flessione YY [4.2.13] - CC 1 SND Xl=2.50 - Classe 3
Sollecitazioni: M_y=-2532.69
My,Ed=-2532.69 My,c,Rd=42586.20 My,Ed/My,c,Rd=0.06

- Verifica a taglio dir. Z [4.2.16] - CC 17 SLU Xl=5.00 - Classe 1
Sollecitazioni: T_z=-3473.40
V,Ed=-3473.40 V_c,Rd=72775.50 V,Ed/V_c,Rd=0.05

- Verifica in termini tensionali [4.2.4] - CC 17 SLU Xl=2.50 - Classe 3
Sollecitazioni: N=14179.00 M_y=-4341.75
Tensioni: $\sigma_N=126.00$ $\sigma_{m,d}=344.69$ $\tau=0.00$ $\sigma_{max}=470.70$ (sfrut=0.14)
Tensioni: $\sigma_N=0.00$ $\sigma_{m,d}=0.00$ $\tau=0.00$ $\tau_{max}=0.00$ (sfrut=0.00)
Tensioni: $\sigma_N=126.00$ $\sigma_{m,d}=344.69$ $\tau=0.00$ $\sigma_{ID,max}=470.70$ (sfrut=0.14)

- Verifica di stabilità aste inflesse (4.2.4.1.3.2) CC 17 SLU - Classe 3
L_{cr}=5.00 Curva b: $\alpha_{imp}=0.34$ $k_c=0.94$ $\psi=1.75$ M_{cr}=160612.00 $\lambda_{LT}=0.53$
 $\lambda_{LT,0}=0.40$ $\beta_{LT}=0.75$ $\Phi_{LT}=0.63$ $\beta_{LT}=0.75$ $f=0.97$ $\chi_{LT}=0.97$
My,Ed=-4341.75 My,b,Rd=41459.00 My,Ed/My,b,Rd=0.10

- Verifica di stabilità aste presso-inflesse (C4.2.4.1.3.3.2) - CC 19 SLU - Classe 3
Sollecitazioni: N,Ed=-14179.00 My,Ed=-4215.07 L=5.00
 α_{my} , α_{mz} , $\alpha_{LT}=0.95$, 0.95, 0.95
L_{cr}=5.00 Curva b: $\alpha_{imp}=0.34$ $k_c=0.94$ $\psi=1.75$ M_{cr}=160612.00 $\lambda_{LT}=0.53$
 $\lambda_{LT,0}=0.40$ $\Phi_{LT}=0.63$ $\beta_{LT}=0.75$ $f=0.97$ $\chi_{LT}=0.97$
 $\lambda_y=39.25$ N_{cr,y}=1514180.00 $\lambda^*_y=0.51$ Curva b: $\Phi_y=0.69$ $\chi_y=0.88$
 $\lambda_z=66.77$ N_{cr,z}=523093.00 $\lambda^*_z=0.87$ Curva c: $\Phi_z=1.05$ $\chi_z=0.62$
K_{yy}, K_{yz}, K_{zy}, K_{zz}=0.96, 0.98, 0.00, 0.98
Verifica YY: 0.04+0.10=0.14
Verifica ZZ: 0.04=0.04

- Verifica freccia massima carichi totali - CC 22
f_{z,L}=0.21 (L/2422)

- Verifica freccia massima per soli carichi accidentali - CC 22
f_{z,L}=0.07 (L/7266)

Asta n. 1034 (1002 1) Sez. 5 UPN100 Crit. 3

- Verifica a trazione (4.2.4.1.2.1) - CC 1 SLV Xl=0.00 - Classe 1
Sollecitazioni: N=3254.67
Verifica a trazione [4.2.5]
N,Ed=3254.67 N_{pl},Rd=35889.70 N_u,Rd=42425.50 N,Ed/N_t,Rd=0.09

- Verifica freccia massima carichi totali - CC 22
f_{z,g}=0.01 (L/35979)

- Verifica freccia massima per soli carichi accidentali - CC 22
f_{z,g}=0.01 (L/77502)

Asta n. 1035 (1006 7) Sez. 5 UPN100 Crit. 3

- Verifica a trazione (4.2.4.1.2.1) - CC 9 SLV Xl=0.00 - Classe 1
Sollecitazioni: N=1701.43

Relazione di calcolo

Verifica a trazione [4.2.5]
N,Ed=1701.43 Npl,Rd=35889.70 Nu,Rd=42425.50 N,Ed/Nt,Rd=0.05

- Verifica freccia massima carichi totali - CC 22
fz,g=0.02 (L/27200)

- Verifica freccia massima per soli carichi accidentali - CC 22
fz,g=0.01 (L/78852)

Asta n. 1036 (1022 23) Sez. 5 UPN100 Crit. 3

- Verifica freccia massima carichi totali - CC 22
fz,g=0.04 (L/13875)

- Verifica freccia massima per soli carichi accidentali - CC 22
fz,g=0.02 (L/29390)

Asta n. 1037 (1026 27) Sez. 5 UPN100 Crit. 3

- Verifica freccia massima carichi totali - CC 22
fz,g=0.03 (L/18354)

- Verifica freccia massima per soli carichi accidentali - CC 22
fz,g=0.01 (L/41146)

Asta n. 1039 (1046 47) Sez. 5 UPN100 Crit. 3

- Verifica freccia massima carichi totali - CC 22
fz,g=0.03 (L/18090)

- Verifica freccia massima per soli carichi accidentali - CC 22
fz,g=0.01 (L/40340)

Asta n. 1041 (1066 67) Sez. 5 UPN100 Crit. 3

- Verifica a trazione (4.2.4.1.2.1) - CC 1 SLV Xl=0.00 - Classe 1
Sollecitazioni: N=1047.43
Verifica a trazione [4.2.5]
N,Ed=1047.43 Npl,Rd=35889.70 Nu,Rd=42425.50 N,Ed/Nt,Rd=0.03

- Verifica freccia massima carichi totali - CC 22
fz,g=0.02 (L/28902)

- Verifica freccia massima per soli carichi accidentali - CC 22
fz,g=0.01 (L/66757)

Asta n. 1043 (1087 86) Sez. 5 UPN100 Crit. 3

- Verifica a trazione (4.2.4.1.2.1) - CC 9 SLV Xl=0.00 - Classe 1
Sollecitazioni: N=4309.62
Verifica a trazione [4.2.5]
N,Ed=4309.62 Npl,Rd=35889.70 Nu,Rd=42425.50 N,Ed/Nt,Rd=0.12

- Verifica freccia massima carichi totali - CC 22
fz,g=0.00 (L/112590)

- Verifica freccia massima per soli carichi accidentali - CC 22
fz,g=0.00 (L/226307)

Asta n. 1045 (1107 106) Sez. 5 UPN100 Crit. 3

- Verifica a trazione (4.2.4.1.2.1) - CC 9 SLV Xl=0.00 - Classe 1
Sollecitazioni: N=3995.50
Verifica a trazione [4.2.5]
N,Ed=3995.50 Npl,Rd=35889.70 Nu,Rd=42425.50 N,Ed/Nt,Rd=0.11

- Verifica freccia massima carichi totali - CC 22
fz,g=0.01 (L/48984)

- Verifica freccia massima per soli carichi accidentali - CC 22
fz,g=0.01 (L/81699)

Asta n. 1046 (1118 119) Sez. 5 UPN100 Crit. 3

- Verifica a trazione (4.2.4.1.2.1) - CC 1 SLV Xl=0.00 - Classe 1
Sollecitazioni: N=4583.34
Verifica a trazione [4.2.5]
N,Ed=4583.34 Npl,Rd=35889.70 Nu,Rd=42425.50 N,Ed/Nt,Rd=0.13

- Verifica freccia massima carichi totali - CC 22
fz,g=0.02 (L/26314)

Relazione di calcolo

- Verifica freccia massima per soli carichi accidentali - CC 22
 $f_{z,g}=0.01$ (L/62343)

Asta n. 1047 (1124 125) Sez. 5 UPN100 Crit. 3

- Verifica a trazione (4.2.4.1.2.1) - CC 1 SLV $X_l=0.00$ - Classe 1
Sollecitazioni: $N=5425.81$
Verifica a trazione [4.2.5]
 $N,Ed=5425.81$ $N_{pl},Rd=35889.70$ $Nu,Rd=42425.50$ $N,Ed/Nt,Rd=0.15$

- Verifica freccia massima carichi totali - CC 22
 $f_{z,g}=0.00$ (L/297773)

Asta n. 1052 (7 1002) Sez. 5 UPN100 Crit. 3

- Verifica a trazione (4.2.4.1.2.1) - CC 5 SLV $X_l=0.00$ - Classe 1
Sollecitazioni: $N=5887.27$
Verifica a trazione [4.2.5]
 $N,Ed=5887.27$ $N_{pl},Rd=35889.70$ $Nu,Rd=42425.50$ $N,Ed/Nt,Rd=0.16$

- Verifica freccia massima carichi totali - CC 22
 $f_{z,g}=0.00$ (L/159294)

Asta n. 1056 (9 1004) Sez. 5 UPN100 Crit. 3

- Verifica a trazione (4.2.4.1.2.1) - CC 13 SLV $X_l=0.00$ - Classe 1
Sollecitazioni: $N=2637.78$
Verifica a trazione [4.2.5]
 $N,Ed=2637.78$ $N_{pl},Rd=35889.70$ $Nu,Rd=42425.50$ $N,Ed/Nt,Rd=0.07$

- Verifica freccia massima carichi totali - CC 22
 $f_{z,g}=0.00$ (L/118084)

Asta n. 1058 (20 1010) Sez. 5 UPN100 Crit. 3

- Verifica a trazione (4.2.4.1.2.1) - CC 13 SLV $X_l=0.00$ - Classe 1
Sollecitazioni: $N=4348.19$
Verifica a trazione [4.2.5]
 $N,Ed=4348.19$ $N_{pl},Rd=35889.70$ $Nu,Rd=42425.50$ $N,Ed/Nt,Rd=0.12$

- Verifica freccia massima carichi totali - CC 22
 $f_{z,g}=0.00$ (L/115780)

- Verifica freccia massima per soli carichi accidentali - CC 22
 $f_{z,g}=0.00$ (L/447828)

Asta n. 1064 (33 1023) Sez. 5 UPN100 Crit. 3

- Verifica a trazione (4.2.4.1.2.1) - CC 13 SLV $X_l=0.00$ - Classe 1
Sollecitazioni: $N=2001.91$
Verifica a trazione [4.2.5]
 $N,Ed=2001.91$ $N_{pl},Rd=35889.70$ $Nu,Rd=42425.50$ $N,Ed/Nt,Rd=0.06$

- Verifica freccia massima carichi totali - CC 22
 $f_{z,g}=0.02$ (L/30120)

- Verifica freccia massima per soli carichi accidentali - CC 22
 $f_{z,g}=0.01$ (L/67428)

Asta n. 1067 (1003 2) Sez. 5 UPN100 Crit. 3

- Verifica a trazione (4.2.4.1.2.1) - CC 1 SLV $X_l=0.00$ - Classe 1
Sollecitazioni: $N=1411.20$
Verifica a trazione [4.2.5]
 $N,Ed=1411.20$ $N_{pl},Rd=35889.70$ $Nu,Rd=42425.50$ $N,Ed/Nt,Rd=0.04$

- Verifica freccia massima carichi totali - CC 22
 $f_{z,g}=0.02$ (L/22473)

- Verifica freccia massima per soli carichi accidentali - CC 22
 $f_{z,g}=0.01$ (L/53374)

Asta n. 1068 (1008 7) Sez. 5 UPN100 Crit. 3

- Verifica freccia massima carichi totali - CC 22
 $f_{z,g}=0.04$ (L/14878)

- Verifica freccia massima per soli carichi accidentali - CC 22
 $f_{z,g}=0.02$ (L/30748)

Asta n. 1069 (1023 22) Sez. 5 UPN100 Crit. 3

Relazione di calcolo

- Verifica a trazione (4.2.4.1.2.1) - CC 1 SLV $X_l=0.00$ - Classe 1
Sollecitazioni: $N=6148.77$
Verifica a trazione [4.2.5]
 $N, Ed=6148.77$ $N_{pl}, Rd=35889.70$ $Nu, Rd=42425.50$ $N, Ed/Nt, Rd=0.17$

- Verifica freccia massima carichi totali - CC 22
 $f_{z,g}=0.00$ (L/124345)

- Verifica freccia massima per soli carichi accidentali - CC 22
 $f_{z,g}=0.00$ (L/211502)

Asta n. 1070 (1028 27) Sez. 5 UPN100 Crit. 3

- Verifica freccia massima carichi totali - CC 22
 $f_{z,g}=0.03$ (L/16964)

- Verifica freccia massima per soli carichi accidentali - CC 22
 $f_{z,g}=0.01$ (L/36501)

Asta n. 1072 (1048 47) Sez. 5 UPN100 Crit. 3

- Verifica freccia massima carichi totali - CC 22
 $f_{z,g}=0.03$ (L/16825)

- Verifica freccia massima per soli carichi accidentali - CC 22
 $f_{z,g}=0.01$ (L/36325)

Asta n. 1074 (1068 67) Sez. 5 UPN100 Crit. 3

- Verifica freccia massima carichi totali - CC 22
 $f_{z,g}=0.04$ (L/14977)

- Verifica freccia massima per soli carichi accidentali - CC 22
 $f_{z,g}=0.02$ (L/32237)

Asta n. 1076 (1087 88) Sez. 5 UPN100 Crit. 3

- Verifica a trazione (4.2.4.1.2.1) - CC 1 SLV $X_l=0.00$ - Classe 1
Sollecitazioni: $N=4621.14$
Verifica a trazione [4.2.5]
 $N, Ed=4621.14$ $N_{pl}, Rd=35889.70$ $Nu, Rd=42425.50$ $N, Ed/Nt, Rd=0.13$

- Verifica freccia massima carichi totali - CC 22
 $f_{z,g}=0.00$ (L/213498)

Asta n. 1078 (1108 107) Sez. 5 UPN100 Crit. 3

- Verifica freccia massima carichi totali - CC 22
 $f_{z,g}=0.04$ (L/15332)

- Verifica freccia massima per soli carichi accidentali - CC 22
 $f_{z,g}=0.02$ (L/31651)

Asta n. 1079 (1115 -103) Sez. 6 IPE300 Crit. 2

- Verifica a flessione YY [4.2.13] - CC 1 SND $X_l=2.35$ - Classe 3
Sollecitazioni: $T_z=2700.78$ $M_y=-6996.96$
 $My, Ed=-6996.96$ $My, c, Rd=18834.90$ $My, Ed/My, c, Rd=0.37$

- Verifica a taglio dir. Z [4.2.16] - CC 17 SLU $X_l=0.00$ - Classe 1
Sollecitazioni: $T_z=5966.29$
 $V, Ed=5966.29$ $Vc, Rd=50134.20$ $V, Ed/Vc, Rd=0.12$

- Verifica a presso o tenso-flessione retta YY (4.2.4.1.2.7) - CC 17 SLU $X_l=2.35$ - Classe 1
Sollecitazioni: $N=6780.46$ $T_z=4989.83$ $M_y=-12873.40$
 $My, Ed=-12873.40$ $My, V, c, Rd=21326.00$
 $N, Ed=6780.46$ $Nc, Rd=181940.00$ YY $n=N, Ed/Nc, Rd=0.04$ $MN_y, c, Rd=21326.00$ $My, Ed/MN_y, c, Rd=0.60$

- Verifica di stabilità aste inflesse (4.2.4.1.3.2) CC 17 SLU - Classe 1
 $L_{cr}=2.35$ Curva b: $\alpha_{imp}=0.34$ $k_c=0.94$ $\psi=1.75$ $M, cr=65500.90$ $\lambda_{LT}=0.58$
 $\lambda_{LT,0}=0.40$ $\beta_{LT}=0.75$ $\Phi_{LT}=0.66$ $\beta_{LT}=0.75$ $f=0.97$ $\chi_{LT}=0.95$
 $My, Ed=-12873.40$ $My, b, Rd=20255.80$ $My, Ed/My, b, Rd=0.64$

- Verifica di stabilità aste presso-inflesse (4.2.4.1.3.3.2) - CC 19 SLU - Classe 1
Sollecitazioni: $N, Ed=-6780.46$ $My, Ed=-12355.70$ $L=2.35$
 $\alpha_{my}, \alpha_{mz}, \alpha_{LT}=0.95, 0.95, 0.95$
 $L_{cr}=2.35$ Curva b: $\alpha_{imp}=0.34$ $k_c=0.94$ $\psi=1.75$ $M, cr=65500.90$ $\lambda_{LT}=0.58$
 $\lambda_{LT,0}=0.40$ $\Phi_{LT}=0.66$ $\beta_{LT}=0.75$ $f=0.97$ $\chi_{LT}=0.95$
 $\lambda_y=18.86$ $N_{cr,y}=3136160.00$ $\lambda^*_y=0.25$ Curva a: $\Phi_y=0.54$ $\chi_y=0.99$
 $\lambda_z=70.16$ $N_{cr,z}=226601.00$ $\lambda^*_z=0.92$ Curva b: $\Phi_z=1.04$ $\chi_z=0.65$
 $K_{yy}, K_{yz}, K_{zy}, K_{zz}=0.95, 0.61, 0.00, 1.02$

Relazione di calcolo

Verifica YY: $0.04+0.58=0.62$
Verifica ZZ: $0.04=0.04$

- Verifica freccia massima carichi totali - CC 22
 $f_{z,g}=0.21$ (L/1146)

- Verifica freccia massima per soli carichi accidentali - CC 22
 $f_{z,L}=0.09$ (L/2516)

Asta n. 1079 (-103 1116) Sez. 6 IPE300 Crit. 2

- Verifica a flessione YY [4.2.13] - CC 1 SND $X_l=0.00$ - Classe 3
Sollecitazioni: $T_z=-2700.79$ $M_y=-6996.96$
 $M_y,Ed=-6996.96$ $M_y,c,Rd=18834.90$ $M_y,Ed/M_y,c,Rd=0.37$

- Verifica a taglio dir. Z [4.2.16] - CC 17 SLU $X_l=2.35$ - Classe 1
Sollecitazioni: $T_z=-5966.29$
 $V,Ed=-5966.29$ $V_c,Rd=50134.20$ $V,Ed/V_c,Rd=0.12$

- Verifica a presso o tenso-flessione retta YY (4.2.4.1.2.7) - CC 17 SLU $X_l=0.00$ - Classe 1
Sollecitazioni: $N=6780.46$ $T_z=-4989.83$ $M_y=-12873.40$
 $M_y,Ed=-12873.40$ $M_y,V,c,Rd=21326.00$
 $N,Ed=6780.46$ $N_c,Rd=181940.00$ $YY\ n=N,Ed/N_c,Rd=0.04$ $MNy,c,Rd=21326.00$ $M_y,Ed/MNy,c,Rd=0.60$

- Verifica di stabilità aste inflesse (4.2.4.1.3.2) CC 17 SLU - Classe 1
 $L_{cr}=2.35$ Curva b: $\alpha_{imp}=0.34$ $k_c=0.94$ $\psi=1.75$ $M_{cr}=65500.90$ $\lambda_{LT}=0.58$
 $\lambda_{LT,0}=0.40$ $\beta_{LT}=0.75$ $\Phi_{LT}=0.66$ $\beta_{LT}=0.75$ $f=0.97$ $\chi_{LT}=0.95$
 $M_y,Ed=-12873.40$ $M_y,b,Rd=20255.80$ $M_y,Ed/M_y,b,Rd=0.64$

- Verifica di stabilità aste presso-inflesse (C4.2.4.1.3.3.2) - CC 19 SLU - Classe 1
Sollecitazioni: $N,Ed=-6780.46$ $M_y,Ed=-12355.70$ $L=2.35$
 $\alpha_m, \alpha_mz, \alpha_{LT}=0.95, 0.95, 0.95$
 $L_{cr}=2.35$ Curva b: $\alpha_{imp}=0.34$ $k_c=0.94$ $\psi=1.75$ $M_{cr}=65500.90$ $\lambda_{LT}=0.58$
 $\lambda_{LT,0}=0.40$ $\Phi_{LT}=0.66$ $\beta_{LT}=0.75$ $f=0.97$ $\chi_{LT}=0.95$
 $\lambda_y=18.86$ $N_{cr,y}=3136160.00$ $\lambda^*_y=0.25$ Curva a: $\Phi_y=0.54$ $\chi_y=0.99$
 $\lambda_z=70.16$ $N_{cr,z}=226601.00$ $\lambda^*_z=0.92$ Curva b: $\Phi_z=1.04$ $\chi_z=0.65$
 $K_{yy}, K_{yz}, K_{zy}, K_{zz}=0.95, 0.61, 0.00, 1.02$
Verifica YY: $0.04+0.58=0.62$
Verifica ZZ: $0.04=0.04$

- Verifica freccia massima carichi totali - CC 22
 $f_{z,L}=0.21$ (L/1142)

- Verifica freccia massima per soli carichi accidentali - CC 22
 $f_{z,L}=0.09$ (L/2512)

Asta n. 1079 (1116 -104) Sez. 6 IPE300 Crit. 2

- Verifica a flessione YY [4.2.13] - CC 1 SND $X_l=2.35$ - Classe 3
Sollecitazioni: $T_z=2700.78$ $M_y=-6996.96$
 $M_y,Ed=-6996.96$ $M_y,c,Rd=18834.90$ $M_y,Ed/M_y,c,Rd=0.37$

- Verifica a taglio dir. Z [4.2.16] - CC 17 SLU $X_l=0.00$ - Classe 1
Sollecitazioni: $T_z=5966.29$
 $V,Ed=5966.29$ $V_c,Rd=50134.20$ $V,Ed/V_c,Rd=0.12$

- Verifica a presso o tenso-flessione retta YY (4.2.4.1.2.7) - CC 17 SLU $X_l=2.35$ - Classe 1
Sollecitazioni: $N=6780.46$ $T_z=4989.83$ $M_y=-12873.40$
 $M_y,Ed=-12873.40$ $M_y,V,c,Rd=21326.00$
 $N,Ed=6780.46$ $N_c,Rd=181940.00$ $YY\ n=N,Ed/N_c,Rd=0.04$ $MNy,c,Rd=21326.00$ $M_y,Ed/MNy,c,Rd=0.60$

- Verifica di stabilità aste inflesse (4.2.4.1.3.2) CC 17 SLU - Classe 1
 $L_{cr}=2.35$ Curva b: $\alpha_{imp}=0.34$ $k_c=0.94$ $\psi=1.75$ $M_{cr}=65500.90$ $\lambda_{LT}=0.58$
 $\lambda_{LT,0}=0.40$ $\beta_{LT}=0.75$ $\Phi_{LT}=0.66$ $\beta_{LT}=0.75$ $f=0.97$ $\chi_{LT}=0.95$
 $M_y,Ed=-12873.40$ $M_y,b,Rd=20255.80$ $M_y,Ed/M_y,b,Rd=0.64$

- Verifica di stabilità aste presso-inflesse (C4.2.4.1.3.3.2) - CC 19 SLU - Classe 1
Sollecitazioni: $N,Ed=-6780.46$ $M_y,Ed=-12355.70$ $L=2.35$
 $\alpha_m, \alpha_mz, \alpha_{LT}=0.95, 0.95, 0.95$
 $L_{cr}=2.35$ Curva b: $\alpha_{imp}=0.34$ $k_c=0.94$ $\psi=1.75$ $M_{cr}=65500.90$ $\lambda_{LT}=0.58$
 $\lambda_{LT,0}=0.40$ $\Phi_{LT}=0.66$ $\beta_{LT}=0.75$ $f=0.97$ $\chi_{LT}=0.95$
 $\lambda_y=18.86$ $N_{cr,y}=3136160.00$ $\lambda^*_y=0.25$ Curva a: $\Phi_y=0.54$ $\chi_y=0.99$
 $\lambda_z=70.16$ $N_{cr,z}=226601.00$ $\lambda^*_z=0.92$ Curva b: $\Phi_z=1.04$ $\chi_z=0.65$
 $K_{yy}, K_{yz}, K_{zy}, K_{zz}=0.95, 0.61, 0.00, 1.02$
Verifica YY: $0.04+0.58=0.62$
Verifica ZZ: $0.04=0.04$

- Verifica freccia massima carichi totali - CC 22
 $f_{z,L}=0.21$ (L/1143)

Relazione di calcolo

- Verifica freccia massima per soli carichi accidentali - CC 22
 $f_{z,g}=0.09$ (L/2511)

Asta n. 1079 (-104 1117) Sez. 6 IPE300 Crit. 2

- Verifica a flessione YY [4.2.13] - CC 1 SND $X_l=0.00$ - Classe 3
Sollecitazioni: $T_z=-2700.79$ $M_y=-6996.96$
 $M_y,Ed=-6996.96$ $M_y,c,Rd=18834.90$ $M_y,Ed/M_y,c,Rd=0.37$

- Verifica a taglio dir. Z [4.2.16] - CC 17 SLU $X_l=2.35$ - Classe 1
Sollecitazioni: $T_z=-5966.29$
 $V,Ed=-5966.29$ $V_c,Rd=50134.20$ $V,Ed/V_c,Rd=0.12$

- Verifica a presso o tenso-flessione retta YY (4.2.4.1.2.7) - CC 17 SLU $X_l=0.00$ - Classe 1
Sollecitazioni: $N=6780.46$ $T_z=-4989.83$ $M_y=-12873.40$
 $M_y,Ed=-12873.40$ $M_y,V,c,Rd=21326.00$
 $N,Ed=6780.46$ $N_c,Rd=181940.00$ $YY\ n=N,Ed/N_c,Rd=0.04$ $MN_y,c,Rd=21326.00$ $M_y,Ed/MN_y,c,Rd=0.60$

- Verifica di stabilità aste inflesse (4.2.4.1.3.2) CC 17 SLU - Classe 1
 $L_{cr}=2.35$ Curva b: $\alpha_{imp}=0.34$ $k_c=0.94$ $\psi=1.75$ $M_{cr}=65500.90$ $\lambda_{LT}=0.58$
 $\lambda_{LT,0}=0.40$ $\beta_{LT}=0.75$ $\Phi_{LT}=0.66$ $\beta_{LT}=0.75$ $f=0.97$ $\chi_{LT}=0.95$
 $M_y,Ed=-12873.40$ $M_y,b,Rd=20255.80$ $M_y,Ed/M_y,b,Rd=0.64$

- Verifica di stabilità aste presso-inflesse (4.2.4.1.3.3.2) - CC 19 SLU - Classe 1
Sollecitazioni: $N,Ed=-6780.46$ $M_y,Ed=-12355.70$ $L=2.35$
 α_{my} , α_{mz} , $\alpha_{LT}=0.95$, 0.95 , 0.95
 $L_{cr}=2.35$ Curva b: $\alpha_{imp}=0.34$ $k_c=0.94$ $\psi=1.75$ $M_{cr}=65500.90$ $\lambda_{LT}=0.58$
 $\lambda_{LT,0}=0.40$ $\Phi_{LT}=0.66$ $\beta_{LT}=0.75$ $f=0.97$ $\chi_{LT}=0.95$
 $\lambda_y=18.86$ $N_{cr,y}=3136160.00$ $\lambda^*_y=0.25$ Curva a: $\Phi_y=0.54$ $\chi_y=0.99$
 $\lambda_z=70.16$ $N_{cr,z}=226601.00$ $\lambda^*_z=0.92$ Curva b: $\Phi_z=1.04$ $\chi_z=0.65$
 K_{yy} , K_{yz} , K_{zy} , $K_{zz}=0.95$, 0.61 , 0.00 , 1.02
Verifica YY: $0.04+0.58=0.62$
Verifica ZZ: $0.04=0.04$

- Verifica freccia massima carichi totali - CC 22
 $f_{z,L}=0.21$ (L/1145)

- Verifica freccia massima per soli carichi accidentali - CC 22
 $f_{z,L}=0.09$ (L/2515)

Asta n. 1079 (1117 -105) Sez. 6 IPE300 Crit. 2

- Verifica a flessione YY [4.2.13] - CC 1 SND $X_l=2.80$ - Classe 3
Sollecitazioni: $T_z=3200.69$ $M_y=-9884.87$
 $M_y,Ed=-9884.87$ $M_y,c,Rd=18834.90$ $M_y,Ed/M_y,c,Rd=0.52$

- Verifica a taglio dir. Z [4.2.16] - CC 17 SLU $X_l=0.00$ - Classe 1
Sollecitazioni: $T_z=7086.33$
 $V,Ed=7086.33$ $V_c,Rd=50134.20$ $V,Ed/V_c,Rd=0.14$

- Verifica a presso o tenso-flessione retta YY (4.2.4.1.2.7) - CC 17 SLU $X_l=2.80$ - Classe 1
Sollecitazioni: $N=6780.46$ $T_z=5922.88$ $M_y=-18212.90$
 $M_y,Ed=-18212.90$ $M_y,V,c,Rd=21326.00$
 $N,Ed=6780.46$ $N_c,Rd=181940.00$ $YY\ n=N,Ed/N_c,Rd=0.04$ $MN_y,c,Rd=21326.00$ $M_y,Ed/MN_y,c,Rd=0.85$

- Verifica di stabilità aste inflesse (4.2.4.1.3.2) CC 17 SLU - Classe 1
 $L_{cr}=2.80$ Curva b: $\alpha_{imp}=0.34$ $k_c=0.94$ $\psi=1.75$ $M_{cr}=48365.20$ $\lambda_{LT}=0.68$
 $\lambda_{LT,0}=0.40$ $\beta_{LT}=0.75$ $\Phi_{LT}=0.72$ $\beta_{LT}=0.75$ $f=0.97$ $\chi_{LT}=0.91$
 $M_y,Ed=-18212.90$ $M_y,b,Rd=19315.10$ $M_y,Ed/M_y,b,Rd=0.94$

- Verifica di stabilità aste presso-inflesse (4.2.4.1.3.3.2) - CC 19 SLU - Classe 1
Sollecitazioni: $N,Ed=-6780.46$ $M_y,Ed=-17477.90$ $L=2.80$
 α_{my} , α_{mz} , $\alpha_{LT}=0.95$, 0.95 , 0.95
 $L_{cr}=2.80$ Curva b: $\alpha_{imp}=0.34$ $k_c=0.94$ $\psi=1.75$ $M_{cr}=48365.20$ $\lambda_{LT}=0.68$
 $\lambda_{LT,0}=0.40$ $\Phi_{LT}=0.72$ $\beta_{LT}=0.75$ $f=0.97$ $\chi_{LT}=0.91$
 $\lambda_y=22.47$ $N_{cr,y}=2209120.00$ $\lambda^*_y=0.29$ Curva a: $\Phi_y=0.55$ $\chi_y=0.98$
 $\lambda_z=83.59$ $N_{cr,z}=159618.00$ $\lambda^*_z=1.09$ Curva b: $\Phi_z=1.25$ $\chi_z=0.54$
 K_{yy} , K_{yz} , K_{zy} , $K_{zz}=0.95$, 0.63 , 0.00 , 1.04
Verifica YY: $0.04+0.86=0.90$
Verifica ZZ: $0.07=0.07$

- Verifica freccia massima carichi totali - CC 22
 $f_{z,g}=0.40$ (L/695)

- Verifica freccia massima per soli carichi accidentali - CC 22
 $f_{z,L}=0.18$ (L/1523)

Asta n. 1079 (-105 1118) Sez. 6 IPE300 Crit. 2

Relazione di calcolo

-
- Verifica a flessione YY [4.2.13] - CC 1 SND $X_l=0.00$ - Classe 3
Sollecitazioni: $T_z=-3200.69$ $M_y=-9884.87$
 $M_y,Ed=-9884.87$ $M_y,c,Rd=18834.90$ $M_y,Ed/M_y,c,Rd=0.52$
 - Verifica a taglio dir. Z [4.2.16] - CC 17 SLU $X_l=2.80$ - Classe 1
Sollecitazioni: $T_z=-7086.33$
 $V,Ed=-7086.33$ $V_c,Rd=50134.20$ $V,Ed/V_c,Rd=0.14$
 - Verifica a presso o tenso-flessione retta YY (4.2.4.1.2.7) - CC 17 SLU $X_l=0.00$ - Classe 1
Sollecitazioni: $N=6780.46$ $T_z=-5922.88$ $M_y=-18212.90$
 $M_y,Ed=-18212.90$ $M_y,V,c,Rd=21326.00$
 $N,Ed=6780.46$ $N_c,Rd=181940.00$ $YY\ n=N,Ed/N_c,Rd=0.04$ $MN_y,c,Rd=21326.00$ $M_y,Ed/MN_y,c,Rd=0.85$
 - Verifica di stabilità aste inflesse (4.2.4.1.3.2) CC 17 SLU - Classe 1
 $L_{cr}=2.80$ Curva b: $\alpha_{imp}=0.34$ $k_c=0.94$ $\psi=1.75$ $M_{cr}=48365.20$ $\lambda_{LT}=0.68$
 $\lambda_{LT,0}=0.40$ $\beta_{LT}=0.75$ $\Phi_{LT}=0.72$ $\beta_{LT}=0.75$ $f=0.97$ $\chi_{LT}=0.91$
 $M_y,Ed=-18212.90$ $M_y,b,Rd=19315.10$ $M_y,Ed/M_y,b,Rd=0.94$
 - Verifica di stabilità aste presso-inflesse (C4.2.4.1.3.3.2) - CC 19 SLU - Classe 1
Sollecitazioni: $N,Ed=-6780.46$ $M_y,Ed=-17477.90$ $L=2.80$
 $\alpha_m, \alpha_{mz}, \alpha_{LT}=0.95, 0.95, 0.95$
 $L_{cr}=2.80$ Curva b: $\alpha_{imp}=0.34$ $k_c=0.94$ $\psi=1.75$ $M_{cr}=48365.20$ $\lambda_{LT}=0.68$
 $\lambda_{LT,0}=0.40$ $\Phi_{LT}=0.72$ $\beta_{LT}=0.75$ $f=0.97$ $\chi_{LT}=0.91$
 $\lambda_y=22.47$ $N_{cr,y}=2209120.00$ $\lambda^*_y=0.29$ Curva a: $\Phi_y=0.55$ $\chi_y=0.98$
 $\lambda_z=83.59$ $N_{cr,z}=159618.00$ $\lambda^*_z=1.09$ Curva b: $\Phi_z=1.25$ $\chi_z=0.54$
 $K_{yy}, K_{yz}, K_{zy}, K_{zz}=0.95, 0.63, 0.00, 1.04$
Verifica YY: $0.04+0.86=0.90$
Verifica ZZ: $0.07=0.07$
 - Verifica freccia massima carichi totali - CC 22
 $f_{z,L}=0.40$ (L/694)
 - Verifica freccia massima per soli carichi accidentali - CC 22
 $f_{z,L}=0.18$ (L/1520)

Asta n. 1079 (1118 -106) Sez. 10 HEA300 Crit. 2

-
- Verifica a flessione YY [4.2.13] - CC 1 SND $X_l=2.35$ - Classe 3
Sollecitazioni: $T_z=1350.39$ $M_y=-4236.33$
 $M_y,Ed=-4236.33$ $M_y,c,Rd=42586.20$ $M_y,Ed/M_y,c,Rd=0.10$
 - Verifica a taglio dir. Z [4.2.16] - CC 17 SLU $X_l=0.00$ - Classe 1
Sollecitazioni: $T_z=3893.49$
 $V,Ed=3893.49$ $V_c,Rd=72775.50$ $V,Ed/V_c,Rd=0.05$
 - Verifica in termini tensionali [4.2.4] - CC 20 SLU $X_l=2.35$ - Classe 3
Sollecitazioni: $N=21268.50$ $T_z=2393.57$ $M_y=-7247.51$
Tensioni: $\sigma_N=189.00$ $\sigma_{m,d}=575.39$ $\tau=0.00$ $\sigma_{max}=764.39$ (sfrut=0.23)
Tensioni: $\sigma_N=189.00$ $\sigma_{m,d}=0.00$ $\tau=114.32$ $\tau_{max}=114.32$ (sfrut=0.06)
Tensioni: $\sigma_N=189.00$ $\sigma_{m,d}=575.39$ $\tau=0.00$ $\sigma_{ID,max}=764.39$ (sfrut=0.23)
 - Verifica di stabilità aste inflesse (4.2.4.1.3.2) CC 17 SLU - Classe 3
 $L_{cr}=2.35$ Curva b: $\alpha_{imp}=0.34$ $k_c=0.94$ $\psi=1.75$ $M_{cr}=609252.00$ $\lambda_{LT}=0.27$
 $\lambda_{LT,0}=0.40$ $\beta_{LT}=0.75$ $\Phi_{LT}=0.51$ $\beta_{LT}=0.75$ $f=0.99$ $\chi_{LT}=1.00$
 $M_y,Ed=-7506.37$ $M_y,b,Rd=42586.20$ $M_y,Ed/M_y,b,Rd=0.18$
 - Verifica di stabilità aste presso-inflesse (C4.2.4.1.3.3.2) - CC 19 SLU - Classe 3
Sollecitazioni: $N,Ed=-14179.00$ $M_y,Ed=-7247.51$ $L=2.35$
 $\alpha_m, \alpha_{mz}, \alpha_{LT}=0.95, 0.95, 0.95$
 $L_{cr}=2.35$ Curva b: $\alpha_{imp}=0.34$ $k_c=0.94$ $\psi=1.75$ $M_{cr}=609252.00$ $\lambda_{LT}=0.27$
 $\lambda_{LT,0}=0.40$ $\Phi_{LT}=0.51$ $\beta_{LT}=0.75$ $f=0.99$ $\chi_{LT}=1.00$
 $\lambda_y=18.45$ $N_{cr,y}=6854580.00$ $\lambda^*_y=0.24$ Curva b: $\Phi_y=0.54$ $\chi_y=0.99$
 $\lambda_z=31.38$ $N_{cr,z}=2368010.00$ $\lambda^*_z=0.41$ Curva c: $\Phi_z=0.64$ $\chi_z=0.89$
 $K_{yy}, K_{yz}, K_{zy}, K_{zz}=0.96, 0.96, 0.00, 0.96$
Verifica YY: $0.04+0.16=0.20$
Verifica ZZ: $0.04=0.04$
 - Verifica freccia massima carichi totali - CC 22
 $f_{z,L}=0.06$ (L/3847)
 - Verifica freccia massima per soli carichi accidentali - CC 22
 $f_{z,L}=0.02$ (L/10224)

Asta n. 1079 (-106 1119) Sez. 10 HEA300 Crit. 2

-
- Verifica a flessione YY [4.2.13] - CC 1 SND $X_l=0.00$ - Classe 3
Sollecitazioni: $T_z=-1350.39$ $M_y=-4236.33$
 $M_y,Ed=-4236.33$ $M_y,c,Rd=42586.20$ $M_y,Ed/M_y,c,Rd=0.10$

Relazione di calcolo

- Verifica a taglio dir. Z [4.2.16] - CC 17 SLU $X_l=2.35$ - Classe 1
Sollecitazioni: $T_z=-3893.49$
 $V, Ed=-3893.49$ $V_c, Rd=72775.50$ $V, Ed/V_c, Rd=0.05$
- Verifica in termini tensionali [4.2.4] - CC 20 SLU $X_l=0.00$ - Classe 3
Sollecitazioni: $N=21268.50$ $T_z=-2393.57$ $M_y=-7247.51$
Tensioni: $\sigma_N=189.00$ $\sigma_{m,d}=575.39$ $\tau=0.00$ $\sigma_{max}=764.39$ (sfrut=0.23)
Tensioni: $\sigma_N=189.00$ $\sigma_{m,d}=0.00$ $\tau=114.32$ $\tau_{max}=114.32$ (sfrut=0.06)
Tensioni: $\sigma_N=189.00$ $\sigma_{m,d}=575.39$ $\tau=0.00$ $\sigma_{ID,max}=764.39$ (sfrut=0.23)
- Verifica di stabilità aste inflesse (4.2.4.1.3.2) CC 17 SLU - Classe 3
 $L_{cr}=2.35$ Curva b: $\alpha_{imp}=0.34$ $k_c=0.94$ $\psi=1.75$ $M_{cr}=609252.00$ $\lambda_{LT}=0.27$
 $\lambda_{LT,0}=0.40$ $\beta_{LT}=0.75$ $\Phi_{LT}=0.51$ $\beta_{LT}=0.75$ $f=0.99$ $\chi_{LT}=1.00$
 $M_y, Ed=-7506.37$ $M_y, b, Rd=42586.20$ $M_y, Ed/M_y, b, Rd=0.18$
- Verifica di stabilità aste presso-inflesse (C4.2.4.1.3.3.2) - CC 19 SLU - Classe 3
Sollecitazioni: $N, Ed=-14179.00$ $M_y, Ed=-7247.51$ $L=2.35$
 $\alpha_{my}, \alpha_{mz}, \alpha_{LT}=0.95, 0.95, 0.95$
 $L_{cr}=2.35$ Curva b: $\alpha_{imp}=0.34$ $k_c=0.94$ $\psi=1.75$ $M_{cr}=609252.00$ $\lambda_{LT}=0.27$
 $\lambda_{LT,0}=0.40$ $\Phi_{LT}=0.51$ $\beta_{LT}=0.75$ $f=0.99$ $\chi_{LT}=1.00$
 $\lambda_y=18.45$ $N_{cr,y}=6854580.00$ $\lambda'_y=0.24$ Curva b: $\Phi_y=0.54$ $\chi_y=0.99$
 $\lambda_z=31.38$ $N_{cr,z}=2368010.00$ $\lambda'_z=0.41$ Curva c: $\Phi_z=0.64$ $\chi_z=0.89$
 $K_{yy}, K_{yz}, K_{zy}, K_{zz}=0.96, 0.96, 0.00, 0.96$
Verifica YY: $0.04+0.16=0.20$
Verifica ZZ: $0.04=0.04$
- Verifica freccia massima carichi totali - CC 22
 $f_{z,L}=0.06$ (L/3857)
- Verifica freccia massima per soli carichi accidentali - CC 22
 $f_{z,L}=0.02$ (L/10299)

Asta n. 1079 (1119 -107) Sez. 10 HEA300 Crit. 2

- Verifica a flessione YY [4.2.13] - CC 1 SND $X_l=2.35$ - Classe 3
Sollecitazioni: $T_z=1350.39$ $M_y=-4236.33$
 $M_y, Ed=-4236.33$ $M_y, c, Rd=42586.20$ $M_y, Ed/M_y, c, Rd=0.10$
- Verifica a taglio dir. Z [4.2.16] - CC 17 SLU $X_l=0.00$ - Classe 1
Sollecitazioni: $T_z=3893.49$
 $V, Ed=3893.49$ $V_c, Rd=72775.50$ $V, Ed/V_c, Rd=0.05$
- Verifica in termini tensionali [4.2.4] - CC 20 SLU $X_l=2.35$ - Classe 3
Sollecitazioni: $N=21268.50$ $T_z=2393.57$ $M_y=-7247.51$
Tensioni: $\sigma_N=189.00$ $\sigma_{m,d}=575.39$ $\tau=0.00$ $\sigma_{max}=764.39$ (sfrut=0.23)
Tensioni: $\sigma_N=189.00$ $\sigma_{m,d}=0.00$ $\tau=114.32$ $\tau_{max}=114.32$ (sfrut=0.06)
Tensioni: $\sigma_N=189.00$ $\sigma_{m,d}=575.39$ $\tau=0.00$ $\sigma_{ID,max}=764.39$ (sfrut=0.23)
- Verifica di stabilità aste inflesse (4.2.4.1.3.2) CC 17 SLU - Classe 3
 $L_{cr}=2.35$ Curva b: $\alpha_{imp}=0.34$ $k_c=0.94$ $\psi=1.75$ $M_{cr}=609252.00$ $\lambda_{LT}=0.27$
 $\lambda_{LT,0}=0.40$ $\beta_{LT}=0.75$ $\Phi_{LT}=0.51$ $\beta_{LT}=0.75$ $f=0.99$ $\chi_{LT}=1.00$
 $M_y, Ed=-7506.37$ $M_y, b, Rd=42586.20$ $M_y, Ed/M_y, b, Rd=0.18$
- Verifica di stabilità aste presso-inflesse (C4.2.4.1.3.3.2) - CC 19 SLU - Classe 3
Sollecitazioni: $N, Ed=-14179.00$ $M_y, Ed=-7247.51$ $L=2.35$
 $\alpha_{my}, \alpha_{mz}, \alpha_{LT}=0.95, 0.95, 0.95$
 $L_{cr}=2.35$ Curva b: $\alpha_{imp}=0.34$ $k_c=0.94$ $\psi=1.75$ $M_{cr}=609252.00$ $\lambda_{LT}=0.27$
 $\lambda_{LT,0}=0.40$ $\Phi_{LT}=0.51$ $\beta_{LT}=0.75$ $f=0.99$ $\chi_{LT}=1.00$
 $\lambda_y=18.45$ $N_{cr,y}=6854580.00$ $\lambda'_y=0.24$ Curva b: $\Phi_y=0.54$ $\chi_y=0.99$
 $\lambda_z=31.38$ $N_{cr,z}=2368010.00$ $\lambda'_z=0.41$ Curva c: $\Phi_z=0.64$ $\chi_z=0.89$
 $K_{yy}, K_{yz}, K_{zy}, K_{zz}=0.96, 0.96, 0.00, 0.96$
Verifica YY: $0.04+0.16=0.20$
Verifica ZZ: $0.04=0.04$
- Verifica freccia massima carichi totali - CC 22
 $f_{z,G}=0.06$ (L/3848)
- Verifica freccia massima per soli carichi accidentali - CC 22
 $f_{z,G}=0.02$ (L/10224)

Asta n. 1079 (-107 1120) Sez. 10 HEA300 Crit. 2

- Verifica a flessione YY [4.2.13] - CC 1 SND $X_l=0.00$ - Classe 3
Sollecitazioni: $T_z=-1350.39$ $M_y=-4236.33$
 $M_y, Ed=-4236.33$ $M_y, c, Rd=42586.20$ $M_y, Ed/M_y, c, Rd=0.10$
- Verifica a taglio dir. Z [4.2.16] - CC 17 SLU $X_l=2.35$ - Classe 1
Sollecitazioni: $T_z=-3893.49$

Relazione di calcolo

- V,Ed=-3893.49 Vc,Rd=72775.50 V,Ed/Vc,Rd=0.05
- Verifica in termini tensionali [4.2.4] - CC 20 SLU Xl=0.00 - Classe 3
Sollecitazioni: N=21268.50 Tz=-2393.57 My=-7247.51
Tensioni: $\sigma_N=189.00$ $\sigma_{m,d}=575.39$ $\tau=0.00$ $\sigma_{max}=764.39$ (sfrut=0.23)
Tensioni: $\sigma_N=189.00$ $\sigma_{m,d}=0.00$ $\tau=114.32$ $\tau_{max}=114.32$ (sfrut=0.06)
Tensioni: $\sigma_N=189.00$ $\sigma_{m,d}=575.39$ $\tau=0.00$ $\sigma_{ID,max}=764.39$ (sfrut=0.23)
- Verifica di stabilità aste inflesse (4.2.4.1.3.2) CC 17 SLU - Classe 3
Lcr=2.35 Curva b: $\alpha_{imp}=0.34$ $k_c=0.94$ $\psi=1.75$ M,cr=609252.00 $\lambda_{LT}=0.27$
 $\lambda_{LT,0}=0.40$ $\beta_{LT}=0.75$ $\Phi_{LT}=0.51$ $\beta_{LT}=0.75$ f=0.99 $\chi_{LT}=1.00$
My,Ed=-7506.37 My,b,Rd=42586.20 My,Ed/My,b,Rd=0.18
- Verifica di stabilità aste presso-inflesse (C4.2.4.1.3.3.2) - CC 19 SLU - Classe 3
Sollecitazioni: N,Ed=-14179.00 My,Ed=-7247.51 L=2.35
 α_{my} , α_{mz} , $\alpha_{LT}=0.95$, 0.95, 0.95
Lcr=2.35 Curva b: $\alpha_{imp}=0.34$ $k_c=0.94$ $\psi=1.75$ M,cr=609252.00 $\lambda_{LT}=0.27$
 $\lambda_{LT,0}=0.40$ $\Phi_{LT}=0.51$ $\beta_{LT}=0.75$ f=0.99 $\chi_{LT}=1.00$
 $\lambda_y=18.45$ Ncr,y=6854580.00 $\lambda'_y=0.24$ Curva b: $\Phi_y=0.54$ $\chi_y=0.99$
 $\lambda_z=31.38$ Ncr,z=2368010.00 $\lambda'_z=0.41$ Curva c: $\Phi_z=0.64$ $\chi_z=0.89$
Kyy, Kyz, Kzy, Kzz=0.96, 0.96, 0.00, 0.96
Verifica YY: 0.04+0.16=0.20
Verifica ZZ: 0.04=0.04
- Verifica freccia massima carichi totali - CC 22
fz,L=0.06 (L/3856)
- Verifica freccia massima per soli carichi accidentali - CC 22
fz,L=0.02 (L/10310)
- Asta n. 1079 (1120 -108) Sez. 10 HEA300 Crit. 2

- Verifica a flessione YY [4.2.13] - CC 1 SND Xl=2.80 - Classe 3
Sollecitazioni: Tz=1600.34 My=-5989.92
My,Ed=-5989.92 My,c,Rd=42586.20 My,Ed/My,c,Rd=0.14
- Verifica a taglio dir. Z [4.2.16] - CC 17 SLU Xl=0.00 - Classe 1
Sollecitazioni: Tz=4627.83
V,Ed=4627.83 Vc,Rd=72775.50 V,Ed/Vc,Rd=0.06
- Verifica in termini tensionali [4.2.4] - CC 18 SLU Xl=2.80 - Classe 3
Sollecitazioni: N=35447.60 Tz=2961.44 My=-10625.00
Tensioni: $\sigma_N=315.00$ $\sigma_{m,d}=843.53$ $\tau=0.00$ $\sigma_{max}=1158.53$ (sfrut=0.34)
Tensioni: $\sigma_N=315.00$ $\sigma_{m,d}=0.00$ $\tau=141.44$ $\tau_{max}=141.44$ (sfrut=0.07)
Tensioni: $\sigma_N=315.00$ $\sigma_{m,d}=843.53$ $\tau=0.00$ $\sigma_{ID,max}=1158.53$ (sfrut=0.34)
- Verifica di stabilità aste inflesse (4.2.4.1.3.2) CC 17 SLU - Classe 3
Lcr=2.80 Curva b: $\alpha_{imp}=0.34$ $k_c=0.94$ $\psi=1.75$ M,cr=439855.00 $\lambda_{LT}=0.32$
 $\lambda_{LT,0}=0.40$ $\beta_{LT}=0.75$ $\Phi_{LT}=0.52$ $\beta_{LT}=0.75$ f=0.98 $\chi_{LT}=1.00$
My,Ed=-10625.00 My,b,Rd=42586.20 My,Ed/My,b,Rd=0.25
- Verifica di stabilità aste presso-inflesse (C4.2.4.1.3.3.2) - CC 19 SLU - Classe 3
Sollecitazioni: N,Ed=-14179.00 My,Ed=-10257.50 L=2.80
 α_{my} , α_{mz} , $\alpha_{LT}=0.95$, 0.95, 0.95
Lcr=2.80 Curva b: $\alpha_{imp}=0.34$ $k_c=0.94$ $\psi=1.75$ M,cr=439855.00 $\lambda_{LT}=0.32$
 $\lambda_{LT,0}=0.40$ $\Phi_{LT}=0.52$ $\beta_{LT}=0.75$ f=0.98 $\chi_{LT}=1.00$
 $\lambda_y=21.98$ Ncr,y=4828370.00 $\lambda'_y=0.29$ Curva b: $\Phi_y=0.56$ $\chi_y=0.97$
 $\lambda_z=37.39$ Ncr,z=1668030.00 $\lambda'_z=0.49$ Curva c: $\Phi_z=0.69$ $\chi_z=0.85$
Kyy, Kyz, Kzy, Kzz=0.96, 0.96, 0.00, 0.96
Verifica YY: 0.04+0.23=0.27
Verifica ZZ: 0.04=0.04
- Verifica freccia massima carichi totali - CC 22
fz,g=0.12 (L/2381)
- Verifica freccia massima per soli carichi accidentali - CC 22
fz,L=0.04 (L/6337)
- Asta n. 1079 (-108 1121) Sez. 10 HEA300 Crit. 2

- Verifica a flessione YY [4.2.13] - CC 1 SND Xl=0.00 - Classe 3
Sollecitazioni: Tz=-1600.34 My=-5989.92
My,Ed=-5989.92 My,c,Rd=42586.20 My,Ed/My,c,Rd=0.14
- Verifica a taglio dir. Z [4.2.16] - CC 17 SLU Xl=2.80 - Classe 1
Sollecitazioni: Tz=-4627.83
V,Ed=-4627.83 Vc,Rd=72775.50 V,Ed/Vc,Rd=0.06
- Verifica in termini tensionali [4.2.4] - CC 18 SLU Xl=0.00 - Classe 3

Relazione di calcolo

Sollecitazioni: $N=35447.60$ $T_z=-2961.44$ $M_y=-10625.00$
Tensioni: $\sigma_N=315.00$ $\sigma_{m,d}=843.53$ $\tau=0.00$ $\sigma_{max}=1158.53$ (sfrut=0.34)
Tensioni: $\sigma_N=315.00$ $\sigma_{m,d}=0.00$ $\tau=141.44$ $\tau_{max}=141.44$ (sfrut=0.07)
Tensioni: $\sigma_N=315.00$ $\sigma_{m,d}=843.53$ $\tau=0.00$ $\sigma_{ID,max}=1158.53$ (sfrut=0.34)

- Verifica di stabilità aste inflesse (4.2.4.1.3.2) CC 17 SLU - Classe 3
 $L_{cr}=2.80$ Curva b: $\alpha_{imp}=0.34$ $k_c=0.94$ $\psi=1.75$ $M_{cr}=439855.00$ $\lambda_{LT}=0.32$
 $\lambda_{LT,0}=0.40$ $\beta_{LT}=0.75$ $\Phi_{LT}=0.52$ $\beta_{LT}=0.75$ $f=0.98$ $\chi_{LT}=1.00$
 $M_y,Ed=-10625.00$ $M_y,b,Rd=42586.20$ $M_y,Ed/M_y,b,Rd=0.25$

- Verifica di stabilità aste presso-inflesse (C4.2.4.1.3.3.2) - CC 19 SLU - Classe 3
Sollecitazioni: $N,Ed=-14179.00$ $M_y,Ed=-10257.50$ $L=2.80$
 α_{my} , α_{mz} , $\alpha_{LT}=0.95$, 0.95 , 0.95
 $L_{cr}=2.80$ Curva b: $\alpha_{imp}=0.34$ $k_c=0.94$ $\psi=1.75$ $M_{cr}=439855.00$ $\lambda_{LT}=0.32$
 $\lambda_{LT,0}=0.40$ $\Phi_{LT}=0.52$ $\beta_{LT}=0.75$ $f=0.98$ $\chi_{LT}=1.00$
 $\lambda_y=21.98$ $N_{cr,y}=4828370.00$ $\lambda'_y=0.29$ Curva b: $\Phi_y=0.56$ $\chi_y=0.97$
 $\lambda_z=37.39$ $N_{cr,z}=1668030.00$ $\lambda'_z=0.49$ Curva c: $\Phi_z=0.69$ $\chi_z=0.85$
 K_{yy} , K_{yz} , K_{zy} , $K_{zz}=0.96$, 0.96 , 0.00 , 0.96
Verifica YY: $0.04+0.23=0.27$
Verifica ZZ: $0.04=0.04$

- Verifica freccia massima carichi totali - CC 22
 $f_{z,L}=0.12$ (L/2377)

- Verifica freccia massima per soli carichi accidentali - CC 22
 $f_{z,G}=0.04$ (L/6320)

Asta n. 1079 (1121 -109) Sez. 10 HEA300 Crit. 2

- Verifica a flessione YY [4.2.13] - CC 1 SND $X_l=2.35$ - Classe 3
Sollecitazioni: $T_z=1350.39$ $M_y=-4236.33$
 $M_y,Ed=-4236.33$ $M_y,c,Rd=42586.20$ $M_y,Ed/M_y,c,Rd=0.10$

- Verifica a taglio dir. Z [4.2.16] - CC 17 SLU $X_l=0.00$ - Classe 1
Sollecitazioni: $T_z=3893.49$
 $V,Ed=3893.49$ $V_c,Rd=72775.50$ $V,Ed/V_c,Rd=0.05$

- Verifica in termini tensionali [4.2.4] - CC 20 SLU $X_l=2.35$ - Classe 3
Sollecitazioni: $N=21268.50$ $T_z=2393.57$ $M_y=-7247.51$
Tensioni: $\sigma_N=189.00$ $\sigma_{m,d}=575.39$ $\tau=0.00$ $\sigma_{max}=764.39$ (sfrut=0.23)
Tensioni: $\sigma_N=189.00$ $\sigma_{m,d}=0.00$ $\tau=114.32$ $\tau_{max}=114.32$ (sfrut=0.06)
Tensioni: $\sigma_N=189.00$ $\sigma_{m,d}=575.39$ $\tau=0.00$ $\sigma_{ID,max}=764.39$ (sfrut=0.23)

- Verifica di stabilità aste inflesse (4.2.4.1.3.2) CC 17 SLU - Classe 3
 $L_{cr}=2.35$ Curva b: $\alpha_{imp}=0.34$ $k_c=0.94$ $\psi=1.75$ $M_{cr}=609252.00$ $\lambda_{LT}=0.27$
 $\lambda_{LT,0}=0.40$ $\beta_{LT}=0.75$ $\Phi_{LT}=0.51$ $\beta_{LT}=0.75$ $f=0.99$ $\chi_{LT}=1.00$
 $M_y,Ed=-7506.37$ $M_y,b,Rd=42586.20$ $M_y,Ed/M_y,b,Rd=0.18$

- Verifica di stabilità aste presso-inflesse (C4.2.4.1.3.3.2) - CC 19 SLU - Classe 3
Sollecitazioni: $N,Ed=-14179.00$ $M_y,Ed=-7247.51$ $L=2.35$
 α_{my} , α_{mz} , $\alpha_{LT}=0.95$, 0.95 , 0.95
 $L_{cr}=2.35$ Curva b: $\alpha_{imp}=0.34$ $k_c=0.94$ $\psi=1.75$ $M_{cr}=609252.00$ $\lambda_{LT}=0.27$
 $\lambda_{LT,0}=0.40$ $\Phi_{LT}=0.51$ $\beta_{LT}=0.75$ $f=0.99$ $\chi_{LT}=1.00$
 $\lambda_y=18.45$ $N_{cr,y}=6854580.00$ $\lambda'_y=0.24$ Curva b: $\Phi_y=0.54$ $\chi_y=0.99$
 $\lambda_z=31.38$ $N_{cr,z}=2368010.00$ $\lambda'_z=0.41$ Curva c: $\Phi_z=0.64$ $\chi_z=0.89$
 K_{yy} , K_{yz} , K_{zy} , $K_{zz}=0.96$, 0.96 , 0.00 , 0.96
Verifica YY: $0.04+0.16=0.20$
Verifica ZZ: $0.04=0.04$

- Verifica freccia massima carichi totali - CC 22
 $f_{z,L}=0.06$ (L/3850)

- Verifica freccia massima per soli carichi accidentali - CC 22
 $f_{z,L}=0.02$ (L/10171)

Asta n. 1079 (-109 1122) Sez. 10 HEA300 Crit. 2

- Verifica a flessione YY [4.2.13] - CC 1 SND $X_l=0.00$ - Classe 3
Sollecitazioni: $T_z=-1350.39$ $M_y=-4236.33$
 $M_y,Ed=-4236.33$ $M_y,c,Rd=42586.20$ $M_y,Ed/M_y,c,Rd=0.10$

- Verifica a taglio dir. Z [4.2.16] - CC 17 SLU $X_l=2.35$ - Classe 1
Sollecitazioni: $T_z=-3893.49$
 $V,Ed=-3893.49$ $V_c,Rd=72775.50$ $V,Ed/V_c,Rd=0.05$

- Verifica in termini tensionali [4.2.4] - CC 20 SLU $X_l=0.00$ - Classe 3
Sollecitazioni: $N=21268.50$ $T_z=-2393.57$ $M_y=-7247.51$
Tensioni: $\sigma_N=189.00$ $\sigma_{m,d}=575.39$ $\tau=0.00$ $\sigma_{max}=764.39$ (sfrut=0.23)

Relazione di calcolo

Tensioni: $\sigma_N=189.00$ $\sigma_m,d=0.00$ $\tau=114.32$ $\tau_{max}=114.32$ (sfrut=0.06)
Tensioni: $\sigma_N=189.00$ $\sigma_m,d=575.39$ $\tau=0.00$ $\sigma_{ID,max}=764.39$ (sfrut=0.23)

- Verifica di stabilità aste inflesse (4.2.4.1.3.2) CC 17 SLU - Classe 3
 $L_{cr}=2.35$ Curva b: $\alpha_{imp}=0.34$ $k_c=0.94$ $\psi=1.75$ $M_{cr}=609252.00$ $\lambda_{LT}=0.27$
 $\lambda_{LT,0}=0.40$ $\beta_{LT}=0.75$ $\Phi_{LT}=0.51$ $\beta_{LT}=0.75$ $f=0.99$ $\chi_{LT}=1.00$
 $M_y,Ed=-7506.37$ $M_y,b,Rd=42586.20$ $M_y,Ed/M_y,b,Rd=0.18$

- Verifica di stabilità aste presso-inflesse (C4.2.4.1.3.3.2) - CC 19 SLU - Classe 3
Sollecitazioni: $N,Ed=-14179.00$ $M_y,Ed=-7247.51$ $L=2.35$
 $\alpha_m, \alpha_mz, \alpha_{LT}=0.95, 0.95, 0.95$
 $L_{cr}=2.35$ Curva b: $\alpha_{imp}=0.34$ $k_c=0.94$ $\psi=1.75$ $M_{cr}=609252.00$ $\lambda_{LT}=0.27$
 $\lambda_{LT,0}=0.40$ $\Phi_{LT}=0.51$ $\beta_{LT}=0.75$ $f=0.99$ $\chi_{LT}=1.00$
 $\lambda_y=18.45$ $N_{cr,y}=6854580.00$ $\lambda'_y=0.24$ Curva b: $\Phi_y=0.54$ $\chi_y=0.99$
 $\lambda_z=31.38$ $N_{cr,z}=2368010.00$ $\lambda'_z=0.41$ Curva c: $\Phi_z=0.64$ $\chi_z=0.89$
 $K_{yy}, K_{yz}, K_{zy}, K_{zz}=0.96, 0.96, 0.00, 0.96$
Verifica YY: $0.04+0.16=0.20$
Verifica ZZ: $0.04=0.04$

- Verifica freccia massima carichi totali - CC 22
 $f_{z,L}=0.06$ (L/3854)

- Verifica freccia massima per soli carichi accidentali - CC 22
 $f_{z,L}=0.02$ (L/10342)

Asta n. 1079 (1122 -110) Sez. 10 HEA300 Crit. 2

- Verifica a flessione YY [4.2.13] - CC 1 SND $X_l=2.35$ - Classe 3
Sollecitazioni: $T_z=1350.39$ $M_y=-4236.33$
 $M_y,Ed=-4236.33$ $M_y,c,Rd=42586.20$ $M_y,Ed/M_y,c,Rd=0.10$

- Verifica a taglio dir. Z [4.2.16] - CC 17 SLU $X_l=0.00$ - Classe 1
Sollecitazioni: $T_z=3893.49$
 $V,Ed=3893.49$ $V_c,Rd=72775.50$ $V,Ed/V_c,Rd=0.05$

- Verifica in termini tensionali [4.2.4] - CC 20 SLU $X_l=2.35$ - Classe 3
Sollecitazioni: $N=21268.50$ $T_z=2393.57$ $M_y=-7247.50$
Tensioni: $\sigma_N=189.00$ $\sigma_m,d=575.38$ $\tau=0.00$ $\sigma_{max}=764.39$ (sfrut=0.23)
Tensioni: $\sigma_N=189.00$ $\sigma_m,d=0.00$ $\tau=114.32$ $\tau_{max}=114.32$ (sfrut=0.06)
Tensioni: $\sigma_N=189.00$ $\sigma_m,d=575.38$ $\tau=0.00$ $\sigma_{ID,max}=764.39$ (sfrut=0.23)

- Verifica di stabilità aste inflesse (4.2.4.1.3.2) CC 17 SLU - Classe 3
 $L_{cr}=2.35$ Curva b: $\alpha_{imp}=0.34$ $k_c=0.94$ $\psi=1.75$ $M_{cr}=609253.00$ $\lambda_{LT}=0.27$
 $\lambda_{LT,0}=0.40$ $\beta_{LT}=0.75$ $\Phi_{LT}=0.51$ $\beta_{LT}=0.75$ $f=0.99$ $\chi_{LT}=1.00$
 $M_y,Ed=-7506.37$ $M_y,b,Rd=42586.20$ $M_y,Ed/M_y,b,Rd=0.18$

- Verifica di stabilità aste presso-inflesse (C4.2.4.1.3.3.2) - CC 19 SLU - Classe 3
Sollecitazioni: $N,Ed=-14179.00$ $M_y,Ed=-7247.50$ $L=2.35$
 $\alpha_m, \alpha_mz, \alpha_{LT}=0.95, 0.95, 0.95$
 $L_{cr}=2.35$ Curva b: $\alpha_{imp}=0.34$ $k_c=0.94$ $\psi=1.75$ $M_{cr}=609253.00$ $\lambda_{LT}=0.27$
 $\lambda_{LT,0}=0.40$ $\Phi_{LT}=0.51$ $\beta_{LT}=0.75$ $f=0.99$ $\chi_{LT}=1.00$
 $\lambda_y=18.45$ $N_{cr,y}=6854590.00$ $\lambda'_y=0.24$ Curva b: $\Phi_y=0.54$ $\chi_y=0.99$
 $\lambda_z=31.38$ $N_{cr,z}=2368010.00$ $\lambda'_z=0.41$ Curva c: $\Phi_z=0.64$ $\chi_z=0.89$
 $K_{yy}, K_{yz}, K_{zy}, K_{zz}=0.96, 0.96, 0.00, 0.96$
Verifica YY: $0.04+0.16=0.20$
Verifica ZZ: $0.04=0.04$

- Verifica freccia massima carichi totali - CC 22
 $f_{z,L}=0.06$ (L/3841)

- Verifica freccia massima per soli carichi accidentali - CC 22
 $f_{z,L}=0.02$ (L/10235)

Asta n. 1079 (-110 1123) Sez. 10 HEA300 Crit. 2

- Verifica a flessione YY [4.2.13] - CC 1 SND $X_l=0.00$ - Classe 3
Sollecitazioni: $T_z=-1350.39$ $M_y=-4236.33$
 $M_y,Ed=-4236.33$ $M_y,c,Rd=42586.20$ $M_y,Ed/M_y,c,Rd=0.10$

- Verifica a taglio dir. Z [4.2.16] - CC 17 SLU $X_l=2.35$ - Classe 1
Sollecitazioni: $T_z=-3893.49$
 $V,Ed=-3893.49$ $V_c,Rd=72775.50$ $V,Ed/V_c,Rd=0.05$

- Verifica in termini tensionali [4.2.4] - CC 20 SLU $X_l=0.00$ - Classe 3
Sollecitazioni: $N=21268.50$ $T_z=-2393.57$ $M_y=-7247.51$
Tensioni: $\sigma_N=189.00$ $\sigma_m,d=575.39$ $\tau=0.00$ $\sigma_{max}=764.39$ (sfrut=0.23)
Tensioni: $\sigma_N=189.00$ $\sigma_m,d=0.00$ $\tau=114.32$ $\tau_{max}=114.32$ (sfrut=0.06)
Tensioni: $\sigma_N=189.00$ $\sigma_m,d=575.39$ $\tau=0.00$ $\sigma_{ID,max}=764.39$ (sfrut=0.23)

Relazione di calcolo

- Verifica di stabilità aste inflesse (4.2.4.1.3.2) CC 17 SLU - Classe 3
L_{cr}=2.35 Curva b: $\alpha_{imp}=0.34$ $k_c=0.94$ $\psi=1.75$ M_{cr}=609251.00 $\lambda_{LT}=0.27$
 $\lambda_{LT,0}=0.40$ $\beta_{LT}=0.75$ $\Phi_{LT}=0.51$ $\beta_{LT}=0.75$ $f=0.99$ $\chi_{LT}=1.00$
M_{y,Ed}=-7506.37 M_{y,b,Rd}=42586.20 M_{y,Ed}/M_{y,b,Rd}=0.18
- Verifica di stabilità aste presso-inflesse (C4.2.4.1.3.3.2) - CC 19 SLU - Classe 3
Sollecitazioni: N_{Ed}=-14179.00 M_{y,Ed}=-7247.51 L=2.35
 α_{my} , α_{mz} , $\alpha_{LT}=0.95$, 0.95, 0.95
L_{cr}=2.35 Curva b: $\alpha_{imp}=0.34$ $k_c=0.94$ $\psi=1.75$ M_{cr}=609251.00 $\lambda_{LT}=0.27$
 $\lambda_{LT,0}=0.40$ $\Phi_{LT}=0.51$ $\beta_{LT}=0.75$ $f=0.99$ $\chi_{LT}=1.00$
 $\lambda_y=18.45$ N_{cr,y}=6854560.00 $\lambda^*_y=0.24$ Curva b: $\Phi_y=0.54$ $\chi_y=0.99$
 $\lambda_z=31.38$ N_{cr,z}=2368000.00 $\lambda^*_z=0.41$ Curva c: $\Phi_z=0.64$ $\chi_z=0.89$
K_{yy}, K_{yz}, K_{zy}, K_{zz}=0.96, 0.96, 0.00, 0.96
Verifica YY: 0.04+0.16=0.20
Verifica ZZ: 0.04=0.04
- Verifica freccia massima carichi totali - CC 22
f_{z,L}=0.06 (L/3862)
- Verifica freccia massima per soli carichi accidentali - CC 22
f_{z,L}=0.02 (L/10288)
- Asta n. 1080 (1125 126) Sez. 5 UPN100 Crit. 3

- Verifica a trazione (4.2.4.1.2.1) - CC 1 SLV Xl=0.00 - Classe 1
Sollecitazioni: N=6901.11
Verifica a trazione [4.2.5]
N_{Ed}=6901.11 N_{pl,Rd}=35889.70 N_{u,Rd}=42425.50 N_{Ed}/N_{t,Rd}=0.19
- Verifica freccia massima carichi totali - CC 22
f_{z,g}=0.00 (L/170156)
- Verifica freccia massima per soli carichi accidentali - CC 22
f_{z,g}=0.00 (L/290138)
- Asta n. 1085 (7 1017) Sez. 5 UPN100 Crit. 3

- Verifica a trazione (4.2.4.1.2.1) - CC 13 SLV Xl=0.00 - Classe 1
Sollecitazioni: N=4319.66
Verifica a trazione [4.2.5]
N_{Ed}=4319.66 N_{pl,Rd}=35889.70 N_{u,Rd}=42425.50 N_{Ed}/N_{t,Rd}=0.12
- Verifica freccia massima carichi totali - CC 22
f_{z,g}=0.02 (L/32117)
- Verifica freccia massima per soli carichi accidentali - CC 22
f_{z,g}=0.01 (L/67814)
- Asta n. 1089 (1009 1004) Sez. 10 HEA300 Crit. 2

- Verifica a flessione YY [4.2.13] - CC 1 SND Xl=2.50 - Classe 3
Sollecitazioni: M_y=-2220.13
M_{y,Ed}=-2220.13 M_{y,c,Rd}=42586.20 M_{y,Ed}/M_{y,c,Rd}=0.05
- Verifica a taglio dir. Z [4.2.16] - CC 17 SLU Xl=0.00 - Classe 1
Sollecitazioni: T_z=3189.93
V_{Ed}=3189.93 V_{c,Rd}=72775.50 V_{Ed}/V_{c,Rd}=0.04
- Verifica in termini tensionali [4.2.4] - CC 17 SLU Xl=2.50 - Classe 3
Sollecitazioni: N=14179.00 M_y=-3987.41
Tensioni: $\sigma_N=126.00$ $\sigma_{m,d}=316.56$ $\tau=0.00$ $\sigma_{max}=442.56$ (sfrut=0.13)
Tensioni: $\sigma_N=0.00$ $\sigma_{m,d}=0.00$ $\tau=0.00$ $\tau_{max}=0.00$ (sfrut=0.00)
Tensioni: $\sigma_N=126.00$ $\sigma_{m,d}=316.56$ $\tau=0.00$ $\sigma_{ID,max}=442.56$ (sfrut=0.13)
- Verifica di stabilità aste inflesse (4.2.4.1.3.2) CC 17 SLU - Classe 3
L_{cr}=5.00 Curva b: $\alpha_{imp}=0.34$ $k_c=0.94$ $\psi=1.75$ M_{cr}=160612.00 $\lambda_{LT}=0.53$
 $\lambda_{LT,0}=0.40$ $\beta_{LT}=0.75$ $\Phi_{LT}=0.63$ $\beta_{LT}=0.75$ $f=0.97$ $\chi_{LT}=0.97$
M_{y,Ed}=-3987.41 M_{y,b,Rd}=41459.00 M_{y,Ed}/M_{y,b,Rd}=0.10
- Verifica di stabilità aste presso-inflesse (C4.2.4.1.3.3.2) - CC 19 SLU - Classe 3
Sollecitazioni: N_{Ed}=-14179.00 M_{y,Ed}=-3836.47 L=5.00
 α_{my} , α_{mz} , $\alpha_{LT}=0.95$, 0.95, 0.95
L_{cr}=5.00 Curva b: $\alpha_{imp}=0.34$ $k_c=0.94$ $\psi=1.75$ M_{cr}=160612.00 $\lambda_{LT}=0.53$
 $\lambda_{LT,0}=0.40$ $\Phi_{LT}=0.63$ $\beta_{LT}=0.75$ $f=0.97$ $\chi_{LT}=0.97$
 $\lambda_y=39.25$ N_{cr,y}=1514180.00 $\lambda^*_y=0.51$ Curva b: $\Phi_y=0.69$ $\chi_y=0.88$
 $\lambda_z=66.77$ N_{cr,z}=523093.00 $\lambda^*_z=0.87$ Curva c: $\Phi_z=1.05$ $\chi_z=0.62$
K_{yy}, K_{yz}, K_{zy}, K_{zz}=0.96, 0.98, 0.00, 0.98
Verifica YY: 0.04+0.09=0.13

Relazione di calcolo

Verifica ZZ: 0.04=0.04

- Verifica freccia massima carichi totali - CC 22
 $f_{z,L}=0.19$ (L/2608)

- Verifica freccia massima per soli carichi accidentali - CC 22
 $f_{z,L}=0.08$ (L/6098)

Asta n. 1089 (1019 1009) Sez. 2 IPE270 Crit. 2

- Verifica a flessione YY [4.2.13] - CC 1 SND $X_1=2.50$ - Classe 3
Sollecitazioni: $M_y=-3688.42$
 $M_y,Ed=-3688.42$ $M_y,c,Rd=14500.40$ $M_y,Ed/M_y,c,Rd=0.25$

- Verifica a taglio dir. Z [4.2.16] - CC 17 SLU $X_1=0.00$ - Classe 1
Sollecitazioni: $T_z=5456.35$
 $V,Ed=5456.35$ $V_c,Rd=43217.20$ $V,Ed/V_c,Rd=0.13$

- Verifica a presso o tenso-flessione retta YY (4.2.4.1.2.7) - CC 17 SLU $X_1=2.50$ - Classe 1
Sollecitazioni: $N=5789.22$ $M_y=-6820.44$
 $M_y,Ed=-6820.44$ $M_y,c,Rd=16436.40$
 $N,Ed=5789.22$ $N_c,Rd=155342.00$ $YY\ n=N,Ed/N_c,Rd=0.04$ $MN_y,c,Rd=16436.40$ $M_y,Ed/MN_y,c,Rd=0.41$

- Verifica di stabilità aste inflesse (4.2.4.1.3.2) CC 17 SLU - Classe 1
 $L_{cr}=5.00$ Curva b: $\alpha_{imp}=0.34$ $k_c=0.94$ $\psi=1.75$ $M_{cr}=13579.60$ $\lambda_{LT}=1.13$
 $\lambda_{LT,0}=0.40$ $\beta_{LT}=0.75$ $\Phi_{LT}=1.10$ $\beta_{LT}=0.75$ $f=0.98$ $\chi_{LT}=0.64$
 $M_y,Ed=-6820.44$ $M_y,b,Rd=10471.50$ $M_y,Ed/M_y,b,Rd=0.65$

- Verifica di stabilità aste presso-inflesse (C4.2.4.1.3.3.2) - CC 19 SLU - Classe 1
Sollecitazioni: $N,Ed=-5789.22$ $M_y,Ed=-6542.82$ $L=5.00$
 $\alpha_{my}, \alpha_{mz}, \alpha_{LT}=0.95, 0.95, 0.95$
 $L_{cr}=5.00$ Curva b: $\alpha_{imp}=0.34$ $k_c=0.94$ $\psi=1.75$ $M_{cr}=13579.60$ $\lambda_{LT}=1.13$
 $\lambda_{LT,0}=0.40$ $\Phi_{LT}=1.10$ $\beta_{LT}=0.75$ $f=0.98$ $\chi_{LT}=0.64$
 $\lambda_y=44.54$ $N_{cr,y}=480014.00$ $\lambda_y^*=0.58$ Curva a: $\Phi_y=0.71$ $\chi_y=0.90$
 $\lambda_z=165.40$ $N_{cr,z}=34809.20$ $\lambda_z^*=2.16$ Curva b: $\Phi_z=3.18$ $\chi_z=0.18$
 $K_{yy}, K_{yz}, K_{zy}, K_{zz}=0.97, 0.73, 0.00, 1.22$
Verifica YY: 0.04+0.60=0.64
Verifica ZZ: 0.21=0.21

- Verifica freccia massima carichi totali - CC 22
 $f_{z,L}=1.03$ (L/486)

- Verifica freccia massima per soli carichi accidentali - CC 22
 $f_{z,L}=0.48$ (L/1051)

Asta n. 1089 (1029 1019) Sez. 2 IPE270 Crit. 2

- Verifica a flessione YY [4.2.13] - CC 1 SND $X_1=2.50$ - Classe 3
Sollecitazioni: $M_y=-2056.79$
 $M_y,Ed=-2056.79$ $M_y,c,Rd=14500.40$ $M_y,Ed/M_y,c,Rd=0.14$

- Verifica a taglio dir. Z [4.2.16] - CC 17 SLU $X_1=0.00$ - Classe 1
Sollecitazioni: $T_z=3020.05$
 $V,Ed=3020.05$ $V_c,Rd=43217.20$ $V,Ed/V_c,Rd=0.07$

- Verifica in termini tensionali [4.2.4] - CC 19 SLU $X_1=3.64$ - Classe 3
Sollecitazioni: $N=-5789.22$ $T_z=-1317.86$ $M_y=-2875.34$
Tensioni: $\sigma_N=-126.00$ $\sigma_{m,d}=-670.42$ $\tau=0.00$ $\sigma_{max}=-796.42$ (sfrut=0.24)
Tensioni: $\sigma_N=-126.00$ $\sigma_{m,d}=0.00$ $\tau=88.71$ $\tau_{max}=88.71$ (sfrut=0.05)
Tensioni: $\sigma_N=-126.00$ $\sigma_{m,d}=-670.42$ $\tau=0.00$ $\sigma_{ID,max}=796.42$ (sfrut=0.24)

- Verifica di stabilità aste inflesse (4.2.4.1.3.2) CC 17 SLU - Classe 1
 $L_{cr}=5.00$ Curva b: $\alpha_{imp}=0.34$ $k_c=0.94$ $\psi=1.75$ $M_{cr}=13579.60$ $\lambda_{LT}=1.13$
 $\lambda_{LT,0}=0.40$ $\beta_{LT}=0.75$ $\Phi_{LT}=1.10$ $\beta_{LT}=0.75$ $f=0.98$ $\chi_{LT}=0.64$
 $M_y,Ed=-3775.06$ $M_y,b,Rd=10471.50$ $M_y,Ed/M_y,b,Rd=0.36$

- Verifica di stabilità aste presso-inflesse (C4.2.4.1.3.3.2) - CC 19 SLU - Classe 1
Sollecitazioni: $N,Ed=-5789.22$ $M_y,Ed=-3624.13$ $L=5.00$
 $\alpha_{my}, \alpha_{mz}, \alpha_{LT}=0.95, 0.95, 0.95$
 $L_{cr}=5.00$ Curva b: $\alpha_{imp}=0.34$ $k_c=0.94$ $\psi=1.75$ $M_{cr}=13579.60$ $\lambda_{LT}=1.13$
 $\lambda_{LT,0}=0.40$ $\Phi_{LT}=1.10$ $\beta_{LT}=0.75$ $f=0.98$ $\chi_{LT}=0.64$
 $\lambda_y=44.54$ $N_{cr,y}=480014.00$ $\lambda_y^*=0.58$ Curva a: $\Phi_y=0.71$ $\chi_y=0.90$
 $\lambda_z=165.40$ $N_{cr,z}=34809.20$ $\lambda_z^*=2.16$ Curva b: $\Phi_z=3.18$ $\chi_z=0.18$
 $K_{yy}, K_{yz}, K_{zy}, K_{zz}=0.97, 0.73, 0.00, 1.22$
Verifica YY: 0.04+0.33=0.38
Verifica ZZ: 0.21=0.21

- Verifica freccia massima carichi totali - CC 22
 $f_{z,L}=0.57$ (L/877)

Relazione di calcolo

- Verifica freccia massima per soli carichi accidentali - CC 22
 $f_{z,L}=0.26$ (L/1933)

Asta n. 1089 (1039 1029) Sez. 2 IPE270 Crit. 2

- Verifica a flessione YY [4.2.13] - CC 1 SND $X_1=2.50$ - Classe 3
Sollecitazioni: $M_y=-3688.42$
 $M_y,Ed=-3688.42$ $M_y,c,Rd=14500.40$ $M_y,Ed/M_y,c,Rd=0.25$

- Verifica a taglio dir. Z [4.2.16] - CC 17 SLU $X_1=0.00$ - Classe 1
Sollecitazioni: $T_z=5456.35$
 $V,Ed=5456.35$ $V_c,Rd=43217.20$ $V,Ed/V_c,Rd=0.13$

- Verifica a presso o tenso-flessione retta YY (4.2.4.1.2.7) - CC 17 SLU $X_1=2.50$ - Classe 1
Sollecitazioni: $N=5789.22$ $M_y=-6820.44$
 $M_y,Ed=-6820.44$ $M_y,c,Rd=16436.40$
 $N,Ed=5789.22$ $N_c,Rd=155342.00$ YY $n=N,Ed/N_c,Rd=0.04$ $MN_y,c,Rd=16436.40$ $M_y,Ed/MN_y,c,Rd=0.41$

- Verifica di stabilità aste inflesse (4.2.4.1.3.2) CC 17 SLU - Classe 1
 $L_{cr}=5.00$ Curva b: $\alpha_{imp}=0.34$ $k_c=0.94$ $\psi=1.75$ $M_{cr}=13579.60$ $\lambda_{LT}=1.13$
 $\lambda_{LT,0}=0.40$ $\beta_{LT}=0.75$ $\Phi_{LT}=1.10$ $\beta_{LT}=0.75$ $f=0.98$ $\chi_{LT}=0.64$
 $M_y,Ed=-6820.44$ $M_y,b,Rd=10471.50$ $M_y,Ed/M_y,b,Rd=0.65$

- Verifica di stabilità aste presso-inflesse (C4.2.4.1.3.3.2) - CC 19 SLU - Classe 1
Sollecitazioni: $N,Ed=-5789.22$ $M_y,Ed=-6542.82$ $L=5.00$
 α_{my} , α_{mz} , $\alpha_{LT}=0.95$, 0.95 , 0.95
 $L_{cr}=5.00$ Curva b: $\alpha_{imp}=0.34$ $k_c=0.94$ $\psi=1.75$ $M_{cr}=13579.60$ $\lambda_{LT}=1.13$
 $\lambda_{LT,0}=0.40$ $\Phi_{LT}=1.10$ $\beta_{LT}=0.75$ $f=0.98$ $\chi_{LT}=0.64$
 $\lambda_y=44.54$ $N_{cr,y}=480014.00$ $\lambda^*_y=0.58$ Curva a: $\Phi_y=0.71$ $\chi_y=0.90$
 $\lambda_z=165.40$ $N_{cr,z}=34809.20$ $\lambda^*_z=2.16$ Curva b: $\Phi_z=3.18$ $\chi_z=0.18$
 K_{yy} , K_{yz} , K_{zy} , $K_{zz}=0.97$, 0.73 , 0.00 , 1.22
Verifica YY: $0.04+0.60=0.64$
Verifica ZZ: $0.21=0.21$

- Verifica freccia massima carichi totali - CC 22
 $f_{z,L}=1.03$ (L/486)

- Verifica freccia massima per soli carichi accidentali - CC 22
 $f_{z,L}=0.48$ (L/1051)

Asta n. 1089 (1049 1039) Sez. 2 IPE270 Crit. 2

- Verifica a flessione YY [4.2.13] - CC 1 SND $X_1=2.50$ - Classe 3
Sollecitazioni: $M_y=-3688.42$
 $M_y,Ed=-3688.42$ $M_y,c,Rd=14500.40$ $M_y,Ed/M_y,c,Rd=0.25$

- Verifica a taglio dir. Z [4.2.16] - CC 17 SLU $X_1=0.00$ - Classe 1
Sollecitazioni: $T_z=5456.35$
 $V,Ed=5456.35$ $V_c,Rd=43217.20$ $V,Ed/V_c,Rd=0.13$

- Verifica a presso o tenso-flessione retta YY (4.2.4.1.2.7) - CC 17 SLU $X_1=2.50$ - Classe 1
Sollecitazioni: $N=5789.22$ $M_y=-6820.44$
 $M_y,Ed=-6820.44$ $M_y,c,Rd=16436.40$
 $N,Ed=5789.22$ $N_c,Rd=155342.00$ YY $n=N,Ed/N_c,Rd=0.04$ $MN_y,c,Rd=16436.40$ $M_y,Ed/MN_y,c,Rd=0.41$

- Verifica di stabilità aste inflesse (4.2.4.1.3.2) CC 17 SLU - Classe 1
 $L_{cr}=5.00$ Curva b: $\alpha_{imp}=0.34$ $k_c=0.94$ $\psi=1.75$ $M_{cr}=13579.60$ $\lambda_{LT}=1.13$
 $\lambda_{LT,0}=0.40$ $\beta_{LT}=0.75$ $\Phi_{LT}=1.10$ $\beta_{LT}=0.75$ $f=0.98$ $\chi_{LT}=0.64$
 $M_y,Ed=-6820.44$ $M_y,b,Rd=10471.50$ $M_y,Ed/M_y,b,Rd=0.65$

- Verifica di stabilità aste presso-inflesse (C4.2.4.1.3.3.2) - CC 19 SLU - Classe 1
Sollecitazioni: $N,Ed=-5789.22$ $M_y,Ed=-6542.82$ $L=5.00$
 α_{my} , α_{mz} , $\alpha_{LT}=0.95$, 0.95 , 0.95
 $L_{cr}=5.00$ Curva b: $\alpha_{imp}=0.34$ $k_c=0.94$ $\psi=1.75$ $M_{cr}=13579.60$ $\lambda_{LT}=1.13$
 $\lambda_{LT,0}=0.40$ $\Phi_{LT}=1.10$ $\beta_{LT}=0.75$ $f=0.98$ $\chi_{LT}=0.64$
 $\lambda_y=44.54$ $N_{cr,y}=480014.00$ $\lambda^*_y=0.58$ Curva a: $\Phi_y=0.71$ $\chi_y=0.90$
 $\lambda_z=165.40$ $N_{cr,z}=34809.20$ $\lambda^*_z=2.16$ Curva b: $\Phi_z=3.18$ $\chi_z=0.18$
 K_{yy} , K_{yz} , K_{zy} , $K_{zz}=0.97$, 0.73 , 0.00 , 1.22
Verifica YY: $0.04+0.60=0.64$
Verifica ZZ: $0.21=0.21$

- Verifica freccia massima carichi totali - CC 22
 $f_{z,L}=1.03$ (L/486)

- Verifica freccia massima per soli carichi accidentali - CC 22
 $f_{z,L}=0.48$ (L/1051)

Asta n. 1089 (1059 1049) Sez. 2 IPE270 Crit. 2

Relazione di calcolo

-
-
- Verifica a flessione YY [4.2.13] - CC 1 SND $X_l=2.50$ - Classe 3
Sollecitazioni: $M_y=-3688.42$
 $M_y,Ed=-3688.42$ $M_y,c,Rd=14500.40$ $M_y,Ed/M_y,c,Rd=0.25$
 - Verifica a taglio dir. Z [4.2.16] - CC 17 SLU $X_l=0.00$ - Classe 1
Sollecitazioni: $T_z=5456.35$
 $V,Ed=5456.35$ $V_c,Rd=43217.20$ $V,Ed/V_c,Rd=0.13$
 - Verifica a presso o tenso-flessione retta YY (4.2.4.1.2.7) - CC 17 SLU $X_l=2.50$ - Classe 1
Sollecitazioni: $N=5789.22$ $M_y=-6820.44$
 $M_y,Ed=-6820.44$ $M_y,c,Rd=16436.40$
 $N,Ed=5789.22$ $N_c,Rd=155342.00$ $YY\ n=N,Ed/N_c,Rd=0.04$ $MN_y,c,Rd=16436.40$ $M_y,Ed/MN_y,c,Rd=0.41$
 - Verifica di stabilità aste inflesse (4.2.4.1.3.2) CC 17 SLU - Classe 1
 $L_{cr}=5.00$ Curva b: $\alpha_{imp}=0.34$ $k_c=0.94$ $\psi=1.75$ $M_{cr}=13579.60$ $\lambda_{LT}=1.13$
 $\lambda_{LT,0}=0.40$ $\beta_{LT}=0.75$ $\Phi_{LT}=1.10$ $\beta_{LT}=0.75$ $f=0.98$ $\chi_{LT}=0.64$
 $M_y,Ed=-6820.44$ $M_y,b,Rd=10471.50$ $M_y,Ed/M_y,b,Rd=0.65$
 - Verifica di stabilità aste presso-inflesse (C4.2.4.1.3.3.2) - CC 19 SLU - Classe 1
Sollecitazioni: $N,Ed=-5789.22$ $M_y,Ed=-6542.82$ $L=5.00$
 $\alpha_{my}, \alpha_{mz}, \alpha_{LT}=0.95, 0.95, 0.95$
 $L_{cr}=5.00$ Curva b: $\alpha_{imp}=0.34$ $k_c=0.94$ $\psi=1.75$ $M_{cr}=13579.60$ $\lambda_{LT}=1.13$
 $\lambda_{LT,0}=0.40$ $\Phi_{LT}=1.10$ $\beta_{LT}=0.75$ $f=0.98$ $\chi_{LT}=0.64$
 $\lambda_y=44.54$ $N_{cr,y}=480014.00$ $\lambda_y^*=0.58$ Curva a: $\Phi_y=0.71$ $\chi_y=0.90$
 $\lambda_z=165.40$ $N_{cr,z}=34809.20$ $\lambda_z^*=2.16$ Curva b: $\Phi_z=3.18$ $\chi_z=0.18$
 $K_{yy}, K_{yz}, K_{zy}, K_{zz}=0.97, 0.73, 0.00, 1.22$
Verifica YY: $0.04+0.60=0.64$
Verifica ZZ: $0.21=0.21$
 - Verifica freccia massima carichi totali - CC 22
 $f_{z,L}=1.03$ (L/486)
 - Verifica freccia massima per soli carichi accidentali - CC 22
 $f_{z,L}=0.48$ (L/1051)

Asta n. 1089 (1069 1059) Sez. 2 IPE270 Crit. 2

-
-
- Verifica a flessione YY [4.2.13] - CC 1 SND $X_l=2.50$ - Classe 3
Sollecitazioni: $M_y=-2056.79$
 $M_y,Ed=-2056.79$ $M_y,c,Rd=14500.40$ $M_y,Ed/M_y,c,Rd=0.14$
 - Verifica a taglio dir. Z [4.2.16] - CC 17 SLU $X_l=0.00$ - Classe 1
Sollecitazioni: $T_z=3020.05$
 $V,Ed=3020.05$ $V_c,Rd=43217.20$ $V,Ed/V_c,Rd=0.07$
 - Verifica in termini tensionali [4.2.4] - CC 19 SLU $X_l=3.64$ - Classe 3
Sollecitazioni: $N=-5789.22$ $T_z=-1317.86$ $M_y=-2875.34$
Tensioni: $\sigma_N=-126.00$ $\sigma_{m,d}=-670.42$ $\tau=0.00$ $\sigma_{max}=-796.42$ (sfrut=0.24)
Tensioni: $\sigma_N=-126.00$ $\sigma_{m,d}=0.00$ $\tau=88.71$ $\tau_{max}=88.71$ (sfrut=0.05)
Tensioni: $\sigma_N=-126.00$ $\sigma_{m,d}=-670.42$ $\tau=0.00$ $\sigma_{ID,max}=796.42$ (sfrut=0.24)
 - Verifica di stabilità aste inflesse (4.2.4.1.3.2) CC 17 SLU - Classe 1
 $L_{cr}=5.00$ Curva b: $\alpha_{imp}=0.34$ $k_c=0.94$ $\psi=1.75$ $M_{cr}=13579.60$ $\lambda_{LT}=1.13$
 $\lambda_{LT,0}=0.40$ $\beta_{LT}=0.75$ $\Phi_{LT}=1.10$ $\beta_{LT}=0.75$ $f=0.98$ $\chi_{LT}=0.64$
 $M_y,Ed=-3775.06$ $M_y,b,Rd=10471.50$ $M_y,Ed/M_y,b,Rd=0.36$
 - Verifica di stabilità aste presso-inflesse (C4.2.4.1.3.3.2) - CC 19 SLU - Classe 1
Sollecitazioni: $N,Ed=-5789.22$ $M_y,Ed=-3624.13$ $L=5.00$
 $\alpha_{my}, \alpha_{mz}, \alpha_{LT}=0.95, 0.95, 0.95$
 $L_{cr}=5.00$ Curva b: $\alpha_{imp}=0.34$ $k_c=0.94$ $\psi=1.75$ $M_{cr}=13579.60$ $\lambda_{LT}=1.13$
 $\lambda_{LT,0}=0.40$ $\Phi_{LT}=1.10$ $\beta_{LT}=0.75$ $f=0.98$ $\chi_{LT}=0.64$
 $\lambda_y=44.54$ $N_{cr,y}=480014.00$ $\lambda_y^*=0.58$ Curva a: $\Phi_y=0.71$ $\chi_y=0.90$
 $\lambda_z=165.40$ $N_{cr,z}=34809.20$ $\lambda_z^*=2.16$ Curva b: $\Phi_z=3.18$ $\chi_z=0.18$
 $K_{yy}, K_{yz}, K_{zy}, K_{zz}=0.97, 0.73, 0.00, 1.22$
Verifica YY: $0.04+0.33=0.38$
Verifica ZZ: $0.21=0.21$
 - Verifica freccia massima carichi totali - CC 22
 $f_{z,L}=0.57$ (L/877)
 - Verifica freccia massima per soli carichi accidentali - CC 22
 $f_{z,L}=0.26$ (L/1933)

Asta n. 1089 (1079 1069) Sez. 2 IPE270 Crit. 2

-
-
- Verifica a flessione YY [4.2.13] - CC 1 SND $X_l=2.50$ - Classe 3
Sollecitazioni: $M_y=-3688.42$
 $M_y,Ed=-3688.42$ $M_y,c,Rd=14500.40$ $M_y,Ed/M_y,c,Rd=0.25$

Relazione di calcolo

- Verifica a taglio dir. Z [4.2.16] - CC 17 SLU $X_l=0.00$ - Classe 1
Sollecitazioni: $T_z=5456.35$
 $V, Ed=5456.35$ $V_c, Rd=43217.20$ $V, Ed/V_c, Rd=0.13$
- Verifica a presso o tenso-flessione retta YY (4.2.4.1.2.7) - CC 17 SLU $X_l=2.50$ - Classe 1
Sollecitazioni: $N=5789.22$ $M_y=-6820.44$
 $M_y, Ed=-6820.44$ $M_y, c, Rd=16436.40$
 $N, Ed=5789.22$ $N_c, Rd=155342.00$ YY $n=N, Ed/N_c, Rd=0.04$ $MN_y, c, Rd=16436.40$ $M_y, Ed/MN_y, c, Rd=0.41$
- Verifica di stabilità aste inflesse (4.2.4.1.3.2) CC 17 SLU - Classe 1
 $L_{cr}=5.00$ Curva b: $\alpha_{imp}=0.34$ $k_c=0.94$ $\psi=1.75$ $M, cr=13579.60$ $\lambda_{LT}=1.13$
 $\lambda_{LT,0}=0.40$ $\beta_{LT}=0.75$ $\Phi_{LT}=1.10$ $\beta_{LT}=0.75$ $f=0.98$ $\chi_{LT}=0.64$
 $M_y, Ed=-6820.44$ $M_y, b, Rd=10471.50$ $M_y, Ed/M_y, b, Rd=0.65$
- Verifica di stabilità aste presso-inflesse (C4.2.4.1.3.3.2) - CC 19 SLU - Classe 1
Sollecitazioni: $N, Ed=-5789.22$ $M_y, Ed=-6542.82$ $L=5.00$
 $\alpha_m, \alpha_m, \alpha_{LT}=0.95, 0.95, 0.95$
 $L_{cr}=5.00$ Curva b: $\alpha_{imp}=0.34$ $k_c=0.94$ $\psi=1.75$ $M, cr=13579.60$ $\lambda_{LT}=1.13$
 $\lambda_{LT,0}=0.40$ $\Phi_{LT}=1.10$ $\beta_{LT}=0.75$ $f=0.98$ $\chi_{LT}=0.64$
 $\lambda_y=44.54$ $N_{cr,y}=480014.00$ $\lambda_y^*=0.58$ Curva a: $\Phi_y=0.71$ $\chi_y=0.90$
 $\lambda_z=165.40$ $N_{cr,z}=34809.20$ $\lambda_z^*=2.16$ Curva b: $\Phi_z=3.18$ $\chi_z=0.18$
 $K_{yy}, K_{yz}, K_{zy}, K_{zz}=0.97, 0.73, 0.00, 1.22$
Verifica YY: $0.04+0.60=0.64$
Verifica ZZ: $0.21=0.21$
- Verifica freccia massima carichi totali - CC 22
 $f_{z,g}=1.03$ (L/486)
- Verifica freccia massima per soli carichi accidentali - CC 22
 $f_{z,L}=0.48$ (L/1051)

Asta n. 1089 (1089 1079) Sez. 2 IPE270 Crit. 2

- Verifica a flessione YY [4.2.13] - CC 1 SND $X_l=2.50$ - Classe 3
Sollecitazioni: $M_y=-3688.42$
 $M_y, Ed=-3688.42$ $M_y, c, Rd=14500.40$ $M_y, Ed/M_y, c, Rd=0.25$
- Verifica a taglio dir. Z [4.2.16] - CC 17 SLU $X_l=0.00$ - Classe 1
Sollecitazioni: $T_z=5456.35$
 $V, Ed=5456.35$ $V_c, Rd=43217.20$ $V, Ed/V_c, Rd=0.13$
- Verifica a presso o tenso-flessione retta YY (4.2.4.1.2.7) - CC 17 SLU $X_l=2.50$ - Classe 1
Sollecitazioni: $N=5789.22$ $M_y=-6820.44$
 $M_y, Ed=-6820.44$ $M_y, c, Rd=16436.40$
 $N, Ed=5789.22$ $N_c, Rd=155342.00$ YY $n=N, Ed/N_c, Rd=0.04$ $MN_y, c, Rd=16436.40$ $M_y, Ed/MN_y, c, Rd=0.41$
- Verifica di stabilità aste inflesse (4.2.4.1.3.2) CC 17 SLU - Classe 1
 $L_{cr}=5.00$ Curva b: $\alpha_{imp}=0.34$ $k_c=0.94$ $\psi=1.75$ $M, cr=13579.60$ $\lambda_{LT}=1.13$
 $\lambda_{LT,0}=0.40$ $\beta_{LT}=0.75$ $\Phi_{LT}=1.10$ $\beta_{LT}=0.75$ $f=0.98$ $\chi_{LT}=0.64$
 $M_y, Ed=-6820.44$ $M_y, b, Rd=10471.50$ $M_y, Ed/M_y, b, Rd=0.65$
- Verifica di stabilità aste presso-inflesse (C4.2.4.1.3.3.2) - CC 19 SLU - Classe 1
Sollecitazioni: $N, Ed=-5789.22$ $M_y, Ed=-6542.82$ $L=5.00$
 $\alpha_m, \alpha_m, \alpha_{LT}=0.95, 0.95, 0.95$
 $L_{cr}=5.00$ Curva b: $\alpha_{imp}=0.34$ $k_c=0.94$ $\psi=1.75$ $M, cr=13579.60$ $\lambda_{LT}=1.13$
 $\lambda_{LT,0}=0.40$ $\Phi_{LT}=1.10$ $\beta_{LT}=0.75$ $f=0.98$ $\chi_{LT}=0.64$
 $\lambda_y=44.54$ $N_{cr,y}=480014.00$ $\lambda_y^*=0.58$ Curva a: $\Phi_y=0.71$ $\chi_y=0.90$
 $\lambda_z=165.40$ $N_{cr,z}=34809.20$ $\lambda_z^*=2.16$ Curva b: $\Phi_z=3.18$ $\chi_z=0.18$
 $K_{yy}, K_{yz}, K_{zy}, K_{zz}=0.97, 0.73, 0.00, 1.22$
Verifica YY: $0.04+0.60=0.64$
Verifica ZZ: $0.21=0.21$
- Verifica freccia massima carichi totali - CC 22
 $f_{z,L}=1.03$ (L/486)
- Verifica freccia massima per soli carichi accidentali - CC 22
 $f_{z,L}=0.48$ (L/1051)

Asta n. 1089 (1099 1089) Sez. 2 IPE270 Crit. 2

- Verifica a flessione YY [4.2.13] - CC 1 SND $X_l=2.50$ - Classe 3
Sollecitazioni: $M_y=-3688.42$
 $M_y, Ed=-3688.42$ $M_y, c, Rd=14500.40$ $M_y, Ed/M_y, c, Rd=0.25$
- Verifica a taglio dir. Z [4.2.16] - CC 17 SLU $X_l=0.00$ - Classe 1
Sollecitazioni: $T_z=5456.35$
 $V, Ed=5456.35$ $V_c, Rd=43217.20$ $V, Ed/V_c, Rd=0.13$

Relazione di calcolo

- Verifica a presso o tenso-flessione retta YY (4.2.4.1.2.7) - CC 17 SLU Xl=2.50 - Classe 1
Sollecitazioni: N=5789.22 M_y=-6820.44
M_y,Ed=-6820.44 M_y,c,Rd=16436.40
N,Ed=5789.22 N_c,Rd=155342.00 YY n=N,Ed/N_c,Rd=0.04 M_{Ny},c,Rd=16436.40 M_y,Ed/M_{Ny},c,Rd=0.41
 - Verifica di stabilità aste inflesse (4.2.4.1.3.2) CC 17 SLU - Classe 1
L_{cr}=5.00 Curva b: $\alpha_{imp}=0.34$ k_c=0.94 $\psi=1.75$ M_{cr}=13579.60 $\lambda_{LT}=1.13$
 $\lambda_{LT,0}=0.40$ $\beta_{LT}=0.75$ $\Phi_{LT}=1.10$ $\beta_{LT}=0.75$ f=0.98 $\chi_{LT}=0.64$
M_y,Ed=-6820.44 M_y,b,Rd=10471.50 M_y,Ed/M_y,b,Rd=0.65
 - Verifica di stabilità aste presso-inflesse (C4.2.4.1.3.3.2) - CC 19 SLU - Classe 1
Sollecitazioni: N,Ed=-5789.22 M_y,Ed=-6542.82 L=5.00
 α_{my} , α_{mz} , $\alpha_{LT}=0.95$, 0.95, 0.95
L_{cr}=5.00 Curva b: $\alpha_{imp}=0.34$ k_c=0.94 $\psi=1.75$ M_{cr}=13579.60 $\lambda_{LT}=1.13$
 $\lambda_{LT,0}=0.40$ $\Phi_{LT}=1.10$ $\beta_{LT}=0.75$ f=0.98 $\chi_{LT}=0.64$
 $\lambda_y=44.54$ N_{cr,y}=480014.00 $\lambda^*_y=0.58$ Curva a: $\Phi_y=0.71$ $\chi_y=0.90$
 $\lambda_z=165.40$ N_{cr,z}=34809.20 $\lambda^*_z=2.16$ Curva b: $\Phi_z=3.18$ $\chi_z=0.18$
K_{yy}, K_{yz}, K_{zy}, K_{zz}=0.97, 0.73, 0.00, 1.22
Verifica YY: 0.04+0.60=0.64
Verifica ZZ: 0.21=0.21
 - Verifica freccia massima carichi totali - CC 22
f_{z,g}=1.03 (L/486)
 - Verifica freccia massima per soli carichi accidentali - CC 22
f_{z,g}=0.48 (L/1051)
- Asta n. 1089 (1109 1099) Sez. 2 IPE270 Crit. 2

- Verifica a flessione YY [4.2.13] - CC 1 SND Xl=2.50 - Classe 3
Sollecitazioni: M_y=-2056.79
M_y,Ed=-2056.79 M_y,c,Rd=14500.40 M_y,Ed/M_y,c,Rd=0.14
 - Verifica a taglio dir. Z [4.2.16] - CC 17 SLU Xl=0.00 - Classe 1
Sollecitazioni: T_z=3020.05
V,Ed=3020.05 V_c,Rd=43217.20 V,Ed/V_c,Rd=0.07
 - Verifica in termini tensionali [4.2.4] - CC 19 SLU Xl=3.64 - Classe 3
Sollecitazioni: N=-5789.22 T_z=-1317.86 M_y=-2875.34
Tensioni: $\sigma_N=-126.00$ $\sigma_{m,d}=-670.42$ $\tau=0.00$ $\sigma_{max}=-796.42$ (sfrut=0.24)
Tensioni: $\sigma_N=-126.00$ $\sigma_{m,d}=0.00$ $\tau=88.71$ $\tau_{max}=88.71$ (sfrut=0.05)
Tensioni: $\sigma_N=-126.00$ $\sigma_{m,d}=-670.42$ $\tau=0.00$ $\sigma_{ID,max}=796.42$ (sfrut=0.24)
 - Verifica di stabilità aste inflesse (4.2.4.1.3.2) CC 17 SLU - Classe 1
L_{cr}=5.00 Curva b: $\alpha_{imp}=0.34$ k_c=0.94 $\psi=1.75$ M_{cr}=13579.60 $\lambda_{LT}=1.13$
 $\lambda_{LT,0}=0.40$ $\beta_{LT}=0.75$ $\Phi_{LT}=1.10$ $\beta_{LT}=0.75$ f=0.98 $\chi_{LT}=0.64$
M_y,Ed=-3775.06 M_y,b,Rd=10471.50 M_y,Ed/M_y,b,Rd=0.36
 - Verifica di stabilità aste presso-inflesse (C4.2.4.1.3.3.2) - CC 19 SLU - Classe 1
Sollecitazioni: N,Ed=-5789.22 M_y,Ed=-3624.13 L=5.00
 α_{my} , α_{mz} , $\alpha_{LT}=0.95$, 0.95, 0.95
L_{cr}=5.00 Curva b: $\alpha_{imp}=0.34$ k_c=0.94 $\psi=1.75$ M_{cr}=13579.60 $\lambda_{LT}=1.13$
 $\lambda_{LT,0}=0.40$ $\Phi_{LT}=1.10$ $\beta_{LT}=0.75$ f=0.98 $\chi_{LT}=0.64$
 $\lambda_y=44.54$ N_{cr,y}=480014.00 $\lambda^*_y=0.58$ Curva a: $\Phi_y=0.71$ $\chi_y=0.90$
 $\lambda_z=165.40$ N_{cr,z}=34809.20 $\lambda^*_z=2.16$ Curva b: $\Phi_z=3.18$ $\chi_z=0.18$
K_{yy}, K_{yz}, K_{zy}, K_{zz}=0.97, 0.73, 0.00, 1.22
Verifica YY: 0.04+0.33=0.38
Verifica ZZ: 0.21=0.21
 - Verifica freccia massima carichi totali - CC 22
f_{z,L}=0.57 (L/877)
 - Verifica freccia massima per soli carichi accidentali - CC 22
f_{z,L}=0.26 (L/1933)
- Asta n. 1089 (1118 1109) Sez. 2 IPE270 Crit. 2

- Verifica a flessione YY [4.2.13] - CC 1 SND Xl=2.50 - Classe 3
Sollecitazioni: M_y=-3688.42
M_y,Ed=-3688.42 M_y,c,Rd=14500.40 M_y,Ed/M_y,c,Rd=0.25
 - Verifica a taglio dir. Z [4.2.16] - CC 17 SLU Xl=0.00 - Classe 1
Sollecitazioni: T_z=5456.35
V,Ed=5456.35 V_c,Rd=43217.20 V,Ed/V_c,Rd=0.13
 - Verifica a presso o tenso-flessione retta YY (4.2.4.1.2.7) - CC 17 SLU Xl=2.50 - Classe 1
Sollecitazioni: N=5789.22 M_y=-6820.44
M_y,Ed=-6820.44 M_y,c,Rd=16436.40
N,Ed=5789.22 N_c,Rd=155342.00 YY n=N,Ed/N_c,Rd=0.04 M_{Ny},c,Rd=16436.40 M_y,Ed/M_{Ny},c,Rd=0.41

Relazione di calcolo

- Verifica di stabilità aste inflesse (4.2.4.1.3.2) CC 17 SLU - Classe 1
L_{cr}=5.00 Curva b: $\alpha_{imp}=0.34$ $k_c=0.94$ $\psi=1.75$ M_{cr}=13579.60 $\lambda_{LT}=1.13$
 $\lambda_{LT,0}=0.40$ $\beta_{LT}=0.75$ $\Phi_{LT}=1.10$ $\beta_{LT}=0.75$ $f=0.98$ $\chi_{LT}=0.64$
M_{y,Ed}=-6820.44 M_{y,b,Rd}=10471.50 M_{y,Ed}/M_{y,b,Rd}=0.65
- Verifica di stabilità aste presso-inflesse (C4.2.4.1.3.3.2) - CC 19 SLU - Classe 1
Sollecitazioni: N_{Ed}=-5789.22 M_{y,Ed}=-6542.82 L=5.00
 α_{my} , α_{mz} , $\alpha_{LT}=0.95$, 0.95, 0.95
L_{cr}=5.00 Curva b: $\alpha_{imp}=0.34$ $k_c=0.94$ $\psi=1.75$ M_{cr}=13579.60 $\lambda_{LT}=1.13$
 $\lambda_{LT,0}=0.40$ $\Phi_{LT}=1.10$ $\beta_{LT}=0.75$ $f=0.98$ $\chi_{LT}=0.64$
 $\lambda_y=44.54$ N_{cr,y}=480014.00 $\lambda^*_y=0.58$ Curva a: $\Phi_y=0.71$ $\chi_y=0.90$
 $\lambda_z=165.40$ N_{cr,z}=34809.20 $\lambda^*_z=2.16$ Curva b: $\Phi_z=3.18$ $\chi_z=0.18$
K_{yy}, K_{yz}, K_{zy}, K_{zz}=0.97, 0.73, 0.00, 1.22
Verifica YY: 0.04+0.60=0.64
Verifica ZZ: 0.21=0.21
- Verifica freccia massima carichi totali - CC 22
f_{z,L}=1.03 (L/486)
- Verifica freccia massima per soli carichi accidentali - CC 22
f_{z,L}=0.48 (L/1051)
- Asta n. 1089 (1127 1118) Sez. 10 HEA300 Crit. 2

- Verifica a flessione YY [4.2.13] - CC 1 SND Xl=2.50 - Classe 3
Sollecitazioni: M_y=-2220.13
M_{y,Ed}=-2220.13 M_{y,c,Rd}=42586.20 M_{y,Ed}/M_{y,c,Rd}=0.05
- Verifica a taglio dir. Z [4.2.16] - CC 17 SLU Xl=0.00 - Classe 1
Sollecitazioni: T_z=3189.93
V_{Ed}=3189.93 V_{c,Rd}=72775.50 V_{Ed}/V_{c,Rd}=0.04
- Verifica in termini tensionali [4.2.4] - CC 17 SLU Xl=2.50 - Classe 3
Sollecitazioni: N=14179.00 M_y=-3987.41
Tensioni: $\sigma_N=126.00$ $\sigma_{m,d}=316.56$ $\tau=0.00$ $\sigma_{max}=442.56$ (sfrut=0.13)
Tensioni: $\sigma_N=0.00$ $\sigma_{m,d}=0.00$ $\tau=0.00$ $\tau_{max}=0.00$ (sfrut=0.00)
Tensioni: $\sigma_N=126.00$ $\sigma_{m,d}=316.56$ $\tau=0.00$ $\sigma_{TD,max}=442.56$ (sfrut=0.13)
- Verifica di stabilità aste inflesse (4.2.4.1.3.2) CC 17 SLU - Classe 3
L_{cr}=5.00 Curva b: $\alpha_{imp}=0.34$ $k_c=0.94$ $\psi=1.75$ M_{cr}=160612.00 $\lambda_{LT}=0.53$
 $\lambda_{LT,0}=0.40$ $\beta_{LT}=0.75$ $\Phi_{LT}=0.63$ $\beta_{LT}=0.75$ $f=0.97$ $\chi_{LT}=0.97$
M_{y,Ed}=-3987.41 M_{y,b,Rd}=41459.00 M_{y,Ed}/M_{y,b,Rd}=0.10
- Verifica di stabilità aste presso-inflesse (C4.2.4.1.3.3.2) - CC 19 SLU - Classe 3
Sollecitazioni: N_{Ed}=-14179.00 M_{y,Ed}=-3836.47 L=5.00
 α_{my} , α_{mz} , $\alpha_{LT}=0.95$, 0.95, 0.95
L_{cr}=5.00 Curva b: $\alpha_{imp}=0.34$ $k_c=0.94$ $\psi=1.75$ M_{cr}=160612.00 $\lambda_{LT}=0.53$
 $\lambda_{LT,0}=0.40$ $\Phi_{LT}=0.63$ $\beta_{LT}=0.75$ $f=0.97$ $\chi_{LT}=0.97$
 $\lambda_y=39.25$ N_{cr,y}=1514180.00 $\lambda^*_y=0.51$ Curva b: $\Phi_y=0.69$ $\chi_y=0.88$
 $\lambda_z=66.77$ N_{cr,z}=523093.00 $\lambda^*_z=0.87$ Curva c: $\Phi_z=1.05$ $\chi_z=0.62$
K_{yy}, K_{yz}, K_{zy}, K_{zz}=0.96, 0.98, 0.00, 0.98
Verifica YY: 0.04+0.09=0.13
Verifica ZZ: 0.04=0.04
- Verifica freccia massima carichi totali - CC 22
f_{z,L}=0.19 (L/2607)
- Verifica freccia massima per soli carichi accidentali - CC 22
f_{z,L}=0.08 (L/6098)
- Asta n. 1091 (20 1030) Sez. 5 UPN100 Crit. 3

- Verifica a trazione (4.2.4.1.2.1) - CC 5 SLV Xl=0.00 - Classe 1
Sollecitazioni: N=3115.14
Verifica a trazione [4.2.5]
N_{Ed}=3115.14 N_{pl,Rd}=35889.70 N_{u,Rd}=42425.50 N_{Ed}/N_{t,Rd}=0.09
- Verifica freccia massima carichi totali - CC 22
f_{z,g}=0.02 (L/36970)
- Verifica freccia massima per soli carichi accidentali - CC 22
f_{z,g}=0.01 (L/79915)
- Asta n. 1097 (43 1033) Sez. 5 UPN100 Crit. 3

- Verifica a trazione (4.2.4.1.2.1) - CC 13 SLV Xl=0.00 - Classe 1
Sollecitazioni: N=3189.97
Verifica a trazione [4.2.5]

Relazione di calcolo

N,Ed=3189.97 Npl,Rd=35889.70 Nu,Rd=42425.50 N,Ed/Nt,Rd=0.09

- Verifica freccia massima carichi totali - CC 22
fz,g=0.01 (L/39037)

- Verifica freccia massima per soli carichi accidentali - CC 22
fz,g=0.01 (L/87907)

Asta n. 1100 (1002 3) Sez. 5 UPN100 Crit. 3

- Verifica a trazione (4.2.4.1.2.1) - CC 9 SLV Xl=0.00 - Classe 1
Sollecitazioni: N=6575.17
Verifica a trazione [4.2.5]
N,Ed=6575.17 Npl,Rd=35889.70 Nu,Rd=42425.50 N,Ed/Nt,Rd=0.18

- Verifica freccia massima carichi totali - CC 22
fz,g=0.00 (L/138839)

- Verifica freccia massima per soli carichi accidentali - CC 22
fz,g=0.00 (L/238218)

Asta n. 1101 (1007 8) Sez. 5 UPN100 Crit. 3

- Verifica a trazione (4.2.4.1.2.1) - CC 9 SLV Xl=0.00 - Classe 1
Sollecitazioni: N=5910.58
Verifica a trazione [4.2.5]
N,Ed=5910.58 Npl,Rd=35889.70 Nu,Rd=42425.50 N,Ed/Nt,Rd=0.16

- Verifica freccia massima carichi totali - CC 22
fz,g=0.00 (L/221870)

- Verifica freccia massima per soli carichi accidentali - CC 22
fz,g=0.00 (L/238218)

Asta n. 1102 (1023 24) Sez. 5 UPN100 Crit. 3

- Verifica a trazione (4.2.4.1.2.1) - CC 9 SLV Xl=0.00 - Classe 1
Sollecitazioni: N=1969.64
Verifica a trazione [4.2.5]
N,Ed=1969.64 Npl,Rd=35889.70 Nu,Rd=42425.50 N,Ed/Nt,Rd=0.05

- Verifica freccia massima carichi totali - CC 22
fz,g=0.02 (L/25658)

- Verifica freccia massima per soli carichi accidentali - CC 22
fz,g=0.01 (L/50741)

Asta n. 1103 (1027 28) Sez. 5 UPN100 Crit. 3

- Verifica a trazione (4.2.4.1.2.1) - CC 9 SLV Xl=0.00 - Classe 1
Sollecitazioni: N=4707.63
Verifica a trazione [4.2.5]
N,Ed=4707.63 Npl,Rd=35889.70 Nu,Rd=42425.50 N,Ed/Nt,Rd=0.13

- Verifica freccia massima carichi totali - CC 22
fz,g=0.00 (L/215531)

Asta n. 1105 (1047 48) Sez. 5 UPN100 Crit. 3

- Verifica a trazione (4.2.4.1.2.1) - CC 9 SLV Xl=0.00 - Classe 1
Sollecitazioni: N=4281.22
Verifica a trazione [4.2.5]
N,Ed=4281.22 Npl,Rd=35889.70 Nu,Rd=42425.50 N,Ed/Nt,Rd=0.12

- Verifica freccia massima carichi totali - CC 22
fz,g=0.00 (L/235737)

Asta n. 1107 (1067 68) Sez. 5 UPN100 Crit. 3

- Verifica a trazione (4.2.4.1.2.1) - CC 1 SLV Xl=0.00 - Classe 1
Sollecitazioni: N=5381.58
Verifica a trazione [4.2.5]
N,Ed=5381.58 Npl,Rd=35889.70 Nu,Rd=42425.50 N,Ed/Nt,Rd=0.15

- Verifica freccia massima carichi totali - CC 22
fz,g=0.01 (L/97127)

- Verifica freccia massima per soli carichi accidentali - CC 22
fz,g=0.00 (L/182506)

Asta n. 1109 (1088 87) Sez. 5 UPN100 Crit. 3

Relazione di calcolo

- Verifica freccia massima carichi totali - CC 22
 $f_{z,g}=0.03$ (L/16964)

- Verifica freccia massima per soli carichi accidentali - CC 22
 $f_{z,g}=0.01$ (L/36560)

Asta n. 1111 (1107 108) Sez. 5 UPN100 Crit. 3

- Verifica a trazione (4.2.4.1.2.1) - CC 1 SLV $X_l=0.00$ - Classe 1
Sollecitazioni: $N=5767.93$
Verifica a trazione [4.2.5]
 $N,Ed=5767.93$ $N_{pl},Rd=35889.70$ $Nu,Rd=42425.50$ $N,Ed/Nt,Rd=0.16$

- Verifica freccia massima carichi totali - CC 22
 $f_{z,g}=0.00$ (L/419088)

- Verifica freccia massima per soli carichi accidentali - CC 22
 $f_{z,g}=0.00$ (L/310010)

Asta n. 1112 (1120 119) Sez. 5 UPN100 Crit. 3

- Verifica a trazione (4.2.4.1.2.1) - CC 9 SLV $X_l=0.00$ - Classe 1
Sollecitazioni: $N=7313.28$
Verifica a trazione [4.2.5]
 $N,Ed=7313.28$ $N_{pl},Rd=35889.70$ $Nu,Rd=42425.50$ $N,Ed/Nt,Rd=0.20$

- Verifica freccia massima carichi totali - CC 22
 $f_{z,g}=0.01$ (L/51433)

- Verifica freccia massima per soli carichi accidentali - CC 22
 $f_{z,g}=0.00$ (L/128584)

Asta n. 1113 (1126 125) Sez. 5 UPN100 Crit. 3

- Verifica a trazione (4.2.4.1.2.1) - CC 9 SLV $X_l=0.00$ - Classe 1
Sollecitazioni: $N=1916.28$
Verifica a trazione [4.2.5]
 $N,Ed=1916.28$ $N_{pl},Rd=35889.70$ $Nu,Rd=42425.50$ $N,Ed/Nt,Rd=0.05$

- Verifica freccia massima carichi totali - CC 22
 $f_{z,g}=0.02$ (L/23116)

- Verifica freccia massima per soli carichi accidentali - CC 22
 $f_{z,g}=0.01$ (L/55332)

Asta n. 1118 (17 1007) Sez. 5 UPN100 Crit. 3

- Verifica a trazione (4.2.4.1.2.1) - CC 5 SLV $X_l=0.00$ - Classe 1
Sollecitazioni: $N=5200.24$
Verifica a trazione [4.2.5]
 $N,Ed=5200.24$ $N_{pl},Rd=35889.70$ $Nu,Rd=42425.50$ $N,Ed/Nt,Rd=0.14$

- Verifica freccia massima carichi totali - CC 22
 $f_{z,g}=0.01$ (L/48046)

- Verifica freccia massima per soli carichi accidentali - CC 22
 $f_{z,g}=0.00$ (L/115780)

Asta n. 1122 (127 1118) Sez. 5 UPN100 Crit. 3

- Verifica a trazione (4.2.4.1.2.1) - CC 13 SLV $X_l=0.00$ - Classe 1
Sollecitazioni: $N=1394.26$
Verifica a trazione [4.2.5]
 $N,Ed=1394.26$ $N_{pl},Rd=35889.70$ $Nu,Rd=42425.50$ $N,Ed/Nt,Rd=0.04$

- Verifica freccia massima carichi totali - CC 22
 $f_{z,g}=0.01$ (L/41422)

- Verifica freccia massima per soli carichi accidentali - CC 22
 $f_{z,g}=0.01$ (L/84767)

Asta n. 1124 (30 1020) Sez. 5 UPN100 Crit. 3

- Verifica a trazione (4.2.4.1.2.1) - CC 13 SLV $X_l=0.00$ - Classe 1
Sollecitazioni: $N=4378.30$
Verifica a trazione [4.2.5]
 $N,Ed=4378.30$ $N_{pl},Rd=35889.70$ $Nu,Rd=42425.50$ $N,Ed/Nt,Rd=0.12$

- Verifica freccia massima carichi totali - CC 22
 $f_{z,g}=0.01$ (L/76564)

- Verifica freccia massima per soli carichi accidentali - CC 22

Relazione di calcolo

$f_{z,g}=0.00$ (L/185428)

Asta n. 1130 (33 1043) Sez. 5 UPN100 Crit. 3

- Verifica a trazione (4.2.4.1.2.1) - CC 5 SLV $X_l=0.00$ - Classe 1
Sollecitazioni: $N=3154.83$
Verifica a trazione [4.2.5]
 $N,Ed=3154.83$ $N_{pl,Rd}=35889.70$ $Nu,Rd=42425.50$ $N,Ed/Nt,Rd=0.09$
- Verifica freccia massima carichi totali - CC 22
 $f_{z,g}=0.02$ (L/37555)
- Verifica freccia massima per soli carichi accidentali - CC 22
 $f_{z,g}=0.01$ (L/81006)

Asta n. 1133 (1001 -1) Sez. 10 HEA300 Crit. 2

- Verifica a flessione YY [4.2.13] - CC 1 SND $X_l=2.35$ - Classe 3
Sollecitazioni: $T_z=1350.39$ $M_y=-4236.33$
 $My,Ed=-4236.33$ $My,c,Rd=42586.20$ $My,Ed/My,c,Rd=0.10$
- Verifica a taglio dir. Z [4.2.16] - CC 17 SLU $X_l=0.00$ - Classe 1
Sollecitazioni: $T_z=3893.49$
 $V,Ed=3893.49$ $Vc,Rd=72775.50$ $V,Ed/Vc,Rd=0.05$
- Verifica in termini tensionali [4.2.4] - CC 20 SLU $X_l=2.35$ - Classe 3
Sollecitazioni: $N=21268.50$ $T_z=2393.57$ $M_y=-7247.51$
Tensioni: $\sigma_N=189.00$ $\sigma_{m,d}=575.39$ $\tau=0.00$ $\sigma_{max}=764.39$ (sfrut=0.23)
Tensioni: $\sigma_N=189.00$ $\sigma_{m,d}=0.00$ $\tau=114.32$ $\tau_{max}=114.32$ (sfrut=0.06)
Tensioni: $\sigma_N=189.00$ $\sigma_{m,d}=575.39$ $\tau=0.00$ $\sigma_{ID,max}=764.39$ (sfrut=0.23)
- Verifica di stabilità aste inflesse (4.2.4.1.3.2) CC 17 SLU - Classe 3
 $L_{cr}=2.35$ Curva b: $\alpha_{imp}=0.34$ $k_c=0.94$ $\psi=1.75$ $M_{cr}=609252.00$ $\lambda_{LT}=0.27$
 $\lambda_{LT,0}=0.40$ $\beta_{LT}=0.75$ $\Phi_{LT}=0.51$ $\beta_{LT}=0.75$ $f=0.99$ $\chi_{LT}=1.00$
 $My,Ed=-7506.37$ $My,b,Rd=42586.20$ $My,Ed/My,b,Rd=0.18$
- Verifica di stabilità aste presso-inflesse (C4.2.4.1.3.3.2) - CC 19 SLU - Classe 3
Sollecitazioni: $N,Ed=-14179.00$ $My,Ed=-7247.51$ $L=2.35$
 $\alpha_{my}, \alpha_{mz}, \alpha_{LT}=0.95, 0.95, 0.95$
 $L_{cr}=2.35$ Curva b: $\alpha_{imp}=0.34$ $k_c=0.94$ $\psi=1.75$ $M_{cr}=609252.00$ $\lambda_{LT}=0.27$
 $\lambda_{LT,0}=0.40$ $\Phi_{LT}=0.51$ $\beta_{LT}=0.75$ $f=0.99$ $\chi_{LT}=1.00$
 $\lambda_y=18.45$ $N_{cr,y}=6854580.00$ $\lambda'_y=0.24$ Curva b: $\Phi_y=0.54$ $\chi_y=0.99$
 $\lambda_z=31.38$ $N_{cr,z}=2368010.00$ $\lambda'_z=0.41$ Curva c: $\Phi_z=0.64$ $\chi_z=0.89$
 $K_{yy}, K_{yz}, K_{zy}, K_{zz}=0.96, 0.96, 0.00, 0.96$
Verifica YY: $0.04+0.16=0.20$
Verifica ZZ: $0.04=0.04$
- Verifica freccia massima carichi totali - CC 22
 $f_{z,L}=0.06$ (L/3851)
- Verifica freccia massima per soli carichi accidentali - CC 22
 $f_{z,L}=0.02$ (L/10245)

Asta n. 1133 (-1 1002) Sez. 10 HEA300 Crit. 2

- Verifica a flessione YY [4.2.13] - CC 1 SND $X_l=0.00$ - Classe 3
Sollecitazioni: $T_z=-1350.39$ $M_y=-4236.33$
 $My,Ed=-4236.33$ $My,c,Rd=42586.20$ $My,Ed/My,c,Rd=0.10$
- Verifica a taglio dir. Z [4.2.16] - CC 17 SLU $X_l=2.35$ - Classe 1
Sollecitazioni: $T_z=-3893.49$
 $V,Ed=-3893.49$ $Vc,Rd=72775.50$ $V,Ed/Vc,Rd=0.05$
- Verifica in termini tensionali [4.2.4] - CC 20 SLU $X_l=0.00$ - Classe 3
Sollecitazioni: $N=21268.50$ $T_z=-2393.57$ $M_y=-7247.51$
Tensioni: $\sigma_N=189.00$ $\sigma_{m,d}=575.39$ $\tau=0.00$ $\sigma_{max}=764.39$ (sfrut=0.23)
Tensioni: $\sigma_N=189.00$ $\sigma_{m,d}=0.00$ $\tau=114.32$ $\tau_{max}=114.32$ (sfrut=0.06)
Tensioni: $\sigma_N=189.00$ $\sigma_{m,d}=575.39$ $\tau=0.00$ $\sigma_{ID,max}=764.39$ (sfrut=0.23)
- Verifica di stabilità aste inflesse (4.2.4.1.3.2) CC 17 SLU - Classe 3
 $L_{cr}=2.35$ Curva b: $\alpha_{imp}=0.34$ $k_c=0.94$ $\psi=1.75$ $M_{cr}=609252.00$ $\lambda_{LT}=0.27$
 $\lambda_{LT,0}=0.40$ $\beta_{LT}=0.75$ $\Phi_{LT}=0.51$ $\beta_{LT}=0.75$ $f=0.99$ $\chi_{LT}=1.00$
 $My,Ed=-7506.37$ $My,b,Rd=42586.20$ $My,Ed/My,b,Rd=0.18$
- Verifica di stabilità aste presso-inflesse (C4.2.4.1.3.3.2) - CC 19 SLU - Classe 3
Sollecitazioni: $N,Ed=-14179.00$ $My,Ed=-7247.51$ $L=2.35$
 $\alpha_{my}, \alpha_{mz}, \alpha_{LT}=0.95, 0.95, 0.95$
 $L_{cr}=2.35$ Curva b: $\alpha_{imp}=0.34$ $k_c=0.94$ $\psi=1.75$ $M_{cr}=609252.00$ $\lambda_{LT}=0.27$
 $\lambda_{LT,0}=0.40$ $\Phi_{LT}=0.51$ $\beta_{LT}=0.75$ $f=0.99$ $\chi_{LT}=1.00$

Relazione di calcolo

$\lambda_y=18.45$ Ncr,y=6854580.00 $\lambda'_y=0.24$ Curva b: $\Phi_y=0.54$ $\chi_y=0.99$
 $\lambda_z=31.38$ Ncr,z=2368010.00 $\lambda'_z=0.41$ Curva c: $\Phi_z=0.64$ $\chi_z=0.89$
 $K_{yy}, K_{yz}, K_{zy}, K_{zz}=0.96, 0.96, 0.00, 0.96$
 Verifica YY: $0.04+0.16=0.20$
 Verifica ZZ: $0.04=0.04$

- Verifica freccia massima carichi totali - CC 22
 $f_{z,L}=0.06$ (L/3853)

- Verifica freccia massima per soli carichi accidentali - CC 22
 $f_{z,G}=0.02$ (L/10256)

Asta n. 1133 (1002 -2) Sez. 10 HEA300 Crit. 2

- Verifica a flessione YY [4.2.13] - CC 1 SND $X_l=2.35$ - Classe 3
 Sollecitazioni: $T_z=1350.39$ $M_y=-4236.33$
 $M_y,Ed=-4236.33$ $M_y,c,Rd=42586.20$ $M_y,Ed/M_y,c,Rd=0.10$

- Verifica a taglio dir. Z [4.2.16] - CC 17 SLU $X_l=0.00$ - Classe 1
 Sollecitazioni: $T_z=3893.49$
 $V,Ed=3893.49$ $V_c,Rd=72775.50$ $V,Ed/V_c,Rd=0.05$

- Verifica in termini tensionali [4.2.4] - CC 20 SLU $X_l=2.35$ - Classe 3
 Sollecitazioni: $N=21268.50$ $T_z=2393.57$ $M_y=-7247.51$
 Tensioni: $\sigma_N=189.00$ $\sigma_{m,d}=575.39$ $\tau=0.00$ $\sigma_{max}=764.39$ (sfrut=0.23)
 Tensioni: $\sigma_N=189.00$ $\sigma_{m,d}=0.00$ $\tau=114.32$ $\tau_{max}=114.32$ (sfrut=0.06)
 Tensioni: $\sigma_N=189.00$ $\sigma_{m,d}=575.39$ $\tau=0.00$ $\sigma_{ID,max}=764.39$ (sfrut=0.23)

- Verifica di stabilità aste inflesse (4.2.4.1.3.2) CC 17 SLU - Classe 3
 $L_{cr}=2.35$ Curva b: $\alpha_{imp}=0.34$ $k_c=0.94$ $\psi=1.75$ $M_{cr}=609252.00$ $\lambda_{LT}=0.27$
 $\lambda_{LT,0}=0.40$ $\beta_{LT}=0.75$ $\Phi_{LT}=0.51$ $\beta_{LT}=0.75$ $f=0.99$ $\chi_{LT}=1.00$
 $M_y,Ed=-7506.37$ $M_y,b,Rd=42586.20$ $M_y,Ed/M_y,b,Rd=0.18$

- Verifica di stabilità aste presso-inflesse (C4.2.4.1.3.3.2) - CC 19 SLU - Classe 3
 Sollecitazioni: $N,Ed=-14179.00$ $M_y,Ed=-7247.51$ $L=2.35$
 $\alpha_{my}, \alpha_{mz}, \alpha_{LT}=0.95, 0.95, 0.95$
 $L_{cr}=2.35$ Curva b: $\alpha_{imp}=0.34$ $k_c=0.94$ $\psi=1.75$ $M_{cr}=609252.00$ $\lambda_{LT}=0.27$
 $\lambda_{LT,0}=0.40$ $\Phi_{LT}=0.51$ $\beta_{LT}=0.75$ $f=0.99$ $\chi_{LT}=1.00$
 $\lambda_y=18.45$ Ncr,y=6854580.00 $\lambda'_y=0.24$ Curva b: $\Phi_y=0.54$ $\chi_y=0.99$
 $\lambda_z=31.38$ Ncr,z=2368010.00 $\lambda'_z=0.41$ Curva c: $\Phi_z=0.64$ $\chi_z=0.89$
 $K_{yy}, K_{yz}, K_{zy}, K_{zz}=0.96, 0.96, 0.00, 0.96$
 Verifica YY: $0.04+0.16=0.20$
 Verifica ZZ: $0.04=0.04$

- Verifica freccia massima carichi totali - CC 22
 $f_{z,L}=0.06$ (L/3851)

- Verifica freccia massima per soli carichi accidentali - CC 22
 $f_{z,L}=0.02$ (L/10256)

Asta n. 1133 (-2 1003) Sez. 10 HEA300 Crit. 2

- Verifica a flessione YY [4.2.13] - CC 1 SND $X_l=0.00$ - Classe 3
 Sollecitazioni: $T_z=-1350.39$ $M_y=-4236.33$
 $M_y,Ed=-4236.33$ $M_y,c,Rd=42586.20$ $M_y,Ed/M_y,c,Rd=0.10$

- Verifica a taglio dir. Z [4.2.16] - CC 17 SLU $X_l=2.35$ - Classe 1
 Sollecitazioni: $T_z=-3893.49$
 $V,Ed=-3893.49$ $V_c,Rd=72775.50$ $V,Ed/V_c,Rd=0.05$

- Verifica in termini tensionali [4.2.4] - CC 20 SLU $X_l=0.00$ - Classe 3
 Sollecitazioni: $N=21268.50$ $T_z=-2393.57$ $M_y=-7247.51$
 Tensioni: $\sigma_N=189.00$ $\sigma_{m,d}=575.39$ $\tau=0.00$ $\sigma_{max}=764.39$ (sfrut=0.23)
 Tensioni: $\sigma_N=189.00$ $\sigma_{m,d}=0.00$ $\tau=114.32$ $\tau_{max}=114.32$ (sfrut=0.06)
 Tensioni: $\sigma_N=189.00$ $\sigma_{m,d}=575.39$ $\tau=0.00$ $\sigma_{ID,max}=764.39$ (sfrut=0.23)

- Verifica di stabilità aste inflesse (4.2.4.1.3.2) CC 17 SLU - Classe 3
 $L_{cr}=2.35$ Curva b: $\alpha_{imp}=0.34$ $k_c=0.94$ $\psi=1.75$ $M_{cr}=609252.00$ $\lambda_{LT}=0.27$
 $\lambda_{LT,0}=0.40$ $\beta_{LT}=0.75$ $\Phi_{LT}=0.51$ $\beta_{LT}=0.75$ $f=0.99$ $\chi_{LT}=1.00$
 $M_y,Ed=-7506.37$ $M_y,b,Rd=42586.20$ $M_y,Ed/M_y,b,Rd=0.18$

- Verifica di stabilità aste presso-inflesse (C4.2.4.1.3.3.2) - CC 19 SLU - Classe 3
 Sollecitazioni: $N,Ed=-14179.00$ $M_y,Ed=-7247.51$ $L=2.35$
 $\alpha_{my}, \alpha_{mz}, \alpha_{LT}=0.95, 0.95, 0.95$
 $L_{cr}=2.35$ Curva b: $\alpha_{imp}=0.34$ $k_c=0.94$ $\psi=1.75$ $M_{cr}=609252.00$ $\lambda_{LT}=0.27$
 $\lambda_{LT,0}=0.40$ $\Phi_{LT}=0.51$ $\beta_{LT}=0.75$ $f=0.99$ $\chi_{LT}=1.00$
 $\lambda_y=18.45$ Ncr,y=6854580.00 $\lambda'_y=0.24$ Curva b: $\Phi_y=0.54$ $\chi_y=0.99$
 $\lambda_z=31.38$ Ncr,z=2368010.00 $\lambda'_z=0.41$ Curva c: $\Phi_z=0.64$ $\chi_z=0.89$

Relazione di calcolo

Kyy, Kyz, Kzy, Kzz=0.96, 0.96, 0.00, 0.96
Verifica YY: 0.04+0.16=0.20
Verifica ZZ: 0.04=0.04

- Verifica freccia massima carichi totali - CC 22
 $f_{z,L}=0.06$ (L/3851)

- Verifica freccia massima per soli carichi accidentali - CC 22
 $f_{z,L}=0.02$ (L/10256)

Asta n. 1133 (1003 -3) Sez. 10 HEA300 Crit. 2

- Verifica a flessione YY [4.2.13] - CC 1 SND $X_l=2.80$ - Classe 3
Sollecitazioni: $T_z=1600.34$ $M_y=-5989.92$
 $M_y,Ed=-5989.92$ $M_y,c,Rd=42586.20$ $M_y,Ed/M_y,c,Rd=0.14$

- Verifica a taglio dir. Z [4.2.16] - CC 17 SLU $X_l=0.00$ - Classe 1
Sollecitazioni: $T_z=4627.83$
 $V,Ed=4627.83$ $V_c,Rd=72775.50$ $V,Ed/V_c,Rd=0.06$

- Verifica in termini tensionali [4.2.4] - CC 18 SLU $X_l=2.80$ - Classe 3
Sollecitazioni: $N=35447.60$ $T_z=2961.44$ $M_y=-10625.00$
Tensioni: $\sigma_N=315.00$ $\sigma_{m,d}=843.53$ $\tau=0.00$ $\sigma_{max}=1158.53$ (sfrut=0.34)
Tensioni: $\sigma_N=315.00$ $\sigma_{m,d}=0.00$ $\tau=141.44$ $\tau_{max}=141.44$ (sfrut=0.07)
Tensioni: $\sigma_N=315.00$ $\sigma_{m,d}=843.53$ $\tau=0.00$ $\sigma_{TD,max}=1158.53$ (sfrut=0.34)

- Verifica di stabilità aste inflesse (4.2.4.1.3.2) CC 17 SLU - Classe 3
 $L_{cr}=2.80$ Curva b: $\alpha_{imp}=0.34$ $k_c=0.94$ $\psi=1.75$ $M_{cr}=439855.00$ $\lambda_{LT}=0.32$
 $\lambda_{LT,0}=0.40$ $\beta_{LT}=0.75$ $\Phi_{LT}=0.52$ $\beta_{LT}=0.75$ $f=0.98$ $\chi_{LT}=1.00$
 $M_y,Ed=-10625.00$ $M_y,b,Rd=42586.20$ $M_y,Ed/M_y,b,Rd=0.25$

- Verifica di stabilità aste presso-inflesse (C4.2.4.1.3.3.2) - CC 19 SLU - Classe 3
Sollecitazioni: $N,Ed=-14179.00$ $M_y,Ed=-10257.50$ $L=2.80$
 $\alpha_{my}, \alpha_{mz}, \alpha_{LT}=0.95, 0.95, 0.95$
 $L_{cr}=2.80$ Curva b: $\alpha_{imp}=0.34$ $k_c=0.94$ $\psi=1.75$ $M_{cr}=439855.00$ $\lambda_{LT}=0.32$
 $\lambda_{LT,0}=0.40$ $\Phi_{LT}=0.52$ $\beta_{LT}=0.75$ $f=0.98$ $\chi_{LT}=1.00$
 $\lambda_y=21.98$ $N_{cr,y}=4828370.00$ $\lambda'_y=0.29$ Curva b: $\Phi_y=0.56$ $\chi_y=0.97$
 $\lambda_z=37.39$ $N_{cr,z}=1668030.00$ $\lambda'_z=0.49$ Curva c: $\Phi_z=0.69$ $\chi_z=0.85$
Kyy, Kyz, Kzy, Kzz=0.96, 0.96, 0.00, 0.96
Verifica YY: 0.04+0.23=0.27
Verifica ZZ: 0.04=0.04

- Verifica freccia massima carichi totali - CC 22
 $f_{z,L}=0.12$ (L/2380)

- Verifica freccia massima per soli carichi accidentali - CC 22
 $f_{z,L}=0.04$ (L/6331)

Asta n. 1133 (-3 1004) Sez. 10 HEA300 Crit. 2

- Verifica a flessione YY [4.2.13] - CC 1 SND $X_l=0.00$ - Classe 3
Sollecitazioni: $T_z=-1600.34$ $M_y=-5989.92$
 $M_y,Ed=-5989.92$ $M_y,c,Rd=42586.20$ $M_y,Ed/M_y,c,Rd=0.14$

- Verifica a taglio dir. Z [4.2.16] - CC 17 SLU $X_l=2.80$ - Classe 1
Sollecitazioni: $T_z=-4627.83$
 $V,Ed=-4627.83$ $V_c,Rd=72775.50$ $V,Ed/V_c,Rd=0.06$

- Verifica in termini tensionali [4.2.4] - CC 18 SLU $X_l=0.00$ - Classe 3
Sollecitazioni: $N=35447.60$ $T_z=-2961.44$ $M_y=-10625.00$
Tensioni: $\sigma_N=315.00$ $\sigma_{m,d}=843.53$ $\tau=0.00$ $\sigma_{max}=1158.53$ (sfrut=0.34)
Tensioni: $\sigma_N=315.00$ $\sigma_{m,d}=0.00$ $\tau=141.44$ $\tau_{max}=141.44$ (sfrut=0.07)
Tensioni: $\sigma_N=315.00$ $\sigma_{m,d}=843.53$ $\tau=0.00$ $\sigma_{TD,max}=1158.53$ (sfrut=0.34)

- Verifica di stabilità aste inflesse (4.2.4.1.3.2) CC 17 SLU - Classe 3
 $L_{cr}=2.80$ Curva b: $\alpha_{imp}=0.34$ $k_c=0.94$ $\psi=1.75$ $M_{cr}=439855.00$ $\lambda_{LT}=0.32$
 $\lambda_{LT,0}=0.40$ $\beta_{LT}=0.75$ $\Phi_{LT}=0.52$ $\beta_{LT}=0.75$ $f=0.98$ $\chi_{LT}=1.00$
 $M_y,Ed=-10625.00$ $M_y,b,Rd=42586.20$ $M_y,Ed/M_y,b,Rd=0.25$

- Verifica di stabilità aste presso-inflesse (C4.2.4.1.3.3.2) - CC 19 SLU - Classe 3
Sollecitazioni: $N,Ed=-14179.00$ $M_y,Ed=-10257.50$ $L=2.80$
 $\alpha_{my}, \alpha_{mz}, \alpha_{LT}=0.95, 0.95, 0.95$
 $L_{cr}=2.80$ Curva b: $\alpha_{imp}=0.34$ $k_c=0.94$ $\psi=1.75$ $M_{cr}=439855.00$ $\lambda_{LT}=0.32$
 $\lambda_{LT,0}=0.40$ $\Phi_{LT}=0.52$ $\beta_{LT}=0.75$ $f=0.98$ $\chi_{LT}=1.00$
 $\lambda_y=21.98$ $N_{cr,y}=4828370.00$ $\lambda'_y=0.29$ Curva b: $\Phi_y=0.56$ $\chi_y=0.97$
 $\lambda_z=37.39$ $N_{cr,z}=1668030.00$ $\lambda'_z=0.49$ Curva c: $\Phi_z=0.69$ $\chi_z=0.85$
Kyy, Kyz, Kzy, Kzz=0.96, 0.96, 0.00, 0.96
Verifica YY: 0.04+0.23=0.27
Verifica ZZ: 0.04=0.04

Relazione di calcolo

- Verifica freccia massima carichi totali - CC 22
 $f_{z,g}=0.12$ (L/2379)

- Verifica freccia massima per soli carichi accidentali - CC 22
 $f_{z,L}=0.04$ (L/6331)

Asta n. 1134 (1005 -4) Sez. 10 HEA300 Crit. 2

- Verifica a flessione YY [4.2.13] - CC 1 SND $X_l=2.80$ - Classe 3
Sollecitazioni: $T_z=1600.34$ $M_y=-5989.92$
 $M_y,Ed=-5989.92$ $M_y,c,Rd=42586.20$ $M_y,Ed/M_y,c,Rd=0.14$

- Verifica a taglio dir. Z [4.2.16] - CC 17 SLU $X_l=0.00$ - Classe 1
Sollecitazioni: $T_z=4627.83$
 $V,Ed=4627.83$ $V_c,Rd=72775.50$ $V,Ed/V_c,Rd=0.06$

- Verifica in termini tensionali [4.2.4] - CC 18 SLU $X_l=2.80$ - Classe 3
Sollecitazioni: $N=35447.60$ $T_z=2961.44$ $M_y=-10625.00$
Tensioni: $\sigma_N=315.00$ $\sigma_{m,d}=843.53$ $\tau=0.00$ $\sigma_{max}=1158.53$ (sfrut=0.34)
Tensioni: $\sigma_N=315.00$ $\sigma_{m,d}=0.00$ $\tau=141.44$ $\tau_{max}=141.44$ (sfrut=0.07)
Tensioni: $\sigma_N=315.00$ $\sigma_{m,d}=843.53$ $\tau=0.00$ $\sigma_{ID,max}=1158.53$ (sfrut=0.34)

- Verifica di stabilità aste inflesse (4.2.4.1.3.2) CC 17 SLU - Classe 3
 $L_{cr}=2.80$ Curva b: $\alpha_{imp}=0.34$ $k_c=0.94$ $\psi=1.75$ $M_{cr}=439855.00$ $\lambda_{LT}=0.32$
 $\lambda_{LT,0}=0.40$ $\beta_{LT}=0.75$ $\Phi_{LT}=0.52$ $\beta_{LT}=0.75$ $f=0.98$ $\chi_{LT}=1.00$
 $M_y,Ed=-10625.00$ $M_y,b,Rd=42586.20$ $M_y,Ed/M_y,b,Rd=0.25$

- Verifica di stabilità aste presso-inflesse (C4.2.4.1.3.3.2) - CC 19 SLU - Classe 3
Sollecitazioni: $N,Ed=-14179.00$ $M_y,Ed=-10257.50$ $L=2.80$
 α_{my} , α_{mz} , $\alpha_{LT}=0.95$, 0.95 , 0.95
 $L_{cr}=2.80$ Curva b: $\alpha_{imp}=0.34$ $k_c=0.94$ $\psi=1.75$ $M_{cr}=439855.00$ $\lambda_{LT}=0.32$
 $\lambda_{LT,0}=0.40$ $\Phi_{LT}=0.52$ $\beta_{LT}=0.75$ $f=0.98$ $\chi_{LT}=1.00$
 $\lambda_y=21.98$ $N_{cr,y}=4828370.00$ $\lambda^*_y=0.29$ Curva b: $\Phi_y=0.56$ $\chi_y=0.97$
 $\lambda_z=37.39$ $N_{cr,z}=1668030.00$ $\lambda^*_z=0.49$ Curva c: $\Phi_z=0.69$ $\chi_z=0.85$
 K_{yy} , K_{yz} , K_{zy} , $K_{zz}=0.96$, 0.96 , 0.00 , 0.96
Verifica YY: $0.04+0.23=0.27$
Verifica ZZ: $0.04=0.04$

- Verifica freccia massima carichi totali - CC 22
 $f_{z,L}=0.12$ (L/2379)

- Verifica freccia massima per soli carichi accidentali - CC 22
 $f_{z,L}=0.04$ (L/6327)

Asta n. 1134 (-4 1006) Sez. 10 HEA300 Crit. 2

- Verifica a flessione YY [4.2.13] - CC 1 SND $X_l=0.00$ - Classe 3
Sollecitazioni: $T_z=-1600.34$ $M_y=-5989.92$
 $M_y,Ed=-5989.92$ $M_y,c,Rd=42586.20$ $M_y,Ed/M_y,c,Rd=0.14$

- Verifica a taglio dir. Z [4.2.16] - CC 17 SLU $X_l=2.80$ - Classe 1
Sollecitazioni: $T_z=-4627.83$
 $V,Ed=-4627.83$ $V_c,Rd=72775.50$ $V,Ed/V_c,Rd=0.06$

- Verifica in termini tensionali [4.2.4] - CC 18 SLU $X_l=0.00$ - Classe 3
Sollecitazioni: $N=35447.60$ $T_z=-2961.44$ $M_y=-10625.00$
Tensioni: $\sigma_N=315.00$ $\sigma_{m,d}=843.53$ $\tau=0.00$ $\sigma_{max}=1158.53$ (sfrut=0.34)
Tensioni: $\sigma_N=315.00$ $\sigma_{m,d}=0.00$ $\tau=141.44$ $\tau_{max}=141.44$ (sfrut=0.07)
Tensioni: $\sigma_N=315.00$ $\sigma_{m,d}=843.53$ $\tau=0.00$ $\sigma_{ID,max}=1158.53$ (sfrut=0.34)

- Verifica di stabilità aste inflesse (4.2.4.1.3.2) CC 17 SLU - Classe 3
 $L_{cr}=2.80$ Curva b: $\alpha_{imp}=0.34$ $k_c=0.94$ $\psi=1.75$ $M_{cr}=439855.00$ $\lambda_{LT}=0.32$
 $\lambda_{LT,0}=0.40$ $\beta_{LT}=0.75$ $\Phi_{LT}=0.52$ $\beta_{LT}=0.75$ $f=0.98$ $\chi_{LT}=1.00$
 $M_y,Ed=-10625.00$ $M_y,b,Rd=42586.20$ $M_y,Ed/M_y,b,Rd=0.25$

- Verifica di stabilità aste presso-inflesse (C4.2.4.1.3.3.2) - CC 19 SLU - Classe 3
Sollecitazioni: $N,Ed=-14179.00$ $M_y,Ed=-10257.50$ $L=2.80$
 α_{my} , α_{mz} , $\alpha_{LT}=0.95$, 0.95 , 0.95
 $L_{cr}=2.80$ Curva b: $\alpha_{imp}=0.34$ $k_c=0.94$ $\psi=1.75$ $M_{cr}=439855.00$ $\lambda_{LT}=0.32$
 $\lambda_{LT,0}=0.40$ $\Phi_{LT}=0.52$ $\beta_{LT}=0.75$ $f=0.98$ $\chi_{LT}=1.00$
 $\lambda_y=21.98$ $N_{cr,y}=4828370.00$ $\lambda^*_y=0.29$ Curva b: $\Phi_y=0.56$ $\chi_y=0.97$
 $\lambda_z=37.39$ $N_{cr,z}=1668030.00$ $\lambda^*_z=0.49$ Curva c: $\Phi_z=0.69$ $\chi_z=0.85$
 K_{yy} , K_{yz} , K_{zy} , $K_{zz}=0.96$, 0.96 , 0.00 , 0.96
Verifica YY: $0.04+0.23=0.27$
Verifica ZZ: $0.04=0.04$

- Verifica freccia massima carichi totali - CC 22
 $f_{z,L}=0.12$ (L/2379)

Relazione di calcolo

- Verifica freccia massima per soli carichi accidentali - CC 22
 $f_{z,L}=0.04$ (L/6324)

Asta n. 1134 (1006 -5) Sez. 6 IPE300 Crit. 2

- Verifica a flessione YY [4.2.13] - CC 1 SND $X_l=2.35$ - Classe 3
Sollecitazioni: $T_z=2700.78$ $M_y=-6996.96$
 $M_y,Ed=-6996.96$ $M_y,c,Rd=18834.90$ $M_y,Ed/M_y,c,Rd=0.37$

- Verifica a taglio dir. Z [4.2.16] - CC 17 SLU $X_l=0.00$ - Classe 1
Sollecitazioni: $T_z=5966.29$
 $V,Ed=5966.29$ $V_c,Rd=50134.20$ $V,Ed/V_c,Rd=0.12$

- Verifica a presso o tenso-flessione retta YY (4.2.4.1.2.7) - CC 17 SLU $X_l=2.35$ - Classe 1
Sollecitazioni: $N=6780.46$ $T_z=4989.83$ $M_y=-12873.40$
 $M_y,Ed=-12873.40$ $M_y,V,c,Rd=21326.00$
 $N,Ed=6780.46$ $N_c,Rd=181940.00$ $YY\ n=N,Ed/N_c,Rd=0.04$ $MN_y,c,Rd=21326.00$ $M_y,Ed/MN_y,c,Rd=0.60$

- Verifica di stabilità aste inflesse (4.2.4.1.3.2) CC 17 SLU - Classe 1
 $L_{cr}=2.35$ Curva b: $\alpha_{imp}=0.34$ $k_c=0.94$ $\psi=1.75$ $M_{cr}=65500.90$ $\lambda_{LT}=0.58$
 $\lambda_{LT,0}=0.40$ $\beta_{LT}=0.75$ $\Phi_{LT}=0.66$ $\beta_{LT}=0.75$ $f=0.97$ $\chi_{LT}=0.95$
 $M_y,Ed=-12873.40$ $M_y,b,Rd=20255.80$ $M_y,Ed/M_y,b,Rd=0.64$

- Verifica di stabilità aste presso-inflesse (4.2.4.1.3.3.2) - CC 19 SLU - Classe 1
Sollecitazioni: $N,Ed=-6780.46$ $M_y,Ed=-12355.70$ $L=2.35$
 $\alpha_{my}, \alpha_{mz}, \alpha_{LT}=0.95, 0.95, 0.95$
 $L_{cr}=2.35$ Curva b: $\alpha_{imp}=0.34$ $k_c=0.94$ $\psi=1.75$ $M_{cr}=65500.90$ $\lambda_{LT}=0.58$
 $\lambda_{LT,0}=0.40$ $\Phi_{LT}=0.66$ $\beta_{LT}=0.75$ $f=0.97$ $\chi_{LT}=0.95$
 $\lambda_y=18.86$ $N_{cr,y}=3136160.00$ $\lambda^*_y=0.25$ Curva a: $\Phi_y=0.54$ $\chi_y=0.99$
 $\lambda_z=70.16$ $N_{cr,z}=226601.00$ $\lambda^*_z=0.92$ Curva b: $\Phi_z=1.04$ $\chi_z=0.65$
 $K_{yy}, K_{yz}, K_{zy}, K_{zz}=0.95, 0.61, 0.00, 1.02$
Verifica YY: $0.04+0.58=0.62$
Verifica ZZ: $0.04=0.04$

- Verifica freccia massima carichi totali - CC 22
 $f_{z,L}=0.21$ (L/1144)

- Verifica freccia massima per soli carichi accidentali - CC 22
 $f_{z,L}=0.09$ (L/2514)

Asta n. 1134 (-5 1007) Sez. 6 IPE300 Crit. 2

- Verifica a flessione YY [4.2.13] - CC 1 SND $X_l=0.00$ - Classe 3
Sollecitazioni: $T_z=-2700.79$ $M_y=-6996.96$
 $M_y,Ed=-6996.96$ $M_y,c,Rd=18834.90$ $M_y,Ed/M_y,c,Rd=0.37$

- Verifica a taglio dir. Z [4.2.16] - CC 17 SLU $X_l=2.35$ - Classe 1
Sollecitazioni: $T_z=-5966.29$
 $V,Ed=-5966.29$ $V_c,Rd=50134.20$ $V,Ed/V_c,Rd=0.12$

- Verifica a presso o tenso-flessione retta YY (4.2.4.1.2.7) - CC 17 SLU $X_l=0.00$ - Classe 1
Sollecitazioni: $N=6780.46$ $T_z=-4989.83$ $M_y=-12873.40$
 $M_y,Ed=-12873.40$ $M_y,V,c,Rd=21326.00$
 $N,Ed=6780.46$ $N_c,Rd=181940.00$ $YY\ n=N,Ed/N_c,Rd=0.04$ $MN_y,c,Rd=21326.00$ $M_y,Ed/MN_y,c,Rd=0.60$

- Verifica di stabilità aste inflesse (4.2.4.1.3.2) CC 17 SLU - Classe 1
 $L_{cr}=2.35$ Curva b: $\alpha_{imp}=0.34$ $k_c=0.94$ $\psi=1.75$ $M_{cr}=65500.90$ $\lambda_{LT}=0.58$
 $\lambda_{LT,0}=0.40$ $\beta_{LT}=0.75$ $\Phi_{LT}=0.66$ $\beta_{LT}=0.75$ $f=0.97$ $\chi_{LT}=0.95$
 $M_y,Ed=-12873.40$ $M_y,b,Rd=20255.80$ $M_y,Ed/M_y,b,Rd=0.64$

- Verifica di stabilità aste presso-inflesse (4.2.4.1.3.3.2) - CC 19 SLU - Classe 1
Sollecitazioni: $N,Ed=-6780.46$ $M_y,Ed=-12355.70$ $L=2.35$
 $\alpha_{my}, \alpha_{mz}, \alpha_{LT}=0.95, 0.95, 0.95$
 $L_{cr}=2.35$ Curva b: $\alpha_{imp}=0.34$ $k_c=0.94$ $\psi=1.75$ $M_{cr}=65500.90$ $\lambda_{LT}=0.58$
 $\lambda_{LT,0}=0.40$ $\Phi_{LT}=0.66$ $\beta_{LT}=0.75$ $f=0.97$ $\chi_{LT}=0.95$
 $\lambda_y=18.86$ $N_{cr,y}=3136160.00$ $\lambda^*_y=0.25$ Curva a: $\Phi_y=0.54$ $\chi_y=0.99$
 $\lambda_z=70.16$ $N_{cr,z}=226601.00$ $\lambda^*_z=0.92$ Curva b: $\Phi_z=1.04$ $\chi_z=0.65$
 $K_{yy}, K_{yz}, K_{zy}, K_{zz}=0.95, 0.61, 0.00, 1.02$
Verifica YY: $0.04+0.58=0.62$
Verifica ZZ: $0.04=0.04$

- Verifica freccia massima carichi totali - CC 22
 $f_{z,L}=0.21$ (L/1144)

- Verifica freccia massima per soli carichi accidentali - CC 22
 $f_{z,L}=0.09$ (L/2515)

Asta n. 1134 (1007 -6) Sez. 6 IPE300 Crit. 2

Relazione di calcolo

- Verifica a flessione YY [4.2.13] - CC 1 SND $X_l=2.35$ - Classe 3
Sollecitazioni: $T_z=2700.78$ $M_y=-6996.96$
 $M_y,Ed=-6996.96$ $M_y,c,Rd=18834.90$ $M_y,Ed/M_y,c,Rd=0.37$

- Verifica a taglio dir. Z [4.2.16] - CC 17 SLU $X_l=0.00$ - Classe 1
Sollecitazioni: $T_z=5966.29$
 $V,Ed=5966.29$ $V_c,Rd=50134.20$ $V,Ed/V_c,Rd=0.12$

- Verifica a presso o tenso-flessione retta YY (4.2.4.1.2.7) - CC 17 SLU $X_l=2.35$ - Classe 1
Sollecitazioni: $N=6780.46$ $T_z=4989.83$ $M_y=-12873.40$
 $M_y,Ed=-12873.40$ $M_y,V,c,Rd=21326.00$
 $N,Ed=6780.46$ $N_c,Rd=181940.00$ $YY\ n=N,Ed/N_c,Rd=0.04$ $MN_y,c,Rd=21326.00$ $M_y,Ed/MN_y,c,Rd=0.60$

- Verifica di stabilità aste inflesse (4.2.4.1.3.2) CC 17 SLU - Classe 1
 $L_{cr}=2.35$ Curva b: $\alpha_{imp}=0.34$ $k_c=0.94$ $\psi=1.75$ $M_{cr}=65500.90$ $\lambda_{LT}=0.58$
 $\lambda_{LT,0}=0.40$ $\beta_{LT}=0.75$ $\Phi_{LT}=0.66$ $\beta_{LT}=0.75$ $f=0.97$ $\chi_{LT}=0.95$
 $M_y,Ed=-12873.40$ $M_y,b,Rd=20255.80$ $M_y,Ed/M_y,b,Rd=0.64$

- Verifica di stabilità aste presso-inflesse (C4.2.4.1.3.3.2) - CC 19 SLU - Classe 1
Sollecitazioni: $N,Ed=-6780.46$ $M_y,Ed=-12355.70$ $L=2.35$
 $\alpha_{my}, \alpha_{mz}, \alpha_{LT}=0.95, 0.95, 0.95$
 $L_{cr}=2.35$ Curva b: $\alpha_{imp}=0.34$ $k_c=0.94$ $\psi=1.75$ $M_{cr}=65500.90$ $\lambda_{LT}=0.58$
 $\lambda_{LT,0}=0.40$ $\Phi_{LT}=0.66$ $\beta_{LT}=0.75$ $f=0.97$ $\chi_{LT}=0.95$
 $\lambda_y=18.86$ $N_{cr,y}=3136160.00$ $\lambda^*_y=0.25$ Curva a: $\Phi_y=0.54$ $\chi_y=0.99$
 $\lambda_z=70.16$ $N_{cr,z}=226601.00$ $\lambda^*_z=0.92$ Curva b: $\Phi_z=1.04$ $\chi_z=0.65$
 $K_{yy}, K_{yz}, K_{zy}, K_{zz}=0.95, 0.61, 0.00, 1.02$
Verifica YY: $0.04+0.58=0.62$
Verifica ZZ: $0.04=0.04$

- Verifica freccia massima carichi totali - CC 22
 $f_{z,L}=0.21$ (L/1144)

- Verifica freccia massima per soli carichi accidentali - CC 22
 $f_{z,L}=0.09$ (L/2515)

Asta n. 1134 (-6 1008) Sez. 6 IPE300 Crit. 2

- Verifica a flessione YY [4.2.13] - CC 1 SND $X_l=0.00$ - Classe 3
Sollecitazioni: $T_z=-2700.79$ $M_y=-6996.96$
 $M_y,Ed=-6996.96$ $M_y,c,Rd=18834.90$ $M_y,Ed/M_y,c,Rd=0.37$

- Verifica a taglio dir. Z [4.2.16] - CC 17 SLU $X_l=2.35$ - Classe 1
Sollecitazioni: $T_z=-5966.29$
 $V,Ed=-5966.29$ $V_c,Rd=50134.20$ $V,Ed/V_c,Rd=0.12$

- Verifica a presso o tenso-flessione retta YY (4.2.4.1.2.7) - CC 17 SLU $X_l=0.00$ - Classe 1
Sollecitazioni: $N=6780.46$ $T_z=-4989.83$ $M_y=-12873.40$
 $M_y,Ed=-12873.40$ $M_y,V,c,Rd=21326.00$
 $N,Ed=6780.46$ $N_c,Rd=181940.00$ $YY\ n=N,Ed/N_c,Rd=0.04$ $MN_y,c,Rd=21326.00$ $M_y,Ed/MN_y,c,Rd=0.60$

- Verifica di stabilità aste inflesse (4.2.4.1.3.2) CC 17 SLU - Classe 1
 $L_{cr}=2.35$ Curva b: $\alpha_{imp}=0.34$ $k_c=0.94$ $\psi=1.75$ $M_{cr}=65500.90$ $\lambda_{LT}=0.58$
 $\lambda_{LT,0}=0.40$ $\beta_{LT}=0.75$ $\Phi_{LT}=0.66$ $\beta_{LT}=0.75$ $f=0.97$ $\chi_{LT}=0.95$
 $M_y,Ed=-12873.40$ $M_y,b,Rd=20255.80$ $M_y,Ed/M_y,b,Rd=0.64$

- Verifica di stabilità aste presso-inflesse (C4.2.4.1.3.3.2) - CC 19 SLU - Classe 1
Sollecitazioni: $N,Ed=-6780.46$ $M_y,Ed=-12355.70$ $L=2.35$
 $\alpha_{my}, \alpha_{mz}, \alpha_{LT}=0.95, 0.95, 0.95$
 $L_{cr}=2.35$ Curva b: $\alpha_{imp}=0.34$ $k_c=0.94$ $\psi=1.75$ $M_{cr}=65500.90$ $\lambda_{LT}=0.58$
 $\lambda_{LT,0}=0.40$ $\Phi_{LT}=0.66$ $\beta_{LT}=0.75$ $f=0.97$ $\chi_{LT}=0.95$
 $\lambda_y=18.86$ $N_{cr,y}=3136160.00$ $\lambda^*_y=0.25$ Curva a: $\Phi_y=0.54$ $\chi_y=0.99$
 $\lambda_z=70.16$ $N_{cr,z}=226601.00$ $\lambda^*_z=0.92$ Curva b: $\Phi_z=1.04$ $\chi_z=0.65$
 $K_{yy}, K_{yz}, K_{zy}, K_{zz}=0.95, 0.61, 0.00, 1.02$
Verifica YY: $0.04+0.58=0.62$
Verifica ZZ: $0.04=0.04$

- Verifica freccia massima carichi totali - CC 22
 $f_{z,L}=0.21$ (L/1144)

- Verifica freccia massima per soli carichi accidentali - CC 22
 $f_{z,L}=0.09$ (L/2515)

Asta n. 1134 (1008 -7) Sez. 6 IPE300 Crit. 2

- Verifica a flessione YY [4.2.13] - CC 1 SND $X_l=2.80$ - Classe 3
Sollecitazioni: $T_z=3200.69$ $M_y=-9884.87$
 $M_y,Ed=-9884.87$ $M_y,c,Rd=18834.90$ $M_y,Ed/M_y,c,Rd=0.52$

Relazione di calcolo

- Verifica a taglio dir. Z [4.2.16] - CC 17 SLU $X_l=0.00$ - Classe 1
Sollecitazioni: $T_z=7086.33$
 $V, Ed=7086.33$ $V_c, Rd=50134.20$ $V, Ed/V_c, Rd=0.14$
- Verifica a presso o tenso-flessione retta YY (4.2.4.1.2.7) - CC 17 SLU $X_l=2.80$ - Classe 1
Sollecitazioni: $N=6780.46$ $T_z=5922.88$ $M_y=-18212.90$
 $M_y, Ed=-18212.90$ $M_y, V, c, Rd=21326.00$
 $N, Ed=6780.46$ $N_c, Rd=181940.00$ YY $n=N, Ed/N_c, Rd=0.04$ $MN_y, c, Rd=21326.00$ $M_y, Ed/MN_y, c, Rd=0.85$
- Verifica di stabilità aste inflesse (4.2.4.1.3.2) CC 17 SLU - Classe 1
 $L_{cr}=2.80$ Curva b: $\alpha_{imp}=0.34$ $k_c=0.94$ $\psi=1.75$ $M, cr=48365.20$ $\lambda_{LT}=0.68$
 $\lambda_{LT,0}=0.40$ $\beta_{LT}=0.75$ $\Phi_{LT}=0.72$ $\beta_{LT}=0.75$ $f=0.97$ $\chi_{LT}=0.91$
 $M_y, Ed=-18212.90$ $M_y, b, Rd=19315.10$ $M_y, Ed/M_y, b, Rd=0.94$
- Verifica di stabilità aste presso-inflesse (C4.2.4.1.3.3.2) - CC 19 SLU - Classe 1
Sollecitazioni: $N, Ed=-6780.46$ $M_y, Ed=-17477.90$ $L=2.80$
 $\alpha_m, \alpha_z, \alpha_{LT}=0.95, 0.95, 0.95$
 $L_{cr}=2.80$ Curva b: $\alpha_{imp}=0.34$ $k_c=0.94$ $\psi=1.75$ $M, cr=48365.20$ $\lambda_{LT}=0.68$
 $\lambda_{LT,0}=0.40$ $\Phi_{LT}=0.72$ $\beta_{LT}=0.75$ $f=0.97$ $\chi_{LT}=0.91$
 $\lambda_y=22.47$ $N_{cr,y}=2209120.00$ $\lambda^*_y=0.29$ Curva a: $\Phi_y=0.55$ $\chi_y=0.98$
 $\lambda_z=83.59$ $N_{cr,z}=159618.00$ $\lambda^*_z=1.09$ Curva b: $\Phi_z=1.25$ $\chi_z=0.54$
 $K_{yy}, K_{yz}, K_{zy}, K_{zz}=0.95, 0.63, 0.00, 1.04$
Verifica YY: $0.04+0.86=0.90$
Verifica ZZ: $0.07=0.07$
- Verifica freccia massima carichi totali - CC 22
 $f_{z,G}=0.40$ (L/695)
- Verifica freccia massima per soli carichi accidentali - CC 22
 $f_{z,L}=0.18$ (L/1521)
- Asta n. 1134 (-7 1009) Sez. 6 IPE300 Crit. 2

- Verifica a flessione YY [4.2.13] - CC 1 SND $X_l=0.00$ - Classe 3
Sollecitazioni: $T_z=-3200.69$ $M_y=-9884.87$
 $M_y, Ed=-9884.87$ $M_y, c, Rd=18834.90$ $M_y, Ed/M_y, c, Rd=0.52$
- Verifica a taglio dir. Z [4.2.16] - CC 17 SLU $X_l=2.80$ - Classe 1
Sollecitazioni: $T_z=-7086.33$
 $V, Ed=-7086.33$ $V_c, Rd=50134.20$ $V, Ed/V_c, Rd=0.14$
- Verifica a presso o tenso-flessione retta YY (4.2.4.1.2.7) - CC 17 SLU $X_l=0.00$ - Classe 1
Sollecitazioni: $N=6780.46$ $T_z=-5922.88$ $M_y=-18212.90$
 $M_y, Ed=-18212.90$ $M_y, V, c, Rd=21326.00$
 $N, Ed=6780.46$ $N_c, Rd=181940.00$ YY $n=N, Ed/N_c, Rd=0.04$ $MN_y, c, Rd=21326.00$ $M_y, Ed/MN_y, c, Rd=0.85$
- Verifica di stabilità aste inflesse (4.2.4.1.3.2) CC 17 SLU - Classe 1
 $L_{cr}=2.80$ Curva b: $\alpha_{imp}=0.34$ $k_c=0.94$ $\psi=1.75$ $M, cr=48365.20$ $\lambda_{LT}=0.68$
 $\lambda_{LT,0}=0.40$ $\beta_{LT}=0.75$ $\Phi_{LT}=0.72$ $\beta_{LT}=0.75$ $f=0.97$ $\chi_{LT}=0.91$
 $M_y, Ed=-18212.90$ $M_y, b, Rd=19315.10$ $M_y, Ed/M_y, b, Rd=0.94$
- Verifica di stabilità aste presso-inflesse (C4.2.4.1.3.3.2) - CC 19 SLU - Classe 1
Sollecitazioni: $N, Ed=-6780.46$ $M_y, Ed=-17477.90$ $L=2.80$
 $\alpha_m, \alpha_z, \alpha_{LT}=0.95, 0.95, 0.95$
 $L_{cr}=2.80$ Curva b: $\alpha_{imp}=0.34$ $k_c=0.94$ $\psi=1.75$ $M, cr=48365.20$ $\lambda_{LT}=0.68$
 $\lambda_{LT,0}=0.40$ $\Phi_{LT}=0.72$ $\beta_{LT}=0.75$ $f=0.97$ $\chi_{LT}=0.91$
 $\lambda_y=22.47$ $N_{cr,y}=2209120.00$ $\lambda^*_y=0.29$ Curva a: $\Phi_y=0.55$ $\chi_y=0.98$
 $\lambda_z=83.59$ $N_{cr,z}=159618.00$ $\lambda^*_z=1.09$ Curva b: $\Phi_z=1.25$ $\chi_z=0.54$
 $K_{yy}, K_{yz}, K_{zy}, K_{zz}=0.95, 0.63, 0.00, 1.04$
Verifica YY: $0.04+0.86=0.90$
Verifica ZZ: $0.07=0.07$
- Verifica freccia massima carichi totali - CC 22
 $f_{z,L}=0.40$ (L/695)
- Verifica freccia massima per soli carichi accidentali - CC 22
 $f_{z,L}=0.18$ (L/1521)
- Asta n. 1134 (1009 -8) Sez. 10 HEA300 Crit. 2

- Verifica a flessione YY [4.2.13] - CC 1 SND $X_l=2.35$ - Classe 3
Sollecitazioni: $T_z=1350.39$ $M_y=-4236.33$
 $M_y, Ed=-4236.33$ $M_y, c, Rd=42586.20$ $M_y, Ed/M_y, c, Rd=0.10$
- Verifica a taglio dir. Z [4.2.16] - CC 17 SLU $X_l=0.00$ - Classe 1
Sollecitazioni: $T_z=3893.49$
 $V, Ed=3893.49$ $V_c, Rd=72775.50$ $V, Ed/V_c, Rd=0.05$
- Verifica in termini tensionali [4.2.4] - CC 20 SLU $X_l=2.35$ - Classe 3

Relazione di calcolo

Sollecitazioni: $N=21268.50$ $T_z=2393.57$ $M_y=-7247.51$
Tensioni: $\sigma_N=189.00$ $\sigma_{m,d}=575.39$ $\tau=0.00$ $\sigma_{max}=764.39$ (sfrut=0.23)
Tensioni: $\sigma_N=189.00$ $\sigma_{m,d}=0.00$ $\tau=114.32$ $\tau_{max}=114.32$ (sfrut=0.06)
Tensioni: $\sigma_N=189.00$ $\sigma_{m,d}=575.39$ $\tau=0.00$ $\sigma_{ID,max}=764.39$ (sfrut=0.23)

- Verifica di stabilità aste inflesse (4.2.4.1.3.2) CC 17 SLU - Classe 3
 $L_{cr}=2.35$ Curva b: $\alpha_{imp}=0.34$ $k_c=0.94$ $\psi=1.75$ $M_{cr}=609252.00$ $\lambda_{LT}=0.27$
 $\lambda_{LT,0}=0.40$ $\beta_{LT}=0.75$ $\Phi_{LT}=0.51$ $\beta_{LT}=0.75$ $f=0.99$ $\chi_{LT}=1.00$
 $M_{y,Ed}=-7506.37$ $M_{y,b,Rd}=42586.20$ $M_{y,Ed}/M_{y,b,Rd}=0.18$

- Verifica di stabilità aste presso-inflesse (C4.2.4.1.3.3.2) - CC 19 SLU - Classe 3
Sollecitazioni: $N_{Ed}=-14179.00$ $M_{y,Ed}=-7247.51$ $L=2.35$
 α_{my} , α_{mz} , $\alpha_{LT}=0.95$, 0.95 , 0.95
 $L_{cr}=2.35$ Curva b: $\alpha_{imp}=0.34$ $k_c=0.94$ $\psi=1.75$ $M_{cr}=609252.00$ $\lambda_{LT}=0.27$
 $\lambda_{LT,0}=0.40$ $\Phi_{LT}=0.51$ $\beta_{LT}=0.75$ $f=0.99$ $\chi_{LT}=1.00$
 $\lambda_y=18.45$ $N_{cr,y}=6854580.00$ $\lambda'_y=0.24$ Curva b: $\Phi_y=0.54$ $\chi_y=0.99$
 $\lambda_z=31.38$ $N_{cr,z}=2368010.00$ $\lambda'_z=0.41$ Curva c: $\Phi_z=0.64$ $\chi_z=0.89$
 K_{yy} , K_{yz} , K_{zy} , $K_{zz}=0.96$, 0.96 , 0.00 , 0.96
Verifica YY: $0.04+0.16=0.20$
Verifica ZZ: $0.04=0.04$

- Verifica freccia massima carichi totali - CC 22
 $f_{z,L}=0.06$ (L/3853)

- Verifica freccia massima per soli carichi accidentali - CC 22
 $f_{z,L}=0.02$ (L/10256)

Asta n. 1134 (-8 1010) Sez. 10 HEA300 Crit. 2

- Verifica a flessione YY [4.2.13] - CC 1 SND $X_l=0.00$ - Classe 3
Sollecitazioni: $T_z=-1350.39$ $M_y=-4236.33$
 $M_{y,Ed}=-4236.33$ $M_{y,c,Rd}=42586.20$ $M_{y,Ed}/M_{y,c,Rd}=0.10$

- Verifica a taglio dir. Z [4.2.16] - CC 17 SLU $X_l=2.35$ - Classe 1
Sollecitazioni: $T_z=-3893.49$
 $V_{Ed}=-3893.49$ $V_{c,Rd}=72775.50$ $V_{Ed}/V_{c,Rd}=0.05$

- Verifica in termini tensionali [4.2.4] - CC 20 SLU $X_l=0.00$ - Classe 3
Sollecitazioni: $N=21268.50$ $T_z=-2393.57$ $M_y=-7247.51$
Tensioni: $\sigma_N=189.00$ $\sigma_{m,d}=575.39$ $\tau=0.00$ $\sigma_{max}=764.39$ (sfrut=0.23)
Tensioni: $\sigma_N=189.00$ $\sigma_{m,d}=0.00$ $\tau=114.32$ $\tau_{max}=114.32$ (sfrut=0.06)
Tensioni: $\sigma_N=189.00$ $\sigma_{m,d}=575.39$ $\tau=0.00$ $\sigma_{ID,max}=764.39$ (sfrut=0.23)

- Verifica di stabilità aste inflesse (4.2.4.1.3.2) CC 17 SLU - Classe 3
 $L_{cr}=2.35$ Curva b: $\alpha_{imp}=0.34$ $k_c=0.94$ $\psi=1.75$ $M_{cr}=609252.00$ $\lambda_{LT}=0.27$
 $\lambda_{LT,0}=0.40$ $\beta_{LT}=0.75$ $\Phi_{LT}=0.51$ $\beta_{LT}=0.75$ $f=0.99$ $\chi_{LT}=1.00$
 $M_{y,Ed}=-7506.37$ $M_{y,b,Rd}=42586.20$ $M_{y,Ed}/M_{y,b,Rd}=0.18$

- Verifica di stabilità aste presso-inflesse (C4.2.4.1.3.3.2) - CC 19 SLU - Classe 3
Sollecitazioni: $N_{Ed}=-14179.00$ $M_{y,Ed}=-7247.51$ $L=2.35$
 α_{my} , α_{mz} , $\alpha_{LT}=0.95$, 0.95 , 0.95
 $L_{cr}=2.35$ Curva b: $\alpha_{imp}=0.34$ $k_c=0.94$ $\psi=1.75$ $M_{cr}=609252.00$ $\lambda_{LT}=0.27$
 $\lambda_{LT,0}=0.40$ $\Phi_{LT}=0.51$ $\beta_{LT}=0.75$ $f=0.99$ $\chi_{LT}=1.00$
 $\lambda_y=18.45$ $N_{cr,y}=6854580.00$ $\lambda'_y=0.24$ Curva b: $\Phi_y=0.54$ $\chi_y=0.99$
 $\lambda_z=31.38$ $N_{cr,z}=2368010.00$ $\lambda'_z=0.41$ Curva c: $\Phi_z=0.64$ $\chi_z=0.89$
 K_{yy} , K_{yz} , K_{zy} , $K_{zz}=0.96$, 0.96 , 0.00 , 0.96
Verifica YY: $0.04+0.16=0.20$
Verifica ZZ: $0.04=0.04$

- Verifica freccia massima carichi totali - CC 22
 $f_{z,L}=0.06$ (L/3851)

- Verifica freccia massima per soli carichi accidentali - CC 22
 $f_{z,L}=0.02$ (L/10256)

Asta n. 1134 (1010 -9) Sez. 10 HEA300 Crit. 2

- Verifica a flessione YY [4.2.13] - CC 1 SND $X_l=2.35$ - Classe 3
Sollecitazioni: $T_z=1350.39$ $M_y=-4236.33$
 $M_{y,Ed}=-4236.33$ $M_{y,c,Rd}=42586.20$ $M_{y,Ed}/M_{y,c,Rd}=0.10$

- Verifica a taglio dir. Z [4.2.16] - CC 17 SLU $X_l=0.00$ - Classe 1
Sollecitazioni: $T_z=3893.49$
 $V_{Ed}=3893.49$ $V_{c,Rd}=72775.50$ $V_{Ed}/V_{c,Rd}=0.05$

- Verifica in termini tensionali [4.2.4] - CC 20 SLU $X_l=2.35$ - Classe 3
Sollecitazioni: $N=21268.50$ $T_z=2393.57$ $M_y=-7247.51$
Tensioni: $\sigma_N=189.00$ $\sigma_{m,d}=575.39$ $\tau=0.00$ $\sigma_{max}=764.39$ (sfrut=0.23)

Relazione di calcolo

Tensioni: $\sigma_N=189.00$ $\sigma_{m,d}=0.00$ $\tau=114.32$ $\tau_{max}=114.32$ (sfrut=0.06)
Tensioni: $\sigma_N=189.00$ $\sigma_{m,d}=575.39$ $\tau=0.00$ $\sigma_{ID,max}=764.39$ (sfrut=0.23)

- Verifica di stabilità aste inflesse (4.2.4.1.3.2) CC 17 SLU - Classe 3
 $L_{cr}=2.35$ Curva b: $\alpha_{imp}=0.34$ $k_c=0.94$ $\psi=1.75$ $M_{cr}=609252.00$ $\lambda_{LT}=0.27$
 $\lambda_{LT,0}=0.40$ $\beta_{LT}=0.75$ $\Phi_{LT}=0.51$ $\beta_{LT}=0.75$ $f=0.99$ $\chi_{LT}=1.00$
 $M_{y,Ed}=-7506.37$ $M_{y,b,Rd}=42586.20$ $M_{y,Ed/M_{y,b,Rd}}=0.18$

- Verifica di stabilità aste presso-inflesse (C4.2.4.1.3.3.2) - CC 19 SLU - Classe 3
Sollecitazioni: $N_{Ed}=-14179.00$ $M_{y,Ed}=-7247.51$ $L=2.35$
 α_{my} , α_{mz} , $\alpha_{LT}=0.95$, 0.95 , 0.95
 $L_{cr}=2.35$ Curva b: $\alpha_{imp}=0.34$ $k_c=0.94$ $\psi=1.75$ $M_{cr}=609252.00$ $\lambda_{LT}=0.27$
 $\lambda_{LT,0}=0.40$ $\Phi_{LT}=0.51$ $\beta_{LT}=0.75$ $f=0.99$ $\chi_{LT}=1.00$
 $\lambda_y=18.45$ $N_{cr,y}=6854580.00$ $\lambda'_y=0.24$ Curva b: $\Phi_y=0.54$ $\chi_y=0.99$
 $\lambda_z=31.38$ $N_{cr,z}=2368010.00$ $\lambda'_z=0.41$ Curva c: $\Phi_z=0.64$ $\chi_z=0.89$
 K_{yy} , K_{yz} , K_{zy} , $K_{zz}=0.96$, 0.96 , 0.00 , 0.96
Verifica YY: $0.04+0.16=0.20$
Verifica ZZ: $0.04=0.04$

- Verifica freccia massima carichi totali - CC 22
 $f_{z,g}=0.06$ (L/3851)

- Verifica freccia massima per soli carichi accidentali - CC 22
 $f_{z,L}=0.02$ (L/10256)

Asta n. 1134 (-9 1011) Sez. 10 HEA300 Crit. 2

- Verifica a flessione YY [4.2.13] - CC 1 SND $X_l=0.00$ - Classe 3
Sollecitazioni: $T_z=-1350.39$ $M_y=-4236.33$
 $M_{y,Ed}=-4236.33$ $M_{y,c,Rd}=42586.20$ $M_{y,Ed/M_{y,c,Rd}}=0.10$

- Verifica a taglio dir. Z [4.2.16] - CC 17 SLU $X_l=2.35$ - Classe 1
Sollecitazioni: $T_z=-3893.49$
 $V_{Ed}=-3893.49$ $V_{c,Rd}=72775.50$ $V_{Ed/V_{c,Rd}}=0.05$

- Verifica in termini tensionali [4.2.4] - CC 20 SLU $X_l=0.00$ - Classe 3
Sollecitazioni: $N=21268.50$ $T_z=-2393.57$ $M_y=-7247.51$
Tensioni: $\sigma_N=189.00$ $\sigma_{m,d}=575.39$ $\tau=0.00$ $\sigma_{max}=764.39$ (sfrut=0.23)
Tensioni: $\sigma_N=189.00$ $\sigma_{m,d}=0.00$ $\tau=114.32$ $\tau_{max}=114.32$ (sfrut=0.06)
Tensioni: $\sigma_N=189.00$ $\sigma_{m,d}=575.39$ $\tau=0.00$ $\sigma_{ID,max}=764.39$ (sfrut=0.23)

- Verifica di stabilità aste inflesse (4.2.4.1.3.2) CC 17 SLU - Classe 3
 $L_{cr}=2.35$ Curva b: $\alpha_{imp}=0.34$ $k_c=0.94$ $\psi=1.75$ $M_{cr}=609252.00$ $\lambda_{LT}=0.27$
 $\lambda_{LT,0}=0.40$ $\beta_{LT}=0.75$ $\Phi_{LT}=0.51$ $\beta_{LT}=0.75$ $f=0.99$ $\chi_{LT}=1.00$
 $M_{y,Ed}=-7506.37$ $M_{y,b,Rd}=42586.20$ $M_{y,Ed/M_{y,b,Rd}}=0.18$

- Verifica di stabilità aste presso-inflesse (C4.2.4.1.3.3.2) - CC 19 SLU - Classe 3
Sollecitazioni: $N_{Ed}=-14179.00$ $M_{y,Ed}=-7247.51$ $L=2.35$
 α_{my} , α_{mz} , $\alpha_{LT}=0.95$, 0.95 , 0.95
 $L_{cr}=2.35$ Curva b: $\alpha_{imp}=0.34$ $k_c=0.94$ $\psi=1.75$ $M_{cr}=609252.00$ $\lambda_{LT}=0.27$
 $\lambda_{LT,0}=0.40$ $\Phi_{LT}=0.51$ $\beta_{LT}=0.75$ $f=0.99$ $\chi_{LT}=1.00$
 $\lambda_y=18.45$ $N_{cr,y}=6854580.00$ $\lambda'_y=0.24$ Curva b: $\Phi_y=0.54$ $\chi_y=0.99$
 $\lambda_z=31.38$ $N_{cr,z}=2368010.00$ $\lambda'_z=0.41$ Curva c: $\Phi_z=0.64$ $\chi_z=0.89$
 K_{yy} , K_{yz} , K_{zy} , $K_{zz}=0.96$, 0.96 , 0.00 , 0.96
Verifica YY: $0.04+0.16=0.20$
Verifica ZZ: $0.04=0.04$

- Verifica freccia massima carichi totali - CC 22
 $f_{z,L}=0.06$ (L/3851)

- Verifica freccia massima per soli carichi accidentali - CC 22
 $f_{z,L}=0.02$ (L/10256)

Asta n. 1134 (1011 -10) Sez. 10 HEA300 Crit. 2

- Verifica a flessione YY [4.2.13] - CC 1 SND $X_l=2.80$ - Classe 3
Sollecitazioni: $T_z=1600.34$ $M_y=-5989.92$
 $M_{y,Ed}=-5989.92$ $M_{y,c,Rd}=42586.20$ $M_{y,Ed/M_{y,c,Rd}}=0.14$

- Verifica a taglio dir. Z [4.2.16] - CC 17 SLU $X_l=0.00$ - Classe 1
Sollecitazioni: $T_z=4627.83$
 $V_{Ed}=4627.83$ $V_{c,Rd}=72775.50$ $V_{Ed/V_{c,Rd}}=0.06$

- Verifica in termini tensionali [4.2.4] - CC 18 SLU $X_l=2.80$ - Classe 3
Sollecitazioni: $N=35447.60$ $T_z=2961.44$ $M_y=-10625.00$
Tensioni: $\sigma_N=315.00$ $\sigma_{m,d}=843.53$ $\tau=0.00$ $\sigma_{max}=1158.53$ (sfrut=0.34)
Tensioni: $\sigma_N=315.00$ $\sigma_{m,d}=0.00$ $\tau=141.44$ $\tau_{max}=141.44$ (sfrut=0.07)
Tensioni: $\sigma_N=315.00$ $\sigma_{m,d}=843.53$ $\tau=0.00$ $\sigma_{ID,max}=1158.53$ (sfrut=0.34)

- Verifica di stabilità aste inflesse (4.2.4.1.3.2) CC 17 SLU - Classe 3
 $L_{cr}=2.80$ Curva b: $\alpha_{imp}=0.34$ $k_c=0.94$ $\psi=1.75$ $M_{cr}=439855.00$ $\lambda_{LT}=0.32$
 $\lambda_{LT,0}=0.40$ $\beta_{LT}=0.75$ $\Phi_{LT}=0.52$ $\beta_{LT}=0.75$ $f=0.98$ $\chi_{LT}=1.00$
 $M_{y,Ed}=-10625.00$ $M_{y,b,Rd}=42586.20$ $M_{y,Ed}/M_{y,b,Rd}=0.25$
 - Verifica di stabilità aste presso-inflesse (C4.2.4.1.3.3.2) - CC 19 SLU - Classe 3
 Sollecitazioni: $N_{Ed}=-14179.00$ $M_{y,Ed}=-10257.50$ $L=2.80$
 α_{my} , α_{mz} , $\alpha_{LT}=0.95$, 0.95 , 0.95
 $L_{cr}=2.80$ Curva b: $\alpha_{imp}=0.34$ $k_c=0.94$ $\psi=1.75$ $M_{cr}=439855.00$ $\lambda_{LT}=0.32$
 $\lambda_{LT,0}=0.40$ $\Phi_{LT}=0.52$ $\beta_{LT}=0.75$ $f=0.98$ $\chi_{LT}=1.00$
 $\lambda_y=21.98$ $N_{cr,y}=4828370.00$ $\lambda'_y=0.29$ Curva b: $\Phi_y=0.56$ $\chi_y=0.97$
 $\lambda_z=37.39$ $N_{cr,z}=1668030.00$ $\lambda'_z=0.49$ Curva c: $\Phi_z=0.69$ $\chi_z=0.85$
 K_{yy} , K_{yz} , K_{zy} , $K_{zz}=0.96$, 0.96 , 0.00 , 0.96
 Verifica YY: $0.04+0.23=0.27$
 Verifica ZZ: $0.04=0.04$
 - Verifica freccia massima carichi totali - CC 22
 $f_{z,G}=0.12$ (L/2379)
 - Verifica freccia massima per soli carichi accidentali - CC 22
 $f_{z,L}=0.04$ (L/6331)
- Asta n. 1134 (-10 1012) Sez. 10 HEA300 Crit. 2
-
- Verifica a flessione YY [4.2.13] - CC 1 SMD $X_l=0.00$ - Classe 3
 Sollecitazioni: $T_z=-1600.34$ $M_y=-5989.92$
 $M_{y,Ed}=-5989.92$ $M_{y,c,Rd}=42586.20$ $M_{y,Ed}/M_{y,c,Rd}=0.14$
 - Verifica a taglio dir. Z [4.2.16] - CC 17 SLU $X_l=2.80$ - Classe 1
 Sollecitazioni: $T_z=-4627.83$
 $V_{Ed}=-4627.83$ $V_{c,Rd}=72775.50$ $V_{Ed}/V_{c,Rd}=0.06$
 - Verifica in termini tensionali [4.2.4] - CC 18 SLU $X_l=0.00$ - Classe 3
 Sollecitazioni: $N=35447.60$ $T_z=-2961.44$ $M_y=-10625.00$
 Tensioni: $\sigma_N=315.00$ $\sigma_{m,d}=843.53$ $\tau=0.00$ $\sigma_{max}=1158.53$ (sfrut=0.34)
 Tensioni: $\sigma_N=315.00$ $\sigma_{m,d}=0.00$ $\tau=141.44$ $\tau_{max}=141.44$ (sfrut=0.07)
 Tensioni: $\sigma_N=315.00$ $\sigma_{m,d}=843.53$ $\tau=0.00$ $\sigma_{ID,max}=1158.53$ (sfrut=0.34)
 - Verifica di stabilità aste inflesse (4.2.4.1.3.2) CC 17 SLU - Classe 3
 $L_{cr}=2.80$ Curva b: $\alpha_{imp}=0.34$ $k_c=0.94$ $\psi=1.75$ $M_{cr}=439855.00$ $\lambda_{LT}=0.32$
 $\lambda_{LT,0}=0.40$ $\beta_{LT}=0.75$ $\Phi_{LT}=0.52$ $\beta_{LT}=0.75$ $f=0.98$ $\chi_{LT}=1.00$
 $M_{y,Ed}=-10625.00$ $M_{y,b,Rd}=42586.20$ $M_{y,Ed}/M_{y,b,Rd}=0.25$
 - Verifica di stabilità aste presso-inflesse (C4.2.4.1.3.3.2) - CC 19 SLU - Classe 3
 Sollecitazioni: $N_{Ed}=-14179.00$ $M_{y,Ed}=-10257.50$ $L=2.80$
 α_{my} , α_{mz} , $\alpha_{LT}=0.95$, 0.95 , 0.95
 $L_{cr}=2.80$ Curva b: $\alpha_{imp}=0.34$ $k_c=0.94$ $\psi=1.75$ $M_{cr}=439855.00$ $\lambda_{LT}=0.32$
 $\lambda_{LT,0}=0.40$ $\Phi_{LT}=0.52$ $\beta_{LT}=0.75$ $f=0.98$ $\chi_{LT}=1.00$
 $\lambda_y=21.98$ $N_{cr,y}=4828370.00$ $\lambda'_y=0.29$ Curva b: $\Phi_y=0.56$ $\chi_y=0.97$
 $\lambda_z=37.39$ $N_{cr,z}=1668030.00$ $\lambda'_z=0.49$ Curva c: $\Phi_z=0.69$ $\chi_z=0.85$
 K_{yy} , K_{yz} , K_{zy} , $K_{zz}=0.96$, 0.96 , 0.00 , 0.96
 Verifica YY: $0.04+0.23=0.27$
 Verifica ZZ: $0.04=0.04$
 - Verifica freccia massima carichi totali - CC 22
 $f_{z,L}=0.12$ (L/2379)
 - Verifica freccia massima per soli carichi accidentali - CC 22
 $f_{z,L}=0.04$ (L/6331)
- Asta n. 1134 (1012 -11) Sez. 10 HEA300 Crit. 2
-
- Verifica a flessione YY [4.2.13] - CC 1 SMD $X_l=2.35$ - Classe 3
 Sollecitazioni: $T_z=1350.39$ $M_y=-4236.33$
 $M_{y,Ed}=-4236.33$ $M_{y,c,Rd}=42586.20$ $M_{y,Ed}/M_{y,c,Rd}=0.10$
 - Verifica a taglio dir. Z [4.2.16] - CC 17 SLU $X_l=0.00$ - Classe 1
 Sollecitazioni: $T_z=3893.49$
 $V_{Ed}=3893.49$ $V_{c,Rd}=72775.50$ $V_{Ed}/V_{c,Rd}=0.05$
 - Verifica in termini tensionali [4.2.4] - CC 20 SLU $X_l=2.35$ - Classe 3
 Sollecitazioni: $N=21268.50$ $T_z=2393.57$ $M_y=-7247.51$
 Tensioni: $\sigma_N=189.00$ $\sigma_{m,d}=575.39$ $\tau=0.00$ $\sigma_{max}=764.39$ (sfrut=0.23)
 Tensioni: $\sigma_N=189.00$ $\sigma_{m,d}=0.00$ $\tau=114.32$ $\tau_{max}=114.32$ (sfrut=0.06)
 Tensioni: $\sigma_N=189.00$ $\sigma_{m,d}=575.39$ $\tau=0.00$ $\sigma_{ID,max}=764.39$ (sfrut=0.23)
 - Verifica di stabilità aste inflesse (4.2.4.1.3.2) CC 17 SLU - Classe 3

Relazione di calcolo

$L_{cr}=2.35$ Curva b: $\alpha_{imp}=0.34$ $k_c=0.94$ $\psi=1.75$ $M_{cr}=609252.00$ $\lambda_{LT}=0.27$
 $\lambda_{LT,0}=0.40$ $\beta_{LT}=0.75$ $\Phi_{LT}=0.51$ $\beta_{LT}=0.75$ $f=0.99$ $\chi_{LT}=1.00$
 $M_{y,Ed}=-7506.37$ $M_{y,b,Rd}=42586.20$ $M_{y,Ed}/M_{y,b,Rd}=0.18$

- Verifica di stabilità aste presso-inflesse (C4.2.4.1.3.3.2) - CC 19 SLU - Classe 3
Sollecitazioni: $N_{Ed}=-14179.00$ $M_{y,Ed}=-7247.51$ $L=2.35$
 α_{my} , α_{mz} , $\alpha_{LT}=0.95$, 0.95 , 0.95
 $L_{cr}=2.35$ Curva b: $\alpha_{imp}=0.34$ $k_c=0.94$ $\psi=1.75$ $M_{cr}=609252.00$ $\lambda_{LT}=0.27$
 $\lambda_{LT,0}=0.40$ $\Phi_{LT}=0.51$ $\beta_{LT}=0.75$ $f=0.99$ $\chi_{LT}=1.00$
 $\lambda_y=18.45$ $N_{cr,y}=6854580.00$ $\lambda'_y=0.24$ Curva b: $\Phi_y=0.54$ $\chi_y=0.99$
 $\lambda_z=31.38$ $N_{cr,z}=2368010.00$ $\lambda'_z=0.41$ Curva c: $\Phi_z=0.64$ $\chi_z=0.89$
 K_{yy} , K_{yz} , K_{zy} , $K_{zz}=0.96$, 0.96 , 0.00 , 0.96
Verifica YY: $0.04+0.16=0.20$
Verifica ZZ: $0.04=0.04$

- Verifica freccia massima carichi totali - CC 22
 $f_{z,L}=0.06$ (L/3851)

- Verifica freccia massima per soli carichi accidentali - CC 22
 $f_{z,L}=0.02$ (L/10256)

Asta n. 1134 (-11 1013) Sez. 10 HEA300 Crit. 2

- Verifica a flessione YY [4.2.13] - CC 1 SND $X_l=0.00$ - Classe 3
Sollecitazioni: $T_z=-1350.39$ $M_y=-4236.33$
 $M_{y,Ed}=-4236.33$ $M_{y,c,Rd}=42586.20$ $M_{y,Ed}/M_{y,c,Rd}=0.10$

- Verifica a taglio dir. Z [4.2.16] - CC 17 SLU $X_l=2.35$ - Classe 1
Sollecitazioni: $T_z=-3893.49$
 $V_{Ed}=-3893.49$ $V_{c,Rd}=72775.50$ $V_{Ed}/V_{c,Rd}=0.05$

- Verifica in termini tensionali [4.2.4] - CC 20 SLU $X_l=0.00$ - Classe 3
Sollecitazioni: $N=21268.50$ $T_z=-2393.57$ $M_y=-7247.51$
Tensioni: $\sigma_N=189.00$ $\sigma_{m,d}=575.39$ $\tau=0.00$ $\sigma_{max}=764.39$ (sfrut=0.23)
Tensioni: $\sigma_N=189.00$ $\sigma_{m,d}=0.00$ $\tau=114.32$ $\tau_{max}=114.32$ (sfrut=0.06)
Tensioni: $\sigma_N=189.00$ $\sigma_{m,d}=575.39$ $\tau=0.00$ $\sigma_{ID,max}=764.39$ (sfrut=0.23)

- Verifica di stabilità aste inflesse (4.2.4.1.3.2) CC 17 SLU - Classe 3
 $L_{cr}=2.35$ Curva b: $\alpha_{imp}=0.34$ $k_c=0.94$ $\psi=1.75$ $M_{cr}=609252.00$ $\lambda_{LT}=0.27$
 $\lambda_{LT,0}=0.40$ $\beta_{LT}=0.75$ $\Phi_{LT}=0.51$ $\beta_{LT}=0.75$ $f=0.99$ $\chi_{LT}=1.00$
 $M_{y,Ed}=-7506.37$ $M_{y,b,Rd}=42586.20$ $M_{y,Ed}/M_{y,b,Rd}=0.18$

- Verifica di stabilità aste presso-inflesse (C4.2.4.1.3.3.2) - CC 19 SLU - Classe 3
Sollecitazioni: $N_{Ed}=-14179.00$ $M_{y,Ed}=-7247.51$ $L=2.35$
 α_{my} , α_{mz} , $\alpha_{LT}=0.95$, 0.95 , 0.95
 $L_{cr}=2.35$ Curva b: $\alpha_{imp}=0.34$ $k_c=0.94$ $\psi=1.75$ $M_{cr}=609252.00$ $\lambda_{LT}=0.27$
 $\lambda_{LT,0}=0.40$ $\Phi_{LT}=0.51$ $\beta_{LT}=0.75$ $f=0.99$ $\chi_{LT}=1.00$
 $\lambda_y=18.45$ $N_{cr,y}=6854580.00$ $\lambda'_y=0.24$ Curva b: $\Phi_y=0.54$ $\chi_y=0.99$
 $\lambda_z=31.38$ $N_{cr,z}=2368010.00$ $\lambda'_z=0.41$ Curva c: $\Phi_z=0.64$ $\chi_z=0.89$
 K_{yy} , K_{yz} , K_{zy} , $K_{zz}=0.96$, 0.96 , 0.00 , 0.96
Verifica YY: $0.04+0.16=0.20$
Verifica ZZ: $0.04=0.04$

- Verifica freccia massima carichi totali - CC 22
 $f_{z,g}=0.06$ (L/3851)

- Verifica freccia massima per soli carichi accidentali - CC 22
 $f_{z,L}=0.02$ (L/10256)

Asta n. 1134 (1013 -12) Sez. 10 HEA300 Crit. 2

- Verifica a flessione YY [4.2.13] - CC 1 SND $X_l=2.35$ - Classe 3
Sollecitazioni: $T_z=1350.39$ $M_y=-4236.33$
 $M_{y,Ed}=-4236.33$ $M_{y,c,Rd}=42586.20$ $M_{y,Ed}/M_{y,c,Rd}=0.10$

- Verifica a taglio dir. Z [4.2.16] - CC 17 SLU $X_l=0.00$ - Classe 1
Sollecitazioni: $T_z=3893.49$
 $V_{Ed}=3893.49$ $V_{c,Rd}=72775.50$ $V_{Ed}/V_{c,Rd}=0.05$

- Verifica in termini tensionali [4.2.4] - CC 20 SLU $X_l=2.35$ - Classe 3
Sollecitazioni: $N=21268.50$ $T_z=2393.57$ $M_y=-7247.50$
Tensioni: $\sigma_N=189.00$ $\sigma_{m,d}=575.38$ $\tau=0.00$ $\sigma_{max}=764.39$ (sfrut=0.23)
Tensioni: $\sigma_N=189.00$ $\sigma_{m,d}=0.00$ $\tau=114.32$ $\tau_{max}=114.32$ (sfrut=0.06)
Tensioni: $\sigma_N=189.00$ $\sigma_{m,d}=575.38$ $\tau=0.00$ $\sigma_{ID,max}=764.39$ (sfrut=0.23)

- Verifica di stabilità aste inflesse (4.2.4.1.3.2) CC 17 SLU - Classe 3
 $L_{cr}=2.35$ Curva b: $\alpha_{imp}=0.34$ $k_c=0.94$ $\psi=1.75$ $M_{cr}=609253.00$ $\lambda_{LT}=0.27$
 $\lambda_{LT,0}=0.40$ $\beta_{LT}=0.75$ $\Phi_{LT}=0.51$ $\beta_{LT}=0.75$ $f=0.99$ $\chi_{LT}=1.00$

Relazione di calcolo

My,Ed=-7506.37 My,b,Rd=42586.20 My,Ed/My,b,Rd=0.18

- Verifica di stabilità aste presso-inflesse (C4.2.4.1.3.3.2) - CC 19 SLU - Classe 3
Sollecitazioni: N,Ed=-14179.00 My,Ed=-7247.50 L=2.35
 $\alpha_{my}, \alpha_{mz}, \alpha_{LT}=0.95, 0.95, 0.95$
L_{cr}=2.35 Curva b: $\alpha_{imp}=0.34 k_c=0.94 \psi=1.75 M_{cr}=609253.00 \lambda_{LT}=0.27$
 $\lambda_{LT,0}=0.40 \Phi_{LT}=0.51 \beta_{LT}=0.75 f=0.99 \chi_{LT}=1.00$
 $\lambda_y=18.45 N_{cr,y}=6854590.00 \lambda'_y=0.24$ Curva b: $\Phi_y=0.54 \chi_y=0.99$
 $\lambda_z=31.38 N_{cr,z}=2368010.00 \lambda'_z=0.41$ Curva c: $\Phi_z=0.64 \chi_z=0.89$
K_{yy}, K_{yz}, K_{zy}, K_{zz}=0.96, 0.96, 0.00, 0.96
Verifica YY: 0.04+0.16=0.20
Verifica ZZ: 0.04=0.04

- Verifica freccia massima carichi totali - CC 22
f_{z,L}=0.06 (L/3851)

- Verifica freccia massima per soli carichi accidentali - CC 22
f_{z,L}=0.02 (L/10256)

Asta n. 1134 (-12 1014) Sez. 10 HEA300 Crit. 2

- Verifica a flessione YY [4.2.13] - CC 1 SND Xl=0.00 - Classe 3
Sollecitazioni: T_z=-1350.39 M_y=-4236.33
My,Ed=-4236.33 My,c,Rd=42586.20 My,Ed/My,c,Rd=0.10

- Verifica a taglio dir. Z [4.2.16] - CC 17 SLU Xl=2.35 - Classe 1
Sollecitazioni: T_z=-3893.49
V,Ed=-3893.49 V_c,Rd=72775.50 V,Ed/V_c,Rd=0.05

- Verifica in termini tensionali [4.2.4] - CC 20 SLU Xl=0.00 - Classe 3
Sollecitazioni: N=21268.50 T_z=-2393.57 M_y=-7247.51
Tensioni: $\sigma_N=189.00 \sigma_{m,d}=575.39 \tau=0.00 \sigma_{max}=764.39$ (sfrut=0.23)
Tensioni: $\sigma_N=189.00 \sigma_{m,d}=0.00 \tau=114.32 \tau_{max}=114.32$ (sfrut=0.06)
Tensioni: $\sigma_N=189.00 \sigma_{m,d}=575.39 \tau=0.00 \sigma_{ID,max}=764.39$ (sfrut=0.23)

- Verifica di stabilità aste inflesse (4.2.4.1.3.2) CC 17 SLU - Classe 3
L_{cr}=2.35 Curva b: $\alpha_{imp}=0.34 k_c=0.94 \psi=1.75 M_{cr}=609251.00 \lambda_{LT}=0.27$
 $\lambda_{LT,0}=0.40 \beta_{LT}=0.75 \Phi_{LT}=0.51 \beta_{LT}=0.75 f=0.99 \chi_{LT}=1.00$
My,Ed=-7506.37 My,b,Rd=42586.20 My,Ed/My,b,Rd=0.18

- Verifica di stabilità aste presso-inflesse (C4.2.4.1.3.3.2) - CC 19 SLU - Classe 3
Sollecitazioni: N,Ed=-14179.00 My,Ed=-7247.51 L=2.35
 $\alpha_{my}, \alpha_{mz}, \alpha_{LT}=0.95, 0.95, 0.95$
L_{cr}=2.35 Curva b: $\alpha_{imp}=0.34 k_c=0.94 \psi=1.75 M_{cr}=609251.00 \lambda_{LT}=0.27$
 $\lambda_{LT,0}=0.40 \Phi_{LT}=0.51 \beta_{LT}=0.75 f=0.99 \chi_{LT}=1.00$
 $\lambda_y=18.45 N_{cr,y}=6854560.00 \lambda'_y=0.24$ Curva b: $\Phi_y=0.54 \chi_y=0.99$
 $\lambda_z=31.38 N_{cr,z}=2368000.00 \lambda'_z=0.41$ Curva c: $\Phi_z=0.64 \chi_z=0.89$
K_{yy}, K_{yz}, K_{zy}, K_{zz}=0.96, 0.96, 0.00, 0.96
Verifica YY: 0.04+0.16=0.20
Verifica ZZ: 0.04=0.04

- Verifica freccia massima carichi totali - CC 22
f_{z,L}=0.06 (L/3851)

- Verifica freccia massima per soli carichi accidentali - CC 22
f_{z,L}=0.02 (L/10267)

Asta n. 1135 (1024 23) Sez. 5 UPN100 Crit. 3

- Verifica a trazione (4.2.4.1.2.1) - CC 1 SLV Xl=0.00 - Classe 1
Sollecitazioni: N=3911.33
Verifica a trazione [4.2.5]
N,Ed=3911.33 N_{pl},Rd=35889.70 N_u,Rd=42425.50 N,Ed/N_t,Rd=0.11

- Verifica freccia massima carichi totali - CC 22
f_{z,g}=0.01 (L/93903)

Asta n. 1136 (1025 -22) Sez. 6 IPE300 Crit. 2

- Verifica a flessione YY [4.2.13] - CC 1 SND Xl=2.80 - Classe 3
Sollecitazioni: T_z=3200.69 M_y=-9884.87
My,Ed=-9884.87 My,c,Rd=18834.90 My,Ed/My,c,Rd=0.52

- Verifica a taglio dir. Z [4.2.16] - CC 17 SLU Xl=0.00 - Classe 1
Sollecitazioni: T_z=7086.33
V,Ed=7086.33 V_c,Rd=50134.20 V,Ed/V_c,Rd=0.14

- Verifica a presso o tenso-flessione retta YY (4.2.4.1.2.7) - CC 17 SLU Xl=2.80 - Classe 1
Sollecitazioni: N=6780.46 T_z=5922.88 M_y=-18212.90

Relazione di calcolo

My,Ed=-18212.90 My,V,c,Rd=21326.00
N,Ed=6780.46 Nc,Rd=181940.00 YY n=N,Ed/Nc,Rd=0.04 MNY,c,Rd=21326.00 My,Ed/MNY,c,Rd=0.85

- Verifica di stabilità aste inflesse (4.2.4.1.3.2) CC 17 SLU - Classe 1
L_{cr}=2.80 Curva b: $\alpha_{imp}=0.34$ $k_c=0.94$ $\psi=1.75$ M_{cr}=48365.20 $\lambda_{LT}=0.68$
 $\lambda_{LT,0}=0.40$ $\beta_{LT}=0.75$ $\Phi_{LT}=0.72$ $\beta_{LT}=0.75$ $f=0.97$ $\chi_{LT}=0.91$
My,Ed=-18212.90 My,b,Rd=19315.10 My,Ed/My,b,Rd=0.94

- Verifica di stabilità aste presso-inflesse (C4.2.4.1.3.3.2) - CC 19 SLU - Classe 1
Sollecitazioni: N,Ed=-6780.46 My,Ed=-17477.90 L=2.80
 α_{my} , α_{mz} , $\alpha_{LT}=0.95$, 0.95, 0.95
L_{cr}=2.80 Curva b: $\alpha_{imp}=0.34$ $k_c=0.94$ $\psi=1.75$ M_{cr}=48365.20 $\lambda_{LT}=0.68$
 $\lambda_{LT,0}=0.40$ $\Phi_{LT}=0.72$ $\beta_{LT}=0.75$ $f=0.97$ $\chi_{LT}=0.91$
 $\lambda_y=22.47$ N_{cr,y}=2209120.00 $\lambda^*_y=0.29$ Curva a: $\Phi_y=0.55$ $\chi_y=0.98$
 $\lambda_z=83.59$ N_{cr,z}=159618.00 $\lambda^*_z=1.09$ Curva b: $\Phi_z=1.25$ $\chi_z=0.54$
K_{yy}, K_{yz}, K_{zy}, K_{zz}=0.95, 0.63, 0.00, 1.04
Verifica YY: 0.04+0.86=0.90
Verifica ZZ: 0.07=0.07

- Verifica freccia massima carichi totali - CC 22
f_{z,g}=0.40 (L/695)

- Verifica freccia massima per soli carichi accidentali - CC 22
f_{z,L}=0.18 (L/1522)

Asta n. 1136 (-22 1026) Sez. 6 IPE300 Crit. 2

- Verifica a flessione YY [4.2.13] - CC 1 SND Xl=0.00 - Classe 3
Sollecitazioni: T_z=-3200.69 M_y=-9884.87
My,Ed=-9884.87 My,c,Rd=18834.90 My,Ed/My,c,Rd=0.52

- Verifica a taglio dir. Z [4.2.16] - CC 17 SLU Xl=2.80 - Classe 1
Sollecitazioni: T_z=-7086.33
V,Ed=-7086.33 V_c,Rd=50134.20 V,Ed/V_c,Rd=0.14

- Verifica a presso o tenso-flessione retta YY (4.2.4.1.2.7) - CC 17 SLU Xl=0.00 - Classe 1
Sollecitazioni: N=6780.46 T_z=-5922.88 M_y=-18212.90
My,Ed=-18212.90 My,V,c,Rd=21326.00
N,Ed=6780.46 Nc,Rd=181940.00 YY n=N,Ed/Nc,Rd=0.04 MNY,c,Rd=21326.00 My,Ed/MNY,c,Rd=0.85

- Verifica di stabilità aste inflesse (4.2.4.1.3.2) CC 17 SLU - Classe 1
L_{cr}=2.80 Curva b: $\alpha_{imp}=0.34$ $k_c=0.94$ $\psi=1.75$ M_{cr}=48365.20 $\lambda_{LT}=0.68$
 $\lambda_{LT,0}=0.40$ $\beta_{LT}=0.75$ $\Phi_{LT}=0.72$ $\beta_{LT}=0.75$ $f=0.97$ $\chi_{LT}=0.91$
My,Ed=-18212.90 My,b,Rd=19315.10 My,Ed/My,b,Rd=0.94

- Verifica di stabilità aste presso-inflesse (C4.2.4.1.3.3.2) - CC 19 SLU - Classe 1
Sollecitazioni: N,Ed=-6780.46 My,Ed=-17477.90 L=2.80
 α_{my} , α_{mz} , $\alpha_{LT}=0.95$, 0.95, 0.95
L_{cr}=2.80 Curva b: $\alpha_{imp}=0.34$ $k_c=0.94$ $\psi=1.75$ M_{cr}=48365.20 $\lambda_{LT}=0.68$
 $\lambda_{LT,0}=0.40$ $\Phi_{LT}=0.72$ $\beta_{LT}=0.75$ $f=0.97$ $\chi_{LT}=0.91$
 $\lambda_y=22.47$ N_{cr,y}=2209120.00 $\lambda^*_y=0.29$ Curva a: $\Phi_y=0.55$ $\chi_y=0.98$
 $\lambda_z=83.59$ N_{cr,z}=159618.00 $\lambda^*_z=1.09$ Curva b: $\Phi_z=1.25$ $\chi_z=0.54$
K_{yy}, K_{yz}, K_{zy}, K_{zz}=0.95, 0.63, 0.00, 1.04
Verifica YY: 0.04+0.86=0.90
Verifica ZZ: 0.07=0.07

- Verifica freccia massima carichi totali - CC 22
f_{z,L}=0.40 (L/695)

- Verifica freccia massima per soli carichi accidentali - CC 22
f_{z,L}=0.18 (L/1521)

Asta n. 1136 (1026 -23) Sez. 6 IPE300 Crit. 2

- Verifica a flessione YY [4.2.13] - CC 1 SND Xl=2.35 - Classe 3
Sollecitazioni: T_z=2700.78 M_y=-6996.96
My,Ed=-6996.96 My,c,Rd=18834.90 My,Ed/My,c,Rd=0.37

- Verifica a taglio dir. Z [4.2.16] - CC 17 SLU Xl=0.00 - Classe 1
Sollecitazioni: T_z=5966.29
V,Ed=5966.29 V_c,Rd=50134.20 V,Ed/V_c,Rd=0.12

- Verifica a presso o tenso-flessione retta YY (4.2.4.1.2.7) - CC 17 SLU Xl=2.35 - Classe 1
Sollecitazioni: N=6780.46 T_z=4989.83 M_y=-12873.40
My,Ed=-12873.40 My,V,c,Rd=21326.00
N,Ed=6780.46 Nc,Rd=181940.00 YY n=N,Ed/Nc,Rd=0.04 MNY,c,Rd=21326.00 My,Ed/MNY,c,Rd=0.60

- Verifica di stabilità aste inflesse (4.2.4.1.3.2) CC 17 SLU - Classe 1
L_{cr}=2.35 Curva b: $\alpha_{imp}=0.34$ $k_c=0.94$ $\psi=1.75$ M_{cr}=65500.90 $\lambda_{LT}=0.58$

Relazione di calcolo

$\lambda_{LT,0}=0.40$ $\beta_{LT}=0.75$ $\Phi_{LT}=0.66$ $\beta_{LT}=0.75$ $f=0.97$ $\chi_{LT}=0.95$
 $My,Ed=-12873.40$ $My,b,Rd=20255.80$ $My,Ed/My,b,Rd=0.64$

- Verifica di stabilità aste presso-inflesse (C4.2.4.1.3.3.2) - CC 19 SLU - Classe 1
Sollecitazioni: $N,Ed=-6780.46$ $My,Ed=-12355.70$ $L=2.35$
 $\alpha_{my}, \alpha_{mz}, \alpha_{LT}=0.95, 0.95, 0.95$
 $L_{cr}=2.35$ Curva b: $\alpha_{imp}=0.34$ $k_c=0.94$ $\psi=1.75$ $M,cr=65500.90$ $\lambda_{LT}=0.58$
 $\lambda_{LT,0}=0.40$ $\Phi_{LT}=0.66$ $\beta_{LT}=0.75$ $f=0.97$ $\chi_{LT}=0.95$
 $\lambda_y=18.86$ $N_{cr,y}=3136160.00$ $\lambda^*_y=0.25$ Curva a: $\Phi_y=0.54$ $\chi_y=0.99$
 $\lambda_z=70.16$ $N_{cr,z}=226601.00$ $\lambda^*_z=0.92$ Curva b: $\Phi_z=1.04$ $\chi_z=0.65$
 $K_{yy}, K_{yz}, K_{zy}, K_{zz}=0.95, 0.61, 0.00, 1.02$
Verifica YY: $0.04+0.58=0.62$
Verifica ZZ: $0.04=0.04$

- Verifica freccia massima carichi totali - CC 22
 $f_{z,L}=0.21$ (L/1144)

- Verifica freccia massima per soli carichi accidentali - CC 22
 $f_{z,Q}=0.09$ (L/2514)

Asta n. 1136 (-23 1027) Sez. 6 IPE300 Crit. 2

- Verifica a flessione YY [4.2.13] - CC 1 SND $Xl=0.00$ - Classe 3
Sollecitazioni: $T_z=-2700.79$ $M_y=-6996.96$
 $My,Ed=-6996.96$ $My,c,Rd=18834.90$ $My,Ed/My,c,Rd=0.37$

- Verifica a taglio dir. Z [4.2.16] - CC 17 SLU $Xl=2.35$ - Classe 1
Sollecitazioni: $T_z=-5966.29$
 $V,Ed=-5966.29$ $V_c,Rd=50134.20$ $V,Ed/V_c,Rd=0.12$

- Verifica a presso o tenso-flessione retta YY (4.2.4.1.2.7) - CC 17 SLU $Xl=0.00$ - Classe 1
Sollecitazioni: $N=6780.46$ $T_z=-4989.83$ $M_y=-12873.40$
 $My,Ed=-12873.40$ $My,V,c,Rd=21326.00$
 $N,Ed=6780.46$ $N_c,Rd=181940.00$ YY $n=N,Ed/N_c,Rd=0.04$ $MN_y,c,Rd=21326.00$ $My,Ed/MN_y,c,Rd=0.60$

- Verifica di stabilità aste inflesse (4.2.4.1.3.2) CC 17 SLU - Classe 1
 $L_{cr}=2.35$ Curva b: $\alpha_{imp}=0.34$ $k_c=0.94$ $\psi=1.75$ $M,cr=65500.90$ $\lambda_{LT}=0.58$
 $\lambda_{LT,0}=0.40$ $\beta_{LT}=0.75$ $\Phi_{LT}=0.66$ $\beta_{LT}=0.75$ $f=0.97$ $\chi_{LT}=0.95$
 $My,Ed=-12873.40$ $My,b,Rd=20255.80$ $My,Ed/My,b,Rd=0.64$

- Verifica di stabilità aste presso-inflesse (C4.2.4.1.3.3.2) - CC 19 SLU - Classe 1
Sollecitazioni: $N,Ed=-6780.46$ $My,Ed=-12355.70$ $L=2.35$
 $\alpha_{my}, \alpha_{mz}, \alpha_{LT}=0.95, 0.95, 0.95$
 $L_{cr}=2.35$ Curva b: $\alpha_{imp}=0.34$ $k_c=0.94$ $\psi=1.75$ $M,cr=65500.90$ $\lambda_{LT}=0.58$
 $\lambda_{LT,0}=0.40$ $\Phi_{LT}=0.66$ $\beta_{LT}=0.75$ $f=0.97$ $\chi_{LT}=0.95$
 $\lambda_y=18.86$ $N_{cr,y}=3136160.00$ $\lambda^*_y=0.25$ Curva a: $\Phi_y=0.54$ $\chi_y=0.99$
 $\lambda_z=70.16$ $N_{cr,z}=226601.00$ $\lambda^*_z=0.92$ Curva b: $\Phi_z=1.04$ $\chi_z=0.65$
 $K_{yy}, K_{yz}, K_{zy}, K_{zz}=0.95, 0.61, 0.00, 1.02$
Verifica YY: $0.04+0.58=0.62$
Verifica ZZ: $0.04=0.04$

- Verifica freccia massima carichi totali - CC 22
 $f_{z,L}=0.21$ (L/1144)

- Verifica freccia massima per soli carichi accidentali - CC 22
 $f_{z,L}=0.09$ (L/2514)

Asta n. 1136 (1027 -24) Sez. 6 IPE300 Crit. 2

- Verifica a flessione YY [4.2.13] - CC 1 SND $Xl=2.35$ - Classe 3
Sollecitazioni: $T_z=2700.78$ $M_y=-6996.96$
 $My,Ed=-6996.96$ $My,c,Rd=18834.90$ $My,Ed/My,c,Rd=0.37$

- Verifica a taglio dir. Z [4.2.16] - CC 17 SLU $Xl=0.00$ - Classe 1
Sollecitazioni: $T_z=5966.29$
 $V,Ed=5966.29$ $V_c,Rd=50134.20$ $V,Ed/V_c,Rd=0.12$

- Verifica a presso o tenso-flessione retta YY (4.2.4.1.2.7) - CC 17 SLU $Xl=2.35$ - Classe 1
Sollecitazioni: $N=6780.46$ $T_z=4989.83$ $M_y=-12873.40$
 $My,Ed=-12873.40$ $My,V,c,Rd=21326.00$
 $N,Ed=6780.46$ $N_c,Rd=181940.00$ YY $n=N,Ed/N_c,Rd=0.04$ $MN_y,c,Rd=21326.00$ $My,Ed/MN_y,c,Rd=0.60$

- Verifica di stabilità aste inflesse (4.2.4.1.3.2) CC 17 SLU - Classe 1
 $L_{cr}=2.35$ Curva b: $\alpha_{imp}=0.34$ $k_c=0.94$ $\psi=1.75$ $M,cr=65500.90$ $\lambda_{LT}=0.58$
 $\lambda_{LT,0}=0.40$ $\beta_{LT}=0.75$ $\Phi_{LT}=0.66$ $\beta_{LT}=0.75$ $f=0.97$ $\chi_{LT}=0.95$
 $My,Ed=-12873.40$ $My,b,Rd=20255.80$ $My,Ed/My,b,Rd=0.64$

- Verifica di stabilità aste presso-inflesse (C4.2.4.1.3.3.2) - CC 19 SLU - Classe 1
Sollecitazioni: $N,Ed=-6780.46$ $My,Ed=-12355.70$ $L=2.35$

Relazione di calcolo

$\alpha_{my}, \alpha_{mz}, \alpha_{LT}=0.95, 0.95, 0.95$
 $L_{cr}=2.35$ Curva b: $\alpha_{imp}=0.34$ $k_c=0.94$ $\psi=1.75$ $M_{cr}=65500.90$ $\lambda_{LT}=0.58$
 $\lambda_{LT,0}=0.40$ $\Phi_{LT}=0.66$ $\beta_{LT}=0.75$ $f=0.97$ $\chi_{LT}=0.95$
 $\lambda_y=18.86$ $N_{cr,y}=3136160.00$ $\lambda^*_y=0.25$ Curva a: $\Phi_y=0.54$ $\chi_y=0.99$
 $\lambda_z=70.16$ $N_{cr,z}=226601.00$ $\lambda^*_z=0.92$ Curva b: $\Phi_z=1.04$ $\chi_z=0.65$
 $K_{yy}, K_{yz}, K_{zy}, K_{zz}=0.95, 0.61, 0.00, 1.02$
Verifica YY: $0.04+0.58=0.62$
Verifica ZZ: $0.04=0.04$

- Verifica freccia massima carichi totali - CC 22
 $f_{z,g}=0.21$ (L/1144)

- Verifica freccia massima per soli carichi accidentali - CC 22
 $f_{z,L}=0.09$ (L/2514)

Asta n. 1136 (-24 1028) Sez. 6 IPE300 Crit. 2

- Verifica a flessione YY [4.2.13] - CC 1 SND $X_l=0.00$ - Classe 3
Sollecitazioni: $T_z=-2700.79$ $M_y=-6996.96$
 $M_y, Ed=-6996.96$ $M_y, c, Rd=18834.90$ $M_y, Ed/M_y, c, Rd=0.37$

- Verifica a taglio dir. Z [4.2.16] - CC 17 SLU $X_l=2.35$ - Classe 1
Sollecitazioni: $T_z=-5966.29$
 $V, Ed=-5966.29$ $V_c, Rd=50134.20$ $V, Ed/V_c, Rd=0.12$

- Verifica a presso o tenso-flessione retta YY (4.2.4.1.2.7) - CC 17 SLU $X_l=0.00$ - Classe 1
Sollecitazioni: $N=6780.46$ $T_z=-4989.83$ $M_y=-12873.40$
 $M_y, Ed=-12873.40$ $M_y, V, c, Rd=21326.00$
 $N, Ed=6780.46$ $N_c, Rd=181940.00$ YY $n=N, Ed/N_c, Rd=0.04$ $MN_y, c, Rd=21326.00$ $M_y, Ed/MN_y, c, Rd=0.60$

- Verifica di stabilità aste inflesse (4.2.4.1.3.2) CC 17 SLU - Classe 1
 $L_{cr}=2.35$ Curva b: $\alpha_{imp}=0.34$ $k_c=0.94$ $\psi=1.75$ $M_{cr}=65500.90$ $\lambda_{LT}=0.58$
 $\lambda_{LT,0}=0.40$ $\beta_{LT}=0.75$ $\Phi_{LT}=0.66$ $\beta_{LT}=0.75$ $f=0.97$ $\chi_{LT}=0.95$
 $M_y, Ed=-12873.40$ $M_y, b, Rd=20255.80$ $M_y, Ed/M_y, b, Rd=0.64$

- Verifica di stabilità aste presso-inflesse (C4.2.4.1.3.3.2) - CC 19 SLU - Classe 1
Sollecitazioni: $N, Ed=-6780.46$ $M_y, Ed=-12355.70$ $L=2.35$
 $\alpha_{my}, \alpha_{mz}, \alpha_{LT}=0.95, 0.95, 0.95$
 $L_{cr}=2.35$ Curva b: $\alpha_{imp}=0.34$ $k_c=0.94$ $\psi=1.75$ $M_{cr}=65500.90$ $\lambda_{LT}=0.58$
 $\lambda_{LT,0}=0.40$ $\Phi_{LT}=0.66$ $\beta_{LT}=0.75$ $f=0.97$ $\chi_{LT}=0.95$
 $\lambda_y=18.86$ $N_{cr,y}=3136160.00$ $\lambda^*_y=0.25$ Curva a: $\Phi_y=0.54$ $\chi_y=0.99$
 $\lambda_z=70.16$ $N_{cr,z}=226601.00$ $\lambda^*_z=0.92$ Curva b: $\Phi_z=1.04$ $\chi_z=0.65$
 $K_{yy}, K_{yz}, K_{zy}, K_{zz}=0.95, 0.61, 0.00, 1.02$
Verifica YY: $0.04+0.58=0.62$
Verifica ZZ: $0.04=0.04$

- Verifica freccia massima carichi totali - CC 22
 $f_{z,L}=0.21$ (L/1144)

- Verifica freccia massima per soli carichi accidentali - CC 22
 $f_{z,L}=0.09$ (L/2513)

Asta n. 1136 (1028 -25) Sez. 6 IPE300 Crit. 2

- Verifica a flessione YY [4.2.13] - CC 1 SND $X_l=2.80$ - Classe 3
Sollecitazioni: $T_z=3200.69$ $M_y=-9884.87$
 $M_y, Ed=-9884.87$ $M_y, c, Rd=18834.90$ $M_y, Ed/M_y, c, Rd=0.52$

- Verifica a taglio dir. Z [4.2.16] - CC 17 SLU $X_l=0.00$ - Classe 1
Sollecitazioni: $T_z=7086.33$
 $V, Ed=7086.33$ $V_c, Rd=50134.20$ $V, Ed/V_c, Rd=0.14$

- Verifica a presso o tenso-flessione retta YY (4.2.4.1.2.7) - CC 17 SLU $X_l=2.80$ - Classe 1
Sollecitazioni: $N=6780.46$ $T_z=5922.88$ $M_y=-18212.90$
 $M_y, Ed=-18212.90$ $M_y, V, c, Rd=21326.00$
 $N, Ed=6780.46$ $N_c, Rd=181940.00$ YY $n=N, Ed/N_c, Rd=0.04$ $MN_y, c, Rd=21326.00$ $M_y, Ed/MN_y, c, Rd=0.85$

- Verifica di stabilità aste inflesse (4.2.4.1.3.2) CC 17 SLU - Classe 1
 $L_{cr}=2.80$ Curva b: $\alpha_{imp}=0.34$ $k_c=0.94$ $\psi=1.75$ $M_{cr}=48365.20$ $\lambda_{LT}=0.68$
 $\lambda_{LT,0}=0.40$ $\beta_{LT}=0.75$ $\Phi_{LT}=0.72$ $\beta_{LT}=0.75$ $f=0.97$ $\chi_{LT}=0.91$
 $M_y, Ed=-18212.90$ $M_y, b, Rd=19315.10$ $M_y, Ed/M_y, b, Rd=0.94$

- Verifica di stabilità aste presso-inflesse (C4.2.4.1.3.3.2) - CC 19 SLU - Classe 1
Sollecitazioni: $N, Ed=-6780.46$ $M_y, Ed=-17477.90$ $L=2.80$
 $\alpha_{my}, \alpha_{mz}, \alpha_{LT}=0.95, 0.95, 0.95$
 $L_{cr}=2.80$ Curva b: $\alpha_{imp}=0.34$ $k_c=0.94$ $\psi=1.75$ $M_{cr}=48365.20$ $\lambda_{LT}=0.68$
 $\lambda_{LT,0}=0.40$ $\Phi_{LT}=0.72$ $\beta_{LT}=0.75$ $f=0.97$ $\chi_{LT}=0.91$
 $\lambda_y=22.47$ $N_{cr,y}=2209120.00$ $\lambda^*_y=0.29$ Curva a: $\Phi_y=0.55$ $\chi_y=0.98$
 $\lambda_z=83.59$ $N_{cr,z}=159618.00$ $\lambda^*_z=1.09$ Curva b: $\Phi_z=1.25$ $\chi_z=0.54$

Relazione di calcolo

Kyy, Kyz, Kzy, Kzz=0.95, 0.63, 0.00, 1.04
Verifica YY: 0.04+0.86=0.90
Verifica ZZ: 0.07=0.07

- Verifica freccia massima carichi totali - CC 22
f_{z,g}=0.40 (L/695)

- Verifica freccia massima per soli carichi accidentali - CC 22
f_{z,L}=0.18 (L/1521)

Asta n. 1136 (-25 1029) Sez. 6 IPE300 Crit. 2

- Verifica a flessione YY [4.2.13] - CC 1 SND Xl=0.00 - Classe 3
Sollecitazioni: T_z=-3200.69 M_y=-9884.87
My,Ed=-9884.87 My,c,Rd=18834.90 My,Ed/My,c,Rd=0.52

- Verifica a taglio dir. Z [4.2.16] - CC 17 SLU Xl=2.80 - Classe 1
Sollecitazioni: T_z=-7086.33
V,Ed=-7086.33 Vc,Rd=50134.20 V,Ed/Vc,Rd=0.14

- Verifica a presso o tenso-flessione retta YY (4.2.4.1.2.7) - CC 17 SLU Xl=0.00 - Classe 1
Sollecitazioni: N=6780.46 T_z=-5922.88 M_y=-18212.90
My,Ed=-18212.90 My,V,c,Rd=21326.00
N,Ed=6780.46 Nc,Rd=181940.00 YY n=N,Ed/Nc,Rd=0.04 MNy,c,Rd=21326.00 My,Ed/MNy,c,Rd=0.85

- Verifica di stabilità aste inflesse (4.2.4.1.3.2) CC 17 SLU - Classe 1
L_{cr}=2.80 Curva b: α_{imp}=0.34 k_c=0.94 ψ=1.75 M_{cr}=48365.20 λ_{LT}=0.68
λ_{LT,0}=0.40 β_{LT}=0.75 Φ_{LT}=0.72 β_{LT}=0.75 f=0.97 χ_{LT}=0.91
My,Ed=-18212.90 My,b,Rd=19315.10 My,Ed/My,b,Rd=0.94

- Verifica di stabilità aste presso-inflesse (C4.2.4.1.3.3.2) - CC 19 SLU - Classe 1
Sollecitazioni: N,Ed=-6780.46 My,Ed=-17477.90 L=2.80
α_{my}, α_{mz}, α_{LT}=0.95, 0.95, 0.95
L_{cr}=2.80 Curva b: α_{imp}=0.34 k_c=0.94 ψ=1.75 M_{cr}=48365.20 λ_{LT}=0.68
λ_{LT,0}=0.40 Φ_{LT}=0.72 β_{LT}=0.75 f=0.97 χ_{LT}=0.91
λ_y=22.47 Ncr,y=2209120.00 λ_y^{*}=0.29 Curva a: Φ_y=0.55 χ_y=0.98
λ_z=83.59 Ncr,z=159618.00 λ_z^{*}=1.09 Curva b: Φ_z=1.25 χ_z=0.54
Kyy, Kyz, Kzy, Kzz=0.95, 0.63, 0.00, 1.04
Verifica YY: 0.04+0.86=0.90
Verifica ZZ: 0.07=0.07

- Verifica freccia massima carichi totali - CC 22
f_{z,L}=0.40 (L/695)

- Verifica freccia massima per soli carichi accidentali - CC 22
f_{z,L}=0.18 (L/1522)

Asta n. 1136 (1029 -26) Sez. 6 IPE300 Crit. 2

- Verifica a flessione YY [4.2.13] - CC 1 SND Xl=2.35 - Classe 3
Sollecitazioni: T_z=1395.48 M_y=-3662.75
My,Ed=-3662.75 My,c,Rd=18834.90 My,Ed/My,c,Rd=0.19

- Verifica a taglio dir. Z [4.2.16] - CC 17 SLU Xl=0.00 - Classe 1
Sollecitazioni: T_z=3106.28
V,Ed=3106.28 Vc,Rd=50134.20 V,Ed/Vc,Rd=0.06

- Verifica a presso o tenso-flessione retta YY (4.2.4.1.2.7) - CC 17 SLU Xl=2.35 - Classe 1
Sollecitazioni: N=6780.46 T_z=2553.52 M_y=-6650.27
My,Ed=-6650.27 My,V,c,Rd=21326.00
N,Ed=6780.46 Nc,Rd=181940.00 YY n=N,Ed/Nc,Rd=0.04 MNy,c,Rd=21326.00 My,Ed/MNy,c,Rd=0.31

- Verifica di stabilità aste inflesse (4.2.4.1.3.2) CC 17 SLU - Classe 1
L_{cr}=2.35 Curva b: α_{imp}=0.34 k_c=0.94 ψ=1.75 M_{cr}=65500.90 λ_{LT}=0.58
λ_{LT,0}=0.40 β_{LT}=0.75 Φ_{LT}=0.66 β_{LT}=0.75 f=0.97 χ_{LT}=0.95
My,Ed=-6650.27 My,b,Rd=20255.80 My,Ed/My,b,Rd=0.33

- Verifica di stabilità aste presso-inflesse (C4.2.4.1.3.3.2) - CC 19 SLU - Classe 1
Sollecitazioni: N,Ed=-6780.46 My,Ed=-6391.41 L=2.35
α_{my}, α_{mz}, α_{LT}=0.95, 0.95, 0.95
L_{cr}=2.35 Curva b: α_{imp}=0.34 k_c=0.94 ψ=1.75 M_{cr}=65500.90 λ_{LT}=0.58
λ_{LT,0}=0.40 Φ_{LT}=0.66 β_{LT}=0.75 f=0.97 χ_{LT}=0.95
λ_y=18.86 Ncr,y=3136160.00 λ_y^{*}=0.25 Curva a: Φ_y=0.54 χ_y=0.99
λ_z=70.16 Ncr,z=226601.00 λ_z^{*}=0.92 Curva b: Φ_z=1.04 χ_z=0.65
Kyy, Kyz, Kzy, Kzz=0.95, 0.61, 0.00, 1.02
Verifica YY: 0.04+0.30=0.34
Verifica ZZ: 0.04=0.04

- Verifica freccia massima carichi totali - CC 22

Relazione di calcolo

$f_{z,L}=0.11$ (L/2200)

- Verifica freccia massima per soli carichi accidentali - CC 22
 $f_{z,L}=0.05$ (L/5023)

Asta n. 1136 (-26 1030) Sez. 6 IPE300 Crit. 2

- Verifica a flessione YY [4.2.13] - CC 1 SND $X_l=0.00$ - Classe 3
Sollecitazioni: $T_z=-1395.48$ $M_y=-3662.75$
 $M_y,Ed=-3662.75$ $M_y,c,Rd=18834.90$ $M_y,Ed/M_y,c,Rd=0.19$

- Verifica a taglio dir. Z [4.2.16] - CC 17 SLU $X_l=2.35$ - Classe 1
Sollecitazioni: $T_z=-3106.28$
 $V,Ed=-3106.28$ $V_c,Rd=50134.20$ $V,Ed/V_c,Rd=0.06$

- Verifica a presso o tenso-flessione retta YY (4.2.4.1.2.7) - CC 17 SLU $X_l=0.00$ - Classe 1
Sollecitazioni: $N=6780.46$ $T_z=-2553.52$ $M_y=-6650.27$
 $M_y,Ed=-6650.27$ $M_y,V,c,Rd=21326.00$
 $N,Ed=6780.46$ $N_c,Rd=181940.00$ $YY\ n=N,Ed/N_c,Rd=0.04$ $MNy,c,Rd=21326.00$ $M_y,Ed/MNy,c,Rd=0.31$

- Verifica di stabilità aste inflesse (4.2.4.1.3.2) CC 17 SLU - Classe 1
 $L_{cr}=2.35$ Curva b: $\alpha_{imp}=0.34$ $k_c=0.94$ $\psi=1.75$ $M_{cr}=65500.90$ $\lambda_{LT}=0.58$
 $\lambda_{LT,0}=0.40$ $\beta_{LT}=0.75$ $\Phi_{LT}=0.66$ $\beta_{LT}=0.75$ $f=0.97$ $\chi_{LT}=0.95$
 $M_y,Ed=-6650.27$ $M_y,b,Rd=20255.80$ $M_y,Ed/M_y,b,Rd=0.33$

- Verifica di stabilità aste presso-inflesse (C4.2.4.1.3.3.2) - CC 19 SLU - Classe 1
Sollecitazioni: $N,Ed=-6780.46$ $M_y,Ed=-6391.41$ $L=2.35$
 $\alpha_{my}, \alpha_{mz}, \alpha_{LT}=0.95, 0.95, 0.95$
 $L_{cr}=2.35$ Curva b: $\alpha_{imp}=0.34$ $k_c=0.94$ $\psi=1.75$ $M_{cr}=65500.90$ $\lambda_{LT}=0.58$
 $\lambda_{LT,0}=0.40$ $\Phi_{LT}=0.66$ $\beta_{LT}=0.75$ $f=0.97$ $\chi_{LT}=0.95$
 $\lambda_y=18.86$ $N_{cr,y}=3136160.00$ $\lambda^*_y=0.25$ Curva a: $\Phi_y=0.54$ $\chi_y=0.99$
 $\lambda_z=70.16$ $N_{cr,z}=226601.00$ $\lambda^*_z=0.92$ Curva b: $\Phi_z=1.04$ $\chi_z=0.65$
 $K_{yy}, K_{yz}, K_{zy}, K_{zz}=0.95, 0.61, 0.00, 1.02$
Verifica YY: $0.04+0.30=0.34$
Verifica ZZ: $0.04=0.04$

- Verifica freccia massima carichi totali - CC 22
 $f_{z,L}=0.11$ (L/2202)

- Verifica freccia massima per soli carichi accidentali - CC 22
 $f_{z,L}=0.05$ (L/5031)

Asta n. 1136 (1030 -27) Sez. 6 IPE300 Crit. 2

- Verifica a flessione YY [4.2.13] - CC 1 SND $X_l=2.35$ - Classe 3
Sollecitazioni: $T_z=2700.78$ $M_y=-6996.96$
 $M_y,Ed=-6996.96$ $M_y,c,Rd=18834.90$ $M_y,Ed/M_y,c,Rd=0.37$

- Verifica a taglio dir. Z [4.2.16] - CC 17 SLU $X_l=0.00$ - Classe 1
Sollecitazioni: $T_z=5966.29$
 $V,Ed=5966.29$ $V_c,Rd=50134.20$ $V,Ed/V_c,Rd=0.12$

- Verifica a presso o tenso-flessione retta YY (4.2.4.1.2.7) - CC 17 SLU $X_l=2.35$ - Classe 1
Sollecitazioni: $N=6780.46$ $T_z=4989.83$ $M_y=-12873.40$
 $M_y,Ed=-12873.40$ $M_y,V,c,Rd=21326.00$
 $N,Ed=6780.46$ $N_c,Rd=181940.00$ $YY\ n=N,Ed/N_c,Rd=0.04$ $MNy,c,Rd=21326.00$ $M_y,Ed/MNy,c,Rd=0.60$

- Verifica di stabilità aste inflesse (4.2.4.1.3.2) CC 17 SLU - Classe 1
 $L_{cr}=2.35$ Curva b: $\alpha_{imp}=0.34$ $k_c=0.94$ $\psi=1.75$ $M_{cr}=65500.90$ $\lambda_{LT}=0.58$
 $\lambda_{LT,0}=0.40$ $\beta_{LT}=0.75$ $\Phi_{LT}=0.66$ $\beta_{LT}=0.75$ $f=0.97$ $\chi_{LT}=0.95$
 $M_y,Ed=-12873.40$ $M_y,b,Rd=20255.80$ $M_y,Ed/M_y,b,Rd=0.64$

- Verifica di stabilità aste presso-inflesse (C4.2.4.1.3.3.2) - CC 19 SLU - Classe 1
Sollecitazioni: $N,Ed=-6780.46$ $M_y,Ed=-12355.70$ $L=2.35$
 $\alpha_{my}, \alpha_{mz}, \alpha_{LT}=0.95, 0.95, 0.95$
 $L_{cr}=2.35$ Curva b: $\alpha_{imp}=0.34$ $k_c=0.94$ $\psi=1.75$ $M_{cr}=65500.90$ $\lambda_{LT}=0.58$
 $\lambda_{LT,0}=0.40$ $\Phi_{LT}=0.66$ $\beta_{LT}=0.75$ $f=0.97$ $\chi_{LT}=0.95$
 $\lambda_y=18.86$ $N_{cr,y}=3136160.00$ $\lambda^*_y=0.25$ Curva a: $\Phi_y=0.54$ $\chi_y=0.99$
 $\lambda_z=70.16$ $N_{cr,z}=226601.00$ $\lambda^*_z=0.92$ Curva b: $\Phi_z=1.04$ $\chi_z=0.65$
 $K_{yy}, K_{yz}, K_{zy}, K_{zz}=0.95, 0.61, 0.00, 1.02$
Verifica YY: $0.04+0.58=0.62$
Verifica ZZ: $0.04=0.04$

- Verifica freccia massima carichi totali - CC 22
 $f_{z,g}=0.21$ (L/1145)

- Verifica freccia massima per soli carichi accidentali - CC 22
 $f_{z,L}=0.09$ (L/2517)

Relazione di calcolo

Asta n. 1136 (-27 1031) Sez. 6 IPE300 Crit. 2

-
- Verifica a flessione YY [4.2.13] - CC 1 SND $X_l=0.00$ - Classe 3
Sollecitazioni: $T_z=-2700.79$ $M_y=-6996.96$
 $M_y,Ed=-6996.96$ $M_y,c,Rd=18834.90$ $M_y,Ed/M_y,c,Rd=0.37$
 - Verifica a taglio dir. Z [4.2.16] - CC 17 SLU $X_l=2.35$ - Classe 1
Sollecitazioni: $T_z=-5966.29$
 $V,Ed=-5966.29$ $V_c,Rd=50134.20$ $V,Ed/V_c,Rd=0.12$
 - Verifica a presso o tenso-flessione retta YY (4.2.4.1.2.7) - CC 17 SLU $X_l=0.00$ - Classe 1
Sollecitazioni: $N=6780.46$ $T_z=-4989.83$ $M_y=-12873.40$
 $M_y,Ed=-12873.40$ $M_y,V,c,Rd=21326.00$
 $N,Ed=6780.46$ $N_c,Rd=181940.00$ $YY\ n=N,Ed/N_c,Rd=0.04$ $MN_y,c,Rd=21326.00$ $M_y,Ed/MN_y,c,Rd=0.60$
 - Verifica di stabilità aste inflesse (4.2.4.1.3.2) CC 17 SLU - Classe 1
 $L_{cr}=2.35$ Curva b: $\alpha_{imp}=0.34$ $k_c=0.94$ $\psi=1.75$ $M_{cr}=65500.90$ $\lambda_{LT}=0.58$
 $\lambda_{LT,0}=0.40$ $\beta_{LT}=0.75$ $\Phi_{LT}=0.66$ $\beta_{LT}=0.75$ $f=0.97$ $\chi_{LT}=0.95$
 $M_y,Ed=-12873.40$ $M_y,b,Rd=20255.80$ $M_y,Ed/M_y,b,Rd=0.64$
 - Verifica di stabilità aste presso-inflesse (4.2.4.1.3.3.2) - CC 19 SLU - Classe 1
Sollecitazioni: $N,Ed=-6780.46$ $M_y,Ed=-12355.70$ $L=2.35$
 $\alpha_{my}, \alpha_{mz}, \alpha_{LT}=0.95, 0.95, 0.95$
 $L_{cr}=2.35$ Curva b: $\alpha_{imp}=0.34$ $k_c=0.94$ $\psi=1.75$ $M_{cr}=65500.90$ $\lambda_{LT}=0.58$
 $\lambda_{LT,0}=0.40$ $\Phi_{LT}=0.66$ $\beta_{LT}=0.75$ $f=0.97$ $\chi_{LT}=0.95$
 $\lambda_y=18.86$ $N_{cr,y}=3136160.00$ $\lambda^*_y=0.25$ Curva a: $\Phi_y=0.54$ $\chi_y=0.99$
 $\lambda_z=70.16$ $N_{cr,z}=226601.00$ $\lambda^*_z=0.92$ Curva b: $\Phi_z=1.04$ $\chi_z=0.65$
 $K_{yy}, K_{yz}, K_{zy}, K_{zz}=0.95, 0.61, 0.00, 1.02$
Verifica YY: $0.04+0.58=0.62$
Verifica ZZ: $0.04=0.04$
 - Verifica freccia massima carichi totali - CC 22
 $f_{z,L}=0.21$ (L/1144)
 - Verifica freccia massima per soli carichi accidentali - CC 22
 $f_{z,L}=0.09$ (L/2513)

Asta n. 1136 (1031 -28) Sez. 6 IPE300 Crit. 2

-
- Verifica a flessione YY [4.2.13] - CC 1 SND $X_l=2.80$ - Classe 3
Sollecitazioni: $T_z=3200.69$ $M_y=-9884.87$
 $M_y,Ed=-9884.87$ $M_y,c,Rd=18834.90$ $M_y,Ed/M_y,c,Rd=0.52$
 - Verifica a taglio dir. Z [4.2.16] - CC 17 SLU $X_l=0.00$ - Classe 1
Sollecitazioni: $T_z=7086.33$
 $V,Ed=7086.33$ $V_c,Rd=50134.20$ $V,Ed/V_c,Rd=0.14$
 - Verifica a presso o tenso-flessione retta YY (4.2.4.1.2.7) - CC 17 SLU $X_l=2.80$ - Classe 1
Sollecitazioni: $N=6780.46$ $T_z=5922.88$ $M_y=-18212.90$
 $M_y,Ed=-18212.90$ $M_y,V,c,Rd=21326.00$
 $N,Ed=6780.46$ $N_c,Rd=181940.00$ $YY\ n=N,Ed/N_c,Rd=0.04$ $MN_y,c,Rd=21326.00$ $M_y,Ed/MN_y,c,Rd=0.85$
 - Verifica di stabilità aste inflesse (4.2.4.1.3.2) CC 17 SLU - Classe 1
 $L_{cr}=2.80$ Curva b: $\alpha_{imp}=0.34$ $k_c=0.94$ $\psi=1.75$ $M_{cr}=48365.20$ $\lambda_{LT}=0.68$
 $\lambda_{LT,0}=0.40$ $\beta_{LT}=0.75$ $\Phi_{LT}=0.72$ $\beta_{LT}=0.75$ $f=0.97$ $\chi_{LT}=0.91$
 $M_y,Ed=-18212.90$ $M_y,b,Rd=19315.10$ $M_y,Ed/M_y,b,Rd=0.94$
 - Verifica di stabilità aste presso-inflesse (4.2.4.1.3.3.2) - CC 19 SLU - Classe 1
Sollecitazioni: $N,Ed=-6780.46$ $M_y,Ed=-17477.90$ $L=2.80$
 $\alpha_{my}, \alpha_{mz}, \alpha_{LT}=0.95, 0.95, 0.95$
 $L_{cr}=2.80$ Curva b: $\alpha_{imp}=0.34$ $k_c=0.94$ $\psi=1.75$ $M_{cr}=48365.20$ $\lambda_{LT}=0.68$
 $\lambda_{LT,0}=0.40$ $\Phi_{LT}=0.72$ $\beta_{LT}=0.75$ $f=0.97$ $\chi_{LT}=0.91$
 $\lambda_y=22.47$ $N_{cr,y}=2209120.00$ $\lambda^*_y=0.29$ Curva a: $\Phi_y=0.55$ $\chi_y=0.98$
 $\lambda_z=83.59$ $N_{cr,z}=159618.00$ $\lambda^*_z=1.09$ Curva b: $\Phi_z=1.25$ $\chi_z=0.54$
 $K_{yy}, K_{yz}, K_{zy}, K_{zz}=0.95, 0.63, 0.00, 1.04$
Verifica YY: $0.04+0.86=0.90$
Verifica ZZ: $0.07=0.07$
 - Verifica freccia massima carichi totali - CC 22
 $f_{z,G}=0.40$ (L/695)
 - Verifica freccia massima per soli carichi accidentali - CC 22
 $f_{z,L}=0.18$ (L/1521)

Asta n. 1136 (-28 1032) Sez. 6 IPE300 Crit. 2

-
- Verifica a flessione YY [4.2.13] - CC 1 SND $X_l=0.00$ - Classe 3
Sollecitazioni: $T_z=-3200.69$ $M_y=-9884.87$
 $M_y,Ed=-9884.87$ $M_y,c,Rd=18834.90$ $M_y,Ed/M_y,c,Rd=0.52$

Relazione di calcolo

- Verifica a taglio dir. Z [4.2.16] - CC 17 SLU $X_l=2.80$ - Classe 1
Sollecitazioni: $T_z=-7086.33$
 $V, Ed=-7086.33$ $V_c, Rd=50134.20$ $V, Ed/V_c, Rd=0.14$
- Verifica a presso o tenso-flessione retta YY (4.2.4.1.2.7) - CC 17 SLU $X_l=0.00$ - Classe 1
Sollecitazioni: $N=6780.46$ $T_z=-5922.88$ $M_y=-18212.90$
 $M_y, Ed=-18212.90$ $M_y, V, c, Rd=21326.00$
 $N, Ed=6780.46$ $N_c, Rd=181940.00$ YY $n=N, Ed/N_c, Rd=0.04$ $MN_y, c, Rd=21326.00$ $M_y, Ed/MN_y, c, Rd=0.85$
- Verifica di stabilità aste inflesse (4.2.4.1.3.2) CC 17 SLU - Classe 1
 $L_{cr}=2.80$ Curva b: $\alpha_{imp}=0.34$ $k_c=0.94$ $\psi=1.75$ $M, cr=48365.20$ $\lambda_{LT}=0.68$
 $\lambda_{LT,0}=0.40$ $\beta_{LT}=0.75$ $\Phi_{LT}=0.72$ $\beta_{LT}=0.75$ $f=0.97$ $\chi_{LT}=0.91$
 $M_y, Ed=-18212.90$ $M_y, b, Rd=19315.10$ $M_y, Ed/M_y, b, Rd=0.94$
- Verifica di stabilità aste presso-inflesse (C4.2.4.1.3.3.2) - CC 19 SLU - Classe 1
Sollecitazioni: $N, Ed=-6780.46$ $M_y, Ed=-17477.90$ $L=2.80$
 $\alpha_m, \alpha_m, \alpha_{LT}=0.95, 0.95, 0.95$
 $L_{cr}=2.80$ Curva b: $\alpha_{imp}=0.34$ $k_c=0.94$ $\psi=1.75$ $M, cr=48365.20$ $\lambda_{LT}=0.68$
 $\lambda_{LT,0}=0.40$ $\Phi_{LT}=0.72$ $\beta_{LT}=0.75$ $f=0.97$ $\chi_{LT}=0.91$
 $\lambda_y=22.47$ $N_{cr,y}=2209120.00$ $\lambda^*_y=0.29$ Curva a: $\Phi_y=0.55$ $\chi_y=0.98$
 $\lambda_z=83.59$ $N_{cr,z}=159618.00$ $\lambda^*_z=1.09$ Curva b: $\Phi_z=1.25$ $\chi_z=0.54$
 $K_{yy}, K_{yz}, K_{zy}, K_{zz}=0.95, 0.63, 0.00, 1.04$
Verifica YY: $0.04+0.86=0.90$
Verifica ZZ: $0.07=0.07$
- Verifica freccia massima carichi totali - CC 22
 $f_{z,L}=0.40$ (L/695)
- Verifica freccia massima per soli carichi accidentali - CC 22
 $f_{z,L}=0.18$ (L/1521)

Asta n. 1136 (1032 -29) Sez. 6 IPE300 Crit. 2

- Verifica a flessione YY [4.2.13] - CC 1 SND $X_l=2.35$ - Classe 3
Sollecitazioni: $T_z=2700.78$ $M_y=-6996.96$
 $M_y, Ed=-6996.96$ $M_y, c, Rd=18834.90$ $M_y, Ed/M_y, c, Rd=0.37$
- Verifica a taglio dir. Z [4.2.16] - CC 17 SLU $X_l=0.00$ - Classe 1
Sollecitazioni: $T_z=5966.29$
 $V, Ed=5966.29$ $V_c, Rd=50134.20$ $V, Ed/V_c, Rd=0.12$
- Verifica a presso o tenso-flessione retta YY (4.2.4.1.2.7) - CC 17 SLU $X_l=2.35$ - Classe 1
Sollecitazioni: $N=6780.46$ $T_z=4989.83$ $M_y=-12873.40$
 $M_y, Ed=-12873.40$ $M_y, V, c, Rd=21326.00$
 $N, Ed=6780.46$ $N_c, Rd=181940.00$ YY $n=N, Ed/N_c, Rd=0.04$ $MN_y, c, Rd=21326.00$ $M_y, Ed/MN_y, c, Rd=0.60$
- Verifica di stabilità aste inflesse (4.2.4.1.3.2) CC 17 SLU - Classe 1
 $L_{cr}=2.35$ Curva b: $\alpha_{imp}=0.34$ $k_c=0.94$ $\psi=1.75$ $M, cr=65500.90$ $\lambda_{LT}=0.58$
 $\lambda_{LT,0}=0.40$ $\beta_{LT}=0.75$ $\Phi_{LT}=0.66$ $\beta_{LT}=0.75$ $f=0.97$ $\chi_{LT}=0.95$
 $M_y, Ed=-12873.40$ $M_y, b, Rd=20255.80$ $M_y, Ed/M_y, b, Rd=0.64$
- Verifica di stabilità aste presso-inflesse (C4.2.4.1.3.3.2) - CC 19 SLU - Classe 1
Sollecitazioni: $N, Ed=-6780.46$ $M_y, Ed=-12355.70$ $L=2.35$
 $\alpha_m, \alpha_m, \alpha_{LT}=0.95, 0.95, 0.95$
 $L_{cr}=2.35$ Curva b: $\alpha_{imp}=0.34$ $k_c=0.94$ $\psi=1.75$ $M, cr=65500.90$ $\lambda_{LT}=0.58$
 $\lambda_{LT,0}=0.40$ $\Phi_{LT}=0.66$ $\beta_{LT}=0.75$ $f=0.97$ $\chi_{LT}=0.95$
 $\lambda_y=18.86$ $N_{cr,y}=3136160.00$ $\lambda^*_y=0.25$ Curva a: $\Phi_y=0.54$ $\chi_y=0.99$
 $\lambda_z=70.16$ $N_{cr,z}=226601.00$ $\lambda^*_z=0.92$ Curva b: $\Phi_z=1.04$ $\chi_z=0.65$
 $K_{yy}, K_{yz}, K_{zy}, K_{zz}=0.95, 0.61, 0.00, 1.02$
Verifica YY: $0.04+0.58=0.62$
Verifica ZZ: $0.04=0.04$
- Verifica freccia massima carichi totali - CC 22
 $f_{z,L}=0.21$ (L/1143)
- Verifica freccia massima per soli carichi accidentali - CC 22
 $f_{z,L}=0.09$ (L/2512)

Asta n. 1136 (-29 1033) Sez. 6 IPE300 Crit. 2

- Verifica a flessione YY [4.2.13] - CC 1 SND $X_l=0.00$ - Classe 3
Sollecitazioni: $T_z=-2700.79$ $M_y=-6996.96$
 $M_y, Ed=-6996.96$ $M_y, c, Rd=18834.90$ $M_y, Ed/M_y, c, Rd=0.37$
- Verifica a taglio dir. Z [4.2.16] - CC 17 SLU $X_l=2.35$ - Classe 1
Sollecitazioni: $T_z=-5966.29$
 $V, Ed=-5966.29$ $V_c, Rd=50134.20$ $V, Ed/V_c, Rd=0.12$

Relazione di calcolo

- Verifica a presso o tenso-flessione retta YY (4.2.4.1.2.7) - CC 17 SLU $X_l=0.00$ - Classe 1
Sollecitazioni: $N=6780.46$ $T_z=-4989.83$ $M_y=-12873.40$
 $M_y,Ed=-12873.40$ $M_y,V,c,Rd=21326.00$
 $N,Ed=6780.46$ $N_c,Rd=181940.00$ $YY\ n=N,Ed/N_c,Rd=0.04$ $MNy,c,Rd=21326.00$ $My,Ed/MNy,c,Rd=0.60$
- Verifica di stabilità aste inflesse (4.2.4.1.3.2) CC 17 SLU - Classe 1
 $L_{cr}=2.35$ Curva b: $\alpha_{imp}=0.34$ $k_c=0.94$ $\psi=1.75$ $M_{cr}=65500.90$ $\lambda_{LT}=0.58$
 $\lambda_{LT,0}=0.40$ $\beta_{LT}=0.75$ $\Phi_{LT}=0.66$ $\beta_{LT}=0.75$ $f=0.97$ $\chi_{LT}=0.95$
 $M_y,Ed=-12873.40$ $M_y,b,Rd=20255.80$ $My,Ed/M_y,b,Rd=0.64$
- Verifica di stabilità aste presso-inflesse (C4.2.4.1.3.3.2) - CC 19 SLU - Classe 1
Sollecitazioni: $N,Ed=-6780.46$ $M_y,Ed=-12355.70$ $L=2.35$
 $\alpha_{my}, \alpha_{mz}, \alpha_{LT}=0.95, 0.95, 0.95$
 $L_{cr}=2.35$ Curva b: $\alpha_{imp}=0.34$ $k_c=0.94$ $\psi=1.75$ $M_{cr}=65500.90$ $\lambda_{LT}=0.58$
 $\lambda_{LT,0}=0.40$ $\Phi_{LT}=0.66$ $\beta_{LT}=0.75$ $f=0.97$ $\chi_{LT}=0.95$
 $\lambda_y=18.86$ $N_{cr,y}=3136160.00$ $\lambda^*_y=0.25$ Curva a: $\Phi_y=0.54$ $\chi_y=0.99$
 $\lambda_z=70.16$ $N_{cr,z}=226601.00$ $\lambda^*_z=0.92$ Curva b: $\Phi_z=1.04$ $\chi_z=0.65$
 $K_{yy}, K_{yz}, K_{zy}, K_{zz}=0.95, 0.61, 0.00, 1.02$
Verifica YY: $0.04+0.58=0.62$
Verifica ZZ: $0.04=0.04$
- Verifica freccia massima carichi totali - CC 22
 $f_{z,L}=0.21$ (L/1144)
- Verifica freccia massima per soli carichi accidentali - CC 22
 $f_{z,L}=0.09$ (L/2515)

Asta n. 1136 (1033 -30) Sez. 6 IPE300 Crit. 2

- Verifica a flessione YY [4.2.13] - CC 1 SND $X_l=2.35$ - Classe 3
Sollecitazioni: $T_z=2700.78$ $M_y=-6996.96$
 $M_y,Ed=-6996.96$ $M_y,c,Rd=18834.90$ $My,Ed/M_y,c,Rd=0.37$
- Verifica a taglio dir. Z [4.2.16] - CC 17 SLU $X_l=0.00$ - Classe 1
Sollecitazioni: $T_z=5966.29$
 $V,Ed=5966.29$ $V_c,Rd=50134.20$ $V,Ed/V_c,Rd=0.12$
- Verifica a presso o tenso-flessione retta YY (4.2.4.1.2.7) - CC 17 SLU $X_l=2.35$ - Classe 1
Sollecitazioni: $N=6780.46$ $T_z=4989.83$ $M_y=-12873.40$
 $M_y,Ed=-12873.40$ $M_y,V,c,Rd=21326.00$
 $N,Ed=6780.46$ $N_c,Rd=181940.00$ $YY\ n=N,Ed/N_c,Rd=0.04$ $MNy,c,Rd=21326.00$ $My,Ed/MNy,c,Rd=0.60$
- Verifica di stabilità aste inflesse (4.2.4.1.3.2) CC 17 SLU - Classe 1
 $L_{cr}=2.35$ Curva b: $\alpha_{imp}=0.34$ $k_c=0.94$ $\psi=1.75$ $M_{cr}=65501.00$ $\lambda_{LT}=0.58$
 $\lambda_{LT,0}=0.40$ $\beta_{LT}=0.75$ $\Phi_{LT}=0.66$ $\beta_{LT}=0.75$ $f=0.97$ $\chi_{LT}=0.95$
 $M_y,Ed=-12873.40$ $M_y,b,Rd=20255.80$ $My,Ed/M_y,b,Rd=0.64$
- Verifica di stabilità aste presso-inflesse (C4.2.4.1.3.3.2) - CC 19 SLU - Classe 1
Sollecitazioni: $N,Ed=-6780.46$ $M_y,Ed=-12355.70$ $L=2.35$
 $\alpha_{my}, \alpha_{mz}, \alpha_{LT}=0.95, 0.95, 0.95$
 $L_{cr}=2.35$ Curva b: $\alpha_{imp}=0.34$ $k_c=0.94$ $\psi=1.75$ $M_{cr}=65501.00$ $\lambda_{LT}=0.58$
 $\lambda_{LT,0}=0.40$ $\Phi_{LT}=0.66$ $\beta_{LT}=0.75$ $f=0.97$ $\chi_{LT}=0.95$
 $\lambda_y=18.86$ $N_{cr,y}=3136170.00$ $\lambda^*_y=0.25$ Curva a: $\Phi_y=0.54$ $\chi_y=0.99$
 $\lambda_z=70.16$ $N_{cr,z}=226601.00$ $\lambda^*_z=0.92$ Curva b: $\Phi_z=1.04$ $\chi_z=0.65$
 $K_{yy}, K_{yz}, K_{zy}, K_{zz}=0.95, 0.61, 0.00, 1.02$
Verifica YY: $0.04+0.58=0.62$
Verifica ZZ: $0.04=0.04$
- Verifica freccia massima carichi totali - CC 22
 $f_{z,L}=0.21$ (L/1144)
- Verifica freccia massima per soli carichi accidentali - CC 22
 $f_{z,L}=0.09$ (L/2515)

Asta n. 1136 (-30 1034) Sez. 6 IPE300 Crit. 2

- Verifica a flessione YY [4.2.13] - CC 1 SND $X_l=0.00$ - Classe 3
Sollecitazioni: $T_z=-2700.79$ $M_y=-6996.96$
 $M_y,Ed=-6996.96$ $M_y,c,Rd=18834.90$ $My,Ed/M_y,c,Rd=0.37$
- Verifica a taglio dir. Z [4.2.16] - CC 17 SLU $X_l=2.35$ - Classe 1
Sollecitazioni: $T_z=-5966.29$
 $V,Ed=-5966.29$ $V_c,Rd=50134.20$ $V,Ed/V_c,Rd=0.12$
- Verifica a presso o tenso-flessione retta YY (4.2.4.1.2.7) - CC 17 SLU $X_l=0.00$ - Classe 1
Sollecitazioni: $N=6780.46$ $T_z=-4989.83$ $M_y=-12873.40$
 $M_y,Ed=-12873.40$ $M_y,V,c,Rd=21326.00$
 $N,Ed=6780.46$ $N_c,Rd=181940.00$ $YY\ n=N,Ed/N_c,Rd=0.04$ $MNy,c,Rd=21326.00$ $My,Ed/MNy,c,Rd=0.60$

Relazione di calcolo

- Verifica di stabilità aste inflesse (4.2.4.1.3.2) CC 17 SLU - Classe 1
L_{cr}=2.35 Curva b: $\alpha_{imp}=0.34$ $k_c=0.94$ $\psi=1.75$ M_{cr}=65500.90 $\lambda_{LT}=0.58$
 $\lambda_{LT,0}=0.40$ $\beta_{LT}=0.75$ $\Phi_{LT}=0.66$ $\beta_{LT}=0.75$ $f=0.97$ $\chi_{LT}=0.95$
M_{y,Ed}=-12873.40 M_{y,b,Rd}=20255.80 M_{y,Ed}/M_{y,b,Rd}=0.64
- Verifica di stabilità aste presso-inflesse (C4.2.4.1.3.3.2) - CC 19 SLU - Classe 1
Sollecitazioni: N_{Ed}=-6780.46 M_{y,Ed}=-12355.70 L=2.35
 α_{my} , α_{mz} , $\alpha_{LT}=0.95$, 0.95, 0.95
L_{cr}=2.35 Curva b: $\alpha_{imp}=0.34$ $k_c=0.94$ $\psi=1.75$ M_{cr}=65500.90 $\lambda_{LT}=0.58$
 $\lambda_{LT,0}=0.40$ $\Phi_{LT}=0.66$ $\beta_{LT}=0.75$ $f=0.97$ $\chi_{LT}=0.95$
 $\lambda_y=18.86$ N_{cr,y}=3136160.00 $\lambda^*_y=0.25$ Curva a: $\Phi_y=0.54$ $\chi_y=0.99$
 $\lambda_z=70.16$ N_{cr,z}=226600.00 $\lambda^*_z=0.92$ Curva b: $\Phi_z=1.04$ $\chi_z=0.65$
K_{yy}, K_{yz}, K_{zy}, K_{zz}=0.95, 0.61, 0.00, 1.02
Verifica YY: 0.04+0.58=0.62
Verifica ZZ: 0.04=0.04
- Verifica freccia massima carichi totali - CC 22
f_{z,L}=0.21 (L/1144)
- Verifica freccia massima per soli carichi accidentali - CC 22
f_{z,g}=0.09 (L/2513)
- Asta n. 1138 (1045 -40) Sez. 6 IPE300 Crit. 2

- Verifica a flessione YY [4.2.13] - CC 1 SND Xl=2.80 - Classe 3
Sollecitazioni: T_z=3200.69 M_y=-9884.87
M_{y,Ed}=-9884.87 M_{y,c,Rd}=18834.90 M_{y,Ed}/M_{y,c,Rd}=0.52
- Verifica a taglio dir. Z [4.2.16] - CC 17 SLU Xl=0.00 - Classe 1
Sollecitazioni: T_z=7086.33
V_{Ed}=7086.33 V_{c,Rd}=50134.20 V_{Ed}/V_{c,Rd}=0.14
- Verifica a presso o tenso-flessione retta YY (4.2.4.1.2.7) - CC 17 SLU Xl=2.80 - Classe 1
Sollecitazioni: N=6780.46 T_z=5922.88 M_y=-18212.90
M_{y,Ed}=-18212.90 M_{y,V,c,Rd}=21326.00
N_{Ed}=6780.46 N_{c,Rd}=181940.00 YY n=N_{Ed}/N_{c,Rd}=0.04 M_{Ny,c,Rd}=21326.00 M_{y,Ed}/M_{Ny,c,Rd}=0.85
- Verifica di stabilità aste inflesse (4.2.4.1.3.2) CC 17 SLU - Classe 1
L_{cr}=2.80 Curva b: $\alpha_{imp}=0.34$ $k_c=0.94$ $\psi=1.75$ M_{cr}=48365.20 $\lambda_{LT}=0.68$
 $\lambda_{LT,0}=0.40$ $\beta_{LT}=0.75$ $\Phi_{LT}=0.72$ $\beta_{LT}=0.75$ $f=0.97$ $\chi_{LT}=0.91$
M_{y,Ed}=-18212.90 M_{y,b,Rd}=19315.10 M_{y,Ed}/M_{y,b,Rd}=0.94
- Verifica di stabilità aste presso-inflesse (C4.2.4.1.3.3.2) - CC 19 SLU - Classe 1
Sollecitazioni: N_{Ed}=-6780.46 M_{y,Ed}=-17477.90 L=2.80
 α_{my} , α_{mz} , $\alpha_{LT}=0.95$, 0.95, 0.95
L_{cr}=2.80 Curva b: $\alpha_{imp}=0.34$ $k_c=0.94$ $\psi=1.75$ M_{cr}=48365.20 $\lambda_{LT}=0.68$
 $\lambda_{LT,0}=0.40$ $\Phi_{LT}=0.72$ $\beta_{LT}=0.75$ $f=0.97$ $\chi_{LT}=0.91$
 $\lambda_y=22.47$ N_{cr,y}=2209120.00 $\lambda^*_y=0.29$ Curva a: $\Phi_y=0.55$ $\chi_y=0.98$
 $\lambda_z=83.59$ N_{cr,z}=159618.00 $\lambda^*_z=1.09$ Curva b: $\Phi_z=1.25$ $\chi_z=0.54$
K_{yy}, K_{yz}, K_{zy}, K_{zz}=0.95, 0.63, 0.00, 1.04
Verifica YY: 0.04+0.86=0.90
Verifica ZZ: 0.07=0.07
- Verifica freccia massima carichi totali - CC 22
f_{z,g}=0.40 (L/694)
- Verifica freccia massima per soli carichi accidentali - CC 22
f_{z,L}=0.18 (L/1521)
- Asta n. 1138 (-40 1046) Sez. 6 IPE300 Crit. 2

- Verifica a flessione YY [4.2.13] - CC 1 SND Xl=0.00 - Classe 3
Sollecitazioni: T_z=-3200.69 M_y=-9884.87
M_{y,Ed}=-9884.87 M_{y,c,Rd}=18834.90 M_{y,Ed}/M_{y,c,Rd}=0.52
- Verifica a taglio dir. Z [4.2.16] - CC 17 SLU Xl=2.80 - Classe 1
Sollecitazioni: T_z=-7086.33
V_{Ed}=-7086.33 V_{c,Rd}=50134.20 V_{Ed}/V_{c,Rd}=0.14
- Verifica a presso o tenso-flessione retta YY (4.2.4.1.2.7) - CC 17 SLU Xl=0.00 - Classe 1
Sollecitazioni: N=6780.46 T_z=-5922.88 M_y=-18212.90
M_{y,Ed}=-18212.90 M_{y,V,c,Rd}=21326.00
N_{Ed}=6780.46 N_{c,Rd}=181940.00 YY n=N_{Ed}/N_{c,Rd}=0.04 M_{Ny,c,Rd}=21326.00 M_{y,Ed}/M_{Ny,c,Rd}=0.85
- Verifica di stabilità aste inflesse (4.2.4.1.3.2) CC 17 SLU - Classe 1
L_{cr}=2.80 Curva b: $\alpha_{imp}=0.34$ $k_c=0.94$ $\psi=1.75$ M_{cr}=48365.20 $\lambda_{LT}=0.68$
 $\lambda_{LT,0}=0.40$ $\beta_{LT}=0.75$ $\Phi_{LT}=0.72$ $\beta_{LT}=0.75$ $f=0.97$ $\chi_{LT}=0.91$
M_{y,Ed}=-18212.90 M_{y,b,Rd}=19315.10 M_{y,Ed}/M_{y,b,Rd}=0.94

Relazione di calcolo

- Verifica di stabilità aste presso-inflesse (C4.2.4.1.3.3.2) - CC 19 SLU - Classe 1
Sollecitazioni: $N_{Ed}=-6780.46$ $M_{y,Ed}=-17477.90$ $L=2.80$
 α_{my} , α_{mz} , $\alpha_{LT}=0.95$, 0.95 , 0.95
 $L_{cr}=2.80$ Curva b: $\alpha_{imp}=0.34$ $k_c=0.94$ $\psi=1.75$ $M_{cr}=48365.20$ $\lambda_{LT}=0.68$
 $\lambda_{LT,0}=0.40$ $\Phi_{LT}=0.72$ $\beta_{LT}=0.75$ $f=0.97$ $\chi_{LT}=0.91$
 $\lambda_y=22.47$ $N_{cr,y}=2209120.00$ $\lambda^*_y=0.29$ Curva a: $\Phi_y=0.55$ $\chi_y=0.98$
 $\lambda_z=83.59$ $N_{cr,z}=159618.00$ $\lambda^*_z=1.09$ Curva b: $\Phi_z=1.25$ $\chi_z=0.54$
 K_{yy} , K_{yz} , K_{zy} , $K_{zz}=0.95$, 0.63 , 0.00 , 1.04
Verifica YY: $0.04+0.86=0.90$
Verifica ZZ: $0.07=0.07$
- Verifica freccia massima carichi totali - CC 22
 $f_{z,L}=0.40$ (L/695)
- Verifica freccia massima per soli carichi accidentali - CC 22
 $f_{z,L}=0.18$ (L/1521)
- Asta n. 1138 (1046 -41) Sez. 6 IPE300 Crit. 2

- Verifica a flessione YY [4.2.13] - CC 1 SND $X_l=2.35$ - Classe 3
Sollecitazioni: $T_z=2700.78$ $M_y=-6996.96$
 $M_{y,Ed}=-6996.96$ $M_{y,c,Rd}=18834.90$ $M_{y,Ed/M_{y,c,Rd}}=0.37$
- Verifica a taglio dir. Z [4.2.16] - CC 17 SLU $X_l=0.00$ - Classe 1
Sollecitazioni: $T_z=5966.29$
 $V_{Ed}=5966.29$ $V_{c,Rd}=50134.20$ $V_{Ed/V_{c,Rd}}=0.12$
- Verifica a presso o tenso-flessione retta YY (4.2.4.1.2.7) - CC 17 SLU $X_l=2.35$ - Classe 1
Sollecitazioni: $N=6780.46$ $T_z=4989.83$ $M_y=-12873.40$
 $M_{y,Ed}=-12873.40$ $M_{y,V,c,Rd}=21326.00$
 $N_{Ed}=6780.46$ $N_{c,Rd}=181940.00$ $YY\ n=N_{Ed}/N_{c,Rd}=0.04$ $MN_{y,c,Rd}=21326.00$ $M_{y,Ed}/MN_{y,c,Rd}=0.60$
- Verifica di stabilità aste inflesse (4.2.4.1.3.2) CC 17 SLU - Classe 1
 $L_{cr}=2.35$ Curva b: $\alpha_{imp}=0.34$ $k_c=0.94$ $\psi=1.75$ $M_{cr}=65500.90$ $\lambda_{LT}=0.58$
 $\lambda_{LT,0}=0.40$ $\beta_{LT}=0.75$ $\Phi_{LT}=0.66$ $\beta_{LT}=0.75$ $f=0.97$ $\chi_{LT}=0.95$
 $M_{y,Ed}=-12873.40$ $M_{y,b,Rd}=20255.80$ $M_{y,Ed/M_{y,b,Rd}}=0.64$
- Verifica di stabilità aste presso-inflesse (C4.2.4.1.3.3.2) - CC 19 SLU - Classe 1
Sollecitazioni: $N_{Ed}=-6780.46$ $M_{y,Ed}=-12355.70$ $L=2.35$
 α_{my} , α_{mz} , $\alpha_{LT}=0.95$, 0.95 , 0.95
 $L_{cr}=2.35$ Curva b: $\alpha_{imp}=0.34$ $k_c=0.94$ $\psi=1.75$ $M_{cr}=65500.90$ $\lambda_{LT}=0.58$
 $\lambda_{LT,0}=0.40$ $\Phi_{LT}=0.66$ $\beta_{LT}=0.75$ $f=0.97$ $\chi_{LT}=0.95$
 $\lambda_y=18.86$ $N_{cr,y}=3136160.00$ $\lambda^*_y=0.25$ Curva a: $\Phi_y=0.54$ $\chi_y=0.99$
 $\lambda_z=70.16$ $N_{cr,z}=226601.00$ $\lambda^*_z=0.92$ Curva b: $\Phi_z=1.04$ $\chi_z=0.65$
 K_{yy} , K_{yz} , K_{zy} , $K_{zz}=0.95$, 0.61 , 0.00 , 1.02
Verifica YY: $0.04+0.58=0.62$
Verifica ZZ: $0.04=0.04$
- Verifica freccia massima carichi totali - CC 22
 $f_{z,L}=0.21$ (L/1143)
- Verifica freccia massima per soli carichi accidentali - CC 22
 $f_{z,L}=0.09$ (L/2511)
- Asta n. 1138 (-41 1047) Sez. 6 IPE300 Crit. 2

- Verifica a flessione YY [4.2.13] - CC 1 SND $X_l=0.00$ - Classe 3
Sollecitazioni: $T_z=-2700.79$ $M_y=-6996.96$
 $M_{y,Ed}=-6996.96$ $M_{y,c,Rd}=18834.90$ $M_{y,Ed/M_{y,c,Rd}}=0.37$
- Verifica a taglio dir. Z [4.2.16] - CC 17 SLU $X_l=2.35$ - Classe 1
Sollecitazioni: $T_z=-5966.29$
 $V_{Ed}=-5966.29$ $V_{c,Rd}=50134.20$ $V_{Ed/V_{c,Rd}}=0.12$
- Verifica a presso o tenso-flessione retta YY (4.2.4.1.2.7) - CC 17 SLU $X_l=0.00$ - Classe 1
Sollecitazioni: $N=6780.46$ $T_z=-4989.83$ $M_y=-12873.40$
 $M_{y,Ed}=-12873.40$ $M_{y,V,c,Rd}=21326.00$
 $N_{Ed}=6780.46$ $N_{c,Rd}=181940.00$ $YY\ n=N_{Ed}/N_{c,Rd}=0.04$ $MN_{y,c,Rd}=21326.00$ $M_{y,Ed}/MN_{y,c,Rd}=0.60$
- Verifica di stabilità aste inflesse (4.2.4.1.3.2) CC 17 SLU - Classe 1
 $L_{cr}=2.35$ Curva b: $\alpha_{imp}=0.34$ $k_c=0.94$ $\psi=1.75$ $M_{cr}=65500.90$ $\lambda_{LT}=0.58$
 $\lambda_{LT,0}=0.40$ $\beta_{LT}=0.75$ $\Phi_{LT}=0.66$ $\beta_{LT}=0.75$ $f=0.97$ $\chi_{LT}=0.95$
 $M_{y,Ed}=-12873.40$ $M_{y,b,Rd}=20255.80$ $M_{y,Ed/M_{y,b,Rd}}=0.64$
- Verifica di stabilità aste presso-inflesse (C4.2.4.1.3.3.2) - CC 19 SLU - Classe 1
Sollecitazioni: $N_{Ed}=-6780.46$ $M_{y,Ed}=-12355.70$ $L=2.35$
 α_{my} , α_{mz} , $\alpha_{LT}=0.95$, 0.95 , 0.95
 $L_{cr}=2.35$ Curva b: $\alpha_{imp}=0.34$ $k_c=0.94$ $\psi=1.75$ $M_{cr}=65500.90$ $\lambda_{LT}=0.58$
 $\lambda_{LT,0}=0.40$ $\Phi_{LT}=0.66$ $\beta_{LT}=0.75$ $f=0.97$ $\chi_{LT}=0.95$

Relazione di calcolo

$\lambda_y=18.86$ Ncr,y=3136160.00 $\lambda^*_y=0.25$ Curva a: $\Phi_y=0.54$ $\chi_y=0.99$
 $\lambda_z=70.16$ Ncr,z=226601.00 $\lambda^*_z=0.92$ Curva b: $\Phi_z=1.04$ $\chi_z=0.65$
Kyy, Kyz, Kzy, Kzz=0.95, 0.61, 0.00, 1.02
Verifica YY: 0.04+0.58=0.62
Verifica ZZ: 0.04=0.04

- Verifica freccia massima carichi totali - CC 22
 $f_{z,L}=0.21$ (L/1145)

- Verifica freccia massima per soli carichi accidentali - CC 22
 $f_{z,L}=0.09$ (L/2518)

Asta n. 1138 (1047 -42) Sez. 6 IPE300 Crit. 2

- Verifica a flessione YY [4.2.13] - CC 1 SND $X_l=2.35$ - Classe 3
Sollecitazioni: $T_z=2700.78$ $M_y=-6996.96$
 $M_y,Ed=-6996.96$ $M_y,c,Rd=18834.90$ $M_y,Ed/M_y,c,Rd=0.37$

- Verifica a taglio dir. Z [4.2.16] - CC 17 SLU $X_l=0.00$ - Classe 1
Sollecitazioni: $T_z=5966.29$
 $V,Ed=5966.29$ $V_c,Rd=50134.20$ $V,Ed/V_c,Rd=0.12$

- Verifica a presso o tenso-flessione retta YY (4.2.4.1.2.7) - CC 17 SLU $X_l=2.35$ - Classe 1
Sollecitazioni: $N=6780.46$ $T_z=4989.83$ $M_y=-12873.40$
 $M_y,Ed=-12873.40$ $M_y,V,c,Rd=21326.00$
 $N,Ed=6780.46$ $N_c,Rd=181940.00$ YY n=N,Ed/Nc,Rd=0.04 MNy,c,Rd=21326.00 $M_y,Ed/MNy,c,Rd=0.60$

- Verifica di stabilità aste inflesse (4.2.4.1.3.2) CC 17 SLU - Classe 1
 $L_{cr}=2.35$ Curva b: $\alpha_{imp}=0.34$ $k_c=0.94$ $\psi=1.75$ $M_{cr}=65500.90$ $\lambda_{LT}=0.58$
 $\lambda_{LT,0}=0.40$ $\beta_{LT}=0.75$ $\Phi_{LT}=0.66$ $\beta_{LT}=0.75$ $f=0.97$ $\chi_{LT}=0.95$
 $M_y,Ed=-12873.40$ $M_y,b,Rd=20255.80$ $M_y,Ed/M_y,b,Rd=0.64$

- Verifica di stabilità aste presso-inflesse (C4.2.4.1.3.3.2) - CC 19 SLU - Classe 1
Sollecitazioni: $N,Ed=-6780.46$ $M_y,Ed=-12355.70$ $L=2.35$
 $\alpha_{my}, \alpha_{mz}, \alpha_{LT}=0.95, 0.95, 0.95$
 $L_{cr}=2.35$ Curva b: $\alpha_{imp}=0.34$ $k_c=0.94$ $\psi=1.75$ $M_{cr}=65500.90$ $\lambda_{LT}=0.58$
 $\lambda_{LT,0}=0.40$ $\Phi_{LT}=0.66$ $\beta_{LT}=0.75$ $f=0.97$ $\chi_{LT}=0.95$
 $\lambda_y=18.86$ Ncr,y=3136160.00 $\lambda^*_y=0.25$ Curva a: $\Phi_y=0.54$ $\chi_y=0.99$
 $\lambda_z=70.16$ Ncr,z=226601.00 $\lambda^*_z=0.92$ Curva b: $\Phi_z=1.04$ $\chi_z=0.65$
Kyy, Kyz, Kzy, Kzz=0.95, 0.61, 0.00, 1.02
Verifica YY: 0.04+0.58=0.62
Verifica ZZ: 0.04=0.04

- Verifica freccia massima carichi totali - CC 22
 $f_{z,G}=0.21$ (L/1145)

- Verifica freccia massima per soli carichi accidentali - CC 22
 $f_{z,L}=0.09$ (L/2516)

Asta n. 1138 (-42 1048) Sez. 6 IPE300 Crit. 2

- Verifica a flessione YY [4.2.13] - CC 1 SND $X_l=0.00$ - Classe 3
Sollecitazioni: $T_z=-2700.79$ $M_y=-6996.96$
 $M_y,Ed=-6996.96$ $M_y,c,Rd=18834.90$ $M_y,Ed/M_y,c,Rd=0.37$

- Verifica a taglio dir. Z [4.2.16] - CC 17 SLU $X_l=2.35$ - Classe 1
Sollecitazioni: $T_z=-5966.29$
 $V,Ed=-5966.29$ $V_c,Rd=50134.20$ $V,Ed/V_c,Rd=0.12$

- Verifica a presso o tenso-flessione retta YY (4.2.4.1.2.7) - CC 17 SLU $X_l=0.00$ - Classe 1
Sollecitazioni: $N=6780.46$ $T_z=-4989.83$ $M_y=-12873.40$
 $M_y,Ed=-12873.40$ $M_y,V,c,Rd=21326.00$
 $N,Ed=6780.46$ $N_c,Rd=181940.00$ YY n=N,Ed/Nc,Rd=0.04 MNy,c,Rd=21326.00 $M_y,Ed/MNy,c,Rd=0.60$

- Verifica di stabilità aste inflesse (4.2.4.1.3.2) CC 17 SLU - Classe 1
 $L_{cr}=2.35$ Curva b: $\alpha_{imp}=0.34$ $k_c=0.94$ $\psi=1.75$ $M_{cr}=65500.90$ $\lambda_{LT}=0.58$
 $\lambda_{LT,0}=0.40$ $\beta_{LT}=0.75$ $\Phi_{LT}=0.66$ $\beta_{LT}=0.75$ $f=0.97$ $\chi_{LT}=0.95$
 $M_y,Ed=-12873.40$ $M_y,b,Rd=20255.80$ $M_y,Ed/M_y,b,Rd=0.64$

- Verifica di stabilità aste presso-inflesse (C4.2.4.1.3.3.2) - CC 19 SLU - Classe 1
Sollecitazioni: $N,Ed=-6780.46$ $M_y,Ed=-12355.70$ $L=2.35$
 $\alpha_{my}, \alpha_{mz}, \alpha_{LT}=0.95, 0.95, 0.95$
 $L_{cr}=2.35$ Curva b: $\alpha_{imp}=0.34$ $k_c=0.94$ $\psi=1.75$ $M_{cr}=65500.90$ $\lambda_{LT}=0.58$
 $\lambda_{LT,0}=0.40$ $\Phi_{LT}=0.66$ $\beta_{LT}=0.75$ $f=0.97$ $\chi_{LT}=0.95$
 $\lambda_y=18.86$ Ncr,y=3136160.00 $\lambda^*_y=0.25$ Curva a: $\Phi_y=0.54$ $\chi_y=0.99$
 $\lambda_z=70.16$ Ncr,z=226601.00 $\lambda^*_z=0.92$ Curva b: $\Phi_z=1.04$ $\chi_z=0.65$
Kyy, Kyz, Kzy, Kzz=0.95, 0.61, 0.00, 1.02
Verifica YY: 0.04+0.58=0.62
Verifica ZZ: 0.04=0.04

Relazione di calcolo

- Verifica freccia massima carichi totali - CC 22
 $f_{z,L}=0.21$ (L/1143)

- Verifica freccia massima per soli carichi accidentali - CC 22
 $f_{z,L}=0.09$ (L/2512)

Asta n. 1138 (1048 -43) Sez. 6 IPE300 Crit. 2

- Verifica a flessione YY [4.2.13] - CC 1 SND $X_l=2.80$ - Classe 3
Sollecitazioni: $T_z=3200.69$ $M_y=-9884.87$
 $M_y,Ed=-9884.87$ $M_y,c,Rd=18834.90$ $M_y,Ed/M_y,c,Rd=0.52$

- Verifica a taglio dir. Z [4.2.16] - CC 17 SLU $X_l=0.00$ - Classe 1
Sollecitazioni: $T_z=7086.33$
 $V,Ed=7086.33$ $V_c,Rd=50134.20$ $V,Ed/V_c,Rd=0.14$

- Verifica a presso o tenso-flessione retta YY (4.2.4.1.2.7) - CC 17 SLU $X_l=2.80$ - Classe 1
Sollecitazioni: $N=6780.46$ $T_z=5922.88$ $M_y=-18212.90$
 $M_y,Ed=-18212.90$ $M_y,V,c,Rd=21326.00$
 $N,Ed=6780.46$ $N_c,Rd=181940.00$ YY $n=N,Ed/N_c,Rd=0.04$ $MNy,c,Rd=21326.00$ $M_y,Ed/MNy,c,Rd=0.85$

- Verifica di stabilità aste inflesse (4.2.4.1.3.2) CC 17 SLU - Classe 1
 $L_{cr}=2.80$ Curva b: $\alpha_{imp}=0.34$ $k_c=0.94$ $\psi=1.75$ $M_{cr}=48365.20$ $\lambda_{LT}=0.68$
 $\lambda_{LT,0}=0.40$ $\beta_{LT}=0.75$ $\Phi_{LT}=0.72$ $\beta_{LT}=0.75$ $f=0.97$ $\chi_{LT}=0.91$
 $M_y,Ed=-18212.90$ $M_y,b,Rd=19315.10$ $M_y,Ed/M_y,b,Rd=0.94$

- Verifica di stabilità aste presso-inflesse (C4.2.4.1.3.3.2) - CC 19 SLU - Classe 1
Sollecitazioni: $N,Ed=-6780.46$ $M_y,Ed=-17477.90$ $L=2.80$
 $\alpha_{my}, \alpha_{mz}, \alpha_{LT}=0.95, 0.95, 0.95$
 $L_{cr}=2.80$ Curva b: $\alpha_{imp}=0.34$ $k_c=0.94$ $\psi=1.75$ $M_{cr}=48365.20$ $\lambda_{LT}=0.68$
 $\lambda_{LT,0}=0.40$ $\Phi_{LT}=0.72$ $\beta_{LT}=0.75$ $f=0.97$ $\chi_{LT}=0.91$
 $\lambda_y=22.47$ $N_{cr,y}=2209120.00$ $\lambda^*_y=0.29$ Curva a: $\Phi_y=0.55$ $\chi_y=0.98$
 $\lambda_z=83.59$ $N_{cr,z}=159618.00$ $\lambda^*_z=1.09$ Curva b: $\Phi_z=1.25$ $\chi_z=0.54$
 $K_{yy}, K_{yz}, K_{zy}, K_{zz}=0.95, 0.63, 0.00, 1.04$
Verifica YY: $0.04+0.86=0.90$
Verifica ZZ: $0.07=0.07$

- Verifica freccia massima carichi totali - CC 22
 $f_{z,G}=0.40$ (L/694)

- Verifica freccia massima per soli carichi accidentali - CC 22
 $f_{z,L}=0.18$ (L/1521)

Asta n. 1138 (-43 1049) Sez. 6 IPE300 Crit. 2

- Verifica a flessione YY [4.2.13] - CC 1 SND $X_l=0.00$ - Classe 3
Sollecitazioni: $T_z=-3200.69$ $M_y=-9884.87$
 $M_y,Ed=-9884.87$ $M_y,c,Rd=18834.90$ $M_y,Ed/M_y,c,Rd=0.52$

- Verifica a taglio dir. Z [4.2.16] - CC 17 SLU $X_l=2.80$ - Classe 1
Sollecitazioni: $T_z=-7086.33$
 $V,Ed=-7086.33$ $V_c,Rd=50134.20$ $V,Ed/V_c,Rd=0.14$

- Verifica a presso o tenso-flessione retta YY (4.2.4.1.2.7) - CC 17 SLU $X_l=0.00$ - Classe 1
Sollecitazioni: $N=6780.46$ $T_z=-5922.88$ $M_y=-18212.90$
 $M_y,Ed=-18212.90$ $M_y,V,c,Rd=21326.00$
 $N,Ed=6780.46$ $N_c,Rd=181940.00$ YY $n=N,Ed/N_c,Rd=0.04$ $MNy,c,Rd=21326.00$ $M_y,Ed/MNy,c,Rd=0.85$

- Verifica di stabilità aste inflesse (4.2.4.1.3.2) CC 17 SLU - Classe 1
 $L_{cr}=2.80$ Curva b: $\alpha_{imp}=0.34$ $k_c=0.94$ $\psi=1.75$ $M_{cr}=48365.20$ $\lambda_{LT}=0.68$
 $\lambda_{LT,0}=0.40$ $\beta_{LT}=0.75$ $\Phi_{LT}=0.72$ $\beta_{LT}=0.75$ $f=0.97$ $\chi_{LT}=0.91$
 $M_y,Ed=-18212.90$ $M_y,b,Rd=19315.10$ $M_y,Ed/M_y,b,Rd=0.94$

- Verifica di stabilità aste presso-inflesse (C4.2.4.1.3.3.2) - CC 19 SLU - Classe 1
Sollecitazioni: $N,Ed=-6780.46$ $M_y,Ed=-17477.90$ $L=2.80$
 $\alpha_{my}, \alpha_{mz}, \alpha_{LT}=0.95, 0.95, 0.95$
 $L_{cr}=2.80$ Curva b: $\alpha_{imp}=0.34$ $k_c=0.94$ $\psi=1.75$ $M_{cr}=48365.20$ $\lambda_{LT}=0.68$
 $\lambda_{LT,0}=0.40$ $\Phi_{LT}=0.72$ $\beta_{LT}=0.75$ $f=0.97$ $\chi_{LT}=0.91$
 $\lambda_y=22.47$ $N_{cr,y}=2209120.00$ $\lambda^*_y=0.29$ Curva a: $\Phi_y=0.55$ $\chi_y=0.98$
 $\lambda_z=83.59$ $N_{cr,z}=159618.00$ $\lambda^*_z=1.09$ Curva b: $\Phi_z=1.25$ $\chi_z=0.54$
 $K_{yy}, K_{yz}, K_{zy}, K_{zz}=0.95, 0.63, 0.00, 1.04$
Verifica YY: $0.04+0.86=0.90$
Verifica ZZ: $0.07=0.07$

- Verifica freccia massima carichi totali - CC 22
 $f_{z,L}=0.40$ (L/695)

- Verifica freccia massima per soli carichi accidentali - CC 22

Relazione di calcolo

$f_{z,L}=0.18$ (L/1522)

Asta n. 1138 (1049 -44) Sez. 6 IPE300 Crit. 2

- Verifica a flessione YY [4.2.13] - CC 1 SND $X_l=2.35$ - Classe 3
Sollecitazioni: $T_z=2700.78$ $M_y=-6996.96$
 $M_y,Ed=-6996.96$ $M_y,c,Rd=18834.90$ $M_y,Ed/M_y,c,Rd=0.37$

- Verifica a taglio dir. Z [4.2.16] - CC 17 SLU $X_l=0.00$ - Classe 1
Sollecitazioni: $T_z=5966.29$
 $V,Ed=5966.29$ $V_c,Rd=50134.20$ $V,Ed/V_c,Rd=0.12$

- Verifica a presso o tenso-flessione retta YY (4.2.4.1.2.7) - CC 17 SLU $X_l=2.35$ - Classe 1
Sollecitazioni: $N=6780.46$ $T_z=4989.83$ $M_y=-12873.40$
 $M_y,Ed=-12873.40$ $M_y,V,c,Rd=21326.00$
 $N,Ed=6780.46$ $N_c,Rd=181940.00$ $YY\ n=N,Ed/N_c,Rd=0.04$ $MN_y,c,Rd=21326.00$ $M_y,Ed/MN_y,c,Rd=0.60$

- Verifica di stabilità aste inflesse (4.2.4.1.3.2) CC 17 SLU - Classe 1
 $L_{cr}=2.35$ Curva b: $\alpha_{imp}=0.34$ $k_c=0.94$ $\psi=1.75$ $M_{cr}=65500.90$ $\lambda_{LT}=0.58$
 $\lambda_{LT,0}=0.40$ $\beta_{LT}=0.75$ $\Phi_{LT}=0.66$ $\beta_{LT}=0.75$ $f=0.97$ $\chi_{LT}=0.95$
 $M_y,Ed=-12873.40$ $M_y,b,Rd=20255.80$ $M_y,Ed/M_y,b,Rd=0.64$

- Verifica di stabilità aste presso-inflesse (C4.2.4.1.3.3.2) - CC 19 SLU - Classe 1
Sollecitazioni: $N,Ed=-6780.46$ $M_y,Ed=-12355.70$ $L=2.35$
 α_{my} , α_{mz} , $\alpha_{LT}=0.95$, 0.95 , 0.95
 $L_{cr}=2.35$ Curva b: $\alpha_{imp}=0.34$ $k_c=0.94$ $\psi=1.75$ $M_{cr}=65500.90$ $\lambda_{LT}=0.58$
 $\lambda_{LT,0}=0.40$ $\Phi_{LT}=0.66$ $\beta_{LT}=0.75$ $f=0.97$ $\chi_{LT}=0.95$
 $\lambda_y=18.86$ $N_{cr,y}=3136160.00$ $\lambda^*_y=0.25$ Curva a: $\Phi_y=0.54$ $\chi_y=0.99$
 $\lambda_z=70.16$ $N_{cr,z}=226601.00$ $\lambda^*_z=0.92$ Curva b: $\Phi_z=1.04$ $\chi_z=0.65$
 K_{yy} , K_{yz} , K_{zy} , $K_{zz}=0.95$, 0.61 , 0.00 , 1.02
Verifica YY: $0.04+0.58=0.62$
Verifica ZZ: $0.04=0.04$

- Verifica freccia massima carichi totali - CC 22
 $f_{z,L}=0.21$ (L/1144)

- Verifica freccia massima per soli carichi accidentali - CC 22
 $f_{z,L}=0.09$ (L/2517)

Asta n. 1138 (-44 1050) Sez. 6 IPE300 Crit. 2

- Verifica a flessione YY [4.2.13] - CC 1 SND $X_l=0.00$ - Classe 3
Sollecitazioni: $T_z=-2700.79$ $M_y=-6996.96$
 $M_y,Ed=-6996.96$ $M_y,c,Rd=18834.90$ $M_y,Ed/M_y,c,Rd=0.37$

- Verifica a taglio dir. Z [4.2.16] - CC 17 SLU $X_l=2.35$ - Classe 1
Sollecitazioni: $T_z=-5966.29$
 $V,Ed=-5966.29$ $V_c,Rd=50134.20$ $V,Ed/V_c,Rd=0.12$

- Verifica a presso o tenso-flessione retta YY (4.2.4.1.2.7) - CC 17 SLU $X_l=0.00$ - Classe 1
Sollecitazioni: $N=6780.46$ $T_z=-4989.83$ $M_y=-12873.40$
 $M_y,Ed=-12873.40$ $M_y,V,c,Rd=21326.00$
 $N,Ed=6780.46$ $N_c,Rd=181940.00$ $YY\ n=N,Ed/N_c,Rd=0.04$ $MN_y,c,Rd=21326.00$ $M_y,Ed/MN_y,c,Rd=0.60$

- Verifica di stabilità aste inflesse (4.2.4.1.3.2) CC 17 SLU - Classe 1
 $L_{cr}=2.35$ Curva b: $\alpha_{imp}=0.34$ $k_c=0.94$ $\psi=1.75$ $M_{cr}=65500.90$ $\lambda_{LT}=0.58$
 $\lambda_{LT,0}=0.40$ $\beta_{LT}=0.75$ $\Phi_{LT}=0.66$ $\beta_{LT}=0.75$ $f=0.97$ $\chi_{LT}=0.95$
 $M_y,Ed=-12873.40$ $M_y,b,Rd=20255.80$ $M_y,Ed/M_y,b,Rd=0.64$

- Verifica di stabilità aste presso-inflesse (C4.2.4.1.3.3.2) - CC 19 SLU - Classe 1
Sollecitazioni: $N,Ed=-6780.46$ $M_y,Ed=-12355.70$ $L=2.35$
 α_{my} , α_{mz} , $\alpha_{LT}=0.95$, 0.95 , 0.95
 $L_{cr}=2.35$ Curva b: $\alpha_{imp}=0.34$ $k_c=0.94$ $\psi=1.75$ $M_{cr}=65500.90$ $\lambda_{LT}=0.58$
 $\lambda_{LT,0}=0.40$ $\Phi_{LT}=0.66$ $\beta_{LT}=0.75$ $f=0.97$ $\chi_{LT}=0.95$
 $\lambda_y=18.86$ $N_{cr,y}=3136160.00$ $\lambda^*_y=0.25$ Curva a: $\Phi_y=0.54$ $\chi_y=0.99$
 $\lambda_z=70.16$ $N_{cr,z}=226601.00$ $\lambda^*_z=0.92$ Curva b: $\Phi_z=1.04$ $\chi_z=0.65$
 K_{yy} , K_{yz} , K_{zy} , $K_{zz}=0.95$, 0.61 , 0.00 , 1.02
Verifica YY: $0.04+0.58=0.62$
Verifica ZZ: $0.04=0.04$

- Verifica freccia massima carichi totali - CC 22
 $f_{z,L}=0.21$ (L/1144)

- Verifica freccia massima per soli carichi accidentali - CC 22
 $f_{z,L}=0.09$ (L/2511)

Asta n. 1138 (1050 -45) Sez. 6 IPE300 Crit. 2

- Verifica a flessione YY [4.2.13] - CC 1 SND $X_l=2.35$ - Classe 3

Relazione di calcolo

Sollecitazioni: $T_z=2700.78$ $M_y=-6996.96$
 $M_y, Ed=-6996.96$ $M_y, c, Rd=18834.90$ $M_y, Ed/M_y, c, Rd=0.37$

- Verifica a taglio dir. Z [4.2.16] - CC 17 SLU $X_l=0.00$ - Classe 1
Sollecitazioni: $T_z=5966.29$
 $V, Ed=5966.29$ $V_c, Rd=50134.20$ $V, Ed/V_c, Rd=0.12$

- Verifica a presso o tenso-flessione retta YY (4.2.4.1.2.7) - CC 17 SLU $X_l=2.35$ - Classe 1
Sollecitazioni: $N=6780.46$ $T_z=4989.83$ $M_y=-12873.40$
 $M_y, Ed=-12873.40$ $M_y, V, c, Rd=21326.00$
 $N, Ed=6780.46$ $N_c, Rd=181940.00$ $YY\ n=N, Ed/N_c, Rd=0.04$ $MNy, c, Rd=21326.00$ $M_y, Ed/MNy, c, Rd=0.60$

- Verifica di stabilità aste inflesse (4.2.4.1.3.2) CC 17 SLU - Classe 1
 $L_{cr}=2.35$ Curva b: $\alpha_{imp}=0.34$ $k_c=0.94$ $\psi=1.75$ $M_{cr}=65500.90$ $\lambda_{LT}=0.58$
 $\lambda_{LT,0}=0.40$ $\beta_{LT}=0.75$ $\Phi_{LT}=0.66$ $\beta_{LT}=0.75$ $f=0.97$ $\chi_{LT}=0.95$
 $M_y, Ed=-12873.40$ $M_y, b, Rd=20255.80$ $M_y, Ed/M_y, b, Rd=0.64$

- Verifica di stabilità aste presso-inflesse (C4.2.4.1.3.3.2) - CC 19 SLU - Classe 1
Sollecitazioni: $N, Ed=-6780.46$ $M_y, Ed=-12355.70$ $L=2.35$
 $\alpha_{my}, \alpha_{mz}, \alpha_{LT}=0.95, 0.95, 0.95$
 $L_{cr}=2.35$ Curva b: $\alpha_{imp}=0.34$ $k_c=0.94$ $\psi=1.75$ $M_{cr}=65500.90$ $\lambda_{LT}=0.58$
 $\lambda_{LT,0}=0.40$ $\Phi_{LT}=0.66$ $\beta_{LT}=0.75$ $f=0.97$ $\chi_{LT}=0.95$
 $\lambda_y=18.86$ $N_{cr,y}=3136160.00$ $\lambda^*_y=0.25$ Curva a: $\Phi_y=0.54$ $\chi_y=0.99$
 $\lambda_z=70.16$ $N_{cr,z}=226601.00$ $\lambda^*_z=0.92$ Curva b: $\Phi_z=1.04$ $\chi_z=0.65$
 $K_{yy}, K_{yz}, K_{zy}, K_{zz}=0.95, 0.61, 0.00, 1.02$
Verifica YY: $0.04+0.58=0.62$
Verifica ZZ: $0.04=0.04$

- Verifica freccia massima carichi totali - CC 22
 $f_{z,g}=0.21$ (L/1144)

- Verifica freccia massima per soli carichi accidentali - CC 22
 $f_{z,L}=0.09$ (L/2514)

Asta n. 1138 (-45 1051) Sez. 6 IPE300 Crit. 2

- Verifica a flessione YY [4.2.13] - CC 1 SND $X_l=0.00$ - Classe 3
Sollecitazioni: $T_z=-2700.79$ $M_y=-6996.96$
 $M_y, Ed=-6996.96$ $M_y, c, Rd=18834.90$ $M_y, Ed/M_y, c, Rd=0.37$

- Verifica a taglio dir. Z [4.2.16] - CC 17 SLU $X_l=2.35$ - Classe 1
Sollecitazioni: $T_z=-5966.29$
 $V, Ed=-5966.29$ $V_c, Rd=50134.20$ $V, Ed/V_c, Rd=0.12$

- Verifica a presso o tenso-flessione retta YY (4.2.4.1.2.7) - CC 17 SLU $X_l=0.00$ - Classe 1
Sollecitazioni: $N=6780.46$ $T_z=-4989.83$ $M_y=-12873.40$
 $M_y, Ed=-12873.40$ $M_y, V, c, Rd=21326.00$
 $N, Ed=6780.46$ $N_c, Rd=181940.00$ $YY\ n=N, Ed/N_c, Rd=0.04$ $MNy, c, Rd=21326.00$ $M_y, Ed/MNy, c, Rd=0.60$

- Verifica di stabilità aste inflesse (4.2.4.1.3.2) CC 17 SLU - Classe 1
 $L_{cr}=2.35$ Curva b: $\alpha_{imp}=0.34$ $k_c=0.94$ $\psi=1.75$ $M_{cr}=65500.90$ $\lambda_{LT}=0.58$
 $\lambda_{LT,0}=0.40$ $\beta_{LT}=0.75$ $\Phi_{LT}=0.66$ $\beta_{LT}=0.75$ $f=0.97$ $\chi_{LT}=0.95$
 $M_y, Ed=-12873.40$ $M_y, b, Rd=20255.80$ $M_y, Ed/M_y, b, Rd=0.64$

- Verifica di stabilità aste presso-inflesse (C4.2.4.1.3.3.2) - CC 19 SLU - Classe 1
Sollecitazioni: $N, Ed=-6780.46$ $M_y, Ed=-12355.70$ $L=2.35$
 $\alpha_{my}, \alpha_{mz}, \alpha_{LT}=0.95, 0.95, 0.95$
 $L_{cr}=2.35$ Curva b: $\alpha_{imp}=0.34$ $k_c=0.94$ $\psi=1.75$ $M_{cr}=65500.90$ $\lambda_{LT}=0.58$
 $\lambda_{LT,0}=0.40$ $\Phi_{LT}=0.66$ $\beta_{LT}=0.75$ $f=0.97$ $\chi_{LT}=0.95$
 $\lambda_y=18.86$ $N_{cr,y}=3136160.00$ $\lambda^*_y=0.25$ Curva a: $\Phi_y=0.54$ $\chi_y=0.99$
 $\lambda_z=70.16$ $N_{cr,z}=226601.00$ $\lambda^*_z=0.92$ Curva b: $\Phi_z=1.04$ $\chi_z=0.65$
 $K_{yy}, K_{yz}, K_{zy}, K_{zz}=0.95, 0.61, 0.00, 1.02$
Verifica YY: $0.04+0.58=0.62$
Verifica ZZ: $0.04=0.04$

- Verifica freccia massima carichi totali - CC 22
 $f_{z,L}=0.21$ (L/1144)

- Verifica freccia massima per soli carichi accidentali - CC 22
 $f_{z,L}=0.09$ (L/2515)

Asta n. 1138 (1051 -46) Sez. 6 IPE300 Crit. 2

- Verifica a flessione YY [4.2.13] - CC 1 SND $X_l=2.80$ - Classe 3
Sollecitazioni: $T_z=3200.69$ $M_y=-9884.87$
 $M_y, Ed=-9884.87$ $M_y, c, Rd=18834.90$ $M_y, Ed/M_y, c, Rd=0.52$

- Verifica a taglio dir. Z [4.2.16] - CC 17 SLU $X_l=0.00$ - Classe 1
Sollecitazioni: $T_z=7086.33$

Relazione di calcolo

V,Ed=7086.33 Vc,Rd=50134.20 V,Ed/Vc,Rd=0.14

- Verifica a presso o tenso-flessione retta YY (4.2.4.1.2.7) - CC 17 SLU Xl=2.80 - Classe 1
Sollecitazioni: N=6780.46 Tz=5922.88 My=-18212.90
My,Ed=-18212.90 My,V,c,Rd=21326.00
N,Ed=6780.46 Nc,Rd=181940.00 YY n=N,Ed/Nc,Rd=0.04 MNy,c,Rd=21326.00 My,Ed/MNy,c,Rd=0.85

- Verifica di stabilità aste inflesse (4.2.4.1.3.2) CC 17 SLU - Classe 1
Lcr=2.80 Curva b: $\alpha_{imp}=0.34$ $k_c=0.94$ $\psi=1.75$ M,cr=48365.20 $\lambda_{LT}=0.68$
 $\lambda_{LT,0}=0.40$ $\beta_{LT}=0.75$ $\Phi_{LT}=0.72$ $\beta_{LT}=0.75$ f=0.97 $\chi_{LT}=0.91$
My,Ed=-18212.90 My,b,Rd=19315.10 My,Ed/My,b,Rd=0.94

- Verifica di stabilità aste presso-inflesse (C4.2.4.1.3.3.2) - CC 19 SLU - Classe 1
Sollecitazioni: N,Ed=-6780.46 My,Ed=-17477.90 L=2.80
 α_{my} , α_{mz} , $\alpha_{LT}=0.95$, 0.95, 0.95
Lcr=2.80 Curva b: $\alpha_{imp}=0.34$ $k_c=0.94$ $\psi=1.75$ M,cr=48365.20 $\lambda_{LT}=0.68$
 $\lambda_{LT,0}=0.40$ $\Phi_{LT}=0.72$ $\beta_{LT}=0.75$ f=0.97 $\chi_{LT}=0.91$
 $\lambda_y=22.47$ Ncr,y=2209120.00 $\lambda^*_y=0.29$ Curva a: $\Phi_y=0.55$ $\chi_y=0.98$
 $\lambda_z=83.59$ Ncr,z=159618.00 $\lambda^*_z=1.09$ Curva b: $\Phi_z=1.25$ $\chi_z=0.54$
Kyy, Kyz, Kzy, Kzz=0.95, 0.63, 0.00, 1.04
Verifica YY: 0.04+0.86=0.90
Verifica ZZ: 0.07=0.07

- Verifica freccia massima carichi totali - CC 22
fz,g=0.40 (L/695)

- Verifica freccia massima per soli carichi accidentali - CC 22
fz,L=0.18 (L/1522)

Asta n. 1138 (-46 1052) Sez. 6 IPE300 Crit. 2

- Verifica a flessione YY [4.2.13] - CC 1 SND Xl=0.00 - Classe 3
Sollecitazioni: Tz=-3200.69 My=-9884.87
My,Ed=-9884.87 My,c,Rd=18834.90 My,Ed/My,c,Rd=0.52

- Verifica a taglio dir. Z [4.2.16] - CC 17 SLU Xl=2.80 - Classe 1
Sollecitazioni: Tz=-7086.33
V,Ed=-7086.33 Vc,Rd=50134.20 V,Ed/Vc,Rd=0.14

- Verifica a presso o tenso-flessione retta YY (4.2.4.1.2.7) - CC 17 SLU Xl=0.00 - Classe 1
Sollecitazioni: N=6780.46 Tz=-5922.88 My=-18212.90
My,Ed=-18212.90 My,V,c,Rd=21326.00
N,Ed=6780.46 Nc,Rd=181940.00 YY n=N,Ed/Nc,Rd=0.04 MNy,c,Rd=21326.00 My,Ed/MNy,c,Rd=0.85

- Verifica di stabilità aste inflesse (4.2.4.1.3.2) CC 17 SLU - Classe 1
Lcr=2.80 Curva b: $\alpha_{imp}=0.34$ $k_c=0.94$ $\psi=1.75$ M,cr=48365.20 $\lambda_{LT}=0.68$
 $\lambda_{LT,0}=0.40$ $\beta_{LT}=0.75$ $\Phi_{LT}=0.72$ $\beta_{LT}=0.75$ f=0.97 $\chi_{LT}=0.91$
My,Ed=-18212.90 My,b,Rd=19315.10 My,Ed/My,b,Rd=0.94

- Verifica di stabilità aste presso-inflesse (C4.2.4.1.3.3.2) - CC 19 SLU - Classe 1
Sollecitazioni: N,Ed=-6780.46 My,Ed=-17477.90 L=2.80
 α_{my} , α_{mz} , $\alpha_{LT}=0.95$, 0.95, 0.95
Lcr=2.80 Curva b: $\alpha_{imp}=0.34$ $k_c=0.94$ $\psi=1.75$ M,cr=48365.20 $\lambda_{LT}=0.68$
 $\lambda_{LT,0}=0.40$ $\Phi_{LT}=0.72$ $\beta_{LT}=0.75$ f=0.97 $\chi_{LT}=0.91$
 $\lambda_y=22.47$ Ncr,y=2209120.00 $\lambda^*_y=0.29$ Curva a: $\Phi_y=0.55$ $\chi_y=0.98$
 $\lambda_z=83.59$ Ncr,z=159618.00 $\lambda^*_z=1.09$ Curva b: $\Phi_z=1.25$ $\chi_z=0.54$
Kyy, Kyz, Kzy, Kzz=0.95, 0.63, 0.00, 1.04
Verifica YY: 0.04+0.86=0.90
Verifica ZZ: 0.07=0.07

- Verifica freccia massima carichi totali - CC 22
fz,L=0.40 (L/694)

- Verifica freccia massima per soli carichi accidentali - CC 22
fz,L=0.18 (L/1520)

Asta n. 1138 (1052 -47) Sez. 6 IPE300 Crit. 2

- Verifica a flessione YY [4.2.13] - CC 1 SND Xl=2.35 - Classe 3
Sollecitazioni: Tz=2700.78 My=-6996.96
My,Ed=-6996.96 My,c,Rd=18834.90 My,Ed/My,c,Rd=0.37

- Verifica a taglio dir. Z [4.2.16] - CC 17 SLU Xl=0.00 - Classe 1
Sollecitazioni: Tz=5966.29
V,Ed=5966.29 Vc,Rd=50134.20 V,Ed/Vc,Rd=0.12

- Verifica a presso o tenso-flessione retta YY (4.2.4.1.2.7) - CC 17 SLU Xl=2.35 - Classe 1
Sollecitazioni: N=6780.46 Tz=4989.83 My=-12873.40
My,Ed=-12873.40 My,V,c,Rd=21326.00

Relazione di calcolo

N,Ed=6780.46 Nc,Rd=181940.00 YY n=N,Ed/Nc,Rd=0.04 MNy,c,Rd=21326.00 My,Ed/MNy,c,Rd=0.60

- Verifica di stabilità aste inflesse (4.2.4.1.3.2) CC 17 SLU - Classe 1
L_{cr}=2.35 Curva b: $\alpha_{imp}=0.34$ $k_c=0.94$ $\psi=1.75$ M_{cr}=65500.90 $\lambda_{LT}=0.58$
 $\lambda_{LT,0}=0.40$ $\beta_{LT}=0.75$ $\Phi_{LT}=0.66$ $\beta_{LT}=0.75$ $f=0.97$ $\chi_{LT}=0.95$
My,Ed=-12873.40 My,b,Rd=20255.80 My,Ed/My,b,Rd=0.64

- Verifica di stabilità aste presso-inflesse (C4.2.4.1.3.3.2) - CC 19 SLU - Classe 1
Sollecitazioni: N,Ed=-6780.46 My,Ed=-12355.70 L=2.35
 α_{my} , α_{mz} , $\alpha_{LT}=0.95$, 0.95 , 0.95
L_{cr}=2.35 Curva b: $\alpha_{imp}=0.34$ $k_c=0.94$ $\psi=1.75$ M_{cr}=65500.90 $\lambda_{LT}=0.58$
 $\lambda_{LT,0}=0.40$ $\Phi_{LT}=0.66$ $\beta_{LT}=0.75$ $f=0.97$ $\chi_{LT}=0.95$
 $\lambda_y=18.86$ N_{cr,y}=3136160.00 $\lambda^*_y=0.25$ Curva a: $\Phi_y=0.54$ $\chi_y=0.99$
 $\lambda_z=70.16$ N_{cr,z}=226601.00 $\lambda^*_z=0.92$ Curva b: $\Phi_z=1.04$ $\chi_z=0.65$
K_{yy}, K_{yz}, K_{zy}, K_{zz}=0.95, 0.61, 0.00, 1.02
Verifica YY: 0.04+0.58=0.62
Verifica ZZ: 0.04=0.04

- Verifica freccia massima carichi totali - CC 22
f_{z,L}=0.21 (L/1143)

- Verifica freccia massima per soli carichi accidentali - CC 22
f_{z,L}=0.09 (L/2513)

Asta n. 1138 (-47 1053) Sez. 6 IPE300 Crit. 2

- Verifica a flessione YY [4.2.13] - CC 1 SND Xl=0.00 - Classe 3
Sollecitazioni: T_z=-2700.79 M_y=-6996.96
My,Ed=-6996.96 My,c,Rd=18834.90 My,Ed/My,c,Rd=0.37

- Verifica a taglio dir. Z [4.2.16] - CC 17 SLU Xl=2.35 - Classe 1
Sollecitazioni: T_z=-5966.29
V,Ed=-5966.29 Vc,Rd=50134.20 V,Ed/Vc,Rd=0.12

- Verifica a presso o tenso-flessione retta YY (4.2.4.1.2.7) - CC 17 SLU Xl=0.00 - Classe 1
Sollecitazioni: N=6780.46 T_z=-4989.83 M_y=-12873.40
My,Ed=-12873.40 My,V,c,Rd=21326.00
N,Ed=6780.46 Nc,Rd=181940.00 YY n=N,Ed/Nc,Rd=0.04 MNy,c,Rd=21326.00 My,Ed/MNy,c,Rd=0.60

- Verifica di stabilità aste inflesse (4.2.4.1.3.2) CC 17 SLU - Classe 1
L_{cr}=2.35 Curva b: $\alpha_{imp}=0.34$ $k_c=0.94$ $\psi=1.75$ M_{cr}=65500.90 $\lambda_{LT}=0.58$
 $\lambda_{LT,0}=0.40$ $\beta_{LT}=0.75$ $\Phi_{LT}=0.66$ $\beta_{LT}=0.75$ $f=0.97$ $\chi_{LT}=0.95$
My,Ed=-12873.40 My,b,Rd=20255.80 My,Ed/My,b,Rd=0.64

- Verifica di stabilità aste presso-inflesse (C4.2.4.1.3.3.2) - CC 19 SLU - Classe 1
Sollecitazioni: N,Ed=-6780.46 My,Ed=-12355.70 L=2.35
 α_{my} , α_{mz} , $\alpha_{LT}=0.95$, 0.95 , 0.95
L_{cr}=2.35 Curva b: $\alpha_{imp}=0.34$ $k_c=0.94$ $\psi=1.75$ M_{cr}=65500.90 $\lambda_{LT}=0.58$
 $\lambda_{LT,0}=0.40$ $\Phi_{LT}=0.66$ $\beta_{LT}=0.75$ $f=0.97$ $\chi_{LT}=0.95$
 $\lambda_y=18.86$ N_{cr,y}=3136160.00 $\lambda^*_y=0.25$ Curva a: $\Phi_y=0.54$ $\chi_y=0.99$
 $\lambda_z=70.16$ N_{cr,z}=226601.00 $\lambda^*_z=0.92$ Curva b: $\Phi_z=1.04$ $\chi_z=0.65$
K_{yy}, K_{yz}, K_{zy}, K_{zz}=0.95, 0.61, 0.00, 1.02
Verifica YY: 0.04+0.58=0.62
Verifica ZZ: 0.04=0.04

- Verifica freccia massima carichi totali - CC 22
f_{z,L}=0.21 (L/1145)

- Verifica freccia massima per soli carichi accidentali - CC 22
f_{z,L}=0.09 (L/2513)

Asta n. 1138 (1053 -48) Sez. 6 IPE300 Crit. 2

- Verifica a flessione YY [4.2.13] - CC 1 SND Xl=2.35 - Classe 3
Sollecitazioni: T_z=2700.78 M_y=-6996.96
My,Ed=-6996.96 My,c,Rd=18834.90 My,Ed/My,c,Rd=0.37

- Verifica a taglio dir. Z [4.2.16] - CC 17 SLU Xl=0.00 - Classe 1
Sollecitazioni: T_z=5966.29
V,Ed=5966.29 Vc,Rd=50134.20 V,Ed/Vc,Rd=0.12

- Verifica a presso o tenso-flessione retta YY (4.2.4.1.2.7) - CC 17 SLU Xl=2.35 - Classe 1
Sollecitazioni: N=6780.46 T_z=4989.83 M_y=-12873.40
My,Ed=-12873.40 My,V,c,Rd=21326.00
N,Ed=6780.46 Nc,Rd=181940.00 YY n=N,Ed/Nc,Rd=0.04 MNy,c,Rd=21326.00 My,Ed/MNy,c,Rd=0.60

- Verifica di stabilità aste inflesse (4.2.4.1.3.2) CC 17 SLU - Classe 1
L_{cr}=2.35 Curva b: $\alpha_{imp}=0.34$ $k_c=0.94$ $\psi=1.75$ M_{cr}=65501.00 $\lambda_{LT}=0.58$
 $\lambda_{LT,0}=0.40$ $\beta_{LT}=0.75$ $\Phi_{LT}=0.66$ $\beta_{LT}=0.75$ $f=0.97$ $\chi_{LT}=0.95$

Relazione di calcolo

My,Ed=-12873.40 My,b,Rd=20255.80 My,Ed/My,b,Rd=0.64

- Verifica di stabilità aste presso-inflesse (C4.2.4.1.3.3.2) - CC 19 SLU - Classe 1
 Sollecitazioni: N,Ed=-6780.46 My,Ed=-12355.70 L=2.35
 α_{my} , α_{mz} , $\alpha_{LT}=0.95$, 0.95, 0.95
 $L_{cr}=2.35$ Curva b: $\alpha_{imp}=0.34$ $k_c=0.94$ $\psi=1.75$ M,cr=65501.00 $\lambda_{LT}=0.58$
 $\lambda_{LT,0}=0.40$ $\Phi_{LT}=0.66$ $\beta_{LT}=0.75$ f=0.97 $\chi_{LT}=0.95$
 $\lambda_y=18.86$ Ncr,y=3136170.00 $\lambda^*_y=0.25$ Curva a: $\Phi_y=0.54$ $\chi_y=0.99$
 $\lambda_z=70.16$ Ncr,z=226601.00 $\lambda^*_z=0.92$ Curva b: $\Phi_z=1.04$ $\chi_z=0.65$
 Kyy, Kyz, Kzy, Kzz=0.95, 0.61, 0.00, 1.02
 Verifica YY: 0.04+0.58=0.62
 Verifica ZZ: 0.04=0.04

- Verifica freccia massima carichi totali - CC 22
 $f_{z,L}=0.21$ (L/1144)

- Verifica freccia massima per soli carichi accidentali - CC 22
 $f_{z,L}=0.09$ (L/2515)

Asta n. 1138 (-48 1054) Sez. 6 IPE300 Crit. 2

- Verifica a flessione YY [4.2.13] - CC 1 SND Xl=0.00 - Classe 3
 Sollecitazioni: Tz=-2700.79 My=-6996.96
 My,Ed=-6996.96 My,c,Rd=18834.90 My,Ed/My,c,Rd=0.37

- Verifica a taglio dir. Z [4.2.16] - CC 17 SLU Xl=2.35 - Classe 1
 Sollecitazioni: Tz=-5966.29
 V,Ed=-5966.29 Vc,Rd=50134.20 V,Ed/Vc,Rd=0.12

- Verifica a presso o tenso-flessione retta YY (4.2.4.1.2.7) - CC 17 SLU Xl=0.00 - Classe 1
 Sollecitazioni: N=6780.46 Tz=-4989.83 My=-12873.40
 My,Ed=-12873.40 My,V,c,Rd=21326.00
 N,Ed=6780.46 Nc,Rd=181940.00 YY n=N,Ed/Nc,Rd=0.04 MMy,c,Rd=21326.00 My,Ed/MMy,c,Rd=0.60

- Verifica di stabilità aste inflesse (4.2.4.1.3.2) CC 17 SLU - Classe 1
 $L_{cr}=2.35$ Curva b: $\alpha_{imp}=0.34$ $k_c=0.94$ $\psi=1.75$ M,cr=65500.90 $\lambda_{LT}=0.58$
 $\lambda_{LT,0}=0.40$ $\beta_{LT}=0.75$ $\Phi_{LT}=0.66$ $\beta_{LT}=0.75$ f=0.97 $\chi_{LT}=0.95$
 My,Ed=-12873.40 My,b,Rd=20255.80 My,Ed/My,b,Rd=0.64

- Verifica di stabilità aste presso-inflesse (C4.2.4.1.3.3.2) - CC 19 SLU - Classe 1
 Sollecitazioni: N,Ed=-6780.46 My,Ed=-12355.70 L=2.35
 α_{my} , α_{mz} , $\alpha_{LT}=0.95$, 0.95, 0.95
 $L_{cr}=2.35$ Curva b: $\alpha_{imp}=0.34$ $k_c=0.94$ $\psi=1.75$ M,cr=65500.90 $\lambda_{LT}=0.58$
 $\lambda_{LT,0}=0.40$ $\Phi_{LT}=0.66$ $\beta_{LT}=0.75$ f=0.97 $\chi_{LT}=0.95$
 $\lambda_y=18.86$ Ncr,y=3136160.00 $\lambda^*_y=0.25$ Curva a: $\Phi_y=0.54$ $\chi_y=0.99$
 $\lambda_z=70.16$ Ncr,z=226600.00 $\lambda^*_z=0.92$ Curva b: $\Phi_z=1.04$ $\chi_z=0.65$
 Kyy, Kyz, Kzy, Kzz=0.95, 0.61, 0.00, 1.02
 Verifica YY: 0.04+0.58=0.62
 Verifica ZZ: 0.04=0.04

- Verifica freccia massima carichi totali - CC 22
 $f_{z,L}=0.21$ (L/1144)

- Verifica freccia massima per soli carichi accidentali - CC 22
 $f_{z,L}=0.09$ (L/2514)

Asta n. 1140 (1065 -58) Sez. 6 IPE300 Crit. 2

- Verifica a flessione YY [4.2.13] - CC 1 SND Xl=2.80 - Classe 3
 Sollecitazioni: Tz=3200.69 My=-9884.87
 My,Ed=-9884.87 My,c,Rd=18834.90 My,Ed/My,c,Rd=0.52

- Verifica a taglio dir. Z [4.2.16] - CC 17 SLU Xl=0.00 - Classe 1
 Sollecitazioni: Tz=7086.33
 V,Ed=7086.33 Vc,Rd=50134.20 V,Ed/Vc,Rd=0.14

- Verifica a presso o tenso-flessione retta YY (4.2.4.1.2.7) - CC 17 SLU Xl=2.80 - Classe 1
 Sollecitazioni: N=6780.46 Tz=5922.88 My=-18212.90
 My,Ed=-18212.90 My,V,c,Rd=21326.00
 N,Ed=6780.46 Nc,Rd=181940.00 YY n=N,Ed/Nc,Rd=0.04 MMy,c,Rd=21326.00 My,Ed/MMy,c,Rd=0.85

- Verifica di stabilità aste inflesse (4.2.4.1.3.2) CC 17 SLU - Classe 1
 $L_{cr}=2.80$ Curva b: $\alpha_{imp}=0.34$ $k_c=0.94$ $\psi=1.75$ M,cr=48365.20 $\lambda_{LT}=0.68$
 $\lambda_{LT,0}=0.40$ $\beta_{LT}=0.75$ $\Phi_{LT}=0.72$ $\beta_{LT}=0.75$ f=0.97 $\chi_{LT}=0.91$
 My,Ed=-18212.90 My,b,Rd=19315.10 My,Ed/My,b,Rd=0.94

- Verifica di stabilità aste presso-inflesse (C4.2.4.1.3.3.2) - CC 19 SLU - Classe 1
 Sollecitazioni: N,Ed=-6780.46 My,Ed=-17477.90 L=2.80
 α_{my} , α_{mz} , $\alpha_{LT}=0.95$, 0.95, 0.95

Relazione di calcolo

$L_{cr}=2.80$ Curva b: $\alpha_{imp}=0.34$ $k_c=0.94$ $\psi=1.75$ $M_{cr}=48365.20$ $\lambda_{LT}=0.68$
 $\lambda_{LT,0}=0.40$ $\Phi_{LT}=0.72$ $\beta_{LT}=0.75$ $f=0.97$ $\chi_{LT}=0.91$
 $\lambda_y=22.47$ $N_{cr,y}=2209120.00$ $\lambda^*_y=0.29$ Curva a: $\Phi_y=0.55$ $\chi_y=0.98$
 $\lambda_z=83.59$ $N_{cr,z}=159618.00$ $\lambda^*_z=1.09$ Curva b: $\Phi_z=1.25$ $\chi_z=0.54$
 $K_{yy}, K_{yz}, K_{zy}, K_{zz}=0.95, 0.63, 0.00, 1.04$
Verifica YY: $0.04+0.86=0.90$
Verifica ZZ: $0.07=0.07$

- Verifica freccia massima carichi totali - CC 22
 $f_{z,g}=0.40$ (L/695)

- Verifica freccia massima per soli carichi accidentali - CC 22
 $f_{z,L}=0.18$ (L/1521)

Asta n. 1140 (-58 1066) Sez. 6 IPE300 Crit. 2

- Verifica a flessione YY [4.2.13] - CC 1 SND $X_l=0.00$ - Classe 3
Sollecitazioni: $T_z=-3200.69$ $M_y=-9884.87$
 $M_y,Ed=-9884.87$ $M_y,c,Rd=18834.90$ $M_y,Ed/M_y,c,Rd=0.52$

- Verifica a taglio dir. Z [4.2.16] - CC 17 SLU $X_l=2.80$ - Classe 1
Sollecitazioni: $T_z=-7086.33$
 $V,Ed=-7086.33$ $V_c,Rd=50134.20$ $V,Ed/V_c,Rd=0.14$

- Verifica a presso o tenso-flessione retta YY (4.2.4.1.2.7) - CC 17 SLU $X_l=0.00$ - Classe 1
Sollecitazioni: $N=6780.46$ $T_z=-5922.88$ $M_y=-18212.90$
 $M_y,Ed=-18212.90$ $M_y,V,c,Rd=21326.00$
 $N,Ed=6780.46$ $N_c,Rd=181940.00$ $YY\ n=N,Ed/N_c,Rd=0.04$ $MN_y,c,Rd=21326.00$ $M_y,Ed/MN_y,c,Rd=0.85$

- Verifica di stabilità aste inflesse (4.2.4.1.3.2) CC 17 SLU - Classe 1
 $L_{cr}=2.80$ Curva b: $\alpha_{imp}=0.34$ $k_c=0.94$ $\psi=1.75$ $M_{cr}=48365.20$ $\lambda_{LT}=0.68$
 $\lambda_{LT,0}=0.40$ $\beta_{LT}=0.75$ $\Phi_{LT}=0.72$ $\beta_{LT}=0.75$ $f=0.97$ $\chi_{LT}=0.91$
 $M_y,Ed=-18212.90$ $M_y,b,Rd=19315.10$ $M_y,Ed/M_y,b,Rd=0.94$

- Verifica di stabilità aste presso-inflesse (4.2.4.1.3.3.2) - CC 19 SLU - Classe 1
Sollecitazioni: $N,Ed=-6780.46$ $M_y,Ed=-17477.90$ $L=2.80$
 $\alpha_{my}, \alpha_{mz}, \alpha_{LT}=0.95, 0.95, 0.95$
 $L_{cr}=2.80$ Curva b: $\alpha_{imp}=0.34$ $k_c=0.94$ $\psi=1.75$ $M_{cr}=48365.20$ $\lambda_{LT}=0.68$
 $\lambda_{LT,0}=0.40$ $\Phi_{LT}=0.72$ $\beta_{LT}=0.75$ $f=0.97$ $\chi_{LT}=0.91$
 $\lambda_y=22.47$ $N_{cr,y}=2209120.00$ $\lambda^*_y=0.29$ Curva a: $\Phi_y=0.55$ $\chi_y=0.98$
 $\lambda_z=83.59$ $N_{cr,z}=159618.00$ $\lambda^*_z=1.09$ Curva b: $\Phi_z=1.25$ $\chi_z=0.54$
 $K_{yy}, K_{yz}, K_{zy}, K_{zz}=0.95, 0.63, 0.00, 1.04$
Verifica YY: $0.04+0.86=0.90$
Verifica ZZ: $0.07=0.07$

- Verifica freccia massima carichi totali - CC 22
 $f_{z,L}=0.40$ (L/694)

- Verifica freccia massima per soli carichi accidentali - CC 22
 $f_{z,L}=0.18$ (L/1521)

Asta n. 1140 (1066 -59) Sez. 6 IPE300 Crit. 2

- Verifica a flessione YY [4.2.13] - CC 1 SND $X_l=2.35$ - Classe 3
Sollecitazioni: $T_z=1395.48$ $M_y=-3662.75$
 $M_y,Ed=-3662.75$ $M_y,c,Rd=18834.90$ $M_y,Ed/M_y,c,Rd=0.19$

- Verifica a taglio dir. Z [4.2.16] - CC 17 SLU $X_l=0.00$ - Classe 1
Sollecitazioni: $T_z=3106.28$
 $V,Ed=3106.28$ $V_c,Rd=50134.20$ $V,Ed/V_c,Rd=0.06$

- Verifica a presso o tenso-flessione retta YY (4.2.4.1.2.7) - CC 17 SLU $X_l=2.35$ - Classe 1
Sollecitazioni: $N=6780.46$ $T_z=2553.52$ $M_y=-6650.27$
 $M_y,Ed=-6650.27$ $M_y,V,c,Rd=21326.00$
 $N,Ed=6780.46$ $N_c,Rd=181940.00$ $YY\ n=N,Ed/N_c,Rd=0.04$ $MN_y,c,Rd=21326.00$ $M_y,Ed/MN_y,c,Rd=0.31$

- Verifica di stabilità aste inflesse (4.2.4.1.3.2) CC 17 SLU - Classe 1
 $L_{cr}=2.35$ Curva b: $\alpha_{imp}=0.34$ $k_c=0.94$ $\psi=1.75$ $M_{cr}=65500.90$ $\lambda_{LT}=0.58$
 $\lambda_{LT,0}=0.40$ $\beta_{LT}=0.75$ $\Phi_{LT}=0.66$ $\beta_{LT}=0.75$ $f=0.97$ $\chi_{LT}=0.95$
 $M_y,Ed=-6650.27$ $M_y,b,Rd=20255.80$ $M_y,Ed/M_y,b,Rd=0.33$

- Verifica di stabilità aste presso-inflesse (4.2.4.1.3.3.2) - CC 19 SLU - Classe 1
Sollecitazioni: $N,Ed=-6780.46$ $M_y,Ed=-6391.41$ $L=2.35$
 $\alpha_{my}, \alpha_{mz}, \alpha_{LT}=0.95, 0.95, 0.95$
 $L_{cr}=2.35$ Curva b: $\alpha_{imp}=0.34$ $k_c=0.94$ $\psi=1.75$ $M_{cr}=65500.90$ $\lambda_{LT}=0.58$
 $\lambda_{LT,0}=0.40$ $\Phi_{LT}=0.66$ $\beta_{LT}=0.75$ $f=0.97$ $\chi_{LT}=0.95$
 $\lambda_y=18.86$ $N_{cr,y}=3136160.00$ $\lambda^*_y=0.25$ Curva a: $\Phi_y=0.54$ $\chi_y=0.99$
 $\lambda_z=70.16$ $N_{cr,z}=226601.00$ $\lambda^*_z=0.92$ Curva b: $\Phi_z=1.04$ $\chi_z=0.65$
 $K_{yy}, K_{yz}, K_{zy}, K_{zz}=0.95, 0.61, 0.00, 1.02$

Relazione di calcolo

- Verifica YY: $0.04+0.30=0.34$
Verifica ZZ: $0.04=0.04$
- Verifica freccia massima carichi totali - CC 22
 $f_{z,L}=0.11$ (L/2201)
- Verifica freccia massima per soli carichi accidentali - CC 22
 $f_{z,L}=0.05$ (L/5026)
- Asta n. 1140 (-59 1067) Sez. 6 IPE300 Crit. 2

- Verifica a flessione YY [4.2.13] - CC 1 SND $X_l=0.00$ - Classe 3
Sollecitazioni: $T_z=-1395.48$ $M_y=-3662.75$
 $M_y,Ed=-3662.75$ $M_y,c,Rd=18834.90$ $M_y,Ed/M_y,c,Rd=0.19$
- Verifica a taglio dir. Z [4.2.16] - CC 17 SLU $X_l=2.35$ - Classe 1
Sollecitazioni: $T_z=-3106.28$
 $V,Ed=-3106.28$ $V_c,Rd=50134.20$ $V,Ed/V_c,Rd=0.06$
- Verifica a presso o tenso-flessione retta YY (4.2.4.1.2.7) - CC 17 SLU $X_l=0.00$ - Classe 1
Sollecitazioni: $N=6780.46$ $T_z=-2553.52$ $M_y=-6650.27$
 $M_y,Ed=-6650.27$ $M_y,V,c,Rd=21326.00$
 $N,Ed=6780.46$ $N_c,Rd=181940.00$ $YY\ n=N,Ed/N_c,Rd=0.04$ $MNy,c,Rd=21326.00$ $M_y,Ed/MNy,c,Rd=0.31$
- Verifica di stabilità aste inflesse (4.2.4.1.3.2) CC 17 SLU - Classe 1
 $L_{cr}=2.35$ Curva b: $\alpha_{imp}=0.34$ $k_c=0.94$ $\psi=1.75$ $M_{cr}=65500.90$ $\lambda_{LT}=0.58$
 $\lambda_{LT,0}=0.40$ $\beta_{LT}=0.75$ $\Phi_{LT}=0.66$ $\beta_{LT}=0.75$ $f=0.97$ $\chi_{LT}=0.95$
 $M_y,Ed=-6650.27$ $M_y,b,Rd=20255.80$ $M_y,Ed/M_y,b,Rd=0.33$
- Verifica di stabilità aste presso-inflesse (C4.2.4.1.3.3.2) - CC 19 SLU - Classe 1
Sollecitazioni: $N,Ed=-6780.46$ $M_y,Ed=-6391.41$ $L=2.35$
 $\alpha_m, \alpha_mz, \alpha_{LT}=0.95, 0.95, 0.95$
 $L_{cr}=2.35$ Curva b: $\alpha_{imp}=0.34$ $k_c=0.94$ $\psi=1.75$ $M_{cr}=65500.90$ $\lambda_{LT}=0.58$
 $\lambda_{LT,0}=0.40$ $\Phi_{LT}=0.66$ $\beta_{LT}=0.75$ $f=0.97$ $\chi_{LT}=0.95$
 $\lambda_y=18.86$ $N_{cr,y}=3136160.00$ $\lambda^*_y=0.25$ Curva a: $\Phi_y=0.54$ $\chi_y=0.99$
 $\lambda_z=70.16$ $N_{cr,z}=226601.00$ $\lambda^*_z=0.92$ Curva b: $\Phi_z=1.04$ $\chi_z=0.65$
 $K_{yy}, K_{yz}, K_{zy}, K_{zz}=0.95, 0.61, 0.00, 1.02$
Verifica YY: $0.04+0.30=0.34$
Verifica ZZ: $0.04=0.04$
- Verifica freccia massima carichi totali - CC 22
 $f_{z,L}=0.11$ (L/2200)
- Verifica freccia massima per soli carichi accidentali - CC 22
 $f_{z,L}=0.05$ (L/5028)
- Asta n. 1140 (1067 -60) Sez. 6 IPE300 Crit. 2

- Verifica a flessione YY [4.2.13] - CC 1 SND $X_l=2.35$ - Classe 3
Sollecitazioni: $T_z=2700.78$ $M_y=-6996.96$
 $M_y,Ed=-6996.96$ $M_y,c,Rd=18834.90$ $M_y,Ed/M_y,c,Rd=0.37$
- Verifica a taglio dir. Z [4.2.16] - CC 17 SLU $X_l=0.00$ - Classe 1
Sollecitazioni: $T_z=5966.29$
 $V,Ed=5966.29$ $V_c,Rd=50134.20$ $V,Ed/V_c,Rd=0.12$
- Verifica a presso o tenso-flessione retta YY (4.2.4.1.2.7) - CC 17 SLU $X_l=2.35$ - Classe 1
Sollecitazioni: $N=6780.46$ $T_z=4989.83$ $M_y=-12873.40$
 $M_y,Ed=-12873.40$ $M_y,V,c,Rd=21326.00$
 $N,Ed=6780.46$ $N_c,Rd=181940.00$ $YY\ n=N,Ed/N_c,Rd=0.04$ $MNy,c,Rd=21326.00$ $M_y,Ed/MNy,c,Rd=0.60$
- Verifica di stabilità aste inflesse (4.2.4.1.3.2) CC 17 SLU - Classe 1
 $L_{cr}=2.35$ Curva b: $\alpha_{imp}=0.34$ $k_c=0.94$ $\psi=1.75$ $M_{cr}=65500.90$ $\lambda_{LT}=0.58$
 $\lambda_{LT,0}=0.40$ $\beta_{LT}=0.75$ $\Phi_{LT}=0.66$ $\beta_{LT}=0.75$ $f=0.97$ $\chi_{LT}=0.95$
 $M_y,Ed=-12873.40$ $M_y,b,Rd=20255.80$ $M_y,Ed/M_y,b,Rd=0.64$
- Verifica di stabilità aste presso-inflesse (C4.2.4.1.3.3.2) - CC 19 SLU - Classe 1
Sollecitazioni: $N,Ed=-6780.46$ $M_y,Ed=-12355.70$ $L=2.35$
 $\alpha_m, \alpha_mz, \alpha_{LT}=0.95, 0.95, 0.95$
 $L_{cr}=2.35$ Curva b: $\alpha_{imp}=0.34$ $k_c=0.94$ $\psi=1.75$ $M_{cr}=65500.90$ $\lambda_{LT}=0.58$
 $\lambda_{LT,0}=0.40$ $\Phi_{LT}=0.66$ $\beta_{LT}=0.75$ $f=0.97$ $\chi_{LT}=0.95$
 $\lambda_y=18.86$ $N_{cr,y}=3136160.00$ $\lambda^*_y=0.25$ Curva a: $\Phi_y=0.54$ $\chi_y=0.99$
 $\lambda_z=70.16$ $N_{cr,z}=226601.00$ $\lambda^*_z=0.92$ Curva b: $\Phi_z=1.04$ $\chi_z=0.65$
 $K_{yy}, K_{yz}, K_{zy}, K_{zz}=0.95, 0.61, 0.00, 1.02$
Verifica YY: $0.04+0.58=0.62$
Verifica ZZ: $0.04=0.04$
- Verifica freccia massima carichi totali - CC 22
 $f_{z,L}=0.21$ (L/1144)

Relazione di calcolo

- Verifica freccia massima per soli carichi accidentali - CC 22
 $f_{z,L}=0.09$ (L/2515)

Asta n. 1140 (-60 1068) Sez. 6 IPE300 Crit. 2

- Verifica a flessione YY [4.2.13] - CC 1 SND $X_1=0.00$ - Classe 3
Sollecitazioni: $T_z=-2700.79$ $M_y=-6996.96$
 $M_y,Ed=-6996.96$ $M_y,c,Rd=18834.90$ $M_y,Ed/M_y,c,Rd=0.37$

- Verifica a taglio dir. Z [4.2.16] - CC 17 SLU $X_1=2.35$ - Classe 1
Sollecitazioni: $T_z=-5966.29$
 $V,Ed=-5966.29$ $V_c,Rd=50134.20$ $V,Ed/V_c,Rd=0.12$

- Verifica a presso o tenso-flessione retta YY (4.2.4.1.2.7) - CC 17 SLU $X_1=0.00$ - Classe 1
Sollecitazioni: $N=6780.46$ $T_z=-4989.83$ $M_y=-12873.40$
 $M_y,Ed=-12873.40$ $M_y,V,c,Rd=21326.00$
 $N,Ed=6780.46$ $N_c,Rd=181940.00$ $YY\ n=N,Ed/N_c,Rd=0.04$ $MN_y,c,Rd=21326.00$ $M_y,Ed/MN_y,c,Rd=0.60$

- Verifica di stabilità aste inflesse (4.2.4.1.3.2) CC 17 SLU - Classe 1
 $L_{cr}=2.35$ Curva b: $\alpha_{imp}=0.34$ $k_c=0.94$ $\psi=1.75$ $M_{cr}=65500.90$ $\lambda_{LT}=0.58$
 $\lambda_{LT,0}=0.40$ $\beta_{LT}=0.75$ $\Phi_{LT}=0.66$ $\beta_{LT}=0.75$ $f=0.97$ $\chi_{LT}=0.95$
 $M_y,Ed=-12873.40$ $M_y,b,Rd=20255.80$ $M_y,Ed/M_y,b,Rd=0.64$

- Verifica di stabilità aste presso-inflesse (4.2.4.1.3.3.2) - CC 19 SLU - Classe 1
Sollecitazioni: $N,Ed=-6780.46$ $M_y,Ed=-12355.70$ $L=2.35$
 α_{my} , α_{mz} , $\alpha_{LT}=0.95$, 0.95 , 0.95
 $L_{cr}=2.35$ Curva b: $\alpha_{imp}=0.34$ $k_c=0.94$ $\psi=1.75$ $M_{cr}=65500.90$ $\lambda_{LT}=0.58$
 $\lambda_{LT,0}=0.40$ $\Phi_{LT}=0.66$ $\beta_{LT}=0.75$ $f=0.97$ $\chi_{LT}=0.95$
 $\lambda_y=18.86$ $N_{cr,y}=3136160.00$ $\lambda^*_y=0.25$ Curva a: $\Phi_y=0.54$ $\chi_y=0.99$
 $\lambda_z=70.16$ $N_{cr,z}=226601.00$ $\lambda^*_z=0.92$ Curva b: $\Phi_z=1.04$ $\chi_z=0.65$
 K_{yy} , K_{yz} , K_{zy} , $K_{zz}=0.95$, 0.61 , 0.00 , 1.02
Verifica YY: $0.04+0.58=0.62$
Verifica ZZ: $0.04=0.04$

- Verifica freccia massima carichi totali - CC 22
 $f_{z,L}=0.21$ (L/1144)

- Verifica freccia massima per soli carichi accidentali - CC 22
 $f_{z,L}=0.09$ (L/2513)

Asta n. 1140 (1068 -61) Sez. 6 IPE300 Crit. 2

- Verifica a flessione YY [4.2.13] - CC 1 SND $X_1=2.80$ - Classe 3
Sollecitazioni: $T_z=3200.69$ $M_y=-9884.87$
 $M_y,Ed=-9884.87$ $M_y,c,Rd=18834.90$ $M_y,Ed/M_y,c,Rd=0.52$

- Verifica a taglio dir. Z [4.2.16] - CC 17 SLU $X_1=0.00$ - Classe 1
Sollecitazioni: $T_z=7086.33$
 $V,Ed=7086.33$ $V_c,Rd=50134.20$ $V,Ed/V_c,Rd=0.14$

- Verifica a presso o tenso-flessione retta YY (4.2.4.1.2.7) - CC 17 SLU $X_1=2.80$ - Classe 1
Sollecitazioni: $N=6780.46$ $T_z=5922.88$ $M_y=-18212.90$
 $M_y,Ed=-18212.90$ $M_y,V,c,Rd=21326.00$
 $N,Ed=6780.46$ $N_c,Rd=181940.00$ $YY\ n=N,Ed/N_c,Rd=0.04$ $MN_y,c,Rd=21326.00$ $M_y,Ed/MN_y,c,Rd=0.85$

- Verifica di stabilità aste inflesse (4.2.4.1.3.2) CC 17 SLU - Classe 1
 $L_{cr}=2.80$ Curva b: $\alpha_{imp}=0.34$ $k_c=0.94$ $\psi=1.75$ $M_{cr}=48365.20$ $\lambda_{LT}=0.68$
 $\lambda_{LT,0}=0.40$ $\beta_{LT}=0.75$ $\Phi_{LT}=0.72$ $\beta_{LT}=0.75$ $f=0.97$ $\chi_{LT}=0.91$
 $M_y,Ed=-18212.90$ $M_y,b,Rd=19315.10$ $M_y,Ed/M_y,b,Rd=0.94$

- Verifica di stabilità aste presso-inflesse (4.2.4.1.3.3.2) - CC 19 SLU - Classe 1
Sollecitazioni: $N,Ed=-6780.46$ $M_y,Ed=-17477.90$ $L=2.80$
 α_{my} , α_{mz} , $\alpha_{LT}=0.95$, 0.95 , 0.95
 $L_{cr}=2.80$ Curva b: $\alpha_{imp}=0.34$ $k_c=0.94$ $\psi=1.75$ $M_{cr}=48365.20$ $\lambda_{LT}=0.68$
 $\lambda_{LT,0}=0.40$ $\Phi_{LT}=0.72$ $\beta_{LT}=0.75$ $f=0.97$ $\chi_{LT}=0.91$
 $\lambda_y=22.47$ $N_{cr,y}=2209120.00$ $\lambda^*_y=0.29$ Curva a: $\Phi_y=0.55$ $\chi_y=0.98$
 $\lambda_z=83.59$ $N_{cr,z}=159618.00$ $\lambda^*_z=1.09$ Curva b: $\Phi_z=1.25$ $\chi_z=0.54$
 K_{yy} , K_{yz} , K_{zy} , $K_{zz}=0.95$, 0.63 , 0.00 , 1.04
Verifica YY: $0.04+0.86=0.90$
Verifica ZZ: $0.07=0.07$

- Verifica freccia massima carichi totali - CC 22
 $f_{z,G}=0.40$ (L/695)

- Verifica freccia massima per soli carichi accidentali - CC 22
 $f_{z,G}=0.18$ (L/1522)

Asta n. 1140 (-61 1069) Sez. 6 IPE300 Crit. 2

Relazione di calcolo

- Verifica a flessione YY [4.2.13] - CC 1 SND $X_l=0.00$ - Classe 3
Sollecitazioni: $T_z=-3200.69$ $M_y=-9884.87$
 $M_y,Ed=-9884.87$ $M_y,c,Rd=18834.90$ $M_y,Ed/M_y,c,Rd=0.52$

- Verifica a taglio dir. Z [4.2.16] - CC 17 SLU $X_l=2.80$ - Classe 1
Sollecitazioni: $T_z=-7086.33$
 $V,Ed=-7086.33$ $V_c,Rd=50134.20$ $V,Ed/V_c,Rd=0.14$

- Verifica a presso o tenso-flessione retta YY (4.2.4.1.2.7) - CC 17 SLU $X_l=0.00$ - Classe 1
Sollecitazioni: $N=6780.46$ $T_z=-5922.88$ $M_y=-18212.90$
 $M_y,Ed=-18212.90$ $M_y,V,c,Rd=21326.00$
 $N,Ed=6780.46$ $N_c,Rd=181940.00$ $YY\ n=N,Ed/N_c,Rd=0.04$ $MN_y,c,Rd=21326.00$ $M_y,Ed/MN_y,c,Rd=0.85$

- Verifica di stabilità aste inflesse (4.2.4.1.3.2) CC 17 SLU - Classe 1
 $L_{cr}=2.80$ Curva b: $\alpha_{imp}=0.34$ $k_c=0.94$ $\psi=1.75$ $M_{cr}=48365.20$ $\lambda_{LT}=0.68$
 $\lambda_{LT,0}=0.40$ $\beta_{LT}=0.75$ $\Phi_{LT}=0.72$ $\beta_{LT}=0.75$ $f=0.97$ $\chi_{LT}=0.91$
 $M_y,Ed=-18212.90$ $M_y,b,Rd=19315.10$ $M_y,Ed/M_y,b,Rd=0.94$

- Verifica di stabilità aste presso-inflesse (C4.2.4.1.3.3.2) - CC 19 SLU - Classe 1
Sollecitazioni: $N,Ed=-6780.46$ $M_y,Ed=-17477.90$ $L=2.80$
 $\alpha_m, \alpha_mz, \alpha_{LT}=0.95, 0.95, 0.95$
 $L_{cr}=2.80$ Curva b: $\alpha_{imp}=0.34$ $k_c=0.94$ $\psi=1.75$ $M_{cr}=48365.20$ $\lambda_{LT}=0.68$
 $\lambda_{LT,0}=0.40$ $\Phi_{LT}=0.72$ $\beta_{LT}=0.75$ $f=0.97$ $\chi_{LT}=0.91$
 $\lambda_y=22.47$ $N_{cr,y}=2209120.00$ $\lambda^*_y=0.29$ Curva a: $\Phi_y=0.55$ $\chi_y=0.98$
 $\lambda_z=83.59$ $N_{cr,z}=159618.00$ $\lambda^*_z=1.09$ Curva b: $\Phi_z=1.25$ $\chi_z=0.54$
 $K_{yy}, K_{yz}, K_{zy}, K_{zz}=0.95, 0.63, 0.00, 1.04$
Verifica YY: $0.04+0.86=0.90$
Verifica ZZ: $0.07=0.07$

- Verifica freccia massima carichi totali - CC 22
 $f_{z,L}=0.40$ (L/694)

- Verifica freccia massima per soli carichi accidentali - CC 22
 $f_{z,L}=0.18$ (L/1520)

Asta n. 1140 (1069 -62) Sez. 6 IPE300 Crit. 2

- Verifica a flessione YY [4.2.13] - CC 1 SND $X_l=2.35$ - Classe 3
Sollecitazioni: $T_z=1395.48$ $M_y=-3662.75$
 $M_y,Ed=-3662.75$ $M_y,c,Rd=18834.90$ $M_y,Ed/M_y,c,Rd=0.19$

- Verifica a taglio dir. Z [4.2.16] - CC 17 SLU $X_l=0.00$ - Classe 1
Sollecitazioni: $T_z=3106.28$
 $V,Ed=3106.28$ $V_c,Rd=50134.20$ $V,Ed/V_c,Rd=0.06$

- Verifica a presso o tenso-flessione retta YY (4.2.4.1.2.7) - CC 17 SLU $X_l=2.35$ - Classe 1
Sollecitazioni: $N=6780.46$ $T_z=2553.52$ $M_y=-6650.27$
 $M_y,Ed=-6650.27$ $M_y,V,c,Rd=21326.00$
 $N,Ed=6780.46$ $N_c,Rd=181940.00$ $YY\ n=N,Ed/N_c,Rd=0.04$ $MN_y,c,Rd=21326.00$ $M_y,Ed/MN_y,c,Rd=0.31$

- Verifica di stabilità aste inflesse (4.2.4.1.3.2) CC 17 SLU - Classe 1
 $L_{cr}=2.35$ Curva b: $\alpha_{imp}=0.34$ $k_c=0.94$ $\psi=1.75$ $M_{cr}=65500.90$ $\lambda_{LT}=0.58$
 $\lambda_{LT,0}=0.40$ $\beta_{LT}=0.75$ $\Phi_{LT}=0.66$ $\beta_{LT}=0.75$ $f=0.97$ $\chi_{LT}=0.95$
 $M_y,Ed=-6650.27$ $M_y,b,Rd=20255.80$ $M_y,Ed/M_y,b,Rd=0.33$

- Verifica di stabilità aste presso-inflesse (C4.2.4.1.3.3.2) - CC 19 SLU - Classe 1
Sollecitazioni: $N,Ed=-6780.46$ $M_y,Ed=-6391.41$ $L=2.35$
 $\alpha_m, \alpha_mz, \alpha_{LT}=0.95, 0.95, 0.95$
 $L_{cr}=2.35$ Curva b: $\alpha_{imp}=0.34$ $k_c=0.94$ $\psi=1.75$ $M_{cr}=65500.90$ $\lambda_{LT}=0.58$
 $\lambda_{LT,0}=0.40$ $\Phi_{LT}=0.66$ $\beta_{LT}=0.75$ $f=0.97$ $\chi_{LT}=0.95$
 $\lambda_y=18.86$ $N_{cr,y}=3136160.00$ $\lambda^*_y=0.25$ Curva a: $\Phi_y=0.54$ $\chi_y=0.99$
 $\lambda_z=70.16$ $N_{cr,z}=226601.00$ $\lambda^*_z=0.92$ Curva b: $\Phi_z=1.04$ $\chi_z=0.65$
 $K_{yy}, K_{yz}, K_{zy}, K_{zz}=0.95, 0.61, 0.00, 1.02$
Verifica YY: $0.04+0.30=0.34$
Verifica ZZ: $0.04=0.04$

- Verifica freccia massima carichi totali - CC 22
 $f_{z,L}=0.11$ (L/2201)

- Verifica freccia massima per soli carichi accidentali - CC 22
 $f_{z,L}=0.05$ (L/5023)

Asta n. 1140 (-62 1070) Sez. 6 IPE300 Crit. 2

- Verifica a flessione YY [4.2.13] - CC 1 SND $X_l=0.00$ - Classe 3
Sollecitazioni: $T_z=-1395.48$ $M_y=-3662.75$
 $M_y,Ed=-3662.75$ $M_y,c,Rd=18834.90$ $M_y,Ed/M_y,c,Rd=0.19$

Relazione di calcolo

- Verifica a taglio dir. Z [4.2.16] - CC 17 SLU $X_l=2.35$ - Classe 1
Sollecitazioni: $T_z=-3106.28$
 $V,Ed=-3106.28$ $V_c,Rd=50134.20$ $V,Ed/V_c,Rd=0.06$
- Verifica a presso o tenso-flessione retta YY (4.2.4.1.2.7) - CC 17 SLU $X_l=0.00$ - Classe 1
Sollecitazioni: $N=6780.46$ $T_z=-2553.52$ $M_y=-6650.27$
 $M_y,Ed=-6650.27$ $M_y,V,c,Rd=21326.00$
 $N,Ed=6780.46$ $N_c,Rd=181940.00$ $YY\ n=N,Ed/N_c,Rd=0.04$ $MNy,c,Rd=21326.00$ $M_y,Ed/MNy,c,Rd=0.31$
- Verifica di stabilità aste inflesse (4.2.4.1.3.2) CC 17 SLU - Classe 1
 $L_{cr}=2.35$ Curva b: $\alpha_{imp}=0.34$ $k_c=0.94$ $\psi=1.75$ $M,cr=65500.90$ $\lambda_{LT}=0.58$
 $\lambda_{LT,0}=0.40$ $\beta_{LT}=0.75$ $\Phi_{LT}=0.66$ $\beta_{LT}=0.75$ $f=0.97$ $\chi_{LT}=0.95$
 $M_y,Ed=-6650.27$ $M_y,b,Rd=20255.80$ $M_y,Ed/M_y,b,Rd=0.33$
- Verifica di stabilità aste presso-inflesse (C4.2.4.1.3.3.2) - CC 19 SLU - Classe 1
Sollecitazioni: $N,Ed=-6780.46$ $M_y,Ed=-6391.41$ $L=2.35$
 $\alpha_{my}, \alpha_{mz}, \alpha_{LT}=0.95, 0.95, 0.95$
 $L_{cr}=2.35$ Curva b: $\alpha_{imp}=0.34$ $k_c=0.94$ $\psi=1.75$ $M,cr=65500.90$ $\lambda_{LT}=0.58$
 $\lambda_{LT,0}=0.40$ $\Phi_{LT}=0.66$ $\beta_{LT}=0.75$ $f=0.97$ $\chi_{LT}=0.95$
 $\lambda_y=18.86$ $N_{cr,y}=3136160.00$ $\lambda^*_y=0.25$ Curva a: $\Phi_y=0.54$ $\chi_y=0.99$
 $\lambda_z=70.16$ $N_{cr,z}=226601.00$ $\lambda^*_z=0.92$ Curva b: $\Phi_z=1.04$ $\chi_z=0.65$
 $K_{yy}, K_{yz}, K_{zy}, K_{zz}=0.95, 0.61, 0.00, 1.02$
Verifica YY: $0.04+0.30=0.34$
Verifica ZZ: $0.04=0.04$
- Verifica freccia massima carichi totali - CC 22
 $f_{z,L}=0.11$ (L/2201)
- Verifica freccia massima per soli carichi accidentali - CC 22
 $f_{z,g}=0.05$ (L/5028)
- Asta n. 1140 (1070 -63) Sez. 6 IPE300 Crit. 2

- Verifica a flessione YY [4.2.13] - CC 1 SND $X_l=2.35$ - Classe 3
Sollecitazioni: $T_z=2700.78$ $M_y=-6996.96$
 $M_y,Ed=-6996.96$ $M_y,c,Rd=18834.90$ $M_y,Ed/M_y,c,Rd=0.37$
- Verifica a taglio dir. Z [4.2.16] - CC 17 SLU $X_l=0.00$ - Classe 1
Sollecitazioni: $T_z=5966.29$
 $V,Ed=5966.29$ $V_c,Rd=50134.20$ $V,Ed/V_c,Rd=0.12$
- Verifica a presso o tenso-flessione retta YY (4.2.4.1.2.7) - CC 17 SLU $X_l=2.35$ - Classe 1
Sollecitazioni: $N=6780.46$ $T_z=4989.83$ $M_y=-12873.40$
 $M_y,Ed=-12873.40$ $M_y,V,c,Rd=21326.00$
 $N,Ed=6780.46$ $N_c,Rd=181940.00$ $YY\ n=N,Ed/N_c,Rd=0.04$ $MNy,c,Rd=21326.00$ $M_y,Ed/MNy,c,Rd=0.60$
- Verifica di stabilità aste inflesse (4.2.4.1.3.2) CC 17 SLU - Classe 1
 $L_{cr}=2.35$ Curva b: $\alpha_{imp}=0.34$ $k_c=0.94$ $\psi=1.75$ $M,cr=65500.90$ $\lambda_{LT}=0.58$
 $\lambda_{LT,0}=0.40$ $\beta_{LT}=0.75$ $\Phi_{LT}=0.66$ $\beta_{LT}=0.75$ $f=0.97$ $\chi_{LT}=0.95$
 $M_y,Ed=-12873.40$ $M_y,b,Rd=20255.80$ $M_y,Ed/M_y,b,Rd=0.64$
- Verifica di stabilità aste presso-inflesse (C4.2.4.1.3.3.2) - CC 19 SLU - Classe 1
Sollecitazioni: $N,Ed=-6780.46$ $M_y,Ed=-12355.70$ $L=2.35$
 $\alpha_{my}, \alpha_{mz}, \alpha_{LT}=0.95, 0.95, 0.95$
 $L_{cr}=2.35$ Curva b: $\alpha_{imp}=0.34$ $k_c=0.94$ $\psi=1.75$ $M,cr=65500.90$ $\lambda_{LT}=0.58$
 $\lambda_{LT,0}=0.40$ $\Phi_{LT}=0.66$ $\beta_{LT}=0.75$ $f=0.97$ $\chi_{LT}=0.95$
 $\lambda_y=18.86$ $N_{cr,y}=3136160.00$ $\lambda^*_y=0.25$ Curva a: $\Phi_y=0.54$ $\chi_y=0.99$
 $\lambda_z=70.16$ $N_{cr,z}=226601.00$ $\lambda^*_z=0.92$ Curva b: $\Phi_z=1.04$ $\chi_z=0.65$
 $K_{yy}, K_{yz}, K_{zy}, K_{zz}=0.95, 0.61, 0.00, 1.02$
Verifica YY: $0.04+0.58=0.62$
Verifica ZZ: $0.04=0.04$
- Verifica freccia massima carichi totali - CC 22
 $f_{z,L}=0.21$ (L/1144)
- Verifica freccia massima per soli carichi accidentali - CC 22
 $f_{z,L}=0.09$ (L/2515)
- Asta n. 1140 (-63 1071) Sez. 6 IPE300 Crit. 2

- Verifica a flessione YY [4.2.13] - CC 1 SND $X_l=0.00$ - Classe 3
Sollecitazioni: $T_z=-2700.79$ $M_y=-6996.96$
 $M_y,Ed=-6996.96$ $M_y,c,Rd=18834.90$ $M_y,Ed/M_y,c,Rd=0.37$
- Verifica a taglio dir. Z [4.2.16] - CC 17 SLU $X_l=2.35$ - Classe 1
Sollecitazioni: $T_z=-5966.29$
 $V,Ed=-5966.29$ $V_c,Rd=50134.20$ $V,Ed/V_c,Rd=0.12$
- Verifica a presso o tenso-flessione retta YY (4.2.4.1.2.7) - CC 17 SLU $X_l=0.00$ - Classe 1

Relazione di calcolo

- Sollecitazioni: $N=6780.46$ $T_z=-4989.83$ $M_y=-12873.40$
 $M_y, Ed=-12873.40$ $M_y, V, c, Rd=21326.00$
 $N, Ed=6780.46$ $Nc, Rd=181940.00$ $YY\ n=N, Ed/Nc, Rd=0.04$ $MNy, c, Rd=21326.00$ $M_y, Ed/MNy, c, Rd=0.60$
- Verifica di stabilità aste inflesse (4.2.4.1.3.2) CC 17 SLU - Classe 1
 $L_{cr}=2.35$ Curva b: $\alpha_{imp}=0.34$ $k_c=0.94$ $\psi=1.75$ $M, cr=65500.90$ $\lambda_{LT}=0.58$
 $\lambda_{LT,0}=0.40$ $\beta_{LT}=0.75$ $\Phi_{LT}=0.66$ $\beta_{LT}=0.75$ $f=0.97$ $\chi_{LT}=0.95$
 $M_y, Ed=-12873.40$ $M_y, b, Rd=20255.80$ $M_y, Ed/M_y, b, Rd=0.64$
- Verifica di stabilità aste presso-inflesse (C4.2.4.1.3.3.2) - CC 19 SLU - Classe 1
Sollecitazioni: $N, Ed=-6780.46$ $M_y, Ed=-12355.70$ $L=2.35$
 $\alpha_{my}, \alpha_{mz}, \alpha_{LT}=0.95, 0.95, 0.95$
 $L_{cr}=2.35$ Curva b: $\alpha_{imp}=0.34$ $k_c=0.94$ $\psi=1.75$ $M, cr=65500.90$ $\lambda_{LT}=0.58$
 $\lambda_{LT,0}=0.40$ $\Phi_{LT}=0.66$ $\beta_{LT}=0.75$ $f=0.97$ $\chi_{LT}=0.95$
 $\lambda_y=18.86$ $N_{cr,y}=3136160.00$ $\lambda^*_y=0.25$ Curva a: $\Phi_y=0.54$ $\chi_y=0.99$
 $\lambda_z=70.16$ $N_{cr,z}=226601.00$ $\lambda^*_z=0.92$ Curva b: $\Phi_z=1.04$ $\chi_z=0.65$
 $K_{yy}, K_{yz}, K_{zy}, K_{zz}=0.95, 0.61, 0.00, 1.02$
Verifica YY: $0.04+0.58=0.62$
Verifica ZZ: $0.04=0.04$
- Verifica freccia massima carichi totali - CC 22
 $f_{z,L}=0.21$ (L/1144)
- Verifica freccia massima per soli carichi accidentali - CC 22
 $f_{z,L}=0.09$ (L/2512)
- Asta n. 1140 (1071 -64) Sez. 6 IPE300 Crit. 2

- Verifica a flessione YY [4.2.13] - CC 1 SND $X_l=2.80$ - Classe 3
Sollecitazioni: $T_z=3200.69$ $M_y=-9884.87$
 $M_y, Ed=-9884.87$ $M_y, c, Rd=18834.90$ $M_y, Ed/M_y, c, Rd=0.52$
- Verifica a taglio dir. Z [4.2.16] - CC 17 SLU $X_l=0.00$ - Classe 1
Sollecitazioni: $T_z=7086.33$
 $V, Ed=7086.33$ $Vc, Rd=50134.20$ $V, Ed/Vc, Rd=0.14$
- Verifica a presso o tenso-flessione retta YY (4.2.4.1.2.7) - CC 17 SLU $X_l=2.80$ - Classe 1
Sollecitazioni: $N=6780.46$ $T_z=5922.88$ $M_y=-18212.90$
 $M_y, Ed=-18212.90$ $M_y, V, c, Rd=21326.00$
 $N, Ed=6780.46$ $Nc, Rd=181940.00$ $YY\ n=N, Ed/Nc, Rd=0.04$ $MNy, c, Rd=21326.00$ $M_y, Ed/MNy, c, Rd=0.85$
- Verifica di stabilità aste inflesse (4.2.4.1.3.2) CC 17 SLU - Classe 1
 $L_{cr}=2.80$ Curva b: $\alpha_{imp}=0.34$ $k_c=0.94$ $\psi=1.75$ $M, cr=48365.20$ $\lambda_{LT}=0.68$
 $\lambda_{LT,0}=0.40$ $\beta_{LT}=0.75$ $\Phi_{LT}=0.72$ $\beta_{LT}=0.75$ $f=0.97$ $\chi_{LT}=0.91$
 $M_y, Ed=-18212.90$ $M_y, b, Rd=19315.10$ $M_y, Ed/M_y, b, Rd=0.94$
- Verifica di stabilità aste presso-inflesse (C4.2.4.1.3.3.2) - CC 19 SLU - Classe 1
Sollecitazioni: $N, Ed=-6780.46$ $M_y, Ed=-17477.90$ $L=2.80$
 $\alpha_{my}, \alpha_{mz}, \alpha_{LT}=0.95, 0.95, 0.95$
 $L_{cr}=2.80$ Curva b: $\alpha_{imp}=0.34$ $k_c=0.94$ $\psi=1.75$ $M, cr=48365.20$ $\lambda_{LT}=0.68$
 $\lambda_{LT,0}=0.40$ $\Phi_{LT}=0.72$ $\beta_{LT}=0.75$ $f=0.97$ $\chi_{LT}=0.91$
 $\lambda_y=22.47$ $N_{cr,y}=2209120.00$ $\lambda^*_y=0.29$ Curva a: $\Phi_y=0.55$ $\chi_y=0.98$
 $\lambda_z=83.59$ $N_{cr,z}=159618.00$ $\lambda^*_z=1.09$ Curva b: $\Phi_z=1.25$ $\chi_z=0.54$
 $K_{yy}, K_{yz}, K_{zy}, K_{zz}=0.95, 0.63, 0.00, 1.04$
Verifica YY: $0.04+0.86=0.90$
Verifica ZZ: $0.07=0.07$
- Verifica freccia massima carichi totali - CC 22
 $f_{z,G}=0.40$ (L/695)
- Verifica freccia massima per soli carichi accidentali - CC 22
 $f_{z,L}=0.18$ (L/1522)
- Asta n. 1140 (-64 1072) Sez. 6 IPE300 Crit. 2

- Verifica a flessione YY [4.2.13] - CC 1 SND $X_l=0.00$ - Classe 3
Sollecitazioni: $T_z=-3200.69$ $M_y=-9884.87$
 $M_y, Ed=-9884.87$ $M_y, c, Rd=18834.90$ $M_y, Ed/M_y, c, Rd=0.52$
- Verifica a taglio dir. Z [4.2.16] - CC 17 SLU $X_l=2.80$ - Classe 1
Sollecitazioni: $T_z=-7086.33$
 $V, Ed=-7086.33$ $Vc, Rd=50134.20$ $V, Ed/Vc, Rd=0.14$
- Verifica a presso o tenso-flessione retta YY (4.2.4.1.2.7) - CC 17 SLU $X_l=0.00$ - Classe 1
Sollecitazioni: $N=6780.46$ $T_z=-5922.88$ $M_y=-18212.90$
 $M_y, Ed=-18212.90$ $M_y, V, c, Rd=21326.00$
 $N, Ed=6780.46$ $Nc, Rd=181940.00$ $YY\ n=N, Ed/Nc, Rd=0.04$ $MNy, c, Rd=21326.00$ $M_y, Ed/MNy, c, Rd=0.85$
- Verifica di stabilità aste inflesse (4.2.4.1.3.2) CC 17 SLU - Classe 1

Relazione di calcolo

- $L_{cr}=2.80$ Curva b: $\alpha_{imp}=0.34$ $k_c=0.94$ $\psi=1.75$ $M_{cr}=48365.20$ $\lambda_{LT}=0.68$
 $\lambda_{LT,0}=0.40$ $\beta_{LT}=0.75$ $\Phi_{LT}=0.72$ $\beta_{LT}=0.75$ $f=0.97$ $\chi_{LT}=0.91$
 $M_{y,Ed}=-18212.90$ $M_{y,b,Rd}=19315.10$ $M_{y,Ed}/M_{y,b,Rd}=0.94$
- Verifica di stabilità aste presso-inflesse (C4.2.4.1.3.3.2) - CC 19 SLU - Classe 1
Sollecitazioni: $N_{Ed}=-6780.46$ $M_{y,Ed}=-17477.90$ $L=2.80$
 α_{my} , α_{mz} , $\alpha_{LT}=0.95$, 0.95 , 0.95
 $L_{cr}=2.80$ Curva b: $\alpha_{imp}=0.34$ $k_c=0.94$ $\psi=1.75$ $M_{cr}=48365.20$ $\lambda_{LT}=0.68$
 $\lambda_{LT,0}=0.40$ $\Phi_{LT}=0.72$ $\beta_{LT}=0.75$ $f=0.97$ $\chi_{LT}=0.91$
 $\lambda_y=22.47$ $N_{cr,y}=2209120.00$ $\lambda'_y=0.29$ Curva a: $\Phi_y=0.55$ $\chi_y=0.98$
 $\lambda_z=83.59$ $N_{cr,z}=159618.00$ $\lambda'_z=1.09$ Curva b: $\Phi_z=1.25$ $\chi_z=0.54$
 K_{yy} , K_{yz} , K_{zy} , $K_{zz}=0.95$, 0.63 , 0.00 , 1.04
Verifica YY: $0.04+0.86=0.90$
Verifica ZZ: $0.07=0.07$
- Verifica freccia massima carichi totali - CC 22
 $f_{z,L}=0.40$ (L/695)
- Verifica freccia massima per soli carichi accidentali - CC 22
 $f_{z,g}=0.18$ (L/1521)
- Asta n. 1140 (1072 -65) Sez. 6 IPE300 Crit. 2

- Verifica a flessione YY [4.2.13] - CC 1 SND $X_l=2.35$ - Classe 3
Sollecitazioni: $T_z=1395.48$ $M_y=-3662.75$
 $M_{y,Ed}=-3662.75$ $M_{y,c,Rd}=18834.90$ $M_{y,Ed}/M_{y,c,Rd}=0.19$
- Verifica a taglio dir. Z [4.2.16] - CC 17 SLU $X_l=0.00$ - Classe 1
Sollecitazioni: $T_z=3106.28$
 $V_{Ed}=3106.28$ $V_{c,Rd}=50134.20$ $V_{Ed}/V_{c,Rd}=0.06$
- Verifica a presso o tenso-flessione retta YY (4.2.4.1.2.7) - CC 17 SLU $X_l=2.35$ - Classe 1
Sollecitazioni: $N=6780.46$ $T_z=2553.52$ $M_y=-6650.27$
 $M_{y,Ed}=-6650.27$ $M_{y,V,c,Rd}=21326.00$
 $N_{Ed}=6780.46$ $N_{c,Rd}=181940.00$ $YY\ n=N_{Ed}/N_{c,Rd}=0.04$ $MN_{y,c,Rd}=21326.00$ $M_{y,Ed}/MN_{y,c,Rd}=0.31$
- Verifica di stabilità aste inflesse (4.2.4.1.3.2) CC 17 SLU - Classe 1
 $L_{cr}=2.35$ Curva b: $\alpha_{imp}=0.34$ $k_c=0.94$ $\psi=1.75$ $M_{cr}=65500.90$ $\lambda_{LT}=0.58$
 $\lambda_{LT,0}=0.40$ $\beta_{LT}=0.75$ $\Phi_{LT}=0.66$ $\beta_{LT}=0.75$ $f=0.97$ $\chi_{LT}=0.95$
 $M_{y,Ed}=-6650.27$ $M_{y,b,Rd}=20255.80$ $M_{y,Ed}/M_{y,b,Rd}=0.33$
- Verifica di stabilità aste presso-inflesse (C4.2.4.1.3.3.2) - CC 19 SLU - Classe 1
Sollecitazioni: $N_{Ed}=-6780.46$ $M_{y,Ed}=-6391.41$ $L=2.35$
 α_{my} , α_{mz} , $\alpha_{LT}=0.95$, 0.95 , 0.95
 $L_{cr}=2.35$ Curva b: $\alpha_{imp}=0.34$ $k_c=0.94$ $\psi=1.75$ $M_{cr}=65500.90$ $\lambda_{LT}=0.58$
 $\lambda_{LT,0}=0.40$ $\Phi_{LT}=0.66$ $\beta_{LT}=0.75$ $f=0.97$ $\chi_{LT}=0.95$
 $\lambda_y=18.86$ $N_{cr,y}=3136160.00$ $\lambda'_y=0.25$ Curva a: $\Phi_y=0.54$ $\chi_y=0.99$
 $\lambda_z=70.16$ $N_{cr,z}=226601.00$ $\lambda'_z=0.92$ Curva b: $\Phi_z=1.04$ $\chi_z=0.65$
 K_{yy} , K_{yz} , K_{zy} , $K_{zz}=0.95$, 0.61 , 0.00 , 1.02
Verifica YY: $0.04+0.30=0.34$
Verifica ZZ: $0.04=0.04$
- Verifica freccia massima carichi totali - CC 22
 $f_{z,L}=0.11$ (L/2201)
- Verifica freccia massima per soli carichi accidentali - CC 22
 $f_{z,L}=0.05$ (L/5023)
- Asta n. 1140 (-65 1073) Sez. 6 IPE300 Crit. 2

- Verifica a flessione YY [4.2.13] - CC 1 SND $X_l=0.00$ - Classe 3
Sollecitazioni: $T_z=-1395.48$ $M_y=-3662.75$
 $M_{y,Ed}=-3662.75$ $M_{y,c,Rd}=18834.90$ $M_{y,Ed}/M_{y,c,Rd}=0.19$
- Verifica a taglio dir. Z [4.2.16] - CC 17 SLU $X_l=2.35$ - Classe 1
Sollecitazioni: $T_z=-3106.28$
 $V_{Ed}=-3106.28$ $V_{c,Rd}=50134.20$ $V_{Ed}/V_{c,Rd}=0.06$
- Verifica a presso o tenso-flessione retta YY (4.2.4.1.2.7) - CC 17 SLU $X_l=0.00$ - Classe 1
Sollecitazioni: $N=6780.46$ $T_z=-2553.52$ $M_y=-6650.27$
 $M_{y,Ed}=-6650.27$ $M_{y,V,c,Rd}=21326.00$
 $N_{Ed}=6780.46$ $N_{c,Rd}=181940.00$ $YY\ n=N_{Ed}/N_{c,Rd}=0.04$ $MN_{y,c,Rd}=21326.00$ $M_{y,Ed}/MN_{y,c,Rd}=0.31$
- Verifica di stabilità aste inflesse (4.2.4.1.3.2) CC 17 SLU - Classe 1
 $L_{cr}=2.35$ Curva b: $\alpha_{imp}=0.34$ $k_c=0.94$ $\psi=1.75$ $M_{cr}=65500.90$ $\lambda_{LT}=0.58$
 $\lambda_{LT,0}=0.40$ $\beta_{LT}=0.75$ $\Phi_{LT}=0.66$ $\beta_{LT}=0.75$ $f=0.97$ $\chi_{LT}=0.95$
 $M_{y,Ed}=-6650.27$ $M_{y,b,Rd}=20255.80$ $M_{y,Ed}/M_{y,b,Rd}=0.33$
- Verifica di stabilità aste presso-inflesse (C4.2.4.1.3.3.2) - CC 19 SLU - Classe 1

Relazione di calcolo

Sollecitazioni: $N, E_d = -6780.46 \text{ My}, E_d = -6391.41 \text{ L} = 2.35$
 $\alpha_{my}, \alpha_{mz}, \alpha_{LT} = 0.95, 0.95, 0.95$
 $L_{cr} = 2.35$ Curva b: $\alpha_{imp} = 0.34 \text{ } k_c = 0.94 \text{ } \psi = 1.75 \text{ } M, cr = 65500.90 \text{ } \lambda_{LT} = 0.58$
 $\lambda_{LT,0} = 0.40 \text{ } \Phi_{LT} = 0.66 \text{ } \beta_{LT} = 0.75 \text{ } f = 0.97 \text{ } \chi_{LT} = 0.95$
 $\lambda_y = 18.86 \text{ } N_{cr,y} = 3136160.00 \text{ } \lambda^*_y = 0.25$ Curva a: $\Phi_y = 0.54 \text{ } \chi_y = 0.99$
 $\lambda_z = 70.16 \text{ } N_{cr,z} = 226601.00 \text{ } \lambda^*_z = 0.92$ Curva b: $\Phi_z = 1.04 \text{ } \chi_z = 0.65$
 $K_{yy}, K_{yz}, K_{zy}, K_{zz} = 0.95, 0.61, 0.00, 1.02$
 Verifica YY: $0.04 + 0.30 = 0.34$
 Verifica ZZ: $0.04 = 0.04$

- Verifica freccia massima carichi totali - CC 22
 $f_{z,L} = 0.11 \text{ (L/2202)}$

- Verifica freccia massima per soli carichi accidentali - CC 22
 $f_{z,L} = 0.05 \text{ (L/5034)}$

Asta n. 1140 (1073 -66) Sez. 6 IPE300 Crit. 2

- Verifica a flessione YY [4.2.13] - CC 1 SND $X_l = 2.35$ - Classe 3
 Sollecitazioni: $T_z = 2700.78 \text{ } M_y = -6996.96$
 $M_y, E_d = -6996.96 \text{ } M_y, c, Rd = 18834.90 \text{ } M_y, E_d / M_y, c, Rd = 0.37$

- Verifica a taglio dir. Z [4.2.16] - CC 17 SLU $X_l = 0.00$ - Classe 1
 Sollecitazioni: $T_z = 5966.29$
 $V, E_d = 5966.29 \text{ } V_c, Rd = 50134.20 \text{ } V, E_d / V_c, Rd = 0.12$

- Verifica a presso o tenso-flessione retta YY (4.2.4.1.2.7) - CC 17 SLU $X_l = 2.35$ - Classe 1
 Sollecitazioni: $N = 6780.46 \text{ } T_z = 4989.83 \text{ } M_y = -12873.40$
 $M_y, E_d = -12873.40 \text{ } M_y, V, c, Rd = 21326.00$
 $N, E_d = 6780.46 \text{ } N_c, Rd = 181940.00 \text{ } YY \text{ } n = N, E_d / N_c, Rd = 0.04 \text{ } M_{Ny}, c, Rd = 21326.00 \text{ } M_y, E_d / M_{Ny}, c, Rd = 0.60$

- Verifica di stabilità aste inflesse (4.2.4.1.3.2) CC 17 SLU - Classe 1
 $L_{cr} = 2.35$ Curva b: $\alpha_{imp} = 0.34 \text{ } k_c = 0.94 \text{ } \psi = 1.75 \text{ } M, cr = 65501.00 \text{ } \lambda_{LT} = 0.58$
 $\lambda_{LT,0} = 0.40 \text{ } \beta_{LT} = 0.75 \text{ } \Phi_{LT} = 0.66 \text{ } \beta_{LT} = 0.75 \text{ } f = 0.97 \text{ } \chi_{LT} = 0.95$
 $M_y, E_d = -12873.40 \text{ } M_y, b, Rd = 20255.80 \text{ } M_y, E_d / M_y, b, Rd = 0.64$

- Verifica di stabilità aste presso-inflesse (C4.2.4.1.3.3.2) - CC 19 SLU - Classe 1
 Sollecitazioni: $N, E_d = -6780.46 \text{ } M_y, E_d = -12355.70 \text{ } L = 2.35$
 $\alpha_{my}, \alpha_{mz}, \alpha_{LT} = 0.95, 0.95, 0.95$
 $L_{cr} = 2.35$ Curva b: $\alpha_{imp} = 0.34 \text{ } k_c = 0.94 \text{ } \psi = 1.75 \text{ } M, cr = 65501.00 \text{ } \lambda_{LT} = 0.58$
 $\lambda_{LT,0} = 0.40 \text{ } \Phi_{LT} = 0.66 \text{ } \beta_{LT} = 0.75 \text{ } f = 0.97 \text{ } \chi_{LT} = 0.95$
 $\lambda_y = 18.86 \text{ } N_{cr,y} = 3136170.00 \text{ } \lambda^*_y = 0.25$ Curva a: $\Phi_y = 0.54 \text{ } \chi_y = 0.99$
 $\lambda_z = 70.16 \text{ } N_{cr,z} = 226601.00 \text{ } \lambda^*_z = 0.92$ Curva b: $\Phi_z = 1.04 \text{ } \chi_z = 0.65$
 $K_{yy}, K_{yz}, K_{zy}, K_{zz} = 0.95, 0.61, 0.00, 1.02$
 Verifica YY: $0.04 + 0.58 = 0.62$
 Verifica ZZ: $0.04 = 0.04$

- Verifica freccia massima carichi totali - CC 22
 $f_{z,L} = 0.21 \text{ (L/1143)}$

- Verifica freccia massima per soli carichi accidentali - CC 22
 $f_{z,L} = 0.09 \text{ (L/2511)}$

Asta n. 1140 (-66 1074) Sez. 6 IPE300 Crit. 2

- Verifica a flessione YY [4.2.13] - CC 1 SND $X_l = 0.00$ - Classe 3
 Sollecitazioni: $T_z = -2700.79 \text{ } M_y = -6996.96$
 $M_y, E_d = -6996.96 \text{ } M_y, c, Rd = 18834.90 \text{ } M_y, E_d / M_y, c, Rd = 0.37$

- Verifica a taglio dir. Z [4.2.16] - CC 17 SLU $X_l = 2.35$ - Classe 1
 Sollecitazioni: $T_z = -5966.29$
 $V, E_d = -5966.29 \text{ } V_c, Rd = 50134.20 \text{ } V, E_d / V_c, Rd = 0.12$

- Verifica a presso o tenso-flessione retta YY (4.2.4.1.2.7) - CC 17 SLU $X_l = 0.00$ - Classe 1
 Sollecitazioni: $N = 6780.46 \text{ } T_z = -4989.83 \text{ } M_y = -12873.40$
 $M_y, E_d = -12873.40 \text{ } M_y, V, c, Rd = 21326.00$
 $N, E_d = 6780.46 \text{ } N_c, Rd = 181940.00 \text{ } YY \text{ } n = N, E_d / N_c, Rd = 0.04 \text{ } M_{Ny}, c, Rd = 21326.00 \text{ } M_y, E_d / M_{Ny}, c, Rd = 0.60$

- Verifica di stabilità aste inflesse (4.2.4.1.3.2) CC 17 SLU - Classe 1
 $L_{cr} = 2.35$ Curva b: $\alpha_{imp} = 0.34 \text{ } k_c = 0.94 \text{ } \psi = 1.75 \text{ } M, cr = 65500.90 \text{ } \lambda_{LT} = 0.58$
 $\lambda_{LT,0} = 0.40 \text{ } \beta_{LT} = 0.75 \text{ } \Phi_{LT} = 0.66 \text{ } \beta_{LT} = 0.75 \text{ } f = 0.97 \text{ } \chi_{LT} = 0.95$
 $M_y, E_d = -12873.40 \text{ } M_y, b, Rd = 20255.80 \text{ } M_y, E_d / M_y, b, Rd = 0.64$

- Verifica di stabilità aste presso-inflesse (C4.2.4.1.3.3.2) - CC 19 SLU - Classe 1
 Sollecitazioni: $N, E_d = -6780.46 \text{ } M_y, E_d = -12355.70 \text{ } L = 2.35$
 $\alpha_{my}, \alpha_{mz}, \alpha_{LT} = 0.95, 0.95, 0.95$
 $L_{cr} = 2.35$ Curva b: $\alpha_{imp} = 0.34 \text{ } k_c = 0.94 \text{ } \psi = 1.75 \text{ } M, cr = 65500.90 \text{ } \lambda_{LT} = 0.58$
 $\lambda_{LT,0} = 0.40 \text{ } \Phi_{LT} = 0.66 \text{ } \beta_{LT} = 0.75 \text{ } f = 0.97 \text{ } \chi_{LT} = 0.95$
 $\lambda_y = 18.86 \text{ } N_{cr,y} = 3136160.00 \text{ } \lambda^*_y = 0.25$ Curva a: $\Phi_y = 0.54 \text{ } \chi_y = 0.99$

Relazione di calcolo

$\lambda_z=70.16$ Ncr,z=226600.00 $\lambda^*_z=0.92$ Curva b: $\Phi_z=1.04$ $\chi_z=0.65$
Kyy, Kyz, Kzy, Kzz=0.95, 0.61, 0.00, 1.02
Verifica YY: 0.04+0.58=0.62
Verifica ZZ: 0.04=0.04

- Verifica freccia massima carichi totali - CC 22
 $f_{z,g}=0.21$ (L/1145)

- Verifica freccia massima per soli carichi accidentali - CC 22
 $f_{z,L}=0.09$ (L/2518)

Asta n. 1142 (1085 -76) Sez. 6 IPE300 Crit. 2

- Verifica a flessione YY [4.2.13] - CC 1 SND Xl=2.80 - Classe 3
Sollecitazioni: $T_z=3200.69$ $M_y=-9884.87$
 $M_y,Ed=-9884.87$ $M_y,c,Rd=18834.90$ $M_y,Ed/M_y,c,Rd=0.52$

- Verifica a taglio dir. Z [4.2.16] - CC 17 SLU Xl=0.00 - Classe 1
Sollecitazioni: $T_z=7086.33$
 $V,Ed=7086.33$ $V_c,Rd=50134.20$ $V,Ed/V_c,Rd=0.14$

- Verifica a presso o tenso-flessione retta YY (4.2.4.1.2.7) - CC 17 SLU Xl=2.80 - Classe 1
Sollecitazioni: $N=6780.46$ $T_z=5922.88$ $M_y=-18212.90$
 $M_y,Ed=-18212.90$ $M_y,V,c,Rd=21326.00$
 $N,Ed=6780.46$ $N_c,Rd=181940.00$ YY n=N,Ed/Nc,Rd=0.04 MNy,c,Rd=21326.00 $M_y,Ed/MNy,c,Rd=0.85$

- Verifica di stabilità aste inflesse (4.2.4.1.3.2) CC 17 SLU - Classe 1
 $L_{cr}=2.80$ Curva b: $\alpha_{imp}=0.34$ $k_c=0.94$ $\psi=1.75$ $M_{cr}=48365.20$ $\lambda_{LT}=0.68$
 $\lambda_{LT,0}=0.40$ $\beta_{LT}=0.75$ $\Phi_{LT}=0.72$ $\beta_{LT}=0.75$ $f=0.97$ $\chi_{LT}=0.91$
 $M_y,Ed=-18212.90$ $M_y,b,Rd=19315.10$ $M_y,Ed/M_y,b,Rd=0.94$

- Verifica di stabilità aste presso-inflesse (C4.2.4.1.3.3.2) - CC 19 SLU - Classe 1
Sollecitazioni: $N,Ed=-6780.46$ $M_y,Ed=-17477.90$ L=2.80
 $\alpha_{my}, \alpha_{mz}, \alpha_{LT}=0.95, 0.95, 0.95$
 $L_{cr}=2.80$ Curva b: $\alpha_{imp}=0.34$ $k_c=0.94$ $\psi=1.75$ $M_{cr}=48365.20$ $\lambda_{LT}=0.68$
 $\lambda_{LT,0}=0.40$ $\Phi_{LT}=0.72$ $\beta_{LT}=0.75$ $f=0.97$ $\chi_{LT}=0.91$
 $\lambda_y=22.47$ Ncr,y=2209120.00 $\lambda^*_y=0.29$ Curva a: $\Phi_y=0.55$ $\chi_y=0.98$
 $\lambda_z=83.59$ Ncr,z=159618.00 $\lambda^*_z=1.09$ Curva b: $\Phi_z=1.25$ $\chi_z=0.54$
Kyy, Kyz, Kzy, Kzz=0.95, 0.63, 0.00, 1.04
Verifica YY: 0.04+0.86=0.90
Verifica ZZ: 0.07=0.07

- Verifica freccia massima carichi totali - CC 22
 $f_{z,g}=0.40$ (L/695)

- Verifica freccia massima per soli carichi accidentali - CC 22
 $f_{z,L}=0.18$ (L/1520)

Asta n. 1142 (-76 1086) Sez. 6 IPE300 Crit. 2

- Verifica a flessione YY [4.2.13] - CC 1 SND Xl=0.00 - Classe 3
Sollecitazioni: $T_z=-3200.69$ $M_y=-9884.87$
 $M_y,Ed=-9884.87$ $M_y,c,Rd=18834.90$ $M_y,Ed/M_y,c,Rd=0.52$

- Verifica a taglio dir. Z [4.2.16] - CC 17 SLU Xl=2.80 - Classe 1
Sollecitazioni: $T_z=-7086.33$
 $V,Ed=-7086.33$ $V_c,Rd=50134.20$ $V,Ed/V_c,Rd=0.14$

- Verifica a presso o tenso-flessione retta YY (4.2.4.1.2.7) - CC 17 SLU Xl=0.00 - Classe 1
Sollecitazioni: $N=6780.46$ $T_z=-5922.88$ $M_y=-18212.90$
 $M_y,Ed=-18212.90$ $M_y,V,c,Rd=21326.00$
 $N,Ed=6780.46$ $N_c,Rd=181940.00$ YY n=N,Ed/Nc,Rd=0.04 MNy,c,Rd=21326.00 $M_y,Ed/MNy,c,Rd=0.85$

- Verifica di stabilità aste inflesse (4.2.4.1.3.2) CC 17 SLU - Classe 1
 $L_{cr}=2.80$ Curva b: $\alpha_{imp}=0.34$ $k_c=0.94$ $\psi=1.75$ $M_{cr}=48365.20$ $\lambda_{LT}=0.68$
 $\lambda_{LT,0}=0.40$ $\Phi_{LT}=0.72$ $\beta_{LT}=0.75$ $f=0.97$ $\chi_{LT}=0.91$
 $M_y,Ed=-18212.90$ $M_y,b,Rd=19315.10$ $M_y,Ed/M_y,b,Rd=0.94$

- Verifica di stabilità aste presso-inflesse (C4.2.4.1.3.3.2) - CC 19 SLU - Classe 1
Sollecitazioni: $N,Ed=-6780.46$ $M_y,Ed=-17477.90$ L=2.80
 $\alpha_{my}, \alpha_{mz}, \alpha_{LT}=0.95, 0.95, 0.95$
 $L_{cr}=2.80$ Curva b: $\alpha_{imp}=0.34$ $k_c=0.94$ $\psi=1.75$ $M_{cr}=48365.20$ $\lambda_{LT}=0.68$
 $\lambda_{LT,0}=0.40$ $\Phi_{LT}=0.72$ $\beta_{LT}=0.75$ $f=0.97$ $\chi_{LT}=0.91$
 $\lambda_y=22.47$ Ncr,y=2209120.00 $\lambda^*_y=0.29$ Curva a: $\Phi_y=0.55$ $\chi_y=0.98$
 $\lambda_z=83.59$ Ncr,z=159618.00 $\lambda^*_z=1.09$ Curva b: $\Phi_z=1.25$ $\chi_z=0.54$
Kyy, Kyz, Kzy, Kzz=0.95, 0.63, 0.00, 1.04
Verifica YY: 0.04+0.86=0.90
Verifica ZZ: 0.07=0.07

Relazione di calcolo

- Verifica freccia massima carichi totali - CC 22
 $f_{z,L}=0.40$ (L/695)

- Verifica freccia massima per soli carichi accidentali - CC 22
 $f_{z,L}=0.18$ (L/1522)

Asta n. 1142 (1086 -77) Sez. 6 IPE300 Crit. 2

- Verifica a flessione YY [4.2.13] - CC 1 SND $X_l=2.35$ - Classe 3
Sollecitazioni: $T_z=2700.78$ $M_y=-6996.96$
 $M_y,Ed=-6996.96$ $M_y,c,Rd=18834.90$ $M_y,Ed/M_y,c,Rd=0.37$

- Verifica a taglio dir. Z [4.2.16] - CC 17 SLU $X_l=0.00$ - Classe 1
Sollecitazioni: $T_z=5966.29$
 $V,Ed=5966.29$ $V_c,Rd=50134.20$ $V,Ed/V_c,Rd=0.12$

- Verifica a presso o tenso-flessione retta YY (4.2.4.1.2.7) - CC 17 SLU $X_l=2.35$ - Classe 1
Sollecitazioni: $N=6780.46$ $T_z=4989.83$ $M_y=-12873.40$
 $M_y,Ed=-12873.40$ $M_y,V,c,Rd=21326.00$
 $N,Ed=6780.46$ $N_c,Rd=181940.00$ $YY\ n=N,Ed/N_c,Rd=0.04$ $MN_y,c,Rd=21326.00$ $M_y,Ed/MN_y,c,Rd=0.60$

- Verifica di stabilità aste inflesse (4.2.4.1.3.2) CC 17 SLU - Classe 1
 $L_{cr}=2.35$ Curva b: $\alpha_{imp}=0.34$ $k_c=0.94$ $\psi=1.75$ $M_{cr}=65500.90$ $\lambda_{LT}=0.58$
 $\lambda_{LT,0}=0.40$ $\beta_{LT}=0.75$ $\Phi_{LT}=0.66$ $\beta_{LT}=0.75$ $f=0.97$ $\chi_{LT}=0.95$
 $M_y,Ed=-12873.40$ $M_y,b,Rd=20255.80$ $M_y,Ed/M_y,b,Rd=0.64$

- Verifica di stabilità aste presso-inflesse (4.2.4.1.3.3.2) - CC 19 SLU - Classe 1
Sollecitazioni: $N,Ed=-6780.46$ $M_y,Ed=-12355.70$ $L=2.35$
 $\alpha_{my}, \alpha_{mz}, \alpha_{LT}=0.95, 0.95, 0.95$
 $L_{cr}=2.35$ Curva b: $\alpha_{imp}=0.34$ $k_c=0.94$ $\psi=1.75$ $M_{cr}=65500.90$ $\lambda_{LT}=0.58$
 $\lambda_{LT,0}=0.40$ $\Phi_{LT}=0.66$ $\beta_{LT}=0.75$ $f=0.97$ $\chi_{LT}=0.95$
 $\lambda_y=18.86$ $N_{cr,y}=3136160.00$ $\lambda^*_y=0.25$ Curva a: $\Phi_y=0.54$ $\chi_y=0.99$
 $\lambda_z=70.16$ $N_{cr,z}=226601.00$ $\lambda^*_z=0.92$ Curva b: $\Phi_z=1.04$ $\chi_z=0.65$
 $K_{yy}, K_{yz}, K_{zy}, K_{zz}=0.95, 0.61, 0.00, 1.02$
Verifica YY: $0.04+0.58=0.62$
Verifica ZZ: $0.04=0.04$

- Verifica freccia massima carichi totali - CC 22
 $f_{z,L}=0.21$ (L/1144)

- Verifica freccia massima per soli carichi accidentali - CC 22
 $f_{z,L}=0.09$ (L/2513)

Asta n. 1142 (-77 1087) Sez. 6 IPE300 Crit. 2

- Verifica a flessione YY [4.2.13] - CC 1 SND $X_l=0.00$ - Classe 3
Sollecitazioni: $T_z=-2700.79$ $M_y=-6996.96$
 $M_y,Ed=-6996.96$ $M_y,c,Rd=18834.90$ $M_y,Ed/M_y,c,Rd=0.37$

- Verifica a taglio dir. Z [4.2.16] - CC 17 SLU $X_l=2.35$ - Classe 1
Sollecitazioni: $T_z=-5966.29$
 $V,Ed=-5966.29$ $V_c,Rd=50134.20$ $V,Ed/V_c,Rd=0.12$

- Verifica a presso o tenso-flessione retta YY (4.2.4.1.2.7) - CC 17 SLU $X_l=0.00$ - Classe 1
Sollecitazioni: $N=6780.46$ $T_z=-4989.83$ $M_y=-12873.40$
 $M_y,Ed=-12873.40$ $M_y,V,c,Rd=21326.00$
 $N,Ed=6780.46$ $N_c,Rd=181940.00$ $YY\ n=N,Ed/N_c,Rd=0.04$ $MN_y,c,Rd=21326.00$ $M_y,Ed/MN_y,c,Rd=0.60$

- Verifica di stabilità aste inflesse (4.2.4.1.3.2) CC 17 SLU - Classe 1
 $L_{cr}=2.35$ Curva b: $\alpha_{imp}=0.34$ $k_c=0.94$ $\psi=1.75$ $M_{cr}=65500.90$ $\lambda_{LT}=0.58$
 $\lambda_{LT,0}=0.40$ $\beta_{LT}=0.75$ $\Phi_{LT}=0.66$ $\beta_{LT}=0.75$ $f=0.97$ $\chi_{LT}=0.95$
 $M_y,Ed=-12873.40$ $M_y,b,Rd=20255.80$ $M_y,Ed/M_y,b,Rd=0.64$

- Verifica di stabilità aste presso-inflesse (4.2.4.1.3.3.2) - CC 19 SLU - Classe 1
Sollecitazioni: $N,Ed=-6780.46$ $M_y,Ed=-12355.70$ $L=2.35$
 $\alpha_{my}, \alpha_{mz}, \alpha_{LT}=0.95, 0.95, 0.95$
 $L_{cr}=2.35$ Curva b: $\alpha_{imp}=0.34$ $k_c=0.94$ $\psi=1.75$ $M_{cr}=65500.90$ $\lambda_{LT}=0.58$
 $\lambda_{LT,0}=0.40$ $\Phi_{LT}=0.66$ $\beta_{LT}=0.75$ $f=0.97$ $\chi_{LT}=0.95$
 $\lambda_y=18.86$ $N_{cr,y}=3136160.00$ $\lambda^*_y=0.25$ Curva a: $\Phi_y=0.54$ $\chi_y=0.99$
 $\lambda_z=70.16$ $N_{cr,z}=226601.00$ $\lambda^*_z=0.92$ Curva b: $\Phi_z=1.04$ $\chi_z=0.65$
 $K_{yy}, K_{yz}, K_{zy}, K_{zz}=0.95, 0.61, 0.00, 1.02$
Verifica YY: $0.04+0.58=0.62$
Verifica ZZ: $0.04=0.04$

- Verifica freccia massima carichi totali - CC 22
 $f_{z,L}=0.21$ (L/1144)

- Verifica freccia massima per soli carichi accidentali - CC 22
 $f_{z,L}=0.09$ (L/2515)

Relazione di calcolo

Asta n. 1142 (1087 -78) Sez. 6 IPE300 Crit. 2

-
- Verifica a flessione YY [4.2.13] - CC 1 SND $X_l=2.35$ - Classe 3
Sollecitazioni: $T_z=2700.78$ $M_y=-6996.96$
 $M_y,Ed=-6996.96$ $M_y,c,Rd=18834.90$ $M_y,Ed/M_y,c,Rd=0.37$
 - Verifica a taglio dir. Z [4.2.16] - CC 17 SLU $X_l=0.00$ - Classe 1
Sollecitazioni: $T_z=5966.29$
 $V,Ed=5966.29$ $V_c,Rd=50134.20$ $V,Ed/V_c,Rd=0.12$
 - Verifica a presso o tenso-flessione retta YY (4.2.4.1.2.7) - CC 17 SLU $X_l=2.35$ - Classe 1
Sollecitazioni: $N=6780.46$ $T_z=4989.83$ $M_y=-12873.40$
 $M_y,Ed=-12873.40$ $M_y,V,c,Rd=21326.00$
 $N,Ed=6780.46$ $N_c,Rd=181940.00$ $YY\ n=N,Ed/N_c,Rd=0.04$ $MNy,c,Rd=21326.00$ $M_y,Ed/MNy,c,Rd=0.60$
 - Verifica di stabilità aste inflesse (4.2.4.1.3.2) CC 17 SLU - Classe 1
 $L_{cr}=2.35$ Curva b: $\alpha_{imp}=0.34$ $k_c=0.94$ $\psi=1.75$ $M_{cr}=65500.90$ $\lambda_{LT}=0.58$
 $\lambda_{LT,0}=0.40$ $\beta_{LT}=0.75$ $\Phi_{LT}=0.66$ $\beta_{LT}=0.75$ $f=0.97$ $\chi_{LT}=0.95$
 $M_y,Ed=-12873.40$ $M_y,b,Rd=20255.80$ $M_y,Ed/M_y,b,Rd=0.64$
 - Verifica di stabilità aste presso-inflesse (C4.2.4.1.3.3.2) - CC 19 SLU - Classe 1
Sollecitazioni: $N,Ed=-6780.46$ $M_y,Ed=-12355.70$ $L=2.35$
 $\alpha_m, \alpha_mz, \alpha_{LT}=0.95, 0.95, 0.95$
 $L_{cr}=2.35$ Curva b: $\alpha_{imp}=0.34$ $k_c=0.94$ $\psi=1.75$ $M_{cr}=65500.90$ $\lambda_{LT}=0.58$
 $\lambda_{LT,0}=0.40$ $\Phi_{LT}=0.66$ $\beta_{LT}=0.75$ $f=0.97$ $\chi_{LT}=0.95$
 $\lambda_y=18.86$ $N_{cr,y}=3136160.00$ $\lambda^*_y=0.25$ Curva a: $\Phi_y=0.54$ $\chi_y=0.99$
 $\lambda_z=70.16$ $N_{cr,z}=226601.00$ $\lambda^*_z=0.92$ Curva b: $\Phi_z=1.04$ $\chi_z=0.65$
 $K_{yy}, K_{yz}, K_{zy}, K_{zz}=0.95, 0.61, 0.00, 1.02$
Verifica YY: $0.04+0.58=0.62$
Verifica ZZ: $0.04=0.04$
 - Verifica freccia massima carichi totali - CC 22
 $f_{z,L}=0.21$ (L/1145)
 - Verifica freccia massima per soli carichi accidentali - CC 22
 $f_{z,L}=0.09$ (L/2520)

Asta n. 1142 (-78 1088) Sez. 6 IPE300 Crit. 2

-
- Verifica a flessione YY [4.2.13] - CC 1 SND $X_l=0.00$ - Classe 3
Sollecitazioni: $T_z=-2700.79$ $M_y=-6996.96$
 $M_y,Ed=-6996.96$ $M_y,c,Rd=18834.90$ $M_y,Ed/M_y,c,Rd=0.37$
 - Verifica a taglio dir. Z [4.2.16] - CC 17 SLU $X_l=2.35$ - Classe 1
Sollecitazioni: $T_z=-5966.29$
 $V,Ed=-5966.29$ $V_c,Rd=50134.20$ $V,Ed/V_c,Rd=0.12$
 - Verifica a presso o tenso-flessione retta YY (4.2.4.1.2.7) - CC 17 SLU $X_l=0.00$ - Classe 1
Sollecitazioni: $N=6780.46$ $T_z=-4989.83$ $M_y=-12873.40$
 $M_y,Ed=-12873.40$ $M_y,V,c,Rd=21326.00$
 $N,Ed=6780.46$ $N_c,Rd=181940.00$ $YY\ n=N,Ed/N_c,Rd=0.04$ $MNy,c,Rd=21326.00$ $M_y,Ed/MNy,c,Rd=0.60$
 - Verifica di stabilità aste inflesse (4.2.4.1.3.2) CC 17 SLU - Classe 1
 $L_{cr}=2.35$ Curva b: $\alpha_{imp}=0.34$ $k_c=0.94$ $\psi=1.75$ $M_{cr}=65500.90$ $\lambda_{LT}=0.58$
 $\lambda_{LT,0}=0.40$ $\beta_{LT}=0.75$ $\Phi_{LT}=0.66$ $\beta_{LT}=0.75$ $f=0.97$ $\chi_{LT}=0.95$
 $M_y,Ed=-12873.40$ $M_y,b,Rd=20255.80$ $M_y,Ed/M_y,b,Rd=0.64$
 - Verifica di stabilità aste presso-inflesse (C4.2.4.1.3.3.2) - CC 19 SLU - Classe 1
Sollecitazioni: $N,Ed=-6780.46$ $M_y,Ed=-12355.70$ $L=2.35$
 $\alpha_m, \alpha_mz, \alpha_{LT}=0.95, 0.95, 0.95$
 $L_{cr}=2.35$ Curva b: $\alpha_{imp}=0.34$ $k_c=0.94$ $\psi=1.75$ $M_{cr}=65500.90$ $\lambda_{LT}=0.58$
 $\lambda_{LT,0}=0.40$ $\Phi_{LT}=0.66$ $\beta_{LT}=0.75$ $f=0.97$ $\chi_{LT}=0.95$
 $\lambda_y=18.86$ $N_{cr,y}=3136160.00$ $\lambda^*_y=0.25$ Curva a: $\Phi_y=0.54$ $\chi_y=0.99$
 $\lambda_z=70.16$ $N_{cr,z}=226601.00$ $\lambda^*_z=0.92$ Curva b: $\Phi_z=1.04$ $\chi_z=0.65$
 $K_{yy}, K_{yz}, K_{zy}, K_{zz}=0.95, 0.61, 0.00, 1.02$
Verifica YY: $0.04+0.58=0.62$
Verifica ZZ: $0.04=0.04$
 - Verifica freccia massima carichi totali - CC 22
 $f_{z,L}=0.21$ (L/1143)
 - Verifica freccia massima per soli carichi accidentali - CC 22
 $f_{z,L}=0.09$ (L/2507)

Asta n. 1142 (1088 -79) Sez. 6 IPE300 Crit. 2

-
- Verifica a flessione YY [4.2.13] - CC 1 SND $X_l=2.80$ - Classe 3
Sollecitazioni: $T_z=3200.69$ $M_y=-9884.87$

Relazione di calcolo

My,Ed=-9884.87 My,c,Rd=18834.90 My,Ed/My,c,Rd=0.52

- Verifica a taglio dir. Z [4.2.16] - CC 17 SLU Xl=0.00 - Classe 1
Sollecitazioni: Tz=7086.33
V,Ed=7086.33 Vc,Rd=50134.20 V,Ed/Vc,Rd=0.14

- Verifica a presso o tenso-flessione retta YY (4.2.4.1.2.7) - CC 17 SLU Xl=2.80 - Classe 1
Sollecitazioni: N=6780.46 Tz=5922.88 My=-18212.90
My,Ed=-18212.90 My,V,c,Rd=21326.00
N,Ed=6780.46 Nc,Rd=181940.00 YY n=N,Ed/Nc,Rd=0.04 MNy,c,Rd=21326.00 My,Ed/MNy,c,Rd=0.85

- Verifica di stabilità aste inflesse (4.2.4.1.3.2) CC 17 SLU - Classe 1
Lcr=2.80 Curva b: $\alpha_{imp}=0.34$ $k_c=0.94$ $\psi=1.75$ M,cr=48365.20 $\lambda_{LT}=0.68$
 $\lambda_{LT,0}=0.40$ $\beta_{LT}=0.75$ $\Phi_{LT}=0.72$ $\beta_{LT}=0.75$ f=0.97 $\chi_{LT}=0.91$
My,Ed=-18212.90 My,b,Rd=19315.10 My,Ed/My,b,Rd=0.94

- Verifica di stabilità aste presso-inflesse (C4.2.4.1.3.3.2) - CC 19 SLU - Classe 1
Sollecitazioni: N,Ed=-6780.46 My,Ed=-17477.90 L=2.80
 α_{my} , α_{mz} , $\alpha_{LT}=0.95$, 0.95, 0.95
Lcr=2.80 Curva b: $\alpha_{imp}=0.34$ $k_c=0.94$ $\psi=1.75$ M,cr=48365.20 $\lambda_{LT}=0.68$
 $\lambda_{LT,0}=0.40$ $\Phi_{LT}=0.72$ $\beta_{LT}=0.75$ f=0.97 $\chi_{LT}=0.91$
 $\lambda_y=22.47$ Ncr,y=2209120.00 $\lambda^*_y=0.29$ Curva a: $\Phi_y=0.55$ $\chi_y=0.98$
 $\lambda_z=83.59$ Ncr,z=159618.00 $\lambda^*_z=1.09$ Curva b: $\Phi_z=1.25$ $\chi_z=0.54$
Kyy, Kyz, Kzy, Kzz=0.95, 0.63, 0.00, 1.04
Verifica YY: 0.04+0.86=0.90
Verifica ZZ: 0.07=0.07

- Verifica freccia massima carichi totali - CC 22
fz,g=0.40 (L/695)

- Verifica freccia massima per soli carichi accidentali - CC 22
fz,g=0.18 (L/1521)

Asta n. 1142 (-79 1089) Sez. 6 IPE300 Crit. 2

- Verifica a flessione YY [4.2.13] - CC 1 SND Xl=0.00 - Classe 3
Sollecitazioni: Tz=-3200.69 My=-9884.87
My,Ed=-9884.87 My,c,Rd=18834.90 My,Ed/My,c,Rd=0.52

- Verifica a taglio dir. Z [4.2.16] - CC 17 SLU Xl=2.80 - Classe 1
Sollecitazioni: Tz=-7086.33
V,Ed=-7086.33 Vc,Rd=50134.20 V,Ed/Vc,Rd=0.14

- Verifica a presso o tenso-flessione retta YY (4.2.4.1.2.7) - CC 17 SLU Xl=0.00 - Classe 1
Sollecitazioni: N=6780.46 Tz=-5922.88 My=-18212.90
My,Ed=-18212.90 My,V,c,Rd=21326.00
N,Ed=6780.46 Nc,Rd=181940.00 YY n=N,Ed/Nc,Rd=0.04 MNy,c,Rd=21326.00 My,Ed/MNy,c,Rd=0.85

- Verifica di stabilità aste inflesse (4.2.4.1.3.2) CC 17 SLU - Classe 1
Lcr=2.80 Curva b: $\alpha_{imp}=0.34$ $k_c=0.94$ $\psi=1.75$ M,cr=48365.20 $\lambda_{LT}=0.68$
 $\lambda_{LT,0}=0.40$ $\beta_{LT}=0.75$ $\Phi_{LT}=0.72$ $\beta_{LT}=0.75$ f=0.97 $\chi_{LT}=0.91$
My,Ed=-18212.90 My,b,Rd=19315.10 My,Ed/My,b,Rd=0.94

- Verifica di stabilità aste presso-inflesse (C4.2.4.1.3.3.2) - CC 19 SLU - Classe 1
Sollecitazioni: N,Ed=-6780.46 My,Ed=-17477.90 L=2.80
 α_{my} , α_{mz} , $\alpha_{LT}=0.95$, 0.95, 0.95
Lcr=2.80 Curva b: $\alpha_{imp}=0.34$ $k_c=0.94$ $\psi=1.75$ M,cr=48365.20 $\lambda_{LT}=0.68$
 $\lambda_{LT,0}=0.40$ $\Phi_{LT}=0.72$ $\beta_{LT}=0.75$ f=0.97 $\chi_{LT}=0.91$
 $\lambda_y=22.47$ Ncr,y=2209120.00 $\lambda^*_y=0.29$ Curva a: $\Phi_y=0.55$ $\chi_y=0.98$
 $\lambda_z=83.59$ Ncr,z=159618.00 $\lambda^*_z=1.09$ Curva b: $\Phi_z=1.25$ $\chi_z=0.54$
Kyy, Kyz, Kzy, Kzz=0.95, 0.63, 0.00, 1.04
Verifica YY: 0.04+0.86=0.90
Verifica ZZ: 0.07=0.07

- Verifica freccia massima carichi totali - CC 22
fz,L=0.40 (L/694)

- Verifica freccia massima per soli carichi accidentali - CC 22
fz,L=0.18 (L/1521)

Asta n. 1142 (1089 -80) Sez. 6 IPE300 Crit. 2

- Verifica a flessione YY [4.2.13] - CC 1 SND Xl=2.35 - Classe 3
Sollecitazioni: Tz=2700.78 My=-6996.96
My,Ed=-6996.96 My,c,Rd=18834.90 My,Ed/My,c,Rd=0.37

- Verifica a taglio dir. Z [4.2.16] - CC 17 SLU Xl=0.00 - Classe 1
Sollecitazioni: Tz=5966.29
V,Ed=5966.29 Vc,Rd=50134.20 V,Ed/Vc,Rd=0.12

Relazione di calcolo

- Verifica a presso o tenso-flessione retta YY (4.2.4.1.2.7) - CC 17 SLU $X_1=2.35$ - Classe 1
Sollecitazioni: $N=6780.46$ $T_z=4989.83$ $M_y=-12873.40$
 $M_y,Ed=-12873.40$ $M_y,V,c,Rd=21326.00$
 $N,Ed=6780.46$ $N_c,Rd=181940.00$ $YY\ n=N,Ed/N_c,Rd=0.04$ $MNy,c,Rd=21326.00$ $M_y,Ed/MNy,c,Rd=0.60$
- Verifica di stabilità aste inflesse (4.2.4.1.3.2) CC 17 SLU - Classe 1
 $L_{cr}=2.35$ Curva b: $\alpha_{imp}=0.34$ $k_c=0.94$ $\psi=1.75$ $M_{cr}=65500.90$ $\lambda_{LT}=0.58$
 $\lambda_{LT,0}=0.40$ $\beta_{LT}=0.75$ $\Phi_{LT}=0.66$ $\beta_{LT}=0.75$ $f=0.97$ $\chi_{LT}=0.95$
 $M_y,Ed=-12873.40$ $M_y,b,Rd=20255.80$ $M_y,Ed/M_y,b,Rd=0.64$
- Verifica di stabilità aste presso-inflesse (C4.2.4.1.3.3.2) - CC 19 SLU - Classe 1
Sollecitazioni: $N,Ed=-6780.46$ $M_y,Ed=-12355.70$ $L=2.35$
 $\alpha_{my}, \alpha_{mz}, \alpha_{LT}=0.95, 0.95, 0.95$
 $L_{cr}=2.35$ Curva b: $\alpha_{imp}=0.34$ $k_c=0.94$ $\psi=1.75$ $M_{cr}=65500.90$ $\lambda_{LT}=0.58$
 $\lambda_{LT,0}=0.40$ $\Phi_{LT}=0.66$ $\beta_{LT}=0.75$ $f=0.97$ $\chi_{LT}=0.95$
 $\lambda_y=18.86$ $N_{cr,y}=3136160.00$ $\lambda_y^*=0.25$ Curva a: $\Phi_y=0.54$ $\chi_y=0.99$
 $\lambda_z=70.16$ $N_{cr,z}=226601.00$ $\lambda_z^*=0.92$ Curva b: $\Phi_z=1.04$ $\chi_z=0.65$
 $K_{yy}, K_{yz}, K_{zy}, K_{zz}=0.95, 0.61, 0.00, 1.02$
Verifica YY: $0.04+0.58=0.62$
Verifica ZZ: $0.04=0.04$
- Verifica freccia massima carichi totali - CC 22
 $f_{z,L}=0.21$ (L/1143)
- Verifica freccia massima per soli carichi accidentali - CC 22
 $f_{z,L}=0.09$ (L/2508)

Asta n. 1142 (-80 1090) Sez. 6 IPE300 Crit. 2

- Verifica a flessione YY [4.2.13] - CC 1 SND $X_1=0.00$ - Classe 3
Sollecitazioni: $T_z=-2700.79$ $M_y=-6996.96$
 $M_y,Ed=-6996.96$ $M_y,c,Rd=18834.90$ $M_y,Ed/M_y,c,Rd=0.37$
- Verifica a taglio dir. Z [4.2.16] - CC 17 SLU $X_1=2.35$ - Classe 1
Sollecitazioni: $T_z=-5966.29$
 $V,Ed=-5966.29$ $V_c,Rd=50134.20$ $V,Ed/V_c,Rd=0.12$
- Verifica a presso o tenso-flessione retta YY (4.2.4.1.2.7) - CC 17 SLU $X_1=0.00$ - Classe 1
Sollecitazioni: $N=6780.46$ $T_z=-4989.83$ $M_y=-12873.40$
 $M_y,Ed=-12873.40$ $M_y,V,c,Rd=21326.00$
 $N,Ed=6780.46$ $N_c,Rd=181940.00$ $YY\ n=N,Ed/N_c,Rd=0.04$ $MNy,c,Rd=21326.00$ $M_y,Ed/MNy,c,Rd=0.60$
- Verifica di stabilità aste inflesse (4.2.4.1.3.2) CC 17 SLU - Classe 1
 $L_{cr}=2.35$ Curva b: $\alpha_{imp}=0.34$ $k_c=0.94$ $\psi=1.75$ $M_{cr}=65500.90$ $\lambda_{LT}=0.58$
 $\lambda_{LT,0}=0.40$ $\beta_{LT}=0.75$ $\Phi_{LT}=0.66$ $\beta_{LT}=0.75$ $f=0.97$ $\chi_{LT}=0.95$
 $M_y,Ed=-12873.40$ $M_y,b,Rd=20255.80$ $M_y,Ed/M_y,b,Rd=0.64$
- Verifica di stabilità aste presso-inflesse (C4.2.4.1.3.3.2) - CC 19 SLU - Classe 1
Sollecitazioni: $N,Ed=-6780.46$ $M_y,Ed=-12355.70$ $L=2.35$
 $\alpha_{my}, \alpha_{mz}, \alpha_{LT}=0.95, 0.95, 0.95$
 $L_{cr}=2.35$ Curva b: $\alpha_{imp}=0.34$ $k_c=0.94$ $\psi=1.75$ $M_{cr}=65500.90$ $\lambda_{LT}=0.58$
 $\lambda_{LT,0}=0.40$ $\Phi_{LT}=0.66$ $\beta_{LT}=0.75$ $f=0.97$ $\chi_{LT}=0.95$
 $\lambda_y=18.86$ $N_{cr,y}=3136160.00$ $\lambda_y^*=0.25$ Curva a: $\Phi_y=0.54$ $\chi_y=0.99$
 $\lambda_z=70.16$ $N_{cr,z}=226601.00$ $\lambda_z^*=0.92$ Curva b: $\Phi_z=1.04$ $\chi_z=0.65$
 $K_{yy}, K_{yz}, K_{zy}, K_{zz}=0.95, 0.61, 0.00, 1.02$
Verifica YY: $0.04+0.58=0.62$
Verifica ZZ: $0.04=0.04$
- Verifica freccia massima carichi totali - CC 22
 $f_{z,G}=0.21$ (L/1145)
- Verifica freccia massima per soli carichi accidentali - CC 22
 $f_{z,L}=0.09$ (L/2520)

Asta n. 1142 (1090 -81) Sez. 6 IPE300 Crit. 2

- Verifica a flessione YY [4.2.13] - CC 1 SND $X_1=2.35$ - Classe 3
Sollecitazioni: $T_z=2700.78$ $M_y=-6996.96$
 $M_y,Ed=-6996.96$ $M_y,c,Rd=18834.90$ $M_y,Ed/M_y,c,Rd=0.37$
- Verifica a taglio dir. Z [4.2.16] - CC 17 SLU $X_1=0.00$ - Classe 1
Sollecitazioni: $T_z=5966.29$
 $V,Ed=5966.29$ $V_c,Rd=50134.20$ $V,Ed/V_c,Rd=0.12$
- Verifica a presso o tenso-flessione retta YY (4.2.4.1.2.7) - CC 17 SLU $X_1=2.35$ - Classe 1
Sollecitazioni: $N=6780.46$ $T_z=4989.83$ $M_y=-12873.40$
 $M_y,Ed=-12873.40$ $M_y,V,c,Rd=21326.00$
 $N,Ed=6780.46$ $N_c,Rd=181940.00$ $YY\ n=N,Ed/N_c,Rd=0.04$ $MNy,c,Rd=21326.00$ $M_y,Ed/MNy,c,Rd=0.60$

- Verifica di stabilità aste inflesse (4.2.4.1.3.2) CC 17 SLU - Classe 1
 $L_{cr}=2.35$ Curva b: $\alpha_{imp}=0.34$ $k_c=0.94$ $\psi=1.75$ $M_{cr}=65500.90$ $\lambda_{LT}=0.58$
 $\lambda_{LT,0}=0.40$ $\beta_{LT}=0.75$ $\Phi_{LT}=0.66$ $\beta_{LT}=0.75$ $f=0.97$ $\chi_{LT}=0.95$
 $M_{y,Ed}=-12873.40$ $M_{y,b,Rd}=20255.80$ $M_{y,Ed}/M_{y,b,Rd}=0.64$
 - Verifica di stabilità aste presso-inflesse (C4.2.4.1.3.3.2) - CC 19 SLU - Classe 1
 Sollecitazioni: $N_{Ed}=-6780.46$ $M_{y,Ed}=-12355.70$ $L=2.35$
 α_{my} , α_{mz} , $\alpha_{LT}=0.95$, 0.95 , 0.95
 $L_{cr}=2.35$ Curva b: $\alpha_{imp}=0.34$ $k_c=0.94$ $\psi=1.75$ $M_{cr}=65500.90$ $\lambda_{LT}=0.58$
 $\lambda_{LT,0}=0.40$ $\Phi_{LT}=0.66$ $\beta_{LT}=0.75$ $f=0.97$ $\chi_{LT}=0.95$
 $\lambda_y=18.86$ $N_{cr,y}=3136160.00$ $\lambda'_y=0.25$ Curva a: $\Phi_y=0.54$ $\chi_y=0.99$
 $\lambda_z=70.16$ $N_{cr,z}=226601.00$ $\lambda'_z=0.92$ Curva b: $\Phi_z=1.04$ $\chi_z=0.65$
 K_{yy} , K_{yz} , K_{zy} , $K_{zz}=0.95$, 0.61 , 0.00 , 1.02
 Verifica YY: $0.04+0.58=0.62$
 Verifica ZZ: $0.04=0.04$
 - Verifica freccia massima carichi totali - CC 22
 $f_{z,L}=0.21$ (L/1144)
 - Verifica freccia massima per soli carichi accidentali - CC 22
 $f_{z,L}=0.09$ (L/2519)
- Asta n. 1142 (-81 1091) Sez. 6 IPE300 Crit. 2
-
- Verifica a flessione YY [4.2.13] - CC 1 SND $X_l=0.00$ - Classe 3
 Sollecitazioni: $T_z=-2700.79$ $M_y=-6996.96$
 $M_{y,Ed}=-6996.96$ $M_{y,c,Rd}=18834.90$ $M_{y,Ed}/M_{y,c,Rd}=0.37$
 - Verifica a taglio dir. Z [4.2.16] - CC 17 SLU $X_l=2.35$ - Classe 1
 Sollecitazioni: $T_z=-5966.29$
 $V_{Ed}=-5966.29$ $V_{c,Rd}=50134.20$ $V_{Ed}/V_{c,Rd}=0.12$
 - Verifica a presso o tenso-flessione retta YY (4.2.4.1.2.7) - CC 17 SLU $X_l=0.00$ - Classe 1
 Sollecitazioni: $N=6780.46$ $T_z=-4989.83$ $M_y=-12873.40$
 $M_{y,Ed}=-12873.40$ $M_{y,V,c,Rd}=21326.00$
 $N_{Ed}=6780.46$ $N_{c,Rd}=181940.00$ YY $n=N_{Ed}/N_{c,Rd}=0.04$ $MN_y,c,Rd=21326.00$ $M_{y,Ed}/MN_y,c,Rd=0.60$
 - Verifica di stabilità aste inflesse (4.2.4.1.3.2) CC 17 SLU - Classe 1
 $L_{cr}=2.35$ Curva b: $\alpha_{imp}=0.34$ $k_c=0.94$ $\psi=1.75$ $M_{cr}=65500.90$ $\lambda_{LT}=0.58$
 $\lambda_{LT,0}=0.40$ $\beta_{LT}=0.75$ $\Phi_{LT}=0.66$ $\beta_{LT}=0.75$ $f=0.97$ $\chi_{LT}=0.95$
 $M_{y,Ed}=-12873.40$ $M_{y,b,Rd}=20255.80$ $M_{y,Ed}/M_{y,b,Rd}=0.64$
 - Verifica di stabilità aste presso-inflesse (C4.2.4.1.3.3.2) - CC 19 SLU - Classe 1
 Sollecitazioni: $N_{Ed}=-6780.46$ $M_{y,Ed}=-12355.70$ $L=2.35$
 α_{my} , α_{mz} , $\alpha_{LT}=0.95$, 0.95 , 0.95
 $L_{cr}=2.35$ Curva b: $\alpha_{imp}=0.34$ $k_c=0.94$ $\psi=1.75$ $M_{cr}=65500.90$ $\lambda_{LT}=0.58$
 $\lambda_{LT,0}=0.40$ $\Phi_{LT}=0.66$ $\beta_{LT}=0.75$ $f=0.97$ $\chi_{LT}=0.95$
 $\lambda_y=18.86$ $N_{cr,y}=3136160.00$ $\lambda'_y=0.25$ Curva a: $\Phi_y=0.54$ $\chi_y=0.99$
 $\lambda_z=70.16$ $N_{cr,z}=226601.00$ $\lambda'_z=0.92$ Curva b: $\Phi_z=1.04$ $\chi_z=0.65$
 K_{yy} , K_{yz} , K_{zy} , $K_{zz}=0.95$, 0.61 , 0.00 , 1.02
 Verifica YY: $0.04+0.58=0.62$
 Verifica ZZ: $0.04=0.04$
 - Verifica freccia massima carichi totali - CC 22
 $f_{z,L}=0.21$ (L/1144)
 - Verifica freccia massima per soli carichi accidentali - CC 22
 $f_{z,L}=0.09$ (L/2508)
- Asta n. 1142 (1091 -82) Sez. 6 IPE300 Crit. 2
-
- Verifica a flessione YY [4.2.13] - CC 1 SND $X_l=2.80$ - Classe 3
 Sollecitazioni: $T_z=3200.69$ $M_y=-9884.87$
 $M_{y,Ed}=-9884.87$ $M_{y,c,Rd}=18834.90$ $M_{y,Ed}/M_{y,c,Rd}=0.52$
 - Verifica a taglio dir. Z [4.2.16] - CC 17 SLU $X_l=0.00$ - Classe 1
 Sollecitazioni: $T_z=7086.33$
 $V_{Ed}=7086.33$ $V_{c,Rd}=50134.20$ $V_{Ed}/V_{c,Rd}=0.14$
 - Verifica a presso o tenso-flessione retta YY (4.2.4.1.2.7) - CC 17 SLU $X_l=2.80$ - Classe 1
 Sollecitazioni: $N=6780.46$ $T_z=5922.88$ $M_y=-18212.90$
 $M_{y,Ed}=-18212.90$ $M_{y,V,c,Rd}=21326.00$
 $N_{Ed}=6780.46$ $N_{c,Rd}=181940.00$ YY $n=N_{Ed}/N_{c,Rd}=0.04$ $MN_y,c,Rd=21326.00$ $M_{y,Ed}/MN_y,c,Rd=0.85$
 - Verifica di stabilità aste inflesse (4.2.4.1.3.2) CC 17 SLU - Classe 1
 $L_{cr}=2.80$ Curva b: $\alpha_{imp}=0.34$ $k_c=0.94$ $\psi=1.75$ $M_{cr}=48365.20$ $\lambda_{LT}=0.68$
 $\lambda_{LT,0}=0.40$ $\beta_{LT}=0.75$ $\Phi_{LT}=0.72$ $\beta_{LT}=0.75$ $f=0.97$ $\chi_{LT}=0.91$
 $M_{y,Ed}=-18212.90$ $M_{y,b,Rd}=19315.10$ $M_{y,Ed}/M_{y,b,Rd}=0.94$

Relazione di calcolo

- Verifica di stabilità aste presso-inflesse (C4.2.4.1.3.3.2) - CC 19 SLU - Classe 1
Sollecitazioni: $N, Ed = -6780.46$ My, $Ed = -17477.90$ L=2.80
 $\alpha_{my}, \alpha_{mz}, \alpha_{LT} = 0.95, 0.95, 0.95$
 $L_{cr} = 2.80$ Curva b: $\alpha_{imp} = 0.34$ $k_c = 0.94$ $\psi = 1.75$ M, $cr = 48365.20$ $\lambda_{LT} = 0.68$
 $\lambda_{LT,0} = 0.40$ $\Phi_{LT} = 0.72$ $\beta_{LT} = 0.75$ $f = 0.97$ $\chi_{LT} = 0.91$
 $\lambda_y = 22.47$ Ncr, $y = 2209120.00$ $\lambda'_y = 0.29$ Curva a: $\Phi_y = 0.55$ $\chi_y = 0.98$
 $\lambda_z = 83.59$ Ncr, $z = 159618.00$ $\lambda'_z = 1.09$ Curva b: $\Phi_z = 1.25$ $\chi_z = 0.54$
Kyy, Kyz, Kzy, Kzz = 0.95, 0.63, 0.00, 1.04
Verifica YY: $0.04 + 0.86 = 0.90$
Verifica ZZ: $0.07 = 0.07$
- Verifica freccia massima carichi totali - CC 22
 $f_{z,g} = 0.40$ (L/695)
- Verifica freccia massima per soli carichi accidentali - CC 22
 $f_{z,L} = 0.18$ (L/1520)

Asta n. 1142 (-82 1092) Sez. 6 IPE300 Crit. 2

- Verifica a flessione YY [4.2.13] - CC 1 SND $Xl = 0.00$ - Classe 3
Sollecitazioni: $T_z = -3200.69$ My, $Ed = -9884.87$
My, $Ed = -9884.87$ My, c, $Rd = 18834.90$ My, $Ed/My, c, Rd = 0.52$
- Verifica a taglio dir. Z [4.2.16] - CC 17 SLU $Xl = 2.80$ - Classe 1
Sollecitazioni: $T_z = -7086.33$
V, $Ed = -7086.33$ Vc, $Rd = 50134.20$ V, $Ed/Vc, Rd = 0.14$
- Verifica a presso o tenso-flessione retta YY (4.2.4.1.2.7) - CC 17 SLU $Xl = 0.00$ - Classe 1
Sollecitazioni: $N = 6780.46$ $T_z = -5922.88$ My, $Ed = -18212.90$
My, $Ed = -18212.90$ My, V, c, $Rd = 21326.00$
N, $Ed = 6780.46$ Nc, $Rd = 181940.00$ YY n=N, $Ed/Nc, Rd = 0.04$ MNy, c, $Rd = 21326.00$ My, $Ed/MNy, c, Rd = 0.85$
- Verifica di stabilità aste inflesse (4.2.4.1.3.2) CC 17 SLU - Classe 1
 $L_{cr} = 2.80$ Curva b: $\alpha_{imp} = 0.34$ $k_c = 0.94$ $\psi = 1.75$ M, $cr = 48365.20$ $\lambda_{LT} = 0.68$
 $\lambda_{LT,0} = 0.40$ $\beta_{LT} = 0.75$ $\Phi_{LT} = 0.72$ $\beta_{LT} = 0.75$ $f = 0.97$ $\chi_{LT} = 0.91$
My, $Ed = -18212.90$ My, b, $Rd = 19315.10$ My, $Ed/My, b, Rd = 0.94$
- Verifica di stabilità aste presso-inflesse (C4.2.4.1.3.3.2) - CC 19 SLU - Classe 1
Sollecitazioni: $N, Ed = -6780.46$ My, $Ed = -17477.90$ L=2.80
 $\alpha_{my}, \alpha_{mz}, \alpha_{LT} = 0.95, 0.95, 0.95$
 $L_{cr} = 2.80$ Curva b: $\alpha_{imp} = 0.34$ $k_c = 0.94$ $\psi = 1.75$ M, $cr = 48365.20$ $\lambda_{LT} = 0.68$
 $\lambda_{LT,0} = 0.40$ $\Phi_{LT} = 0.72$ $\beta_{LT} = 0.75$ $f = 0.97$ $\chi_{LT} = 0.91$
 $\lambda_y = 22.47$ Ncr, $y = 2209120.00$ $\lambda'_y = 0.29$ Curva a: $\Phi_y = 0.55$ $\chi_y = 0.98$
 $\lambda_z = 83.59$ Ncr, $z = 159618.00$ $\lambda'_z = 1.09$ Curva b: $\Phi_z = 1.25$ $\chi_z = 0.54$
Kyy, Kyz, Kzy, Kzz = 0.95, 0.63, 0.00, 1.04
Verifica YY: $0.04 + 0.86 = 0.90$
Verifica ZZ: $0.07 = 0.07$
- Verifica freccia massima carichi totali - CC 22
 $f_{z,L} = 0.40$ (L/694)
- Verifica freccia massima per soli carichi accidentali - CC 22
 $f_{z,L} = 0.18$ (L/1523)

Asta n. 1142 (1092 -83) Sez. 6 IPE300 Crit. 2

- Verifica a flessione YY [4.2.13] - CC 1 SND $Xl = 2.35$ - Classe 3
Sollecitazioni: $T_z = 2700.78$ My, $Ed = -6996.96$
My, $Ed = -6996.96$ My, c, $Rd = 18834.90$ My, $Ed/My, c, Rd = 0.37$
- Verifica a taglio dir. Z [4.2.16] - CC 17 SLU $Xl = 0.00$ - Classe 1
Sollecitazioni: $T_z = 5966.29$
V, $Ed = 5966.29$ Vc, $Rd = 50134.20$ V, $Ed/Vc, Rd = 0.12$
- Verifica a presso o tenso-flessione retta YY (4.2.4.1.2.7) - CC 17 SLU $Xl = 2.35$ - Classe 1
Sollecitazioni: $N = 6780.46$ $T_z = 4989.83$ My, $Ed = -12873.40$
My, $Ed = -12873.40$ My, V, c, $Rd = 21326.00$
N, $Ed = 6780.46$ Nc, $Rd = 181940.00$ YY n=N, $Ed/Nc, Rd = 0.04$ MNy, c, $Rd = 21326.00$ My, $Ed/MNy, c, Rd = 0.60$
- Verifica di stabilità aste inflesse (4.2.4.1.3.2) CC 17 SLU - Classe 1
 $L_{cr} = 2.35$ Curva b: $\alpha_{imp} = 0.34$ $k_c = 0.94$ $\psi = 1.75$ M, $cr = 65500.90$ $\lambda_{LT} = 0.58$
 $\lambda_{LT,0} = 0.40$ $\beta_{LT} = 0.75$ $\Phi_{LT} = 0.66$ $\beta_{LT} = 0.75$ $f = 0.97$ $\chi_{LT} = 0.95$
My, $Ed = -12873.40$ My, b, $Rd = 20255.80$ My, $Ed/My, b, Rd = 0.64$
- Verifica di stabilità aste presso-inflesse (C4.2.4.1.3.3.2) - CC 19 SLU - Classe 1
Sollecitazioni: $N, Ed = -6780.46$ My, $Ed = -12355.70$ L=2.35
 $\alpha_{my}, \alpha_{mz}, \alpha_{LT} = 0.95, 0.95, 0.95$
 $L_{cr} = 2.35$ Curva b: $\alpha_{imp} = 0.34$ $k_c = 0.94$ $\psi = 1.75$ M, $cr = 65500.90$ $\lambda_{LT} = 0.58$

Relazione di calcolo

$\lambda_{LT,0}=0.40$ $\Phi_{LT}=0.66$ $\beta_{LT}=0.75$ $f=0.97$ $\chi_{LT}=0.95$
 $\lambda_y=18.86$ $N_{cr,y}=3136160.00$ $\lambda^*_y=0.25$ Curva a: $\Phi_y=0.54$ $\chi_y=0.99$
 $\lambda_z=70.16$ $N_{cr,z}=226601.00$ $\lambda^*_z=0.92$ Curva b: $\Phi_z=1.04$ $\chi_z=0.65$
Kyy, Kyz, Kzy, Kzz=0.95, 0.61, 0.00, 1.02
Verifica YY: $0.04+0.58=0.62$
Verifica ZZ: $0.04=0.04$

- Verifica freccia massima carichi totali - CC 22
 $f_{z,L}=0.21$ (L/1144)

- Verifica freccia massima per soli carichi accidentali - CC 22
 $f_{z,G}=0.09$ (L/2514)

Asta n. 1142 (-83 1093) Sez. 6 IPE300 Crit. 2

- Verifica a flessione YY [4.2.13] - CC 1 SND $X_l=0.00$ - Classe 3
Sollecitazioni: $T_z=-2700.79$ $M_y=-6996.96$
 $M_y,Ed=-6996.96$ $M_y,c,Rd=18834.90$ $M_y,Ed/M_y,c,Rd=0.37$

- Verifica a taglio dir. Z [4.2.16] - CC 17 SLU $X_l=2.35$ - Classe 1
Sollecitazioni: $T_z=-5966.29$
 $V,Ed=-5966.29$ $V_c,Rd=50134.20$ $V,Ed/V_c,Rd=0.12$

- Verifica a presso o tenso-flessione retta YY (4.2.4.1.2.7) - CC 17 SLU $X_l=0.00$ - Classe 1
Sollecitazioni: $N=6780.46$ $T_z=-4989.83$ $M_y=-12873.40$
 $M_y,Ed=-12873.40$ $M_y,V,c,Rd=21326.00$
 $N,Ed=6780.46$ $N_c,Rd=181940.00$ $YY\ n=N,Ed/N_c,Rd=0.04$ $MN_y,c,Rd=21326.00$ $M_y,Ed/MN_y,c,Rd=0.60$

- Verifica di stabilità aste inflesse (4.2.4.1.3.2) CC 17 SLU - Classe 1
 $L_{cr}=2.35$ Curva b: $\alpha_{imp}=0.34$ $k_c=0.94$ $\psi=1.75$ $M_{cr}=65500.90$ $\lambda_{LT}=0.58$
 $\lambda_{LT,0}=0.40$ $\beta_{LT}=0.75$ $\Phi_{LT}=0.66$ $\beta_{LT}=0.75$ $f=0.97$ $\chi_{LT}=0.95$
 $M_y,Ed=-12873.40$ $M_y,b,Rd=20255.80$ $M_y,Ed/M_y,b,Rd=0.64$

- Verifica di stabilità aste presso-inflesse (C4.2.4.1.3.3.2) - CC 19 SLU - Classe 1
Sollecitazioni: $N,Ed=-6780.46$ $M_y,Ed=-12355.70$ $L=2.35$
 $\alpha_{my}, \alpha_{mz}, \alpha_{LT}=0.95, 0.95, 0.95$
 $L_{cr}=2.35$ Curva b: $\alpha_{imp}=0.34$ $k_c=0.94$ $\psi=1.75$ $M_{cr}=65500.90$ $\lambda_{LT}=0.58$
 $\lambda_{LT,0}=0.40$ $\Phi_{LT}=0.66$ $\beta_{LT}=0.75$ $f=0.97$ $\chi_{LT}=0.95$
 $\lambda_y=18.86$ $N_{cr,y}=3136160.00$ $\lambda^*_y=0.25$ Curva a: $\Phi_y=0.54$ $\chi_y=0.99$
 $\lambda_z=70.16$ $N_{cr,z}=226601.00$ $\lambda^*_z=0.92$ Curva b: $\Phi_z=1.04$ $\chi_z=0.65$
Kyy, Kyz, Kzy, Kzz=0.95, 0.61, 0.00, 1.02
Verifica YY: $0.04+0.58=0.62$
Verifica ZZ: $0.04=0.04$

- Verifica freccia massima carichi totali - CC 22
 $f_{z,L}=0.21$ (L/1144)

- Verifica freccia massima per soli carichi accidentali - CC 22
 $f_{z,G}=0.09$ (L/2514)

Asta n. 1142 (1093 -84) Sez. 6 IPE300 Crit. 2

- Verifica a flessione YY [4.2.13] - CC 1 SND $X_l=2.35$ - Classe 3
Sollecitazioni: $T_z=2700.78$ $M_y=-6996.96$
 $M_y,Ed=-6996.96$ $M_y,c,Rd=18834.90$ $M_y,Ed/M_y,c,Rd=0.37$

- Verifica a taglio dir. Z [4.2.16] - CC 17 SLU $X_l=0.00$ - Classe 1
Sollecitazioni: $T_z=5966.29$
 $V,Ed=5966.29$ $V_c,Rd=50134.20$ $V,Ed/V_c,Rd=0.12$

- Verifica a presso o tenso-flessione retta YY (4.2.4.1.2.7) - CC 17 SLU $X_l=2.35$ - Classe 1
Sollecitazioni: $N=6780.46$ $T_z=4989.83$ $M_y=-12873.40$
 $M_y,Ed=-12873.40$ $M_y,V,c,Rd=21326.00$
 $N,Ed=6780.46$ $N_c,Rd=181940.00$ $YY\ n=N,Ed/N_c,Rd=0.04$ $MN_y,c,Rd=21326.00$ $M_y,Ed/MN_y,c,Rd=0.60$

- Verifica di stabilità aste inflesse (4.2.4.1.3.2) CC 17 SLU - Classe 1
 $L_{cr}=2.35$ Curva b: $\alpha_{imp}=0.34$ $k_c=0.94$ $\psi=1.75$ $M_{cr}=65501.00$ $\lambda_{LT}=0.58$
 $\lambda_{LT,0}=0.40$ $\beta_{LT}=0.75$ $\Phi_{LT}=0.66$ $\beta_{LT}=0.75$ $f=0.97$ $\chi_{LT}=0.95$
 $M_y,Ed=-12873.40$ $M_y,b,Rd=20255.80$ $M_y,Ed/M_y,b,Rd=0.64$

- Verifica di stabilità aste presso-inflesse (C4.2.4.1.3.3.2) - CC 19 SLU - Classe 1
Sollecitazioni: $N,Ed=-6780.46$ $M_y,Ed=-12355.70$ $L=2.35$
 $\alpha_{my}, \alpha_{mz}, \alpha_{LT}=0.95, 0.95, 0.95$
 $L_{cr}=2.35$ Curva b: $\alpha_{imp}=0.34$ $k_c=0.94$ $\psi=1.75$ $M_{cr}=65501.00$ $\lambda_{LT}=0.58$
 $\lambda_{LT,0}=0.40$ $\Phi_{LT}=0.66$ $\beta_{LT}=0.75$ $f=0.97$ $\chi_{LT}=0.95$
 $\lambda_y=18.86$ $N_{cr,y}=3136170.00$ $\lambda^*_y=0.25$ Curva a: $\Phi_y=0.54$ $\chi_y=0.99$
 $\lambda_z=70.16$ $N_{cr,z}=226601.00$ $\lambda^*_z=0.92$ Curva b: $\Phi_z=1.04$ $\chi_z=0.65$
Kyy, Kyz, Kzy, Kzz=0.95, 0.61, 0.00, 1.02
Verifica YY: $0.04+0.58=0.62$

Relazione di calcolo

Verifica ZZ: 0.04=0.04

- Verifica freccia massima carichi totali - CC 22
 $f_{z,g}=0.21$ (L/1144)

- Verifica freccia massima per soli carichi accidentali - CC 22
 $f_{z,L}=0.09$ (L/2515)

Asta n. 1142 (-84 1094) Sez. 6 IPE300 Crit. 2

- Verifica a flessione YY [4.2.13] - CC 1 SND $X_1=0.00$ - Classe 3
 Sollecitazioni: $T_z=-2700.79$ $M_y=-6996.96$
 $M_y,Ed=-6996.96$ $M_y,c,Rd=18834.90$ $M_y,Ed/M_y,c,Rd=0.37$

- Verifica a taglio dir. Z [4.2.16] - CC 17 SLU $X_1=2.35$ - Classe 1
 Sollecitazioni: $T_z=-5966.29$
 $V,Ed=-5966.29$ $V_c,Rd=50134.20$ $V,Ed/V_c,Rd=0.12$

- Verifica a presso o tenso-flessione retta YY (4.2.4.1.2.7) - CC 17 SLU $X_1=0.00$ - Classe 1
 Sollecitazioni: $N=6780.46$ $T_z=-4989.83$ $M_y=-12873.40$
 $M_y,Ed=-12873.40$ $M_y,V,c,Rd=21326.00$
 $N,Ed=6780.46$ $N_c,Rd=181940.00$ $YY\ n=N,Ed/N_c,Rd=0.04$ $MN_y,c,Rd=21326.00$ $M_y,Ed/MN_y,c,Rd=0.60$

- Verifica di stabilità aste inflesse (4.2.4.1.3.2) CC 17 SLU - Classe 1
 $L_{cr}=2.35$ Curva b: $\alpha_{imp}=0.34$ $k_c=0.94$ $\psi=1.75$ $M_{cr}=65500.90$ $\lambda_{LT}=0.58$
 $\lambda_{LT,0}=0.40$ $\beta_{LT}=0.75$ $\Phi_{LT}=0.66$ $\beta_{LT}=0.75$ $f=0.97$ $\chi_{LT}=0.95$
 $M_y,Ed=-12873.40$ $M_y,b,Rd=20255.80$ $M_y,Ed/M_y,b,Rd=0.64$

- Verifica di stabilità aste presso-inflesse (C4.2.4.1.3.3.2) - CC 19 SLU - Classe 1
 Sollecitazioni: $N,Ed=-6780.46$ $M_y,Ed=-12355.70$ $L=2.35$
 $\alpha_{my}, \alpha_{mz}, \alpha_{LT}=0.95, 0.95, 0.95$
 $L_{cr}=2.35$ Curva b: $\alpha_{imp}=0.34$ $k_c=0.94$ $\psi=1.75$ $M_{cr}=65500.90$ $\lambda_{LT}=0.58$
 $\lambda_{LT,0}=0.40$ $\Phi_{LT}=0.66$ $\beta_{LT}=0.75$ $f=0.97$ $\chi_{LT}=0.95$
 $\lambda_y=18.86$ $N_{cr,y}=3136160.00$ $\lambda^*_y=0.25$ Curva a: $\Phi_y=0.54$ $\chi_y=0.99$
 $\lambda_z=70.16$ $N_{cr,z}=226600.00$ $\lambda^*_z=0.92$ Curva b: $\Phi_z=1.04$ $\chi_z=0.65$
 $K_{yy}, K_{yz}, K_{zy}, K_{zz}=0.95, 0.61, 0.00, 1.02$
 Verifica YY: $0.04+0.58=0.62$
 Verifica ZZ: $0.04=0.04$

- Verifica freccia massima carichi totali - CC 22
 $f_{z,L}=0.21$ (L/1143)

- Verifica freccia massima per soli carichi accidentali - CC 22
 $f_{z,L}=0.09$ (L/2513)

Asta n. 1144 (1105 -94) Sez. 10 HEA300 Crit. 2

- Verifica a flessione YY [4.2.13] - CC 1 SND $X_1=2.80$ - Classe 3
 Sollecitazioni: $T_z=1600.34$ $M_y=-5989.92$
 $M_y,Ed=-5989.92$ $M_y,c,Rd=42586.20$ $M_y,Ed/M_y,c,Rd=0.14$

- Verifica a taglio dir. Z [4.2.16] - CC 17 SLU $X_1=0.00$ - Classe 1
 Sollecitazioni: $T_z=4627.83$
 $V,Ed=4627.83$ $V_c,Rd=72775.50$ $V,Ed/V_c,Rd=0.06$

- Verifica in termini tensionali [4.2.4] - CC 18 SLU $X_1=2.80$ - Classe 3
 Sollecitazioni: $N=35447.60$ $T_z=2961.44$ $M_y=-10625.00$
 Tensioni: $\sigma_N=315.00$ $\sigma_{m,d}=843.53$ $\tau=0.00$ $\sigma_{max}=1158.53$ (sfrut=0.34)
 Tensioni: $\sigma_N=315.00$ $\sigma_{m,d}=0.00$ $\tau=141.44$ $\tau_{max}=141.44$ (sfrut=0.07)
 Tensioni: $\sigma_N=315.00$ $\sigma_{m,d}=843.53$ $\tau=0.00$ $\sigma_{ID,max}=1158.53$ (sfrut=0.34)

- Verifica di stabilità aste inflesse (4.2.4.1.3.2) CC 17 SLU - Classe 3
 $L_{cr}=2.80$ Curva b: $\alpha_{imp}=0.34$ $k_c=0.94$ $\psi=1.75$ $M_{cr}=439855.00$ $\lambda_{LT}=0.32$
 $\lambda_{LT,0}=0.40$ $\beta_{LT}=0.75$ $\Phi_{LT}=0.52$ $\beta_{LT}=0.75$ $f=0.98$ $\chi_{LT}=1.00$
 $M_y,Ed=-10625.00$ $M_y,b,Rd=42586.20$ $M_y,Ed/M_y,b,Rd=0.25$

- Verifica di stabilità aste presso-inflesse (C4.2.4.1.3.3.2) - CC 19 SLU - Classe 3
 Sollecitazioni: $N,Ed=-14179.00$ $M_y,Ed=-10257.50$ $L=2.80$
 $\alpha_{my}, \alpha_{mz}, \alpha_{LT}=0.95, 0.95, 0.95$
 $L_{cr}=2.80$ Curva b: $\alpha_{imp}=0.34$ $k_c=0.94$ $\psi=1.75$ $M_{cr}=439855.00$ $\lambda_{LT}=0.32$
 $\lambda_{LT,0}=0.40$ $\Phi_{LT}=0.52$ $\beta_{LT}=0.75$ $f=0.98$ $\chi_{LT}=1.00$
 $\lambda_y=21.98$ $N_{cr,y}=4828370.00$ $\lambda^*_y=0.29$ Curva b: $\Phi_y=0.56$ $\chi_y=0.97$
 $\lambda_z=37.39$ $N_{cr,z}=1668030.00$ $\lambda^*_z=0.49$ Curva c: $\Phi_z=0.69$ $\chi_z=0.85$
 $K_{yy}, K_{yz}, K_{zy}, K_{zz}=0.96, 0.96, 0.00, 0.96$
 Verifica YY: $0.04+0.23=0.27$
 Verifica ZZ: $0.04=0.04$

- Verifica freccia massima carichi totali - CC 22
 $f_{z,L}=0.12$ (L/2378)

Relazione di calcolo

- Verifica freccia massima per soli carichi accidentali - CC 22
 $f_{z,L}=0.04$ (L/6331)

Asta n. 1144 (-94 1106) Sez. 10 HEA300 Crit. 2

- Verifica a flessione YY [4.2.13] - CC 1 SND $X_l=0.00$ - Classe 3
Sollecitazioni: $T_z=-1600.34$ $M_y=-5989.92$
 $M_y,Ed=-5989.92$ $M_y,c,Rd=42586.20$ $M_y,Ed/M_y,c,Rd=0.14$
- Verifica a taglio dir. Z [4.2.16] - CC 17 SLU $X_l=2.80$ - Classe 1
Sollecitazioni: $T_z=-4627.83$
 $V,Ed=-4627.83$ $V_c,Rd=72775.50$ $V,Ed/V_c,Rd=0.06$
- Verifica in termini tensionali [4.2.4] - CC 18 SLU $X_l=0.00$ - Classe 3
Sollecitazioni: $N=35447.60$ $T_z=-2961.44$ $M_y=-10625.00$
Tensioni: $\sigma_N=315.00$ $\sigma_{m,d}=843.53$ $\tau=0.00$ $\sigma_{max}=1158.53$ (sfrut=0.34)
Tensioni: $\sigma_N=315.00$ $\sigma_{m,d}=0.00$ $\tau=141.44$ $\tau_{max}=141.44$ (sfrut=0.07)
Tensioni: $\sigma_N=315.00$ $\sigma_{m,d}=843.53$ $\tau=0.00$ $\sigma_{ID,max}=1158.53$ (sfrut=0.34)
- Verifica di stabilità aste inflesse (4.2.4.1.3.2) CC 17 SLU - Classe 3
 $L_{cr}=2.80$ Curva b: $\alpha_{imp}=0.34$ $k_c=0.94$ $\psi=1.75$ $M_{cr}=439855.00$ $\lambda_{LT}=0.32$
 $\lambda_{LT,0}=0.40$ $\beta_{LT}=0.75$ $\Phi_{LT}=0.52$ $\beta_{LT}=0.75$ $f=0.98$ $\chi_{LT}=1.00$
 $M_y,Ed=-10625.00$ $M_y,b,Rd=42586.20$ $M_y,Ed/M_y,b,Rd=0.25$
- Verifica di stabilità aste presso-inflesse (C4.2.4.1.3.3.2) - CC 19 SLU - Classe 3
Sollecitazioni: $N,Ed=-14179.00$ $M_y,Ed=-10257.50$ $L=2.80$
 α_{my} , α_{mz} , $\alpha_{LT}=0.95$, 0.95 , 0.95
 $L_{cr}=2.80$ Curva b: $\alpha_{imp}=0.34$ $k_c=0.94$ $\psi=1.75$ $M_{cr}=439855.00$ $\lambda_{LT}=0.32$
 $\lambda_{LT,0}=0.40$ $\Phi_{LT}=0.52$ $\beta_{LT}=0.75$ $f=0.98$ $\chi_{LT}=1.00$
 $\lambda_y=21.98$ $N_{cr,y}=4828370.00$ $\lambda^*_y=0.29$ Curva b: $\Phi_y=0.56$ $\chi_y=0.97$
 $\lambda_z=37.39$ $N_{cr,z}=1668030.00$ $\lambda^*_z=0.49$ Curva c: $\Phi_z=0.69$ $\chi_z=0.85$
 K_{yy} , K_{yz} , K_{zy} , $K_{zz}=0.96$, 0.96 , 0.00 , 0.96
Verifica YY: $0.04+0.23=0.27$
Verifica ZZ: $0.04=0.04$
- Verifica freccia massima carichi totali - CC 22
 $f_{z,L}=0.12$ (L/2382)
- Verifica freccia massima per soli carichi accidentali - CC 22
 $f_{z,L}=0.04$ (L/6337)

Asta n. 1144 (1106 -95) Sez. 6 IPE300 Crit. 2

- Verifica a flessione YY [4.2.13] - CC 1 SND $X_l=2.35$ - Classe 3
Sollecitazioni: $T_z=2700.78$ $M_y=-6996.96$
 $M_y,Ed=-6996.96$ $M_y,c,Rd=18834.90$ $M_y,Ed/M_y,c,Rd=0.37$
- Verifica a taglio dir. Z [4.2.16] - CC 17 SLU $X_l=0.00$ - Classe 1
Sollecitazioni: $T_z=5966.29$
 $V,Ed=5966.29$ $V_c,Rd=50134.20$ $V,Ed/V_c,Rd=0.12$
- Verifica a presso o tenso-flessione retta YY (4.2.4.1.2.7) - CC 17 SLU $X_l=2.35$ - Classe 1
Sollecitazioni: $N=6780.46$ $T_z=4989.83$ $M_y=-12873.40$
 $M_y,Ed=-12873.40$ $M_y,V,c,Rd=21326.00$
 $N,Ed=6780.46$ $N_c,Rd=181940.00$ YY $n=N,Ed/N_c,Rd=0.04$ $MN_y,c,Rd=21326.00$ $M_y,Ed/MN_y,c,Rd=0.60$
- Verifica di stabilità aste inflesse (4.2.4.1.3.2) CC 17 SLU - Classe 1
 $L_{cr}=2.35$ Curva b: $\alpha_{imp}=0.34$ $k_c=0.94$ $\psi=1.75$ $M_{cr}=65500.90$ $\lambda_{LT}=0.58$
 $\lambda_{LT,0}=0.40$ $\beta_{LT}=0.75$ $\Phi_{LT}=0.66$ $\beta_{LT}=0.75$ $f=0.97$ $\chi_{LT}=0.95$
 $M_y,Ed=-12873.40$ $M_y,b,Rd=20255.80$ $M_y,Ed/M_y,b,Rd=0.64$
- Verifica di stabilità aste presso-inflesse (C4.2.4.1.3.3.2) - CC 19 SLU - Classe 1
Sollecitazioni: $N,Ed=-6780.46$ $M_y,Ed=-12355.70$ $L=2.35$
 α_{my} , α_{mz} , $\alpha_{LT}=0.95$, 0.95 , 0.95
 $L_{cr}=2.35$ Curva b: $\alpha_{imp}=0.34$ $k_c=0.94$ $\psi=1.75$ $M_{cr}=65500.90$ $\lambda_{LT}=0.58$
 $\lambda_{LT,0}=0.40$ $\Phi_{LT}=0.66$ $\beta_{LT}=0.75$ $f=0.97$ $\chi_{LT}=0.95$
 $\lambda_y=18.86$ $N_{cr,y}=3136160.00$ $\lambda^*_y=0.25$ Curva a: $\Phi_y=0.54$ $\chi_y=0.99$
 $\lambda_z=70.16$ $N_{cr,z}=226601.00$ $\lambda^*_z=0.92$ Curva b: $\Phi_z=1.04$ $\chi_z=0.65$
 K_{yy} , K_{yz} , K_{zy} , $K_{zz}=0.95$, 0.61 , 0.00 , 1.02
Verifica YY: $0.04+0.58=0.62$
Verifica ZZ: $0.04=0.04$
- Verifica freccia massima carichi totali - CC 22
 $f_{z,L}=0.21$ (L/1145)
- Verifica freccia massima per soli carichi accidentali - CC 22
 $f_{z,L}=0.09$ (L/2516)

Relazione di calcolo

Asta n. 1144 (-95 1107) Sez. 6 IPE300 Crit. 2

- Verifica a flessione YY [4.2.13] - CC 1 SND $X_l=0.00$ - Classe 3
Sollecitazioni: $T_z=-2700.79$ $M_y=-6996.96$
 $M_y,Ed=-6996.96$ $M_y,c,Rd=18834.90$ $M_y,Ed/M_y,c,Rd=0.37$
- Verifica a taglio dir. Z [4.2.16] - CC 17 SLU $X_l=2.35$ - Classe 1
Sollecitazioni: $T_z=-5966.29$
 $V,Ed=-5966.29$ $V_c,Rd=50134.20$ $V,Ed/V_c,Rd=0.12$
- Verifica a presso o tenso-flessione retta YY (4.2.4.1.2.7) - CC 17 SLU $X_l=0.00$ - Classe 1
Sollecitazioni: $N=6780.46$ $T_z=-4989.83$ $M_y=-12873.40$
 $M_y,Ed=-12873.40$ $M_y,V,c,Rd=21326.00$
 $N,Ed=6780.46$ $N_c,Rd=181940.00$ $YY\ n=N,Ed/N_c,Rd=0.04$ $MN_y,c,Rd=21326.00$ $M_y,Ed/MN_y,c,Rd=0.60$
- Verifica di stabilità aste inflesse (4.2.4.1.3.2) CC 17 SLU - Classe 1
 $L_{cr}=2.35$ Curva b: $\alpha_{imp}=0.34$ $k_c=0.94$ $\psi=1.75$ $M_{cr}=65500.90$ $\lambda_{LT}=0.58$
 $\lambda_{LT,0}=0.40$ $\beta_{LT}=0.75$ $\Phi_{LT}=0.66$ $\beta_{LT}=0.75$ $f=0.97$ $\chi_{LT}=0.95$
 $M_y,Ed=-12873.40$ $M_y,b,Rd=20255.80$ $M_y,Ed/M_y,b,Rd=0.64$
- Verifica di stabilità aste presso-inflesse (C4.2.4.1.3.3.2) - CC 19 SLU - Classe 1
Sollecitazioni: $N,Ed=-6780.46$ $M_y,Ed=-12355.70$ $L=2.35$
 $\alpha_{my}, \alpha_{mz}, \alpha_{LT}=0.95, 0.95, 0.95$
 $L_{cr}=2.35$ Curva b: $\alpha_{imp}=0.34$ $k_c=0.94$ $\psi=1.75$ $M_{cr}=65500.90$ $\lambda_{LT}=0.58$
 $\lambda_{LT,0}=0.40$ $\Phi_{LT}=0.66$ $\beta_{LT}=0.75$ $f=0.97$ $\chi_{LT}=0.95$
 $\lambda_y=18.86$ $N_{cr,y}=3136160.00$ $\lambda^*_y=0.25$ Curva a: $\Phi_y=0.54$ $\chi_y=0.99$
 $\lambda_z=70.16$ $N_{cr,z}=226601.00$ $\lambda^*_z=0.92$ Curva b: $\Phi_z=1.04$ $\chi_z=0.65$
 $K_{yy}, K_{yz}, K_{zy}, K_{zz}=0.95, 0.61, 0.00, 1.02$
Verifica YY: $0.04+0.58=0.62$
Verifica ZZ: $0.04=0.04$
- Verifica freccia massima carichi totali - CC 22
 $f_{z,L}=0.21$ (L/1143)
- Verifica freccia massima per soli carichi accidentali - CC 22
 $f_{z,g}=0.09$ (L/2513)

Asta n. 1144 (1107 -96) Sez. 6 IPE300 Crit. 2

- Verifica a flessione YY [4.2.13] - CC 1 SND $X_l=2.35$ - Classe 3
Sollecitazioni: $T_z=2700.78$ $M_y=-6996.96$
 $M_y,Ed=-6996.96$ $M_y,c,Rd=18834.90$ $M_y,Ed/M_y,c,Rd=0.37$
- Verifica a taglio dir. Z [4.2.16] - CC 17 SLU $X_l=0.00$ - Classe 1
Sollecitazioni: $T_z=5966.29$
 $V,Ed=5966.29$ $V_c,Rd=50134.20$ $V,Ed/V_c,Rd=0.12$
- Verifica a presso o tenso-flessione retta YY (4.2.4.1.2.7) - CC 17 SLU $X_l=2.35$ - Classe 1
Sollecitazioni: $N=6780.46$ $T_z=4989.83$ $M_y=-12873.40$
 $M_y,Ed=-12873.40$ $M_y,V,c,Rd=21326.00$
 $N,Ed=6780.46$ $N_c,Rd=181940.00$ $YY\ n=N,Ed/N_c,Rd=0.04$ $MN_y,c,Rd=21326.00$ $M_y,Ed/MN_y,c,Rd=0.60$
- Verifica di stabilità aste inflesse (4.2.4.1.3.2) CC 17 SLU - Classe 1
 $L_{cr}=2.35$ Curva b: $\alpha_{imp}=0.34$ $k_c=0.94$ $\psi=1.75$ $M_{cr}=65500.90$ $\lambda_{LT}=0.58$
 $\lambda_{LT,0}=0.40$ $\beta_{LT}=0.75$ $\Phi_{LT}=0.66$ $\beta_{LT}=0.75$ $f=0.97$ $\chi_{LT}=0.95$
 $M_y,Ed=-12873.40$ $M_y,b,Rd=20255.80$ $M_y,Ed/M_y,b,Rd=0.64$
- Verifica di stabilità aste presso-inflesse (C4.2.4.1.3.3.2) - CC 19 SLU - Classe 1
Sollecitazioni: $N,Ed=-6780.46$ $M_y,Ed=-12355.70$ $L=2.35$
 $\alpha_{my}, \alpha_{mz}, \alpha_{LT}=0.95, 0.95, 0.95$
 $L_{cr}=2.35$ Curva b: $\alpha_{imp}=0.34$ $k_c=0.94$ $\psi=1.75$ $M_{cr}=65500.90$ $\lambda_{LT}=0.58$
 $\lambda_{LT,0}=0.40$ $\Phi_{LT}=0.66$ $\beta_{LT}=0.75$ $f=0.97$ $\chi_{LT}=0.95$
 $\lambda_y=18.86$ $N_{cr,y}=3136160.00$ $\lambda^*_y=0.25$ Curva a: $\Phi_y=0.54$ $\chi_y=0.99$
 $\lambda_z=70.16$ $N_{cr,z}=226601.00$ $\lambda^*_z=0.92$ Curva b: $\Phi_z=1.04$ $\chi_z=0.65$
 $K_{yy}, K_{yz}, K_{zy}, K_{zz}=0.95, 0.61, 0.00, 1.02$
Verifica YY: $0.04+0.58=0.62$
Verifica ZZ: $0.04=0.04$
- Verifica freccia massima carichi totali - CC 22
 $f_{z,L}=0.21$ (L/1142)
- Verifica freccia massima per soli carichi accidentali - CC 22
 $f_{z,L}=0.09$ (L/2508)

Asta n. 1144 (-96 1108) Sez. 6 IPE300 Crit. 2

- Verifica a flessione YY [4.2.13] - CC 1 SND $X_l=0.00$ - Classe 3
Sollecitazioni: $T_z=-2700.79$ $M_y=-6996.96$
 $M_y,Ed=-6996.96$ $M_y,c,Rd=18834.90$ $M_y,Ed/M_y,c,Rd=0.37$

Relazione di calcolo

- Verifica a taglio dir. Z [4.2.16] - CC 17 SLU $X_l=2.35$ - Classe 1
Sollecitazioni: $T_z=-5966.29$
 $V, Ed=-5966.29$ $V_c, Rd=50134.20$ $V, Ed/V_c, Rd=0.12$
- Verifica a presso o tenso-flessione retta YY (4.2.4.1.2.7) - CC 17 SLU $X_l=0.00$ - Classe 1
Sollecitazioni: $N=6780.46$ $T_z=-4989.83$ $M_y=-12873.40$
 $M_y, Ed=-12873.40$ $M_y, V, c, Rd=21326.00$
 $N, Ed=6780.46$ $N_c, Rd=181940.00$ YY $n=N, Ed/N_c, Rd=0.04$ $MN_y, c, Rd=21326.00$ $M_y, Ed/MN_y, c, Rd=0.60$
- Verifica di stabilità aste inflesse (4.2.4.1.3.2) CC 17 SLU - Classe 1
 $L_{cr}=2.35$ Curva b: $\alpha_{imp}=0.34$ $k_c=0.94$ $\psi=1.75$ $M, cr=65500.90$ $\lambda_{LT}=0.58$
 $\lambda_{LT,0}=0.40$ $\beta_{LT}=0.75$ $\Phi_{LT}=0.66$ $\beta_{LT}=0.75$ $f=0.97$ $\chi_{LT}=0.95$
 $M_y, Ed=-12873.40$ $M_y, b, Rd=20255.80$ $M_y, Ed/M_y, b, Rd=0.64$
- Verifica di stabilità aste presso-inflesse (C4.2.4.1.3.3.2) - CC 19 SLU - Classe 1
Sollecitazioni: $N, Ed=-6780.46$ $M_y, Ed=-12355.70$ $L=2.35$
 $\alpha_m, \alpha_m, z, \alpha_{LT}=0.95, 0.95, 0.95$
 $L_{cr}=2.35$ Curva b: $\alpha_{imp}=0.34$ $k_c=0.94$ $\psi=1.75$ $M, cr=65500.90$ $\lambda_{LT}=0.58$
 $\lambda_{LT,0}=0.40$ $\Phi_{LT}=0.66$ $\beta_{LT}=0.75$ $f=0.97$ $\chi_{LT}=0.95$
 $\lambda_y=18.86$ $N_{cr,y}=3136160.00$ $\lambda_y^*=0.25$ Curva a: $\Phi_y=0.54$ $\chi_y=0.99$
 $\lambda_z=70.16$ $N_{cr,z}=226601.00$ $\lambda_z^*=0.92$ Curva b: $\Phi_z=1.04$ $\chi_z=0.65$
 $K_{yy}, K_{yz}, K_{zy}, K_{zz}=0.95, 0.61, 0.00, 1.02$
Verifica YY: $0.04+0.58=0.62$
Verifica ZZ: $0.04=0.04$
- Verifica freccia massima carichi totali - CC 22
 $f_{z,L}=0.20$ (L/1146)
- Verifica freccia massima per soli carichi accidentali - CC 22
 $f_{z,G}=0.09$ (L/2520)

Asta n. 1144 (1108 -97) Sez. 6 IPE300 Crit. 2

- Verifica a flessione YY [4.2.13] - CC 1 SND $X_l=2.80$ - Classe 3
Sollecitazioni: $T_z=3200.69$ $M_y=-9884.87$
 $M_y, Ed=-9884.87$ $M_y, c, Rd=18834.90$ $M_y, Ed/M_y, c, Rd=0.52$
- Verifica a taglio dir. Z [4.2.16] - CC 17 SLU $X_l=0.00$ - Classe 1
Sollecitazioni: $T_z=7086.33$
 $V, Ed=7086.33$ $V_c, Rd=50134.20$ $V, Ed/V_c, Rd=0.14$
- Verifica a presso o tenso-flessione retta YY (4.2.4.1.2.7) - CC 17 SLU $X_l=2.80$ - Classe 1
Sollecitazioni: $N=6780.46$ $T_z=5922.88$ $M_y=-18212.90$
 $M_y, Ed=-18212.90$ $M_y, V, c, Rd=21326.00$
 $N, Ed=6780.46$ $N_c, Rd=181940.00$ YY $n=N, Ed/N_c, Rd=0.04$ $MN_y, c, Rd=21326.00$ $M_y, Ed/MN_y, c, Rd=0.85$
- Verifica di stabilità aste inflesse (4.2.4.1.3.2) CC 17 SLU - Classe 1
 $L_{cr}=2.80$ Curva b: $\alpha_{imp}=0.34$ $k_c=0.94$ $\psi=1.75$ $M, cr=48365.20$ $\lambda_{LT}=0.68$
 $\lambda_{LT,0}=0.40$ $\beta_{LT}=0.75$ $\Phi_{LT}=0.72$ $\beta_{LT}=0.75$ $f=0.97$ $\chi_{LT}=0.91$
 $M_y, Ed=-18212.90$ $M_y, b, Rd=19315.10$ $M_y, Ed/M_y, b, Rd=0.94$
- Verifica di stabilità aste presso-inflesse (C4.2.4.1.3.3.2) - CC 19 SLU - Classe 1
Sollecitazioni: $N, Ed=-6780.46$ $M_y, Ed=-17477.90$ $L=2.80$
 $\alpha_m, \alpha_m, z, \alpha_{LT}=0.95, 0.95, 0.95$
 $L_{cr}=2.80$ Curva b: $\alpha_{imp}=0.34$ $k_c=0.94$ $\psi=1.75$ $M, cr=48365.20$ $\lambda_{LT}=0.68$
 $\lambda_{LT,0}=0.40$ $\Phi_{LT}=0.72$ $\beta_{LT}=0.75$ $f=0.97$ $\chi_{LT}=0.91$
 $\lambda_y=22.47$ $N_{cr,y}=2209120.00$ $\lambda_y^*=0.29$ Curva a: $\Phi_y=0.55$ $\chi_y=0.98$
 $\lambda_z=83.59$ $N_{cr,z}=159618.00$ $\lambda_z^*=1.09$ Curva b: $\Phi_z=1.25$ $\chi_z=0.54$
 $K_{yy}, K_{yz}, K_{zy}, K_{zz}=0.95, 0.63, 0.00, 1.04$
Verifica YY: $0.04+0.86=0.90$
Verifica ZZ: $0.07=0.07$
- Verifica freccia massima carichi totali - CC 22
 $f_{z,G}=0.40$ (L/694)
- Verifica freccia massima per soli carichi accidentali - CC 22
 $f_{z,G}=0.18$ (L/1520)

Asta n. 1144 (-97 1109) Sez. 6 IPE300 Crit. 2

- Verifica a flessione YY [4.2.13] - CC 1 SND $X_l=0.00$ - Classe 3
Sollecitazioni: $T_z=-3200.69$ $M_y=-9884.87$
 $M_y, Ed=-9884.87$ $M_y, c, Rd=18834.90$ $M_y, Ed/M_y, c, Rd=0.52$
- Verifica a taglio dir. Z [4.2.16] - CC 17 SLU $X_l=2.80$ - Classe 1
Sollecitazioni: $T_z=-7086.33$
 $V, Ed=-7086.33$ $V_c, Rd=50134.20$ $V, Ed/V_c, Rd=0.14$

Relazione di calcolo

- Verifica a presso o tenso-flessione retta YY (4.2.4.1.2.7) - CC 17 SLU $X_l=0.00$ - Classe 1
Sollecitazioni: $N=6780.46$ $T_z=-5922.88$ $M_y=-18212.90$
 $M_y,Ed=-18212.90$ $M_y,V,c,Rd=21326.00$
 $N,Ed=6780.46$ $N_c,Rd=181940.00$ $YY\ n=N,Ed/N_c,Rd=0.04$ $MNy,c,Rd=21326.00$ $My,Ed/MNy,c,Rd=0.85$
- Verifica di stabilità aste inflesse (4.2.4.1.3.2) CC 17 SLU - Classe 1
 $L_{cr}=2.80$ Curva b: $\alpha_{imp}=0.34$ $k_c=0.94$ $\psi=1.75$ $M_{cr}=48365.20$ $\lambda_{LT}=0.68$
 $\lambda_{LT,0}=0.40$ $\beta_{LT}=0.75$ $\Phi_{LT}=0.72$ $\beta_{LT}=0.75$ $f=0.97$ $\chi_{LT}=0.91$
 $M_y,Ed=-18212.90$ $M_y,b,Rd=19315.10$ $My,Ed/M_y,b,Rd=0.94$
- Verifica di stabilità aste presso-inflesse (C4.2.4.1.3.3.2) - CC 19 SLU - Classe 1
Sollecitazioni: $N,Ed=-6780.46$ $M_y,Ed=-17477.90$ $L=2.80$
 $\alpha_{my}, \alpha_{mz}, \alpha_{LT}=0.95, 0.95, 0.95$
 $L_{cr}=2.80$ Curva b: $\alpha_{imp}=0.34$ $k_c=0.94$ $\psi=1.75$ $M_{cr}=48365.20$ $\lambda_{LT}=0.68$
 $\lambda_{LT,0}=0.40$ $\Phi_{LT}=0.72$ $\beta_{LT}=0.75$ $f=0.97$ $\chi_{LT}=0.91$
 $\lambda_y=22.47$ $N_{cr,y}=2209120.00$ $\lambda^*_y=0.29$ Curva a: $\Phi_y=0.55$ $\chi_y=0.98$
 $\lambda_z=83.59$ $N_{cr,z}=159618.00$ $\lambda^*_z=1.09$ Curva b: $\Phi_z=1.25$ $\chi_z=0.54$
 $K_{yy}, K_{yz}, K_{zy}, K_{zz}=0.95, 0.63, 0.00, 1.04$
Verifica YY: $0.04+0.86=0.90$
Verifica ZZ: $0.07=0.07$
- Verifica freccia massima carichi totali - CC 22
 $f_{z,L}=0.40$ (L/695)
- Verifica freccia massima per soli carichi accidentali - CC 22
 $f_{z,L}=0.18$ (L/1522)

Asta n. 1144 (1109 -98) Sez. 6 IPE300 Crit. 2

- Verifica a flessione YY [4.2.13] - CC 1 SND $X_l=2.35$ - Classe 3
Sollecitazioni: $T_z=1395.48$ $M_y=-3662.75$
 $M_y,Ed=-3662.75$ $M_y,c,Rd=18834.90$ $My,Ed/M_y,c,Rd=0.19$
- Verifica a taglio dir. Z [4.2.16] - CC 17 SLU $X_l=0.00$ - Classe 1
Sollecitazioni: $T_z=3106.28$
 $V,Ed=3106.28$ $V_c,Rd=50134.20$ $V,Ed/V_c,Rd=0.06$
- Verifica a presso o tenso-flessione retta YY (4.2.4.1.2.7) - CC 17 SLU $X_l=2.35$ - Classe 1
Sollecitazioni: $N=6780.46$ $T_z=2553.52$ $M_y=-6650.27$
 $M_y,Ed=-6650.27$ $M_y,V,c,Rd=21326.00$
 $N,Ed=6780.46$ $N_c,Rd=181940.00$ $YY\ n=N,Ed/N_c,Rd=0.04$ $MNy,c,Rd=21326.00$ $My,Ed/MNy,c,Rd=0.31$
- Verifica di stabilità aste inflesse (4.2.4.1.3.2) CC 17 SLU - Classe 1
 $L_{cr}=2.35$ Curva b: $\alpha_{imp}=0.34$ $k_c=0.94$ $\psi=1.75$ $M_{cr}=65500.90$ $\lambda_{LT}=0.58$
 $\lambda_{LT,0}=0.40$ $\beta_{LT}=0.75$ $\Phi_{LT}=0.66$ $\beta_{LT}=0.75$ $f=0.97$ $\chi_{LT}=0.95$
 $M_y,Ed=-6650.27$ $M_y,b,Rd=20255.80$ $My,Ed/M_y,b,Rd=0.33$
- Verifica di stabilità aste presso-inflesse (C4.2.4.1.3.3.2) - CC 19 SLU - Classe 1
Sollecitazioni: $N,Ed=-6780.46$ $M_y,Ed=-6391.41$ $L=2.35$
 $\alpha_{my}, \alpha_{mz}, \alpha_{LT}=0.95, 0.95, 0.95$
 $L_{cr}=2.35$ Curva b: $\alpha_{imp}=0.34$ $k_c=0.94$ $\psi=1.75$ $M_{cr}=65500.90$ $\lambda_{LT}=0.58$
 $\lambda_{LT,0}=0.40$ $\Phi_{LT}=0.66$ $\beta_{LT}=0.75$ $f=0.97$ $\chi_{LT}=0.95$
 $\lambda_y=18.86$ $N_{cr,y}=3136160.00$ $\lambda^*_y=0.25$ Curva a: $\Phi_y=0.54$ $\chi_y=0.99$
 $\lambda_z=70.16$ $N_{cr,z}=226601.00$ $\lambda^*_z=0.92$ Curva b: $\Phi_z=1.04$ $\chi_z=0.65$
 $K_{yy}, K_{yz}, K_{zy}, K_{zz}=0.95, 0.61, 0.00, 1.02$
Verifica YY: $0.04+0.30=0.34$
Verifica ZZ: $0.04=0.04$
- Verifica freccia massima carichi totali - CC 22
 $f_{z,L}=0.11$ (L/2196)
- Verifica freccia massima per soli carichi accidentali - CC 22
 $f_{z,L}=0.05$ (L/5000)

Asta n. 1144 (-98 1110) Sez. 6 IPE300 Crit. 2

- Verifica a flessione YY [4.2.13] - CC 1 SND $X_l=0.00$ - Classe 3
Sollecitazioni: $T_z=-1395.48$ $M_y=-3662.75$
 $M_y,Ed=-3662.75$ $M_y,c,Rd=18834.90$ $My,Ed/M_y,c,Rd=0.19$
- Verifica a taglio dir. Z [4.2.16] - CC 17 SLU $X_l=2.35$ - Classe 1
Sollecitazioni: $T_z=-3106.28$
 $V,Ed=-3106.28$ $V_c,Rd=50134.20$ $V,Ed/V_c,Rd=0.06$
- Verifica a presso o tenso-flessione retta YY (4.2.4.1.2.7) - CC 17 SLU $X_l=0.00$ - Classe 1
Sollecitazioni: $N=6780.46$ $T_z=-2553.52$ $M_y=-6650.27$
 $M_y,Ed=-6650.27$ $M_y,V,c,Rd=21326.00$
 $N,Ed=6780.46$ $N_c,Rd=181940.00$ $YY\ n=N,Ed/N_c,Rd=0.04$ $MNy,c,Rd=21326.00$ $My,Ed/MNy,c,Rd=0.31$

Relazione di calcolo

- Verifica di stabilità aste inflesse (4.2.4.1.3.2) CC 17 SLU - Classe 1
L_{cr}=2.35 Curva b: $\alpha_{imp}=0.34$ $k_c=0.94$ $\psi=1.75$ M_{cr}=65500.90 $\lambda_{LT}=0.58$
 $\lambda_{LT,0}=0.40$ $\beta_{LT}=0.75$ $\Phi_{LT}=0.66$ $\beta_{LT}=0.75$ $f=0.97$ $\chi_{LT}=0.95$
M_{y,Ed}=-6650.27 M_{y,b,Rd}=20255.80 M_{y,Ed/M,y,b,Rd}=0.33
- Verifica di stabilità aste presso-inflesse (C4.2.4.1.3.3.2) - CC 19 SLU - Classe 1
Sollecitazioni: N_{Ed}=-6780.46 M_{y,Ed}=-6391.41 L=2.35
 α_{my} , α_{mz} , $\alpha_{LT}=0.95$, 0.95, 0.95
L_{cr}=2.35 Curva b: $\alpha_{imp}=0.34$ $k_c=0.94$ $\psi=1.75$ M_{cr}=65500.90 $\lambda_{LT}=0.58$
 $\lambda_{LT,0}=0.40$ $\Phi_{LT}=0.66$ $\beta_{LT}=0.75$ $f=0.97$ $\chi_{LT}=0.95$
 $\lambda_y=18.86$ N_{cr,y}=3136160.00 $\lambda^*_y=0.25$ Curva a: $\Phi_y=0.54$ $\chi_y=0.99$
 $\lambda_z=70.16$ N_{cr,z}=226601.00 $\lambda^*_z=0.92$ Curva b: $\Phi_z=1.04$ $\chi_z=0.65$
K_{yy}, K_{yz}, K_{zy}, K_{zz}=0.95, 0.61, 0.00, 1.02
Verifica YY: 0.04+0.30=0.34
Verifica ZZ: 0.04=0.04
- Verifica freccia massima carichi totali - CC 22
f_{z,L}=0.11 (L/2206)
- Verifica freccia massima per soli carichi accidentali - CC 22
f_{z,L}=0.05 (L/5057)
- Asta n. 1144 (1110 -99) Sez. 6 IPE300 Crit. 2

- Verifica a flessione YY [4.2.13] - CC 1 SMD Xl=2.35 - Classe 3
Sollecitazioni: T_z=2700.78 M_y=-6996.96
M_{y,Ed}=-6996.96 M_{y,c,Rd}=18834.90 M_{y,Ed/M,y,c,Rd}=0.37
- Verifica a taglio dir. Z [4.2.16] - CC 17 SLU Xl=0.00 - Classe 1
Sollecitazioni: T_z=5966.29
V_{Ed}=5966.29 V_{c,Rd}=50134.20 V_{Ed/Vc,Rd}=0.12
- Verifica a presso o tenso-flessione retta YY (4.2.4.1.2.7) - CC 17 SLU Xl=2.35 - Classe 1
Sollecitazioni: N=6780.46 T_z=4989.83 M_y=-12873.40
M_{y,Ed}=-12873.40 M_{y,V,c,Rd}=21326.00
N_{Ed}=6780.46 N_{c,Rd}=181940.00 YY n=N_{Ed/Nc,Rd}=0.04 M_{Ny,c,Rd}=21326.00 M_{y,Ed/MNy,c,Rd}=0.60
- Verifica di stabilità aste inflesse (4.2.4.1.3.2) CC 17 SLU - Classe 1
L_{cr}=2.35 Curva b: $\alpha_{imp}=0.34$ $k_c=0.94$ $\psi=1.75$ M_{cr}=65500.90 $\lambda_{LT}=0.58$
 $\lambda_{LT,0}=0.40$ $\beta_{LT}=0.75$ $\Phi_{LT}=0.66$ $\beta_{LT}=0.75$ $f=0.97$ $\chi_{LT}=0.95$
M_{y,Ed}=-12873.40 M_{y,b,Rd}=20255.80 M_{y,Ed/M,y,b,Rd}=0.64
- Verifica di stabilità aste presso-inflesse (C4.2.4.1.3.3.2) - CC 19 SLU - Classe 1
Sollecitazioni: N_{Ed}=-6780.46 M_{y,Ed}=-12355.70 L=2.35
 α_{my} , α_{mz} , $\alpha_{LT}=0.95$, 0.95, 0.95
L_{cr}=2.35 Curva b: $\alpha_{imp}=0.34$ $k_c=0.94$ $\psi=1.75$ M_{cr}=65500.90 $\lambda_{LT}=0.58$
 $\lambda_{LT,0}=0.40$ $\Phi_{LT}=0.66$ $\beta_{LT}=0.75$ $f=0.97$ $\chi_{LT}=0.95$
 $\lambda_y=18.86$ N_{cr,y}=3136160.00 $\lambda^*_y=0.25$ Curva a: $\Phi_y=0.54$ $\chi_y=0.99$
 $\lambda_z=70.16$ N_{cr,z}=226601.00 $\lambda^*_z=0.92$ Curva b: $\Phi_z=1.04$ $\chi_z=0.65$
K_{yy}, K_{yz}, K_{zy}, K_{zz}=0.95, 0.61, 0.00, 1.02
Verifica YY: 0.04+0.58=0.62
Verifica ZZ: 0.04=0.04
- Verifica freccia massima carichi totali - CC 22
f_{z,L}=0.21 (L/1144)
- Verifica freccia massima per soli carichi accidentali - CC 22
f_{z,L}=0.09 (L/2515)
- Asta n. 1144 (-99 1111) Sez. 6 IPE300 Crit. 2

- Verifica a flessione YY [4.2.13] - CC 1 SMD Xl=0.00 - Classe 3
Sollecitazioni: T_z=-2700.79 M_y=-6996.96
M_{y,Ed}=-6996.96 M_{y,c,Rd}=18834.90 M_{y,Ed/M,y,c,Rd}=0.37
- Verifica a taglio dir. Z [4.2.16] - CC 17 SLU Xl=2.35 - Classe 1
Sollecitazioni: T_z=-5966.29
V_{Ed}=-5966.29 V_{c,Rd}=50134.20 V_{Ed/Vc,Rd}=0.12
- Verifica a presso o tenso-flessione retta YY (4.2.4.1.2.7) - CC 17 SLU Xl=0.00 - Classe 1
Sollecitazioni: N=6780.46 T_z=-4989.83 M_y=-12873.40
M_{y,Ed}=-12873.40 M_{y,V,c,Rd}=21326.00
N_{Ed}=6780.46 N_{c,Rd}=181940.00 YY n=N_{Ed/Nc,Rd}=0.04 M_{Ny,c,Rd}=21326.00 M_{y,Ed/MNy,c,Rd}=0.60
- Verifica di stabilità aste inflesse (4.2.4.1.3.2) CC 17 SLU - Classe 1
L_{cr}=2.35 Curva b: $\alpha_{imp}=0.34$ $k_c=0.94$ $\psi=1.75$ M_{cr}=65500.90 $\lambda_{LT}=0.58$
 $\lambda_{LT,0}=0.40$ $\beta_{LT}=0.75$ $\Phi_{LT}=0.66$ $\beta_{LT}=0.75$ $f=0.97$ $\chi_{LT}=0.95$
M_{y,Ed}=-12873.40 M_{y,b,Rd}=20255.80 M_{y,Ed/M,y,b,Rd}=0.64

Relazione di calcolo

- Verifica di stabilità aste presso-inflesse (C4.2.4.1.3.3.2) - CC 19 SLU - Classe 1
Sollecitazioni: $N_{Ed}=-6780.46$ $M_{y,Ed}=-12355.70$ $L=2.35$
 α_{my} , α_{mz} , $\alpha_{LT}=0.95$, 0.95 , 0.95
 $L_{cr}=2.35$ Curva b: $\alpha_{imp}=0.34$ $k_c=0.94$ $\psi=1.75$ $M_{cr}=65500.90$ $\lambda_{LT}=0.58$
 $\lambda_{LT,0}=0.40$ $\Phi_{LT}=0.66$ $\beta_{LT}=0.75$ $f=0.97$ $\chi_{LT}=0.95$
 $\lambda_y=18.86$ $N_{cr,y}=3136160.00$ $\lambda^*_y=0.25$ Curva a: $\Phi_y=0.54$ $\chi_y=0.99$
 $\lambda_z=70.16$ $N_{cr,z}=226601.00$ $\lambda^*_z=0.92$ Curva b: $\Phi_z=1.04$ $\chi_z=0.65$
 K_{yy} , K_{yz} , K_{zy} , $K_{zz}=0.95$, 0.61 , 0.00 , 1.02
Verifica YY: $0.04+0.58=0.62$
Verifica ZZ: $0.04=0.04$
- Verifica freccia massima carichi totali - CC 22
 $f_{z,L}=0.21$ (L/1144)
- Verifica freccia massima per soli carichi accidentali - CC 22
 $f_{z,L}=0.09$ (L/2513)
- Asta n. 1144 (1111 -100) Sez. 6 IPE300 Crit. 2

- Verifica a flessione YY [4.2.13] - CC 1 SND $X_l=2.80$ - Classe 3
Sollecitazioni: $T_z=3200.69$ $M_y=-9884.87$
 $M_{y,Ed}=-9884.87$ $M_{y,c,Rd}=18834.90$ $M_{y,Ed/M_{y,c,Rd}}=0.52$
- Verifica a taglio dir. Z [4.2.16] - CC 17 SLU $X_l=0.00$ - Classe 1
Sollecitazioni: $T_z=7086.33$
 $V_{Ed}=7086.33$ $V_{c,Rd}=50134.20$ $V_{Ed/V_{c,Rd}}=0.14$
- Verifica a presso o tenso-flessione retta YY (4.2.4.1.2.7) - CC 17 SLU $X_l=2.80$ - Classe 1
Sollecitazioni: $N=6780.46$ $T_z=5922.88$ $M_y=-18212.90$
 $M_{y,Ed}=-18212.90$ $M_{y,V,c,Rd}=21326.00$
 $N_{Ed}=6780.46$ $N_{c,Rd}=181940.00$ $YY\ n=N_{Ed}/N_{c,Rd}=0.04$ $MN_{y,c,Rd}=21326.00$ $M_{y,Ed}/MN_{y,c,Rd}=0.85$
- Verifica di stabilità aste inflesse (4.2.4.1.3.2) CC 17 SLU - Classe 1
 $L_{cr}=2.80$ Curva b: $\alpha_{imp}=0.34$ $k_c=0.94$ $\psi=1.75$ $M_{cr}=48365.20$ $\lambda_{LT}=0.68$
 $\lambda_{LT,0}=0.40$ $\beta_{LT}=0.75$ $\Phi_{LT}=0.72$ $\beta_{LT}=0.75$ $f=0.97$ $\chi_{LT}=0.91$
 $M_{y,Ed}=-18212.90$ $M_{y,b,Rd}=19315.10$ $M_{y,Ed/M_{y,b,Rd}}=0.94$
- Verifica di stabilità aste presso-inflesse (C4.2.4.1.3.3.2) - CC 19 SLU - Classe 1
Sollecitazioni: $N_{Ed}=-6780.46$ $M_{y,Ed}=-17477.90$ $L=2.80$
 α_{my} , α_{mz} , $\alpha_{LT}=0.95$, 0.95 , 0.95
 $L_{cr}=2.80$ Curva b: $\alpha_{imp}=0.34$ $k_c=0.94$ $\psi=1.75$ $M_{cr}=48365.20$ $\lambda_{LT}=0.68$
 $\lambda_{LT,0}=0.40$ $\Phi_{LT}=0.72$ $\beta_{LT}=0.75$ $f=0.97$ $\chi_{LT}=0.91$
 $\lambda_y=22.47$ $N_{cr,y}=2209120.00$ $\lambda^*_y=0.29$ Curva a: $\Phi_y=0.55$ $\chi_y=0.98$
 $\lambda_z=83.59$ $N_{cr,z}=159618.00$ $\lambda^*_z=1.09$ Curva b: $\Phi_z=1.25$ $\chi_z=0.54$
 K_{yy} , K_{yz} , K_{zy} , $K_{zz}=0.95$, 0.63 , 0.00 , 1.04
Verifica YY: $0.04+0.86=0.90$
Verifica ZZ: $0.07=0.07$
- Verifica freccia massima carichi totali - CC 22
 $f_{z,G}=0.40$ (L/695)
- Verifica freccia massima per soli carichi accidentali - CC 22
 $f_{z,L}=0.18$ (L/1521)
- Asta n. 1144 (-100 1112) Sez. 6 IPE300 Crit. 2

- Verifica a flessione YY [4.2.13] - CC 1 SND $X_l=0.00$ - Classe 3
Sollecitazioni: $T_z=-3200.69$ $M_y=-9884.87$
 $M_{y,Ed}=-9884.87$ $M_{y,c,Rd}=18834.90$ $M_{y,Ed/M_{y,c,Rd}}=0.52$
- Verifica a taglio dir. Z [4.2.16] - CC 17 SLU $X_l=2.80$ - Classe 1
Sollecitazioni: $T_z=-7086.33$
 $V_{Ed}=-7086.33$ $V_{c,Rd}=50134.20$ $V_{Ed/V_{c,Rd}}=0.14$
- Verifica a presso o tenso-flessione retta YY (4.2.4.1.2.7) - CC 17 SLU $X_l=0.00$ - Classe 1
Sollecitazioni: $N=6780.46$ $T_z=-5922.88$ $M_y=-18212.90$
 $M_{y,Ed}=-18212.90$ $M_{y,V,c,Rd}=21326.00$
 $N_{Ed}=6780.46$ $N_{c,Rd}=181940.00$ $YY\ n=N_{Ed}/N_{c,Rd}=0.04$ $MN_{y,c,Rd}=21326.00$ $M_{y,Ed}/MN_{y,c,Rd}=0.85$
- Verifica di stabilità aste inflesse (4.2.4.1.3.2) CC 17 SLU - Classe 1
 $L_{cr}=2.80$ Curva b: $\alpha_{imp}=0.34$ $k_c=0.94$ $\psi=1.75$ $M_{cr}=48365.20$ $\lambda_{LT}=0.68$
 $\lambda_{LT,0}=0.40$ $\beta_{LT}=0.75$ $\Phi_{LT}=0.72$ $\beta_{LT}=0.75$ $f=0.97$ $\chi_{LT}=0.91$
 $M_{y,Ed}=-18212.90$ $M_{y,b,Rd}=19315.10$ $M_{y,Ed/M_{y,b,Rd}}=0.94$
- Verifica di stabilità aste presso-inflesse (C4.2.4.1.3.3.2) - CC 19 SLU - Classe 1
Sollecitazioni: $N_{Ed}=-6780.46$ $M_{y,Ed}=-17477.90$ $L=2.80$
 α_{my} , α_{mz} , $\alpha_{LT}=0.95$, 0.95 , 0.95
 $L_{cr}=2.80$ Curva b: $\alpha_{imp}=0.34$ $k_c=0.94$ $\psi=1.75$ $M_{cr}=48365.20$ $\lambda_{LT}=0.68$
 $\lambda_{LT,0}=0.40$ $\Phi_{LT}=0.72$ $\beta_{LT}=0.75$ $f=0.97$ $\chi_{LT}=0.91$

Relazione di calcolo

$\lambda_y=22.47$ Ncr,y=2209120.00 $\lambda^*_y=0.29$ Curva a: $\Phi_y=0.55$ $\chi_y=0.98$
 $\lambda_z=83.59$ Ncr,z=159618.00 $\lambda^*_z=1.09$ Curva b: $\Phi_z=1.25$ $\chi_z=0.54$
Kyy, Kyz, Kzy, Kzz=0.95, 0.63, 0.00, 1.04
Verifica YY: 0.04+0.86=0.90
Verifica ZZ: 0.07=0.07

- Verifica freccia massima carichi totali - CC 22
 $f_{z,L}=0.40$ (L/694)

- Verifica freccia massima per soli carichi accidentali - CC 22
 $f_{z,L}=0.18$ (L/1522)

Asta n. 1144 (1112 -101) Sez. 6 IPE300 Crit. 2

- Verifica a flessione YY [4.2.13] - CC 1 SND Xl=2.35 - Classe 3
Sollecitazioni: $T_z=2700.78$ $M_y=-6996.96$
 $M_y,Ed=-6996.96$ $M_y,c,Rd=18834.90$ $M_y,Ed/M_y,c,Rd=0.37$

- Verifica a taglio dir. Z [4.2.16] - CC 17 SLU Xl=0.00 - Classe 1
Sollecitazioni: $T_z=5966.29$
 $V,Ed=5966.29$ $V_c,Rd=50134.20$ $V,Ed/V_c,Rd=0.12$

- Verifica a presso o tenso-flessione retta YY (4.2.4.1.2.7) - CC 17 SLU Xl=2.35 - Classe 1
Sollecitazioni: $N=6780.46$ $T_z=4989.83$ $M_y=-12873.40$
 $M_y,Ed=-12873.40$ $M_y,V,c,Rd=21326.00$
 $N,Ed=6780.46$ $N_c,Rd=181940.00$ YY n=N,Ed/Nc,Rd=0.04 MNy,c,Rd=21326.00 $M_y,Ed/MNy,c,Rd=0.60$

- Verifica di stabilità aste inflesse (4.2.4.1.3.2) CC 17 SLU - Classe 1
 $L_{cr}=2.35$ Curva b: $\alpha_{imp}=0.34$ $k_c=0.94$ $\psi=1.75$ $M_{cr}=65500.90$ $\lambda_{LT}=0.58$
 $\lambda_{LT,0}=0.40$ $\beta_{LT}=0.75$ $\Phi_{LT}=0.66$ $\beta_{LT}=0.75$ $f=0.97$ $\chi_{LT}=0.95$
 $M_y,Ed=-12873.40$ $M_y,b,Rd=20255.80$ $M_y,Ed/M_y,b,Rd=0.64$

- Verifica di stabilità aste presso-inflesse (C4.2.4.1.3.3.2) - CC 19 SLU - Classe 1
Sollecitazioni: $N,Ed=-6780.46$ $M_y,Ed=-12355.70$ $L=2.35$
 $\alpha_{my}, \alpha_{mz}, \alpha_{LT}=0.95, 0.95, 0.95$
 $L_{cr}=2.35$ Curva b: $\alpha_{imp}=0.34$ $k_c=0.94$ $\psi=1.75$ $M_{cr}=65500.90$ $\lambda_{LT}=0.58$
 $\lambda_{LT,0}=0.40$ $\Phi_{LT}=0.66$ $\beta_{LT}=0.75$ $f=0.97$ $\chi_{LT}=0.95$
 $\lambda_y=18.86$ Ncr,y=3136160.00 $\lambda^*_y=0.25$ Curva a: $\Phi_y=0.54$ $\chi_y=0.99$
 $\lambda_z=70.16$ Ncr,z=226601.00 $\lambda^*_z=0.92$ Curva b: $\Phi_z=1.04$ $\chi_z=0.65$
Kyy, Kyz, Kzy, Kzz=0.95, 0.61, 0.00, 1.02
Verifica YY: 0.04+0.58=0.62
Verifica ZZ: 0.04=0.04

- Verifica freccia massima carichi totali - CC 22
 $f_{z,L}=0.21$ (L/1142)

- Verifica freccia massima per soli carichi accidentali - CC 22
 $f_{z,G}=0.09$ (L/2511)

Asta n. 1144 (-101 1113) Sez. 6 IPE300 Crit. 2

- Verifica a flessione YY [4.2.13] - CC 1 SND Xl=0.00 - Classe 3
Sollecitazioni: $T_z=-2700.79$ $M_y=-6996.96$
 $M_y,Ed=-6996.96$ $M_y,c,Rd=18834.90$ $M_y,Ed/M_y,c,Rd=0.37$

- Verifica a taglio dir. Z [4.2.16] - CC 17 SLU Xl=2.35 - Classe 1
Sollecitazioni: $T_z=-5966.29$
 $V,Ed=-5966.29$ $V_c,Rd=50134.20$ $V,Ed/V_c,Rd=0.12$

- Verifica a presso o tenso-flessione retta YY (4.2.4.1.2.7) - CC 17 SLU Xl=0.00 - Classe 1
Sollecitazioni: $N=6780.46$ $T_z=-4989.83$ $M_y=-12873.40$
 $M_y,Ed=-12873.40$ $M_y,V,c,Rd=21326.00$
 $N,Ed=6780.46$ $N_c,Rd=181940.00$ YY n=N,Ed/Nc,Rd=0.04 MNy,c,Rd=21326.00 $M_y,Ed/MNy,c,Rd=0.60$

- Verifica di stabilità aste inflesse (4.2.4.1.3.2) CC 17 SLU - Classe 1
 $L_{cr}=2.35$ Curva b: $\alpha_{imp}=0.34$ $k_c=0.94$ $\psi=1.75$ $M_{cr}=65500.90$ $\lambda_{LT}=0.58$
 $\lambda_{LT,0}=0.40$ $\beta_{LT}=0.75$ $\Phi_{LT}=0.66$ $\beta_{LT}=0.75$ $f=0.97$ $\chi_{LT}=0.95$
 $M_y,Ed=-12873.40$ $M_y,b,Rd=20255.80$ $M_y,Ed/M_y,b,Rd=0.64$

- Verifica di stabilità aste presso-inflesse (C4.2.4.1.3.3.2) - CC 19 SLU - Classe 1
Sollecitazioni: $N,Ed=-6780.46$ $M_y,Ed=-12355.70$ $L=2.35$
 $\alpha_{my}, \alpha_{mz}, \alpha_{LT}=0.95, 0.95, 0.95$
 $L_{cr}=2.35$ Curva b: $\alpha_{imp}=0.34$ $k_c=0.94$ $\psi=1.75$ $M_{cr}=65500.90$ $\lambda_{LT}=0.58$
 $\lambda_{LT,0}=0.40$ $\Phi_{LT}=0.66$ $\beta_{LT}=0.75$ $f=0.97$ $\chi_{LT}=0.95$
 $\lambda_y=18.86$ Ncr,y=3136160.00 $\lambda^*_y=0.25$ Curva a: $\Phi_y=0.54$ $\chi_y=0.99$
 $\lambda_z=70.16$ Ncr,z=226601.00 $\lambda^*_z=0.92$ Curva b: $\Phi_z=1.04$ $\chi_z=0.65$
Kyy, Kyz, Kzy, Kzz=0.95, 0.61, 0.00, 1.02
Verifica YY: 0.04+0.58=0.62
Verifica ZZ: 0.04=0.04

Relazione di calcolo

- Verifica freccia massima carichi totali - CC 22
 $f_{z,L}=0.21$ (L/1145)

- Verifica freccia massima per soli carichi accidentali - CC 22
 $f_{z,G}=0.09$ (L/2517)

Asta n. 1144 (1113 -102) Sez. 6 IPE300 Crit. 2

- Verifica a flessione YY [4.2.13] - CC 1 SND $X_l=2.35$ - Classe 3
Sollecitazioni: $T_z=2700.78$ $M_y=-6996.96$
 $M_y,Ed=-6996.96$ $M_y,c,Rd=18834.90$ $M_y,Ed/M_y,c,Rd=0.37$

- Verifica a taglio dir. Z [4.2.16] - CC 17 SLU $X_l=0.00$ - Classe 1
Sollecitazioni: $T_z=5966.29$
 $V,Ed=5966.29$ $V_c,Rd=50134.20$ $V,Ed/V_c,Rd=0.12$

- Verifica a presso o tenso-flessione retta YY (4.2.4.1.2.7) - CC 17 SLU $X_l=2.35$ - Classe 1
Sollecitazioni: $N=6780.46$ $T_z=4989.83$ $M_y=-12873.40$
 $M_y,Ed=-12873.40$ $M_y,V,c,Rd=21326.00$
 $N,Ed=6780.46$ $N_c,Rd=181940.00$ YY $n=N,Ed/N_c,Rd=0.04$ $MNy,c,Rd=21326.00$ $M_y,Ed/MNy,c,Rd=0.60$

- Verifica di stabilità aste inflesse (4.2.4.1.3.2) CC 17 SLU - Classe 1
 $L_{cr}=2.35$ Curva b: $\alpha_{imp}=0.34$ $k_c=0.94$ $\psi=1.75$ $M_{cr}=65501.00$ $\lambda_{LT}=0.58$
 $\lambda_{LT,0}=0.40$ $\beta_{LT}=0.75$ $\Phi_{LT}=0.66$ $\beta_{LT}=0.75$ $f=0.97$ $\chi_{LT}=0.95$
 $M_y,Ed=-12873.40$ $M_y,b,Rd=20255.80$ $M_y,Ed/M_y,b,Rd=0.64$

- Verifica di stabilità aste presso-inflesse (C4.2.4.1.3.3.2) - CC 19 SLU - Classe 1
Sollecitazioni: $N,Ed=-6780.46$ $M_y,Ed=-12355.70$ $L=2.35$
 $\alpha_{my}, \alpha_{mz}, \alpha_{LT}=0.95, 0.95, 0.95$
 $L_{cr}=2.35$ Curva b: $\alpha_{imp}=0.34$ $k_c=0.94$ $\psi=1.75$ $M_{cr}=65501.00$ $\lambda_{LT}=0.58$
 $\lambda_{LT,0}=0.40$ $\Phi_{LT}=0.66$ $\beta_{LT}=0.75$ $f=0.97$ $\chi_{LT}=0.95$
 $\lambda_y=18.86$ $N_{cr,y}=3136170.00$ $\lambda^*_y=0.25$ Curva a: $\Phi_y=0.54$ $\chi_y=0.99$
 $\lambda_z=70.16$ $N_{cr,z}=226601.00$ $\lambda^*_z=0.92$ Curva b: $\Phi_z=1.04$ $\chi_z=0.65$
 $K_{yy}, K_{yz}, K_{zy}, K_{zz}=0.95, 0.61, 0.00, 1.02$
Verifica YY: $0.04+0.58=0.62$
Verifica ZZ: $0.04=0.04$

- Verifica freccia massima carichi totali - CC 22
 $f_{z,L}=0.21$ (L/1144)

- Verifica freccia massima per soli carichi accidentali - CC 22
 $f_{z,L}=0.09$ (L/2512)

Asta n. 1144 (-102 1114) Sez. 6 IPE300 Crit. 2

- Verifica a flessione YY [4.2.13] - CC 1 SND $X_l=0.00$ - Classe 3
Sollecitazioni: $T_z=-2700.79$ $M_y=-6996.96$
 $M_y,Ed=-6996.96$ $M_y,c,Rd=18834.90$ $M_y,Ed/M_y,c,Rd=0.37$

- Verifica a taglio dir. Z [4.2.16] - CC 17 SLU $X_l=2.35$ - Classe 1
Sollecitazioni: $T_z=-5966.29$
 $V,Ed=-5966.29$ $V_c,Rd=50134.20$ $V,Ed/V_c,Rd=0.12$

- Verifica a presso o tenso-flessione retta YY (4.2.4.1.2.7) - CC 17 SLU $X_l=0.00$ - Classe 1
Sollecitazioni: $N=6780.46$ $T_z=-4989.83$ $M_y=-12873.40$
 $M_y,Ed=-12873.40$ $M_y,V,c,Rd=21326.00$
 $N,Ed=6780.46$ $N_c,Rd=181940.00$ YY $n=N,Ed/N_c,Rd=0.04$ $MNy,c,Rd=21326.00$ $M_y,Ed/MNy,c,Rd=0.60$

- Verifica di stabilità aste inflesse (4.2.4.1.3.2) CC 17 SLU - Classe 1
 $L_{cr}=2.35$ Curva b: $\alpha_{imp}=0.34$ $k_c=0.94$ $\psi=1.75$ $M_{cr}=65500.90$ $\lambda_{LT}=0.58$
 $\lambda_{LT,0}=0.40$ $\beta_{LT}=0.75$ $\Phi_{LT}=0.66$ $\beta_{LT}=0.75$ $f=0.97$ $\chi_{LT}=0.95$
 $M_y,Ed=-12873.40$ $M_y,b,Rd=20255.80$ $M_y,Ed/M_y,b,Rd=0.64$

- Verifica di stabilità aste presso-inflesse (C4.2.4.1.3.3.2) - CC 19 SLU - Classe 1
Sollecitazioni: $N,Ed=-6780.46$ $M_y,Ed=-12355.70$ $L=2.35$
 $\alpha_{my}, \alpha_{mz}, \alpha_{LT}=0.95, 0.95, 0.95$
 $L_{cr}=2.35$ Curva b: $\alpha_{imp}=0.34$ $k_c=0.94$ $\psi=1.75$ $M_{cr}=65500.90$ $\lambda_{LT}=0.58$
 $\lambda_{LT,0}=0.40$ $\Phi_{LT}=0.66$ $\beta_{LT}=0.75$ $f=0.97$ $\chi_{LT}=0.95$
 $\lambda_y=18.86$ $N_{cr,y}=3136160.00$ $\lambda^*_y=0.25$ Curva a: $\Phi_y=0.54$ $\chi_y=0.99$
 $\lambda_z=70.16$ $N_{cr,z}=226600.00$ $\lambda^*_z=0.92$ Curva b: $\Phi_z=1.04$ $\chi_z=0.65$
 $K_{yy}, K_{yz}, K_{zy}, K_{zz}=0.95, 0.61, 0.00, 1.02$
Verifica YY: $0.04+0.58=0.62$
Verifica ZZ: $0.04=0.04$

- Verifica freccia massima carichi totali - CC 22
 $f_{z,L}=0.21$ (L/1144)

- Verifica freccia massima per soli carichi accidentali - CC 22

Relazione di calcolo

$f_{z,L}=0.09$ (L/2516)

Asta n. 1145 (1119 120) Sez. 5 UPN100 Crit. 3

- Verifica a trazione (4.2.4.1.2.1) - CC 1 SLV $X_1=0.00$ - Classe 1
Sollecitazioni: $N=7514.83$
Verifica a trazione [4.2.5]
 $N,Ed=7514.83$ $N_{pl,Rd}=35889.70$ $Nu,Rd=42425.50$ $N,Ed/Nt,Rd=0.21$

- Verifica freccia massima carichi totali - CC 22
 $f_{z,g}=0.01$ (L/54400)

- Verifica freccia massima per soli carichi accidentali - CC 22
 $f_{z,g}=0.00$ (L/144145)

Asta n. 1146 (1124 -111) Sez. 10 HEA300 Crit. 2

- Verifica a flessione YY [4.2.13] - CC 1 SND $X_1=2.35$ - Classe 3
Sollecitazioni: $T_z=1350.39$ $M_y=-4236.33$
 $M_y,Ed=-4236.33$ $M_y,c,Rd=42586.20$ $M_y,Ed/M_y,c,Rd=0.10$

- Verifica a taglio dir. Z [4.2.16] - CC 17 SLU $X_1=0.00$ - Classe 1
Sollecitazioni: $T_z=3893.49$
 $V,Ed=3893.49$ $V_c,Rd=72775.50$ $V,Ed/V_c,Rd=0.05$

- Verifica in termini tensionali [4.2.4] - CC 20 SLU $X_1=2.35$ - Classe 3
Sollecitazioni: $N=21268.50$ $T_z=2393.57$ $M_y=-7247.51$
Tensioni: $\sigma_N=189.00$ $\sigma_{m,d}=575.39$ $\tau=0.00$ $\sigma_{max}=764.39$ (sfrut=0.23)
Tensioni: $\sigma_N=189.00$ $\sigma_{m,d}=0.00$ $\tau=114.32$ $\tau_{max}=114.32$ (sfrut=0.06)
Tensioni: $\sigma_N=189.00$ $\sigma_{m,d}=575.39$ $\tau=0.00$ $\sigma_{ID,max}=764.39$ (sfrut=0.23)

- Verifica di stabilità aste inflesse (4.2.4.1.3.2) CC 17 SLU - Classe 3
 $L_{cr}=2.35$ Curva b: $\alpha_{imp}=0.34$ $k_c=0.94$ $\psi=1.75$ $M_{cr}=609252.00$ $\lambda_{LT}=0.27$
 $\lambda_{LT,0}=0.40$ $\beta_{LT}=0.75$ $\Phi_{LT}=0.51$ $\beta_{LT}=0.75$ $f=0.99$ $\chi_{LT}=1.00$
 $M_y,Ed=-7506.37$ $M_y,b,Rd=42586.20$ $M_y,Ed/M_y,b,Rd=0.18$

- Verifica di stabilità aste presso-inflesse (C4.2.4.1.3.3.2) - CC 19 SLU - Classe 3
Sollecitazioni: $N,Ed=-14179.00$ $M_y,Ed=-7247.51$ $L=2.35$
 $\alpha_{my}, \alpha_{mz}, \alpha_{LT}=0.95, 0.95, 0.95$
 $L_{cr}=2.35$ Curva b: $\alpha_{imp}=0.34$ $k_c=0.94$ $\psi=1.75$ $M_{cr}=609252.00$ $\lambda_{LT}=0.27$
 $\lambda_{LT,0}=0.40$ $\Phi_{LT}=0.51$ $\beta_{LT}=0.75$ $f=0.99$ $\chi_{LT}=1.00$
 $\lambda_y=18.45$ $N_{cr,y}=6854580.00$ $\lambda'_y=0.24$ Curva b: $\Phi_y=0.54$ $\chi_y=0.99$
 $\lambda_z=31.38$ $N_{cr,z}=2368010.00$ $\lambda'_z=0.41$ Curva c: $\Phi_z=0.64$ $\chi_z=0.89$
 $K_{yy}, K_{yz}, K_{zy}, K_{zz}=0.96, 0.96, 0.00, 0.96$
Verifica YY: $0.04+0.16=0.20$
Verifica ZZ: $0.04=0.04$

- Verifica freccia massima carichi totali - CC 22
 $f_{z,L}=0.06$ (L/3851)

- Verifica freccia massima per soli carichi accidentali - CC 22
 $f_{z,L}=0.02$ (L/10192)

Asta n. 1146 (-111 1125) Sez. 10 HEA300 Crit. 2

- Verifica a flessione YY [4.2.13] - CC 1 SND $X_1=0.00$ - Classe 3
Sollecitazioni: $T_z=-1350.39$ $M_y=-4236.33$
 $M_y,Ed=-4236.33$ $M_y,c,Rd=42586.20$ $M_y,Ed/M_y,c,Rd=0.10$

- Verifica a taglio dir. Z [4.2.16] - CC 17 SLU $X_1=2.35$ - Classe 1
Sollecitazioni: $T_z=-3893.49$
 $V,Ed=-3893.49$ $V_c,Rd=72775.50$ $V,Ed/V_c,Rd=0.05$

- Verifica in termini tensionali [4.2.4] - CC 20 SLU $X_1=0.00$ - Classe 3
Sollecitazioni: $N=21268.50$ $T_z=-2393.57$ $M_y=-7247.51$
Tensioni: $\sigma_N=189.00$ $\sigma_{m,d}=575.39$ $\tau=0.00$ $\sigma_{max}=764.39$ (sfrut=0.23)
Tensioni: $\sigma_N=189.00$ $\sigma_{m,d}=0.00$ $\tau=114.32$ $\tau_{max}=114.32$ (sfrut=0.06)
Tensioni: $\sigma_N=189.00$ $\sigma_{m,d}=575.39$ $\tau=0.00$ $\sigma_{ID,max}=764.39$ (sfrut=0.23)

- Verifica di stabilità aste inflesse (4.2.4.1.3.2) CC 17 SLU - Classe 3
 $L_{cr}=2.35$ Curva b: $\alpha_{imp}=0.34$ $k_c=0.94$ $\psi=1.75$ $M_{cr}=609252.00$ $\lambda_{LT}=0.27$
 $\lambda_{LT,0}=0.40$ $\beta_{LT}=0.75$ $\Phi_{LT}=0.51$ $\beta_{LT}=0.75$ $f=0.99$ $\chi_{LT}=1.00$
 $M_y,Ed=-7506.37$ $M_y,b,Rd=42586.20$ $M_y,Ed/M_y,b,Rd=0.18$

- Verifica di stabilità aste presso-inflesse (C4.2.4.1.3.3.2) - CC 19 SLU - Classe 3
Sollecitazioni: $N,Ed=-14179.00$ $M_y,Ed=-7247.51$ $L=2.35$
 $\alpha_{my}, \alpha_{mz}, \alpha_{LT}=0.95, 0.95, 0.95$
 $L_{cr}=2.35$ Curva b: $\alpha_{imp}=0.34$ $k_c=0.94$ $\psi=1.75$ $M_{cr}=609252.00$ $\lambda_{LT}=0.27$
 $\lambda_{LT,0}=0.40$ $\Phi_{LT}=0.51$ $\beta_{LT}=0.75$ $f=0.99$ $\chi_{LT}=1.00$

Relazione di calcolo

$\lambda_y=18.45$ Ncr,y=6854580.00 $\lambda'_y=0.24$ Curva b: $\Phi_y=0.54$ $\chi_y=0.99$
 $\lambda_z=31.38$ Ncr,z=2368010.00 $\lambda'_z=0.41$ Curva c: $\Phi_z=0.64$ $\chi_z=0.89$
Kyy, Kyz, Kzy, Kzz=0.96, 0.96, 0.00, 0.96
Verifica YY: 0.04+0.16=0.20
Verifica ZZ: 0.04=0.04

- Verifica freccia massima carichi totali - CC 22
 $f_{z,L}=0.06$ (L/3853)

- Verifica freccia massima per soli carichi accidentali - CC 22
 $f_{z,G}=0.02$ (L/10310)

Asta n. 1146 (1125 -112) Sez. 10 HEA300 Crit. 2

- Verifica a flessione YY [4.2.13] - CC 1 SND $X_l=2.35$ - Classe 3
Sollecitazioni: $T_z=1350.39$ $M_y=-4236.33$
 $M_y,Ed=-4236.33$ $M_y,c,Rd=42586.20$ $M_y,Ed/M_y,c,Rd=0.10$

- Verifica a taglio dir. Z [4.2.16] - CC 17 SLU $X_l=0.00$ - Classe 1
Sollecitazioni: $T_z=3893.49$
 $V,Ed=3893.49$ $V_c,Rd=72775.50$ $V,Ed/V_c,Rd=0.05$

- Verifica in termini tensionali [4.2.4] - CC 20 SLU $X_l=2.35$ - Classe 3
Sollecitazioni: $N=21268.50$ $T_z=2393.57$ $M_y=-7247.51$
Tensioni: $\sigma_N=189.00$ $\sigma_{m,d}=575.39$ $\tau=0.00$ $\sigma_{max}=764.39$ (sfrut=0.23)
Tensioni: $\sigma_N=189.00$ $\sigma_{m,d}=0.00$ $\tau=114.32$ $\tau_{max}=114.32$ (sfrut=0.06)
Tensioni: $\sigma_N=189.00$ $\sigma_{m,d}=575.39$ $\tau=0.00$ $\sigma_{ID,max}=764.39$ (sfrut=0.23)

- Verifica di stabilità aste inflesse (4.2.4.1.3.2) CC 17 SLU - Classe 3
 $L_{cr}=2.35$ Curva b: $\alpha_{imp}=0.34$ $k_c=0.94$ $\psi=1.75$ $M_{cr}=609252.00$ $\lambda_{LT}=0.27$
 $\lambda_{LT,0}=0.40$ $\beta_{LT}=0.75$ $\Phi_{LT}=0.51$ $\beta_{LT}=0.75$ $f=0.99$ $\chi_{LT}=1.00$
 $M_y,Ed=-7506.37$ $M_y,b,Rd=42586.20$ $M_y,Ed/M_y,b,Rd=0.18$

- Verifica di stabilità aste presso-inflesse (C4.2.4.1.3.3.2) - CC 19 SLU - Classe 3
Sollecitazioni: $N,Ed=-14179.00$ $M_y,Ed=-7247.51$ $L=2.35$
 $\alpha_{my}, \alpha_{mz}, \alpha_{LT}=0.95, 0.95, 0.95$
 $L_{cr}=2.35$ Curva b: $\alpha_{imp}=0.34$ $k_c=0.94$ $\psi=1.75$ $M_{cr}=609252.00$ $\lambda_{LT}=0.27$
 $\lambda_{LT,0}=0.40$ $\Phi_{LT}=0.51$ $\beta_{LT}=0.75$ $f=0.99$ $\chi_{LT}=1.00$
 $\lambda_y=18.45$ Ncr,y=6854580.00 $\lambda'_y=0.24$ Curva b: $\Phi_y=0.54$ $\chi_y=0.99$
 $\lambda_z=31.38$ Ncr,z=2368010.00 $\lambda'_z=0.41$ Curva c: $\Phi_z=0.64$ $\chi_z=0.89$
Kyy, Kyz, Kzy, Kzz=0.96, 0.96, 0.00, 0.96
Verifica YY: 0.04+0.16=0.20
Verifica ZZ: 0.04=0.04

- Verifica freccia massima carichi totali - CC 22
 $f_{z,L}=0.06$ (L/3842)

- Verifica freccia massima per soli carichi accidentali - CC 22
 $f_{z,L}=0.02$ (L/10256)

Asta n. 1146 (-112 1126) Sez. 10 HEA300 Crit. 2

- Verifica a flessione YY [4.2.13] - CC 1 SND $X_l=0.00$ - Classe 3
Sollecitazioni: $T_z=-1350.39$ $M_y=-4236.33$
 $M_y,Ed=-4236.33$ $M_y,c,Rd=42586.20$ $M_y,Ed/M_y,c,Rd=0.10$

- Verifica a taglio dir. Z [4.2.16] - CC 17 SLU $X_l=2.35$ - Classe 1
Sollecitazioni: $T_z=-3893.49$
 $V,Ed=-3893.49$ $V_c,Rd=72775.50$ $V,Ed/V_c,Rd=0.05$

- Verifica in termini tensionali [4.2.4] - CC 20 SLU $X_l=0.00$ - Classe 3
Sollecitazioni: $N=21268.50$ $T_z=-2393.57$ $M_y=-7247.51$
Tensioni: $\sigma_N=189.00$ $\sigma_{m,d}=575.39$ $\tau=0.00$ $\sigma_{max}=764.39$ (sfrut=0.23)
Tensioni: $\sigma_N=189.00$ $\sigma_{m,d}=0.00$ $\tau=114.32$ $\tau_{max}=114.32$ (sfrut=0.06)
Tensioni: $\sigma_N=189.00$ $\sigma_{m,d}=575.39$ $\tau=0.00$ $\sigma_{ID,max}=764.39$ (sfrut=0.23)

- Verifica di stabilità aste inflesse (4.2.4.1.3.2) CC 17 SLU - Classe 3
 $L_{cr}=2.35$ Curva b: $\alpha_{imp}=0.34$ $k_c=0.94$ $\psi=1.75$ $M_{cr}=609252.00$ $\lambda_{LT}=0.27$
 $\lambda_{LT,0}=0.40$ $\beta_{LT}=0.75$ $\Phi_{LT}=0.51$ $\beta_{LT}=0.75$ $f=0.99$ $\chi_{LT}=1.00$
 $M_y,Ed=-7506.37$ $M_y,b,Rd=42586.20$ $M_y,Ed/M_y,b,Rd=0.18$

- Verifica di stabilità aste presso-inflesse (C4.2.4.1.3.3.2) - CC 19 SLU - Classe 3
Sollecitazioni: $N,Ed=-14179.00$ $M_y,Ed=-7247.51$ $L=2.35$
 $\alpha_{my}, \alpha_{mz}, \alpha_{LT}=0.95, 0.95, 0.95$
 $L_{cr}=2.35$ Curva b: $\alpha_{imp}=0.34$ $k_c=0.94$ $\psi=1.75$ $M_{cr}=609252.00$ $\lambda_{LT}=0.27$
 $\lambda_{LT,0}=0.40$ $\Phi_{LT}=0.51$ $\beta_{LT}=0.75$ $f=0.99$ $\chi_{LT}=1.00$
 $\lambda_y=18.45$ Ncr,y=6854580.00 $\lambda'_y=0.24$ Curva b: $\Phi_y=0.54$ $\chi_y=0.99$
 $\lambda_z=31.38$ Ncr,z=2368010.00 $\lambda'_z=0.41$ Curva c: $\Phi_z=0.64$ $\chi_z=0.89$

Relazione di calcolo

Kyy, Kyz, Kzy, Kzz=0.96, 0.96, 0.00, 0.96
Verifica YY: 0.04+0.16=0.20
Verifica ZZ: 0.04=0.04

- Verifica freccia massima carichi totali - CC 22
f_{z,L}=0.06 (L/3862)

- Verifica freccia massima per soli carichi accidentali - CC 22
f_{z,L}=0.02 (L/10245)

Asta n. 1146 (1126 -113) Sez. 10 HEA300 Crit. 2

- Verifica a flessione YY [4.2.13] - CC 1 SND Xl=2.80 - Classe 3
Sollecitazioni: T_z=1600.34 M_y=-5989.92
My,Ed=-5989.92 My,c,Rd=42586.20 My,Ed/My,c,Rd=0.14

- Verifica a taglio dir. Z [4.2.16] - CC 17 SLU Xl=0.00 - Classe 1
Sollecitazioni: T_z=4627.83
V,Ed=4627.83 Vc,Rd=72775.50 V,Ed/Vc,Rd=0.06

- Verifica in termini tensionali [4.2.4] - CC 18 SLU Xl=2.80 - Classe 3
Sollecitazioni: N=35447.60 T_z=2961.44 M_y=-10625.00
Tensioni: σ_N=315.00 σ_{m,d}=843.53 τ=0.00 σ_{max}=1158.53 (sfrut=0.34)
Tensioni: σ_N=315.00 σ_{m,d}=0.00 τ=141.44 τ_{max}=141.44 (sfrut=0.07)
Tensioni: σ_N=315.00 σ_{m,d}=843.53 τ=0.00 σ_{ID,max}=1158.53 (sfrut=0.34)

- Verifica di stabilità aste inflesse (4.2.4.1.3.2) CC 17 SLU - Classe 3
L_{cr}=2.80 Curva b: α_{imp}=0.34 k_c=0.94 ψ=1.75 M_{cr}=439855.00 λ_{LT}=0.32
λ_{LT,0}=0.40 β_{LT}=0.75 Φ_{LT}=0.52 β_{LT}=0.75 f=0.98 χ_{LT}=1.00
My,Ed=-10625.00 My,b,Rd=42586.20 My,Ed/My,b,Rd=0.25

- Verifica di stabilità aste presso-inflesse (C4.2.4.1.3.3.2) - CC 19 SLU - Classe 3
Sollecitazioni: N,Ed=-14179.00 My,Ed=-10257.50 L=2.80
α_{my}, α_{mz}, α_{LT}=0.95, 0.95, 0.95
L_{cr}=2.80 Curva b: α_{imp}=0.34 k_c=0.94 ψ=1.75 M_{cr}=439855.00 λ_{LT}=0.32
λ_{LT,0}=0.40 Φ_{LT}=0.52 β_{LT}=0.75 f=0.98 χ_{LT}=1.00
λ_y=21.98 N_{cr,y}=4828370.00 λ_y'=0.29 Curva b: Φ_y=0.56 χ_y=0.97
λ_z=37.39 N_{cr,z}=1668030.00 λ_z'=0.49 Curva c: Φ_z=0.69 χ_z=0.85
Kyy, Kyz, Kzy, Kzz=0.96, 0.96, 0.00, 0.96
Verifica YY: 0.04+0.23=0.27
Verifica ZZ: 0.04=0.04

- Verifica freccia massima carichi totali - CC 22
f_{z,L}=0.12 (L/2374)

- Verifica freccia massima per soli carichi accidentali - CC 22
f_{z,G}=0.04 (L/6307)

Asta n. 1146 (-113 1127) Sez. 10 HEA300 Crit. 2

- Verifica a flessione YY [4.2.13] - CC 1 SND Xl=0.00 - Classe 3
Sollecitazioni: T_z=-1600.34 M_y=-5989.92
My,Ed=-5989.92 My,c,Rd=42586.20 My,Ed/My,c,Rd=0.14

- Verifica a taglio dir. Z [4.2.16] - CC 17 SLU Xl=2.80 - Classe 1
Sollecitazioni: T_z=-4627.83
V,Ed=-4627.83 Vc,Rd=72775.50 V,Ed/Vc,Rd=0.06

- Verifica in termini tensionali [4.2.4] - CC 18 SLU Xl=0.00 - Classe 3
Sollecitazioni: N=35447.60 T_z=-2961.44 M_y=-10625.00
Tensioni: σ_N=315.00 σ_{m,d}=843.53 τ=0.00 σ_{max}=1158.53 (sfrut=0.34)
Tensioni: σ_N=315.00 σ_{m,d}=0.00 τ=141.44 τ_{max}=141.44 (sfrut=0.07)
Tensioni: σ_N=315.00 σ_{m,d}=843.53 τ=0.00 σ_{ID,max}=1158.53 (sfrut=0.34)

- Verifica di stabilità aste inflesse (4.2.4.1.3.2) CC 17 SLU - Classe 3
L_{cr}=2.80 Curva b: α_{imp}=0.34 k_c=0.94 ψ=1.75 M_{cr}=439855.00 λ_{LT}=0.32
λ_{LT,0}=0.40 β_{LT}=0.75 Φ_{LT}=0.52 β_{LT}=0.75 f=0.98 χ_{LT}=1.00
My,Ed=-10625.00 My,b,Rd=42586.20 My,Ed/My,b,Rd=0.25

- Verifica di stabilità aste presso-inflesse (C4.2.4.1.3.3.2) - CC 19 SLU - Classe 3
Sollecitazioni: N,Ed=-14179.00 My,Ed=-10257.50 L=2.80
α_{my}, α_{mz}, α_{LT}=0.95, 0.95, 0.95
L_{cr}=2.80 Curva b: α_{imp}=0.34 k_c=0.94 ψ=1.75 M_{cr}=439855.00 λ_{LT}=0.32
λ_{LT,0}=0.40 Φ_{LT}=0.52 β_{LT}=0.75 f=0.98 χ_{LT}=1.00
λ_y=21.98 N_{cr,y}=4828370.00 λ_y'=0.29 Curva b: Φ_y=0.56 χ_y=0.97
λ_z=37.39 N_{cr,z}=1668030.00 λ_z'=0.49 Curva c: Φ_z=0.69 χ_z=0.85
Kyy, Kyz, Kzy, Kzz=0.96, 0.96, 0.00, 0.96
Verifica YY: 0.04+0.23=0.27
Verifica ZZ: 0.04=0.04

Relazione di calcolo

- Verifica freccia massima carichi totali - CC 22
 $f_{z,L}=0.12$ (L/2384)

- Verifica freccia massima per soli carichi accidentali - CC 22
 $f_{z,L}=0.04$ (L/6348)

Asta n. 1151 (17 1027) Sez. 5 UPN100 Crit. 3

- Verifica a trazione (4.2.4.1.2.1) - CC 13 SLV $X_l=0.00$ - Classe 1
Sollecitazioni: $N=4848.91$
Verifica a trazione [4.2.5]
 $N,Ed=4848.91$ $Npl,Rd=35889.70$ $Nu,Rd=42425.50$ $N,Ed/Nt,Rd=0.14$

- Verifica freccia massima carichi totali - CC 22
 $f_{z,g}=0.02$ (L/37377)

- Verifica freccia massima per soli carichi accidentali - CC 22
 $f_{z,g}=0.01$ (L/82127)

Asta n. 1155 (118 1127) Sez. 5 UPN100 Crit. 3

- Verifica a trazione (4.2.4.1.2.1) - CC 5 SLV $X_l=0.00$ - Classe 1
Sollecitazioni: $N=2733.95$
Verifica a trazione [4.2.5]
 $N,Ed=2733.95$ $Npl,Rd=35889.70$ $Nu,Rd=42425.50$ $N,Ed/Nt,Rd=0.08$

- Verifica freccia massima carichi totali - CC 22
 $f_{z,g}=0.00$ (L/147421)

Asta n. 1157 (40 1030) Sez. 5 UPN100 Crit. 3

- Verifica a trazione (4.2.4.1.2.1) - CC 13 SLV $X_l=0.00$ - Classe 1
Sollecitazioni: $N=4241.02$
Verifica a trazione [4.2.5]
 $N,Ed=4241.02$ $Npl,Rd=35889.70$ $Nu,Rd=42425.50$ $N,Ed/Nt,Rd=0.12$

- Verifica freccia massima carichi totali - CC 22
 $f_{z,g}=0.01$ (L/67428)

- Verifica freccia massima per soli carichi accidentali - CC 22
 $f_{z,g}=0.00$ (L/158232)

Asta n. 1163 (43 1053) Sez. 5 UPN100 Crit. 3

- Verifica a trazione (4.2.4.1.2.1) - CC 5 SLV $X_l=0.00$ - Classe 1
Sollecitazioni: $N=3467.43$
Verifica a trazione [4.2.5]
 $N,Ed=3467.43$ $Npl,Rd=35889.70$ $Nu,Rd=42425.50$ $N,Ed/Nt,Rd=0.10$

- Verifica freccia massima carichi totali - CC 22
 $f_{z,g}=0.01$ (L/41135)

- Verifica freccia massima per soli carichi accidentali - CC 22
 $f_{z,g}=0.01$ (L/92353)

Asta n. 1167 (1010 9) Sez. 5 UPN100 Crit. 3

- Verifica a trazione (4.2.4.1.2.1) - CC 1 SLV $X_l=0.00$ - Classe 1
Sollecitazioni: $N=7338.42$
Verifica a trazione [4.2.5]
 $N,Ed=7338.42$ $Npl,Rd=35889.70$ $Nu,Rd=42425.50$ $N,Ed/Nt,Rd=0.20$

- Verifica freccia massima carichi totali - CC 22
 $f_{z,g}=0.00$ (L/124345)

- Verifica freccia massima per soli carichi accidentali - CC 22
 $f_{z,g}=0.00$ (L/305821)

Asta n. 1169 (1029 30) Sez. 5 UPN100 Crit. 3

- Verifica a trazione (4.2.4.1.2.1) - CC 9 SLV $X_l=0.00$ - Classe 1
Sollecitazioni: $N=1773.24$
Verifica a trazione [4.2.5]
 $N,Ed=1773.24$ $Npl,Rd=35889.70$ $Nu,Rd=42425.50$ $N,Ed/Nt,Rd=0.05$

- Verifica freccia massima carichi totali - CC 22
 $f_{z,g}=0.02$ (L/28976)

- Verifica freccia massima per soli carichi accidentali - CC 22
 $f_{z,g}=0.01$ (L/66561)

Relazione di calcolo

Asta n. 1171 (1050 49) Sez. 5 UPN100 Crit. 3

-
- Verifica a trazione (4.2.4.1.2.1) - CC 1 SLV $X_l=0.00$ - Classe 1
Sollecitazioni: $N=3921.52$
Verifica a trazione [4.2.5]
 $N, Ed=3921.52$ $N_{pl}, Rd=35889.70$ $Nu, Rd=42425.50$ $N, Ed/Nt, Rd=0.11$
 - Verifica freccia massima carichi totali - CC 22
 $f_{z,g}=0.00$ (L/110935)
 - Verifica freccia massima per soli carichi accidentali - CC 22
 $f_{z,g}=0.00$ (L/217603)

Asta n. 1173 (1069 70) Sez. 5 UPN100 Crit. 3

-
- Verifica a trazione (4.2.4.1.2.1) - CC 1 SLV $X_l=0.00$ - Classe 1
Sollecitazioni: $N=1055.16$
Verifica a trazione [4.2.5]
 $N, Ed=1055.16$ $N_{pl}, Rd=35889.70$ $Nu, Rd=42425.50$ $N, Ed/Nt, Rd=0.03$
 - Verifica freccia massima carichi totali - CC 22
 $f_{z,g}=0.02$ (L/28939)
 - Verifica freccia massima per soli carichi accidentali - CC 22
 $f_{z,g}=0.01$ (L/66171)

Asta n. 1175 (1090 89) Sez. 5 UPN100 Crit. 3

-
- Verifica a trazione (4.2.4.1.2.1) - CC 9 SLV $X_l=0.00$ - Classe 1
Sollecitazioni: $N=4355.09$
Verifica a trazione [4.2.5]
 $N, Ed=4355.09$ $N_{pl}, Rd=35889.70$ $Nu, Rd=42425.50$ $N, Ed/Nt, Rd=0.12$
 - Verifica freccia massima carichi totali - CC 22
 $f_{z,g}=0.00$ (L/117257)
 - Verifica freccia massima per soli carichi accidentali - CC 22
 $f_{z,g}=0.00$ (L/230926)

Asta n. 1177 (1110 109) Sez. 5 UPN100 Crit. 3

-
- Verifica a trazione (4.2.4.1.2.1) - CC 9 SLV $X_l=0.00$ - Classe 1
Sollecitazioni: $N=4730.32$
Verifica a trazione [4.2.5]
 $N, Ed=4730.32$ $N_{pl}, Rd=35889.70$ $Nu, Rd=42425.50$ $N, Ed/Nt, Rd=0.13$
 - Verifica freccia massima carichi totali - CC 22
 $f_{z,g}=0.01$ (L/74443)
 - Verifica freccia massima per soli carichi accidentali - CC 22
 $f_{z,g}=0.00$ (L/152910)

Asta n. 1178 (121 1120) Sez. 5 UPN100 Crit. 3

-
- Verifica a trazione (4.2.4.1.2.1) - CC 1 SLV $X_l=0.00$ - Classe 1
Sollecitazioni: $N=7783.10$
Verifica a trazione [4.2.5]
 $N, Ed=7783.10$ $N_{pl}, Rd=35889.70$ $Nu, Rd=42425.50$ $N, Ed/Nt, Rd=0.22$
 - Verifica freccia massima carichi totali - CC 22
 $f_{z,g}=0.00$ (L/189673)

Asta n. 1184 (27 1017) Sez. 5 UPN100 Crit. 3

-
- Verifica a trazione (4.2.4.1.2.1) - CC 5 SLV $X_l=0.00$ - Classe 1
Sollecitazioni: $N=4919.86$
Verifica a trazione [4.2.5]
 $N, Ed=4919.86$ $N_{pl}, Rd=35889.70$ $Nu, Rd=42425.50$ $N, Ed/Nt, Rd=0.14$
 - Verifica freccia massima carichi totali - CC 22
 $f_{z,g}=0.01$ (L/39231)
 - Verifica freccia massima per soli carichi accidentali - CC 22
 $f_{z,g}=0.01$ (L/88563)

Asta n. 1190 (30 1040) Sez. 5 UPN100 Crit. 3

-
- Verifica a trazione (4.2.4.1.2.1) - CC 5 SLV $X_l=0.00$ - Classe 1
Sollecitazioni: $N=2724.06$
Verifica a trazione [4.2.5]
 $N, Ed=2724.06$ $N_{pl}, Rd=35889.70$ $Nu, Rd=42425.50$ $N, Ed/Nt, Rd=0.08$

Relazione di calcolo

- Verifica freccia massima carichi totali - CC 22
 $f_{z,g}=0.02$ (L/31858)

- Verifica freccia massima per soli carichi accidentali - CC 22
 $f_{z,g}=0.01$ (L/69197)

Asta n. 1196 (53 1043) Sez. 5 UPN100 Crit. 3

- Verifica a trazione (4.2.4.1.2.1) - CC 13 SLV $X_l=0.00$ - Classe 1
Sollecitazioni: $N=3121.98$
Verifica a trazione [4.2.5]
 $N,Ed=3121.98$ $Npl,Rd=35889.70$ $Nu,Rd=42425.50$ $N,Ed/Nt,Rd=0.09$

- Verifica freccia massima carichi totali - CC 22
 $f_{z,g}=0.02$ (L/36071)

- Verifica freccia massima per soli carichi accidentali - CC 22
 $f_{z,g}=0.01$ (L/79116)

Asta n. 1200 (1009 10) Sez. 5 UPN100 Crit. 3

- Verifica a trazione (4.2.4.1.2.1) - CC 9 SLV $X_l=0.00$ - Classe 1
Sollecitazioni: $N=4258.46$
Verifica a trazione [4.2.5]
 $N,Ed=4258.46$ $Npl,Rd=35889.70$ $Nu,Rd=42425.50$ $N,Ed/Nt,Rd=0.12$

- Verifica freccia massima carichi totali - CC 22
 $f_{z,g}=0.02$ (L/27167)

- Verifica freccia massima per soli carichi accidentali - CC 22
 $f_{z,g}=0.01$ (L/65031)

Asta n. 1202 (1030 29) Sez. 5 UPN100 Crit. 3

- Verifica a trazione (4.2.4.1.2.1) - CC 1 SLV $X_l=0.00$ - Classe 1
Sollecitazioni: $N=3885.69$
Verifica a trazione [4.2.5]
 $N,Ed=3885.69$ $Npl,Rd=35889.70$ $Nu,Rd=42425.50$ $N,Ed/Nt,Rd=0.11$

- Verifica freccia massima carichi totali - CC 22
 $f_{z,g}=0.01$ (L/63928)

- Verifica freccia massima per soli carichi accidentali - CC 22
 $f_{z,g}=0.00$ (L/130813)

Asta n. 1204 (1049 50) Sez. 5 UPN100 Crit. 3

- Verifica freccia massima carichi totali - CC 22
 $f_{z,g}=0.03$ (L/18148)

- Verifica freccia massima per soli carichi accidentali - CC 22
 $f_{z,g}=0.01$ (L/40629)

Asta n. 1206 (1070 69) Sez. 5 UPN100 Crit. 3

- Verifica a trazione (4.2.4.1.2.1) - CC 9 SLV $X_l=0.00$ - Classe 1
Sollecitazioni: $N=3091.50$
Verifica a trazione [4.2.5]
 $N,Ed=3091.50$ $Npl,Rd=35889.70$ $Nu,Rd=42425.50$ $N,Ed/Nt,Rd=0.09$

- Verifica freccia massima carichi totali - CC 22
 $f_{z,g}=0.01$ (L/63038)

- Verifica freccia massima per soli carichi accidentali - CC 22
 $f_{z,g}=0.00$ (L/127139)

Asta n. 1208 (1089 90) Sez. 5 UPN100 Crit. 3

- Verifica freccia massima carichi totali - CC 22
 $f_{z,g}=0.03$ (L/18032)

- Verifica freccia massima per soli carichi accidentali - CC 22
 $f_{z,g}=0.01$ (L/40196)

Asta n. 1210 (1109 110) Sez. 5 UPN100 Crit. 3

- Verifica a trazione (4.2.4.1.2.1) - CC 1 SLV $X_l=0.00$ - Classe 1
Sollecitazioni: $N=2164.33$
Verifica a trazione [4.2.5]
 $N,Ed=2164.33$ $Npl,Rd=35889.70$ $Nu,Rd=42425.50$ $N,Ed/Nt,Rd=0.06$

- Verifica freccia massima carichi totali - CC 22

Relazione di calcolo

$f_{z,g}=0.02$ (L/27037)

- Verifica freccia massima per soli carichi accidentali - CC 22
 $f_{z,g}=0.01$ (L/61664)

Asta n. 1211 (120 1121) Sez. 5 UPN100 Crit. 3

- Verifica a trazione (4.2.4.1.2.1) - CC 9 SLV $X_l=0.00$ - Classe 1
Sollecitazioni: $N=6101.31$
Verifica a trazione [4.2.5]
 $N,Ed=6101.31$ $N_{pl},Rd=35889.70$ $Nu,Rd=42425.50$ $N,Ed/Nt,Rd=0.17$

- Verifica freccia massima carichi totali - CC 22
 $f_{z,g}=0.01$ (L/48120)

- Verifica freccia massima per soli carichi accidentali - CC 22
 $f_{z,g}=0.01$ (L/119198)

Asta n. 1217 (27 1037) Sez. 5 UPN100 Crit. 3

- Verifica a trazione (4.2.4.1.2.1) - CC 13 SLV $X_l=0.00$ - Classe 1
Sollecitazioni: $N=4940.54$
Verifica a trazione [4.2.5]
 $N,Ed=4940.54$ $N_{pl},Rd=35889.70$ $Nu,Rd=42425.50$ $N,Ed/Nt,Rd=0.14$

- Verifica freccia massima carichi totali - CC 22
 $f_{z,g}=0.01$ (L/38846)

- Verifica freccia massima per soli carichi accidentali - CC 22
 $f_{z,g}=0.01$ (L/85996)

Asta n. 1223 (40 1050) Sez. 5 UPN100 Crit. 3

- Verifica a trazione (4.2.4.1.2.1) - CC 5 SLV $X_l=0.00$ - Classe 1
Sollecitazioni: $N=3197.57$
Verifica a trazione [4.2.5]
 $N,Ed=3197.57$ $N_{pl},Rd=35889.70$ $Nu,Rd=42425.50$ $N,Ed/Nt,Rd=0.09$

- Verifica freccia massima carichi totali - CC 22
 $f_{z,g}=0.01$ (L/38530)

- Verifica freccia massima per soli carichi accidentali - CC 22
 $f_{z,g}=0.01$ (L/84465)

Asta n. 1229 (53 1063) Sez. 5 UPN100 Crit. 3

- Verifica a trazione (4.2.4.1.2.1) - CC 5 SLV $X_l=0.00$ - Classe 1
Sollecitazioni: $N=4100.31$
Verifica a trazione [4.2.5]
 $N,Ed=4100.31$ $N_{pl},Rd=35889.70$ $Nu,Rd=42425.50$ $N,Ed/Nt,Rd=0.11$

- Verifica freccia massima carichi totali - CC 22
 $f_{z,g}=0.01$ (L/57055)

- Verifica freccia massima per soli carichi accidentali - CC 22
 $f_{z,g}=0.00$ (L/126924)

Asta n. 1233 (1010 11) Sez. 5 UPN100 Crit. 3

- Verifica a trazione (4.2.4.1.2.1) - CC 9 SLV $X_l=0.00$ - Classe 1
Sollecitazioni: $N=7209.61$
Verifica a trazione [4.2.5]
 $N,Ed=7209.61$ $N_{pl},Rd=35889.70$ $Nu,Rd=42425.50$ $N,Ed/Nt,Rd=0.20$

- Verifica freccia massima carichi totali - CC 22
 $f_{z,g}=0.01$ (L/63748)

- Verifica freccia massima per soli carichi accidentali - CC 22
 $f_{z,g}=0.00$ (L/175432)

Asta n. 1235 (1031 30) Sez. 5 UPN100 Crit. 3

- Verifica freccia massima carichi totali - CC 22
 $f_{z,g}=0.04$ (L/14927)

- Verifica freccia massima per soli carichi accidentali - CC 22
 $f_{z,g}=0.02$ (L/32191)

Asta n. 1237 (1050 51) Sez. 5 UPN100 Crit. 3

- Verifica a trazione (4.2.4.1.2.1) - CC 9 SLV $X_l=0.00$ - Classe 1
Sollecitazioni: $N=4333.39$

Relazione di calcolo

Verifica a trazione [4.2.5]
N,Ed=4333.39 Npl,Rd=35889.70 Nu,Rd=42425.50 N,Ed/Nt,Rd=0.12

- Verifica freccia massima carichi totali - CC 22
fz,g=0.00 (L/275985)

Asta n. 1239 (1070 71) Sez. 5 UPN100 Crit. 3

- Verifica a trazione (4.2.4.1.2.1) - CC 1 SLV Xl=0.00 - Classe 1
Sollecitazioni: N=5380.10
Verifica a trazione [4.2.5]
N,Ed=5380.10 Npl,Rd=35889.70 Nu,Rd=42425.50 N,Ed/Nt,Rd=0.15

- Verifica freccia massima carichi totali - CC 22
fz,g=0.01 (L/95087)

- Verifica freccia massima per soli carichi accidentali - CC 22
fz,g=0.00 (L/174083)

Asta n. 1241 (1090 91) Sez. 5 UPN100 Crit. 3

- Verifica a trazione (4.2.4.1.2.1) - CC 1 SLV Xl=0.00 - Classe 1
Sollecitazioni: N=4676.25
Verifica a trazione [4.2.5]
N,Ed=4676.25 Npl,Rd=35889.70 Nu,Rd=42425.50 N,Ed/Nt,Rd=0.13

- Verifica freccia massima carichi totali - CC 22
fz,g=0.00 (L/257168)

Asta n. 1243 (1111 110) Sez. 5 UPN100 Crit. 3

- Verifica freccia massima carichi totali - CC 22
fz,g=0.04 (L/15097)

- Verifica freccia massima per soli carichi accidentali - CC 22
fz,g=0.02 (L/32515)

Asta n. 1244 (1121 122) Sez. 5 UPN100 Crit. 3

- Verifica a trazione (4.2.4.1.2.1) - CC 1 SLV Xl=0.00 - Classe 1
Sollecitazioni: N=8215.56
Verifica a trazione [4.2.5]
N,Ed=8215.56 Npl,Rd=35889.70 Nu,Rd=42425.50 N,Ed/Nt,Rd=0.23

- Verifica freccia massima carichi totali - CC 22
fz,g=0.00 (L/461852)

Asta n. 1250 (37 1027) Sez. 5 UPN100 Crit. 3

- Verifica a trazione (4.2.4.1.2.1) - CC 5 SLV Xl=0.00 - Classe 1
Sollecitazioni: N=4836.10
Verifica a trazione [4.2.5]
N,Ed=4836.10 Npl,Rd=35889.70 Nu,Rd=42425.50 N,Ed/Nt,Rd=0.13

- Verifica freccia massima carichi totali - CC 22
fz,g=0.01 (L/37854)

- Verifica freccia massima per soli carichi accidentali - CC 22
fz,g=0.01 (L/83573)

Asta n. 1256 (50 1040) Sez. 5 UPN100 Crit. 3

- Verifica a trazione (4.2.4.1.2.1) - CC 13 SLV Xl=0.00 - Classe 1
Sollecitazioni: N=3207.56
Verifica a trazione [4.2.5]
N,Ed=3207.56 Npl,Rd=35889.70 Nu,Rd=42425.50 N,Ed/Nt,Rd=0.09

- Verifica freccia massima carichi totali - CC 22
fz,g=0.01 (L/38343)

- Verifica freccia massima per soli carichi accidentali - CC 22
fz,g=0.01 (L/84767)

Asta n. 1262 (63 1053) Sez. 5 UPN100 Crit. 3

- Verifica a trazione (4.2.4.1.2.1) - CC 13 SLV Xl=0.00 - Classe 1
Sollecitazioni: N=3085.48
Verifica a trazione [4.2.5]
N,Ed=3085.48 Npl,Rd=35889.70 Nu,Rd=42425.50 N,Ed/Nt,Rd=0.09

- Verifica freccia massima carichi totali - CC 22
fz,g=0.02 (L/35478)

Relazione di calcolo

- Verifica freccia massima per soli carichi accidentali - CC 22
 $f_{z,g}=0.01$ (L/77819)

Asta n. 1266 (1011 10) Sez. 5 UPN100 Crit. 3

- Verifica a trazione (4.2.4.1.2.1) - CC 1 SLV $X_l=0.00$ - Classe 1
Sollecitazioni: $N=6583.26$
Verifica a trazione [4.2.5]
 $N,Ed=6583.26$ $N_{pl},Rd=35889.70$ $Nu,Rd=42425.50$ $N,Ed/Nt,Rd=0.18$

- Verifica freccia massima carichi totali - CC 22
 $f_{z,g}=0.01$ (L/45718)

- Verifica freccia massima per soli carichi accidentali - CC 22
 $f_{z,g}=0.00$ (L/110935)

Asta n. 1268 (1030 31) Sez. 5 UPN100 Crit. 3

- Verifica a trazione (4.2.4.1.2.1) - CC 9 SLV $X_l=0.00$ - Classe 1
Sollecitazioni: $N=6194.86$
Verifica a trazione [4.2.5]
 $N,Ed=6194.86$ $N_{pl},Rd=35889.70$ $Nu,Rd=42425.50$ $N,Ed/Nt,Rd=0.17$

- Verifica freccia massima carichi totali - CC 22
 $f_{z,g}=0.01$ (L/89804)

- Verifica freccia massima per soli carichi accidentali - CC 22
 $f_{z,g}=0.00$ (L/168886)

Asta n. 1270 (1051 50) Sez. 5 UPN100 Crit. 3

- Verifica freccia massima carichi totali - CC 22
 $f_{z,g}=0.03$ (L/16800)

- Verifica freccia massima per soli carichi accidentali - CC 22
 $f_{z,g}=0.01$ (L/36267)

Asta n. 1272 (1071 70) Sez. 5 UPN100 Crit. 3

- Verifica freccia massima carichi totali - CC 22
 $f_{z,g}=0.04$ (L/15017)

- Verifica freccia massima per soli carichi accidentali - CC 22
 $f_{z,g}=0.02$ (L/32237)

Asta n. 1274 (1091 90) Sez. 5 UPN100 Crit. 3

- Verifica freccia massima carichi totali - CC 22
 $f_{z,g}=0.03$ (L/16913)

- Verifica freccia massima per soli carichi accidentali - CC 22
 $f_{z,g}=0.01$ (L/36560)

Asta n. 1276 (1110 111) Sez. 5 UPN100 Crit. 3

- Verifica a trazione (4.2.4.1.2.1) - CC 1 SLV $X_l=0.00$ - Classe 1
Sollecitazioni: $N=6723.45$
Verifica a trazione [4.2.5]
 $N,Ed=6723.45$ $N_{pl},Rd=35889.70$ $Nu,Rd=42425.50$ $N,Ed/Nt,Rd=0.19$

- Verifica freccia massima carichi totali - CC 22
 $f_{z,g}=0.01$ (L/96712)

- Verifica freccia massima per soli carichi accidentali - CC 22
 $f_{z,g}=0.00$ (L/182506)

Asta n. 1277 (1122 121) Sez. 5 UPN100 Crit. 3

- Verifica a trazione (4.2.4.1.2.1) - CC 9 SLV $X_l=0.00$ - Classe 1
Sollecitazioni: $N=3747.21$
Verifica a trazione [4.2.5]
 $N,Ed=3747.21$ $N_{pl},Rd=35889.70$ $Nu,Rd=42425.50$ $N,Ed/Nt,Rd=0.10$

- Verifica freccia massima carichi totali - CC 22
 $f_{z,g}=0.02$ (L/24152)

- Verifica freccia massima per soli carichi accidentali - CC 22
 $f_{z,g}=0.01$ (L/59711)

Asta n. 1283 (37 1047) Sez. 5 UPN100 Crit. 3

Relazione di calcolo

- Verifica a trazione (4.2.4.1.2.1) - CC 13 SLV $X_l=0.00$ - Classe 1
Sollecitazioni: $N=5152.96$
Verifica a trazione [4.2.5]
 $N, Ed=5152.96$ $N_{pl}, Rd=35889.70$ $Nu, Rd=42425.50$ $N, Ed/Nt, Rd=0.14$

- Verifica freccia massima carichi totali - CC 22
 $f_{z,g}=0.01$ (L/42842)

- Verifica freccia massima per soli carichi accidentali - CC 22
 $f_{z,g}=0.01$ (L/95705)

Asta n. 1289 (50 1060) Sez. 5 UPN100 Crit. 3

- Verifica a trazione (4.2.4.1.2.1) - CC 5 SLV $X_l=0.00$ - Classe 1
Sollecitazioni: $N=4093.61$
Verifica a trazione [4.2.5]
 $N, Ed=4093.61$ $N_{pl}, Rd=35889.70$ $Nu, Rd=42425.50$ $N, Ed/Nt, Rd=0.11$

- Verifica freccia massima carichi totali - CC 22
 $f_{z,g}=0.01$ (L/60240)

- Verifica freccia massima per soli carichi accidentali - CC 22
 $f_{z,g}=0.00$ (L/134857)

Asta n. 1295 (73 1063) Sez. 5 UPN100 Crit. 3

- Verifica a trazione (4.2.4.1.2.1) - CC 13 SLV $X_l=0.00$ - Classe 1
Sollecitazioni: $N=3810.93$
Verifica a trazione [4.2.5]
 $N, Ed=3810.93$ $N_{pl}, Rd=35889.70$ $Nu, Rd=42425.50$ $N, Ed/Nt, Rd=0.11$

- Verifica freccia massima carichi totali - CC 22
 $f_{z,g}=0.01$ (L/50073)

- Verifica freccia massima per soli carichi accidentali - CC 22
 $f_{z,g}=0.01$ (L/113023)

Asta n. 1299 (11 1012) Sez. 5 UPN100 Crit. 3

- Verifica a trazione (4.2.4.1.2.1) - CC 1 SLV $X_l=0.00$ - Classe 1
Sollecitazioni: $N=5383.35$
Verifica a trazione [4.2.5]
 $N, Ed=5383.35$ $N_{pl}, Rd=35889.70$ $Nu, Rd=42425.50$ $N, Ed/Nt, Rd=0.15$

- Verifica freccia massima carichi totali - CC 22
 $f_{z,g}=0.01$ (L/44343)

- Verifica freccia massima per soli carichi accidentali - CC 22
 $f_{z,g}=0.01$ (L/108271)

Asta n. 1301 (1032 33) Sez. 5 UPN100 Crit. 3

- Verifica freccia massima carichi totali - CC 22
 $f_{z,g}=0.04$ (L/13478)

- Verifica freccia massima per soli carichi accidentali - CC 22
 $f_{z,g}=0.02$ (L/28466)

Asta n. 1303 (1052 53) Sez. 5 UPN100 Crit. 3

- Verifica freccia massima carichi totali - CC 22
 $f_{z,g}=0.04$ (L/13462)

- Verifica freccia massima per soli carichi accidentali - CC 22
 $f_{z,g}=0.02$ (L/28466)

Asta n. 1305 (1072 73) Sez. 5 UPN100 Crit. 3

- Verifica freccia massima carichi totali - CC 22
 $f_{z,g}=0.03$ (L/18626)

- Verifica freccia massima per soli carichi accidentali - CC 22
 $f_{z,g}=0.01$ (L/39357)

Asta n. 1307 (1093 92) Sez. 5 UPN100 Crit. 3

- Verifica a trazione (4.2.4.1.2.1) - CC 9 SLV $X_l=0.00$ - Classe 1
Sollecitazioni: $N=6079.29$
Verifica a trazione [4.2.5]
 $N, Ed=6079.29$ $N_{pl}, Rd=35889.70$ $Nu, Rd=42425.50$ $N, Ed/Nt, Rd=0.17$

- Verifica freccia massima carichi totali - CC 22

Relazione di calcolo

$f_{z,g}=0.01$ (L/87041)

- Verifica freccia massima per soli carichi accidentali - CC 22
 $f_{z,g}=0.00$ (L/155005)

Asta n. 1309 (1112 113) Sez. 5 UPN100 Crit. 3

- Verifica freccia massima carichi totali - CC 22
 $f_{z,g}=0.04$ (L/13649)

- Verifica freccia massima per soli carichi accidentali - CC 22
 $f_{z,g}=0.02$ (L/28865)

Asta n. 1316 (47 1037) Sez. 5 UPN100 Crit. 3

- Verifica a trazione (4.2.4.1.2.1) - CC 5 SLV $X_l=0.00$ - Classe 1
Sollecitazioni: $N=4601.56$
Verifica a trazione [4.2.5]
 $N,Ed=4601.56$ $N_{pl},Rd=35889.70$ $Nu,Rd=42425.50$ $N,Ed/Nt,Rd=0.13$

- Verifica freccia massima carichi totali - CC 22
 $f_{z,g}=0.02$ (L/34498)

- Verifica freccia massima per soli carichi accidentali - CC 22
 $f_{z,g}=0.01$ (L/76073)

Asta n. 1322 (60 1050) Sez. 5 UPN100 Crit. 3

- Verifica a trazione (4.2.4.1.2.1) - CC 13 SLV $X_l=0.00$ - Classe 1
Sollecitazioni: $N=2863.48$
Verifica a trazione [4.2.5]
 $N,Ed=2863.48$ $N_{pl},Rd=35889.70$ $Nu,Rd=42425.50$ $N,Ed/Nt,Rd=0.08$

- Verifica freccia massima carichi totali - CC 22
 $f_{z,g}=0.02$ (L/33335)

- Verifica freccia massima per soli carichi accidentali - CC 22
 $f_{z,g}=0.01$ (L/73030)

Asta n. 1328 (1023 1013) Sez. 2 IPE270 Crit. 2

- Verifica a flessione YY [4.2.13] - CC 1 SND $X_l=2.50$ - Classe 3
Sollecitazioni: $M_y=-3375.98$
 $M_y,Ed=-3375.98$ $M_y,c,Rd=14500.40$ $M_y,Ed/M_y,c,Rd=0.23$

- Verifica a taglio dir. Z [4.2.16] - CC 17 SLU $X_l=0.00$ - Classe 1
Sollecitazioni: $T_z=4989.83$
 $V,Ed=4989.83$ $V_c,Rd=43217.20$ $V,Ed/V_c,Rd=0.12$

- Verifica a presso o tenso-flessione retta YY (4.2.4.1.2.7) - CC 17 SLU $X_l=2.50$ - Classe 1
Sollecitazioni: $N=5789.22$ $M_y=-6237.29$
 $M_y,Ed=-6237.29$ $M_y,c,Rd=16436.40$
 $N,Ed=5789.22$ $N_c,Rd=155342.00$ $YY\ n=N,Ed/N_c,Rd=0.04$ $MN_y,c,Rd=16436.40$ $M_y,Ed/MN_y,c,Rd=0.38$

- Verifica di stabilità aste inflesse (4.2.4.1.3.2) CC 17 SLU - Classe 1
 $L_{cr}=5.00$ Curva b: $\alpha_{imp}=0.34$ $k_c=0.94$ $\psi=1.75$ $M_{cr}=13579.60$ $\lambda_{LT}=1.13$
 $\lambda_{LT,0}=0.40$ $\beta_{LT}=0.75$ $\Phi_{LT}=1.10$ $\beta_{LT}=0.75$ $f=0.98$ $\chi_{LT}=0.64$
 $M_y,Ed=-6237.29$ $M_y,b,Rd=10471.50$ $M_y,Ed/M_y,b,Rd=0.60$

- Verifica di stabilità aste presso-inflesse (C4.2.4.1.3.3.2) - CC 19 SLU - Classe 1
Sollecitazioni: $N,Ed=-5789.22$ $M_y,Ed=-5983.93$ $L=5.00$
 $\alpha_{my}, \alpha_{mz}, \alpha_{LT}=0.95, 0.95, 0.95$
 $L_{cr}=5.00$ Curva b: $\alpha_{imp}=0.34$ $k_c=0.94$ $\psi=1.75$ $M_{cr}=13579.60$ $\lambda_{LT}=1.13$
 $\lambda_{LT,0}=0.40$ $\Phi_{LT}=1.10$ $\beta_{LT}=0.75$ $f=0.98$ $\chi_{LT}=0.64$
 $\lambda_y=44.54$ $N_{cr,y}=480014.00$ $\lambda^*_y=0.58$ Curva a: $\Phi_y=0.71$ $\chi_y=0.90$
 $\lambda_z=165.40$ $N_{cr,z}=34809.20$ $\lambda^*_z=2.16$ Curva b: $\Phi_z=3.18$ $\chi_z=0.18$
 $K_{yy}, K_{yz}, K_{zy}, K_{zz}=0.97, 0.73, 0.00, 1.22$
Verifica YY: $0.04+0.55=0.59$
Verifica ZZ: $0.21=0.21$

- Verifica freccia massima carichi totali - CC 22
 $f_{z,L}=0.94$ (L/531)

- Verifica freccia massima per soli carichi accidentali - CC 22
 $f_{z,L}=0.43$ (L/1151)

Asta n. 1328 (1033 1023) Sez. 2 IPE270 Crit. 2

- Verifica a flessione YY [4.2.13] - CC 1 SND $X_l=2.50$ - Classe 3
Sollecitazioni: $M_y=-3375.98$
 $M_y,Ed=-3375.98$ $M_y,c,Rd=14500.40$ $M_y,Ed/M_y,c,Rd=0.23$

Relazione di calcolo

- Verifica a taglio dir. Z [4.2.16] - CC 17 SLU $X_l=0.00$ - Classe 1
Sollecitazioni: $T_z=4989.83$
 $V, Ed=4989.83$ $V_c, Rd=43217.20$ $V, Ed/V_c, Rd=0.12$
- Verifica a presso o tenso-flessione retta YY (4.2.4.1.2.7) - CC 17 SLU $X_l=2.50$ - Classe 1
Sollecitazioni: $N=5789.22$ $M_y=-6237.29$
 $M_y, Ed=-6237.29$ $M_y, c, Rd=16436.40$
 $N, Ed=5789.22$ $N_c, Rd=155342.00$ YY $n=N, Ed/N_c, Rd=0.04$ $MN_y, c, Rd=16436.40$ $M_y, Ed/MN_y, c, Rd=0.38$
- Verifica di stabilità aste inflesse (4.2.4.1.3.2) CC 17 SLU - Classe 1
 $L_{cr}=5.00$ Curva b: $\alpha_{imp}=0.34$ $k_c=0.94$ $\psi=1.75$ $M, cr=13579.60$ $\lambda_{LT}=1.13$
 $\lambda_{LT,0}=0.40$ $\beta_{LT}=0.75$ $\Phi_{LT}=1.10$ $\beta_{LT}=0.75$ $f=0.98$ $\chi_{LT}=0.64$
 $M_y, Ed=-6237.29$ $M_y, b, Rd=10471.50$ $M_y, Ed/M_y, b, Rd=0.60$
- Verifica di stabilità aste presso-inflesse (C4.2.4.1.3.3.2) - CC 19 SLU - Classe 1
Sollecitazioni: $N, Ed=-5789.22$ $M_y, Ed=-5983.93$ $L=5.00$
 $\alpha_m, \alpha_m, \alpha_{LT}=0.95, 0.95, 0.95$
 $L_{cr}=5.00$ Curva b: $\alpha_{imp}=0.34$ $k_c=0.94$ $\psi=1.75$ $M, cr=13579.60$ $\lambda_{LT}=1.13$
 $\lambda_{LT,0}=0.40$ $\Phi_{LT}=1.10$ $\beta_{LT}=0.75$ $f=0.98$ $\chi_{LT}=0.64$
 $\lambda_y=44.54$ $N_{cr,y}=480014.00$ $\lambda_y^*=0.58$ Curva a: $\Phi_y=0.71$ $\chi_y=0.90$
 $\lambda_z=165.40$ $N_{cr,z}=34809.20$ $\lambda_z^*=2.16$ Curva b: $\Phi_z=3.18$ $\chi_z=0.18$
 $K_{yy}, K_{yz}, K_{zy}, K_{zz}=0.97, 0.73, 0.00, 1.22$
Verifica YY: $0.04+0.55=0.59$
Verifica ZZ: $0.21=0.21$
- Verifica freccia massima carichi totali - CC 22
 $f_{z,L}=0.94$ (L/531)
- Verifica freccia massima per soli carichi accidentali - CC 22
 $f_{z,L}=0.43$ (L/1151)

Asta n. 1328 (1043 1033) Sez. 2 IPE270 Crit. 2

- Verifica a flessione YY [4.2.13] - CC 1 SND $X_l=2.50$ - Classe 3
Sollecitazioni: $M_y=-3375.98$
 $M_y, Ed=-3375.98$ $M_y, c, Rd=14500.40$ $M_y, Ed/M_y, c, Rd=0.23$
- Verifica a taglio dir. Z [4.2.16] - CC 17 SLU $X_l=0.00$ - Classe 1
Sollecitazioni: $T_z=4989.83$
 $V, Ed=4989.83$ $V_c, Rd=43217.20$ $V, Ed/V_c, Rd=0.12$
- Verifica a presso o tenso-flessione retta YY (4.2.4.1.2.7) - CC 17 SLU $X_l=2.50$ - Classe 1
Sollecitazioni: $N=5789.22$ $M_y=-6237.29$
 $M_y, Ed=-6237.29$ $M_y, c, Rd=16436.40$
 $N, Ed=5789.22$ $N_c, Rd=155342.00$ YY $n=N, Ed/N_c, Rd=0.04$ $MN_y, c, Rd=16436.40$ $M_y, Ed/MN_y, c, Rd=0.38$
- Verifica di stabilità aste inflesse (4.2.4.1.3.2) CC 17 SLU - Classe 1
 $L_{cr}=5.00$ Curva b: $\alpha_{imp}=0.34$ $k_c=0.94$ $\psi=1.75$ $M, cr=13579.60$ $\lambda_{LT}=1.13$
 $\lambda_{LT,0}=0.40$ $\beta_{LT}=0.75$ $\Phi_{LT}=1.10$ $\beta_{LT}=0.75$ $f=0.98$ $\chi_{LT}=0.64$
 $M_y, Ed=-6237.29$ $M_y, b, Rd=10471.50$ $M_y, Ed/M_y, b, Rd=0.60$
- Verifica di stabilità aste presso-inflesse (C4.2.4.1.3.3.2) - CC 19 SLU - Classe 1
Sollecitazioni: $N, Ed=-5789.22$ $M_y, Ed=-5983.93$ $L=5.00$
 $\alpha_m, \alpha_m, \alpha_{LT}=0.95, 0.95, 0.95$
 $L_{cr}=5.00$ Curva b: $\alpha_{imp}=0.34$ $k_c=0.94$ $\psi=1.75$ $M, cr=13579.60$ $\lambda_{LT}=1.13$
 $\lambda_{LT,0}=0.40$ $\Phi_{LT}=1.10$ $\beta_{LT}=0.75$ $f=0.98$ $\chi_{LT}=0.64$
 $\lambda_y=44.54$ $N_{cr,y}=480014.00$ $\lambda_y^*=0.58$ Curva a: $\Phi_y=0.71$ $\chi_y=0.90$
 $\lambda_z=165.40$ $N_{cr,z}=34809.20$ $\lambda_z^*=2.16$ Curva b: $\Phi_z=3.18$ $\chi_z=0.18$
 $K_{yy}, K_{yz}, K_{zy}, K_{zz}=0.97, 0.73, 0.00, 1.22$
Verifica YY: $0.04+0.55=0.59$
Verifica ZZ: $0.21=0.21$
- Verifica freccia massima carichi totali - CC 22
 $f_{z,L}=0.94$ (L/531)
- Verifica freccia massima per soli carichi accidentali - CC 22
 $f_{z,L}=0.43$ (L/1151)

Asta n. 1328 (1053 1043) Sez. 2 IPE270 Crit. 2

- Verifica a flessione YY [4.2.13] - CC 1 SND $X_l=2.50$ - Classe 3
Sollecitazioni: $M_y=-3375.98$
 $M_y, Ed=-3375.98$ $M_y, c, Rd=14500.40$ $M_y, Ed/M_y, c, Rd=0.23$
- Verifica a taglio dir. Z [4.2.16] - CC 17 SLU $X_l=0.00$ - Classe 1
Sollecitazioni: $T_z=4989.83$
 $V, Ed=4989.83$ $V_c, Rd=43217.20$ $V, Ed/V_c, Rd=0.12$

Relazione di calcolo

- Verifica a presso o tenso-flessione retta YY (4.2.4.1.2.7) - CC 17 SLU $X_l=2.50$ - Classe 1
Sollecitazioni: $N=5789.22$ $M_y=-6237.29$
 $M_y,Ed=-6237.29$ $M_y,c,Rd=16436.40$
 $N,Ed=5789.22$ $N_c,Rd=155342.00$ YY $n=N,Ed/N_c,Rd=0.04$ $MN_y,c,Rd=16436.40$ $M_y,Ed/MN_y,c,Rd=0.38$

- Verifica di stabilità aste inflesse (4.2.4.1.3.2) CC 17 SLU - Classe 1
 $L_{cr}=5.00$ Curva b: $\alpha_{imp}=0.34$ $k_c=0.94$ $\psi=1.75$ $M_{cr}=13579.60$ $\lambda_{LT}=1.13$
 $\lambda_{LT,0}=0.40$ $\beta_{LT}=0.75$ $\Phi_{LT}=1.10$ $\beta_{LT}=0.75$ $f=0.98$ $\chi_{LT}=0.64$
 $M_y,Ed=-6237.29$ $M_y,b,Rd=10471.50$ $M_y,Ed/M_y,b,Rd=0.60$

- Verifica di stabilità aste presso-inflesse (C4.2.4.1.3.3.2) - CC 19 SLU - Classe 1
Sollecitazioni: $N,Ed=-5789.22$ $M_y,Ed=-5983.93$ $L=5.00$
 $\alpha_{my}, \alpha_{mz}, \alpha_{LT}=0.95, 0.95, 0.95$
 $L_{cr}=5.00$ Curva b: $\alpha_{imp}=0.34$ $k_c=0.94$ $\psi=1.75$ $M_{cr}=13579.60$ $\lambda_{LT}=1.13$
 $\lambda_{LT,0}=0.40$ $\Phi_{LT}=1.10$ $\beta_{LT}=0.75$ $f=0.98$ $\chi_{LT}=0.64$
 $\lambda_y=44.54$ $N_{cr,y}=480014.00$ $\lambda_y^*=0.58$ Curva a: $\Phi_y=0.71$ $\chi_y=0.90$
 $\lambda_z=165.40$ $N_{cr,z}=34809.20$ $\lambda_z^*=2.16$ Curva b: $\Phi_z=3.18$ $\chi_z=0.18$
 $K_{yy}, K_{yz}, K_{zy}, K_{zz}=0.97, 0.73, 0.00, 1.22$
Verifica YY: $0.04+0.55=0.59$
Verifica ZZ: $0.21=0.21$

- Verifica freccia massima carichi totali - CC 22
 $f_{z,L}=0.94$ (L/531)

- Verifica freccia massima per soli carichi accidentali - CC 22
 $f_{z,L}=0.43$ (L/1151)

Asta n. 1328 (1063 1053) Sez. 2 IPE270 Crit. 2

- Verifica a flessione YY [4.2.13] - CC 1 SND $X_l=2.50$ - Classe 3
Sollecitazioni: $M_y=-3375.98$
 $M_y,Ed=-3375.98$ $M_y,c,Rd=14500.40$ $M_y,Ed/M_y,c,Rd=0.23$

- Verifica a taglio dir. Z [4.2.16] - CC 17 SLU $X_l=0.00$ - Classe 1
Sollecitazioni: $T_z=4989.83$
 $V,Ed=4989.83$ $V_c,Rd=43217.20$ $V,Ed/V_c,Rd=0.12$

- Verifica a presso o tenso-flessione retta YY (4.2.4.1.2.7) - CC 17 SLU $X_l=2.50$ - Classe 1
Sollecitazioni: $N=5789.22$ $M_y=-6237.29$
 $M_y,Ed=-6237.29$ $M_y,c,Rd=16436.40$
 $N,Ed=5789.22$ $N_c,Rd=155342.00$ YY $n=N,Ed/N_c,Rd=0.04$ $MN_y,c,Rd=16436.40$ $M_y,Ed/MN_y,c,Rd=0.38$

- Verifica di stabilità aste inflesse (4.2.4.1.3.2) CC 17 SLU - Classe 1
 $L_{cr}=5.00$ Curva b: $\alpha_{imp}=0.34$ $k_c=0.94$ $\psi=1.75$ $M_{cr}=13579.60$ $\lambda_{LT}=1.13$
 $\lambda_{LT,0}=0.40$ $\beta_{LT}=0.75$ $\Phi_{LT}=1.10$ $\beta_{LT}=0.75$ $f=0.98$ $\chi_{LT}=0.64$
 $M_y,Ed=-6237.29$ $M_y,b,Rd=10471.50$ $M_y,Ed/M_y,b,Rd=0.60$

- Verifica di stabilità aste presso-inflesse (C4.2.4.1.3.3.2) - CC 19 SLU - Classe 1
Sollecitazioni: $N,Ed=-5789.22$ $M_y,Ed=-5983.93$ $L=5.00$
 $\alpha_{my}, \alpha_{mz}, \alpha_{LT}=0.95, 0.95, 0.95$
 $L_{cr}=5.00$ Curva b: $\alpha_{imp}=0.34$ $k_c=0.94$ $\psi=1.75$ $M_{cr}=13579.60$ $\lambda_{LT}=1.13$
 $\lambda_{LT,0}=0.40$ $\Phi_{LT}=1.10$ $\beta_{LT}=0.75$ $f=0.98$ $\chi_{LT}=0.64$
 $\lambda_y=44.54$ $N_{cr,y}=480014.00$ $\lambda_y^*=0.58$ Curva a: $\Phi_y=0.71$ $\chi_y=0.90$
 $\lambda_z=165.40$ $N_{cr,z}=34809.20$ $\lambda_z^*=2.16$ Curva b: $\Phi_z=3.18$ $\chi_z=0.18$
 $K_{yy}, K_{yz}, K_{zy}, K_{zz}=0.97, 0.73, 0.00, 1.22$
Verifica YY: $0.04+0.55=0.59$
Verifica ZZ: $0.21=0.21$

- Verifica freccia massima carichi totali - CC 22
 $f_{z,L}=0.94$ (L/531)

- Verifica freccia massima per soli carichi accidentali - CC 22
 $f_{z,L}=0.43$ (L/1151)

Asta n. 1328 (1073 1063) Sez. 2 IPE270 Crit. 2

- Verifica a flessione YY [4.2.13] - CC 1 SND $X_l=2.50$ - Classe 3
Sollecitazioni: $M_y=-1744.35$
 $M_y,Ed=-1744.35$ $M_y,c,Rd=14500.40$ $M_y,Ed/M_y,c,Rd=0.12$

- Verifica a taglio dir. Z [4.2.16] - CC 17 SLU $X_l=0.00$ - Classe 1
Sollecitazioni: $T_z=2553.52$
 $V,Ed=2553.52$ $V_c,Rd=43217.20$ $V,Ed/V_c,Rd=0.06$

- Verifica in termini tensionali [4.2.4] - CC 19 SLU $X_l=2.73$ - Classe 3
Sollecitazioni: $N=-5789.22$ $T_z=-222.92$ $M_y=-3039.90$
Tensioni: $\sigma_N=-126.00$ $\sigma_{m,d}=-708.79$ $\tau=0.00$ $\sigma_{max}=-834.79$ (sfrut=0.25)
Tensioni: $\sigma_N=-126.00$ $\sigma_{m,d}=0.00$ $\tau=15.01$ $\tau_{max}=15.01$ (sfrut=0.01)
Tensioni: $\sigma_N=-126.00$ $\sigma_{m,d}=-708.79$ $\tau=0.00$ $\sigma_{ID,max}=834.79$ (sfrut=0.25)

- Verifica di stabilità aste inflesse (4.2.4.1.3.2) CC 17 SLU - Classe 1
 $L_{cr}=5.00$ Curva b: $\alpha_{imp}=0.34$ $k_c=0.94$ $\psi=1.75$ $M_{cr}=13579.60$ $\lambda_{LT}=1.13$
 $\lambda_{LT,0}=0.40$ $\beta_{LT}=0.75$ $\Phi_{LT}=1.10$ $\beta_{LT}=0.75$ $f=0.98$ $\chi_{LT}=0.64$
 $M_{y,Ed}=-3191.91$ $M_{y,b,Rd}=10471.50$ $M_{y,Ed}/M_{y,b,Rd}=0.30$

- Verifica di stabilità aste presso-inflesse (C4.2.4.1.3.3.2) - CC 19 SLU - Classe 1
Sollecitazioni: $N_{Ed}=-5789.22$ $M_{y,Ed}=-3065.23$ $L=5.00$
 α_{my} , α_{mz} , $\alpha_{LT}=0.95$, 0.95 , 0.95
 $L_{cr}=5.00$ Curva b: $\alpha_{imp}=0.34$ $k_c=0.94$ $\psi=1.75$ $M_{cr}=13579.60$ $\lambda_{LT}=1.13$
 $\lambda_{LT,0}=0.40$ $\Phi_{LT}=1.10$ $\beta_{LT}=0.75$ $f=0.98$ $\chi_{LT}=0.64$
 $\lambda_y=44.54$ $N_{cr,y}=480014.00$ $\lambda^*_y=0.58$ Curva a: $\Phi_y=0.71$ $\chi_y=0.90$
 $\lambda_z=165.40$ $N_{cr,z}=34809.20$ $\lambda^*_z=2.16$ Curva b: $\Phi_z=3.18$ $\chi_z=0.18$
 K_{yy} , K_{yz} , K_{zy} , $K_{zz}=0.97$, 0.73 , 0.00 , 1.22
Verifica YY: $0.04+0.28=0.32$
Verifica ZZ: $0.21=0.21$

- Verifica freccia massima carichi totali - CC 22
 $f_{z,L}=0.48$ (L/1037)

- Verifica freccia massima per soli carichi accidentali - CC 22
 $f_{z,g}=0.22$ (L/2303)

Asta n. 1328 (1083 1073) Sez. 2 IPE270 Crit. 2

- Verifica a flessione YY [4.2.13] - CC 1 SMD $X_l=2.50$ - Classe 3
Sollecitazioni: $M_{y,Ed}=-3375.98$
 $M_{y,Ed}=-3375.98$ $M_{y,c,Rd}=14500.40$ $M_{y,Ed}/M_{y,c,Rd}=0.23$

- Verifica a taglio dir. Z [4.2.16] - CC 17 SLU $X_l=0.00$ - Classe 1
Sollecitazioni: $T_z=4989.83$
 $V_{Ed}=4989.83$ $V_{c,Rd}=43217.20$ $V_{Ed}/V_{c,Rd}=0.12$

- Verifica a presso o tenso-flessione retta YY (4.2.4.1.2.7) - CC 17 SLU $X_l=2.50$ - Classe 1
Sollecitazioni: $N=5789.22$ $M_{y,Ed}=-6237.29$
 $M_{y,Ed}=-6237.29$ $M_{y,c,Rd}=16436.40$
 $N_{Ed}=5789.22$ $N_{c,Rd}=155342.00$ YY $n=N_{Ed}/N_{c,Rd}=0.04$ $MN_{y,c,Rd}=16436.40$ $M_{y,Ed}/MN_{y,c,Rd}=0.38$

- Verifica di stabilità aste inflesse (4.2.4.1.3.2) CC 17 SLU - Classe 1
 $L_{cr}=5.00$ Curva b: $\alpha_{imp}=0.34$ $k_c=0.94$ $\psi=1.75$ $M_{cr}=13579.60$ $\lambda_{LT}=1.13$
 $\lambda_{LT,0}=0.40$ $\beta_{LT}=0.75$ $\Phi_{LT}=1.10$ $\beta_{LT}=0.75$ $f=0.98$ $\chi_{LT}=0.64$
 $M_{y,Ed}=-6237.29$ $M_{y,b,Rd}=10471.50$ $M_{y,Ed}/M_{y,b,Rd}=0.60$

- Verifica di stabilità aste presso-inflesse (C4.2.4.1.3.3.2) - CC 19 SLU - Classe 1
Sollecitazioni: $N_{Ed}=-5789.22$ $M_{y,Ed}=-5983.93$ $L=5.00$
 α_{my} , α_{mz} , $\alpha_{LT}=0.95$, 0.95 , 0.95
 $L_{cr}=5.00$ Curva b: $\alpha_{imp}=0.34$ $k_c=0.94$ $\psi=1.75$ $M_{cr}=13579.60$ $\lambda_{LT}=1.13$
 $\lambda_{LT,0}=0.40$ $\Phi_{LT}=1.10$ $\beta_{LT}=0.75$ $f=0.98$ $\chi_{LT}=0.64$
 $\lambda_y=44.54$ $N_{cr,y}=480014.00$ $\lambda^*_y=0.58$ Curva a: $\Phi_y=0.71$ $\chi_y=0.90$
 $\lambda_z=165.40$ $N_{cr,z}=34809.20$ $\lambda^*_z=2.16$ Curva b: $\Phi_z=3.18$ $\chi_z=0.18$
 K_{yy} , K_{yz} , K_{zy} , $K_{zz}=0.97$, 0.73 , 0.00 , 1.22
Verifica YY: $0.04+0.55=0.59$
Verifica ZZ: $0.21=0.21$

- Verifica freccia massima carichi totali - CC 22
 $f_{z,L}=0.94$ (L/531)

- Verifica freccia massima per soli carichi accidentali - CC 22
 $f_{z,L}=0.43$ (L/1151)

Asta n. 1328 (1093 1083) Sez. 2 IPE270 Crit. 2

- Verifica a flessione YY [4.2.13] - CC 1 SMD $X_l=2.50$ - Classe 3
Sollecitazioni: $M_{y,Ed}=-3375.98$
 $M_{y,Ed}=-3375.98$ $M_{y,c,Rd}=14500.40$ $M_{y,Ed}/M_{y,c,Rd}=0.23$

- Verifica a taglio dir. Z [4.2.16] - CC 17 SLU $X_l=0.00$ - Classe 1
Sollecitazioni: $T_z=4989.83$
 $V_{Ed}=4989.83$ $V_{c,Rd}=43217.20$ $V_{Ed}/V_{c,Rd}=0.12$

- Verifica a presso o tenso-flessione retta YY (4.2.4.1.2.7) - CC 17 SLU $X_l=2.50$ - Classe 1
Sollecitazioni: $N=5789.22$ $M_{y,Ed}=-6237.29$
 $M_{y,Ed}=-6237.29$ $M_{y,c,Rd}=16436.40$
 $N_{Ed}=5789.22$ $N_{c,Rd}=155342.00$ YY $n=N_{Ed}/N_{c,Rd}=0.04$ $MN_{y,c,Rd}=16436.40$ $M_{y,Ed}/MN_{y,c,Rd}=0.38$

- Verifica di stabilità aste inflesse (4.2.4.1.3.2) CC 17 SLU - Classe 1
 $L_{cr}=5.00$ Curva b: $\alpha_{imp}=0.34$ $k_c=0.94$ $\psi=1.75$ $M_{cr}=13579.60$ $\lambda_{LT}=1.13$
 $\lambda_{LT,0}=0.40$ $\beta_{LT}=0.75$ $\Phi_{LT}=1.10$ $\beta_{LT}=0.75$ $f=0.98$ $\chi_{LT}=0.64$
 $M_{y,Ed}=-6237.29$ $M_{y,b,Rd}=10471.50$ $M_{y,Ed}/M_{y,b,Rd}=0.60$

- Verifica di stabilità aste presso-inflesse (C4.2.4.1.3.3.2) - CC 19 SLU - Classe 1
Sollecitazioni: $N, Ed = -5789.22$ $My, Ed = -5983.93$ $L = 5.00$
 $\alpha_{my}, \alpha_{mz}, \alpha_{LT} = 0.95, 0.95, 0.95$
 $L_{cr} = 5.00$ Curva b: $\alpha_{imp} = 0.34$ $k_c = 0.94$ $\psi = 1.75$ $M, cr = 13579.60$ $\lambda_{LT} = 1.13$
 $\lambda_{LT,0} = 0.40$ $\Phi_{LT} = 1.10$ $\beta_{LT} = 0.75$ $f = 0.98$ $\chi_{LT} = 0.64$
 $\lambda_y = 44.54$ $N_{cr,y} = 480014.00$ $\lambda^*_y = 0.58$ Curva a: $\Phi_y = 0.71$ $\chi_y = 0.90$
 $\lambda_z = 165.40$ $N_{cr,z} = 34809.20$ $\lambda^*_z = 2.16$ Curva b: $\Phi_z = 3.18$ $\chi_z = 0.18$
 $K_{yy}, K_{yz}, K_{zy}, K_{zz} = 0.97, 0.73, 0.00, 1.22$
Verifica YY: $0.04 + 0.55 = 0.59$
Verifica ZZ: $0.21 = 0.21$
 - Verifica freccia massima carichi totali - CC 22
 $f_{z,L} = 0.94$ (L/531)
 - Verifica freccia massima per soli carichi accidentali - CC 22
 $f_{z,L} = 0.43$ (L/1151)
- Asta n. 1328 (1103 1093) Sez. 2 IPE270 Crit. 2
-
- Verifica a flessione YY [4.2.13] - CC 1 SND $X_l = 2.50$ - Classe 3
Sollecitazioni: $M_y = -3375.98$
 $My, Ed = -3375.98$ $My, c, Rd = 14500.40$ $My, Ed/My, c, Rd = 0.23$
 - Verifica a taglio dir. Z [4.2.16] - CC 17 SLU $X_l = 0.00$ - Classe 1
Sollecitazioni: $T_z = 4989.83$
 $V, Ed = 4989.83$ $Vc, Rd = 43217.20$ $V, Ed/Vc, Rd = 0.12$
 - Verifica a presso o tenso-flessione retta YY (4.2.4.1.2.7) - CC 17 SLU $X_l = 2.50$ - Classe 1
Sollecitazioni: $N = 5789.22$ $M_y = -6237.29$
 $My, Ed = -6237.29$ $My, c, Rd = 16436.40$
 $N, Ed = 5789.22$ $Nc, Rd = 155342.00$ YY $n = N, Ed/Nc, Rd = 0.04$ $MN_y, c, Rd = 16436.40$ $My, Ed/MN_y, c, Rd = 0.38$
 - Verifica di stabilità aste inflesse (4.2.4.1.3.2) CC 17 SLU - Classe 1
 $L_{cr} = 5.00$ Curva b: $\alpha_{imp} = 0.34$ $k_c = 0.94$ $\psi = 1.75$ $M, cr = 13579.60$ $\lambda_{LT} = 1.13$
 $\lambda_{LT,0} = 0.40$ $\beta_{LT} = 0.75$ $\Phi_{LT} = 1.10$ $\beta_{LT} = 0.75$ $f = 0.98$ $\chi_{LT} = 0.64$
 $My, Ed = -6237.29$ $My, b, Rd = 10471.50$ $My, Ed/My, b, Rd = 0.60$
 - Verifica di stabilità aste presso-inflesse (C4.2.4.1.3.3.2) - CC 19 SLU - Classe 1
Sollecitazioni: $N, Ed = -5789.22$ $My, Ed = -5983.93$ $L = 5.00$
 $\alpha_{my}, \alpha_{mz}, \alpha_{LT} = 0.95, 0.95, 0.95$
 $L_{cr} = 5.00$ Curva b: $\alpha_{imp} = 0.34$ $k_c = 0.94$ $\psi = 1.75$ $M, cr = 13579.60$ $\lambda_{LT} = 1.13$
 $\lambda_{LT,0} = 0.40$ $\Phi_{LT} = 1.10$ $\beta_{LT} = 0.75$ $f = 0.98$ $\chi_{LT} = 0.64$
 $\lambda_y = 44.54$ $N_{cr,y} = 480014.00$ $\lambda^*_y = 0.58$ Curva a: $\Phi_y = 0.71$ $\chi_y = 0.90$
 $\lambda_z = 165.40$ $N_{cr,z} = 34809.20$ $\lambda^*_z = 2.16$ Curva b: $\Phi_z = 3.18$ $\chi_z = 0.18$
 $K_{yy}, K_{yz}, K_{zy}, K_{zz} = 0.97, 0.73, 0.00, 1.22$
Verifica YY: $0.04 + 0.55 = 0.59$
Verifica ZZ: $0.21 = 0.21$
 - Verifica freccia massima carichi totali - CC 22
 $f_{z,g} = 0.94$ (L/531)
 - Verifica freccia massima per soli carichi accidentali - CC 22
 $f_{z,L} = 0.43$ (L/1151)
- Asta n. 1328 (1113 1103) Sez. 2 IPE270 Crit. 2
-
- Verifica a flessione YY [4.2.13] - CC 1 SND $X_l = 2.50$ - Classe 3
Sollecitazioni: $M_y = -3375.98$
 $My, Ed = -3375.98$ $My, c, Rd = 14500.40$ $My, Ed/My, c, Rd = 0.23$
 - Verifica a taglio dir. Z [4.2.16] - CC 17 SLU $X_l = 0.00$ - Classe 1
Sollecitazioni: $T_z = 4989.83$
 $V, Ed = 4989.83$ $Vc, Rd = 43217.20$ $V, Ed/Vc, Rd = 0.12$
 - Verifica a presso o tenso-flessione retta YY (4.2.4.1.2.7) - CC 17 SLU $X_l = 2.50$ - Classe 1
Sollecitazioni: $N = 5789.22$ $M_y = -6237.29$
 $My, Ed = -6237.29$ $My, c, Rd = 16436.40$
 $N, Ed = 5789.22$ $Nc, Rd = 155342.00$ YY $n = N, Ed/Nc, Rd = 0.04$ $MN_y, c, Rd = 16436.40$ $My, Ed/MN_y, c, Rd = 0.38$
 - Verifica di stabilità aste inflesse (4.2.4.1.3.2) CC 17 SLU - Classe 1
 $L_{cr} = 5.00$ Curva b: $\alpha_{imp} = 0.34$ $k_c = 0.94$ $\psi = 1.75$ $M, cr = 13579.60$ $\lambda_{LT} = 1.13$
 $\lambda_{LT,0} = 0.40$ $\beta_{LT} = 0.75$ $\Phi_{LT} = 1.10$ $\beta_{LT} = 0.75$ $f = 0.98$ $\chi_{LT} = 0.64$
 $My, Ed = -6237.29$ $My, b, Rd = 10471.50$ $My, Ed/My, b, Rd = 0.60$
 - Verifica di stabilità aste presso-inflesse (C4.2.4.1.3.3.2) - CC 19 SLU - Classe 1
Sollecitazioni: $N, Ed = -5789.22$ $My, Ed = -5983.93$ $L = 5.00$
 $\alpha_{my}, \alpha_{mz}, \alpha_{LT} = 0.95, 0.95, 0.95$
 $L_{cr} = 5.00$ Curva b: $\alpha_{imp} = 0.34$ $k_c = 0.94$ $\psi = 1.75$ $M, cr = 13579.60$ $\lambda_{LT} = 1.13$

Relazione di calcolo

$\lambda_{LT,0}=0.40$ $\Phi_{LT}=1.10$ $\beta_{LT}=0.75$ $f=0.98$ $\chi_{LT}=0.64$
 $\lambda_y=44.54$ $N_{cr,y}=480014.00$ $\lambda_y^*=0.58$ Curva a: $\Phi_y=0.71$ $\chi_y=0.90$
 $\lambda_z=165.40$ $N_{cr,z}=34809.20$ $\lambda_z^*=2.16$ Curva b: $\Phi_z=3.18$ $\chi_z=0.18$
Kyy, Kyz, Kzy, Kzz=0.97, 0.73, 0.00, 1.22
Verifica YY: $0.04+0.55=0.59$
Verifica ZZ: $0.21=0.21$

- Verifica freccia massima carichi totali - CC 22
 $f_{z,L}=0.94$ (L/531)

- Verifica freccia massima per soli carichi accidentali - CC 22
 $f_{z,L}=0.43$ (L/1151)

Asta n. 1328 (1122 1113) Sez. 2 IPE270 Crit. 2

- Verifica a flessione YY [4.2.13] - CC 1 SND $X_1=2.50$ - Classe 3
Sollecitazioni: $M_y=-3375.98$
 $M_y,Ed=-3375.98$ $M_y,c,Rd=14500.40$ $M_y,Ed/M_y,c,Rd=0.23$

- Verifica a taglio dir. Z [4.2.16] - CC 17 SLU $X_1=0.00$ - Classe 1
Sollecitazioni: $T_z=4989.83$
 $V,Ed=4989.83$ $V_c,Rd=43217.20$ $V,Ed/V_c,Rd=0.12$

- Verifica a presso o tenso-flessione retta YY (4.2.4.1.2.7) - CC 17 SLU $X_1=2.50$ - Classe 1
Sollecitazioni: $N=5789.22$ $M_y=-6237.29$
 $M_y,Ed=-6237.29$ $M_y,c,Rd=16436.40$
 $N,Ed=5789.22$ $N_c,Rd=155342.00$ YY $n=N,Ed/N_c,Rd=0.04$ $MN_y,c,Rd=16436.40$ $M_y,Ed/MN_y,c,Rd=0.38$

- Verifica di stabilità aste inflesse (4.2.4.1.3.2) CC 17 SLU - Classe 1
 $L_{cr}=5.00$ Curva b: $\alpha_{imp}=0.34$ $k_c=0.94$ $\psi=1.75$ $M_{cr}=13579.60$ $\lambda_{LT}=1.13$
 $\lambda_{LT,0}=0.40$ $\Phi_{LT}=1.10$ $\beta_{LT}=0.75$ $f=0.98$ $\chi_{LT}=0.64$
 $M_y,Ed=-6237.29$ $M_y,b,Rd=10471.50$ $M_y,Ed/M_y,b,Rd=0.60$

- Verifica di stabilità aste presso-inflesse (4.2.4.1.3.3.2) - CC 19 SLU - Classe 1
Sollecitazioni: $N,Ed=-5789.22$ $M_y,Ed=-5983.93$ $L=5.00$
 $\alpha_{my}, \alpha_{mz}, \alpha_{LT}=0.95, 0.95, 0.95$
 $L_{cr}=5.00$ Curva b: $\alpha_{imp}=0.34$ $k_c=0.94$ $\psi=1.75$ $M_{cr}=13579.60$ $\lambda_{LT}=1.13$
 $\lambda_{LT,0}=0.40$ $\Phi_{LT}=1.10$ $\beta_{LT}=0.75$ $f=0.98$ $\chi_{LT}=0.64$
 $\lambda_y=44.54$ $N_{cr,y}=480014.00$ $\lambda_y^*=0.58$ Curva a: $\Phi_y=0.71$ $\chi_y=0.90$
 $\lambda_z=165.40$ $N_{cr,z}=34809.20$ $\lambda_z^*=2.16$ Curva b: $\Phi_z=3.18$ $\chi_z=0.18$
Kyy, Kyz, Kzy, Kzz=0.97, 0.73, 0.00, 1.22
Verifica YY: $0.04+0.55=0.59$
Verifica ZZ: $0.21=0.21$

- Verifica freccia massima carichi totali - CC 22
 $f_{z,L}=0.94$ (L/531)

- Verifica freccia massima per soli carichi accidentali - CC 22
 $f_{z,L}=0.43$ (L/1151)

Asta n. 1332 (12 1011) Sez. 5 UPN100 Crit. 3

- Verifica a trazione (4.2.4.1.2.1) - CC 9 SLV $X_1=0.00$ - Classe 1
Sollecitazioni: $N=7486.86$
Verifica a trazione [4.2.5]
 $N,Ed=7486.86$ $N_{pl,Rd}=35889.70$ $N_u,Rd=42425.50$ $N,Ed/N_t,Rd=0.21$

- Verifica freccia massima carichi totali - CC 22
 $f_{z,g}=0.00$ (L/291968)

Asta n. 1334 (1033 32) Sez. 5 UPN100 Crit. 3

- Verifica a trazione (4.2.4.1.2.1) - CC 1 SLV $X_1=0.00$ - Classe 1
Sollecitazioni: $N=6083.23$
Verifica a trazione [4.2.5]
 $N,Ed=6083.23$ $N_{pl,Rd}=35889.70$ $N_u,Rd=42425.50$ $N,Ed/N_t,Rd=0.17$

- Verifica freccia massima carichi totali - CC 22
 $f_{z,g}=0.01$ (L/97546)

- Verifica freccia massima per soli carichi accidentali - CC 22
 $f_{z,g}=0.00$ (L/175432)

Asta n. 1336 (1053 52) Sez. 5 UPN100 Crit. 3

- Verifica a trazione (4.2.4.1.2.1) - CC 1 SLV $X_1=0.00$ - Classe 1
Sollecitazioni: $N=5691.71$
Verifica a trazione [4.2.5]
 $N,Ed=5691.71$ $N_{pl,Rd}=35889.70$ $N_u,Rd=42425.50$ $N,Ed/N_t,Rd=0.16$

Relazione di calcolo

- Verifica freccia massima carichi totali - CC 22
 $f_{z,g}=0.01$ (L/88748)

- Verifica freccia massima per soli carichi accidentali - CC 22
 $f_{z,g}=0.00$ (L/158257)

Asta n. 1338 (1073 72) Sez. 5 UPN100 Crit. 3

- Verifica a trazione (4.2.4.1.2.1) - CC 9 SLV $X_l=0.00$ - Classe 1
Sollecitazioni: $N=4842.14$
Verifica a trazione [4.2.5]
 $N,Ed=4842.14$ $N_{pl},Rd=35889.70$ $Nu,Rd=42425.50$ $N,Ed/Nt,Rd=0.13$

- Verifica freccia massima carichi totali - CC 22
 $f_{z,g}=0.00$ (L/257168)

- Verifica freccia massima per soli carichi accidentali - CC 22
 $f_{z,g}=0.00$ (L/359218)

Asta n. 1340 (1092 93) Sez. 5 UPN100 Crit. 3

- Verifica freccia massima carichi totali - CC 22
 $f_{z,g}=0.04$ (L/13351)

- Verifica freccia massima per soli carichi accidentali - CC 22
 $f_{z,g}=0.02$ (L/28182)

Asta n. 1342 (1113 112) Sez. 5 UPN100 Crit. 3

- Verifica a trazione (4.2.4.1.2.1) - CC 9 SLV $X_l=0.00$ - Classe 1
Sollecitazioni: $N=6533.37$
Verifica a trazione [4.2.5]
 $N,Ed=6533.37$ $N_{pl},Rd=35889.70$ $Nu,Rd=42425.50$ $N,Ed/Nt,Rd=0.18$

- Verifica freccia massima carichi totali - CC 22
 $f_{z,g}=0.00$ (L/111481)

- Verifica freccia massima per soli carichi accidentali - CC 22
 $f_{z,g}=0.00$ (L/191786)

Asta n. 1349 (47 1057) Sez. 5 UPN100 Crit. 3

- Verifica a trazione (4.2.4.1.2.1) - CC 13 SLV $X_l=0.00$ - Classe 1
Sollecitazioni: $N=5872.08$
Verifica a trazione [4.2.5]
 $N,Ed=5872.08$ $N_{pl},Rd=35889.70$ $Nu,Rd=42425.50$ $N,Ed/Nt,Rd=0.16$

- Verifica freccia massima carichi totali - CC 22
 $f_{z,g}=0.01$ (L/63803)

- Verifica freccia massima per soli carichi accidentali - CC 22
 $f_{z,g}=0.00$ (L/144725)

Asta n. 1355 (70 1060) Sez. 5 UPN100 Crit. 3

- Verifica a trazione (4.2.4.1.2.1) - CC 13 SLV $X_l=0.00$ - Classe 1
Sollecitazioni: $N=3716.18$
Verifica a trazione [4.2.5]
 $N,Ed=3716.18$ $N_{pl},Rd=35889.70$ $Nu,Rd=42425.50$ $N,Ed/Nt,Rd=0.10$

- Verifica freccia massima carichi totali - CC 22
 $f_{z,g}=0.01$ (L/49344)

- Verifica freccia massima per soli carichi accidentali - CC 22
 $f_{z,g}=0.01$ (L/111957)

Asta n. 1361 (63 1073) Sez. 5 UPN100 Crit. 3

- Verifica a trazione (4.2.4.1.2.1) - CC 5 SLV $X_l=0.00$ - Classe 1
Sollecitazioni: $N=3905.58$
Verifica a trazione [4.2.5]
 $N,Ed=3905.58$ $N_{pl},Rd=35889.70$ $Nu,Rd=42425.50$ $N,Ed/Nt,Rd=0.11$

- Verifica freccia massima carichi totali - CC 22
 $f_{z,g}=0.01$ (L/51485)

- Verifica freccia massima per soli carichi accidentali - CC 22
 $f_{z,g}=0.00$ (L/116920)

Asta n. 1365 (1012 13) Sez. 5 UPN100 Crit. 3

- Verifica a trazione (4.2.4.1.2.1) - CC 9 SLV $X_l=0.00$ - Classe 1

Relazione di calcolo

Sollecitazioni: N=7922.34
Verifica a trazione [4.2.5]
N,Ed=7922.34 Npl,Rd=35889.70 Nu,Rd=42425.50 N,Ed/Nt,Rd=0.22

- Verifica freccia massima carichi totali - CC 22
fz,g=0.00 (L/257168)

- Verifica freccia massima per soli carichi accidentali - CC 22
fz,g=0.00 (L/491973)

Asta n. 1367 (1034 33) Sez. 5 UPN100 Crit. 3

- Verifica a trazione (4.2.4.1.2.1) - CC 1 SLV Xl=0.00 - Classe 1
Sollecitazioni: N=3543.29
Verifica a trazione [4.2.5]
N,Ed=3543.29 Npl,Rd=35889.70 Nu,Rd=42425.50 N,Ed/Nt,Rd=0.10

- Verifica freccia massima carichi totali - CC 22
fz,g=0.01 (L/81699)

- Verifica freccia massima per soli carichi accidentali - CC 22
fz,g=0.00 (L/426996)

Asta n. 1369 (1054 53) Sez. 5 UPN100 Crit. 3

- Verifica a trazione (4.2.4.1.2.1) - CC 1 SLV Xl=0.00 - Classe 1
Sollecitazioni: N=3050.60
Verifica a trazione [4.2.5]
N,Ed=3050.60 Npl,Rd=35889.70 Nu,Rd=42425.50 N,Ed/Nt,Rd=0.08

- Verifica freccia massima carichi totali - CC 22
fz,g=0.01 (L/78852)

- Verifica freccia massima per soli carichi accidentali - CC 22
fz,g=0.00 (L/419088)

Asta n. 1371 (1073 74) Sez. 5 UPN100 Crit. 3

- Verifica a trazione (4.2.4.1.2.1) - CC 1 SLV Xl=0.00 - Classe 1
Sollecitazioni: N=2660.57
Verifica a trazione [4.2.5]
N,Ed=2660.57 Npl,Rd=35889.70 Nu,Rd=42425.50 N,Ed/Nt,Rd=0.07

- Verifica freccia massima carichi totali - CC 22
fz,g=0.01 (L/46279)

- Verifica freccia massima per soli carichi accidentali - CC 22
fz,g=0.01 (L/88057)

Asta n. 1373 (1094 93) Sez. 5 UPN100 Crit. 3

- Verifica a trazione (4.2.4.1.2.1) - CC 9 SLV Xl=0.00 - Classe 1
Sollecitazioni: N=3483.32
Verifica a trazione [4.2.5]
N,Ed=3483.32 Npl,Rd=35889.70 Nu,Rd=42425.50 N,Ed/Nt,Rd=0.10

- Verifica freccia massima carichi totali - CC 22
fz,g=0.01 (L/83508)

- Verifica freccia massima per soli carichi accidentali - CC 22
fz,g=0.00 (L/461852)

Asta n. 1375 (1114 113) Sez. 5 UPN100 Crit. 3

- Verifica a trazione (4.2.4.1.2.1) - CC 9 SLV Xl=0.00 - Classe 1
Sollecitazioni: N=4288.02
Verifica a trazione [4.2.5]
N,Ed=4288.02 Npl,Rd=35889.70 Nu,Rd=42425.50 N,Ed/Nt,Rd=0.12

- Verifica freccia massima carichi totali - CC 22
fz,g=0.01 (L/106749)

Asta n. 1382 (57 1047) Sez. 5 UPN100 Crit. 3

- Verifica a trazione (4.2.4.1.2.1) - CC 5 SLV Xl=0.00 - Classe 1
Sollecitazioni: N=4445.85
Verifica a trazione [4.2.5]
N,Ed=4445.85 Npl,Rd=35889.70 Nu,Rd=42425.50 N,Ed/Nt,Rd=0.12

- Verifica freccia massima carichi totali - CC 22
fz,g=0.02 (L/32469)

Relazione di calcolo

- Verifica freccia massima per soli carichi accidentali - CC 22
 $f_{z,g}=0.01$ (L/71062)

Asta n. 1388 (60 1070) Sez. 5 UPN100 Crit. 3

- Verifica a trazione (4.2.4.1.2.1) - CC 5 SLV $X_l=0.00$ - Classe 1
Sollecitazioni: $N=3768.73$
Verifica a trazione [4.2.5]
 $N,Ed=3768.73$ $N_{pl},Rd=35889.70$ $Nu,Rd=42425.50$ $N,Ed/Nt,Rd=0.11$

- Verifica freccia massima carichi totali - CC 22
 $f_{z,g}=0.01$ (L/50073)

- Verifica freccia massima per soli carichi accidentali - CC 22
 $f_{z,g}=0.01$ (L/111431)

Asta n. 1394 (83 1073) Sez. 5 UPN100 Crit. 3

- Verifica a trazione (4.2.4.1.2.1) - CC 13 SLV $X_l=0.00$ - Classe 1
Sollecitazioni: $N=4292.33$
Verifica a trazione [4.2.5]
 $N,Ed=4292.33$ $N_{pl},Rd=35889.70$ $Nu,Rd=42425.50$ $N,Ed/Nt,Rd=0.12$

- Verifica freccia massima carichi totali - CC 22
 $f_{z,g}=0.01$ (L/65385)

- Verifica freccia massima per soli carichi accidentali - CC 22
 $f_{z,g}=0.00$ (L/151177)

Asta n. 1398 (1013 12) Sez. 5 UPN100 Crit. 3

- Verifica a trazione (4.2.4.1.2.1) - CC 1 SLV $X_l=0.00$ - Classe 1
Sollecitazioni: $N=3111.06$
Verifica a trazione [4.2.5]
 $N,Ed=3111.06$ $N_{pl},Rd=35889.70$ $Nu,Rd=42425.50$ $N,Ed/Nt,Rd=0.09$

- Verifica freccia massima carichi totali - CC 22
 $f_{z,g}=0.02$ (L/23069)

- Verifica freccia massima per soli carichi accidentali - CC 22
 $f_{z,g}=0.01$ (L/56435)

Asta n. 1400 (1033 34) Sez. 5 UPN100 Crit. 3

- Verifica a trazione (4.2.4.1.2.1) - CC 9 SLV $X_l=0.00$ - Classe 1
Sollecitazioni: $N=1926.26$
Verifica a trazione [4.2.5]
 $N,Ed=1926.26$ $N_{pl},Rd=35889.70$ $Nu,Rd=42425.50$ $N,Ed/Nt,Rd=0.05$

- Verifica freccia massima carichi totali - CC 22
 $f_{z,g}=0.02$ (L/27070)

- Verifica freccia massima per soli carichi accidentali - CC 22
 $f_{z,g}=0.01$ (L/52752)

Asta n. 1402 (1053 54) Sez. 5 UPN100 Crit. 3

- Verifica a trazione (4.2.4.1.2.1) - CC 9 SLV $X_l=0.00$ - Classe 1
Sollecitazioni: $N=1566.25$
Verifica a trazione [4.2.5]
 $N,Ed=1566.25$ $N_{pl},Rd=35889.70$ $Nu,Rd=42425.50$ $N,Ed/Nt,Rd=0.04$

- Verifica freccia massima carichi totali - CC 22
 $f_{z,g}=0.02$ (L/27733)

- Verifica freccia massima per soli carichi accidentali - CC 22
 $f_{z,g}=0.01$ (L/54532)

Asta n. 1404 (1074 73) Sez. 5 UPN100 Crit. 3

- Verifica a trazione (4.2.4.1.2.1) - CC 9 SLV $X_l=0.00$ - Classe 1
Sollecitazioni: $N=2203.08$
Verifica a trazione [4.2.5]
 $N,Ed=2203.08$ $N_{pl},Rd=35889.70$ $Nu,Rd=42425.50$ $N,Ed/Nt,Rd=0.06$

- Verifica freccia massima carichi totali - CC 22
 $f_{z,g}=0.01$ (L/49412)

- Verifica freccia massima per soli carichi accidentali - CC 22
 $f_{z,g}=0.00$ (L/167635)

Asta n. 1406 (1093 94) Sez. 5 UPN100 Crit. 3

Relazione di calcolo

- Verifica a trazione (4.2.4.1.2.1) - CC 1 SLV $X_1=0.00$ - Classe 1
Sollecitazioni: $N=1866.59$
Verifica a trazione [4.2.5]
 $N,Ed=1866.59$ $N_{pl},Rd=35889.70$ $Nu,Rd=42425.50$ $N,Ed/Nt,Rd=0.05$

- Verifica freccia massima carichi totali - CC 22
 $f_{z,g}=0.02$ (L/27398)

- Verifica freccia massima per soli carichi accidentali - CC 22
 $f_{z,g}=0.01$ (L/52999)

Asta n. 1408 (1113 114) Sez. 5 UPN100 Crit. 3

- Verifica a trazione (4.2.4.1.2.1) - CC 1 SLV $X_1=0.00$ - Classe 1
Sollecitazioni: $N=2124.01$
Verifica a trazione [4.2.5]
 $N,Ed=2124.01$ $N_{pl},Rd=35889.70$ $Nu,Rd=42425.50$ $N,Ed/Nt,Rd=0.06$

- Verifica freccia massima carichi totali - CC 22
 $f_{z,g}=0.02$ (L/25006)

- Verifica freccia massima per soli carichi accidentali - CC 22
 $f_{z,g}=0.01$ (L/49628)

Asta n. 1415 (57 1067) Sez. 5 UPN100 Crit. 3

- Verifica a trazione (4.2.4.1.2.1) - CC 13 SLV $X_1=0.00$ - Classe 1
Sollecitazioni: $N=5500.65$
Verifica a trazione [4.2.5]
 $N,Ed=5500.65$ $N_{pl},Rd=35889.70$ $Nu,Rd=42425.50$ $N,Ed/Nt,Rd=0.15$

- Verifica freccia massima carichi totali - CC 22
 $f_{z,g}=0.01$ (L/51263)

- Verifica freccia massima per soli carichi accidentali - CC 22
 $f_{z,g}=0.00$ (L/114110)

Asta n. 1421 (1020 1010) Sez. 2 IPE270 Crit. 2

- Verifica a flessione YY [4.2.13] - CC 1 SND $X_1=2.50$ - Classe 3
Sollecitazioni: $M_y=-3375.98$
 $M_y,Ed=-3375.98$ $M_y,c,Rd=14500.40$ $M_y,Ed/M_y,c,Rd=0.23$

- Verifica a taglio dir. Z [4.2.16] - CC 17 SLU $X_1=0.00$ - Classe 1
Sollecitazioni: $T_z=4989.83$
 $V,Ed=4989.83$ $V_c,Rd=43217.20$ $V,Ed/V_c,Rd=0.12$

- Verifica a presso o tenso-flessione retta YY (4.2.4.1.2.7) - CC 17 SLU $X_1=2.50$ - Classe 1
Sollecitazioni: $N=5789.22$ $M_y=-6237.29$
 $M_y,Ed=-6237.29$ $M_y,c,Rd=16436.40$
 $N,Ed=5789.22$ $N_c,Rd=155342.00$ $YY\ n=N,Ed/N_c,Rd=0.04$ $MN_y,c,Rd=16436.40$ $M_y,Ed/MN_y,c,Rd=0.38$

- Verifica di stabilità aste inflesse (4.2.4.1.3.2) CC 17 SLU - Classe 1
 $L_{cr}=5.00$ Curva b: $\alpha_{imp}=0.34$ $k_c=0.94$ $\psi=1.75$ $M_{cr}=13579.60$ $\lambda_{LT}=1.13$
 $\lambda_{LT,0}=0.40$ $\Phi_{LT}=0.75$ $\beta_{LT}=1.10$ $\beta_{LT}=0.75$ $f=0.98$ $\chi_{LT}=0.64$
 $M_y,Ed=-6237.29$ $M_y,b,Rd=10471.50$ $M_y,Ed/M_y,b,Rd=0.60$

- Verifica di stabilità aste presso-inflesse (C4.2.4.1.3.3.2) - CC 19 SLU - Classe 1
Sollecitazioni: $N,Ed=-5789.22$ $M_y,Ed=-5983.93$ $L=5.00$
 $\alpha_{my}, \alpha_{mz}, \alpha_{LT}=0.95, 0.95, 0.95$
 $L_{cr}=5.00$ Curva b: $\alpha_{imp}=0.34$ $k_c=0.94$ $\psi=1.75$ $M_{cr}=13579.60$ $\lambda_{LT}=1.13$
 $\lambda_{LT,0}=0.40$ $\Phi_{LT}=1.10$ $\beta_{LT}=0.75$ $f=0.98$ $\chi_{LT}=0.64$
 $\lambda_y=44.54$ $N_{cr,y}=480014.00$ $\lambda^*_y=0.58$ Curva a: $\Phi_y=0.71$ $\chi_y=0.90$
 $\lambda_z=165.40$ $N_{cr,z}=34809.20$ $\lambda^*_z=2.16$ Curva b: $\Phi_z=3.18$ $\chi_z=0.18$
 $K_{yy}, K_{yz}, K_{zy}, K_{zz}=0.97, 0.73, 0.00, 1.22$
Verifica YY: $0.04+0.55=0.59$
Verifica ZZ: $0.21=0.21$

- Verifica freccia massima carichi totali - CC 22
 $f_{z,L}=0.94$ (L/531)

- Verifica freccia massima per soli carichi accidentali - CC 22
 $f_{z,L}=0.43$ (L/1151)

Asta n. 1421 (1030 1020) Sez. 2 IPE270 Crit. 2

- Verifica a flessione YY [4.2.13] - CC 1 SND $X_1=2.50$ - Classe 3
Sollecitazioni: $M_y=-1744.35$
 $M_y,Ed=-1744.35$ $M_y,c,Rd=14500.40$ $M_y,Ed/M_y,c,Rd=0.12$

Relazione di calcolo

- Verifica a taglio dir. Z [4.2.16] - CC 17 SLU $X_l=5.00$ - Classe 1
Sollecitazioni: $T_z=-2553.52$
 $V,Ed=-2553.52$ $V_c,Rd=43217.20$ $V,Ed/V_c,Rd=0.06$
- Verifica in termini tensionali [4.2.4] - CC 19 SLU $X_l=2.27$ - Classe 3
Sollecitazioni: $N=-5789.22$ $T_z=222.93$ $M_y=-3039.89$
Tensioni: $\sigma_N=-126.00$ $\sigma_{m,d}=-708.79$ $\tau=0.00$ $\sigma_{max}=-834.79$ (sfrut=0.25)
Tensioni: $\sigma_N=-126.00$ $\sigma_{m,d}=0.00$ $\tau=15.01$ $\tau_{max}=15.01$ (sfrut=0.01)
Tensioni: $\sigma_N=-126.00$ $\sigma_{m,d}=-708.79$ $\tau=0.00$ $\sigma_{ID,max}=834.79$ (sfrut=0.25)
- Verifica di stabilità aste inflesse (4.2.4.1.3.2) CC 17 SLU - Classe 1
 $L_{cr}=5.00$ Curva b: $\alpha_{imp}=0.34$ $k_c=0.94$ $\psi=1.75$ $M_{cr}=13579.60$ $\lambda_{LT}=1.13$
 $\lambda_{LT,0}=0.40$ $\beta_{LT}=0.75$ $\Phi_{LT}=1.10$ $\beta_{LT}=0.75$ $f=0.98$ $\chi_{LT}=0.64$
 $M_y,Ed=-3191.90$ $M_y,b,Rd=10471.50$ $M_y,Ed/M_y,b,Rd=0.30$
- Verifica di stabilità aste presso-inflesse (C4.2.4.1.3.3.2) - CC 19 SLU - Classe 1
Sollecitazioni: $N,Ed=-5789.22$ $M_y,Ed=-3065.22$ $L=5.00$
 α_{my} , α_{mz} , $\alpha_{LT}=0.95$, 0.95 , 0.95
 $L_{cr}=5.00$ Curva b: $\alpha_{imp}=0.34$ $k_c=0.94$ $\psi=1.75$ $M_{cr}=13579.60$ $\lambda_{LT}=1.13$
 $\lambda_{LT,0}=0.40$ $\Phi_{LT}=1.10$ $\beta_{LT}=0.75$ $f=0.98$ $\chi_{LT}=0.64$
 $\lambda_y=44.54$ $N_{cr,y}=480014.00$ $\lambda^*_y=0.58$ Curva a: $\Phi_y=0.71$ $\chi_y=0.90$
 $\lambda_z=165.40$ $N_{cr,z}=34809.20$ $\lambda^*_z=2.16$ Curva b: $\Phi_z=3.18$ $\chi_z=0.18$
 K_{yy} , K_{yz} , K_{zy} , $K_{zz}=0.97$, 0.73 , 0.00 , 1.22
Verifica YY: $0.04+0.28=0.32$
Verifica ZZ: $0.21=0.21$
- Verifica freccia massima carichi totali - CC 22
 $f_{z,L}=0.48$ (L/1037)
- Verifica freccia massima per soli carichi accidentali - CC 22
 $f_{z,L}=0.22$ (L/2303)
- Asta n. 1421 (1040 1030) Sez. 2 IPE270 Crit. 2

- Verifica a flessione YY [4.2.13] - CC 1 SND $X_l=2.50$ - Classe 3
Sollecitazioni: $M_y=-3375.98$
 $M_y,Ed=-3375.98$ $M_y,c,Rd=14500.40$ $M_y,Ed/M_y,c,Rd=0.23$
- Verifica a taglio dir. Z [4.2.16] - CC 17 SLU $X_l=0.00$ - Classe 1
Sollecitazioni: $T_z=4989.83$
 $V,Ed=4989.83$ $V_c,Rd=43217.20$ $V,Ed/V_c,Rd=0.12$
- Verifica a presso o tenso-flessione retta YY (4.2.4.1.2.7) - CC 17 SLU $X_l=2.50$ - Classe 1
Sollecitazioni: $N=5789.22$ $M_y=-6237.29$
 $M_y,Ed=-6237.29$ $M_y,c,Rd=16436.40$
 $N,Ed=5789.22$ $N_c,Rd=155342.00$ YY $n=N,Ed/N_c,Rd=0.04$ $MN_y,c,Rd=16436.40$ $M_y,Ed/MN_y,c,Rd=0.38$
- Verifica di stabilità aste inflesse (4.2.4.1.3.2) CC 17 SLU - Classe 1
 $L_{cr}=5.00$ Curva b: $\alpha_{imp}=0.34$ $k_c=0.94$ $\psi=1.75$ $M_{cr}=13579.60$ $\lambda_{LT}=1.13$
 $\lambda_{LT,0}=0.40$ $\beta_{LT}=0.75$ $\Phi_{LT}=1.10$ $\beta_{LT}=0.75$ $f=0.98$ $\chi_{LT}=0.64$
 $M_y,Ed=-6237.29$ $M_y,b,Rd=10471.50$ $M_y,Ed/M_y,b,Rd=0.60$
- Verifica di stabilità aste presso-inflesse (C4.2.4.1.3.3.2) - CC 19 SLU - Classe 1
Sollecitazioni: $N,Ed=-5789.22$ $M_y,Ed=-5983.93$ $L=5.00$
 α_{my} , α_{mz} , $\alpha_{LT}=0.95$, 0.95 , 0.95
 $L_{cr}=5.00$ Curva b: $\alpha_{imp}=0.34$ $k_c=0.94$ $\psi=1.75$ $M_{cr}=13579.60$ $\lambda_{LT}=1.13$
 $\lambda_{LT,0}=0.40$ $\Phi_{LT}=1.10$ $\beta_{LT}=0.75$ $f=0.98$ $\chi_{LT}=0.64$
 $\lambda_y=44.54$ $N_{cr,y}=480014.00$ $\lambda^*_y=0.58$ Curva a: $\Phi_y=0.71$ $\chi_y=0.90$
 $\lambda_z=165.40$ $N_{cr,z}=34809.20$ $\lambda^*_z=2.16$ Curva b: $\Phi_z=3.18$ $\chi_z=0.18$
 K_{yy} , K_{yz} , K_{zy} , $K_{zz}=0.97$, 0.73 , 0.00 , 1.22
Verifica YY: $0.04+0.55=0.59$
Verifica ZZ: $0.21=0.21$
- Verifica freccia massima carichi totali - CC 22
 $f_{z,L}=0.94$ (L/531)
- Verifica freccia massima per soli carichi accidentali - CC 22
 $f_{z,L}=0.43$ (L/1151)
- Asta n. 1421 (1050 1040) Sez. 2 IPE270 Crit. 2

- Verifica a flessione YY [4.2.13] - CC 1 SND $X_l=2.50$ - Classe 3
Sollecitazioni: $M_y=-3375.98$
 $M_y,Ed=-3375.98$ $M_y,c,Rd=14500.40$ $M_y,Ed/M_y,c,Rd=0.23$
- Verifica a taglio dir. Z [4.2.16] - CC 17 SLU $X_l=0.00$ - Classe 1
Sollecitazioni: $T_z=4989.83$
 $V,Ed=4989.83$ $V_c,Rd=43217.20$ $V,Ed/V_c,Rd=0.12$

Relazione di calcolo

- Verifica a presso o tenso-flessione retta YY (4.2.4.1.2.7) - CC 17 SLU $X_l=2.50$ - Classe 1
Sollecitazioni: $N=5789.22$ $M_y=-6237.29$
 $M_y,Ed=-6237.29$ $M_y,c,Rd=16436.40$
 $N,Ed=5789.22$ $N_c,Rd=155342.00$ YY $n=N,Ed/N_c,Rd=0.04$ $MN_y,c,Rd=16436.40$ $M_y,Ed/MN_y,c,Rd=0.38$
- Verifica di stabilità aste inflesse (4.2.4.1.3.2) CC 17 SLU - Classe 1
 $L_{cr}=5.00$ Curva b: $\alpha_{imp}=0.34$ $k_c=0.94$ $\psi=1.75$ $M_{cr}=13579.60$ $\lambda_{LT}=1.13$
 $\lambda_{LT,0}=0.40$ $\beta_{LT}=0.75$ $\Phi_{LT}=1.10$ $\beta_{LT}=0.75$ $f=0.98$ $\chi_{LT}=0.64$
 $M_y,Ed=-6237.29$ $M_y,b,Rd=10471.50$ $M_y,Ed/M_y,b,Rd=0.60$
- Verifica di stabilità aste presso-inflesse (C4.2.4.1.3.3.2) - CC 19 SLU - Classe 1
Sollecitazioni: $N,Ed=-5789.22$ $M_y,Ed=-5983.93$ $L=5.00$
 $\alpha_{my}, \alpha_{mz}, \alpha_{LT}=0.95, 0.95, 0.95$
 $L_{cr}=5.00$ Curva b: $\alpha_{imp}=0.34$ $k_c=0.94$ $\psi=1.75$ $M_{cr}=13579.60$ $\lambda_{LT}=1.13$
 $\lambda_{LT,0}=0.40$ $\Phi_{LT}=1.10$ $\beta_{LT}=0.75$ $f=0.98$ $\chi_{LT}=0.64$
 $\lambda_y=44.54$ $N_{cr,y}=480014.00$ $\lambda_y^*=0.58$ Curva a: $\Phi_y=0.71$ $\chi_y=0.90$
 $\lambda_z=165.40$ $N_{cr,z}=34809.20$ $\lambda_z^*=2.16$ Curva b: $\Phi_z=3.18$ $\chi_z=0.18$
 $K_{yy}, K_{yz}, K_{zy}, K_{zz}=0.97, 0.73, 0.00, 1.22$
Verifica YY: $0.04+0.55=0.59$
Verifica ZZ: $0.21=0.21$
- Verifica freccia massima carichi totali - CC 22
 $f_{z,L}=0.94$ (L/531)
- Verifica freccia massima per soli carichi accidentali - CC 22
 $f_{z,L}=0.43$ (L/1151)
- Asta n. 1421 (1060 1050) Sez. 2 IPE270 Crit. 2

- Verifica a flessione YY [4.2.13] - CC 1 SND $X_l=2.50$ - Classe 3
Sollecitazioni: $M_y=-3375.98$
 $M_y,Ed=-3375.98$ $M_y,c,Rd=14500.40$ $M_y,Ed/M_y,c,Rd=0.23$
- Verifica a taglio dir. Z [4.2.16] - CC 17 SLU $X_l=0.00$ - Classe 1
Sollecitazioni: $T_z=4989.83$
 $V,Ed=4989.83$ $V_c,Rd=43217.20$ $V,Ed/V_c,Rd=0.12$
- Verifica a presso o tenso-flessione retta YY (4.2.4.1.2.7) - CC 17 SLU $X_l=2.50$ - Classe 1
Sollecitazioni: $N=5789.22$ $M_y=-6237.29$
 $M_y,Ed=-6237.29$ $M_y,c,Rd=16436.40$
 $N,Ed=5789.22$ $N_c,Rd=155342.00$ YY $n=N,Ed/N_c,Rd=0.04$ $MN_y,c,Rd=16436.40$ $M_y,Ed/MN_y,c,Rd=0.38$
- Verifica di stabilità aste inflesse (4.2.4.1.3.2) CC 17 SLU - Classe 1
 $L_{cr}=5.00$ Curva b: $\alpha_{imp}=0.34$ $k_c=0.94$ $\psi=1.75$ $M_{cr}=13579.60$ $\lambda_{LT}=1.13$
 $\lambda_{LT,0}=0.40$ $\beta_{LT}=0.75$ $\Phi_{LT}=1.10$ $\beta_{LT}=0.75$ $f=0.98$ $\chi_{LT}=0.64$
 $M_y,Ed=-6237.29$ $M_y,b,Rd=10471.50$ $M_y,Ed/M_y,b,Rd=0.60$
- Verifica di stabilità aste presso-inflesse (C4.2.4.1.3.3.2) - CC 19 SLU - Classe 1
Sollecitazioni: $N,Ed=-5789.22$ $M_y,Ed=-5983.93$ $L=5.00$
 $\alpha_{my}, \alpha_{mz}, \alpha_{LT}=0.95, 0.95, 0.95$
 $L_{cr}=5.00$ Curva b: $\alpha_{imp}=0.34$ $k_c=0.94$ $\psi=1.75$ $M_{cr}=13579.60$ $\lambda_{LT}=1.13$
 $\lambda_{LT,0}=0.40$ $\Phi_{LT}=1.10$ $\beta_{LT}=0.75$ $f=0.98$ $\chi_{LT}=0.64$
 $\lambda_y=44.54$ $N_{cr,y}=480014.00$ $\lambda_y^*=0.58$ Curva a: $\Phi_y=0.71$ $\chi_y=0.90$
 $\lambda_z=165.40$ $N_{cr,z}=34809.20$ $\lambda_z^*=2.16$ Curva b: $\Phi_z=3.18$ $\chi_z=0.18$
 $K_{yy}, K_{yz}, K_{zy}, K_{zz}=0.97, 0.73, 0.00, 1.22$
Verifica YY: $0.04+0.55=0.59$
Verifica ZZ: $0.21=0.21$
- Verifica freccia massima carichi totali - CC 22
 $f_{z,L}=0.94$ (L/531)
- Verifica freccia massima per soli carichi accidentali - CC 22
 $f_{z,L}=0.43$ (L/1151)
- Asta n. 1421 (1070 1060) Sez. 2 IPE270 Crit. 2

- Verifica a flessione YY [4.2.13] - CC 1 SND $X_l=2.50$ - Classe 3
Sollecitazioni: $M_y=-1744.35$
 $M_y,Ed=-1744.35$ $M_y,c,Rd=14500.40$ $M_y,Ed/M_y,c,Rd=0.12$
- Verifica a taglio dir. Z [4.2.16] - CC 17 SLU $X_l=5.00$ - Classe 1
Sollecitazioni: $T_z=-2553.52$
 $V,Ed=-2553.52$ $V_c,Rd=43217.20$ $V,Ed/V_c,Rd=0.06$
- Verifica in termini tensionali [4.2.4] - CC 19 SLU $X_l=2.27$ - Classe 3
Sollecitazioni: $N=-5789.22$ $T_z=222.93$ $M_y=-3039.89$
Tensioni: $\sigma_N=-126.00$ $\sigma_{m,d}=-708.79$ $\tau=0.00$ $\sigma_{max}=-834.79$ (sfrut=0.25)
Tensioni: $\sigma_N=-126.00$ $\sigma_{m,d}=0.00$ $\tau=15.01$ $\tau_{max}=15.01$ (sfrut=0.01)
Tensioni: $\sigma_N=-126.00$ $\sigma_{m,d}=-708.79$ $\tau=0.00$ $\sigma_{ID,max}=834.79$ (sfrut=0.25)

- Verifica di stabilità aste inflesse (4.2.4.1.3.2) CC 17 SLU - Classe 1
 $L_{cr}=5.00$ Curva b: $\alpha_{imp}=0.34$ $k_c=0.94$ $\psi=1.75$ $M_{cr}=13579.60$ $\lambda_{LT}=1.13$
 $\lambda_{LT,0}=0.40$ $\beta_{LT}=0.75$ $\Phi_{LT}=1.10$ $\beta_{LT}=0.75$ $f=0.98$ $\chi_{LT}=0.64$
 $M_{y,Ed}=-3191.90$ $M_{y,b,Rd}=10471.50$ $M_{y,Ed}/M_{y,b,Rd}=0.30$

- Verifica di stabilità aste presso-inflesse (C4.2.4.1.3.3.2) - CC 19 SLU - Classe 1
Sollecitazioni: $N_{Ed}=-5789.22$ $M_{y,Ed}=-3065.22$ $L=5.00$
 α_{my} , α_{mz} , $\alpha_{LT}=0.95$, 0.95 , 0.95
 $L_{cr}=5.00$ Curva b: $\alpha_{imp}=0.34$ $k_c=0.94$ $\psi=1.75$ $M_{cr}=13579.60$ $\lambda_{LT}=1.13$
 $\lambda_{LT,0}=0.40$ $\Phi_{LT}=1.10$ $\beta_{LT}=0.75$ $f=0.98$ $\chi_{LT}=0.64$
 $\lambda_y=44.54$ $N_{cr,y}=480014.00$ $\lambda^*_y=0.58$ Curva a: $\Phi_y=0.71$ $\chi_y=0.90$
 $\lambda_z=165.40$ $N_{cr,z}=34809.20$ $\lambda^*_z=2.16$ Curva b: $\Phi_z=3.18$ $\chi_z=0.18$
 K_{yy} , K_{yz} , K_{zy} , $K_{zz}=0.97$, 0.73 , 0.00 , 1.22
Verifica YY: $0.04+0.28=0.32$
Verifica ZZ: $0.21=0.21$

- Verifica freccia massima carichi totali - CC 22
 $f_{z,L}=0.48$ (L/1037)

- Verifica freccia massima per soli carichi accidentali - CC 22
 $f_{z,L}=0.22$ (L/2303)

Asta n. 1421 (1080 1070) Sez. 2 IPE270 Crit. 2

- Verifica a flessione YY [4.2.13] - CC 1 SMD $X_l=2.50$ - Classe 3
Sollecitazioni: $M_{y,Ed}=-3375.98$
 $M_{y,Ed}=-3375.98$ $M_{y,c,Rd}=14500.40$ $M_{y,Ed}/M_{y,c,Rd}=0.23$

- Verifica a taglio dir. Z [4.2.16] - CC 17 SLU $X_l=0.00$ - Classe 1
Sollecitazioni: $T_z=4989.83$
 $V_{Ed}=4989.83$ $V_{c,Rd}=43217.20$ $V_{Ed}/V_{c,Rd}=0.12$

- Verifica a presso o tenso-flessione retta YY (4.2.4.1.2.7) - CC 17 SLU $X_l=2.50$ - Classe 1
Sollecitazioni: $N=5789.22$ $M_{y,Ed}=-6237.29$
 $M_{y,Ed}=-6237.29$ $M_{y,c,Rd}=16436.40$
 $N_{Ed}=5789.22$ $N_{c,Rd}=155342.00$ YY $n=N_{Ed}/N_{c,Rd}=0.04$ $M_{Ny,c,Rd}=16436.40$ $M_{y,Ed}/M_{Ny,c,Rd}=0.38$

- Verifica di stabilità aste inflesse (4.2.4.1.3.2) CC 17 SLU - Classe 1
 $L_{cr}=5.00$ Curva b: $\alpha_{imp}=0.34$ $k_c=0.94$ $\psi=1.75$ $M_{cr}=13579.60$ $\lambda_{LT}=1.13$
 $\lambda_{LT,0}=0.40$ $\beta_{LT}=0.75$ $\Phi_{LT}=1.10$ $\beta_{LT}=0.75$ $f=0.98$ $\chi_{LT}=0.64$
 $M_{y,Ed}=-6237.29$ $M_{y,b,Rd}=10471.50$ $M_{y,Ed}/M_{y,b,Rd}=0.60$

- Verifica di stabilità aste presso-inflesse (C4.2.4.1.3.3.2) - CC 19 SLU - Classe 1
Sollecitazioni: $N_{Ed}=-5789.22$ $M_{y,Ed}=-5983.93$ $L=5.00$
 α_{my} , α_{mz} , $\alpha_{LT}=0.95$, 0.95 , 0.95
 $L_{cr}=5.00$ Curva b: $\alpha_{imp}=0.34$ $k_c=0.94$ $\psi=1.75$ $M_{cr}=13579.60$ $\lambda_{LT}=1.13$
 $\lambda_{LT,0}=0.40$ $\Phi_{LT}=1.10$ $\beta_{LT}=0.75$ $f=0.98$ $\chi_{LT}=0.64$
 $\lambda_y=44.54$ $N_{cr,y}=480014.00$ $\lambda^*_y=0.58$ Curva a: $\Phi_y=0.71$ $\chi_y=0.90$
 $\lambda_z=165.40$ $N_{cr,z}=34809.20$ $\lambda^*_z=2.16$ Curva b: $\Phi_z=3.18$ $\chi_z=0.18$
 K_{yy} , K_{yz} , K_{zy} , $K_{zz}=0.97$, 0.73 , 0.00 , 1.22
Verifica YY: $0.04+0.55=0.59$
Verifica ZZ: $0.21=0.21$

- Verifica freccia massima carichi totali - CC 22
 $f_{z,L}=0.94$ (L/531)

- Verifica freccia massima per soli carichi accidentali - CC 22
 $f_{z,L}=0.43$ (L/1151)

Asta n. 1421 (1090 1080) Sez. 2 IPE270 Crit. 2

- Verifica a flessione YY [4.2.13] - CC 1 SMD $X_l=2.50$ - Classe 3
Sollecitazioni: $M_{y,Ed}=-3375.98$
 $M_{y,Ed}=-3375.98$ $M_{y,c,Rd}=14500.40$ $M_{y,Ed}/M_{y,c,Rd}=0.23$

- Verifica a taglio dir. Z [4.2.16] - CC 17 SLU $X_l=0.00$ - Classe 1
Sollecitazioni: $T_z=4989.83$
 $V_{Ed}=4989.83$ $V_{c,Rd}=43217.20$ $V_{Ed}/V_{c,Rd}=0.12$

- Verifica a presso o tenso-flessione retta YY (4.2.4.1.2.7) - CC 17 SLU $X_l=2.50$ - Classe 1
Sollecitazioni: $N=5789.22$ $M_{y,Ed}=-6237.29$
 $M_{y,Ed}=-6237.29$ $M_{y,c,Rd}=16436.40$
 $N_{Ed}=5789.22$ $N_{c,Rd}=155342.00$ YY $n=N_{Ed}/N_{c,Rd}=0.04$ $M_{Ny,c,Rd}=16436.40$ $M_{y,Ed}/M_{Ny,c,Rd}=0.38$

- Verifica di stabilità aste inflesse (4.2.4.1.3.2) CC 17 SLU - Classe 1
 $L_{cr}=5.00$ Curva b: $\alpha_{imp}=0.34$ $k_c=0.94$ $\psi=1.75$ $M_{cr}=13579.60$ $\lambda_{LT}=1.13$
 $\lambda_{LT,0}=0.40$ $\beta_{LT}=0.75$ $\Phi_{LT}=1.10$ $\beta_{LT}=0.75$ $f=0.98$ $\chi_{LT}=0.64$
 $M_{y,Ed}=-6237.29$ $M_{y,b,Rd}=10471.50$ $M_{y,Ed}/M_{y,b,Rd}=0.60$

- Verifica di stabilità aste presso-inflesse (C4.2.4.1.3.3.2) - CC 19 SLU - Classe 1
Sollecitazioni: $N, Ed = -5789.22 \text{ My}, Ed = -5983.93 \text{ L} = 5.00$
 $\alpha_{my}, \alpha_{mz}, \alpha_{LT} = 0.95, 0.95, 0.95$
 $L_{cr} = 5.00$ Curva b: $\alpha_{imp} = 0.34 \text{ } k_c = 0.94 \text{ } \psi = 1.75 \text{ M}, cr = 13579.60 \text{ } \lambda_{LT} = 1.13$
 $\lambda_{LT,0} = 0.40 \text{ } \Phi_{LT} = 1.10 \text{ } \beta_{LT} = 0.75 \text{ } f = 0.98 \text{ } \chi_{LT} = 0.64$
 $\lambda_y = 44.54 \text{ Ncr}, y = 480014.00 \text{ } \lambda_y^* = 0.58$ Curva a: $\Phi_y = 0.71 \text{ } \chi_y = 0.90$
 $\lambda_z = 165.40 \text{ Ncr}, z = 34809.20 \text{ } \lambda_z^* = 2.16$ Curva b: $\Phi_z = 3.18 \text{ } \chi_z = 0.18$
 $K_{yy}, K_{yz}, K_{zy}, K_{zz} = 0.97, 0.73, 0.00, 1.22$
Verifica YY: $0.04 + 0.55 = 0.59$
Verifica ZZ: $0.21 = 0.21$
 - Verifica freccia massima carichi totali - CC 22
 $f_{z,L} = 0.94 \text{ (L/531)}$
 - Verifica freccia massima per soli carichi accidentali - CC 22
 $f_{z,g} = 0.43 \text{ (L/1151)}$
- Asta n. 1421 (1100 1090) Sez. 2 IPE270 Crit. 2
-
- Verifica a flessione YY [4.2.13] - CC 1 SND $X_l = 2.50$ - Classe 3
Sollecitazioni: $M_y = -3375.98$
 $M_y, Ed = -3375.98 \text{ } M_y, c, Rd = 14500.40 \text{ } M_y, Ed/M_y, c, Rd = 0.23$
 - Verifica a taglio dir. Z [4.2.16] - CC 17 SLU $X_l = 0.00$ - Classe 1
Sollecitazioni: $T_z = 4989.83$
 $V, Ed = 4989.83 \text{ } V_c, Rd = 43217.20 \text{ } V, Ed/V_c, Rd = 0.12$
 - Verifica a presso o tenso-flessione retta YY (4.2.4.1.2.7) - CC 17 SLU $X_l = 2.50$ - Classe 1
Sollecitazioni: $N = 5789.22 \text{ } M_y = -6237.29$
 $M_y, Ed = -6237.29 \text{ } M_y, c, Rd = 16436.40$
 $N, Ed = 5789.22 \text{ } N_c, Rd = 155342.00 \text{ } YY \text{ } n = N, Ed/N_c, Rd = 0.04 \text{ } MN_y, c, Rd = 16436.40 \text{ } M_y, Ed/MN_y, c, Rd = 0.38$
 - Verifica di stabilità aste inflesse (4.2.4.1.3.2) CC 17 SLU - Classe 1
 $L_{cr} = 5.00$ Curva b: $\alpha_{imp} = 0.34 \text{ } k_c = 0.94 \text{ } \psi = 1.75 \text{ M}, cr = 13579.60 \text{ } \lambda_{LT} = 1.13$
 $\lambda_{LT,0} = 0.40 \text{ } \beta_{LT} = 0.75 \text{ } \Phi_{LT} = 1.10 \text{ } \beta_{LT} = 0.75 \text{ } f = 0.98 \text{ } \chi_{LT} = 0.64$
 $M_y, Ed = -6237.29 \text{ } M_y, b, Rd = 10471.50 \text{ } M_y, Ed/M_y, b, Rd = 0.60$
 - Verifica di stabilità aste presso-inflesse (C4.2.4.1.3.3.2) - CC 19 SLU - Classe 1
Sollecitazioni: $N, Ed = -5789.22 \text{ My}, Ed = -5983.93 \text{ L} = 5.00$
 $\alpha_{my}, \alpha_{mz}, \alpha_{LT} = 0.95, 0.95, 0.95$
 $L_{cr} = 5.00$ Curva b: $\alpha_{imp} = 0.34 \text{ } k_c = 0.94 \text{ } \psi = 1.75 \text{ M}, cr = 13579.60 \text{ } \lambda_{LT} = 1.13$
 $\lambda_{LT,0} = 0.40 \text{ } \Phi_{LT} = 1.10 \text{ } \beta_{LT} = 0.75 \text{ } f = 0.98 \text{ } \chi_{LT} = 0.64$
 $\lambda_y = 44.54 \text{ Ncr}, y = 480014.00 \text{ } \lambda_y^* = 0.58$ Curva a: $\Phi_y = 0.71 \text{ } \chi_y = 0.90$
 $\lambda_z = 165.40 \text{ Ncr}, z = 34809.20 \text{ } \lambda_z^* = 2.16$ Curva b: $\Phi_z = 3.18 \text{ } \chi_z = 0.18$
 $K_{yy}, K_{yz}, K_{zy}, K_{zz} = 0.97, 0.73, 0.00, 1.22$
Verifica YY: $0.04 + 0.55 = 0.59$
Verifica ZZ: $0.21 = 0.21$
 - Verifica freccia massima carichi totali - CC 22
 $f_{z,L} = 0.94 \text{ (L/531)}$
 - Verifica freccia massima per soli carichi accidentali - CC 22
 $f_{z,L} = 0.43 \text{ (L/1151)}$
- Asta n. 1421 (1110 1100) Sez. 2 IPE270 Crit. 2
-
- Verifica a flessione YY [4.2.13] - CC 1 SND $X_l = 2.50$ - Classe 3
Sollecitazioni: $M_y = -1744.35$
 $M_y, Ed = -1744.35 \text{ } M_y, c, Rd = 14500.40 \text{ } M_y, Ed/M_y, c, Rd = 0.12$
 - Verifica a taglio dir. Z [4.2.16] - CC 17 SLU $X_l = 5.00$ - Classe 1
Sollecitazioni: $T_z = -2553.52$
 $V, Ed = -2553.52 \text{ } V_c, Rd = 43217.20 \text{ } V, Ed/V_c, Rd = 0.06$
 - Verifica in termini tensionali [4.2.4] - CC 19 SLU $X_l = 2.27$ - Classe 3
Sollecitazioni: $N = -5789.22 \text{ } T_z = 222.93 \text{ } M_y = -3039.89$
Tensioni: $\sigma_N = -126.00 \text{ } \sigma_{m,d} = -708.79 \text{ } \tau = 0.00 \text{ } \sigma_{max} = -834.79 \text{ (sfrut} = 0.25)$
Tensioni: $\sigma_N = -126.00 \text{ } \sigma_{m,d} = 0.00 \text{ } \tau = 15.01 \text{ } \tau_{max} = 15.01 \text{ (sfrut} = 0.01)$
Tensioni: $\sigma_N = -126.00 \text{ } \sigma_{m,d} = -708.79 \text{ } \tau = 0.00 \text{ } \sigma_{ID,max} = 834.79 \text{ (sfrut} = 0.25)$
 - Verifica di stabilità aste inflesse (4.2.4.1.3.2) CC 17 SLU - Classe 1
 $L_{cr} = 5.00$ Curva b: $\alpha_{imp} = 0.34 \text{ } k_c = 0.94 \text{ } \psi = 1.75 \text{ M}, cr = 13579.60 \text{ } \lambda_{LT} = 1.13$
 $\lambda_{LT,0} = 0.40 \text{ } \beta_{LT} = 0.75 \text{ } \Phi_{LT} = 1.10 \text{ } \beta_{LT} = 0.75 \text{ } f = 0.98 \text{ } \chi_{LT} = 0.64$
 $M_y, Ed = -3191.90 \text{ } M_y, b, Rd = 10471.50 \text{ } M_y, Ed/M_y, b, Rd = 0.30$
 - Verifica di stabilità aste presso-inflesse (C4.2.4.1.3.3.2) - CC 19 SLU - Classe 1
Sollecitazioni: $N, Ed = -5789.22 \text{ My}, Ed = -3065.22 \text{ L} = 5.00$
 $\alpha_{my}, \alpha_{mz}, \alpha_{LT} = 0.95, 0.95, 0.95$

Relazione di calcolo

$L_{cr}=5.00$ Curva b: $\alpha_{imp}=0.34$ $k_c=0.94$ $\psi=1.75$ $M_{cr}=13579.60$ $\lambda_{LT}=1.13$
 $\lambda_{LT,0}=0.40$ $\Phi_{LT}=1.10$ $\beta_{LT}=0.75$ $f=0.98$ $\chi_{LT}=0.64$
 $\lambda_y=44.54$ $N_{cr,y}=480014.00$ $\lambda_y^*=0.58$ Curva a: $\Phi_y=0.71$ $\chi_y=0.90$
 $\lambda_z=165.40$ $N_{cr,z}=34809.20$ $\lambda_z^*=2.16$ Curva b: $\Phi_z=3.18$ $\chi_z=0.18$
 $K_{yy}, K_{yz}, K_{zy}, K_{zz}=0.97, 0.73, 0.00, 1.22$
Verifica YY: $0.04+0.28=0.32$
Verifica ZZ: $0.21=0.21$

- Verifica freccia massima carichi totali - CC 22
 $f_{z,L}=0.48$ (L/1037)

- Verifica freccia massima per soli carichi accidentali - CC 22
 $f_{z,L}=0.22$ (L/2303)

Asta n. 1421 (1119 1110) Sez. 2 IPE270 Crit. 2

- Verifica a flessione YY [4.2.13] - CC 1 SND $X_1=2.50$ - Classe 3
Sollecitazioni: $M_y=-3375.98$
 $M_y,Ed=-3375.98$ $M_y,c,Rd=14500.40$ $M_y,Ed/M_y,c,Rd=0.23$

- Verifica a taglio dir. Z [4.2.16] - CC 17 SLU $X_1=0.00$ - Classe 1
Sollecitazioni: $T_z=4989.83$
 $V,Ed=4989.83$ $V_c,Rd=43217.20$ $V,Ed/V_c,Rd=0.12$

- Verifica a presso o tenso-flessione retta YY (4.2.4.1.2.7) - CC 17 SLU $X_1=2.50$ - Classe 1
Sollecitazioni: $N=5789.22$ $M_y=-6237.29$
 $M_y,Ed=-6237.29$ $M_y,c,Rd=16436.40$
 $N,Ed=5789.22$ $N_c,Rd=155342.00$ YY $n=N,Ed/N_c,Rd=0.04$ $MN_y,c,Rd=16436.40$ $M_y,Ed/MN_y,c,Rd=0.38$

- Verifica di stabilità aste inflesse (4.2.4.1.3.2) CC 17 SLU - Classe 1
 $L_{cr}=5.00$ Curva b: $\alpha_{imp}=0.34$ $k_c=0.94$ $\psi=1.75$ $M_{cr}=13579.60$ $\lambda_{LT}=1.13$
 $\lambda_{LT,0}=0.40$ $\beta_{LT}=0.75$ $\Phi_{LT}=1.10$ $\beta_{LT}=0.75$ $f=0.98$ $\chi_{LT}=0.64$
 $M_y,Ed=-6237.29$ $M_y,b,Rd=10471.50$ $M_y,Ed/M_y,b,Rd=0.60$

- Verifica di stabilità aste presso-inflesse (4.2.4.1.3.3.2) - CC 19 SLU - Classe 1
Sollecitazioni: $N,Ed=-5789.22$ $M_y,Ed=-5983.93$ $L=5.00$
 $\alpha_{my}, \alpha_{mz}, \alpha_{LT}=0.95, 0.95, 0.95$
 $L_{cr}=5.00$ Curva b: $\alpha_{imp}=0.34$ $k_c=0.94$ $\psi=1.75$ $M_{cr}=13579.60$ $\lambda_{LT}=1.13$
 $\lambda_{LT,0}=0.40$ $\Phi_{LT}=1.10$ $\beta_{LT}=0.75$ $f=0.98$ $\chi_{LT}=0.64$
 $\lambda_y=44.54$ $N_{cr,y}=480014.00$ $\lambda_y^*=0.58$ Curva a: $\Phi_y=0.71$ $\chi_y=0.90$
 $\lambda_z=165.40$ $N_{cr,z}=34809.20$ $\lambda_z^*=2.16$ Curva b: $\Phi_z=3.18$ $\chi_z=0.18$
 $K_{yy}, K_{yz}, K_{zy}, K_{zz}=0.97, 0.73, 0.00, 1.22$
Verifica YY: $0.04+0.55=0.59$
Verifica ZZ: $0.21=0.21$

- Verifica freccia massima carichi totali - CC 22
 $f_{z,L}=0.94$ (L/531)

- Verifica freccia massima per soli carichi accidentali - CC 22
 $f_{z,L}=0.43$ (L/1151)

Asta n. 1427 (73 1083) Sez. 5 UPN100 Crit. 3

- Verifica a trazione (4.2.4.1.2.1) - CC 5 SLV $X_1=0.00$ - Classe 1
Sollecitazioni: $N=2846.03$
Verifica a trazione [4.2.5]
 $N,Ed=2846.03$ $N_{pl,Rd}=35889.70$ $N_u,Rd=42425.50$ $N,Ed/N_t,Rd=0.08$

- Verifica freccia massima carichi totali - CC 22
 $f_{z,g}=0.02$ (L/32074)

- Verifica freccia massima per soli carichi accidentali - CC 22
 $f_{z,g}=0.01$ (L/68796)

Asta n. 1448 (1007 1002) Sez. 2 IPE270 Crit. 2

- Verifica a flessione YY [4.2.13] - CC 1 SND $X_1=2.50$ - Classe 3
Sollecitazioni: $M_y=-3375.98$
 $M_y,Ed=-3375.98$ $M_y,c,Rd=14500.40$ $M_y,Ed/M_y,c,Rd=0.23$

- Verifica a taglio dir. Z [4.2.16] - CC 17 SLU $X_1=0.00$ - Classe 1
Sollecitazioni: $T_z=4989.83$
 $V,Ed=4989.83$ $V_c,Rd=43217.20$ $V,Ed/V_c,Rd=0.12$

- Verifica a presso o tenso-flessione retta YY (4.2.4.1.2.7) - CC 17 SLU $X_1=2.50$ - Classe 1
Sollecitazioni: $N=5789.22$ $M_y=-6237.29$
 $M_y,Ed=-6237.29$ $M_y,c,Rd=16436.40$
 $N,Ed=5789.22$ $N_c,Rd=155342.00$ YY $n=N,Ed/N_c,Rd=0.04$ $MN_y,c,Rd=16436.40$ $M_y,Ed/MN_y,c,Rd=0.38$

- Verifica di stabilità aste inflesse (4.2.4.1.3.2) CC 17 SLU - Classe 1

Relazione di calcolo

- $L_{cr}=5.00$ Curva b: $\alpha_{imp}=0.34$ $k_c=0.94$ $\psi=1.75$ $M_{cr}=13579.60$ $\lambda_{LT}=1.13$
 $\lambda_{LT,0}=0.40$ $\beta_{LT}=0.75$ $\Phi_{LT}=1.10$ $\beta_{LT}=0.75$ $f=0.98$ $\chi_{LT}=0.64$
 $M_{y,Ed}=-6237.29$ $M_{y,b,Rd}=10471.50$ $M_{y,Ed}/M_{y,b,Rd}=0.60$
- Verifica di stabilità aste presso-inflesse (C4.2.4.1.3.3.2) - CC 19 SLU - Classe 1
Sollecitazioni: $N_{Ed}=-5789.22$ $M_{y,Ed}=-5983.93$ $L=5.00$
 α_{my} , α_{mz} , $\alpha_{LT}=0.95$, 0.95 , 0.95
 $L_{cr}=5.00$ Curva b: $\alpha_{imp}=0.34$ $k_c=0.94$ $\psi=1.75$ $M_{cr}=13579.60$ $\lambda_{LT}=1.13$
 $\lambda_{LT,0}=0.40$ $\Phi_{LT}=1.10$ $\beta_{LT}=0.75$ $f=0.98$ $\chi_{LT}=0.64$
 $\lambda_y=44.54$ $N_{cr,y}=480014.00$ $\lambda^*_y=0.58$ Curva a: $\Phi_y=0.71$ $\chi_y=0.90$
 $\lambda_z=165.40$ $N_{cr,z}=34809.20$ $\lambda^*_z=2.16$ Curva b: $\Phi_z=3.18$ $\chi_z=0.18$
 K_{yy} , K_{yz} , K_{zy} , $K_{zz}=0.97$, 0.73 , 0.00 , 1.22
Verifica YY: $0.04+0.55=0.59$
Verifica ZZ: $0.21=0.21$
- Verifica freccia massima carichi totali - CC 22
 $f_{z,L}=0.94$ (L/531)
- Verifica freccia massima per soli carichi accidentali - CC 22
 $f_{z,L}=0.43$ (L/1151)
- Asta n. 1448 (1017 1007) Sez. 2 IPE270 Crit. 2

- Verifica a flessione YY [4.2.13] - CC 1 SND $X_l=2.50$ - Classe 3
Sollecitazioni: $M_y=-3375.98$
 $M_{y,Ed}=-3375.98$ $M_{y,c,Rd}=14500.40$ $M_{y,Ed}/M_{y,c,Rd}=0.23$
- Verifica a taglio dir. Z [4.2.16] - CC 17 SLU $X_l=0.00$ - Classe 1
Sollecitazioni: $T_z=4989.83$
 $V_{Ed}=4989.83$ $V_{c,Rd}=43217.20$ $V_{Ed}/V_{c,Rd}=0.12$
- Verifica a presso o tenso-flessione retta YY (4.2.4.1.2.7) - CC 17 SLU $X_l=2.50$ - Classe 1
Sollecitazioni: $N=5789.22$ $M_y=-6237.29$
 $M_{y,Ed}=-6237.29$ $M_{y,c,Rd}=16436.40$
 $N_{Ed}=5789.22$ $N_{c,Rd}=155342.00$ YY $n=N_{Ed}/N_{c,Rd}=0.04$ $MN_{y,c,Rd}=16436.40$ $M_{y,Ed}/MN_{y,c,Rd}=0.38$
- Verifica di stabilità aste inflesse (4.2.4.1.3.2) CC 17 SLU - Classe 1
 $L_{cr}=5.00$ Curva b: $\alpha_{imp}=0.34$ $k_c=0.94$ $\psi=1.75$ $M_{cr}=13579.60$ $\lambda_{LT}=1.13$
 $\lambda_{LT,0}=0.40$ $\beta_{LT}=0.75$ $\Phi_{LT}=1.10$ $\beta_{LT}=0.75$ $f=0.98$ $\chi_{LT}=0.64$
 $M_{y,Ed}=-6237.29$ $M_{y,b,Rd}=10471.50$ $M_{y,Ed}/M_{y,b,Rd}=0.60$
- Verifica di stabilità aste presso-inflesse (C4.2.4.1.3.3.2) - CC 19 SLU - Classe 1
Sollecitazioni: $N_{Ed}=-5789.22$ $M_{y,Ed}=-5983.93$ $L=5.00$
 α_{my} , α_{mz} , $\alpha_{LT}=0.95$, 0.95 , 0.95
 $L_{cr}=5.00$ Curva b: $\alpha_{imp}=0.34$ $k_c=0.94$ $\psi=1.75$ $M_{cr}=13579.60$ $\lambda_{LT}=1.13$
 $\lambda_{LT,0}=0.40$ $\Phi_{LT}=1.10$ $\beta_{LT}=0.75$ $f=0.98$ $\chi_{LT}=0.64$
 $\lambda_y=44.54$ $N_{cr,y}=480014.00$ $\lambda^*_y=0.58$ Curva a: $\Phi_y=0.71$ $\chi_y=0.90$
 $\lambda_z=165.40$ $N_{cr,z}=34809.20$ $\lambda^*_z=2.16$ Curva b: $\Phi_z=3.18$ $\chi_z=0.18$
 K_{yy} , K_{yz} , K_{zy} , $K_{zz}=0.97$, 0.73 , 0.00 , 1.22
Verifica YY: $0.04+0.55=0.59$
Verifica ZZ: $0.21=0.21$
- Verifica freccia massima carichi totali - CC 22
 $f_{z,L}=0.94$ (L/531)
- Verifica freccia massima per soli carichi accidentali - CC 22
 $f_{z,L}=0.43$ (L/1151)
- Asta n. 1448 (1027 1017) Sez. 2 IPE270 Crit. 2

- Verifica a flessione YY [4.2.13] - CC 1 SND $X_l=2.50$ - Classe 3
Sollecitazioni: $M_y=-3375.98$
 $M_{y,Ed}=-3375.98$ $M_{y,c,Rd}=14500.40$ $M_{y,Ed}/M_{y,c,Rd}=0.23$
- Verifica a taglio dir. Z [4.2.16] - CC 17 SLU $X_l=0.00$ - Classe 1
Sollecitazioni: $T_z=4989.83$
 $V_{Ed}=4989.83$ $V_{c,Rd}=43217.20$ $V_{Ed}/V_{c,Rd}=0.12$
- Verifica a presso o tenso-flessione retta YY (4.2.4.1.2.7) - CC 17 SLU $X_l=2.50$ - Classe 1
Sollecitazioni: $N=5789.22$ $M_y=-6237.29$
 $M_{y,Ed}=-6237.29$ $M_{y,c,Rd}=16436.40$
 $N_{Ed}=5789.22$ $N_{c,Rd}=155342.00$ YY $n=N_{Ed}/N_{c,Rd}=0.04$ $MN_{y,c,Rd}=16436.40$ $M_{y,Ed}/MN_{y,c,Rd}=0.38$
- Verifica di stabilità aste inflesse (4.2.4.1.3.2) CC 17 SLU - Classe 1
 $L_{cr}=5.00$ Curva b: $\alpha_{imp}=0.34$ $k_c=0.94$ $\psi=1.75$ $M_{cr}=13579.60$ $\lambda_{LT}=1.13$
 $\lambda_{LT,0}=0.40$ $\beta_{LT}=0.75$ $\Phi_{LT}=1.10$ $\beta_{LT}=0.75$ $f=0.98$ $\chi_{LT}=0.64$
 $M_{y,Ed}=-6237.29$ $M_{y,b,Rd}=10471.50$ $M_{y,Ed}/M_{y,b,Rd}=0.60$
- Verifica di stabilità aste presso-inflesse (C4.2.4.1.3.3.2) - CC 19 SLU - Classe 1

Relazione di calcolo

Sollecitazioni: N,Ed=-5789.22 My,Ed=-5983.93 L=5.00
 α_{my} , α_{mz} , $\alpha_{LT}=0.95$, 0.95, 0.95
 $L_{cr}=5.00$ Curva b: $\alpha_{imp}=0.34$ $k_c=0.94$ $\psi=1.75$ M,cr=13579.60 $\lambda_{LT}=1.13$
 $\lambda_{LT,0}=0.40$ $\Phi_{LT}=1.10$ $\beta_{LT}=0.75$ f=0.98 $\chi_{LT}=0.64$
 $\lambda_y=44.54$ Ncr,y=480014.00 $\lambda_y^*=0.58$ Curva a: $\Phi_y=0.71$ $\chi_y=0.90$
 $\lambda_z=165.40$ Ncr,z=34809.20 $\lambda_z^*=2.16$ Curva b: $\Phi_z=3.18$ $\chi_z=0.18$
Kyy, Kyz, Kzy, Kzz=0.97, 0.73, 0.00, 1.22
Verifica YY: 0.04+0.55=0.59
Verifica ZZ: 0.21=0.21

- Verifica freccia massima carichi totali - CC 22
 $f_{z,g}=0.94$ (L/531)

- Verifica freccia massima per soli carichi accidentali - CC 22
 $f_{z,L}=0.43$ (L/1151)

Asta n. 1448 (1037 1027) Sez. 2 IPE270 Crit. 2

- Verifica a flessione YY [4.2.13] - CC 1 SND Xl=2.50 - Classe 3
Sollecitazioni: My=-3375.98
My,Ed=-3375.98 My,c,Rd=14500.40 My,Ed/My,c,Rd=0.23

- Verifica a taglio dir. Z [4.2.16] - CC 17 SLU Xl=0.00 - Classe 1
Sollecitazioni: Tz=4989.83
V,Ed=4989.83 Vc,Rd=43217.20 V,Ed/Vc,Rd=0.12

- Verifica a presso o tenso-flessione retta YY (4.2.4.1.2.7) - CC 17 SLU Xl=2.50 - Classe 1
Sollecitazioni: N=5789.22 My=-6237.29
My,Ed=-6237.29 My,c,Rd=16436.40
N,Ed=5789.22 Nc,Rd=155342.00 YY n=N,Ed/Nc,Rd=0.04 MMy,c,Rd=16436.40 My,Ed/MMy,c,Rd=0.38

- Verifica di stabilità aste inflesse (4.2.4.1.3.2) CC 17 SLU - Classe 1
 $L_{cr}=5.00$ Curva b: $\alpha_{imp}=0.34$ $k_c=0.94$ $\psi=1.75$ M,cr=13579.60 $\lambda_{LT}=1.13$
 $\lambda_{LT,0}=0.40$ $\beta_{LT}=0.75$ $\Phi_{LT}=1.10$ $\beta_{LT}=0.75$ f=0.98 $\chi_{LT}=0.64$
My,Ed=-6237.29 My,b,Rd=10471.50 My,Ed/My,b,Rd=0.60

- Verifica di stabilità aste presso-inflesse (C4.2.4.1.3.3.2) - CC 19 SLU - Classe 1
Sollecitazioni: N,Ed=-5789.22 My,Ed=-5983.93 L=5.00
 α_{my} , α_{mz} , $\alpha_{LT}=0.95$, 0.95, 0.95
 $L_{cr}=5.00$ Curva b: $\alpha_{imp}=0.34$ $k_c=0.94$ $\psi=1.75$ M,cr=13579.60 $\lambda_{LT}=1.13$
 $\lambda_{LT,0}=0.40$ $\Phi_{LT}=1.10$ $\beta_{LT}=0.75$ f=0.98 $\chi_{LT}=0.64$
 $\lambda_y=44.54$ Ncr,y=480014.00 $\lambda_y^*=0.58$ Curva a: $\Phi_y=0.71$ $\chi_y=0.90$
 $\lambda_z=165.40$ Ncr,z=34809.20 $\lambda_z^*=2.16$ Curva b: $\Phi_z=3.18$ $\chi_z=0.18$
Kyy, Kyz, Kzy, Kzz=0.97, 0.73, 0.00, 1.22
Verifica YY: 0.04+0.55=0.59
Verifica ZZ: 0.21=0.21

- Verifica freccia massima carichi totali - CC 22
 $f_{z,g}=0.94$ (L/531)

- Verifica freccia massima per soli carichi accidentali - CC 22
 $f_{z,g}=0.43$ (L/1151)

Asta n. 1448 (1047 1037) Sez. 2 IPE270 Crit. 2

- Verifica a flessione YY [4.2.13] - CC 1 SND Xl=2.50 - Classe 3
Sollecitazioni: My=-3375.98
My,Ed=-3375.98 My,c,Rd=14500.40 My,Ed/My,c,Rd=0.23

- Verifica a taglio dir. Z [4.2.16] - CC 17 SLU Xl=0.00 - Classe 1
Sollecitazioni: Tz=4989.83
V,Ed=4989.83 Vc,Rd=43217.20 V,Ed/Vc,Rd=0.12

- Verifica a presso o tenso-flessione retta YY (4.2.4.1.2.7) - CC 17 SLU Xl=2.50 - Classe 1
Sollecitazioni: N=5789.22 My=-6237.29
My,Ed=-6237.29 My,c,Rd=16436.40
N,Ed=5789.22 Nc,Rd=155342.00 YY n=N,Ed/Nc,Rd=0.04 MMy,c,Rd=16436.40 My,Ed/MMy,c,Rd=0.38

- Verifica di stabilità aste inflesse (4.2.4.1.3.2) CC 17 SLU - Classe 1
 $L_{cr}=5.00$ Curva b: $\alpha_{imp}=0.34$ $k_c=0.94$ $\psi=1.75$ M,cr=13579.60 $\lambda_{LT}=1.13$
 $\lambda_{LT,0}=0.40$ $\beta_{LT}=0.75$ $\Phi_{LT}=1.10$ $\beta_{LT}=0.75$ f=0.98 $\chi_{LT}=0.64$
My,Ed=-6237.29 My,b,Rd=10471.50 My,Ed/My,b,Rd=0.60

- Verifica di stabilità aste presso-inflesse (C4.2.4.1.3.3.2) - CC 19 SLU - Classe 1
Sollecitazioni: N,Ed=-5789.22 My,Ed=-5983.93 L=5.00
 α_{my} , α_{mz} , $\alpha_{LT}=0.95$, 0.95, 0.95
 $L_{cr}=5.00$ Curva b: $\alpha_{imp}=0.34$ $k_c=0.94$ $\psi=1.75$ M,cr=13579.60 $\lambda_{LT}=1.13$
 $\lambda_{LT,0}=0.40$ $\Phi_{LT}=1.10$ $\beta_{LT}=0.75$ f=0.98 $\chi_{LT}=0.64$
 $\lambda_y=44.54$ Ncr,y=480014.00 $\lambda_y^*=0.58$ Curva a: $\Phi_y=0.71$ $\chi_y=0.90$

Relazione di calcolo

$\lambda_z=165.40$ Ncr,z=34809.20 $\lambda^*_z=2.16$ Curva b: $\Phi_z=3.18$ $\chi_z=0.18$
Kyy, Kyz, Kzy, Kzz=0.97, 0.73, 0.00, 1.22
Verifica YY: 0.04+0.55=0.59
Verifica ZZ: 0.21=0.21

- Verifica freccia massima carichi totali - CC 22
 $f_{z,L}=0.94$ (L/531)

- Verifica freccia massima per soli carichi accidentali - CC 22
 $f_{z,L}=0.43$ (L/1151)

Asta n. 1448 (1057 1047) Sez. 2 IPE270 Crit. 2

- Verifica a flessione YY [4.2.13] - CC 1 SND Xl=2.50 - Classe 3
Sollecitazioni: $M_y=-3375.98$
 $M_y,Ed=-3375.98$ $M_y,c,Rd=14500.40$ $M_y,Ed/M_y,c,Rd=0.23$

- Verifica a taglio dir. Z [4.2.16] - CC 17 SLU Xl=0.00 - Classe 1
Sollecitazioni: $T_z=4989.83$
 $V,Ed=4989.83$ $V_c,Rd=43217.20$ $V,Ed/V_c,Rd=0.12$

- Verifica a presso o tenso-flessione retta YY (4.2.4.1.2.7) - CC 17 SLU Xl=2.50 - Classe 1
Sollecitazioni: $N=5789.22$ $M_y=-6237.29$
 $M_y,Ed=-6237.29$ $M_y,c,Rd=16436.40$
 $N,Ed=5789.22$ $N_c,Rd=155342.00$ $YY\ n=N,Ed/N_c,Rd=0.04$ $MN_y,c,Rd=16436.40$ $M_y,Ed/MN_y,c,Rd=0.38$

- Verifica di stabilità aste inflesse (4.2.4.1.3.2) CC 17 SLU - Classe 1
 $L_{cr}=5.00$ Curva b: $\alpha_{imp}=0.34$ $k_c=0.94$ $\psi=1.75$ $M_{cr}=13579.60$ $\lambda_{LT}=1.13$
 $\lambda_{LT,0}=0.40$ $\beta_{LT}=0.75$ $\Phi_{LT}=1.10$ $\beta_{LT}=0.75$ $f=0.98$ $\chi_{LT}=0.64$
 $M_y,Ed=-6237.29$ $M_y,b,Rd=10471.50$ $M_y,Ed/M_y,b,Rd=0.60$

- Verifica di stabilità aste presso-inflesse (C4.2.4.1.3.3.2) - CC 19 SLU - Classe 1
Sollecitazioni: $N,Ed=-5789.22$ $M_y,Ed=-5983.93$ $L=5.00$
 $\alpha_{my}, \alpha_{mz}, \alpha_{LT}=0.95, 0.95, 0.95$
 $L_{cr}=5.00$ Curva b: $\alpha_{imp}=0.34$ $k_c=0.94$ $\psi=1.75$ $M_{cr}=13579.60$ $\lambda_{LT}=1.13$
 $\lambda_{LT,0}=0.40$ $\Phi_{LT}=1.10$ $\beta_{LT}=0.75$ $f=0.98$ $\chi_{LT}=0.64$
 $\lambda_y=44.54$ Ncr,y=480014.00 $\lambda^*_y=0.58$ Curva a: $\Phi_y=0.71$ $\chi_y=0.90$
 $\lambda_z=165.40$ Ncr,z=34809.20 $\lambda^*_z=2.16$ Curva b: $\Phi_z=3.18$ $\chi_z=0.18$
Kyy, Kyz, Kzy, Kzz=0.97, 0.73, 0.00, 1.22
Verifica YY: 0.04+0.55=0.59
Verifica ZZ: 0.21=0.21

- Verifica freccia massima carichi totali - CC 22
 $f_{z,L}=0.94$ (L/531)

- Verifica freccia massima per soli carichi accidentali - CC 22
 $f_{z,L}=0.43$ (L/1151)

Asta n. 1448 (1067 1057) Sez. 2 IPE270 Crit. 2

- Verifica a flessione YY [4.2.13] - CC 1 SND Xl=2.50 - Classe 3
Sollecitazioni: $M_y=-1744.35$
 $M_y,Ed=-1744.35$ $M_y,c,Rd=14500.40$ $M_y,Ed/M_y,c,Rd=0.12$

- Verifica a taglio dir. Z [4.2.16] - CC 17 SLU Xl=5.00 - Classe 1
Sollecitazioni: $T_z=-2553.52$
 $V,Ed=-2553.52$ $V_c,Rd=43217.20$ $V,Ed/V_c,Rd=0.06$

- Verifica in termini tensionali [4.2.4] - CC 19 SLU Xl=2.27 - Classe 3
Sollecitazioni: $N=-5789.22$ $T_z=222.93$ $M_y=-3039.89$
Tensioni: $\sigma_N=-126.00$ $\sigma_{m,d}=-708.79$ $\tau=0.00$ $\sigma_{max}=-834.79$ (sfrut=0.25)
Tensioni: $\sigma_N=-126.00$ $\sigma_{m,d}=0.00$ $\tau=15.01$ $\tau_{max}=15.01$ (sfrut=0.01)
Tensioni: $\sigma_N=-126.00$ $\sigma_{m,d}=-708.79$ $\tau=0.00$ $\sigma_{ID,max}=834.79$ (sfrut=0.25)

- Verifica di stabilità aste inflesse (4.2.4.1.3.2) CC 17 SLU - Classe 1
 $L_{cr}=5.00$ Curva b: $\alpha_{imp}=0.34$ $k_c=0.94$ $\psi=1.75$ $M_{cr}=13579.60$ $\lambda_{LT}=1.13$
 $\lambda_{LT,0}=0.40$ $\beta_{LT}=0.75$ $\Phi_{LT}=1.10$ $\beta_{LT}=0.75$ $f=0.98$ $\chi_{LT}=0.64$
 $M_y,Ed=-3191.90$ $M_y,b,Rd=10471.50$ $M_y,Ed/M_y,b,Rd=0.30$

- Verifica di stabilità aste presso-inflesse (C4.2.4.1.3.3.2) - CC 19 SLU - Classe 1
Sollecitazioni: $N,Ed=-5789.22$ $M_y,Ed=-3065.22$ $L=5.00$
 $\alpha_{my}, \alpha_{mz}, \alpha_{LT}=0.95, 0.95, 0.95$
 $L_{cr}=5.00$ Curva b: $\alpha_{imp}=0.34$ $k_c=0.94$ $\psi=1.75$ $M_{cr}=13579.60$ $\lambda_{LT}=1.13$
 $\lambda_{LT,0}=0.40$ $\Phi_{LT}=1.10$ $\beta_{LT}=0.75$ $f=0.98$ $\chi_{LT}=0.64$
 $\lambda_y=44.54$ Ncr,y=480014.00 $\lambda^*_y=0.58$ Curva a: $\Phi_y=0.71$ $\chi_y=0.90$
 $\lambda_z=165.40$ Ncr,z=34809.20 $\lambda^*_z=2.16$ Curva b: $\Phi_z=3.18$ $\chi_z=0.18$
Kyy, Kyz, Kzy, Kzz=0.97, 0.73, 0.00, 1.22
Verifica YY: 0.04+0.28=0.32
Verifica ZZ: 0.21=0.21

Relazione di calcolo

- Verifica freccia massima carichi totali - CC 22
 $f_{z,L}=0.48$ (L/1037)

- Verifica freccia massima per soli carichi accidentali - CC 22
 $f_{z,L}=0.22$ (L/2303)

Asta n. 1448 (1077 1067) Sez. 2 IPE270 Crit. 2

- Verifica a flessione YY [4.2.13] - CC 1 SND $X_l=2.50$ - Classe 3
Sollecitazioni: $M_y=-3375.98$
 $M_y,Ed=-3375.98$ $M_y,c,Rd=14500.40$ $M_y,Ed/M_y,c,Rd=0.23$

- Verifica a taglio dir. Z [4.2.16] - CC 17 SLU $X_l=0.00$ - Classe 1
Sollecitazioni: $T_z=4989.83$
 $V,Ed=4989.83$ $V_c,Rd=43217.20$ $V,Ed/V_c,Rd=0.12$

- Verifica a presso o tenso-flessione retta YY (4.2.4.1.2.7) - CC 17 SLU $X_l=2.50$ - Classe 1
Sollecitazioni: $N=5789.22$ $M_y=-6237.29$
 $M_y,Ed=-6237.29$ $M_y,c,Rd=16436.40$
 $N,Ed=5789.22$ $N_c,Rd=155342.00$ YY $n=N,Ed/N_c,Rd=0.04$ $MN_y,c,Rd=16436.40$ $M_y,Ed/MN_y,c,Rd=0.38$

- Verifica di stabilità aste inflesse (4.2.4.1.3.2) CC 17 SLU - Classe 1
 $L_{cr}=5.00$ Curva b: $\alpha_{imp}=0.34$ $k_c=0.94$ $\psi=1.75$ $M_{cr}=13579.60$ $\lambda_{LT}=1.13$
 $\lambda_{LT,0}=0.40$ $\beta_{LT}=0.75$ $\Phi_{LT}=1.10$ $\beta_{LT}=0.75$ $f=0.98$ $\chi_{LT}=0.64$
 $M_y,Ed=-6237.29$ $M_y,b,Rd=10471.50$ $M_y,Ed/M_y,b,Rd=0.60$

- Verifica di stabilità aste presso-inflesse (C4.2.4.1.3.3.2) - CC 19 SLU - Classe 1
Sollecitazioni: $N,Ed=-5789.22$ $M_y,Ed=-5983.93$ $L=5.00$
 $\alpha_{my}, \alpha_{mz}, \alpha_{LT}=0.95, 0.95, 0.95$
 $L_{cr}=5.00$ Curva b: $\alpha_{imp}=0.34$ $k_c=0.94$ $\psi=1.75$ $M_{cr}=13579.60$ $\lambda_{LT}=1.13$
 $\lambda_{LT,0}=0.40$ $\Phi_{LT}=1.10$ $\beta_{LT}=0.75$ $f=0.98$ $\chi_{LT}=0.64$
 $\lambda_y=44.54$ $N_{cr,y}=480014.00$ $\lambda_y^*=0.58$ Curva a: $\Phi_y=0.71$ $\chi_y=0.90$
 $\lambda_z=165.40$ $N_{cr,z}=34809.20$ $\lambda_z^*=2.16$ Curva b: $\Phi_z=3.18$ $\chi_z=0.18$
 $K_{yy}, K_{yz}, K_{zy}, K_{zz}=0.97, 0.73, 0.00, 1.22$
Verifica YY: $0.04+0.55=0.59$
Verifica ZZ: $0.21=0.21$

- Verifica freccia massima carichi totali - CC 22
 $f_{z,G}=0.94$ (L/531)

- Verifica freccia massima per soli carichi accidentali - CC 22
 $f_{z,L}=0.43$ (L/1151)

Asta n. 1448 (1087 1077) Sez. 2 IPE270 Crit. 2

- Verifica a flessione YY [4.2.13] - CC 1 SND $X_l=2.50$ - Classe 3
Sollecitazioni: $M_y=-3375.98$
 $M_y,Ed=-3375.98$ $M_y,c,Rd=14500.40$ $M_y,Ed/M_y,c,Rd=0.23$

- Verifica a taglio dir. Z [4.2.16] - CC 17 SLU $X_l=0.00$ - Classe 1
Sollecitazioni: $T_z=4989.83$
 $V,Ed=4989.83$ $V_c,Rd=43217.20$ $V,Ed/V_c,Rd=0.12$

- Verifica a presso o tenso-flessione retta YY (4.2.4.1.2.7) - CC 17 SLU $X_l=2.50$ - Classe 1
Sollecitazioni: $N=5789.22$ $M_y=-6237.29$
 $M_y,Ed=-6237.29$ $M_y,c,Rd=16436.40$
 $N,Ed=5789.22$ $N_c,Rd=155342.00$ YY $n=N,Ed/N_c,Rd=0.04$ $MN_y,c,Rd=16436.40$ $M_y,Ed/MN_y,c,Rd=0.38$

- Verifica di stabilità aste inflesse (4.2.4.1.3.2) CC 17 SLU - Classe 1
 $L_{cr}=5.00$ Curva b: $\alpha_{imp}=0.34$ $k_c=0.94$ $\psi=1.75$ $M_{cr}=13579.60$ $\lambda_{LT}=1.13$
 $\lambda_{LT,0}=0.40$ $\beta_{LT}=0.75$ $\Phi_{LT}=1.10$ $\beta_{LT}=0.75$ $f=0.98$ $\chi_{LT}=0.64$
 $M_y,Ed=-6237.29$ $M_y,b,Rd=10471.50$ $M_y,Ed/M_y,b,Rd=0.60$

- Verifica di stabilità aste presso-inflesse (C4.2.4.1.3.3.2) - CC 19 SLU - Classe 1
Sollecitazioni: $N,Ed=-5789.22$ $M_y,Ed=-5983.93$ $L=5.00$
 $\alpha_{my}, \alpha_{mz}, \alpha_{LT}=0.95, 0.95, 0.95$
 $L_{cr}=5.00$ Curva b: $\alpha_{imp}=0.34$ $k_c=0.94$ $\psi=1.75$ $M_{cr}=13579.60$ $\lambda_{LT}=1.13$
 $\lambda_{LT,0}=0.40$ $\Phi_{LT}=1.10$ $\beta_{LT}=0.75$ $f=0.98$ $\chi_{LT}=0.64$
 $\lambda_y=44.54$ $N_{cr,y}=480014.00$ $\lambda_y^*=0.58$ Curva a: $\Phi_y=0.71$ $\chi_y=0.90$
 $\lambda_z=165.40$ $N_{cr,z}=34809.20$ $\lambda_z^*=2.16$ Curva b: $\Phi_z=3.18$ $\chi_z=0.18$
 $K_{yy}, K_{yz}, K_{zy}, K_{zz}=0.97, 0.73, 0.00, 1.22$
Verifica YY: $0.04+0.55=0.59$
Verifica ZZ: $0.21=0.21$

- Verifica freccia massima carichi totali - CC 22
 $f_{z,G}=0.94$ (L/531)

- Verifica freccia massima per soli carichi accidentali - CC 22

Relazione di calcolo

$f_{z,L}=0.43$ (L/1151)

Asta n. 1448 (1097 1087) Sez. 2 IPE270 Crit. 2

- Verifica a flessione YY [4.2.13] - CC 1 SND $X_1=2.50$ - Classe 3
Sollecitazioni: $M_y=-3375.98$
 $M_y,Ed=-3375.98$ $M_y,c,Rd=14500.40$ $M_y,Ed/M_y,c,Rd=0.23$

- Verifica a taglio dir. Z [4.2.16] - CC 17 SLU $X_1=0.00$ - Classe 1
Sollecitazioni: $T_z=4989.83$
 $V,Ed=4989.83$ $V_c,Rd=43217.20$ $V,Ed/V_c,Rd=0.12$

- Verifica a presso o tenso-flessione retta YY (4.2.4.1.2.7) - CC 17 SLU $X_1=2.50$ - Classe 1
Sollecitazioni: $N=5789.22$ $M_y=-6237.29$
 $M_y,Ed=-6237.29$ $M_y,c,Rd=16436.40$
 $N,Ed=5789.22$ $N_c,Rd=155342.00$ YY $n=N,Ed/N_c,Rd=0.04$ $MN_y,c,Rd=16436.40$ $M_y,Ed/MN_y,c,Rd=0.38$

- Verifica di stabilità aste inflesse (4.2.4.1.3.2) CC 17 SLU - Classe 1
 $L_{cr}=5.00$ Curva b: $\alpha_{imp}=0.34$ $k_c=0.94$ $\psi=1.75$ $M_{cr}=13579.60$ $\lambda_{LT}=1.13$
 $\lambda_{LT,0}=0.40$ $\beta_{LT}=0.75$ $\Phi_{LT}=1.10$ $\beta_{LT}=0.75$ $f=0.98$ $\chi_{LT}=0.64$
 $M_y,Ed=-6237.29$ $M_y,b,Rd=10471.50$ $M_y,Ed/M_y,b,Rd=0.60$

- Verifica di stabilità aste presso-inflesse (C4.2.4.1.3.3.2) - CC 19 SLU - Classe 1
Sollecitazioni: $N,Ed=-5789.22$ $M_y,Ed=-5983.93$ $L=5.00$
 $\alpha_{my}, \alpha_{mz}, \alpha_{LT}=0.95, 0.95, 0.95$
 $L_{cr}=5.00$ Curva b: $\alpha_{imp}=0.34$ $k_c=0.94$ $\psi=1.75$ $M_{cr}=13579.60$ $\lambda_{LT}=1.13$
 $\lambda_{LT,0}=0.40$ $\Phi_{LT}=1.10$ $\beta_{LT}=0.75$ $f=0.98$ $\chi_{LT}=0.64$
 $\lambda_y=44.54$ $N_{cr,y}=480014.00$ $\lambda^*_y=0.58$ Curva a: $\Phi_y=0.71$ $\chi_y=0.90$
 $\lambda_z=165.40$ $N_{cr,z}=34809.20$ $\lambda^*_z=2.16$ Curva b: $\Phi_z=3.18$ $\chi_z=0.18$
 $K_{yy}, K_{yz}, K_{zy}, K_{zz}=0.97, 0.73, 0.00, 1.22$
Verifica YY: $0.04+0.55=0.59$
Verifica ZZ: $0.21=0.21$

- Verifica freccia massima carichi totali - CC 22
 $f_{z,L}=0.94$ (L/531)

- Verifica freccia massima per soli carichi accidentali - CC 22
 $f_{z,G}=0.43$ (L/1151)

Asta n. 1448 (1107 1097) Sez. 2 IPE270 Crit. 2

- Verifica a flessione YY [4.2.13] - CC 1 SND $X_1=2.50$ - Classe 3
Sollecitazioni: $M_y=-3375.98$
 $M_y,Ed=-3375.98$ $M_y,c,Rd=14500.40$ $M_y,Ed/M_y,c,Rd=0.23$

- Verifica a taglio dir. Z [4.2.16] - CC 17 SLU $X_1=0.00$ - Classe 1
Sollecitazioni: $T_z=4989.83$
 $V,Ed=4989.83$ $V_c,Rd=43217.20$ $V,Ed/V_c,Rd=0.12$

- Verifica a presso o tenso-flessione retta YY (4.2.4.1.2.7) - CC 17 SLU $X_1=2.50$ - Classe 1
Sollecitazioni: $N=5789.22$ $M_y=-6237.29$
 $M_y,Ed=-6237.29$ $M_y,c,Rd=16436.40$
 $N,Ed=5789.22$ $N_c,Rd=155342.00$ YY $n=N,Ed/N_c,Rd=0.04$ $MN_y,c,Rd=16436.40$ $M_y,Ed/MN_y,c,Rd=0.38$

- Verifica di stabilità aste inflesse (4.2.4.1.3.2) CC 17 SLU - Classe 1
 $L_{cr}=5.00$ Curva b: $\alpha_{imp}=0.34$ $k_c=0.94$ $\psi=1.75$ $M_{cr}=13579.60$ $\lambda_{LT}=1.13$
 $\lambda_{LT,0}=0.40$ $\beta_{LT}=0.75$ $\Phi_{LT}=1.10$ $\beta_{LT}=0.75$ $f=0.98$ $\chi_{LT}=0.64$
 $M_y,Ed=-6237.29$ $M_y,b,Rd=10471.50$ $M_y,Ed/M_y,b,Rd=0.60$

- Verifica di stabilità aste presso-inflesse (C4.2.4.1.3.3.2) - CC 19 SLU - Classe 1
Sollecitazioni: $N,Ed=-5789.22$ $M_y,Ed=-5983.93$ $L=5.00$
 $\alpha_{my}, \alpha_{mz}, \alpha_{LT}=0.95, 0.95, 0.95$
 $L_{cr}=5.00$ Curva b: $\alpha_{imp}=0.34$ $k_c=0.94$ $\psi=1.75$ $M_{cr}=13579.60$ $\lambda_{LT}=1.13$
 $\lambda_{LT,0}=0.40$ $\Phi_{LT}=1.10$ $\beta_{LT}=0.75$ $f=0.98$ $\chi_{LT}=0.64$
 $\lambda_y=44.54$ $N_{cr,y}=480014.00$ $\lambda^*_y=0.58$ Curva a: $\Phi_y=0.71$ $\chi_y=0.90$
 $\lambda_z=165.40$ $N_{cr,z}=34809.20$ $\lambda^*_z=2.16$ Curva b: $\Phi_z=3.18$ $\chi_z=0.18$
 $K_{yy}, K_{yz}, K_{zy}, K_{zz}=0.97, 0.73, 0.00, 1.22$
Verifica YY: $0.04+0.55=0.59$
Verifica ZZ: $0.21=0.21$

- Verifica freccia massima carichi totali - CC 22
 $f_{z,L}=0.94$ (L/531)

- Verifica freccia massima per soli carichi accidentali - CC 22
 $f_{z,L}=0.43$ (L/1151)

Asta n. 1448 (1116 1107) Sez. 2 IPE270 Crit. 2

- Verifica a flessione YY [4.2.13] - CC 1 SND $X_1=2.50$ - Classe 3

Relazione di calcolo

- Sollecitazioni: $M_y = -3375.98$
 $M_y, Ed = -3375.98$ $M_y, c, Rd = 14500.40$ $M_y, Ed/M_y, c, Rd = 0.23$
- Verifica a taglio dir. Z [4.2.16] - CC 17 SLU $X_l = 0.00$ - Classe 1
Sollecitazioni: $T_z = 4989.83$
 $V, Ed = 4989.83$ $V_c, Rd = 43217.20$ $V, Ed/V_c, Rd = 0.12$
- Verifica a presso o tenso-flessione retta YY (4.2.4.1.2.7) - CC 17 SLU $X_l = 2.50$ - Classe 1
Sollecitazioni: $N = 5789.22$ $M_y = -6237.29$
 $M_y, Ed = -6237.29$ $M_y, c, Rd = 16436.40$
 $N, Ed = 5789.22$ $N_c, Rd = 155342.00$ $YY \ n = N, Ed/N_c, Rd = 0.04$ $MN_y, c, Rd = 16436.40$ $M_y, Ed/MN_y, c, Rd = 0.38$
- Verifica di stabilità aste inflesse (4.2.4.1.3.2) CC 17 SLU - Classe 1
 $L_{cr} = 5.00$ Curva b: $\alpha_{imp} = 0.34$ $k_c = 0.94$ $\psi = 1.75$ $M_{cr} = 13579.60$ $\lambda_{LT} = 1.13$
 $\lambda_{LT,0} = 0.40$ $\beta_{LT} = 0.75$ $\Phi_{LT} = 1.10$ $\beta_{LT} = 0.75$ $f = 0.98$ $\chi_{LT} = 0.64$
 $M_y, Ed = -6237.29$ $M_y, b, Rd = 10471.50$ $M_y, Ed/M_y, b, Rd = 0.60$
- Verifica di stabilità aste presso-inflesse (C4.2.4.1.3.3.2) - CC 19 SLU - Classe 1
Sollecitazioni: $N, Ed = -5789.22$ $M_y, Ed = -5983.93$ $L = 5.00$
 $\alpha_{my}, \alpha_{mz}, \alpha_{LT} = 0.95, 0.95, 0.95$
 $L_{cr} = 5.00$ Curva b: $\alpha_{imp} = 0.34$ $k_c = 0.94$ $\psi = 1.75$ $M_{cr} = 13579.60$ $\lambda_{LT} = 1.13$
 $\lambda_{LT,0} = 0.40$ $\Phi_{LT} = 1.10$ $\beta_{LT} = 0.75$ $f = 0.98$ $\chi_{LT} = 0.64$
 $\lambda_y = 44.54$ $N_{cr,y} = 480014.00$ $\lambda_y^* = 0.58$ Curva a: $\Phi_y = 0.71$ $\chi_y = 0.90$
 $\lambda_z = 165.40$ $N_{cr,z} = 34809.20$ $\lambda_z^* = 2.16$ Curva b: $\Phi_z = 3.18$ $\chi_z = 0.18$
 $K_{yy}, K_{yz}, K_{zy}, K_{zz} = 0.97, 0.73, 0.00, 1.22$
Verifica YY: $0.04 + 0.55 = 0.59$
Verifica ZZ: $0.21 = 0.21$
- Verifica freccia massima carichi totali - CC 22
 $f_{z,L} = 0.94$ (L/531)
- Verifica freccia massima per soli carichi accidentali - CC 22
 $f_{z,L} = 0.43$ (L/1151)
- Asta n. 1448 (1125 1116) Sez. 2 IPE270 Crit. 2

- Verifica a flessione YY [4.2.13] - CC 1 SND $X_l = 2.50$ - Classe 3
Sollecitazioni: $M_y = -3375.98$
 $M_y, Ed = -3375.98$ $M_y, c, Rd = 14500.40$ $M_y, Ed/M_y, c, Rd = 0.23$
- Verifica a taglio dir. Z [4.2.16] - CC 17 SLU $X_l = 0.00$ - Classe 1
Sollecitazioni: $T_z = 4989.83$
 $V, Ed = 4989.83$ $V_c, Rd = 43217.20$ $V, Ed/V_c, Rd = 0.12$
- Verifica a presso o tenso-flessione retta YY (4.2.4.1.2.7) - CC 17 SLU $X_l = 2.50$ - Classe 1
Sollecitazioni: $N = 5789.22$ $M_y = -6237.29$
 $M_y, Ed = -6237.29$ $M_y, c, Rd = 16436.40$
 $N, Ed = 5789.22$ $N_c, Rd = 155342.00$ $YY \ n = N, Ed/N_c, Rd = 0.04$ $MN_y, c, Rd = 16436.40$ $M_y, Ed/MN_y, c, Rd = 0.38$
- Verifica di stabilità aste inflesse (4.2.4.1.3.2) CC 17 SLU - Classe 1
 $L_{cr} = 5.00$ Curva b: $\alpha_{imp} = 0.34$ $k_c = 0.94$ $\psi = 1.75$ $M_{cr} = 13579.60$ $\lambda_{LT} = 1.13$
 $\lambda_{LT,0} = 0.40$ $\beta_{LT} = 0.75$ $\Phi_{LT} = 1.10$ $\beta_{LT} = 0.75$ $f = 0.98$ $\chi_{LT} = 0.64$
 $M_y, Ed = -6237.29$ $M_y, b, Rd = 10471.50$ $M_y, Ed/M_y, b, Rd = 0.60$
- Verifica di stabilità aste presso-inflesse (C4.2.4.1.3.3.2) - CC 19 SLU - Classe 1
Sollecitazioni: $N, Ed = -5789.22$ $M_y, Ed = -5983.93$ $L = 5.00$
 $\alpha_{my}, \alpha_{mz}, \alpha_{LT} = 0.95, 0.95, 0.95$
 $L_{cr} = 5.00$ Curva b: $\alpha_{imp} = 0.34$ $k_c = 0.94$ $\psi = 1.75$ $M_{cr} = 13579.60$ $\lambda_{LT} = 1.13$
 $\lambda_{LT,0} = 0.40$ $\Phi_{LT} = 1.10$ $\beta_{LT} = 0.75$ $f = 0.98$ $\chi_{LT} = 0.64$
 $\lambda_y = 44.54$ $N_{cr,y} = 480014.00$ $\lambda_y^* = 0.58$ Curva a: $\Phi_y = 0.71$ $\chi_y = 0.90$
 $\lambda_z = 165.40$ $N_{cr,z} = 34809.20$ $\lambda_z^* = 2.16$ Curva b: $\Phi_z = 3.18$ $\chi_z = 0.18$
 $K_{yy}, K_{yz}, K_{zy}, K_{zz} = 0.97, 0.73, 0.00, 1.22$
Verifica YY: $0.04 + 0.55 = 0.59$
Verifica ZZ: $0.21 = 0.21$
- Verifica freccia massima carichi totali - CC 22
 $f_{z,L} = 0.94$ (L/531)
- Verifica freccia massima per soli carichi accidentali - CC 22
 $f_{z,L} = 0.43$ (L/1151)
- Asta n. 1454 (70 1080) Sez. 5 UPN100 Crit. 3

- Verifica a trazione (4.2.4.1.2.1) - CC 5 SLV $X_l = 0.00$ - Classe 1
Sollecitazioni: $N = 2848.07$
Verifica a trazione [4.2.5]
 $N, Ed = 2848.07$ $N_{pl}, Rd = 35889.70$ $N_u, Rd = 42425.50$ $N, Ed/N_t, Rd = 0.08$
- Verifica freccia massima carichi totali - CC 22

Relazione di calcolo

$f_{z,g}=0.02$ (L/32828)

- Verifica freccia massima per soli carichi accidentali - CC 22
 $f_{z,g}=0.01$ (L/72142)

Asta n. 1460 (93 1083) Sez. 5 UPN100 Crit. 3

- Verifica a trazione (4.2.4.1.2.1) - CC 13 SLV $X_l=0.00$ - Classe 1
Sollecitazioni: $N=3477.76$
Verifica a trazione [4.2.5]
 $N,Ed=3477.76$ $N_{pl},Rd=35889.70$ $Nu,Rd=42425.50$ $N,Ed/Nt,Rd=0.10$

- Verifica freccia massima carichi totali - CC 22
 $f_{z,g}=0.01$ (L/42459)

- Verifica freccia massima per soli carichi accidentali - CC 22
 $f_{z,g}=0.01$ (L/95320)

Asta n. 1481 (67 1057) Sez. 5 UPN100 Crit. 3

- Verifica a trazione (4.2.4.1.2.1) - CC 5 SLV $X_l=0.00$ - Classe 1
Sollecitazioni: $N=5353.83$
Verifica a trazione [4.2.5]
 $N,Ed=5353.83$ $N_{pl},Rd=35889.70$ $Nu,Rd=42425.50$ $N,Ed/Nt,Rd=0.15$

- Verifica freccia massima carichi totali - CC 22
 $f_{z,g}=0.01$ (L/48143)

- Verifica freccia massima per soli carichi accidentali - CC 22
 $f_{z,g}=0.01$ (L/108875)

Asta n. 1487 (80 1070) Sez. 5 UPN100 Crit. 3

- Verifica a trazione (4.2.4.1.2.1) - CC 13 SLV $X_l=0.00$ - Classe 1
Sollecitazioni: $N=4067.80$
Verifica a trazione [4.2.5]
 $N,Ed=4067.80$ $N_{pl},Rd=35889.70$ $Nu,Rd=42425.50$ $N,Ed/Nt,Rd=0.11$

- Verifica freccia massima carichi totali - CC 22
 $f_{z,g}=0.01$ (L/58895)

- Verifica freccia massima per soli carichi accidentali - CC 22
 $f_{z,g}=0.00$ (L/134095)

Asta n. 1493 (83 1093) Sez. 5 UPN100 Crit. 3

- Verifica a trazione (4.2.4.1.2.1) - CC 5 SLV $X_l=0.00$ - Classe 1
Sollecitazioni: $N=3055.77$
Verifica a trazione [4.2.5]
 $N,Ed=3055.77$ $N_{pl},Rd=35889.70$ $Nu,Rd=42425.50$ $N,Ed/Nt,Rd=0.09$

- Verifica freccia massima carichi totali - CC 22
 $f_{z,g}=0.02$ (L/35478)

- Verifica freccia massima per soli carichi accidentali - CC 22
 $f_{z,g}=0.01$ (L/79116)

Asta n. 1514 (67 1077) Sez. 5 UPN100 Crit. 3

- Verifica a trazione (4.2.4.1.2.1) - CC 13 SLV $X_l=0.00$ - Classe 1
Sollecitazioni: $N=4560.02$
Verifica a trazione [4.2.5]
 $N,Ed=4560.02$ $N_{pl},Rd=35889.70$ $Nu,Rd=42425.50$ $N,Ed/Nt,Rd=0.13$

- Verifica freccia massima carichi totali - CC 22
 $f_{z,g}=0.02$ (L/32919)

- Verifica freccia massima per soli carichi accidentali - CC 22
 $f_{z,g}=0.01$ (L/71923)

Asta n. 1520 (80 1090) Sez. 5 UPN100 Crit. 3

- Verifica a trazione (4.2.4.1.2.1) - CC 5 SLV $X_l=0.00$ - Classe 1
Sollecitazioni: $N=3137.76$
Verifica a trazione [4.2.5]
 $N,Ed=3137.76$ $N_{pl},Rd=35889.70$ $Nu,Rd=42425.50$ $N,Ed/Nt,Rd=0.09$

- Verifica freccia massima carichi totali - CC 22
 $f_{z,g}=0.02$ (L/37319)

- Verifica freccia massima per soli carichi accidentali - CC 22
 $f_{z,g}=0.01$ (L/83280)

Relazione di calcolo

Asta n. 1526 (93 1103) Sez. 5 UPN100 Crit. 3

-
- Verifica a trazione (4.2.4.1.2.1) - CC 5 SLV $X_l=0.00$ - Classe 1
Sollecitazioni: $N=2744.12$
Verifica a trazione [4.2.5]
 $N, Ed=2744.12$ $N_{pl}, Rd=35889.70$ $Nu, Rd=42425.50$ $N, Ed/Nt, Rd=0.08$
 - Verifica freccia massima carichi totali - CC 22
 $f_{z,g}=0.02$ (L/32248)
 - Verifica freccia massima per soli carichi accidentali - CC 22
 $f_{z,g}=0.01$ (L/70221)

Asta n. 1547 (77 1067) Sez. 5 UPN100 Crit. 3

-
- Verifica a trazione (4.2.4.1.2.1) - CC 5 SLV $X_l=0.00$ - Classe 1
Sollecitazioni: $N=5721.36$
Verifica a trazione [4.2.5]
 $N, Ed=5721.36$ $N_{pl}, Rd=35889.70$ $Nu, Rd=42425.50$ $N, Ed/Nt, Rd=0.16$
 - Verifica freccia massima carichi totali - CC 22
 $f_{z,g}=0.01$ (L/58895)
 - Verifica freccia massima per soli carichi accidentali - CC 22
 $f_{z,g}=0.00$ (L/134857)

Asta n. 1553 (90 1080) Sez. 5 UPN100 Crit. 3

-
- Verifica a trazione (4.2.4.1.2.1) - CC 13 SLV $X_l=0.00$ - Classe 1
Sollecitazioni: $N=3263.96$
Verifica a trazione [4.2.5]
 $N, Ed=3263.96$ $N_{pl}, Rd=35889.70$ $Nu, Rd=42425.50$ $N, Ed/Nt, Rd=0.09$
 - Verifica freccia massima carichi totali - CC 22
 $f_{z,g}=0.01$ (L/39890)
 - Verifica freccia massima per soli carichi accidentali - CC 22
 $f_{z,g}=0.01$ (L/89565)

Asta n. 1559 (103 1093) Sez. 5 UPN100 Crit. 3

-
- Verifica a trazione (4.2.4.1.2.1) - CC 13 SLV $X_l=0.00$ - Classe 1
Sollecitazioni: $N=3550.23$
Verifica a trazione [4.2.5]
 $N, Ed=3550.23$ $N_{pl}, Rd=35889.70$ $Nu, Rd=42425.50$ $N, Ed/Nt, Rd=0.10$
 - Verifica freccia massima carichi totali - CC 22
 $f_{z,g}=0.01$ (L/44614)
 - Verifica freccia massima per soli carichi accidentali - CC 22
 $f_{z,g}=0.01$ (L/98078)

Asta n. 1580 (87 1077) Sez. 5 UPN100 Crit. 3

-
- Verifica a trazione (4.2.4.1.2.1) - CC 5 SLV $X_l=0.00$ - Classe 1
Sollecitazioni: $N=5051.02$
Verifica a trazione [4.2.5]
 $N, Ed=5051.02$ $N_{pl}, Rd=35889.70$ $Nu, Rd=42425.50$ $N, Ed/Nt, Rd=0.14$
 - Verifica freccia massima carichi totali - CC 22
 $f_{z,g}=0.01$ (L/41350)
 - Verifica freccia massima per soli carichi accidentali - CC 22
 $f_{z,g}=0.01$ (L/93444)

Asta n. 1586 (90 1100) Sez. 5 UPN100 Crit. 3

-
- Verifica a trazione (4.2.4.1.2.1) - CC 5 SLV $X_l=0.00$ - Classe 1
Sollecitazioni: $N=4128.31$
Verifica a trazione [4.2.5]
 $N, Ed=4128.31$ $N_{pl}, Rd=35889.70$ $Nu, Rd=42425.50$ $N, Ed/Nt, Rd=0.12$
 - Verifica freccia massima carichi totali - CC 22
 $f_{z,g}=0.01$ (L/59337)
 - Verifica freccia massima per soli carichi accidentali - CC 22
 $f_{z,g}=0.00$ (L/128296)

Asta n. 1592 (113 1103) Sez. 5 UPN100 Crit. 3

-
- Verifica a trazione (4.2.4.1.2.1) - CC 13 SLV $X_l=0.00$ - Classe 1

Relazione di calcolo

Sollecitazioni: N=3643.82
Verifica a trazione [4.2.5]
N,Ed=3643.82 Npl,Rd=35889.70 Nu,Rd=42425.50 N,Ed/Nt,Rd=0.10

- Verifica freccia massima carichi totali - CC 22
fz,g=0.01 (L/49968)

- Verifica freccia massima per soli carichi accidentali - CC 22
fz,g=0.01 (L/105959)

Asta n. 1613 (77 1087) Sez. 5 UPN100 Crit. 3

- Verifica a trazione (4.2.4.1.2.1) - CC 13 SLV Xl=0.00 - Classe 1
Sollecitazioni: N=4709.11
Verifica a trazione [4.2.5]
N,Ed=4709.11 Npl,Rd=35889.70 Nu,Rd=42425.50 N,Ed/Nt,Rd=0.13

- Verifica freccia massima carichi totali - CC 22
fz,g=0.02 (L/35478)

- Verifica freccia massima per soli carichi accidentali - CC 22
fz,g=0.01 (L/80730)

Asta n. 1619 (100 1090) Sez. 5 UPN100 Crit. 3

- Verifica a trazione (4.2.4.1.2.1) - CC 13 SLV Xl=0.00 - Classe 1
Sollecitazioni: N=2883.30
Verifica a trazione [4.2.5]
N,Ed=2883.30 Npl,Rd=35889.70 Nu,Rd=42425.50 N,Ed/Nt,Rd=0.08

- Verifica freccia massima carichi totali - CC 22
fz,g=0.02 (L/33429)

- Verifica freccia massima per soli carichi accidentali - CC 22
fz,g=0.01 (L/72142)

Asta n. 1625 (103 1113) Sez. 5 UPN100 Crit. 3

- Verifica a trazione (4.2.4.1.2.1) - CC 5 SLV Xl=0.00 - Classe 1
Sollecitazioni: N=2026.57
Verifica a trazione [4.2.5]
N,Ed=2026.57 Npl,Rd=35889.70 Nu,Rd=42425.50 N,Ed/Nt,Rd=0.06

- Verifica freccia massima carichi totali - CC 22
fz,g=0.02 (L/30625)

- Verifica freccia massima per soli carichi accidentali - CC 22
fz,g=0.01 (L/69400)

Asta n. 1646 (87 1097) Sez. 5 UPN100 Crit. 3

- Verifica a trazione (4.2.4.1.2.1) - CC 13 SLV Xl=0.00 - Classe 1
Sollecitazioni: N=4900.62
Verifica a trazione [4.2.5]
N,Ed=4900.62 Npl,Rd=35889.70 Nu,Rd=42425.50 N,Ed/Nt,Rd=0.14

- Verifica freccia massima carichi totali - CC 22
fz,g=0.01 (L/38282)

- Verifica freccia massima per soli carichi accidentali - CC 22
fz,g=0.01 (L/82989)

Asta n. 1652 (100 1110) Sez. 5 UPN100 Crit. 3

- Verifica a trazione (4.2.4.1.2.1) - CC 5 SLV Xl=0.00 - Classe 1
Sollecitazioni: N=4232.33
Verifica a trazione [4.2.5]
N,Ed=4232.33 Npl,Rd=35889.70 Nu,Rd=42425.50 N,Ed/Nt,Rd=0.12

- Verifica freccia massima carichi totali - CC 22
fz,g=0.01 (L/70429)

- Verifica freccia massima per soli carichi accidentali - CC 22
fz,g=0.00 (L/165978)

Asta n. 1679 (97 1087) Sez. 5 UPN100 Crit. 3

- Verifica a trazione (4.2.4.1.2.1) - CC 5 SLV Xl=0.00 - Classe 1
Sollecitazioni: N=4875.09
Verifica a trazione [4.2.5]
N,Ed=4875.09 Npl,Rd=35889.70 Nu,Rd=42425.50 N,Ed/Nt,Rd=0.14

Relazione di calcolo

- Verifica freccia massima carichi totali - CC 22
 $f_{z,g}=0.02$ (L/37085)

- Verifica freccia massima per soli carichi accidentali - CC 22
 $f_{z,g}=0.01$ (L/78333)

Asta n. 1685 (110 1100) Sez. 5 UPN100 Crit. 3

- Verifica a trazione (4.2.4.1.2.1) - CC 13 SLV $X_l=0.00$ - Classe 1
Sollecitazioni: $N=3263.64$
Verifica a trazione [4.2.5]
 $N,Ed=3263.64$ $N_{pl},Rd=35889.70$ $Nu,Rd=42425.50$ $N,Ed/Nt,Rd=0.09$

- Verifica freccia massima carichi totali - CC 22
 $f_{z,g}=0.01$ (L/37975)

- Verifica freccia massima per soli carichi accidentali - CC 22
 $f_{z,g}=0.01$ (L/81563)

Asta n. 1712 (97 1107) Sez. 5 UPN100 Crit. 3

- Verifica a trazione (4.2.4.1.2.1) - CC 13 SLV $X_l=0.00$ - Classe 1
Sollecitazioni: $N=5142.34$
Verifica a trazione [4.2.5]
 $N,Ed=5142.34$ $N_{pl},Rd=35889.70$ $Nu,Rd=42425.50$ $N,Ed/Nt,Rd=0.14$

- Verifica freccia massima carichi totali - CC 22
 $f_{z,g}=0.01$ (L/44281)

- Verifica freccia massima per soli carichi accidentali - CC 22
 $f_{z,g}=0.01$ (L/101431)

Asta n. 1718 (110 1119) Sez. 5 UPN100 Crit. 3

- Verifica a trazione (4.2.4.1.2.1) - CC 5 SLV $X_l=0.00$ - Classe 1
Sollecitazioni: $N=4552.82$
Verifica a trazione [4.2.5]
 $N,Ed=4552.82$ $N_{pl},Rd=35889.70$ $Nu,Rd=42425.50$ $N,Ed/Nt,Rd=0.13$

- Verifica freccia massima carichi totali - CC 22
 $f_{z,g}=0.00$ (L/168332)

Asta n. 1745 (107 1097) Sez. 5 UPN100 Crit. 3

- Verifica a trazione (4.2.4.1.2.1) - CC 5 SLV $X_l=0.00$ - Classe 1
Sollecitazioni: $N=4577.66$
Verifica a trazione [4.2.5]
 $N,Ed=4577.66$ $N_{pl},Rd=35889.70$ $Nu,Rd=42425.50$ $N,Ed/Nt,Rd=0.13$

- Verifica freccia massima carichi totali - CC 22
 $f_{z,g}=0.02$ (L/33056)

- Verifica freccia massima per soli carichi accidentali - CC 22
 $f_{z,g}=0.01$ (L/69400)

Asta n. 1751 (119 1110) Sez. 5 UPN100 Crit. 3

- Verifica a trazione (4.2.4.1.2.1) - CC 13 SLV $X_l=0.00$ - Classe 1
Sollecitazioni: $N=2828.79$
Verifica a trazione [4.2.5]
 $N,Ed=2828.79$ $N_{pl},Rd=35889.70$ $Nu,Rd=42425.50$ $N,Ed/Nt,Rd=0.08$

- Verifica freccia massima carichi totali - CC 22
 $f_{z,g}=0.02$ (L/34448)

- Verifica freccia massima per soli carichi accidentali - CC 22
 $f_{z,g}=0.01$ (L/72806)

Asta n. 1778 (107 1116) Sez. 5 UPN100 Crit. 3

- Verifica a trazione (4.2.4.1.2.1) - CC 13 SLV $X_l=0.00$ - Classe 1
Sollecitazioni: $N=5206.20$
Verifica a trazione [4.2.5]
 $N,Ed=5206.20$ $N_{pl},Rd=35889.70$ $Nu,Rd=42425.50$ $N,Ed/Nt,Rd=0.15$

- Verifica freccia massima carichi totali - CC 22
 $f_{z,g}=0.01$ (L/50179)

- Verifica freccia massima per soli carichi accidentali - CC 22
 $f_{z,g}=0.00$ (L/118084)

Asta n. 1811 (116 1107) Sez. 5 UPN100 Crit. 3

Relazione di calcolo

-
- Verifica a trazione (4.2.4.1.2.1) - CC 5 SLV Xl=0.00 - Classe 1
Sollecitazioni: N=4242.53
Verifica a trazione [4.2.5]
N,Ed=4242.53 Npl,Rd=35889.70 Nu,Rd=42425.50 N,Ed/Nt,Rd=0.12
- Verifica freccia massima carichi totali - CC 22
fz,g=0.02 (L/31271)
- Verifica freccia massima per soli carichi accidentali - CC 22
fz,g=0.01 (L/68203)

Asta n. 1844 (125 1116) Sez. 5 UPN100 Crit. 3

-
- Verifica a trazione (4.2.4.1.2.1) - CC 5 SLV Xl=0.00 - Classe 1
Sollecitazioni: N=3715.82
Verifica a trazione [4.2.5]
N,Ed=3715.82 Npl,Rd=35889.70 Nu,Rd=42425.50 N,Ed/Nt,Rd=0.10
- Verifica freccia massima carichi totali - CC 22
fz,g=0.02 (L/29015)
- Verifica freccia massima per soli carichi accidentali - CC 22
fz,g=0.01 (L/60088)

Asta n. 1877 (116 1125) Sez. 5 UPN100 Crit. 3

-
- Verifica a trazione (4.2.4.1.2.1) - CC 13 SLV Xl=0.00 - Classe 1
Sollecitazioni: N=5884.63
Verifica a trazione [4.2.5]
N,Ed=5884.63 Npl,Rd=35889.70 Nu,Rd=42425.50 N,Ed/Nt,Rd=0.16
- Verifica freccia massima carichi totali - CC 22
fz,g=0.00 (L/171992)

Criteri di analisi geotecnica e progetto delle fondazioni

Fondazioni superficiali

Generali	
Generali	
Condizioni di calcolo per terreni coesivi	Sia drenate che non drenate
Calcolo di a' dal rapporto con c'	1.00
Calcolo di au dal rapporto con cu	1.00
Calcolo di σ'dal rapporto con ϕ'	1.00
Considera l'angolo di attrito in deformazione piana per fondazioni nastriformi	No
Calcolo dei parametri rappresentativi per terreni stratificati	Media pesata
-Calcola i valori medi dell'angolo di attrito secondo la sua tangente	No
Capacità portante in condizioni statiche	
Calcolo della capacità portante per rottura generale	Brinch - Hansen (1970)
-Combinazione dei fattori di forma e di inclinazione del carico	Considera entrambi separatamente
-Considera il fattore di riduzione per platee	No
-Considera gli effetti dell'eccentricità del carico con un unico fattore riduttivo	No
Considera eccentricità e inclinazione dei carichi attraverso domini di interazione	No
-Parametro correttivo del momento	0.00
-Parametro correttivo del carico orizzontale	0.00
Calcolo della capacità portante per rottura locale	Si
	Terzaghi (1943)
Calcolo della capacità portante per rottura per punzonamento	Si
Calcolo della capacità portante per scorrimento	No
-Percentuale di carico orizzontale assorbito dai cordoli <%>	0.00
-Percentuale di spinta passiva mobilitata <%>	0.00
Calcolo della capacità portante per sollevamento	No
Capacità portante in condizioni sismiche	
Calcolo della capacità portante per rottura generale	Richards et al. (1993)
Riduzione dell'angolo d'attrito per terreni incoerenti ben addensati	No
Calcolo della capacità portante per scorrimento	No
-Percentuale di carico orizzontale assorbito dai cordoli <%>	0.00
-Percentuale di spinta passiva mobilitata <%>	0.00
Cedimenti	
Cedimenti	Terzaghi (1955)
-Costante di sottofondo standardizzata k1	5000000.00
Considera pressioni di esercizio al netto delle tensioni litostatiche	No
Calcola costante di sottofondo per pressioni di esercizio	No
Limita costante di sottofondo ad un valore	No

Fondazioni profonde

Generali	
Generali	
Calcolo capacità portante per carichi verticali	Secondo formule statiche
Considera capacità portante	Entrambe
Condizioni di calcolo per terreni coesivi	Sia drenate che non drenate
Calcolo della profondità critica	No
Effettua calcolo elasto-plastico per cedimenti	Si
Effettua calcolo elasto-plastico per spostamenti orizzontali	Si
Rapporto di elasticità trazione/compressione pari a	1.00
Fattori di correlazione	1.70
Considera fattori di correlazione anche per carichi orizzontali	No
Considera peso del palo	No
Divisore del raggio del palo per lunghezza conci	1.00
Max numero conci palo	50.00
Attrito laterale limite da prove in sito	
Correlato con prove CPT	No
Correlato con prove SPT	No
Fattore di riduzione attrito laterale per pali trivellati	No
Pressione limite alla base da prove in sito	
Correlata con prove CPT	No
Correlata con prove SPT	No
Fattore di riduzione pressione limite alla base per pali trivellati	No
Spostamenti orizzontali	
Spostamenti orizzontali	Risposta elastica in funzione della stratigrafia

Specifici	1	2	3	4	5	6	7	8	9	10
Attrito laterale limite										
Calcolo dell'attrito laterale limite	Si	Si	Si	Si	Si	Si	Si	Si	Si	Si
-Condizioni non drenate										
-Calcolo di α										
-Pari a										
-A.G.I. (1984)	x	x	x	x	x	x	x	x	x	x
-A.P.I. (1984)										
-Viggiani (1999)										
-Olson e Dennis (1982)										
-Stas e Kulhavy (1984)										
-Skempton (1986)										
-Reese e O'Neill (1989)										
-Metodo di Bustamente e Doix (1985) per micropali	No	No	No	No	No	No	No	No	No	No
-Iniezioni ripetute	x	x	x	x	x	x	x	x	x	x
-Unica iniezione										
-Condizioni drenate										
-Calcolo di β										
-Pari a	0.25	0.25	0.25	0.25	0.25	0.25	0.25	0.25	0.25	0.25
-Reese e O'Neill (1989)										
-Calcolato										
-Calcolo di k										
-Pari a										
-Dal rapporto con k_0 pari a	0.00	0.00	0.00	0.00	0.00	0.00	0.00	0.00	0.00	0.00
-Fleming (1985)										
-Calcolo di δ										
-Pari a <grad>										
-Dal rapporto con ϕ' pari a	0.00	0.00	0.00	0.00	0.00	0.00	0.00	0.00	0.00	0.00
-Calcolo di a' dal rapporto con c'	1.00	1.00	1.00	1.00	1.00	1.00	1.00	1.00	1.00	1.00
Calcolo dell'attrito laterale limite per trazione										
-Considera i risultati del calcolo per l'attrito laterale limite per compressione con un fattore di riduzione pari a	0.66	0.66	0.66	0.66	0.66	0.66	0.66	0.66	0.66	0.66
-Sowa (1970)	No	No	No	No	No	No	No	No	No	No
-Bowles (1991)	No	No	No	No	No	No	No	No	No	No
Considera l'effetto dell'attrito negativo	No	No	No	No	No	No	No	No	No	No
-Coefficiente di Lambe										
Pressione limite alla base										
Calcolo della pressione limite alla base del palo	Si	Si	Si	Si	Si	Si	Si	Si	Si	Si
-Terzaghi (1943)	x	x	x	x	x	x	x	x	x	x
-Meyerhof (1963)										
-Hansen (1970)										
-Vesic (1975)										
-Berezantzev (1961)										

Relazione di calcolo

-Berezantzev (1965)										
-Stagg e Zienkiewicz (1968)										
-Relazione generale, coefficienti di capacità portante										
-In condizioni drenate										
-N _q										
-N _c										
-In condizioni non drenate										
-N _c										
-Fattore di riduzione per terreni coesivi sovraconsolidati	No	No	No	No	No	No	No	No	No	No
Cedimenti										
Risposta elastica laterale										
-Calcolata dalla rigidezza dello strato	x	x	x	x	x	x	x	x	x	x
-Coefficiente di influenza	4.00	4.00	4.00	4.00	4.00	4.00	4.00	4.00	4.00	4.00
-Pari a <daN/mq>										
Risposta elastica alla base										
-Calcolata dalla rigidezza dello strato	x	x	x	x	x	x	x	x	x	x
-Pari a <daN/mq>										
Spostamenti orizzontali										
Risposta elastica										
-Vesic (1961)										
-Broms (1964)										
-Glick (1948)										
-Chen (1978)										
-Pari a <daN/mq>										
-Dal modulo elastico	x	x	x	x	x	x	x	x	x	x
-Coefficiente effetto tridimensionale	2.00	2.00	2.00	2.00	2.00	2.00	2.00	2.00	2.00	2.00
Resistenza limite										
-Calcolata dai parametri plastici	x	x	x	x	x	x	x	x	x	x
-Coefficiente effetto tridimensionale resistenza per attrito	3.00	3.00	3.00	3.00	3.00	3.00	3.00	3.00	3.00	3.00
-Coefficiente effetto tridimensionale resistenza per coesione	4.00	4.00	4.00	4.00	4.00	4.00	4.00	4.00	4.00	4.00
-Pari a <daN/mq>										

Caratterizzazione

	1	2	3	4	5	6	7	8	9	10
Specifici										
Informazioni preliminari										
Coefficiente di uniformità	No	No	No	No	No	No	No	No	No	No
-Pari a	0.00	0.00	0.00	0.00	0.00	0.00	0.00	0.00	0.00	0.00
Definizione della composizione granulometrica, per terreni incoerenti	No	No	No	No	No	No	No	No	No	No
-Sabbia fine uniforme	x	x	x	x	x	x	x	x	x	x
-Sabbia fine ben gradata - sabbia media uniforme										
-Sabbia media ben gradata - sabbia grossa uniforme										
-Sabbia e ghiaia - ghiaia media										
Definizione indici compressibilità edometrica, per terreni coesivi	No	No	No	No	No	No	No	No	No	No
-Indice di compressione (Cc)	0.00	0.00	0.00	0.00	0.00	0.00	0.00	0.00	0.00	0.00
-Indice di ricomprensione (Cr)	0.00	0.00	0.00	0.00	0.00	0.00	0.00	0.00	0.00	0.00
-Considera incremento preconsolidazione costante	No	No	No	No	No	No	No	No	No	No
-Pari a	0.00	0.00	0.00	0.00	0.00	0.00	0.00	0.00	0.00	0.00
Correggi NSPT se la misura è sottofalda	No	No	No	No	No	No	No	No	No	No
Densità relativa										
Correlata con prove SPT										
-Terzaghi e Peck (1948)	Si	Si	Si	Si	Si	Si	Si	Si	Si	Si
-Gibbs e Holtz (1957)	No	No	No	No	No	No	No	No	No	No
-Meyerhof (1957)	No	No	No	No	No	No	No	No	No	No
-Schultze e Menzenbach (1961)	No	No	No	No	No	No	No	No	No	No
-Bazaara (1967)	No	No	No	No	No	No	No	No	No	No
-Marcuson e Bieganousky (1977)	No	No	No	No	No	No	No	No	No	No
-Skempton (1986)	No	No	No	No	No	No	No	No	No	No
Correlata con prove CPT										
-Schmertmann (1976)	Si	Si	Si	Si	Si	Si	Si	Si	Si	Si
-Jamiolkowski et al. (1985)	No	No	No	No	No	No	No	No	No	No
-Baldi et al. (1986)	No	No	No	No	No	No	No	No	No	No
Elaborazione dei risultati										
-Valore medio	x	x	x	x	x	x	x	x	x	x
-Valore minore										
Angolo d'attrito										
Correlato con prove SPT										
-Terzaghi e Peck (1948)	Si	Si	Si	Si	Si	Si	Si	Si	Si	Si
-Schmertmann (1975)	No	No	No	No	No	No	No	No	No	No
-Wolff (1989)	No	No	No	No	No	No	No	No	No	No
-Hatanaka e Uchida (1996)	No	No	No	No	No	No	No	No	No	No
-Road Bridge Specification	No	No	No	No	No	No	No	No	No	No
-Owasaki e Iwasaki	No	No	No	No	No	No	No	No	No	No

Relazione di calcolo

-Japanese National Railway	No	No	No	No	No	No	No	No	No	No
-Peck-Hanson e Thornburn	No	No	No	No	No	No	No	No	No	No
-De Mello	No	No	No	No	No	No	No	No	No	No
Correlato con prove CPT										
-Robertson e Campanella (1983)	Si	Si	Si	Si	Si	Si	Si	Si	Si	Si
-Durgunoglu e Mitchell	No	No	No	No	No	No	No	No	No	No
-Caquot	No	No	No	No	No	No	No	No	No	No
Correlata con proprietà indice										
-In funzione della densità relativa, per terreni incoerenti	No	No	No	No	No	No	No	No	No	No
-In funzione dell'indice di plasticità, per terreni coesivi	No	No	No	No	No	No	No	No	No	No
Elaborazione dei risultati										
-Valore medio	x	x	x	x	x	x	x	x	x	x
-Valore minore										
Coesione non drenata										
Correlata con prove SPT										
-Hara et al. (1971)	Si	Si	Si	Si	Si	Si	Si	Si	Si	Si
-Stroud (1974)	No	No	No	No	No	No	No	No	No	No
Correlata con prove CPT										
-Mayne e Kemper (1988)	Si	Si	Si	Si	Si	Si	Si	Si	Si	Si
-Lunne e Eide	No	No	No	No	No	No	No	No	No	No
Correlata con proprietà indice										
-Bjerrum e Simons (1960)	No	No	No	No	No	No	No	No	No	No
-Skempton (1953)	No	No	No	No	No	No	No	No	No	No
-Calcolata da $\sigma'v_0$ con moltiplicatore pari a	No	No	No	No	No	No	No	No	No	No
Pari a	0.00	0.00	0.00	0.00	0.00	0.00	0.00	0.00	0.00	0.00
Elaborazione dei risultati										
-Valore medio	x	x	x	x	x	x	x	x	x	x
-Valore minore										
Caratteristiche litostatiche										
Grado di sovraconsolidazione										
-Correlato con prove SPT										
-Mayne e Kemper (1988)	No	No	No	No	No	No	No	No	No	No
-Correlato con prove CPT										
-Mayne e Kemper (1988)	No	No	No	No	No	No	No	No	No	No
-Elaborazione dei risultati										
-Valore medio	x	x	x	x	x	x	x	x	x	x
-Valore minore										
Coefficiente di spinta a riposo										
-Calcolo di k_0 (NC)										
-Jaky (1936)	x	x	x	x	x	x	x	x	x	x
-Brooker e Ireland (1965)										
-Alpan (1967)										
-Massarsch (1979)										
-Correlato con Dr										
-Calcolato dal coefficiente di Poisson										
-Calcolo di α										
-Pari a										
-Kulhawy (1989)	x	x	x	x	x	x	x	x	x	x
-Alpan (1967) per terreni coesivi										
-Alpan (1967) per terreni incoerenti										
-Correlato con Dr										
Parametri elastici										
Correlati con prove GFS										
Correlati con prove SPT										
-Stroud e Butler (1975)										
-Stroud (1989)	x	x	x	x	x	x	x	x	x	x
-Schmertmann (1978)										
-Farrent										
-Menzenbach e Malcev										
-D'Appolonia										
-Schulze e Menzenbach										
-Crespellani e Vannucchi										
-Ohsaki e Iwasaki, per sabbie										
-Ohsaki e Iwasaki, per sabbie con fini										
Correlati con prove CPT										
-Schmertmann (1977)										
-Robertson e Campanella (1983)										
-Kulhawy e Mayne (1990)										
-Rix e Stokoe (1992)										
-Mayne e Rix (1993)										
Fattore correttivo	1.00	1.00	1.00	1.00	1.00	1.00	1.00	1.00	1.00	1.00

Geotecnica

Elenco colonne stratigrafiche

Colonna stratigrafica numero 1

Relazione di calcolo

Posizione: X=0.00 <m> Y=0.00 <m> Z=0.00 <m>
 Falda a profondità: 1.30 m

Simbologia

St. = Strato
 z = Profondità della superficie superiore dello strato
 Unità geotecnica = Unità geotecnica
 Class. = Classificazione
 Coes. = Coesivo
 Inc. = Incoerente
 Roc. = Roccia
 N. c. = Non classificato
 γ = Peso specifico del terreno naturale
 γ_{sat} = Peso specifico del terreno saturo
 D_r = Densità relativa
 I_p = Indice di plasticità
 ϕ' = Angolo di attrito efficace
 c' = Coesione efficace
 c_u = Coesione non drenata
 OCR = Grado di sovraconsolidazione
 κ_0 = Coeff. di spinta a riposo
 Crit. = Criterio di progetto

St.	z <m>	Unità geotecnica	Class.	γ <daN/mc>	γ_{sat} <daN/mc>	D_r	I_p	ϕ' <grad>	c' <daN/mq>	c_u <daN/mq>	OCR	κ_0	Crit.
1	0.00	1 Riporto	Inc.	1700.00	1700.00			37.00	0.00		1.00	0.39	1
2	1.30	4 RM_Argille Limose	Coes.	1600.00	1600.00			24.00	0.00	2800.00	1.00	0.58	1

Simbologia

St. = Strato
 z = Profondità della superficie superiore dello strato
 E = Modulo elastico normale
 G = Modulo elastico tangenziale
 k_j = Esponente del parametro tensionale
 ν = Coeff. di Poisson
 E_{ed} = Modulo edometrico
 E_u = Modulo elastico non drenato
 Crit. = Criterio di progetto

St.	z <m>	E <daN/mq>	G <daN/mq>	k_j	ν	E_{ed} <daN/mq>	E_u <daN/mq>	Crit.
1	0.00							1
2	1.30	1350000.00	556000.00	1.00	0.35	200000.00	1500000.00	1

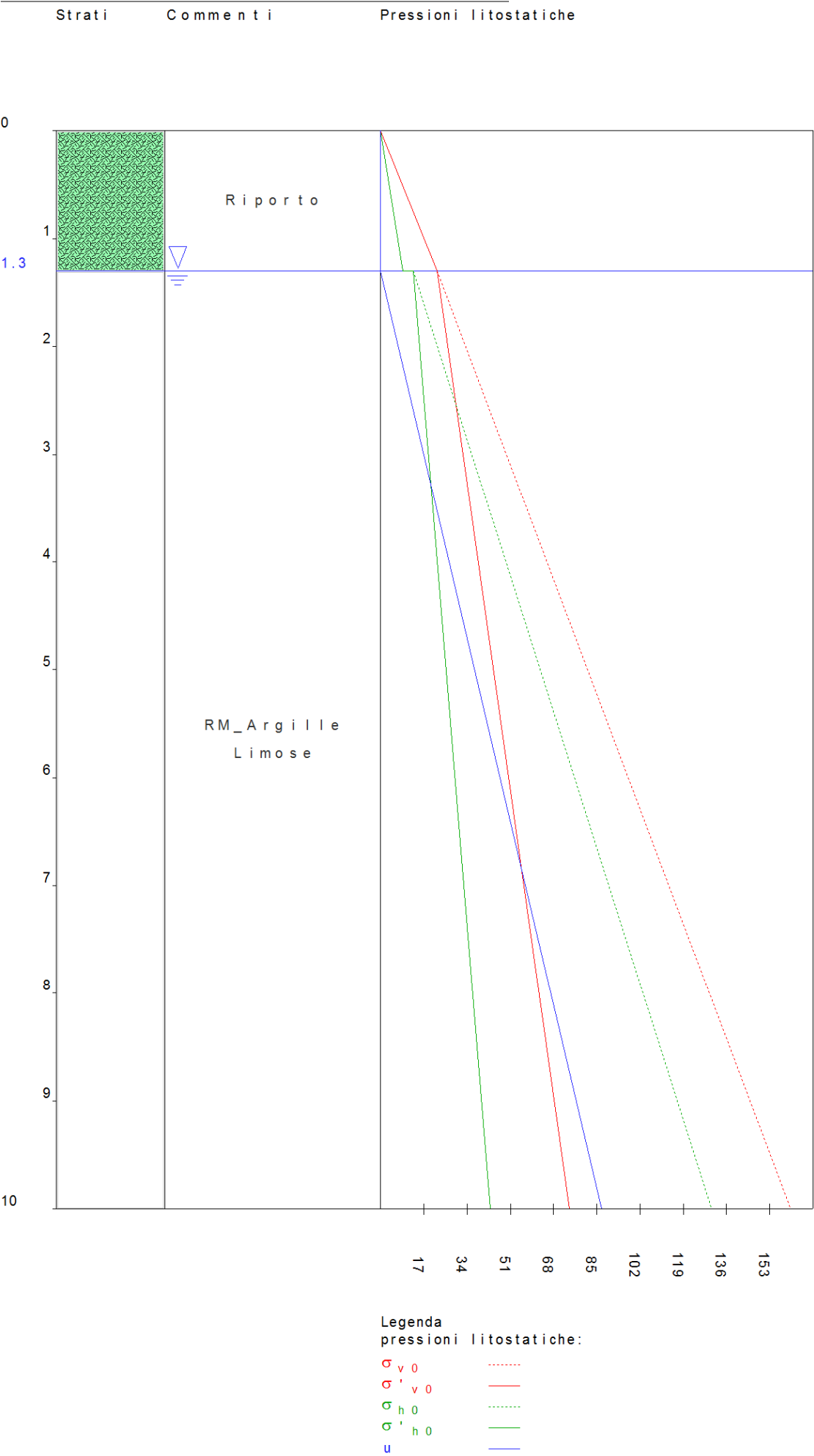


Figura numero 1: Colonna stratigrafica numero 1 S1

Le verifiche degli elementi di fondazione sono state effettuate utilizzando l'approccio 2.

Coefficienti parziali per le azioni, per verifiche in condizioni statiche:

Permanenti strutturali, sicurezza a favore $\gamma_A = 1.00$;
 Permanenti strutturali, sicurezza a sfavore $\gamma_A = 1.30$;
 Permanenti non strutturali, sicurezza a favore $\gamma_A = 0.00$;
 Permanenti non strutturali, sicurezza a sfavore $\gamma_A = 1.50$;
 Variabili, sicurezza a favore $\gamma_A = 0.00$;
 Variabili, sicurezza a sfavore $\gamma_A = 1.50$.

I coefficienti parziali per le azioni sono posti pari all'unità per le verifiche in condizioni sismiche.

Tali coefficienti sono comunque desumibili dalla tabella delle combinazioni delle CCE (Parametri di calcolo).

Coefficienti parziali per i parametri geotecnici:

Tangente dell'angolo di attrito $\gamma_M = 1.00$;
 Coesione efficace $\gamma_M = 1.00$;
 Coesione non drenata $\gamma_M = 1.00$;

Coefficienti parziali per la resistenza delle fondazioni superficiali:

Capacità portante $\gamma_R = 2.30$;
 Scorrimento $\gamma_R = 1.10$;

Fondazioni superficiali

Simbologia

B = Base della fondazione
 L = Lunghezza della fondazione ($L > B$)
 D = Profondità del piano di posa della fondazione
 β = Inclinazione del piano di campagna
 η = Inclinazione del piano di posa della fondazione
 γ_r = Peso specifico rappresentativo del terreno di fondazione
 $\sigma_{v0,f}$ = Pressione verticale alla profondità del piano di posa della fondazione
 ϕ'_r = Angolo di attrito rappresentativo del terreno di fondazione
 c'_r = Coesione efficace rappresentativa del terreno di fondazione
 N_q = Coefficiente di capacità portante relativo al sovraccarico laterale
 N_c = Coefficiente di capacità portante relativo alla coesione del terreno di fondazione
 N_g = Coefficiente di capacità portante relativo al peso del terreno di fondazione
 g_q = Fattore di inclinazione del piano di campagna relativo a sovraccarico laterale
 g_c = Fattore di inclinazione del piano di campagna relativo a coesione
 g_g = Fattore di inclinazione del piano di campagna relativo a peso del terreno
 b_q = Fattore di inclinazione del piano di fondazione relativo a sovraccarico laterale
 b_c = Fattore di inclinazione del piano di fondazione relativo a coesione
 b_g = Fattore di inclinazione del piano di fondazione relativo a peso del terreno
 c_{ur} = Coesione non drenata rappresentativa del terreno di fondazione
 a_g/g = Accelerazione orizzontale massima al sito normalizzata con l'accelerazione di gravità
 CC = Numero della combinazione delle condizioni di carico elementari
 N = Sforzo normale
 Tx = Taglio in dir. X
 Ty = Taglio in dir. Y
 Mx = Momento intorno all'asse X
 My = Momento intorno all'asse Y
 B' = Base della fondazione reagente
 L' = Lunghezza della fondazione reagente
 s_q = Fattore di forma relativo al sovraccarico laterale
 s_c = Fattore di forma relativo alla coesione
 s_g = Fattore di forma relativo al peso del terreno
 d_q = Fattore di profondità relativo al sovraccarico laterale
 d_c = Fattore di profondità relativo alla coesione
 i_q = Fattore di inclinazione relativo al sovraccarico laterale
 i_c = Fattore di inclinazione relativo alla coesione
 i_g = Fattore di inclinazione relativo al peso del terreno
 q_{lim} = Pressione limite
 R_d = Resistenza di progetto (Carico limite)
 Sic. = Sicurezza a rottura

Verifiche capacità portante

Verifiche di capacità portante per rottura generale in condizioni statiche

Metodo utilizzato: Brinch Hansen

Plinto n. 5

B=1.40 <m> L=1.40 <m> D=1.30 <m> β =0.00 <grad> η =0.00 <grad> γ_r =600.00 <daN/mc>

Relazione di calcolo

$\sigma_{v0,f}=2210.00$ <daN/mq>

Verifiche in condizioni drenate

$\phi'_r=24.00$ <grad> $c'_r=0.00$ <daN/mq>

$N_q=9.60$ $N_c=19.32$ $N_g=9.44$ $g_q=1.00$ $g_c=1.00$ $g_g=1.00$

$b_q=1.00$ $b_c=1.00$ $b_g=1.00$

CC	N <daN>	Tx <daN>	Ty <daN>	Mx <daNm>	My <daNm>	B' <m>	L' <m>	s _q	s _c	s _g	d _q	d _c	i _q	i _c	i _g	q _{lim} <daN/mq>	R _d <daN>	Sic.
17	12067.10	0.00	0.00	0.00	0.00	1.40	1.40	1.24	1.47	0.76	1.29	1.32	1.00	1.00	1.00	36922.20	31464.10	2.61
17	12067.10	0.00	0.00	0.00	0.00	1.40	1.40	1.00	1.00	1.00	1.29	1.32	1.00	1.00	1.00	31365.50	26728.90	2.22
18	12067.10	0.00	0.00	0.00	0.00	1.40	1.40	1.24	1.47	0.76	1.29	1.32	1.00	1.00	1.00	36922.20	31464.10	2.61
18	12067.10	0.00	0.00	0.00	0.00	1.40	1.40	1.00	1.00	1.00	1.29	1.32	1.00	1.00	1.00	31365.50	26728.90	2.22
19	11804.60	0.00	0.00	0.00	0.00	1.40	1.40	1.24	1.47	0.76	1.29	1.32	1.00	1.00	1.00	36922.20	31464.10	2.67
19	11804.60	0.00	0.00	0.00	0.00	1.40	1.40	1.00	1.00	1.00	1.29	1.32	1.00	1.00	1.00	31365.50	26728.90	2.26
20	11804.60	0.00	0.00	0.00	0.00	1.40	1.40	1.24	1.47	0.76	1.29	1.32	1.00	1.00	1.00	36922.20	31464.10	2.67
20	11804.60	0.00	0.00	0.00	0.00	1.40	1.40	1.00	1.00	1.00	1.29	1.32	1.00	1.00	1.00	31365.50	26728.90	2.26
21	11804.60	0.00	0.00	0.00	0.00	1.40	1.40	1.24	1.47	0.76	1.29	1.32	1.00	1.00	1.00	36922.20	31464.10	2.67
21	11804.60	0.00	0.00	0.00	0.00	1.40	1.40	1.00	1.00	1.00	1.29	1.32	1.00	1.00	1.00	31365.50	26728.90	2.26

Verifiche in condizioni non drenate

$c_{ur}=2800.00$ <daN/mq>

$N_q=1.00$ $N_c=5.14$ $g_c=1.00$ $b_c=1.00$

CC	N <daN>	Tx <daN>	Ty <daN>	Mx <daNm>	My <daNm>	B' <m>	L' <m>	s _c	d _c	i _q	i _c	q _{lim} <daN/mq>	R _d <daN>	Sic.
17	12067.10	0.00	0.00	0.00	0.00	1.40	1.40	1.20	1.37	1.00	1.00	25902.50	22073.40	1.83
17	12067.10	0.00	0.00	0.00	0.00	1.40	1.40	1.00	1.37	0.00	1.00	21953.70	18708.40	1.55
18	12067.10	0.00	0.00	0.00	0.00	1.40	1.40	1.20	1.37	1.00	1.00	25902.50	22073.40	1.83
18	12067.10	0.00	0.00	0.00	0.00	1.40	1.40	1.00	1.37	0.00	1.00	21953.70	18708.40	1.55
19	11804.60	0.00	0.00	0.00	0.00	1.40	1.40	1.20	1.37	1.00	1.00	25902.50	22073.40	1.87
19	11804.60	0.00	0.00	0.00	0.00	1.40	1.40	1.00	1.37	0.00	1.00	21953.70	18708.40	1.58
20	11804.60	0.00	0.00	0.00	0.00	1.40	1.40	1.20	1.37	1.00	1.00	25902.50	22073.40	1.87
20	11804.60	0.00	0.00	0.00	0.00	1.40	1.40	1.00	1.37	0.00	1.00	21953.70	18708.40	1.58
21	11804.60	0.00	0.00	0.00	0.00	1.40	1.40	1.20	1.37	1.00	1.00	25902.50	22073.40	1.87
21	11804.60	0.00	0.00	0.00	0.00	1.40	1.40	1.00	1.37	0.00	1.00	21953.70	18708.40	1.58

Verifiche di capacità portante per rottura generale in condizioni statiche

Metodo utilizzato: Brinch Hansen

Plinto n. 15

$B=1.40$ <m> $L=1.40$ <m> $D=1.30$ <m> $\beta=0.00$ <grad> $\eta=0.00$ <grad> $\gamma_r=600.00$ <daN/mc>

$\sigma_{v0,f}=2210.00$ <daN/mq>

Verifiche in condizioni drenate

$\phi'_r=24.00$ <grad> $c'_r=0.00$ <daN/mq>

$N_q=9.60$ $N_c=19.32$ $N_g=9.44$ $g_q=1.00$ $g_c=1.00$ $g_g=1.00$

$b_q=1.00$ $b_c=1.00$ $b_g=1.00$

CC	N <daN>	Tx <daN>	Ty <daN>	Mx <daNm>	My <daNm>	B' <m>	L' <m>	s _q	s _c	s _g	d _q	d _c	i _q	i _c	i _g	q _{lim} <daN/mq>	R _d <daN>	Sic.
17	18465.50	0.00	0.00	0.00	0.00	1.40	1.40	1.24	1.47	0.76	1.29	1.32	1.00	1.00	1.00	36922.20	31464.10	1.70
17	18465.50	0.00	0.00	0.00	0.00	1.40	1.40	1.00	1.00	1.00	1.29	1.32	1.00	1.00	1.00	31365.50	26728.90	1.45
18	18465.50	0.00	0.00	0.00	0.00	1.40	1.40	1.24	1.47	0.76	1.29	1.32	1.00	1.00	1.00	36922.20	31464.10	1.70
18	18465.50	0.00	0.00	0.00	0.00	1.40	1.40	1.00	1.00	1.00	1.29	1.32	1.00	1.00	1.00	31365.50	26728.90	1.45
19	17940.50	0.00	0.00	0.00	0.00	1.40	1.40	1.24	1.47	0.76	1.29	1.32	1.00	1.00	1.00	36922.20	31464.10	1.75
19	17940.50	0.00	0.00	0.00	0.00	1.40	1.40	1.00	1.00	1.00	1.29	1.32	1.00	1.00	1.00	31365.50	26728.90	1.49
20	17940.50	0.00	0.00	0.00	0.00	1.40	1.40	1.24	1.47	0.76	1.29	1.32	1.00	1.00	1.00	36922.20	31464.10	1.75
20	17940.50	0.00	0.00	0.00	0.00	1.40	1.40	1.00	1.00	1.00	1.29	1.32	1.00	1.00	1.00	31365.50	26728.90	1.49
21	17940.50	0.00	0.00	0.00	0.00	1.40	1.40	1.24	1.47	0.76	1.29	1.32	1.00	1.00	1.00	36922.20	31464.10	1.75
21	17940.50	0.00	0.00	0.00	0.00	1.40	1.40	1.00	1.00	1.00	1.29	1.32	1.00	1.00	1.00	31365.50	26728.90	1.49

Verifiche in condizioni non drenate

$c_{ur}=2800.00$ <daN/mq>

$N_q=1.00$ $N_c=5.14$ $g_c=1.00$ $b_c=1.00$

CC	N <daN>	Tx <daN>	Ty <daN>	Mx <daNm>	My <daNm>	B' <m>	L' <m>	s _c	d _c	i _q	i _c	q _{lim} <daN/mq>	R _d <daN>	Sic.
17	18465.50	0.00	0.00	0.00	0.00	1.40	1.40	1.20	1.37	1.00	1.00	25902.50	22073.40	1.20
17	18465.50	0.00	0.00	0.00	0.00	1.40	1.40	1.00	1.37	0.00	1.00	21953.70	18708.40	1.01
18	18465.50	0.00	0.00	0.00	0.00	1.40	1.40	1.20	1.37	1.00	1.00	25902.50	22073.40	1.20
18	18465.50	0.00	0.00	0.00	0.00	1.40	1.40	1.00	1.37	0.00	1.00	21953.70	18708.40	1.01
19	17940.50	0.00	0.00	0.00	0.00	1.40	1.40	1.20	1.37	1.00	1.00	25902.50	22073.40	1.23

Relazione di calcolo

19	17940.50	0.00	0.00	0.00	0.00	1.40	1.40	1.00	1.37	0.00	1.00	21953.70	18708.40	1.04
20	17940.50	0.00	0.00	0.00	0.00	1.40	1.40	1.20	1.37	1.00	1.00	25902.50	22073.40	1.23
20	17940.50	0.00	0.00	0.00	0.00	1.40	1.40	1.00	1.37	0.00	1.00	21953.70	18708.40	1.04
21	17940.50	0.00	0.00	0.00	0.00	1.40	1.40	1.20	1.37	1.00	1.00	25902.50	22073.40	1.23
21	17940.50	0.00	0.00	0.00	0.00	1.40	1.40	1.00	1.37	0.00	1.00	21953.70	18708.40	1.04

Verifiche di capacità portante per rottura generale in condizioni statiche

Metodo utilizzato: Brinch Hansen

Plinto n. 16

B=1.80 <m> L=1.80 <m> D=1.30 <m> β =0.00 <grad> η =0.00 <grad> γ_r =600.00 <daN/mc>

$\sigma_{v0,f}$ =2210.00 <daN/mq>

Verifiche in condizioni drenate

ϕ'_r =24.00 <grad> c'_r =0.00 <daN/mq>

N_q =9.60 N_c =19.32 N_g =9.44 g_q =1.00 g_c =1.00 g_g =1.00

b_q =1.00 b_c =1.00 b_g =1.00

CC	N <daN>	Tx <daN>	Ty <daN>	Mx <daNm>	My <daNm>	B' <m>	L' <m>	s _q	s _c	s _g	d _q	d _c	i _q	i _c	i _g	q _{lim} <daN/mq>	R _d <daN>	Sic.
17	29064.70	0.00	0.00	0.00	0.00	1.80	1.80	1.24	1.47	0.76	1.23	1.25	1.00	1.00	1.00	36088.50	50837.80	1.75
17	29064.70	0.00	0.00	0.00	0.00	1.80	1.80	1.00	1.00	1.00	1.23	1.25	1.00	1.00	1.00	31125.90	43847.00	1.51
18	29064.70	0.00	0.00	0.00	0.00	1.80	1.80	1.24	1.47	0.76	1.23	1.25	1.00	1.00	1.00	36088.50	50837.80	1.75
18	29064.70	0.00	0.00	0.00	0.00	1.80	1.80	1.00	1.00	1.00	1.23	1.25	1.00	1.00	1.00	31125.90	43847.00	1.51
19	28099.10	0.00	0.00	0.00	0.00	1.80	1.80	1.24	1.47	0.76	1.23	1.25	1.00	1.00	1.00	36088.50	50837.80	1.81
19	28099.10	0.00	0.00	0.00	0.00	1.80	1.80	1.00	1.00	1.00	1.23	1.25	1.00	1.00	1.00	31125.90	43847.00	1.56
20	28099.10	0.00	0.00	0.00	0.00	1.80	1.80	1.24	1.47	0.76	1.23	1.25	1.00	1.00	1.00	36088.50	50837.80	1.81
20	28099.10	0.00	0.00	0.00	0.00	1.80	1.80	1.00	1.00	1.00	1.23	1.25	1.00	1.00	1.00	31125.90	43847.00	1.56
21	28099.10	0.00	0.00	0.00	0.00	1.80	1.80	1.24	1.47	0.76	1.23	1.25	1.00	1.00	1.00	36088.50	50837.80	1.81
21	28099.10	0.00	0.00	0.00	0.00	1.80	1.80	1.00	1.00	1.00	1.23	1.25	1.00	1.00	1.00	31125.90	43847.00	1.56

Verifiche in condizioni non drenate

c_{ur} =2800.00 <daN/mq>

N_q =1.00 N_c =5.14 g_c =1.00 b_c =1.00

CC	N <daN>	Tx <daN>	Ty <daN>	Mx <daNm>	My <daNm>	B' <m>	L' <m>	s _c	d _c	i _q	i _c	q _{lim} <daN/mq>	R _d <daN>	Sic.
17	29064.70	0.00	0.00	0.00	0.00	1.80	1.80	1.20	1.29	1.00	1.00	24476.50	34480.00	1.19
17	29064.70	0.00	0.00	0.00	0.00	1.80	1.80	1.00	1.29	0.00	1.00	20765.50	29252.20	1.01
18	29064.70	0.00	0.00	0.00	0.00	1.80	1.80	1.20	1.29	1.00	1.00	24476.50	34480.00	1.19
18	29064.70	0.00	0.00	0.00	0.00	1.80	1.80	1.00	1.29	0.00	1.00	20765.50	29252.20	1.01
19	28099.10	0.00	0.00	0.00	0.00	1.80	1.80	1.20	1.29	1.00	1.00	24476.50	34480.00	1.23
19	28099.10	0.00	0.00	0.00	0.00	1.80	1.80	1.00	1.29	0.00	1.00	20765.50	29252.20	1.04
20	28099.10	0.00	0.00	0.00	0.00	1.80	1.80	1.20	1.29	1.00	1.00	24476.50	34480.00	1.23
20	28099.10	0.00	0.00	0.00	0.00	1.80	1.80	1.00	1.29	0.00	1.00	20765.50	29252.20	1.04
21	28099.10	0.00	0.00	0.00	0.00	1.80	1.80	1.20	1.29	1.00	1.00	24476.50	34480.00	1.23
21	28099.10	0.00	0.00	0.00	0.00	1.80	1.80	1.00	1.29	0.00	1.00	20765.50	29252.20	1.04

Verifiche di capacità portante per rottura generale in condizioni statiche

Metodo utilizzato: Brinch Hansen

Plinto n. 18

B=1.80 <m> L=1.80 <m> D=1.30 <m> β =0.00 <grad> η =0.00 <grad> γ_r =600.00 <daN/mc>

$\sigma_{v0,f}$ =2210.00 <daN/mq>

Verifiche in condizioni drenate

ϕ'_r =24.00 <grad> c'_r =0.00 <daN/mq>

N_q =9.60 N_c =19.32 N_g =9.44 g_q =1.00 g_c =1.00 g_g =1.00

b_q =1.00 b_c =1.00 b_g =1.00

CC	N <daN>	Tx <daN>	Ty <daN>	Mx <daNm>	My <daNm>	B' <m>	L' <m>	s _q	s _c	s _g	d _q	d _c	i _q	i _c	i _g	q _{lim} <daN/mq>	R _d <daN>	Sic.
17	29064.70	0.00	0.00	0.00	0.00	1.80	1.80	1.24	1.47	0.76	1.23	1.25	1.00	1.00	1.00	36088.50	50837.80	1.75
17	29064.70	0.00	0.00	0.00	0.00	1.80	1.80	1.00	1.00	1.00	1.23	1.25	1.00	1.00	1.00	31125.90	43847.00	1.51
18	29064.70	0.00	0.00	0.00	0.00	1.80	1.80	1.24	1.47	0.76	1.23	1.25	1.00	1.00	1.00	36088.50	50837.80	1.75
18	29064.70	0.00	0.00	0.00	0.00	1.80	1.80	1.00	1.00	1.00	1.23	1.25	1.00	1.00	1.00	31125.90	43847.00	1.51
19	28099.10	0.00	0.00	0.00	0.00	1.80	1.80	1.24	1.47	0.76	1.23	1.25	1.00	1.00	1.00	36088.50	50837.80	1.81
19	28099.10	0.00	0.00	0.00	0.00	1.80	1.80	1.00	1.00	1.00	1.23	1.25	1.00	1.00	1.00	31125.90	43847.00	1.56
20	28099.10	0.00	0.00	0.00	0.00	1.80	1.80	1.24	1.47	0.76	1.23	1.25	1.00	1.00	1.00	36088.50	50837.80	1.81
20	28099.10	0.00	0.00	0.00	0.00	1.80	1.80	1.00	1.00	1.00	1.23	1.25	1.00	1.00	1.00	31125.90	43847.00	1.56
21	28099.10	0.00	0.00	0.00	0.00	1.80	1.80	1.24	1.47	0.76	1.23	1.25	1.00	1.00	1.00	36088.50	50837.80	1.81
21	28099.10	0.00	0.00	0.00	0.00	1.80	1.80	1.00	1.00	1.00	1.23	1.25	1.00	1.00	1.00	31125.90	43847.00	1.56

Relazione di calcolo

Verifiche in condizioni non drenate

$c_{ur}=2800.00$ <daN/mq>
 $N_q=1.00$ $N_c=5.14$ $g_c=1.00$ $b_c=1.00$

CC	N <daN>	Tx <daN>	Ty <daN>	Mx <daNm>	My <daNm>	B' <m>	L' <m>	s _c	d _c	i _q	i _c	Q _{lim} <daN/mq>	R _d <daN>	Sic.
17	29064.70	0.00	0.00	0.00	0.00	1.80	1.80	1.20	1.29	1.00	1.00	24476.50	34480.00	1.19
17	29064.70	0.00	0.00	0.00	0.00	1.80	1.80	1.00	1.29	0.00	1.00	20765.50	29252.20	1.01
18	29064.70	0.00	0.00	0.00	0.00	1.80	1.80	1.20	1.29	1.00	1.00	24476.50	34480.00	1.19
18	29064.70	0.00	0.00	0.00	0.00	1.80	1.80	1.00	1.29	0.00	1.00	20765.50	29252.20	1.01
19	28099.10	0.00	0.00	0.00	0.00	1.80	1.80	1.20	1.29	1.00	1.00	24476.50	34480.00	1.23
19	28099.10	0.00	0.00	0.00	0.00	1.80	1.80	1.00	1.29	0.00	1.00	20765.50	29252.20	1.04
20	28099.10	0.00	0.00	0.00	0.00	1.80	1.80	1.20	1.29	1.00	1.00	24476.50	34480.00	1.23
20	28099.10	0.00	0.00	0.00	0.00	1.80	1.80	1.00	1.29	0.00	1.00	20765.50	29252.20	1.04
21	28099.10	0.00	0.00	0.00	0.00	1.80	1.80	1.20	1.29	1.00	1.00	24476.50	34480.00	1.23
21	28099.10	0.00	0.00	0.00	0.00	1.80	1.80	1.00	1.29	0.00	1.00	20765.50	29252.20	1.04

Verifiche di capacità portante per rottura generale in condizioni statiche

Metodo utilizzato: Brinch Hansen

Plinto n. 19

$B=1.80$ <m> $L=1.80$ <m> $D=1.30$ <m> $\beta=0.00$ <grad> $\eta=0.00$ <grad> $\gamma_r=600.00$ <daN/mc>
 $\sigma_{v0,f}=2210.00$ <daN/mq>

Verifiche in condizioni drenate

$\phi'_r=24.00$ <grad> $c'_r=0.00$ <daN/mq>
 $N_q=9.60$ $N_c=19.32$ $N_g=9.44$ $g_q=1.00$ $g_c=1.00$ $g_g=1.00$
 $b_q=1.00$ $b_c=1.00$ $b_g=1.00$

CC	N <daN>	Tx <daN>	Ty <daN>	Mx <daNm>	My <daNm>	B' <m>	L' <m>	s _q	s _c	s _g	d _q	d _c	i _q	i _c	i _g	Q _{lim} <daN/mq>	R _d <daN>	Sic.
17	23768.40	0.00	0.00	0.00	0.00	1.80	1.80	1.24	1.47	0.76	1.23	1.25	1.00	1.00	1.00	36088.50	50837.80	2.14
17	23768.40	0.00	0.00	0.00	0.00	1.80	1.80	1.00	1.00	1.00	1.23	1.25	1.00	1.00	1.00	31125.90	43847.00	1.84
18	23768.40	0.00	0.00	0.00	0.00	1.80	1.80	1.24	1.47	0.76	1.23	1.25	1.00	1.00	1.00	36088.50	50837.80	2.14
18	23768.40	0.00	0.00	0.00	0.00	1.80	1.80	1.00	1.00	1.00	1.23	1.25	1.00	1.00	1.00	31125.90	43847.00	1.84
19	23023.10	0.00	0.00	0.00	0.00	1.80	1.80	1.24	1.47	0.76	1.23	1.25	1.00	1.00	1.00	36088.50	50837.80	2.21
19	23023.10	0.00	0.00	0.00	0.00	1.80	1.80	1.00	1.00	1.00	1.23	1.25	1.00	1.00	1.00	31125.90	43847.00	1.90
20	23023.10	0.00	0.00	0.00	0.00	1.80	1.80	1.24	1.47	0.76	1.23	1.25	1.00	1.00	1.00	36088.50	50837.80	2.21
20	23023.10	0.00	0.00	0.00	0.00	1.80	1.80	1.00	1.00	1.00	1.23	1.25	1.00	1.00	1.00	31125.90	43847.00	1.90
21	23023.10	0.00	0.00	0.00	0.00	1.80	1.80	1.24	1.47	0.76	1.23	1.25	1.00	1.00	1.00	36088.50	50837.80	2.21
21	23023.10	0.00	0.00	0.00	0.00	1.80	1.80	1.00	1.00	1.00	1.23	1.25	1.00	1.00	1.00	31125.90	43847.00	1.90

Verifiche in condizioni non drenate

$c_{ur}=2800.00$ <daN/mq>
 $N_q=1.00$ $N_c=5.14$ $g_c=1.00$ $b_c=1.00$

CC	N <daN>	Tx <daN>	Ty <daN>	Mx <daNm>	My <daNm>	B' <m>	L' <m>	s _c	d _c	i _q	i _c	Q _{lim} <daN/mq>	R _d <daN>	Sic.
17	23768.40	0.00	0.00	0.00	0.00	1.80	1.80	1.20	1.29	1.00	1.00	24476.50	34480.00	1.45
17	23768.40	0.00	0.00	0.00	0.00	1.80	1.80	1.00	1.29	0.00	1.00	20765.50	29252.20	1.23
18	23768.40	0.00	0.00	0.00	0.00	1.80	1.80	1.20	1.29	1.00	1.00	24476.50	34480.00	1.45
18	23768.40	0.00	0.00	0.00	0.00	1.80	1.80	1.00	1.29	0.00	1.00	20765.50	29252.20	1.23
19	23023.10	0.00	0.00	0.00	0.00	1.80	1.80	1.20	1.29	1.00	1.00	24476.50	34480.00	1.50
19	23023.10	0.00	0.00	0.00	0.00	1.80	1.80	1.00	1.29	0.00	1.00	20765.50	29252.20	1.27
20	23023.10	0.00	0.00	0.00	0.00	1.80	1.80	1.20	1.29	1.00	1.00	24476.50	34480.00	1.50
20	23023.10	0.00	0.00	0.00	0.00	1.80	1.80	1.00	1.29	0.00	1.00	20765.50	29252.20	1.27
21	23023.10	0.00	0.00	0.00	0.00	1.80	1.80	1.20	1.29	1.00	1.00	24476.50	34480.00	1.50
21	23023.10	0.00	0.00	0.00	0.00	1.80	1.80	1.00	1.29	0.00	1.00	20765.50	29252.20	1.27

Verifiche di capacità portante per rottura generale in condizioni statiche

Metodo utilizzato: Brinch Hansen

Plinto n. 21

$B=1.80$ <m> $L=1.80$ <m> $D=1.30$ <m> $\beta=0.00$ <grad> $\eta=0.00$ <grad> $\gamma_r=600.00$ <daN/mc>
 $\sigma_{v0,f}=2210.00$ <daN/mq>

Verifiche in condizioni drenate

$\phi'_r=24.00$ <grad> $c'_r=0.00$ <daN/mq>
 $N_q=9.60$ $N_c=19.32$ $N_g=9.44$ $g_q=1.00$ $g_c=1.00$ $g_g=1.00$
 $b_q=1.00$ $b_c=1.00$ $b_g=1.00$

Relazione di calcolo

CC	N <daN>	Tx <daN>	Ty <daN>	Mx <daNm>	My <daNm>	B' <m>	L' <m>	s _q	s _c	s _g	d _q	d _c	i _q	i _c	i _g	q _{lim} <daN/mq>	R _d <daN>	Sic.
17	29064.70	0.00	0.00	0.00	0.00	1.80	1.80	1.24	1.47	0.76	1.23	1.25	1.00	1.00	1.00	36088.50	50837.80	1.75
17	29064.70	0.00	0.00	0.00	0.00	1.80	1.80	1.00	1.00	1.00	1.23	1.25	1.00	1.00	1.00	31125.90	43847.00	1.51
18	29064.70	0.00	0.00	0.00	0.00	1.80	1.80	1.24	1.47	0.76	1.23	1.25	1.00	1.00	1.00	36088.50	50837.80	1.75
18	29064.70	0.00	0.00	0.00	0.00	1.80	1.80	1.00	1.00	1.00	1.23	1.25	1.00	1.00	1.00	31125.90	43847.00	1.51
19	28099.10	0.00	0.00	0.00	0.00	1.80	1.80	1.24	1.47	0.76	1.23	1.25	1.00	1.00	1.00	36088.50	50837.80	1.81
19	28099.10	0.00	0.00	0.00	0.00	1.80	1.80	1.00	1.00	1.00	1.23	1.25	1.00	1.00	1.00	31125.90	43847.00	1.56
20	28099.10	0.00	0.00	0.00	0.00	1.80	1.80	1.24	1.47	0.76	1.23	1.25	1.00	1.00	1.00	36088.50	50837.80	1.81
20	28099.10	0.00	0.00	0.00	0.00	1.80	1.80	1.00	1.00	1.00	1.23	1.25	1.00	1.00	1.00	31125.90	43847.00	1.56
21	28099.10	0.00	0.00	0.00	0.00	1.80	1.80	1.24	1.47	0.76	1.23	1.25	1.00	1.00	1.00	36088.50	50837.80	1.81
21	28099.10	0.00	0.00	0.00	0.00	1.80	1.80	1.00	1.00	1.00	1.23	1.25	1.00	1.00	1.00	31125.90	43847.00	1.56

Verifiche in condizioni non drenate

c_{ur}=2800.00 <daN/mq>
N_q=1.00 N_c=5.14 g_c=1.00 b_c=1.00

CC	N <daN>	Tx <daN>	Ty <daN>	Mx <daNm>	My <daNm>	B' <m>	L' <m>	s _c	d _c	i _q	i _c	q _{lim} <daN/mq>	R _d <daN>	Sic.
17	29064.70	0.00	0.00	0.00	0.00	1.80	1.80	1.20	1.29	1.00	1.00	24476.50	34480.00	1.19
17	29064.70	0.00	0.00	0.00	0.00	1.80	1.80	1.00	1.29	0.00	1.00	20765.50	29252.20	1.01
18	29064.70	0.00	0.00	0.00	0.00	1.80	1.80	1.20	1.29	1.00	1.00	24476.50	34480.00	1.19
18	29064.70	0.00	0.00	0.00	0.00	1.80	1.80	1.00	1.29	0.00	1.00	20765.50	29252.20	1.01
19	28099.10	0.00	0.00	0.00	0.00	1.80	1.80	1.20	1.29	1.00	1.00	24476.50	34480.00	1.23
19	28099.10	0.00	0.00	0.00	0.00	1.80	1.80	1.00	1.29	0.00	1.00	20765.50	29252.20	1.04
20	28099.10	0.00	0.00	0.00	0.00	1.80	1.80	1.20	1.29	1.00	1.00	24476.50	34480.00	1.23
20	28099.10	0.00	0.00	0.00	0.00	1.80	1.80	1.00	1.29	0.00	1.00	20765.50	29252.20	1.04
21	28099.10	0.00	0.00	0.00	0.00	1.80	1.80	1.20	1.29	1.00	1.00	24476.50	34480.00	1.23
21	28099.10	0.00	0.00	0.00	0.00	1.80	1.80	1.00	1.29	0.00	1.00	20765.50	29252.20	1.04

Verifiche di capacità portante per rottura generale in condizioni statiche

Metodo utilizzato: Brinch Hansen

Plinto n. 25

B=1.40 <m> L=1.40 <m> D=1.30 <m> β=0.00 <grad> η=0.00 <grad> γ_r=600.00 <daN/mc>
σ_{v0, f}=2210.00 <daN/mq>

Verifiche in condizioni drenate

φ'_r=24.00 <grad> c'_r=0.00 <daN/mq>
N_q=9.60 N_c=19.32 N_g=9.44 g_q=1.00 g_c=1.00 g_g=1.00
b_q=1.00 b_c=1.00 b_g=1.00

CC	N <daN>	Tx <daN>	Ty <daN>	Mx <daNm>	My <daNm>	B' <m>	L' <m>	s _q	s _c	s _g	d _q	d _c	i _q	i _c	i _g	q _{lim} <daN/mq>	R _d <daN>	Sic.
17	18465.50	0.00	0.00	0.00	0.00	1.40	1.40	1.24	1.47	0.76	1.29	1.32	1.00	1.00	1.00	36922.20	31464.10	1.70
17	18465.50	0.00	0.00	0.00	0.00	1.40	1.40	1.00	1.00	1.00	1.29	1.32	1.00	1.00	1.00	31365.50	26728.90	1.45
18	18465.50	0.00	0.00	0.00	0.00	1.40	1.40	1.24	1.47	0.76	1.29	1.32	1.00	1.00	1.00	36922.20	31464.10	1.70
18	18465.50	0.00	0.00	0.00	0.00	1.40	1.40	1.00	1.00	1.00	1.29	1.32	1.00	1.00	1.00	31365.50	26728.90	1.45
19	17940.50	0.00	0.00	0.00	0.00	1.40	1.40	1.24	1.47	0.76	1.29	1.32	1.00	1.00	1.00	36922.20	31464.10	1.75
19	17940.50	0.00	0.00	0.00	0.00	1.40	1.40	1.00	1.00	1.00	1.29	1.32	1.00	1.00	1.00	31365.50	26728.90	1.49
20	17940.50	0.00	0.00	0.00	0.00	1.40	1.40	1.24	1.47	0.76	1.29	1.32	1.00	1.00	1.00	36922.20	31464.10	1.75
20	17940.50	0.00	0.00	0.00	0.00	1.40	1.40	1.00	1.00	1.00	1.29	1.32	1.00	1.00	1.00	31365.50	26728.90	1.49
21	17940.50	0.00	0.00	0.00	0.00	1.40	1.40	1.24	1.47	0.76	1.29	1.32	1.00	1.00	1.00	36922.20	31464.10	1.75
21	17940.50	0.00	0.00	0.00	0.00	1.40	1.40	1.00	1.00	1.00	1.29	1.32	1.00	1.00	1.00	31365.50	26728.90	1.49

Verifiche in condizioni non drenate

c_{ur}=2800.00 <daN/mq>
N_q=1.00 N_c=5.14 g_c=1.00 b_c=1.00

CC	N <daN>	Tx <daN>	Ty <daN>	Mx <daNm>	My <daNm>	B' <m>	L' <m>	s _c	d _c	i _q	i _c	q _{lim} <daN/mq>	R _d <daN>	Sic.
17	18465.50	0.00	0.00	0.00	0.00	1.40	1.40	1.20	1.37	1.00	1.00	25902.50	22073.40	1.20
17	18465.50	0.00	0.00	0.00	0.00	1.40	1.40	1.00	1.37	0.00	1.00	21953.70	18708.40	1.01
18	18465.50	0.00	0.00	0.00	0.00	1.40	1.40	1.20	1.37	1.00	1.00	25902.50	22073.40	1.20
18	18465.50	0.00	0.00	0.00	0.00	1.40	1.40	1.00	1.37	0.00	1.00	21953.70	18708.40	1.01
19	17940.50	0.00	0.00	0.00	0.00	1.40	1.40	1.20	1.37	1.00	1.00	25902.50	22073.40	1.23
19	17940.50	0.00	0.00	0.00	0.00	1.40	1.40	1.00	1.37	0.00	1.00	21953.70	18708.40	1.04
20	17940.50	0.00	0.00	0.00	0.00	1.40	1.40	1.20	1.37	1.00	1.00	25902.50	22073.40	1.23
20	17940.50	0.00	0.00	0.00	0.00	1.40	1.40	1.00	1.37	0.00	1.00	21953.70	18708.40	1.04
21	17940.50	0.00	0.00	0.00	0.00	1.40	1.40	1.20	1.37	1.00	1.00	25902.50	22073.40	1.23
21	17940.50	0.00	0.00	0.00	0.00	1.40	1.40	1.00	1.37	0.00	1.00	21953.70	18708.40	1.04

Verifiche di capacità portante per rottura generale in condizioni statiche

Relazione di calcolo

Metodo utilizzato: Brinch Hansen

Plinto n. 35

B=1.40 <m> L=1.40 <m> D=1.30 <m> β=0.00 <grad> η=0.00 <grad> γ_r=600.00 <daN/mc>
σ_{v0,f}=2210.00 <daN/mq>

Verifiche in condizioni drenate

φ'_r=24.00 <grad> c'_r=0.00 <daN/mq>
N_q=9.60 N_c=19.32 N_g=9.44 g_q=1.00 g_c=1.00 g_g=1.00
b_q=1.00 b_c=1.00 b_g=1.00

CC	N <daN>	Tx <daN>	Ty <daN>	Mx <daNm>	My <daNm>	B' <m>	L' <m>	s _q	s _c	s _g	d _q	d _c	i _q	i _c	i _g	q _{lim} <daN/mq>	R _d <daN>	Sic.
17	18465.50	0.00	0.00	0.00	0.00	1.40	1.40	1.24	1.47	0.76	1.29	1.32	1.00	1.00	1.00	36922.20	31464.10	1.70
17	18465.50	0.00	0.00	0.00	0.00	1.40	1.40	1.00	1.00	1.00	1.29	1.32	1.00	1.00	1.00	31365.50	26728.90	1.45
18	18465.50	0.00	0.00	0.00	0.00	1.40	1.40	1.24	1.47	0.76	1.29	1.32	1.00	1.00	1.00	36922.20	31464.10	1.70
18	18465.50	0.00	0.00	0.00	0.00	1.40	1.40	1.00	1.00	1.00	1.29	1.32	1.00	1.00	1.00	31365.50	26728.90	1.45
19	17940.50	0.00	0.00	0.00	0.00	1.40	1.40	1.24	1.47	0.76	1.29	1.32	1.00	1.00	1.00	36922.20	31464.10	1.75
19	17940.50	0.00	0.00	0.00	0.00	1.40	1.40	1.00	1.00	1.00	1.29	1.32	1.00	1.00	1.00	31365.50	26728.90	1.49
20	17940.50	0.00	0.00	0.00	0.00	1.40	1.40	1.24	1.47	0.76	1.29	1.32	1.00	1.00	1.00	36922.20	31464.10	1.75
20	17940.50	0.00	0.00	0.00	0.00	1.40	1.40	1.00	1.00	1.00	1.29	1.32	1.00	1.00	1.00	31365.50	26728.90	1.49
21	17940.50	0.00	0.00	0.00	0.00	1.40	1.40	1.24	1.47	0.76	1.29	1.32	1.00	1.00	1.00	36922.20	31464.10	1.75
21	17940.50	0.00	0.00	0.00	0.00	1.40	1.40	1.00	1.00	1.00	1.29	1.32	1.00	1.00	1.00	31365.50	26728.90	1.49

Verifiche in condizioni non drenate

c_{ur}=2800.00 <daN/mq>
N_q=1.00 N_c=5.14 g_c=1.00 b_c=1.00

CC	N <daN>	Tx <daN>	Ty <daN>	Mx <daNm>	My <daNm>	B' <m>	L' <m>	s _c	d _c	i _q	i _c	q _{lim} <daN/mq>	R _d <daN>	Sic.
17	18465.50	0.00	0.00	0.00	0.00	1.40	1.40	1.20	1.37	1.00	1.00	25902.50	22073.40	1.20
17	18465.50	0.00	0.00	0.00	0.00	1.40	1.40	1.00	1.37	0.00	1.00	21953.70	18708.40	1.01
18	18465.50	0.00	0.00	0.00	0.00	1.40	1.40	1.20	1.37	1.00	1.00	25902.50	22073.40	1.20
18	18465.50	0.00	0.00	0.00	0.00	1.40	1.40	1.00	1.37	0.00	1.00	21953.70	18708.40	1.01
19	17940.50	0.00	0.00	0.00	0.00	1.40	1.40	1.20	1.37	1.00	1.00	25902.50	22073.40	1.23
19	17940.50	0.00	0.00	0.00	0.00	1.40	1.40	1.00	1.37	0.00	1.00	21953.70	18708.40	1.04
20	17940.50	0.00	0.00	0.00	0.00	1.40	1.40	1.20	1.37	1.00	1.00	25902.50	22073.40	1.23
20	17940.50	0.00	0.00	0.00	0.00	1.40	1.40	1.00	1.37	0.00	1.00	21953.70	18708.40	1.04
21	17940.50	0.00	0.00	0.00	0.00	1.40	1.40	1.20	1.37	1.00	1.00	25902.50	22073.40	1.23
21	17940.50	0.00	0.00	0.00	0.00	1.40	1.40	1.00	1.37	0.00	1.00	21953.70	18708.40	1.04

Verifiche di capacità portante per rottura generale in condizioni statiche

Metodo utilizzato: Brinch Hansen

Plinto n. 36

B=1.80 <m> L=1.80 <m> D=1.30 <m> β=0.00 <grad> η=0.00 <grad> γ_r=600.00 <daN/mc>
σ_{v0,f}=2210.00 <daN/mq>

Verifiche in condizioni drenate

φ'_r=24.00 <grad> c'_r=0.00 <daN/mq>
N_q=9.60 N_c=19.32 N_g=9.44 g_q=1.00 g_c=1.00 g_g=1.00
b_q=1.00 b_c=1.00 b_g=1.00

CC	N <daN>	Tx <daN>	Ty <daN>	Mx <daNm>	My <daNm>	B' <m>	L' <m>	s _q	s _c	s _g	d _q	d _c	i _q	i _c	i _g	q _{lim} <daN/mq>	R _d <daN>	Sic.
17	29064.70	0.00	0.00	0.00	0.00	1.80	1.80	1.24	1.47	0.76	1.23	1.25	1.00	1.00	1.00	36088.50	50837.80	1.75
17	29064.70	0.00	0.00	0.00	0.00	1.80	1.80	1.00	1.00	1.00	1.23	1.25	1.00	1.00	1.00	31125.90	43847.00	1.51
18	29064.70	0.00	0.00	0.00	0.00	1.80	1.80	1.24	1.47	0.76	1.23	1.25	1.00	1.00	1.00	36088.50	50837.80	1.75
18	29064.70	0.00	0.00	0.00	0.00	1.80	1.80	1.00	1.00	1.00	1.23	1.25	1.00	1.00	1.00	31125.90	43847.00	1.51
19	28099.10	0.00	0.00	0.00	0.00	1.80	1.80	1.24	1.47	0.76	1.23	1.25	1.00	1.00	1.00	36088.50	50837.80	1.81
19	28099.10	0.00	0.00	0.00	0.00	1.80	1.80	1.00	1.00	1.00	1.23	1.25	1.00	1.00	1.00	31125.90	43847.00	1.56
20	28099.10	0.00	0.00	0.00	0.00	1.80	1.80	1.24	1.47	0.76	1.23	1.25	1.00	1.00	1.00	36088.50	50837.80	1.81
20	28099.10	0.00	0.00	0.00	0.00	1.80	1.80	1.00	1.00	1.00	1.23	1.25	1.00	1.00	1.00	31125.90	43847.00	1.56
21	28099.10	0.00	0.00	0.00	0.00	1.80	1.80	1.24	1.47	0.76	1.23	1.25	1.00	1.00	1.00	36088.50	50837.80	1.81
21	28099.10	0.00	0.00	0.00	0.00	1.80	1.80	1.00	1.00	1.00	1.23	1.25	1.00	1.00	1.00	31125.90	43847.00	1.56

Verifiche in condizioni non drenate

c_{ur}=2800.00 <daN/mq>
N_q=1.00 N_c=5.14 g_c=1.00 b_c=1.00

CC	N	Tx	Ty	Mx	My	B'	L'	s _c	d _c	i _q	i _c	q _{lim}	R _d	Sic.
----	---	----	----	----	----	----	----	----------------	----------------	----------------	----------------	------------------	----------------	------

Relazione di calcolo

	<daN>	<daN>	<daN>	<daNm>	<daNm>	<m>	<m>					<daN/mq>	<daN>	
17	29064.70	0.00	0.00	0.00	0.00	1.80	1.80	1.20	1.29	1.00	1.00	24476.50	34480.00	1.19
17	29064.70	0.00	0.00	0.00	0.00	1.80	1.80	1.00	1.29	0.00	1.00	20765.50	29252.20	1.01
18	29064.70	0.00	0.00	0.00	0.00	1.80	1.80	1.20	1.29	1.00	1.00	24476.50	34480.00	1.19
18	29064.70	0.00	0.00	0.00	0.00	1.80	1.80	1.00	1.29	0.00	1.00	20765.50	29252.20	1.01
19	28099.10	0.00	0.00	0.00	0.00	1.80	1.80	1.20	1.29	1.00	1.00	24476.50	34480.00	1.23
19	28099.10	0.00	0.00	0.00	0.00	1.80	1.80	1.00	1.29	0.00	1.00	20765.50	29252.20	1.04
20	28099.10	0.00	0.00	0.00	0.00	1.80	1.80	1.20	1.29	1.00	1.00	24476.50	34480.00	1.23
20	28099.10	0.00	0.00	0.00	0.00	1.80	1.80	1.00	1.29	0.00	1.00	20765.50	29252.20	1.04
21	28099.10	0.00	0.00	0.00	0.00	1.80	1.80	1.20	1.29	1.00	1.00	24476.50	34480.00	1.23
21	28099.10	0.00	0.00	0.00	0.00	1.80	1.80	1.00	1.29	0.00	1.00	20765.50	29252.20	1.04

Verifiche di capacità portante per rottura generale in condizioni statiche

Metodo utilizzato: Brinch Hansen

Plinto n. 38

B=1.80 <m> L=1.80 <m> D=1.30 <m> β=0.00 <grad> η=0.00 <grad> γ_r=600.00 <daN/mc>
σ_{v0,f}=2210.00 <daN/mq>

Verifiche in condizioni drenate

φ'_r=24.00 <grad> c'_r=0.00 <daN/mq>
N_q=9.60 N_c=19.32 N_g=9.44 g_q=1.00 g_c=1.00 g_g=1.00
b_q=1.00 b_c=1.00 b_g=1.00

CC	N <daN>	Tx <daN>	Ty <daN>	Mx <daNm>	My <daNm>	B' <m>	L' <m>	s _q	s _c	s _g	d _q	d _c	i _q	i _c	i _g	q _{lim} <daN/mq>	R _d <daN>	Sic.
17	29064.70	0.00	0.00	0.00	0.00	1.80	1.80	1.24	1.47	0.76	1.23	1.25	1.00	1.00	1.00	36088.50	50837.80	1.75
17	29064.70	0.00	0.00	0.00	0.00	1.80	1.80	1.00	1.00	1.00	1.23	1.25	1.00	1.00	1.00	31125.90	43847.00	1.51
18	29064.70	0.00	0.00	0.00	0.00	1.80	1.80	1.24	1.47	0.76	1.23	1.25	1.00	1.00	1.00	36088.50	50837.80	1.75
18	29064.70	0.00	0.00	0.00	0.00	1.80	1.80	1.00	1.00	1.00	1.23	1.25	1.00	1.00	1.00	31125.90	43847.00	1.51
19	28099.10	0.00	0.00	0.00	0.00	1.80	1.80	1.24	1.47	0.76	1.23	1.25	1.00	1.00	1.00	36088.50	50837.80	1.81
19	28099.10	0.00	0.00	0.00	0.00	1.80	1.80	1.00	1.00	1.00	1.23	1.25	1.00	1.00	1.00	31125.90	43847.00	1.56
20	28099.10	0.00	0.00	0.00	0.00	1.80	1.80	1.24	1.47	0.76	1.23	1.25	1.00	1.00	1.00	36088.50	50837.80	1.81
20	28099.10	0.00	0.00	0.00	0.00	1.80	1.80	1.00	1.00	1.00	1.23	1.25	1.00	1.00	1.00	31125.90	43847.00	1.56
21	28099.10	0.00	0.00	0.00	0.00	1.80	1.80	1.24	1.47	0.76	1.23	1.25	1.00	1.00	1.00	36088.50	50837.80	1.81
21	28099.10	0.00	0.00	0.00	0.00	1.80	1.80	1.00	1.00	1.00	1.23	1.25	1.00	1.00	1.00	31125.90	43847.00	1.56

Verifiche in condizioni non drenate

c_{ur}=2800.00 <daN/mq>
N_q=1.00 N_c=5.14 g_c=1.00 b_c=1.00

CC	N <daN>	Tx <daN>	Ty <daN>	Mx <daNm>	My <daNm>	B' <m>	L' <m>	s _c	d _c	i _q	i _c	q _{lim} <daN/mq>	R _d <daN>	Sic.
17	29064.70	0.00	0.00	0.00	0.00	1.80	1.80	1.20	1.29	1.00	1.00	24476.50	34480.00	1.19
17	29064.70	0.00	0.00	0.00	0.00	1.80	1.80	1.00	1.29	0.00	1.00	20765.50	29252.20	1.01
18	29064.70	0.00	0.00	0.00	0.00	1.80	1.80	1.20	1.29	1.00	1.00	24476.50	34480.00	1.19
18	29064.70	0.00	0.00	0.00	0.00	1.80	1.80	1.00	1.29	0.00	1.00	20765.50	29252.20	1.01
19	28099.10	0.00	0.00	0.00	0.00	1.80	1.80	1.20	1.29	1.00	1.00	24476.50	34480.00	1.23
19	28099.10	0.00	0.00	0.00	0.00	1.80	1.80	1.00	1.29	0.00	1.00	20765.50	29252.20	1.04
20	28099.10	0.00	0.00	0.00	0.00	1.80	1.80	1.20	1.29	1.00	1.00	24476.50	34480.00	1.23
20	28099.10	0.00	0.00	0.00	0.00	1.80	1.80	1.00	1.29	0.00	1.00	20765.50	29252.20	1.04
21	28099.10	0.00	0.00	0.00	0.00	1.80	1.80	1.20	1.29	1.00	1.00	24476.50	34480.00	1.23
21	28099.10	0.00	0.00	0.00	0.00	1.80	1.80	1.00	1.29	0.00	1.00	20765.50	29252.20	1.04

Verifiche di capacità portante per rottura generale in condizioni statiche

Metodo utilizzato: Brinch Hansen

Plinto n. 39

B=1.80 <m> L=1.80 <m> D=1.30 <m> β=0.00 <grad> η=0.00 <grad> γ_r=600.00 <daN/mc>
σ_{v0,f}=2210.00 <daN/mq>

Verifiche in condizioni drenate

φ'_r=24.00 <grad> c'_r=0.00 <daN/mq>
N_q=9.60 N_c=19.32 N_g=9.44 g_q=1.00 g_c=1.00 g_g=1.00
b_q=1.00 b_c=1.00 b_g=1.00

CC	N <daN>	Tx <daN>	Ty <daN>	Mx <daNm>	My <daNm>	B' <m>	L' <m>	s _q	s _c	s _g	d _q	d _c	i _q	i _c	i _g	q _{lim} <daN/mq>	R _d <daN>	Sic.
17	29064.70	0.00	0.00	0.00	0.00	1.80	1.80	1.24	1.47	0.76	1.23	1.25	1.00	1.00	1.00	36088.50	50837.80	1.75
17	29064.70	0.00	0.00	0.00	0.00	1.80	1.80	1.00	1.00	1.00	1.23	1.25	1.00	1.00	1.00	31125.90	43847.00	1.51
18	29064.70	0.00	0.00	0.00	0.00	1.80	1.80	1.24	1.47	0.76	1.23	1.25	1.00	1.00	1.00	36088.50	50837.80	1.75
18	29064.70	0.00	0.00	0.00	0.00	1.80	1.80	1.00	1.00	1.00	1.23	1.25	1.00	1.00	1.00	31125.90	43847.00	1.51

Relazione di calcolo

19	28099.10	0.00	0.00	0.00	0.00	1.80	1.80	1.24	1.47	0.76	1.23	1.25	1.00	1.00	1.00	36088.50	50837.80	1.81
19	28099.10	0.00	0.00	0.00	0.00	1.80	1.80	1.00	1.00	1.00	1.23	1.25	1.00	1.00	1.00	31125.90	43847.00	1.56
20	28099.10	0.00	0.00	0.00	0.00	1.80	1.80	1.24	1.47	0.76	1.23	1.25	1.00	1.00	1.00	36088.50	50837.80	1.81
20	28099.10	0.00	0.00	0.00	0.00	1.80	1.80	1.00	1.00	1.00	1.23	1.25	1.00	1.00	1.00	31125.90	43847.00	1.56
21	28099.10	0.00	0.00	0.00	0.00	1.80	1.80	1.24	1.47	0.76	1.23	1.25	1.00	1.00	1.00	36088.50	50837.80	1.81
21	28099.10	0.00	0.00	0.00	0.00	1.80	1.80	1.00	1.00	1.00	1.23	1.25	1.00	1.00	1.00	31125.90	43847.00	1.56

Verifiche in condizioni non drenate

$c_{ur}=2800.00$ <daN/mq>
 $N_q=1.00$ $N_c=5.14$ $g_c=1.00$ $b_c=1.00$

CC	N <daN>	T _x <daN>	T _y <daN>	M _x <daNm>	M _y <daNm>	B' <m>	L' <m>	s _c	d _c	i _q	i _c	q _{lim} <daN/mq>	R _d <daN>	Sic.
17	29064.70	0.00	0.00	0.00	0.00	1.80	1.80	1.20	1.29	1.00	1.00	24476.50	34480.00	1.19
17	29064.70	0.00	0.00	0.00	0.00	1.80	1.80	1.00	1.29	0.00	1.00	20765.50	29252.20	1.01
18	29064.70	0.00	0.00	0.00	0.00	1.80	1.80	1.20	1.29	1.00	1.00	24476.50	34480.00	1.19
18	29064.70	0.00	0.00	0.00	0.00	1.80	1.80	1.00	1.29	0.00	1.00	20765.50	29252.20	1.01
19	28099.10	0.00	0.00	0.00	0.00	1.80	1.80	1.20	1.29	1.00	1.00	24476.50	34480.00	1.23
19	28099.10	0.00	0.00	0.00	0.00	1.80	1.80	1.00	1.29	0.00	1.00	20765.50	29252.20	1.04
20	28099.10	0.00	0.00	0.00	0.00	1.80	1.80	1.20	1.29	1.00	1.00	24476.50	34480.00	1.23
20	28099.10	0.00	0.00	0.00	daNm	1.80	1.80	1.00	1.29	0.00	1.00	20765.50	29252.20	1.04
21	28099.10	0.00	0.00	0.00	0.00	1.80	1.80	1.20	1.29	1.00	1.00	24476.50	34480.00	1.23
21	28099.10	0.00	0.00	0.00	0.00	1.80	1.80	1.00	1.29	0.00	1.00	20765.50	29252.20	1.04

Verifiche di capacità portante per rottura generale in condizioni statiche

Metodo utilizzato: Brinch Hansen

Plinto n. 41

$B=1.80$ <m> $L=1.80$ <m> $D=1.30$ <m> $\beta=0.00$ <grad> $\eta=0.00$ <grad> $\gamma_r=600.00$ <daN/mc>
 $\sigma_{v0,t}=2210.00$ <daN/mq>

Verifiche in condizioni drenate

$\phi'_r=24.00$ <grad> $c'_r=0.00$ <daN/mq>
 $N_q=9.60$ $N_c=19.32$ $N_g=9.44$ $g_q=1.00$ $g_c=1.00$ $g_g=1.00$
 $b_q=1.00$ $b_c=1.00$ $b_g=1.00$

CC	N <daN>	T _x <daN>	T _y <daN>	M _x <daNm>	M _y <daNm>	B' <m>	L' <m>	s _q	s _c	s _g	d _q	d _c	i _q	i _c	i _g	q _{lim} <daN/mq>	R _d <daN>	Sic.
17	29064.70	0.00	0.00	0.00	0.00	1.80	1.80	1.24	1.47	0.76	1.23	1.25	1.00	1.00	1.00	36088.50	50837.80	1.75
17	29064.70	0.00	0.00	0.00	0.00	1.80	1.80	1.00	1.00	1.00	1.23	1.25	1.00	1.00	1.00	31125.90	43847.00	1.51
18	29064.70	0.00	0.00	0.00	0.00	1.80	1.80	1.24	1.47	0.76	1.23	1.25	1.00	1.00	1.00	36088.50	50837.80	1.75
18	29064.70	0.00	0.00	0.00	0.00	1.80	1.80	1.00	1.00	1.00	1.23	1.25	1.00	1.00	1.00	31125.90	43847.00	1.51
19	28099.10	0.00	0.00	0.00	0.00	1.80	1.80	1.24	1.47	0.76	1.23	1.25	1.00	1.00	1.00	36088.50	50837.80	1.81
19	28099.10	0.00	0.00	0.00	0.00	1.80	1.80	1.00	1.00	1.00	1.23	1.25	1.00	1.00	1.00	31125.90	43847.00	1.56
20	28099.10	0.00	0.00	0.00	0.00	1.80	1.80	1.24	1.47	0.76	1.23	1.25	1.00	1.00	1.00	36088.50	50837.80	1.81
20	28099.10	0.00	0.00	0.00	0.00	1.80	1.80	1.00	1.00	1.00	1.23	1.25	1.00	1.00	1.00	31125.90	43847.00	1.56
21	28099.10	0.00	0.00	0.00	0.00	1.80	1.80	1.24	1.47	0.76	1.23	1.25	1.00	1.00	1.00	36088.50	50837.80	1.81
21	28099.10	0.00	0.00	0.00	0.00	1.80	1.80	1.00	1.00	1.00	1.23	1.25	1.00	1.00	1.00	31125.90	43847.00	1.56

Verifiche in condizioni non drenate

$c_{ur}=2800.00$ <daN/mq>
 $N_q=1.00$ $N_c=5.14$ $g_c=1.00$ $b_c=1.00$

CC	N <daN>	T _x <daN>	T _y <daN>	M _x <daNm>	M _y <daNm>	B' <m>	L' <m>	s _c	d _c	i _q	i _c	q _{lim} <daN/mq>	R _d <daN>	Sic.
17	29064.70	0.00	0.00	0.00	0.00	1.80	1.80	1.20	1.29	1.00	1.00	24476.50	34480.00	1.19
17	29064.70	0.00	0.00	0.00	0.00	1.80	1.80	1.00	1.29	0.00	1.00	20765.50	29252.20	1.01
18	29064.70	0.00	0.00	0.00	0.00	1.80	1.80	1.20	1.29	1.00	1.00	24476.50	34480.00	1.19
18	29064.70	0.00	0.00	0.00	0.00	1.80	1.80	1.00	1.29	0.00	1.00	20765.50	29252.20	1.01
19	28099.10	0.00	0.00	0.00	0.00	1.80	1.80	1.20	1.29	1.00	1.00	24476.50	34480.00	1.23
19	28099.10	0.00	0.00	0.00	0.00	1.80	1.80	1.00	1.29	0.00	1.00	20765.50	29252.20	1.04
20	28099.10	0.00	0.00	0.00	0.00	1.80	1.80	1.20	1.29	1.00	1.00	24476.50	34480.00	1.23
20	28099.10	0.00	0.00	0.00	0.00	1.80	1.80	1.00	1.29	0.00	1.00	20765.50	29252.20	1.04
21	28099.10	0.00	0.00	0.00	0.00	1.80	1.80	1.20	1.29	1.00	1.00	24476.50	34480.00	1.23
21	28099.10	0.00	0.00	0.00	0.00	1.80	1.80	1.00	1.29	0.00	1.00	20765.50	29252.20	1.04

Verifiche di capacità portante per rottura generale in condizioni statiche

Metodo utilizzato: Brinch Hansen

Plinto n. 42

$B=1.80$ <m> $L=1.80$ <m> $D=1.30$ <m> $\beta=0.00$ <grad> $\eta=0.00$ <grad> $\gamma_r=600.00$ <daN/mc>
 $\sigma_{v0,t}=2210.00$ <daN/mq>

Relazione di calcolo

Verifiche in condizioni drenate

$\phi'_r=24.00$ <grad> $c'_r=0.00$ <daN/mq>
 $N_q=9.60$ $N_c=19.32$ $N_g=9.44$ $g_q=1.00$ $g_c=1.00$ $g_g=1.00$
 $b_q=1.00$ $b_c=1.00$ $b_g=1.00$

CC	N <daN>	Tx <daN>	Ty <daN>	Mx <daNm>	My <daNm>	B' <m>	L' <m>	s _q	s _c	s _g	d _q	d _c	i _q	i _c	i _g	q _{lim} <daN/mq>	R _d <daN>	Sic.
17	29064.70	0.00	0.00	0.00	0.00	1.80	1.80	1.24	1.47	0.76	1.23	1.25	1.00	1.00	1.00	36088.50	50837.80	1.75
17	29064.70	0.00	0.00	0.00	0.00	1.80	1.80	1.00	1.00	1.00	1.23	1.25	1.00	1.00	1.00	31125.90	43847.00	1.51
18	29064.70	0.00	0.00	0.00	0.00	1.80	1.80	1.24	1.47	0.76	1.23	1.25	1.00	1.00	1.00	36088.50	50837.80	1.75
18	29064.70	0.00	0.00	0.00	0.00	1.80	1.80	1.00	1.00	1.00	1.23	1.25	1.00	1.00	1.00	31125.90	43847.00	1.51
19	28099.10	0.00	0.00	0.00	0.00	1.80	1.80	1.24	1.47	0.76	1.23	1.25	1.00	1.00	1.00	36088.50	50837.80	1.81
19	28099.10	0.00	0.00	0.00	0.00	1.80	1.80	1.00	1.00	1.00	1.23	1.25	1.00	1.00	1.00	31125.90	43847.00	1.56
20	28099.10	0.00	0.00	0.00	0.00	1.80	1.80	1.24	1.47	0.76	1.23	1.25	1.00	1.00	1.00	36088.50	50837.80	1.81
20	28099.10	0.00	0.00	0.00	0.00	1.80	1.80	1.00	1.00	1.00	1.23	1.25	1.00	1.00	1.00	31125.90	43847.00	1.56
21	28099.10	0.00	0.00	0.00	0.00	1.80	1.80	1.24	1.47	0.76	1.23	1.25	1.00	1.00	1.00	36088.50	50837.80	1.81
21	28099.10	0.00	0.00	0.00	0.00	1.80	1.80	1.00	1.00	1.00	1.23	1.25	1.00	1.00	1.00	31125.90	43847.00	1.56

Verifiche in condizioni non drenate

$c_{ur}=2800.00$ <daN/mq>
 $N_q=1.00$ $N_c=5.14$ $g_c=1.00$ $b_c=1.00$

CC	N <daN>	Tx <daN>	Ty <daN>	Mx <daNm>	My <daNm>	B' <m>	L' <m>	s _c	d _c	i _q	i _c	q _{lim} <daN/mq>	R _d <daN>	Sic.
17	29064.70	0.00	0.00	0.00	0.00	1.80	1.80	1.20	1.29	1.00	1.00	24476.50	34480.00	1.19
17	29064.70	0.00	0.00	0.00	0.00	1.80	1.80	1.00	1.29	0.00	1.00	20765.50	29252.20	1.01
18	29064.70	0.00	0.00	0.00	0.00	1.80	1.80	1.20	1.29	1.00	1.00	24476.50	34480.00	1.19
18	29064.70	0.00	0.00	0.00	0.00	1.80	1.80	1.00	1.29	0.00	1.00	20765.50	29252.20	1.01
19	28099.10	0.00	0.00	0.00	0.00	1.80	1.80	1.20	1.29	1.00	1.00	24476.50	34480.00	1.23
19	28099.10	0.00	0.00	0.00	0.00	1.80	1.80	1.00	1.29	0.00	1.00	20765.50	29252.20	1.04
20	28099.10	0.00	0.00	0.00	0.00	1.80	1.80	1.20	1.29	1.00	1.00	24476.50	34480.00	1.23
20	28099.10	0.00	0.00	0.00	0.00	1.80	1.80	1.00	1.29	0.00	1.00	20765.50	29252.20	1.04
21	28099.10	0.00	0.00	0.00	0.00	1.80	1.80	1.20	1.29	1.00	1.00	24476.50	34480.00	1.23
21	28099.10	0.00	0.00	0.00	0.00	1.80	1.80	1.00	1.29	0.00	1.00	20765.50	29252.20	1.04

Verifiche di capacità portante per rottura generale in condizioni statiche

Metodo utilizzato: Brinch Hansen

Plinto n. 44

$B=1.40$ <m> $L=1.40$ <m> $D=1.30$ <m> $\beta=0.00$ <grad> $\eta=0.00$ <grad> $\gamma_r=600.00$ <daN/mc>
 $\sigma_{v0,f}=2210.00$ <daN/mq>

Verifiche in condizioni drenate

$\phi'_r=24.00$ <grad> $c'_r=0.00$ <daN/mq>
 $N_q=9.60$ $N_c=19.32$ $N_g=9.44$ $g_q=1.00$ $g_c=1.00$ $g_g=1.00$
 $b_q=1.00$ $b_c=1.00$ $b_g=1.00$

CC	N <daN>	Tx <daN>	Ty <daN>	Mx <daNm>	My <daNm>	B' <m>	L' <m>	s _q	s _c	s _g	d _q	d _c	i _q	i _c	i _g	q _{lim} <daN/mq>	R _d <daN>	Sic.
17	16412.50	0.00	0.00	0.00	0.00	1.40	1.40	1.24	1.47	0.76	1.29	1.32	1.00	1.00	1.00	36922.20	31464.10	1.92
17	16412.50	0.00	0.00	0.00	0.00	1.40	1.40	1.00	1.00	1.00	1.29	1.32	1.00	1.00	1.00	31365.50	26728.90	1.63
18	16412.50	0.00	0.00	0.00	0.00	1.40	1.40	1.24	1.47	0.76	1.29	1.32	1.00	1.00	1.00	36922.20	31464.10	1.92
18	16412.50	0.00	0.00	0.00	0.00	1.40	1.40	1.00	1.00	1.00	1.29	1.32	1.00	1.00	1.00	31365.50	26728.90	1.63
19	15971.80	0.00	0.00	0.00	0.00	1.40	1.40	1.24	1.47	0.76	1.29	1.32	1.00	1.00	1.00	36922.20	31464.10	1.97
19	15971.80	0.00	0.00	0.00	0.00	1.40	1.40	1.00	1.00	1.00	1.29	1.32	1.00	1.00	1.00	31365.50	26728.90	1.67
20	15971.80	0.00	0.00	0.00	0.00	1.40	1.40	1.24	1.47	0.76	1.29	1.32	1.00	1.00	1.00	36922.20	31464.10	1.97
20	15971.80	0.00	0.00	0.00	0.00	1.40	1.40	1.00	1.00	1.00	1.29	1.32	1.00	1.00	1.00	31365.50	26728.90	1.67
21	15971.80	0.00	0.00	0.00	0.00	1.40	1.40	1.24	1.47	0.76	1.29	1.32	1.00	1.00	1.00	36922.20	31464.10	1.97
21	15971.80	0.00	0.00	0.00	0.00	1.40	1.40	1.00	1.00	1.00	1.29	1.32	1.00	1.00	1.00	31365.50	26728.90	1.67

Verifiche in condizioni non drenate

$c_{ur}=2800.00$ <daN/mq>
 $N_q=1.00$ $N_c=5.14$ $g_c=1.00$ $b_c=1.00$

CC	N <daN>	Tx <daN>	Ty <daN>	Mx <daNm>	My <daNm>	B' <m>	L' <m>	s _c	d _c	i _q	i _c	q _{lim} <daN/mq>	R _d <daN>	Sic.
17	16412.50	0.00	0.00	0.00	0.00	1.40	1.40	1.20	1.37	1.00	1.00	25902.50	22073.40	1.34
17	16412.50	0.00	0.00	0.00	0.00	1.40	1.40	1.00	1.37	0.00	1.00	21953.70	18708.40	1.14
18	16412.50	0.00	0.00	0.00	0.00	1.40	1.40	1.20	1.37	1.00	1.00	25902.50	22073.40	1.34
18	16412.50	0.00	0.00	0.00	0.00	1.40	1.40	1.00	1.37	0.00	1.00	21953.70	18708.40	1.14
19	15971.80	0.00	0.00	0.00	0.00	1.40	1.40	1.20	1.37	1.00	1.00	25902.50	22073.40	1.38
19	15971.80	0.00	0.00	0.00	0.00	1.40	1.40	1.00	1.37	0.00	1.00	21953.70	18708.40	1.17

Relazione di calcolo

20	15971.80	0.00	0.00	0.00	0.00	1.40	1.40	1.20	1.37	1.00	1.00	25902.50	22073.40	1.38
20	15971.80	0.00	0.00	0.00	0.00	1.40	1.40	1.00	1.37	0.00	1.00	21953.70	18708.40	1.17
21	15971.80	0.00	0.00	0.00	0.00	1.40	1.40	1.20	1.37	1.00	1.00	25902.50	22073.40	1.38
21	15971.80	0.00	0.00	0.00	0.00	1.40	1.40	1.00	1.37	0.00	1.00	21953.70	18708.40	1.17

Verifiche di capacità portante per rottura generale in condizioni statiche

Metodo utilizzato: Brinch Hansen

Plinto n. 45

B=1.40 <m> L=1.40 <m> D=1.30 <m> β =0.00 <grad> η =0.00 <grad> γ_r =600.00 <daN/mc>
 $\sigma_{v0,f}$ =2210.00 <daN/mq>

Verifiche in condizioni drenate

ϕ'_r =24.00 <grad> c'_r =0.00 <daN/mq>
 N_q =9.60 N_c =19.32 N_g =9.44 g_q =1.00 g_c =1.00 g_g =1.00
 b_q =1.00 b_c =1.00 b_g =1.00

CC	N <daN>	Tx <daN>	Ty <daN>	Mx <daNm>	My <daNm>	B' <m>	L' <m>	s _q	s _c	s _g	d _q	d _c	i _q	i _c	i _g	q _{lim} <daN/mq>	R _d <daN>	Sic.
17	18465.50	0.00	0.00	0.00	0.00	1.40	1.40	1.24	1.47	0.76	1.29	1.32	1.00	1.00	1.00	36922.20	31464.10	1.70
17	18465.50	0.00	0.00	0.00	0.00	1.40	1.40	1.00	1.00	1.00	1.29	1.32	1.00	1.00	1.00	31365.50	26728.90	1.45
18	18465.50	0.00	0.00	0.00	0.00	1.40	1.40	1.24	1.47	0.76	1.29	1.32	1.00	1.00	1.00	36922.20	31464.10	1.70
18	18465.50	0.00	0.00	0.00	0.00	1.40	1.40	1.00	1.00	1.00	1.29	1.32	1.00	1.00	1.00	31365.50	26728.90	1.45
19	17940.50	0.00	0.00	0.00	0.00	1.40	1.40	1.24	1.47	0.76	1.29	1.32	1.00	1.00	1.00	36922.20	31464.10	1.75
19	17940.50	0.00	0.00	0.00	0.00	1.40	1.40	1.00	1.00	1.00	1.29	1.32	1.00	1.00	1.00	31365.50	26728.90	1.49
20	17940.50	0.00	0.00	0.00	0.00	1.40	1.40	1.24	1.47	0.76	1.29	1.32	1.00	1.00	1.00	36922.20	31464.10	1.75
20	17940.50	0.00	0.00	0.00	0.00	1.40	1.40	1.00	1.00	1.00	1.29	1.32	1.00	1.00	1.00	31365.50	26728.90	1.49
21	17940.50	0.00	0.00	0.00	0.00	1.40	1.40	1.24	1.47	0.76	1.29	1.32	1.00	1.00	1.00	36922.20	31464.10	1.75
21	17940.50	0.00	0.00	0.00	0.00	1.40	1.40	1.00	1.00	1.00	1.29	1.32	1.00	1.00	1.00	31365.50	26728.90	1.49

Verifiche in condizioni non drenate

c_{ur} =2800.00 <daN/mq>
 N_q =1.00 N_c =5.14 g_c =1.00 b_c =1.00

CC	N <daN>	Tx <daN>	Ty <daN>	Mx <daNm>	My <daNm>	B' <m>	L' <m>	s _c	d _c	i _q	i _c	q _{lim} <daN/mq>	R _d <daN>	Sic.
17	18465.50	0.00	0.00	0.00	0.00	1.40	1.40	1.20	1.37	1.00	1.00	25902.50	22073.40	1.20
17	18465.50	0.00	0.00	0.00	0.00	1.40	1.40	1.00	1.37	0.00	1.00	21953.70	18708.40	1.01
18	18465.50	0.00	0.00	0.00	0.00	1.40	1.40	1.20	1.37	1.00	1.00	25902.50	22073.40	1.20
18	18465.50	0.00	0.00	0.00	0.00	1.40	1.40	1.00	1.37	0.00	1.00	21953.70	18708.40	1.01
19	17940.50	0.00	0.00	0.00	0.00	1.40	1.40	1.20	1.37	1.00	1.00	25902.50	22073.40	1.23
19	17940.50	0.00	0.00	0.00	0.00	1.40	1.40	1.00	1.37	0.00	1.00	21953.70	18708.40	1.04
20	17940.50	0.00	0.00	0.00	0.00	1.40	1.40	1.20	1.37	1.00	1.00	25902.50	22073.40	1.23
20	17940.50	0.00	0.00	0.00	0.00	1.40	1.40	1.00	1.37	0.00	1.00	21953.70	18708.40	1.04
21	17940.50	0.00	0.00	0.00	0.00	1.40	1.40	1.20	1.37	1.00	1.00	25902.50	22073.40	1.23
21	17940.50	0.00	0.00	0.00	0.00	1.40	1.40	1.00	1.37	0.00	1.00	21953.70	18708.40	1.04

Verifiche di capacità portante per rottura generale in condizioni statiche

Metodo utilizzato: Brinch Hansen

Plinto n. 55

B=1.40 <m> L=1.40 <m> D=1.30 <m> β =0.00 <grad> η =0.00 <grad> γ_r =600.00 <daN/mc>
 $\sigma_{v0,f}$ =2210.00 <daN/mq>

Verifiche in condizioni drenate

ϕ'_r =24.00 <grad> c'_r =0.00 <daN/mq>
 N_q =9.60 N_c =19.32 N_g =9.44 g_q =1.00 g_c =1.00 g_g =1.00
 b_q =1.00 b_c =1.00 b_g =1.00

CC	N <daN>	Tx <daN>	Ty <daN>	Mx <daNm>	My <daNm>	B' <m>	L' <m>	s _q	s _c	s _g	d _q	d _c	i _q	i _c	i _g	q _{lim} <daN/mq>	R _d <daN>	Sic.
17	18465.50	0.00	0.00	0.00	0.00	1.40	1.40	1.24	1.47	0.76	1.29	1.32	1.00	1.00	1.00	36922.20	31464.10	1.70
17	18465.50	0.00	0.00	0.00	0.00	1.40	1.40	1.00	1.00	1.00	1.29	1.32	1.00	1.00	1.00	31365.50	26728.90	1.45
18	18465.50	0.00	0.00	0.00	0.00	1.40	1.40	1.24	1.47	0.76	1.29	1.32	1.00	1.00	1.00	36922.20	31464.10	1.70
18	18465.50	0.00	0.00	0.00	0.00	1.40	1.40	1.00	1.00	1.00	1.29	1.32	1.00	1.00	1.00	31365.50	26728.90	1.45
19	17940.50	0.00	0.00	0.00	0.00	1.40	1.40	1.24	1.47	0.76	1.29	1.32	1.00	1.00	1.00	36922.20	31464.10	1.75
19	17940.50	0.00	0.00	0.00	0.00	1.40	1.40	1.00	1.00	1.00	1.29	1.32	1.00	1.00	1.00	31365.50	26728.90	1.49
20	17940.50	0.00	0.00	0.00	0.00	1.40	1.40	1.24	1.47	0.76	1.29	1.32	1.00	1.00	1.00	36922.20	31464.10	1.75
20	17940.50	0.00	0.00	0.00	0.00	1.40	1.40	1.00	1.00	1.00	1.29	1.32	1.00	1.00	1.00	31365.50	26728.90	1.49
21	17940.50	0.00	0.00	0.00	0.00	1.40	1.40	1.24	1.47	0.76	1.29	1.32	1.00	1.00	1.00	36922.20	31464.10	1.75
21	17940.50	0.00	0.00	0.00	0.00	1.40	1.40	1.00	1.00	1.00	1.29	1.32	1.00	1.00	1.00	31365.50	26728.90	1.49

Relazione di calcolo

Verifiche in condizioni non drenate

$c_{ur}=2800.00$ <daN/mq>
 $N_q=1.00$ $N_c=5.14$ $g_c=1.00$ $b_c=1.00$

CC	N <daN>	Tx <daN>	Ty <daN>	Mx <daNm>	My <daNm>	B' <m>	L' <m>	s _c	d _c	i _q	i _c	q _{lim} <daN/mq>	R _d <daN>	Sic.
17	18465.50	0.00	0.00	0.00	0.00	1.40	1.40	1.20	1.37	1.00	1.00	25902.50	22073.40	1.20
17	18465.50	0.00	0.00	0.00	0.00	1.40	1.40	1.00	1.37	0.00	1.00	21953.70	18708.40	1.01
18	18465.50	0.00	0.00	0.00	0.00	1.40	1.40	1.20	1.37	1.00	1.00	25902.50	22073.40	1.20
18	18465.50	0.00	0.00	0.00	0.00	1.40	1.40	1.00	1.37	0.00	1.00	21953.70	18708.40	1.01
19	17940.50	0.00	0.00	0.00	0.00	1.40	1.40	1.20	1.37	1.00	1.00	25902.50	22073.40	1.23
19	17940.50	0.00	0.00	0.00	0.00	1.40	1.40	1.00	1.37	0.00	1.00	21953.70	18708.40	1.04
20	17940.50	0.00	0.00	0.00	0.00	1.40	1.40	1.20	1.37	1.00	1.00	25902.50	22073.40	1.23
20	17940.50	0.00	0.00	0.00	0.00	1.40	1.40	1.00	1.37	0.00	1.00	21953.70	18708.40	1.04
21	17940.50	0.00	0.00	0.00	0.00	1.40	1.40	1.20	1.37	1.00	1.00	25902.50	22073.40	1.23
21	17940.50	0.00	0.00	0.00	0.00	1.40	1.40	1.00	1.37	0.00	1.00	21953.70	18708.40	1.04

Verifiche di capacità portante per rottura generale in condizioni statiche

Metodo utilizzato: Brinch Hansen

Plinto n. 56

$B=1.80$ <m> $L=1.80$ <m> $D=1.30$ <m> $\beta=0.00$ <grad> $\eta=0.00$ <grad> $\gamma_r=600.00$ <daN/mc>
 $\sigma_{v0,f}=2210.00$ <daN/mq>

Verifiche in condizioni drenate

$\phi'_r=24.00$ <grad> $c'_r=0.00$ <daN/mq>
 $N_q=9.60$ $N_c=19.32$ $N_g=9.44$ $g_q=1.00$ $g_c=1.00$ $g_g=1.00$
 $b_q=1.00$ $b_c=1.00$ $b_g=1.00$

CC	N <daN>	Tx <daN>	Ty <daN>	Mx <daNm>	My <daNm>	B' <m>	L' <m>	s _q	s _c	s _g	d _q	d _c	i _q	i _c	i _g	q _{lim} <daN/mq>	R _d <daN>	Sic.
17	23768.40	0.00	0.00	0.00	0.00	1.80	1.80	1.24	1.47	0.76	1.23	1.25	1.00	1.00	1.00	36088.50	50837.80	2.14
17	23768.40	0.00	0.00	0.00	0.00	1.80	1.80	1.00	1.00	1.00	1.23	1.25	1.00	1.00	1.00	31125.90	43847.00	1.84
18	23768.40	0.00	0.00	0.00	0.00	1.80	1.80	1.24	1.47	0.76	1.23	1.25	1.00	1.00	1.00	36088.50	50837.80	2.14
18	23768.40	0.00	0.00	0.00	0.00	1.80	1.80	1.00	1.00	1.00	1.23	1.25	1.00	1.00	1.00	31125.90	43847.00	1.84
19	23023.10	0.00	0.00	0.00	0.00	1.80	1.80	1.24	1.47	0.76	1.23	1.25	1.00	1.00	1.00	36088.50	50837.80	2.21
19	23023.10	0.00	0.00	0.00	0.00	1.80	1.80	1.00	1.00	1.00	1.23	1.25	1.00	1.00	1.00	31125.90	43847.00	1.90
20	23023.10	0.00	0.00	0.00	0.00	1.80	1.80	1.24	1.47	0.76	1.23	1.25	1.00	1.00	1.00	36088.50	50837.80	2.21
20	23023.10	0.00	0.00	0.00	0.00	1.80	1.80	1.00	1.00	1.00	1.23	1.25	1.00	1.00	1.00	31125.90	43847.00	1.90
21	23023.10	0.00	0.00	0.00	0.00	1.80	1.80	1.24	1.47	0.76	1.23	1.25	1.00	1.00	1.00	36088.50	50837.80	2.21
21	23023.10	0.00	0.00	0.00	0.00	1.80	1.80	1.00	1.00	1.00	1.23	1.25	1.00	1.00	1.00	31125.90	43847.00	1.90

Verifiche in condizioni non drenate

$c_{ur}=2800.00$ <daN/mq>
 $N_q=1.00$ $N_c=5.14$ $g_c=1.00$ $b_c=1.00$

CC	N <daN>	Tx <daN>	Ty <daN>	Mx <daNm>	My <daNm>	B' <m>	L' <m>	s _c	d _c	i _q	i _c	q _{lim} <daN/mq>	R _d <daN>	Sic.
17	23768.40	0.00	0.00	0.00	0.00	1.80	1.80	1.20	1.29	1.00	1.00	24476.50	34480.00	1.45
17	23768.40	0.00	0.00	0.00	0.00	1.80	1.80	1.00	1.29	0.00	1.00	20765.50	29252.20	1.23
18	23768.40	0.00	0.00	0.00	0.00	1.80	1.80	1.20	1.29	1.00	1.00	24476.50	34480.00	1.45
18	23768.40	0.00	0.00	0.00	0.00	1.80	1.80	1.00	1.29	0.00	1.00	20765.50	29252.20	1.23
19	23023.10	0.00	0.00	0.00	0.00	1.80	1.80	1.20	1.29	1.00	1.00	24476.50	34480.00	1.50
19	23023.10	0.00	0.00	0.00	0.00	1.80	1.80	1.00	1.29	0.00	1.00	20765.50	29252.20	1.27
20	23023.10	0.00	0.00	0.00	0.00	1.80	1.80	1.20	1.29	1.00	1.00	24476.50	34480.00	1.50
20	23023.10	0.00	0.00	0.00	0.00	1.80	1.80	1.00	1.29	0.00	1.00	20765.50	29252.20	1.27
21	23023.10	0.00	0.00	0.00	0.00	1.80	1.80	1.20	1.29	1.00	1.00	24476.50	34480.00	1.50
21	23023.10	0.00	0.00	0.00	0.00	1.80	1.80	1.00	1.29	0.00	1.00	20765.50	29252.20	1.27

Verifiche di capacità portante per rottura generale in condizioni statiche

Metodo utilizzato: Brinch Hansen

Plinto n. 58

$B=1.80$ <m> $L=1.80$ <m> $D=1.30$ <m> $\beta=0.00$ <grad> $\eta=0.00$ <grad> $\gamma_r=600.00$ <daN/mc>
 $\sigma_{v0,f}=2210.00$ <daN/mq>

Verifiche in condizioni drenate

$\phi'_r=24.00$ <grad> $c'_r=0.00$ <daN/mq>
 $N_q=9.60$ $N_c=19.32$ $N_g=9.44$ $g_q=1.00$ $g_c=1.00$ $g_g=1.00$
 $b_q=1.00$ $b_c=1.00$ $b_g=1.00$

Relazione di calcolo

CC	N <daN>	Tx <daN>	Ty <daN>	Mx <daNm>	My <daNm>	B' <m>	L' <m>	s _q	s _c	s _g	d _q	d _c	i _q	i _c	i _g	Q _{lim} <daN/mq>	R _d <daN>	Sic.
17	29064.70	0.00	0.00	0.00	0.00	1.80	1.80	1.24	1.47	0.76	1.23	1.25	1.00	1.00	1.00	36088.50	50837.80	1.75
17	29064.70	0.00	0.00	0.00	0.00	1.80	1.80	1.00	1.00	1.00	1.23	1.25	1.00	1.00	1.00	31125.90	43847.00	1.51
18	29064.70	0.00	0.00	0.00	0.00	1.80	1.80	1.24	1.47	0.76	1.23	1.25	1.00	1.00	1.00	36088.50	50837.80	1.75
18	29064.70	0.00	0.00	0.00	0.00	1.80	1.80	1.00	1.00	1.00	1.23	1.25	1.00	1.00	1.00	31125.90	43847.00	1.51
19	28099.10	0.00	0.00	0.00	0.00	1.80	1.80	1.24	1.47	0.76	1.23	1.25	1.00	1.00	1.00	36088.50	50837.80	1.81
19	28099.10	0.00	0.00	0.00	0.00	1.80	1.80	1.00	1.00	1.00	1.23	1.25	1.00	1.00	1.00	31125.90	43847.00	1.56
20	28099.10	0.00	0.00	0.00	0.00	1.80	1.80	1.24	1.47	0.76	1.23	1.25	1.00	1.00	1.00	36088.50	50837.80	1.81
20	28099.10	0.00	0.00	0.00	0.00	1.80	1.80	1.00	1.00	1.00	1.23	1.25	1.00	1.00	1.00	31125.90	43847.00	1.56
21	28099.10	0.00	0.00	0.00	0.00	1.80	1.80	1.24	1.47	0.76	1.23	1.25	1.00	1.00	1.00	36088.50	50837.80	1.81
21	28099.10	0.00	0.00	0.00	0.00	1.80	1.80	1.00	1.00	1.00	1.23	1.25	1.00	1.00	1.00	31125.90	43847.00	1.56

Verifiche in condizioni non drenate

c_{ux}=2800.00 <daN/mq>
N_q=1.00 N_c=5.14 g_c=1.00 b_c=1.00

CC	N <daN>	Tx <daN>	Ty <daN>	Mx <daNm>	My <daNm>	B' <m>	L' <m>	s _c	d _c	i _q	i _c	Q _{lim} <daN/mq>	R _d <daN>	Sic.
17	29064.70	0.00	0.00	0.00	0.00	1.80	1.80	1.20	1.29	1.00	1.00	24476.50	34480.00	1.19
17	29064.70	0.00	0.00	0.00	0.00	1.80	1.80	1.00	1.29	0.00	1.00	20765.50	29252.20	1.01
18	29064.70	0.00	0.00	0.00	0.00	1.80	1.80	1.20	1.29	1.00	1.00	24476.50	34480.00	1.19
18	29064.70	0.00	0.00	0.00	0.00	1.80	1.80	1.00	1.29	0.00	1.00	20765.50	29252.20	1.01
19	28099.10	0.00	0.00	0.00	0.00	1.80	1.80	1.20	1.29	1.00	1.00	24476.50	34480.00	1.23
19	28099.10	0.00	0.00	0.00	0.00	1.80	1.80	1.00	1.29	0.00	1.00	20765.50	29252.20	1.04
20	28099.10	0.00	0.00	0.00	0.00	1.80	1.80	1.20	1.29	1.00	1.00	24476.50	34480.00	1.23
20	28099.10	0.00	0.00	0.00	0.00	1.80	1.80	1.00	1.29	0.00	1.00	20765.50	29252.20	1.04
21	28099.10	0.00	0.00	0.00	0.00	1.80	1.80	1.20	1.29	1.00	1.00	24476.50	34480.00	1.23
21	28099.10	0.00	0.00	0.00	0.00	1.80	1.80	1.00	1.29	0.00	1.00	20765.50	29252.20	1.04

Verifiche di capacità portante per rottura generale in condizioni statiche

Metodo utilizzato: Brinch Hansen

Plinto n. 59

B=1.80 <m> L=1.80 <m> D=1.30 <m> β=0.00 <grad> η=0.00 <grad> γ_r=600.00 <daN/mc>
σ_{v0,f}=2210.00 <daN/mq>

Verifiche in condizioni drenate

φ'_r=24.00 <grad> c'_r=0.00 <daN/mq>
N_q=9.60 N_c=19.32 N_g=9.44 g_q=1.00 g_c=1.00 g_g=1.00
b_q=1.00 b_c=1.00 b_g=1.00

CC	N <daN>	Tx <daN>	Ty <daN>	Mx <daNm>	My <daNm>	B' <m>	L' <m>	s _q	s _c	s _g	d _q	d _c	i _q	i _c	i _g	Q _{lim} <daN/mq>	R _d <daN>	Sic.
17	23768.40	0.00	0.00	0.00	0.00	1.80	1.80	1.24	1.47	0.76	1.23	1.25	1.00	1.00	1.00	36088.50	50837.80	2.14
17	23768.40	0.00	0.00	0.00	0.00	1.80	1.80	1.00	1.00	1.00	1.23	1.25	1.00	1.00	1.00	31125.90	43847.00	1.84
18	23768.40	0.00	0.00	0.00	0.00	1.80	1.80	1.24	1.47	0.76	1.23	1.25	1.00	1.00	1.00	36088.50	50837.80	2.14
18	23768.40	0.00	0.00	0.00	0.00	1.80	1.80	1.00	1.00	1.00	1.23	1.25	1.00	1.00	1.00	31125.90	43847.00	1.84
19	23023.10	0.00	0.00	0.00	0.00	1.80	1.80	1.24	1.47	0.76	1.23	1.25	1.00	1.00	1.00	36088.50	50837.80	2.21
19	23023.10	0.00	0.00	0.00	0.00	1.80	1.80	1.00	1.00	1.00	1.23	1.25	1.00	1.00	1.00	31125.90	43847.00	1.90
20	23023.10	0.00	0.00	0.00	0.00	1.80	1.80	1.24	1.47	0.76	1.23	1.25	1.00	1.00	1.00	36088.50	50837.80	2.21
20	23023.10	0.00	0.00	0.00	0.00	1.80	1.80	1.00	1.00	1.00	1.23	1.25	1.00	1.00	1.00	31125.90	43847.00	1.90
21	23023.10	0.00	0.00	0.00	0.00	1.80	1.80	1.24	1.47	0.76	1.23	1.25	1.00	1.00	1.00	36088.50	50837.80	2.21
21	23023.10	0.00	0.00	0.00	0.00	1.80	1.80	1.00	1.00	1.00	1.23	1.25	1.00	1.00	1.00	31125.90	43847.00	1.90

Verifiche in condizioni non drenate

c_{ux}=2800.00 <daN/mq>
N_q=1.00 N_c=5.14 g_c=1.00 b_c=1.00

CC	N <daN>	Tx <daN>	Ty <daN>	Mx <daNm>	My <daNm>	B' <m>	L' <m>	s _c	d _c	i _q	i _c	Q _{lim} <daN/mq>	R _d <daN>	Sic.
17	23768.40	0.00	0.00	0.00	0.00	1.80	1.80	1.20	1.29	1.00	1.00	24476.50	34480.00	1.45
17	23768.40	0.00	0.00	0.00	0.00	1.80	1.80	1.00	1.29	0.00	1.00	20765.50	29252.20	1.23
18	23768.40	0.00	0.00	0.00	0.00	1.80	1.80	1.20	1.29	1.00	1.00	24476.50	34480.00	1.45
18	23768.40	0.00	0.00	0.00	0.00	1.80	1.80	1.00	1.29	0.00	1.00	20765.50	29252.20	1.23
19	23023.10	0.00	0.00	0.00	0.00	1.80	1.80	1.20	1.29	1.00	1.00	24476.50	34480.00	1.50
19	23023.10	0.00	0.00	0.00	0.00	1.80	1.80	1.00	1.29	0.00	1.00	20765.50	29252.20	1.27
20	23023.10	0.00	0.00	0.00	0.00	1.80	1.80	1.20	1.29	1.00	1.00	24476.50	34480.00	1.50
20	23023.10	0.00	0.00	0.00	0.00	1.80	1.80	1.00	1.29	0.00	1.00	20765.50	29252.20	1.27
21	23023.10	0.00	0.00	0.00	0.00	1.80	1.80	1.20	1.29	1.00	1.00	24476.50	34480.00	1.50
21	23023.10	0.00	0.00	0.00	0.00	1.80	1.80	1.00	1.29	0.00	1.00	20765.50	29252.20	1.27

Verifiche di capacità portante per rottura generale in condizioni statiche

Relazione di calcolo

Metodo utilizzato: Brinch Hansen

Plinto n. 61

B=1.80 <m> L=1.80 <m> D=1.30 <m> β =0.00 <grad> η =0.00 <grad> γ_r =600.00 <daN/mc>
 $\sigma_{v0,f}$ =2210.00 <daN/mq>

Verifiche in condizioni drenate

ϕ'_r =24.00 <grad> c'_r =0.00 <daN/mq>
 N_q =9.60 N_c =19.32 N_g =9.44 g_q =1.00 g_c =1.00 g_g =1.00
 b_q =1.00 b_c =1.00 b_g =1.00

CC	N <daN>	Tx <daN>	Ty <daN>	Mx <daNm>	My <daNm>	B' <m>	L' <m>	s _q	s _c	s _g	d _q	d _c	i _q	i _c	i _g	q _{lim} <daN/mq>	R _d <daN>	Sic.
17	29064.70	0.00	0.00	0.00	0.00	1.80	1.80	1.24	1.47	0.76	1.23	1.25	1.00	1.00	1.00	36088.50	50837.80	1.75
17	29064.70	0.00	0.00	0.00	0.00	1.80	1.80	1.00	1.00	1.00	1.23	1.25	1.00	1.00	1.00	31125.90	43847.00	1.51
18	29064.70	0.00	0.00	0.00	0.00	1.80	1.80	1.24	1.47	0.76	1.23	1.25	1.00	1.00	1.00	36088.50	50837.80	1.75
18	29064.70	0.00	0.00	0.00	0.00	1.80	1.80	1.00	1.00	1.00	1.23	1.25	1.00	1.00	1.00	31125.90	43847.00	1.51
19	28099.10	0.00	0.00	0.00	0.00	1.80	1.80	1.24	1.47	0.76	1.23	1.25	1.00	1.00	1.00	36088.50	50837.80	1.81
19	28099.10	0.00	0.00	0.00	0.00	1.80	1.80	1.00	1.00	1.00	1.23	1.25	1.00	1.00	1.00	31125.90	43847.00	1.56
20	28099.10	0.00	0.00	0.00	0.00	1.80	1.80	1.24	1.47	0.76	1.23	1.25	1.00	1.00	1.00	36088.50	50837.80	1.81
20	28099.10	0.00	0.00	0.00	0.00	1.80	1.80	1.00	1.00	1.00	1.23	1.25	1.00	1.00	1.00	31125.90	43847.00	1.56
21	28099.10	0.00	0.00	0.00	0.00	1.80	1.80	1.24	1.47	0.76	1.23	1.25	1.00	1.00	1.00	36088.50	50837.80	1.81
21	28099.10	0.00	0.00	0.00	0.00	1.80	1.80	1.00	1.00	1.00	1.23	1.25	1.00	1.00	1.00	31125.90	43847.00	1.56

Verifiche in condizioni non drenate

c_{ur} =2800.00 <daN/mq>
 N_q =1.00 N_c =5.14 g_c =1.00 b_c =1.00

CC	N <daN>	Tx <daN>	Ty <daN>	Mx <daNm>	My <daNm>	B' <m>	L' <m>	s _c	d _c	i _q	i _c	q _{lim} <daN/mq>	R _d <daN>	Sic.
17	29064.70	0.00	0.00	0.00	0.00	1.80	1.80	1.20	1.29	1.00	1.00	24476.50	34480.00	1.19
17	29064.70	0.00	0.00	0.00	0.00	1.80	1.80	1.00	1.29	0.00	1.00	20765.50	29252.20	1.01
18	29064.70	0.00	0.00	0.00	0.00	1.80	1.80	1.20	1.29	1.00	1.00	24476.50	34480.00	1.19
18	29064.70	0.00	0.00	0.00	0.00	1.80	1.80	1.00	1.29	0.00	1.00	20765.50	29252.20	1.01
19	28099.10	0.00	0.00	0.00	0.00	1.80	1.80	1.20	1.29	1.00	1.00	24476.50	34480.00	1.23
19	28099.10	0.00	0.00	0.00	0.00	1.80	1.80	1.00	1.29	0.00	1.00	20765.50	29252.20	1.04
20	28099.10	0.00	0.00	0.00	0.00	1.80	1.80	1.20	1.29	1.00	1.00	24476.50	34480.00	1.23
20	28099.10	0.00	0.00	0.00	0.00	1.80	1.80	1.00	1.29	0.00	1.00	20765.50	29252.20	1.04
21	28099.10	0.00	0.00	0.00	0.00	1.80	1.80	1.20	1.29	1.00	1.00	24476.50	34480.00	1.23
21	28099.10	0.00	0.00	0.00	0.00	1.80	1.80	1.00	1.29	0.00	1.00	20765.50	29252.20	1.04

Verifiche di capacità portante per rottura generale in condizioni statiche

Metodo utilizzato: Brinch Hansen

Plinto n. 62

B=1.80 <m> L=1.80 <m> D=1.30 <m> β =0.00 <grad> η =0.00 <grad> γ_r =600.00 <daN/mc>
 $\sigma_{v0,f}$ =2210.00 <daN/mq>

Verifiche in condizioni drenate

ϕ'_r =24.00 <grad> c'_r =0.00 <daN/mq>
 N_q =9.60 N_c =19.32 N_g =9.44 g_q =1.00 g_c =1.00 g_g =1.00
 b_q =1.00 b_c =1.00 b_g =1.00

CC	N <daN>	Tx <daN>	Ty <daN>	Mx <daNm>	My <daNm>	B' <m>	L' <m>	s _q	s _c	s _g	d _q	d _c	i _q	i _c	i _g	q _{lim} <daN/mq>	R _d <daN>	Sic.
17	23768.40	0.00	0.00	0.00	0.00	1.80	1.80	1.24	1.47	0.76	1.23	1.25	1.00	1.00	1.00	36088.50	50837.80	2.14
17	23768.40	0.00	0.00	0.00	0.00	1.80	1.80	1.00	1.00	1.00	1.23	1.25	1.00	1.00	1.00	31125.90	43847.00	1.84
18	23768.40	0.00	0.00	0.00	0.00	1.80	1.80	1.24	1.47	0.76	1.23	1.25	1.00	1.00	1.00	36088.50	50837.80	2.14
18	23768.40	0.00	0.00	0.00	0.00	1.80	1.80	1.00	1.00	1.00	1.23	1.25	1.00	1.00	1.00	31125.90	43847.00	1.84
19	23023.10	0.00	0.00	0.00	0.00	1.80	1.80	1.24	1.47	0.76	1.23	1.25	1.00	1.00	1.00	36088.50	50837.80	2.21
19	23023.10	0.00	0.00	0.00	0.00	1.80	1.80	1.00	1.00	1.00	1.23	1.25	1.00	1.00	1.00	31125.90	43847.00	1.90
20	23023.10	0.00	0.00	0.00	0.00	1.80	1.80	1.24	1.47	0.76	1.23	1.25	1.00	1.00	1.00	36088.50	50837.80	2.21
20	23023.10	0.00	0.00	0.00	0.00	1.80	1.80	1.00	1.00	1.00	1.23	1.25	1.00	1.00	1.00	31125.90	43847.00	1.90
21	23023.10	0.00	0.00	0.00	0.00	1.80	1.80	1.24	1.47	0.76	1.23	1.25	1.00	1.00	1.00	36088.50	50837.80	2.21
21	23023.10	0.00	0.00	0.00	0.00	1.80	1.80	1.00	1.00	1.00	1.23	1.25	1.00	1.00	1.00	31125.90	43847.00	1.90

Verifiche in condizioni non drenate

c_{ur} =2800.00 <daN/mq>
 N_q =1.00 N_c =5.14 g_c =1.00 b_c =1.00

CC	N <daN>	Tx <daN>	Ty <daN>	Mx <daNm>	My <daNm>	B' <m>	L' <m>	s _c	d _c	i _q	i _c	q _{lim} <daN/mq>	R _d <daN>	Sic.
----	------------	-------------	-------------	--------------	--------------	-----------	-----------	----------------	----------------	----------------	----------------	------------------------------	-------------------------	------

Relazione di calcolo

17	23768.40	0.00	0.00	0.00	0.00	1.80	1.80	1.20	1.29	1.00	1.00	24476.50	34480.00	1.45
17	23768.40	0.00	0.00	0.00	0.00	1.80	1.80	1.00	1.29	0.00	1.00	20765.50	29252.20	1.23
18	23768.40	0.00	0.00	0.00	0.00	1.80	1.80	1.20	1.29	1.00	1.00	24476.50	34480.00	1.45
18	23768.40	0.00	0.00	0.00	0.00	1.80	1.80	1.00	1.29	0.00	1.00	20765.50	29252.20	1.23
19	23023.10	0.00	0.00	0.00	0.00	1.80	1.80	1.20	1.29	1.00	1.00	24476.50	34480.00	1.50
19	23023.10	0.00	0.00	0.00	0.00	1.80	1.80	1.00	1.29	0.00	1.00	20765.50	29252.20	1.27
20	23023.10	0.00	0.00	0.00	0.00	1.80	1.80	1.20	1.29	1.00	1.00	24476.50	34480.00	1.50
20	23023.10	0.00	0.00	0.00	0.00	1.80	1.80	1.00	1.29	0.00	1.00	20765.50	29252.20	1.27
21	23023.10	0.00	0.00	0.00	0.00	1.80	1.80	1.20	1.29	1.00	1.00	24476.50	34480.00	1.50
21	23023.10	0.00	0.00	0.00	0.00	1.80	1.80	1.00	1.29	0.00	1.00	20765.50	29252.20	1.27

Verifiche di capacità portante per rottura generale in condizioni statiche

Metodo utilizzato: Brinch Hansen

Plinto n. 64

B=1.40 <m> L=1.40 <m> D=1.30 <m> β =0.00 <grad> η =0.00 <grad> γ_r =600.00 <daN/mc>
 $\sigma_{v0,f}$ =2210.00 <daN/mq>

Verifiche in condizioni drenate

φ'_r =24.00 <grad> c'_r =0.00 <daN/mq>
 N_q =9.60 N_c =19.32 N_g =9.44 g_q =1.00 g_c =1.00 g_g =1.00
 b_q =1.00 b_c =1.00 b_g =1.00

CC	N <daN>	Tx <daN>	Ty <daN>	Mx <daNm>	My <daNm>	B' <m>	L' <m>	s _q	s _c	s _g	d _q	d _c	i _q	i _c	i _g	q _{lim} <daN/mq>	R _d <daN>	Sic.
17	16412.50	0.00	0.00	0.00	0.00	1.40	1.40	1.24	1.47	0.76	1.29	1.32	1.00	1.00	1.00	36922.20	31464.10	1.92
17	16412.50	0.00	0.00	0.00	0.00	1.40	1.40	1.00	1.00	1.00	1.29	1.32	1.00	1.00	1.00	31365.50	26728.90	1.63
18	16412.50	0.00	0.00	0.00	0.00	1.40	1.40	1.24	1.47	0.76	1.29	1.32	1.00	1.00	1.00	36922.20	31464.10	1.92
18	16412.50	0.00	0.00	0.00	0.00	1.40	1.40	1.00	1.00	1.00	1.29	1.32	1.00	1.00	1.00	31365.50	26728.90	1.63
19	15971.80	0.00	0.00	0.00	0.00	1.40	1.40	1.24	1.47	0.76	1.29	1.32	1.00	1.00	1.00	36922.20	31464.10	1.97
19	15971.80	0.00	0.00	0.00	0.00	1.40	1.40	1.00	1.00	1.00	1.29	1.32	1.00	1.00	1.00	31365.50	26728.90	1.67
20	15971.80	0.00	0.00	0.00	0.00	1.40	1.40	1.24	1.47	0.76	1.29	1.32	1.00	1.00	1.00	36922.20	31464.10	1.97
20	15971.80	0.00	0.00	0.00	0.00	1.40	1.40	1.00	1.00	1.00	1.29	1.32	1.00	1.00	1.00	31365.50	26728.90	1.67
21	15971.80	0.00	0.00	0.00	0.00	1.40	1.40	1.24	1.47	0.76	1.29	1.32	1.00	1.00	1.00	36922.20	31464.10	1.97
21	15971.80	0.00	0.00	0.00	0.00	1.40	1.40	1.00	1.00	1.00	1.29	1.32	1.00	1.00	1.00	31365.50	26728.90	1.67

Verifiche in condizioni non drenate

c_{ur} =2800.00 <daN/mq>
 N_q =1.00 N_c =5.14 g_c =1.00 b_c =1.00

CC	N <daN>	Tx <daN>	Ty <daN>	Mx <daNm>	My <daNm>	B' <m>	L' <m>	s _c	d _c	i _q	i _c	q _{lim} <daN/mq>	R _d <daN>	Sic.
17	16412.50	0.00	0.00	0.00	0.00	1.40	1.40	1.20	1.37	1.00	1.00	25902.50	22073.40	1.34
17	16412.50	0.00	0.00	0.00	0.00	1.40	1.40	1.00	1.37	0.00	1.00	21953.70	18708.40	1.14
18	16412.50	0.00	0.00	0.00	0.00	1.40	1.40	1.20	1.37	1.00	1.00	25902.50	22073.40	1.34
18	16412.50	0.00	0.00	0.00	0.00	1.40	1.40	1.00	1.37	0.00	1.00	21953.70	18708.40	1.14
19	15971.80	0.00	0.00	0.00	0.00	1.40	1.40	1.20	1.37	1.00	1.00	25902.50	22073.40	1.38
19	15971.80	0.00	0.00	0.00	0.00	1.40	1.40	1.00	1.37	0.00	1.00	21953.70	18708.40	1.17
20	15971.80	0.00	0.00	0.00	0.00	1.40	1.40	1.20	1.37	1.00	1.00	25902.50	22073.40	1.38
20	15971.80	0.00	0.00	0.00	0.00	1.40	1.40	1.00	1.37	0.00	1.00	21953.70	18708.40	1.17
21	15971.80	0.00	0.00	0.00	0.00	1.40	1.40	1.20	1.37	1.00	1.00	25902.50	22073.40	1.38
21	15971.80	0.00	0.00	0.00	0.00	1.40	1.40	1.00	1.37	0.00	1.00	21953.70	18708.40	1.17

Verifiche di capacità portante per rottura generale in condizioni statiche

Metodo utilizzato: Brinch Hansen

Plinto n. 65

B=1.40 <m> L=1.40 <m> D=1.30 <m> β =0.00 <grad> η =0.00 <grad> γ_r =600.00 <daN/mc>
 $\sigma_{v0,f}$ =2210.00 <daN/mq>

Verifiche in condizioni drenate

φ'_r =24.00 <grad> c'_r =0.00 <daN/mq>
 N_q =9.60 N_c =19.32 N_g =9.44 g_q =1.00 g_c =1.00 g_g =1.00
 b_q =1.00 b_c =1.00 b_g =1.00

CC	N <daN>	Tx <daN>	Ty <daN>	Mx <daNm>	My <daNm>	B' <m>	L' <m>	s _q	s _c	s _g	d _q	d _c	i _q	i _c	i _g	q _{lim} <daN/mq>	R _d <daN>	Sic.
17	18465.50	0.00	0.00	0.00	0.00	1.40	1.40	1.24	1.47	0.76	1.29	1.32	1.00	1.00	1.00	36922.20	31464.10	1.70
17	18465.50	0.00	0.00	0.00	0.00	1.40	1.40	1.00	1.00	1.00	1.29	1.32	1.00	1.00	1.00	31365.50	26728.90	1.45
18	18465.50	0.00	0.00	0.00	0.00	1.40	1.40	1.24	1.47	0.76	1.29	1.32	1.00	1.00	1.00	36922.20	31464.10	1.70
18	18465.50	0.00	0.00	0.00	0.00	1.40	1.40	1.00	1.00	1.00	1.29	1.32	1.00	1.00	1.00	31365.50	26728.90	1.45
19	17940.50	0.00	0.00	0.00	0.00	1.40	1.40	1.24	1.47	0.76	1.29	1.32	1.00	1.00	1.00	36922.20	31464.10	1.75

Relazione di calcolo

19	17940.50	0.00	0.00	0.00	0.00	1.40	1.40	1.00	1.00	1.00	1.29	1.32	1.00	1.00	1.00	31365.50	26728.90	1.49
20	17940.50	0.00	0.00	0.00	0.00	1.40	1.40	1.24	1.47	0.76	1.29	1.32	1.00	1.00	1.00	36922.20	31464.10	1.75
20	17940.50	0.00	0.00	0.00	0.00	1.40	1.40	1.00	1.00	1.00	1.29	1.32	1.00	1.00	1.00	31365.50	26728.90	1.49
21	17940.50	0.00	0.00	0.00	0.00	1.40	1.40	1.24	1.47	0.76	1.29	1.32	1.00	1.00	1.00	36922.20	31464.10	1.75
21	17940.50	0.00	0.00	0.00	0.00	1.40	1.40	1.00	1.00	1.00	1.29	1.32	1.00	1.00	1.00	31365.50	26728.90	1.49

Verifiche in condizioni non drenate

$c_{ur}=2800.00$ <daN/mq>
 $N_q=1.00$ $N_c=5.14$ $g_c=1.00$ $b_c=1.00$

CC	N <daN>	Tx <daN>	Ty <daN>	Mx <daNm>	My <daNm>	B' <m>	L' <m>	s _c	d _c	i _q	i _c	Q _{lim} <daN/mq>	R _d <daN>	Sic.
17	18465.50	0.00	0.00	0.00	0.00	1.40	1.40	1.20	1.37	1.00	1.00	25902.50	22073.40	1.20
17	18465.50	0.00	0.00	0.00	0.00	1.40	1.40	1.00	1.37	0.00	1.00	21953.70	18708.40	1.01
18	18465.50	0.00	0.00	0.00	0.00	1.40	1.40	1.20	1.37	1.00	1.00	25902.50	22073.40	1.20
18	18465.50	0.00	0.00	0.00	0.00	1.40	1.40	1.00	1.37	0.00	1.00	21953.70	18708.40	1.01
19	17940.50	0.00	0.00	0.00	0.00	1.40	1.40	1.20	1.37	1.00	1.00	25902.50	22073.40	1.23
19	17940.50	0.00	0.00	0.00	0.00	1.40	1.40	1.00	1.37	0.00	1.00	21953.70	18708.40	1.04
20	17940.50	0.00	0.00	0.00	0.00	1.40	1.40	1.20	1.37	1.00	1.00	25902.50	22073.40	1.23
20	17940.50	0.00	0.00	0.00	0.00	1.40	1.40	1.00	1.37	0.00	1.00	21953.70	18708.40	1.04
21	17940.50	0.00	0.00	0.00	0.00	1.40	1.40	1.20	1.37	1.00	1.00	25902.50	22073.40	1.23
21	17940.50	0.00	0.00	0.00	0.00	1.40	1.40	1.00	1.37	0.00	1.00	21953.70	18708.40	1.04

Verifiche di capacità portante per rottura generale in condizioni statiche

Metodo utilizzato: Brinch Hansen

Plinto n. 75

$B=1.40$ <m> $L=1.40$ <m> $D=1.30$ <m> $\beta=0.00$ <grad> $\eta=0.00$ <grad> $\gamma_r=600.00$ <daN/mc>
 $\sigma_{v0,f}=2210.00$ <daN/mq>

Verifiche in condizioni drenate

$\phi'_r=24.00$ <grad> $c'_r=0.00$ <daN/mq>
 $N_q=9.60$ $N_c=19.32$ $N_g=9.44$ $g_q=1.00$ $g_c=1.00$ $g_g=1.00$
 $b_q=1.00$ $b_c=1.00$ $b_g=1.00$

CC	N <daN>	Tx <daN>	Ty <daN>	Mx <daNm>	My <daNm>	B' <m>	L' <m>	s _q	s _c	s _g	d _q	d _c	i _q	i _c	i _g	Q _{lim} <daN/mq>	R _d <daN>	Sic.
17	18465.50	0.00	0.00	0.00	0.00	1.40	1.40	1.24	1.47	0.76	1.29	1.32	1.00	1.00	1.00	36922.20	31464.10	1.70
17	18465.50	0.00	0.00	0.00	0.00	1.40	1.40	1.00	1.00	1.00	1.29	1.32	1.00	1.00	1.00	31365.50	26728.90	1.45
18	18465.50	0.00	0.00	0.00	0.00	1.40	1.40	1.24	1.47	0.76	1.29	1.32	1.00	1.00	1.00	36922.20	31464.10	1.70
18	18465.50	0.00	0.00	0.00	0.00	1.40	1.40	1.00	1.00	1.00	1.29	1.32	1.00	1.00	1.00	31365.50	26728.90	1.45
19	17940.50	0.00	0.00	0.00	0.00	1.40	1.40	1.24	1.47	0.76	1.29	1.32	1.00	1.00	1.00	36922.20	31464.10	1.75
19	17940.50	0.00	0.00	0.00	0.00	1.40	1.40	1.00	1.00	1.00	1.29	1.32	1.00	1.00	1.00	31365.50	26728.90	1.49
20	17940.50	0.00	0.00	0.00	0.00	1.40	1.40	1.24	1.47	0.76	1.29	1.32	1.00	1.00	1.00	36922.20	31464.10	1.75
20	17940.50	0.00	0.00	0.00	0.00	1.40	1.40	1.00	1.00	1.00	1.29	1.32	1.00	1.00	1.00	31365.50	26728.90	1.49
21	17940.50	0.00	0.00	0.00	0.00	1.40	1.40	1.24	1.47	0.76	1.29	1.32	1.00	1.00	1.00	36922.20	31464.10	1.75
21	17940.50	0.00	0.00	0.00	0.00	1.40	1.40	1.00	1.00	1.00	1.29	1.32	1.00	1.00	1.00	31365.50	26728.90	1.49

Verifiche in condizioni non drenate

$c_{ur}=2800.00$ <daN/mq>
 $N_q=1.00$ $N_c=5.14$ $g_c=1.00$ $b_c=1.00$

CC	N <daN>	Tx <daN>	Ty <daN>	Mx <daNm>	My <daNm>	B' <m>	L' <m>	s _c	d _c	i _q	i _c	Q _{lim} <daN/mq>	R _d <daN>	Sic.
17	18465.50	0.00	0.00	0.00	0.00	1.40	1.40	1.20	1.37	1.00	1.00	25902.50	22073.40	1.20
17	18465.50	0.00	0.00	0.00	0.00	1.40	1.40	1.00	1.37	0.00	1.00	21953.70	18708.40	1.01
18	18465.50	0.00	0.00	0.00	0.00	1.40	1.40	1.20	1.37	1.00	1.00	25902.50	22073.40	1.20
18	18465.50	0.00	0.00	0.00	0.00	1.40	1.40	1.00	1.37	0.00	1.00	21953.70	18708.40	1.01
19	17940.50	0.00	0.00	0.00	0.00	1.40	1.40	1.20	1.37	1.00	1.00	25902.50	22073.40	1.23
19	17940.50	0.00	0.00	0.00	0.00	1.40	1.40	1.00	1.37	0.00	1.00	21953.70	18708.40	1.04
20	17940.50	0.00	0.00	0.00	0.00	1.40	1.40	1.20	1.37	1.00	1.00	25902.50	22073.40	1.23
20	17940.50	0.00	0.00	0.00	0.00	1.40	1.40	1.00	1.37	0.00	1.00	21953.70	18708.40	1.04
21	17940.50	0.00	0.00	0.00	0.00	1.40	1.40	1.20	1.37	1.00	1.00	25902.50	22073.40	1.23
21	17940.50	0.00	0.00	0.00	0.00	1.40	1.40	1.00	1.37	0.00	1.00	21953.70	18708.40	1.04

Verifiche di capacità portante per rottura generale in condizioni statiche

Metodo utilizzato: Brinch Hansen

Plinto n. 76

$B=1.80$ <m> $L=1.80$ <m> $D=1.30$ <m> $\beta=0.00$ <grad> $\eta=0.00$ <grad> $\gamma_r=600.00$ <daN/mc>
 $\sigma_{v0,f}=2210.00$ <daN/mq>

Relazione di calcolo

Verifiche in condizioni drenate

$\varphi'_r=24.00$ <grad> $c'_r=0.00$ <daN/mq>
 $N_q=9.60$ $N_c=19.32$ $N_g=9.44$ $g_q=1.00$ $g_c=1.00$ $g_g=1.00$
 $b_q=1.00$ $b_c=1.00$ $b_g=1.00$

CC	N <daN>	Tx <daN>	Ty <daN>	Mx <daNm>	My <daNm>	B' <m>	L' <m>	s _q	s _c	s _g	d _q	d _c	i _q	i _c	i _g	q _{lim} <daN/mq>	R _d <daN>	Sic.
17	29064.70	0.00	0.00	0.00	0.00	1.80	1.80	1.24	1.47	0.76	1.23	1.25	1.00	1.00	1.00	36088.50	50837.80	1.75
17	29064.70	0.00	0.00	0.00	0.00	1.80	1.80	1.00	1.00	1.00	1.23	1.25	1.00	1.00	1.00	31125.90	43847.00	1.51
18	29064.70	0.00	0.00	0.00	0.00	1.80	1.80	1.24	1.47	0.76	1.23	1.25	1.00	1.00	1.00	36088.50	50837.80	1.75
18	29064.70	0.00	0.00	0.00	0.00	1.80	1.80	1.00	1.00	1.00	1.23	1.25	1.00	1.00	1.00	31125.90	43847.00	1.51
19	28099.10	0.00	0.00	0.00	0.00	1.80	1.80	1.24	1.47	0.76	1.23	1.25	1.00	1.00	1.00	36088.50	50837.80	1.81
19	28099.10	0.00	0.00	0.00	0.00	1.80	1.80	1.00	1.00	1.00	1.23	1.25	1.00	1.00	1.00	31125.90	43847.00	1.56
20	28099.10	0.00	0.00	0.00	0.00	1.80	1.80	1.24	1.47	0.76	1.23	1.25	1.00	1.00	1.00	36088.50	50837.80	1.81
20	28099.10	0.00	0.00	0.00	0.00	1.80	1.80	1.00	1.00	1.00	1.23	1.25	1.00	1.00	1.00	31125.90	43847.00	1.56
21	28099.10	0.00	0.00	0.00	0.00	1.80	1.80	1.24	1.47	0.76	1.23	1.25	1.00	1.00	1.00	36088.50	50837.80	1.81
21	28099.10	0.00	0.00	0.00	0.00	1.80	1.80	1.00	1.00	1.00	1.23	1.25	1.00	1.00	1.00	31125.90	43847.00	1.56

Verifiche in condizioni non drenate

$c_{ur}=2800.00$ <daN/mq>
 $N_q=1.00$ $N_c=5.14$ $g_c=1.00$ $b_c=1.00$

CC	N <daN>	Tx <daN>	Ty <daN>	Mx <daNm>	My <daNm>	B' <m>	L' <m>	s _c	d _c	i _q	i _c	q _{lim} <daN/mq>	R _d <daN>	Sic.
17	29064.70	0.00	0.00	0.00	0.00	1.80	1.80	1.20	1.29	1.00	1.00	24476.50	34480.00	1.19
17	29064.70	0.00	0.00	0.00	0.00	1.80	1.80	1.00	1.29	0.00	1.00	20765.50	29252.20	1.01
18	29064.70	0.00	0.00	0.00	0.00	1.80	1.80	1.20	1.29	1.00	1.00	24476.50	34480.00	1.19
18	29064.70	0.00	0.00	0.00	0.00	1.80	1.80	1.00	1.29	0.00	1.00	20765.50	29252.20	1.01
19	28099.10	0.00	0.00	0.00	0.00	1.80	1.80	1.20	1.29	1.00	1.00	24476.50	34480.00	1.23
19	28099.10	0.00	0.00	0.00	0.00	1.80	1.80	1.00	1.29	0.00	1.00	20765.50	29252.20	1.04
20	28099.10	0.00	0.00	0.00	0.00	1.80	1.80	1.20	1.29	1.00	1.00	24476.50	34480.00	1.23
20	28099.10	0.00	0.00	0.00	0.00	1.80	1.80	1.00	1.29	0.00	1.00	20765.50	29252.20	1.04
21	28099.10	0.00	0.00	0.00	0.00	1.80	1.80	1.20	1.29	1.00	1.00	24476.50	34480.00	1.23
21	28099.10	0.00	0.00	0.00	0.00	1.80	1.80	1.00	1.29	0.00	1.00	20765.50	29252.20	1.04

Verifiche di capacità portante per rottura generale in condizioni statiche

Metodo utilizzato: Brinch Hansen

Plinto n. 78

$B=1.80$ <m> $L=1.80$ <m> $D=1.30$ <m> $\beta=0.00$ <grad> $\eta=0.00$ <grad> $\gamma_r=600.00$ <daN/mc>
 $\sigma_{v0,f}=2210.00$ <daN/mq>

Verifiche in condizioni drenate

$\varphi'_r=24.00$ <grad> $c'_r=0.00$ <daN/mq>
 $N_q=9.60$ $N_c=19.32$ $N_g=9.44$ $g_q=1.00$ $g_c=1.00$ $g_g=1.00$
 $b_q=1.00$ $b_c=1.00$ $b_g=1.00$

CC	N <daN>	Tx <daN>	Ty <daN>	Mx <daNm>	My <daNm>	B' <m>	L' <m>	s _q	s _c	s _g	d _q	d _c	i _q	i _c	i _g	q _{lim} <daN/mq>	R _d <daN>	Sic.
17	29064.70	0.00	0.00	0.00	0.00	1.80	1.80	1.24	1.47	0.76	1.23	1.25	1.00	1.00	1.00	36088.50	50837.80	1.75
17	29064.70	0.00	0.00	0.00	0.00	1.80	1.80	1.00	1.00	1.00	1.23	1.25	1.00	1.00	1.00	31125.90	43847.00	1.51
18	29064.70	0.00	0.00	0.00	0.00	1.80	1.80	1.24	1.47	0.76	1.23	1.25	1.00	1.00	1.00	36088.50	50837.80	1.75
18	29064.70	0.00	0.00	0.00	0.00	1.80	1.80	1.00	1.00	1.00	1.23	1.25	1.00	1.00	1.00	31125.90	43847.00	1.51
19	28099.10	0.00	0.00	0.00	0.00	1.80	1.80	1.24	1.47	0.76	1.23	1.25	1.00	1.00	1.00	36088.50	50837.80	1.81
19	28099.10	0.00	0.00	0.00	0.00	1.80	1.80	1.00	1.00	1.00	1.23	1.25	1.00	1.00	1.00	31125.90	43847.00	1.56
20	28099.10	0.00	0.00	0.00	0.00	1.80	1.80	1.24	1.47	0.76	1.23	1.25	1.00	1.00	1.00	36088.50	50837.80	1.81
20	28099.10	0.00	0.00	0.00	0.00	1.80	1.80	1.00	1.00	1.00	1.23	1.25	1.00	1.00	1.00	31125.90	43847.00	1.56
21	28099.10	0.00	0.00	0.00	0.00	1.80	1.80	1.24	1.47	0.76	1.23	1.25	1.00	1.00	1.00	36088.50	50837.80	1.81
21	28099.10	0.00	0.00	0.00	0.00	1.80	1.80	1.00	1.00	1.00	1.23	1.25	1.00	1.00	1.00	31125.90	43847.00	1.56

Verifiche in condizioni non drenate

$c_{ur}=2800.00$ <daN/mq>
 $N_q=1.00$ $N_c=5.14$ $g_c=1.00$ $b_c=1.00$

CC	N <daN>	Tx <daN>	Ty <daN>	Mx <daNm>	My <daNm>	B' <m>	L' <m>	s _c	d _c	i _q	i _c	q _{lim} <daN/mq>	R _d <daN>	Sic.
17	29064.70	0.00	0.00	0.00	0.00	1.80	1.80	1.20	1.29	1.00	1.00	24476.50	34480.00	1.19
17	29064.70	0.00	0.00	0.00	0.00	1.80	1.80	1.00	1.29	0.00	1.00	20765.50	29252.20	1.01
18	29064.70	0.00	0.00	0.00	0.00	1.80	1.80	1.20	1.29	1.00	1.00	24476.50	34480.00	1.19
18	29064.70	0.00	0.00	0.00	0.00	1.80	1.80	1.00	1.29	0.00	1.00	20765.50	29252.20	1.01
19	28099.10	0.00	0.00	0.00	0.00	1.80	1.80	1.20	1.29	1.00	1.00	24476.50	34480.00	1.23
19	28099.10	0.00	0.00	0.00	0.00	1.80	1.80	1.00	1.29	0.00	1.00	20765.50	29252.20	1.04
20	28099.10	0.00	0.00	0.00	0.00	1.80	1.80	1.20	1.29	1.00	1.00	24476.50	34480.00	1.23

Relazione di calcolo

20	28099.10	0.00	0.00	0.00	0.00	1.80	1.80	1.00	1.29	0.00	1.00	20765.50	29252.20	1.04
21	28099.10	0.00	0.00	0.00	0.00	1.80	1.80	1.20	1.29	1.00	1.00	24476.50	34480.00	1.23
21	28099.10	0.00	0.00	0.00	0.00	1.80	1.80	1.00	1.29	0.00	1.00	20765.50	29252.20	1.04

Verifiche di capacità portante per rottura generale in condizioni statiche

Metodo utilizzato: Brinch Hansen

Plinto n. 79

B=1.80 <m> L=1.80 <m> D=1.30 <m> β =0.00 <grad> η =0.00 <grad> γ_r =600.00 <daN/mc>

$\sigma_{v0,f}$ =2210.00 <daN/mq>

Verifiche in condizioni drenate

ϕ'_r =24.00 <grad> c'_r =0.00 <daN/mq>

N_q =9.60 N_c =19.32 N_g =9.44 g_q =1.00 g_c =1.00 g_g =1.00

b_q =1.00 b_c =1.00 b_g =1.00

CC	N <daN>	Tx <daN>	Ty <daN>	Mx <daNm>	My <daNm>	B' <m>	L' <m>	s _q	s _c	s _g	d _q	d _c	i _q	i _c	i _g	q _{lim} <daN/mq>	R _d <daN>	Sic.
17	29064.70	0.00	0.00	0.00	0.00	1.80	1.80	1.24	1.47	0.76	1.23	1.25	1.00	1.00	1.00	36088.50	50837.80	1.75
17	29064.70	0.00	0.00	0.00	0.00	1.80	1.80	1.00	1.00	1.00	1.23	1.25	1.00	1.00	1.00	31125.90	43847.00	1.51
18	29064.70	0.00	0.00	0.00	0.00	1.80	1.80	1.24	1.47	0.76	1.23	1.25	1.00	1.00	1.00	36088.50	50837.80	1.75
18	29064.70	0.00	0.00	0.00	0.00	1.80	1.80	1.00	1.00	1.00	1.23	1.25	1.00	1.00	1.00	31125.90	43847.00	1.51
19	28099.10	0.00	0.00	0.00	0.00	1.80	1.80	1.24	1.47	0.76	1.23	1.25	1.00	1.00	1.00	36088.50	50837.80	1.81
19	28099.10	0.00	0.00	0.00	0.00	1.80	1.80	1.00	1.00	1.00	1.23	1.25	1.00	1.00	1.00	31125.90	43847.00	1.56
20	28099.10	0.00	0.00	0.00	0.00	1.80	1.80	1.24	1.47	0.76	1.23	1.25	1.00	1.00	1.00	36088.50	50837.80	1.81
20	28099.10	0.00	0.00	0.00	0.00	1.80	1.80	1.00	1.00	1.00	1.23	1.25	1.00	1.00	1.00	31125.90	43847.00	1.56
21	28099.10	0.00	0.00	0.00	0.00	1.80	1.80	1.24	1.47	0.76	1.23	1.25	1.00	1.00	1.00	36088.50	50837.80	1.81
21	28099.10	0.00	0.00	0.00	0.00	1.80	1.80	1.00	1.00	1.00	1.23	1.25	1.00	1.00	1.00	31125.90	43847.00	1.56

Verifiche in condizioni non drenate

c_{ur} =2800.00 <daN/mq>

N_q =1.00 N_c =5.14 g_c =1.00 b_c =1.00

CC	N <daN>	Tx <daN>	Ty <daN>	Mx <daNm>	My <daNm>	B' <m>	L' <m>	s _c	d _c	i _q	i _c	q _{lim} <daN/mq>	R _d <daN>	Sic.
17	29064.70	0.00	0.00	0.00	0.00	1.80	1.80	1.20	1.29	1.00	1.00	24476.50	34480.00	1.19
17	29064.70	0.00	0.00	0.00	0.00	1.80	1.80	1.00	1.29	0.00	1.00	20765.50	29252.20	1.01
18	29064.70	0.00	0.00	0.00	0.00	1.80	1.80	1.20	1.29	1.00	1.00	24476.50	34480.00	1.19
18	29064.70	0.00	0.00	0.00	0.00	1.80	1.80	1.00	1.29	0.00	1.00	20765.50	29252.20	1.01
19	28099.10	0.00	0.00	0.00	0.00	1.80	1.80	1.20	1.29	1.00	1.00	24476.50	34480.00	1.23
19	28099.10	0.00	0.00	0.00	0.00	1.80	1.80	1.00	1.29	0.00	1.00	20765.50	29252.20	1.04
20	28099.10	0.00	0.00	0.00	0.00	1.80	1.80	1.20	1.29	1.00	1.00	24476.50	34480.00	1.23
20	28099.10	0.00	0.00	0.00	0.00	1.80	1.80	1.00	1.29	0.00	1.00	20765.50	29252.20	1.04
21	28099.10	0.00	0.00	0.00	0.00	1.80	1.80	1.20	1.29	1.00	1.00	24476.50	34480.00	1.23
21	28099.10	0.00	0.00	0.00	0.00	1.80	1.80	1.00	1.29	0.00	1.00	20765.50	29252.20	1.04

Verifiche di capacità portante per rottura generale in condizioni statiche

Metodo utilizzato: Brinch Hansen

Plinto n. 81

B=1.80 <m> L=1.80 <m> D=1.30 <m> β =0.00 <grad> η =0.00 <grad> γ_r =600.00 <daN/mc>

$\sigma_{v0,f}$ =2210.00 <daN/mq>

Verifiche in condizioni drenate

ϕ'_r =24.00 <grad> c'_r =0.00 <daN/mq>

N_q =9.60 N_c =19.32 N_g =9.44 g_q =1.00 g_c =1.00 g_g =1.00

b_q =1.00 b_c =1.00 b_g =1.00

CC	N <daN>	Tx <daN>	Ty <daN>	Mx <daNm>	My <daNm>	B' <m>	L' <m>	s _q	s _c	s _g	d _q	d _c	i _q	i _c	i _g	q _{lim} <daN/mq>	R _d <daN>	Sic.
17	29064.70	0.00	0.00	0.00	0.00	1.80	1.80	1.24	1.47	0.76	1.23	1.25	1.00	1.00	1.00	36088.50	50837.80	1.75
17	29064.70	0.00	0.00	0.00	0.00	1.80	1.80	1.00	1.00	1.00	1.23	1.25	1.00	1.00	1.00	31125.90	43847.00	1.51
18	29064.70	0.00	0.00	0.00	0.00	1.80	1.80	1.24	1.47	0.76	1.23	1.25	1.00	1.00	1.00	36088.50	50837.80	1.75
18	29064.70	0.00	0.00	0.00	0.00	1.80	1.80	1.00	1.00	1.00	1.23	1.25	1.00	1.00	1.00	31125.90	43847.00	1.51
19	28099.10	0.00	0.00	0.00	0.00	1.80	1.80	1.24	1.47	0.76	1.23	1.25	1.00	1.00	1.00	36088.50	50837.80	1.81
19	28099.10	0.00	0.00	0.00	0.00	1.80	1.80	1.00	1.00	1.00	1.23	1.25	1.00	1.00	1.00	31125.90	43847.00	1.56
20	28099.10	0.00	0.00	0.00	0.00	1.80	1.80	1.24	1.47	0.76	1.23	1.25	1.00	1.00	1.00	36088.50	50837.80	1.81
20	28099.10	0.00	0.00	0.00	0.00	1.80	1.80	1.00	1.00	1.00	1.23	1.25	1.00	1.00	1.00	31125.90	43847.00	1.56
21	28099.10	0.00	0.00	0.00	0.00	1.80	1.80	1.24	1.47	0.76	1.23	1.25	1.00	1.00	1.00	36088.50	50837.80	1.81
21	28099.10	0.00	0.00	0.00	0.00	1.80	1.80	1.00	1.00	1.00	1.23	1.25	1.00	1.00	1.00	31125.90	43847.00	1.56

Verifiche in condizioni non drenate

Relazione di calcolo

c_{ur}=2800.00 <daN/mq>
N_q=1.00 N_c=5.14 g_c=1.00 b_c=1.00

CC	N <daN>	Tx <daN>	Ty <daN>	Mx <daNm>	My <daNm>	B' <m>	L' <m>	s _c	d _c	i _q	i _c	q _{lim} <daN/mq>	R _d <daN>	Sic.
17	29064.70	0.00	0.00	0.00	0.00	1.80	1.80	1.20	1.29	1.00	1.00	24476.50	34480.00	1.19
17	29064.70	0.00	0.00	0.00	0.00	1.80	1.80	1.00	1.29	0.00	1.00	20765.50	29252.20	1.01
18	29064.70	0.00	0.00	0.00	0.00	1.80	1.80	1.20	1.29	1.00	1.00	24476.50	34480.00	1.19
18	29064.70	0.00	0.00	0.00	0.00	1.80	1.80	1.00	1.29	0.00	1.00	20765.50	29252.20	1.01
19	28099.10	0.00	0.00	0.00	0.00	1.80	1.80	1.20	1.29	1.00	1.00	24476.50	34480.00	1.23
19	28099.10	0.00	0.00	0.00	0.00	1.80	1.80	1.00	1.29	0.00	1.00	20765.50	29252.20	1.04
20	28099.10	0.00	0.00	0.00	0.00	1.80	1.80	1.20	1.29	1.00	1.00	24476.50	34480.00	1.23
20	28099.10	0.00	0.00	0.00	0.00	1.80	1.80	1.00	1.29	0.00	1.00	20765.50	29252.20	1.04
21	28099.10	0.00	0.00	0.00	0.00	1.80	1.80	1.20	1.29	1.00	1.00	24476.50	34480.00	1.23
21	28099.10	0.00	0.00	0.00	0.00	1.80	1.80	1.00	1.29	0.00	1.00	20765.50	29252.20	1.04

Verifiche di capacità portante per rottura generale in condizioni statiche

Metodo utilizzato: Brinch Hansen

Plinto n. 82

B=1.80 <m> L=1.80 <m> D=1.30 <m> β=0.00 <grad> η=0.00 <grad> γ_r=600.00 <daN/mc>
σ_{v0,f}=2210.00 <daN/mq>

Verifiche in condizioni drenate

φ'_r=24.00 <grad> c'_r=0.00 <daN/mq>
N_q=9.60 N_c=19.32 N_g=9.44 g_q=1.00 g_c=1.00 g_g=1.00
b_q=1.00 b_c=1.00 b_g=1.00

CC	N <daN>	Tx <daN>	Ty <daN>	Mx <daNm>	My <daNm>	B' <m>	L' <m>	s _q	s _c	s _g	d _q	d _c	i _q	i _c	i _g	q _{lim} <daN/mq>	R _d <daN>	Sic.
17	29064.70	0.00	0.00	0.00	0.00	1.80	1.80	1.24	1.47	0.76	1.23	1.25	1.00	1.00	1.00	36088.50	50837.80	1.75
17	29064.70	0.00	0.00	0.00	0.00	1.80	1.80	1.00	1.00	1.00	1.23	1.25	1.00	1.00	1.00	31125.90	43847.00	1.51
18	29064.70	0.00	0.00	0.00	0.00	1.80	1.80	1.24	1.47	0.76	1.23	1.25	1.00	1.00	1.00	36088.50	50837.80	1.75
18	29064.70	0.00	0.00	0.00	0.00	1.80	1.80	1.00	1.00	1.00	1.23	1.25	1.00	1.00	1.00	31125.90	43847.00	1.51
19	28099.10	0.00	0.00	0.00	0.00	1.80	1.80	1.24	1.47	0.76	1.23	1.25	1.00	1.00	1.00	36088.50	50837.80	1.81
19	28099.10	0.00	0.00	0.00	0.00	1.80	1.80	1.00	1.00	1.00	1.23	1.25	1.00	1.00	1.00	31125.90	43847.00	1.56
20	28099.10	0.00	0.00	0.00	0.00	1.80	1.80	1.24	1.47	0.76	1.23	1.25	1.00	1.00	1.00	36088.50	50837.80	1.81
20	28099.10	0.00	0.00	0.00	0.00	1.80	1.80	1.00	1.00	1.00	1.23	1.25	1.00	1.00	1.00	31125.90	43847.00	1.56
21	28099.10	0.00	0.00	0.00	0.00	1.80	1.80	1.24	1.47	0.76	1.23	1.25	1.00	1.00	1.00	36088.50	50837.80	1.81
21	28099.10	0.00	0.00	0.00	0.00	1.80	1.80	1.00	1.00	1.00	1.23	1.25	1.00	1.00	1.00	31125.90	43847.00	1.56

Verifiche in condizioni non drenate

c_{ur}=2800.00 <daN/mq>
N_q=1.00 N_c=5.14 g_c=1.00 b_c=1.00

CC	N <daN>	Tx <daN>	Ty <daN>	Mx <daNm>	My <daNm>	B' <m>	L' <m>	s _c	d _c	i _q	i _c	q _{lim} <daN/mq>	R _d <daN>	Sic.
17	29064.70	0.00	0.00	0.00	0.00	1.80	1.80	1.20	1.29	1.00	1.00	24476.50	34480.00	1.19
17	29064.70	0.00	0.00	0.00	0.00	1.80	1.80	1.00	1.29	0.00	1.00	20765.50	29252.20	1.01
18	29064.70	0.00	0.00	0.00	0.00	1.80	1.80	1.20	1.29	1.00	1.00	24476.50	34480.00	1.19
18	29064.70	0.00	0.00	0.00	0.00	1.80	1.80	1.00	1.29	0.00	1.00	20765.50	29252.20	1.01
19	28099.10	0.00	0.00	0.00	0.00	1.80	1.80	1.20	1.29	1.00	1.00	24476.50	34480.00	1.23
19	28099.10	0.00	0.00	0.00	0.00	1.80	1.80	1.00	1.29	0.00	1.00	20765.50	29252.20	1.04
20	28099.10	0.00	0.00	0.00	0.00	1.80	1.80	1.20	1.29	1.00	1.00	24476.50	34480.00	1.23
20	28099.10	0.00	0.00	0.00	0.00	1.80	1.80	1.00	1.29	0.00	1.00	20765.50	29252.20	1.04
21	28099.10	0.00	0.00	0.00	0.00	1.80	1.80	1.20	1.29	1.00	1.00	24476.50	34480.00	1.23
21	28099.10	0.00	0.00	0.00	0.00	1.80	1.80	1.00	1.29	0.00	1.00	20765.50	29252.20	1.04

Verifiche di capacità portante per rottura generale in condizioni statiche

Metodo utilizzato: Brinch Hansen

Plinto n. 84

B=1.40 <m> L=1.40 <m> D=1.30 <m> β=0.00 <grad> η=0.00 <grad> γ_r=600.00 <daN/mc>
σ_{v0,f}=2210.00 <daN/mq>

Verifiche in condizioni drenate

φ'_r=24.00 <grad> c'_r=0.00 <daN/mq>
N_q=9.60 N_c=19.32 N_g=9.44 g_q=1.00 g_c=1.00 g_g=1.00
b_q=1.00 b_c=1.00 b_g=1.00

CC	N	Tx	Ty	Mx	My	B'	L'	s _q	s _c	s _g	d _q	d _c	i _q	i _c	i _g	q _{lim}	R _d	Sic.
----	---	----	----	----	----	----	----	----------------	----------------	----------------	----------------	----------------	----------------	----------------	----------------	------------------	----------------	------

Relazione di calcolo

	<daN>	<daN>	<daN>	<daNm>	<daNm>	<m>	<m>									<daN/mq>	<daN>	
17	16412.50	0.00	0.00	0.00	0.00	1.40	1.40	1.24	1.47	0.76	1.29	1.32	1.00	1.00	1.00	36922.20	31464.10	1.92
17	16412.50	0.00	0.00	0.00	0.00	1.40	1.40	1.00	1.00	1.00	1.29	1.32	1.00	1.00	1.00	31365.50	26728.90	1.63
18	16412.50	0.00	0.00	0.00	0.00	1.40	1.40	1.24	1.47	0.76	1.29	1.32	1.00	1.00	1.00	36922.20	31464.10	1.92
18	16412.50	0.00	0.00	0.00	0.00	1.40	1.40	1.00	1.00	1.00	1.29	1.32	1.00	1.00	1.00	31365.50	26728.90	1.63
19	15971.80	0.00	0.00	0.00	0.00	1.40	1.40	1.24	1.47	0.76	1.29	1.32	1.00	1.00	1.00	36922.20	31464.10	1.97
19	15971.80	0.00	0.00	0.00	0.00	1.40	1.40	1.00	1.00	1.00	1.29	1.32	1.00	1.00	1.00	31365.50	26728.90	1.67
20	15971.80	0.00	0.00	0.00	0.00	1.40	1.40	1.24	1.47	0.76	1.29	1.32	1.00	1.00	1.00	36922.20	31464.10	1.97
20	15971.80	0.00	0.00	0.00	0.00	1.40	1.40	1.00	1.00	1.00	1.29	1.32	1.00	1.00	1.00	31365.50	26728.90	1.67
21	15971.80	0.00	0.00	0.00	0.00	1.40	1.40	1.24	1.47	0.76	1.29	1.32	1.00	1.00	1.00	36922.20	31464.10	1.97
21	15971.80	0.00	0.00	0.00	0.00	1.40	1.40	1.00	1.00	1.00	1.29	1.32	1.00	1.00	1.00	31365.50	26728.90	1.67

Verifiche in condizioni non drenate

c_{ur}=2800.00 <daN/mq>
N_q=1.00 N_c=5.14 g_c=1.00 b_c=1.00

CC	N <daN>	Tx <daN>	Ty <daN>	Mx <daNm>	My <daNm>	B' <m>	L' <m>	s _c	d _c	i _q	i _c	q _{lim} <daN/mq>	R _d <daN>	Sic.
17	16412.50	0.00	0.00	0.00	0.00	1.40	1.40	1.20	1.37	1.00	1.00	25902.50	22073.40	1.34
17	16412.50	0.00	0.00	0.00	0.00	1.40	1.40	1.00	1.37	0.00	1.00	21953.70	18708.40	1.14
18	16412.50	0.00	0.00	0.00	0.00	1.40	1.40	1.20	1.37	1.00	1.00	25902.50	22073.40	1.34
18	16412.50	0.00	0.00	0.00	0.00	1.40	1.40	1.00	1.37	0.00	1.00	21953.70	18708.40	1.14
19	15971.80	0.00	0.00	0.00	0.00	1.40	1.40	1.20	1.37	1.00	1.00	25902.50	22073.40	1.38
19	15971.80	0.00	0.00	0.00	0.00	1.40	1.40	1.00	1.37	0.00	1.00	21953.70	18708.40	1.17
20	15971.80	0.00	0.00	0.00	0.00	1.40	1.40	1.20	1.37	1.00	1.00	25902.50	22073.40	1.38
20	15971.80	0.00	0.00	0.00	0.00	1.40	1.40	1.00	1.37	0.00	1.00	21953.70	18708.40	1.17
21	15971.80	0.00	0.00	0.00	0.00	1.40	1.40	1.20	1.37	1.00	1.00	25902.50	22073.40	1.38
21	15971.80	0.00	0.00	0.00	0.00	1.40	1.40	1.00	1.37	0.00	1.00	21953.70	18708.40	1.17

Verifiche di capacità portante per rottura generale in condizioni statiche

Metodo utilizzato: Brinch Hansen

Plinto n. 85

B=1.40 <m> L=1.40 <m> D=1.30 <m> β=0.00 <grad> η=0.00 <grad> γ_r=600.00 <daN/mc>
σ_{v0, f}=2210.00 <daN/mq>

Verifiche in condizioni drenate

φ'_r=24.00 <grad> c'_r=0.00 <daN/mq>
N_q=9.60 N_c=19.32 N_γ=9.44 g_q=1.00 g_c=1.00 g_γ=1.00
b_q=1.00 b_c=1.00 b_γ=1.00

CC	N <daN>	Tx <daN>	Ty <daN>	Mx <daNm>	My <daNm>	B' <m>	L' <m>	s _q	s _c	s _γ	d _q	d _c	i _q	i _c	i _γ	q _{lim} <daN/mq>	R _d <daN>	Sic.
17	18465.50	0.00	0.00	0.00	0.00	1.40	1.40	1.24	1.47	0.76	1.29	1.32	1.00	1.00	1.00	36922.20	31464.10	1.70
17	18465.50	0.00	0.00	0.00	0.00	1.40	1.40	1.00	1.00	1.00	1.29	1.32	1.00	1.00	1.00	31365.50	26728.90	1.45
18	18465.50	0.00	0.00	0.00	0.00	1.40	1.40	1.24	1.47	0.76	1.29	1.32	1.00	1.00	1.00	36922.20	31464.10	1.70
18	18465.50	0.00	0.00	0.00	0.00	1.40	1.40	1.00	1.00	1.00	1.29	1.32	1.00	1.00	1.00	31365.50	26728.90	1.45
19	17940.50	0.00	0.00	0.00	0.00	1.40	1.40	1.24	1.47	0.76	1.29	1.32	1.00	1.00	1.00	36922.20	31464.10	1.75
19	17940.50	0.00	0.00	0.00	0.00	1.40	1.40	1.00	1.00	1.00	1.29	1.32	1.00	1.00	1.00	31365.50	26728.90	1.49
20	17940.50	0.00	0.00	0.00	0.00	1.40	1.40	1.24	1.47	0.76	1.29	1.32	1.00	1.00	1.00	36922.20	31464.10	1.75
20	17940.50	0.00	0.00	0.00	0.00	1.40	1.40	1.00	1.00	1.00	1.29	1.32	1.00	1.00	1.00	31365.50	26728.90	1.49
21	17940.50	0.00	0.00	0.00	0.00	1.40	1.40	1.24	1.47	0.76	1.29	1.32	1.00	1.00	1.00	36922.20	31464.10	1.75
21	17940.50	0.00	0.00	0.00	0.00	1.40	1.40	1.00	1.00	1.00	1.29	1.32	1.00	1.00	1.00	31365.50	26728.90	1.49

Verifiche in condizioni non drenate

c_{ur}=2800.00 <daN/mq>
N_q=1.00 N_c=5.14 g_c=1.00 b_c=1.00

CC	N <daN>	Tx <daN>	Ty <daN>	Mx <daNm>	My <daNm>	B' <m>	L' <m>	s _c	d _c	i _q	i _c	q _{lim} <daN/mq>	R _d <daN>	Sic.
17	18465.50	0.00	0.00	0.00	0.00	1.40	1.40	1.20	1.37	1.00	1.00	25902.50	22073.40	1.20
17	18465.50	0.00	0.00	0.00	0.00	1.40	1.40	1.00	1.37	0.00	1.00	21953.70	18708.40	1.01
18	18465.50	0.00	0.00	0.00	0.00	1.40	1.40	1.20	1.37	1.00	1.00	25902.50	22073.40	1.20
18	18465.50	0.00	0.00	0.00	0.00	1.40	1.40	1.00	1.37	0.00	1.00	21953.70	18708.40	1.01
19	17940.50	0.00	0.00	0.00	0.00	1.40	1.40	1.20	1.37	1.00	1.00	25902.50	22073.40	1.23
19	17940.50	0.00	0.00	0.00	0.00	1.40	1.40	1.00	1.37	0.00	1.00	21953.70	18708.40	1.04
20	17940.50	0.00	0.00	0.00	0.00	1.40	1.40	1.20	1.37	1.00	1.00	25902.50	22073.40	1.23
20	17940.50	0.00	0.00	0.00	0.00	1.40	1.40	1.00	1.37	0.00	1.00	21953.70	18708.40	1.04
21	17940.50	0.00	0.00	0.00	0.00	1.40	1.40	1.20	1.37	1.00	1.00	25902.50	22073.40	1.23
21	17940.50	0.00	0.00	0.00	0.00	1.40	1.40	1.00	1.37	0.00	1.00	21953.70	18708.40	1.04

Verifiche di capacità portante per rottura generale in condizioni statiche

Metodo utilizzato: Brinch Hansen

Relazione di calcolo

Plinto n. 95

B=1.40 <m> L=1.40 <m> D=1.30 <m> β=0.00 <grad> η=0.00 <grad> γ_r=600.00 <daN/mc>
σ_{v0,f}=2210.00 <daN/mq>

Verifiche in condizioni drenate

φ'_r=24.00 <grad> c'_r=0.00 <daN/mq>
N_q=9.60 N_c=19.32 N_γ=9.44 g_q=1.00 g_c=1.00 g_γ=1.00
b_q=1.00 b_c=1.00 b_γ=1.00

CC	N <daN>	Tx <daN>	Ty <daN>	Mx <daNm>	My <daNm>	B' <m>	L' <m>	s _q	s _c	s _γ	d _q	d _c	i _q	i _c	i _γ	q _{lim} <daN/mq>	R _d <daN>	Sic.
17	18465.50	0.00	0.00	0.00	0.00	1.40	1.40	1.24	1.47	0.76	1.29	1.32	1.00	1.00	1.00	36922.20	31464.10	1.70
17	18465.50	0.00	0.00	0.00	0.00	1.40	1.40	1.00	1.00	1.00	1.29	1.32	1.00	1.00	1.00	31365.50	26728.90	1.45
18	18465.50	0.00	0.00	0.00	0.00	1.40	1.40	1.24	1.47	0.76	1.29	1.32	1.00	1.00	1.00	36922.20	31464.10	1.70
18	18465.50	0.00	0.00	0.00	0.00	1.40	1.40	1.00	1.00	1.00	1.29	1.32	1.00	1.00	1.00	31365.50	26728.90	1.45
19	17940.50	0.00	0.00	0.00	0.00	1.40	1.40	1.24	1.47	0.76	1.29	1.32	1.00	1.00	1.00	36922.20	31464.10	1.75
19	17940.50	0.00	0.00	0.00	0.00	1.40	1.40	1.00	1.00	1.00	1.29	1.32	1.00	1.00	1.00	31365.50	26728.90	1.49
20	17940.50	0.00	0.00	0.00	0.00	1.40	1.40	1.24	1.47	0.76	1.29	1.32	1.00	1.00	1.00	36922.20	31464.10	1.75
20	17940.50	0.00	0.00	0.00	0.00	1.40	1.40	1.00	1.00	1.00	1.29	1.32	1.00	1.00	1.00	31365.50	26728.90	1.49
21	17940.50	0.00	0.00	0.00	0.00	1.40	1.40	1.24	1.47	0.76	1.29	1.32	1.00	1.00	1.00	36922.20	31464.10	1.75
21	17940.50	0.00	0.00	0.00	0.00	1.40	1.40	1.00	1.00	1.00	1.29	1.32	1.00	1.00	1.00	31365.50	26728.90	1.49

Verifiche in condizioni non drenate

c_{ur}=2800.00 <daN/mq>
N_q=1.00 N_c=5.14 g_c=1.00 b_c=1.00

CC	N <daN>	Tx <daN>	Ty <daN>	Mx <daNm>	My <daNm>	B' <m>	L' <m>	s _c	d _c	i _q	i _c	q _{lim} <daN/mq>	R _d <daN>	Sic.
17	18465.50	0.00	0.00	0.00	0.00	1.40	1.40	1.20	1.37	1.00	1.00	25902.50	22073.40	1.20
17	18465.50	0.00	0.00	0.00	0.00	1.40	1.40	1.00	1.37	0.00	1.00	21953.70	18708.40	1.01
18	18465.50	0.00	0.00	0.00	0.00	1.40	1.40	1.20	1.37	1.00	1.00	25902.50	22073.40	1.20
18	18465.50	0.00	0.00	0.00	0.00	1.40	1.40	1.00	1.37	0.00	1.00	21953.70	18708.40	1.01
19	17940.50	0.00	0.00	0.00	0.00	1.40	1.40	1.20	1.37	1.00	1.00	25902.50	22073.40	1.23
19	17940.50	0.00	0.00	0.00	0.00	1.40	1.40	1.00	1.37	0.00	1.00	21953.70	18708.40	1.04
20	17940.50	0.00	0.00	0.00	0.00	1.40	1.40	1.20	1.37	1.00	1.00	25902.50	22073.40	1.23
20	17940.50	0.00	0.00	0.00	0.00	1.40	1.40	1.00	1.37	0.00	1.00	21953.70	18708.40	1.04
21	17940.50	0.00	0.00	0.00	0.00	1.40	1.40	1.20	1.37	1.00	1.00	25902.50	22073.40	1.23
21	17940.50	0.00	0.00	0.00	0.00	1.40	1.40	1.00	1.37	0.00	1.00	21953.70	18708.40	1.04

Verifiche di capacità portante per rottura generale in condizioni statiche

Metodo utilizzato: Brinch Hansen

Plinto n. 96

B=1.80 <m> L=1.80 <m> D=1.30 <m> β=0.00 <grad> η=0.00 <grad> γ_r=600.00 <daN/mc>
σ_{v0,f}=2210.00 <daN/mq>

Verifiche in condizioni drenate

φ'_r=24.00 <grad> c'_r=0.00 <daN/mq>
N_q=9.60 N_c=19.32 N_γ=9.44 g_q=1.00 g_c=1.00 g_γ=1.00
b_q=1.00 b_c=1.00 b_γ=1.00

CC	N <daN>	Tx <daN>	Ty <daN>	Mx <daNm>	My <daNm>	B' <m>	L' <m>	s _q	s _c	s _γ	d _q	d _c	i _q	i _c	i _γ	q _{lim} <daN/mq>	R _d <daN>	Sic.
17	29064.70	0.00	0.00	0.00	0.00	1.80	1.80	1.24	1.47	0.76	1.23	1.25	1.00	1.00	1.00	36088.50	50837.80	1.75
17	29064.70	0.00	0.00	0.00	0.00	1.80	1.80	1.00	1.00	1.00	1.23	1.25	1.00	1.00	1.00	31125.90	43847.00	1.51
18	29064.70	0.00	0.00	0.00	0.00	1.80	1.80	1.24	1.47	0.76	1.23	1.25	1.00	1.00	1.00	36088.50	50837.80	1.75
18	29064.70	0.00	0.00	0.00	0.00	1.80	1.80	1.00	1.00	1.00	1.23	1.25	1.00	1.00	1.00	31125.90	43847.00	1.51
19	28099.10	0.00	0.00	0.00	0.00	1.80	1.80	1.24	1.47	0.76	1.23	1.25	1.00	1.00	1.00	36088.50	50837.80	1.81
19	28099.10	0.00	0.00	0.00	0.00	1.80	1.80	1.00	1.00	1.00	1.23	1.25	1.00	1.00	1.00	31125.90	43847.00	1.56
20	28099.10	0.00	0.00	0.00	0.00	1.80	1.80	1.24	1.47	0.76	1.23	1.25	1.00	1.00	1.00	36088.50	50837.80	1.81
20	28099.10	0.00	0.00	0.00	0.00	1.80	1.80	1.00	1.00	1.00	1.23	1.25	1.00	1.00	1.00	31125.90	43847.00	1.56
21	28099.10	0.00	0.00	0.00	0.00	1.80	1.80	1.24	1.47	0.76	1.23	1.25	1.00	1.00	1.00	36088.50	50837.80	1.81
21	28099.10	0.00	0.00	0.00	0.00	1.80	1.80	1.00	1.00	1.00	1.23	1.25	1.00	1.00	1.00	31125.90	43847.00	1.56

Verifiche in condizioni non drenate

c_{ur}=2800.00 <daN/mq>
N_q=1.00 N_c=5.14 g_c=1.00 b_c=1.00

CC	N <daN>	Tx <daN>	Ty <daN>	Mx <daNm>	My <daNm>	B' <m>	L' <m>	s _c	d _c	i _q	i _c	q _{lim} <daN/mq>	R _d <daN>	Sic.
17	29064.70	0.00	0.00	0.00	0.00	1.80	1.80	1.20	1.29	1.00	1.00	24476.50	34480.00	1.19

Relazione di calcolo

17	29064.70	0.00	0.00	0.00	0.00	1.80	1.80	1.00	1.29	0.00	1.00	20765.50	29252.20	1.01
18	29064.70	0.00	0.00	0.00	0.00	1.80	1.80	1.20	1.29	1.00	1.00	24476.50	34480.00	1.19
18	29064.70	0.00	0.00	0.00	0.00	1.80	1.80	1.00	1.29	0.00	1.00	20765.50	29252.20	1.01
19	28099.10	0.00	0.00	0.00	0.00	1.80	1.80	1.20	1.29	1.00	1.00	24476.50	34480.00	1.23
19	28099.10	0.00	0.00	0.00	0.00	1.80	1.80	1.00	1.29	0.00	1.00	20765.50	29252.20	1.04
20	28099.10	0.00	0.00	0.00	0.00	1.80	1.80	1.20	1.29	1.00	1.00	24476.50	34480.00	1.23
20	28099.10	0.00	0.00	0.00	0.00	1.80	1.80	1.00	1.29	0.00	1.00	20765.50	29252.20	1.04
21	28099.10	0.00	0.00	0.00	0.00	1.80	1.80	1.20	1.29	1.00	1.00	24476.50	34480.00	1.23
21	28099.10	0.00	0.00	0.00	0.00	1.80	1.80	1.00	1.29	0.00	1.00	20765.50	29252.20	1.04

Verifiche di capacità portante per rottura generale in condizioni statiche

Metodo utilizzato: Brinch Hansen

Plinto n. 98

B=1.80 <m> L=1.80 <m> D=1.30 <m> β =0.00 <grad> η =0.00 <grad> γ_r =600.00 <daN/mc>
 $\sigma_{v0,f}$ =2210.00 <daN/mq>

Verifiche in condizioni drenate

ϕ'_r =24.00 <grad> c'_r =0.00 <daN/mq>
 N_q =9.60 N_c =19.32 N_g =9.44 g_q =1.00 g_c =1.00 g_g =1.00
 b_q =1.00 b_c =1.00 b_g =1.00

CC	N <daN>	Tx <daN>	Ty <daN>	Mx <daNm>	My <daNm>	B' <m>	L' <m>	s _q	s _c	s _g	d _q	d _c	i _q	i _c	i _g	q _{lim} <daN/mq>	R _d <daN>	Sic.
17	29064.70	0.00	0.00	0.00	0.00	1.80	1.80	1.24	1.47	0.76	1.23	1.25	1.00	1.00	1.00	36088.50	50837.80	1.75
17	29064.70	0.00	0.00	0.00	0.00	1.80	1.80	1.00	1.00	1.00	1.23	1.25	1.00	1.00	1.00	31125.90	43847.00	1.51
18	29064.70	0.00	0.00	0.00	0.00	1.80	1.80	1.24	1.47	0.76	1.23	1.25	1.00	1.00	1.00	36088.50	50837.80	1.75
18	29064.70	0.00	0.00	0.00	0.00	1.80	1.80	1.00	1.00	1.00	1.23	1.25	1.00	1.00	1.00	31125.90	43847.00	1.51
19	28099.10	0.00	0.00	0.00	0.00	1.80	1.80	1.24	1.47	0.76	1.23	1.25	1.00	1.00	1.00	36088.50	50837.80	1.81
19	28099.10	0.00	0.00	0.00	0.00	1.80	1.80	1.00	1.00	1.00	1.23	1.25	1.00	1.00	1.00	31125.90	43847.00	1.56
20	28099.10	0.00	0.00	0.00	0.00	1.80	1.80	1.24	1.47	0.76	1.23	1.25	1.00	1.00	1.00	36088.50	50837.80	1.81
20	28099.10	0.00	0.00	0.00	0.00	1.80	1.80	1.00	1.00	1.00	1.23	1.25	1.00	1.00	1.00	31125.90	43847.00	1.56
21	28099.10	0.00	0.00	0.00	0.00	1.80	1.80	1.24	1.47	0.76	1.23	1.25	1.00	1.00	1.00	36088.50	50837.80	1.81
21	28099.10	0.00	0.00	0.00	0.00	1.80	1.80	1.00	1.00	1.00	1.23	1.25	1.00	1.00	1.00	31125.90	43847.00	1.56

Verifiche in condizioni non drenate

c_{ur} =2800.00 <daN/mq>
 N_q =1.00 N_c =5.14 g_c =1.00 b_c =1.00

CC	N <daN>	Tx <daN>	Ty <daN>	Mx <daNm>	My <daNm>	B' <m>	L' <m>	s _c	d _c	i _q	i _c	q _{lim} <daN/mq>	R _d <daN>	Sic.
17	29064.70	0.00	0.00	0.00	0.00	1.80	1.80	1.20	1.29	1.00	1.00	24476.50	34480.00	1.19
17	29064.70	0.00	0.00	0.00	0.00	1.80	1.80	1.00	1.29	0.00	1.00	20765.50	29252.20	1.01
18	29064.70	0.00	0.00	0.00	0.00	1.80	1.80	1.20	1.29	1.00	1.00	24476.50	34480.00	1.19
18	29064.70	0.00	0.00	0.00	0.00	1.80	1.80	1.00	1.29	0.00	1.00	20765.50	29252.20	1.01
19	28099.10	0.00	0.00	0.00	0.00	1.80	1.80	1.20	1.29	1.00	1.00	24476.50	34480.00	1.23
19	28099.10	0.00	0.00	0.00	0.00	1.80	1.80	1.00	1.29	0.00	1.00	20765.50	29252.20	1.04
20	28099.10	0.00	0.00	0.00	0.00	1.80	1.80	1.20	1.29	1.00	1.00	24476.50	34480.00	1.23
20	28099.10	0.00	0.00	0.00	0.00	1.80	1.80	1.00	1.29	0.00	1.00	20765.50	29252.20	1.04
21	28099.10	0.00	0.00	0.00	0.00	1.80	1.80	1.20	1.29	1.00	1.00	24476.50	34480.00	1.23
21	28099.10	0.00	0.00	0.00	0.00	1.80	1.80	1.00	1.29	0.00	1.00	20765.50	29252.20	1.04

Verifiche di capacità portante per rottura generale in condizioni statiche

Metodo utilizzato: Brinch Hansen

Plinto n. 99

B=1.80 <m> L=1.80 <m> D=1.30 <m> β =0.00 <grad> η =0.00 <grad> γ_r =600.00 <daN/mc>
 $\sigma_{v0,f}$ =2210.00 <daN/mq>

Verifiche in condizioni drenate

ϕ'_r =24.00 <grad> c'_r =0.00 <daN/mq>
 N_q =9.60 N_c =19.32 N_g =9.44 g_q =1.00 g_c =1.00 g_g =1.00
 b_q =1.00 b_c =1.00 b_g =1.00

CC	N <daN>	Tx <daN>	Ty <daN>	Mx <daNm>	My <daNm>	B' <m>	L' <m>	s _q	s _c	s _g	d _q	d _c	i _q	i _c	i _g	q _{lim} <daN/mq>	R _d <daN>	Sic.
17	23768.40	0.00	0.00	0.00	0.00	1.80	1.80	1.24	1.47	0.76	1.23	1.25	1.00	1.00	1.00	36088.50	50837.80	2.14
17	23768.40	0.00	0.00	0.00	0.00	1.80	1.80	1.00	1.00	1.00	1.23	1.25	1.00	1.00	1.00	31125.90	43847.00	1.84
18	23768.40	0.00	0.00	0.00	0.00	1.80	1.80	1.24	1.47	0.76	1.23	1.25	1.00	1.00	1.00	36088.50	50837.80	2.14
18	23768.40	0.00	0.00	0.00	0.00	1.80	1.80	1.00	1.00	1.00	1.23	1.25	1.00	1.00	1.00	31125.90	43847.00	1.84
19	23023.10	0.00	0.00	0.00	0.00	1.80	1.80	1.24	1.47	0.76	1.23	1.25	1.00	1.00	1.00	36088.50	50837.80	2.21
19	23023.10	0.00	0.00	0.00	0.00	1.80	1.80	1.00	1.00	1.00	1.23	1.25	1.00	1.00	1.00	31125.90	43847.00	1.90

Relazione di calcolo

20	23023.10	0.00	0.00	0.00	0.00	1.80	1.80	1.24	1.47	0.76	1.23	1.25	1.00	1.00	1.00	36088.50	50837.80	2.21
20	23023.10	0.00	0.00	0.00	0.00	1.80	1.80	1.00	1.00	1.00	1.23	1.25	1.00	1.00	1.00	31125.90	43847.00	1.90
21	23023.10	0.00	0.00	0.00	0.00	1.80	1.80	1.24	1.47	0.76	1.23	1.25	1.00	1.00	1.00	36088.50	50837.80	2.21
21	23023.10	0.00	0.00	0.00	0.00	1.80	1.80	1.00	1.00	1.00	1.23	1.25	1.00	1.00	1.00	31125.90	43847.00	1.90

Verifiche in condizioni non drenate

$c_{ur}=2800.00$ <daN/mq>
 $N_q=1.00$ $N_c=5.14$ $g_c=1.00$ $b_c=1.00$

CC	N <daN>	T _x <daN>	T _y <daN>	M _x <daNm>	M _y <daNm>	B' <m>	L' <m>	s _c	d _c	i _q	i _c	q _{lim} <daN/mq>	R _d <daN>	Sic.
17	23768.40	0.00	0.00	0.00	0.00	1.80	1.80	1.20	1.29	1.00	1.00	24476.50	34480.00	1.45
17	23768.40	0.00	0.00	0.00	0.00	1.80	1.80	1.00	1.29	0.00	1.00	20765.50	29252.20	1.23
18	23768.40	0.00	0.00	0.00	0.00	1.80	1.80	1.20	1.29	1.00	1.00	24476.50	34480.00	1.45
18	23768.40	0.00	0.00	0.00	0.00	1.80	1.80	1.00	1.29	0.00	1.00	20765.50	29252.20	1.23
19	23023.10	0.00	0.00	0.00	0.00	1.80	1.80	1.20	1.29	1.00	1.00	24476.50	34480.00	1.50
19	23023.10	0.00	0.00	0.00	0.00	1.80	1.80	1.00	1.29	0.00	1.00	20765.50	29252.20	1.27
20	23023.10	0.00	0.00	0.00	0.00	1.80	1.80	1.20	1.29	1.00	1.00	24476.50	34480.00	1.50
20	23023.10	0.00	0.00	0.00	0.00	1.80	1.80	1.00	1.29	0.00	1.00	20765.50	29252.20	1.27
21	23023.10	0.00	0.00	0.00	0.00	1.80	1.80	1.20	1.29	1.00	1.00	24476.50	34480.00	1.50
21	23023.10	0.00	0.00	0.00	0.00	1.80	1.80	1.00	1.29	0.00	1.00	20765.50	29252.20	1.27

Verifiche di capacità portante per rottura generale in condizioni statiche

Metodo utilizzato: Brinch Hansen

Plinto n. 101

$B=1.80$ <m> $L=1.80$ <m> $D=1.30$ <m> $\beta=0.00$ <grad> $\eta=0.00$ <grad> $\gamma_r=600.00$ <daN/mc>
 $\sigma_{v0,t}=2210.00$ <daN/mq>

Verifiche in condizioni drenate

$\phi'_r=24.00$ <grad> $c'_r=0.00$ <daN/mq>
 $N_q=9.60$ $N_c=19.32$ $N_g=9.44$ $g_q=1.00$ $g_c=1.00$ $g_g=1.00$
 $b_q=1.00$ $b_c=1.00$ $b_g=1.00$

CC	N <daN>	T _x <daN>	T _y <daN>	M _x <daNm>	M _y <daNm>	B' <m>	L' <m>	s _q	s _c	s _g	d _q	d _c	i _q	i _c	i _g	q _{lim} <daN/mq>	R _d <daN>	Sic.
17	29064.70	0.00	0.00	0.00	0.00	1.80	1.80	1.24	1.47	0.76	1.23	1.25	1.00	1.00	1.00	36088.50	50837.80	1.75
17	29064.70	0.00	0.00	0.00	0.00	1.80	1.80	1.00	1.00	1.00	1.23	1.25	1.00	1.00	1.00	31125.90	43847.00	1.51
18	29064.70	0.00	0.00	0.00	0.00	1.80	1.80	1.24	1.47	0.76	1.23	1.25	1.00	1.00	1.00	36088.50	50837.80	1.75
18	29064.70	0.00	0.00	0.00	0.00	1.80	1.80	1.00	1.00	1.00	1.23	1.25	1.00	1.00	1.00	31125.90	43847.00	1.51
19	28099.10	0.00	0.00	0.00	0.00	1.80	1.80	1.24	1.47	0.76	1.23	1.25	1.00	1.00	1.00	36088.50	50837.80	1.81
19	28099.10	0.00	0.00	0.00	0.00	1.80	1.80	1.00	1.00	1.00	1.23	1.25	1.00	1.00	1.00	31125.90	43847.00	1.56
20	28099.10	0.00	0.00	0.00	0.00	1.80	1.80	1.24	1.47	0.76	1.23	1.25	1.00	1.00	1.00	36088.50	50837.80	1.81
20	28099.10	0.00	0.00	0.00	0.00	1.80	1.80	1.00	1.00	1.00	1.23	1.25	1.00	1.00	1.00	31125.90	43847.00	1.56
21	28099.10	0.00	0.00	0.00	0.00	1.80	1.80	1.24	1.47	0.76	1.23	1.25	1.00	1.00	1.00	36088.50	50837.80	1.81
21	28099.10	0.00	0.00	0.00	0.00	1.80	1.80	1.00	1.00	1.00	1.23	1.25	1.00	1.00	1.00	31125.90	43847.00	1.56

Verifiche in condizioni non drenate

$c_{ur}=2800.00$ <daN/mq>
 $N_q=1.00$ $N_c=5.14$ $g_c=1.00$ $b_c=1.00$

CC	N <daN>	T _x <daN>	T _y <daN>	M _x <daNm>	M _y <daNm>	B' <m>	L' <m>	s _c	d _c	i _q	i _c	q _{lim} <daN/mq>	R _d <daN>	Sic.
17	29064.70	0.00	0.00	0.00	0.00	1.80	1.80	1.20	1.29	1.00	1.00	24476.50	34480.00	1.19
17	29064.70	0.00	0.00	0.00	0.00	1.80	1.80	1.00	1.29	0.00	1.00	20765.50	29252.20	1.01
18	29064.70	0.00	0.00	0.00	0.00	1.80	1.80	1.20	1.29	1.00	1.00	24476.50	34480.00	1.19
18	29064.70	0.00	0.00	0.00	0.00	1.80	1.80	1.00	1.29	0.00	1.00	20765.50	29252.20	1.01
19	28099.10	0.00	0.00	0.00	0.00	1.80	1.80	1.20	1.29	1.00	1.00	24476.50	34480.00	1.23
19	28099.10	0.00	0.00	0.00	0.00	1.80	1.80	1.00	1.29	0.00	1.00	20765.50	29252.20	1.04
20	28099.10	0.00	0.00	0.00	0.00	1.80	1.80	1.20	1.29	1.00	1.00	24476.50	34480.00	1.23
20	28099.10	0.00	0.00	0.00	0.00	1.80	1.80	1.00	1.29	0.00	1.00	20765.50	29252.20	1.04
21	28099.10	0.00	0.00	0.00	0.00	1.80	1.80	1.20	1.29	1.00	1.00	24476.50	34480.00	1.23
21	28099.10	0.00	0.00	0.00	0.00	1.80	1.80	1.00	1.29	0.00	1.00	20765.50	29252.20	1.04

Verifiche di capacità portante per rottura generale in condizioni statiche

Metodo utilizzato: Brinch Hansen

Plinto n. 102

$B=1.80$ <m> $L=1.80$ <m> $D=1.30$ <m> $\beta=0.00$ <grad> $\eta=0.00$ <grad> $\gamma_r=600.00$ <daN/mc>
 $\sigma_{v0,t}=2210.00$ <daN/mq>

Verifiche in condizioni drenate

Relazione di calcolo

$\phi'_r=24.00$ <grad> $c'_r=0.00$ <daN/mq>
 $N_q=9.60$ $N_c=19.32$ $N_g=9.44$ $g_q=1.00$ $g_c=1.00$ $g_g=1.00$
 $b_q=1.00$ $b_c=1.00$ $b_g=1.00$

CC	N <daN>	T _x <daN>	T _y <daN>	M _x <daNm>	M _y <daNm>	B' <m>	L' <m>	s _q	s _c	s _g	d _q	d _c	i _q	i _c	i _g	q _{lim} <daN/mq>	R _d <daN>	Sic.
17	29064.70	0.00	0.00	0.00	0.00	1.80	1.80	1.24	1.47	0.76	1.23	1.25	1.00	1.00	1.00	36088.50	50837.80	1.75
17	29064.70	0.00	0.00	0.00	0.00	1.80	1.80	1.00	1.00	1.00	1.23	1.25	1.00	1.00	1.00	31125.90	43847.00	1.51
18	29064.70	0.00	0.00	0.00	0.00	1.80	1.80	1.24	1.47	0.76	1.23	1.25	1.00	1.00	1.00	36088.50	50837.80	1.75
18	29064.70	0.00	0.00	0.00	0.00	1.80	1.80	1.00	1.00	1.00	1.23	1.25	1.00	1.00	1.00	31125.90	43847.00	1.51
19	28099.10	0.00	0.00	0.00	0.00	1.80	1.80	1.24	1.47	0.76	1.23	1.25	1.00	1.00	1.00	36088.50	50837.80	1.81
19	28099.10	0.00	0.00	0.00	0.00	1.80	1.80	1.00	1.00	1.00	1.23	1.25	1.00	1.00	1.00	31125.90	43847.00	1.56
20	28099.10	0.00	0.00	0.00	0.00	1.80	1.80	1.24	1.47	0.76	1.23	1.25	1.00	1.00	1.00	36088.50	50837.80	1.81
20	28099.10	0.00	0.00	0.00	0.00	1.80	1.80	1.00	1.00	1.00	1.23	1.25	1.00	1.00	1.00	31125.90	43847.00	1.56
21	28099.10	0.00	0.00	0.00	0.00	1.80	1.80	1.24	1.47	0.76	1.23	1.25	1.00	1.00	1.00	36088.50	50837.80	1.81
21	28099.10	0.00	0.00	0.00	0.00	1.80	1.80	1.00	1.00	1.00	1.23	1.25	1.00	1.00	1.00	31125.90	43847.00	1.56

Verifiche in condizioni non drenate

$c_{ur}=2800.00$ <daN/mq>
 $N_q=1.00$ $N_c=5.14$ $g_c=1.00$ $b_c=1.00$

CC	N <daN>	T _x <daN>	T _y <daN>	M _x <daNm>	M _y <daNm>	B' <m>	L' <m>	s _c	d _c	i _q	i _c	q _{lim} <daN/mq>	R _d <daN>	Sic.
17	29064.70	0.00	0.00	0.00	0.00	1.80	1.80	1.20	1.29	1.00	1.00	24476.50	34480.00	1.19
17	29064.70	0.00	0.00	0.00	0.00	1.80	1.80	1.00	1.29	0.00	1.00	20765.50	29252.20	1.01
18	29064.70	0.00	0.00	0.00	0.00	1.80	1.80	1.20	1.29	1.00	1.00	24476.50	34480.00	1.19
18	29064.70	0.00	0.00	0.00	0.00	1.80	1.80	1.00	1.29	0.00	1.00	20765.50	29252.20	1.01
19	28099.10	0.00	0.00	0.00	0.00	1.80	1.80	1.20	1.29	1.00	1.00	24476.50	34480.00	1.23
19	28099.10	0.00	0.00	0.00	0.00	1.80	1.80	1.00	1.29	0.00	1.00	20765.50	29252.20	1.04
20	28099.10	0.00	0.00	0.00	0.00	1.80	1.80	1.20	1.29	1.00	1.00	24476.50	34480.00	1.23
20	28099.10	0.00	0.00	0.00	0.00	1.80	1.80	1.00	1.29	0.00	1.00	20765.50	29252.20	1.04
21	28099.10	0.00	0.00	0.00	0.00	1.80	1.80	1.20	1.29	1.00	1.00	24476.50	34480.00	1.23
21	28099.10	0.00	0.00	0.00	0.00	1.80	1.80	1.00	1.29	0.00	1.00	20765.50	29252.20	1.04

Verifiche di capacità portante per rottura generale in condizioni statiche

Metodo utilizzato: Brinch Hansen

Plinto n. 104

$B=1.40$ <m> $L=1.40$ <m> $D=1.30$ <m> $\beta=0.00$ <grad> $\eta=0.00$ <grad> $\gamma_r=600.00$ <daN/mc>
 $\sigma_{v0,t}=2210.00$ <daN/mq>

Verifiche in condizioni drenate

$\phi'_r=24.00$ <grad> $c'_r=0.00$ <daN/mq>
 $N_q=9.60$ $N_c=19.32$ $N_g=9.44$ $g_q=1.00$ $g_c=1.00$ $g_g=1.00$
 $b_q=1.00$ $b_c=1.00$ $b_g=1.00$

CC	N <daN>	T _x <daN>	T _y <daN>	M _x <daNm>	M _y <daNm>	B' <m>	L' <m>	s _q	s _c	s _g	d _q	d _c	i _q	i _c	i _g	q _{lim} <daN/mq>	R _d <daN>	Sic.
17	16412.50	0.00	0.00	0.00	0.00	1.40	1.40	1.24	1.47	0.76	1.29	1.32	1.00	1.00	1.00	36922.20	31464.10	1.92
17	16412.50	0.00	0.00	0.00	0.00	1.40	1.40	1.00	1.00	1.00	1.29	1.32	1.00	1.00	1.00	31365.50	26728.90	1.63
18	16412.50	0.00	0.00	0.00	0.00	1.40	1.40	1.24	1.47	0.76	1.29	1.32	1.00	1.00	1.00	36922.20	31464.10	1.92
18	16412.50	0.00	0.00	0.00	0.00	1.40	1.40	1.00	1.00	1.00	1.29	1.32	1.00	1.00	1.00	31365.50	26728.90	1.63
19	15971.80	0.00	0.00	0.00	0.00	1.40	1.40	1.24	1.47	0.76	1.29	1.32	1.00	1.00	1.00	36922.20	31464.10	1.97
19	15971.80	0.00	0.00	0.00	0.00	1.40	1.40	1.00	1.00	1.00	1.29	1.32	1.00	1.00	1.00	31365.50	26728.90	1.67
20	15971.80	0.00	0.00	0.00	0.00	1.40	1.40	1.24	1.47	0.76	1.29	1.32	1.00	1.00	1.00	36922.20	31464.10	1.97
20	15971.80	0.00	0.00	0.00	0.00	1.40	1.40	1.00	1.00	1.00	1.29	1.32	1.00	1.00	1.00	31365.50	26728.90	1.67
21	15971.80	0.00	0.00	0.00	0.00	1.40	1.40	1.24	1.47	0.76	1.29	1.32	1.00	1.00	1.00	36922.20	31464.10	1.97
21	15971.80	0.00	0.00	0.00	0.00	1.40	1.40	1.00	1.00	1.00	1.29	1.32	1.00	1.00	1.00	31365.50	26728.90	1.67

Verifiche in condizioni non drenate

$c_{ur}=2800.00$ <daN/mq>
 $N_q=1.00$ $N_c=5.14$ $g_c=1.00$ $b_c=1.00$

CC	N <daN>	T _x <daN>	T _y <daN>	M _x <daNm>	M _y <daNm>	B' <m>	L' <m>	s _c	d _c	i _q	i _c	q _{lim} <daN/mq>	R _d <daN>	Sic.
17	16412.50	0.00	0.00	0.00	0.00	1.40	1.40	1.20	1.37	1.00	1.00	25902.50	22073.40	1.34
17	16412.50	0.00	0.00	0.00	0.00	1.40	1.40	1.00	1.37	0.00	1.00	21953.70	18708.40	1.14
18	16412.50	0.00	0.00	0.00	0.00	1.40	1.40	1.20	1.37	1.00	1.00	25902.50	22073.40	1.34
18	16412.50	0.00	0.00	0.00	0.00	1.40	1.40	1.00	1.37	0.00	1.00	21953.70	18708.40	1.14
19	15971.80	0.00	0.00	0.00	0.00	1.40	1.40	1.20	1.37	1.00	1.00	25902.50	22073.40	1.38
19	15971.80	0.00	0.00	0.00	0.00	1.40	1.40	1.00	1.37	0.00	1.00	21953.70	18708.40	1.17
20	15971.80	0.00	0.00	0.00	0.00	1.40	1.40	1.20	1.37	1.00	1.00	25902.50	22073.40	1.38
20	15971.80	0.00	0.00	0.00	0.00	1.40	1.40	1.00	1.37	0.00	1.00	21953.70	18708.40	1.17

Relazione di calcolo

21	15971.80	0.00	0.00	0.00	0.00	1.40	1.40	1.20	1.37	1.00	1.00	25902.50	22073.40	1.38
21	15971.80	0.00	0.00	0.00	0.00	1.40	1.40	1.00	1.37	0.00	1.00	21953.70	18708.40	1.17

Verifiche di capacità portante per rottura generale in condizioni statiche

Metodo utilizzato: Brinch Hansen

Plinto n. 105

B=1.40 <m> L=1.40 <m> D=1.30 <m> β =0.00 <grad> η =0.00 <grad> γ_r =600.00 <daN/mc>
 $\sigma_{v0,f}$ =2210.00 <daN/mq>

Verifiche in condizioni drenate

ϕ'_r =24.00 <grad> c'_r =0.00 <daN/mq>
 N_q =9.60 N_c =19.32 N_g =9.44 g_q =1.00 g_c =1.00 g_g =1.00
 b_q =1.00 b_c =1.00 b_g =1.00

CC	N <daN>	Tx <daN>	Ty <daN>	Mx <daNm>	My <daNm>	B' <m>	L' <m>	s _q	s _c	s _g	d _q	d _c	i _q	i _c	i _g	q _{lim} <daN/mq>	R _d <daN>	Sic.
17	12067.10	0.00	0.00	0.00	0.00	1.40	1.40	1.24	1.47	0.76	1.29	1.32	1.00	1.00	1.00	36922.20	31464.10	2.61
17	12067.10	0.00	0.00	0.00	0.00	1.40	1.40	1.00	1.00	1.00	1.29	1.32	1.00	1.00	1.00	31365.50	26728.90	2.22
18	12067.10	0.00	0.00	0.00	0.00	1.40	1.40	1.24	1.47	0.76	1.29	1.32	1.00	1.00	1.00	36922.20	31464.10	2.61
18	12067.10	0.00	0.00	0.00	0.00	1.40	1.40	1.00	1.00	1.00	1.29	1.32	1.00	1.00	1.00	31365.50	26728.90	2.22
19	11804.60	0.00	0.00	0.00	0.00	1.40	1.40	1.24	1.47	0.76	1.29	1.32	1.00	1.00	1.00	36922.20	31464.10	2.67
19	11804.60	0.00	0.00	0.00	0.00	1.40	1.40	1.00	1.00	1.00	1.29	1.32	1.00	1.00	1.00	31365.50	26728.90	2.26
20	11804.60	0.00	0.00	0.00	0.00	1.40	1.40	1.24	1.47	0.76	1.29	1.32	1.00	1.00	1.00	36922.20	31464.10	2.67
20	11804.60	0.00	0.00	0.00	0.00	1.40	1.40	1.00	1.00	1.00	1.29	1.32	1.00	1.00	1.00	31365.50	26728.90	2.26
21	11804.60	0.00	0.00	0.00	0.00	1.40	1.40	1.24	1.47	0.76	1.29	1.32	1.00	1.00	1.00	36922.20	31464.10	2.67
21	11804.60	0.00	0.00	0.00	0.00	1.40	1.40	1.00	1.00	1.00	1.29	1.32	1.00	1.00	1.00	31365.50	26728.90	2.26

Verifiche in condizioni non drenate

c_{ur} =2800.00 <daN/mq>
 N_q =1.00 N_c =5.14 g_c =1.00 b_c =1.00

CC	N <daN>	Tx <daN>	Ty <daN>	Mx <daNm>	My <daNm>	B' <m>	L' <m>	s _c	d _c	i _q	i _c	q _{lim} <daN/mq>	R _d <daN>	Sic.
17	12067.10	0.00	0.00	0.00	0.00	1.40	1.40	1.20	1.37	1.00	1.00	25902.50	22073.40	1.83
17	12067.10	0.00	0.00	0.00	0.00	1.40	1.40	1.00	1.37	0.00	1.00	21953.70	18708.40	1.55
18	12067.10	0.00	0.00	0.00	0.00	1.40	1.40	1.20	1.37	1.00	1.00	25902.50	22073.40	1.83
18	12067.10	0.00	0.00	0.00	0.00	1.40	1.40	1.00	1.37	0.00	1.00	21953.70	18708.40	1.55
19	11804.60	0.00	0.00	0.00	0.00	1.40	1.40	1.20	1.37	1.00	1.00	25902.50	22073.40	1.87
19	11804.60	0.00	0.00	0.00	0.00	1.40	1.40	1.00	1.37	0.00	1.00	21953.70	18708.40	1.58
20	11804.60	0.00	0.00	0.00	0.00	1.40	1.40	1.20	1.37	1.00	1.00	25902.50	22073.40	1.87
20	11804.60	0.00	0.00	0.00	0.00	1.40	1.40	1.00	1.37	0.00	1.00	21953.70	18708.40	1.58
21	11804.60	0.00	0.00	0.00	0.00	1.40	1.40	1.20	1.37	1.00	1.00	25902.50	22073.40	1.87
21	11804.60	0.00	0.00	0.00	0.00	1.40	1.40	1.00	1.37	0.00	1.00	21953.70	18708.40	1.58

Verifiche di capacità portante per rottura generale in condizioni statiche

Metodo utilizzato: Brinch Hansen

Plinto n. 115

B=1.80 <m> L=1.80 <m> D=1.30 <m> β =0.00 <grad> η =0.00 <grad> γ_r =600.00 <daN/mc>
 $\sigma_{v0,f}$ =2210.00 <daN/mq>

Verifiche in condizioni drenate

ϕ'_r =24.00 <grad> c'_r =0.00 <daN/mq>
 N_q =9.60 N_c =19.32 N_g =9.44 g_q =1.00 g_c =1.00 g_g =1.00
 b_q =1.00 b_c =1.00 b_g =1.00

CC	N <daN>	Tx <daN>	Ty <daN>	Mx <daNm>	My <daNm>	B' <m>	L' <m>	s _q	s _c	s _g	d _q	d _c	i _q	i _c	i _g	q _{lim} <daN/mq>	R _d <daN>	Sic.
17	18012.50	0.00	0.00	0.00	0.00	1.80	1.80	1.24	1.47	0.76	1.23	1.25	1.00	1.00	1.00	36088.50	50837.80	2.82
17	18012.50	0.00	0.00	0.00	0.00	1.80	1.80	1.00	1.00	1.00	1.23	1.25	1.00	1.00	1.00	31125.90	43847.00	2.43
18	18012.50	0.00	0.00	0.00	0.00	1.80	1.80	1.24	1.47	0.76	1.23	1.25	1.00	1.00	1.00	36088.50	50837.80	2.82
18	18012.50	0.00	0.00	0.00	0.00	1.80	1.80	1.00	1.00	1.00	1.23	1.25	1.00	1.00	1.00	31125.90	43847.00	2.43
19	17571.80	0.00	0.00	0.00	0.00	1.80	1.80	1.24	1.47	0.76	1.23	1.25	1.00	1.00	1.00	36088.50	50837.80	2.89
19	17571.80	0.00	0.00	0.00	0.00	1.80	1.80	1.00	1.00	1.00	1.23	1.25	1.00	1.00	1.00	31125.90	43847.00	2.50
20	17571.80	0.00	0.00	0.00	0.00	1.80	1.80	1.24	1.47	0.76	1.23	1.25	1.00	1.00	1.00	36088.50	50837.80	2.89
20	17571.80	0.00	0.00	0.00	0.00	1.80	1.80	1.00	1.00	1.00	1.23	1.25	1.00	1.00	1.00	31125.90	43847.00	2.50
21	17571.80	0.00	0.00	0.00	0.00	1.80	1.80	1.24	1.47	0.76	1.23	1.25	1.00	1.00	1.00	36088.50	50837.80	2.89
21	17571.80	0.00	0.00	0.00	0.00	1.80	1.80	1.00	1.00	1.00	1.23	1.25	1.00	1.00	1.00	31125.90	43847.00	2.50

Verifiche in condizioni non drenate

Relazione di calcolo

$c_{ur}=2800.00$ <daN/mq>
 $N_q=1.00$ $N_c=5.14$ $g_c=1.00$ $b_c=1.00$

CC	N <daN>	Tx <daN>	Ty <daN>	Mx <daNm>	My <daNm>	B' <m>	L' <m>	s _c	d _c	i _q	i _c	q _{lim} <daN/mq>	R _d <daN>	Sic.
17	18012.50	0.00	0.00	0.00	0.00	1.80	1.80	1.20	1.29	1.00	1.00	24476.50	34480.00	1.91
17	18012.50	0.00	0.00	0.00	0.00	1.80	1.80	1.00	1.29	0.00	1.00	20765.50	29252.20	1.62
18	18012.50	0.00	0.00	0.00	0.00	1.80	1.80	1.20	1.29	1.00	1.00	24476.50	34480.00	1.91
18	18012.50	0.00	0.00	0.00	0.00	1.80	1.80	1.00	1.29	0.00	1.00	20765.50	29252.20	1.62
19	17571.80	0.00	0.00	0.00	0.00	1.80	1.80	1.20	1.29	1.00	1.00	24476.50	34480.00	1.96
19	17571.80	0.00	0.00	0.00	0.00	1.80	1.80	1.00	1.29	0.00	1.00	20765.50	29252.20	1.66
20	17571.80	0.00	0.00	0.00	0.00	1.80	1.80	1.20	1.29	1.00	1.00	24476.50	34480.00	1.96
20	17571.80	0.00	0.00	0.00	0.00	1.80	1.80	1.00	1.29	0.00	1.00	20765.50	29252.20	1.66
21	17571.80	0.00	0.00	0.00	0.00	1.80	1.80	1.20	1.29	1.00	1.00	24476.50	34480.00	1.96
21	17571.80	0.00	0.00	0.00	0.00	1.80	1.80	1.00	1.29	0.00	1.00	20765.50	29252.20	1.66

Verifiche di capacità portante per rottura generale in condizioni statiche

Metodo utilizzato: Brinch Hansen

Plinto n. 117

B=1.80 <m> L=1.80 <m> D=1.30 <m> $\beta=0.00$ <grad> $\eta=0.00$ <grad> $\gamma_r=600.00$ <daN/mc>
 $\sigma_{v0,f}=2210.00$ <daN/mq>

Verifiche in condizioni drenate

$\phi'_r=24.00$ <grad> $c'_r=0.00$ <daN/mq>
 $N_q=9.60$ $N_c=19.32$ $g_q=1.00$ $g_c=1.00$ $g_g=1.00$
 $b_q=1.00$ $b_c=1.00$ $b_g=1.00$

CC	N <daN>	Tx <daN>	Ty <daN>	Mx <daNm>	My <daNm>	B' <m>	L' <m>	s _q	s _c	s _g	d _q	d _c	i _q	i _c	i _g	q _{lim} <daN/mq>	R _d <daN>	Sic.
17	29064.70	0.00	0.00	0.00	0.00	1.80	1.80	1.24	1.47	0.76	1.23	1.25	1.00	1.00	1.00	36088.50	50837.80	1.75
17	29064.70	0.00	0.00	0.00	0.00	1.80	1.80	1.00	1.00	1.00	1.23	1.25	1.00	1.00	1.00	31125.90	43847.00	1.51
18	29064.70	0.00	0.00	0.00	0.00	1.80	1.80	1.24	1.47	0.76	1.23	1.25	1.00	1.00	1.00	36088.50	50837.80	1.75
18	29064.70	0.00	0.00	0.00	0.00	1.80	1.80	1.00	1.00	1.00	1.23	1.25	1.00	1.00	1.00	31125.90	43847.00	1.51
19	28099.10	0.00	0.00	0.00	0.00	1.80	1.80	1.24	1.47	0.76	1.23	1.25	1.00	1.00	1.00	36088.50	50837.80	1.81
19	28099.10	0.00	0.00	0.00	0.00	1.80	1.80	1.00	1.00	1.00	1.23	1.25	1.00	1.00	1.00	31125.90	43847.00	1.56
20	28099.10	0.00	0.00	0.00	0.00	1.80	1.80	1.24	1.47	0.76	1.23	1.25	1.00	1.00	1.00	36088.50	50837.80	1.81
20	28099.10	0.00	0.00	0.00	0.00	1.80	1.80	1.00	1.00	1.00	1.23	1.25	1.00	1.00	1.00	31125.90	43847.00	1.56
21	28099.10	0.00	0.00	0.00	0.00	1.80	1.80	1.24	1.47	0.76	1.23	1.25	1.00	1.00	1.00	36088.50	50837.80	1.81
21	28099.10	0.00	0.00	0.00	0.00	1.80	1.80	1.00	1.00	1.00	1.23	1.25	1.00	1.00	1.00	31125.90	43847.00	1.56

Verifiche in condizioni non drenate

$c_{ur}=2800.00$ <daN/mq>
 $N_q=1.00$ $N_c=5.14$ $g_c=1.00$ $b_c=1.00$

CC	N <daN>	Tx <daN>	Ty <daN>	Mx <daNm>	My <daNm>	B' <m>	L' <m>	s _c	d _c	i _q	i _c	q _{lim} <daN/mq>	R _d <daN>	Sic.
17	29064.70	0.00	0.00	0.00	0.00	1.80	1.80	1.20	1.29	1.00	1.00	24476.50	34480.00	1.19
17	29064.70	0.00	0.00	0.00	0.00	1.80	1.80	1.00	1.29	0.00	1.00	20765.50	29252.20	1.01
18	29064.70	0.00	0.00	0.00	0.00	1.80	1.80	1.20	1.29	1.00	1.00	24476.50	34480.00	1.19
18	29064.70	0.00	0.00	0.00	0.00	1.80	1.80	1.00	1.29	0.00	1.00	20765.50	29252.20	1.01
19	28099.10	0.00	0.00	0.00	0.00	1.80	1.80	1.20	1.29	1.00	1.00	24476.50	34480.00	1.23
19	28099.10	0.00	0.00	0.00	0.00	1.80	1.80	1.00	1.29	0.00	1.00	20765.50	29252.20	1.04
20	28099.10	0.00	0.00	0.00	0.00	1.80	1.80	1.20	1.29	1.00	1.00	24476.50	34480.00	1.23
20	28099.10	0.00	0.00	0.00	0.00	1.80	1.80	1.00	1.29	0.00	1.00	20765.50	29252.20	1.04
21	28099.10	0.00	0.00	0.00	0.00	1.80	1.80	1.20	1.29	1.00	1.00	24476.50	34480.00	1.23
21	28099.10	0.00	0.00	0.00	0.00	1.80	1.80	1.00	1.29	0.00	1.00	20765.50	29252.20	1.04

Verifiche di capacità portante per rottura generale in condizioni statiche

Metodo utilizzato: Brinch Hansen

Plinto n. 14

B=1.40 <m> L=1.40 <m> D=1.30 <m> $\beta=0.00$ <grad> $\eta=0.00$ <grad> $\gamma_r=600.00$ <daN/mc>
 $\sigma_{v0,f}=2210.00$ <daN/mq>

Verifiche in condizioni drenate

$\phi'_r=24.00$ <grad> $c'_r=0.00$ <daN/mq>
 $N_q=9.60$ $N_c=19.32$ $g_q=1.00$ $g_c=1.00$ $g_g=1.00$
 $b_q=1.00$ $b_c=1.00$ $b_g=1.00$

CC	N <daN>	Tx <daN>	Ty <daN>	Mx <daNm>	My <daNm>	B' <m>	L' <m>	s _q	s _c	s _g	d _q	d _c	i _q	i _c	i _g	q _{lim} <daN/mq>	R _d <daN>	Sic.
----	------------	-------------	-------------	--------------	--------------	-----------	-----------	----------------	----------------	----------------	----------------	----------------	----------------	----------------	----------------	------------------------------	-------------------------	------

Relazione di calcolo

17	10866.30	0.00	0.00	0.00	0.00	1.40	1.40	1.24	1.47	0.76	1.29	1.32	1.00	1.00	1.00	36922.20	31464.10	2.90
17	10866.30	0.00	0.00	0.00	0.00	1.40	1.40	1.00	1.00	1.00	1.29	1.32	1.00	1.00	1.00	31365.50	26728.90	2.46
18	10866.30	0.00	0.00	0.00	0.00	1.40	1.40	1.24	1.47	0.76	1.29	1.32	1.00	1.00	1.00	36922.20	31464.10	2.90
18	10866.30	0.00	0.00	0.00	0.00	1.40	1.40	1.00	1.00	1.00	1.29	1.32	1.00	1.00	1.00	31365.50	26728.90	2.46
19	10645.90	0.00	0.00	0.00	0.00	1.40	1.40	1.24	1.47	0.76	1.29	1.32	1.00	1.00	1.00	36922.20	31464.10	2.96
19	10645.90	0.00	0.00	0.00	0.00	1.40	1.40	1.00	1.00	1.00	1.29	1.32	1.00	1.00	1.00	31365.50	26728.90	2.51
20	10645.90	0.00	0.00	0.00	0.00	1.40	1.40	1.24	1.47	0.76	1.29	1.32	1.00	1.00	1.00	36922.20	31464.10	2.96
20	10645.90	0.00	0.00	0.00	0.00	1.40	1.40	1.00	1.00	1.00	1.29	1.32	1.00	1.00	1.00	31365.50	26728.90	2.51
21	10645.90	0.00	0.00	0.00	0.00	1.40	1.40	1.24	1.47	0.76	1.29	1.32	1.00	1.00	1.00	36922.20	31464.10	2.96
21	10645.90	0.00	0.00	0.00	0.00	1.40	1.40	1.00	1.00	1.00	1.29	1.32	1.00	1.00	1.00	31365.50	26728.90	2.51

Verifiche in condizioni non drenate

$c_{ur}=2800.00$ <daN/mq>
 $N_q=1.00$ $N_c=5.14$ $g_c=1.00$ $b_c=1.00$

CC	N <daN>	Tx <daN>	Ty <daN>	Mx <daNm>	My <daNm>	B' <m>	L' <m>	s _c	d _c	i _q	i _c	q _{lim} <daN/mq>	R _d <daN>	Sic.
17	10866.30	0.00	0.00	0.00	0.00	1.40	1.40	1.20	1.37	1.00	1.00	25902.50	22073.40	2.03
17	10866.30	0.00	0.00	0.00	0.00	1.40	1.40	1.00	1.37	0.00	1.00	21953.70	18708.40	1.72
18	10866.30	0.00	0.00	0.00	0.00	1.40	1.40	1.20	1.37	1.00	1.00	25902.50	22073.40	2.03
18	10866.30	0.00	0.00	0.00	0.00	1.40	1.40	1.00	1.37	0.00	1.00	21953.70	18708.40	1.72
19	10645.90	0.00	0.00	0.00	0.00	1.40	1.40	1.20	1.37	1.00	1.00	25902.50	22073.40	2.07
19	10645.90	0.00	0.00	0.00	0.00	1.40	1.40	1.00	1.37	0.00	1.00	21953.70	18708.40	1.76
20	10645.90	0.00	0.00	0.00	0.00	1.40	1.40	1.20	1.37	1.00	1.00	25902.50	22073.40	2.07
20	10645.90	0.00	0.00	0.00	0.00	1.40	1.40	1.00	1.37	0.00	1.00	21953.70	18708.40	1.76
21	10645.90	0.00	0.00	0.00	0.00	1.40	1.40	1.20	1.37	1.00	1.00	25902.50	22073.40	2.07
21	10645.90	0.00	0.00	0.00	0.00	1.40	1.40	1.00	1.37	0.00	1.00	21953.70	18708.40	1.76

Verifiche di capacità portante per rottura generale in condizioni statiche

Metodo utilizzato: Brinch Hansen

Plinto n. 123

$B=1.40$ <m> $L=1.40$ <m> $D=1.30$ <m> $\beta=0.00$ <grad> $\eta=0.00$ <grad> $\gamma_r=600.00$ <daN/mc>
 $\sigma_{v0,f}=2210.00$ <daN/mq>

Verifiche in condizioni drenate

$\phi'_r=24.00$ <grad> $c'_r=0.00$ <daN/mq>
 $N_q=9.60$ $N_c=19.32$ $N_g=9.44$ $g_q=1.00$ $g_c=1.00$ $g_g=1.00$
 $b_q=1.00$ $b_c=1.00$ $b_g=1.00$

CC	N <daN>	Tx <daN>	Ty <daN>	Mx <daNm>	My <daNm>	B' <m>	L' <m>	s _q	s _c	s _g	d _q	d _c	i _q	i _c	i _g	q _{lim} <daN/mq>	R _d <daN>	Sic.
17	10866.30	0.00	0.00	0.00	0.00	1.40	1.40	1.24	1.47	0.76	1.29	1.32	1.00	1.00	1.00	36922.20	31464.10	2.90
17	10866.30	0.00	0.00	0.00	0.00	1.40	1.40	1.00	1.00	1.00	1.29	1.32	1.00	1.00	1.00	31365.50	26728.90	2.46
18	10866.30	0.00	0.00	0.00	0.00	1.40	1.40	1.24	1.47	0.76	1.29	1.32	1.00	1.00	1.00	36922.20	31464.10	2.90
18	10866.30	0.00	0.00	0.00	0.00	1.40	1.40	1.00	1.00	1.00	1.29	1.32	1.00	1.00	1.00	31365.50	26728.90	2.46
19	10645.90	0.00	0.00	0.00	0.00	1.40	1.40	1.24	1.47	0.76	1.29	1.32	1.00	1.00	1.00	36922.20	31464.10	2.96
19	10645.90	0.00	0.00	0.00	0.00	1.40	1.40	1.00	1.00	1.00	1.29	1.32	1.00	1.00	1.00	31365.50	26728.90	2.51
20	10645.90	0.00	0.00	0.00	0.00	1.40	1.40	1.24	1.47	0.76	1.29	1.32	1.00	1.00	1.00	36922.20	31464.10	2.96
20	10645.90	0.00	0.00	0.00	0.00	1.40	1.40	1.00	1.00	1.00	1.29	1.32	1.00	1.00	1.00	31365.50	26728.90	2.51
21	10645.90	0.00	0.00	0.00	0.00	1.40	1.40	1.24	1.47	0.76	1.29	1.32	1.00	1.00	1.00	36922.20	31464.10	2.96
21	10645.90	0.00	0.00	0.00	0.00	1.40	1.40	1.00	1.00	1.00	1.29	1.32	1.00	1.00	1.00	31365.50	26728.90	2.51

Verifiche in condizioni non drenate

$c_{ur}=2800.00$ <daN/mq>
 $N_q=1.00$ $N_c=5.14$ $g_c=1.00$ $b_c=1.00$

CC	N <daN>	Tx <daN>	Ty <daN>	Mx <daNm>	My <daNm>	B' <m>	L' <m>	s _c	d _c	i _q	i _c	q _{lim} <daN/mq>	R _d <daN>	Sic.
17	10866.30	0.00	0.00	0.00	0.00	1.40	1.40	1.20	1.37	1.00	1.00	25902.50	22073.40	2.03
17	10866.30	0.00	0.00	0.00	0.00	1.40	1.40	1.00	1.37	0.00	1.00	21953.70	18708.40	1.72
18	10866.30	0.00	0.00	0.00	0.00	1.40	1.40	1.20	1.37	1.00	1.00	25902.50	22073.40	2.03
18	10866.30	0.00	0.00	0.00	0.00	1.40	1.40	1.00	1.37	0.00	1.00	21953.70	18708.40	1.72
19	10645.90	0.00	0.00	0.00	0.00	1.40	1.40	1.20	1.37	1.00	1.00	25902.50	22073.40	2.07
19	10645.90	0.00	0.00	0.00	0.00	1.40	1.40	1.00	1.37	0.00	1.00	21953.70	18708.40	1.76
20	10645.90	0.00	0.00	0.00	0.00	1.40	1.40	1.20	1.37	1.00	1.00	25902.50	22073.40	2.07
20	10645.90	0.00	0.00	0.00	0.00	1.40	1.40	1.00	1.37	0.00	1.00	21953.70	18708.40	1.76
21	10645.90	0.00	0.00	0.00	0.00	1.40	1.40	1.20	1.37	1.00	1.00	25902.50	22073.40	2.07
21	10645.90	0.00	0.00	0.00	0.00	1.40	1.40	1.00	1.37	0.00	1.00	21953.70	18708.40	1.76

Verifiche di capacità portante per rottura generale in condizioni statiche

Metodo utilizzato: Brinch Hansen

Relazione di calcolo

Travata 4001

B=1.30 <m> L=9.40 <m> D=1.30 <m> β =0.00 <grad> η =0.00 <grad> γ_r =600.00 <daN/mc>
 $\sigma_{v0,f}$ =2210.00 <daN/mq>

Verifiche in condizioni drenate

ϕ'_r =24.00 <grad> c'_r =0.00 <daN/mq>
 N_q =9.60 N_c =19.32 N_g =9.44 g_q =1.00 g_c =1.00 g_g =1.00
 b_q =1.00 b_c =1.00 b_g =1.00

CC	N <daN>	Tx <daN>	Ty <daN>	Mx <daNm>	My <daNm>	B' <m>	L' <m>	s _q	s _c	s _g	d _q	d _c	i _q	i _c	i _g	Q _{lim} <daN/mq>	R _d <daN>	Sic.
17	30548.60	5612.92	2707.04	204.91	-15422.20	1.29	8.39	1.04	1.07	0.96	1.25	1.28	1.00	1.00	1.00	30956.80	145293.00	4.76
17	30548.60	5612.92	2707.04	204.91	-15422.20	1.29	8.39	1.00	1.00	1.00	1.25	1.28	0.67	0.64	0.54	19807.60	92965.30	3.04
18	30548.60	5612.92	2707.04	204.91	-15422.20	1.29	8.39	1.04	1.07	0.96	1.25	1.28	1.00	1.00	1.00	30956.80	145293.00	4.76
18	30548.60	5612.92	2707.04	204.91	-15422.20	1.29	8.39	1.00	1.00	1.00	1.25	1.28	0.67	0.64	0.54	19807.60	92965.30	3.04
19	29514.10	5373.90	2590.17	193.21	-14827.10	1.29	8.40	1.04	1.07	0.96	1.25	1.28	1.00	1.00	1.00	30956.50	145414.00	4.93
19	29514.10	5373.90	2590.17	193.21	-14827.10	1.29	8.40	1.00	1.00	1.00	1.25	1.28	0.68	0.64	0.54	19891.70	93438.30	3.17
20	29514.10	5373.90	2590.17	193.21	-14827.10	1.29	8.40	1.04	1.07	0.96	1.25	1.28	1.00	1.00	1.00	30956.50	145414.00	4.93
20	29514.10	5373.90	2590.17	193.21	-14827.10	1.29	8.40	1.00	1.00	1.00	1.25	1.28	0.68	0.64	0.54	19891.70	93438.30	3.17
21	29514.10	5373.90	2590.17	193.21	-14827.10	1.29	8.40	1.04	1.07	0.96	1.25	1.28	1.00	1.00	1.00	30956.50	145414.00	4.93
21	29514.10	5373.90	2590.17	193.21	-14827.10	1.29	8.40	1.00	1.00	1.00	1.25	1.28	0.68	0.64	0.54	19891.70	93438.30	3.17

Verifiche in condizioni non drenate

c_{ur} =2800.00 <daN/mq>
 N_q =1.00 N_c =5.14 g_c =1.00 b_c =1.00

CC	N <daN>	Tx <daN>	Ty <daN>	Mx <daNm>	My <daNm>	B' <m>	L' <m>	s _c	d _c	i _q	i _c	Q _{lim} <daN/mq>	R _d <daN>	Sic.
17	30548.60	5612.92	2707.04	204.91	-15422.20	1.29	8.39	1.03	1.32	1.00	1.00	21740.30	102036.00	3.34
17	30548.60	5612.92	2707.04	204.91	-15422.20	1.29	8.39	1.00	1.32	0.00	0.93	19845.70	93144.30	3.05
18	30548.60	5612.92	2707.04	204.91	-15422.20	1.29	8.39	1.03	1.32	1.00	1.00	21740.30	102036.00	3.34
18	30548.60	5612.92	2707.04	204.91	-15422.20	1.29	8.39	1.00	1.32	0.00	0.93	19845.70	93144.30	3.05
19	29514.10	5373.90	2590.17	193.21	-14827.10	1.29	8.40	1.03	1.32	1.00	1.00	21739.30	102117.00	3.46
19	29514.10	5373.90	2590.17	193.21	-14827.10	1.29	8.40	1.00	1.32	0.00	0.93	19902.10	93487.10	3.17
20	29514.10	5373.90	2590.17	193.21	-14827.10	1.29	8.40	1.03	1.32	1.00	1.00	21739.30	102117.00	3.46
20	29514.10	5373.90	2590.17	193.21	-14827.10	1.29	8.40	1.00	1.32	0.00	0.93	19902.10	93487.10	3.17
21	29514.10	5373.90	2590.17	193.21	-14827.10	1.29	8.40	1.03	1.32	1.00	1.00	21739.30	102117.00	3.46
21	29514.10	5373.90	2590.17	193.21	-14827.10	1.29	8.40	1.00	1.32	0.00	0.93	19902.10	93487.10	3.17

Verifiche di capacità portante per rottura generale in condizioni statiche

Metodo utilizzato: Brinch Hansen

Travata 4002

B=1.30 <m> L=9.40 <m> D=1.30 <m> β =0.00 <grad> η =0.00 <grad> γ_r =600.00 <daN/mc>
 $\sigma_{v0,f}$ =2210.00 <daN/mq>

Verifiche in condizioni drenate

ϕ'_r =24.00 <grad> c'_r =0.00 <daN/mq>
 N_q =9.60 N_c =19.32 N_g =9.44 g_q =1.00 g_c =1.00 g_g =1.00
 b_q =1.00 b_c =1.00 b_g =1.00

CC	N <daN>	Tx <daN>	Ty <daN>	Mx <daNm>	My <daNm>	B' <m>	L' <m>	s _q	s _c	s _g	d _q	d _c	i _q	i _c	i _g	Q _{lim} <daN/mq>	R _d <daN>	Sic.
17	42595.50	4015.47	1907.24	200.73	-10159.10	1.29	8.92	1.03	1.07	0.97	1.25	1.28	1.00	1.00	1.00	30909.90	154762.00	3.63
17	42595.50	4015.47	1907.24	200.73	-10159.10	1.29	8.92	1.00	1.00	1.00	1.25	1.28	0.83	0.81	0.74	24565.40	122996.00	2.89
18	42595.50	4015.47	1907.24	200.73	-10159.10	1.29	8.92	1.03	1.07	0.97	1.25	1.28	1.00	1.00	1.00	30909.90	154762.00	3.63
18	42595.50	4015.47	1907.24	200.73	-10159.10	1.29	8.92	1.00	1.00	1.00	1.25	1.28	0.83	0.81	0.74	24565.40	122996.00	2.89
19	40967.70	3783.19	1810.64	190.58	-9583.17	1.29	8.93	1.03	1.07	0.97	1.25	1.28	1.00	1.00	1.00	30909.20	154932.00	3.78
19	40967.70	3783.19	1810.64	190.58	-9583.17	1.29	8.93	1.00	1.00	1.00	1.25	1.28	0.83	0.81	0.74	24670.50	123660.00	3.02
20	40967.70	3783.19	1810.64	190.58	-9583.17	1.29	8.93	1.03	1.07	0.97	1.25	1.28	1.00	1.00	1.00	30909.20	154932.00	3.78
20	40967.70	3783.19	1810.64	190.58	-9583.17	1.29	8.93	1.00	1.00	1.00	1.25	1.28	0.83	0.81	0.74	24670.50	123660.00	3.02
21	40967.70	3783.19	1810.64	190.58	-9583.17	1.29	8.93	1.03	1.07	0.97	1.25	1.28	1.00	1.00	1.00	30909.20	154932.00	3.78
21	40967.70	3783.19	1810.64	190.58	-9583.17	1.29	8.93	1.00	1.00	1.00	1.25	1.28	0.83	0.81	0.74	24670.50	123660.00	3.02

Verifiche in condizioni non drenate

c_{ur} =2800.00 <daN/mq>
 N_q =1.00 N_c =5.14 g_c =1.00 b_c =1.00

CC	N <daN>	Tx <daN>	Ty <daN>	Mx <daNm>	My <daNm>	B' <m>	L' <m>	s _c	d _c	i _q	i _c	Q _{lim} <daN/mq>	R _d <daN>	Sic.
17	42595.50	4015.47	1907.24	200.73	-10159.10	1.29	8.92	1.03	1.32	1.00	1.00	21698.10	108639.00	2.55
17	42595.50	4015.47	1907.24	200.73	-10159.10	1.29	8.92	1.00	1.32	0.00	0.95	20268.50	101482.00	2.38

Relazione di calcolo

18	42595.50	4015.47	1907.24	200.73	-10159.10	1.29	8.92	1.03	1.32	1.00	1.00	21698.10	108639.00	2.55
18	42595.50	4015.47	1907.24	200.73	-10159.10	1.29	8.92	1.00	1.32	0.00	0.95	20268.50	101482.00	2.38
19	40967.70	3783.19	1810.64	190.58	-9583.17	1.29	8.93	1.03	1.32	1.00	1.00	21697.30	108757.00	2.65
19	40967.70	3783.19	1810.64	190.58	-9583.17	1.29	8.93	1.00	1.32	0.00	0.96	20319.80	101853.00	2.49
20	40967.70	3783.19	1810.64	190.58	-9583.17	1.29	8.93	1.03	1.32	1.00	1.00	21697.30	108757.00	2.65
20	40967.70	3783.19	1810.64	190.58	-9583.17	1.29	8.93	1.00	1.32	0.00	0.96	20319.80	101853.00	2.49
21	40967.70	3783.19	1810.64	190.58	-9583.17	1.29	8.93	1.03	1.32	1.00	1.00	21697.30	108757.00	2.65
21	40967.70	3783.19	1810.64	190.58	-9583.17	1.29	8.93	1.00	1.32	0.00	0.96	20319.80	101853.00	2.49

Verifiche di capacità portante per rottura generale in condizioni statiche

Metodo utilizzato: Brinch Hansen

Travata 4003

B=1.30 <m> L=9.40 <m> D=1.30 <m> β =0.00 <grad> η =0.00 <grad> γ_r =600.00 <daN/mc>
 $\sigma_{v0,f}$ =2210.00 <daN/mq>

Verifiche in condizioni drenate

ϕ'_r =24.00 <grad> c'_r =0.00 <daN/mq>
 N_q =9.60 N_c =19.32 N_g =9.44 g_q =1.00 g_c =1.00 g_g =1.00
 b_q =1.00 b_c =1.00 b_g =1.00

CC	N <daN>	Tx <daN>	Ty <daN>	Mx <daNm>	My <daNm>	B' <m>	L' <m>	s _q	s _c	s _g	d _q	d _c	i _q	i _c	i _g	q _{lim} <daN/mq>	R _d <daN>	Sic.
17	48018.30	-7881.07	1431.50	-309.67	30969.70	1.29	8.11	1.04	1.08	0.96	1.25	1.28	1.00	1.00	1.00	30985.90	140629.00	2.93
17	48018.30	-7881.07	1431.50	-309.67	30969.70	1.29	8.11	1.00	1.00	1.00	1.25	1.28	0.71	0.68	0.60	21099.50	95759.70	1.99
18	48018.30	-7881.07	1431.50	-309.67	30969.70	1.29	8.11	1.04	1.08	0.96	1.25	1.28	1.00	1.00	1.00	30985.90	140629.00	2.93
18	48018.30	-7881.07	1431.50	-309.67	30969.70	1.29	8.11	1.00	1.00	1.00	1.25	1.28	0.71	0.68	0.60	21099.50	95759.70	1.99
19	46170.70	-7514.46	1373.24	-297.86	29478.00	1.29	8.12	1.04	1.08	0.96	1.25	1.28	1.00	1.00	1.00	30984.50	140847.00	3.05
19	46170.70	-7514.46	1373.24	-297.86	29478.00	1.29	8.12	1.00	1.00	1.00	1.25	1.28	0.72	0.68	0.60	21167.00	96219.60	2.08
20	46170.70	-7514.46	1373.24	-297.86	29478.00	1.29	8.12	1.04	1.08	0.96	1.25	1.28	1.00	1.00	1.00	30984.50	140847.00	3.05
20	46170.70	-7514.46	1373.24	-297.86	29478.00	1.29	8.12	1.00	1.00	1.00	1.25	1.28	0.72	0.68	0.60	21167.00	96219.60	2.08
21	46170.70	-7514.46	1373.24	-297.86	29478.00	1.29	8.12	1.04	1.08	0.96	1.25	1.28	1.00	1.00	1.00	30984.50	140847.00	3.05
21	46170.70	-7514.46	1373.24	-297.86	29478.00	1.29	8.12	1.00	1.00	1.00	1.25	1.28	0.72	0.68	0.60	21167.00	96219.60	2.08

Verifiche in condizioni non drenate

c_{ur} =2800.00 <daN/mq>
 N_q =1.00 N_c =5.14 g_c =1.00 b_c =1.00

CC	N <daN>	Tx <daN>	Ty <daN>	Mx <daNm>	My <daNm>	B' <m>	L' <m>	s _c	d _c	i _q	i _c	q _{lim} <daN/mq>	R _d <daN>	Sic.
17	48018.30	-7881.07	1431.50	-309.67	30969.70	1.29	8.11	1.03	1.32	1.00	1.00	21759.40	98754.60	2.06
17	48018.30	-7881.07	1431.50	-309.67	30969.70	1.29	8.11	1.00	1.32	0.00	0.90	19299.80	87591.80	1.82
18	48018.30	-7881.07	1431.50	-309.67	30969.70	1.29	8.11	1.03	1.32	1.00	1.00	21759.40	98754.60	2.06
18	48018.30	-7881.07	1431.50	-309.67	30969.70	1.29	8.11	1.00	1.32	0.00	0.90	19299.80	87591.80	1.82
19	46170.70	-7514.46	1373.24	-297.86	29478.00	1.29	8.12	1.03	1.32	1.00	1.00	21758.40	98908.20	2.14
19	46170.70	-7514.46	1373.24	-297.86	29478.00	1.29	8.12	1.00	1.32	0.00	0.91	19388.80	88136.60	1.91
20	46170.70	-7514.46	1373.24	-297.86	29478.00	1.29	8.12	1.03	1.32	1.00	1.00	21758.40	98908.20	2.14
20	46170.70	-7514.46	1373.24	-297.86	29478.00	1.29	8.12	1.00	1.32	0.00	0.91	19388.80	88136.60	1.91
21	46170.70	-7514.46	1373.24	-297.86	29478.00	1.29	8.12	1.03	1.32	1.00	1.00	21758.40	98908.20	2.14
21	46170.70	-7514.46	1373.24	-297.86	29478.00	1.29	8.12	1.00	1.32	0.00	0.91	19388.80	88136.60	1.91

Verifiche di capacità portante per rottura generale in condizioni statiche

Metodo utilizzato: Brinch Hansen

Travata 4004

B=1.30 <m> L=9.40 <m> D=1.30 <m> β =0.00 <grad> η =0.00 <grad> γ_r =600.00 <daN/mc>
 $\sigma_{v0,f}$ =2210.00 <daN/mq>

Verifiche in condizioni drenate

ϕ'_r =24.00 <grad> c'_r =0.00 <daN/mq>
 N_q =9.60 N_c =19.32 N_g =9.44 g_q =1.00 g_c =1.00 g_g =1.00
 b_q =1.00 b_c =1.00 b_g =1.00

CC	N <daN>	Tx <daN>	Ty <daN>	Mx <daNm>	My <daNm>	B' <m>	L' <m>	s _q	s _c	s _g	d _q	d _c	i _q	i _c	i _g	q _{lim} <daN/mq>	R _d <daN>	Sic.
17	48515.00	667.11	-0.38	6.11	962.39	1.30	9.36	1.03	1.07	0.97	1.25	1.27	1.00	1.00	1.00	30879.50	163340.00	3.37
17	48515.00	667.11	-0.38	6.11	962.39	1.30	9.36	1.00	1.00	1.00	1.25	1.27	0.97	0.97	0.96	29307.10	155023.00	3.20
18	48515.00	667.11	-0.38	6.11	962.39	1.30	9.36	1.03	1.07	0.97	1.25	1.27	1.00	1.00	1.00	30879.50	163340.00	3.37
18	48515.00	667.11	-0.38	6.11	962.39	1.30	9.36	1.00	1.00	1.00	1.25	1.27	0.97	0.97	0.96	29307.10	155023.00	3.20
19	46577.70	626.53	-1.39	5.79	899.73	1.30	9.36	1.03	1.07	0.97	1.25	1.27	1.00	1.00	1.00	30879.40	163358.00	3.51
19	46577.70	626.53	-1.39	5.79	899.73	1.30	9.36	1.00	1.00	1.00	1.25	1.27	0.97	0.97	0.96	29324.90	155135.00	3.33
20	46577.70	626.53	-1.39	5.79	899.73	1.30	9.36	1.03	1.07	0.97	1.25	1.27	1.00	1.00	1.00	30879.40	163358.00	3.51

Relazione di calcolo

20	46577.70	626.53	-1.39	5.79	899.73	1.30	9.36	1.00	1.00	1.00	1.25	1.27	0.97	0.97	0.96	29324.90	155135.00	3.33
21	46577.70	626.53	-1.39	5.79	899.73	1.30	9.36	1.03	1.07	0.97	1.25	1.27	1.00	1.00	1.00	30879.40	163358.00	3.51
21	46577.70	626.53	-1.39	5.79	899.73	1.30	9.36	1.00	1.00	1.00	1.25	1.27	0.97	0.97	0.96	29324.90	155135.00	3.33

Verifiche in condizioni non drenate

$c_{ur}=2800.00$ <daN/mq>
 $N_q=1.00$ $N_c=5.14$ $g_c=1.00$ $b_c=1.00$

CC	N <daN>	T _x <daN>	T _y <daN>	M _x <daNm>	M _y <daNm>	B' <m>	L' <m>	s _c	d _c	i _q	i _c	q _{lim} <daN/mq>	R _d <daN>	Sic.
17	48515.00	667.11	-0.38	6.11	962.39	1.30	9.36	1.03	1.31	1.00	1.00	21655.20	114547.00	2.36
17	48515.00	667.11	-0.38	6.11	962.39	1.30	9.36	1.00	1.31	0.00	0.99	20994.50	111052.00	2.29
18	48515.00	667.11	-0.38	6.11	962.39	1.30	9.36	1.03	1.31	1.00	1.00	21655.20	114547.00	2.36
18	48515.00	667.11	-0.38	6.11	962.39	1.30	9.36	1.00	1.31	0.00	0.99	20994.50	111052.00	2.29
19	46577.70	626.53	-1.39	5.79	899.73	1.30	9.36	1.03	1.31	1.00	1.00	21655.20	114560.00	2.46
19	46577.70	626.53	-1.39	5.79	899.73	1.30	9.36	1.00	1.31	0.00	0.99	21002.70	111108.00	2.39
20	46577.70	626.53	-1.39	5.79	899.73	1.30	9.36	1.03	1.31	1.00	1.00	21655.20	114560.00	2.46
20	46577.70	626.53	-1.39	5.79	899.73	1.30	9.36	1.00	1.31	0.00	0.99	21002.70	111108.00	2.39
21	46577.70	626.53	-1.39	5.79	899.73	1.30	9.36	1.03	1.31	1.00	1.00	21655.20	114560.00	2.46
21	46577.70	626.53	-1.39	5.79	899.73	1.30	9.36	1.00	1.31	0.00	0.99	21002.70	111108.00	2.39

Verifiche di capacità portante per rottura generale in condizioni statiche

Metodo utilizzato: Brinch Hansen

Travata 4006

$B=1.30$ <m> $L=9.40$ <m> $D=1.30$ <m> $\beta=0.00$ <grad> $\eta=0.00$ <grad> $\gamma_r=600.00$ <daN/mc>
 $\sigma_{v0,f}=2210.00$ <daN/mq>

Verifiche in condizioni drenate

$\varphi'_r=24.00$ <grad> $c'_r=0.00$ <daN/mq>
 $N_q=9.60$ $N_c=19.32$ $N_g=9.44$ $g_q=1.00$ $g_c=1.00$ $g_g=1.00$
 $b_q=1.00$ $b_c=1.00$ $b_g=1.00$

CC	N <daN>	T _x <daN>	T _y <daN>	M _x <daNm>	M _y <daNm>	B' <m>	L' <m>	s _q	s _c	s _g	d _q	d _c	i _q	i _c	i _g	q _{lim} <daN/mq>	R _d <daN>	Sic.
17	46561.90	607.88	-1052.65	-91.36	748.29	1.30	9.37	1.03	1.07	0.97	1.25	1.28	1.00	1.00	1.00	30876.40	162993.00	3.50
17	46561.90	607.88	-1052.65	-91.36	748.29	1.30	9.37	1.00	1.00	1.00	1.25	1.28	0.97	0.96	0.94	29009.50	153138.00	3.29
18	46561.90	607.88	-1052.65	-91.36	748.29	1.30	9.37	1.03	1.07	0.97	1.25	1.28	1.00	1.00	1.00	30876.40	162993.00	3.50
18	46561.90	607.88	-1052.65	-91.36	748.29	1.30	9.37	1.00	1.00	1.00	1.25	1.28	0.97	0.96	0.94	29009.50	153138.00	3.29
19	44707.10	571.33	-1008.64	-87.54	688.01	1.30	9.37	1.03	1.07	0.97	1.25	1.28	1.00	1.00	1.00	30876.30	163017.00	3.65
19	44707.10	571.33	-1008.64	-87.54	688.01	1.30	9.37	1.00	1.00	1.00	1.25	1.28	0.97	0.96	0.94	29021.10	153223.00	3.43
20	44707.10	571.33	-1008.64	-87.54	688.01	1.30	9.37	1.03	1.07	0.97	1.25	1.28	1.00	1.00	1.00	30876.30	163017.00	3.65
20	44707.10	571.33	-1008.64	-87.54	688.01	1.30	9.37	1.00	1.00	1.00	1.25	1.28	0.97	0.96	0.94	29021.10	153223.00	3.43
21	44707.10	571.33	-1008.64	-87.54	688.01	1.30	9.37	1.03	1.07	0.97	1.25	1.28	1.00	1.00	1.00	30876.30	163017.00	3.65
21	44707.10	571.33	-1008.64	-87.54	688.01	1.30	9.37	1.00	1.00	1.00	1.25	1.28	0.97	0.96	0.94	29021.10	153223.00	3.43

Verifiche in condizioni non drenate

$c_{ur}=2800.00$ <daN/mq>
 $N_q=1.00$ $N_c=5.14$ $g_c=1.00$ $b_c=1.00$

CC	N <daN>	T _x <daN>	T _y <daN>	M _x <daNm>	M _y <daNm>	B' <m>	L' <m>	s _c	d _c	i _q	i _c	q _{lim} <daN/mq>	R _d <daN>	Sic.
17	46561.90	607.88	-1052.65	-91.36	748.29	1.30	9.37	1.03	1.31	1.00	1.00	21661.70	114350.00	2.46
17	46561.90	607.88	-1052.65	-91.36	748.29	1.30	9.37	1.00	1.31	0.00	0.99	20965.40	110674.00	2.38
18	46561.90	607.88	-1052.65	-91.36	748.29	1.30	9.37	1.03	1.31	1.00	1.00	21661.70	114350.00	2.46
18	46561.90	607.88	-1052.65	-91.36	748.29	1.30	9.37	1.00	1.31	0.00	0.99	20965.40	110674.00	2.38
19	44707.10	571.33	-1008.64	-87.54	688.01	1.30	9.37	1.03	1.31	1.00	1.00	21661.60	114367.00	2.56
19	44707.10	571.33	-1008.64	-87.54	688.01	1.30	9.37	1.00	1.31	0.00	0.99	20974.10	110737.00	2.48
20	44707.10	571.33	-1008.64	-87.54	688.01	1.30	9.37	1.03	1.31	1.00	1.00	21661.60	114367.00	2.56
20	44707.10	571.33	-1008.64	-87.54	688.01	1.30	9.37	1.00	1.31	0.00	0.99	20974.10	110737.00	2.48
21	44707.10	571.33	-1008.64	-87.54	688.01	1.30	9.37	1.03	1.31	1.00	1.00	21661.60	114367.00	2.56
21	44707.10	571.33	-1008.64	-87.54	688.01	1.30	9.37	1.00	1.31	0.00	0.99	20974.10	110737.00	2.48

Verifiche di capacità portante per rottura generale in condizioni statiche

Metodo utilizzato: Brinch Hansen

Travata 4008

$B=1.30$ <m> $L=9.40$ <m> $D=1.30$ <m> $\beta=0.00$ <grad> $\eta=0.00$ <grad> $\gamma_r=600.00$ <daN/mc>
 $\sigma_{v0,f}=2210.00$ <daN/mq>

Verifiche in condizioni drenate

Relazione di calcolo

$\varphi'_x=24.00$ <grad> $c'_x=0.00$ <daN/mq>
 $N_q=9.60$ $N_c=19.32$ $N_g=9.44$ $g_q=1.00$ $g_c=1.00$ $g_g=1.00$
 $b_q=1.00$ $b_c=1.00$ $b_g=1.00$

CC	N <daN>	T _x <daN>	T _y <daN>	M _x <daNm>	M _y <daNm>	B' <m>	L' <m>	s _q	s _c	s _g	d _q	d _c	i _q	i _c	i _g	q _{lim} <daN/mq>	R _d <daN>	Sic.
17	41948.70	4232.98	656.03	55.09	-11959.00	1.30	8.83	1.03	1.07	0.97	1.25	1.28	1.00	1.00	1.00	30922.80	154017.00	3.67
17	41948.70	4232.98	656.03	55.09	-11959.00	1.30	8.83	1.00	1.00	1.00	1.25	1.28	0.82	0.80	0.74	24366.70	121363.00	2.89
18	41948.70	4232.98	656.03	55.09	-11959.00	1.30	8.83	1.03	1.07	0.97	1.25	1.28	1.00	1.00	1.00	30922.80	154017.00	3.67
18	41948.70	4232.98	656.03	55.09	-11959.00	1.30	8.83	1.00	1.00	1.00	1.25	1.28	0.82	0.80	0.74	24366.70	121363.00	2.89
19	40285.80	4045.66	628.73	52.78	-11490.60	1.30	8.83	1.03	1.07	0.97	1.25	1.28	1.00	1.00	1.00	30922.90	154013.00	3.82
19	40285.80	4045.66	628.73	52.78	-11490.60	1.30	8.83	1.00	1.00	1.00	1.25	1.28	0.82	0.80	0.74	24392.80	121490.00	3.02
20	40285.80	4045.66	628.73	52.78	-11490.60	1.30	8.83	1.03	1.07	0.97	1.25	1.28	1.00	1.00	1.00	30922.90	154013.00	3.82
20	40285.80	4045.66	628.73	52.78	-11490.60	1.30	8.83	1.00	1.00	1.00	1.25	1.28	0.82	0.80	0.74	24392.80	121490.00	3.02
21	40285.80	4045.66	628.73	52.78	-11490.60	1.30	8.83	1.03	1.07	0.97	1.25	1.28	1.00	1.00	1.00	30922.90	154013.00	3.82
21	40285.80	4045.66	628.73	52.78	-11490.60	1.30	8.83	1.00	1.00	1.00	1.25	1.28	0.82	0.80	0.74	24392.80	121490.00	3.02

Verifiche in condizioni non drenate

$c_{ur}=2800.00$ <daN/mq>
 $N_q=1.00$ $N_c=5.14$ $g_c=1.00$ $b_c=1.00$

CC	N <daN>	T _x <daN>	T _y <daN>	M _x <daNm>	M _y <daNm>	B' <m>	L' <m>	s _c	d _c	i _q	i _c	q _{lim} <daN/mq>	R _d <daN>	Sic.
17	41948.70	4232.98	656.03	55.09	-11959.00	1.30	8.83	1.03	1.31	1.00	1.00	21691.20	108037.00	2.58
17	41948.70	4232.98	656.03	55.09	-11959.00	1.30	8.83	1.00	1.31	0.00	0.95	20223.50	100727.00	2.40
18	41948.70	4232.98	656.03	55.09	-11959.00	1.30	8.83	1.03	1.31	1.00	1.00	21691.20	108037.00	2.58
18	41948.70	4232.98	656.03	55.09	-11959.00	1.30	8.83	1.00	1.31	0.00	0.95	20223.50	100727.00	2.40
19	40285.80	4045.66	628.73	52.78	-11490.60	1.30	8.83	1.03	1.31	1.00	1.00	21691.20	108034.00	2.68
19	40285.80	4045.66	628.73	52.78	-11490.60	1.30	8.83	1.00	1.31	0.00	0.95	20263.80	100925.00	2.51
20	40285.80	4045.66	628.73	52.78	-11490.60	1.30	8.83	1.03	1.31	1.00	1.00	21691.20	108034.00	2.68
20	40285.80	4045.66	628.73	52.78	-11490.60	1.30	8.83	1.00	1.31	0.00	0.95	20263.80	100925.00	2.51
21	40285.80	4045.66	628.73	52.78	-11490.60	1.30	8.83	1.03	1.31	1.00	1.00	21691.20	108034.00	2.68
21	40285.80	4045.66	628.73	52.78	-11490.60	1.30	8.83	1.00	1.31	0.00	0.95	20263.80	100925.00	2.51

Verifiche di capacità portante per rottura generale in condizioni statiche

Metodo utilizzato: Brinch Hansen

Travata 4010

$B=1.30$ <m> $L=9.40$ <m> $D=1.30$ <m> $\beta=0.00$ <grad> $\eta=0.00$ <grad> $\gamma_x=600.00$ <daN/mc>
 $\sigma_{v0,f}=2210.00$ <daN/mq>

Verifiche in condizioni drenate

$\varphi'_x=24.00$ <grad> $c'_x=0.00$ <daN/mq>
 $N_q=9.60$ $N_c=19.32$ $N_g=9.44$ $g_q=1.00$ $g_c=1.00$ $g_g=1.00$
 $b_q=1.00$ $b_c=1.00$ $b_g=1.00$

CC	N <daN>	T _x <daN>	T _y <daN>	M _x <daNm>	M _y <daNm>	B' <m>	L' <m>	s _q	s _c	s _g	d _q	d _c	i _q	i _c	i _g	q _{lim} <daN/mq>	R _d <daN>	Sic.
17	47883.70	573.55	119.44	31.76	-42.15	1.30	9.40	1.03	1.07	0.97	1.25	1.27	1.00	1.00	1.00	30875.70	163846.00	3.42
17	47883.70	573.55	119.44	31.76	-42.15	1.30	9.40	1.00	1.00	1.00	1.25	1.27	0.98	0.97	0.97	29408.20	156058.00	3.26
18	47883.70	573.55	119.44	31.76	-42.15	1.30	9.40	1.03	1.07	0.97	1.25	1.27	1.00	1.00	1.00	30875.70	163846.00	3.42
18	47883.70	573.55	119.44	31.76	-42.15	1.30	9.40	1.00	1.00	1.00	1.25	1.27	0.98	0.97	0.97	29408.20	156058.00	3.26
19	45975.20	536.87	115.69	30.59	-62.40	1.30	9.40	1.03	1.07	0.97	1.25	1.27	1.00	1.00	1.00	30875.80	163829.00	3.56
19	45975.20	536.87	115.69	30.59	-62.40	1.30	9.40	1.00	1.00	1.00	1.25	1.27	0.98	0.98	0.97	29425.90	156136.00	3.40
20	45975.20	536.87	115.69	30.59	-62.40	1.30	9.40	1.03	1.07	0.97	1.25	1.27	1.00	1.00	1.00	30875.80	163829.00	3.56
20	45975.20	536.87	115.69	30.59	-62.40	1.30	9.40	1.00	1.00	1.00	1.25	1.27	0.98	0.98	0.97	29425.90	156136.00	3.40
21	45975.20	536.87	115.69	30.59	-62.40	1.30	9.40	1.03	1.07	0.97	1.25	1.27	1.00	1.00	1.00	30875.80	163829.00	3.56
21	45975.20	536.87	115.69	30.59	-62.40	1.30	9.40	1.00	1.00	1.00	1.25	1.27	0.98	0.98	0.97	29425.90	156136.00	3.40

Verifiche in condizioni non drenate

$c_{ur}=2800.00$ <daN/mq>
 $N_q=1.00$ $N_c=5.14$ $g_c=1.00$ $b_c=1.00$

CC	N <daN>	T _x <daN>	T _y <daN>	M _x <daNm>	M _y <daNm>	B' <m>	L' <m>	s _c	d _c	i _q	i _c	q _{lim} <daN/mq>	R _d <daN>	Sic.
17	47883.70	573.55	119.44	31.76	-42.15	1.30	9.40	1.03	1.31	1.00	1.00	21655.10	114916.00	2.40
17	47883.70	573.55	119.44	31.76	-42.15	1.30	9.40	1.00	1.31	0.00	0.99	21015.70	111522.00	2.33
18	47883.70	573.55	119.44	31.76	-42.15	1.30	9.40	1.03	1.31	1.00	1.00	21655.10	114916.00	2.40
18	47883.70	573.55	119.44	31.76	-42.15	1.30	9.40	1.00	1.31	0.00	0.99	21015.70	111522.00	2.33
19	45975.20	536.87	115.69	30.59	-62.40	1.30	9.40	1.03	1.31	1.00	1.00	21655.20	114904.00	2.50
19	45975.20	536.87	115.69	30.59	-62.40	1.30	9.40	1.00	1.31	0.00	0.99	21023.10	111550.00	2.43
20	45975.20	536.87	115.69	30.59	-62.40	1.30	9.40	1.03	1.31	1.00	1.00	21655.20	114904.00	2.50
20	45975.20	536.87	115.69	30.59	-62.40	1.30	9.40	1.00	1.31	0.00	0.99	21023.10	111550.00	2.43
21	45975.20	536.87	115.69	30.59	-62.40	1.30	9.40	1.03	1.31	1.00	1.00	21655.20	114904.00	2.50

Relazione di calcolo

21	45975.20	536.87	115.69	30.59	-62.40	1.30	9.40	1.00	1.31	0.00	0.99	21023.10	111550.00	2.43
----	----------	--------	--------	-------	--------	------	------	------	------	------	------	----------	-----------	------

Verifiche di capacità portante per rottura generale in condizioni statiche

Metodo utilizzato: Brinch Hansen

Travata 4012

B=1.30 <m> L=9.40 <m> D=1.30 <m> β =0.00 <grad> η =0.00 <grad> γ_r =600.00 <daN/mc>

$\sigma_{v0,f}$ =2210.00 <daN/mq>

Verifiche in condizioni drenate

ϕ'_r =24.00 <grad> c'_r =0.00 <daN/mq>

N_q =9.60 N_c =19.32 N_g =9.44 g_q =1.00 g_c =1.00 g_g =1.00

b_q =1.00 b_c =1.00 b_g =1.00

CC	N <daN>	T _x <daN>	T _y <daN>	M _x <daNm>	M _y <daNm>	B' <m>	L' <m>	s _q	s _c	s _g	d _q	d _c	i _q	i _c	i _g	Q _{lim} <daN/mq>	R _d <daN>	Sic.
17	45262.70	3637.83	-667.72	-82.27	-10878.70	1.30	8.92	1.03	1.07	0.97	1.25	1.28	1.00	1.00	1.00	30914.20	155413.00	3.43
17	45262.70	3637.83	-667.72	-82.27	-10878.70	1.30	8.92	1.00	1.00	1.00	1.25	1.28	0.85	0.84	0.78	25479.50	128092.00	2.83
18	45262.70	3637.83	-667.72	-82.27	-10878.70	1.30	8.92	1.03	1.07	0.97	1.25	1.28	1.00	1.00	1.00	30914.20	155413.00	3.43
18	45262.70	3637.83	-667.72	-82.27	-10878.70	1.30	8.92	1.00	1.00	1.00	1.25	1.28	0.85	0.84	0.78	25479.50	128092.00	2.83
19	43504.30	3419.79	-635.57	-78.36	-10265.40	1.30	8.93	1.03	1.07	0.97	1.25	1.28	1.00	1.00	1.00	30913.40	155566.00	3.58
19	43504.30	3419.79	-635.57	-78.36	-10265.40	1.30	8.93	1.00	1.00	1.00	1.25	1.28	0.86	0.84	0.79	25576.50	128709.00	2.96
20	43504.30	3419.79	-635.57	-78.36	-10265.40	1.30	8.93	1.03	1.07	0.97	1.25	1.28	1.00	1.00	1.00	30913.40	155566.00	3.58
20	43504.30	3419.79	-635.57	-78.36	-10265.40	1.30	8.93	1.00	1.00	1.00	1.25	1.28	0.86	0.84	0.79	25576.50	128709.00	2.96
21	43504.30	3419.79	-635.57	-78.36	-10265.40	1.30	8.93	1.03	1.07	0.97	1.25	1.28	1.00	1.00	1.00	30913.40	155566.00	3.58
21	43504.30	3419.79	-635.57	-78.36	-10265.40	1.30	8.93	1.00	1.00	1.00	1.25	1.28	0.86	0.84	0.79	25576.50	128709.00	2.96

Verifiche in condizioni non drenate

c_{ur} =2800.00 <daN/mq>

N_q =1.00 N_c =5.14 g_c =1.00 b_c =1.00

CC	N <daN>	T _x <daN>	T _y <daN>	M _x <daNm>	M _y <daNm>	B' <m>	L' <m>	s _c	d _c	i _q	i _c	Q _{lim} <daN/mq>	R _d <daN>	Sic.
17	45262.70	3637.83	-667.72	-82.27	-10878.70	1.30	8.92	1.03	1.31	1.00	1.00	21687.50	109029.00	2.41
17	45262.70	3637.83	-667.72	-82.27	-10878.70	1.30	8.92	1.00	1.31	0.00	0.96	20359.80	102354.00	2.26
18	45262.70	3637.83	-667.72	-82.27	-10878.70	1.30	8.92	1.03	1.31	1.00	1.00	21687.50	109029.00	2.41
18	45262.70	3637.83	-667.72	-82.27	-10878.70	1.30	8.92	1.00	1.31	0.00	0.96	20359.80	102354.00	2.26
19	43504.30	3419.79	-635.57	-78.36	-10265.40	1.30	8.93	1.03	1.31	1.00	1.00	21686.90	109135.00	2.51
19	43504.30	3419.79	-635.57	-78.36	-10265.40	1.30	8.93	1.00	1.31	0.00	0.96	20407.00	102694.00	2.36
20	43504.30	3419.79	-635.57	-78.36	-10265.40	1.30	8.93	1.03	1.31	1.00	1.00	21686.90	109135.00	2.51
20	43504.30	3419.79	-635.57	-78.36	-10265.40	1.30	8.93	1.00	1.31	0.00	0.96	20407.00	102694.00	2.36
21	43504.30	3419.79	-635.57	-78.36	-10265.40	1.30	8.93	1.03	1.31	1.00	1.00	21686.90	109135.00	2.51
21	43504.30	3419.79	-635.57	-78.36	-10265.40	1.30	8.93	1.00	1.31	0.00	0.96	20407.00	102694.00	2.36

Verifiche di capacità portante per rottura generale in condizioni statiche

Metodo utilizzato: Brinch Hansen

Travata 4013

B=1.30 <m> L=19.70 <m> D=1.30 <m> β =0.00 <grad> η =0.00 <grad> γ_r =600.00 <daN/mc>

$\sigma_{v0,f}$ =2210.00 <daN/mq>

Verifiche in condizioni drenate

ϕ'_r =24.00 <grad> c'_r =0.00 <daN/mq>

N_q =9.60 N_c =19.32 N_g =9.44 g_q =1.00 g_c =1.00 g_g =1.00

b_q =1.00 b_c =1.00 b_g =1.00

CC	N <daN>	T _x <daN>	T _y <daN>	M _x <daNm>	M _y <daNm>	B' <m>	L' <m>	s _q	s _c	s _g	d _q	d _c	i _q	i _c	i _g	Q _{lim} <daN/mq>	R _d <daN>	Sic.
17	61085.40	2325.05	-1620.56	-158.99	-40199.20	1.29	18.38	1.02	1.03	0.98	1.25	1.28	1.00	1.00	1.00	30509.20	315747.00	5.17
17	61085.40	2325.05	-1620.56	-158.99	-40199.20	1.29	18.38	1.00	1.00	1.00	1.25	1.28	0.92	0.92	0.88	27699.40	286668.00	4.69
18	61085.40	2325.05	-1620.56	-158.99	-40199.20	1.29	18.38	1.02	1.03	0.98	1.25	1.28	1.00	1.00	1.00	30509.20	315747.00	5.17
18	61085.40	2325.05	-1620.56	-158.99	-40199.20	1.29	18.38	1.00	1.00	1.00	1.25	1.28	0.92	0.92	0.88	27699.40	286668.00	4.69
19	58959.50	2234.87	-1535.23	-150.33	-39245.20	1.29	18.37	1.02	1.03	0.98	1.25	1.28	1.00	1.00	1.00	30509.50	315518.00	5.35
19	58959.50	2234.87	-1535.23	-150.33	-39245.20	1.29	18.37	1.00	1.00	1.00	1.25	1.28	0.93	0.92	0.88	27713.20	286599.00	4.86
20	58959.50	2234.87	-1535.23	-150.33	-39245.20	1.29	18.37	1.02	1.03	0.98	1.25	1.28	1.00	1.00	1.00	30509.50	315518.00	5.35
20	58959.50	2234.87	-1535.23	-150.33	-39245.20	1.29	18.37	1.00	1.00	1.00	1.25	1.28	0.93	0.92	0.88	27713.20	286599.00	4.86
21	58959.50	2234.87	-1535.23	-150.33	-39245.20	1.29	18.37	1.02	1.03	0.98	1.25	1.28	1.00	1.00	1.00	30509.50	315518.00	5.35
21	58959.50	2234.87	-1535.23	-150.33	-39245.20	1.29	18.37	1.00	1.00	1.00	1.25	1.28	0.93	0.92	0.88	27713.20	286599.00	4.86

Verifiche in condizioni non drenate

c_{ur} =2800.00 <daN/mq>

N_q =1.00 N_c =5.14 g_c =1.00 b_c =1.00

CC	N <daN>	Tx <daN>	Ty <daN>	Mx <daNm>	My <daNm>	B' <m>	L' <m>	s _c	d _c	i _q	i _c	Q _{lim} <daN/mq>	R _d <daN>	Sic.
17	61085.40	2325.05	-1620.56	-158.99	-40199.20	1.29	18.38	1.01	1.31	1.00	1.00	21407.50	221551.00	3.63
17	61085.40	2325.05	-1620.56	-158.99	-40199.20	1.29	18.38	1.00	1.31	0.00	0.99	20882.40	216118.00	3.54
18	61085.40	2325.05	-1620.56	-158.99	-40199.20	1.29	18.38	1.01	1.31	1.00	1.00	21407.50	221551.00	3.63
18	61085.40	2325.05	-1620.56	-158.99	-40199.20	1.29	18.38	1.00	1.31	0.00	0.99	20882.40	216118.00	3.54
19	58959.50	2234.87	-1535.23	-150.33	-39245.20	1.29	18.37	1.01	1.31	1.00	1.00	21407.50	221388.00	3.75
19	58959.50	2234.87	-1535.23	-150.33	-39245.20	1.29	18.37	1.00	1.31	0.00	0.99	20892.40	216061.00	3.66
20	58959.50	2234.87	-1535.23	-150.33	-39245.20	1.29	18.37	1.01	1.31	1.00	1.00	21407.50	221388.00	3.75
20	58959.50	2234.87	-1535.23	-150.33	-39245.20	1.29	18.37	1.00	1.31	0.00	0.99	20892.40	216061.00	3.66
21	58959.50	2234.87	-1535.23	-150.33	-39245.20	1.29	18.37	1.01	1.31	1.00	1.00	21407.50	221388.00	3.75
21	58959.50	2234.87	-1535.23	-150.33	-39245.20	1.29	18.37	1.00	1.31	0.00	0.99	20892.40	216061.00	3.66

Verifiche di capacità portante per rottura generale in condizioni statiche

Metodo utilizzato: Brinch Hansen

Travata 4014

B=1.30 <m> L=9.40 <m> D=1.30 <m> β=0.00 <grad> η=0.00 <grad> γ_r=600.00 <daN/mc>
σ_{v0,f}=2210.00 <daN/mq>

Verifiche in condizioni drenate

φ'_r=24.00 <grad> c'_r=0.00 <daN/mq>
N_q=9.60 N_c=19.32 N_g=9.44 g_q=1.00 g_c=1.00 g_g=1.00
b_q=1.00 b_c=1.00 b_g=1.00

CC	N <daN>	Tx <daN>	Ty <daN>	Mx <daNm>	My <daNm>	B' <m>	L' <m>	s _q	s _c	s _g	d _q	d _c	i _q	i _c	i _g	Q _{lim} <daN/mq>	R _d <daN>	Sic.
17	30318.20	5219.27	-2725.28	-160.25	-16776.60	1.29	8.29	1.04	1.07	0.96	1.25	1.28	1.00	1.00	1.00	30968.50	143985.00	4.75
17	30318.20	5219.27	-2725.28	-160.25	-16776.60	1.29	8.29	1.00	1.00	1.00	1.25	1.28	0.69	0.66	0.56	20340.50	94571.20	3.12
18	30318.20	5219.27	-2725.28	-160.25	-16776.60	1.29	8.29	1.04	1.07	0.96	1.25	1.28	1.00	1.00	1.00	30968.50	143985.00	4.75
18	30318.20	5219.27	-2725.28	-160.25	-16776.60	1.29	8.29	1.00	1.00	1.00	1.25	1.28	0.69	0.66	0.56	20340.50	94571.20	3.12
19	29290.30	4998.56	-2607.99	-150.55	-16132.00	1.29	8.30	1.04	1.07	0.96	1.25	1.28	1.00	1.00	1.00	30968.20	144106.00	4.92
19	29290.30	4998.56	-2607.99	-150.55	-16132.00	1.29	8.30	1.00	1.00	1.00	1.25	1.28	0.69	0.66	0.56	20418.00	95012.00	3.24
20	29290.30	4998.56	-2607.99	-150.55	-16132.00	1.29	8.30	1.04	1.07	0.96	1.25	1.28	1.00	1.00	1.00	30968.20	144106.00	4.92
20	29290.30	4998.56	-2607.99	-150.55	-16132.00	1.29	8.30	1.00	1.00	1.00	1.25	1.28	0.69	0.66	0.56	20418.00	95012.00	3.24
21	29290.30	4998.56	-2607.99	-150.55	-16132.00	1.29	8.30	1.04	1.07	0.96	1.25	1.28	1.00	1.00	1.00	30968.20	144106.00	4.92
21	29290.30	4998.56	-2607.99	-150.55	-16132.00	1.29	8.30	1.00	1.00	1.00	1.25	1.28	0.69	0.66	0.56	20418.00	95012.00	3.24

Verifiche in condizioni non drenate

c_{ur}=2800.00 <daN/mq>
N_q=1.00 N_c=5.14 g_c=1.00 b_c=1.00

CC	N <daN>	Tx <daN>	Ty <daN>	Mx <daNm>	My <daNm>	B' <m>	L' <m>	s _c	d _c	i _q	i _c	Q _{lim} <daN/mq>	R _d <daN>	Sic.
17	30318.20	5219.27	-2725.28	-160.25	-16776.60	1.29	8.29	1.03	1.32	1.00	1.00	21741.80	101086.00	3.33
17	30318.20	5219.27	-2725.28	-160.25	-16776.60	1.29	8.29	1.00	1.32	0.00	0.93	19914.70	92591.60	3.05
18	30318.20	5219.27	-2725.28	-160.25	-16776.60	1.29	8.29	1.03	1.32	1.00	1.00	21741.80	101086.00	3.33
18	30318.20	5219.27	-2725.28	-160.25	-16776.60	1.29	8.29	1.00	1.32	0.00	0.93	19914.70	92591.60	3.05
19	29290.30	4998.56	-2607.99	-150.55	-16132.00	1.29	8.30	1.03	1.32	1.00	1.00	21740.90	101168.00	3.45
19	29290.30	4998.56	-2607.99	-150.55	-16132.00	1.29	8.30	1.00	1.32	0.00	0.94	19967.50	92915.90	3.17
20	29290.30	4998.56	-2607.99	-150.55	-16132.00	1.29	8.30	1.03	1.32	1.00	1.00	21740.90	101168.00	3.45
20	29290.30	4998.56	-2607.99	-150.55	-16132.00	1.29	8.30	1.00	1.32	0.00	0.94	19967.50	92915.90	3.17
21	29290.30	4998.56	-2607.99	-150.55	-16132.00	1.29	8.30	1.03	1.32	1.00	1.00	21740.90	101168.00	3.45
21	29290.30	4998.56	-2607.99	-150.55	-16132.00	1.29	8.30	1.00	1.32	0.00	0.94	19967.50	92915.90	3.17

Verifiche di capacità portante per rottura generale in condizioni statiche

Metodo utilizzato: Brinch Hansen

Travata 4019

B=1.30 <m> L=65.00 <m> D=1.30 <m> β=0.00 <grad> η=0.00 <grad> γ_r=600.00 <daN/mc>
σ_{v0,f}=2210.00 <daN/mq>

Verifiche in condizioni drenate

φ'_r=24.00 <grad> c'_r=0.00 <daN/mq>
N_q=9.60 N_c=19.32 N_g=9.44 g_q=1.00 g_c=1.00 g_g=1.00
b_q=1.00 b_c=1.00 b_g=1.00

CC	N <daN>	Tx <daN>	Ty <daN>	Mx <daNm>	My <daNm>	B' <m>	L' <m>	s _q	s _c	s _g	d _q	d _c	i _q	i _c	i _g	Q _{lim} <daN/mq>	R _d <daN>	Sic.
17	267064.00	13397.40	-1079.40	-817.21	58816.80	1.29	64.56	1.00	1.01	1.00	1.25	1.28	1.00	1.00	1.00	30236.60	1098150.00	4.11
17	267064.00	13397.40	-1079.40	-817.21	58816.80	1.29	64.56	1.00	1.00	1.00	1.25	1.28	0.90	0.89	0.86	27041.70	982111.00	3.68
18	267064.00	13397.40	-1079.40	-817.21	58816.80	1.29	64.56	1.00	1.01	1.00	1.25	1.28	1.00	1.00	1.00	30236.60	1098150.00	4.11
18	267064.00	13397.40	-1079.40	-817.21	58816.80	1.29	64.56	1.00	1.00	1.00	1.25	1.28	0.90	0.89	0.86	27041.70	982111.00	3.68

Relazione di calcolo

19	256607.00	12741.30	-1034.09	-780.61	55929.70	1.29	64.56	1.00	1.01	1.00	1.25	1.28	1.00	1.00	1.00	30236.60	1098250.00	4.28
19	256607.00	12741.30	-1034.09	-780.61	55929.70	1.29	64.56	1.00	1.00	1.00	1.25	1.28	0.90	0.89	0.86	27072.30	983319.00	3.83
20	256607.00	12741.30	-1034.09	-780.61	55929.70	1.29	64.56	1.00	1.01	1.00	1.25	1.28	1.00	1.00	1.00	30236.60	1098250.00	4.28
20	256607.00	12741.30	-1034.09	-780.61	55929.70	1.29	64.56	1.00	1.00	1.00	1.25	1.28	0.90	0.89	0.86	27072.30	983319.00	3.83
21	256607.00	12741.30	-1034.09	-780.61	55929.70	1.29	64.56	1.00	1.01	1.00	1.25	1.28	1.00	1.00	1.00	30236.60	1098250.00	4.28
21	256607.00	12741.30	-1034.09	-780.61	55929.70	1.29	64.56	1.00	1.00	1.00	1.25	1.28	0.90	0.89	0.86	27072.30	983319.00	3.83

Verifiche in condizioni non drenate

c_{ur} =2800.00 <daN/mq>
 N_q =1.00 N_c =5.14 g_c =1.00 b_c =1.00

CC	N <daN>	Tx <daN>	Ty <daN>	Mx <daNm>	My <daNm>	B' <m>	L' <m>	s _c	d _c	i _q	i _c	q _{lim} <daN/mq>	R _d <daN>	Sic.
17	267064.00	13397.40	-1079.40	-817.21	58816.80	1.29	64.56	1.00	1.32	1.00	1.00	21218.70	770630.00	2.89
17	267064.00	13397.40	-1079.40	-817.21	58816.80	1.29	64.56	1.00	1.32	0.00	0.98	20725.10	752702.00	2.82
18	267064.00	13397.40	-1079.40	-817.21	58816.80	1.29	64.56	1.00	1.32	1.00	1.00	21218.70	770630.00	2.89
18	267064.00	13397.40	-1079.40	-817.21	58816.80	1.29	64.56	1.00	1.32	0.00	0.98	20725.10	752702.00	2.82
19	256607.00	12741.30	-1034.09	-780.61	55929.70	1.29	64.56	1.00	1.32	1.00	1.00	21218.60	770703.00	3.00
19	256607.00	12741.30	-1034.09	-780.61	55929.70	1.29	64.56	1.00	1.32	0.00	0.98	20745.50	753518.00	2.94
20	256607.00	12741.30	-1034.09	-780.61	55929.70	1.29	64.56	1.00	1.32	1.00	1.00	21218.60	770703.00	3.00
20	256607.00	12741.30	-1034.09	-780.61	55929.70	1.29	64.56	1.00	1.32	0.00	0.98	20745.50	753518.00	2.94
21	256607.00	12741.30	-1034.09	-780.61	55929.70	1.29	64.56	1.00	1.32	1.00	1.00	21218.60	770703.00	3.00
21	256607.00	12741.30	-1034.09	-780.61	55929.70	1.29	64.56	1.00	1.32	0.00	0.98	20745.50	753518.00	2.94

Verifiche di capacità portante per rottura generale in condizioni statiche

Metodo utilizzato: Brinch Hansen

Travata 4023

B=1.30 <m> L=5.00 <m> D=1.30 <m> β =0.00 <grad> η =0.00 <grad> γ_r =600.00 <daN/mc>
 $\sigma_{v0,f}$ =2210.00 <daN/mq>

Verifiche in condizioni drenate

ϕ'_r =24.00 <grad> c'_r =0.00 <daN/mq>
 N_q =9.60 N_c =19.32 N_g =9.44 g_q =1.00 g_c =1.00 g_g =1.00
 b_q =1.00 b_c =1.00 b_g =1.00

CC	N <daN>	Tx <daN>	Ty <daN>	Mx <daNm>	My <daNm>	B' <m>	L' <m>	s _q	s _c	s _g	d _q	d _c	i _q	i _c	i _g	q _{lim} <daN/mq>	R _d <daN>	Sic.
17	17478.40	580.23	1239.38	216.93	-310.93	1.28	4.96	1.06	1.12	0.94	1.25	1.28	1.00	1.00	1.00	31518.50	86751.40	4.96
17	17478.40	580.23	1239.38	216.93	-310.93	1.28	4.96	1.00	1.00	1.00	1.25	1.28	0.90	0.89	0.83	26816.60	73810.10	4.22
18	17478.40	580.23	1239.38	216.93	-310.93	1.28	4.96	1.06	1.12	0.94	1.25	1.28	1.00	1.00	1.00	31518.50	86751.40	4.96
18	17478.40	580.23	1239.38	216.93	-310.93	1.28	4.96	1.00	1.00	1.00	1.25	1.28	0.90	0.89	0.83	26816.60	73810.10	4.22
19	16857.20	560.05	1168.86	208.19	-273.49	1.28	4.97	1.06	1.12	0.94	1.25	1.28	1.00	1.00	1.00	31517.70	86812.40	5.15
19	16857.20	560.05	1168.86	208.19	-273.49	1.28	4.97	1.00	1.00	1.00	1.25	1.28	0.90	0.89	0.83	26866.20	74000.20	4.39
20	16857.20	560.05	1168.86	208.19	-273.49	1.28	4.97	1.06	1.12	0.94	1.25	1.28	1.00	1.00	1.00	31517.70	86812.40	5.15
20	16857.20	560.05	1168.86	208.19	-273.49	1.28	4.97	1.00	1.00	1.00	1.25	1.28	0.90	0.89	0.83	26866.20	74000.20	4.39
21	16857.20	560.05	1168.86	208.19	-273.49	1.28	4.97	1.06	1.12	0.94	1.25	1.28	1.00	1.00	1.00	31517.70	86812.40	5.15
21	16857.20	560.05	1168.86	208.19	-273.49	1.28	4.97	1.00	1.00	1.00	1.25	1.28	0.90	0.89	0.83	26866.20	74000.20	4.39

Verifiche in condizioni non drenate

c_{ur} =2800.00 <daN/mq>
 N_q =1.00 N_c =5.14 g_c =1.00 b_c =1.00

CC	N <daN>	Tx <daN>	Ty <daN>	Mx <daNm>	My <daNm>	B' <m>	L' <m>	s _c	d _c	i _q	i _c	q _{lim} <daN/mq>	R _d <daN>	Sic.
17	17478.40	580.23	1239.38	216.93	-310.93	1.28	4.96	1.05	1.32	1.00	1.00	22159.50	60991.90	3.49
17	17478.40	580.23	1239.38	216.93	-310.93	1.28	4.96	1.00	1.32	0.00	0.98	20811.30	57281.10	3.28
18	17478.40	580.23	1239.38	216.93	-310.93	1.28	4.96	1.05	1.32	1.00	1.00	22159.50	60991.90	3.49
18	17478.40	580.23	1239.38	216.93	-310.93	1.28	4.96	1.00	1.32	0.00	0.98	20811.30	57281.10	3.28
19	16857.20	560.05	1168.86	208.19	-273.49	1.28	4.97	1.05	1.32	1.00	1.00	22158.70	61034.00	3.62
19	16857.20	560.05	1168.86	208.19	-273.49	1.28	4.97	1.00	1.32	0.00	0.98	20830.00	57374.10	3.40
20	16857.20	560.05	1168.86	208.19	-273.49	1.28	4.97	1.05	1.32	1.00	1.00	22158.70	61034.00	3.62
20	16857.20	560.05	1168.86	208.19	-273.49	1.28	4.97	1.00	1.32	0.00	0.98	20830.00	57374.10	3.40
21	16857.20	560.05	1168.86	208.19	-273.49	1.28	4.97	1.05	1.32	1.00	1.00	22158.70	61034.00	3.62
21	16857.20	560.05	1168.86	208.19	-273.49	1.28	4.97	1.00	1.32	0.00	0.98	20830.00	57374.10	3.40

Verifiche di capacità portante per rottura generale in condizioni statiche

Metodo utilizzato: Brinch Hansen

Travata 4025

B=1.30 <m> L=55.00 <m> D=1.30 <m> β =0.00 <grad> η =0.00 <grad> γ_r =600.00 <daN/mc>
 $\sigma_{v0,f}$ =2210.00 <daN/mq>

Relazione di calcolo

Verifiche in condizioni drenate

$\varphi'_r=24.00$ <grad> $c'_r=0.00$ <daN/mq>
 $N_q=9.60$ $N_c=19.32$ $N_g=9.44$ $g_q=1.00$ $g_c=1.00$ $g_g=1.00$
 $b_q=1.00$ $b_c=1.00$ $b_g=1.00$

CC	N <daN>	T _x <daN>	T _y <daN>	M _x <daNm>	M _y <daNm>	B' <m>	L' <m>	s _q	s _c	s _g	d _q	d _c	i _q	i _c	i _g	Q _{lim} <daN/mq>	R _d <daN>	Sic.
17	209240.00	5123.47	216.70	-490.05	-54114.70	1.30	54.48	1.01	1.01	0.99	1.25	1.28	1.00	1.00	1.00	30257.10	928399.00	4.44
17	209240.00	5123.47	216.70	-490.05	-54114.70	1.30	54.48	1.00	1.00	1.00	1.25	1.28	0.95	0.95	0.93	28602.10	877616.00	4.19
18	209240.00	5123.47	216.70	-490.05	-54114.70	1.30	54.48	1.01	1.01	0.99	1.25	1.28	1.00	1.00	1.00	30257.10	928399.00	4.44
18	209240.00	5123.47	216.70	-490.05	-54114.70	1.30	54.48	1.00	1.00	1.00	1.25	1.28	0.95	0.95	0.93	28602.10	877616.00	4.19
19	201006.00	4874.05	207.61	-472.70	-51710.20	1.30	54.49	1.01	1.01	0.99	1.25	1.28	1.00	1.00	1.00	30257.10	928432.00	4.62
19	201006.00	4874.05	207.61	-472.70	-51710.20	1.30	54.49	1.00	1.00	1.00	1.25	1.28	0.95	0.95	0.93	28616.70	878096.00	4.37
20	201006.00	4874.05	207.61	-472.70	-51710.20	1.30	54.49	1.01	1.01	0.99	1.25	1.28	1.00	1.00	1.00	30257.10	928432.00	4.62
20	201006.00	4874.05	207.61	-472.70	-51710.20	1.30	54.49	1.00	1.00	1.00	1.25	1.28	0.95	0.95	0.93	28616.70	878096.00	4.37
21	201006.00	4874.05	207.61	-472.70	-51710.20	1.30	54.49	1.01	1.01	0.99	1.25	1.28	1.00	1.00	1.00	30257.10	928432.00	4.62
21	201006.00	4874.05	207.61	-472.70	-51710.20	1.30	54.49	1.00	1.00	1.00	1.25	1.28	0.95	0.95	0.93	28616.70	878096.00	4.37

Verifiche in condizioni non drenate

$c_{ur}=2800.00$ <daN/mq>
 $N_q=1.00$ $N_c=5.14$ $g_c=1.00$ $b_c=1.00$

CC	N <daN>	T _x <daN>	T _y <daN>	M _x <daNm>	M _y <daNm>	B' <m>	L' <m>	s _c	d _c	i _q	i _c	Q _{lim} <daN/mq>	R _d <daN>	Sic.
17	209240.00	5123.47	216.70	-490.05	-54114.70	1.30	54.48	1.00	1.31	1.00	1.00	21229.70	651403.00	3.11
17	209240.00	5123.47	216.70	-490.05	-54114.70	1.30	54.48	1.00	1.31	0.00	0.99	20950.90	642851.00	3.07
18	209240.00	5123.47	216.70	-490.05	-54114.70	1.30	54.48	1.00	1.31	1.00	1.00	21229.70	651403.00	3.11
18	209240.00	5123.47	216.70	-490.05	-54114.70	1.30	54.48	1.00	1.31	0.00	0.99	20950.90	642851.00	3.07
19	201006.00	4874.05	207.61	-472.70	-51710.20	1.30	54.49	1.00	1.31	1.00	1.00	21229.70	651427.00	3.24
19	201006.00	4874.05	207.61	-472.70	-51710.20	1.30	54.49	1.00	1.31	0.00	0.99	20960.20	643157.00	3.20
20	201006.00	4874.05	207.61	-472.70	-51710.20	1.30	54.49	1.00	1.31	1.00	1.00	21229.70	651427.00	3.24
20	201006.00	4874.05	207.61	-472.70	-51710.20	1.30	54.49	1.00	1.31	0.00	0.99	20960.20	643157.00	3.20
21	201006.00	4874.05	207.61	-472.70	-51710.20	1.30	54.49	1.00	1.31	1.00	1.00	21229.70	651427.00	3.24
21	201006.00	4874.05	207.61	-472.70	-51710.20	1.30	54.49	1.00	1.31	0.00	0.99	20960.20	643157.00	3.20

Verifiche di capacità portante per rottura generale in condizioni statiche

Metodo utilizzato: Brinch Hansen

Travata 4031

$B=1.30$ <m> $L=45.00$ <m> $D=1.30$ <m> $\beta=0.00$ <grad> $\eta=0.00$ <grad> $\gamma_r=600.00$ <daN/mc>
 $\sigma_{v0,f}=2210.00$ <daN/mq>

Verifiche in condizioni drenate

$\varphi'_r=24.00$ <grad> $c'_r=0.00$ <daN/mq>
 $N_q=9.60$ $N_c=19.32$ $N_g=9.44$ $g_q=1.00$ $g_c=1.00$ $g_g=1.00$
 $b_q=1.00$ $b_c=1.00$ $b_g=1.00$

CC	N <daN>	T _x <daN>	T _y <daN>	M _x <daNm>	M _y <daNm>	B' <m>	L' <m>	s _q	s _c	s _g	d _q	d _c	i _q	i _c	i _g	Q _{lim} <daN/mq>	R _d <daN>	Sic.
17	173866.00	-24686.20	978.11	2451.15	-20086.50	1.27	44.77	1.01	1.01	0.99	1.25	1.28	1.00	1.00	1.00	30277.40	749527.00	4.31
17	173866.00	-24686.20	978.11	2451.15	-20086.50	1.27	44.77	1.00	1.00	1.00	1.25	1.28	0.74	0.71	0.63	21891.20	541924.00	3.12
18	173866.00	-24686.20	978.11	2451.15	-20086.50	1.27	44.77	1.01	1.01	0.99	1.25	1.28	1.00	1.00	1.00	30277.40	749527.00	4.31
18	173866.00	-24686.20	978.11	2451.15	-20086.50	1.27	44.77	1.00	1.00	1.00	1.25	1.28	0.74	0.71	0.63	21891.20	541924.00	3.12
19	167123.00	-23525.00	936.60	2331.04	-19182.40	1.27	44.77	1.01	1.01	0.99	1.25	1.28	1.00	1.00	1.00	30277.40	749731.00	4.49
19	167123.00	-23525.00	936.60	2331.04	-19182.40	1.27	44.77	1.00	1.00	1.00	1.25	1.28	0.74	0.71	0.64	21955.80	543671.00	3.25
20	167123.00	-23525.00	936.60	2331.04	-19182.40	1.27	44.77	1.01	1.01	0.99	1.25	1.28	1.00	1.00	1.00	30277.40	749731.00	4.49
20	167123.00	-23525.00	936.60	2331.04	-19182.40	1.27	44.77	1.00	1.00	1.00	1.25	1.28	0.74	0.71	0.64	21955.80	543671.00	3.25
21	167123.00	-23525.00	936.60	2331.04	-19182.40	1.27	44.77	1.01	1.01	0.99	1.25	1.28	1.00	1.00	1.00	30277.40	749731.00	4.49
21	167123.00	-23525.00	936.60	2331.04	-19182.40	1.27	44.77	1.00	1.00	1.00	1.25	1.28	0.74	0.71	0.64	21955.80	543671.00	3.25

Verifiche in condizioni non drenate

$c_{ur}=2800.00$ <daN/mq>
 $N_q=1.00$ $N_c=5.14$ $g_c=1.00$ $b_c=1.00$

CC	N <daN>	T _x <daN>	T _y <daN>	M _x <daNm>	M _y <daNm>	B' <m>	L' <m>	s _c	d _c	i _q	i _c	Q _{lim} <daN/mq>	R _d <daN>	Sic.
17	173866.00	-24686.20	978.11	2451.15	-20086.50	1.27	44.77	1.01	1.32	1.00	1.00	21300.20	527295.00	3.03
17	173866.00	-24686.20	978.11	2451.15	-20086.50	1.27	44.77	1.00	1.32	0.00	0.94	20064.80	496711.00	2.86
18	173866.00	-24686.20	978.11	2451.15	-20086.50	1.27	44.77	1.01	1.32	1.00	1.00	21300.20	527295.00	3.03
18	173866.00	-24686.20	978.11	2451.15	-20086.50	1.27	44.77	1.00	1.32	0.00	0.94	20064.80	496711.00	2.86
19	167123.00	-23525.00	936.60	2331.04	-19182.40	1.27	44.77	1.01	1.32	1.00	1.00	21299.60	527421.00	3.16
19	167123.00	-23525.00	936.60	2331.04	-19182.40	1.27	44.77	1.00	1.32	0.00	0.94	20117.50	498149.00	2.98
20	167123.00	-23525.00	936.60	2331.04	-19182.40	1.27	44.77	1.01	1.32	1.00	1.00	21299.60	527421.00	3.16
20	167123.00	-23525.00	936.60	2331.04	-19182.40	1.27	44.77	1.00	1.32	0.00	0.94	20117.50	498149.00	2.98
21	167123.00	-23525.00	936.60	2331.04	-19182.40	1.27	44.77	1.01	1.32	1.00	1.00	21299.60	527421.00	3.16

Relazione di calcolo

21	167123.00	-23525.00	936.60	2331.04	-19182.40	1.27	44.77	1.00	1.32	0.00	0.94	20117.50	498149.00	2.98
----	-----------	-----------	--------	---------	-----------	------	-------	------	------	------	------	----------	-----------	------

Verifiche di capacità portante per rottura generale in condizioni statiche

Metodo utilizzato: Brinch Hansen

Travata 4035

B=1.30 <m> L=19.70 <m> D=1.30 <m> β =0.00 <grad> η =0.00 <grad> γ_r =600.00 <daN/mc>
 $\sigma_{v0,f}$ =2210.00 <daN/mq>

Verifiche in condizioni drenate

φ'_r =24.00 <grad> c'_r =0.00 <daN/mq>
 N_q =9.60 N_c =19.32 N_g =9.44 g_q =1.00 g_c =1.00 g_g =1.00
 b_q =1.00 b_c =1.00 b_g =1.00

CC	N <daN>	T _x <daN>	T _y <daN>	M _x <daNm>	M _y <daNm>	B' <m>	L' <m>	s _q	s _c	s _g	d _q	d _c	i _q	i _c	i _g	q _{lim} <daN/mq>	R _d <daN>	Sic.
17	59964.80	3512.85	1409.88	106.40	-41672.20	1.30	18.31	1.02	1.03	0.98	1.25	1.28	1.00	1.00	1.00	30511.50	314907.00	5.25
17	59964.80	3512.85	1409.88	106.40	-41672.20	1.30	18.31	1.00	1.00	1.00	1.25	1.28	0.89	0.88	0.83	26562.90	274154.00	4.57
18	59964.80	3512.85	1409.88	106.40	-41672.20	1.30	18.31	1.02	1.03	0.98	1.25	1.28	1.00	1.00	1.00	30511.50	314907.00	5.25
18	59964.80	3512.85	1409.88	106.40	-41672.20	1.30	18.31	1.00	1.00	1.00	1.25	1.28	0.89	0.88	0.83	26562.90	274154.00	4.57
19	57888.10	3372.36	1333.92	100.09	-40646.90	1.30	18.30	1.02	1.03	0.98	1.25	1.28	1.00	1.00	1.00	30511.80	314685.00	5.44
19	57888.10	3372.36	1333.92	100.09	-40646.90	1.30	18.30	1.00	1.00	1.00	1.25	1.28	0.89	0.88	0.83	26583.90	274173.00	4.74
20	57888.10	3372.36	1333.92	100.09	-40646.90	1.30	18.30	1.02	1.03	0.98	1.25	1.28	1.00	1.00	1.00	30511.80	314685.00	5.44
20	57888.10	3372.36	1333.92	100.09	-40646.90	1.30	18.30	1.00	1.00	1.00	1.25	1.28	0.89	0.88	0.83	26583.90	274173.00	4.74
21	57888.10	3372.36	1333.92	100.09	-40646.90	1.30	18.30	1.02	1.03	0.98	1.25	1.28	1.00	1.00	1.00	30511.80	314685.00	5.44
21	57888.10	3372.36	1333.92	100.09	-40646.90	1.30	18.30	1.00	1.00	1.00	1.25	1.28	0.89	0.88	0.83	26583.90	274173.00	4.74

Verifiche in condizioni non drenate

c_{ur}=2800.00 <daN/mq>
 N_q =1.00 N_c =5.14 g_c =1.00 b_c =1.00

CC	N <daN>	T _x <daN>	T _y <daN>	M _x <daNm>	M _y <daNm>	B' <m>	L' <m>	s _c	d _c	i _q	i _c	q _{lim} <daN/mq>	R _d <daN>	Sic.
17	59964.80	3512.85	1409.88	106.40	-41672.20	1.30	18.31	1.01	1.31	1.00	1.00	21405.20	220921.00	3.68
17	59964.80	3512.85	1409.88	106.40	-41672.20	1.30	18.31	1.00	1.31	0.00	0.98	20756.90	214231.00	3.57
18	59964.80	3512.85	1409.88	106.40	-41672.20	1.30	18.31	1.01	1.31	1.00	1.00	21405.20	220921.00	3.68
18	59964.80	3512.85	1409.88	106.40	-41672.20	1.30	18.31	1.00	1.31	0.00	0.98	20756.90	214231.00	3.57
19	57888.10	3372.36	1333.92	100.09	-40646.90	1.30	18.30	1.01	1.31	1.00	1.00	21405.20	220763.00	3.81
19	57888.10	3372.36	1333.92	100.09	-40646.90	1.30	18.30	1.00	1.31	0.00	0.98	20771.80	214231.00	3.70
20	57888.10	3372.36	1333.92	100.09	-40646.90	1.30	18.30	1.01	1.31	1.00	1.00	21405.20	220763.00	3.81
20	57888.10	3372.36	1333.92	100.09	-40646.90	1.30	18.30	1.00	1.31	0.00	0.98	20771.80	214231.00	3.70
21	57888.10	3372.36	1333.92	100.09	-40646.90	1.30	18.30	1.01	1.31	1.00	1.00	21405.20	220763.00	3.81
21	57888.10	3372.36	1333.92	100.09	-40646.90	1.30	18.30	1.00	1.31	0.00	0.98	20771.80	214231.00	3.70

Verifiche di capacità portante per rottura generale in condizioni statiche

Metodo utilizzato: Brinch Hansen

Travata 4037

B=1.30 <m> L=9.40 <m> D=1.30 <m> β =0.00 <grad> η =0.00 <grad> γ_r =600.00 <daN/mc>
 $\sigma_{v0,f}$ =2210.00 <daN/mq>

Verifiche in condizioni drenate

φ'_r =24.00 <grad> c'_r =0.00 <daN/mq>
 N_q =9.60 N_c =19.32 N_g =9.44 g_q =1.00 g_c =1.00 g_g =1.00
 b_q =1.00 b_c =1.00 b_g =1.00

CC	N <daN>	T _x <daN>	T _y <daN>	M _x <daNm>	M _y <daNm>	B' <m>	L' <m>	s _q	s _c	s _g	d _q	d _c	i _q	i _c	i _g	q _{lim} <daN/mq>	R _d <daN>	Sic.
17	41336.20	4298.96	1398.04	148.88	-11304.80	1.29	8.85	1.03	1.07	0.97	1.25	1.28	1.00	1.00	1.00	30917.60	153851.00	3.72
17	41336.20	4298.96	1398.04	148.88	-11304.80	1.29	8.85	1.00	1.00	1.00	1.25	1.28	0.81	0.79	0.72	24129.90	120074.00	2.90
18	41336.20	4298.96	1398.04	148.88	-11304.80	1.29	8.85	1.03	1.07	0.97	1.25	1.28	1.00	1.00	1.00	30917.60	153851.00	3.72
18	41336.20	4298.96	1398.04	148.88	-11304.80	1.29	8.85	1.00	1.00	1.00	1.25	1.28	0.81	0.79	0.72	24129.90	120074.00	2.90
19	39699.10	4108.83	1337.85	142.47	-10863.70	1.29	8.85	1.03	1.07	0.97	1.25	1.28	1.00	1.00	1.00	30917.70	153849.00	3.88
19	39699.10	4108.83	1337.85	142.47	-10863.70	1.29	8.85	1.00	1.00	1.00	1.25	1.28	0.81	0.79	0.72	24157.00	120207.00	3.03
20	39699.10	4108.83	1337.85	142.47	-10863.70	1.29	8.85	1.03	1.07	0.97	1.25	1.28	1.00	1.00	1.00	30917.70	153849.00	3.88
20	39699.10	4108.83	1337.85	142.47	-10863.70	1.29	8.85	1.00	1.00	1.00	1.25	1.28	0.81	0.79	0.72	24157.00	120207.00	3.03
21	39699.10	4108.83	1337.85	142.47	-10863.70	1.29	8.85	1.03	1.07	0.97	1.25	1.28	1.00	1.00	1.00	30917.70	153849.00	3.88
21	39699.10	4108.83	1337.85	142.47	-10863.70	1.29	8.85	1.00	1.00	1.00	1.25	1.28	0.81	0.79	0.72	24157.00	120207.00	3.03

Verifiche in condizioni non drenate

c_{ur}=2800.00 <daN/mq>

Relazione di calcolo

N_q=1.00 N_c=5.14 g_c=1.00 b_c=1.00

CC	N <daN>	T _x <daN>	T _y <daN>	M _x <daNm>	M _y <daNm>	B' <m>	L' <m>	s _c	d _c	i _q	i _c	Q _{lim} <daN/mq>	R _d <daN>	Sic.
17	41336.20	4298.96	1398.04	148.88	-11304.80	1.29	8.85	1.03	1.32	1.00	1.00	21698.30	107974.00	2.61
17	41336.20	4298.96	1398.04	148.88	-11304.80	1.29	8.85	1.00	1.32	0.00	0.95	20209.50	100566.00	2.43
18	41336.20	4298.96	1398.04	148.88	-11304.80	1.29	8.85	1.03	1.32	1.00	1.00	21698.30	107974.00	2.61
18	41336.20	4298.96	1398.04	148.88	-11304.80	1.29	8.85	1.00	1.32	0.00	0.95	20209.50	100566.00	2.43
19	39699.10	4108.83	1337.85	142.47	-10863.70	1.29	8.85	1.03	1.32	1.00	1.00	21698.20	107972.00	2.72
19	39699.10	4108.83	1337.85	142.47	-10863.70	1.29	8.85	1.00	1.32	0.00	0.95	20250.80	100769.00	2.54
20	39699.10	4108.83	1337.85	142.47	-10863.70	1.29	8.85	1.03	1.32	1.00	1.00	21698.20	107972.00	2.72
20	39699.10	4108.83	1337.85	142.47	-10863.70	1.29	8.85	1.00	1.32	0.00	0.95	20250.80	100769.00	2.54
21	39699.10	4108.83	1337.85	142.47	-10863.70	1.29	8.85	1.03	1.32	1.00	1.00	21698.20	107972.00	2.72
21	39699.10	4108.83	1337.85	142.47	-10863.70	1.29	8.85	1.00	1.32	0.00	0.95	20250.80	100769.00	2.54

Verifiche di capacità portante per rottura generale in condizioni statiche

Metodo utilizzato: Brinch Hansen

Travata 4039

B=1.30 <m> L=9.40 <m> D=1.30 <m> β=0.00 <grad> η=0.00 <grad> γ_r=600.00 <daN/mc>
σ_{v0, f}=2210.00 <daN/mq>

Verifiche in condizioni drenate

φ'_r=24.00 <grad> c'_r=0.00 <daN/mq>
N_q=9.60 N_c=19.32 N_g=9.44 g_q=1.00 g_c=1.00 g_g=1.00
b_q=1.00 b_c=1.00 b_g=1.00

CC	N <daN>	T _x <daN>	T _y <daN>	M _x <daNm>	M _y <daNm>	B' <m>	L' <m>	s _q	s _c	s _g	d _q	d _c	i _q	i _c	i _g	Q _{lim} <daN/mq>	R _d <daN>	Sic.
17	46444.40	716.05	-736.06	-63.41	282.51	1.30	9.39	1.03	1.07	0.97	1.25	1.28	1.00	1.00	1.00	30875.60	163487.00	3.52
17	46444.40	716.05	-736.06	-63.41	282.51	1.30	9.39	1.00	1.00	1.00	1.25	1.28	0.97	0.96	0.95	29063.70	153893.00	3.31
18	46444.40	716.05	-736.06	-63.41	282.51	1.30	9.39	1.03	1.07	0.97	1.25	1.28	1.00	1.00	1.00	30875.60	163487.00	3.52
18	46444.40	716.05	-736.06	-63.41	282.51	1.30	9.39	1.00	1.00	1.00	1.25	1.28	0.97	0.96	0.95	29063.70	153893.00	3.31
19	44594.10	675.09	-705.21	-60.73	241.24	1.30	9.39	1.03	1.07	0.97	1.25	1.28	1.00	1.00	1.00	30875.50	163511.00	3.67
19	44594.10	675.09	-705.21	-60.73	241.24	1.30	9.39	1.00	1.00	1.00	1.25	1.28	0.97	0.96	0.95	29078.10	153992.00	3.45
20	44594.10	675.09	-705.21	-60.73	241.24	1.30	9.39	1.03	1.07	0.97	1.25	1.28	1.00	1.00	1.00	30875.50	163511.00	3.67
20	44594.10	675.09	-705.21	-60.73	241.24	1.30	9.39	1.00	1.00	1.00	1.25	1.28	0.97	0.96	0.95	29078.10	153992.00	3.45
21	44594.10	675.09	-705.21	-60.73	241.24	1.30	9.39	1.03	1.07	0.97	1.25	1.28	1.00	1.00	1.00	30875.50	163511.00	3.67
21	44594.10	675.09	-705.21	-60.73	241.24	1.30	9.39	1.00	1.00	1.00	1.25	1.28	0.97	0.96	0.95	29078.10	153992.00	3.45

Verifiche in condizioni non drenate

c_{ur}=2800.00 <daN/mq>
N_q=1.00 N_c=5.14 g_c=1.00 b_c=1.00

CC	N <daN>	T _x <daN>	T _y <daN>	M _x <daNm>	M _y <daNm>	B' <m>	L' <m>	s _c	d _c	i _q	i _c	Q _{lim} <daN/mq>	R _d <daN>	Sic.
17	46444.40	716.05	-736.06	-63.41	282.51	1.30	9.39	1.03	1.31	1.00	1.00	21658.40	114681.00	2.47
17	46444.40	716.05	-736.06	-63.41	282.51	1.30	9.39	1.00	1.31	0.00	0.99	20970.20	111038.00	2.39
18	46444.40	716.05	-736.06	-63.41	282.51	1.30	9.39	1.03	1.31	1.00	1.00	21658.40	114681.00	2.47
18	46444.40	716.05	-736.06	-63.41	282.51	1.30	9.39	1.00	1.31	0.00	0.99	20970.20	111038.00	2.39
19	44594.10	675.09	-705.21	-60.73	241.24	1.30	9.39	1.03	1.31	1.00	1.00	21658.30	114698.00	2.57
19	44594.10	675.09	-705.21	-60.73	241.24	1.30	9.39	1.00	1.31	0.00	0.99	20979.00	111101.00	2.49
20	44594.10	675.09	-705.21	-60.73	241.24	1.30	9.39	1.03	1.31	1.00	1.00	21658.30	114698.00	2.57
20	44594.10	675.09	-705.21	-60.73	241.24	1.30	9.39	1.00	1.31	0.00	0.99	20979.00	111101.00	2.49
21	44594.10	675.09	-705.21	-60.73	241.24	1.30	9.39	1.03	1.31	1.00	1.00	21658.30	114698.00	2.57
21	44594.10	675.09	-705.21	-60.73	241.24	1.30	9.39	1.00	1.31	0.00	0.99	20979.00	111101.00	2.49

Verifiche di capacità portante per rottura generale in condizioni statiche

Metodo utilizzato: Brinch Hansen

Travata 4041

B=1.30 <m> L=9.40 <m> D=1.30 <m> β=0.00 <grad> η=0.00 <grad> γ_r=600.00 <daN/mc>
σ_{v0, f}=2210.00 <daN/mq>

Verifiche in condizioni drenate

φ'_r=24.00 <grad> c'_r=0.00 <daN/mq>
N_q=9.60 N_c=19.32 N_g=9.44 g_q=1.00 g_c=1.00 g_g=1.00
b_q=1.00 b_c=1.00 b_g=1.00

CC	N <daN>	T _x <daN>	T _y <daN>	M _x <daNm>	M _y <daNm>	B' <m>	L' <m>	s _q	s _c	s _g	d _q	d _c	i _q	i _c	i _g	Q _{lim} <daN/mq>	R _d <daN>	Sic.
17	42154.00	4238.56	716.93	53.92	-11983.00	1.30	8.83	1.03	1.07	0.97	1.25	1.28	1.00	1.00	1.00	30922.70	154053.00	3.65

Relazione di calcolo

17	42154.00	4238.56	716.93	53.92	-11983.00	1.30	8.83	1.00	1.00	1.00	1.25	1.28	0.82	0.80	0.74	24382.40	121470.00	2.88
18	42154.00	4238.56	716.93	53.92	-11983.00	1.30	8.83	1.03	1.07	0.97	1.25	1.28	1.00	1.00	1.00	30922.70	154053.00	3.65
18	42154.00	4238.56	716.93	53.92	-11983.00	1.30	8.83	1.00	1.00	1.00	1.25	1.28	0.82	0.80	0.74	24382.40	121470.00	2.88
19	40483.00	4051.10	687.10	51.67	-11514.00	1.30	8.83	1.03	1.07	0.97	1.25	1.28	1.00	1.00	1.00	30922.80	154049.00	3.81
19	40483.00	4051.10	687.10	51.67	-11514.00	1.30	8.83	1.00	1.00	1.00	1.25	1.28	0.82	0.80	0.74	24408.20	121595.00	3.00
20	40483.00	4051.10	687.10	51.67	-11514.00	1.30	8.83	1.03	1.07	0.97	1.25	1.28	1.00	1.00	1.00	30922.80	154049.00	3.81
20	40483.00	4051.10	687.10	51.67	-11514.00	1.30	8.83	1.00	1.00	1.00	1.25	1.28	0.82	0.80	0.74	24408.20	121595.00	3.00
21	40483.00	4051.10	687.10	51.67	-11514.00	1.30	8.83	1.03	1.07	0.97	1.25	1.28	1.00	1.00	1.00	30922.80	154049.00	3.81
21	40483.00	4051.10	687.10	51.67	-11514.00	1.30	8.83	1.00	1.00	1.00	1.25	1.28	0.82	0.80	0.74	24408.20	121595.00	3.00

Verifiche in condizioni non drenate

$c_{ur}=2800.00$ <daN/mq>
 $N_q=1.00$ $N_c=5.14$ $g_c=1.00$ $b_c=1.00$

CC	N <daN>	Tx <daN>	Ty <daN>	Mx <daNm>	My <daNm>	B' <m>	L' <m>	s _c	d _c	i _q	i _c	q _{lim} <daN/mq>	R _d <daN>	Sic.
17	42154.00	4238.56	716.93	53.92	-11983.00	1.30	8.83	1.03	1.31	1.00	1.00	21691.00	108062.00	2.56
17	42154.00	4238.56	716.93	53.92	-11983.00	1.30	8.83	1.00	1.31	0.00	0.95	20222.00	100743.00	2.39
18	42154.00	4238.56	716.93	53.92	-11983.00	1.30	8.83	1.03	1.31	1.00	1.00	21691.00	108062.00	2.56
18	42154.00	4238.56	716.93	53.92	-11983.00	1.30	8.83	1.00	1.31	0.00	0.95	20222.00	100743.00	2.39
19	40483.00	4051.10	687.10	51.67	-11514.00	1.30	8.83	1.03	1.31	1.00	1.00	21691.00	108059.00	2.67
19	40483.00	4051.10	687.10	51.67	-11514.00	1.30	8.83	1.00	1.31	0.00	0.95	20262.30	100941.00	2.49
20	40483.00	4051.10	687.10	51.67	-11514.00	1.30	8.83	1.03	1.31	1.00	1.00	21691.00	108059.00	2.67
20	40483.00	4051.10	687.10	51.67	-11514.00	1.30	8.83	1.00	1.31	0.00	0.95	20262.30	100941.00	2.49
21	40483.00	4051.10	687.10	51.67	-11514.00	1.30	8.83	1.03	1.31	1.00	1.00	21691.00	108059.00	2.67
21	40483.00	4051.10	687.10	51.67	-11514.00	1.30	8.83	1.00	1.31	0.00	0.95	20262.30	100941.00	2.49

Verifiche di capacità portante per rottura generale in condizioni statiche

Metodo utilizzato: Brinch Hansen

Travata 4043

$B=1.30$ <m> $L=9.40$ <m> $D=1.30$ <m> $\beta=0.00$ <grad> $\eta=0.00$ <grad> $\gamma_r=600.00$ <daN/mc>
 $\sigma_{v0,f}=2210.00$ <daN/mq>

Verifiche in condizioni drenate

$\phi'_r=24.00$ <grad> $c'_r=0.00$ <daN/mq>
 $N_q=9.60$ $N_c=19.32$ $N_g=9.44$ $g_q=1.00$ $g_c=1.00$ $g_g=1.00$
 $b_q=1.00$ $b_c=1.00$ $b_g=1.00$

CC	N <daN>	Tx <daN>	Ty <daN>	Mx <daNm>	My <daNm>	B' <m>	L' <m>	s _q	s _c	s _g	d _q	d _c	i _q	i _c	i _g	q _{lim} <daN/mq>	R _d <daN>	Sic.
17	46620.20	571.94	-705.00	-41.88	-35.22	1.30	9.40	1.03	1.07	0.97	1.25	1.27	1.00	1.00	1.00	30875.40	163789.00	3.51
17	46620.20	571.94	-705.00	-41.88	-35.22	1.30	9.40	1.00	1.00	1.00	1.25	1.27	0.97	0.97	0.95	29229.00	155055.00	3.33
18	46620.20	571.94	-705.00	-41.88	-35.22	1.30	9.40	1.03	1.07	0.97	1.25	1.27	1.00	1.00	1.00	30875.40	163789.00	3.51
18	46620.20	571.94	-705.00	-41.88	-35.22	1.30	9.40	1.00	1.00	1.00	1.25	1.27	0.97	0.97	0.95	29229.00	155055.00	3.33
19	44761.20	537.03	-675.90	-40.22	-63.08	1.30	9.40	1.03	1.07	0.97	1.25	1.27	1.00	1.00	1.00	30875.50	163767.00	3.66
19	44761.20	537.03	-675.90	-40.22	-63.08	1.30	9.40	1.00	1.00	1.00	1.25	1.27	0.97	0.97	0.95	29241.80	155102.00	3.47
20	44761.20	537.03	-675.90	-40.22	-63.08	1.30	9.40	1.03	1.07	0.97	1.25	1.27	1.00	1.00	1.00	30875.50	163767.00	3.66
20	44761.20	537.03	-675.90	-40.22	-63.08	1.30	9.40	1.00	1.00	1.00	1.25	1.27	0.97	0.97	0.95	29241.80	155102.00	3.47
21	44761.20	537.03	-675.90	-40.22	-63.08	1.30	9.40	1.03	1.07	0.97	1.25	1.27	1.00	1.00	1.00	30875.50	163767.00	3.66
21	44761.20	537.03	-675.90	-40.22	-63.08	1.30	9.40	1.00	1.00	1.00	1.25	1.27	0.97	0.97	0.95	29241.80	155102.00	3.47

Verifiche in condizioni non drenate

$c_{ur}=2800.00$ <daN/mq>
 $N_q=1.00$ $N_c=5.14$ $g_c=1.00$ $b_c=1.00$

CC	N <daN>	Tx <daN>	Ty <daN>	Mx <daNm>	My <daNm>	B' <m>	L' <m>	s _c	d _c	i _q	i _c	q _{lim} <daN/mq>	R _d <daN>	Sic.
17	46620.20	571.94	-705.00	-41.88	-35.22	1.30	9.40	1.03	1.31	1.00	1.00	21656.00	114882.00	2.46
17	46620.20	571.94	-705.00	-41.88	-35.22	1.30	9.40	1.00	1.31	0.00	0.99	20994.20	111371.00	2.39
18	46620.20	571.94	-705.00	-41.88	-35.22	1.30	9.40	1.03	1.31	1.00	1.00	21656.00	114882.00	2.46
18	46620.20	571.94	-705.00	-41.88	-35.22	1.30	9.40	1.00	1.31	0.00	0.99	20994.20	111371.00	2.39
19	44761.20	537.03	-675.90	-40.22	-63.08	1.30	9.40	1.03	1.31	1.00	1.00	21656.10	114866.00	2.57
19	44761.20	537.03	-675.90	-40.22	-63.08	1.30	9.40	1.00	1.31	0.00	0.99	21001.70	111395.00	2.49
20	44761.20	537.03	-675.90	-40.22	-63.08	1.30	9.40	1.03	1.31	1.00	1.00	21656.10	114866.00	2.57
20	44761.20	537.03	-675.90	-40.22	-63.08	1.30	9.40	1.00	1.31	0.00	0.99	21001.70	111395.00	2.49
21	44761.20	537.03	-675.90	-40.22	-63.08	1.30	9.40	1.03	1.31	1.00	1.00	21656.10	114866.00	2.57
21	44761.20	537.03	-675.90	-40.22	-63.08	1.30	9.40	1.00	1.31	0.00	0.99	21001.70	111395.00	2.49

Verifiche di capacità portante per rottura generale in condizioni statiche

Metodo utilizzato: Brinch Hansen

Travata 4045

Relazione di calcolo

B=1.30 <m> L=9.40 <m> D=1.30 <m> β =0.00 <grad> η =0.00 <grad> γ_r =600.00 <daN/mc>
 $\sigma_{v0,f}$ =2210.00 <daN/mq>

Verifiche in condizioni drenate

ϕ'_r =24.00 <grad> c'_r =0.00 <daN/mq>
 N_q =9.60 N_c =19.32 N_g =9.44 g_q =1.00 g_c =1.00 g_g =1.00
 b_q =1.00 b_c =1.00 b_g =1.00

CC	N <daN>	Tx <daN>	Ty <daN>	Mx <daNm>	My <daNm>	B' <m>	L' <m>	s _q	s _c	s _g	d _q	d _c	i _q	i _c	i _g	Q _{lim} <daN/mq>	R _d <daN>	Sic.
17	38413.80	3855.14	-1437.61	-177.19	-11270.30	1.29	8.81	1.03	1.07	0.97	1.25	1.28	1.00	1.00	1.00	30919.80	152930.00	3.98
17	38413.80	3855.14	-1437.61	-177.19	-11270.30	1.29	8.81	1.00	1.00	1.00	1.25	1.28	0.82	0.80	0.73	24301.60	120197.00	3.13
18	38413.80	3855.14	-1437.61	-177.19	-11270.30	1.29	8.81	1.03	1.07	0.97	1.25	1.28	1.00	1.00	1.00	30919.80	152930.00	3.98
18	38413.80	3855.14	-1437.61	-177.19	-11270.30	1.29	8.81	1.00	1.00	1.00	1.25	1.28	0.82	0.80	0.73	24301.60	120197.00	3.13
19	36908.60	3683.52	-1366.15	-168.87	-10830.00	1.29	8.81	1.03	1.07	0.97	1.25	1.28	1.00	1.00	1.00	30919.90	152938.00	4.14
19	36908.60	3683.52	-1366.15	-168.87	-10830.00	1.29	8.81	1.00	1.00	1.00	1.25	1.28	0.82	0.80	0.73	24333.50	120360.00	3.26
20	36908.60	3683.52	-1366.15	-168.87	-10830.00	1.29	8.81	1.03	1.07	0.97	1.25	1.28	1.00	1.00	1.00	30919.90	152938.00	4.14
20	36908.60	3683.52	-1366.15	-168.87	-10830.00	1.29	8.81	1.00	1.00	1.00	1.25	1.28	0.82	0.80	0.73	24333.50	120360.00	3.26
21	36908.60	3683.52	-1366.15	-168.87	-10830.00	1.29	8.81	1.03	1.07	0.97	1.25	1.28	1.00	1.00	1.00	30919.90	152938.00	4.14
21	36908.60	3683.52	-1366.15	-168.87	-10830.00	1.29	8.81	1.00	1.00	1.00	1.25	1.28	0.82	0.80	0.73	24333.50	120360.00	3.26

Verifiche in condizioni non drenate

c_{ur} =2800.00 <daN/mq>
 N_q =1.00 N_c =5.14 g_c =1.00 b_c =1.00

CC	N <daN>	Tx <daN>	Ty <daN>	Mx <daNm>	My <daNm>	B' <m>	L' <m>	s _c	d _c	i _q	i _c	Q _{lim} <daN/mq>	R _d <daN>	Sic.
17	38413.80	3855.14	-1437.61	-177.19	-11270.30	1.29	8.81	1.03	1.32	1.00	1.00	21704.50	107351.00	2.79
17	38413.80	3855.14	-1437.61	-177.19	-11270.30	1.29	8.81	1.00	1.32	0.00	0.96	20302.10	100415.00	2.61
18	38413.80	3855.14	-1437.61	-177.19	-11270.30	1.29	8.81	1.03	1.32	1.00	1.00	21704.50	107351.00	2.79
18	38413.80	3855.14	-1437.61	-177.19	-11270.30	1.29	8.81	1.00	1.32	0.00	0.96	20302.10	100415.00	2.61
19	36908.60	3683.52	-1366.15	-168.87	-10830.00	1.29	8.81	1.03	1.32	1.00	1.00	21704.40	107356.00	2.91
19	36908.60	3683.52	-1366.15	-168.87	-10830.00	1.29	8.81	1.00	1.32	0.00	0.96	20339.90	100607.00	2.73
20	36908.60	3683.52	-1366.15	-168.87	-10830.00	1.29	8.81	1.03	1.32	1.00	1.00	21704.40	107356.00	2.91
20	36908.60	3683.52	-1366.15	-168.87	-10830.00	1.29	8.81	1.00	1.32	0.00	0.96	20339.90	100607.00	2.73
21	36908.60	3683.52	-1366.15	-168.87	-10830.00	1.29	8.81	1.03	1.32	1.00	1.00	21704.40	107356.00	2.91
21	36908.60	3683.52	-1366.15	-168.87	-10830.00	1.29	8.81	1.00	1.32	0.00	0.96	20339.90	100607.00	2.73

Verifiche di capacità portante per rottura generale in condizioni statiche

Metodo utilizzato: Brinch Hansen

Travata 4056

B=1.30 <m> L=5.00 <m> D=1.30 <m> β =0.00 <grad> η =0.00 <grad> γ_r =600.00 <daN/mc>
 $\sigma_{v0,f}$ =2210.00 <daN/mq>

Verifiche in condizioni drenate

ϕ'_r =24.00 <grad> c'_r =0.00 <daN/mq>
 N_q =9.60 N_c =19.32 N_g =9.44 g_q =1.00 g_c =1.00 g_g =1.00
 b_q =1.00 b_c =1.00 b_g =1.00

CC	N <daN>	Tx <daN>	Ty <daN>	Mx <daNm>	My <daNm>	B' <m>	L' <m>	s _q	s _c	s _g	d _q	d _c	i _q	i _c	i _g	Q _{lim} <daN/mq>	R _d <daN>	Sic.
17	17456.30	488.96	-1354.78	205.41	410.99	1.28	4.95	1.06	1.12	0.94	1.25	1.28	1.00	1.00	1.00	31523.00	86650.10	4.96
17	17456.30	488.96	-1354.78	205.41	410.99	1.28	4.95	1.00	1.00	1.00	1.25	1.28	0.90	0.88	0.82	26729.10	73472.80	4.21
18	17456.30	488.96	-1354.78	205.41	410.99	1.28	4.95	1.06	1.12	0.94	1.25	1.28	1.00	1.00	1.00	31523.00	86650.10	4.96
18	17456.30	488.96	-1354.78	205.41	410.99	1.28	4.95	1.00	1.00	1.00	1.25	1.28	0.90	0.88	0.82	26729.10	73472.80	4.21
19	16835.80	472.58	-1278.98	197.17	368.89	1.28	4.96	1.06	1.12	0.94	1.25	1.28	1.00	1.00	1.00	31522.20	86712.60	5.15
19	16835.80	472.58	-1278.98	197.17	368.89	1.28	4.96	1.00	1.00	1.00	1.25	1.28	0.90	0.89	0.83	26784.20	73679.10	4.38
20	16835.80	472.58	-1278.98	197.17	368.89	1.28	4.96	1.06	1.12	0.94	1.25	1.28	1.00	1.00	1.00	31522.20	86712.60	5.15
20	16835.80	472.58	-1278.98	197.17	368.89	1.28	4.96	1.00	1.00	1.00	1.25	1.28	0.90	0.89	0.83	26784.20	73679.10	4.38
21	16835.80	472.58	-1278.98	197.17	368.89	1.28	4.96	1.06	1.12	0.94	1.25	1.28	1.00	1.00	1.00	31522.20	86712.60	5.15
21	16835.80	472.58	-1278.98	197.17	368.89	1.28	4.96	1.00	1.00	1.00	1.25	1.28	0.90	0.89	0.83	26784.20	73679.10	4.38

Verifiche in condizioni non drenate

c_{ur} =2800.00 <daN/mq>
 N_q =1.00 N_c =5.14 g_c =1.00 b_c =1.00

CC	N <daN>	Tx <daN>	Ty <daN>	Mx <daNm>	My <daNm>	B' <m>	L' <m>	s _c	d _c	i _q	i _c	Q _{lim} <daN/mq>	R _d <daN>	Sic.
17	17456.30	488.96	-1354.78	205.41	410.99	1.28	4.95	1.05	1.32	1.00	1.00	22159.70	60912.50	3.49
17	17456.30	488.96	-1354.78	205.41	410.99	1.28	4.95	1.00	1.32	0.00	0.98	20799.70	57174.00	3.28
18	17456.30	488.96	-1354.78	205.41	410.99	1.28	4.95	1.05	1.32	1.00	1.00	22159.70	60912.50	3.49
18	17456.30	488.96	-1354.78	205.41	410.99	1.28	4.95	1.00	1.32	0.00	0.98	20799.70	57174.00	3.28
19	16835.80	472.58	-1278.98	197.17	368.89	1.28	4.96	1.05	1.32	1.00	1.00	22158.90	60955.70	3.62

Relazione di calcolo

19	16835.80	472.58	-1278.98	197.17	368.89	1.28	4.96	1.00	1.32	0.00	0.98	20819.30	57270.70	3.40
20	16835.80	472.58	-1278.98	197.17	368.89	1.28	4.96	1.05	1.32	1.00	1.00	22158.90	60955.70	3.62
20	16835.80	472.58	-1278.98	197.17	368.89	1.28	4.96	1.00	1.32	0.00	0.98	20819.30	57270.70	3.40
21	16835.80	472.58	-1278.98	197.17	368.89	1.28	4.96	1.05	1.32	1.00	1.00	22158.90	60955.70	3.62
21	16835.80	472.58	-1278.98	197.17	368.89	1.28	4.96	1.00	1.32	0.00	0.98	20819.30	57270.70	3.40

Verifiche di capacità portante per rottura generale in condizioni statiche

Metodo utilizzato: Brinch Hansen

Travata 4070

B=1.30 <m> L=9.40 <m> D=1.30 <m> β =0.00 <grad> η =0.00 <grad> γ_r =600.00 <daN/mc>
 $\sigma_{v0,f}$ =2210.00 <daN/mq>

Verifiche in condizioni drenate

ϕ'_r =24.00 <grad> c'_r =0.00 <daN/mq>
 N_q =9.60 N_c =19.32 N_g =9.44 g_q =1.00 g_c =1.00 g_g =1.00
 b_q =1.00 b_c =1.00 b_g =1.00

CC	N <daN>	Tx <daN>	Ty <daN>	Mx <daNm>	My <daNm>	B' <m>	L' <m>	s _q	s _c	s _g	d _q	d _c	i _q	i _c	i _g	q _{lim} <daN/mq>	R _d <daN>	Sic.
17	41896.10	-7911.03	-526.51	-69.91	30864.10	1.30	7.93	1.04	1.08	0.96	1.25	1.28	1.00	1.00	1.00	31012.70	138589.00	3.31
17	41896.10	-7911.03	-526.51	-69.91	30864.10	1.30	7.93	1.00	1.00	1.00	1.25	1.28	0.68	0.64	0.55	19940.10	89107.80	2.13
18	41896.10	-7911.03	-526.51	-69.91	30864.10	1.30	7.93	1.04	1.08	0.96	1.25	1.28	1.00	1.00	1.00	31012.70	138589.00	3.31
18	41896.10	-7911.03	-526.51	-69.91	30864.10	1.30	7.93	1.00	1.00	1.00	1.25	1.28	0.68	0.64	0.55	19940.10	89107.80	2.13
19	40278.50	-7543.16	-508.22	-67.50	29376.90	1.30	7.94	1.04	1.08	0.96	1.25	1.28	1.00	1.00	1.00	31011.10	138837.00	3.45
19	40278.50	-7543.16	-508.22	-67.50	29376.90	1.30	7.94	1.00	1.00	1.00	1.25	1.28	0.68	0.64	0.55	20013.90	89602.00	2.22
20	40278.50	-7543.16	-508.22	-67.50	29376.90	1.30	7.94	1.04	1.08	0.96	1.25	1.28	1.00	1.00	1.00	31011.10	138837.00	3.45
20	40278.50	-7543.16	-508.22	-67.50	29376.90	1.30	7.94	1.00	1.00	1.00	1.25	1.28	0.68	0.64	0.55	20013.90	89602.00	2.22
21	40278.50	-7543.16	-508.22	-67.50	29376.90	1.30	7.94	1.04	1.08	0.96	1.25	1.28	1.00	1.00	1.00	31011.10	138837.00	3.45
21	40278.50	-7543.16	-508.22	-67.50	29376.90	1.30	7.94	1.00	1.00	1.00	1.25	1.28	0.68	0.64	0.55	20013.90	89602.00	2.22

Verifiche in condizioni non drenate

c_{ur} =2800.00 <daN/mq>
 N_q =1.00 N_c =5.14 g_c =1.00 b_c =1.00

CC	N <daN>	Tx <daN>	Ty <daN>	Mx <daNm>	My <daNm>	B' <m>	L' <m>	s _c	d _c	i _q	i _c	q _{lim} <daN/mq>	R _d <daN>	Sic.
17	41896.10	-7911.03	-526.51	-69.91	30864.10	1.30	7.93	1.03	1.31	1.00	1.00	21755.90	97222.00	2.32
17	41896.10	-7911.03	-526.51	-69.91	30864.10	1.30	7.93	1.00	1.31	0.00	0.90	19254.20	86042.50	2.05
18	41896.10	-7911.03	-526.51	-69.91	30864.10	1.30	7.93	1.03	1.31	1.00	1.00	21755.90	97222.00	2.32
18	41896.10	-7911.03	-526.51	-69.91	30864.10	1.30	7.93	1.00	1.31	0.00	0.90	19254.20	86042.50	2.05
19	40278.50	-7543.16	-508.22	-67.50	29376.90	1.30	7.94	1.03	1.31	1.00	1.00	21754.80	97395.90	2.42
19	40278.50	-7543.16	-508.22	-67.50	29376.90	1.30	7.94	1.00	1.31	0.00	0.91	19344.80	86606.60	2.15
20	40278.50	-7543.16	-508.22	-67.50	29376.90	1.30	7.94	1.03	1.31	1.00	1.00	21754.80	97395.90	2.42
20	40278.50	-7543.16	-508.22	-67.50	29376.90	1.30	7.94	1.00	1.31	0.00	0.91	19344.80	86606.60	2.15
21	40278.50	-7543.16	-508.22	-67.50	29376.90	1.30	7.94	1.03	1.31	1.00	1.00	21754.80	97395.90	2.42
21	40278.50	-7543.16	-508.22	-67.50	29376.90	1.30	7.94	1.00	1.31	0.00	0.91	19344.80	86606.60	2.15

Verifiche di capacità portante per rottura generale in condizioni statiche

Metodo utilizzato: Brinch Hansen

Travata 4072

B=1.30 <m> L=9.40 <m> D=1.30 <m> β =0.00 <grad> η =0.00 <grad> γ_r =600.00 <daN/mc>
 $\sigma_{v0,f}$ =2210.00 <daN/mq>

Verifiche in condizioni drenate

ϕ'_r =24.00 <grad> c'_r =0.00 <daN/mq>
 N_q =9.60 N_c =19.32 N_g =9.44 g_q =1.00 g_c =1.00 g_g =1.00
 b_q =1.00 b_c =1.00 b_g =1.00

CC	N <daN>	Tx <daN>	Ty <daN>	Mx <daNm>	My <daNm>	B' <m>	L' <m>	s _q	s _c	s _g	d _q	d _c	i _q	i _c	i _g	q _{lim} <daN/mq>	R _d <daN>	Sic.
17	39945.30	-7867.08	-799.56	-74.71	30205.70	1.30	7.89	1.04	1.08	0.96	1.25	1.28	1.00	1.00	1.00	31016.80	137882.00	3.45
17	39945.30	-7867.08	-799.56	-74.71	30205.70	1.30	7.89	1.00	1.00	1.00	1.25	1.28	0.66	0.63	0.53	19543.10	86877.20	2.17
18	39945.30	-7867.08	-799.56	-74.71	30205.70	1.30	7.89	1.04	1.08	0.96	1.25	1.28	1.00	1.00	1.00	31016.80	137882.00	3.45
18	39945.30	-7867.08	-799.56	-74.71	30205.70	1.30	7.89	1.00	1.00	1.00	1.25	1.28	0.66	0.63	0.53	19543.10	86877.20	2.17
19	38402.50	-7501.00	-766.16	-71.55	28746.00	1.30	7.90	1.04	1.08	0.96	1.25	1.28	1.00	1.00	1.00	31015.10	138143.00	3.60
19	38402.50	-7501.00	-766.16	-71.55	28746.00	1.30	7.90	1.00	1.00	1.00	1.25	1.28	0.67	0.63	0.54	19619.50	87386.50	2.28
20	38402.50	-7501.00	-766.16	-71.55	28746.00	1.30	7.90	1.04	1.08	0.96	1.25	1.28	1.00	1.00	1.00	31015.10	138143.00	3.60
20	38402.50	-7501.00	-766.16	-71.55	28746.00	1.30	7.90	1.00	1.00	1.00	1.25	1.28	0.67	0.63	0.54	19619.50	87386.50	2.28
21	38402.50	-7501.00	-766.16	-71.55	28746.00	1.30	7.90	1.04	1.08	0.96	1.25	1.28	1.00	1.00	1.00	31015.10	138143.00	3.60
21	38402.50	-7501.00	-766.16	-71.55	28746.00	1.30	7.90	1.00	1.00	1.00	1.25	1.28	0.67	0.63	0.54	19619.50	87386.50	2.28

Relazione di calcolo

Verifiche in condizioni non drenate

$c_{ur}=2800.00$ <daN/mq>
 $N_q=1.00$ $N_c=5.14$ $g_c=1.00$ $b_c=1.00$

CC	N <daN>	T _x <daN>	T _y <daN>	M _x <daNm>	M _y <daNm>	B' <m>	L' <m>	s _c	d _c	i _q	i _c	Q _{lim} <daN/mq>	R _d <daN>	Sic.
17	39945.30	-7867.08	-799.56	-74.71	30205.70	1.30	7.89	1.03	1.31	1.00	1.00	21759.70	96730.60	2.42
17	39945.30	-7867.08	-799.56	-74.71	30205.70	1.30	7.89	1.00	1.31	0.00	0.90	19254.90	85595.80	2.14
18	39945.30	-7867.08	-799.56	-74.71	30205.70	1.30	7.89	1.03	1.31	1.00	1.00	21759.70	96730.60	2.42
18	39945.30	-7867.08	-799.56	-74.71	30205.70	1.30	7.89	1.00	1.31	0.00	0.90	19254.90	85595.80	2.14
19	38402.50	-7501.00	-766.16	-71.55	28746.00	1.30	7.90	1.03	1.31	1.00	1.00	21758.40	96913.40	2.52
19	38402.50	-7501.00	-766.16	-71.55	28746.00	1.30	7.90	1.00	1.31	0.00	0.91	19345.70	86167.00	2.24
20	38402.50	-7501.00	-766.16	-71.55	28746.00	1.30	7.90	1.03	1.31	1.00	1.00	21758.40	96913.40	2.52
20	38402.50	-7501.00	-766.16	-71.55	28746.00	1.30	7.90	1.00	1.31	0.00	0.91	19345.70	86167.00	2.24
21	38402.50	-7501.00	-766.16	-71.55	28746.00	1.30	7.90	1.03	1.31	1.00	1.00	21758.40	96913.40	2.52
21	38402.50	-7501.00	-766.16	-71.55	28746.00	1.30	7.90	1.00	1.31	0.00	0.91	19345.70	86167.00	2.24

Verifiche di capacità portante per rottura generale in condizioni statiche

Metodo utilizzato: Brinch Hansen

Travata 4074

$B=1.30$ <m> $L=9.40$ <m> $D=1.30$ <m> $\beta=0.00$ <grad> $\eta=0.00$ <grad> $\gamma_r=600.00$ <daN/mc>
 $\sigma_{v0,f}=2210.00$ <daN/mq>

Verifiche in condizioni drenate

$\phi'_r=24.00$ <grad> $c'_r=0.00$ <daN/mq>
 $N_q=9.60$ $N_c=19.32$ $N_g=9.44$ $g_q=1.00$ $g_c=1.00$ $g_g=1.00$
 $b_q=1.00$ $b_c=1.00$ $b_g=1.00$

CC	N <daN>	T _x <daN>	T _y <daN>	M _x <daNm>	M _y <daNm>	B' <m>	L' <m>	s _q	s _c	s _g	d _q	d _c	i _q	i _c	i _g	Q _{lim} <daN/mq>	R _d <daN>	Sic.
17	35544.70	-4241.86	795.96	49.06	17498.00	1.30	8.42	1.04	1.07	0.96	1.25	1.28	1.00	1.00	1.00	30961.80	146959.00	4.13
17	35544.70	-4241.86	795.96	49.06	17498.00	1.30	8.42	1.00	1.00	1.00	1.25	1.28	0.79	0.76	0.69	23387.20	111006.00	3.12
18	35544.70	-4241.86	795.96	49.06	17498.00	1.30	8.42	1.04	1.07	0.96	1.25	1.28	1.00	1.00	1.00	30961.80	146959.00	4.13
18	35544.70	-4241.86	795.96	49.06	17498.00	1.30	8.42	1.00	1.00	1.00	1.25	1.28	0.79	0.76	0.69	23387.20	111006.00	3.12
19	34185.90	-4026.55	762.78	47.01	16566.90	1.30	8.43	1.04	1.07	0.96	1.25	1.28	1.00	1.00	1.00	30960.30	147221.00	4.31
19	34185.90	-4026.55	762.78	47.01	16566.90	1.30	8.43	1.00	1.00	1.00	1.25	1.28	0.79	0.77	0.70	23468.20	111595.00	3.26
20	34185.90	-4026.55	762.78	47.01	16566.90	1.30	8.43	1.04	1.07	0.96	1.25	1.28	1.00	1.00	1.00	30960.30	147221.00	4.31
20	34185.90	-4026.55	762.78	47.01	16566.90	1.30	8.43	1.00	1.00	1.00	1.25	1.28	0.79	0.77	0.70	23468.20	111595.00	3.26
21	34185.90	-4026.55	762.78	47.01	16566.90	1.30	8.43	1.04	1.07	0.96	1.25	1.28	1.00	1.00	1.00	30960.30	147221.00	4.31
21	34185.90	-4026.55	762.78	47.01	16566.90	1.30	8.43	1.00	1.00	1.00	1.25	1.28	0.79	0.77	0.70	23468.20	111595.00	3.26

Verifiche in condizioni non drenate

$c_{ur}=2800.00$ <daN/mq>
 $N_q=1.00$ $N_c=5.14$ $g_c=1.00$ $b_c=1.00$

CC	N <daN>	T _x <daN>	T _y <daN>	M _x <daNm>	M _y <daNm>	B' <m>	L' <m>	s _c	d _c	i _q	i _c	Q _{lim} <daN/mq>	R _d <daN>	Sic.
17	35544.70	-4241.86	795.96	49.06	17498.00	1.30	8.42	1.03	1.31	1.00	1.00	21718.80	103087.00	2.90
17	35544.70	-4241.86	795.96	49.06	17498.00	1.30	8.42	1.00	1.31	0.00	0.95	20178.30	95775.40	2.69
18	35544.70	-4241.86	795.96	49.06	17498.00	1.30	8.42	1.03	1.31	1.00	1.00	21718.80	103087.00	2.90
18	35544.70	-4241.86	795.96	49.06	17498.00	1.30	8.42	1.00	1.31	0.00	0.95	20178.30	95775.40	2.69
19	34185.90	-4026.55	762.78	47.01	16566.90	1.30	8.43	1.03	1.31	1.00	1.00	21717.80	103271.00	3.02
19	34185.90	-4026.55	762.78	47.01	16566.90	1.30	8.43	1.00	1.31	0.00	0.95	20228.40	96188.80	2.81
20	34185.90	-4026.55	762.78	47.01	16566.90	1.30	8.43	1.03	1.31	1.00	1.00	21717.80	103271.00	3.02
20	34185.90	-4026.55	762.78	47.01	16566.90	1.30	8.43	1.00	1.31	0.00	0.95	20228.40	96188.80	2.81
21	34185.90	-4026.55	762.78	47.01	16566.90	1.30	8.43	1.03	1.31	1.00	1.00	21717.80	103271.00	3.02
21	34185.90	-4026.55	762.78	47.01	16566.90	1.30	8.43	1.00	1.31	0.00	0.95	20228.40	96188.80	2.81

Verifiche di capacità portante per rottura generale in condizioni statiche

Metodo utilizzato: Brinch Hansen

Travata 4076

$B=1.30$ <m> $L=9.40$ <m> $D=1.30$ <m> $\beta=0.00$ <grad> $\eta=0.00$ <grad> $\gamma_r=600.00$ <daN/mc>
 $\sigma_{v0,f}=2210.00$ <daN/mq>

Verifiche in condizioni drenate

$\phi'_r=24.00$ <grad> $c'_r=0.00$ <daN/mq>
 $N_q=9.60$ $N_c=19.32$ $N_g=9.44$ $g_q=1.00$ $g_c=1.00$ $g_g=1.00$
 $b_q=1.00$ $b_c=1.00$ $b_g=1.00$

Relazione di calcolo

CC	N <daN>	Tx <daN>	Ty <daN>	Mx <daNm>	My <daNm>	B' <m>	L' <m>	s _q	s _c	s _g	d _q	d _c	i _q	i _c	i _g	q _{lim} <daN/mq>	R _d <daN>	Sic.
17	41228.60	-8002.16	505.56	46.58	29849.10	1.30	7.95	1.04	1.08	0.96	1.25	1.28	1.00	1.00	1.00	31010.70	139139.00	3.37
17	41228.60	-8002.16	505.56	46.58	29849.10	1.30	7.95	1.00	1.00	1.00	1.25	1.28	0.67	0.63	0.54	19686.10	88327.80	2.14
18	41228.60	-8002.16	505.56	46.58	29849.10	1.30	7.95	1.04	1.08	0.96	1.25	1.28	1.00	1.00	1.00	31010.70	139139.00	3.37
18	41228.60	-8002.16	505.56	46.58	29849.10	1.30	7.95	1.00	1.00	1.00	1.25	1.28	0.67	0.63	0.54	19686.10	88327.80	2.14
19	39631.90	-7630.40	484.92	44.64	28404.30	1.30	7.97	1.04	1.08	0.96	1.25	1.28	1.00	1.00	1.00	31009.10	139388.00	3.52
19	39631.90	-7630.40	484.92	44.64	28404.30	1.30	7.97	1.00	1.00	1.00	1.25	1.28	0.67	0.63	0.54	19760.00	88822.20	2.24
20	39631.90	-7630.40	484.92	44.64	28404.30	1.30	7.97	1.04	1.08	0.96	1.25	1.28	1.00	1.00	1.00	31009.10	139388.00	3.52
20	39631.90	-7630.40	484.92	44.64	28404.30	1.30	7.97	1.00	1.00	1.00	1.25	1.28	0.67	0.63	0.54	19760.00	88822.20	2.24
21	39631.90	-7630.40	484.92	44.64	28404.30	1.30	7.97	1.04	1.08	0.96	1.25	1.28	1.00	1.00	1.00	31009.10	139388.00	3.52
21	39631.90	-7630.40	484.92	44.64	28404.30	1.30	7.97	1.00	1.00	1.00	1.25	1.28	0.67	0.63	0.54	19760.00	88822.20	2.24

Verifiche in condizioni non drenate

c_{ur}=2800.00 <daN/mq>

N_q=1.00 N_c=5.14 g_c=1.00 b_c=1.00

CC	N <daN>	Tx <daN>	Ty <daN>	Mx <daNm>	My <daNm>	B' <m>	L' <m>	s _c	d _c	i _q	i _c	q _{lim} <daN/mq>	R _d <daN>	Sic.
17	41228.60	-8002.16	505.56	46.58	29849.10	1.30	7.95	1.03	1.31	1.00	1.00	21751.90	97596.80	2.37
17	41228.60	-8002.16	505.56	46.58	29849.10	1.30	7.95	1.00	1.31	0.00	0.90	19237.80	86316.30	2.09
18	41228.60	-8002.16	505.56	46.58	29849.10	1.30	7.95	1.03	1.31	1.00	1.00	21751.90	97596.80	2.37
18	41228.60	-8002.16	505.56	46.58	29849.10	1.30	7.95	1.00	1.31	0.00	0.90	19237.80	86316.30	2.09
19	39631.90	-7630.40	484.92	44.64	28404.30	1.30	7.97	1.03	1.31	1.00	1.00	21750.80	97771.00	2.47
19	39631.90	-7630.40	484.92	44.64	28404.30	1.30	7.97	1.00	1.31	0.00	0.90	19329.00	86884.90	2.19
20	39631.90	-7630.40	484.92	44.64	28404.30	1.30	7.97	1.03	1.31	1.00	1.00	21750.80	97771.00	2.47
20	39631.90	-7630.40	484.92	44.64	28404.30	1.30	7.97	1.00	1.31	0.00	0.90	19329.00	86884.90	2.19
21	39631.90	-7630.40	484.92	44.64	28404.30	1.30	7.97	1.03	1.31	1.00	1.00	21750.80	97771.00	2.47
21	39631.90	-7630.40	484.92	44.64	28404.30	1.30	7.97	1.00	1.31	0.00	0.90	19329.00	86884.90	2.19

Verifiche di capacità portante per rottura generale in condizioni statiche

Metodo utilizzato: Brinch Hansen

Travata 4078

B=1.30 <m> L=9.40 <m> D=1.30 <m> β=0.00 <grad> η=0.00 <grad> γ_r=600.00 <daN/mc>

σ_{v0,z}=2210.00 <daN/mq>

Verifiche in condizioni drenate

φ'_r=24.00 <grad> c'_r=0.00 <daN/mq>

N_q=9.60 N_c=19.32 N_g=9.44 g_q=1.00 g_c=1.00 g_g=1.00

b_q=1.00 b_c=1.00 b_g=1.00

CC	N <daN>	Tx <daN>	Ty <daN>	Mx <daNm>	My <daNm>	B' <m>	L' <m>	s _q	s _c	s _g	d _q	d _c	i _q	i _c	i _g	q _{lim} <daN/mq>	R _d <daN>	Sic.
17	48873.30	-8182.38	-1500.92	260.93	30156.00	1.29	8.17	1.04	1.07	0.96	1.25	1.28	1.00	1.00	1.00	30981.60	141822.00	2.90
17	48873.30	-8182.38	-1500.92	260.93	30156.00	1.29	8.17	1.00	1.00	1.00	1.25	1.28	0.71	0.68	0.59	20931.60	95817.30	1.96
18	48873.30	-8182.38	-1500.92	260.93	30156.00	1.29	8.17	1.04	1.07	0.96	1.25	1.28	1.00	1.00	1.00	30981.60	141822.00	2.90
18	48873.30	-8182.38	-1500.92	260.93	30156.00	1.29	8.17	1.00	1.00	1.00	1.25	1.28	0.71	0.68	0.59	20931.60	95817.30	1.96
19	46986.30	-7803.09	-1439.28	251.29	28698.50	1.29	8.18	1.04	1.07	0.96	1.25	1.28	1.00	1.00	1.00	30980.20	142031.00	3.02
19	46986.30	-7803.09	-1439.28	251.29	28698.50	1.29	8.18	1.00	1.00	1.00	1.25	1.28	0.71	0.68	0.59	20997.70	96265.30	2.05
20	46986.30	-7803.09	-1439.28	251.29	28698.50	1.29	8.18	1.04	1.07	0.96	1.25	1.28	1.00	1.00	1.00	30980.20	142031.00	3.02
20	46986.30	-7803.09	-1439.28	251.29	28698.50	1.29	8.18	1.00	1.00	1.00	1.25	1.28	0.71	0.68	0.59	20997.70	96265.30	2.05
21	46986.30	-7803.09	-1439.28	251.29	28698.50	1.29	8.18	1.04	1.07	0.96	1.25	1.28	1.00	1.00	1.00	30980.20	142031.00	3.02
21	46986.30	-7803.09	-1439.28	251.29	28698.50	1.29	8.18	1.00	1.00	1.00	1.25	1.28	0.71	0.68	0.59	20997.70	96265.30	2.05

Verifiche in condizioni non drenate

c_{ur}=2800.00 <daN/mq>

N_q=1.00 N_c=5.14 g_c=1.00 b_c=1.00

CC	N <daN>	Tx <daN>	Ty <daN>	Mx <daNm>	My <daNm>	B' <m>	L' <m>	s _c	d _c	i _q	i _c	q _{lim} <daN/mq>	R _d <daN>	Sic.
17	48873.30	-8182.38	-1500.92	260.93	30156.00	1.29	8.17	1.03	1.32	1.00	1.00	21751.20	99568.80	2.04
17	48873.30	-8182.38	-1500.92	260.93	30156.00	1.29	8.17	1.00	1.32	0.00	0.90	19240.10	88073.90	1.80
18	48873.30	-8182.38	-1500.92	260.93	30156.00	1.29	8.17	1.03	1.32	1.00	1.00	21751.20	99568.80	2.04
18	48873.30	-8182.38	-1500.92	260.93	30156.00	1.29	8.17	1.00	1.32	0.00	0.90	19240.10	88073.90	1.80
19	46986.30	-7803.09	-1439.28	251.29	28698.50	1.29	8.18	1.03	1.32	1.00	1.00	21750.30	99715.50	2.12
19	46986.30	-7803.09	-1439.28	251.29	28698.50	1.29	8.18	1.00	1.32	0.00	0.90	19331.30	88625.40	1.89
20	46986.30	-7803.09	-1439.28	251.29	28698.50	1.29	8.18	1.03	1.32	1.00	1.00	21750.30	99715.50	2.12
20	46986.30	-7803.09	-1439.28	251.29	28698.50	1.29	8.18	1.00	1.32	0.00	0.90	19331.30	88625.40	1.89
21	46986.30	-7803.09	-1439.28	251.29	28698.50	1.29	8.18	1.03	1.32	1.00	1.00	21750.30	99715.50	2.12
21	46986.30	-7803.09	-1439.28	251.29	28698.50	1.29	8.18	1.00	1.32	0.00	0.90	19331.30	88625.40	1.89

Verifiche di capacità portante per rottura generale in condizioni sismiche

Plinto n. 5

Verifiche in condizioni drenate

[illegible]

Relazione di calcolo

[illegible]

Verifiche di capacità portante per rottura generale in condizioni sismiche

Metodo utilizzato: Richards

Plinto n. 15

B=1.40 <m> L=1.40 <m> D=1.30 <m> $\gamma_r=600.00$ <daN/mc> $\phi'_r=24.00$ <grad> $c'_r=0.00$ <daN/mq>
 $\sigma_{v0,f}=2210.00$ <daN/mq>

Verifiche in condizioni drenate

$$N_q=6.15 \quad N_c=11.58 \quad N_g=3.44 \quad a_g/g=0.21$$

Relazione di calcolo

[illegible]

Relazione di calcolo

[illegible]

Verifiche di capacità portante per rottura generale in condizioni sismiche

Metodo utilizzato: Richards

Plinto n. 16

B=1.80 <m> L=1.80 <m> D=1.30 <m> $\gamma_r=600.00$ <daN/mc> $\phi'_r=24.00$ <grad> $c'_r=0.00$ <daN/mq>
 $\sigma_{v0,f}=2210.00$ <daN/mq>

Verifiche in condizioni drenate

$$N_q=6.15 \quad N_c=11.58 \quad N_g=3.44 \quad a_g/g=0.21$$
[illegible]

Relazione di calcolo

[illegible]

Relazione di calcolo

[illegible]

Verifiche di capacità portante per rottura generale in condizioni sismiche

Metodo utilizzato: Richards

Plinto n. 18

B=1.80 <m> L=1.80 <m> D=1.30 <m> $\gamma_r=600.00$ <daN/mc> $\phi'_r=24.00$ <grad> $c'_r=0.00$ <daN/mq>
 $\sigma_{v0,f}=2210.00$ <daN/mq>

Verifiche in condizioni drenate

$$N_q=6.15 \quad N_c=11.58 \quad N_g=3.44 \quad a_g/g=0.21$$
[illegible]

Relazione di calcolo

[illegible]

[illegible]

Metodo utilizzato: Richards

Plinto n. 19

B=1.80 <m> L=1.80 <m> D=1.30 <m> $\gamma_r=600.00$ <daN/mc> $\phi'_r=24.00$ <grad> $c'_r=0.00$ <daN/mq>
 $\sigma_{v0,r}=2210.00$ <daN/mq>

Verifiche in condizioni drenate

$$N_q=6.15 \quad N_c=11.58 \quad N_g=3.44 \quad a_g/g=0.21$$
[illegible]

Relazione di calcolo

[illegible]

[illegible]

Metodo utilizzato: Richards

Plinto n. 21

B=1.80 <m> L=1.80 <m> D=1.30 <m> $\gamma_r=600.00$ <daN/mc> $\phi'_r=24.00$ <grad> $c'_r=0.00$ <daN/mq>
 $\sigma_{v0,r}=2210.00$ <daN/mq>

Verifiche in condizioni drenate

$$N_q=6.15 \quad N_c=11.58 \quad N_g=3.44 \quad a_g/g=0.21$$
[illegible]

Relazione di calcolo

[illegible]

Verifiche di capacità portante per rottura generale in condizioni sismiche

Metodo utilizzato: Richards

Plinto n. 25

B=1.40 <m> L=1.40 <m> D=1.30 <m> $\gamma_r=600.00$ <daN/mc> $\phi'_r=24.00$ <grad> $c'_r=0.00$ <daN/mq>
 $\sigma_{v0,r}=2210.00$ <daN/mq>

Verifiche in condizioni drenate

$$N_q=6.15 \quad N_c=11.58 \quad N_g=3.44 \quad a_g/g=0.21$$
[illegible]

Relazione di calcolo

[illegible]

Verifiche di capacità portante per rottura generale in condizioni sismiche

Metodo utilizzato: Richards

Plinto n. 35

B=1.40 <m> L=1.40 <m> D=1.30 <m> $\gamma_r=600.00$ <daN/mc> $\phi'_r=24.00$ <grad> $c'_r=0.00$ <daN/mq>
 $\sigma_{v0,f}=2210.00$ <daN/mq>

Verifiche in condizioni drenate

$$N_q=6.15 \quad N_c=11.58 \quad N_g=3.44 \quad a_g/g=0.21$$

[illegible]

Relazione di calcolo

[illegible]

Verifiche di capacità portante per rottura generale in condizioni sismiche

Metodo utilizzato: Richards

Plinto n. 36

B=1.80 <m> L=1.80 <m> D=1.30 <m> $\gamma_r=600.00$ <daN/mc> $\varphi'_r=24.00$ <grad> $c'_r=0.00$ <daN/mq>
 $\sigma_{v0,r}=2210.00$ <daN/mq>

Verifiche in condizioni drenate

$$N_q=6.15 \quad N_c=11.58 \quad N_g=3.44 \quad a_g/g=0.21$$
[illegible]

Relazione di calcolo

[illegible]

Relazione di calcolo

[illegible]

Verifiche di capacità portante per rottura generale in condizioni sismiche

Metodo utilizzato: Richards

Plinto n. 38

B=1.80 <m> L=1.80 <m> D=1.30 <m> $\gamma_r=600.00$ <daN/mc> $\phi'_r=24.00$ <grad> $c'_r=0.00$ <daN/mq>

$$\sigma_{v0,f}=2210.00 \text{ <daN/mq>}$$

Verifiche in condizioni drenate

$$N_q=6.15 \quad N_c=11.58 \quad N_g=3.44 \quad a_g/g=0.21$$
[illegible]

Relazione di calcolo

[illegible]

Relazione di calcolo

[illegible]

Verifiche di capacità portante per rottura generale in condizioni sismiche

Metodo utilizzato: Richards

Plinto n. 39

B=1.80 <m> L=1.80 <m> D=1.30 <m> $\gamma_r=600.00$ <daN/mc> $\phi'_r=24.00$ <grad> $c'_r=0.00$ <daN/mq>
 $\sigma_{v0,f}=2210.00$ <daN/mq>

Verifiche in condizioni drenate

$$N_q=6.15 \quad N_c=11.58 \quad N_g=3.44 \quad a_g/g=0.21$$
[illegible]

Relazione di calcolo

[illegible]

[illegible]

Metodo utilizzato: Richards

Plinto n. 41

B=1.80 <m> L=1.80 <m> D=1.30 <m> $\gamma_r=600.00$ <daN/mc> $\phi'_r=24.00$ <grad> $c'_r=0.00$ <daN/mq>
 $\sigma_{v0,r}=2210.00$ <daN/mq>

Verifiche in condizioni drenate

$$N_q=6.15 \quad N_c=11.58 \quad N_g=3.44 \quad a_g/g=0.21$$
[illegible]

Relazione di calcolo

[illegible]

Metodo utilizzato: Richards

B=1.80 <m> L=1.80 <m> D=1.30 <m> $\gamma_r=600.00$ <daN/mc> $\varphi'_r=24.00$ <grad> $c'_r=0.00$ <daN/mq>
 $\sigma_{v0,f}=2210.00$ <daN/mq>

$$N_q=6.15 \quad N_c=11.58 \quad N_g=3.44 \quad a_g/g=0.21$$

Relazione di calcolo

[illegible]

Verifiche di capacità portante per rottura generale in condizioni sismiche

Metodo utilizzato: Richards

Plinto n. 44

B=1.40 <m> L=1.40 <m> D=1.30 <m> $\gamma_r=600.00$ <daN/mc> $\phi'_r=24.00$ <grad> $c'_r=0.00$ <daN/mq>
 $\sigma_{v0,f}=2210.00$ <daN/mq>

Verifiche in condizioni drenate

$$N_g=6.15 \quad N_c=11.58 \quad N_g=3.44 \quad a_g/g=0.21$$
349

Relazione di calcolo

[illegible]

Verifiche di capacità portante per rottura generale in condizioni sismiche

Metodo utilizzato: Richards

Plinto n. 45

B=1.40 <m> L=1.40 <m> D=1.30 <m> $\gamma_r=600.00$ <daN/mc> $\phi'_r=24.00$ <grad> $c'_r=0.00$ <daN/mq>
 $\sigma_{v0,r}=2210.00$ <daN/mq>

Verifiche in condizioni drenate

$$N_g=6.15 \quad N_c=11.58 \quad N_g=3.44 \quad a_g/g=0.21$$
[illegible]

Relazione di calcolo

[illegible]

Relazione di calcolo

[illegible]

Verifiche di capacità portante per rottura generale in condizioni sismiche

Metodo utilizzato: Richards

Plinto n. 55

B=1.40 <m> L=1.40 <m> D=1.30 <m> $\gamma_r=600.00$ <daN/mc> $\phi'_r=24.00$ <grad> $c'_r=0.00$ <daN/mq>
 $\sigma_{v0,f}=2210.00$ <daN/mq>

Verifiche in condizioni drenate

$$N_q=6.15 \quad N_c=11.58 \quad N_g=3.44 \quad a_g/g=0.21$$
[illegible]

Relazione di calcolo

[illegible]

Relazione di calcolo

[illegible]

Verifiche di capacità portante per rottura generale in condizioni sismiche

Metodo utilizzato: Richards

Plinto n. 56

B=1.80 <m> L=1.80 <m> D=1.30 <m> $\gamma_r=600.00$ <daN/mc> $\phi'_r=24.00$ <grad> $c'_r=0.00$ <daN/mq>
 $\sigma_{v0,f}=2210.00$ <daN/mq>

Verifiche in condizioni drenate

$$N_q=6.15 \quad N_c=11.58 \quad N_g=3.44 \quad a_g/g=0.21$$
[illegible]

Relazione di calcolo

[illegible]

Relazione di calcolo

[illegible]

Verifiche di capacità portante per rottura generale in condizioni sismiche

Metodo utilizzato: Richards

Plinto n. 58

B=1.80 <m> L=1.80 <m> D=1.30 <m> $\gamma_r=600.00$ <daN/mc> $\phi'_r=24.00$ <grad> $c'_r=0.00$ <daN/mq>
 $\sigma_{v0,f}=2210.00$ <daN/mq>

Verifiche in condizioni drenate

$$N_q=6.15 \quad N_c=11.58 \quad N_g=3.44 \quad a_g/g=0.21$$
[illegible]

Relazione di calcolo

[illegible]

15	19405.70	0.00	0.00	0.00	0.00	1.80	1.80	15458.00	27824.50	1.43
----	----------	------	------	------	------	------	------	----------	----------	------

Metodo utilizzato: Richards

Plinto n. 59

B=1.80 <m> L=1.80 <m> D=1.30 <m> $\gamma_r=600.00$ <daN/mc> $\phi'_r=24.00$ <grad> $c'_r=0.00$ <daN/mq>
 $\sigma_{v0,f}=2210.00$ <daN/mq>

Verifiche in condizioni drenate

$$N_q=6.15 \quad N_c=11.58 \quad N_g=3.44 \quad a_g/g=0.21$$
[illegible]

Relazione di calcolo

[illegible]

Verifiche di capacità portante per rottura generale in condizioni sismiche

Metodo utilizzato: Richards

Plinto n. 61

B=1.80 <m> L=1.80 <m> D=1.30 <m> $\gamma_r=600.00$ <daN/mc> $\phi'_r=24.00$ <grad> $c'_r=0.00$ <daN/mq>
 $\sigma_{v0,f}=2210.00$ <daN/mq>

Verifiche in condizioni drenate

[illegible]

Relazione di calcolo

[illegible]

Verifiche di capacità portante per rottura generale in condizioni sismiche

Metodo utilizzato: Richards

Plinto n. 62

B=1.80 <m> L=1.80 <m> D=1.30 <m> $\gamma_r=600.00$ <daN/mc> $\phi'_r=24.00$ <grad> $c'_r=0.00$ <daN/mq>
 $\sigma_{v0,f}=2210.00$ <daN/mq>

Verifiche in condizioni drenate

$$N_q=6.15 \quad N_c=11.58 \quad N_g=3.44 \quad a_g/g=0.21$$
[illegible]

Relazione di calcolo

[illegible]

Relazione di calcolo

[illegible]

Verifiche di capacità portante per rottura generale in condizioni sismiche

Metodo utilizzato: Richards

Plinto n. 64

B=1.40 <m> L=1.40 <m> D=1.30 <m> $\gamma_r=600.00$ <daN/mc> $\phi'_r=24.00$ <grad> $c'_r=0.00$ <daN/mq>
 $\sigma_{v0,f}=2210.00$ <daN/mq>

Verifiche in condizioni drenate

$$N_q=6.15 \quad N_c=11.58 \quad N_g=3.44 \quad a_g/g=0.21$$
[illegible]

Relazione di calcolo

[illegible]

Relazione di calcolo

[illegible]

Verifiche di capacità portante per rottura generale in condizioni sismiche

Metodo utilizzato: Richards

Plinto n. 65

B=1.40 <m> L=1.40 <m> D=1.30 <m> $\gamma_r=600.00$ <daN/mc> $\phi'_r=24.00$ <grad> $c'_r=0.00$ <daN/mq>
 $\sigma_{v0,f}=2210.00$ <daN/mq>

Verifiche in condizioni drenate

$$N_q=6.15 \quad N_c=11.58 \quad N_g=3.44 \quad a_g/g=0.21$$
[illegible]

Relazione di calcolo

[illegible]

Relazione di calcolo

[illegible]

Verifiche di capacità portante per rottura generale in condizioni sismiche

Metodo utilizzato: Richards

Plinto n. 75

B=1.40 <m> L=1.40 <m> D=1.30 <m> $\gamma_r=600.00$ <daN/mc> $\phi'_r=24.00$ <grad> $c'_r=0.00$ <daN/mq>
 $\sigma_{v0,f}=2210.00$ <daN/mq>

Verifiche in condizioni drenate

$$N_q=6.15 \quad N_c=11.58 \quad N_g=3.44 \quad a_g/g=0.21$$
[illegible]

Relazione di calcolo

[illegible]

Relazione di calcolo

15	12742.00	0.00	0.00	0.00	0.00	1.40	1.40	15045.60	16383.00	1.29
15	12742.00	0.00	0.00	0.00	0.00	1.40	1.40	15045.60	16383.00	1.29

Verifiche di capacità portante per rottura generale in condizioni sismiche

Metodo utilizzato: Richards

Plinto n. 76

B=1.80 <m> L=1.80 <m> D=1.30 <m> $\gamma_r=600.00$ <daN/mc> $\phi'_r=24.00$ <grad> $c'_r=0.00$ <daN/mq>
 $\sigma_{v0,f}=2210.00$ <daN/mq>

Verifiche in condizioni drenate

$$N_q=6.15 \quad N_c=11.58 \quad N_g=3.44 \quad a_g/g=0.21$$
[illegible]

Relazione di calcolo

[illegible]

Verifiche di capacità portante per rottura generale in condizioni sismiche

Metodo utilizzato: Richards

Plinto n. 78

B=1.80 <m> L=1.80 <m> D=1.30 <m> $\gamma_r=600.00$ <daN/mc> $\phi'_r=24.00$ <grad> $c'_r=0.00$ <daN/mq>
 $\sigma_{v0,f}=2210.00$ <daN/mq>

Verifiche in condizioni drenate

Relazione di calcolo

[illegible]

Verifiche di capacità portante per rottura generale in condizioni sismiche

Metodo utilizzato: Richards

Plinto n. 79

B=1.80 <m> L=1.80 <m> D=1.30 <m> $\gamma_r=600.00$ <daN/mc> $\phi'_r=24.00$ <grad> $c'_r=0.00$ <daN/mq>
 $\sigma_{v0,f}=2210.00$ <daN/mq>

Verifiche in condizioni drenate

$$N_q=6.15 \quad N_c=11.58 \quad N_g=3.44 \quad a_g/g=0.21$$
[illegible]

Relazione di calcolo

[illegible]

Relazione di calcolo

[illegible]

Verifiche di capacità portante per rottura generale in condizioni sismiche

Metodo utilizzato: Richards

Plinto n. 81

B=1.80 <m> L=1.80 <m> D=1.30 <m> $\gamma_r=600.00$ <daN/mc> $\phi'_r=24.00$ <grad> $c'_r=0.00$ <daN/mq>
 $\sigma_{v0,f}=2210.00$ <daN/mq>

Verifiche in condizioni drenate

$$N_q=6.15 \quad N_c=11.58 \quad N_g=3.44 \quad a_g/g=0.21$$
[illegible]

Relazione di calcolo

[illegible]

Relazione di calcolo

[illegible]

Verifiche di capacità portante per rottura generale in condizioni sismiche

Metodo utilizzato: Richards

Plinto n. 82

B=1.80 <m> L=1.80 <m> D=1.30 <m> $\gamma_r=600.00$ <daN/mc> $\phi'_r=24.00$ <grad> $c'_r=0.00$ <daN/mq>
 $\sigma_{v0,f}=2210.00$ <daN/mq>

Verifiche in condizioni drenate

$$N_q=6.15 \quad N_c=11.58 \quad N_g=3.44 \quad a_g/g=0.21$$
[illegible]

Relazione di calcolo

[illegible]

Relazione di calcolo

[illegible]

Verifiche di capacità portante per rottura generale in condizioni sismiche

Metodo utilizzato: Richards

Plinto n. 84

B=1.40 <m> L=1.40 <m> D=1.30 <m> $\gamma_r=600.00$ <daN/mc> $\varphi'_r=24.00$ <grad> $c'_r=0.00$ <daN/mq>
 $\sigma_{v0,r}=2210.00$ <daN/mq>

Verifiche in condizioni drenate

$$N_g=6.15 \quad N_c=11.58 \quad N_q=3.44 \quad a_g/g=0.21$$
[illegible]

Relazione di calcolo

[illegible]

Relazione di calcolo

15	11525.70	0.00	0.00	0.00	0.00	1.40	1.40	15045.60	16383.00	1.42
15	11525.70	0.00	0.00	0.00	0.00	1.40	1.40	15045.60	16383.00	1.42

Verifiche di capacità portante per rottura generale in condizioni sismiche

Metodo utilizzato: Richards

Plinto n. 85

B=1.40 <m> L=1.40 <m> D=1.30 <m> $\gamma_r=600.00$ <daN/mc> $\phi'_r=24.00$ <grad> $c'_r=0.00$ <daN/mq>
 $\sigma_{v0,f}=2210.00$ <daN/mq>

Verifiche in condizioni drenate

$$N_q=6.15 \quad N_c=11.58 \quad N_g=3.44 \quad a_g/g=0.21$$
[illegible]

Relazione di calcolo

[illegible]

Verifiche di capacità portante per rottura generale in condizioni sismiche

Metodo utilizzato: Richards

Plinto n. 95

B=1.40 <m> L=1.40 <m> D=1.30 <m> $\gamma_r=600.00$ <daN/mc> $\varphi'_r=24.00$ <grad> $c'_r=0.00$ <daN/mq>
 $\sigma_{v0,f}=2210.00$ <daN/mq>

Verifiche in condizioni drenate

$$N_q=6.15 \quad N_c=11.58 \quad N_g=3.44 \quad a_g/g=0.21$$
382

Relazione di calcolo

[illegible]

Verifiche di capacità portante per rottura generale in condizioni sismiche

Metodo utilizzato: Richards

Plinto n. 96

B=1.80 <m> L=1.80 <m> D=1.30 <m> $\gamma_r=600.00$ <daN/mc> $\phi'_r=24.00$ <grad> $c'_r=0.00$ <daN/mq>
 $\sigma_{v0,f}=2210.00$ <daN/mq>

Verifiche in condizioni drenate

$$N_q=6.15 \quad N_c=11.58 \quad N_g=3.44 \quad a_g/g=0.21$$
[illegible]

Relazione di calcolo

[illegible]

[illegible]

Metodo utilizzato: Richards

B=1.80 <m> L=1.80 <m> D=1.30 <m> $\gamma_r=600.00$ <daN/mc> $\phi'_r=24.00$ <grad> $c'_r=0.00$ <daN/mq>
 $\sigma_{v0,f}=2210.00$ <daN/mq>

$$N_q=6.15 \quad N_c=11.58 \quad N_g=3.44 \quad a_g/g=0.21$$
[illegible]

Relazione di calcolo

[illegible]

Relazione di calcolo

[illegible]

Verifiche di capacità portante per rottura generale in condizioni sismiche

Metodo utilizzato: Richards

Plinto n. 99

B=1.80 <m> L=1.80 <m> D=1.30 <m> $\gamma_r=600.00$ <daN/mc> $\phi'_r=24.00$ <grad> $c'_r=0.00$ <daN/mq>
 $\sigma_{v0,f}=2210.00$ <daN/mq>

Verifiche in condizioni drenate

$$N_q=6.15 \quad N_c=11.58 \quad N_g=3.44 \quad a_g/g=0.21$$
[illegible]

Relazione di calcolo

[illegible]

Relazione di calcolo

[illegible]

Verifiche di capacità portante per rottura generale in condizioni sismiche

Metodo utilizzato: Richards

Plinto n. 101

B=1.80 <m> L=1.80 <m> D=1.30 <m> $\gamma_r=600.00$ <daN/mc> $\phi'_r=24.00$ <grad> $c'_r=0.00$ <daN/mq>
 $\sigma_{v0,f}=2210.00$ <daN/mq>

Verifiche in condizioni drenate

$$N_q=6.15 \quad N_c=11.58 \quad N_g=3.44 \quad a_g/g=0.21$$
[illegible]

Relazione di calcolo

[illegible]

Relazione di calcolo

15	19405.70	0.00	0.00	0.00	0.00	1.80	1.80	15458.00	27824.50	1.43
15	19405.70	0.00	0.00	0.00	0.00	1.80	1.80	15458.00	27824.50	1.43

Verifiche di capacità portante per rottura generale in condizioni sismiche

Metodo utilizzato: Richards

Plinto n. 102

B=1.80 <m> L=1.80 <m> D=1.30 <m> $\gamma_r=600.00$ <daN/mc> $\phi'_r=24.00$ <grad> $c'_r=0.00$ <daN/mq>
 $\sigma_{v0,f}=2210.00$ <daN/mq>

Verifiche in condizioni drenate

$$N_q=6.15 \quad N_c=11.58 \quad N_g=3.44 \quad a_g/g=0.21$$
[illegible]

Relazione di calcolo

[illegible]

Verifiche di capacità portante per rottura generale in condizioni sismiche

Metodo utilizzato: Richards

Plinto n. 104

B=1.40 <m> L=1.40 <m> D=1.30 <m> $\gamma_r=600.00$ <daN/mc> $\phi'_r=24.00$ <grad> $c'_r=0.00$ <daN/mq>
 $\sigma_{v0,f}=2210.00$ <daN/mq>

Verifiche in condizioni drenate

[illegible]

Relazione di calcolo

[illegible]

Verifiche di capacità portante per rottura generale in condizioni sismiche

Metodo utilizzato: Richards

Plinto n. 105

B=1.40 <m> L=1.40 <m> D=1.30 <m> $\gamma_r=600.00$ <daN/mc> $\phi'_r=24.00$ <grad> $c'_r=0.00$ <daN/mq>
 $\sigma_{v0,f}=2210.00$ <daN/mq>

Verifiche in condizioni drenate

$$N_q=6.15 \quad N_c=11.58 \quad N_g=3.44 \quad a_g/g=0.21$$
[illegible]

Relazione di calcolo

[illegible]

[illegible]

Metodo utilizzato: Richards

B=1.80 <m> L=1.80 <m> D=1.30 <m> $\gamma_r=600.00$ <daN/mc> $\phi'_r=24.00$ <grad> $c'_r=0.00$ <daN/mq>
 $\sigma_{v0,f}=2210.00$ <daN/mq>

$$N_q=6.15 \quad N_c=11.58 \quad N_g=3.44 \quad a_g/g=0.21$$
[illegible]

Relazione di calcolo

[illegible]

Relazione di calcolo

[illegible]

Verifiche di capacità portante per rottura generale in condizioni sismiche

Metodo utilizzato: Richards

Plinto n. 117

B=1.80 <m> L=1.80 <m> D=1.30 <m> $\gamma_r=600.00$ <daN/mc> $\phi'_r=24.00$ <grad> $c'_r=0.00$ <daN/mq>
 $\sigma_{v0,f}=2210.00$ <daN/mq>

Verifiche in condizioni drenate

$$N_q=6.15 \quad N_c=11.58 \quad N_g=3.44 \quad a_g/g=0.21$$
[illegible]

Relazione di calcolo

[illegible]

Relazione di calcolo

[illegible]

Verifiche di capacità portante per rottura generale in condizioni sismiche

Metodo utilizzato: Richards

Plinto n. 14

B=1.40 <m> L=1.40 <m> D=1.30 <m> $\gamma_r=600.00$ <daN/mc> $\phi'_r=24.00$ <grad> $c'_r=0.00$ <daN/mq>
 $\sigma_{v0,f}=2210.00$ <daN/mq>

Verifiche in condizioni drenate

$$N_q=6.15 \quad N_c=11.58 \quad N_g=3.44 \quad a_g/g=0.21$$
[illegible]

Relazione di calcolo

[illegible]

15	8197.96	0.00	0.00	0.00	0.00	1.40	1.40	15045.60	16383.00	2.00
15	8197.96	0.00	0.00	0.00	0.00	1.40	1.40	15045.60	16383.00	2.00

Metodo utilizzato: Richards

Plinto n. 123

B=1.40 <m> L=1.40 <m> D=1.30 <m> $\gamma_r=600.00$ <daN/mc> $\phi'_r=24.00$ <grad> $c'_r=0.00$ <daN/mq>
 $\sigma_{v0,f}=2210.00$ <daN/mq>

Verifiche in condizioni drenate

$$N_q=6.15 \quad N_c=11.58 \quad N_g=3.44 \quad a_g/g=0.21$$
[illegible]

Relazione di calcolo

[illegible]

Verifiche di capacità portante per rottura generale in condizioni sismiche

Metodo utilizzato: Richards

Travata 4001

B=1.30 <m> L=9.40 <m> D=1.30 <m> $\gamma_r=600.00$ <daN/mc> $\phi'_r=24.00$ <grad> $c'_r=0.00$ <daN/mq>
 $\sigma_{v0,f}=2210.00$ <daN/mq>

Verifiche in condizioni drenate

Relazione di calcolo

$N_q=6.15$ $N_c=11.58$ $N_g=3.44$ $a_g/g=0.21$

CC	N <daN>	Tx <daN>	Ty <daN>	Mx <daNm>	My <daNm>	B' <m>	L' <m>	Q _{lim} <daN/mq>	R _d <daN>	Sic.
1	20116.30	10664.30	2931.16	126.16	-37935.10	1.29	5.63	14929.60	60102.90	2.99
1	20116.30	10664.30	2931.16	126.16	-37935.10	1.29	5.63	14929.60	60102.90	2.99
3	18704.20	7770.23	1097.35	84.15	-30432.00	1.29	6.15	14933.30	65826.30	3.52
3	18704.20	7770.23	1097.35	84.15	-30432.00	1.29	6.15	14933.30	65826.30	3.52
5	21687.40	8667.41	4971.44	172.90	-32469.90	1.28	6.41	14926.10	68205.70	3.14
5	21687.40	8667.41	4971.44	172.90	-32469.90	1.28	6.41	14926.10	68205.70	3.14
7	21621.90	4061.71	4886.44	170.95	-20282.30	1.28	7.52	14926.30	80121.70	3.71
7	21621.90	4061.71	4886.44	170.95	-20282.30	1.28	7.52	14926.30	80121.70	3.71
9	19677.40	14186.70	2361.13	139.22	-28810.60	1.29	6.47	14928.00	69014.00	3.51
9	19677.40	14186.70	2361.13	139.22	-28810.60	1.29	6.47	14928.00	69014.00	3.51
11	18265.30	11292.60	527.32	97.21	-21307.50	1.29	7.07	14931.60	75584.70	4.14
11	18265.30	11292.60	527.32	97.21	-21307.50	1.29	7.07	14931.60	75584.70	4.14
13	21248.40	12189.80	4401.41	185.95	-23345.30	1.28	7.20	14924.50	76590.50	3.60
13	21248.40	12189.80	4401.41	185.95	-23345.30	1.28	7.20	14924.50	76590.50	3.60
15	21183.00	7584.06	4316.40	184.01	-11157.80	1.28	8.35	14924.60	88764.20	4.19
15	21183.00	7584.06	4316.40	184.01	-11157.80	1.28	8.35	14924.60	88764.20	4.19

Verifiche di capacità portante per rottura generale in condizioni sismiche

Metodo utilizzato: Richards

Travata 4002

B=1.30 <m> L=9.40 <m> D=1.30 <m> $\gamma_r=600.00$ <daN/mc> $\phi'_r=24.00$ <grad> $c'_r=0.00$ <daN/mq>
 $\sigma_{v0,r}=2210.00$ <daN/mq>

Verifiche in condizioni drenate

$N_q=6.15$ $N_c=11.58$ $N_g=3.44$ $a_g/g=0.21$

CC	N <daN>	Tx <daN>	Ty <daN>	Mx <daNm>	My <daNm>	B' <m>	L' <m>	Q _{lim} <daN/mq>	R _d <daN>	Sic.
1	26042.20	9600.18	3740.37	120.96	-32963.50	1.29	6.87	14933.00	73546.40	2.82
1	26042.20	9600.18	3740.37	120.96	-32963.50	1.29	6.87	14933.00	73546.40	2.82
3	25771.10	7156.03	82.16	98.91	-26516.90	1.29	7.34	14934.60	78725.50	3.05
3	25771.10	7156.03	82.16	98.91	-26516.90	1.29	7.34	14934.60	78725.50	3.05
5	26343.70	7035.83	7810.44	145.50	-26165.80	1.29	7.41	14931.20	79265.20	3.01
5	26343.70	7035.83	7810.44	145.50	-26165.80	1.29	7.41	14931.20	79265.20	3.01
7	26331.20	2393.66	7640.87	144.47	-13892.60	1.29	8.34	14931.20	89227.80	3.39
7	26331.20	2393.66	7640.87	144.47	-13892.60	1.29	8.34	14931.20	89227.80	3.39
9	25957.90	12552.40	2603.24	127.82	-25177.70	1.29	7.46	14932.40	79844.20	3.08
9	25957.90	12552.40	2603.24	127.82	-25177.70	1.29	7.46	14932.40	79844.20	3.08
11	25686.80	10108.20	-1054.97	105.77	-18731.10	1.29	7.94	14934.10	85113.00	3.31
11	25686.80	10108.20	-1054.97	105.77	-18731.10	1.29	7.94	14934.10	85113.00	3.31
13	26259.50	9988.04	6673.31	152.35	-18380.00	1.29	8.00	14930.60	85497.00	3.26
13	26259.50	9988.04	6673.31	152.35	-18380.00	1.29	8.00	14930.60	85497.00	3.26
15	26246.90	5345.87	6503.73	151.33	-6106.83	1.29	8.93	14930.70	95490.20	3.64
15	26246.90	5345.87	6503.73	151.33	-6106.83	1.29	8.93	14930.70	95490.20	3.64

Verifiche di capacità portante per rottura generale in condizioni sismiche

Metodo utilizzato: Richards

Travata 4003

B=1.30 <m> L=9.40 <m> D=1.30 <m> $\gamma_r=600.00$ <daN/mc> $\phi'_r=24.00$ <grad> $c'_r=0.00$ <daN/mq>
 $\sigma_{v0,r}=2210.00$ <daN/mq>

Verifiche in condizioni drenate

$N_q=6.15$ $N_c=11.58$ $N_g=3.44$ $a_g/g=0.21$

CC	N <daN>	Tx <daN>	Ty <daN>	Mx <daNm>	My <daNm>	B' <m>	L' <m>	Q _{lim} <daN/mq>	R _d <daN>	Sic.
1	29411.40	-14531.40	1280.17	-197.69	37636.20	1.29	6.84	14928.70	72992.70	2.48
1	29411.40	-14531.40	1280.17	-197.69	37636.20	1.29	6.84	14928.70	72992.70	2.48
3	28371.30	-12498.80	-70.48	-166.75	32410.30	1.29	7.12	14930.40	76030.90	2.68
3	28371.30	-12498.80	-70.48	-166.75	32410.30	1.29	7.12	14930.40	76030.90	2.68
5	30563.90	-11447.80	2776.77	-231.97	29298.00	1.28	7.48	14926.90	79727.10	2.61
5	30563.90	-11447.80	2776.77	-231.97	29298.00	1.28	7.48	14926.90	79727.10	2.61
7	30511.70	-6772.03	2708.93	-230.42	16925.20	1.28	8.29	14927.00	88339.00	2.90

Relazione di calcolo

7	30511.70	-6772.03	2708.93	-230.42	16925.20	1.28	8.29	14927.00	88339.00	2.90
9	29969.50	-12100.90	2004.87	-214.29	43874.50	1.29	6.47	14927.80	69009.00	2.30
9	29969.50	-12100.90	2004.87	-214.29	43874.50	1.29	6.47	14927.80	69009.00	2.30
11	28929.40	-10068.20	654.23	-183.35	38648.60	1.29	6.73	14929.50	71837.50	2.48
11	28929.40	-10068.20	654.23	-183.35	38648.60	1.29	6.73	14929.50	71837.50	2.48
13	31122.00	-9017.23	3501.48	-248.57	35536.30	1.28	7.12	14926.10	75771.00	2.43
13	31122.00	-9017.23	3501.48	-248.57	35536.30	1.28	7.12	14926.10	75771.00	2.43
15	31069.80	-4341.48	3433.64	-247.02	23163.40	1.28	7.91	14926.20	84215.60	2.71
15	31069.80	-4341.48	3433.64	-247.02	23163.40	1.28	7.91	14926.20	84215.60	2.71

Verifiche di capacità portante per rottura generale in condizioni sismiche

Metodo utilizzato: Richards

Travata 4004

B=1.30 <m> L=9.40 <m> D=1.30 <m> $\gamma_r=600.00$ <daN/mc> $\phi'_r=24.00$ <grad> $c'_r=0.00$ <daN/mq>
 $\sigma_{v0,f}=2210.00$ <daN/mq>

Verifiche in condizioni drenate

$N_q=6.15$ $N_c=11.58$ $N_g=3.44$ $a_g/g=0.21$

CC	N <daN>	Tx <daN>	Ty <daN>	Mx <daNm>	My <daNm>	B' <m>	L' <m>	q_{lim} <daN/mq>	R_d <daN>	Sic.
1	29115.00	-9228.53	2844.42	4.62	-24824.50	1.30	7.69	14942.20	83018.20	2.85
1	29115.00	-9228.53	2844.42	4.62	-24824.50	1.30	7.69	14942.20	83018.20	2.85
3	29067.70	-7647.38	-1043.42	2.86	-20645.40	1.30	7.98	14942.40	86099.30	2.96
3	29067.70	-7647.38	-1043.42	2.86	-20645.40	1.30	7.98	14942.40	86099.30	2.96
5	29167.60	-5574.86	7169.98	6.58	-15164.70	1.30	8.36	14942.10	90187.50	3.09
5	29167.60	-5574.86	7169.98	6.58	-15164.70	1.30	8.36	14942.10	90187.50	3.09
7	29165.40	-862.00	6989.76	6.50	-2705.78	1.30	9.21	14942.10	99403.80	3.41
7	29165.40	-862.00	6989.76	6.50	-2705.78	1.30	9.21	14942.10	99403.80	3.41
9	29129.70	9920.01	-2852.67	4.07	25794.90	1.30	7.63	14942.30	82311.30	2.83
9	29129.70	9920.01	-2852.67	4.07	25794.90	1.30	7.63	14942.30	82311.30	2.83
11	29082.40	8338.87	1035.17	2.31	21615.80	1.30	7.91	14942.40	85389.70	2.94
11	29082.40	8338.87	1035.17	2.31	21615.80	1.30	7.91	14942.40	85389.70	2.94
13	29182.30	6266.34	-7178.23	6.03	16135.10	1.30	8.29	14942.10	89478.60	3.07
13	29182.30	6266.34	-7178.23	6.03	16135.10	1.30	8.29	14942.10	89478.60	3.07
15	29180.10	1553.48	-6998.01	5.95	3676.15	1.30	9.15	14942.10	98690.50	3.38
15	29180.10	1553.48	-6998.01	5.95	3676.15	1.30	9.15	14942.10	98690.50	3.38

Verifiche di capacità portante per rottura generale in condizioni sismiche

Metodo utilizzato: Richards

Travata 4006

B=1.30 <m> L=9.40 <m> D=1.30 <m> $\gamma_r=600.00$ <daN/mc> $\phi'_r=24.00$ <grad> $c'_r=0.00$ <daN/mq>
 $\sigma_{v0,f}=2210.00$ <daN/mq>

Verifiche in condizioni drenate

$N_q=6.15$ $N_c=11.58$ $N_g=3.44$ $a_g/g=0.21$

CC	N <daN>	Tx <daN>	Ty <daN>	Mx <daNm>	My <daNm>	B' <m>	L' <m>	q_{lim} <daN/mq>	R_d <daN>	Sic.
1	27949.60	-8401.51	-2258.33	-53.77	-22713.80	1.30	7.77	14938.60	83632.40	2.99
1	27949.60	-8401.51	-2258.33	-53.77	-22713.80	1.30	7.77	14938.60	83632.40	2.99
3	27948.10	-7678.42	1626.40	-53.70	-20802.30	1.30	7.91	14938.60	85103.30	3.05
3	27948.10	-7678.42	1626.40	-53.70	-20802.30	1.30	7.91	14938.60	85103.30	3.05
5	27951.20	-3663.47	-6580.42	-53.85	-10188.30	1.30	8.67	14938.60	93273.90	3.34
5	27951.20	-3663.47	-6580.42	-53.85	-10188.30	1.30	8.67	14938.60	93273.90	3.34
7	27951.20	1120.81	-6400.34	-53.85	2459.37	1.30	9.22	14938.60	99222.80	3.55
7	27951.20	1120.81	-6400.34	-53.85	2459.37	1.30	9.22	14938.60	99222.80	3.55
9	27949.20	9035.09	-3465.87	-53.80	23381.40	1.30	7.73	14938.60	83118.10	2.97
9	27949.20	9035.09	-3465.87	-53.80	23381.40	1.30	7.73	14938.60	83118.10	2.97
11	27947.70	8312.00	418.86	-53.72	21469.90	1.30	7.86	14938.60	84589.00	3.03
11	27947.70	8312.00	418.86	-53.72	21469.90	1.30	7.86	14938.60	84589.00	3.03
13	27950.80	4297.05	-7787.97	-53.87	10855.90	1.30	8.62	14938.60	92759.80	3.32
13	27950.80	4297.05	-7787.97	-53.87	10855.90	1.30	8.62	14938.60	92759.80	3.32
15	27950.70	-487.23	-7607.89	-53.87	-1791.80	1.30	9.27	14938.60	99736.50	3.57
15	27950.70	-487.23	-7607.89	-53.87	-1791.80	1.30	9.27	14938.60	99736.50	3.57

Verifiche di capacità portante per rottura generale in condizioni sismiche

Relazione di calcolo

Metodo utilizzato: Richards

Travata 4008

B=1.30 <m> L=9.40 <m> D=1.30 <m> $\gamma_r=600.00$ <daN/mc> $\phi'_r=24.00$ <grad> $c'_r=0.00$ <daN/mq>
 $\sigma_{v0,f}=2210.00$ <daN/mq>

Verifiche in condizioni drenate

$N_q=6.15$ $N_c=11.58$ $N_g=3.44$ $a_g/g=0.21$

CC	N <daN>	Tx <daN>	Ty <daN>	Mx <daNm>	My <daNm>	B' <m>	L' <m>	q_{lim} <daN/mq>	R_d <daN>	Sic.
1	25230.20	10801.40	3232.01	32.41	-28362.50	1.30	7.15	14939.90	77013.90	3.05
1	25230.20	10801.40	3232.01	32.41	-28362.50	1.30	7.15	14939.90	77013.90	3.05
3	25229.10	10619.50	-651.65	32.36	-27881.60	1.30	7.19	14939.90	77423.60	3.07
3	25229.10	10619.50	-651.65	32.36	-27881.60	1.30	7.19	14939.90	77423.60	3.07
5	25231.50	5347.68	7552.90	32.47	-13945.10	1.30	8.29	14939.90	89321.30	3.54
5	25231.50	5347.68	7552.90	32.47	-13945.10	1.30	8.29	14939.90	89321.30	3.54
7	25231.40	491.16	7372.88	32.47	-1106.42	1.30	9.31	14939.90	100280.00	3.97
7	25231.40	491.16	7372.88	32.47	-1106.42	1.30	9.31	14939.90	100280.00	3.97
9	25230.60	10475.50	-2458.95	32.43	-29224.00	1.30	7.08	14939.90	76278.80	3.02
9	25230.60	10475.50	-2458.95	32.43	-29224.00	1.30	7.08	14939.90	76278.80	3.02
11	25229.40	10293.60	1424.70	32.37	-28743.10	1.30	7.12	14939.90	76688.50	3.04
11	25229.40	10293.60	1424.70	32.37	-28743.10	1.30	7.12	14939.90	76688.50	3.04
13	25231.80	5021.80	-6779.85	32.48	-14806.60	1.30	8.23	14939.90	88586.00	3.51
13	25231.80	5021.80	-6779.85	32.48	-14806.60	1.30	8.23	14939.90	88586.00	3.51
15	25231.80	165.28	-6599.82	32.48	-1967.90	1.30	9.24	14939.90	99544.70	3.95
15	25231.80	165.28	-6599.82	32.48	-1967.90	1.30	9.24	14939.90	99544.70	3.95

Verifiche di capacità portante per rottura generale in condizioni sismiche

Metodo utilizzato: Richards

Travata 4010

B=1.30 <m> L=9.40 <m> D=1.30 <m> $\gamma_r=600.00$ <daN/mc> $\phi'_r=24.00$ <grad> $c'_r=0.00$ <daN/mq>
 $\sigma_{v0,f}=2210.00$ <daN/mq>

Verifiche in condizioni drenate

$N_q=6.15$ $N_c=11.58$ $N_g=3.44$ $a_g/g=0.21$

CC	N <daN>	Tx <daN>	Ty <daN>	Mx <daNm>	My <daNm>	B' <m>	L' <m>	q_{lim} <daN/mq>	R_d <daN>	Sic.
1	28745.50	9722.83	2923.71	20.00	24830.00	1.30	7.67	14941.10	82703.10	2.88
1	28745.50	9722.83	2923.71	20.00	24830.00	1.30	7.67	14941.10	82703.10	2.88
3	28728.00	8707.70	-964.28	19.05	22146.80	1.30	7.86	14941.20	84709.90	2.95
3	28728.00	8707.70	-964.28	19.05	22146.80	1.30	7.86	14941.20	84709.90	2.95
5	28765.00	5155.99	7249.43	21.06	12756.70	1.30	8.51	14941.00	91758.70	3.19
5	28765.00	5155.99	7249.43	21.06	12756.70	1.30	8.51	14941.00	91758.70	3.19
7	28764.20	226.42	7069.20	21.01	-275.03	1.30	9.38	14941.00	101113.00	3.52
7	28764.20	226.42	7069.20	21.01	-275.03	1.30	9.38	14941.00	101113.00	3.52
9	28740.10	-9141.96	-2773.60	19.70	-25039.70	1.30	7.66	14941.10	82543.70	2.87
9	28740.10	-9141.96	-2773.60	19.70	-25039.70	1.30	7.66	14941.10	82543.70	2.87
11	28722.50	-8126.82	1114.39	18.75	-22356.50	1.30	7.84	14941.20	84550.80	2.94
11	28722.50	-8126.82	1114.39	18.75	-22356.50	1.30	7.84	14941.20	84550.80	2.94
13	28759.50	-4575.11	-7099.33	20.76	-12966.40	1.30	8.50	14941.10	91601.30	3.19
13	28759.50	-4575.11	-7099.33	20.76	-12966.40	1.30	8.50	14941.10	91601.30	3.19
15	28758.70	354.45	-6919.10	20.72	65.35	1.30	9.40	14941.10	101272.00	3.52
15	28758.70	354.45	-6919.10	20.72	65.35	1.30	9.40	14941.10	101272.00	3.52

Verifiche di capacità portante per rottura generale in condizioni sismiche

Metodo utilizzato: Richards

Travata 4012

B=1.30 <m> L=9.40 <m> D=1.30 <m> $\gamma_r=600.00$ <daN/mc> $\phi'_r=24.00$ <grad> $c'_r=0.00$ <daN/mq>
 $\sigma_{v0,f}=2210.00$ <daN/mq>

Verifiche in condizioni drenate

$N_q=6.15$ $N_c=11.58$ $N_g=3.44$ $a_g/g=0.21$

CC	N	Tx	Ty	Mx	My	B'	L'	q_{lim}	R_d	Sic.
----	---	----	----	----	----	----	----	-----------	-------	------

Relazione di calcolo

	<daN>	<daN>	<daN>	<daNm>	<daNm>	<m>	<m>	<daN/mq>	<daN>	
1	27351.40	12420.90	2430.27	-51.09	-26992.20	1.30	7.43	14938.70	79892.20	2.92
1	27351.40	12420.90	2430.27	-51.09	-26992.20	1.30	7.43	14938.70	79892.20	2.92
3	27335.10	10545.00	-1402.20	-45.20	-22041.20	1.30	7.79	14939.10	83806.80	3.07
3	27335.10	10545.00	-1402.20	-45.20	-22041.20	1.30	7.79	14939.10	83806.80	3.07
5	27369.60	8772.07	6694.22	-57.64	-17337.60	1.30	8.13	14938.20	87461.20	3.20
5	27369.60	8772.07	6694.22	-57.64	-17337.60	1.30	8.13	14938.20	87461.20	3.20
7	27368.90	3768.60	6516.57	-57.36	-4111.13	1.30	9.10	14938.20	97856.30	3.58
7	27368.90	3768.60	6516.57	-57.36	-4111.13	1.30	9.10	14938.20	97856.30	3.58
9	27356.50	9909.92	-3185.68	-49.26	-33619.90	1.30	6.94	14938.80	74691.90	2.73
9	27356.50	9909.92	-3185.68	-49.26	-33619.90	1.30	6.94	14938.80	74691.90	2.73
11	27340.20	8034.00	646.79	-43.37	-28668.80	1.30	7.30	14939.30	78601.20	2.87
11	27340.20	8034.00	646.79	-43.37	-28668.80	1.30	7.30	14939.30	78601.20	2.87
13	27374.70	6261.11	-7449.63	-55.81	-23965.30	1.30	7.65	14938.30	82265.80	3.01
13	27374.70	6261.11	-7449.63	-55.81	-23965.30	1.30	7.65	14938.30	82265.80	3.01
15	27374.00	1257.64	-7271.98	-55.53	-10738.80	1.30	8.62	14938.40	92659.90	3.38
15	27374.00	1257.64	-7271.98	-55.53	-10738.80	1.30	8.62	14938.40	92659.90	3.38

Verifiche di capacità portante per rottura generale in condizioni sismiche

Metodo utilizzato: Richards

Travata 4013

B=1.30 <m> L=19.70 <m> D=1.30 <m> $\gamma_r=600.00$ <daN/mc> $\phi'_r=24.00$ <grad> $c'_r=0.00$ <daN/mq>
 $\sigma_{v0,f}=2210.00$ <daN/mq>

Verifiche in condizioni drenate

$N_q=6.15$ $N_c=11.58$ $N_g=3.44$ $a_g/g=0.21$

CC	N <daN>	Tx <daN>	Ty <daN>	Mx <daNm>	My <daNm>	B' <m>	L' <m>	q_{lim} <daN/mq>	R_d <daN>	Sic.
1	40772.10	33968.60	-2520.37	-142.70	-69565.40	1.29	16.29	14935.30	174742.00	4.29
1	40772.10	33968.60	-2520.37	-142.70	-69565.40	1.29	16.29	14935.30	174742.00	4.29
3	39637.90	27343.30	21.44	-75.06	-56512.30	1.30	16.85	14938.60	181250.00	4.57
3	39637.90	27343.30	21.44	-75.06	-56512.30	1.30	16.85	14938.60	181250.00	4.57
5	40191.10	24363.70	-5269.64	-208.70	-53416.60	1.29	17.04	14931.80	182313.00	4.54
5	40191.10	24363.70	-5269.64	-208.70	-53416.60	1.29	17.04	14931.80	182313.00	4.54
7	38559.00	9505.67	-5084.35	-197.64	-26521.80	1.29	18.32	14932.00	196055.00	5.08
7	38559.00	9505.67	-5084.35	-197.64	-26521.80	1.29	18.32	14932.00	196055.00	5.08
9	41667.10	-31159.00	-2409.58	-133.38	-86343.90	1.29	15.56	14936.00	166972.00	4.01
9	41667.10	-31159.00	-2409.58	-133.38	-86343.90	1.29	15.56	14936.00	166972.00	4.01
11	40532.90	-24533.70	132.23	-65.74	-73290.90	1.30	16.08	14939.20	173100.00	4.27
11	40532.90	-24533.70	132.23	-65.74	-73290.90	1.30	16.08	14939.20	173100.00	4.27
13	41086.20	-21554.10	-5158.85	-199.39	-70195.20	1.29	16.28	14932.50	174295.00	4.24
13	41086.20	-21554.10	-5158.85	-199.39	-70195.20	1.29	16.28	14932.50	174295.00	4.24
15	39454.10	-6696.05	-4973.56	-188.33	-43300.30	1.29	17.50	14932.70	187401.00	4.75
15	39454.10	-6696.05	-4973.56	-188.33	-43300.30	1.29	17.50	14932.70	187401.00	4.75

Verifiche di capacità portante per rottura generale in condizioni sismiche

Metodo utilizzato: Richards

Travata 4014

B=1.30 <m> L=9.40 <m> D=1.30 <m> $\gamma_r=600.00$ <daN/mc> $\phi'_r=24.00$ <grad> $c'_r=0.00$ <daN/mq>
 $\sigma_{v0,f}=2210.00$ <daN/mq>

Verifiche in condizioni drenate

$N_q=6.15$ $N_c=11.58$ $N_g=3.44$ $a_g/g=0.21$

CC	N <daN>	Tx <daN>	Ty <daN>	Mx <daNm>	My <daNm>	B' <m>	L' <m>	q_{lim} <daN/mq>	R_d <daN>	Sic.
1	19553.70	14738.10	-2377.45	-109.78	-31364.80	1.29	6.19	14931.00	66193.90	3.39
1	19553.70	14738.10	-2377.45	-109.78	-31364.80	1.29	6.19	14931.00	66193.90	3.39
3	18083.30	11979.70	-532.27	-72.72	-24227.60	1.29	6.72	14934.30	72037.30	3.98
3	18083.30	11979.70	-532.27	-72.72	-24227.60	1.29	6.72	14934.30	72037.30	3.98
5	21189.60	12029.60	-4430.37	-151.00	-24040.00	1.29	7.13	14927.90	76037.60	3.59
5	21189.60	12029.60	-4430.37	-151.00	-24040.00	1.29	7.13	14927.90	76037.60	3.59
7	21121.40	6949.77	-4344.84	-149.29	-10624.40	1.29	8.39	14928.00	89514.00	4.24
7	21121.40	6949.77	-4344.84	-149.29	-10624.40	1.29	8.39	14928.00	89514.00	4.24
9	20010.70	11108.60	-2951.02	-98.26	-40763.70	1.29	5.33	14932.40	57002.60	2.85
9	20010.70	11108.60	-2951.02	-98.26	-40763.70	1.29	5.33	14932.40	57002.60	2.85
11	18540.40	8350.26	-1105.84	-61.20	-33626.50	1.29	5.77	14935.70	61952.60	3.34
11	18540.40	8350.26	-1105.84	-61.20	-33626.50	1.29	5.77	14935.70	61952.60	3.34

Relazione di calcolo

13	21646.70	8400.14	-5003.94	-139.49	-33438.90	1.29	6.31	14929.30	67366.60	3.11
13	21646.70	8400.14	-5003.94	-139.49	-33438.90	1.29	6.31	14929.30	67366.60	3.11
15	21578.50	3320.29	-4918.40	-137.77	-20023.30	1.29	7.54	14929.40	80544.50	3.73
15	21578.50	3320.29	-4918.40	-137.77	-20023.30	1.29	7.54	14929.40	80544.50	3.73

Verifiche di capacità portante per rottura generale in condizioni sismiche

Metodo utilizzato: Richards

Travata 4019

B=1.30 <m> L=65.00 <m> D=1.30 <m> $\gamma_r=600.00$ <daN/mc> $\phi'_r=24.00$ <grad> $c'_r=0.00$ <daN/mq>
 $\sigma_{v0,f}=2210.00$ <daN/mq>

Verifiche in condizioni drenate

$N_q=6.15$ $N_c=11.58$ $N_g=3.44$ $a_g/g=0.21$

CC	N <daN>	Tx <daN>	Ty <daN>	Mx <daNm>	My <daNm>	B' <m>	L' <m>	Q_{lim} <daN/mq>	R_d <daN>	Sic.
1	161135.00	38914.00	35822.30	-3234.28	56035.50	1.26	64.30	14901.20	670672.00	4.16
1	161135.00	38914.00	35822.30	-3234.28	56035.50	1.26	64.30	14901.20	670672.00	4.16
3	160968.00	37930.10	-13937.50	-3190.66	24633.70	1.26	64.69	14901.70	675025.00	4.19
3	160968.00	37930.10	-13937.50	-3190.66	24633.70	1.26	64.69	14901.70	675025.00	4.19
5	161321.00	18236.70	91184.20	-1360.57	90972.70	1.28	63.87	14925.20	679563.00	4.21
5	161321.00	18236.70	91184.20	-1360.57	90972.70	1.28	63.87	14925.20	679563.00	4.21
7	161313.00	-470.58	88877.60	289.10	89517.00	1.30	63.89	14938.90	687421.00	4.26
7	161313.00	-470.58	88877.60	289.10	89517.00	1.30	63.89	14938.90	687421.00	4.26
9	161187.00	39502.50	-37093.70	-3251.57	46274.40	1.26	64.43	14901.00	671820.00	4.17
9	161187.00	39502.50	-37093.70	-3251.57	46274.40	1.26	64.43	14901.00	671820.00	4.17
11	161020.00	38518.60	12666.00	-3207.95	14872.60	1.26	64.82	14901.50	676173.00	4.20
11	161020.00	38518.60	12666.00	-3207.95	14872.60	1.26	64.82	14901.50	676173.00	4.20
13	161373.00	18825.20	-92455.70	-1377.85	81211.60	1.28	63.99	14924.90	680733.00	4.22
13	161373.00	18825.20	-92455.70	-1377.85	81211.60	1.28	63.99	14924.90	680733.00	4.22
15	161365.00	117.93	-90149.10	271.81	79755.90	1.30	64.01	14939.10	688852.00	4.27
15	161365.00	117.93	-90149.10	271.81	79755.90	1.30	64.01	14939.10	688852.00	4.27

Verifiche di capacità portante per rottura generale in condizioni sismiche

Metodo utilizzato: Richards

Travata 4023

B=1.30 <m> L=5.00 <m> D=1.30 <m> $\gamma_r=600.00$ <daN/mc> $\phi'_r=24.00$ <grad> $c'_r=0.00$ <daN/mq>
 $\sigma_{v0,f}=2210.00$ <daN/mq>

Verifiche in condizioni drenate

$N_q=6.15$ $N_c=11.58$ $N_g=3.44$ $a_g/g=0.21$

CC	N <daN>	Tx <daN>	Ty <daN>	Mx <daNm>	My <daNm>	B' <m>	L' <m>	Q_{lim} <daN/mq>	R_d <daN>	Sic.
1	12722.10	-3515.79	2433.09	216.31	1900.39	1.27	4.70	14907.50	49292.10	3.87
1	12722.10	-3515.79	2433.09	216.31	1900.39	1.27	4.70	14907.50	49292.10	3.87
3	11829.60	-2706.74	522.91	161.15	193.88	1.27	4.97	14914.50	52383.30	4.43
3	11829.60	-2706.74	522.91	161.15	193.88	1.27	4.97	14914.50	52383.30	4.43
5	12540.10	-2418.03	4021.06	229.19	3269.99	1.26	4.48	14904.90	46853.50	3.74
5	12540.10	-2418.03	4021.06	229.19	3269.99	1.26	4.48	14904.90	46853.50	3.74
7	11491.50	-668.05	3472.00	185.08	2737.41	1.27	4.52	14909.30	47502.30	4.13
7	11491.50	-668.05	3472.00	185.08	2737.41	1.27	4.52	14909.30	47502.30	4.13
9	13315.20	4234.42	2609.28	246.11	-2054.29	1.26	4.69	14904.40	49064.10	3.68
9	13315.20	4234.42	2609.28	246.11	-2054.29	1.26	4.69	14904.40	49064.10	3.68
11	12422.70	3425.37	699.10	190.96	-347.77	1.27	4.94	14910.90	51982.70	4.18
11	12422.70	3425.37	699.10	190.96	-347.77	1.27	4.94	14910.90	51982.70	4.18
13	13133.20	3136.66	4197.25	259.00	-3423.88	1.26	4.48	14901.90	46738.30	3.56
13	13133.20	3136.66	4197.25	259.00	-3423.88	1.26	4.48	14901.90	46738.30	3.56
15	12084.60	1386.67	3648.19	214.89	-2891.31	1.26	4.52	14905.90	47343.90	3.92
15	12084.60	1386.67	3648.19	214.89	-2891.31	1.26	4.52	14905.90	47343.90	3.92

Verifiche di capacità portante per rottura generale in condizioni sismiche

Metodo utilizzato: Richards

Travata 4025

B=1.30 <m> L=55.00 <m> D=1.30 <m> $\gamma_r=600.00$ <daN/mc> $\phi'_r=24.00$ <grad> $c'_r=0.00$ <daN/mq>

Relazione di calcolo

$\sigma_{v0,f}$ =2210.00 <daN/mq>

Verifiche in condizioni drenate

N_q =6.15 N_c =11.58 N_g =3.44 a_g/g =0.21

CC	N <daN>	Tx <daN>	Ty <daN>	Mx <daNm>	My <daNm>	B' <m>	L' <m>	Q _{lim} <daN/mq>	R _d <daN>	Sic.
1	127201.00	35531.90	-20310.60	-2340.52	-44897.90	1.26	54.29	14904.60	567901.00	4.46
1	127201.00	35531.90	-20310.60	-2340.52	-44897.90	1.26	54.29	14904.60	567901.00	4.46
3	127138.00	35032.90	14991.40	-2310.59	-36375.90	1.26	54.43	14905.10	569521.00	4.48
3	127138.00	35032.90	14991.40	-2310.59	-36375.90	1.26	54.43	14905.10	569521.00	4.48
5	126495.00	13734.60	-60096.50	-942.51	-52774.40	1.29	54.17	14927.20	577252.00	4.56
5	126495.00	13734.60	-60096.50	-942.51	-52774.40	1.29	54.17	14927.20	577252.00	4.56
7	125827.00	-5447.81	-58896.80	285.70	-51003.70	1.30	54.19	14937.90	582577.00	4.63
7	125827.00	-5447.81	-58896.80	285.70	-51003.70	1.30	54.19	14937.90	582577.00	4.63
9	127274.00	34644.60	20565.90	-2381.76	-32302.80	1.26	54.49	14904.00	569668.00	4.48
9	127274.00	34644.60	20565.90	-2381.76	-32302.80	1.26	54.49	14904.00	569668.00	4.48
11	127211.00	34145.70	-14736.00	-2351.84	-23780.80	1.26	54.63	14904.40	571288.00	4.49
11	127211.00	34145.70	-14736.00	-2351.84	-23780.80	1.26	54.63	14904.40	571288.00	4.49
13	126567.00	12847.30	60351.90	-983.76	-40179.30	1.28	54.37	14926.50	579062.00	4.58
13	126567.00	12847.30	60351.90	-983.76	-40179.30	1.28	54.37	14926.50	579062.00	4.58
15	125899.00	-6335.04	59152.10	244.46	-38408.60	1.30	54.39	14938.50	585057.00	4.65
15	125899.00	-6335.04	59152.10	244.46	-38408.60	1.30	54.39	14938.50	585057.00	4.65

Verifiche di capacità portante per rottura generale in condizioni sismiche

Metodo utilizzato: Richards

Travata 4031

B=1.30 <m> L=45.00 <m> D=1.30 <m> γ_r =600.00 <daN/mc> ϕ'_r =24.00 <grad> c'_r =0.00 <daN/mq>
 $\sigma_{v0,f}$ =2210.00 <daN/mq>

Verifiche in condizioni drenate

N_q =6.15 N_c =11.58 N_g =3.44 a_g/g =0.21

CC	N <daN>	Tx <daN>	Ty <daN>	Mx <daNm>	My <daNm>	B' <m>	L' <m>	Q _{lim} <daN/mq>	R _d <daN>	Sic.
1	105249.00	-37995.90	-20902.50	3303.79	-25019.40	1.24	44.52	14877.80	455317.00	4.33
1	105249.00	-37995.90	-20902.50	3303.79	-25019.40	1.24	44.52	14877.80	455317.00	4.33
3	105126.00	-37305.00	4305.22	3273.49	-9322.94	1.24	44.82	14878.30	458567.00	4.36
3	105126.00	-37305.00	4305.22	3273.49	-9322.94	1.24	44.82	14878.30	458567.00	4.36
5	105386.00	-22427.90	-48834.40	2006.74	-42412.10	1.26	44.20	14903.30	461758.00	4.38
5	105386.00	-22427.90	-48834.40	2006.74	-42412.10	1.26	44.20	14903.30	461758.00	4.38
7	105380.00	-8393.11	-47568.30	864.68	-41623.70	1.28	44.21	14925.60	470551.00	4.47
7	105380.00	-8393.11	-47568.30	864.68	-41623.70	1.28	44.21	14925.60	470551.00	4.47
9	105183.00	-37620.60	22051.30	3292.06	-16597.30	1.24	44.68	14878.00	457025.00	4.35
9	105183.00	-37620.60	22051.30	3292.06	-16597.30	1.24	44.68	14878.00	457025.00	4.35
11	105061.00	-36929.80	-3156.45	3261.75	-900.80	1.24	44.98	14878.50	460281.00	4.38
11	105061.00	-36929.80	-3156.45	3261.75	-900.80	1.24	44.98	14878.50	460281.00	4.38
13	105320.00	-22052.70	49983.20	1995.00	-33990.00	1.26	44.35	14903.50	463503.00	4.40
13	105320.00	-22052.70	49983.20	1995.00	-33990.00	1.26	44.35	14903.50	463503.00	4.40
15	105314.00	-8017.87	48717.00	852.95	-33201.50	1.28	44.37	14925.90	472334.00	4.49
15	105314.00	-8017.87	48717.00	852.95	-33201.50	1.28	44.37	14925.90	472334.00	4.49

Verifiche di capacità portante per rottura generale in condizioni sismiche

Metodo utilizzato: Richards

Travata 4035

B=1.30 <m> L=19.70 <m> D=1.30 <m> γ_r =600.00 <daN/mc> ϕ'_r =24.00 <grad> c'_r =0.00 <daN/mq>
 $\sigma_{v0,f}$ =2210.00 <daN/mq>

Verifiche in condizioni drenate

N_q =6.15 N_c =11.58 N_g =3.44 a_g/g =0.21

CC	N <daN>	Tx <daN>	Ty <daN>	Mx <daNm>	My <daNm>	B' <m>	L' <m>	Q _{lim} <daN/mq>	R _d <daN>	Sic.
1	40658.60	-28583.10	2324.74	102.06	-83500.90	1.29	15.59	14937.40	167565.00	4.12
1	40658.60	-28583.10	2324.74	102.06	-83500.90	1.29	15.59	14937.40	167565.00	4.12
3	39504.10	-21559.30	-211.62	33.65	-69696.30	1.30	16.17	14940.80	174270.00	4.41
3	39504.10	-21559.30	-211.62	33.65	-69696.30	1.30	16.17	14940.80	174270.00	4.41

Relazione di calcolo

5	40328.40	-20790.10	5039.20	169.39	-70863.20	1.29	16.19	14933.90	173444.00	4.30
5	40328.40	-20790.10	5039.20	169.39	-70863.20	1.29	16.19	14933.90	173444.00	4.30
7	38891.00	-7086.64	4829.52	158.69	-46226.30	1.29	17.32	14934.10	185667.00	4.77
7	38891.00	-7086.64	4829.52	158.69	-46226.30	1.29	17.32	14934.10	185667.00	4.77
9	39847.40	32788.10	2435.87	112.61	-67299.00	1.29	16.32	14936.70	175312.00	4.40
9	39847.40	32788.10	2435.87	112.61	-67299.00	1.29	16.32	14936.70	175312.00	4.40
11	38692.90	25764.40	-100.48	44.20	-53494.40	1.30	16.93	14940.20	182409.00	4.71
11	38692.90	25764.40	-100.48	44.20	-53494.40	1.30	16.93	14940.20	182409.00	4.71
13	39517.20	24995.10	5150.33	179.94	-54661.20	1.29	16.93	14933.20	181350.00	4.59
13	39517.20	24995.10	5150.33	179.94	-54661.20	1.29	16.93	14933.20	181350.00	4.59
15	38079.80	11291.70	4940.65	169.24	-30024.40	1.29	18.12	14933.40	194125.00	5.10
15	38079.80	11291.70	4940.65	169.24	-30024.40	1.29	18.12	14933.40	194125.00	5.10

Verifiche di capacità portante per rottura generale in condizioni sismiche

Metodo utilizzato: Richards

Travata 4037

B=1.30 <m> L=9.40 <m> D=1.30 <m> $\gamma_r=600.00$ <daN/mc> $\phi'_r=24.00$ <grad> $c'_r=0.00$ <daN/mq>
 $\sigma_{v0,f}=2210.00$ <daN/mq>

Verifiche in condizioni drenate

$N_q=6.15$ $N_c=11.58$ $N_g=3.44$ $a_g/g=0.21$

CC	N <daN>	Tx <daN>	Ty <daN>	Mx <daNm>	My <daNm>	B' <m>	L' <m>	q_{lim} <daN/mq>	R_d <daN>	Sic.
1	24938.80	10343.70	2552.92	97.98	-31259.10	1.29	6.89	14934.50	73900.00	2.96
1	24938.80	10343.70	2552.92	97.98	-31259.10	1.29	6.89	14934.50	73900.00	2.96
3	24879.90	8725.43	-685.37	94.78	-27239.20	1.29	7.21	14934.70	77316.20	3.11
3	24879.90	8725.43	-685.37	94.78	-27239.20	1.29	7.21	14934.70	77316.20	3.11
5	24968.50	6632.27	6201.28	96.46	-21848.70	1.29	7.65	14934.60	82022.10	3.29
5	24968.50	6632.27	6201.28	96.46	-21848.70	1.29	7.65	14934.60	82022.10	3.29
7	24935.00	1832.80	6090.15	91.96	-9762.67	1.29	8.62	14934.90	92418.10	3.71
7	24935.00	1832.80	6090.15	91.96	-9762.67	1.29	8.62	14934.90	92418.10	3.71
9	24967.00	12256.00	2691.03	94.46	-26583.20	1.29	7.27	14934.80	77965.10	3.12
9	24967.00	12256.00	2691.03	94.46	-26583.20	1.29	7.27	14934.80	77965.10	3.12
11	24908.10	10637.80	-547.26	91.27	-22563.30	1.29	7.59	14935.00	81388.70	3.27
11	24908.10	10637.80	-547.26	91.27	-22563.30	1.29	7.59	14935.00	81388.70	3.27
13	24996.70	8544.61	6339.39	92.94	-17172.80	1.29	8.03	14934.90	86075.70	3.44
13	24996.70	8544.61	6339.39	92.94	-17172.80	1.29	8.03	14934.90	86075.70	3.44
15	24963.20	3745.14	6228.26	88.45	-5086.79	1.29	8.99	14935.20	96469.00	3.86
15	24963.20	3745.14	6228.26	88.45	-5086.79	1.29	8.99	14935.20	96469.00	3.86

Verifiche di capacità portante per rottura generale in condizioni sismiche

Metodo utilizzato: Richards

Travata 4039

B=1.30 <m> L=9.40 <m> D=1.30 <m> $\gamma_r=600.00$ <daN/mc> $\phi'_r=24.00$ <grad> $c'_r=0.00$ <daN/mq>
 $\sigma_{v0,f}=2210.00$ <daN/mq>

Verifiche in condizioni drenate

$N_q=6.15$ $N_c=11.58$ $N_g=3.44$ $a_g/g=0.21$

CC	N <daN>	Tx <daN>	Ty <daN>	Mx <daNm>	My <daNm>	B' <m>	L' <m>	q_{lim} <daN/mq>	R_d <daN>	Sic.
1	27905.10	-8347.45	-2317.01	-38.51	-22946.60	1.30	7.76	14939.70	83501.30	2.99
1	27905.10	-8347.45	-2317.01	-38.51	-22946.60	1.30	7.76	14939.70	83501.30	2.99
3	27898.50	-7622.45	918.50	-38.22	-21043.30	1.30	7.89	14939.70	84967.60	3.05
3	27898.50	-7622.45	918.50	-38.22	-21043.30	1.30	7.89	14939.70	84967.60	3.05
5	27899.50	-3606.30	-5963.20	-38.20	-10434.40	1.30	8.65	14939.70	93156.80	3.34
5	27899.50	-3606.30	-5963.20	-38.20	-10434.40	1.30	8.65	14939.70	93156.80	3.34
7	27888.30	1182.54	-5853.00	-37.64	2193.55	1.30	9.24	14939.80	99520.10	3.57
7	27888.30	1182.54	-5853.00	-37.64	2193.55	1.30	9.24	14939.80	99520.10	3.57
9	27896.00	9109.14	-2151.74	-38.11	23062.50	1.30	7.75	14939.70	83407.90	2.99
9	27896.00	9109.14	-2151.74	-38.11	23062.50	1.30	7.75	14939.70	83407.90	2.99
11	27889.40	8384.14	1083.77	-37.82	21159.20	1.30	7.88	14939.80	84874.80	3.04
11	27889.40	8384.14	1083.77	-37.82	21159.20	1.30	7.88	14939.80	84874.80	3.04
13	27890.50	4367.99	-5797.93	-37.80	10550.40	1.30	8.64	14939.80	93066.80	3.34
13	27890.50	4367.99	-5797.93	-37.80	10550.40	1.30	8.64	14939.80	93066.80	3.34
15	27879.20	-420.85	-5687.73	-37.24	-2077.59	1.30	9.25	14939.80	99611.40	3.57
15	27879.20	-420.85	-5687.73	-37.24	-2077.59	1.30	9.25	14939.80	99611.40	3.57

Relazione di calcolo

Verifiche di capacità portante per rottura generale in condizioni sismiche

Metodo utilizzato: Richards

Travata 4041

B=1.30 <m> L=9.40 <m> D=1.30 <m> γ_x =600.00 <daN/mc> ϕ'_x =24.00 <grad> c'_x =0.00 <daN/mq>
 $\sigma_{v0,f}$ =2210.00 <daN/mq>

Verifiche in condizioni drenate

N_q =6.15 N_c =11.58 N_g =3.44 a_g/g =0.21

CC	N <daN>	T _x <daN>	T _y <daN>	M _x <daNm>	M _y <daNm>	B' <m>	L' <m>	q _{lim} <daN/mq>	R _d <daN>	Sic.
1	25354.30	10806.30	2140.21	31.94	-28373.10	1.30	7.16	14940.00	77126.60	3.04
1	25354.30	10806.30	2140.21	31.94	-28373.10	1.30	7.16	14940.00	77126.60	3.04
3	25352.60	10624.30	-1093.72	31.83	-27892.60	1.30	7.20	14940.00	77533.70	3.06
3	25352.60	10624.30	-1093.72	31.83	-27892.60	1.30	7.20	14940.00	77533.70	3.06
5	25355.60	5351.88	5785.05	31.96	-13959.00	1.30	8.30	14940.00	89371.70	3.52
5	25355.60	5351.88	5785.05	31.96	-13959.00	1.30	8.30	14940.00	89371.70	3.52
7	25354.90	494.64	5675.25	31.87	-1123.42	1.30	9.31	14940.00	100275.00	3.95
7	25354.90	494.64	5675.25	31.87	-1123.42	1.30	9.31	14940.00	100275.00	3.95
9	25355.00	10480.30	2304.74	32.01	-29234.00	1.30	7.09	14940.00	76395.60	3.01
9	25355.00	10480.30	2304.74	32.01	-29234.00	1.30	7.09	14940.00	76395.60	3.01
11	25353.20	10298.30	-929.19	31.90	-28753.50	1.30	7.13	14940.00	76802.60	3.03
11	25353.20	10298.30	-929.19	31.90	-28753.50	1.30	7.13	14940.00	76802.60	3.03
13	25356.30	5025.86	5949.58	32.03	-14819.90	1.30	8.23	14939.90	88640.30	3.50
13	25356.30	5025.86	5949.58	32.03	-14819.90	1.30	8.23	14939.90	88640.30	3.50
15	25355.60	168.62	5839.78	31.94	-1984.32	1.30	9.24	14940.00	99543.60	3.93
15	25355.60	168.62	5839.78	31.94	-1984.32	1.30	9.24	14940.00	99543.60	3.93

Verifiche di capacità portante per rottura generale in condizioni sismiche

Metodo utilizzato: Richards

Travata 4043

B=1.30 <m> L=9.40 <m> D=1.30 <m> γ_x =600.00 <daN/mc> ϕ'_x =24.00 <grad> c'_x =0.00 <daN/mq>
 $\sigma_{v0,f}$ =2210.00 <daN/mq>

Verifiche in condizioni drenate

N_q =6.15 N_c =11.58 N_g =3.44 a_g/g =0.21

CC	N <daN>	T _x <daN>	T _y <daN>	M _x <daNm>	M _y <daNm>	B' <m>	L' <m>	q _{lim} <daN/mq>	R _d <daN>	Sic.
1	28018.80	9747.99	-2301.89	-26.89	24721.70	1.30	7.64	14940.60	82267.00	2.94
1	28018.80	9747.99	-2301.89	-26.89	24721.70	1.30	7.64	14940.60	82267.00	2.94
3	27999.40	8729.48	938.56	-25.74	22053.00	1.30	7.82	14940.70	84313.40	3.01
3	27999.40	8729.48	938.56	-25.74	22053.00	1.30	7.82	14940.70	84313.40	3.01
5	28012.70	5174.44	-5953.93	-27.46	12677.30	1.30	8.49	14940.50	91524.90	3.27
5	28012.70	5174.44	-5953.93	-27.46	12677.30	1.30	8.49	14940.50	91524.90	3.27
7	27988.10	235.75	-5843.82	-26.80	-315.20	1.30	9.38	14940.60	101038.00	3.61
7	27988.10	235.75	-5843.82	-26.80	-315.20	1.30	9.38	14940.60	101038.00	3.61
9	28035.90	-9155.99	-2138.56	-26.47	-24979.30	1.30	7.62	14940.60	82082.70	2.93
9	28035.90	-9155.99	-2138.56	-26.47	-24979.30	1.30	7.62	14940.60	82082.70	2.93
11	28016.50	-8137.48	1101.88	-25.32	-22310.60	1.30	7.81	14940.70	84127.80	3.00
11	28016.50	-8137.48	1101.88	-25.32	-22310.60	1.30	7.81	14940.70	84127.80	3.00
13	28029.80	-4582.44	-5790.61	-27.04	-12934.90	1.30	8.48	14940.60	91335.30	3.26
13	28029.80	-4582.44	-5790.61	-27.04	-12934.90	1.30	8.48	14940.60	91335.30	3.26
15	28005.20	356.25	-5680.49	-26.38	57.60	1.30	9.40	14940.60	101239.00	3.62
15	28005.20	356.25	-5680.49	-26.38	57.60	1.30	9.40	14940.60	101239.00	3.62

Verifiche di capacità portante per rottura generale in condizioni sismiche

Metodo utilizzato: Richards

Travata 4045

B=1.30 <m> L=9.40 <m> D=1.30 <m> γ_x =600.00 <daN/mc> ϕ'_x =24.00 <grad> c'_x =0.00 <daN/mq>
 $\sigma_{v0,f}$ =2210.00 <daN/mq>

Verifiche in condizioni drenate

Relazione di calcolo

$N_q=6.15$ $N_c=11.58$ $N_g=3.44$ $a_g/g=0.21$

CC	N <daN>	T _x <daN>	T _y <daN>	M _x <daNm>	M _y <daNm>	B' <m>	L' <m>	Q _{lim} <daN/mq>	R _d <daN>	Sic.
1	23675.80	13135.10	-2656.07	-122.64	-26789.80	1.29	7.14	14931.90	76352.50	3.22
1	23675.80	13135.10	-2656.07	-122.64	-26789.80	1.29	7.14	14931.90	76352.50	3.22
3	23559.10	11195.00	470.65	-115.52	-22113.20	1.29	7.52	14932.40	80517.40	3.42
3	23559.10	11195.00	470.65	-115.52	-22113.20	1.29	7.52	14932.40	80517.40	3.42
5	23559.00	9358.66	-6140.04	-115.12	-17686.70	1.29	7.90	14932.50	84541.80	3.59
5	23559.00	9358.66	-6140.04	-115.12	-17686.70	1.29	7.90	14932.50	84541.80	3.59
7	23342.20	4181.68	-5999.57	-101.57	-5207.34	1.29	8.95	14933.60	95923.80	4.11
7	23342.20	4181.68	-5999.57	-101.57	-5207.34	1.29	8.95	14933.60	95923.80	4.11
9	23519.20	10520.80	-2551.52	-132.19	-32972.60	1.29	6.60	14931.00	70514.00	3.00
9	23519.20	10520.80	-2551.52	-132.19	-32972.60	1.29	6.60	14931.00	70514.00	3.00
11	23402.50	8580.78	575.21	-125.08	-28296.00	1.29	6.98	14931.50	74671.80	3.19
11	23402.50	8580.78	575.21	-125.08	-28296.00	1.29	6.98	14931.50	74671.80	3.19
13	23402.40	6744.40	-6035.48	-124.68	-23869.50	1.29	7.36	14931.60	78719.90	3.36
13	23402.40	6744.40	-6035.48	-124.68	-23869.50	1.29	7.36	14931.60	78719.90	3.36
15	23185.60	1567.41	-5895.01	-111.13	-11390.20	1.29	8.42	14932.70	90110.60	3.89
15	23185.60	1567.41	-5895.01	-111.13	-11390.20	1.29	8.42	14932.70	90110.60	3.89

Verifiche di capacità portante per rottura generale in condizioni sismiche

Metodo utilizzato: Richards

Travata 4056

$B=1.30$ <m> $L=5.00$ <m> $D=1.30$ <m> $\gamma_x=600.00$ <daN/mc> $\phi'_x=24.00$ <grad> $c'_x=0.00$ <daN/mq>
 $\sigma_{v0,f}=2210.00$ <daN/mq>

Verifiche in condizioni drenate

$N_q=6.15$ $N_c=11.58$ $N_g=3.44$ $a_g/g=0.21$

CC	N <daN>	T _x <daN>	T _y <daN>	M _x <daNm>	M _y <daNm>	B' <m>	L' <m>	Q _{lim} <daN/mq>	R _d <daN>	Sic.
1	13476.10	4400.04	-2691.93	249.37	2264.11	1.26	4.66	14904.40	48775.20	3.62
1	13476.10	4400.04	-2691.93	249.37	2264.11	1.26	4.66	14904.40	48775.20	3.62
3	12561.30	3636.85	-766.64	195.36	575.05	1.27	4.91	14910.50	51592.70	4.11
3	12561.30	3636.85	-766.64	195.36	575.05	1.27	4.91	14910.50	51592.70	4.11
5	13218.00	3090.80	-4296.39	254.14	3506.03	1.26	4.47	14902.90	46683.30	3.53
5	13218.00	3090.80	-4296.39	254.14	3506.03	1.26	4.47	14902.90	46683.30	3.53
7	12082.00	1205.39	-3746.35	204.23	2881.47	1.27	4.52	14907.70	47431.40	3.93
7	12082.00	1205.39	-3746.35	204.23	2881.47	1.27	4.52	14907.70	47431.40	3.93
9	12846.50	-3789.12	-2501.45	217.77	-1995.78	1.27	4.69	14907.60	49171.00	3.83
9	12846.50	-3789.12	-2501.45	217.77	-1995.78	1.27	4.69	14907.60	49171.00	3.83
11	11931.70	-3025.92	-576.17	163.77	-306.72	1.27	4.95	14914.30	52177.70	4.37
11	11931.70	-3025.92	-576.17	163.77	-306.72	1.27	4.95	14914.30	52177.70	4.37
13	12588.40	-2479.87	-4105.91	222.54	-3237.70	1.26	4.49	14906.10	46976.50	3.73
13	12588.40	-2479.87	-4105.91	222.54	-3237.70	1.26	4.49	14906.10	46976.50	3.73
15	11452.40	-594.47	-3555.87	172.63	-2613.14	1.27	4.54	14911.50	47797.70	4.17
15	11452.40	-594.47	-3555.87	172.63	-2613.14	1.27	4.54	14911.50	47797.70	4.17

Verifiche di capacità portante per rottura generale in condizioni sismiche

Metodo utilizzato: Richards

Travata 4070

$B=1.30$ <m> $L=9.40$ <m> $D=1.30$ <m> $\gamma_x=600.00$ <daN/mc> $\phi'_x=24.00$ <grad> $c'_x=0.00$ <daN/mq>
 $\sigma_{v0,f}=2210.00$ <daN/mq>

Verifiche in condizioni drenate

$N_q=6.15$ $N_c=11.58$ $N_g=3.44$ $a_g/g=0.21$

CC	N <daN>	T _x <daN>	T _y <daN>	M _x <daNm>	M _y <daNm>	B' <m>	L' <m>	Q _{lim} <daN/mq>	R _d <daN>	Sic.
1	25417.80	-14100.80	-2622.55	-48.57	37860.40	1.30	6.42	14938.60	69072.00	2.72
1	25417.80	-14100.80	-2622.55	-48.57	37860.40	1.30	6.42	14938.60	69072.00	2.72
3	25218.20	-12517.70	71.78	-32.32	33689.90	1.30	6.73	14939.90	72452.90	2.87
3	25218.20	-12517.70	71.78	-32.32	33689.90	1.30	6.73	14939.90	72452.90	2.87
5	25638.90	-10449.70	-5608.04	-66.57	28189.70	1.29	7.20	14937.20	77374.20	3.02
5	25638.90	-10449.70	-5608.04	-66.57	28189.70	1.29	7.20	14937.20	77374.20	3.02
7	25628.90	-5736.97	-5472.71	-65.76	15730.00	1.29	8.17	14937.30	87816.90	3.43
7	25628.90	-5736.97	-5472.71	-65.76	15730.00	1.29	8.17	14937.30	87816.90	3.43

Relazione di calcolo

9	25524.90	-12240.40	1968.57	-57.29	42759.90	1.30	6.05	14937.90	65040.30	2.55
9	25524.90	-12240.40	1968.57	-57.29	42759.90	1.30	6.05	14937.90	65040.30	2.55
11	25325.30	-10657.20	-725.76	-41.04	38589.40	1.30	6.35	14939.20	68369.00	2.70
11	25325.30	-10657.20	-725.76	-41.04	38589.40	1.30	6.35	14939.20	68369.00	2.70
13	25746.00	-8589.26	4954.06	-75.29	33089.20	1.29	6.83	14936.50	73342.50	2.85
13	25746.00	-8589.26	4954.06	-75.29	33089.20	1.29	6.83	14936.50	73342.50	2.85
15	25736.00	-3876.57	4818.73	-74.47	20629.50	1.29	7.80	14936.60	83734.20	3.25
15	25736.00	-3876.57	4818.73	-74.47	20629.50	1.29	7.80	14936.60	83734.20	3.25

Verifiche di capacità portante per rottura generale in condizioni sismiche

Metodo utilizzato: Richards

Travata 4072

B=1.30 <m> L=9.40 <m> D=1.30 <m> $\gamma_r=600.00$ <daN/mc> $\varphi'_r=24.00$ <grad> $c'_r=0.00$ <daN/mq>
 $\sigma_{v0,r}=2210.00$ <daN/mq>

Verifiche in condizioni drenate

$N_q=6.15$ $N_c=11.58$ $N_g=3.44$ $a_g/g=0.21$

CC	N <daN>	Tx <daN>	Ty <daN>	Mx <daNm>	My <daNm>	B' <m>	L' <m>	q_{lim} <daN/mq>	R_d <daN>	Sic.
1	24210.10	-13217.00	-2910.10	-44.87	38093.90	1.30	6.25	14938.70	67272.40	2.78
1	24210.10	-13217.00	-2910.10	-44.87	38093.90	1.30	6.25	14938.70	67272.40	2.78
3	24174.10	-12493.80	-46.48	-43.59	36182.80	1.30	6.41	14938.80	68928.80	2.85
3	24174.10	-12493.80	-46.48	-43.59	36182.80	1.30	6.41	14938.80	68928.80	2.85
5	24250.00	-8479.05	-6083.19	-46.29	25567.80	1.30	7.29	14938.60	78435.00	3.23
5	24250.00	-8479.05	-6083.19	-46.29	25567.80	1.30	7.29	14938.60	78435.00	3.23
7	24248.20	-3694.79	-5939.35	-46.22	12920.10	1.30	8.33	14938.60	89655.60	3.70
7	24248.20	-3694.79	-5939.35	-46.22	12920.10	1.30	8.33	14938.60	89655.60	3.70
9	24190.80	-12450.90	1969.49	-44.18	40118.10	1.30	6.08	14938.80	65447.90	2.71
9	24190.80	-12450.90	1969.49	-44.18	40118.10	1.30	6.08	14938.80	65447.90	2.71
11	24154.80	-11727.70	-894.14	-42.91	38207.00	1.30	6.24	14938.90	67102.90	2.78
11	24154.80	-11727.70	-894.14	-42.91	38207.00	1.30	6.24	14938.90	67102.90	2.78
13	24230.70	-7713.00	5142.57	-45.60	27592.00	1.30	7.12	14938.70	76623.00	3.16
13	24230.70	-7713.00	5142.57	-45.60	27592.00	1.30	7.12	14938.70	76623.00	3.16
15	24228.90	-2928.73	4998.73	-45.54	14944.30	1.30	8.17	14938.70	87852.90	3.63
15	24228.90	-2928.73	4998.73	-45.54	14944.30	1.30	8.17	14938.70	87852.90	3.63

Verifiche di capacità portante per rottura generale in condizioni sismiche

Metodo utilizzato: Richards

Travata 4074

B=1.30 <m> L=9.40 <m> D=1.30 <m> $\gamma_r=600.00$ <daN/mc> $\varphi'_r=24.00$ <grad> $c'_r=0.00$ <daN/mq>
 $\sigma_{v0,r}=2210.00$ <daN/mq>

Verifiche in condizioni drenate

$N_q=6.15$ $N_c=11.58$ $N_g=3.44$ $a_g/g=0.21$

CC	N <daN>	Tx <daN>	Ty <daN>	Mx <daNm>	My <daNm>	B' <m>	L' <m>	q_{lim} <daN/mq>	R_d <daN>	Sic.
1	21595.20	-10384.20	-1971.70	29.09	31650.40	1.30	6.47	14939.80	69652.20	3.23
1	21595.20	-10384.20	-1971.70	29.09	31650.40	1.30	6.47	14939.80	69652.20	3.23
3	21581.20	-10202.20	892.75	28.33	31169.70	1.30	6.51	14939.80	70115.40	3.25
3	21581.20	-10202.20	892.75	28.33	31169.70	1.30	6.51	14939.80	70115.40	3.25
5	21610.80	-4930.52	-5145.71	29.93	17232.80	1.30	7.81	14939.70	84036.60	3.89
5	21610.80	-4930.52	-5145.71	29.93	17232.80	1.30	7.81	14939.70	84036.60	3.89
7	21610.10	-74.00	-5001.83	29.89	4394.21	1.30	8.99	14939.70	96829.50	4.48
7	21610.10	-74.00	-5001.83	29.89	4394.21	1.30	8.99	14939.70	96829.50	4.48
9	21602.80	-10710.10	2909.31	29.50	30789.20	1.30	6.55	14939.70	70519.60	3.26
9	21602.80	-10710.10	2909.31	29.50	30789.20	1.30	6.55	14939.70	70519.60	3.26
11	21588.70	-10528.20	44.85	28.74	30308.50	1.30	6.59	14939.80	70983.20	3.29
11	21588.70	-10528.20	44.85	28.74	30308.50	1.30	6.59	14939.80	70983.20	3.29
13	21618.40	-5256.47	6083.31	30.34	16371.70	1.30	7.89	14939.70	84897.80	3.93
13	21618.40	-5256.47	6083.31	30.34	16371.70	1.30	7.89	14939.70	84897.80	3.93
15	21617.70	-399.95	5939.43	30.30	3533.02	1.30	9.07	14939.70	97685.90	4.52
15	21617.70	-399.95	5939.43	30.30	3533.02	1.30	9.07	14939.70	97685.90	4.52

Verifiche di capacità portante per rottura generale in condizioni sismiche

Metodo utilizzato: Richards

Relazione di calcolo

Travata 4076

B=1.30 <m> L=9.40 <m> D=1.30 <m> γ_r =600.00 <daN/mc> φ'_r =24.00 <grad> c'_r =0.00 <daN/mq>
 $\sigma_{v0,f}$ =2210.00 <daN/mq>

Verifiche in condizioni drenate

N_q =6.15 N_c =11.58 N_g =3.44 a_g/g =0.21

CC	N <daN>	Tx <daN>	Ty <daN>	Mx <daNm>	My <daNm>	B' <m>	L' <m>	q _{lim} <daN/mq>	R _d <daN>	Sic.
1	24943.50	-12592.70	-2104.75	31.17	41789.90	1.30	6.05	14940.00	65145.70	2.61
1	24943.50	-12592.70	-2104.75	31.17	41789.90	1.30	6.05	14940.00	65145.70	2.61
3	24931.70	-11576.50	717.85	26.82	39111.40	1.30	6.26	14940.30	67462.30	2.71
3	24931.70	-11576.50	717.85	26.82	39111.40	1.30	6.26	14940.30	67462.30	2.71
5	24956.50	-8027.03	-5232.39	36.00	29711.50	1.30	7.02	14939.60	75564.20	3.03
5	24956.50	-8027.03	-5232.39	36.00	29711.50	1.30	7.02	14939.60	75564.20	3.03
7	24955.90	-3097.36	-5090.61	35.78	16680.20	1.30	8.06	14939.60	86808.00	3.48
7	24955.90	-3097.36	-5090.61	35.78	16680.20	1.30	8.06	14939.60	86808.00	3.48
9	24937.20	-14011.90	2704.95	28.83	38048.50	1.30	6.35	14940.20	68378.70	2.74
9	24937.20	-14011.90	2704.95	28.83	38048.50	1.30	6.35	14940.20	68378.70	2.74
11	24925.40	-12995.60	-117.66	24.48	35370.10	1.30	6.56	14940.50	70698.80	2.84
11	24925.40	-12995.60	-117.66	24.48	35370.10	1.30	6.56	14940.50	70698.80	2.84
13	24950.20	-9446.19	5832.58	33.66	25970.10	1.30	7.32	14939.80	78798.80	3.16
13	24950.20	-9446.19	5832.58	33.66	25970.10	1.30	7.32	14939.80	78798.80	3.16
15	24949.60	-4516.53	5690.80	33.44	12938.80	1.30	8.36	14939.80	90047.40	3.61
15	24949.60	-4516.53	5690.80	33.44	12938.80	1.30	8.36	14939.80	90047.40	3.61

Verifiche di capacità portante per rottura generale in condizioni sismiche

Metodo utilizzato: Richards

Travata 4078

B=1.30 <m> L=9.40 <m> D=1.30 <m> γ_r =600.00 <daN/mc> φ'_r =24.00 <grad> c'_r =0.00 <daN/mq>
 $\sigma_{v0,f}$ =2210.00 <daN/mq>

Verifiche in condizioni drenate

N_q =6.15 N_c =11.58 N_g =3.44 a_g/g =0.21

CC	N <daN>	Tx <daN>	Ty <daN>	Mx <daNm>	My <daNm>	B' <m>	L' <m>	q _{lim} <daN/mq>	R _d <daN>	Sic.
1	30497.00	-12706.00	-2050.89	182.88	44759.60	1.29	6.46	14930.20	69064.80	2.26
1	30497.00	-12706.00	-2050.89	182.88	44759.60	1.29	6.46	14930.20	69064.80	2.26
3	29414.00	-10809.00	-691.87	155.58	39899.30	1.29	6.69	14931.60	71526.20	2.43
3	29414.00	-10809.00	-691.87	155.58	39899.30	1.29	6.69	14931.60	71526.20	2.43
5	31697.10	-9079.65	-3556.78	213.12	35008.30	1.29	7.19	14928.70	76730.90	2.42
5	31697.10	-9079.65	-3556.78	213.12	35008.30	1.29	7.19	14928.70	76730.90	2.42
7	31642.70	-4074.36	-3488.52	211.75	21789.70	1.29	8.02	14928.80	85610.00	2.71
7	31642.70	-4074.36	-3488.52	211.75	21789.70	1.29	8.02	14928.80	85610.00	2.71
9	29915.90	-15243.70	-1321.69	168.23	38247.00	1.29	6.84	14931.00	73153.20	2.45
9	29915.90	-15243.70	-1321.69	168.23	38247.00	1.29	6.84	14931.00	73153.20	2.45
11	28832.90	-13346.70	37.34	140.94	33386.70	1.29	7.08	14932.50	75824.70	2.63
11	28832.90	-13346.70	37.34	140.94	33386.70	1.29	7.08	14932.50	75824.70	2.63
13	31116.00	-11617.30	-2827.58	198.47	28495.70	1.29	7.57	14929.40	80804.50	2.60
13	31116.00	-11617.30	-2827.58	198.47	28495.70	1.29	7.57	14929.40	80804.50	2.60
15	31061.60	-6612.05	-2759.32	197.10	15277.00	1.29	8.42	14929.50	89862.40	2.89
15	31061.60	-6612.05	-2759.32	197.10	15277.00	1.29	8.42	14929.50	89862.40	2.89

Verifiche di capacità portante per rottura per punzonamento

Plinto n. 5

Verifiche in condizioni drenate

Verifiche rispettate $I_r(474.83) \geq I_{rcrit}(40.26)$

Verifiche in condizioni non drenate

Verifiche rispettate $I_r(178.57) \geq I_{rcrit}(8.64)$

Verifiche di capacità portante per rottura per punzonamento

Plinto n. 15

Relazione di calcolo

Verifiche in condizioni drenate

Verifiche rispettate $I_r(474.83) \geq I_{rcrit}(40.26)$

Verifiche in condizioni non drenate

Verifiche rispettate $I_r(178.57) \geq I_{rcrit}(8.64)$

Verifiche di capacità portante per rottura per punzonamento

Plinto n. 16

Verifiche in condizioni drenate

Verifiche rispettate $I_r(454.11) \geq I_{rcrit}(40.26)$

Verifiche in condizioni non drenate

Verifiche rispettate $I_r(178.57) \geq I_{rcrit}(8.64)$

Verifiche di capacità portante per rottura per punzonamento

Plinto n. 18

Verifiche in condizioni drenate

Verifiche rispettate $I_r(454.11) \geq I_{rcrit}(40.26)$

Verifiche in condizioni non drenate

Verifiche rispettate $I_r(178.57) \geq I_{rcrit}(8.64)$

Verifiche di capacità portante per rottura per punzonamento

Plinto n. 19

Verifiche in condizioni drenate

Verifiche rispettate $I_r(454.11) \geq I_{rcrit}(40.26)$

Verifiche in condizioni non drenate

Verifiche rispettate $I_r(178.57) \geq I_{rcrit}(8.64)$

Verifiche di capacità portante per rottura per punzonamento

Plinto n. 21

Verifiche in condizioni drenate

Verifiche rispettate $I_r(454.11) \geq I_{rcrit}(40.26)$

Verifiche in condizioni non drenate

Verifiche rispettate $I_r(178.57) \geq I_{rcrit}(8.64)$

Verifiche di capacità portante per rottura per punzonamento

Plinto n. 25

Verifiche in condizioni drenate

Verifiche rispettate $I_r(474.83) \geq I_{rcrit}(40.26)$

Verifiche in condizioni non drenate

Verifiche rispettate $I_r(178.57) \geq I_{rcrit}(8.64)$

Verifiche di capacità portante per rottura per punzonamento

Plinto n. 35

Verifiche in condizioni drenate

Verifiche rispettate $I_r(474.83) \geq I_{rcrit}(40.26)$

Verifiche in condizioni non drenate

Verifiche rispettate $I_r(178.57) \geq I_{rcrit}(8.64)$

Verifiche di capacità portante per rottura per punzonamento

Relazione di calcolo

Plinto n. 36

Verifiche in condizioni drenate

Verifiche rispettate $I_r(454.11) \geq I_{rcrit}(40.26)$

Verifiche in condizioni non drenate

Verifiche rispettate $I_r(178.57) \geq I_{rcrit}(8.64)$

Verifiche di capacità portante per rottura per punzonamento

Plinto n. 38

Verifiche in condizioni drenate

Verifiche rispettate $I_r(454.11) \geq I_{rcrit}(40.26)$

Verifiche in condizioni non drenate

Verifiche rispettate $I_r(178.57) \geq I_{rcrit}(8.64)$

Verifiche di capacità portante per rottura per punzonamento

Plinto n. 39

Verifiche in condizioni drenate

Verifiche rispettate $I_r(454.11) \geq I_{rcrit}(40.26)$

Verifiche in condizioni non drenate

Verifiche rispettate $I_r(178.57) \geq I_{rcrit}(8.64)$

Verifiche di capacità portante per rottura per punzonamento

Plinto n. 41

Verifiche in condizioni drenate

Verifiche rispettate $I_r(454.11) \geq I_{rcrit}(40.26)$

Verifiche in condizioni non drenate

Verifiche rispettate $I_r(178.57) \geq I_{rcrit}(8.64)$

Verifiche di capacità portante per rottura per punzonamento

Plinto n. 42

Verifiche in condizioni drenate

Verifiche rispettate $I_r(454.11) \geq I_{rcrit}(40.26)$

Verifiche in condizioni non drenate

Verifiche rispettate $I_r(178.57) \geq I_{rcrit}(8.64)$

Verifiche di capacità portante per rottura per punzonamento

Plinto n. 44

Verifiche in condizioni drenate

Verifiche rispettate $I_r(474.83) \geq I_{rcrit}(40.26)$

Verifiche in condizioni non drenate

Verifiche rispettate $I_r(178.57) \geq I_{rcrit}(8.64)$

Verifiche di capacità portante per rottura per punzonamento

Plinto n. 45

Verifiche in condizioni drenate

Verifiche rispettate $I_r(474.83) \geq I_{rcrit}(40.26)$

Verifiche in condizioni non drenate

Verifiche rispettate $I_r(178.57) \geq I_{rcrit}(8.64)$

Relazione di calcolo

Verifiche di capacità portante per rottura per punzonamento

Plinto n. 55

Verifiche in condizioni drenate

Verifiche rispettate $I_r(474.83) \geq I_{rcrit}(40.26)$

Verifiche in condizioni non drenate

Verifiche rispettate $I_r(178.57) \geq I_{rcrit}(8.64)$

Verifiche di capacità portante per rottura per punzonamento

Plinto n. 56

Verifiche in condizioni drenate

Verifiche rispettate $I_r(454.11) \geq I_{rcrit}(40.26)$

Verifiche in condizioni non drenate

Verifiche rispettate $I_r(178.57) \geq I_{rcrit}(8.64)$

Verifiche di capacità portante per rottura per punzonamento

Plinto n. 58

Verifiche in condizioni drenate

Verifiche rispettate $I_r(454.11) \geq I_{rcrit}(40.26)$

Verifiche in condizioni non drenate

Verifiche rispettate $I_r(178.57) \geq I_{rcrit}(8.64)$

Verifiche di capacità portante per rottura per punzonamento

Plinto n. 59

Verifiche in condizioni drenate

Verifiche rispettate $I_r(454.11) \geq I_{rcrit}(40.26)$

Verifiche in condizioni non drenate

Verifiche rispettate $I_r(178.57) \geq I_{rcrit}(8.64)$

Verifiche di capacità portante per rottura per punzonamento

Plinto n. 61

Verifiche in condizioni drenate

Verifiche rispettate $I_r(454.11) \geq I_{rcrit}(40.26)$

Verifiche in condizioni non drenate

Verifiche rispettate $I_r(178.57) \geq I_{rcrit}(8.64)$

Verifiche di capacità portante per rottura per punzonamento

Plinto n. 62

Verifiche in condizioni drenate

Verifiche rispettate $I_r(454.11) \geq I_{rcrit}(40.26)$

Verifiche in condizioni non drenate

Verifiche rispettate $I_r(178.57) \geq I_{rcrit}(8.64)$

Verifiche di capacità portante per rottura per punzonamento

Plinto n. 64

Verifiche in condizioni drenate

Verifiche rispettate $I_r(474.83) \geq I_{rcrit}(40.26)$

Verifiche in condizioni non drenate

Relazione di calcolo

Verifiche rispettate $I_r(178.57) \geq I_{rcrit}(8.64)$

Verifiche di capacità portante per rottura per punzonamento

Plinto n. 65

Verifiche in condizioni drenate

Verifiche rispettate $I_r(474.83) \geq I_{rcrit}(40.26)$

Verifiche in condizioni non drenate

Verifiche rispettate $I_r(178.57) \geq I_{rcrit}(8.64)$

Verifiche di capacità portante per rottura per punzonamento

Plinto n. 75

Verifiche in condizioni drenate

Verifiche rispettate $I_r(474.83) \geq I_{rcrit}(40.26)$

Verifiche in condizioni non drenate

Verifiche rispettate $I_r(178.57) \geq I_{rcrit}(8.64)$

Verifiche di capacità portante per rottura per punzonamento

Plinto n. 76

Verifiche in condizioni drenate

Verifiche rispettate $I_r(454.11) \geq I_{rcrit}(40.26)$

Verifiche in condizioni non drenate

Verifiche rispettate $I_r(178.57) \geq I_{rcrit}(8.64)$

Verifiche di capacità portante per rottura per punzonamento

Plinto n. 78

Verifiche in condizioni drenate

Verifiche rispettate $I_r(454.11) \geq I_{rcrit}(40.26)$

Verifiche in condizioni non drenate

Verifiche rispettate $I_r(178.57) \geq I_{rcrit}(8.64)$

Verifiche di capacità portante per rottura per punzonamento

Plinto n. 79

Verifiche in condizioni drenate

Verifiche rispettate $I_r(454.11) \geq I_{rcrit}(40.26)$

Verifiche in condizioni non drenate

Verifiche rispettate $I_r(178.57) \geq I_{rcrit}(8.64)$

Verifiche di capacità portante per rottura per punzonamento

Plinto n. 81

Verifiche in condizioni drenate

Verifiche rispettate $I_r(454.11) \geq I_{rcrit}(40.26)$

Verifiche in condizioni non drenate

Verifiche rispettate $I_r(178.57) \geq I_{rcrit}(8.64)$

Verifiche di capacità portante per rottura per punzonamento

Plinto n. 82

Verifiche in condizioni drenate

Verifiche rispettate $I_r(454.11) \geq I_{rcrit}(40.26)$

Relazione di calcolo

Verifiche in condizioni non drenate

Verifiche rispettate $I_r(178.57) \geq I_{rcrit}(8.64)$

Verifiche di capacità portante per rottura per punzonamento

Plinto n. 84

Verifiche in condizioni drenate

Verifiche rispettate $I_r(474.83) \geq I_{rcrit}(40.26)$

Verifiche in condizioni non drenate

Verifiche rispettate $I_r(178.57) \geq I_{rcrit}(8.64)$

Verifiche di capacità portante per rottura per punzonamento

Plinto n. 85

Verifiche in condizioni drenate

Verifiche rispettate $I_r(474.83) \geq I_{rcrit}(40.26)$

Verifiche in condizioni non drenate

Verifiche rispettate $I_r(178.57) \geq I_{rcrit}(8.64)$

Verifiche di capacità portante per rottura per punzonamento

Plinto n. 95

Verifiche in condizioni drenate

Verifiche rispettate $I_r(474.83) \geq I_{rcrit}(40.26)$

Verifiche in condizioni non drenate

Verifiche rispettate $I_r(178.57) \geq I_{rcrit}(8.64)$

Verifiche di capacità portante per rottura per punzonamento

Plinto n. 96

Verifiche in condizioni drenate

Verifiche rispettate $I_r(454.11) \geq I_{rcrit}(40.26)$

Verifiche in condizioni non drenate

Verifiche rispettate $I_r(178.57) \geq I_{rcrit}(8.64)$

Verifiche di capacità portante per rottura per punzonamento

Plinto n. 98

Verifiche in condizioni drenate

Verifiche rispettate $I_r(454.11) \geq I_{rcrit}(40.26)$

Verifiche in condizioni non drenate

Verifiche rispettate $I_r(178.57) \geq I_{rcrit}(8.64)$

Verifiche di capacità portante per rottura per punzonamento

Plinto n. 99

Verifiche in condizioni drenate

Verifiche rispettate $I_r(454.11) \geq I_{rcrit}(40.26)$

Verifiche in condizioni non drenate

Verifiche rispettate $I_r(178.57) \geq I_{rcrit}(8.64)$

Verifiche di capacità portante per rottura per punzonamento

Plinto n. 101

Verifiche in condizioni drenate

Relazione di calcolo

Verifiche rispettate $I_r(454.11) \geq I_{rcrit}(40.26)$

Verifiche in condizioni non drenate

Verifiche rispettate $I_r(178.57) \geq I_{rcrit}(8.64)$

Verifiche di capacità portante per rottura per punzonamento

Plinto n. 102

Verifiche in condizioni drenate

Verifiche rispettate $I_r(454.11) \geq I_{rcrit}(40.26)$

Verifiche in condizioni non drenate

Verifiche rispettate $I_r(178.57) \geq I_{rcrit}(8.64)$

Verifiche di capacità portante per rottura per punzonamento

Plinto n. 104

Verifiche in condizioni drenate

Verifiche rispettate $I_r(474.83) \geq I_{rcrit}(40.26)$

Verifiche in condizioni non drenate

Verifiche rispettate $I_r(178.57) \geq I_{rcrit}(8.64)$

Verifiche di capacità portante per rottura per punzonamento

Plinto n. 105

Verifiche in condizioni drenate

Verifiche rispettate $I_r(474.83) \geq I_{rcrit}(40.26)$

Verifiche in condizioni non drenate

Verifiche rispettate $I_r(178.57) \geq I_{rcrit}(8.64)$

Verifiche di capacità portante per rottura per punzonamento

Plinto n. 115

Verifiche in condizioni drenate

Verifiche rispettate $I_r(454.11) \geq I_{rcrit}(40.26)$

Verifiche in condizioni non drenate

Verifiche rispettate $I_r(178.57) \geq I_{rcrit}(8.64)$

Verifiche di capacità portante per rottura per punzonamento

Plinto n. 117

Verifiche in condizioni drenate

Verifiche rispettate $I_r(454.11) \geq I_{rcrit}(40.26)$

Verifiche in condizioni non drenate

Verifiche rispettate $I_r(178.57) \geq I_{rcrit}(8.64)$

Verifiche di capacità portante per rottura per punzonamento

Plinto n. 14

Verifiche in condizioni drenate

Verifiche rispettate $I_r(474.83) \geq I_{rcrit}(40.26)$

Verifiche in condizioni non drenate

Verifiche rispettate $I_r(178.57) \geq I_{rcrit}(8.64)$

Verifiche di capacità portante per rottura per punzonamento

Plinto n. 123

Relazione di calcolo

Verifiche in condizioni drenate

Verifiche rispettate $I_r(474.83) \geq I_{rcrit}(40.26)$

Verifiche in condizioni non drenate

Verifiche rispettate $I_r(178.57) \geq I_{rcrit}(8.64)$

Verifiche di capacità portante per rottura per punzonamento

Travata 4001

Verifiche in condizioni drenate

Verifiche rispettate $I_r(480.31) \geq I_{rcrit}(73.15)$

Verifiche in condizioni non drenate

Verifiche rispettate $I_r(178.57) \geq I_{rcrit}(12.74)$

Verifiche di capacità portante per rottura per punzonamento

Travata 4002

Verifiche in condizioni drenate

Verifiche rispettate $I_r(480.31) \geq I_{rcrit}(73.15)$

Verifiche in condizioni non drenate

Verifiche rispettate $I_r(178.57) \geq I_{rcrit}(12.74)$

Verifiche di capacità portante per rottura per punzonamento

Travata 4003

Verifiche in condizioni drenate

Verifiche rispettate $I_r(480.31) \geq I_{rcrit}(73.15)$

Verifiche in condizioni non drenate

Verifiche rispettate $I_r(178.57) \geq I_{rcrit}(12.74)$

Verifiche di capacità portante per rottura per punzonamento

Travata 4004

Verifiche in condizioni drenate

Verifiche rispettate $I_r(480.31) \geq I_{rcrit}(73.15)$

Verifiche in condizioni non drenate

Verifiche rispettate $I_r(178.57) \geq I_{rcrit}(12.74)$

Verifiche di capacità portante per rottura per punzonamento

Travata 4006

Verifiche in condizioni drenate

Verifiche rispettate $I_r(480.31) \geq I_{rcrit}(73.15)$

Verifiche in condizioni non drenate

Verifiche rispettate $I_r(178.57) \geq I_{rcrit}(12.74)$

Verifiche di capacità portante per rottura per punzonamento

Travata 4008

Verifiche in condizioni drenate

Verifiche rispettate $I_r(480.31) \geq I_{rcrit}(73.15)$

Verifiche in condizioni non drenate

Verifiche rispettate $I_r(178.57) \geq I_{rcrit}(12.74)$

Verifiche di capacità portante per rottura per punzonamento

Relazione di calcolo

Travata 4010

Verifiche in condizioni drenate

Verifiche rispettate $I_r(480.31) \geq I_{rcrit}(73.15)$

Verifiche in condizioni non drenate

Verifiche rispettate $I_r(178.57) \geq I_{rcrit}(12.74)$

Verifiche di capacità portante per rottura per punzonamento

Travata 4012

Verifiche in condizioni drenate

Verifiche rispettate $I_r(480.31) \geq I_{rcrit}(73.15)$

Verifiche in condizioni non drenate

Verifiche rispettate $I_r(178.57) \geq I_{rcrit}(12.74)$

Verifiche di capacità portante per rottura per punzonamento

Travata 4013

Verifiche in condizioni drenate

Verifiche rispettate $I_r(480.31) \geq I_{rcrit}(76.91)$

Verifiche in condizioni non drenate

Verifiche rispettate $I_r(178.57) \geq I_{rcrit}(13.16)$

Verifiche di capacità portante per rottura per punzonamento

Travata 4014

Verifiche in condizioni drenate

Verifiche rispettate $I_r(480.31) \geq I_{rcrit}(73.15)$

Verifiche in condizioni non drenate

Verifiche rispettate $I_r(178.57) \geq I_{rcrit}(12.74)$

Verifiche di capacità portante per rottura per punzonamento

Travata 4019

Verifiche in condizioni drenate

Verifiche rispettate $I_r(480.31) \geq I_{rcrit}(79.40)$

Verifiche in condizioni non drenate

Verifiche rispettate $I_r(178.57) \geq I_{rcrit}(13.43)$

Verifiche di capacità portante per rottura per punzonamento

Travata 4023

Verifiche in condizioni drenate

Verifiche rispettate $I_r(480.31) \geq I_{rcrit}(67.24)$

Verifiche in condizioni non drenate

Verifiche rispettate $I_r(178.57) \geq I_{rcrit}(12.06)$

Verifiche di capacità portante per rottura per punzonamento

Travata 4025

Verifiche in condizioni drenate

Verifiche rispettate $I_r(480.31) \geq I_{rcrit}(79.20)$

Verifiche in condizioni non drenate

Verifiche rispettate $I_r(178.57) \geq I_{rcrit}(13.41)$

Relazione di calcolo

Verifiche di capacità portante per rottura per punzonamento

Travata 4031

Verifiche in condizioni drenate

Verifiche rispettate $I_r(480.31) \geq I_{rcrit}(78.92)$

Verifiche in condizioni non drenate

Verifiche rispettate $I_r(178.57) \geq I_{rcrit}(13.38)$

Verifiche di capacità portante per rottura per punzonamento

Travata 4035

Verifiche in condizioni drenate

Verifiche rispettate $I_r(480.31) \geq I_{rcrit}(76.91)$

Verifiche in condizioni non drenate

Verifiche rispettate $I_r(178.57) \geq I_{rcrit}(13.16)$

Verifiche di capacità portante per rottura per punzonamento

Travata 4037

Verifiche in condizioni drenate

Verifiche rispettate $I_r(480.31) \geq I_{rcrit}(73.15)$

Verifiche in condizioni non drenate

Verifiche rispettate $I_r(178.57) \geq I_{rcrit}(12.74)$

Verifiche di capacità portante per rottura per punzonamento

Travata 4039

Verifiche in condizioni drenate

Verifiche rispettate $I_r(480.31) \geq I_{rcrit}(73.15)$

Verifiche in condizioni non drenate

Verifiche rispettate $I_r(178.57) \geq I_{rcrit}(12.74)$

Verifiche di capacità portante per rottura per punzonamento

Travata 4041

Verifiche in condizioni drenate

Verifiche rispettate $I_r(480.31) \geq I_{rcrit}(73.15)$

Verifiche in condizioni non drenate

Verifiche rispettate $I_r(178.57) \geq I_{rcrit}(12.74)$

Verifiche di capacità portante per rottura per punzonamento

Travata 4043

Verifiche in condizioni drenate

Verifiche rispettate $I_r(480.31) \geq I_{rcrit}(73.15)$

Verifiche in condizioni non drenate

Verifiche rispettate $I_r(178.57) \geq I_{rcrit}(12.74)$

Verifiche di capacità portante per rottura per punzonamento

Travata 4045

Verifiche in condizioni drenate

Verifiche rispettate $I_r(480.31) \geq I_{rcrit}(73.15)$

Verifiche in condizioni non drenate

Relazione di calcolo

Verifiche rispettate $I_r(178.57) \geq I_{rcrit}(12.74)$

Verifiche di capacità portante per rottura per punzonamento

Travata 4056

Verifiche in condizioni drenate

Verifiche rispettate $I_r(480.31) \geq I_{rcrit}(67.24)$

Verifiche in condizioni non drenate

Verifiche rispettate $I_r(178.57) \geq I_{rcrit}(12.06)$

Verifiche di capacità portante per rottura per punzonamento

Travata 4070

Verifiche in condizioni drenate

Verifiche rispettate $I_r(480.31) \geq I_{rcrit}(73.15)$

Verifiche in condizioni non drenate

Verifiche rispettate $I_r(178.57) \geq I_{rcrit}(12.74)$

Verifiche di capacità portante per rottura per punzonamento

Travata 4072

Verifiche in condizioni drenate

Verifiche rispettate $I_r(480.31) \geq I_{rcrit}(73.15)$

Verifiche in condizioni non drenate

Verifiche rispettate $I_r(178.57) \geq I_{rcrit}(12.74)$

Verifiche di capacità portante per rottura per punzonamento

Travata 4074

Verifiche in condizioni drenate

Verifiche rispettate $I_r(480.31) \geq I_{rcrit}(73.15)$

Verifiche in condizioni non drenate

Verifiche rispettate $I_r(178.57) \geq I_{rcrit}(12.74)$

Verifiche di capacità portante per rottura per punzonamento

Travata 4076

Verifiche in condizioni drenate

Verifiche rispettate $I_r(480.31) \geq I_{rcrit}(73.15)$

Verifiche in condizioni non drenate

Verifiche rispettate $I_r(178.57) \geq I_{rcrit}(12.74)$

Verifiche di capacità portante per rottura per punzonamento

Travata 4078

Verifiche in condizioni drenate

Verifiche rispettate $I_r(480.31) \geq I_{rcrit}(73.15)$

Verifiche in condizioni non drenate

Verifiche rispettate $I_r(178.57) \geq I_{rcrit}(12.74)$

Cedimenti

Metodo utilizzato: Terzaghi (1955)

Simbologia

B = Base della fondazione

Relazione di calcolo

L

=Lunghezza della fondazione (L>B)

k₁

=Costante di sottofondo standardizzata

k_w

=Costante di sottofondo

CC

=Numero della combinazione delle condizioni di carico elementari

N

=Sforzo normale

q_{es}

=Pressione di esercizio

Ced

=Cedimento calcolato

Plinto n. 5

B=1.40 <m> L=1.40 <m> k₁=5000000.00 <daN/mc> k_w=1843110.00 <daN/mc>

CC	N <daN>	q _{es} <daN/mq>	Ced <cm>
1	8938.40	4560.41	0.25
1	8437.63	4304.92	0.23
2	8437.63	4304.92	0.23
3	8938.40	4560.41	0.25
3	8437.63	4304.92	0.23
4	8437.63	4304.92	0.23
5	8938.40	4560.41	0.25
5	8437.63	4304.92	0.23
6	8437.63	4304.92	0.23
7	8938.40	4560.41	0.25
7	8437.63	4304.92	0.23
8	8437.63	4304.92	0.23
9	8938.40	4560.41	0.25
9	8437.63	4304.92	0.23
10	8437.63	4304.92	0.23
11	8938.40	4560.41	0.25
11	8437.63	4304.92	0.23
12	8437.63	4304.92	0.23
13	8938.40	4560.41	0.25
13	8437.63	4304.92	0.23
14	8437.63	4304.92	0.23
15	8938.40	4560.41	0.25
15	8437.63	4304.92	0.23
16	8437.63	4304.92	0.23
17	12067.10	6156.70	0.33
18	12067.10	6156.70	0.33
19	11804.60	6022.77	0.33
20	11804.60	6022.77	0.33
21	11804.60	6022.77	0.33
22	9487.63	4840.63	0.26
23	9312.63	4751.34	0.26
24	8682.63	4429.92	0.24
25	8612.63	4394.20	0.24
26	8437.63	4304.92	0.23

Plinto n. 15

B=1.40 <m> L=1.40 <m> k₁=5000000.00 <daN/mc> k_w=1843110.00 <daN/mc>

CC	N <daN>	q _{es} <daN/mq>	Ced <cm>
1	12742.00	6501.04	0.35
1	11895.50	6069.13	0.33
2	11895.50	6069.13	0.33
3	12742.00	6501.04	0.35
3	11895.50	6069.13	0.33
4	11895.50	6069.13	0.33
5	12742.00	6501.04	0.35
5	11895.50	6069.13	0.33
6	11895.50	6069.13	0.33
7	12742.00	6501.04	0.35
7	11895.50	6069.13	0.33
8	11895.50	6069.13	0.33
9	12742.00	6501.04	0.35
9	11895.50	6069.13	0.33
10	11895.50	6069.13	0.33
11	12742.00	6501.04	0.35
11	11895.50	6069.13	0.33
12	11895.50	6069.13	0.33
13	12742.00	6501.04	0.35
13	11895.50	6069.13	0.33
14	11895.50	6069.13	0.33
15	12742.00	6501.04	0.35
15	11895.50	6069.13	0.33
16	11895.50	6069.13	0.33
17	18465.50	9421.20	0.51
18	18465.50	9421.20	0.51
19	17940.50	9153.34	0.50

Relazione di calcolo

20	17940.50	9153.34	0.50
21	17940.50	9153.34	0.50
22	13995.50	7140.56	0.39
23	13645.50	6961.99	0.38
24	12385.50	6319.13	0.34
25	12245.50	6247.70	0.34
26	11895.50	6069.13	0.33

Plinto n. 16

B=1.80 <m> L=1.80 <m> k₁=5000000.00 <daN/mc> kw=1701390.00 <daN/mc>

CC	N <daN>	q _{es} <daN/mq>	Ced <cm>
1	19405.70	5989.42	0.35
1	18098.80	5586.06	0.33
2	18098.80	5586.06	0.33
3	19405.70	5989.42	0.35
3	18098.80	5586.06	0.33
4	18098.80	5586.06	0.33
5	19405.70	5989.42	0.35
5	18098.80	5586.06	0.33
6	18098.80	5586.06	0.33
7	19405.70	5989.42	0.35
7	18098.80	5586.06	0.33
8	18098.80	5586.06	0.33
9	19405.70	5989.42	0.35
9	18098.80	5586.06	0.33
10	18098.80	5586.06	0.33
11	19405.70	5989.42	0.35
11	18098.80	5586.06	0.33
12	18098.80	5586.06	0.33
13	19405.70	5989.42	0.35
13	18098.80	5586.06	0.33
14	18098.80	5586.06	0.33
15	19405.70	5989.42	0.35
15	18098.80	5586.06	0.33
16	18098.80	5586.06	0.33
17	29064.70	8970.58	0.53
18	29064.70	8970.58	0.53
19	28099.10	8672.55	0.51
20	28099.10	8672.55	0.51
21	28099.10	8672.55	0.51
22	21961.30	6778.19	0.40
23	21317.60	6579.50	0.39
24	19000.10	5864.23	0.34
25	18742.60	5784.75	0.34
26	18098.80	5586.06	0.33

Plinto n. 18

B=1.80 <m> L=1.80 <m> k₁=5000000.00 <daN/mc> kw=1701390.00 <daN/mc>

CC	N <daN>	q _{es} <daN/mq>	Ced <cm>
1	19405.70	5989.42	0.35
1	18098.80	5586.06	0.33
2	18098.80	5586.06	0.33
3	19405.70	5989.42	0.35
3	18098.80	5586.06	0.33
4	18098.80	5586.06	0.33
5	19405.70	5989.42	0.35
5	18098.80	5586.06	0.33
6	18098.80	5586.06	0.33
7	19405.70	5989.42	0.35
7	18098.80	5586.06	0.33
8	18098.80	5586.06	0.33
9	19405.70	5989.42	0.35
9	18098.80	5586.06	0.33
10	18098.80	5586.06	0.33
11	19405.70	5989.42	0.35
11	18098.80	5586.06	0.33
12	18098.80	5586.06	0.33
13	19405.70	5989.42	0.35
13	18098.80	5586.06	0.33
14	18098.80	5586.06	0.33
15	19405.70	5989.42	0.35
15	18098.80	5586.06	0.33
16	18098.80	5586.06	0.33
17	29064.70	8970.58	0.53
18	29064.70	8970.58	0.53
19	28099.10	8672.55	0.51

Relazione di calcolo

20	28099.10	8672.55	0.51
21	28099.10	8672.55	0.51
22	21961.30	6778.19	0.40
23	21317.60	6579.50	0.39
24	19000.10	5864.23	0.34
25	18742.60	5784.75	0.34
26	18098.80	5586.06	0.33

Plinto n. 19

B=1.80 <m> L=1.80 <m> k₁=5000000.00 <daN/mc> kw=1701390.00 <daN/mc>

CC	N <daN>	q _{es} <daN/mq>	Ced <cm>
1	16284.30	5026.03	0.30
1	15261.20	4710.25	0.28
2	15261.20	4710.25	0.28
3	16284.30	5026.03	0.30
3	15261.20	4710.25	0.28
4	15261.20	4710.25	0.28
5	16284.30	5026.03	0.30
5	15261.20	4710.25	0.28
6	15261.20	4710.25	0.28
7	16284.30	5026.03	0.30
7	15261.20	4710.25	0.28
8	15261.20	4710.25	0.28
9	16284.30	5026.03	0.30
9	15261.20	4710.25	0.28
10	15261.20	4710.25	0.28
11	16284.30	5026.03	0.30
11	15261.20	4710.25	0.28
12	15261.20	4710.25	0.28
13	16284.30	5026.03	0.30
13	15261.20	4710.25	0.28
14	15261.20	4710.25	0.28
15	16284.30	5026.03	0.30
15	15261.20	4710.25	0.28
16	15261.20	4710.25	0.28
17	23768.40	7335.92	0.43
18	23768.40	7335.92	0.43
19	23023.10	7105.88	0.42
20	23023.10	7105.88	0.42
21	23023.10	7105.88	0.42
22	18242.50	5630.39	0.33
23	17745.60	5477.03	0.32
24	15956.80	4924.95	0.29
25	15758.10	4863.61	0.29
26	15261.20	4710.25	0.28

Plinto n. 21

B=1.80 <m> L=1.80 <m> k₁=5000000.00 <daN/mc> kw=1701390.00 <daN/mc>

CC	N <daN>	q _{es} <daN/mq>	Ced <cm>
1	19405.70	5989.42	0.35
1	18098.80	5586.06	0.33
2	18098.80	5586.06	0.33
3	19405.70	5989.42	0.35
3	18098.80	5586.06	0.33
4	18098.80	5586.06	0.33
5	19405.70	5989.42	0.35
5	18098.80	5586.06	0.33
6	18098.80	5586.06	0.33
7	19405.70	5989.42	0.35
7	18098.80	5586.06	0.33
8	18098.80	5586.06	0.33
9	19405.70	5989.42	0.35
9	18098.80	5586.06	0.33
10	18098.80	5586.06	0.33
11	19405.70	5989.42	0.35
11	18098.80	5586.06	0.33
12	18098.80	5586.06	0.33
13	19405.70	5989.42	0.35
13	18098.80	5586.06	0.33
14	18098.80	5586.06	0.33
15	19405.70	5989.42	0.35
15	18098.80	5586.06	0.33
16	18098.80	5586.06	0.33
17	29064.70	8970.58	0.53
18	29064.70	8970.58	0.53
19	28099.10	8672.55	0.51

Relazione di calcolo

20	28099.10	8672.55	0.51
21	28099.10	8672.55	0.51
22	21961.30	6778.19	0.40
23	21317.60	6579.50	0.39
24	19000.10	5864.23	0.34
25	18742.60	5784.75	0.34
26	18098.80	5586.06	0.33

Plinto n. 25

B=1.40 <m> L=1.40 <m> k₁=5000000.00 <daN/mc> kw=1843110.00 <daN/mc>

CC	N <daN>	q _{es} <daN/mq>	Ced <cm>
1	12742.00	6501.04	0.35
1	11895.50	6069.13	0.33
2	11895.50	6069.13	0.33
3	12742.00	6501.04	0.35
3	11895.50	6069.13	0.33
4	11895.50	6069.13	0.33
5	12742.00	6501.04	0.35
5	11895.50	6069.13	0.33
6	11895.50	6069.13	0.33
7	12742.00	6501.04	0.35
7	11895.50	6069.13	0.33
8	11895.50	6069.13	0.33
9	12742.00	6501.04	0.35
9	11895.50	6069.13	0.33
10	11895.50	6069.13	0.33
11	12742.00	6501.04	0.35
11	11895.50	6069.13	0.33
12	11895.50	6069.13	0.33
13	12742.00	6501.04	0.35
13	11895.50	6069.13	0.33
14	11895.50	6069.13	0.33
15	12742.00	6501.04	0.35
15	11895.50	6069.13	0.33
16	11895.50	6069.13	0.33
17	18465.50	9421.20	0.51
18	18465.50	9421.20	0.51
19	17940.50	9153.34	0.50
20	17940.50	9153.34	0.50
21	17940.50	9153.34	0.50
22	13995.50	7140.56	0.39
23	13645.50	6961.99	0.38
24	12385.50	6319.13	0.34
25	12245.50	6247.70	0.34
26	11895.50	6069.13	0.33

Plinto n. 35

B=1.40 <m> L=1.40 <m> k₁=5000000.00 <daN/mc> kw=1843110.00 <daN/mc>

CC	N <daN>	q _{es} <daN/mq>	Ced <cm>
1	12742.00	6501.04	0.35
1	11895.50	6069.13	0.33
2	11895.50	6069.13	0.33
3	12742.00	6501.04	0.35
3	11895.50	6069.13	0.33
4	11895.50	6069.13	0.33
5	12742.00	6501.04	0.35
5	11895.50	6069.13	0.33
6	11895.50	6069.13	0.33
7	12742.00	6501.04	0.35
7	11895.50	6069.13	0.33
8	11895.50	6069.13	0.33
9	12742.00	6501.04	0.35
9	11895.50	6069.13	0.33
10	11895.50	6069.13	0.33
11	12742.00	6501.04	0.35
11	11895.50	6069.13	0.33
12	11895.50	6069.13	0.33
13	12742.00	6501.04	0.35
13	11895.50	6069.13	0.33
14	11895.50	6069.13	0.33
15	12742.00	6501.04	0.35
15	11895.50	6069.13	0.33
16	11895.50	6069.13	0.33
17	18465.50	9421.20	0.51
18	18465.50	9421.20	0.51
19	17940.50	9153.34	0.50

Relazione di calcolo

20	17940.50	9153.34	0.50
21	17940.50	9153.34	0.50
22	13995.50	7140.56	0.39
23	13645.50	6961.99	0.38
24	12385.50	6319.13	0.34
25	12245.50	6247.70	0.34
26	11895.50	6069.13	0.33

Plinto n. 36

B=1.80 <m> L=1.80 <m> k₁=5000000.00 <daN/mc> kw=1701390.00 <daN/mc>

CC	N <daN>	q _{es} <daN/mq>	Ced <cm>
1	19405.70	5989.42	0.35
1	18098.80	5586.06	0.33
2	18098.80	5586.06	0.33
3	19405.70	5989.42	0.35
3	18098.80	5586.06	0.33
4	18098.80	5586.06	0.33
5	19405.70	5989.42	0.35
5	18098.80	5586.06	0.33
6	18098.80	5586.06	0.33
7	19405.70	5989.42	0.35
7	18098.80	5586.06	0.33
8	18098.80	5586.06	0.33
9	19405.70	5989.42	0.35
9	18098.80	5586.06	0.33
10	18098.80	5586.06	0.33
11	19405.70	5989.42	0.35
11	18098.80	5586.06	0.33
12	18098.80	5586.06	0.33
13	19405.70	5989.42	0.35
13	18098.80	5586.06	0.33
14	18098.80	5586.06	0.33
15	19405.70	5989.42	0.35
15	18098.80	5586.06	0.33
16	18098.80	5586.06	0.33
17	29064.70	8970.58	0.53
18	29064.70	8970.58	0.53
19	28099.10	8672.55	0.51
20	28099.10	8672.55	0.51
21	28099.10	8672.55	0.51
22	21961.30	6778.19	0.40
23	21317.60	6579.50	0.39
24	19000.10	5864.23	0.34
25	18742.60	5784.75	0.34
26	18098.80	5586.06	0.33

Plinto n. 38

B=1.80 <m> L=1.80 <m> k₁=5000000.00 <daN/mc> kw=1701390.00 <daN/mc>

CC	N <daN>	q _{es} <daN/mq>	Ced <cm>
1	19405.70	5989.42	0.35
1	18098.80	5586.06	0.33
2	18098.80	5586.06	0.33
3	19405.70	5989.42	0.35
3	18098.80	5586.06	0.33
4	18098.80	5586.06	0.33
5	19405.70	5989.42	0.35
5	18098.80	5586.06	0.33
6	18098.80	5586.06	0.33
7	19405.70	5989.42	0.35
7	18098.80	5586.06	0.33
8	18098.80	5586.06	0.33
9	19405.70	5989.42	0.35
9	18098.80	5586.06	0.33
10	18098.80	5586.06	0.33
11	19405.70	5989.42	0.35
11	18098.80	5586.06	0.33
12	18098.80	5586.06	0.33
13	19405.70	5989.42	0.35
13	18098.80	5586.06	0.33
14	18098.80	5586.06	0.33
15	19405.70	5989.42	0.35
15	18098.80	5586.06	0.33
16	18098.80	5586.06	0.33
17	29064.70	8970.58	0.53
18	29064.70	8970.58	0.53
19	28099.10	8672.55	0.51

Relazione di calcolo

20	28099.10	8672.55	0.51
21	28099.10	8672.55	0.51
22	21961.30	6778.19	0.40
23	21317.60	6579.50	0.39
24	19000.10	5864.23	0.34
25	18742.60	5784.75	0.34
26	18098.80	5586.06	0.33

Plinto n. 39

B=1.80 <m> L=1.80 <m> k₁=5000000.00 <daN/mc> kw=1701390.00 <daN/mc>

CC	N <daN>	q _{es} <daN/mq>	Ced <cm>
1	19405.70	5989.42	0.35
1	18098.80	5586.06	0.33
2	18098.80	5586.06	0.33
3	19405.70	5989.42	0.35
3	18098.80	5586.06	0.33
4	18098.80	5586.06	0.33
5	19405.70	5989.42	0.35
5	18098.80	5586.06	0.33
6	18098.80	5586.06	0.33
7	19405.70	5989.42	0.35
7	18098.80	5586.06	0.33
8	18098.80	5586.06	0.33
9	19405.70	5989.42	0.35
9	18098.80	5586.06	0.33
10	18098.80	5586.06	0.33
11	19405.70	5989.42	0.35
11	18098.80	5586.06	0.33
12	18098.80	5586.06	0.33
13	19405.70	5989.42	0.35
13	18098.80	5586.06	0.33
14	18098.80	5586.06	0.33
15	19405.70	5989.42	0.35
15	18098.80	5586.06	0.33
16	18098.80	5586.06	0.33
17	29064.70	8970.58	0.53
18	29064.70	8970.58	0.53
19	28099.10	8672.55	0.51
20	28099.10	8672.55	0.51
21	28099.10	8672.55	0.51
22	21961.30	6778.19	0.40
23	21317.60	6579.50	0.39
24	19000.10	5864.23	0.34
25	18742.60	5784.75	0.34
26	18098.80	5586.06	0.33

Plinto n. 41

B=1.80 <m> L=1.80 <m> k₁=5000000.00 <daN/mc> kw=1701390.00 <daN/mc>

CC	N <daN>	q _{es} <daN/mq>	Ced <cm>
1	19405.70	5989.42	0.35
1	18098.80	5586.06	0.33
2	18098.80	5586.06	0.33
3	19405.70	5989.42	0.35
3	18098.80	5586.06	0.33
4	18098.80	5586.06	0.33
5	19405.70	5989.42	0.35
5	18098.80	5586.06	0.33
6	18098.80	5586.06	0.33
7	19405.70	5989.42	0.35
7	18098.80	5586.06	0.33
8	18098.80	5586.06	0.33
9	19405.70	5989.42	0.35
9	18098.80	5586.06	0.33
10	18098.80	5586.06	0.33
11	19405.70	5989.42	0.35
11	18098.80	5586.06	0.33
12	18098.80	5586.06	0.33
13	19405.70	5989.42	0.35
13	18098.80	5586.06	0.33
14	18098.80	5586.06	0.33
15	19405.70	5989.42	0.35
15	18098.80	5586.06	0.33
16	18098.80	5586.06	0.33
17	29064.70	8970.58	0.53
18	29064.70	8970.58	0.53
19	28099.10	8672.55	0.51

Relazione di calcolo

20	28099.10	8672.55	0.51
21	28099.10	8672.55	0.51
22	21961.30	6778.19	0.40
23	21317.60	6579.50	0.39
24	19000.10	5864.23	0.34
25	18742.60	5784.75	0.34
26	18098.80	5586.06	0.33

Plinto n. 42

B=1.80 <m> L=1.80 <m> k₁=5000000.00 <daN/mc> kw=1701390.00 <daN/mc>

CC	N <daN>	q _{es} <daN/mq>	Ced <cm>
1	19405.70	5989.42	0.35
1	18098.80	5586.06	0.33
2	18098.80	5586.06	0.33
3	19405.70	5989.42	0.35
3	18098.80	5586.06	0.33
4	18098.80	5586.06	0.33
5	19405.70	5989.42	0.35
5	18098.80	5586.06	0.33
6	18098.80	5586.06	0.33
7	19405.70	5989.42	0.35
7	18098.80	5586.06	0.33
8	18098.80	5586.06	0.33
9	19405.70	5989.42	0.35
9	18098.80	5586.06	0.33
10	18098.80	5586.06	0.33
11	19405.70	5989.42	0.35
11	18098.80	5586.06	0.33
12	18098.80	5586.06	0.33
13	19405.70	5989.42	0.35
13	18098.80	5586.06	0.33
14	18098.80	5586.06	0.33
15	19405.70	5989.42	0.35
15	18098.80	5586.06	0.33
16	18098.80	5586.06	0.33
17	29064.70	8970.58	0.53
18	29064.70	8970.58	0.53
19	28099.10	8672.55	0.51
20	28099.10	8672.55	0.51
21	28099.10	8672.55	0.51
22	21961.30	6778.19	0.40
23	21317.60	6579.50	0.39
24	19000.10	5864.23	0.34
25	18742.60	5784.75	0.34
26	18098.80	5586.06	0.33

Plinto n. 44

B=1.40 <m> L=1.40 <m> k₁=5000000.00 <daN/mc> kw=1843110.00 <daN/mc>

CC	N <daN>	q _{es} <daN/mq>	Ced <cm>
1	11525.70	5880.47	0.32
1	10789.70	5504.97	0.30
2	10789.70	5504.97	0.30
3	11525.70	5880.47	0.32
3	10789.70	5504.97	0.30
4	10789.70	5504.97	0.30
5	11525.70	5880.47	0.32
5	10789.70	5504.97	0.30
6	10789.70	5504.97	0.30
7	11525.70	5880.47	0.32
7	10789.70	5504.97	0.30
8	10789.70	5504.97	0.30
9	11525.70	5880.47	0.32
9	10789.70	5504.97	0.30
10	10789.70	5504.97	0.30
11	11525.70	5880.47	0.32
11	10789.70	5504.97	0.30
12	10789.70	5504.97	0.30
13	11525.70	5880.47	0.32
13	10789.70	5504.97	0.30
14	10789.70	5504.97	0.30
15	11525.70	5880.47	0.32
15	10789.70	5504.97	0.30
16	10789.70	5504.97	0.30
17	16412.50	8373.71	0.45
18	16412.50	8373.71	0.45
19	15971.80	8148.90	0.44

Relazione di calcolo

20	15971.80	8148.90	0.44
21	15971.80	8148.90	0.44
22	12552.20	6404.20	0.35
23	12258.50	6254.33	0.34
24	11201.00	5714.79	0.31
25	11083.50	5654.84	0.31
26	10789.70	5504.97	0.30

Plinto n. 45

B=1.40 <m> L=1.40 <m> k₁=5000000.00 <daN/mc> kw=1843110.00 <daN/mc>

CC	N <daN>	q _{es} <daN/mq>	Ced <cm>
1	12742.00	6501.04	0.35
1	11895.50	6069.13	0.33
2	11895.50	6069.13	0.33
3	12742.00	6501.04	0.35
3	11895.50	6069.13	0.33
4	11895.50	6069.13	0.33
5	12742.00	6501.04	0.35
5	11895.50	6069.13	0.33
6	11895.50	6069.13	0.33
7	12742.00	6501.04	0.35
7	11895.50	6069.13	0.33
8	11895.50	6069.13	0.33
9	12742.00	6501.04	0.35
9	11895.50	6069.13	0.33
10	11895.50	6069.13	0.33
11	12742.00	6501.04	0.35
11	11895.50	6069.13	0.33
12	11895.50	6069.13	0.33
13	12742.00	6501.04	0.35
13	11895.50	6069.13	0.33
14	11895.50	6069.13	0.33
15	12742.00	6501.04	0.35
15	11895.50	6069.13	0.33
16	11895.50	6069.13	0.33
17	18465.50	9421.20	0.51
18	18465.50	9421.20	0.51
19	17940.50	9153.34	0.50
20	17940.50	9153.34	0.50
21	17940.50	9153.34	0.50
22	13995.50	7140.56	0.39
23	13645.50	6961.99	0.38
24	12385.50	6319.13	0.34
25	12245.50	6247.70	0.34
26	11895.50	6069.13	0.33

Plinto n. 55

B=1.40 <m> L=1.40 <m> k₁=5000000.00 <daN/mc> kw=1843110.00 <daN/mc>

CC	N <daN>	q _{es} <daN/mq>	Ced <cm>
1	12742.00	6501.04	0.35
1	11895.50	6069.13	0.33
2	11895.50	6069.13	0.33
3	12742.00	6501.04	0.35
3	11895.50	6069.13	0.33
4	11895.50	6069.13	0.33
5	12742.00	6501.04	0.35
5	11895.50	6069.13	0.33
6	11895.50	6069.13	0.33
7	12742.00	6501.04	0.35
7	11895.50	6069.13	0.33
8	11895.50	6069.13	0.33
9	12742.00	6501.04	0.35
9	11895.50	6069.13	0.33
10	11895.50	6069.13	0.33
11	12742.00	6501.04	0.35
11	11895.50	6069.13	0.33
12	11895.50	6069.13	0.33
13	12742.00	6501.04	0.35
13	11895.50	6069.13	0.33
14	11895.50	6069.13	0.33
15	12742.00	6501.04	0.35
15	11895.50	6069.13	0.33
16	11895.50	6069.13	0.33
17	18465.50	9421.20	0.51
18	18465.50	9421.20	0.51
19	17940.50	9153.34	0.50

Relazione di calcolo

20	17940.50	9153.34	0.50
21	17940.50	9153.34	0.50
22	13995.50	7140.56	0.39
23	13645.50	6961.99	0.38
24	12385.50	6319.13	0.34
25	12245.50	6247.70	0.34
26	11895.50	6069.13	0.33

Plinto n. 56

B=1.80 <m> L=1.80 <m> k₁=5000000.00 <daN/mc> kw=1701390.00 <daN/mc>

CC	N <daN>	q _{es} <daN/mq>	Ced <cm>
1	16284.30	5026.03	0.30
1	15261.20	4710.25	0.28
2	15261.20	4710.25	0.28
3	16284.30	5026.03	0.30
3	15261.20	4710.25	0.28
4	15261.20	4710.25	0.28
5	16284.30	5026.03	0.30
5	15261.20	4710.25	0.28
6	15261.20	4710.25	0.28
7	16284.30	5026.03	0.30
7	15261.20	4710.25	0.28
8	15261.20	4710.25	0.28
9	16284.30	5026.03	0.30
9	15261.20	4710.25	0.28
10	15261.20	4710.25	0.28
11	16284.30	5026.03	0.30
11	15261.20	4710.25	0.28
12	15261.20	4710.25	0.28
13	16284.30	5026.03	0.30
13	15261.20	4710.25	0.28
14	15261.20	4710.25	0.28
15	16284.30	5026.03	0.30
15	15261.20	4710.25	0.28
16	15261.20	4710.25	0.28
17	23768.40	7335.92	0.43
18	23768.40	7335.92	0.43
19	23023.10	7105.88	0.42
20	23023.10	7105.88	0.42
21	23023.10	7105.88	0.42
22	18242.50	5630.39	0.33
23	17745.60	5477.03	0.32
24	15956.80	4924.95	0.29
25	15758.10	4863.61	0.29
26	15261.20	4710.25	0.28

Plinto n. 58

B=1.80 <m> L=1.80 <m> k₁=5000000.00 <daN/mc> kw=1701390.00 <daN/mc>

CC	N <daN>	q _{es} <daN/mq>	Ced <cm>
1	19405.70	5989.42	0.35
1	18098.80	5586.06	0.33
2	18098.80	5586.06	0.33
3	19405.70	5989.42	0.35
3	18098.80	5586.06	0.33
4	18098.80	5586.06	0.33
5	19405.70	5989.42	0.35
5	18098.80	5586.06	0.33
6	18098.80	5586.06	0.33
7	19405.70	5989.42	0.35
7	18098.80	5586.06	0.33
8	18098.80	5586.06	0.33
9	19405.70	5989.42	0.35
9	18098.80	5586.06	0.33
10	18098.80	5586.06	0.33
11	19405.70	5989.42	0.35
11	18098.80	5586.06	0.33
12	18098.80	5586.06	0.33
13	19405.70	5989.42	0.35
13	18098.80	5586.06	0.33
14	18098.80	5586.06	0.33
15	19405.70	5989.42	0.35
15	18098.80	5586.06	0.33
16	18098.80	5586.06	0.33
17	29064.70	8970.58	0.53
18	29064.70	8970.58	0.53
19	28099.10	8672.55	0.51

Relazione di calcolo

20	28099.10	8672.55	0.51
21	28099.10	8672.55	0.51
22	21961.30	6778.19	0.40
23	21317.60	6579.50	0.39
24	19000.10	5864.23	0.34
25	18742.60	5784.75	0.34
26	18098.80	5586.06	0.33

Plinto n. 59

B=1.80 <m> L=1.80 <m> k₁=5000000.00 <daN/mc> kw=1701390.00 <daN/mc>

CC	N <daN>	q _{es} <daN/mq>	Ced <cm>
1	16284.30	5026.03	0.30
1	15261.20	4710.25	0.28
2	15261.20	4710.25	0.28
3	16284.30	5026.03	0.30
3	15261.20	4710.25	0.28
4	15261.20	4710.25	0.28
5	16284.30	5026.03	0.30
5	15261.20	4710.25	0.28
6	15261.20	4710.25	0.28
7	16284.30	5026.03	0.30
7	15261.20	4710.25	0.28
8	15261.20	4710.25	0.28
9	16284.30	5026.03	0.30
9	15261.20	4710.25	0.28
10	15261.20	4710.25	0.28
11	16284.30	5026.03	0.30
11	15261.20	4710.25	0.28
12	15261.20	4710.25	0.28
13	16284.30	5026.03	0.30
13	15261.20	4710.25	0.28
14	15261.20	4710.25	0.28
15	16284.30	5026.03	0.30
15	15261.20	4710.25	0.28
16	15261.20	4710.25	0.28
17	23768.40	7335.92	0.43
18	23768.40	7335.92	0.43
19	23023.10	7105.88	0.42
20	23023.10	7105.88	0.42
21	23023.10	7105.88	0.42
22	18242.50	5630.39	0.33
23	17745.60	5477.03	0.32
24	15956.80	4924.95	0.29
25	15758.10	4863.61	0.29
26	15261.20	4710.25	0.28

Plinto n. 61

B=1.80 <m> L=1.80 <m> k₁=5000000.00 <daN/mc> kw=1701390.00 <daN/mc>

CC	N <daN>	q _{es} <daN/mq>	Ced <cm>
1	19405.70	5989.42	0.35
1	18098.80	5586.06	0.33
2	18098.80	5586.06	0.33
3	19405.70	5989.42	0.35
3	18098.80	5586.06	0.33
4	18098.80	5586.06	0.33
5	19405.70	5989.42	0.35
5	18098.80	5586.06	0.33
6	18098.80	5586.06	0.33
7	19405.70	5989.42	0.35
7	18098.80	5586.06	0.33
8	18098.80	5586.06	0.33
9	19405.70	5989.42	0.35
9	18098.80	5586.06	0.33
10	18098.80	5586.06	0.33
11	19405.70	5989.42	0.35
11	18098.80	5586.06	0.33
12	18098.80	5586.06	0.33
13	19405.70	5989.42	0.35
13	18098.80	5586.06	0.33
14	18098.80	5586.06	0.33
15	19405.70	5989.42	0.35
15	18098.80	5586.06	0.33
16	18098.80	5586.06	0.33
17	29064.70	8970.58	0.53
18	29064.70	8970.58	0.53
19	28099.10	8672.55	0.51

Relazione di calcolo

20	28099.10	8672.55	0.51
21	28099.10	8672.55	0.51
22	21961.30	6778.19	0.40
23	21317.60	6579.50	0.39
24	19000.10	5864.23	0.34
25	18742.60	5784.75	0.34
26	18098.80	5586.06	0.33

Plinto n. 62

B=1.80 <m> L=1.80 <m> k₁=5000000.00 <daN/mc> kw=1701390.00 <daN/mc>

CC	N <daN>	q _{es} <daN/mq>	Ced <cm>
1	16284.30	5026.03	0.30
1	15261.20	4710.25	0.28
2	15261.20	4710.25	0.28
3	16284.30	5026.03	0.30
3	15261.20	4710.25	0.28
4	15261.20	4710.25	0.28
5	16284.30	5026.03	0.30
5	15261.20	4710.25	0.28
6	15261.20	4710.25	0.28
7	16284.30	5026.03	0.30
7	15261.20	4710.25	0.28
8	15261.20	4710.25	0.28
9	16284.30	5026.03	0.30
9	15261.20	4710.25	0.28
10	15261.20	4710.25	0.28
11	16284.30	5026.03	0.30
11	15261.20	4710.25	0.28
12	15261.20	4710.25	0.28
13	16284.30	5026.03	0.30
13	15261.20	4710.25	0.28
14	15261.20	4710.25	0.28
15	16284.30	5026.03	0.30
15	15261.20	4710.25	0.28
16	15261.20	4710.25	0.28
17	23768.40	7335.92	0.43
18	23768.40	7335.92	0.43
19	23023.10	7105.88	0.42
20	23023.10	7105.88	0.42
21	23023.10	7105.88	0.42
22	18242.50	5630.39	0.33
23	17745.60	5477.03	0.32
24	15956.80	4924.95	0.29
25	15758.10	4863.61	0.29
26	15261.20	4710.25	0.28

Plinto n. 64

B=1.40 <m> L=1.40 <m> k₁=5000000.00 <daN/mc> kw=1843110.00 <daN/mc>

CC	N <daN>	q _{es} <daN/mq>	Ced <cm>
1	11525.70	5880.47	0.32
1	10789.70	5504.97	0.30
2	10789.70	5504.97	0.30
3	11525.70	5880.47	0.32
3	10789.70	5504.97	0.30
4	10789.70	5504.97	0.30
5	11525.70	5880.47	0.32
5	10789.70	5504.97	0.30
6	10789.70	5504.97	0.30
7	11525.70	5880.47	0.32
7	10789.70	5504.97	0.30
8	10789.70	5504.97	0.30
9	11525.70	5880.47	0.32
9	10789.70	5504.97	0.30
10	10789.70	5504.97	0.30
11	11525.70	5880.47	0.32
11	10789.70	5504.97	0.30
12	10789.70	5504.97	0.30
13	11525.70	5880.47	0.32
13	10789.70	5504.97	0.30
14	10789.70	5504.97	0.30
15	11525.70	5880.47	0.32
15	10789.70	5504.97	0.30
16	10789.70	5504.97	0.30
17	16412.50	8373.71	0.45
18	16412.50	8373.71	0.45
19	15971.80	8148.90	0.44

Relazione di calcolo

20	15971.80	8148.90	0.44
21	15971.80	8148.90	0.44
22	12552.20	6404.20	0.35
23	12258.50	6254.33	0.34
24	11201.00	5714.79	0.31
25	11083.50	5654.84	0.31
26	10789.70	5504.97	0.30

Plinto n. 65

B=1.40 <m> L=1.40 <m> k₁=5000000.00 <daN/mc> kw=1843110.00 <daN/mc>

CC	N <daN>	q _{es} <daN/mq>	Ced <cm>
1	12742.00	6501.04	0.35
1	11895.50	6069.13	0.33
2	11895.50	6069.13	0.33
3	12742.00	6501.04	0.35
3	11895.50	6069.13	0.33
4	11895.50	6069.13	0.33
5	12742.00	6501.04	0.35
5	11895.50	6069.13	0.33
6	11895.50	6069.13	0.33
7	12742.00	6501.04	0.35
7	11895.50	6069.13	0.33
8	11895.50	6069.13	0.33
9	12742.00	6501.04	0.35
9	11895.50	6069.13	0.33
10	11895.50	6069.13	0.33
11	12742.00	6501.04	0.35
11	11895.50	6069.13	0.33
12	11895.50	6069.13	0.33
13	12742.00	6501.04	0.35
13	11895.50	6069.13	0.33
14	11895.50	6069.13	0.33
15	12742.00	6501.04	0.35
15	11895.50	6069.13	0.33
16	11895.50	6069.13	0.33
17	18465.50	9421.20	0.51
18	18465.50	9421.20	0.51
19	17940.50	9153.34	0.50
20	17940.50	9153.34	0.50
21	17940.50	9153.34	0.50
22	13995.50	7140.56	0.39
23	13645.50	6961.99	0.38
24	12385.50	6319.13	0.34
25	12245.50	6247.70	0.34
26	11895.50	6069.13	0.33

Plinto n. 75

B=1.40 <m> L=1.40 <m> k₁=5000000.00 <daN/mc> kw=1843110.00 <daN/mc>

CC	N <daN>	q _{es} <daN/mq>	Ced <cm>
1	12742.00	6501.04	0.35
1	11895.50	6069.13	0.33
2	11895.50	6069.13	0.33
3	12742.00	6501.04	0.35
3	11895.50	6069.13	0.33
4	11895.50	6069.13	0.33
5	12742.00	6501.04	0.35
5	11895.50	6069.13	0.33
6	11895.50	6069.13	0.33
7	12742.00	6501.04	0.35
7	11895.50	6069.13	0.33
8	11895.50	6069.13	0.33
9	12742.00	6501.04	0.35
9	11895.50	6069.13	0.33
10	11895.50	6069.13	0.33
11	12742.00	6501.04	0.35
11	11895.50	6069.13	0.33
12	11895.50	6069.13	0.33
13	12742.00	6501.04	0.35
13	11895.50	6069.13	0.33
14	11895.50	6069.13	0.33
15	12742.00	6501.04	0.35
15	11895.50	6069.13	0.33
16	11895.50	6069.13	0.33
17	18465.50	9421.20	0.51
18	18465.50	9421.20	0.51
19	17940.50	9153.34	0.50

Relazione di calcolo

20	17940.50	9153.34	0.50
21	17940.50	9153.34	0.50
22	13995.50	7140.56	0.39
23	13645.50	6961.99	0.38
24	12385.50	6319.13	0.34
25	12245.50	6247.70	0.34
26	11895.50	6069.13	0.33

Plinto n. 76

B=1.80 <m> L=1.80 <m> k₁=5000000.00 <daN/mc> kw=1701390.00 <daN/mc>

CC	N <daN>	q _{es} <daN/mq>	Ced <cm>
1	19405.70	5989.42	0.35
1	18098.80	5586.06	0.33
2	18098.80	5586.06	0.33
3	19405.70	5989.42	0.35
3	18098.80	5586.06	0.33
4	18098.80	5586.06	0.33
5	19405.70	5989.42	0.35
5	18098.80	5586.06	0.33
6	18098.80	5586.06	0.33
7	19405.70	5989.42	0.35
7	18098.80	5586.06	0.33
8	18098.80	5586.06	0.33
9	19405.70	5989.42	0.35
9	18098.80	5586.06	0.33
10	18098.80	5586.06	0.33
11	19405.70	5989.42	0.35
11	18098.80	5586.06	0.33
12	18098.80	5586.06	0.33
13	19405.70	5989.42	0.35
13	18098.80	5586.06	0.33
14	18098.80	5586.06	0.33
15	19405.70	5989.42	0.35
15	18098.80	5586.06	0.33
16	18098.80	5586.06	0.33
17	29064.70	8970.58	0.53
18	29064.70	8970.58	0.53
19	28099.10	8672.55	0.51
20	28099.10	8672.55	0.51
21	28099.10	8672.55	0.51
22	21961.30	6778.19	0.40
23	21317.60	6579.50	0.39
24	19000.10	5864.23	0.34
25	18742.60	5784.75	0.34
26	18098.80	5586.06	0.33

Plinto n. 78

B=1.80 <m> L=1.80 <m> k₁=5000000.00 <daN/mc> kw=1701390.00 <daN/mc>

CC	N <daN>	q _{es} <daN/mq>	Ced <cm>
1	19405.70	5989.42	0.35
1	18098.80	5586.06	0.33
2	18098.80	5586.06	0.33
3	19405.70	5989.42	0.35
3	18098.80	5586.06	0.33
4	18098.80	5586.06	0.33
5	19405.70	5989.42	0.35
5	18098.80	5586.06	0.33
6	18098.80	5586.06	0.33
7	19405.70	5989.42	0.35
7	18098.80	5586.06	0.33
8	18098.80	5586.06	0.33
9	19405.70	5989.42	0.35
9	18098.80	5586.06	0.33
10	18098.80	5586.06	0.33
11	19405.70	5989.42	0.35
11	18098.80	5586.06	0.33
12	18098.80	5586.06	0.33
13	19405.70	5989.42	0.35
13	18098.80	5586.06	0.33
14	18098.80	5586.06	0.33
15	19405.70	5989.42	0.35
15	18098.80	5586.06	0.33
16	18098.80	5586.06	0.33
17	29064.70	8970.58	0.53
18	29064.70	8970.58	0.53
19	28099.10	8672.55	0.51

Relazione di calcolo

20	28099.10	8672.55	0.51
21	28099.10	8672.55	0.51
22	21961.30	6778.19	0.40
23	21317.60	6579.50	0.39
24	19000.10	5864.23	0.34
25	18742.60	5784.75	0.34
26	18098.80	5586.06	0.33

Plinto n. 79

B=1.80 <m> L=1.80 <m> k₁=5000000.00 <daN/mc> kw=1701390.00 <daN/mc>

CC	N <daN>	q _{es} <daN/mq>	Ced <cm>
1	19405.70	5989.42	0.35
1	18098.80	5586.06	0.33
2	18098.80	5586.06	0.33
3	19405.70	5989.42	0.35
3	18098.80	5586.06	0.33
4	18098.80	5586.06	0.33
5	19405.70	5989.42	0.35
5	18098.80	5586.06	0.33
6	18098.80	5586.06	0.33
7	19405.70	5989.42	0.35
7	18098.80	5586.06	0.33
8	18098.80	5586.06	0.33
9	19405.70	5989.42	0.35
9	18098.80	5586.06	0.33
10	18098.80	5586.06	0.33
11	19405.70	5989.42	0.35
11	18098.80	5586.06	0.33
12	18098.80	5586.06	0.33
13	19405.70	5989.42	0.35
13	18098.80	5586.06	0.33
14	18098.80	5586.06	0.33
15	19405.70	5989.42	0.35
15	18098.80	5586.06	0.33
16	18098.80	5586.06	0.33
17	29064.70	8970.58	0.53
18	29064.70	8970.58	0.53
19	28099.10	8672.55	0.51
20	28099.10	8672.55	0.51
21	28099.10	8672.55	0.51
22	21961.30	6778.19	0.40
23	21317.60	6579.50	0.39
24	19000.10	5864.23	0.34
25	18742.60	5784.75	0.34
26	18098.80	5586.06	0.33

Plinto n. 81

B=1.80 <m> L=1.80 <m> k₁=5000000.00 <daN/mc> kw=1701390.00 <daN/mc>

CC	N <daN>	q _{es} <daN/mq>	Ced <cm>
1	19405.70	5989.42	0.35
1	18098.80	5586.06	0.33
2	18098.80	5586.06	0.33
3	19405.70	5989.42	0.35
3	18098.80	5586.06	0.33
4	18098.80	5586.06	0.33
5	19405.70	5989.42	0.35
5	18098.80	5586.06	0.33
6	18098.80	5586.06	0.33
7	19405.70	5989.42	0.35
7	18098.80	5586.06	0.33
8	18098.80	5586.06	0.33
9	19405.70	5989.42	0.35
9	18098.80	5586.06	0.33
10	18098.80	5586.06	0.33
11	19405.70	5989.42	0.35
11	18098.80	5586.06	0.33
12	18098.80	5586.06	0.33
13	19405.70	5989.42	0.35
13	18098.80	5586.06	0.33
14	18098.80	5586.06	0.33
15	19405.70	5989.42	0.35
15	18098.80	5586.06	0.33
16	18098.80	5586.06	0.33
17	29064.70	8970.58	0.53
18	29064.70	8970.58	0.53
19	28099.10	8672.55	0.51

Relazione di calcolo

20	28099.10	8672.55	0.51
21	28099.10	8672.55	0.51
22	21961.30	6778.19	0.40
23	21317.60	6579.50	0.39
24	19000.10	5864.23	0.34
25	18742.60	5784.75	0.34
26	18098.80	5586.06	0.33

Plinto n. 82

B=1.80 <m> L=1.80 <m> k₁=5000000.00 <daN/mc> kw=1701390.00 <daN/mc>

CC	N <daN>	q _{es} <daN/mq>	Ced <cm>
1	19405.70	5989.42	0.35
1	18098.80	5586.06	0.33
2	18098.80	5586.06	0.33
3	19405.70	5989.42	0.35
3	18098.80	5586.06	0.33
4	18098.80	5586.06	0.33
5	19405.70	5989.42	0.35
5	18098.80	5586.06	0.33
6	18098.80	5586.06	0.33
7	19405.70	5989.42	0.35
7	18098.80	5586.06	0.33
8	18098.80	5586.06	0.33
9	19405.70	5989.42	0.35
9	18098.80	5586.06	0.33
10	18098.80	5586.06	0.33
11	19405.70	5989.42	0.35
11	18098.80	5586.06	0.33
12	18098.80	5586.06	0.33
13	19405.70	5989.42	0.35
13	18098.80	5586.06	0.33
14	18098.80	5586.06	0.33
15	19405.70	5989.42	0.35
15	18098.80	5586.06	0.33
16	18098.80	5586.06	0.33
17	29064.70	8970.58	0.53
18	29064.70	8970.58	0.53
19	28099.10	8672.55	0.51
20	28099.10	8672.55	0.51
21	28099.10	8672.55	0.51
22	21961.30	6778.19	0.40
23	21317.60	6579.50	0.39
24	19000.10	5864.23	0.34
25	18742.60	5784.75	0.34
26	18098.80	5586.06	0.33

Plinto n. 84

B=1.40 <m> L=1.40 <m> k₁=5000000.00 <daN/mc> kw=1843110.00 <daN/mc>

CC	N <daN>	q _{es} <daN/mq>	Ced <cm>
1	11525.70	5880.47	0.32
1	10789.70	5504.97	0.30
2	10789.70	5504.97	0.30
3	11525.70	5880.47	0.32
3	10789.70	5504.97	0.30
4	10789.70	5504.97	0.30
5	11525.70	5880.47	0.32
5	10789.70	5504.97	0.30
6	10789.70	5504.97	0.30
7	11525.70	5880.47	0.32
7	10789.70	5504.97	0.30
8	10789.70	5504.97	0.30
9	11525.70	5880.47	0.32
9	10789.70	5504.97	0.30
10	10789.70	5504.97	0.30
11	11525.70	5880.47	0.32
11	10789.70	5504.97	0.30
12	10789.70	5504.97	0.30
13	11525.70	5880.47	0.32
13	10789.70	5504.97	0.30
14	10789.70	5504.97	0.30
15	11525.70	5880.47	0.32
15	10789.70	5504.97	0.30
16	10789.70	5504.97	0.30
17	16412.50	8373.71	0.45
18	16412.50	8373.71	0.45
19	15971.80	8148.90	0.44

Relazione di calcolo

20	15971.80	8148.90	0.44
21	15971.80	8148.90	0.44
22	12552.20	6404.20	0.35
23	12258.50	6254.33	0.34
24	11201.00	5714.79	0.31
25	11083.50	5654.84	0.31
26	10789.70	5504.97	0.30

Plinto n. 85

B=1.40 <m> L=1.40 <m> k₁=5000000.00 <daN/mc> kw=1843110.00 <daN/mc>

CC	N <daN>	q _{es} <daN/mq>	Ced <cm>
1	12742.00	6501.04	0.35
1	11895.50	6069.13	0.33
2	11895.50	6069.13	0.33
3	12742.00	6501.04	0.35
3	11895.50	6069.13	0.33
4	11895.50	6069.13	0.33
5	12742.00	6501.04	0.35
5	11895.50	6069.13	0.33
6	11895.50	6069.13	0.33
7	12742.00	6501.04	0.35
7	11895.50	6069.13	0.33
8	11895.50	6069.13	0.33
9	12742.00	6501.04	0.35
9	11895.50	6069.13	0.33
10	11895.50	6069.13	0.33
11	12742.00	6501.04	0.35
11	11895.50	6069.13	0.33
12	11895.50	6069.13	0.33
13	12742.00	6501.04	0.35
13	11895.50	6069.13	0.33
14	11895.50	6069.13	0.33
15	12742.00	6501.04	0.35
15	11895.50	6069.13	0.33
16	11895.50	6069.13	0.33
17	18465.50	9421.20	0.51
18	18465.50	9421.20	0.51
19	17940.50	9153.34	0.50
20	17940.50	9153.34	0.50
21	17940.50	9153.34	0.50
22	13995.50	7140.56	0.39
23	13645.50	6961.99	0.38
24	12385.50	6319.13	0.34
25	12245.50	6247.70	0.34
26	11895.50	6069.13	0.33

Plinto n. 95

B=1.40 <m> L=1.40 <m> k₁=5000000.00 <daN/mc> kw=1843110.00 <daN/mc>

CC	N <daN>	q _{es} <daN/mq>	Ced <cm>
1	12742.00	6501.04	0.35
1	11895.50	6069.13	0.33
2	11895.50	6069.13	0.33
3	12742.00	6501.04	0.35
3	11895.50	6069.13	0.33
4	11895.50	6069.13	0.33
5	12742.00	6501.04	0.35
5	11895.50	6069.13	0.33
6	11895.50	6069.13	0.33
7	12742.00	6501.04	0.35
7	11895.50	6069.13	0.33
8	11895.50	6069.13	0.33
9	12742.00	6501.04	0.35
9	11895.50	6069.13	0.33
10	11895.50	6069.13	0.33
11	12742.00	6501.04	0.35
11	11895.50	6069.13	0.33
12	11895.50	6069.13	0.33
13	12742.00	6501.04	0.35
13	11895.50	6069.13	0.33
14	11895.50	6069.13	0.33
15	12742.00	6501.04	0.35
15	11895.50	6069.13	0.33
16	11895.50	6069.13	0.33
17	18465.50	9421.20	0.51
18	18465.50	9421.20	0.51
19	17940.50	9153.34	0.50

Relazione di calcolo

20	17940.50	9153.34	0.50
21	17940.50	9153.34	0.50
22	13995.50	7140.56	0.39
23	13645.50	6961.99	0.38
24	12385.50	6319.13	0.34
25	12245.50	6247.70	0.34
26	11895.50	6069.13	0.33

Plinto n. 96

B=1.80 <m> L=1.80 <m> k₁=5000000.00 <daN/mc> kw=1701390.00 <daN/mc>

CC	N <daN>	q _{es} <daN/mq>	Ced <cm>
1	19405.70	5989.42	0.35
1	18098.80	5586.06	0.33
2	18098.80	5586.06	0.33
3	19405.70	5989.42	0.35
3	18098.80	5586.06	0.33
4	18098.80	5586.06	0.33
5	19405.70	5989.42	0.35
5	18098.80	5586.06	0.33
6	18098.80	5586.06	0.33
7	19405.70	5989.42	0.35
7	18098.80	5586.06	0.33
8	18098.80	5586.06	0.33
9	19405.70	5989.42	0.35
9	18098.80	5586.06	0.33
10	18098.80	5586.06	0.33
11	19405.70	5989.42	0.35
11	18098.80	5586.06	0.33
12	18098.80	5586.06	0.33
13	19405.70	5989.42	0.35
13	18098.80	5586.06	0.33
14	18098.80	5586.06	0.33
15	19405.70	5989.42	0.35
15	18098.80	5586.06	0.33
16	18098.80	5586.06	0.33
17	29064.70	8970.58	0.53
18	29064.70	8970.58	0.53
19	28099.10	8672.55	0.51
20	28099.10	8672.55	0.51
21	28099.10	8672.55	0.51
22	21961.30	6778.19	0.40
23	21317.60	6579.50	0.39
24	19000.10	5864.23	0.34
25	18742.60	5784.75	0.34
26	18098.80	5586.06	0.33

Plinto n. 98

B=1.80 <m> L=1.80 <m> k₁=5000000.00 <daN/mc> kw=1701390.00 <daN/mc>

CC	N <daN>	q _{es} <daN/mq>	Ced <cm>
1	19405.70	5989.42	0.35
1	18098.80	5586.06	0.33
2	18098.80	5586.06	0.33
3	19405.70	5989.42	0.35
3	18098.80	5586.06	0.33
4	18098.80	5586.06	0.33
5	19405.70	5989.42	0.35
5	18098.80	5586.06	0.33
6	18098.80	5586.06	0.33
7	19405.70	5989.42	0.35
7	18098.80	5586.06	0.33
8	18098.80	5586.06	0.33
9	19405.70	5989.42	0.35
9	18098.80	5586.06	0.33
10	18098.80	5586.06	0.33
11	19405.70	5989.42	0.35
11	18098.80	5586.06	0.33
12	18098.80	5586.06	0.33
13	19405.70	5989.42	0.35
13	18098.80	5586.06	0.33
14	18098.80	5586.06	0.33
15	19405.70	5989.42	0.35
15	18098.80	5586.06	0.33
16	18098.80	5586.06	0.33
17	29064.70	8970.58	0.53
18	29064.70	8970.58	0.53
19	28099.10	8672.55	0.51

Relazione di calcolo

20	28099.10	8672.55	0.51
21	28099.10	8672.55	0.51
22	21961.30	6778.19	0.40
23	21317.60	6579.50	0.39
24	19000.10	5864.23	0.34
25	18742.60	5784.75	0.34
26	18098.80	5586.06	0.33

Plinto n. 99

B=1.80 <m> L=1.80 <m> k₁=5000000.00 <daN/mc> kw=1701390.00 <daN/mc>

CC	N <daN>	q _{es} <daN/mq>	Ced <cm>
1	16284.30	5026.03	0.30
1	15261.20	4710.25	0.28
2	15261.20	4710.25	0.28
3	16284.30	5026.03	0.30
3	15261.20	4710.25	0.28
4	15261.20	4710.25	0.28
5	16284.30	5026.03	0.30
5	15261.20	4710.25	0.28
6	15261.20	4710.25	0.28
7	16284.30	5026.03	0.30
7	15261.20	4710.25	0.28
8	15261.20	4710.25	0.28
9	16284.30	5026.03	0.30
9	15261.20	4710.25	0.28
10	15261.20	4710.25	0.28
11	16284.30	5026.03	0.30
11	15261.20	4710.25	0.28
12	15261.20	4710.25	0.28
13	16284.30	5026.03	0.30
13	15261.20	4710.25	0.28
14	15261.20	4710.25	0.28
15	16284.30	5026.03	0.30
15	15261.20	4710.25	0.28
16	15261.20	4710.25	0.28
17	23768.40	7335.92	0.43
18	23768.40	7335.92	0.43
19	23023.10	7105.88	0.42
20	23023.10	7105.88	0.42
21	23023.10	7105.88	0.42
22	18242.50	5630.39	0.33
23	17745.60	5477.03	0.32
24	15956.80	4924.95	0.29
25	15758.10	4863.61	0.29
26	15261.20	4710.25	0.28

Plinto n. 101

B=1.80 <m> L=1.80 <m> k₁=5000000.00 <daN/mc> kw=1701390.00 <daN/mc>

CC	N <daN>	q _{es} <daN/mq>	Ced <cm>
1	19405.70	5989.42	0.35
1	18098.80	5586.06	0.33
2	18098.80	5586.06	0.33
3	19405.70	5989.42	0.35
3	18098.80	5586.06	0.33
4	18098.80	5586.06	0.33
5	19405.70	5989.42	0.35
5	18098.80	5586.06	0.33
6	18098.80	5586.06	0.33
7	19405.70	5989.42	0.35
7	18098.80	5586.06	0.33
8	18098.80	5586.06	0.33
9	19405.70	5989.42	0.35
9	18098.80	5586.06	0.33
10	18098.80	5586.06	0.33
11	19405.70	5989.42	0.35
11	18098.80	5586.06	0.33
12	18098.80	5586.06	0.33
13	19405.70	5989.42	0.35
13	18098.80	5586.06	0.33
14	18098.80	5586.06	0.33
15	19405.70	5989.42	0.35
15	18098.80	5586.06	0.33
16	18098.80	5586.06	0.33
17	29064.70	8970.58	0.53
18	29064.70	8970.58	0.53
19	28099.10	8672.55	0.51

Relazione di calcolo

20	28099.10	8672.55	0.51
21	28099.10	8672.55	0.51
22	21961.30	6778.19	0.40
23	21317.60	6579.50	0.39
24	19000.10	5864.23	0.34
25	18742.60	5784.75	0.34
26	18098.80	5586.06	0.33

Plinto n. 102

B=1.80 <m> L=1.80 <m> k_i=5000000.00 <daN/mc> kw=1701390.00 <daN/mc>

CC	N <daN>	q _{es} <daN/mq>	Ced <cm>
1	19405.70	5989.42	0.35
1	18098.80	5586.06	0.33
2	18098.80	5586.06	0.33
3	19405.70	5989.42	0.35
3	18098.80	5586.06	0.33
4	18098.80	5586.06	0.33
5	19405.70	5989.42	0.35
5	18098.80	5586.06	0.33
6	18098.80	5586.06	0.33
7	19405.70	5989.42	0.35
7	18098.80	5586.06	0.33
8	18098.80	5586.06	0.33
9	19405.70	5989.42	0.35
9	18098.80	5586.06	0.33
10	18098.80	5586.06	0.33
11	19405.70	5989.42	0.35
11	18098.80	5586.06	0.33
12	18098.80	5586.06	0.33
13	19405.70	5989.42	0.35
13	18098.80	5586.06	0.33
14	18098.80	5586.06	0.33
15	19405.70	5989.42	0.35
15	18098.80	5586.06	0.33
16	18098.80	5586.06	0.33
17	29064.70	8970.58	0.53
18	29064.70	8970.58	0.53
19	28099.10	8672.55	0.51
20	28099.10	8672.55	0.51
21	28099.10	8672.55	0.51
22	21961.30	6778.19	0.40
23	21317.60	6579.50	0.39
24	19000.10	5864.23	0.34
25	18742.60	5784.75	0.34
26	18098.80	5586.06	0.33

Plinto n. 104

B=1.40 <m> L=1.40 <m> k_i=5000000.00 <daN/mc> kw=1843110.00 <daN/mc>

CC	N <daN>	q _{es} <daN/mq>	Ced <cm>
1	11525.70	5880.47	0.32
1	10789.70	5504.97	0.30
2	10789.70	5504.97	0.30
3	11525.70	5880.47	0.32
3	10789.70	5504.97	0.30
4	10789.70	5504.97	0.30
5	11525.70	5880.47	0.32
5	10789.70	5504.97	0.30
6	10789.70	5504.97	0.30
7	11525.70	5880.47	0.32
7	10789.70	5504.97	0.30
8	10789.70	5504.97	0.30
9	11525.70	5880.47	0.32
9	10789.70	5504.97	0.30
10	10789.70	5504.97	0.30
11	11525.70	5880.47	0.32
11	10789.70	5504.97	0.30
12	10789.70	5504.97	0.30
13	11525.70	5880.47	0.32
13	10789.70	5504.97	0.30
14	10789.70	5504.97	0.30
15	11525.70	5880.47	0.32
15	10789.70	5504.97	0.30
16	10789.70	5504.97	0.30
17	16412.50	8373.71	0.45
18	16412.50	8373.71	0.45
19	15971.80	8148.90	0.44

Relazione di calcolo

20	15971.80	8148.90	0.44
21	15971.80	8148.90	0.44
22	12552.20	6404.20	0.35
23	12258.50	6254.33	0.34
24	11201.00	5714.79	0.31
25	11083.50	5654.84	0.31
26	10789.70	5504.97	0.30

Plinto n. 105

B=1.40 <m> L=1.40 <m> k₁=5000000.00 <daN/mc> kw=1843110.00 <daN/mc>

CC	N <daN>	q _{es} <daN/mq>	Ced <cm>
1	8938.40	4560.41	0.25
1	8437.63	4304.92	0.23
2	8437.63	4304.92	0.23
3	8938.40	4560.41	0.25
3	8437.63	4304.92	0.23
4	8437.63	4304.92	0.23
5	8938.40	4560.41	0.25
5	8437.63	4304.92	0.23
6	8437.63	4304.92	0.23
7	8938.40	4560.41	0.25
7	8437.63	4304.92	0.23
8	8437.63	4304.92	0.23
9	8938.40	4560.41	0.25
9	8437.63	4304.92	0.23
10	8437.63	4304.92	0.23
11	8938.40	4560.41	0.25
11	8437.63	4304.92	0.23
12	8437.63	4304.92	0.23
13	8938.40	4560.41	0.25
13	8437.63	4304.92	0.23
14	8437.63	4304.92	0.23
15	8938.40	4560.41	0.25
15	8437.63	4304.92	0.23
16	8437.63	4304.92	0.23
17	12067.10	6156.70	0.33
18	12067.10	6156.70	0.33
19	11804.60	6022.77	0.33
20	11804.60	6022.77	0.33
21	11804.60	6022.77	0.33
22	9487.63	4840.63	0.26
23	9312.63	4751.34	0.26
24	8682.63	4429.92	0.24
25	8612.63	4394.20	0.24
26	8437.63	4304.92	0.23

Plinto n. 115

B=1.80 <m> L=1.80 <m> k₁=5000000.00 <daN/mc> kw=1701390.00 <daN/mc>

CC	N <daN>	q _{es} <daN/mq>	Ced <cm>
1	13125.70	4051.15	0.24
1	12389.70	3823.99	0.22
2	12389.70	3823.99	0.22
3	13125.70	4051.15	0.24
3	12389.70	3823.99	0.22
4	12389.70	3823.99	0.22
5	13125.70	4051.15	0.24
5	12389.70	3823.99	0.22
6	12389.70	3823.99	0.22
7	13125.70	4051.15	0.24
7	12389.70	3823.99	0.22
8	12389.70	3823.99	0.22
9	13125.70	4051.15	0.24
9	12389.70	3823.99	0.22
10	12389.70	3823.99	0.22
11	13125.70	4051.15	0.24
11	12389.70	3823.99	0.22
12	12389.70	3823.99	0.22
13	13125.70	4051.15	0.24
13	12389.70	3823.99	0.22
14	12389.70	3823.99	0.22
15	13125.70	4051.15	0.24
15	12389.70	3823.99	0.22
16	12389.70	3823.99	0.22
17	18012.50	5559.40	0.33
18	18012.50	5559.40	0.33
19	17571.80	5423.41	0.32

Relazione di calcolo

20	17571.80	5423.41	0.32
21	17571.80	5423.41	0.32
22	14152.20	4367.98	0.26
23	13858.50	4277.31	0.25
24	12801.00	3950.92	0.23
25	12683.50	3914.66	0.23
26	12389.70	3823.99	0.22

Plinto n. 117

B=1.80 <m> L=1.80 <m> k_i=5000000.00 <daN/mc> kw=1701390.00 <daN/mc>

CC	N <daN>	q _{es} <daN/mq>	Ced <cm>
1	19405.70	5989.42	0.35
1	18098.80	5586.06	0.33
2	18098.80	5586.06	0.33
3	19405.70	5989.42	0.35
3	18098.80	5586.06	0.33
4	18098.80	5586.06	0.33
5	19405.70	5989.42	0.35
5	18098.80	5586.06	0.33
6	18098.80	5586.06	0.33
7	19405.70	5989.42	0.35
7	18098.80	5586.06	0.33
8	18098.80	5586.06	0.33
9	19405.70	5989.42	0.35
9	18098.80	5586.06	0.33
10	18098.80	5586.06	0.33
11	19405.70	5989.42	0.35
11	18098.80	5586.06	0.33
12	18098.80	5586.06	0.33
13	19405.70	5989.42	0.35
13	18098.80	5586.06	0.33
14	18098.80	5586.06	0.33
15	19405.70	5989.42	0.35
15	18098.80	5586.06	0.33
16	18098.80	5586.06	0.33
17	29064.70	8970.58	0.53
18	29064.70	8970.58	0.53
19	28099.10	8672.55	0.51
20	28099.10	8672.55	0.51
21	28099.10	8672.55	0.51
22	21961.30	6778.19	0.40
23	21317.60	6579.50	0.39
24	19000.10	5864.23	0.34
25	18742.60	5784.75	0.34
26	18098.80	5586.06	0.33

Plinto n. 14

B=1.40 <m> L=1.40 <m> k_i=5000000.00 <daN/mc> kw=1843110.00 <daN/mc>

CC	N <daN>	q _{es} <daN/mq>	Ced <cm>
1	8197.96	4182.63	0.23
1	7764.51	3961.48	0.21
2	7764.51	3961.48	0.21
3	8197.96	4182.63	0.23
3	7764.51	3961.48	0.21
4	7764.51	3961.48	0.21
5	8197.96	4182.63	0.23
5	7764.51	3961.48	0.21
6	7764.51	3961.48	0.21
7	8197.96	4182.63	0.23
7	7764.51	3961.48	0.21
8	7764.51	3961.48	0.21
9	8197.96	4182.63	0.23
9	7764.51	3961.48	0.21
10	7764.51	3961.48	0.21
11	8197.96	4182.63	0.23
11	7764.51	3961.48	0.21
12	7764.51	3961.48	0.21
13	8197.96	4182.63	0.23
13	7764.51	3961.48	0.21
14	7764.51	3961.48	0.21
15	8197.96	4182.63	0.23
15	7764.51	3961.48	0.21
16	7764.51	3961.48	0.21
17	10866.30	5544.01	0.30
18	10866.30	5544.01	0.30
19	10645.90	5431.60	0.29

Relazione di calcolo

20	10645.90	5431.60	0.29
21	10645.90	5431.60	0.29
22	8645.76	4411.10	0.24
23	8498.88	4336.16	0.24
24	7970.13	4066.39	0.22
25	7911.38	4036.42	0.22
26	7764.51	3961.48	0.21

Plinto n. 123

B=1.40 <m> L=1.40 <m> k₁=5000000.00 <daN/mc> kw=1843110.00 <daN/mc>

CC	N <daN>	q _{es} <daN/mq>	Ced <cm>
1	8197.96	4182.63	0.23
1	7764.51	3961.48	0.21
2	7764.51	3961.48	0.21
3	8197.96	4182.63	0.23
3	7764.51	3961.48	0.21
4	7764.51	3961.48	0.21
5	8197.96	4182.63	0.23
5	7764.51	3961.48	0.21
6	7764.51	3961.48	0.21
7	8197.96	4182.63	0.23
7	7764.51	3961.48	0.21
8	7764.51	3961.48	0.21
9	8197.96	4182.63	0.23
9	7764.51	3961.48	0.21
10	7764.51	3961.48	0.21
11	8197.96	4182.63	0.23
11	7764.51	3961.48	0.21
12	7764.51	3961.48	0.21
13	8197.96	4182.63	0.23
13	7764.51	3961.48	0.21
14	7764.51	3961.48	0.21
15	8197.96	4182.63	0.23
15	7764.51	3961.48	0.21
16	7764.51	3961.48	0.21
17	10866.30	5544.01	0.30
18	10866.30	5544.01	0.30
19	10645.90	5431.60	0.29
20	10645.90	5431.60	0.29
21	10645.90	5431.60	0.29
22	8645.76	4411.10	0.24
23	8498.88	4336.16	0.24
24	7970.13	4066.39	0.22
25	7911.38	4036.42	0.22
26	7764.51	3961.48	0.21

Travata 4001

B=1.30 <m> L=9.40 <m> k₁=5000000.00 <daN/mc> kw=1893490.00 <daN/mc>

CC	N <daN>	q _{es} <daN/mq>	Ced <cm>
1	20116.30	1646.18	0.09
1	19721.00	1613.83	0.09
2	18391.90	1505.06	0.08
3	18704.20	1530.62	0.08
3	16503.40	1350.53	0.07
4	16973.20	1388.97	0.07
5	21687.40	1774.74	0.09
5	23296.00	1906.38	0.10
6	19968.40	1634.08	0.09
7	21621.90	1769.39	0.09
7	23142.80	1893.85	0.10
8	19901.10	1628.57	0.09
9	19677.40	1610.26	0.09
9	18701.30	1530.38	0.08
10	17945.00	1468.50	0.08
11	18265.30	1494.70	0.08
11	15483.70	1267.08	0.07
12	16526.40	1352.40	0.07
13	21248.40	1738.82	0.09
13	22276.30	1822.94	0.10
14	19521.60	1597.51	0.08
15	21183.00	1733.47	0.09
15	22123.10	1810.40	0.10
16	19454.30	1592.00	0.08
17	30548.60	2499.88	0.13
18	30548.60	2499.88	0.13
19	29514.10	2415.23	0.13

Relazione di calcolo

20	29514.10	2415.23	0.13
21	29514.10	2415.23	0.13
22	21484.80	1758.17	0.09
23	20795.20	1701.73	0.09
24	18312.50	1498.57	0.08
25	18036.60	1475.99	0.08
26	17347.00	1419.56	0.07

Travata 4002

B=1.30 <m> L=9.40 <m> k₁=5000000.00 <daN/mc> kw=1893490.00 <daN/mc>

CC	N <daN>	q _{es} <daN/mq>	Ced <cm>
1	26042.20	2131.11	0.11
1	23949.80	1959.89	0.10
2	23694.70	1939.01	0.10
3	25771.10	2108.93	0.11
3	23332.20	1909.35	0.10
4	23422.40	1916.73	0.10
5	26343.70	2155.79	0.11
5	24636.10	2016.04	0.11
6	23997.30	1963.78	0.10
7	26331.20	2154.76	0.11
7	24606.70	2013.64	0.11
8	23984.40	1962.72	0.10
9	25957.90	2124.21	0.11
9	23754.10	1943.87	0.10
10	23608.90	1931.99	0.10
11	25686.80	2102.03	0.11
11	23136.50	1893.33	0.10
12	23336.60	1909.71	0.10
13	26259.50	2148.89	0.11
13	24440.30	2000.03	0.11
14	23911.60	1956.76	0.10
15	26246.90	2147.86	0.11
15	24410.90	1997.62	0.11
16	23898.60	1955.70	0.10
17	42595.50	3485.72	0.18
18	42595.50	3485.72	0.18
19	40967.70	3352.51	0.18
20	40967.70	3352.51	0.18
21	40967.70	3352.51	0.18
22	30005.40	2455.44	0.13
23	28920.20	2366.63	0.12
24	25013.40	2046.93	0.11
25	24579.40	2011.40	0.11
26	23494.10	1922.60	0.10

Travata 4003

B=1.30 <m> L=9.40 <m> k₁=5000000.00 <daN/mc> kw=1893490.00 <daN/mc>

CC	N <daN>	q _{es} <daN/mq>	Ced <cm>
1	29411.40	2406.83	0.13
1	27138.10	2220.79	0.12
2	26749.40	2188.99	0.12
3	28371.30	2321.71	0.12
3	24831.90	2032.07	0.11
4	25732.00	2105.73	0.11
5	30563.90	2501.14	0.13
5	29693.00	2429.87	0.13
6	27876.60	2281.23	0.12
7	30511.70	2496.87	0.13
7	29576.70	2420.35	0.13
8	27825.40	2277.04	0.12
9	29969.50	2452.50	0.13
9	28434.50	2326.88	0.12
10	27317.60	2235.48	0.12
11	28929.40	2367.38	0.13
11	26128.30	2138.16	0.11
12	26300.20	2152.22	0.11
13	31122.00	2546.81	0.13
13	30989.40	2535.96	0.13
14	28444.80	2327.72	0.12
15	31069.80	2542.53	0.13
15	30873.10	2526.44	0.13
16	28393.50	2323.53	0.12
17	48018.30	3929.48	0.21
18	48018.30	3929.48	0.21
19	46170.70	3778.29	0.20

Relazione di calcolo

20	46170.70	3778.29	0.20
21	46170.70	3778.29	0.20
22	33829.60	2768.38	0.15
23	32597.90	2667.59	0.14
24	28163.80	2304.73	0.12
25	27671.10	2264.41	0.12
26	26439.40	2163.62	0.11

Travata 4004

B=1.30 <m> L=9.40 <m> k₁=5000000.00 <daN/mc> kw=1893490.00 <daN/mc>

CC	N <daN>	q _{es} <daN/mq>	Ced <cm>
1	29115.00	2382.57	0.13
1	26495.40	2168.20	0.11
2	26470.10	2166.13	0.11
3	29067.70	2378.70	0.13
3	26387.60	2159.38	0.11
4	26422.60	2162.24	0.11
5	29167.60	2386.88	0.13
5	26615.20	2178.00	0.12
6	26522.90	2170.45	0.11
7	29165.40	2386.70	0.13
7	26610.00	2177.58	0.12
8	26520.60	2170.26	0.11
9	29129.70	2383.77	0.13
9	26529.60	2171.00	0.11
10	26485.10	2167.35	0.11
11	29082.40	2379.90	0.13
11	26421.80	2162.18	0.11
12	26437.50	2163.46	0.11
13	29182.30	2388.08	0.13
13	26649.30	2180.79	0.12
14	26537.90	2171.67	0.11
15	29180.10	2387.90	0.13
15	26644.20	2180.38	0.12
16	26535.60	2171.49	0.11
17	48515.00	3970.13	0.21
18	48515.00	3970.13	0.21
19	46577.70	3811.59	0.20
20	46577.70	3811.59	0.20
21	46577.70	3811.59	0.20
22	34199.40	2798.64	0.15
23	32907.80	2692.95	0.14
24	28258.20	2312.46	0.12
25	27741.60	2270.18	0.12
26	26450.10	2164.49	0.11

Travata 4006

B=1.30 <m> L=9.40 <m> k₁=5000000.00 <daN/mc> kw=1893490.00 <daN/mc>

CC	N <daN>	q _{es} <daN/mq>	Ced <cm>
1	27949.60	2287.20	0.12
1	25410.20	2079.40	0.11
2	25408.80	2079.28	0.11
3	27948.10	2287.08	0.12
3	25406.90	2079.12	0.11
4	25407.40	2079.16	0.11
5	27951.20	2287.34	0.12
5	25414.00	2079.70	0.11
6	25410.50	2079.42	0.11
7	27951.20	2287.33	0.12
7	25413.80	2079.69	0.11
8	25410.40	2079.41	0.11
9	27949.20	2287.16	0.12
9	25409.20	2079.31	0.11
10	25408.40	2079.25	0.11
11	27947.70	2287.04	0.12
11	25405.80	2079.04	0.11
12	25406.90	2079.12	0.11
13	27950.80	2287.30	0.12
13	25412.90	2079.61	0.11
14	25410.00	2079.38	0.11
15	27950.70	2287.29	0.12
15	25412.70	2079.60	0.11
16	25410.00	2079.37	0.11
17	46561.90	3810.30	0.20
18	46561.90	3810.30	0.20
19	44707.10	3658.52	0.19

Relazione di calcolo

20	44707.10	3658.52	0.19
21	44707.10	3658.52	0.19
22	32827.10	2686.34	0.14
23	31590.50	2585.15	0.14
24	27138.90	2220.86	0.12
25	26644.30	2180.38	0.12
26	25407.80	2079.19	0.11

Travata 4008

B=1.30 <m> L=9.40 <m> k₁=5000000.00 <daN/mc> kw=1893490.00 <daN/mc>

CC	N <daN>	q _{es} <daN/mq>	Ced <cm>
1	25230.20	2064.67	0.11
1	22937.20	1877.02	0.10
2	22936.60	1876.97	0.10
3	25229.10	2064.57	0.11
3	22934.60	1876.81	0.10
4	22935.50	1876.88	0.10
5	25231.50	2064.77	0.11
5	22940.10	1877.26	0.10
6	22937.90	1877.08	0.10
7	25231.40	2064.76	0.11
7	22939.90	1877.25	0.10
8	22937.80	1877.07	0.10
9	25230.60	2064.69	0.11
9	22938.00	1877.09	0.10
10	22937.00	1877.00	0.10
11	25229.40	2064.60	0.11
11	22935.40	1876.88	0.10
12	22935.80	1876.91	0.10
13	25231.80	2064.80	0.11
13	22940.90	1877.32	0.10
14	22938.20	1877.10	0.10
15	25231.80	2064.79	0.11
15	22940.80	1877.31	0.10
16	22938.20	1877.10	0.10
17	41948.70	3432.79	0.18
18	41948.70	3432.79	0.18
19	40285.80	3296.71	0.17
20	40285.80	3296.71	0.17
21	40285.80	3296.71	0.17
22	29587.80	2421.26	0.13
23	28479.20	2330.54	0.12
24	24488.20	2003.94	0.11
25	24044.70	1967.65	0.10
26	22936.10	1876.93	0.10

Travata 4010

B=1.30 <m> L=9.40 <m> k₁=5000000.00 <daN/mc> kw=1893490.00 <daN/mc>

CC	N <daN>	q _{es} <daN/mq>	Ced <cm>
1	28745.50	2352.33	0.12
1	26150.00	2139.94	0.11
2	26133.60	2138.59	0.11
3	28728.00	2350.90	0.12
3	26110.10	2136.67	0.11
4	26116.00	2137.15	0.11
5	28765.00	2353.93	0.12
5	26194.40	2143.56	0.11
6	26153.10	2140.19	0.11
7	28764.20	2353.86	0.12
7	26192.50	2143.41	0.11
8	26152.30	2140.12	0.11
9	28740.10	2351.89	0.12
9	26137.40	2138.90	0.11
10	26128.00	2138.14	0.11
11	28722.50	2350.45	0.12
11	26097.50	2135.64	0.11
12	26110.40	2136.70	0.11
13	28759.50	2353.48	0.12
13	26181.70	2142.53	0.11
14	26147.60	2139.74	0.11
15	28758.70	2353.41	0.12
15	26179.80	2142.38	0.11
16	26146.70	2139.67	0.11
17	47883.70	3918.47	0.21
18	47883.70	3918.47	0.21
19	45975.20	3762.29	0.20

Relazione di calcolo

20	45975.20	3762.29	0.20
21	45975.20	3762.29	0.20
22	33754.90	2762.27	0.15
23	32482.50	2658.14	0.14
24	27901.90	2283.30	0.12
25	27393.00	2241.65	0.12
26	26120.60	2137.53	0.11

Travata 4012

B=1.30 <m> L=9.40 <m> k₁=5000000.00 <daN/mc> kw=1893490.00 <daN/mc>

CC	N <daN>	q _{es} <daN/mq>	Ced <cm>
1	27351.40	2238.25	0.12
1	24874.40	2035.54	0.11
2	24865.60	2034.83	0.11
3	27335.10	2236.91	0.12
3	24837.10	2032.49	0.11
4	24849.20	2033.48	0.11
5	27369.60	2239.74	0.12
5	24915.80	2038.93	0.11
6	24883.90	2036.32	0.11
7	27368.90	2239.68	0.12
7	24914.00	2038.79	0.11
8	24883.10	2036.26	0.11
9	27356.50	2238.67	0.12
9	24886.20	2036.51	0.11
10	24870.80	2035.25	0.11
11	27340.20	2237.33	0.12
11	24848.90	2033.46	0.11
12	24854.30	2033.91	0.11
13	27374.70	2240.16	0.12
13	24927.60	2039.90	0.11
14	24889.00	2036.75	0.11
15	27374.00	2240.10	0.12
15	24925.80	2039.76	0.11
16	24888.30	2036.68	0.11
17	45262.70	3703.99	0.20
18	45262.70	3703.99	0.20
19	43504.30	3560.09	0.19
20	43504.30	3560.09	0.19
21	43504.30	3560.09	0.19
22	31892.50	2609.86	0.14
23	30720.20	2513.93	0.13
24	26499.90	2168.57	0.11
25	26031.00	2130.19	0.11
26	24858.70	2034.26	0.11

Travata 4013

B=1.30 <m> L=19.70 <m> k₁=5000000.00 <daN/mc> kw=1893490.00 <daN/mc>

CC	N <daN>	q _{es} <daN/mq>	Ced <cm>
1	40772.10	1592.04	0.08
1	41211.80	1609.21	0.08
2	37435.40	1461.75	0.08
3	39637.90	1547.75	0.08
3	38631.00	1508.43	0.08
4	36297.60	1417.32	0.07
5	40191.10	1569.35	0.08
5	39688.80	1549.74	0.08
6	36776.10	1436.01	0.08
7	38559.00	1505.62	0.08
7	35802.50	1397.99	0.07
8	35073.20	1369.51	0.07
9	41667.10	1626.99	0.09
9	43291.00	1690.40	0.09
10	38346.60	1497.33	0.08
11	40532.90	1582.70	0.08
11	40710.20	1589.62	0.08
12	37208.80	1452.90	0.08
13	41086.20	1604.30	0.08
13	41768.00	1630.93	0.09
14	37687.30	1471.58	0.08
15	39454.10	1540.57	0.08
15	37881.70	1479.18	0.08
16	35984.40	1405.09	0.07
17	61085.40	2385.22	0.13
18	61085.40	2385.22	0.13
19	58959.50	2302.21	0.12

Relazione di calcolo

20	58959.50	2302.21	0.12
21	58959.50	2302.21	0.12
22	42987.50	1678.54	0.09
23	41570.20	1623.20	0.09
24	36468.10	1423.98	0.08
25	35901.20	1401.84	0.07
26	34483.90	1346.50	0.07

Travata 4014

B=1.30 <m> L=9.40 <m> k₁=5000000.00 <daN/mc> kw=1893490.00 <daN/mc>

CC	N <daN>	q _{es} <daN/mq>	Ced <cm>
1	19553.70	1600.14	0.08
1	18622.40	1523.93	0.08
2	17834.90	1459.49	0.08
3	18083.30	1479.81	0.08
3	15272.10	1249.76	0.07
4	16357.80	1338.60	0.07
5	21189.60	1734.01	0.09
5	22345.00	1828.56	0.10
6	19476.50	1593.82	0.08
7	21121.40	1728.43	0.09
7	22185.40	1815.50	0.10
8	19406.50	1588.09	0.08
9	20010.70	1637.54	0.09
9	19684.20	1610.82	0.09
10	18300.20	1497.56	0.08
11	18540.40	1517.22	0.08
11	16333.80	1336.65	0.07
12	16823.00	1376.68	0.07
13	21646.70	1771.41	0.09
13	23406.70	1915.45	0.10
14	19941.80	1631.90	0.09
15	21578.50	1765.83	0.09
15	23247.20	1902.39	0.10
16	19871.80	1626.17	0.09
17	30318.20	2481.03	0.13
18	30318.20	2481.03	0.13
19	29290.30	2396.92	0.13
20	29290.30	2396.92	0.13
21	29290.30	2396.92	0.13
22	21323.80	1744.99	0.09
23	20638.60	1688.92	0.09
24	18171.60	1487.04	0.08
25	17897.50	1464.61	0.08
26	17212.20	1408.53	0.07

Travata 4019

B=1.30 <m> L=65.00 <m> k₁=5000000.00 <daN/mc> kw=1893490.00 <daN/mc>

CC	N <daN>	q _{es} <daN/mq>	Ced <cm>
1	161135.00	1906.92	0.10
1	146582.00	1734.70	0.09
2	146493.00	1733.65	0.09
3	160968.00	1904.95	0.10
3	146202.00	1730.20	0.09
4	146325.00	1731.66	0.09
5	161321.00	1909.12	0.10
5	147005.00	1739.70	0.09
6	146679.00	1735.85	0.09
7	161313.00	1909.03	0.10
7	146987.00	1739.49	0.09
8	146671.00	1735.76	0.09
9	161187.00	1907.54	0.10
9	146703.00	1736.13	0.09
10	146546.00	1734.27	0.09
11	161020.00	1905.56	0.10
11	146323.00	1731.63	0.09
12	146378.00	1732.29	0.09
13	161373.00	1909.73	0.10
13	147126.00	1741.13	0.09
14	146732.00	1736.48	0.09
15	161365.00	1909.64	0.10
15	147107.00	1740.92	0.09
16	146724.00	1736.38	0.09
17	267064.00	3160.52	0.17
18	267064.00	3160.52	0.17
19	256607.00	3036.77	0.16

Relazione di calcolo

20	256607.00	3036.77	0.16
21	256607.00	3036.77	0.16
22	188251.00	2227.82	0.12
23	181280.00	2145.32	0.11
24	156182.00	1848.31	0.10
25	153394.00	1815.31	0.10
26	146422.00	1732.81	0.09

Travata 4023

B=1.30 <m> L=5.00 <m> k₁=5000000.00 <daN/mc> kw=1893490.00 <daN/mc>

CC	N <daN>	q _{es} <daN/mq>	Ced <cm>
1	12722.10	1957.25	0.10
1	14290.60	2198.55	0.12
2	11793.70	1814.41	0.10
3	11829.60	1819.94	0.10
3	12326.60	1896.40	0.10
4	10927.20	1681.10	0.09
5	12540.10	1929.24	0.10
5	13672.10	2103.40	0.11
6	11529.50	1773.77	0.09
7	11491.50	1767.93	0.09
7	11178.10	1719.70	0.09
8	10436.50	1605.62	0.08
9	13315.20	2048.49	0.11
9	15668.40	2410.52	0.13
10	12397.40	1907.30	0.10
11	12422.70	1911.18	0.10
11	13704.40	2108.37	0.11
12	11530.90	1773.99	0.09
13	13133.20	2020.49	0.11
13	15049.90	2315.37	0.12
14	12133.30	1866.66	0.10
15	12084.60	1859.17	0.10
15	12555.80	1931.67	0.10
16	11040.30	1698.51	0.09
17	17478.40	2688.98	0.14
18	17478.40	2688.98	0.14
19	16857.20	2593.42	0.14
20	16857.20	2593.42	0.14
21	16857.20	2593.42	0.14
22	12325.20	1896.19	0.10
23	11911.10	1832.48	0.10
24	10420.40	1603.14	0.08
25	10254.80	1577.66	0.08
26	9840.72	1513.96	0.08

Travata 4025

B=1.30 <m> L=55.00 <m> k₁=5000000.00 <daN/mc> kw=1893490.00 <daN/mc>

CC	N <daN>	q _{es} <daN/mq>	Ced <cm>
1	127201.00	1779.04	0.09
1	117262.00	1640.03	0.09
2	115784.00	1619.35	0.09
3	127138.00	1778.16	0.09
3	117126.00	1638.13	0.09
4	115723.00	1618.51	0.09
5	126495.00	1769.16	0.09
5	115567.00	1616.33	0.09
6	115041.00	1608.97	0.08
7	125827.00	1759.81	0.09
7	113978.00	1594.10	0.08
8	114345.00	1599.23	0.08
9	127274.00	1780.05	0.09
9	117431.00	1642.39	0.09
10	115857.00	1620.38	0.09
11	127211.00	1779.17	0.09
11	117294.00	1640.48	0.09
12	115797.00	1619.54	0.09
13	126567.00	1770.17	0.09
13	115736.00	1618.68	0.09
14	115115.00	1610.00	0.09
15	125899.00	1760.83	0.09
15	114146.00	1596.45	0.08
16	114418.00	1600.26	0.08
17	209240.00	2926.43	0.15
18	209240.00	2926.43	0.15
19	201006.00	2811.27	0.15

Relazione di calcolo

20	201006.00	2811.27	0.15
21	201006.00	2811.27	0.15
22	147565.00	2063.85	0.11
23	142076.00	1987.07	0.10
24	122314.00	1710.69	0.09
25	120119.00	1679.98	0.09
26	114629.00	1603.21	0.08

Travata 4031

B=1.30 <m> L=45.00 <m> k₁=5000000.00 <daN/mc> kw=1893490.00 <daN/mc>

CC	N <daN>	q _{es} <daN/mq>	Ced <cm>
1	105249.00	1799.14	0.10
1	95821.90	1637.98	0.09
2	95689.90	1635.72	0.09
3	105126.00	1797.03	0.09
3	95549.30	1633.32	0.09
4	95569.60	1633.67	0.09
5	105386.00	1801.47	0.10
5	96124.00	1643.15	0.09
6	95823.20	1638.00	0.09
7	105380.00	1801.36	0.10
7	96110.30	1642.91	0.09
8	95817.10	1637.90	0.09
9	105183.00	1798.01	0.09
9	95668.70	1635.36	0.09
10	95622.70	1634.58	0.09
11	105061.00	1795.91	0.09
11	95396.00	1630.70	0.09
12	95502.40	1632.52	0.09
13	105320.00	1800.34	0.10
13	95970.70	1640.53	0.09
14	95756.00	1636.85	0.09
15	105314.00	1800.23	0.10
15	95957.00	1640.29	0.09
16	95749.90	1636.75	0.09
17	173866.00	2972.06	0.16
18	173866.00	2972.06	0.16
19	167123.00	2856.81	0.15
20	167123.00	2856.81	0.15
21	167123.00	2856.81	0.15
22	122556.00	2094.98	0.11
23	118061.00	2018.14	0.11
24	101879.00	1741.52	0.09
25	100081.00	1710.79	0.09
26	95586.10	1633.95	0.09

Travata 4035

B=1.30 <m> L=19.70 <m> k₁=5000000.00 <daN/mc> kw=1893490.00 <daN/mc>

CC	N <daN>	q _{es} <daN/mq>	Ced <cm>
1	40658.60	1587.61	0.08
1	41838.10	1633.66	0.09
2	37377.60	1459.49	0.08
3	39504.10	1542.53	0.08
3	39213.70	1531.19	0.08
4	36220.30	1414.30	0.07
5	40328.40	1574.71	0.08
5	40915.10	1597.62	0.08
6	36981.20	1444.01	0.08
7	38891.00	1518.59	0.08
7	37499.40	1464.25	0.08
8	35484.10	1385.56	0.07
9	39847.40	1555.93	0.08
9	39953.70	1560.08	0.08
10	36551.80	1427.25	0.08
11	38692.90	1510.85	0.08
11	37329.30	1457.60	0.08
12	35394.50	1382.06	0.07
13	39517.20	1543.04	0.08
13	39030.70	1524.04	0.08
14	36155.40	1411.77	0.07
15	38079.80	1486.91	0.08
15	35615.00	1390.67	0.07
16	34658.30	1353.31	0.07
17	59964.80	2341.46	0.12
18	59964.80	2341.46	0.12
19	57888.10	2260.37	0.12

Relazione di calcolo

20	57888.10	2260.37	0.12
21	57888.10	2260.37	0.12
22	42197.90	1647.71	0.09
23	40813.40	1593.65	0.08
24	35829.20	1399.03	0.07
25	35275.40	1377.41	0.07
26	33890.90	1323.35	0.07

Travata 4037

B=1.30 <m> L=9.40 <m> k₁=5000000.00 <daN/mc> kw=1893490.00 <daN/mc>

CC	N <daN>	q _{es} <daN/mq>	Ced <cm>
1	24938.80	2040.82	0.11
1	22773.90	1863.66	0.10
2	22680.30	1856.00	0.10
3	24879.90	2036.00	0.11
3	22639.50	1852.66	0.10
4	22621.10	1851.15	0.10
5	24968.50	2043.25	0.11
5	22837.90	1868.89	0.10
6	22708.80	1858.33	0.10
7	24935.00	2040.51	0.11
7	22758.40	1862.39	0.10
8	22673.90	1855.47	0.10
9	24967.00	2043.13	0.11
9	22839.40	1869.02	0.10
10	22709.00	1858.35	0.10
11	24908.10	2038.31	0.11
11	22705.00	1858.02	0.10
12	22649.80	1853.50	0.10
13	24996.70	2045.56	0.11
13	22903.40	1874.26	0.10
14	22737.50	1860.68	0.10
15	24963.20	2042.82	0.11
15	22823.90	1867.75	0.10
16	22702.60	1857.82	0.10
17	41336.20	3382.67	0.18
18	41336.20	3382.67	0.18
19	39699.10	3248.70	0.17
20	39699.10	3248.70	0.17
21	39699.10	3248.70	0.17
22	29155.50	2385.88	0.13
23	28064.10	2296.57	0.12
24	24134.90	1975.04	0.10
25	23698.40	1939.31	0.10
26	22606.90	1850.00	0.10

Travata 4039

B=1.30 <m> L=9.40 <m> k₁=5000000.00 <daN/mc> kw=1893490.00 <daN/mc>

CC	N <daN>	q _{es} <daN/mq>	Ced <cm>
1	27905.10	2283.56	0.12
1	25406.40	2079.08	0.11
2	25371.40	2076.22	0.11
3	27898.50	2283.02	0.12
3	25392.10	2077.92	0.11
4	25365.10	2075.70	0.11
5	27899.50	2283.10	0.12
5	25391.70	2077.88	0.11
6	25365.00	2075.70	0.11
7	27888.30	2282.18	0.12
7	25364.90	2075.69	0.11
8	25353.20	2074.73	0.11
9	27896.00	2282.81	0.12
9	25385.30	2077.36	0.11
10	25362.10	2075.46	0.11
11	27889.40	2282.28	0.12
11	25371.10	2076.19	0.11
12	25355.90	2074.95	0.11
13	27890.50	2282.36	0.12
13	25370.60	2076.15	0.11
14	25355.80	2074.94	0.11
15	27879.20	2281.44	0.12
15	25343.80	2073.96	0.11
16	25344.00	2073.98	0.11
17	46444.40	3800.69	0.20
18	46444.40	3800.69	0.20
19	44594.10	3649.27	0.19

Relazione di calcolo

20	44594.10	3649.27	0.19
21	44594.10	3649.27	0.19
22	32745.20	2679.64	0.14
23	31511.60	2578.69	0.14
24	27071.00	2215.30	0.12
25	26577.60	2174.92	0.11
26	25344.00	2073.98	0.11

Travata 4041

B=1.30 <m> L=9.40 <m> k₁=5000000.00 <daN/mc> kw=1893490.00 <daN/mc>

CC	N <daN>	q _{es} <daN/mq>	Ced <cm>
1	25354.30	2074.82	0.11
1	23051.80	1886.40	0.10
2	23049.60	1886.22	0.10
3	25352.60	2074.68	0.11
3	23047.70	1886.07	0.10
4	23047.80	1886.07	0.10
5	25355.60	2074.93	0.11
5	23054.70	1886.63	0.10
6	23050.90	1886.32	0.10
7	25354.90	2074.87	0.11
7	23053.10	1886.50	0.10
8	23050.20	1886.26	0.10
9	25355.00	2074.88	0.11
9	23053.40	1886.53	0.10
10	23050.30	1886.27	0.10
11	25353.20	2074.73	0.11
11	23049.30	1886.19	0.10
12	23048.50	1886.13	0.10
13	25356.30	2074.98	0.11
13	23056.20	1886.76	0.10
14	23051.50	1886.38	0.10
15	25355.60	2074.93	0.11
15	23054.60	1886.63	0.10
16	23050.80	1886.32	0.10
17	42154.00	3449.59	0.18
18	42154.00	3449.59	0.18
19	40483.00	3312.85	0.17
20	40483.00	3312.85	0.17
21	40483.00	3312.85	0.17
22	29731.70	2433.04	0.13
23	28617.70	2341.88	0.12
24	24607.40	2013.70	0.11
25	24161.80	1977.24	0.10
26	23047.90	1886.08	0.10

Travata 4043

B=1.30 <m> L=9.40 <m> k₁=5000000.00 <daN/mc> kw=1893490.00 <daN/mc>

CC	N <daN>	q _{es} <daN/mq>	Ced <cm>
1	28018.80	2292.87	0.12
1	25532.20	2089.37	0.11
2	25476.70	2084.84	0.11
3	27999.40	2291.28	0.12
3	25489.90	2085.92	0.11
4	25458.10	2083.31	0.11
5	28012.70	2292.37	0.12
5	25513.10	2087.82	0.11
6	25468.50	2084.17	0.11
7	27988.10	2290.35	0.12
7	25454.60	2083.03	0.11
8	25442.90	2082.07	0.11
9	28035.90	2294.27	0.12
9	25571.90	2092.63	0.11
10	25494.10	2086.26	0.11
11	28016.50	2292.68	0.12
11	25529.60	2089.17	0.11
12	25475.50	2084.74	0.11
13	28029.80	2293.77	0.12
13	25552.90	2091.07	0.11
14	25485.90	2085.59	0.11
15	28005.20	2291.75	0.12
15	25494.40	2086.28	0.11
16	25460.30	2083.49	0.11
17	46620.20	3815.08	0.20
18	46620.20	3815.08	0.20
19	44761.20	3662.94	0.19

Relazione di calcolo

20	44761.20	3662.94	0.19
21	44761.20	3662.94	0.19
22	32869.60	2689.82	0.14
23	31630.20	2588.39	0.14
24	27168.50	2223.28	0.12
25	26672.70	2182.71	0.12
26	25433.30	2081.29	0.11

Travata 4045

B=1.30 <m> L=9.40 <m> k₁=5000000.00 <daN/mc> kw=1893490.00 <daN/mc>

CC	N <daN>	q _{es} <daN/mq>	Ced <cm>
1	23675.80	1937.47	0.10
1	22242.10	1820.14	0.10
2	21584.40	1766.32	0.09
3	23559.10	1927.91	0.10
3	21984.00	1799.02	0.10
4	21470.50	1757.00	0.09
5	23559.00	1927.91	0.10
5	21940.80	1795.49	0.09
6	21453.30	1755.59	0.09
7	23342.20	1910.16	0.10
7	21424.60	1753.24	0.09
8	21227.00	1737.07	0.09
9	23519.20	1924.65	0.10
9	21878.20	1790.36	0.09
10	21424.90	1753.27	0.09
11	23402.50	1915.10	0.10
11	21620.20	1769.24	0.09
12	21311.10	1743.95	0.09
13	23402.40	1915.09	0.10
13	21577.00	1765.71	0.09
14	21293.80	1742.54	0.09
15	23185.60	1897.35	0.10
15	21060.70	1723.46	0.09
16	21067.60	1724.02	0.09
17	38413.80	3143.51	0.17
18	38413.80	3143.51	0.17
19	36908.60	3020.34	0.16
20	36908.60	3020.34	0.16
21	36908.60	3020.34	0.16
22	27091.40	2216.97	0.12
23	26087.90	2134.86	0.11
24	22475.50	1839.24	0.10
25	22074.10	1806.39	0.10
26	21070.70	1724.28	0.09

Travata 4056

B=1.30 <m> L=5.00 <m> k₁=5000000.00 <daN/mc> kw=1893490.00 <daN/mc>

CC	N <daN>	q _{es} <daN/mq>	Ced <cm>
1	13476.10	2073.24	0.11
1	16069.90	2472.29	0.13
2	12566.50	1933.30	0.10
3	12561.30	1932.51	0.10
3	14055.80	2162.43	0.11
4	11677.70	1796.57	0.09
5	13218.00	2033.54	0.11
5	15267.10	2348.79	0.12
6	12221.70	1880.26	0.10
7	12082.00	1858.78	0.10
7	12564.90	1933.06	0.10
8	11037.50	1698.07	0.09
9	12846.50	1976.38	0.10
9	14607.30	2247.28	0.12
10	11925.50	1834.69	0.10
11	11931.70	1835.65	0.10
11	12593.20	1937.42	0.10
12	11036.80	1697.96	0.09
13	12588.40	1936.67	0.10
13	13804.50	2123.78	0.11
14	11580.80	1781.65	0.09
15	11452.40	1761.91	0.09
15	11102.30	1708.05	0.09
16	10396.50	1599.46	0.08
17	17456.30	2685.59	0.14
18	17456.30	2685.59	0.14
19	16835.80	2590.13	0.14

Relazione di calcolo

20	16835.80	2590.13	0.14
21	16835.80	2590.13	0.14
22	12309.80	1893.82	0.10
23	11896.20	1830.18	0.10
24	10407.00	1601.08	0.08
25	10241.50	1575.62	0.08
26	9827.88	1511.98	0.08

Travata 4070

B=1.30 <m> L=9.40 <m> k₁=5000000.00 <daN/mc> kw=1893490.00 <daN/mc>

CC	N <daN>	q _{es} <daN/mq>	Ced <cm>
1	25417.80	2080.01	0.11
1	23183.90	1897.21	0.10
2	23109.30	1891.11	0.10
3	25218.20	2063.68	0.11
3	22741.30	1860.99	0.10
4	22914.10	1875.13	0.10
5	25638.90	2098.11	0.11
5	23674.20	1937.33	0.10
6	23325.60	1908.81	0.10
7	25628.90	2097.29	0.11
7	23651.90	1935.51	0.10
8	23315.80	1908.00	0.10
9	25524.90	2088.78	0.11
9	23432.70	1917.57	0.10
10	23218.30	1900.03	0.10
11	25325.30	2072.44	0.11
11	22990.10	1881.35	0.10
12	23023.10	1884.05	0.10
13	25746.00	2106.88	0.11
13	23923.00	1957.69	0.10
14	23434.70	1917.73	0.10
15	25736.00	2106.06	0.11
15	23900.70	1955.86	0.10
16	23424.80	1916.92	0.10
17	41896.10	3428.49	0.18
18	41896.10	3428.49	0.18
19	40278.50	3296.11	0.17
20	40278.50	3296.11	0.17
21	40278.50	3296.11	0.17
22	29520.30	2415.73	0.13
23	28441.80	2327.48	0.12
24	24559.60	2009.79	0.11
25	24128.20	1974.49	0.10
26	23049.80	1886.24	0.10

Travata 4072

B=1.30 <m> L=9.40 <m> k₁=5000000.00 <daN/mc> kw=1893490.00 <daN/mc>

CC	N <daN>	q _{es} <daN/mq>	Ced <cm>
1	24210.10	1981.19	0.10
1	22050.30	1804.45	0.10
2	22011.70	1801.28	0.10
3	24174.10	1978.24	0.10
3	21970.60	1797.92	0.09
4	21976.50	1798.41	0.09
5	24250.00	1984.45	0.10
5	22138.70	1811.68	0.10
6	22050.70	1804.48	0.10
7	24248.20	1984.30	0.10
7	22134.70	1811.35	0.10
8	22048.90	1804.33	0.10
9	24190.80	1979.61	0.10
9	22005.50	1800.78	0.10
10	21992.10	1799.68	0.10
11	24154.80	1976.66	0.10
11	21925.70	1794.25	0.09
12	21956.90	1796.80	0.09
13	24230.70	1982.87	0.10
13	22093.90	1808.01	0.10
14	22031.00	1802.87	0.10
15	24228.90	1982.72	0.10
15	22089.80	1807.68	0.10
16	22029.30	1802.72	0.10
17	39945.30	3268.85	0.17
18	39945.30	3268.85	0.17
19	38402.50	3142.59	0.17

Relazione di calcolo

20	38402.50	3142.59	0.17
21	38402.50	3142.59	0.17
22	28152.60	2303.82	0.12
23	27124.10	2219.65	0.12
24	23421.30	1916.64	0.10
25	23009.90	1882.97	0.10
26	21981.30	1798.80	0.09

Travata 4074

B=1.30 <m> L=9.40 <m> k₁=5000000.00 <daN/mc> k_w=1893490.00 <daN/mc>

CC	N <daN>	q _{es} <daN/mq>	Ced <cm>
1	21595.20	1767.20	0.09
1	19637.50	1606.99	0.08
2	19632.20	1606.56	0.08
3	21581.20	1766.05	0.09
3	19606.30	1604.44	0.08
4	19618.40	1605.44	0.08
5	21610.80	1768.48	0.09
5	19672.00	1609.82	0.09
6	19647.40	1607.81	0.08
7	21610.10	1768.42	0.09
7	19670.40	1609.69	0.09
8	19646.70	1607.75	0.08
9	21602.80	1767.82	0.09
9	19655.00	1608.43	0.08
10	19639.90	1607.19	0.08
11	21588.70	1766.67	0.09
11	19623.80	1605.88	0.08
12	19626.10	1606.07	0.08
13	21618.40	1769.10	0.09
13	19689.50	1611.25	0.09
14	19655.10	1608.44	0.08
15	21617.70	1769.04	0.09
15	19687.90	1611.12	0.09
16	19654.40	1608.38	0.08
17	35544.70	2908.73	0.15
18	35544.70	2908.73	0.15
19	34185.90	2797.54	0.15
20	34185.90	2797.54	0.15
21	34185.90	2797.54	0.15
22	25062.90	2050.98	0.11
23	24157.10	1976.85	0.10
24	20896.20	1710.00	0.09
25	20533.80	1680.35	0.09
26	19628.00	1606.22	0.08

Travata 4076

B=1.30 <m> L=9.40 <m> k₁=5000000.00 <daN/mc> k_w=1893490.00 <daN/mc>

CC	N <daN>	q _{es} <daN/mq>	Ced <cm>
1	24943.50	2041.20	0.11
1	22689.40	1856.74	0.10
2	22676.70	1855.71	0.10
3	24931.70	2040.24	0.11
3	22663.30	1854.60	0.10
4	22665.20	1854.76	0.10
5	24956.50	2042.27	0.11
5	22718.30	1859.10	0.10
6	22689.50	1856.75	0.10
7	24955.90	2042.22	0.11
7	22716.90	1859.00	0.10
8	22688.90	1856.70	0.10
9	24937.20	2040.69	0.11
9	22674.70	1855.54	0.10
10	22670.30	1855.18	0.10
11	24925.40	2039.72	0.11
11	22648.60	1853.40	0.10
12	22658.80	1854.24	0.10
13	24950.20	2041.75	0.11
13	22703.60	1857.90	0.10
14	22683.00	1856.22	0.10
15	24949.60	2041.70	0.11
15	22702.30	1857.80	0.10
16	22682.50	1856.18	0.10
17	41228.60	3373.87	0.18
18	41228.60	3373.87	0.18
19	39631.90	3243.20	0.17

Relazione di calcolo

20	39631.90	3243.20	0.17
21	39631.90	3243.20	0.17
22	29053.70	2377.55	0.13
23	27989.20	2290.44	0.12
24	24157.10	1976.85	0.10
25	23731.30	1942.00	0.10
26	22666.80	1854.89	0.10

Travata 4078
B=1.30 <m> L=9.40 <m> k_i=5000000.00 <daN/mc> kw=1893490.00 <daN/mc>

CC	N <daN>	q _{es} <daN/mq>	Ced <cm>
1	30497.00	2495.67	0.13
1	28963.20	2370.14	0.13
2	27800.10	2274.97	0.12
3	29414.00	2407.04	0.13
3	26561.80	2173.63	0.11
4	26740.80	2188.28	0.12
5	31697.10	2593.87	0.14
5	31623.50	2587.84	0.14
6	28973.80	2371.02	0.13
7	31642.70	2589.42	0.14
7	31502.40	2577.94	0.14
8	28920.50	2366.65	0.12
9	29915.90	2448.11	0.13
9	27613.20	2259.67	0.12
10	27208.60	2226.56	0.12
11	28832.90	2359.49	0.12
11	25211.90	2063.17	0.11
12	26149.20	2139.87	0.11
13	31116.00	2546.32	0.13
13	30273.50	2477.38	0.13
14	28382.20	2322.61	0.12
15	31061.60	2541.86	0.13
15	30152.50	2467.47	0.13
16	28328.90	2318.24	0.12
17	48873.30	3999.45	0.21
18	48873.30	3999.45	0.21
19	46986.30	3845.03	0.20
20	46986.30	3845.03	0.20
21	46986.30	3845.03	0.20
22	34433.80	2817.82	0.15
23	33175.80	2714.88	0.14
24	28647.00	2344.27	0.12
25	28143.80	2303.09	0.12
26	26885.70	2200.14	0.12

Sintesi

Tipo di normativa: stati limite D.M. 18
Tipo di calcolo: analisi sismica dinamica

Dati generali della struttura

- Sito di costruzione: Villa Bonelli, 00149 Roma RM, Italia LON. 12.45520 LAT. 41.84790
Contenuto tra ID reticolo: 28734 28733 28512 28511

Pericolosità sismica di base

Simbologia

TCC=Tipo di combinazione di carico
SLU = Stato limite ultimo
SLU S = Stato limite ultimo (azione sismica)
SLE R = Stato limite d'esercizio, combinazione rara
SLE F = Stato limite d'esercizio, combinazione frequente
SLE Q = Stato limite d'esercizio, combinazione quasi permanente
SLD = Stato limite di danno
SLV = Stato limite di salvaguardia della vita
SLC = Stato limite di prevenzione del collasso
SLO = Stato limite di operatività
SLU I = Stato limite di resistenza al fuoco
SND = Stato limite di salvaguardia della vita (non dissipativo)
T_R =Periodo di ritorno <anni>
Ag =Accelerazione orizzontale massima al sito
Fo =Valore massimo del fattore di amplificazione dello spettro in accelerazione orizzontale
FV =Valore massimo del fattore di amplificazione dello spettro in accelerazione verticale
Tc*=Periodo di inizio del tratto a velocità costante dello spettro in accelerazione orizzontale <sec>
S_s =Coefficiente di amplificazione stratigrafica
C_c =Coefficiente funzione della categoria del suolo

Relazione di calcolo

S = Coefficiente di amplificazione stratigrafica e topografica
 TC = Periodo corrispondente all'inizio del tratto dello spettro a velocità costante
 TB = Periodo corrispondente all'inizio del tratto dello spettro ad accelerazione costante
 TD = Periodo corrispondente all'inizio del tratto dello spettro a spostamento costante

TCC	T _R	Ag <g>	Fo	FV	Tc*	S _s	C _c	S	TC	TB	TD
SLD	75	0.0637	2.49	0.85	0.28	1.50	1.60	1.50	0.44	0.15	1.85
SLV	712	0.1420	2.61	1.33	0.29	1.48	1.58	1.48	0.46	0.15	2.17

- Edificio esistente: No
- Tipo di opera: Opera ordinaria
- Vita nominale V_N: 50.00
- Classe d'uso: Classe III
- Coefficiente d'uso CU: 1.50
- Periodo di riferimento VR: 75.00

Dati di piano

Simbologia

Imp. = Numero dell'impalcato
 Lx = Dimensione del piano in dir. X
 Ly = Dimensione del piano in dir. Y
 Ex = Eccentricità in dir. X
 Ey = Eccentricità in dir. Y
 Ea = Eccentricità complessiva

Imp.	Lx <m>	Ly <m>	Ex <m>	Ey <m>	Ea <m>
1	45.00	65.00	2.25	3.25	3.95

Dati di progetto

- Categoria del suolo di fondazione: C
- Tipologia strutturale: acciaio con controventi concentrici a diagonale tesa attiva

Periodo T ₁	0.14998
Coeff. λ SLD	1.00
Coeff. λ SLV	1.00
Rapporto di sovraresistenza (α _u /α ₁)	--
Valore di riferimento del fattore di comportamento (q ₀)	4.00
Fattore riduttivo (K _w)	1.00
Fattore riduttivo regolarità in altezza (K _R)	1.00
Fattore di comportamento dissipativo (q)	4.00
Fattore di comportamento non dissipativo (q _{ND})	1.50
Fattore di comportamento per SLD (q _D)	1.50

- Categoria topografica: T1 - Superficie pianeggiante, pendii e rilievi isolati con inclinazione media i<=15°
- Coeff. amplificazione topografica S_T: 1.00
- Quota di riferimento: 0.00 <m>
- Quota max della struttura: 2.65 <m>
- Altezza della struttura: 2.65 <m>
- Numero piani edificio: 1
- Coefficiente θ: 0.00
- Edificio regolare in altezza: Sì
- Edificio regolare in pianta: No
- Struttura dissipativa: Sì
- Classe di duttilità: Classe B
- Fattore di comportamento per sisma verticale (q_v): 1.50
- Smorzamento spettro: 5.00%

Spettro SLD.TXT :

```
0.0000 0.9368
0.0500 1.1465
0.1000 1.3561
0.1480 1.5576
0.1500 1.5576
0.2000 1.5576
0.2500 1.5576
0.3000 1.5576
0.3500 1.5576
0.4000 1.5576
0.4441 1.5576
0.4500 1.5374
0.5000 1.3836
0.5500 1.2578
0.6000 1.1530
```


Relazione di calcolo

0.6500	1.0643
0.7000	0.9883
0.7500	0.9224
0.8000	0.8648
0.8500	0.8139
0.9000	0.7687
0.9500	0.7282
1.0000	0.6918
1.0500	0.6589
1.1000	0.6289
1.1500	0.6016
1.2000	0.5765
1.2500	0.5534
1.3000	0.5322
1.3500	0.5125
1.4000	0.4942
1.4500	0.4771
1.5000	0.4612
1.5500	0.4463
1.6000	0.4324
1.6500	0.4193
1.7000	0.4069
1.7500	0.3953
1.8000	0.3843
1.8500	0.3740
1.8546	0.3730
1.9000	0.3554
1.9500	0.3374
2.0000	0.3208
2.0500	0.3053
2.1000	0.2909
2.1500	0.2776
2.2000	0.2651
2.2500	0.2534
2.3000	0.2425
2.3500	0.2323
2.4000	0.2228
2.4500	0.2138
2.5000	0.2053
2.5500	0.1973
2.6000	0.1898
2.6500	0.1827
2.7000	0.1760
2.7500	0.1697
2.8000	0.1637
2.8500	0.1580
2.9000	0.1526
2.9500	0.1474
3.0000	0.1426
3.0500	0.1379
3.1000	0.1335
3.1500	0.1293
3.2000	0.1253
3.2500	0.1249
3.3000	0.1249
3.3500	0.1249
3.4000	0.1249
3.4500	0.1249
3.5000	0.1249
3.5500	0.1249
3.6000	0.1249
3.6500	0.1249
3.7000	0.1249
3.7500	0.1249
3.8000	0.1249
3.8500	0.1249
3.9000	0.1249
3.9500	0.1249
4.0000	0.1249

Spettro SLV.TXT :

0.0000	2.0587
0.0500	1.8251
0.1000	1.5916
0.1500	1.3581
0.1530	1.3441
0.2000	1.3441
0.2500	1.3441
0.3000	1.3441
0.3500	1.3441
0.4000	1.3441

Relazione di calcolo

0.4500	1.3441
0.4590	1.3441
0.5000	1.2338
0.5500	1.1216
0.6000	1.0282
0.6500	0.9491
0.7000	0.8813
0.7500	0.8225
0.8000	0.7711
0.8500	0.7258
0.9000	0.6854
0.9500	0.6494
1.0000	0.6169
1.0500	0.5875
1.1000	0.5608
1.1500	0.5364
1.2000	0.5141
1.2500	0.4935
1.3000	0.4745
1.3500	0.4570
1.4000	0.4406
1.4500	0.4254
1.5000	0.4113
1.5500	0.3980
1.6000	0.3856
1.6500	0.3739
1.7000	0.3629
1.7500	0.3525
1.8000	0.3427
1.8500	0.3335
1.9000	0.3247
1.9500	0.3164
2.0000	0.3084
2.0500	0.3009
2.1000	0.2938
2.1500	0.2869
2.1682	0.2845
2.2000	0.2787
2.2500	0.2787
2.3000	0.2787
2.3500	0.2787
2.4000	0.2787
2.4500	0.2787
2.5000	0.2787
2.5500	0.2787
2.6000	0.2787
2.6500	0.2787
2.7000	0.2787
2.7500	0.2787
2.8000	0.2787
2.8500	0.2787
2.9000	0.2787
2.9500	0.2787
3.0000	0.2787
3.0500	0.2787
3.1000	0.2787
3.1500	0.2787
3.2000	0.2787
3.2500	0.2787
3.3000	0.2787
3.3500	0.2787
3.4000	0.2787
3.4500	0.2787
3.5000	0.2787
3.5500	0.2787
3.6000	0.2787
3.6500	0.2787
3.7000	0.2787
3.7500	0.2787
3.8000	0.2787
3.8500	0.2787
3.9000	0.2787
3.9500	0.2787
4.0000	0.2787

Spettro SND.TXT :

0.0000	2.0587
0.0500	2.5573
0.1000	3.0559
0.1500	3.5546
0.1530	3.5843

Relazione di calcolo

0.2000	3.5843
0.2500	3.5843
0.3000	3.5843
0.3500	3.5843
0.4000	3.5843
0.4500	3.5843
0.4590	3.5843
0.5000	3.2901
0.5500	2.9910
0.6000	2.7418
0.6500	2.5308
0.7000	2.3501
0.7500	2.1934
0.8000	2.0563
0.8500	1.9354
0.9000	1.8278
0.9500	1.7316
1.0000	1.6451
1.0500	1.5667
1.1000	1.4955
1.1500	1.4305
1.2000	1.3709
1.2500	1.3160
1.3000	1.2654
1.3500	1.2186
1.4000	1.1750
1.4500	1.1345
1.5000	1.0967
1.5500	1.0613
1.6000	1.0282
1.6500	0.9970
1.7000	0.9677
1.7500	0.9400
1.8000	0.9139
1.8500	0.8892
1.9000	0.8658
1.9500	0.8436
2.0000	0.8225
2.0500	0.8025
2.1000	0.7834
2.1500	0.7651
2.1682	0.7587
2.2000	0.7369
2.2500	0.7045
2.3000	0.6742
2.3500	0.6459
2.4000	0.6192
2.4500	0.5942
2.5000	0.5707
2.5500	0.5485
2.6000	0.5276
2.6500	0.5079
2.7000	0.4893
2.7500	0.4716
2.8000	0.4549
2.8500	0.4391
2.9000	0.4241
2.9500	0.4099
3.0000	0.3963
3.0500	0.3834
3.1000	0.3711
3.1500	0.3595
3.2000	0.3483
3.2500	0.3377
3.3000	0.3275
3.3500	0.3178
3.4000	0.3085
3.4500	0.2997
3.5000	0.2912
3.5500	0.2830
3.6000	0.2787
3.6500	0.2787
3.7000	0.2787
3.7500	0.2787
3.8000	0.2787
3.8500	0.2787
3.9000	0.2787
3.9500	0.2787
4.0000	0.2787

Condizioni di carico elementari

Relazione di calcolo

Simbologia

CCE = Numero della condizione di carico elementare
 Comm. = Commento
 Tipo CCE = Tipo di CCE per calcolo agli stati limite
 Sic. = Contributo alla sicurezza
 F = a favore
 S = a sfavore
 A = ambigua
 Var. = Tipo di variabilità
 B = di base
 I = indipendente
 A = ambigua
 s = Coeff. di riduzione (T.A. o S.L. D.M. 96)
 Dir. = Direzione del vento
 Tipo = Tipologia di pressione vento
 M = Massimizzata
 E = Esterna
 I = Interna
 Mx = Moltiplicatore della massa in dir. X
 My = Moltiplicatore della massa in dir. Y
 Mz = Moltiplicatore della massa in dir. Z
 Jpx = Moltiplicatore del momento d'inerzia intorno all'asse X
 Jpy = Moltiplicatore del momento d'inerzia intorno all'asse Y
 Jpz = Moltiplicatore del momento d'inerzia intorno all'asse Z

CCE	Comm.	Tipo CCE	Sic.	Var.	s	Dir. <grad>	Tipo	Mx	My	Mz	Jpx	Jpy	Jpz
1	Perm. Strutt.	1	S	--	1.00	--	--	1.00	1.00	0.00	0.00	0.00	1.00
2	Perm. Non Strutt.	2	S	--	1.00	--	--	1.00	1.00	0.00	0.00	0.00	1.00
3	Variab. Autorimessa < 30	8	S	B	1.00	--	--	1.00	1.00	0.00	0.00	0.00	1.00
4	Neve	12	S	A	1.00	--	--	0.00	0.00	0.00	0.00	0.00	0.00
5	Termica +	10	A	A	1.00	--	--	0.00	0.00	0.00	0.00	0.00	0.00
6	Termica -	10	A	A	1.00	--	--	0.00	0.00	0.00	0.00	0.00	0.00

Elenco baricentri e masse impalcati

Simbologia

Imp. = Numero dell'impalcato
 X = Coordinata X
 Y = Coordinata Y
 Z = Coordinata Z
 Mo = Massa orizzontale
 Jpz = Massa rotazionale intorno all'asse Z

Imp.	X <m>	Y <m>	Z <m>	Mo <kg>	Jpz <kg*mq>
1	11.84	27.23	2.65	1348050.00	641439000.00

Totali masse impalcati

Mo <kg>	Jpz <kg*mq>
1348050.00	641439000.00

Elenco modi di vibrare, masse partecipanti e coefficienti di partecipazione

Simbologia

Modo = Numero del modo di vibrare
 C = * indica che il modo è stato considerato
 T = Periodo
 Diff. = Minima differenza percentuale dagli altri periodi
 Φ_x = Coefficiente di partecipazione in dir. X
 Φ_y = Coefficiente di partecipazione in dir. Y
 Φ_z = Coefficiente di partecipazione in dir. Z
 $\%M_x$ = Percentuale massa partecipante in dir. X
 $\%M_y$ = Percentuale massa partecipante in dir. Y
 $\%M_z$ = Percentuale massa partecipante in dir. Z
 $\%J_{pz}$ = Percentuale momento d'inerzia polare partecipante intorno all'asse Z

Modo	C	T	Diff.	Φ_x	Φ_y	Φ_z	$\%M_x$	$\%M_y$	$\%M_z$	$\%J_{pz}$
1*		0.15	4.91	-366.71	-8.90	0.00	99.75	0.06	0.00	0.19
2*		0.14	4.91	-14.51	336.25	0.00	0.16	83.87	0.00	15.97
3*		0.13	8.44	-10.99	-147.17	0.00	0.09	16.07	0.00	83.84
Tot.cons.							100.00	100.00	0.00	100.00

Materiali

Relazione di calcolo

Cemento armato

Elenco dei criteri di progetto e delle loro principali caratteristiche meccaniche utilizzate:

Plinti/Pali: 1 1

Travi in c.a.: 5 Trave rovescia

Calcestruzzo

Tipo di calcestruzzo: C32/40

Rck calcestruzzo (Rck calcestruzzo) <daN/cm²>: 400.00

Resistenza caratteristica cilindrica a compressione del calcestruzzo (Fck) <daN/cm²>: 332.00

Resistenza caratteristica a trazione del calcestruzzo (Fctk) <daN/cm²>: 21.69

α_{cc} : 0.85

γ_c : 1.50

Resistenza di calcolo a compressione del calcestruzzo (Fcd) <daN/cm²>: 188.13

Resistenza di calcolo a trazione del calcestruzzo (Fctd) <daN/cm²>: 14.46

Acciaio

Tipo di acciaio: B450C

Tensione caratteristica di snervamento dell'acciaio (Fyk) <daN/cm²>: 4500.00

γ_s : 1.15

Resistenza di calcolo dell'acciaio (Fyd) <daN/cm²>: 3913.04

Acciaio

Elenco dei criteri di progetto e delle loro principali caratteristiche meccaniche utilizzate:

Aste in acciaio: 2 Trave

Tipo di acciaio a sezione cava: S355 UNI EN 10025-2

Tensione caratteristica di snervamento dell'acciaio (Fyk) <daN/cm²>: 3550.00

Tensione caratteristica di rottura (Fyt) <daN/cm²>: 5100.00

Modulo elastico (E) <daN/cm²>: 2100000.00

Modulo elastico tangenziale (G) <daN/cm²>: 800000.00

Aste in acciaio: 1 Pilastro

Tipo di acciaio a sezione aperta: S355H UNI EN 10210-1

Tensione caratteristica di snervamento dell'acciaio (Fyk) <daN/cm²>: 3550.00

Tensione caratteristica di rottura (Fyt) <daN/cm²>: 5100.00

Modulo elastico (E) <daN/cm²>: 2100000.00

Modulo elastico tangenziale (G) <daN/cm²>: 800000.00

Aste in acciaio: 3 controventi concentrici

Tipo di acciaio a sezione cava: S275 UNI EN 10025-2

Tensione caratteristica di snervamento dell'acciaio (Fyk) <daN/cm²>: 2750.00

Tensione caratteristica di rottura (Fyt) <daN/cm²>: 4300.00

Modulo elastico (E) <daN/cm²>: 2100000.00

Modulo elastico tangenziale (G) <daN/cm²>: 800000.00

Collegamenti e reticolari in acciaio

Elenco dei criteri di progetto e delle loro principali caratteristiche meccaniche utilizzate:

Nodi in acciaio: 10 Piastra d'anima

Classe bulloni: 8.8

Classe Saldature: SECONDA

Nodi in acciaio: 1 Piastre di fondazione

Classe bulloni: 10.9

Classe Saldature: SECONDA

Nodi in acciaio: 5 Continuità con flangia

Classe bulloni: 6.8

Classe Saldature: SECONDA

Prove in sito

Elenco colonne stratigrafiche

Simbologia

St.	=Strato
z	=Profondità della superficie superiore dello strato
Spess.	=Spessore
Unità geotecnica	=Unità geotecnica
Class.	=Classificazione
	Coes. = Coesivo
	Inc. = Incoerente
	Roc. = Roccia

Relazione di calcolo

	N. c. = Non classificato
γ	=Peso specifico del terreno naturale
γ_{sat}	=Peso specifico del terreno saturo
ϕ'	=Angolo di attrito efficace
c'	=Coesione efficace
c_u	=Coesione non drenata
E	=Modulo elastico normale
G	=Modulo elastico tangenziale
E_{ed}	=Modulo edometrico

Colonna stratigrafica numero 1 S1

St.	z <m>	Spess. <cm>	Unità geotecnica	Class.	γ <daN/mc>	γ_{sat} <daN/mc>	ϕ' <grad>	c' <daN/mq>	c_u <daN/mq>	E <daN/mq>	G <daN/mq>	E_{ed} <daN/mq>
1	0.00	1.30	1 Riporto	Inc.	1700.00	1700.00	37.00	0.00				
2	1.30	--	4 RM_Argille Limose	Coes.	1600.00	1600.00	24.00	0.00	2800.00	1350000.00	556000.00	200000.00

Le verifiche degli elementi di fondazione sono state effettuate utilizzando l'approccio 2 - Combinazione 1.
Coefficienti parziali per le azioni, per verifiche in condizioni statiche:

Permanenti strutturali, sicurezza a favore $\gamma_A = 1.00$;
 Permanenti strutturali, sicurezza a sfavore $\gamma_A = 1.30$;
 Permanenti non strutturali, sicurezza a favore $\gamma_A = 0.00$;
 Permanenti non strutturali, sicurezza a sfavore $\gamma_A = 1.50$;
 Variabili, sicurezza a favore $\gamma_A = 0.00$;
 Variabili, sicurezza a sfavore $\gamma_A = 1.50$.

I coefficienti parziali per le azioni sono posti pari all'unità per le verifiche in condizioni sismiche.

Tali coefficienti sono comunque desumibili dalla tabella delle combinazioni delle CCE (Parametri di calcolo).

Coefficienti parziali per i parametri geotecnici:

Tangente dell'angolo di attrito $\gamma_M = 1.00$;
 Coesione efficace $\gamma_M = 1.00$;
 Coesione non drenata $\gamma_M = 1.00$;

Coefficienti parziali per la resistenza delle fondazioni superficiali:

Capacità portante $\gamma_R = 2.30$;

Scorrimento $\gamma_R = 1.10$;

Coefficienti parziali per la resistenza delle fondazioni profonde:

Per pali infissi:

Resistenza alla base $\gamma_{R,b} = 1.15$;
 Resistenza laterale in compressione $\gamma_{R,s} = 1.15$;
 Resistenza laterale in trazione $\gamma_{R,t} = 1.25$;

Per pali trivellati:

Resistenza alla base $\gamma_{R,b} = 1.35$;
 Resistenza laterale in compressione $\gamma_{R,s} = 1.15$;
 Resistenza laterale in trazione $\gamma_{R,t} = 1.25$;

Per pali ad elica continua:

Resistenza alla base $\gamma_{R,b} = 1.30$;
 Resistenza laterale in compressione $\gamma_{R,s} = 1.15$;
 Resistenza laterale in trazione $\gamma_{R,t} = 1.25$;

Fattore di correlazione per la determinazione della resistenza caratteristica desumibile dai criteri di progetto.

Carichi

Simbologia

Imp. = Numero dell'impalcato
 Quota = Quota impalcato
 Ts = Numero del tipo solaio
 Comm. = Commento
 M_{qTot} = Area solai
 Qps = Carico permanente strutturale
 CCE = Numero della condizione di carico elementare
 Qpn = Carico permanente non strutturale
 QA = Primo carico accidentale
 QA2 = Secondo carico accidentale
 QA3 = Terzo carico accidentale

Imp.	Quota <m>	Ts	Comm.	M_{qTot} <mq>	Qps <daN/mq>	CCE	Qpn <daN/mq>	CCE	QA <daN/mq>	CCE	QA2 <daN/mq>	CCE	QA3 <daN/mq>	CCE
1	2.65	1	Solaio lamiera grecata collaborante A55	2479.50	240.00	1	93.00	2	250.00	3	50.00	4	--	--

Spostamenti massimi d'impalcato

Simbologia

Imp. = Numero dell'impalcato
 TCC = Tipo di combinazione di carico

Relazione di calcolo

SLU = Stato limite ultimo
SLU S = Stato limite ultimo (azione sismica)
SLE R = Stato limite d'esercizio, combinazione rara
SLE F = Stato limite d'esercizio, combinazione frequente
SLE Q = Stato limite d'esercizio, combinazione quasi permanente
SLD = Stato limite di danno
SLV = Stato limite di salvaguardia della vita
SLC = Stato limite di prevenzione del collasso
SLO = Stato limite di operatività
SLU I = Stato limite di resistenza al fuoco
SND = Stato limite di salvaguardia della vita (non dissipativo)

Nodo = Numero del nodo
Sx = Spostamento in dir. X
CC = Numero della combinazione delle condizioni di carico elementari
Sy = Spostamento in dir. Y

Imp.	TCC	Nodo	Sx <cm>	CC	Nodo	Sy <cm>	CC
1	SLD	1124	-0.28708	2	1105	0.25740	14
1	SLV	1124	-0.98329	1	1105	0.92633	13

Minimo coefficiente di sicurezza

Simbologia

Elem. = Elemento
CC = Numero della combinazione delle condizioni di carico elementari
TCC = Tipo di combinazione di carico
SLU = Stato limite ultimo
SLU S = Stato limite ultimo (azione sismica)
SLE R = Stato limite d'esercizio, combinazione rara
SLE F = Stato limite d'esercizio, combinazione frequente
SLE Q = Stato limite d'esercizio, combinazione quasi permanente
SLD = Stato limite di danno
SLV = Stato limite di salvaguardia della vita
SLC = Stato limite di prevenzione del collasso
SLO = Stato limite di operatività
SLU I = Stato limite di resistenza al fuoco
SND = Stato limite di salvaguardia della vita (non dissipativo)

TV = Tipo di verifica
PRFL = Flessione e pressoflessione
TAG = Taglio o altre rotture fragili
NOD = Nodi in c.a. e collegamenti in acciaio
STAB = Stabilità
CP = Capacità portante
RNP = Resistenza nel piano
RFP = Resistenza fuori piano
CIN = Cinematismi
CON = Connessioni

Sic. = Sicurezza

Tabella elementi e minimo coefficiente di sicurezza

Elem.	CC	TCC	TV	Sic.
Plinto/Palo n. 15	17	SLU	PRFL	8.34
Plinto/Palo n. 5	1	SLV	TAG	>100.0
Asta in acciaio n. 16	17	SLU	PRFL	1.08
Asta in acciaio n. 16	17	SLU	TAG	1.08
Asta in acciaio n. 1003	17	SLU	STAB	1.06

Minimo coefficiente di sicurezza:1.06